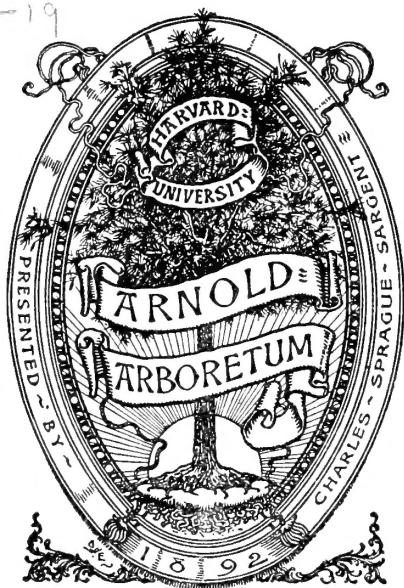






3 2044 105 173 496

Germ
B-19



Digitized by the Internet Archive
in 2015

<https://archive.org/details/bibliothecabotan2119unse>

BIBLIOTHECA BOTANICA

Original-Abhandlungen

aus

dem Gesamtgebiete der Botanik

Herausgegeben

von

Prof. Dr. L. Diels,

Berlin-Dahlem

Band XXI



STUTTGART 1914—1921

E. Schweizerbart'sche Verlagsbuchhandlung

(Erwin Nägele)

Alle Rechte, auch das der Uebersetzung, vorbehalten.

Inhalts-Verzeichnis.

Heft 86.

Die Entstehung und Ausbildung der Kieselzellen bei den Gramineen. Von Max Frohnmeyer. Mit 2 Tafeln.

Heft 87.

Die Bryophyten meiner zweiten Reise durch Bolivia. Von Theodor Herzog. Mit 1 Karte (Tafel A) und Taf. I—VIII, sowie 234 Text-Figuren.

Heft 88.

Die Bryophyten meiner zweiten Reise durch Bolivia. — Nachtrag. — Von Theodor Herzog. Mit 19 Text-Abbildungen.



BIBLIOTHECA BOTANICA

Original-Abhandlungen

aus

dem Gesamtgebiete der Botanik

Herausgegeben

von

Geh.-Rat Prof. Dr. Chr. Luerssen

Danzig-Zoppot

Heft 86

MAX FROHNMEYER

Die Entstehung und Ausbildung der Kieselzellen bei den
Gramineen

Mit 2 Tafeln



STUTTGART 1914

E. Schweizerbart'sche Verlagsbuchhandlung

Nägele & Dr. Sproesser

ARNOLD ARBORETUM,
JAMAICA PLAIN,
MASS.

BIBLIOTHECA BOTANICA

Original-Abhandlungen
aus
dem Gesamtgebiete der Botanik.

Herausgegeben
von
Geh. Rat Prof. Dr. Chr. Luerssen
Danzig-Zoppot.

Heft 86.

Dr. Max Frohnmeyer:
Die Entstehung und Ausbildung der Kieselzellen
bei den Gramineen.

Mit 33 Figuren auf Tafel I, II.

Stuttgart 1914.

E. Schweizerbart'sche Verlagsbuchhandlung
Nägele & Dr. Sproesser.

Die Entstehung und Ausbildung der Kieselzellen bei den Gramineen.

Von

Dr. Max Frohnmeyer.

Arbeit aus dem botanischen Institut der Universität Tübingen.

Mit 33 Figuren auf Tafel I, II.



Stuttgart 1914.

E. Schweizerbart'sche Verlagsbuchhandlung
Nägele & Dr. Sproesser.

Alle Rechte, besonders das der Uebersetzung, vorbehalten.

Buchdruckerei Wolfgang Drück in Cannstatt.

Inhaltsverzeichnis.

	Seite
I. Einleitung	1
II. Untersuchungsmethode	5
III. Allgemeine Übersicht über die Form der fertigen Kieselzellen	7
IV. Die Entwicklung der Kieselzellen und ihrer Verkieselungen	9
A. Die Bildung der Kurzzellen. Beobachtungen an der noch unverkieselten Kieselzelle	9
B. Die Bildung der Kieselkörper in den Kieselzellen	12
a) 1. Typus: Saccharum officinarum	13
b) 2. Typus: Panicum sanguinale	17
c) 3. Typus: Arundo Donax	18
d) Übersicht über eine Reihe weiterer Arten	19
C. Die Verkieselungen der übrigen Epidermiselemente	23
V Beobachtungen an kieselfrei gezogenem Material	25
VI. Theoretischer Teil	27
VII. Die Verteilung der Kieselzellen	31
VIII. Kurze Zusammenfassung der Ergebnisse	38
Figurenerklärung auf Tafel I, II.	40
Literaturverzeichnis	41

I. Einleitung und Literaturübersicht.

Die Verkieselung tritt uns in der Pflanzenwelt in der verschiedensten Weise entgegen. Einmal kann sie beliebige Zellen ergreifen, mehr oder weniger auffallend, und sich so schließlich auch über ganze Gewebe ausdehnen; oder aber es ist ihr Auftreten an bestimmte, oft eigenartig geformte Zellen gebunden. Als Beispiel für die erste Möglichkeit können die Membranverkieselungen der Equiseten oder die Kieselkörper der Podostemonaceen gelten. Dem zweiten Fall begegnen wir bei den Stegmata der Orchideen. Diese die Gefäßbündel begleitenden Zellen enthalten stets einen bestimmt geformten Kieselkörper, der allen andern Zellen fehlt. Ähnliches finden wir nun auch bei den Gramineen. Hier kommen neben den gewöhnlichen Oberhautzellen, den „Langzellen“, noch zweierlei Arten von kürzeren Zellen — „Kurzzellen“ — vor, von denen die einen, die „Kieselkurzzellen“ regelmäßig verkieselt sind. Wie bei den Stegmata ist ferner auch hier die Inhaltsverkieselung auf diese bestimmten Zellen beschränkt, und erst im Alter können auch noch andere Epidermiselemente im Lumen verkieselnd.

Solche typisch verkieselte Zellen in der Epidermis der Gramineen fand als erster Wiesner. Er beschreibt sie in seiner „Einleitung in die technische Mikroskopie“ (1867) bei *Zea Mays* und *Saccharum* und führt den Namen „Kieselzellen“ für sie ein. Paarweise mit ihnen kommen bei *Saccharum* stets noch andere, schwächer verkieselte, aber ebenfalls kleinere Zellen vor, die ein weiteres Lumen besitzen als die ersteren; ihnen gab Grob später den Namen „Korkkurzzellen“. Offenbar denkt Wiesner nur an eine reine Membranverkieselung, wobei sich die Wände, ähnlich wie bei Holzfasern, bis fast zum Schwund des Lumens vorher verdickt hätten und dann erst verkieselten.

Der Name „Kurzzellen“ für diese beiden durch ihre Kleinheit sofort auffallenden Epidermiszellen und ihre Deutung als „fehlgeschlagene Spaltöffnungsmutterzellen“ stammen von Pfitzer (1870).

De Bary (1877) stellt den Wiesnerschen „Kieselzellen“ die anderen Kurzzellen als „kurze Epidermiszellen“ gegenüber. Aus seinen Ausführungen geht hervor, daß diese letzteren stets unter den Kieselzellen liegen und durch minder derbe Wand ausgezeichnet sind. Beide Kurzzellen wechseln stets mit langen Epidermiszellen ab. Auch de Bary denkt wie Wiesner offenbar nur an reine Membranverkieselung.

Duval-Jouve (1875) spricht nur von kurzen Epidermiszellen im allgemeinen, ohne diese selbst weiter voneinander zu unterscheiden. Im übrigen widmet er seine Aufmerksamkeit mehr den Haaren und Blaszellen.

Kohl (1889) erwähnt in seinem Buche „Anatomisch-physiologische Untersuchungen der Kalksalze und Kieselsäure in der Pflanze“ die Kieselzellen der Gramineen überhaupt nicht.

Beobachtungen über sie, die einen Fortschritt bedeuten, finden sich erst wieder in den beiden fast gleichzeitig erschienenen Arbeiten von Grob und Wieler.

Grob (1897) verdanken wir die erste klare Übersicht über die verschiedenen Epidermiselemente der Gräser. Er unterscheidet 11 Formen. Uns interessieren in erster Linie die „Kieselkurzzellen“, die übrigen Zellen, namentlich die „Korkkurzzellen“ nur insoweit, als sie gelegentlich von stärkerer Verkieselung ergriffen werden. Grob weicht von der bisherigen Auffassung ab; er ist der erste, der von einer Lumenverkieselung spricht. „Ihr Lumen ist immer von Kieselsäure ausgegossen“. In der Füllmasse befinden sich fast stets punkt- oder bläschenförmige Hohlräume in Ein-

oder Mehrzahl. „Sie erscheinen meist leer, führen aber bisweilen sicher festen Inhalt“. Nach dem Lösen der Kieselsubstanz können die Bläschen dementsprechend verschwinden, oder es bleiben kleine Körnchen zurück. Bei ein und derselben Pflanze zeigen sie oft in Zahl und Anordnung Übereinstimmung. *Isachne arundinacea* führt z. B. meist bläschenfreie Kieselzellen, *Coix* u. a. solche mit zahlreichen, zu Schwärmen vereinigten Bläschen. Die Gestalt der Kieselzellen ist vielfach für die Spezies charakteristisch. Grob unterscheidet 5 Haupt- und 5 Nebentypen und gibt eine große Anzahl Bilder von ihnen. Demgegenüber sind die Korkkurzzellen gleichmäßiger geformt. Die Außen- und Seitenwände sind dünnwandig und stark verkorkt, das Lumen häufig von organischem Inhalt angefüllt. Die schon von Wiesner gemachte Beobachtung, daß auch hier die Wände oft verkieselt sein können, bestätigt Grob nicht. Bei dem von mir untersuchten Material war fast in allen Fällen eine mehr oder minder starke Verkieselung festzustellen; in älteren Zellen ging sie sogar so weit, daß die Zellen keine Korkreaktion mehr gaben.

Bei der Untersuchung der Verkieselungen bedient sich Grob des Phenols, worauf später zurückzukommen sein wird. Die Kieselzellen findet er schon früh von Kieselsäure erfüllt; wird diese mit Flußsäure gelöst, so nimmt man eine dünne Membran wahr, die Cellulosereaktion gibt. In manchen Fällen färbt sich aber mit Chlorzinkjod die ganze Zelle mehr oder weniger blau, ohne eine deutliche Membran zu zeigen. „Ob hier allenfalls eine die Kieselmasse durchsetzende Cellulosebasis vorliegt, müssen entwicklungsgeschichtliche Untersuchungen sicherstellen“.

Die Kieselkörper treten in zwei Modifikationen auf, als homogene, glasharte Masse und als sandig-poröse, schwärzliche Füllung. Zwischen beiden nimmt Grob auf Grund beobachteter Übergangsformen einen genetischen Zusammenhang an und stellt darnach folgende Entwicklungstheorie der Kieselkörper auf; „die Erfüllung des Lumens mit Kieselsäure wird eingeleitet durch Bildung eines feinzelligen Maschenwerks. Infolge weiterer Einlagerung von Kieselsäure in die Interstitien des Gerüsts entsteht homogene Verkieselung, und zwar schreitet dieselbe zentripetal vorwärts.“ Mit diesem Verkieselungsmodus erklärt Grob nun auch die verschiedene Anordnung der Bläschen, je nach dem Stadium des „Consolidierungsprozesses“ und nach der Form der Zelle. Zum Schluß betont er jedoch: „selbstverständlich wollen obige Ausführungen beim Mangel einläßlicher Untersuchungen über die Genesis der Kieselkörper nur als hypothetischer Erklärungsversuch aufgefaßt werden.“

Den zweiten Hauptabschnitt der Grobschen Arbeit bildet die Topographie der Epidermis-elemente, wobei er sich aber auf die Blätter beschränkt. Einmal können die Kieselzellen selbst in verschiedener Weise angeordnet sein. Sie können 1) allein stehen, 2) mit Korkkurzzellen gepaart sein, wobei stets die Kieselzelle vorn liegt, 3) selten auch in Reihen geordnet sein. Am häufigsten ist die paarige Anordnung. Ferner lassen sich nach der Verteilung der Kieselzellen auf der Blattfläche verschiedene Epidermisstreifen unterscheiden. 1) Zerstreute Ordnung ohne Reihendifferenzierung (Streifen über Parenchym). 2) Zerstreute Ordnung. Differenzierung in kurzzellreiche und kurzzellarme Langzellreihen (nur über Bast!). 3) Differenzierung in reine Lang- und reine Kurzzellreihen (nur über Bast!). Am besten sind die Kieselzellen stets über Bast entwickelt.

Grob hat auch ein Exemplar von *Zea Mays* in kieselsäurefreier Nährlösung gezogen. „Alle Blätter waren sowohl absolut, wie auch im Vergleich zu den Erdkulturen kiesellarm. Kieselkurzzellen fanden sich regelmäßig am Blattrand und an der Blattspitze, aber auch, im Vergleich zu normalen Blättern, spärlich“.

Während fast alle früheren Autoren die Blattepidermis untersucht haben, befaßt sich Wieler (1897) mit dem Internodium, und zwar ausschließlich bei *Saccharum officinarum*. Es liegen ihm von dieser Art einige verschiedene Varietäten vor, die in der Ausbildung ihrer Kieselzellen gewisse kleinere, hauptsächlich quantitative Unterschiede zeigen. Von den Korkkurzzellen (diesen Namen gebraucht er noch nicht) erwähnt Wieler nur, daß ihre Wände cutinisiert und verkieselt sind; „sonst bieten die verhältnismäßig dünnwandigen und weitlumigen Zellen nichts Besonderes“. Bei den Langzellen findet er die Mittellamellen verkieselt, zum Teil auch die Verdickungsschichten. Die Kieselzellen werden eingehend behandelt, ohne daß jedoch dadurch, wie wir gleich sehen werden, ein klares Bild von denselben erbracht würde. Auf Grund von Glühskelotten wendet sich Wieler zunächst gegen

die von Wiesner und de Bary ausgesprochene Ansicht, daß es sich hier um Membranverdickung mit nachfolgender Verkieselung handle, und betont, daß vielmehr das Lumen der Zelle von einem kompakten Kieselkörper erfüllt sei. „Was auf dem Flächenschnitt vor dem Verbrennen als Lumen der Zelle erschien, stellt sich als Spitze oder Leiste dieses Kieselkörpers heraus.“ Die in diesem Satz ausgesprochene Auffassung ist mir nicht völlig klar geworden. Wieler meint vielleicht hier mit „Lumen“ dasselbe, was Grob als Bläschen bezeichnet (bei *Saccharum* trifft man in sehr vielen Fällen nur ein derartiges Bläschen), denn diese kleinen Hohlräume erwähnt Wieler nirgends, bildet sie auch mit einer Ausnahme nie in Mehrzahl ab. In manchen Fällen gibt er statt eines kleinen runden Hohlraums ein länglich-ovales Bild, das den Eindruck eines Zellumens macht und das er folgendermaßen erklärt: „Die Basis trägt in der Mitte in longitudinaler Richtung eine verschieden gestaltete Leiste, welche von der Fläche als Lumen erscheint.“

Auch Wieler untersucht die Kieselkörper in Phenol oder isoliert sie mit Chromsäure. Von ihrer vasenförmigen Gestalt gibt er eine gute Abbildung. Zwischen gekreuzten Nicols bleiben die Kieselkörper dunkel, zeigen also keine kristallinische Ausbildung. An entkieselten Zellen erkennt man, daß die Wände „verdickt sind, zwischen sich ein Lumen lassen und sich mit Chlorzinkjod blau färben.“ Die Membranen sind also dicht mit Kieselsäure imprägniert oder bilden mit dieser eine organische Verbindung. Die Verdickung der Wand geht der Bildung der Kieselkörper voraus, die Verdickungsmasse färbt sich vor der Verkieselung mit Chlorzinkjod noch blau. Hier und da gelingt es auch noch, eine Färbung der Membran zu erhalten, wenn der Kieselkörper schon ausgebildet ist.

Weiter führt Wieler aus: „Auf Flächenschnitten wird der Eindruck erweckt, als ob die Verdickungsmasse lediglich an den Einschnürungsstellen auf den Längsseiten befestigt wäre und sich hier ausbreite. Bald scheint sie an einer Seite, bald an zweien an der Wand befestigt zu sein. Möglicherweise ist diese Deutung aber irrig, und es handelt sich um eine Art Tüpfel. Ich muß die Frage offen lassen, deren Beantwortung vielleicht im Zusammenhang mit der Entwicklungsgeschichte der Kieselkörper erfolgen wird.“ Ich werde auf diesen Punkt noch zurückkommen (s. S. 8.)

Wieler befaßt sich auch mit der Frage nach der Entwicklung der Kieselkörper; doch gestattete ihm sein Material nicht, sie befriedigend aufzuhellen. Er hält es für wahrscheinlich, daß die Verkieselungen in analoger Weise entstehen wie in den Stegmata der Orchideen, Palmen u. s. w., d. h. durch zentrifugale Ausfüllung des Lumens, und daß die Verdickungsschichten der Wand noch nach oder während der Ausbildung der Kieselkörper wachsen.

Überblickt man diese Literaturangaben, so findet man, daß zwar die verschiedenen Formen der Kieselzellen eingehend behandelt wurden, vor allem von Grob, daß aber über ihre Entstehung und Entwicklung nur gelegentliche Beobachtungen vorliegen, die zu keinem endgültigen Ergebnis führen. Auch Grob's Erklärungsversuch, so wahrscheinlich er uns zunächst anmutet, hat doch nur hypothetischen Wert, wie Grob selbst betont. Es war deshalb meine Aufgabe, dieser Frage nachzugehen. Daran schloß sich von selbst eine Reihe von Problemen untergeordneter Art, die mitbehandelt wurden.

Bei diesem Mangel an Angaben über die Entwicklung der Gramineenkieselzellen selbst ist es nun aber von Interesse, zu erfahren, in wieweit die Entwicklung schon bei andern Kieselzellen untersucht wurde. Eine kurze Besprechung der wichtigsten Arbeiten darüber soll deshalb hier folgen.

Rosanof (1871 *Galipea macrophylla*), Heinricher (1885 *Campanula persicifolia*) Kohl (1889 *Dorstenia*) und Kaphahn (1904 *Rhynchosporium*) beschrieben Fälle, bei denen die Verdickung und nachfolgende Verkieselung der Membranen so weit fortschreitet, daß schließlich das ganze Lumen verschwindet und von Kieselsäure erfüllt scheint, und zwar geht die Verdickung hierbei im allgemeinen einseitig von einer Wand aus. Ähnlich stellten sich offenbar Wiesner und de Bary die Verkieselung der Gramineenkieselzellen vor.

Eine eigentümliche Art der Entwicklung von Kieselkörpern gibt Bulitsch (1893, *Bromeliaceen*) an: der Kieselkörper entsteht im Lumen und wird nachträglich von der Zellwand resorbiert und eingeschlossen.

Warming (1881, *Podostemonaceen*), Kohl (1889, Orchideen, Palmen) und Küster (1897, *Chryso-*

balaneen zum Teil) haben Kieselkörper beobachtet, die frei im Innern der Zelle entstehen und sich allmählich nach außen vergrößern, wobei aber schließlich vielfach noch ein Zwischenraum zwischen Wand und Kieselmasse bleibt. Das wäre also etwa die Entstehungsweise, die Wieler auch für die Kieselzellen der Gramineen annimmt.

Es bleibt noch ein letzter Entstehungsmodus übrig, den Kohl (1889, *Podostemonaceen*) und Küster (1897 *Chrysobalaneen* zum Teil) beschreiben. Der Kieselkörper wächst im Lumen von der Wand aus, zentripetal, mehr oder weniger gleichmäßig, bald nur von einer Wand aus (das Plasma nach der entgegengesetzten Seite drängend), bald von allen Seiten zugleich (das Plasma umhüllend und in die Mitte drängend).

Schon Hugo v. Mohl (1861) macht darauf aufmerksam, daß man bei allen Inhaltsverkieselungen zwischen zwei Fällen zu unterscheiden hat. Entweder bleiben die Membranen der betreffenden Zelle unverkieselt, wenigstens längere Zeit, oder aber sie verkieseln selbst auch und zwar vor dem Inhalt. Für die Chrysobalaneen verbindet nun Küster mit dieser Einteilung noch eine weitere, genetische, und unterscheidet darnach zwischen Kieselkörpern, die in Form kleiner Körner auftreten und nun zentrifugal wachsen in Zellen ohne verkieselte Membranen, und Kieselfüllungen, die zunächst der Zellwand als bröckelige Krusten anliegen, zentripetal wachsen und stets von verkieselten oder wenigstens verholzten Membranen umgeben sind. Diese Küster'sche Einteilung ist aber jedenfalls nicht für alle Inhaltsverkieselungen anwendbar; denn schon Mohl beschreibt bei *Davilla Brasiliana* und auch bei der *Cauto*-Rinde (Chrysobalaneen!) Zellen, bei denen zuerst die Membranen verkieseln und dann einzelne Kieselkörner im Innern der Zelle erscheinen und diese schließlich ganz mit einer feinkörnigen Masse erfüllen können.

II. Untersuchungsmethode.

Für die Wahl der verschiedenen Arten waren mehrere Gesichtspunkte maßgebend. Zunächst war es von Wichtigkeit, möglichst große und schön ausgebildete Kieselzellen zu untersuchen; außerdem erleichtert es die Erkennung der jungen Kieselzellen sehr, wenn man eine Art vor sich hat, die stets Kurzzellenpaare bildet. Die Kieselzelle ist dann durch ihre akropetale Anlage von vornherein sicher bestimmt. Wo aber häufig nur eine Kurzzelle gebildet wird, läßt es sich, solange sie jung ist, nicht unbedingt entscheiden, wozu sie sich entwickeln wird, ob zur Kiesel- oder zur Korkkurzzelle. Unter diesen Gesichtspunkten erwies sich als die geeignetste Art *Saccharum officinarum*, an dem dann auch die wichtigeren Untersuchungen über die Entwicklung ausgeführt wurden. Bei der Wahl weiterer Arten mußten vor allem möglichst viele Verwandtschaftskreise berücksichtigt werden; hier und da war es andererseits von Interesse, nahe verwandte Arten miteinander zu vergleichen.

Zur genaueren Untersuchung dienten folgende Arten:

- 1) *Maydeae*: *Zea Mays* L., *Tripsacum dactyloides* L., *Coix Lacrymae Jobi*.
- 2) *Andropogoneae*: *Saccharum officinarum* L., *Sorghum halepense* Pers., *Andropogon Schimperii* Hochst.
- 3) *Paniceae*: *Panicum plicatum* Sam., *Panicum sanguinale* L.
- 4) *Oryzeae*: *Oryza sativa* L.
- 5) *Phalarideae*: *Phalaris arundinacea* L.
- 6) *Agrostideae*: *Alopecurus pratensis* L., *Phleum pratense* L., *Phleum Boehmeri* Wibel.
- 7) *Aveneae*: *Avena sativa* L., *Trisetum flavescens* Beauv.
- 8) *Festucaceae*: *Festuca arundinacea* Schreber, *Poa pratensis* L., *Uniola latifolia* Mich., *Arundo Donax* L., *Arundo phragmites* L.,
- 9) *Hordeae*: *Elymus sibiricus* L., *Secale cereale* L., *Lolium perenne* L., *Hordeum distichum* L.
- 10) *Bambuseae*: *Bambusa nana* Rizb., *Bambusa arundinacea* Willd.

Die Untersuchung wurde, zunächst aus rein praktischen Gründen, fast ausschließlich an Stengelgliedern ausgeführt, da diese in der Regel später verkieseln als die Blattscheiden und ihnen gegenüber auch sonst noch mancherlei Vorteile bieten. Als Ort der Untersuchung kamen alle jüngeren Internodien in Betracht, soweit sie noch zum mindesten eine interkalare Wachstumszone oder ein noch unverkieseltes Gelenk besaßen. Der Vegetationspunkt und die nur schwach gestreckten obersten Glieder entbehren stets noch jeglicher Verkieselung und sind deshalb für unsere Zwecke meist nicht brauchbar. Am günstigsten erwiesen sich die in vollem Wachstum befindlichen Internodien, bei denen sich das Untersuchungsfeld fast auf ihre ganze Länge erstreckt und wo man oft sämtliche Stufen vom undifferenzierten Gewebe bis zum fertig verkieselten vor sich hat. Je älter das Internodium ist, desto kleiner wird diese zur Untersuchung geeignete unverkieselte Stelle.

Bei allen Kieselsäureuntersuchungen wurde bisher nach dem Vorgange von Meyen, Sachs, Kohl u. a. hauptsächlich mit Glühskelotten und Handschnitten gearbeitet. Da es aber bei Entstehungsfragen auf den Nachweis von oft sehr geringen Mengen von Kieselsäure ankommt, genügt dieses etwas grobe Verfahren nicht, zumal, da die Verkieselungen doch im Zusammenhang mit dem umgebenden

Gewebe beobachtet werden müssen. Soweit es sich um junges, unverholztes Material handelte, habe ich deshalb in der Regel mit Mikrotomschnitten von 5–10 μ Dicke gearbeitet. Die Fixierung der Internodienstücke wurde anfangs mit Eisessig-Alkohol (50:50) später nur mit absolutem Alkohol (Dauer der Einwirkung 24 Std.) ausgeführt. Die so hergestellten Mikrotomschnitte wurden nun auf verschiedene Weise weiter untersucht. Die für die Kieselerkennung mehr negativen Färbeverfahren reichen vielfach für sich allein nicht aus. Es wurde deshalb in erster Linie immer mit Phenol gearbeitet, in zweifelhaften Fällen Färbung und Behandlung mit Phenol nacheinander angewandt. Handschnitte wurden, wenn möglich, stets auch noch gegläht.

Der erste, der meines Wissens Phenol zur besseren Erkennung von Verkieselungen benützte, war O. Müller, bei seinen Diatomeenuntersuchungen (1871). Er „überschwemmte“ seine Objekte mit verschiedenen Flüssigkeiten u. a. auch mit Nelkenöl und mit Carbonsäure, doch handelte es sich hier nur um eine gelegentliche Bemerkung. Später (1897) wurde das Phenolverfahren dann gleichzeitig von Küster und Grob, denen diese Studien Müllers offenbar unbekannt geblieben sind, von neuem eingeführt und weiter ausgebaut. Seither wurde es bei Arbeiten über Kieselsäure vielfach mit Erfolg angewandt (Wieler, Kaphahn). Die Wirkung des Phenols besteht darin, daß sein Brechungsexponent (1,535) von dem der Kieselsäure (Tabaschir: 1,119–1,364) wesentlich verschieden ist, mit dem des übrigen Gewebes sich aber offenbar nahezu deckt. Die Folge davon ist, daß alle Zellwände und Zellinhalte fast durchsichtig werden, alle Verkieselungen aber scharf hervortreten.

Sichere, kompakte Verkieselung ist vorhanden, wenn sich in Phenol der von Küster beschriebene rötliche Glanz einstellt, wie er namentlich bei den stark lichtbrechenden Kanten, Ecken und auch bei Membranen ausgeprägt ist. Der fertig ausgebildete Kieselkörper der Gramineen erscheint bei scharfer Einstellung rötlich glänzend, bei zu tiefer weißlich, bei zu hoher ist er dunkel. Alle Unebenheiten treten besonders hervor. Die punktförmigen Bläschen sind scharf umrandet und meist dunkler als die übrige Füllmasse. Isolierte Kieselkörper zeigen stets nach außen einen durch Brechung hervorgerufenen rötlichen Schimmer. Phenol läßt jedoch nicht, wie Küster erklärt, jede auch die feinste Verkieselung deutlich erkennen. Dünne Kieseldecken sind von der Fläche vielfach nicht sichtbar; daß z. B. die Cuticula fast durchweg verkieselt ist, ergibt sich erst aus ihrer Kantenansicht in Längs- und Querschnitten. Dementsprechend stellt sich auch bei allen Membranen, die wir in der Kantenansicht beobachten, der rote Glanz sofort mit der Verkieselung ein. Ich werde später noch genauer auf diese Tatsachen zurückkommen.

Vor der Übertragung der Schnitte aus Phenol in Balsam habe ich sie nach Küsters Vorgang stets noch eine Zeitlang in Nelkenöl gelegt. Sowohl in Nelkenöl (Brechungsexponent 1,547) als auch in Balsam sind die Kieselkörper noch sehr gut zu erkennen. Zimmtöl, Bromoform und Monobromnaphtalin schienen mir trotz ihrer hohen Brechungsexponenten weniger geeignet. Auch Glyzerin ist nicht so günstig wie Phenol, da die Umriss des Kieselkörpers nicht scharf zu erkennen sind. Derselbe erscheint milchweiß und schließt auch hier nach außen mit einer rötlich lichtbrechenden Kante ab.

Fast alle behandelten Arten wurden auch in entkieseltem Zustand untersucht. Die Internodienstücke wurden zu diesem Zweck einige Zeit in Flußsäure gekocht und dann mit dem Rasiermesser oder dem Mikrotom geschnitten. Da es sich bei den dann folgenden Untersuchungen in erster Linie um die Membranen der Kieselzellen handelte und um die Frage nach einer etwa vorhandenen organischen Grundlage des Kieselkörpers, so dienten als Reagentien vor allem Chlorzinkjod und Kongorot.

III. Allgemeine Übersicht über die Form der fertigen Kieselzellen.

Blatt- und Stengelepidermis können in der Ausbildung der Kieselzellen bei derselben Art ganz verschieden sein. Indessen herrscht am Stengel nicht die Mannigfaltigkeit, wie sie Grob für das Blatt beschreibt. Bei der Flächenansicht kann man stets vom Rechteck als Grundform ausgehen. Die fertige Zelle kann diese Form beibehalten und ist dann entweder längs- oder quergestreckt, oder annähernd quadratisch (Fig. 2,13); wenn die Wände sich abrunden, entstehen elliptische, ovale oder auch kreisrunde Bilder (Fig. 9). Die Cuticula buchtet sich in der Regel nach allen Seiten aus mit Einkerbungen an der Mitte der beiden Längswände, so daß bei der höchsten Einstellung die Zelle eine biskuitförmige Gestalt hat (Fig. 3,17). Bei verschiedenen Arten nimmt, wie schon Grob gezeigt hat, die ganze Zelle diese Form an. Tritt die Verkieselung spät ein, so daß die Zelle sich vorher ungehindert strecken kann und auch die Wellungen der Wände vorher zustande kommen können, so entstehen auffallend lange Kieselzellen mit mehreren Einbuchtungen wie bei *Glyzeria fluitans*. Auf Längsschnitten sieht man, daß an dem Übergreifen der Cuticula auch die Seitenwände selbst teilnehmen. Gegen die Langzellen biegen sie sich meist nur schwach in ihrem obersten Teil aus, dagegen wird die Korkkurzzone ziemlich weit von oben umfaßt, nicht selten sogar ganz bedeckt (Fig. 5,6). Nach den Längsansichten kann man vor allem zwei Formen unterscheiden; bei der einen sind Außen- und Innenwand annähernd gleich lang (Fig. 19,4c), bei der zweiten verengert sich die ganze Zelle stark nach innen, so daß die Außenwand beträchtlich länger ist als die Innenwand (Fig. 4,b), damit hängt zusammen, daß im letzteren Falle die eine Seitenwand über die Korkkurzzone bis zu ihrer Mitte oder noch weiter greift, so daß von oben gesehen bei der höchsten Einstellung die Korkkurzzone kaum sichtbar ist, bei tiefer Einstellung dagegen die Kieselzelle fast ganz verschwindet und oft nur noch eine quergestreckte, in Phenol hell lichtbrechende Kante erkennen läßt. Diese beiden Formen der Kieselzelle sind in Gestalt und Vorkommen scharf unterschieden. Bei einer *Andropogonee* habe ich nie eine verengerte Kieselzelle getroffen; bei *Alopecurus*, *Dactylis*, *Triticum* u. a. sind nur die seltenen allein stehenden Kieselzellen außen und innen gleich breit, die mit Korkkurzonen gepaarten immer nach innen verengert. Auf Querschnitten erscheinen Außen- und Innenwand annähernd gleich breit; jedenfalls verschmälert sich hier die Zelle niemals in dem Maße wie bei Längsbildern. Die Form dieser Zellen hat man sich also etwa als ein dreiseitiges Prisma vorzustellen, bei dem eine Kante durch eine Fläche abgestumpft ist; diese Fläche entspräche der Innenwand.

Quer- und Längsschnitte zeigen, daß die Cuticula über alles weggreift und ziemlich mächtig entwickelt ist. Über den Kieselzellen ist sie jedoch etwas dünner. An entkieseltem Material wurde ferner beobachtet, daß sie sich hier meist abgehoben hatte und mit Chlorzinkjod schwächer färbte.

Über die Größe der Kieselzellen läßt sich nichts Einheitliches aussagen. Sie ist sowohl bei den verschiedenen Arten und Familien, als auch oft in den einzelnen Individuen selbst sehr schwankend. In beschränktem Maße ist sie von der Höhenlage am Internodium abhängig. Ziemlich große Zellen finden wir bei *Panicum sanguinale*, *Saccharum officinarum* u. a., sehr kleine haben *Panicum plicatum*, *Oryza sativa* und die *Bambuseen*. Hohenauer gibt folgende Maße an: Breite 6–10 μ , Länge 3–25 μ . Bei *Saccharum* habe ich die durchschnittliche Höhe der Kieselzellen auf 10–15 μ bestimmt.

In diesem Zusammenhang sollen auch die Punkte und Bläschen besprochen werden, die Grob als eigentliche Hohlräume bezeichnet, während sie Wieler in Mehrzahl überhaupt nicht erwähnt, und sie dort, wo sie in Einzahl auftreten, offenbar für Spitzen des Kieselkörpers hält. Noch ehe mir meine entwicklungsgeschichtlichen Untersuchungen hierüber Resultate lieferten, war es mir unzweifelhaft, daß Grob mit seiner Deutung im Rechte war. Denn einmal versagt in all den Fällen, wo es sich um ganze Schwärme von Bläschen handelt, die Wieler'sche Erklärung vollständig. Außerdem müßte ein solches Bläschen, wenn es eine Spitze darstellte, nach oben in einen Punkt auslaufen bei entsprechender Einstellung der Mikrometerschraube. Das ist aber nicht der Fall. Auch die Lichtbrechung in Phenol spricht gegen Wieler. Wie schon bemerkt, wird an allen Unebenheiten, Kanten, Spitzen und dergl. das Licht besonders stark gebrochen und dieselben erscheinen rötlich aufleuchtend. Die Punkte sind dagegen in der Regel in vollständig kompakten Kieselkörpern dunkler als diese und scharf konturiert. Wie wir uns die Bläschen entwicklungsgeschichtlich zu erklären haben, wird noch besprochen werden. Den länglich gestreckten „Hohlraum“, den Wieler beobachtet und als Leiste erklärt hat, habe ich bei fertigen Kieselzellen nie gefunden. Eine untere Leiste oder irgendwelche scharf abbrechende Kante an der Unterseite trifft man nicht selten; aber diese erscheinen nie als Flächen, sondern immer als einfach konturierte, stark lichtbrechende Linien, wie sie bei *Zea Mays*, *Poa*, *Elymus* und vielen andern in verschiedenerei Formen zu sehen sind. Durch die Einstellung mit der Mikrometerschraube läßt es sich leicht entscheiden, welcher Wand diese Leisten oder Kanten angehören.

Auch die vorn erwähnten Angaben Wieler's über Tüpfel oder Durchbrechungen der Wandverdickungen kann ich nicht bestätigen. Bei einer gewissen Einstellung sehen auch die Kanten schwarz aus und täuschen so, da sie keine zusammenhängenden Linien bilden, sondern nur an den scharfen Bruchstellen deutlich sichtbar sind, Lücken in der Membrane vor. Was Wieler für Wände hält, sind also nur Kanten und Wölbungen des Kieselkörpers. Die Wände lassen sich, wie schon Grob richtig bemerkte, nur in seltenen Fällen bei fertig verkieselten Kieselzellen erkennen. Bei Besprechung der entkieselten Schnitte werde ich noch einmal auf diesen Punkt zurückkommen (s. S. 15).

IV. Die Entwicklung der Kieselzellen und ihrer Verkieselungen.

A. Die Bildung der Kurzzellen. Beobachtungen an der noch unverkieselten Kieselzelle.

Die Bildung der Kurzzellen beginnt erst an Internodien, die schon in ein ergiebigeres Längenwachstum eingetreten sind. Bei Internodien ohne Stengelgelenk geht sie durchweg von oben nach unten vor sich. Wo später ein Stengelgelenk ausgebildet wird, liegt dieses einige Zentimeter über der Basis. In diesem Fall schreitet die Bildung der Kurzzellen unter dem Gelenk von unten nach oben vor, und da dieses Stück des Internodiums keine nennenswerte Streckung durchmacht, bleiben die verschiedenen Epidermiselemente nahe aneinander gerückt; die Langzellen sind viel kürzer als im übrigen Gewebe. Man findet deshalb an geeigneten Internodien mit Stengelgelenk manchmal sämtliche Stadien der Zellbildung und auch der Verkieselung in vollständiger Reihe beieinander in der Zone vom Gelenk abwärts. Oberhalb des Gelenkes hat sich das übrige Gewebe schon vor der Bildung der Kurzzellen mächtig gestreckt und beginnt bald am oberen Rande sich zu differenzieren und Kurzzellen abzutrennen. Auch dieses mit Kurzzellen versehene Gewebe wächst noch ziemlich stark, bis es endlich — ebenfalls von oben her — verholzt und verkieselt und dann jedenfalls keine wesentliche Streckung mehr erleidet. Je nach dem Alter des Internodiums hat man demnach den Bildungsherd der Kurzzellen in ganz verschiedener Höhe zu suchen.

In dem merisystematischen Gewebe machen sich bald Größenunterschiede bemerkbar (Fig. 30 b). Schließlich kann man deutlich zweierlei Zellen unterscheiden: l ä n g e r e, die zu Langzellen werden, und kürzere, denen man ihr späteres Schicksal noch nicht ansehen kann. Wie schon Pfitzer beschreibt, können sich diese zu Spaltöffnungen, Haaren oder Kurzzellen entwickeln. Die Orientierung der Querwände zu den Längswänden ist auf Flächenansichten nicht immer ganz senkrecht, sondern hie und da etwas schief (Fig. 30 b). Die Haare spielen bei der Mehrzahl der Halme im Gegensatz zu den Blättern eine ganz untergeordnete Rolle. Die Spaltöffnungen charakterisieren sich als solche bald durch den weiteren ihnen eigentümlichen Teilungsmodus. Das Zustandekommen der fertigen Kurzzellen kann entweder durch einfache Weiterentwicklung der Mutterzelle erfolgen; meist entsteht in diesem Falle eine Korkkurzzelle. Oder aber es tritt noch eine Teilung ein, und von dem so entstandenen Kurzzellenpaar wird die vordere Zelle eine Kieselzelle, die hintere eine Korkkurzzelle. Die ungeteilte Mutterzelle kann sich in selteneren Fällen zu einer mehr oder weniger typischen Kieselzelle ausbilden; wie schon bemerkt, verengern sich solche allein stehenden Kieselzellen nur ganz ausnahmsweise nach unten. Im Laufe meiner Untersuchungen ist mir nur ein einziges Mal ein derartiger Fall begegnet. Wie in dem Abschnitt über die Verteilung näher ausgeführt werden soll, verhält sich die Mutterzelle an den verschiedenen Internodien verschieden, je nach der Zeit, in die ihre Weiterentwicklung fällt (s. S. 37).

Bleiben wir bei dem Fall, daß sich die Kurzzellmutterzelle noch einmal teilt. Einen solchen bieten uns z. B. *Saccharum officinarum* und *Arundo Donax*. In der Flächenansicht stellt sich die neue

Teilungswand bald senkrecht und gerade dar (Fig. 30,c), bald tritt sie gebogen auf (Fig. 1,31) und bietet dann ihre konkave Wand der späteren Kieselzelle. Der dazu gehörige Längsschnitt zeigt, daß in letzterem Fall die Wand uhrglasförmig ist. Durch ungleichmäßiges Wachstum beginnt die Wand sehr bald schon über die Korkkurzzelle ein wenig hereinzugreifen, oben stärker als unten, wodurch in der Längsansicht die Korkkurzzelle auf die Konkavseite des Uhrglases zu liegen kommt. Was nun die ursprüngliche Anlage der Wand betrifft, so sprechen zunächst manche Bilder dafür, daß sie dort, wo später die verengerte Gestalt zustande kommt, schief, manchmal sogar fast diagonal angelegt werde. Genauere Untersuchungen des jungen Gewebes machen es jedoch sicher, daß die erste Anlage immer senkrecht geschieht und alle anderen Lagerungen schon sekundäre Stadien darstellen, d. h. durch ungleich stärkeres Wachstum der Außenwand entstanden sind (Fig. 11,a—c). Zur Zeit der Teilung kann die Längsausdehnung der Zelle so gering sein, daß die späteren großen Unterschiede ohne weiteres verständlich sind. Ein dieser Ansicht widersprechendes Bild ist mir jedenfalls nie vorgekommen. Dort, wo nur der äußerste Teil der Wand sich wölbt, steht auch im fertigen Stadium die Trennungswand in ihrem unteren Teil genau senkrecht auf der Innenfläche auf. Bei *Arundo Donax* und *Alopecurus pratensis* habe ich diese Verlagerung in all ihren Stadien verfolgt. Wo, wie bei *Arundo*, die Innenwand hinter der Außenwand nicht zuviel in ihrer Länge zurücksteht, kann dies auf zweierlei Weise geschehen sein. Entweder, die Mutterzelle teilt sich erst, wenn sie schon eine gewisse Größe erreicht hat, oder, was das häufigere ist, die Innenwand beteiligt sich eben auch in größerem Maße am Wachstum. Wo die Zelle sich dagegen nach unten fast zuspitzt, muß man annehmen, daß die Innenwand nach der Teilung überhaupt nicht mehr gewachsen ist, oder jedenfalls nur noch in ganz geringem Maße.

Eine eigentümliche Art der Wandbildung, die von der normalen, eben beschriebenen vollständig abweicht, fiel mir zunächst bei *Panicum sanguinale* auf. Hier stellt sie die Mehrzahl der Fälle dar; seltener wurde sie auch bei *Tripsacum dactyloides* und vereinzelt noch bei verschiedenen anderen Arten (*Zea Mays*, *Saccharum officinarum* u. a.) angetroffen. Es entsteht nämlich hier die Kieselzelle in der Mutterzelle drin durch eine halbmond- oder halbkreisförmige Wand, die von einer Längswand zu einer Querwand greift. (Fig. 28a). Die Ansatzstelle der neuen Wand rückt mehr oder weniger weit an dieser herein. Bei *Saccharum* fand sich ein Fall, wo die neue Wand von der Ecke ausging. Das wäre also eine Art Überleitung zur normalen Wandanlage. Je nachdem sich die Ansatzstelle auf der Querwand mehr oder weniger weit vom Eckpunkt verschiebt, ist die Zelle anfangs bald stark gewölbt, bald flach. Dadurch, daß sich später die beiden alten Wände öfters gegen das Lumen der benachbarten Zellen vorwölben und alle drei Wände noch weitere Umgestaltungen erfahren, verwischt sich allmählich die ursprünglich dreiseitig angelegte Gestalt der Zelle. Die fertige Zelle ist dann mehr oder weniger deutlich vierseitig; die Teilungswand hat sich so gebogen, daß eine frei im Lumen der Mutterzelle liegende Ecke entsteht (Fig. 28). Die Zelle sieht aus, als ob sie von oben auf den Schnittpunkt dreier Zellwände aufgesetzt sei. Wenn die Wände sich nicht vorwölben, liegt die Zelle wie auf Fig. 28,c, 26,b. Ganz vereinzelt (bei *Saccharum*) fand sich der Fall, daß schon die Bildung der Mutterzelle auf diese Weise erfolgte. Die Zelle streckte sich dann nach der Teilung gewaltig in die Länge, sodaß sie eine pfeilförmig zugespitzte Gestalt erhielt, worauf sie sich durch eine Querwand in Kork- und Kieselzelle teilte. Neben dieser unregelmäßigen Entstehung, die an den Teilungsmodus gewisser Spaltöffnungen (*Asplenium*, *Mercurialis*) erinnert, kommt bei allen diesen Arten auch die regelmäßige vor. Es scheinen dabei in dem gegenseitigen Verhältnis der beiden Möglichkeiten, soweit ich es bei *Panicum sanguinale* beobachten konnte, von Individuum zu Individuum Verschiedenheiten zu herrschen.

Die Mutterzelle kann auch noch mehr als zwei Kurzzellen liefern. Es können z. B. drei nebeneinander liegen, von denen dann in der Regel die mittlere zur Korkkurzzelle, die beiden andern zu Kieselzellen werden. Nach de Bary und Grob kommt auch der umgekehrte Fall vor, nach letzterem allerdings nur ganz ausnahmsweise. Häufiger als drei Zellen trifft man vier, also zwei Kurzzellenpaare zusammen. Hierbei wechseln dann immer Kiesel- und Korkkurzzellen miteinander ab. Besonders häufig fand ich solche zusammengeschlossene Kurzzellenpaare bei *Saccharum* im obersten Teil des Internodiums und konnte deutlich ihr Abnehmen nach unten verfolgen. Abnormitäten, wie zwei Kiesel- oder zwei Korkkurzzellen nebeneinander, trifft man auch, aber nur äußerst selten.

Was die chemische Beschaffenheit des jüngsten, unverkieselten Gewebes anbelangt, so spielen hier, solange sich die Zellwände noch nicht verdicken, Pektinverbindungen die Hauptrolle. Während sich bei der Behandlung mit Chlorzinkjod die typische Cellulosereaktion noch nicht einstellt, färben sich die Wände mit Safranin oder Rutheniumrot intensiv rot.

Die jungen Kurzzellen sind mit einem großen, oft fast das ganze Lumen füllenden Kern versehen, gegen den das Plasma stark zurücktritt. Andersartige Zellbestandteile treten nicht auf. Es kann also auch nicht dazu kommen, daß auf die entstehenden Kieselkörper durch irgendwelche Inhaltseinschlüsse eine formende Wirkung ausgeübt wird, wie es Kohl z. B. bei den *Podostemonaceen* beschreibt. Dort wird nämlich die Form der Kieselkörper vielfach durch Chlorophyll- und Stärkekörner bestimmt.

Die Kieselzelle nimmt in der Regel, schon ehe sie verkieselt, ihre endgültige Gestalt an. Die Mittellamelle wird, bevor neue Lamellen angelegt werden, ziemlich mächtig. Sie läßt sich oft an altem Gewebe noch deutlich mit doppelten Konturen verfolgen. Mit Chlorzinkjod gibt sie keine Blaufärbung. Daß die Kieselzelle während des Verkieselungsprozesses noch etwas wächst, ist nicht ausgeschlossen, daß auch nach der endgültigen Verkieselung noch, wie W i e l e r annimmt, ist dagegen sehr unwahrscheinlich.

B. Die Bildung der Kieselkörper in den Kieselzellen.

Wie es schon Grob und Wieler ausgesprochen haben, geht der Verkieselungsprozeß sehr rasch und plötzlich vor sich, und zwar in derselben Gegend oft ziemlich ungleichmäßig. Man findet häufig einzelne ganz oder erst teilweise verkieselte Zellen in sonst kieselfreiem Gewebe; andererseits enthält in den unteren Regionen des Internodiums ein in der Hauptsache schon verkieseltes Epidermisstück oft noch Kieselzellen, deren Verkieselung noch nicht beendet ist, oder wo die Ausscheidung überhaupt noch nicht begonnen hat. Entsprechende Resultate erhält man, wenn man mit Chlorzinkjod auf Cellulose prüft. Dann treten die noch nicht verkieselten, aber schon verdickten Kieselzellen durch ihre Blaufärbung deutlich hervor, und es läßt sich im allgemeinen eine deutliche „Cellulosezone“ am Internodium erkennen. Einzelne blau gefärbte Zellen finden sich jedoch immer auch noch ein gut Stück weiter in der verkieselten Partie, in der die übrigen Kieselzellen ungefärbt bleiben. Verfolgt man einen Längsschnitt durch die Zone der beginnenden Verkieselung von oben nach unten, d. h. also nach rückwärts, so findet man meist nicht eine gleichmäßig rückwärts schreitende Entwicklungsreihe, sondern unter Umständen allerlei Stadien durcheinander: fertig verkieselte Zellen wechseln mit schwach verkieselten und kieselfreien ab. Im Ganzen ist indessen auf einer solchen Strecke eine Entwicklung nicht zu verkennen, insofern unten kieselfreie und oben fertig verkieselte Zellen vorherrschen. Die Zone der beginnenden Verkieselung liegt natürlich ebenso wie die der Kurzzellenbildung je nach dem Alter des Internodiums in verschiedener Höhe. Die beiden Zonen decken sich nicht, rücken aber, da die Neubildung der Kurzzellen allmählich erlahmt und schließlich aufhört und da ja die Verkieselung ebenfalls von oben nach unten fortschreitet, mit der Zeit immer näher zusammen. An jüngeren Internodien, wo der Raum zwischen dem Bildungsherd der Kurzzellen und der Zone der beginnenden Verkieselung noch groß ist, bleiben also die neugebildeten Kurzzellen länger unverkieselt als in älteren Internodien, wo die Streckung und Teilung nachgelassen haben und so die Verkieselungszone die Teilungszone beinahe „eingeholt“ hat.

Die Verkieselung schreitet, wie schon bemerkt, vom oberen Ende basipetal vorwärts und läßt das aktive Gelenk, bzw. die weiche Internodienbasis, die unter Umständen noch passiv zu wirken hat, zunächst frei (s. Abschnitt über Verteilung s. S. 32.). Entsprechend der schon erwähnten Tatsache, daß auch vom Gelenk nach unten noch Zellen abgetrennt werden, schreitet hier die Verkieselung akropetal vor, und zwar sehr rasch und frühzeitig, so daß diese Zone in mittleren und älteren Internodien durchweg verkieselt ist, ohne deutliche Abstufungen, wodurch eine scharfe Grenze gegen das noch kieselfreie Gelenk entsteht.

Die ersten Spuren einer Verkieselung trifft man nicht etwa an den Kieselzellen selbst, sondern an der Cuticula und an den Membranen der Korkkurzzellen, namentlich an deren Außenwänden. Hier ist in Phenol deutlich schon ein roter Glanz zu beobachten, wenn die Kieselzelle in diesem Medium fast noch unsichtbar ist.

Die Untersuchung der Entwicklung der Kieselkörper ergab bald, daß diese nicht überall einheitlich vor sich geht, sondern oft erhebliche Unterschiede zeigt. Innerhalb derselben Art ist aber immer eine gewisse Gleichmäßigkeit zu erkennen. Es soll zunächst an *Saccharum officinarum*, das am

eingehendsten untersucht wurde, die Entwicklung dargestellt werden. Daran sollen sich diejenigen Arten schließen, die von diesem Entwicklungsgang irgendwie abweichen; als Vertreter der verschiedenen Typen wird immer eine Art besonders ausführlich behandelt werden. Alles Gemeinsame findet bei dem 1. Typus, bei *Saccharum*, Erwähnung.

a) 1. Typus. *Saccharum officinarum*.

Die Kieselzellen von *Saccharum officinarum* sind, wie schon erwähnt, besonders groß. Die Gestalt ist gewöhnlich länglich, kann aber auch breiter als lang sein, quadratisch oder oval bis kreisrund. Das körperliche Bild einer typischen Kieselzelle von *Saccharum* zeigt Fig. 33. Der oberste Teil der Querwände biegt sich schwach über die Nachbarzellen aus, der untere steht beinahe senkrecht auf der Innenfläche auf. Eine verengerte Kieselzelle kommt nie vor. Die Cuticula über der Zelle bietet, von der Oberfläche gesehen, ein biskuitförmiges Bild. Die Bläschen in der Kieselmasse lassen in ihrer Anordnung einige Regelmäßigkeit erkennen. Sie treten nie in großer Anzahl und zu eigentlichen Schwärmen vereinigt auf. Vielfach trifft man nur eines oder auch gar keines. Wo sie in Mehrzahl vorhanden sind, sind sie meist scharf von einander getrennt und abgesetzt. Ihre Verteilung über die Kieselmasse ist nie so ungeordnet wie bei manchen andern Arten. Wo nur ein Punkt da ist, liegt er in der Regel in der Mitte, mehrere Punkte bilden entweder in der Mitte eine kreisförmige Gruppe oder sind der Längsrichtung der Zelle parallel zu einer Reihe angeordnet. Auf Längsschnitten findet man eine derartige Reihe den Seitenwänden parallel, ebenfalls mehr oder weniger in der Mitte. Doch kommen auch seltenere Fälle vor, wo die Bläschen unregelmäßig über die Fläche verteilt sind. Auch hier nehmen sie indessen immer einen gewissen Abstand von der Wand ein (Fig. 16).

Wie schon in der Einleitung bemerkt wurde, liegt nach Küster sichere Verkieselung vor, wenn sich in Phenol die typische rötliche Lichtbrechung einstellt. Es empfiehlt sich also, bei den entwicklungsgeschichtlichen Untersuchungen zunächst von den in Phenol gemachten Beobachtungen auszugehen.

Benützt man ältere Internodien, bei denen nur noch das Gelenk kieselfrei ist, so wird man in den meisten Fällen nichts weiter beobachten können als die Bestätigung der Tatsache, daß sich die Verkieselung sehr rasch und plötzlich vollzieht. Unmittelbar an das Gelenk, in dem nur ganz vereinzelte Kurzzellen gebildet werden, stoßen sowohl nach oben als nach unten schon vollständig fertige Kieselzellen. Auch an jüngeren Internodien wird man häufig nichts anderes finden. Hie und da hat es den Anschein, als sei die Kieselmasse in einzelnen Fällen viel schwächer lichtbrechend als sonst und von einem mattern Aussehen; aber auch dann ist schon die ganze Zelle erfüllt.

Längere Zeit konnte ich denn auch nichts entdecken, was sicher als eine Entwicklungsstufe hätte bezeichnet werden können, bis endlich ein junges, noch vollständig weiches, etwa 5 cm langes Internodium ganz neue Bilder bot. Während am unteren Ende die Kieselzellen teils noch vollständig kieselfrei erschienen, teils überhaupt erst in Bildung begriffen waren, fand sich über der Mitte eine Zone, in der das Auftreten der Verkieselung deutlich verfolgt werden konnte. Die meisten Kieselzellen zeigten in ihrem Innern bei der Aufsicht einen hell lichtbrechenden Ring, der sich scharf abhob und sich unzweifelhaft als Kieselsäure erwies (Fig. 2 a und b.). Dieses als Ring erscheinende Gebilde hat man sich körperlich als einen Wandbelag vorzustellen. Das Lumen war hell und ließ in diesem Medium keine weiteren Einzelheiten erkennen. Der Kieselring war in seinem ganzen Umfang überall gleich breit; in selteneren Fällen war er noch nach einer Seite und zwar stets gegen die Korkkurzzelle hin offen. Dieselben Bilder fand ich dann im Lauf meiner Untersuchungen noch oft. Geht man am Internodium weiter aufwärts, so lassen sich unter Umständen auch noch weitere Stadien beobachten. Der Kieselring wächst von allen Seiten mehr oder weniger gleichmäßig nach innen, ein immer kleiner werdendes Lumen einschließend. So entstehen Bilder wie Fig. 2 b. Denkt man sich das Vordringen der Kieselmasse von allen Seiten gleichmäßig, so muß bei einer quadratischen Zelle schließlich entweder das ganze Lumen erfüllt werden oder ein einziger Hohlraum übrig bleiben; bei einer longitu-

dinal gestreckten Zelle werden sich die Punkte, wie oben beschrieben, unter Umständen in einer Reihe anordnen. Bei unregelmäßigem Vordringen des Kieselkörpers werden die verschiedensten Gruppierungen zustande kommen können. Der erste Wandbelag, der Kieselring, wird durchweg ringsum annähernd gleichmäßig angelegt, während über die weiteren Stufen der Entwicklung sich nichts Einheitliches aussagen läßt. Meist geht das Vordringen zunächst noch gleichmäßig vor sich, und wird erst zuletzt der noch übrige Hohlraum vollends unregelmäßig ausgefüllt. In anderen Fällen muß man annehmen, daß gleich nach der Ringbildung die Erfüllung des Lumens sich vollends in ungleichmäßiger Weise vollzog. (Fig 16).

Auch Längsschnitte zeigen den ersten Wandbelag, vielfach jedoch nur an den Seitenwänden und an der Innenwand (s. bei *Bambusa nana* Fig. 29). Wie die verschiedenen Bilder (Fig. 5 a—c) zeigen, erhält man auch hier Stadien mit gleichmäßigem und solche mit ungleichmäßigem Vordringen des Kieselkörpers. Von den beiden Seitenwänden rückt er in der Regel einheitlich vor, während die untere Seite fast durchweg der äußeren weit vorseilt. Der Kieselbelag der Außenwand bleibt meist dünn. Der kieselreie Hohlraum, der oft ein feines körniges Gefüge erkennen läßt, rückt so in die obere Hälfte der Zelle und wird erst später mit seinem Kleinerwerden durch die von den Seiten über ihm zusammentreffende Kieselmasse wieder nach unten geschoben. Im Gegensatz zu den Bläschen oder Punkten der fertigen Kieselkörper hat der Hohlraum, solange er noch größer ist, eine grünliche Farbe und ist niemals so scharf umrandet wie diese.

Wie bei den Flächenschnitten trifft man auch hier unter den jüngsten Kieselzellen solche, in denen die Kieselmasse ein viel matteres Aussehen und schwächere Lichtbrechungsintensität besitzt. Es gibt Fälle, wo nur die Kanten deutlich durch ihren roten Glanz erkennbar sind und die eigentliche Kieselmasse selbst fast unsichtbar bleibt. Es scheint, als ob der Kieselkörper erst allmählich seine endgültige Kompaktheit erlangte. Das legt schon hier die Frage nahe, ob die Kieselsäure nicht erst von einer bestimmten Stufe ihrer Ausscheidung an in Phenol erkennbar wird. Denn, wie viele dieser Längsschnitte zeigten, ist ein dünner Kieselbelag von der Fläche gesehen nur durch die Brechung seiner Kanten sicher zu bestimmen. Ähnliches gilt ja, wie schon eingangs bemerkt, von der Cuticula.

Immerhin zeigen uns diese ersten Beobachtungen so viel: der Kieselkörper entsteht nicht etwa im Innern des Lumens, sondern wächst von der Wand aus nach innen und zwar von allen Wänden aus gleichzeitig. Damit wird also schon die Vermutung Wielers, die Entwicklung werde dieselbe sein wie bei den Stegmata der Orchideen, hinfällig.

Wie schon erwähnt, nimmt man in dem von Kieselmasse umschlossenen Hohlraum nicht selten einen körnigen Inhalt wahr. Es liegt natürlich nahe, hiebei an Inhaltsreste, Plasma- und Kernfragmente zu denken. Die in Phenol liegenden Schnitte erlauben aber keinen sichern Schluß; denn außer dem Kieselkörper wird ja alles fast durchsichtig. In manchen Fällen bestanden übrigens einzelne dieser Körnchen, die auch in Phenol deutlich blieben, sicher aus Kieselsäure.

Um über die Natur dieses Hohlraums genaueren Aufschluß zu bekommen, habe ich einen Teil der Mikrotomschnitte auch gefärbt. Das Resultat entsprach den Voraussetzungen, lieferte aber, wenn die Objekte bei der Untersuchung in Nelkenöl oder Canadabalsam lagen, noch viel tiefere Einblicke als die Phenolbehandlung allein. Wo der Hohlraum schon klein war und die Kieselmasse kompakt, trat keine Färbung mehr ein. Wo dagegen die Verkieselung noch weniger weit vorgeschritten war, färbte sich der Inhalt intensiv, während die Kieseldecke ungefärbt blieb. Diese Behandlung bietet im Vergleich zu dem vorigen also ein negatives Verfahren zur Erkennung der Kieselsäure. Die Fig. 6 und 7 a—f zeigen eine ganze Entwicklungsreihe. Das Plasma mit seinem Kern wird von dem vorrückenden Kieselkörper allmählich in die Mitte gedrängt. Zunächst lassen sich Plasma und Kern noch deutlich unterscheiden; sehr bald wird aber eine derartige Unterscheidung unmöglich, und man erkennt nur noch eine gleichmäßig gefärbte Masse. Aus der Lage und Größe derselben läßt sich deshalb ein Schluß auf den jeweiligen Grad der Verkieselung ziehen. Daß es sich bei diesem zusammengeballten Plasma nicht etwa um Plasmolyse handelt, beweisen mehrere Tatsachen. Einmal ist die Form des Plasmas (Fig. 6.7) immer eine so charakteristische und entspricht so genau den Folgerungen, zu denen

uns die Beobachtungen in Phenol gebracht haben, daß die Annahme einer Plasmolyse schon dadurch nicht viel Wahrscheinlichkeit enthält. Sodann sieht man deutlich, daß der Raum zwischen Plasma und Wand nicht „leer“ ist oder nur mit flüssigem Inhalt versehen, sondern daß er tatsächlich durch irgend etwas Festes angefüllt sein muß, durch eine milchweiß lichtbrechende Masse. Daß diese Masse weder in Phenol noch in Nelkenöl oder Canadabalsam die typische Lichtbrechung eines kompakten Kieselkörpers gibt, darf uns nach dem oben Gesagten nicht wundernehmen. Wir müssen uns vorstellen, daß die Kieselsäure hier in einer noch nicht ganz festen Form auftritt, daß ihre Ausscheidung aus der Lösung gewissermaßen noch nicht ganz beendet ist. Daß wir es aber tatsächlich hierbei mit Kieselsäure zu tun haben, beweisen vor allem solche Fälle, wo sowohl gegen die äußerst scharfe Plasmagrenze hin als gegen die Zellwand deutlich der charakteristische, rote Kantenglanz zu beobachten ist (Fig. 7,8). Auf Flächenbildern tritt es noch viel deutlicher hervor, daß der Raum um das gefärbte Plasma herum von einer milchweißen Substanz erfüllt ist, und auch der Kantenglanz fehlt hier fast nie.

Einige Schwierigkeiten bieten nun die Wandverhältnisse. In älterem Gewebe ist die Mittellamelle stets verkieselt und hebt sich dadurch scharf von den Verdickungen der Lang- und Korkkurzzellen ab. Nicht so deutlich ist die Grenze gegen die Kieselzelle. Immerhin läßt sich ihr Verlauf gewöhnlich auch hier verfolgen, und man sieht, daß der Kieselkörper unmittelbar an die Mittellamelle angrenzt. (Fig. 6,18). In jungen Internodien ist dagegen die Mittellamelle nicht verkieselt, auch wenn die Kieselkörper schon vollständig ausgebildet sind. Ihre Verkieselung findet somit jedenfalls erst nach der Erfüllung des Lumens statt; ein genauerer Zeitpunkt läßt sich nicht feststellen.

Der fertige Kieselkörper grenzt also unmittelbar an die aus Pektinverbindungen bestehende Mittellamelle. Andererseits haben wir aber gesehen, daß sich die jungen Kieselzellen, teilweise sogar noch, wenn sie schon im Lumen verkieselt sind, mit Chlorzinkjod blau färben. Meist ist diese Blaufärbung so intensiv, daß sich keine Einzelheiten erkennen lassen. Sie beweist aber unzweifelhaft, daß eine Celluloseanlagerung da sein muß, die 1) verhältnismäßig spät auftritt und 2) bald nach ihrem Auftreten verkieselt; denn die mit Chlorzinkjod gefärbte Zone ist nie sehr groß. Nehmen wir zur Untersuchung einen Schnitt aus der Gelenkgegend eines nicht zu jungen Internodiums. Sind Entwicklungszustände da, so erkennt man sie auch in Wasser einigermaßen; ein milchweiß erscheinender Kieselgürtel von wechselnder Dicke schließt körnige Inhaltsreste ein. Derartige Stadien färben sich in Chlorzinkjod ohne weiteres blau, und zwar meist vollständig, die einen schwächer, die andern stärker. Einzelheiten lassen sich auch hier nicht erkennen. Das erklärt sich daraus, daß eben auch eine obere und eine untere Wand sich mitfärben, so daß die Grenzen gegen das Lumen nicht mehr erkennbar sind. Aus diesen Bildern lassen sich also keine Schlüsse auf die Art der Celluloselamelle ziehen.

Es wurden deshalb alte, stark verkieselte Internodienstücke 6—7 Stunden lang mit Flußsäure behandelt und so ihrer Kieselsubstanz beraubt. Auch jetzt färben sich die Kieselzellen — und zwar nur sie — mit Chlorzinkjod in ihrer ganzen Fläche intensiv blau. Setzt man jedoch das Reagenz langsam zu, so sieht man, wie sich in jeder Zelle eine mehr oder weniger breite Anlagerungslamelle färbt, während das Lumen hell bleibt und sich kurze Zeit lang deutlich von den Wänden abhebt. Wird die Färbung mit Kongorot ausgeführt, so bleiben die Strukturverhältnisse dauernd deutlich. Je nach der Form der Zelle sieht man nun überall ein bald rundliches, bald längliches, bald größeres, bald kleineres Lumen (Fig. 23). Die Verdickungsmasse legt sich in annähernd gleichmäßiger Breite unmittelbar an die Mittellamelle an. Entsprechende Bilder geben Längs- und Querschnitte (Fig. 21,22). Schon in Wasser ist deutlich zu sehen, daß die Verdickungsmasse der Kieselzelle aus einem andern Material bestehen muß als die übrigen Membranen. Am größten erscheint das Lumen bei den Längsschnitten, da es, entsprechend der häufigsten Zellenform, in der Längsrichtung gestreckt ist. Auch hier findet man, daß die Mächtigkeit der Verdickung schwankend ist, an der Außenwand vielfach geringer als an den übrigen Wänden. Da und dort ist die Lamelle zerrissen oder hat sich von ihrer Grundlage abgehoben, was auf die Behandlung mit Flußsäure zurückzuführen ist. Es ist möglich, daß Wieler auf Grund solcher Bilder von einer einseitigen Befestigung der Verdickungsmasse und von Tüpfeln redet. Wo die Epidermis jedoch nicht unter der Flußsäure gelitten hat und in ihrem Zusammenhang erhalten ist, trifft man keine derartigen Störungen.

Wird die Färbung der entkieselten Schnitte mit Safranin ausgeführt, so findet man zunächst merkwürdigerweise in keiner Ansicht etwas von diesen Verdickungen. Nur, wenn man schon um die Sache weiß, sieht man da und dort bei Oberflächenbildern ganz schwache innere Konturen durchschimmern. Die Verdickungsmasse ist also sehr fein und zart (das zeigen ja auch die Risse) und scheint aus reiner Cellulose zu bestehen.

Daraus ergibt sich nun, daß die Verkieselung in einer verschieden breiten Cellulosegrundlage beginnt, die eine Anlagerungslamelle an die ursprüngliche Wand darstellt. Der fertige Kieselkörper besteht also aus zwei verschiedenen Teilen: Membranverkieselung + Lumenverkieselung. Schaut man sich nun nach diesen Ergebnissen die fertigen Kieselkörper noch einmal genau auf die Verdickungslamelle hin an, so sieht man, wie diese noch da und dort schwach durchschimmert. In jung verkieselten Zellen und vielfach auch in den allerältesten der untersten Internodien ist der innere Kontur sogar noch scharf zu erkennen (Fig. 18). Man kann ihn in manchen Zonen deutlich allmählich verschwinden sehen. Bei den fertigen kompakten Kieselkörpern ist dann das ganze Gefüge so homogen, daß sich die Grenze meist vollständig verwischt hat und es aussieht, als stoße ein Lumen-Kieselkörper direkt an die Mittellamelle. Auch hier müssen wir also wohl mit der Annahme rechnen, daß sich die Kieselmasse allmählich verfestigt und verdichtet.

Wie verhalten sich nun diese Resultate zu denen, die uns die Untersuchungen an nicht entkieselten Pflanzen geliefert haben? Und wie haben wir uns den Gang des Verkieselungsprozesses genauer vorzustellen? Wenn wir uns die in Phenol beobachteten Ringbilder nun noch einmal vergegenwärtigen, so liegt es nahe, sie als die verkieselte Celluloseanlagerung zu deuten. Und dieser Deutung steht auch nichts im Wege. Der Ring wird nur dann in Phenol einen deutlichen roten Glanz geben, wenn er nicht zu breit ist und so wie eine Kante wirken kann. Ist er dagegen breiter — und wir haben gesehen, daß die Celluloselamelle ziemlich mächtig sein kann — so wird er, da er ja jedenfalls noch nicht in der endgültigen Stärke verkieselte ist, in seiner Hauptmasse in Phenol schwer zu erkennen sein, und nur seine Ränder werden rote Lichtbrechung zeigen. Das erklärt, warum man in der Zone der beginnenden Verkieselung nicht jedesmal unbedingt Ringstadien findet. Ist diese Erklärung richtig, dann müßten, wenn es Gramineen mit stets schmalen Verdickungslamellen gäbe, bei diesen die Ringbilder regelmäßiger gefunden werden. Wie ich später zeigen werde (S. 21), ist das bei *Sorghum halepense* auch tatsächlich der Fall.

Die Kieselsäure infiltriert also zunächst die Celluloseanlagerung und dringt dann ins Lumen vor. Ist dieses nur noch klein, so findet seine Füllung meist unregelmäßig statt; die fertige Zelle wird also wohl mehrere Bläschen enthalten. Bei größerem Lumen pflegt die Kieselmasse auch weiterhin noch gleichmäßig vorzudringen. Einige der nach Phenolpräparaten gezeichneten Bilder von Entwicklungsstadien (Fig. 5b, 18) zeigen noch stellenweise die Grenze zwischen Verdickung und Lumen deutlich. Solange die Zellulosemembrane nur wenig Kieselsäure enthält, vermag sie mit Chlorzinkjod noch Blaufärbung zu geben. Daß sie das in manchen Fällen auch dann noch tut, wenn im übrigen der Kieselkörper schon ausgebildet ist, spricht dafür, daß hie und da die Verdickung oder wenigstens ein Teil von ihr erst zuletzt kompakt verkieselt, wenn sie nicht mehr als Durchgangsstation für die eindringende Kieselmasse zu dienen hat. Das konnte bei *Panicum plicatum* mehrmals bestätigt werden. Hier habe ich nämlich in Phenol Zellen beobachtet, deren kleines Lumen mit mehreren Bläschen verkieselt war, während die breite Anlagerungslamelle zwar auch schon sicher Kieselsäure enthielt, aber nur das bekannte matte Aussehen mit Kantenglanz hatte. Immerhin sind solche Fälle, bei denen also trotz des zentripetalen Wachstums der Kieselmasse innere Partien eine stärkere Verdichtung oder Kompaktheit zeigen als äußere, verhältnismäßig selten und nur als Ausnahmen zu betrachten. Häufiger ist, daß der äußerste Teil der Verdickung nicht gleich zu Beginn kompakt verkieselt, sondern noch eine Zeit lang Cellulosereaktion gibt.

Verschiedene Beobachtungen machen es wahrscheinlich, daß der Verkieselungsprozeß fast gleichzeitig mit der Anlagerung der Cellulose beginnt, wenn auch zunächst nur schwach, oder ihr jedenfalls sofort folgt. Denn wo immer wir, in Wasser oder Glycerin, das Auftreten der Verdickung verfolgen, zeigt sie gleich zu Anfang jenes eigenartige matte Aussehen von milchweißer Farbe, das nicht etwa

als Charakteristikum der Cellulose selbst aufgefaßt werden darf; denn den entkieselten Zellen fehlt es vollständig. Es scheint also, als bestehe irgend eine Beziehung zwischen der Cellulose und der Kieselsäure.

Was die Bläschen betrifft, so haben wir gesehen, daß dieselben vielfach als Reste des Lumens aufgefaßt werden können und als solche häufig noch einen körnigen Inhalt führen. Sehr oft scheinen sie aber vollständig leer oder höchstens mit Luft gefüllt zu sein. Auch stimmt ihre verteilte Lage nicht immer mit der genannten Annahme überein. Es dürfen also jedenfalls nicht alle Bläschen auf Lumenreste zurückgeführt werden. Ich werde im theoretischen Teil (S. 29) noch einmal darauf zu sprechen kommen.

Auf die beschriebene Art und Weise geht wohl bei *Saccharum officinarum* die Entwicklung weitaus der meisten Kieselzellen vor sich. Doch trifft man da und dort Bilder, die eine andere Erklärung in einzelnen Punkten nötig machen. In Fig. 17 sind eine Anzahl Kieselzellen vereinigt, wie man sie in den untersten kleinen Internodien nicht selten findet, entweder vereinzelt unter normalen Zellen oder aber auch plattenweise auf größere Erstreckungen hin. Die Zelle ist hier nicht von einem homogenen, hellen Körper, sondern, wenn wir einen Ausdruck Grobs gebrauchen wollen, von einer „sandig porösen“, mehr oder weniger dunklen Masse erfüllt. Sie ist entweder grobkörnig und schwarz-rötlich, oder feinkörnig und dann heller. Fast immer ist ein deutlicher innerer Kontur zu sehen, der die Kieselmasse in zwei oft ungleiche Teile teilt. Entweder ist dann der äußere Ring grobkörnig-rötlich und die Mitte feinkörnig-weiß, oder es ist die Schale feinkörnig-weiß und der Kern mehr oder weniger kompakt, meist mit einigen Bläschen. Häufiger sind jedoch die beiden Zonen gleich, oder die Mitte ist porös und der Rand dicht. In den beiden ersten Fällen müßte man sich wieder, wie bei den beschriebenen Zellen von *Panicum plicatum*, denken, daß innere Partien sich weiter verdichtet haben als äußere. Auffallend ist, daß es sich dabei, hier wie dort, um Zellen mit besonders breiten Verdickungsschichten handelt. Mit dem Kompaktwerden der Kieselsäure verliert auch hier der innere Kontur immer mehr an Deutlichkeit, bis er schließlich nur noch ganz schwach durchschimmert oder überhaupt vollständig verschwindet. Wir haben also in diesen Bildern einen besonders klaren Beweis dafür, daß der fertige Kieselkörper aus zwei nach seinen Grundlagen ganz verschiedenen Teilen besteht.

Da diese Verkieselungsweise für *Saccharum* nicht so charakteristisch ist wie für andere Arten, z. B. *Panicum sanguinale*, soll ihre Entstehung erst im Zusammenhang mit diesem besprochen werden und hier der Hinweis auf ihr gelegentliches Vorkommen genügen.

Zu erwähnen ist noch, daß in seltenen Fällen etwas wie Schichtungen in jungen Kieselkörpern beobachtet wurde. Man könnte sich dieselben mit zeitweiligem Stillstand des Verkieselungsprozesses erklären, wodurch derartige Grenzen leicht zustande kommen könnten, sich später aber wie die Grenze zwischen Wand und Lumen wohl meist wieder verwischen würden.

Soweit die Beobachtungen bei *Saccharum!* Wie wir uns nun das Eindringen der Kieselsäure in die Zelle und ihre Ausscheidung daselbst im Genaueren etwa vorstellen können, soll am Schlusse, nach Behandlung der übrigen noch beobachteten Fälle, in einem besonderen, theoretischen Abschnitt erörtert werden.

b) 2. Typus. *Panicum sanguinale*.

Eine sandig-poröse Kieselfüllung, wie sie im letzten Abschnitt für *Saccharum* als Ausnahme beschrieben wurde, findet sich vereinzelt bei den verschiedensten Arten, und die Möglichkeit ihres Vorkommens ist sicherlich nirgends ausgeschlossen. Ich habe sie noch bei *Zea Mays*, *Panicum plicatum*, *Tripsacum dactyloides* u. a. angetroffen, ebenfalls immer in stark verkieselten Partien. Aber während sie hier überall nur von ganz untergeordneter Bedeutung ist und nur eine Ausnahme zu bilden scheint, die jedenfalls auf irgend welchen dort in der Pflanze herrschenden inneren Bedingungen beruht, tritt sie bei den von mir untersuchten Exemplaren von *Panicum sanguinale* in den Vordergrund.

Die Internodien von *Panicum sanguinale* sind verhältnismäßig schwach verkieselt. Das äußert sich vor allem in der geringen Anzahl von Kieselzellen, die gebildet werden. Während z. B. bei *Zea Mays* 800 und mehr Kieselzellen auf den qmm kommen, wird hier ein Maximum von 200 kaum über-

schritten, in der Regel bei weitem nicht erreicht. Dabei muß allerdings berücksichtigt werden, daß die einzelne Zelle viel größer ist als gewöhnlich (vgl. Fig. 9 mit 28). Die vorherrschende eigenartige Zellbildung wurde eingangs erörtert.

Bei einer ersten Untersuchung findet man, daß die meisten Kieselzellen von einer schwärzlichen bis dunkelschwarzen, sandig porösen oder grobkörnigen Kieselmasse erfüllt sind. Höchstens am Rand macht sich ein hellerer, ringförmiger Streifen bemerkbar. Derartige Stadien findet man bis hoch hinauf am Internodium, so daß man zuerst geneigt ist, sie für ein Endstadium zu halten, über das die Verkieselung nicht hinausgeht. Genauere Untersuchungen zeigen aber, daß in den ältesten Geweben die Kieselzellen wie sonst kompakte, nicht sehr stark lichtbrechende Körper enthalten, meist mit mehreren Bläschen. Die sandig poröse Ausfüllung stellt also eine Entwicklungsstufe dar, wie es Grob sich gedacht hat. Die Verkieselung dringt hier nicht gleichmäßig vor, sondern erfüllt wie mit einem Schläge das ganze Lumen mit feineren oder gröberen Körnchen. Die nachträgliche Verdichtung geht jedoch ebenfalls zentripetal vor sich. Daß bei einer derartigen Entstehung schließlich in der Regel mehrere Bläschen übrig bleiben, ist ja ohne weiteres verständlich. Vereinzelt trifft man auch ein Bild (Fig 28 b), das an den später zu besprechenden *Arundo*-Typus erinnert.

Ich habe schon oben betont, daß ich diese sandig-porösen Füllungen bei *Saccharum*, *Panicum plicatum* u. a. nie in jungem Gewebe, sondern stets in alten, stark verkieselten Partien angetroffen habe. Das schließt nun zwar die Deutung derselben als Entwicklungsstufen nicht aus, zeigt uns aber doch, daß sich die Kieselzellen nicht unbedingt vollends ausfüllen müssen, sondern auf der körnigen Stufe stehen bleiben können. Es ist ja freilich möglich, daß schließlich alle sich noch verdichten. Sicher können wir nur sagen, daß sie sich sehr lange auf der sandig-porösen Entwicklungsstufe halten können, wenn auch rings umher schon alles kompakt verkieselt ist. Eine Sonderung der Kieselfüllung in zwei Teile, wie sie bei *Saccharum* beschrieben wurde, fand ich bei *Panicum sanguinale* nicht.

Werden von entkieseltem Material Oberflächenschnitte mit Chlorzinkjod behandelt, so färben sich die Kieselzellen braun-gelb und höchstens nur ganz schwach blau. Dieses Resultat, das nach den Beobachtungen an *Saccharum* zunächst auffällt, wird durch Längsschnitte erklärt. Die Kieselzelle enthält zwar durchweg eine Cellulosemembran, die aber verhältnismäßig dünn ist im Vergleich mit der großen Zelle; an der Innenwand ist sie am dicksten, an der Außenwand fehlt sie jedoch ganz oder ist jedenfalls verschwindend schmal, während dafür die cutinisierte Schicht ziemlich breit ist. Dadurch wird das Aufsichtsbild verständlich.

Auffallend ist auch, daß die alleinstehenden Kurzzellen, die sonst fast ausnahmslos typische Korkkurzzellen zu sein pflegen, alle eine Celluloselamelle besitzen und sich nicht braun färben, auch nicht die stark verdickte und verkorkte Außenwand der Korkkurzzellen haben. Sie können also jedenfalls nicht als solche angesprochen werden, da sie sich auch mit Sudan III nicht oder nur schwach färben. Weil sie andererseits in der Verkieselung nicht über einen Kieselring — der eben der Celluloselamelle entspricht — hinauskommen, kann man sie aber auch nicht als typische Kieselzellen bezeichnen. Ein derartiges Verhalten der allein stehenden Kurzzellen wurde sonst nie beobachtet.

Die Tatsache, daß die Celluloselamelle der Kieselzellen dünn ist und nach außen durch eine gut entwickelte Cuticularschicht ersetzt wird, macht es nun auch verständlich, warum in Phenol nie eine Sonderung des Kieselkörpers in zwei Schichten beobachtet wird, sondern höchstens eine dünne, helle Randlinie.

c) 3. Typus. *Arundo Donax*.

Saccharum officinarum und *Panicum sanguinale* stellen die beiden Endglieder der Entwicklungsmöglichkeiten dar. Zwischen beiden vermittelt die Art und Weise, wie sich die Kieselzellen bei *Arundo Donax* zu entwickeln pflegen. Während wir bei *Saccharum* in frühen Stadien fast immer nur einen großen, zentralen oder der Außenseite genäherten Hohlraum finden, und erst die allerletzte Ausfüllung unter Umständen nicht mehr ganz gleichmäßig vor sich geht, bietet uns die Entwicklung der

Kieselzellen bei *Arundo Donax* ganz andere Bilder. Von einem irgendwie gleichmäßigen Vordringen ist hier nichts zu sehen. Nur der erste Wandbelag, der „Kieselring“, ist auch hier ringsum gleichmäßig angelegt. Aber die weiteren Stadien zeigen keinerlei Einheitlichkeit. Entweder wird nun im Innern ein feinmaschiges Gerüst oder Netzwerk angelegt (wie Grob es sich wohl gedacht hat!), das sich allmählich ausfüllt, oder es werden Kieselbrücken von einer Seite zur andern geschlagen, gerade oder gebogene, die sich dann selbst wieder verzweigen können, oder es dringt die Kieselmasse eine Zeit lang von einer Seite geschlossen vor, so daß ein seitlicher Hohlraum entsteht usw. usw. Eine Reihe von Bildern der verschiedensten Art zeigt Fig. 9. Die Kieselringstadien und großen Hohlräume sind in Phenol von den fertig ausgefüllten Zellen bei verschiedenen Einstellungen gut zu unterscheiden (s. S. 6). Auch hier konnte ich verschiedene Intensitätsgrade der Lichtbrechung beobachten. Zellen, die in Phenol noch keinen deutlichen roten Glanz im Küsterschen Sinne ergaben, färbten sich mit Chlorzinkjod nicht, mußten also doch schon verkieselte Wände haben. Die in Phenol beobachteten seltsamen Entwicklungsbilder konnten übrigens auch mehrfach durch Glühskette bestätigt werden (Fig. 10).

Auch hier schreitet also die Verkieselung von den Wänden ins Innere vor, nur in einer ganz unregelmäßigen Weise. Von der sandig-porösen Füllung unterscheidet sich diese vor allem dadurch, daß die Kieselmasse immerhin noch mehr oder weniger zusammenhängend ist. Man findet höchstens einzelne kleine, im Lumen liegende Kieselkörnchen. Übergänge nach beiden Seiten, zu *Saccharum* und zu *Panicum sanguinale* hin, können leicht gefunden werden. Von einem feinmaschigen Netzwerk zu einer körnigen Masse ist es z. B. kein großer Sprung.

An entkieseltem Material wurde überall eine deutliche Celluloselamelle gefunden, die zwar nie eine derartige Mächtigkeit erlangt wie bei *Saccharum*, aber doch breiter ist als bei *Panicum sanguinale*. Daß der Kieselring auch hier nichts anderes darstellt als die verkieselte Cellulosemembrane, zeigt die gleiche Lage und Breite beider aufs deutlichste und erhellt auch durch die Tatsache, daß Kieselringstadien keine oder nur noch ganz schwache Cellulosereaktion geben.

Ein Teil des entkieselten Materials — und zwar stammte dieser Teil durchweg von einem und demselben Stock — lieferte mir jedoch ganz andere Resultate. Mit Chlorzinkjod färbten sich die Kieselzellen hier nämlich in jeder Ansicht braungelb und gaben höchstens einen schwach blauen Schimmer. Eine Verdickung, die der Celluloseverdickung entsprach, war da, gab aber deutlich Holzreaktion. Offenbar war also in diesem Falle die Verkieselung so spät eingetreten, daß die ursprüngliche Celluloselamelle vorher noch verholzte. Spuren von Cellulose waren in der verholzten Membran noch da und dort zu beobachten. Diese Wandanlagerung verkieselte nun aber genau so wie sonst die Celluloseverdickung, denn die fertig verkieselten Zellen, die nicht mit Flußsäure behandelt worden waren, gaben nicht die Spur einer Holzreaktion. Da mir derartige verholzte Wände im Lauf meiner Untersuchungen jedoch nur einmal begegneten, handelt es sich hierbei wohl nur um einen Ausnahmefall.

Auch bei *Arundo Donax* wurden Zellen gefunden, deren Lumen zwar schon mit Kieselsäure erfüllt war, wo aber die Konturen der Verdickung noch durchschimmerten. Die Kieselmasse ist dann in solchen Fällen nur schwach lichtbrechend.

d) Übersicht über eine Reihe weiterer Arten.

Nach einem dieser drei Typen entwickelten sich alle von mir untersuchten Kieselzellen. Die Sache verhält sich nun aber nicht etwa so, als ob jede Art nach dem Entwicklungsgang ihrer Kieselzellen einem der drei Typen untergeordnet werden könnte. Vielmehr findet man bei den allermeisten Arten zwei, in vielen Fällen alle drei Entwicklungsmöglichkeiten vereinigt, wengleich, wie wir ja sahen, in der Regel die eine die vorherrschende ist. Bei *Saccharum* wurden neben der normalen gleichmäßigen Entstehung des Kieselkörpers ausnahmsweise auch sandig-poröse Füllungen gefunden, und deshalb, weil ich an diesem Objekt nie ein Stadium des *Arundo*-Typus beobachtet habe, läßt sich die Möglichkeit eines solchen Vorkommens nicht unbedingt ausschließen. Ebenso wurden bei *Panicum*

sanguinale zwar keine *Saccharum*-, aber vereinzelt *Arundo*-Bilder gefunden. Dazu kommt noch, wie wir gleich sehen werden, daß diese „Typen“ nichts unbedingt Feststehendes bezeichnen. Übergänge führen vom einen zum andern, so daß sich noch zahlreiche „Zwischentypen“ einführen ließen.

Um das noch deutlicher zu machen, soll die Entwicklung der Kieselzellen noch kurz an zwei Arten beschrieben werden: 1) an *Zea Mays* und 2) an *Bambusa arundinacea*, das als Vertreter der Gramineen mit keilförmigen, nach unten verengten Kieselzellen gelten kann.

1. *Zea Mays*.

Schon die fertigen Zellen von *Zea Mays* zeigen die verschiedensten Formen; der Kieselkörper hat meist ein unregelmäßiges Gefüge, so daß stets scharf lichtbrechende Kanten vorhanden sind, die durch ihr Einbiegen an abgerundeten Stellen Lücken in der Wand vortäuschen (Fig. 3). Durch Ausbiegen der Cuticula und der äußersten Wandpartien kommt auch hier meist ein biskuitförmiges Bild zustande. Die untere Wand besitzt nicht selten eine Leiste oder andere Unebenheiten.

Die Entwicklungsstufen erinnern bald an *Saccharum* (Fig. 4 a, 13, a, b), bald an *Arundo Donax* (Fig. 4 c, 13 a, 14, 15), bald endlich an *Panicum sanguinale*. Bald findet man einen einzigen Hohlraum in verschiedener Größe und Lage, bald mehrere, ungleich verteilte und ungleich große, bald eine sandig-poröse Masse. Manche Bilder könnte man auch als eine Zwischenstufe zwischen *Saccharum* und *Arundo* bezeichnen, und es sind dies gerade die am häufigsten vorkommenden (Fig. 13 b, 14). An *Saccharum* gemahnen sie dadurch, daß die Kieselmasse wenigstens insofern regelmäßig vordringt, als die Inhaltsreste zunächst nur einen Hohlraum bilden. Meist bedingt es dann aber schon die Form der Zelle, daß im weiteren Verlauf sich mehrere kleine Löcher bilden. Auch das Vordringen selbst geschieht schon am Anfang unregelmäßiger als bei *Saccharum*. Immerhin stehen solche Bilder diesem näher als *Arundo Donax*. Nicht selten findet man auch in derselben Zelle zwei Entwicklungsarten kombiniert, so zwar, daß ein kompakter, schon ziemlich breiter Kieselmantel einen Hohlraum einschließt, der mit sandig-poröser Kieselmasse erfüllt ist (Fig. 14). Ein derartiger Fall kann natürlich auch anders aufgefaßt werden, nämlich so, daß der Kieselmantel nicht von Anfang an dicht war, sondern zuerst porös wie das Innere. Dann würde also die ganze Zelle eine sandig-poröse Füllung mitten in ihrem zentripetal vorwärts schreitenden Verdichtungsprozeß darstellen. Wendet man Plasma färbende Mittel an, so gelingt es nicht selten, Zellen zu finden, in denen sich der Inhalt deutlich gefärbt hat, hie und da sogar noch mit Differenzierung von Plasma und Kern, während andererseits eine oder mehrere stark lichtbrechende Kanten das Vorhandensein von Kieselsäure anzeigen (Fig. 13). Man kann so wie bei *Saccharum* auch hier nach der Lage und Menge des Inhaltsrestes eine ganze Reihe für die Entwicklung des Kieselkörpers aufstellen (Fig. 13). Kieselringstadien sind nicht selten. Der Ring kann nach der oder jener Seite noch offen sein, was aber wohl nur mit einem schwächeren Grad der Verkieselung zusammenhängt und nicht mit einer Lücke in der Verdickung.

Mit diesem Kieselring stimmen die Befunde an entkieseltem Material vollständig überein. Man trifft überall als Grundlage des Kieselkörpers eine Celluloselamelle an, die ziemlich mächtig ist, aber doch noch ein deutliches Lumen freiläßt und nie die Mächtigkeit erreicht wie bei *Saccharum*. Sie ist sogar in Chlorzinkjod selbst, worin sonst fast alle Schnitte bald undeutlich werden, lange scharf zu erkennen. Wo der Querschnitt durch Parenchym geht (Fig. 24), hebt sich die Kieselzelle als einzige verdickte Zelle sofort von dem übrigen Gewebe ab. Wie bei den bisher besprochenen Arten ist auch bei *Zea Mays* die Anlagerungslamelle da und dort selbst in den verkieselten Zellen noch zu erkennen.

2. *Bambusa arundinacea*.

Bambusa arundinacea hat, ebenso wie auch *Bambusa nana*, sehr kleine, nach unten verengte Kieselzellen (Fig. 29). Die Innenwand ist verschieden lang. Durch schiefes Schneiden erhält man oft Bilder, bei denen die Kieselzelle nicht bis zum Grunde der Epidermis herabreicht, sondern schon in

halber Höhe oder noch höher auskeilt. Bei beiden Arten wurden Kieselringstadien in Flächen- und Längsansichten nicht selten gefunden (Fig. 29). Was die weitere Entwicklung des Kieselkörpers betrifft, so liegt es schon an der Form der Zelle, daß sie nicht ohne weiteres einem der drei Typen untergeordnet werden kann. Sandig-poröse Stadien habe ich allerdings nicht gefunden. Im Übrigen ist es bei der Kleinheit der Zelle schwer zu sagen, ob der Kieselkörper mehr nach dem *Saccharum*- oder mehr nach dem *Arundo*-Typus wächst. Denn schon beim Kieselringstadium ist das leere Lumen so klein, daß weitere Stadien schwer zu konstatieren wären und auch nicht beobachtet wurden; schon der nächste Schritt der Verkieselung muß die Zelle ja bis auf einige sehr kleine Bläschen ausfüllen. Die exzentrische Lage vieler dieser Bläschen macht es immerhin wahrscheinlich, daß *Bambusa* seine Kieselmasse jedenfalls nicht so gleichmäßig vordringen läßt wie *Saccharum*. Man könnte also, wollte man wirklich jede Art irgendwo einreihen, am ehesten an den schon bei *Zea Mays* aufgestellten Zwischentypus denken.

Bei den übrigen Arten mit verengten Kieselzellen, wozu eine große Anzahl unterer Wiesengräser gehört, ist die Zelle nicht so klein. Und auch hier erhält man dasselbe Resultat. Der Kieselkörper entwickelt sich nicht so gleichmäßig wie bei *Saccharum*, aber auch nicht so sprunghaft wie bei *Arundo Donax*.

Entkieselte Schnitte wurden von *Bambusa arundinacea* und von *Phleum Boehmeri* untersucht. Beide ergaben dasselbe. Erst bei intensiver Behandlung mit Chlorzinkjod zeigte die Kieselzelle eine schwache Blaufärbung, und nur in wenigen Fällen wurde eine sehr feine Celluloselamelle selbst beobachtet. Dort, wo nur eine allgemeine schwache Färbung eintritt, müssen wir uns die Verdickung als ein äußerst feines Häutchen vorstellen. In manchen Fällen scheint sie auch ganz zu fehlen; wenigstens war dann eine sichere Blaufärbung nicht zu bekommen. Das zeigt also, daß der Kieselring nicht unbedingt und jedenfalls nicht in seiner ganzen Breite eine organische Grundlage besitzen muß.

3. Andere untersuchte Arten.

Alle andern untersuchten Arten zeigten nichts wesentlich Neues. Zwischen den drei Typen bestehen, wie schon gesagt, alle möglichen Übergänge. Es scheint mir deshalb auch nicht unwahrscheinlich, daß unter Umständen z. B. bei *Panicum sanguinale* die ganze Entwicklung sich vielleicht einmal nach dem *Arundo*-Typus hin verschieben könnte, oder umgekehrt bei irgend einer andern Art das dort sonst seltene sandig-poröse Stadium in den Vordergrund treten könnte. Wieweit hier äußere Einflüsse mitspielen, müßte noch experimentell festgestellt werden. Eine gewisse Grenze in dieser Verschiebbarkeit müßte jedoch, wie mir scheint, durch die Dicke der Celluloselamelle gegeben sein; ich werde darauf im theoretischen Teil noch einmal zu sprechen kommen.

Um zu zeigen, wie die eben dargestellten Typen immer wieder auftreten und wie sie sich auf die verschiedenen Gräser verteilen, mögen hier zunächst noch einige Beobachtungen an einer Reihe von Arten, wie sie mir gerade vorlagen, angeführt werden.

Einen ähnlichen Entwicklungsgang wie *Zea Mays* zeigt das verwandte *Tripsacum dactyloides*, vielleicht mit etwas mehr Annäherung an *Arundo Donax*. *Coix Lacrymae* stimmt in Form, Verteilung und Entwicklung der Kieselzellen auffallend mit *Zea Mays* überein.

Von den *Andropogoneen* hat *Sorghum halepense* im Gegensatz zu *Saccharum* nur eine dünne, aber immerhin noch gut kenntliche Celluloseverdickung. Damit hängt zusammen, daß bei dieser Art, wie schon erwähnt, Ringbilder häufig sind. Die Entwicklung des Kieselkörpers geht im übrigen genau wie bei *Saccharum* vor sich. Dagegen weicht *Andropogon Schimperii* schon in der Verteilung wesentlich von dem letzteren ab, indem es fast nur Korkkurzzellen bildet. Die wenigen Kieselzellen, die ich beobachtet habe, zeigten zwar keine neuen Bilder, genügten aber doch nicht, um über den Entwicklungsgang genauen Aufschluß zu geben.

Panicum plicatum zeigt einerseits feinkörnige, poröse Kieselfüllungen mit allen Stadien der allmählichen Verdichtung (Fig. 19), andererseits breite Kieselringe mit einzelnen Kieselbrocken im

Innern (Fig. 20). Auch die bei *Saccharum* beschriebenen grobkörnigen Füllungen mitten im stark verkieselten Gewebe habe ich hier wiedergefunden, ebenfalls mit deutlicher Differenzierung von Wandverdickung und Lumen. Daß die im Kieselkörper sichtbare Grenze tatsächlich der Wand entspricht, zeigten entkieselte Schnitte. Die Verdickung ist hier außerordentlich scharf ausgeprägt und bleibt auch in Chlorzinkjod deutlich sichtbar. Sie hat genau dieselbe Dicke wie der äußere Ring des Kieselkörpers, bleibt aber dünner als bei *Saccharum*.

Uniola latifolia zeigt dieselben Bilder wie *Saccharum* (vgl. Fig. 6 und 7); bei Färbungen tritt das gefärbte Plasma scharf hervor gegen eine umgebende weißlich lichtbrechende Masse, die sowohl an der Wand, wie gegen das Plasma einen deutlichen roten Kantenglanz zeigt und sich so sicher als Kieselsubstanz ausweist. Auch Kieselringe und unregelmäßigere Bilder habe ich bei *Uniola* gefunden (Fig. 25). Die Celluloselamelle ist von mäßiger Dicke und an entkieseltem Material schon in ungefärbtem Zustand deutlich erkennbar.

Alopecurus pratensis, *Phleum pratense*, *Festuca arundinacea*, *Poa pratensis*, *Elymus sibiricus*, *Triticum caninum*, *Avena sativa*, *Hordeum distichum* und viele andere lassen sich am ehesten zu *Bambusa* stellen. Diese Aufzählung zeigt, daß aus der Verwandtschaft weder auf die Form der Kieselzelle noch auf die Art der Verkieselung ein Schluß gezogen werden darf. Denn die genannten Arten gehören den verschiedensten *Tribus* an; andererseits hat z. B. das zu den *Festuceae* gehörende *Arundo Donax* keine keilförmigen Zellen.

Überblicken wir noch einmal diese Resultate, so können wir als gemeinsame Merkmale der verschiedenen Verkieselungsmöglichkeiten feststellen: Zentripetales Vordringen oder wenigstens Verdichten der Kieselmasse, erste Anlage der Verkieselung in einer Celluloseverdickung von sehr wechselnder Mächtigkeit (Maximum bei *Saccharum*, Minimum bei *Phleum*, *Bambusa* u. a.), im übrigen Lumenverkieselung.

C. Die Verkieselungen der übrigen Epidermiselemente.

Zunächst muß hier auch die Verkieselung anderer Epidermiselemente, soweit sie für unsre Fragen von Interesse ist, kurz besprochen werden.

Die Wände der Korkkurzzellen enthalten, wie schon erwähnt, stets etwas Kieselsäure; aber meist verkieselt nur die Mittellamelle, so daß diese Zellen mit Sudan III noch Reaktion geben. Nur bei älteren Internodien von *Zea Mays* hatte auch eine zwei Tage lange Einwirkung dieses Farbstoffes nicht den geringsten Erfolg mehr. Hier hatte die Verkieselung also auch die verkorkten Schichten ergriffen. Immerhin bewahrheitet dies die alte, schon von Krüger ausgesprochene Ansicht, daß verkorkte (und verholzte) Wände schwerer verkieseln als reine Cellulosemembranen. Wie schon bemerkt, trifft man die ersten Spuren einer Verkieselung in den Primärwänden der Korkkurzzellen, und zwar greift sie von der Außenwand auf die Seitenwände über, jedoch meist nicht bis zum Grunde; die Innenwand bleibt in der Regel unverkieselt.

Verkieselung im Lumen der Korkkurzzellen trifft man da und dort zerstreut in den ältesten Internodien. In der Regel sind es dann keine kompakten, sondern grobkörnige Kieselmassen, die die Zelle mehr oder weniger anfüllen. Eine gleichmäßigere Entstehung von der Wand aus, bei der sogar Ringstadien beobachtet werden können, findet man in den unteren, immer sehr stark verkieselten Internodien von *Arundo Donax*. Die Korkkurzzellen sind dann im fertigen Zustand so kompakt verkieselt, wie die Kieselzellen. Der Prozeß geht hier außerordentlich rasch vor sich, Entwicklungsstadien findet man sehr selten. Damit hängt es wohl auch zusammen, daß den Kieselkörpern der Korkkurzzellen die typischen, dunkel umrandeten Bläschen stets fehlen. Die zwischen Kiesel- und Korkkurzzelle gelegene Wand verwischt sich nie, so daß die beiden Zellen stets scharf von einander getrennt bleiben. Eine Cellulosegrundlage ist hier nicht vorhanden; dagegen ist es wahrscheinlich, daß der erste Kieselbelag, der Ring, der verkorkten Verdickungsschicht entspricht.

Auch bei den Langzellen ist Membranverkieselung in der Außenwand häufig, beschränkt sich aber in den von mir untersuchten Fällen auf die Cuticula und einen kleinen Teil der Cuticularschichten. Auf die Radialwände greift sie im allgemeinen nicht über; nur in den ältesten Internodien sieht man auch hier den obersten Teil der Mittellamellen verkieselt. In die Längswände werden, wenigstens bei *Arundo Donax*, größere oder kleinere Kieselzapfen durch die Verdickungsmassen der Außenwand hindurch eingelassen. Eine Verkieselung der Holzverdickungen, wie sie Wieler für *Saccharum* angibt, habe ich nicht beobachtet.

Für das Studium der Inhaltsverkieselung in den Langzellen, die sich bei alten Gräsern weit verbreitet findet, bieten wiederum die untersten Internodien von *Arundo Donax* ein besonders günstiges Material. Da die verholzten Verdickungsmassen nicht mitverkieseln, stellt der Kieselkörper einen regelrechten Ausguß dar. An seiner Aussenseite lassen sich vielfach kleine Spitzen und Stacheln beobachten. Auch hier konnte ich in Phenol deutlich verschiedene Intensitätsgrade der Lichtbrechung unterscheiden. Wie die Entwicklung vor sich geht, zeigt Fig. 12. Daß die Kieselmasse so unregelmäßig von der Wand ins Innere dringt, ist bei der Größe und Gestalt der Zellen leicht verständlich. Die Korkkurzzellen sind ihrem kleineren Umfang entsprechend vor den Langzellen ausgefüllt. Da Bläschen nur äußerst

selten angetroffen werden, darf man annehmen, daß auch hier die Verkieselung sehr rasch, geradezu überschwemmungsartig, vor sich geht. Die Verkieselung der Bambuseenlangzellen habe ich nicht studiert.

Zuletzt mag noch ein spezieller Fall besprochen werden. Bei *Campanula persicifolia* hat Heinricher eigentümliche, kegelförmige Gebilde beobachtet, die stets verkieselt sind, und hat sie als reduzierte Haare beschrieben. Ähnliche Zellen, die durch die Art und Weise ihrer Verkieselung recht auffallend werden können und die meines Wissens noch nicht beschrieben worden sind, habe ich bei verschiedenen *Phleum*-Arten (*Phleum pratense*, *Boehmeri* u. a.) gefunden, besonders im oberen Teil der Internodien. Sie kommen über den subepidermalen Bastrippen und über der Grenze zwischen Bast und Parenchym vor und erscheinen, von oben gesehen, oval. In älterem Gewebe sind sie bis in die Tüpfelkanäle der stark verdickten Seitenwände hinein verkieselt, wodurch die Kieselfüllung ein stacheliges Aussehen bekommt (Fig. 32a). Die Seitenwände sind nicht verkieselt. Längsschnitte zeigen, daß es sich bei dieser Zelle um eine Art Papille handelt, die sich kegelförmig nach außen und halbmondförmig nach innen wölbt. Der aufgesetzte Kegel ist ziemlich flach. Die Wölbung nach innen läßt noch ein Lumen frei, das man nur in den ältesten Geweben solid verkieselt findet (Fig. 32b).

Die jüngsten unverkieselten und unverdickten Zellen geben Cellulosereaktion. Sie unterscheiden sich von den Kurzzellen schon früh durch ihre ovale Form und Größe. Auch die Verdickung der Seitenwände und die Wölbung der Außenwand finden bald statt. Sieht man nun von oben auf die mit Chlorzinkjod gefärbte Zelle, so erkennt man in der blauen Grundfläche noch einen tiefblauen Fleck, der der Kegelspitze entspricht.

Die Verkieselung beginnt zu einer Zeit, wo die gleichaltrigen Kieselzellen schon verkieselt sind. Zuerst wird die Kegelspitze davon ergriffen, und von dort schreitet der Prozeß nach innen vorwärts, bis schließlich die ganze Verdickungsmasse der Außenwand verkieselt. Der innerste Teil der Außenwand verholzt nicht selten und widersteht dann der Verkieselung länger. Erst ganz zuletzt und nicht immer werden auch das Lumen und die Tüpfelkanäle ausgegossen. Nach der Entkieselung färbt sich die gesamte vorher verkieselte Verdickungsmasse der Außenwand mit Chlorzinkjod tiefblau.

Diese eigentümlichen Zellen wurden nur bei *Phleum* in typischer Ausbildung gefunden; ganz vereinzelt habe ich noch bei *Alopecurus* ähnliche Gebilde angetroffen. Für unsern Fall ist es besonders von Wichtigkeit daß auch hier Cellulose die Grundlage der Verkieselung bildet und daß in jungen Geweben neben den Kieselzellen diese „Papillen“ die einzigen Zellen sind, die Cellulosereaktion geben.

Ehe ich nun zu einer theoretischen Erörterung des ganzen Verkieselungsprozesses übergehe, muß ich meine Beobachtungen an dem in kieselfreier Nährlösung gezogenen Material besprechen, da diese einiges Licht werfen auf die Frage nach der Art und Weise der Kieselsäureausscheidung.

V. Beobachtungen an kieselfrei gezogenem Material.

Schon Sachs hat Maispflanzen in kieselsäurefreien Nährlösungen großgezogen, um die Entbehrlichkeit der Kieselsäure darzutun, ebenso gleichzeitig mit ihm Knop. Beiden war es nur um die physiologische Seite des Versuchs zu tun. Und auch Grob, der einige Blätter eines solchen Versuchsexemplars untersucht hat, verdanken wir nur die Mitteilung, daß er Kieselsäure ausschließlich an den Randpartien gefunden habe, während die übrigen Kieselzellen zwar ihre Form beibehielten, aber keine Kieselkörper zeigten. Stahl hatte bei seinen Versuchen nur biologische Gesichtspunkte im Auge (Schneckenfraß). Von Interesse ist es aber vielleicht noch, daß Wolff für eine in gewöhnlicher Nährlösung in Kulturgläsern gezogene Maispflanze 2% Si O₂ in der Aschensubstanz angibt, während im normalen Maisstroh 25—30% Si O₂ im Mittel vorhanden sind.

Ich habe meine Versuchsexemplare von *Zea Mays* ebenfalls in der gewöhnlichen Knopschen Nährlösung gezogen. Die dazu benützten Kulturgläser wurden aber durchweg innen mit Paraffin ausgekleidet, so daß sich von der Glaswand nichts lösen konnte. Irgend welche Kieselsäure in den Versuchspflanzen konnte also nur herrühren 1) vom Samen, der nach Wolff in seiner Aschensubstanz 2%, im Maximum 5% Si O₂ enthält, 2) in ganz geringen Mengen aus der Nährlösung, die in Glasgefäßen aufbewahrt worden war und 3) ev. auch noch aus dem benützten destillierten Wasser.

Sieht man nun einen Oberflächenschnitt etwa aus der Mitte eines größeren Internodiums von einer so gezogenen Maispflanze an, zunächst in Wasser, so fällt sofort auf, daß die Kieselzelle keinen Kern und kein Plasma mehr enthält, sondern von einer homogenen weißlichen Masse erfüllt ist, unter der man sich nichts anderes als Kieselsäure vorstellen kann. Geht man am Internodium abwärts bis zum Gelenk oder nimmt man ein jüngeres Internodium vor, so zeigt es sich, daß diese Ausfüllung schon ziemlich bald auftritt, jedenfalls nicht viel später, als bei normalen Pflanzen die Verkieselung einsetzt. Im Gegensatz zu den bisher beobachteten fertigen Kieselzellen hat hier die Füllungsmasse ein viel matteres, weiches Aussehen; die typischen dunkel umrandeten Bläschen vermißt man überall fast vollständig. Dagegen erkennt man stets in den Ecken die rötlich lichtbrechenden gebogenen Kanten, die einen Bruch der Membran vortäuschen und die für Verkieselungen außerordentlich charakteristisch sind.

Untersucht man nun einen derartigen Schnitt in Phenol, so hat es zunächst den Anschein, als sei überhaupt keine Verkieselung da. Einem kompakten, stark lichtbrechenden Kieselkörper begegnet man nirgends. Hie und da sieht man die besonders hell glänzenden Kanten und bei längerem genauem Beobachten erkennt man, daß auch im Innern irgend etwas da ist.

Mit Chlorzinkjod färben sich alle Kieselzellen tief blau; nur in den ältesten Internodien ist die Färbung schwächer. Die jüngsten Zellen mit Plasma und Kern färben sich auch hier nicht, bestehen also wohl in der Hauptsache aus Pektinverbindungen. Setzt man das Chlorzinkjod in den älteren Zellen langsam zu, so sieht man, wie sich zunächst nur ein mehr oder weniger breiter innerer Wandbelag färbt und ein helleres Lumen frei bleibt. Wir haben es also auch hier mit einer sekundären Celluloseanlagerung an der ursprünglichen Wand zu tun.

Daß es sich hier tatsächlich um Kieselsäure handelt, zeigen schon die eigentümlich lichtbrechenden Kanten. Cellulose allein, ohne irgendwelche Einlagerung oder Durchträngung, kann nicht

in Betracht kommen. Denn behandelt man dieses „kieselfrei“ gezogene Material mit Flußsäure, so zeigt die Kieselzelle keinen derartigen Inhalt mehr, sondern gibt nur noch reine Cellulosereaktion. Andererseits zeigt aber sowohl die Untersuchung in Phenol als auch das Verhalten gegenüber Chlorzinkjod, daß man es hier nicht mit dem kompakten Kieselkörper der normal gezogenen Pflanze zu tun hat. Dasselbe zeigt auch das Fehlen der Bläschen, ferner der Umstand, daß kein eigentliches Glühskelett zu bekommen ist.

Ähnliche Bilder sind uns nun aber schon einmal begegnet. Ich erinnere an die Entwicklungsstadien von *Saccharum officinarum* (S. 14) und von *Uniola latifolia* (S. 22). Auch dort hatten wir es mit einer Verkieselung zu tun, die in Phenol nicht hervortrat, die ein milchweißes Aussehen hatte, sich aber durch ihre rötlich lichtbrechenden Ränder sicher als Kieselsäure auswies und nur noch nicht die endgültige Kompaktheit oder Verdichtung besaß. Hier bei den „kieselfrei“ gezogenen Pflanzen scheint nun der Verkieselungsprozeß auf dieser Stufe stehen geblieben zu sein.

Nur an einem einzigen älteren Internodium am obersten Ende fand ich ihn noch etwas weiter vorgeschritten. Die betreffenden Zellen enthielten zwar auch keinen kompakten Kieselkörper, aber sie zeigten deutliche Ringbildung mit intensivem Glanz. Mit Chlorzinkjod gaben sie keine Blaufärbung mehr. Der Ring mußte also unbedingt der Celluloselamelle entsprechen. Diese war der erste Teil der Zelle, der solid verkieselte, und blieb auch, soweit meine Untersuchungen reichten, der einzige.

Um in diesen älteren Partien, wo die Verkieselung noch am stärksten ist, einen möglichst genauen Einblick in die Struktur der Zelle zu bekommen, habe ich sie in verdünnte Salzsäure gelegt. Dann tritt häufig die Grenze zwischen Verdickung und Lumen, auch wo sie vorher nicht sichtbar war, scharf und deutlich hervor. Auf kompakte Kieselkörper übt Salzsäure dagegen keine Einwirkung mehr aus.

Daß die Kieselsäure irgendwo durch Calciumkarbonat ersetzt gewesen wäre, wie v. Höhnel es bei *Lithospermum arvense* beobachten konnte, habe ich nie gefunden, selbst nicht bei den Versuchsexemplaren, deren Nährlösung Calcium im Überschuß zugefügt worden war.

VI. Theoretischer Teil.

Die Kieselsäure kann nur in löslicher Form von den Wurzeln aufgenommen und durch die Pflanze geleitet werden, sei es nun als freie Säure oder als Alkalisilikat. Die Frage, in welcher dieser beiden Formen nun die Aufnahme geschieht, ist zwar schon behandelt, aber nicht gelöst worden. Eine rein experimentelle Lösung ist schon deshalb derzeit kaum zu geben, weil Natrium- oder Kaliumsilikat keiner der bekannten Nährlösungen hinzugefügt werden können, ohne daß ein unlösliches Silikat (Ca oder Mg) ausfiele. Der erste, der sich mit der Aufnahme der Kieselsäure beschäftigte, Lange (1878) nahm an, daß es sich nur um eine sehr verdünnte Kieselsäurehydratlösung handeln könne. Dem gegenüber schließt Kohl aus dem von ihm beobachteten Parallelismus zwischen Kalium- und Siliciumgehalt in der Asche, daß vielmehr die Kieselsäure häufig als Kaliumsilikat aufgenommen wird. Daß das aber höchstens „häufig“ und nicht ausschließlich der Fall sein kann, zeigen schon die Analysen, die Kohl selbst von *Arundo phragmites* gibt; denn während das eine Mal auf 36,19% Si O₂ 18,02% K₂O kommen, entsprechen in einem andern Fall 77,7% Si O₂ 13,3% K₂O. Außerdem ergibt eine einfache stöchiometrische Berechnung, daß bei dieser Annahme das Verhältnis der beiden Elemente zu einander ein ganz anderes sein müßte, nämlich Si O₂ : K₂O = rund 1 : 3.

In ihrem weiteren Verlauf durch die Leitungsbahnen der Pflanze kann die Kieselsäure nur dann festgestellt werden, wenn sie sich in den Gefäßbündeln oder sonstwo im inneren Gewebe in fester Form ausscheidet. In den meisten Fällen findet jedoch die Ablagerung bekanntlich erst in der Epidermis statt.

Bei dem Eindringen der gelösten Kieselsäure in die Kieselzelle haben wir nun drei Möglichkeiten zu beachten. Die Kieselsäurelösung kann entweder durch die semipermeable Plasmahaut hindurch diffundieren und so die ganze Zelle ausfüllen, oder aber sie vermag das nicht und bewirkt also Plasmolyse. Eine dritte Möglichkeit ist: die Kieselsäure kommt überhaupt nicht in gelöster Form ins Innere, sondern scheidet sich sofort nach dem Durchtritt durch die Zellwand in fester Form aus und drängt dann so den Zellinhalt allmählich in der Mitte zusammen.

Die Hauptschwierigkeit bei der Untersuchung dieser Fragen ist nun die, daß sich das Vorhandensein der Kieselsäure nicht feststellen läßt, solange sie noch in Lösung ist, sondern erst, wenn ihre Ausscheidung eine gewisse Stufe erreicht hat. Eine weitere Schwierigkeit bietet die Feststellung der Plasmolyse bei den jungen Zellen; denn, wie schon erwähnt, besitzen diese einen sehr großen Kern und wenig Plasma, welches letztere außerdem schwer kenntlich ist.

Untersuchungen in dieser Richtung ergaben immerhin folgendes: In Zellen, die direkt vor der Verkieselung standen, bei denen also am ehesten das Vorhandensein von gelöster Kieselsäure angenommen werden kann, wurde nirgends Plasmolyse beobachtet; sie konnte jedoch durch Zusatz von Salzlösungen eingeleitet werden. Eine Zusammendrängung des Plasmas zeigte sich immer erst, wenn die Kieselsäure anfang, sich in einer festeren Form auszuschcheiden (s. die Bilder von *Saccharum*). Damit wäre also die zweite der obengenannten Möglichkeiten ausgeschlossen. Die Kieselsäure kann, falls sie überhaupt als Lösung in die Zelle kommt, jedenfalls durch das Plasma ins Innere hindurch diffundieren.

Es handelt sich also nur noch darum, ob sie flüssig ins Innere der Zelle gelangt, oder sich sofort von der Wand aus in fester Form ausscheidet. Die Kieselmasse, die wir bisher in ihrem Vordringen verfolgt haben, war nicht mehr flüssig. Aber wir haben gesehen, verschiedene Anzeichen sprechen dafür, daß der Grad ihrer Festigkeit nicht immer derselbe ist, daß der Kieselkörper während seiner Entwicklung sich offenbar erst allmählich verdichtet. In den jungen Kieselzellen und namentlich bei dem kieselfrei gezogenen Material hat die Kieselmasse oft ein so gleichmäßiges, mattes Aussehen, daß man sie als dickflüssig oder gallertartig bezeichnen könnte. Dafür nun, daß die Kieselsäure in gelöster Form in die Zelle eindringt und sie als dünne Lösung zunächst ganz erfüllt, sprechen verschiedene Tatsachen. Um zunächst bei den Gramineen zu bleiben, so läßt sich die sandig-poröse Ausfüllung der Kieselzellen nicht gut anders erklären als dadurch, daß man annimmt, das ganze Lumen der betreffenden Zelle sei vorher von einer Kieselsäurelösung erfüllt gewesen, die sich dann aus irgend einem Grunde mit einem Schlage ausgeschieden hat. Dasselbe gilt für zahlreiche andere Kieselkörper, wie sie bei den Orchideen (Stegmata), Chrysobalaneen u. a. beschrieben worden sind, namentlich für alle zentrifugal wachsenden. Hier treten die ersten kleinen Kieselkörnchen auf, solange noch Kern und Plasma vorhanden sind, solange die Zelle also noch am Leben ist. Die Kieselsäurelösung muß also durch den Plasmaschlauch diffundiert sein — entweder als Alkalisilikatlösung oder als gelöste Kieselsäure.

Nehmen wir an, es handle sich um eine reine Kieselsäurelösung, so müssen wir dabei wieder zwei Möglichkeiten ins Auge fassen. Die Kieselsäure ist in Wasser nur in ganz geringem Maße löslich; selbst kohlen säurehaltige oder heiße Gewässer, bei denen die Löslichkeit noch am größten ist, enthalten nach Knop höchstens 3—5 Zehntausendstel ihres Gewichtes an Kieselsäure. Daß eine derartig verdünnte Lösung durch die semipermeable Plasmahaut diffundiert, läßt sich ebenso wie für eine verdünnte Silikatlösung ohne weiteres vorstellen. Bei dem enormen Wasserverbrauch einer Pflanze könnte man sich auch denken, daß diese Kieselsäuremenge zur Bildung der Kieselkörper genüge.

Die Kieselsäure könnte nun aber auch in kolloider Lösung in die Zelle gelangen und damit in einer erheblich größeren Menge. Es fragt sich nur, ob die Plasmahaut auch für eine solche Lösung durchlässig wäre. Die neusten Arbeiten auf diesem Gebiet (Ruhland 1912) haben gezeigt, daß die kolloiden Lösungen lange nicht in dem Maße schwer diffundierbar sind, wie man früher glaubte. Man könnte sich auch denken, daß die Kieselsäure, wie es Kohl für den Tabaschir annimmt, aus einer Alkalisilikatlösung durch Einwirkung der atmosphärischen Kohlensäure gallertartig ausfällt; bei einem Überschuß von Säure jedoch würde die Kieselsäure zunächst in kolloider Lösung bleiben. Auf diese Weise würde also die Kieselsäure erst innerhalb der Zelle in die kolloide Lösung übergeführt werden. Da jedoch, wie wir gesehen haben, der Kieselsäuregehalt einer Pflanze nicht durch Alkalisilikate allein gedeckt werden kann, genügt diese Erklärung für sich allein nicht.

Was nun die Ausscheidung der Kieselsäurelösung betrifft, so spielt dabei jedenfalls die Transpiration und der damit verbundene Wasserentzug eine große Rolle. Geht man von einer Silikatlösung aus, so muß man, wie es Kohl getan hat, eine Säure zu Hilfe nehmen, durch die die Alkalien gebunden werden. Die Kieselsäure fällt dann sofort oder erst aus einer kolloiden Lösung allmählich gallertartig aus und wird durch Wasserverlust nach und nach zu einer harten, dichten Masse. Ebenso müßte sich der Vorgang abspielen, wenn es sich von vornherein um eine gewöhnliche oder kolloide Kieselsäurelösung handelte. Als treibende Kraft kann man sich entweder nur die Transpiration vorstellen, oder man kann auch Adsorptionsvorgänge heranziehen. Es ist eine auffallende Tatsache, daß überall in jungem Gewebe zur Zeit der beginnenden Verkieselung und kurz vorher es immer gerade nur die Kieselzellen sind, die eine deutliche und intensive Cellulosereaktion geben. Die Langzellen zeigen bei Behandlung mit Chlorzinkjod noch keine ausgesprochene Färbung; die Korkkurzzellen lassen durch schwache Braunfärbung die beginnende Verkorkung ihrer Wände erkennen. Die Kieselzellen färben sich jedoch tief violettblau, und fast gleichzeitig damit kann man auch die ersten Spuren einer Verkieselung feststellen. Das legt den Gedanken nahe, daß hier eine Adsorption der hydrosolen Kieselsäure durch die Cellulose, die ja auch zu den Kolloidsubstanzen gehört, stattfindet. Selbstverständlich soll damit nicht gesagt werden, daß die Bildung von Kieselsäureniederschlägen immer und nur von dem Vorhandensein einer Cellulosewand abhängig sei. In den ältesten Internodien von *Arundo Donax* z. B. haben.

wie schon erwähnt, fast alle die verschiedenen Zellen der Epidermis ein vollständig von Kieselsäure ausgegossenes Lumen, ohne daß hier irgendwie die Cellulose dafür verantwortlich gemacht werden könnte. Aber der Parallelismus zwischen Kieselsäure und Cellulose bei den Gramineen ist zu auffallend, als daß er ohne jede Bedeutung und nur rein zufällig wäre. Die Cellulose muß zum mindesten die Ausscheidung der Kieselsäure begünstigen und erleichtern. Derartige Erscheinungen legen auch den Gedanken an silici-organische Verbindungen, wie er zuerst von Ladenburg ausgesprochen wurde (1872), wiederum nahe.

Daß die Kieselsäure nicht sofort in ihrer endgültigen Dichte ausgeschieden wird, sondern sich erst allmählich verfestigt, haben die Untersuchungen an jungen Kieselzellen und an kieselfrei gezogenen Pflanzen gezeigt, und es läßt sich das auch mit der Theorie der kolloiden Lösungen und den experimentellen Erfahrungen vollständig vereinen. Wird die Kieselsäure als Hydrogel ausgeschieden, so hat sie zunächst ein flockiges, gallertartiges Aussehen und enthält noch reichlich Wasser. Erst durch den Verlust dieses Wassers wird sie zu einer harten, kompakten Masse. Auch die Beobachtungen Kohls bei Podostemonaceen und beim Tabaschir verlangen derartige Voraussetzungen. Wie Kohl beschreibt, erleiden die Kieselkörper der Podostemonaceen während ihrer Entwicklung allerlei Formveränderungen durch den Druck von Chlorophyllkörnern, ja sogar durch den Zellkern. Das ist nur möglich, wenn der Kieselkörper anfangs noch eine weiche, schmiegsame Masse darstellt.

Wir haben die Bläschen in den Kieselkörpern bisher in der Hauptsache als Reste des ursprünglichen Lumens erklärt, die vielfach noch einen körnigen Inhalt, bestehend aus dem übrig gebliebenen Plasma und kleinen Kieselstückchen, führen. Da man jedoch sehr häufig auch vollständig leere Bläschen antrifft, so läßt sich jedenfalls ihre Bildung nicht ausschließlich auf die Wirkung von Inhaltsresten zurückführen. Sie verdanken ihre Bildung vielmehr in den meisten Fällen wohl der Zusammenziehung des Kieselkörpers bei seiner Verfestigung. Daß dabei etwa vorhandene Inhaltsreste entscheidend auf den Ort der Bläschenbildung einwirken, läßt sich ja gut denken. Daher kommt es, daß wir in vielen Fällen einen körnigen Inhalt treffen. Erklärt man sich die Entstehung der Bläschen auf diese Weise, so wird es auch sofort verständlich, warum man selbst in Kieselzellen, bei denen ein gleichmäßiges Vordringen der Kieselmasse die Regel ist, wie bei *Saccharum*, trotzdem dann und wann seitlich gelegene, meist leere Bläschen findet. Ich erinnere auch noch einmal daran, daß in den kieselfrei gezogenen Pflanzen die Bläschen fast vollständig fehlen, was auch zugunsten dieser Erklärung spricht.

Zuletzt möge noch kurz die Frage erörtert werden, was bei der Verkieselung eigentlich mit dem lebenden Inhalt der Zelle, mit Plasma und Kern geschieht. Kohl nimmt an, daß das Plasma durch die vordringende Kieselmasse hindurch aus der Zelle hinaus wandre. Ich halte diese Annahme, die durch keine Beobachtungen gestützt werden kann, für unwahrscheinlich. Nicht selten werden ja, wie wir gesehen haben, in den Bläschen noch Inhaltsreste als kleine Körnchen angetroffen. Man muß sich darüber klar sein, daß nach gänzlichem Wasserverlust die noch übrig bleibende Trockensubstanz des Plasmas eine äußerst geringe Menge darstellt, die sich wohl in solchen Bläschen unterbringen läßt. Wo gar keine Hohlräume mehr da sind oder ihr Inneres leer erscheint, braucht man nur anzunehmen, der Inhaltsrest habe sich in eine Anzahl kleinster Fetzen aufgelöst, die dann von der Kieselmasse so vollständig absorbiert wurden, daß sie sich nicht mehr in ihr erkennen lassen.

Alle Beobachtungen über das Vordringen und Wachsen des Kieselkörpers beziehen sich also nur auf die ausgeschiedene Kieselsäure, und zwar vor allem auf die deutlich erkennbare feste Form. Denn die gallertige Masse ist, wie schon früher betont, noch schwer zu erkennen und in Phenol z. B. höchstens durch lichtbrechende Kanten und Ecken sichtbar. Für dieses Festwerden und Vordringen des Kieselkörpers jedoch gilt bei den Kieselzellen der Gramineen unbedingt, daß es in zentripetaler Richtung geschieht.

Vereinigt man Theorie und Beobachtung, so läßt sich die ganze Entstehung und Entwicklung des Kieselkörpers etwa folgendermaßen darstellen. Die Kieselsäure kommt in irgend welcher Lösung ins Zellinnere; aus Silikaten müßte sie dort durch Kohlensäure oder andere Säuren erst freigemacht werden. Infolge einer Adsorption der Cellulosemembrane oder infolge des Wasserverlustes durch die

Transpiration beginnt sie sich auszuscheiden, und zwar zunächst in einer gallertartigen Form, die sich dann allmählich verdichtet und kompakt wird. Ausscheidung und Verdichtung gehen von außen nach innen vor sich. In manchen Fällen gelangt die Kieselsäure jedoch als körnige Masse zur Ablagerung und erfüllt dann sofort die ganze Zelle; tritt eine nachträgliche Verdichtung ein, so geht diese auch hier von außen nach innen. Während der Ausscheidung aus der Lösung und auch später noch dringt fortwährend neue Kieselsäure in die Zelle ein; dadurch und durch den Wasserverlust kommt eben die allmähliche Verdichtung des Kieselkörpers zustande.

VII. Die Verteilung der Kieselzellen.

Es wurde schon erwähnt, daß Grob an der Blattepidermis verschiedenartige Streifen unterscheidet. Die Hauptmasse der Kieselzellen tritt in besonderen Kurzzellstreifen auf, die entweder aus lauter Kieselzellen oder häufiger aus mit einander abwechselnden Kiesel- und Korkkurzzellen bestehen. Eine Differenzierung in kurzzellreiche und kurzzellfreie Strecken kommt nur über Bast vor; überhaupt sollen, wie Grob betont, die Kieselzellen über Bast besonders gut entwickelt sein. Die Streifen über Parenchym enthalten nur vereinzelte Kurzzellen.

Schon eine oberflächliche Untersuchung der Halmepidermis zeigt, daß hier für gewöhnlich nichts von einer derartigen Streifung zu sehen ist. Die Kurzzellen sind gleichmäßig über die ganze Breite der Epidermis verteilt. Nur bei zwei der untersuchten Arten, bei *Phalaris arundinacea* und bei *Tripsacum dactyloides* konnten Reihen über Bast und Reihen über Parenchym von einander unterschieden werden. Aber im Gegensatz zu den Blättern führen hier gerade die Parenchymstreifen reichlich Kieselzellen, während solche in den Streifen über Bast nur ganz vereinzelt angetroffen werden und sich zudem von den übrigen noch durch die Form unterscheiden. Bei *Phalaris* z. B. sind sie länger und schmaler; die ganze Zelle, nicht nur die Außenwand, ist biskuitförmig, und die letztere wird nicht vorgewölbt.

Auf gleicher Höhe treffen wir also an der Halmepidermis überall nahezu die selben Verhältnisse. Anders, wenn wir bei der Untersuchung in der Längsrichtung von unten nach oben gehen. Hier stellen sich uns, je nach der Höhe, in der wir uns am Internodium befinden, ganz verschiedene Bilder dar. Und diese Verschiedenheit bezieht sich nicht nur auf Verkieselungsgrad, Zahl und Größe der Kieselzellen, sondern auch auf das Verhältnis der beiderlei Kurzzellen zu einander. Das eine Mal treffen wir fast ausnahmslos Korkkurzzellen, unter die sich nur selten eine Kieselzelle verirrt, das andere Mal eine dichtgedrängte Masse von Kieselzellen — und das beides am selben Internodium. Ist nun in dieser Verteilung irgend welche Regelmäßigkeit zu erkennen?

Ehe wir dieser Frage näher treten, müssen wir uns über den Bau des Gramineenstengels vollkommen klar sein. Wie allbekannt, gliedert sich dieser in Knoten und Internodien. Die Knoten werden in akropetaler Reihenfolge angelegt. Solange die Pflanze noch in vollem Wachstum befindlich ist und noch keinen Blütenstand gebildet hat, sind die längsten Internodien in der Mitte, während sich die obersten noch kaum gestreckt haben. Bei der blühenden Pflanze, bei der also die Internodienbildung abgeschlossen ist, nimmt die Länge der einzelnen Internodien in der Regel von unten nach oben zu (s. Tabellen!). Was das Wachstum der Gramineen betrifft, so ist es ebenfalls eine bekannte Tatsache, daß außer einem apikalen Vegetationspunkt noch eine interkalare Wachstumszone von wechselnder Ausdehnung an der Basis der Internodien vorhanden ist. Wie Pfeffer, Barth, Hackel u. a. gezeigt haben, können wir ferner unterscheiden zwischen Gräsern mit aktiven Stengelgelenken und solchen, denen diese Organe ganz fehlen, wozu dann nach Lehmann noch solche kommen, bei denen sie nur unvollständig ausgebildet sind¹⁾. Da sich dieser Unterschied auch in der Verkieselung bemerkbar macht, sollen in Folgendem die beiden Hauptgruppen getrennt behandelt werden.

Am einfachsten sind die Verhältnisse bei den gelenklosen Gramineen. Solange noch eine interkalare Wachstumszone vorhanden ist, bleibt die Internodienbasis weich und unverholzt und setzt

¹⁾ Die genaueren Literaturangaben s. bei Lehmann.

so einer Krümmung durch das aktive Scheidengelenk nicht den geringsten Widerstand entgegen. Das oberste Internodium behält in der Regel sehr lange eine weiche Basis; ich fand sie z. B. bei verschiedenen Wiesengräsern, die längst schon verblüht waren, noch vollständig unverholzt. Wo sie schließlich verholzt, kann sie natürlich nicht mehr gekrümmt werden; meist fällt dann auch zu gleicher Zeit die Scheide ab. Die Verholzung schreitet also, wie wir es auch für die Verkieselung festgestellt haben, von oben nach unten vorwärts und zwar im oberen Teil ziemlich rasch, macht dann aber vor der Basis zunächst Halt.

Sehen wir uns nun einmal eine blühende Pflanze auf die Verteilung ihrer Kieselzellen an. Ich bin zur Feststellung dieser Dinge so vorgegangen, daß ich von sämtlichen Internodien einer Pflanze in bestimmter Höhe die Anzahl der Kieselzellen auf 1 qmm möglichst genau zählte. Von jeder Art wurden mindestens zwei Exemplare gemessen. In der nachfolgenden Tabelle ist für jedes Internodium die durchschnittliche Zahl verkieselter Kieselzellen auf 1 qmm angegeben, und zwar an der Basis (*b*) (etwa in einer Höhe von 5–10 mm), in der Mitte (*c*) und am oberen Ende (*d*) (höchstens 5 mm unter dem nächsten Knoten), ferner die Länge der einzelnen Internodien (*a*) und die Länge einer etwa vorhandenen unverkieselten Zone an der Basis (*e*). Die Internodien sind von unten nach oben gezählt.

Tabelle I. (*Phleum pratense*).

Intern.	a) Länge des Internodiums	Zahl der verkieselten Kieselzellen			e) Länge der unverk. Zone
		b) unten	c) Mitte	d) oben	
1)	45 mm	400–500	400–500	—	—
2)	118 mm	450	400	600	—
3)	191 mm	350	250	600	—
4)	190 mm	0	200	600	1 mm
5)	243 mm	0	100	500–600	20 mm
6)	325 mm	0	50–100	500–600	30 mm
	1112 mm				

Diese Tabelle zeigt uns zunächst einmal deutlich die nach oben zunehmende Länge der Internodien (*a*), ferner das basipetale Vordringen der Verkieselung (*e*). Aus Reihe *d*) sehen wir, daß die Zahl der Kieselzellen am oberen Ende sich nahezu gleich bleibt und daß diese Zone die Maximalverkieselung aufweist. Die beiden Reihen *b*) und *c*) machen ein stetes Abnehmen der Kieselzellen von den älteren Internodien nach den jüngeren hin deutlich, und zwar ist bei 2) und 3) die Basis etwas kieselreicher als die Mitte, später ist die erstere überhaupt kieselfrei (wenn auch nicht ganz kurzzellfrei). Die allmähliche Abnahme der Kieselzellen gegen die Mitte hin wird uns sofort klar, wenn wir damit die Länge der betreffenden Internodien vergleichen. Das Internodium mit den wenigsten Kieselzellen in der Mitte ist zugleich auch das längste. Die geringe Anzahl der Kieselzellen hängt also in allererster Linie mit der Streckung des Stengels zusammen, wodurch die einzelnen Elemente weiter auseinander gerückt werden. Es ergibt sich das auch unmittelbar aus der in verschiedenen Regionen gemessenen Länge der Langzellen. Diese allein sind es ja, die an der Streckung teilnehmen und so können sie in der Mitte 3–4fach so lang sein als an der Basis. Bei einer Messung fand ich z. B.: Basis 80–100 μ , Mitte: 250–300 μ . Dazu kommt noch der später genauer zu besprechende Umstand, daß bei den meisten Gräsern nur unten und oben Kurzzellenpaare gefunden werden, im übrigen jedoch fast nur alleinstehende Korkkurzzellen. Damit, daß die mittleren Teile mehr

gestreckt sind als die unteren, hängt es auch zusammen, daß wir bei 2) und 3) unten mehr Kieselzellen haben als in der Mitte. Vergleichen wir die Reihen b)—d) jedes einzelnen Internodiums unter sich, so sehen wir, daß in den ältesten Gliedern die Unterschiede in den Höhenlagen sehr gering sind und daß diese erst nach oben immer deutlicher werden. Das unterste Internodium und häufig auch noch das eine oder andere der nächstjüngeren pflegen überall ziemlich gleichmäßig verkieselt zu sein.

Zu diesen direkt aus der Tabelle zu entnehmenden Tatsachen muß noch einiges andere bemerkt werden. Was den Übergang der mittleren Partien zu den stark verkieselten am oberen Ende betrifft, so geschieht diese Zunahme nicht langsam und allmählich, sondern plötzlich auf einer kurzen Strecke von wenigen mm, etwa 1—2 cm unter dem oberen Ende.

Mit „unverkieselte Zone“ ist in der Tabelle ein Gewebe bezeichnet, dessen Kieselzellen noch nicht kompakt verkieselt sind, in Phenol also nicht hervortreten. Im einzelnen kann dieses Gewebe in Bezug auf die Kieselzellen recht verschieden sein, je nach seinem Alter und der damit zusammenhängenden Ausdehnung. Bei der 30 mm langen Zone von 6) enthält z. B. der oberste Teil wenige in Verkieselung begriffene Kieselzellen, der mittlere vereinzelte ganz kieselfreie, der unterste Teil hat noch keine Kurzzellen gebildet.

Im Grunde die gleichen Verhältnisse fand ich noch bei einer Anzahl in derselben Weise untersuchter Gräser. Hat man noch ganz junge, bis hoch hinauf unverholzte Internodien vor sich, so findet man auch für die Mitte hie und da 0 Kieselzellen; so war es z. B. bei zwei 30 und 40 cm langen Internodien von *Secale cereale*.

In einzelnen Fällen findet man freilich auffallende Anreicherungen (Tabelle II, 7—9), hie und da auch ein Zurückbleiben hinter den erwarteten Zahlen. Worauf diese Abweichungen beruhen, läßt sich natürlich nicht immer genau sagen. Vielfach sind sie rein lokaler Art, hängen wohl auch damit zusammen, daß bei Messungen vielleicht nicht immer genau die betreffende Höhe eingehalten wurde. Wo es sich um Anreicherungen handelt, kommen wohl immer zwei Gründe in Betracht; entweder ist das Gewebe an dieser Stelle nicht so stark gestreckt, oder es wurden mehr Kurzzellenpaare gebildet.

In der nachfolgenden Tabelle, die eine weitere Bestätigung des Gesagten bieten soll, ist die Reihe d) weggelassen.

Tabelle II. (*Phalaris arundinacea*).

Int.	Länge a)	Zahl der verkieselten Zellen		Länge der unverkieselten Zone e)
		unten b)	Mitte c)	
1)	35	450	250	—
2)	131	600	250	—
3)	202	300	200	—
4)	224	80—100	100	—
5)	179	0	200	6
6)	191	0	200	4
7)	204	0	400!	4
8)	249	0	450!	7
9)	345	0	300—400	25

Nicht ganz so einfach sind die Verhältnisse bei den mit Stengelgelenken versehenen Gräsern. Die Stengelgelenke liegen stets mehr oder weniger höher als die Scheidengelenke. Die typische, wohl ausgebildete Gelenkepidermis enthält keine oder nur ganz vereinzelte Kurzzellen, sondern nur ziemlich gleichmäßige, kaum gestreckte und unverdickte Langzellen. Die Wände sind, solange das Gelenk noch aktiv ist, unverholzt. Auf die weiteren Gelenkcharaktere näher einzutreten, ist hier nicht der Platz; es sei in dieser Hinsicht auf die Arbeit Lehmanns verwiesen.

Zu den genaueren Untersuchungen und Messungen diente mir in erster Linie *Zea Mays*. Die hier beobachteten Verhältnisse konnten dann mit größeren oder kleineren Abweichungen auch noch an einer Reihe anderer Gelenkgräser festgestellt werden.

Das Stengelgelenk von *Zea Mays* liegt etwa $\frac{1}{2}$ cm über dem Knoten, an den jüngeren Internodien nicht so hoch, manchmal sogar fast direkt über dem Knoten. Diese verschiedene Lage hängt wohl damit zusammen, daß, wie schon vorn betont wurde, von dem Gelenk aus auch nach unten wenige Zellen abgetrennt werden, so daß das Gelenk mit der Zeit höher rückt. Die Ausdehnung des Gelenkes ist natürlich je nach dem Alter wechselnd.

Sehen wir uns die Verhältnisse wieder an Hand einer Tabelle an, wie sie auf Grund mehrerer Messungen aufgestellt wurde. Es wurde hiebei ebenso verfahren wie bei den gelenklosen Gräsern; nur wurde hier die Basis meist an zwei Stellen gemessen, nämlich 1) im Gelenk und 2) unmittelbar über dem Gelenk. Die letztere Zone ist in der Tabelle aus einem gleich zu erläuternden Grunde als „Gürtel“ bezeichnet. Die in Klammern beigefügten Zahlen gelten für die Korkkurzzellen.

Tabelle III. (*Zea Mays*).

Int.	Länge a)	Zahl der verkieselten Kieselzellen				Länge der unverk. Zone f)	Länge des Gürtels g)
		Gelenk b)	Gürtel c)	Mitte d)	oben e)		
1)	8 mm	300—400				—	—
2)	26 "	400—500				—	—
3)	75 "	(150) 90—100	(420) 350	(100) 90	500	—	1,5
4)	126 "	(100) 20	250	(200) 20	500	—	1,1
5)	204 "	10—20	400	(200) 20	500	—	1,4
6)	234 "	0	250	(200) 10	500	1,3	1,5
7)	171 "	0	520	(200) 5—17	600	1,3	1,5
8)	136 "	300(!)	770(!)	(300) 50	500	—	1,4
9)	50 "	220	660	300	500	—	nicht ab-
10)	7 "	150—200	—	—	—	—	gegrenzt

Die Abnahme der Internodienlänge von der Mitte an nach oben läßt schon ersehen, daß wir es hier mit einer noch nicht ganz ausgewachsenen Pflanze zu tun haben. Ferner erkennen wir, daß wie bei den gelenklosen Gräsern das obere Ende (Reihe e) eine starke und ziemlich gleichmäßige Verkieselung zeigt. Im übrigen finden sich erhebliche Abweichungen von den beiden ersten Tabellen, vor allem in den die Basis betreffenden Reihen.

Beginnen wir mit dem Gelenk (Reihe b). An den beiden untersten Internodien zeigt sich kein Unterschied den übrigen Teilen gegenüber. Das stimmt damit überein, daß hier in der Regel auch noch keine typischen funktionsfähigen Gelenke ausgebildet werden. Die Internodien 3)–5) zeigen deutliche Übergänge bis zu kieselfreien Gelenken in 6) und 7). So weit ist alles leicht verständlich. Ganz auffallend verhalten sich jedoch die nun folgenden jüngsten Internodien. Statt daß, wie zu erwarten gewesen wäre, die Gelenke vollends kieselfrei geblieben wären, finden sich im 8. Internodium mit einem Schlag 300 Kieselzellen auf den qmm, und eine kieselfreie Zone ist überhaupt nicht mehr vorhanden. Das bedeutet aber nicht etwa ein Fehlen des Gelenkes überhaupt, denn wie die Untersuchung zeigte, sind alle charakteristischen Merkmale der Gelenke (Kollenchym statt Skleren-

chym, Spiralgefäße statt Netzgefäße, Statolithenstärke) vorhanden, nur ist die betreffende Zone sehr kurz (ca. 1 mm). Ob diese etwas zurückgebildeten Gelenke ebenso funktionsfähig sind wie die normalen, habe ich nicht untersucht. Praktisch wird ja eine Krümmung der obersten Internodien für die Pflanzen selten genug werden. Im übrigen stellen sie jedenfalls der Beugung durch das Scheidengelenk keinen erheblichen Widerstand entgegen, da die ganze Basis zunächst noch verhältnismäßig weich ist und erst ganz verholzt, wenn die Pflanze schon längst blüht. Ferner sind auch die Korkkurzzellen- und Langzellenmembranen an der Basis noch nicht verkieselt.

Was die Mitte betrifft, so gilt für sie in den unteren Internodien dasselbe, was bei den gelenklosen Gräsern schon gesagt wurde. Die in Klammern beigefügten Zahlen zeigen, daß die Zahl der Korkkurzzellen viel größer ist als die der Kieselzellen. Das 9. Internodium zeigt eine auffallende Anreicherung, die aber wohl vor allem auf seine geringe Streckung zurückzuführen ist.

Im Gegensatz zu den gelenklosen Gräsern findet sich hier jedoch noch eine weitere auffallende Erscheinung. Wie die Spalte c) zeigt, läßt sich vom 4. Internodium an unmittelbar über dem Gelenk eine starke Kieselzellenanhäufung feststellen. Dieser „Kieselgürtel“ schließt nach unten mit scharfer Grenze ab; besonders deutlich ist das, wenn das Gelenk selbst kieselfrei ist, wie z. B. bei Internodium 5). Die Grenze nach oben ist nicht so scharf, aber bei 5)–8) immerhin noch recht deutlich. In anderen Fällen wie bei 3), 4) und 9) ist der Übergang zur Mitte ganz allmählich. Zugleich mit der starken Anhäufung im Gelenk (8) steigt auch der Kieselzellegehalt des Gürtels um einen ansehnlichen Betrag. Daß auch hierbei jedenfalls die geringe Streckung mit im Spiel ist, zeigt ein Vergleich von a) und c) in den Internodien 6)–8).

Wie bei den gelenklosen Gramineen ist auch hier die Anreicherung am oberen Ende eine sehr plötzliche, namentlich in den mittleren Internodien; in den oberen und unteren ist der Übergang mehr allmählich.

Ferner ist den Angaben der Tabelle noch hinzuzufügen, daß das unter dem Gelenk gelegene Stück in sämtlichen Internodien mit Ausnahme der allerjüngsten stets stark verkieselt ist, so daß das kieselfreie Gelenk auch nach unten scharf abgegrenzt wird.

Das untere Internodiumende bietet uns also hier ein ganz anderes Bild als bei den gelenklosen Gräsern. Ich bemerke noch einmal ausdrücklich, daß ich alle diese Messungen an 5–6 Maispflanzen ausführte und stets in der Hauptsache zu denselben Ergebnissen kam.

Ehe wir an eine Erklärung dieser Verhältnisse gehen und sie auf ihre weitere Verbreitung bei andern Gelenkgräsern prüfen wollen, mögen, um die Vorgänge auch bei einer jüngeren Pflanze klarzustellen, noch die Messungen an einem Exemplar, das seine Internodienbildung noch nicht abgeschlossen hatte, nach der folgenden Tabelle kurz besprochen werden.

Tabelle IV. (*Zea Mays*).

Int.	Länge a)	Zahl der verkieselten Kieselzellen			Länge der unverkieselten Zone e)
		Gelenk b)	Gürtel c)	Mitte d)	
1)	7	350	—	500	—
2)	11	500	—	400	—
3)	27	600	—	270	—
4)	55	600	700	200	—
5)	74	0	700	300	1,4
6)	90	0	—	250	3–4
7)	80	0	—	10–20	mehrere cm.
8)	8	ganz	un-	verkieselt	
etc.)					

Auch hier haben wir in den Internodien 4) und 5) den „Kieselgürtel.“ Ein erneutes Auftreten von verkieselten Zellen in den Gelenken der oberen Internodien findet dagegen nicht statt. Die letzteren sind noch zu jung, als daß sie schon in erheblicherem Maße verkieselt sein könnten. Man vergleiche ferner z. B. die Zahl der Kieselzellen im 3. Internodium Reihe b), in den beiden Tabellen III und IV miteinander: in Tabelle III 250, in Tabelle IV 600; das Internodium der ersten Tabelle ist jedoch 75 mm lang, das der letzteren nur 27 mm. Also auch hier wieder eine deutliche Abhängigkeit der Kieselzellenverteilung von der Streckung.

Bisher haben wir nur die kompakt verkieselten Kieselzellen, die in Phenol deutlich hervortreten, im Auge gehabt und nicht einfach die Zahl der Zellen schlechtweg. Bei älteren Pflanzen ging das auch ohne weiteres an. Hier jedoch fragt es sich nun, in wie weit die als „kieselfrei“ (mit 0) bezeichneten Zonen überhaupt kurzzellenfrei sind und nicht etwa schon Kieselzellen besitzen, die nur noch nicht kompakt verkieselt sind. Auf andern Strecken als eben nur auf den mit 0 bezeichneten brauchen wir diese Frage nicht zu berücksichtigen. Denn, wie wir gesehen haben, sind es ja immer nur ganz wenige unverkieselte oder nicht fertig verkieselte Zellen, die man in verkieselten Gebieten findet.

Sehen wir uns einmal verschiedene solche unverkieselte Zonen genauer an! In den mittleren, fertigen Internodien ist die kieselfreie Zone stets gleich dem Gelenk, also fast ohne Kurzzellen, in der Regel nicht viel länger als 1 mm. Anders, wenn wir eine ca. 5 mm lange unverkieselte Zone jüngerer Internodien betrachten. Hier können wir von unten nach oben folgende drei Abschnitte unterscheiden: 1) anschließend an das untere stark verkieselte Stück eine ganz kurze Zone mit unverkieselten oder in der Verkieselung begriffenen Zellen, 2) eine kurzzellenfreie Gelenkepidermis 3) eine mehr oder weniger lange Strecke mit allen Übergängen von der unfertigen Kieselzelle bis zur dicht verkieselten. Das ist also das Gebiet, in dem die Entwicklungsstadien am besten zu finden sind. Der erste Abschnitt kann fehlen oder sich auf wenige kieselfreie Zellen beschränken. Gehen wir noch höher am Halm und untersuchen die unverkieselte Zone eines der obersten Internodien, so finden wir durchweg unfertige, kaum erst angelegte, unverkieselte und halbverkieselte Kieselzellen, aber keine kurzzellenfreie Strecke. Hier haben wir also das Jugendstadium der Internodien 8)–10) von Tabelle III vor uns.

Wir können die Internodien von *Zea Mays* also in drei Gruppen teilen und haben dann die folgenden Verhältnisse:

1) In den unteren Internodien ist die Verteilung eine mehr oder weniger gleichmäßige. Das obere Ende ist am reichsten an Kieselzellen; die Basis (bzw. das Gelenk) unterscheidet sich zunächst noch nicht von den übrigen Teilen; die Zahl ihrer Kieselzellen nimmt aber nach oben von Internodium zu Internodium ab.

2) So kommen wir schließlich zu einem typischen kieselfreien und überhaupt kurzzellenfreien Gelenk, nach oben und unten scharf umgrenzt von stark verkieselten Zonen. Die Mitte, als ein bedeutend gestrecktes Gewebe, enthält nur eine geringe Anzahl von Kieselzellen.

3) Eine kurzzellenfreie Zone fehlt. Die Basis enthält durchweg Kieselzellen, je nach dem Alter des Internodiums verkieselte oder unverkieselte.

Wie haben wir uns nun die auffallende Anhäufung im „Kieselgürtel“ zu erklären? Die geringe Verkieselung in der Mitte läßt sich, wie wir gesehen haben, am besten auf Grund zweier Tatsachen verstehen; einmal kommt dabei die bedeutende Streckung dieses Gewebestückes in Betracht, ferner der Umstand, daß sich die Kurzzellenmutterzelle in den meisten Fällen nicht mehr geteilt und so direkt zur Korkkurzelle ausgebildet hat. Entsprechend können wir uns nun auch die Anhäufung der Kieselzellen im Gürtel erklären. Wir befinden uns hier in dem Teil des Internodiums, der vor der Verkieselung die meristematische interkalare Wachstumszone darstellte. Es ist hier alles noch nahe auf einander gerückt; eine Messung der Langzellen im Gürtel ergab eine Länge von ca. 30 μ , während sie in der Mitte des Internodiums 200–300 μ lang sind. Außerdem finden wir fast ausnahmslos Kurzzellenpaare. Die interkalare Wachstumszone ist mitten in ihrer Tätigkeit von der von oben eindringenden Verkieselung überrascht worden. Das erklärt auch, warum die Kieselzellen vielfach, (z. B. bei *Saccharum*) im unteren Teil des Internodiums anders gestaltet sind als im oberen; sie hatten die Ausbildung ihrer Form noch nicht abgeschlossen, als die Verkieselung über sie kam.

Es fragt sich nun, warum in den gestreckten Gewebepartien die Kurzzellenpaare so viel seltener sind, als in den meristematischen. Mit der Streckung allein läßt sich diese Tatsache nicht genügend erklären. Sehen wir uns noch einmal die Tabelle III an! Die Internodien 4)–7) haben die geringste Anzahl von Kieselzellen in der Mitte und sind zugleich auch die längsten. Hier haben wir also das Maximum der Streckung, die auffallendste Anhäufung im Gürtel haben wir jedoch erst in den folgenden kürzeren Internodien 7)–9). Man könnte sich also denken, daß zur Zeit des stärksten Streckungswachstums die Pflanze sich sozusagen „keine Zeit nimmt“, Kurzzellenpaare zu bilden, sondern die Mutterzelle ungeteilt in die Streckung eintreten läßt.

Was die andern Gelenkgräser betrifft, so muß übrigens bemerkt werden, daß nicht bei allen Arten die Mitte so wenig Kieselzellen hat wie bei *Zea Mays*. Bei *Saccharum* und *Bambusa* ist die Verteilung eine viel gleichmäßigere, weil Kurzzellenpaare die Regel sind. Die Mitte ist, besonders bei der erstgenannten Art, viel reicher an Kieselzellen; ein nach oben scharf abgegrenzter Kieseligürtel fehlt demnach. Alle Zahlenunterschiede lassen sich hier ausschließlich auf Streckung zurückführen.

Auf die oben gegebene Einteilung hin wurden nun noch folgende Gelenkpflanzen untersucht: *Saccharum officinarum*, *Bambusa nana* und *arundinacea*, *Panicum plicatum* und *sanguinale*, *Tripsacum dactyloides*, *Uniola latifolia*, *Arundo phragmites*, *Brachypodium pinnatum* und *Chloris abyssinica*. Alle genannten Arten mit Ausnahme von *Panicum sanguinale* stimmen mit *Zea Mays* darin überein, daß das kieselfreie Gelenk nach unten in eine stark verkieselte Zone übergeht; auch der nach oben abgrenzende Gürtel ist mehr oder weniger deutlich überall vorhanden, undeutlich bei den Kieselzellenpaare bildenden Arten (*Saccharum*, *Bambusa*, *Panicum plicatum*) oder überhaupt kurzzellenarmen (*Panicum sanguinale*), bei den übrigen in einzelnen Internodien stets deutlich. Auch was die erste der drei oben aufgestellten Gruppen betrifft, so herrscht ziemlich Übereinstimmung bei den untersuchten Gelenkgräsern.

Dagegen fand ich bei keiner der untersuchten Arten die für *Zea Mays* in Gruppe 3 festgelegten Verhältnisse wieder. Ueberall war in den obersten Internodien ein kurzzellenfreies Gelenk vorhanden, dessen Länge nach oben stetig zunahm. Niemals waren wie bei *Zea Mays* (s. Tabelle III) über einer kieselfreien Gelenkzone an jüngeren Internodien verkieselte Gelenke zu finden.

Auffallend ist, warum die „Kieseligürtel“ nur bei den Gelenkgräsern und nicht auch bei den Gelenklosen vorkommen. Man kann daraus vielleicht schließen, daß bei den letzteren das interkalare Wachstum vor allem auf Streckung beruht und keine deutlich ausgeprägte Teilungszone vorhanden ist, wie wir sie über dem Gelenk bei der ersteren Gruppe feststellen können.

In allerletzter Zeit, als diese Untersuchungen schon zusammengestellt waren, erschien eine Arbeit von Abshagen „über den Kieselgehalt von *Arundinaria japonica*.“ Es ist interessant, dass der Verfasser bei dieser Art auf chemischem Wege zu denselben Resultaten kam, wie ich auf anatomischem bei *Zea Mays* u. a. Abshagen fand, daß bei fertigen Internodien die unteren und oberen Regionen am stärksten verkieselte sind, die mittleren weniger. Dasselbe läßt sich nach meinen Zusammenstellungen sagen. Denn das Gelenk, auch wenn es ganz kieselfrei ist und nicht etwa schon „gelatinös“ verkieselt, ist bei seiner Kleinheit gegenüber den starken Verkieselungszonen unter und über ihm nicht von so großem Einfluß, daß es den Kieselgehalt wesentlich herabdrückte.

Die Vermutung Abshagens, die Ausscheidung der Kieselsäure in fester Form könnte vom Licht abhängig sein, dürfte nicht viel Wahrscheinlichkeit haben. Denn es finden sich wohlausgebildete und kompakt verkieselte Zellen in Internodien, die ganz von der Scheide eingehüllt sind, in derselben Menge und Ausbildung wie in freiliegenden, was durch spezielle Zählungen festgestellt wurde.

VIII. Kurze Zusammenfassung.

Die Untersuchungen der vorliegenden Arbeit haben die Aufgabe, die Bildung der verkieselten Elemente der Gramineenepidermis aufzuhellen. In erster Linie handelt es sich dabei um die Entstehung der Kieselzellen und das Zustandekommen der Kieselbildungen in ihnen.

Die Untersuchungen zerfallen hauptsächlich in zwei Teile. Der erste Teil beschäftigt sich mit der einzelnen Kieselzelle und betrachtet ihre Entstehung und Verkieselung. Der zweite Teil sucht Auftreten und Anordnung der Kieselzellen in ihrer Gesamtheit klarzulegen.

Die Bildung der Kieselzellen geht so vor sich, daß die neue Wand stets senkrecht zur Oberfläche angelegt wird; durch ungleiches Wachstum der Außen- und Innenwand gelangt sie jedoch vielfach später in eine schiefe Lage, wodurch die Kieselzelle eine nach unten keilförmig verengte Gestalt bekommt. Einen speziellen Fall zeigt *Panicum sanguinale*, wo in der Kurzzellenmutterzelle die neue Wand halbmondförmig von einer Längswand zu einer Querwand greift, so daß ähnliche Bilder entstehen wie bei der Anlage der Spaltöffnungen von *Mercurialis* u. a.

Was die Ausbildung der Verkieselungen in den Kieselzellen betrifft, so läßt sich einmal allgemein folgendes feststellen: Die ursprüngliche Wand besteht aus Pektinsubstanzen. An diese lagert sich eine Celluloselamelle von wechselnder Dicke (Maximum bei *Saccharum*, Minimum bei *Phleum* u. a.) an, welche allen Wänden anliegt, an der Außenwand jedoch nur dünn zu sein pflegt. In dieser Lamelle beginnt die Verkieselung; an Oberflächenschnitten erkennt man dann auf diesem Stadium bei nicht zu breiter Lamelle einen lichtbrechenden Kieselring. Von diesem Ring aus setzt sich die Verkieselung ins Lumen fort und drängt so das Plasma allmählich in der Mitte zusammen. Meist verschwindet letzteres ganz; bisweilen können jedoch in Bläschen des Kieselkörpers Inhaltsreste enthalten sein.

Im Einzelnen lassen sich vor allem drei verschiedene Typen unterscheiden, nach denen die Ausfüllung der Zelle vor sich geht.

1. Die Kieselsäure dringt in kompakter Masse von allen Seiten annähernd gleichmäßig vor. (*Saccharum officinarum*.)

2. Die Kieselmasse dringt höchst ungleichmäßig vor. Dabei können anfangs allerlei seitliche Hohlräume entstehen, die aber schließlich meist ausgefüllt werden. (*Arundo Donax*.)

3. Die Kieselsäure scheidet sich aus einer flüssigen oder gelatinösen Form als körnige Masse ab, die mit einem Schläge das ganze Lumen füllt. Meist tritt dann noch eine nachträgliche Verdichtung von außen nach innen ein. (*Panicum sanguinale*.)

Zwischen diesen drei Möglichkeiten finden sich allerlei Übergänge; ein derartiger Typus bezeichnet also nichts Feststehendes oder scharf Umgrenztes.

In derselben Weise geht auch die Verkieselung der übrigen Epidermiselemente vor sich; nur fehlt bei Korkkurzzellen und Langzellen, die beide erst im Alter verkieseln, eine Celluloselamelle als Grundlage. Dagegen ist eine solche stets vorhanden bei den „Kieselspitzen“, die ausschließlich bei der Gattung *Phleum* gefunden wurden.

Die Kieselzellen der in kieselfreier Nährlösung gezogenen Maispflanzen enthielten fast immer die Kieselsäure in einer Form, die sich durch mattes Aussehen ohne jede scharfe Lichtbrechung in

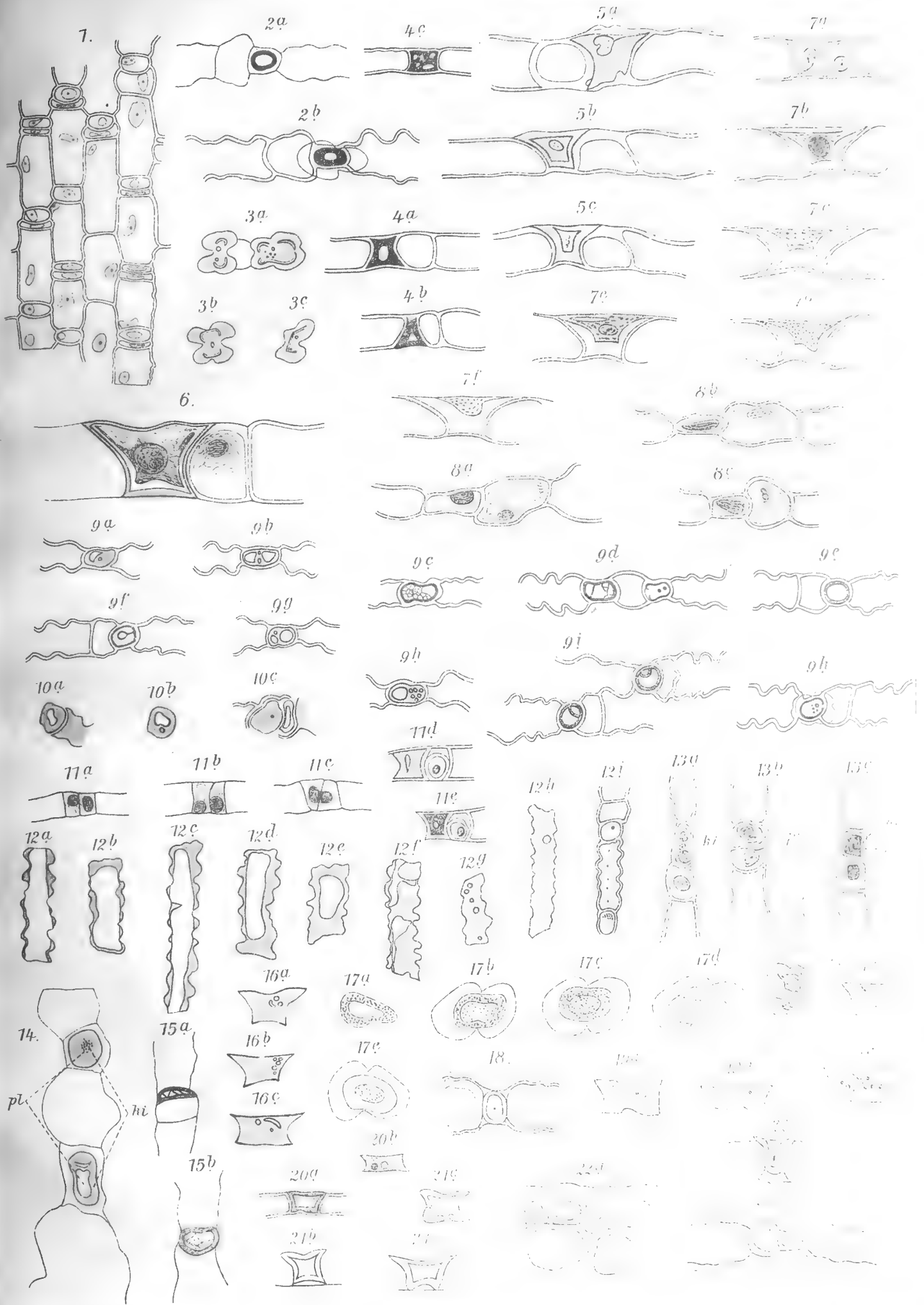
Phenol und durch das beinahe vollständige Fehlen von Bläschen auszeichnete und den Eindruck eines kolloiden oder gelatinösen Zustandes machte. Es ist dies dieselbe Form, in der die Kieselsäure bei den normal gezogenen Pflanzen in den ersten Entwicklungsstufen auftritt.

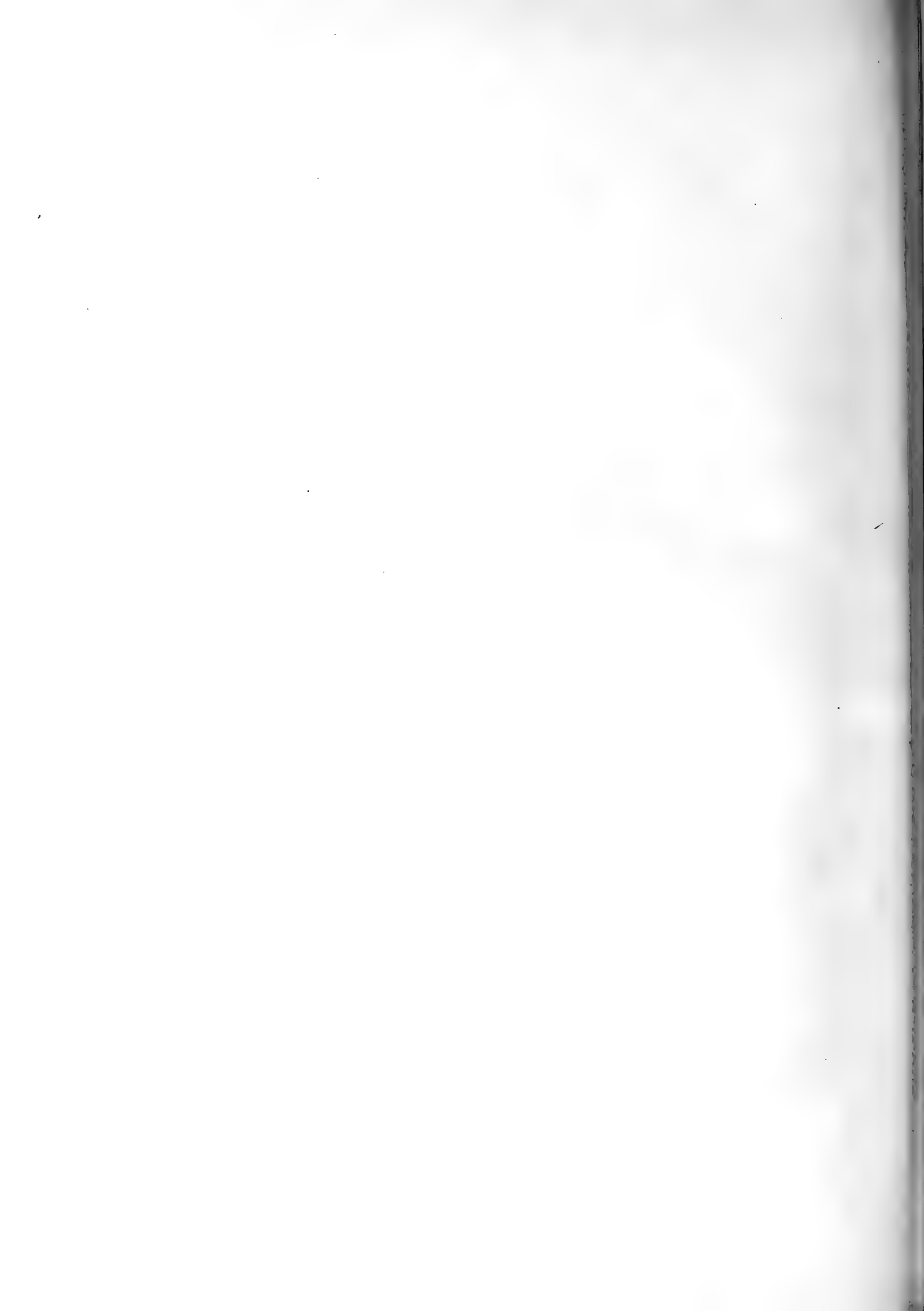
Der zweite Teil unserer Aufgabe führte zu folgendem Ergebnis: Bei der Verteilung der Kieselzellen auf dem Halm fehlt mit ganz wenigen Ausnahmen eine Reihendifferenzierung, wie sie von Grob bei den Blättern beobachtet wurde, vollständig. Ein Mengenunterschied macht sich nur in der Längsrichtung des Internodiums und zwischen den einzelnen Internodien unter sich bemerkbar. Bei allen untersuchten Gräsern ohne Ausnahme ist das obere Internodiumende reichlich mit Kieselzellen versehen, während die Mitte davon in der Regel nur vereinzelt aufweist. (Ausnahme: *Bambusa*, *Saccharum*). An der Basis aber läßt sich ein Unterschied zwischen den Gelenkgräsern und den Gelenklosen erkennen. Bei den letzteren ist das untere Ende, die ältesten Internodien ausgenommen, stets sehr kieselzellenarm. Bei den Gelenkgräsern ist dagegen unter dem Gelenk stets eine dicht verkieselte Zone zu finden; auch über demselben pflegt eine mehr oder weniger deutliche Anhäufung („Kieselgürtel“) vorhanden zu sein. Das Gelenk selbst ist, solange es funktionsfähig und typisch ausgebildet ist, kiesel-frei und hebt sich dann scharf von den beiden Zonen über und unter ihm ab. Alle diese Verschiedenheiten lassen sich auf die Streckung der betreffenden Teile zurückführen; während in der Gürtelzone z. B. die Langzellen ca. $30\ \mu$ lang sind, erreichen sie in der Mitte eine Länge von $250-300\ \mu$. Dazu kommt, daß in den stark gestreckten Zellen statt der Kurzzellenpaare meist nur einzelne Korkkurzzellen angetroffen werden.

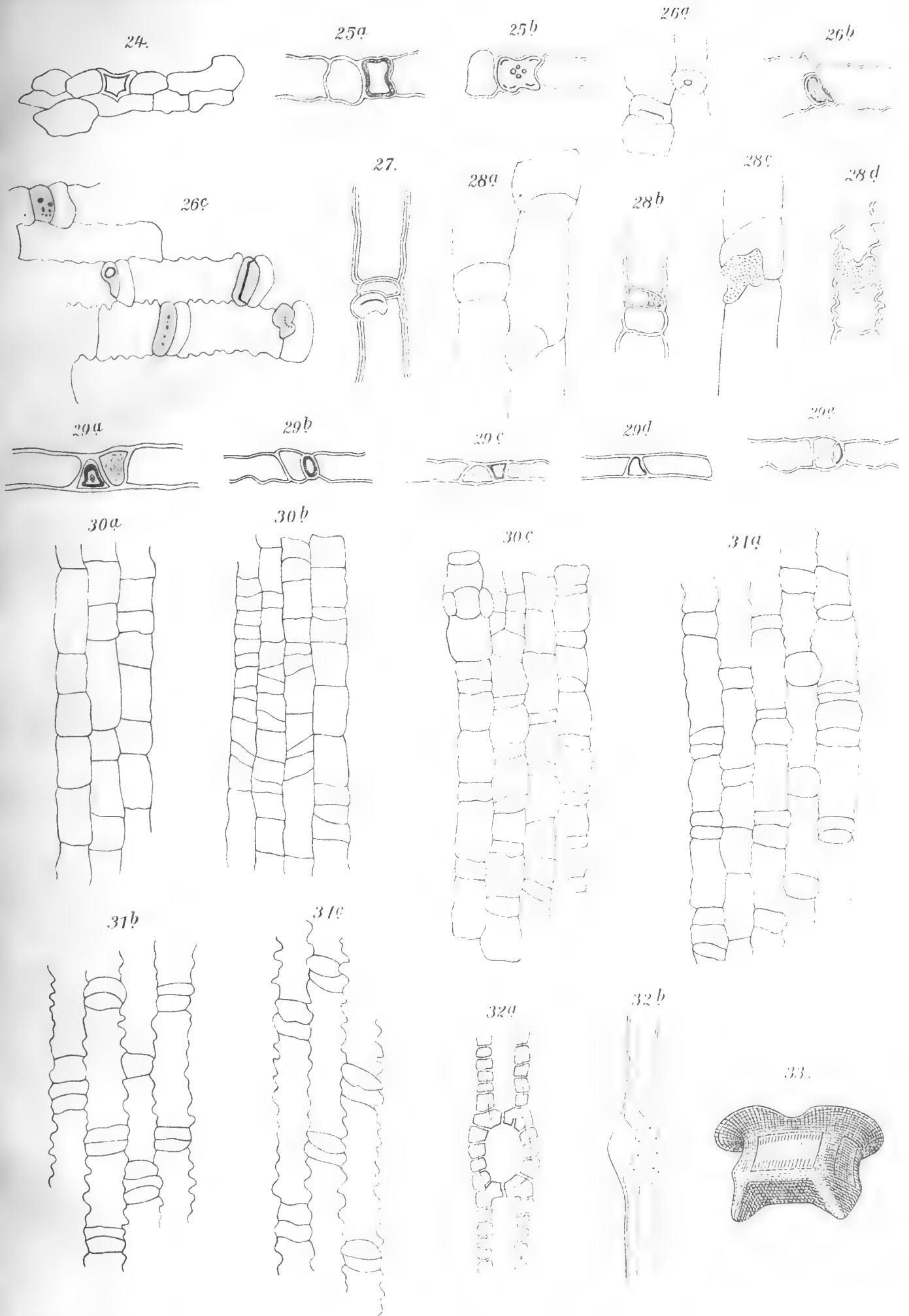
Zur Untersuchungsmethode muß bemerkt werden, daß zur Erkennung feinerer Verkieselungen die Behandlung mit Phenol nicht genügt; das Phenolverfahren muß vielmehr durch Färbungen ergänzt werden.

Figurenerklärung auf Tafel I, II.

- Fig. 1. *Saccharum officinarum*. Junge Kurzzellen.
 „ 2. „ „ Kieselzellen in Phenol. a) Kieselring, b) weiter vorgeschrittenes Stadium.
 „ 3. *Zea Mays*. Fertige Kieselzellen in Phenol.
 „ 4. „ „ Kieselzellen in Phenol. Längsschnitt. Entwicklungsbilder a) und b) mit einem Hohlraum, c) mit mehreren.
 „ 5. *Saccharum officinarum*. Kieselzellen in Phenol. Längsschnitt. Entwicklungsbilder. In b) die Wandverdickung sichtbar.
 „ 6. *Saccharum officinarum*. Einzelnes Kurzzellenpaar mit den Anfängen der Verkieselung in der Kieselzelle. Kern und Plasma noch deutlich differenziert.
 „ 7. *Saccharum officinarum*. Kieselzellen mit gefärbtem Inhalt. Allmähliches Verschwinden des Plasmas durch die vorrückende Verkieselung. Längsschnitt.
 „ 8. *Saccharum officinarum*. Kieselzellen mit gefärbtem Inhalt wie bei 8. Oberflächenansicht.
 „ 9. *Arundo Donax*. Kieselzellen in Phenol. Entwicklungsbilder. Oberflächenansicht a)–i).
 „ 10. „ „ Glühskellette von Entwicklungsstadien a)–c).
 „ 11. „ „ a)–c) Kurzzellenbildung. d) und e) Verkieselungsstadien.
 „ 12. „ „ Langzellen in Phenol. Verkieselungsstadien.
 „ 13. *Zea Mays*. Kurzzellen mit gefärbtem Inhalt. Verkieselung durch gebogene Kanten in den Ecken angedeutet.
 „ 14. *Zea Mays*. Kieselzellen in Phenol. Verschiedene Verkieselungsstadien.
 „ 15. „ „ Kieselzellen in Phenol.
 „ 16. *Saccharum officinarum*. Kieselzellen mit seitlichen Hohlräumen. Längsschnitt.
 „ 17. „ „ Kieselzellen in Phenol. Sandig-poröse Füllungen.
 „ 18. „ „ Kieselzelle in Phenol, mit stark verkieselten Mittellamellen und durchscheinender Verdickung.
 „ 19. *Panicum plicatum*. Poröse Kieselkörper in Phenol. a)–d) ihre allmähliche Verdichtung. Längsschnitt.
 „ 20. *Panicum plicatum*. Kieselzellen in Phenol. Ringbildungen und poröse Füllungen. Längsschnitt.
 „ 21. *Saccharum officinarum*. Entkieselte Kieselzellen, in a) mit abgerissener Wandverdickung. Längsschnitt.
 „ 22. *Saccharum officinarum*. Kieselzellen im Querschnitt. a) entkieselt, b) verkieselt.
 „ 23. „ „ Entkieselte Kieselzellen. Oberflächenansicht.
 „ 24. *Zea Mays*. Entkieselte Kieselzelle. Querschnitt.
 „ 25. *Uniola latifolia*. Kieselzellen in Phenol. a) Kieselring.
 „ 26. *Tripsacum dactyloides*. Kieselzellen in Phenol. Entwicklungsbilder.
 „ 27. *Panicum sanguinale*. Kieselzelle.
 „ 28. „ „ Kieselzellen in allerlei Entwicklungsstadien. b) c) f) poröse Füllungen.
 „ 29. *Bambusa nana*. Entwicklungsstadien (Kieselringe) in Phenol. Längsschnitte.
 „ 30 und 31. *Arundo Donax*. Bildung der Kurzzellen.
 „ 32. *Phleum pratense*. Trichome a) von oben, b) im Längsschnitt
 „ 33. *Saccharum officinarum*. Kieselzelle, schematisiert.
- Die Figuren 5–8 sind 700fach vergrößert, die übrigen 600 fach.









Literaturverzeichnis.

- Abshagen, U.** Untersuchungen über den Kieselgehalt von *Arundinaria japonica*. Diss. Kiel 1912.
- de Bary, A.** Vergleichende Anatomie. Leipzig 1877.
- Bulitsch, A.** Ausscheidungen von Kieselsäure in der Blattepidermis einiger Bromeliaceen. Justs Jahrb. 1893. I.
- Cario, K.** Anatomische Untersuchung von *Tristicha hypnoides*. Spr. Bot. Zeitung 1881.
- Czapek, Fr.** Biochemie der Pflanzen. 2. Bd. Jena 1905.
- Duval-Jouve.** Histotaxie des feuilles des Graminées. Ann. des sciences nat. Bot. 6. série. 1875.
- Grob, A.** Beiträge zur Anatomie der Epidermis der Gramineenblätter. Bibl. Bot. 1897. Stuttgart.
- Haberlandt, G.** Physiologische Pflanzenanatomie. Leipzig 1904.
- Hackel, E.** Gramineen in Engler u. Prantl, Natürliche Pflanzenfamilien. 1887. II. Teil.
- Hohenauer, F.** Vergleichend anatomische Untersuchungen über den Bau des Stammes bei den Gramineen. 1893.
- Heinricher, E.** Ein reduziertes Organ bei *Campanula persicifolia* und einigen andern *Campanula*-Arten. Ber. d. deutsch. bot. Ges. 1893. I.
- Höber, R.** Physikalische Chemie der Zelle. Leipzig 1911.
- Kaphahn, S.** Beiträge zur Anatomie der Rhynchosporeenblätter und zur Kenntnis der Verkieselungen. Heidelberg 1904.
- Kohl, F., G.** Anatomisch-physiologische Untersuchung der Kalksalze und Kieselsäure in der Pflanze. Marburg 1889.
- Küster, E.** Die anatomischen Charaktere der Chrysobalaneen, insbesondere ihre Kieselablagerungen. Bot. Zentr. 1897.
- Küster, E.** Ueber Kieselablagerungen im Pflanzenkörper. Ber. d. deutsch. bot. Ges. 1897.
- Lehmann, E.** Ueber den Bau und die Anordnung der Gelenke der Gramineen. Diss. Straßburg 1906.
- Lehmann, E.** Zur Kenntnis der Grasgelenke. Ber. d. deutsch. bot. Ges. 1906.
- Miliarakis, L.** Verkieselungen von elementaren Organen. Diss. Würzburg 1884.
- Möbius, M.** Ueber die Festlegung der Kalksalze und Kieselkörper in den Pflanzenzellen. Ber. d. deutsch. bot. Ges. 1908.
- v. Mohl, H.** Ueber das Kieselskelett lebender Pflanzenzellen. Bot. Zeitung 1861.
- Müller, O.** Ueber den feineren Bau der Zellwand der Bacillariaceen, insbesondere des *Triceratium Favus* Ehrbg. und der Pleurosigmen. Arch. f. Anat., Phys. und wiss. Medizin 1871.
- Pfeffer, W.** Pflanzenphysiologie. 2. Aufl. Leipzig 1897—1904.
- Pfitzer, E.** Ueber Spaltöffnungen der Gräser. Jahrbuch f. wiss. Bot. 1870.
- Rosanof, S.** Ueber Kieselsäureablagerungen in einigen Pflanzen. Bot. Zeitung 1871.
- Ruhland, W.** Studien über die Aufnahme von Kolloiden durch die pflanzliche Plasmahaut. Jahrbuch f. wiss. Bot. 1912.
- Sachs, J.** Ergebnisse einiger neueren Untersuchungen über die in Pflanzen enthaltene Kieselsäure. Flora 1860.
- Solereder, K.** Systematische Anatomie. Stuttgart 1908.
- Stahl, E.** Pflanzen und Schnecken. Jena 1888.
- Straßburger, E.** Über den Bau und die Verrichtungen der Leitungsbahnen in den Pflanzen. Jena 1891.
- Wieler, A.** Beiträge zur Anatomie des Stengels von *Saccharum*. Fünfstücks Beitr. 1897.
- Wiesner, J.** Einleitung in die technische Mikroskopie nebst mikroskopisch technischen Untersuchungen. Wien 1867.
- Wolff, E.** Aschenanalysen. 2 Bde. Berlin 1871/81.
- Zimmermann, E.** Mikrotechnik. Tübingen 1892.



Bibliotheca Botanica

Verzeichnis der bisher erschienenen Hefte

1. **Schenck, Dr. H.**, Vergleichende Anatomie der submersen Gewächse. Mit 10 Tafeln. Preis Mk. 32.—.
2. **Zopf, Dr. W.**, Botanische Untersuchungen über die Gerbstoff- und Anthocyan-Behälter der Fumariaceen. Mit 3 farbigen Doppeltafeln. Preis Mk. 30.—.
3. **Schiffner, Dr. V.**, Über *Verbascum-Hybriden* und einige neue Bastarde des *Verbascum pyramidatum*. Mit 2 Tafeln. Preis Mk. 4.—.
4. **Vöchting, Dr. H.**, Über die Bildung der Knollen. — Mit 5 Tafeln und 5 Figuren im Text. Preis Mk. 8.—.
5. **Dietz, Dr. Sándor**, Über die Entwicklung der Blüte und Frucht von *Sparganium Tourn.* und *Typha Tourn.* Mit 3 Tafeln. Preis Mk. 8.—.
6. **Schenk, Prof. Dr.**, Fossile Pflanzen aus der Albourskette. Mit 9 Tafeln. Preis Mk. 8.—.
7. **Rees, Dr. Max** und **Dr. C. Fisch**, Untersuchungen über Bau und Lebensgeschichte der Hirschtrüffel, *Elaphomyces*. Mit 1 Tafel und 1 Holzschnitt. Preis Mk. 5.—.
8. **Buchtien, Dr. O.**, Entwicklungsgeschichte des Prothallium von *Equisetum*. — Mit 6 Tafeln. Preis Mk. 10.—.
9. **Huth, Dr. E.**, Die Klettpflanzen mit besonderer Berücksichtigung ihrer Verbreitung durch Tiere. — Mit 78 Holzschnitten. Preis Mk. 4.—.
10. **Schulz, Aug.**, Beiträge zur Kenntnis der Bestäubungseinrichtungen und der Geschlechtsverteilung bei den Pflanzen I. Teil. Mit 1 Tafel. Preis Mk. 8.—.
11. **Wiegand, Dr. A.**, *Nelumbium speciosum*. — Nach des Verfassers Tode herausgegeben von Dr. E. Dennert. Mit 6 Tafeln. Preis Mk. 12.—.
12. **Stenzel, Dr. G.**, Die Gattung *Tubicaulis Cotta*. Mit 7 Tafeln. Preis Mk. 20.—.
13. **Geheeb, Adalbert**, Neue Beiträge zur Moosflora von Neu-Guinea. Mit 8 Tafeln. Preis Mk. 10.—.
14. **Oldmanns, Dr. Friedrich**, Beiträge zur Kenntnis der Fucaceen. Mit 15 Tafeln. Preis Mk. 32.—.
15. **Schumann, Dr. C. R. G.**, Anatomische Studien über die Knospenschuppen von Coniferen und dicotylen Holzgewächsen. Mit 5 Tafeln. Preis Mk. 10.—.
16. **Bucherer, Dr. Emil**, Beiträge zur Morphologie und Anatomie der Dioscoreaceen. Mit 5 Tafeln. Preis Mk. 10.—.
17. **Schulz, August**, Beiträge zur Kenntnis der Bestäubungseinrichtungen und Geschlechtsverteilung bei den Pflanzen. II. Teil. Preis Mk. 27.—.
18. **Walter, Dr. Georg**, Über die braunwandigen, sklerotischen Gewebeelemente der Farne, mit besonderer Berücksichtigung der sog. „Stützbündel“ Russow's. Mit 3 farbigen Tafeln. Preis Mk. 6.—.
19. **Beck von Mannagetta, Dr. Günther Ritter**, Monographie der Gattung *Orobanche*. Mit 4 farbigen Tafeln und 3 Karten. Preis Mk. 64.—.
20. **Rostowzew, J.**, Die Entwicklung der Blüte und des Blütenstandes bei einigen Arten der Gruppe *Ambrosieae* und Stellung der letzteren im System. Mit 7 Tafeln. Preis Mk. 10.—.
21. **Stenzel, Prof. Dr. G.**, Blütenbildungen beim Schneeglöckchen (*Galanthus nivalis*) und Samenformen bei der Eiche (*Quercus pedunculata*). Mit 6 Tafeln. Preis Mk. 29.—.
22. **Karsten, G.**, Über die Mangrove-Vegetation im Malayischen Archipel. Mit 11 Tafeln. Preis Mk. 24.—.
23. **Reinke, J.**, Beiträge zur vergleichenden Anatomie und Morphologie der Sphacelariaceen. Mit 13 Tafeln. Preis Mk. 24.—.
24. **Berckholtz, W.**, Beiträge zur Kenntnis der Morphologie und Anatomie von *Gunnera manicata* Linden. Mit 9 Tafeln. Preis Mk. 20.—.
25. **Krick, Fr.**, Über die Rindenknollen der Rotbuche. Mit 2 Tafeln. Preis Mk. 8.—.
26. **Wettstein, Dr. R. von**, Beitrag zur Flora Albaniens. Mit 5 Tafeln. Preis Mk. 24.—.
27. **Buchenau, Prof. Dr. Fr.**, Über den Aufbau des Palmiet-Schilfes aus dem Kaplande. (*Prionium serratum* Drège.) Mit 3 teilweise kolorierten Tafeln. Preis Mk. 18.—.
28. **Luerssen, Prof. Dr. Chr.**, Beiträge zur Kenntnis der Flora West- und Ostpreussens. I.-III. Mit 23 Tafeln. Preis Mk. 65.—.
29. **Pohl, Dr. Jul.**, Botanische Mitteilung über *Hydrastis canadensis*. Mit 4 Tafeln. Preis Mk. 8.—.
30. **Eifert, Dr. Th.**, Über die Auflösungsweise der sekundären Zellmembranen der Samen bei ihrer Keimung. Mit 2 Tafeln. Preis Mk. 8.—.
31. **Groppler, Dr. Rob.**, Vergleichende Anatomie des Holzes der Magnoliaceen. Mit 4 Tafeln. Preis Mk. 12.—.
32. **Jungner, J. R.**, Wie wirkt träufelndes und fließendes Wasser auf die Gestaltung des Blattes? Einige biologische Experimente und Beobachtungen. Mit 3 Tafeln. Preis Mk. 10.—.
33. **Mäule, C.**, Der Faserverlauf im Wundholz. Eine anatomische Untersuchung. Mit 2 Tafeln. Preis Mk. 8.—.
34. **Jarius, M.**, Untersuchungen über *Ascochyta Pisi* bei parasitischer und saprophyter Ernährung. Mit 1 Tafel. Preis Mk. 7.—.
35. **Schlickum, A.**, Morphologischer und anatomischer Vergleich der Kolyledonen und ersten Laubblätter der Keimpflanzen der Monokotylen. Mit 5 Tafeln. Preis Mk. 24.—.
36. **Grob, A.**, Beiträge zur Anatomie der Epidermis der Gramineenblätter. Mit 10 Tafeln. Preis Mk. 46.—.
37. **Zander, R.**, Die Milchsafthaare der Cichoriaceen. Mit 2 Tafeln. Preis Mk. 12.—.
38. **Gruber, F.**, Über Aufbau und Entwicklung einiger Fucaceen. Mit 7 Tafeln. Preis Mk. 24.—.
39. **Grüss, J.**, Über Lösung und Bildung der aus Hemicellulose bestehenden Zellwände und ihre Beziehung zur Gummosis. Mit 1 Tafel. Preis Mk. 7.—.
40. **Wahl, Dr. C. von**, Vergleichende Untersuchungen über den anatomischen Bau der geflügelten Früchte und Samen. Mit 5 Tafeln. Preis Mk. 16.—.
41. **Heydrich, F.**, Neue Kalkalgen von Deutsch-Neu-Guinea (Kaiser-Wilhelms-Land). Mit 1 Tafel. Preis Mk. 6.—.
42. **Vanhöffen, Dr. E.**, Botanische Ergebnisse der von der Gesellschaft für Erdkunde zu Berlin unter Leitung Dr. v. Drygalski's ausgesandten Grönlandexpedition nach Dr. Vanhöffens Sammlungen bearbeitet. A.: Kryptogamen. Mit 1 Tafel. Preis Mk. 12.—.
- 42^a. — — B.: Phanerogamen aus dem Ulmanaks- und Ritenbenks-Distrikt. Bearbeitet von Dr. J. Abromeit, Königsberg. Mit 4 Tafeln und 1 Textfigur. 1899. Preis Mk. 18.—.
43. **Richter, Dr. A.**, Über die Blattstruktur der Gattung *Cecropia*, insbesondere einiger bisher unbekannter *Imbauba*-Bäume des tropischen Amerika. Mit 5 Doppel- und 3 einfachen Tafeln. Preis Mk. 24.—.

Bibliotheca Botanica

Verzeichnis der bisher erschienenen Hefte (Fortsetzung)

44. **Geheeb, A.**, Weitere Beiträge zur Moosflora von Neu-Guinea. Mit 21 Tafeln. 1898. Preis Mk. 42.—.
45. **Darbishire, O. V.**, Monographia Roccelleorum. Ein Beitrag zur Flechtensystematik. Mit 29 Figuren im Text und 30 Tafeln. 1898. Preis Mk. 60.—.
46. **Minden, M. von**, Beiträge zur anatomischen und physiologischen Kenntnis Wasser-secernierender Organe. Mit 7 Tafeln. 1899. Preis Mk. 24.—.
47. **Knoch, E.**, Untersuchungen über die Morphologie, Biologie und Physiologie der Blüte von *Victoria regia*. Mit 6 Tafeln. 1899. Preis Mk. 17.—.
48. **Fisch, E.**, Beiträge zur Blütenbiologie. Mit 6 Tafeln. 1899. Preis Mk. 16.—.
49. **Heydrich, F.**, Über die weiblichen Conceptakeln von *Sporolithon*. Mit 2 Tafeln. 1899. Preis Mk. 6.—.
50. **Hämmerle, J.**, Zur Organisation von *Acer Pseudoplatanus*. Mit 1 Tafel. 1900. Preis Mk. 16.—.
51. **Sium-Jensen, J.**, Beiträge zur botanischen und pharmacognostischen Kenntnis von *Hyoscyamus niger* L. Mit 6 Tafeln. 1901. Preis Mk. 18.—.
52. **Uexküll-Gyllenband, M. von**, Phylogenie der Blütenform und der Geschlechterverteilung bei den Compositen. Mit 2 Tafeln. 1901. Preis Mk. 18.—.
53. **Correns, C.**, Bastarde zwischen Maisrassen, mit besonderer Berücksichtigung der Xenien. Mit 2 farbigen Tafeln. 1901. Preis Mk. 24.—.
54. **Richter, Dr. A.**, Physiologisch-anatomische Untersuchungen über Luftwurzeln, mit besonderer Berücksichtigung der Wurzelhaube. Mit 12 Tafeln. 1901. Preis Mk. 30.—.
55. **Stenzel, Dr. K. G. W.**, Abweichende Blüten heimischer Orchideen mit einem Rückblick auf die der Abietineen. Mit 6 Tafeln. 1902. Preis Mk. 28.—.
56. **Areschoug, Prof. Dr. F. W. C.**, Untersuchungen über den Blattbau der Mangrove-Pflanzen. Mit 13 Tafeln. 1902. Preis Mk. 24.—.
57. **Heydrich, F.**, Das Tetrasporangium der Florideen, ein Vorläufer der sexuellen Fortpflanzung. Mit 1 Tafel. 1902. Preis Mk. 6.—.
58. **Günthart, Dr. A.**, Beitrag zur Blütenbiologie der Cruciferen, Crassulaceen und der Gattung *Saxifraga*. Mit 11 Tafeln. 1902. Preis Mk. 28.—.
59. **Kroemer, Dr. H.**, Hypodermis und Endodermis der Angiospermenwurzel. Mit 6 Tafeln. 1903. Preis Mk. 28.—.
60. **Ursprung, Dr. A.**, Die physikalischen Eigenschaften der Laubblätter. Gekrönte Preisschrift. Mit 27 Figuren im Texte und 9 Tafeln. 1903. Preis Mk. 28.—.
61. **Freidenfelt, T.**, Der anatomische Bau der Wurzel in seinem Zusammenhange mit dem Wassergehalt des Bodens. (Studien über die Wurzeln krautiger Pflanzen II) Mit 5 Tafeln und 7 Textfiguren. 1904. Preis Mk. 20.—.
62. **Rumpf, Dr. G.**, Rhizodermis, Hypodermis und Endodermis der Farnwurzel. Mit 4 Tafeln. 1904. Preis Mk. 12.—.
63. **Lohaus, Dr. K.**, Der anatomische Bau der Laubblätter der Festucaceen und dessen Bedeutung für die Systematik. Mit 16 Tafeln. Preis Mk. 30.—.
64. **Lang, W.**, Zur Blüten-Entwicklung der Labiaten, Verbenaceen und Plantaginaceen. Mit 5 Tafeln. Preis Mk. 26.—.
65. **Domin, K.**, Monographie der Gattung *Koeleria*. Mit 22 Tafeln und 3 Karten. Preis Mk. 96.—.
66. **Mager, H.**, Beiträge zur Anatomie der physiologischen Scheiden der Pteridophyten. Mit 4 Tafeln. Preis Mk. 15.—.
67. **Pascher, A.**, Studien über die Schwärmer einiger Süßwasseralgeln. Mit 8 Tafeln. Preis Mk. 24.—.
68. **Matthiesen, Frz.**, Beiträge zur Kenntnis der Podostemaceen. Mit 9 Tafeln. Preis Mk. 18.—.
69. **Heinzerling, O.**, Der Bau der Diatomeenzelle mit besonderer Berücksichtigung der ergastischen Gebilde und der Beziehung des Baues zur Systematik. Mit 3 Tafeln. Preis Mk. 24.—.
70. **Kühns, R.**, Die Verdoppelung des Jahresringes durch künstliche Entlaubung. Mit 2 Tafeln. Preis Mk. 14.—.
71. **Wolf, Th.**, Monographie der Gattung *Potentilla*. Mit 2 Karten und 20 Tafeln. Preis Mk. 120.—.
72. **Focke, W. O.**, *Speciès Ruborum*. Monographiae generis *Rubi* Prodrum. Pars I. Iconibus LIII illustrata. Preis Mk. 40.—. Pars II. Iconibus XXXIV illustrata. Preis Mk. 40.—.
73. **Geheeb, A. und Th. Herzog**, *Bryologia atlantica*. Die Laubmoose der atlantischen Inseln (mit Ausschluß der europäischen und arktischen Gebiete). Mit 20 farbigen lithogr. Tafeln. Preis Mk. 80.—.
74. **Bitter, Gg.** Gattung *Acaena*. — Vorstudien zu einer Monographie. Mit 37 Tafeln und 98 Textillustrationen. Preis Mk. 100.—.
75. **Heydrich, F.**, *Lithophyllum incrustans* Phil. — Mit einem Nachtrag über *Paraspora fruticulosa* (Ktz.) Heydr. Mit 2 Tafeln. Preis Mk. 8.—.
76. **Fuchs, Josef**, Über die Beziehungen von Agaricineen und anderen humusbewohnenden Pilzen zur Mycorrhizenbildung der Waldbäume. Mit 4 Tafeln. Preis Mk. 10.—.
77. **Günthart, A.**, Beitrag zu einer blütenbiologischen Monographie der Gattung *Arabis*. Mit 2 Tafeln. Preis Mk. 16.—.
78. **Petrak, F.**, Der Formenkreis des *Cirsium eriophorum* (L.) Scop. in Europa. Mit 6 Tafeln und 1 Verbreitungskarte. Preis Mk. 24.—.
79. **Mylius, Georg**, Das Polyderm, eine vergleichende Untersuchung über die physiologischen Scheiden *Polyderma*, *Periderm* und *Endodermis*. Mit 4 Tafeln. Preis Mk. 28.—.
80. **Fleischer, Max**, Seltene sowie einige neue indische Archipelmoose nebst *Calymperopsis* gen. nov. Mit 7 Tafeln. Preis Mk. 18.—.
81. **Gerresheim, Eduard**, Über den anatomischen Bau und die damit zusammenhängende Wirkungsweise der Wasserbahnen in Fiederblättern der Dicotyledonen. Mit 7 Tafeln. Preis Mk. 16.—.
82. **Rippel, August**, Anatomische und physiologische Untersuchungen über die Wasserbahnen der Dicotylen-Laubblätter mit besonderer Berücksichtigung der handnervigen Blätter. Mit 4 Tafeln. Preis Mk. 15.—.
83. **Focke, W. O.**, *Speciès Ruborum*. Monographiae generis *Rubi* Prodrum. Pars III. Iconibus LXVII illustrata. Preis Mk. 84.—.
84. **Klinken, Johannes**, Ueber das gleitende Wachstum der Initialen im Kambium der Koniferen und den Markstrahlverlauf in ihrer sekundären Rinde. Mit 2 Tafeln, 1 Doppeltafel und 21 Textabbildungen. Preis Mk. 14.—.
85. **Domin, K.**, Beiträge zur Flora und Pflanzengeographie Australiens. Lieferung 1, 2 mit 8 Tafeln und 57 Textabbildungen. Preis Mk. 80.—.

BIBLIOTHECA BOTANICA

Original-Abhandlungen
aus
dem Gesamtgebiete der Botanik

Herausgegeben
von
Geh.-Rat Prof. Dr. Chr. Luerssen
Berlin-Charlottenburg

Heft 87

THEODOR HERZOG

Die Bryophyten meiner zweiten Reise durch Bolivia.

Mit 1 Karte (Taf. A) und Taf. I—VIII sowie 234 Textfiguren.



STUTTGART 1916
E. Schweizerbart'sche Verlagsbuchhandlung
Nägele & Dr. Sproesser

ARNOLD ARBORETUM,
JAMAICA PLAIN,
MASS.



BIBLIOTHECA BOTANICA

Original-Abhandlungen
aus
dem Gesamtgebiete der Botanik

Herausgegeben

von

Geh.-Rat Prof. Dr. Chr. Luerksen

Berlin-Charlottenburg

Heft 87

Dr. THEODOR HERZOG

Die Bryophyten meiner zweiten Reise durch Bolivia.

Mit 1 Karte (Taf. A) und Taf. I—VIII sowie 234 Textfiguren.

STUTT GART 1916

E. Schweizerbart'sche Verlagsbuchhandlung
Nägele & Dr. Sproesser.

Die Bryophyten

meiner zweiten Reise durch Bolivia.

Von

Dr. Theodor Herzog.

Mit 1 Karte (Taf. A) und Taf. I—VIII sowie 234 Text-Abbildungen.



STUTTGART 1916

E. Schweizerbart'sche Verlagsbuchhandlung
Nägele & Dr. Sproesser.

Alle Rechte, besonders das der Übersetzung, vorbehalten.

Vorwort.

Durch die sammlerischen Resultate einer wirtschaftlich-botanischen Forschungsreise durch Bolivia in den Jahren 1907/08 angeregt, unternahm ich im Herbst 1910 eine zweite Reise nach jenen so wenig bekannten Gegenden. Während aber auf meiner ersten Reise besonders die östlichen Tiefländer besucht worden waren und nur auf einer beschleunigten Durchreise Einblicke in die Natur des bolivischen Berglandes gewonnen wurden, lag der Schwerpunkt bei der zweiten Reise in der gründlichen Durchforschung der östlichen Cordillerenketten zwischen Santa Cruz und dem Hochplateau des Titikakasees. Kreuz- und Querreisen von Februar bis Anfang November 1911 lehrten mich dieses hochinteressante Gebirgsland bestens kennen und eine reiche Ausbeute lohnte meine botanischen Streifzüge.

In vorliegender Arbeit sind lediglich die Resultate auf bryologischem Gebiet niedergelegt. Meine Sammlungen von Phanerogamen und Gefäßkryptogamen befinden sich noch in Bearbeitung und werden an anderer Stelle veröffentlicht werden, wie auch die geographischen und geologischen Beobachtungen z. T. schon in Fachzeitschriften publiziert worden sind, z. T. erst erscheinen werden.

Eine Zusammenfassung meiner beiden Reisen habe ich in einem illustrierten Reisewerk „Vom Urwald zu den Gletschern der Kordilleren“ gegeben.

Bolivia ist wohl eines der interessantesten Gebiete Südamerikas, da nirgends sich aller Art Gegensätze so schroff begegnen wie in diesem, mitten in den Tropen aus Urwäldern und Pampas bis in die ewige Schneeregion emporsteigenden Lande.

Es war aber botanisch und besonders bryologisch bislang nur sehr mangelhaft bekannt, was aus der überaus großen Zahl neuer Arten und Gattungen, die es mir lieferte, zur Genüge hervorgeht. Waren schon die Laubmoose nur sehr ungenügend erforscht, so gilt dies in noch weit höherem Maße von den Lebermoosen, deren Ausbeute von meiner Reise nicht weniger als 53 Prozent Novitäten ergab.

Die erste Publikation, in welcher wir einen Überblick über die Laubmoose Bolivias erhalten, ist der „Prodromus Bryologiae Bolivianaë“ von C. Müller, in welchem 216 Arten aufgezählt und der größte Teil derselben als neu beschrieben werden; angefügt findet sich hier noch ein Katalog M a n d o n scher, durch S c h i m p e r bestimmter, aber nicht publizierter Arten.

Die von C. Müller beschriebenen Arten stammen einmal aus den Sammlungen R u s b y s und M a n d o n s, welche ausschließlich in der Soratakette sammelten, ferner von L o r e n t z, der die Grenzgebiete zwischen Argentinien und Bolivia ausgiebig durchforschte, und schließlich — der weitaus größte Teil — von dem Berufssammler G e r m a i n, der im Umkreis von Choquecamata, also dem Quellgebiet des Rio Tocarani, neben seiner Hauptbeschäftigung, dem Schmetterlingsfang, auch den Moosen einige Aufmerksamkeit schenkte.

Darauf folgte einige Jahre später eine mehrmonatige Reise des amerikanischen Botanikers R. S. Williams in die schon durch R u s b y teilweise bereisten Bergländer am Nordostabfall der Soratakette; auch die Puna um den Titikakasee wurde dabei besucht. Die Ergebnisse waren sehr befriedigend. Die Publikation „Bolivian Mosses“ in Bulletin of the New York Botanical Garden enthält 335 Arten, worunter 48 novae species.

Nur wenig später besuchte auch ich auf der Rückreise aus den östlichen Tiefebene die Cordillere und brachte davon eine größere Zahl von Laub- und Lebermoosen mit. Die ersteren sind mit den aus dem Osten stammenden Arten zusammen in den Beiheften des Botanischen Zentralblattes veröffentlicht worden; die Lebermoose (84 Arten) wurden von F. S t e p h a n i bestimmt, aber nicht im Zusammenhang publiziert, sondern lediglich dem Material der „Species Hepaticarum“ einverleibt.

Kurz nachher gelangten noch kleinere Sammlungen von den Herren Dr. O. B u c h t i e n, K. P f l a n z und F r a u E. K n o c h e, welche alle aus der Cordillera Real, also der gletschertragenden Hauptkette und ihren Abhängen stammen, zur Bearbeitung nach Europa. Ein Teil wurde von V. F. B r o t h e r u s, ein anderer von mir bestimmt und an verschiedenen Stellen veröffentlicht (siehe Literaturverzeichnis).

Trotzdem nun schon recht viel Material zusammengebracht worden war, sind die Ergebnisse meiner zweiten Reise noch über Erwarten günstig ausgefallen. Meine Ernte beläuft sich diesmal auf 706 Laubmoose und 444 Lebermoose, zusammen 1150 Bryophyten, welche in der vorliegenden Arbeit veröffentlicht werden.

In einem zweiten Abschnitt soll ein Überblick über alle bis jetzt in den bolivischen Cordilleren gefundenen Arten gegeben, die geographische Wertung der Einzelelemente und eine Schilderung der Formationen sowie besonders interessanter Gebiete versucht werden.

Bei dem großen Umfang dieser Moossammlung (es sind ca. 2500 Nummern) hätte eine Bearbeitung des Gesamtmaterials durch einen Einzelnen allzu lange gedauert. Auch war es in hohem Maße wünschenswert, für bestimmte Gruppen Spezialisten zur Bearbeitung zu gewinnen.

Meine Bitte um freundliche Mithilfe bei der großen Arbeit schlug nicht fehl, und es ist mir heute ein Bedürfnis, dem Dank, den ich meinen Herrn Mitarbeitern gegenüber empfinde, Ausdruck zu geben.

In opferwilligster Weise übernahm Herr F. S t e p h a n i die Bestimmung meiner Lebermoose. Die betreffende Abteilung in dieser Publikation und die vorzüglichen Abbildungen der zahlreichen neuen Arten verdanke ich seiner liebenswürdigen Mithilfe, wofür ich hier meinen herzlichsten Dank ausspreche.

Ebenso tief bin ich Herrn V. F. B r o t h e r u s zu Dank verpflichtet für die überaus große Hilfe, welche er mir einmal durch die Bearbeitung schwieriger Gruppen, wie der *Andreaeales*, der *Bryaceen* und der Gattung *Rhizohypnum*, dann aber auch durch die Revision meiner eigenen Bestimmungen erwies. Die zahlreichen Diagnosen neuer Arten aus seiner Feder habe ich absichtlich unverändert gelassen und nicht meinem eigenen Beschreibungsmodus angepaßt, um eben die Eigenart des Autors in jeder Beziehung zu wahren.

Die Gattung *Philonotis* bearbeitete Herr D i s m i e r, der gründliche Kenner dieser schwierigen Gattung, Herr Prof. J. R ö l l bestimmte die Arten der Gattung *Sphagnum* und Herr L. L o e s k e übernahm mit bekannter Bereitwilligkeit die *Drepanocladen* meiner Ausbeute. Auch Herr J. C a r d o t lieh mir in manchen Fällen seine wertvolle Hilfe und Erfahrung.

Ihnen allen sowie der D i r e k t i o n des Kgl. Botanischen Museums in Dahlem, welche mir die Benützung des C. Müllerschen Herbars gütigst gestattete, sage ich hier meinen aufrichtigen Dank.

Zürich, im Januar 1914.

Th. Herzog.

I. Einleitung.

Die 1910/11 bereisten Gebiete gehören orographisch zu den Hochgebirgsketten der bolivischen Cordillere und ihren östlichen Abdachungen gegen die Tiefländer des Amazonas und Paraguay; sie fallen klimatisch auf die Grenze zwischen dem äquatorialen tropisch-heißen und dem subtropischen Bezirk. Dementsprechend ist ihr Vegetationscharakter in den einzelnen Teilen, je nach der Zugehörigkeit zu dem einen oder anderen Bezirk, sehr verschieden. Daß er oft auch auf engem Raum gegensätzlich beschaffen ist, geht auf die Tatsache zurück, daß die bolivische Ostcordillere zwischen *Cochabamba* und *Santa Cruz*, also dasjenige Gebiet, welches ich gerade am eingehendsten durchforschte, eine Wetter-scheide ersten Ranges bildet und infolgedessen an ihren entgegengesetzten Abhängen eine völlig verschiedene Pflanzendecke trägt.

Die Streichrichtung der Ostcordillere ist annähernd West-Ost. Der Nordabhang, welcher von tiefen schluchtartigen und zum weitaus größten Teile unwegsamen Tälern durchrissen, gegen die Ebenen des Amazonastieflandes absinkt, ist lückenlos von üppigem Regenwald bekleidet; es herrscht eine ungeheure Feuchtigkeit, da die Niederschläge hier in Höhen über 1500 m ein Maximum erreichen. Genaue Messungen liegen zwar nicht vor, doch dürfte die jährliche Regenmenge kaum unter 3000 mm betragen.

Der Südbhang ist Trockengebiet.

Um die Ausbreitung des Waldes und den Verlauf seiner Höhengrenzen zu verstehen, ist die Kenntnis der orographischen Verhältnisse der Ostcordillere unerlässlich. Eine Darlegung derselben erübrigt sich, da ich dafür auf meine zusammenfassenden Ausführungen in Petermanns Geogr. Mitteilungen verweisen kann. Kurz rekapitulierend mag hier nur erwähnt sein, daß die Kammhöhe der Ostcordillere von Westen nach Osten hin allmählich abnimmt. Während im Westen eine breite Masse von mehreren Parallelketten — etwa NW—SO streichend — ins eigentliche Hochgebirge eintaucht, wo auf viele Kilometer Erstreckung nicht einmal ein Blick ins waldige Tal zu erhaschen ist, bildet das Gebirge weiter östlich einen verhältnismäßig scharfen Kamm, der als schmaler Streifen von Hochgebirgscharakter auf der einen Seite, gegen Norden, von dicht bewaldeten niederen Bergketten und Tälern, auf der anderen Seite — im Süden — von Höhen und Talschaften ausgesprochen trockenen Klimacharakters begleitet wird. Schließlich senkt sich der Kamm so weit, daß über die auf 2800 m erniedrigte Schwelle der Wald von Norden herüberfluten kann und nun je nach den örtlichen Verhältnissen auch mehr oder weniger weit entweder auf den jenseits ausstrahlenden Kämmen oder auch in den Tälern südwärts sich ausbreitet. Dieses Übergreifen des Waldes auf die Südseite beginnt in der Nähe der markanten Berggestalt des *Cerro Bravo* bei *Comarapa*.

Dieser Ort, welcher bei meinen Fundortsangaben so oft wiederkehrt, liegt also ziemlich genau an der Grenze zwischen Regenwald und Trockengebiet. Die Verteilung des Waldes auf den Höhen um *Comarapa* ist nun sehr charakteristisch; sie gibt ein getreues Abbild der klimatischen Verhältnisse und diese wieder spiegeln sich am deutlichsten in der Bewölkung und den Niederschlägen des Gebietes. Kaum 15 km von *Comarapa* entfernt, im Talgrund des *Rio Comarapa*, welcher inmitten typischer Dornbuschformationen und Felssteppen gen Süden fließt, erhebt sich der Kamm der Ostcordillere.

Ihre Höhen sind meist mit Wolken bedeckt, die wie schmale Bänke aus schneeweißer Watte auf ihnen lagern, häufig aber auch, wie Polypenarme, Wolkenfahnen oder Nebelstreifen über die das Tal von Comarapa beidseitig begrenzenden Käme aussenden. Unmittelbar neben diesen an den Kämmen scheinbar unbeweglich klebenden Nebeln strahlt über dem ganzen Land eine glühende Sonne, lacht der blaueste Himmel. Dem entspricht nun mit photographischer Treue auch die Vegetation des Gebietes. Im Tal von Comarapa und seinen beidseitigen Hängen eine typische Xerophytengesellschaft, auf den Höhen taleinwärts dagegen ein ganz schmaler Streifen typischen Nebelwaldes, der mit seinen Epiphyten und seinem dichten Moospelz schon die ganze Üppigkeit des auf der nördlichen Gebirgsflanke herrschenden Bergwaldes widerspiegelt. Als schmaler Saum umgibt ihn ein Streifen Wiesenlandes, saftiger Alpenwiesen mit kleinen Gesträuchen, deren floristische Zusammensetzung ebenfalls auf die andere Gebirgsseite hinweist. Trotz dieses vermittelnden Zwischengebietes sind aber die Gegensätze noch so nahe zusammengerückt, daß man leicht in der Zeit von 2 Stunden aus dem Dornbusch des Tales mit *Capparis Fiebrigii*, *Aspidosperma Quebracho blanco*, *Bougainvillea*, dornigen Mimosen und zahllosen Cacteen in den tiefenden Nebelwald aus *Podocarpeen*, *Weinmannien* und *Escallonien* mit seiner Fülle von Baumfarnen, epiphytischen Orchideen und Moosen gelangt.

Die „im Nebelwald über Comarapa“ gesammelten Moose, über 200 Arten, stammen alle aus einem kaum mehr als 1 km langen Streifen Wald, dem ich freilich 4 Tage widmen konnte.

Die Regenwälder am Nordabhang des Hauptkammes lernte ich kurz nachher in den Talschaften des Rio San Mateo kennen. Dieselben sind von Comarapa aus in einer Tagreise über die ca. 2800 m hohe Abra de San Mateo zu erreichen. Beim Aufstieg an der Südseite begleiten uns Dorngebüsche und lichte Wäldchen bis ca. 2400 m, dann folgen magere, blumige Triften, von Sträuchern und einzelnen Bäumen durchsetzt; ganz auf der Höhe erscheint schließlich alpiner Rasen. Hier fliegen uns schon die von Norden herübergepeitschten Nebel ins Gesicht. Jenseits kaum 50 m über steilen Rasenhang absteigend erreicht man die Waldgrenze.

Es ist die erste Stelle, von Osten nach Westen gerechnet, wo der Wald nicht mehr ganz die Kammhöhe erklettert.

Ich stieg auf der Nordseite bis ca. 1400 m am Rio San Mateo hinab. Den Rückweg aus den Waldtälern von San Mateo nahm ich auf dem noch unvollendeten, äußerst mühseligen Weg nach dem Sunchaltal und Pojo hinüber. Er führt im Aufstieg andauernd durch unsäglich üppigen Wald voll Farnen und Moosen. Die Zahl der hier aufgenommenen Arten kann nur als kleine Stichprobe gelten, da die Verhältnisse kein ausgiebiges Sammeln gestatteten. Der Kamm wird etwa bei 3000 m erreicht. Auch hier bleibt der Wald etwa 100 m unter der Wasserscheide zurück. Wieder folgt gegen Süden ein nur wenige 100 m breiter Saum von saftigen Alpenwiesen, dann steigt man durchs trockene, von xerophytischen Formationen beherrschte Sunchaltal nach Pojo hinab. — Dies nur ein knapp umrissenes Situationsbild aus einem meiner ergiebigsten Sammelgebiete.

Östlich vom Cerro Bravo breitet sich der Wald schon lückenlos über Berge und Täler, so daß die Cordillere von Santa Cruz zu ihrem größten Teil, wenigstens nördlich des Rio Pirai, reines Waldland ist. Eine vertikale Höhengrenze findet der Wald hier, wenn wir ihm die Gesträuchformationen beirechnen, nicht. Seine klimatische Höhengrenze liegt hier wesentlich höher als die im Maximum auf 2300—2400 m ansteigenden Berge. Der Übergang vom Hochwald zu den Gesträuchformationen ist hier lediglich durch den Charakter der Örtlichkeit bestimmt und hängt stets von der örtlichen Kulmination, nicht von der absoluten Höhe ihrer Lage ab.

So finden wir in den östlichsten Ketten der Cordillere von Santa Cruz, die ich während der Monate Februar und März 1911 in der Umgebung des Karawanenweges nach Cochabamba genauer kennen lernte und auch auf meiner ersten Reise im Gebiet des Cerro Amboró besucht hatte, schon bei 1400—1600 m Höhe Gesträuchwuchs an Stelle des Waldes, aber immer nur an exponierten Kämmen um die Gipfel, während in nächster Nähe an höher aufragenden Bergmassen der Wald bedeutend höher steigt. Die Waldgrenze ist hier also nur infolge der Erniedrigung der Gesamterhebungen stark herabgedrückt.

Die klimatisch bedingte Höhengrenze des tropischen Bergwaldes läßt sich demnach nur an den Hängen des Hochgebirges, wo seinem Aufsteigen keine örtliche Grenze gesetzt ist, beobachten. Hier ist sie ziemlich konstant und schwankt nach meinen Messungen zwischen 3200 m und 3400 m. Dies gilt gleicherweise für die Ostcordillere (C. de Cocapata) wie für die Cordillere von Quimzacruz, soweit dieselben Hochgebirge sind und zusammenhängende Erhebungen bilden. Ein tieferer Einschnitt im klimascheidenden Kamm dagegen wirkt jedesmal erniedrigend auf die Waldgrenze ein. Sehr schön läßt sich das bei den benachbarten Tälern des Rio Corani und Rio Paracti beobachten, wo im Coranital, der Lücke des oberen Coranitales mit seiner Öffnung gegen das trockene und rauhe Bergland von Tiraque entsprechend, die Waldgrenze um mindestens 200 m tiefer liegt, als in seinem Paralleltal, das durch die hohe Mauer der Cerros de Malaga gegen Süden abgeschlossen ist.

In der Cordillere von Cocapata (westlicher Teil der Cordillera Oriental), welche während 4 Monaten mein Arbeitsfeld bildete, bereiste ich alle Täler des NO-Hanges, also die des Rio Paracti (mit den Stationen Incacorral, Locotal und San Miguelito, von wo noch über einen Paß des Santa Rosa-Weges auch das obere Stück des Espiritu Santo-Tales besucht wurde), des Rio Corani, des Rio Tablas, R. Tablas monte, R. Altamachi und R. Tocarani. Bei den Tälern des Tablas monte und Altamachi, welche einen sehr langen Verlauf innerhalb des Hochgebirges haben, erreichte ich die Waldgrenze nicht, während ich am Rio Paracti und Espiritu Santo sowie am Tablas bis auf ca. 1400 m hinabstieg, am Rio Corani bis 1600 m und am Rio Tocarani bis ca. 2000 m. Ich lernte hier die Vegetation der Waldtäler gründlich kennen, und die Zahl der Moose, welche mir diese Reisen lieferten, ist sehr bedeutend.

An dieser Stelle mögen daher einige Bemerkungen Platz finden über den allgemeinen Landschafts- und Vegetationscharakter derjenigen Fundorte, welche in meinen Angaben häufiger wiederkehren. Auf der Übersichtskarte, in welcher die Waldgrenze eingezeichnet ist, sind dieselben besonders vermerkt.

Die Natur des Reisens in jenen Gegenden bringt es mit sich, daß man auf langen Strecken oft nur ganz cursorisch zu sammeln vermag, dann aber an einem besonders reich erscheinenden Ort längere Zeit Station macht und von da aus die nächste Umgebung, oft innerhalb mehrerer Tage nur wenige 100 m im Radius, genauestens durchforscht. Diese Methode liefert sehr befriedigende Resultate.

So widmete ich mehrere Tage des Monats Juni 1911 der nächsten Umgebung von Incacorral, das ich schon auf meiner ersten Reise im Januar 1908 kennen gelernt hatte. Die Hütten dieser Siedelung am Karawanenweg nach Santa Rosa del Chapore liegen auf einer Talterrasse, die durch den Einfluß des Menschen in ihrem Äußeren stark beeinflußt ist. Infolge wiederholter Rodungen — es wird ja nie lange der gleiche Boden bestellt — hat sich hier ein Wechsel zwischen Kulturland, alten Waldinseln und neu heranwachsenden Gehölzen von verschiedenem Alter ergeben. Die Blumenpracht in diesen „Barbechos“ ist noch im Juni — Winteranfang — ganz großartig.

Die lichten Gehölze sind eine reiche Fundgrube für Moose, da hier in der fast immer feuchten Luft alle Ästchen und Auszweigungen der Sträucher und Bäume mit Moosen und Flechten (besonders *Collemben*) wie mit Schneeflocken dicht besetzt sind. Jenseits des in tiefer Schlucht dahinbrausenden Flusses breitet sich dagegen noch unberührter, von Nässe triefender Urwald, in dessen tiefem Schatten zahllose Rinnsale über moosige Steine plätschern und die Äste der Bäume von Hängemoosen überladen sind. Die mittlere Höhe dieser Station ist etwa 2200 m. Locotal, weiter talabwärts bei ca. 1600 m liegt am Ausgang einer wilden Schlucht, wo schon Felsen als Unterlage in der Moosflora eine wichtige Rolle spielen. Von San Miguelito, ca. 1450 m, führt dann der Weg über mehrere waldige Schwellen hinweg, häufig durch prachtvollen Hochwald mit moosigem Untergrund, wo die Hauptmenge der Moose auf Felsblöcken, faulem Holz und dem Wirrsal gefallener Äste, oft auch auf modernden Farnwedeln und faulendem Laub in ewiger Feuchtigkeit wächst. Dieser Charakter verstärkt sich noch jenseits des Waldsattels Sillar, in den Schluchten, die gegen den Espiritu Santo hinabziehen; die Üppigkeit der Farn- und Moosvegetation ist hier stellenweise ungeheuer. — Durch einen Unfall wurde ich leider an der Weiterreise verhindert.

Eine der häufigst wiederkehrenden Fundortsangaben ist „die Waldgrenze über T a b l a s“. Diese Stelle ist in einer starken Tagreise von C o c h a b a m b a aus zu erreichen und befindet sich zur Seite des Weges, der am H u a n u a r a s e e vorbei den Bergwall im Norden von C o c h a b a m b a bei ca. 4200 m übersteigt, jenseits über die grasige Hochebene von P a l c a und C a l u y o hinausführt und schließlich von der Hochfläche eines „Paramo“ steil ins T a b l a s t a l hinabsteigt. Der Rand dieses Plateaus befindet sich bei etwa 3700 m. 300 m tiefer wird die Waldgrenze in einer kleinen Depression erreicht. Hier stellte ich mein Zelt für 2 Tage auf und durchstreifte während dieser Zeit die nächste Umgebung. Die Mulde selbst, in der das Zelt stand, war zum Teil sumpfig; an anderen Stellen durchbrach der anstehende Fels die steilen Grashänge. 2 kleine Bäche durchschnitten dieselben in schattigen Einrissen, in welchen hohe Kräuter und dünne Bambuse wuchsen. Rings wurde diese Mulde von hartlaubigen Gesträuchdickichten umsäumt, in welchen besonders die zusammenhängende Moosdecke über dem Humus und den faulenden Resten von Holz und Laub einen Höhepunkt der Üppigkeit erreichte. Ich bezeichne dieses von Moosen förmlich ausgepolsterte und verklebte Dickicht als „Buschfilz“.

Einen Tag später lagerten wir auf einer kleinen Stufe über der Schlucht des T a b l a s f l u s s e s. Die Abhänge von dieser Terrasse in die von majestätischem Urwald erfüllte Schlucht hinab boten in ihren feuchten Falten ebenfalls einen ungeheuren Reichtum an Moosen, besonders an zarten Lebermoosen, die alle Ästchen und toten Blätter überzogen. Die floristische Zusammensetzung war hier bei einer Höhe zwischen 1800 und 2000 m fast völlig verschieden von der nur wenige Stunden entfernten Stelle an der Waldgrenze.

Das untere T a b l a s t a l ergab weniger Interessantes in bryologischer Hinsicht, schon weil die beschleunigte Reise ein ergiebiges Suchen nicht gestattete. Dafür war der Rückweg durch das C o r a n i t a l um so einträglicher.

Sein unterer Teil, wo der Weg in romantischer Felsschlucht den Fluß überschreitet, bot eine Fülle von interessanten Funden. Meine Höhenangaben auf dieser Strecke bis zur Siedelung C o r a n i bewegen sich zwischen 1600 und 2000 m und sind überall nur als angenäherte Werte zu betrachten, da die hier gesammelten Moose alle auf der Durchreise aufgenommen wurden. Nach diesen Stichproben zu urteilen, liegt hier ein ganz besonders reiches, ich möchte sagen, unerschöpflich abwechslungsreiches Gebiet vor, das sicher bei genauerer Durchforschung eine Unmenge interessanter Arten liefern würde. Fast ebenso ergiebig gestaltete sich auch der obere Abschnitt des Tales, wo die Mehrzahl der Arten in Höhen zwischen 2400 und 2600 m gesammelt wurden. Leider mußte ich wegen Zeitmangels eine sehr interessante Formation an der Waldgrenze, ausgedehnte Torfmoore mit gewaltigen Puyahorsten, ganz zur Seite liegen lassen.

Eine Reise in das von Cochabamba ziemlich weit entfernte T o c o r a n i t a l bot wiederum viel Neues, obwohl auch hier nur ein im Verhältnis zu der ungeheuren Ausdehnung des Waldes winziges Gebiet genauer durchforscht werden konnte. Gerade diese letzte Reise zeigte mir aber aufs deutlichste, wie hier eigentlich jedes Tal seine eigene Moosflora hat, so daß man immer und immer wieder — auch wenn man ähnliche Gebiete wiederholt bereist, doch stets wieder Neues findet.

Daß aber der allgemeine floristische Charakter auf weite Strecken hin gleich bleibt und namentlich im obersten Waldgürtel auch gewisse Leitarten allgemein verbreitet sind, bewies mir ein Besuch des Bergwaldes auf der Ostseite der Cordillere von Q u i m z a c r u z im Tal des R i o S a u j a n a. Die Funde von hier stimmen größtenteils mit denjenigen aus der Ostcordillere überein, können übrigens kein ganz befriedigendes Bild seines Reichtums geben, da wegen mangelnder Sammlungsrequisiten nur eine enge Auswahl der gefundenen Arten mitgenommen werden konnte.

Mit diesen durch das Massenauftreten der Moose charakterisierten Formationen der Täler und Talhänge ist aber der Reichtum der Cordillere an Bryophyten keineswegs erschöpft. Mindestens ebenso interessant und an eigenartigen Typen wohl noch reicher ist das eigentliche Hochgebirge. Ich habe es in der unvergletscherten Hochcordillere von C o c a p a t a an vielen Stellen bis auf die Gipfelhöhen über 5000 m kennen gelernt und bin in der Gletschercordillere von Q u i m z a c r u z auf die höchsten Spitzen, also weit über die heutige Schneegrenze hinaus gelangt, so daß meine Funde aus diesen Gebieten ein zuverlässiges Bild von dem Charakter ihrer Moosvegetation geben können. Der Reichtum

an Arten ist im Verhältnis zu der physiognomisch unbedeutenden Rolle, welche die Moose hier spielen, ganz gewaltig und wohl bedeutender als z. B. in den Alpen. Ich habe über der Gesträuchgrenze nicht weniger als 270 Arten Laubmoose gefunden — und das ist gewiß nicht mehr als zwei Drittel der wirklich hier vorhandenen Arten! Die Zahl der Lebermoose ist dagegen sehr unbedeutend, aber trotzdem durch sehr eigenartige Typen ausgezeichnet.

Über die Lage der einzelnen Fundorte orientiert man sich am besten auf der beigegebenen Karte Taf. A. Einer der ergiebigsten war das obere Llavetal am Cerro Tunari in einer Höhe von 4200 bis 4600 m, und das Hochtal von Viloco in der Cordillere von Quimzacruz, wo Moose von 4300 bis 5000 m gesammelt wurden.

Näheres über die Hochgebirgsmoose selbst und ihre geographische Verbreitung bringe ich in einem späteren Abschnitt.

II. Systematischer Teil.

Sphagnales.

Sphagnaceae.

Sphagnum Ehrh. in Hannov. Mag. 1780.

1. **Sphagnum sparsum** Hpe. (Acutifolia).
Im Buschfilz des Hartlaubgehölzes an der Waldgrenze über Tablas, ca. 3400 m, No. 2834.
Große, dichte Rasen vom Habitus des Sph. acutifolium bildend.
2. **Sphagnum meridense** C. M. (Acutifolia).
Am Wegrand im feuchten Bergwald des Sillar (Espiritu-Santo-Weg) große Rasen bildend.
ca. 1800 m, No. 2686.
3. **Sphagnum pulchricoma** C. M. (Cuspidata).
In einem kleinen Sumpf an der Waldgrenze über Tablas, ca. 3400 m, No. 2835.
4. **Sphagnum platyphylloides** Warnst. (Subsecunda).
In einem kleinen Sumpf an der Waldgrenze über Tablas, ca. 3400 m, No. 2836, mit vorigem.
5. **Sphagnum erythrocalyx** Hpe. (Cymbifolia).
Im Buschfilz und an lichterem Stellen an der Waldgrenze über Tablas, ca. 3400 m, No. 2826.
Ausgedehnte schwammige Rasen ganz vom Habitus des Sph. medium Limpr. bildend.

Andreaeales.

Andreaeaceae.

Andreaea Ehrh. in Hannov. Mag., 1778.

Subgen. *Euandreaea* Lindb.

6. **Andreaea arachnoidea** C. M. (Fig. 1. 1).
An Felsen beim Huailattanisee (Quimzacruz-Cordillere), ca. 4900 m, No. 2961; mehrfach im
Hochtal Viloco (Quimzacruzcord.), 4400—4700 m, No. 3144, 3153, 3154, 3155; an
Schieferfelsen bei der Cumbre de Tiquipaya, ca. 4000 m, No. 2654 f. tenella; an
Schieferfelsen der Yanakakabastion, ca. 4000 m, No. 3731; an Schieferfelsen des
Cerro Tunari, ca. 5000 m, No. 4771 forma sine filis.
var. **gracilis** Broth. nov. var.
An Felsen im obersten Montehuaikotal, ca. 3800 m, No. 3756.

7. *Andreaea Lorentziana* C. M.

Mehrfach an Felsen im Hochtal von Viloco (Quimzacruz-Cord.) 4400—4700 m, No. 3143, 3203, 3204, 3205; im Pajonaltal, über 4000 m, No. 3281; an Schieferfelsen eines Gipfels der Yanakakabastion, ca. 4600 m, No. 3730.

Diese und die vorhergehende Art waren bisher nur im Hochgebirge von Argentinien bekannt, sind aber auch in den Hochanden von Bolivia über 4000 m weit verbreitet.

8. *Andreaea angustifolia* Broth. n. sp.

Gracillima, caespitosa, caespitibus densis, atropurpureis, opacis; caulis erectus, usque ad 2,5 cm longus, dense foliosus, ramosus, ramis fastigiatis; folia sicca arcte imbricata, humida erecto-patentia, concava, anguste ovato-lanceolata, acuta, marginibus superne incurvis, enervia, cellulis valde

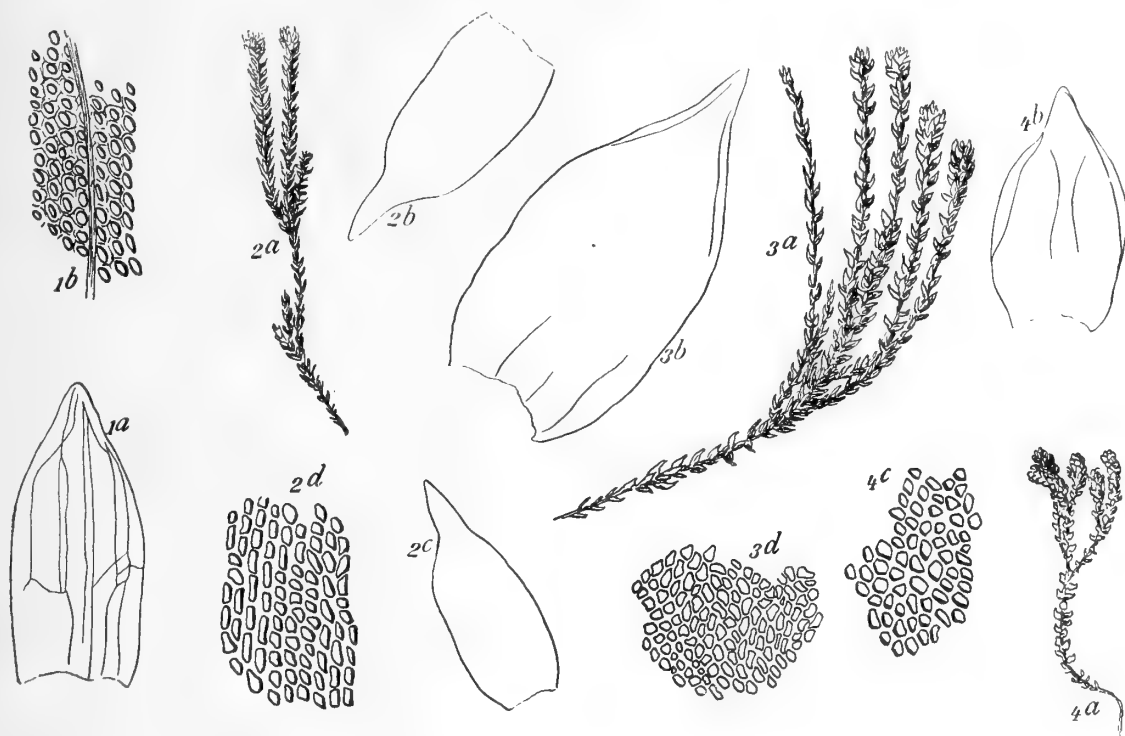


Fig. 1. 1. *Andreaea arachnoidea* C. M., No. 4771. a Blatt, b Zellnetz mit Pilzhyphe aus der B.mitte 250:1; 2. *A. tunariensis* Broth. No. 4812. a Habitusbild 3:1, b, c Blätter 30:1, d Zellnetz aus d. B.mitte 250:1; 3. *A. erythrodictyon* H., No. 4842, a Habitusbild 3:1, b Blatt 30:1, c Zellnetz in d. B.mitte 250:1; 4. *A. clavata* Broth., No. 4785. a Habitusbild 3:1, b Blatt 30:1, c Zellnetz in d. B.mitte 250:1.

incrassatis, sublaevibus, superioribus lumine minutissimo, plerumque ovali, basilaribus lumine angustissime lineari. Caetera ignota.

Huailattani, Quimzacruz, alt. 4900 m, No. 2965.

Species statura gracillima neon foliorum forma et structura dignoscenda.

9. *Andreaea dissitifolia* Broth. n. sp.

Gracilescens, caespitosa, caespitibus densis, molliculis, atrofuseis, opacis; caulis usque ad 7 cm longus, flexuosus, tenuis, laxe foliosus, vage ramosus; folia sicca laxe imbricata, humida patula, concava, ovata, breviter acuminata, marginibus ubique erectis, enervia, cellulis parum incrassatis, lumine ovali, sublaevibus, basilaribus rectangularibus. Caetera ignota.

Im Hochtal von Viloco, Quimzacruz, ca. 4600 m, No. 3159.

10. *Andreaea vilocensis* Broth. n. sp.

Robustiuscula, caespitosa, caespitibus densis, atropurpureis, opacis; caulis usque ad 7 cm longus, ultra medium ob folia destructa nudus, dein dense foliosus, superne ramosus, ramis fastigiatis;

folia sicca imbricata, humida erecto-patentia, concava, panduraeformia, lanceolato-acuminata, obtusa, marginibus apice cucullato-incurvis, dorso papillis densis, hyalinis, ventro filis parallelis, hic illic anastomosantibus obtecta, enervia, cellulis incrassatis, superioribus lumine minutissimo, subrotundo vel ovali, basilaribus lumine angustissimo. Caetera ignota.

Hochtal Viloco, Quimzaeruz No. 3189, 3190.

Species *A. erythrodictyoni* Herz. affinis, sed foliorum forma et reticulatione dignoscenda.

11. **Andreaea tunariensis** Broth. n. sp. (Fig. 1.2).

Gracilis, caespitosa, caespitibus densiusculis, fuscis, opacis; caulis usque ad 3 cm longus, flexuosus, inferne ob folia destructa nudus, dein densiuscule foliosus, ramosus; folia sicca laxè imbricata, humida subsquarroso-patula, concava, panduraeformia, breviter acuminata, obtusa, marginibus erectis, enervia, cellulis laminalibus incrassatis, lumine minutissimo subrotundo vel ovali, basilaribus anguste rectangularibus, omnibus laevibus. Caetera ignota.

Tunari, alt. ca. 5000 m No. 4812, 4865.

Species *A. erythrodictyoni* Herz. ut videtur affinis, sed foliis subsquarroso-patulis, panduraeformibus, cellulis incrassatis, laevibus dignoscenda.

12. **Andreaea barbuloides** Broth. n. sp.

Gracilis, caespitosa, caespitibus laxiusculis, fusco-viridibus, opacis; caulis usque ad 2 cm longus, flexuosus, inferne ob folia destructa nudus, dein densiuscule foliosus, ramosus; folia sicca adpressa apice plerumque patente, humida subsquarroso-patula, concava, e basi ovali sensim longe et anguste lanceolata, acuta, marginibus erectis, enervia, cellulis valde incrassatis, superioribus lumine subrotundo, dorso grosse papilloso, basilaribus elongatis, lumine angustissimo; bractae perichaetii multo majores, erectae, e basi longe vaginante sensim lanceolato-subulatae, dorso superne scaberrimae.

Hochtal Viloco, Quimzaeruz, alt. 4600 m No. 3158.

Species distinctissima, habitu barbuloideo foliorumque forma et structura faciliter dignoscenda.

13. **Andreaea clavata** Broth. n. sp. (Fig. 1.4).

Gracilescens, caespitosa, caespitibus densis, faciliter dilabentibus, atrofuscis, opacis; caulis erectus, usque ad 4 cm altus, dense et clavato-foliosus, superne ramosus, ramis fastigiatis vel simplex; folia sicca imbricata, humida suberecta, cochleariformi-concava, obovata, brevissime acuminata, obtusa, marginibus apice cucullato-incurvis, dorso papillis densis, hyalinis, ventro filis parallelis, hic illic anastomosantibus obtecta, enervia, cellulis haud incrassatis, superioribus minutissimis, subrotundis, basilaribus breviter rectangularibus. Caetera ignota.

Felsen am Huailattanisee, alt. 4900 m No. 2958, typus; Tunari, alt. 5000 m No. 4785
(forma foliis filis deficientibus).

var. **tenuior** Broth. n. var.

A. perimbricata Broth. in sched.

Gracillima; caulis usque ad 7 cm longus, tenuissimus, ultra medium ob folia destructa nudus, dense sed haud clavato-foliosus; folia filis nullis.

Huailattani, Quimzaeruz No. 2960.

Species caule elongato, clavato-folioso foliorumque forma faciliter dignoscenda.

14. **Andreaea laticuspes** Broth. n. sp.

Robustiuscula, caespitosa, caespitibus densis, atrofuscis, opacis; caulis erectus, usque ad 2,5 cm longus, inferne ob folia destructa nudus, dein densiuscule foliosus, superne ramosus, ramis fastigiatis; folia sicca laxè imbricata, humida patentia, cochleariformi-concava, late ovalia, brevissime et late acuminata, obtusa, marginibus apice cucullato-incurvis, dorso papillis densis, hyalinis, ventro plerumque filis parallelis, hic illic anastomosantibus obtecta, cellulis haud incrassatis, superioribus minutissimis, subrotundis, basilaribus breviter rectangularibus. Caetera ignota.

Huallattani, Quimzacruz, alt. 4900 m No. 2959, typus; Cord. de Cocapata, Yanakaka, alt. 4500 m No. 4500, forma foliis filis deficientibus.

Species praecedenti affinis, sed statura robustiore, foliis patentibus, late ovalibus, acumine lato dignoscenda.

15. **Andreaea erythrodictyon** Herzog in Beih. Bot. Centr. 1909 (Fig. 1. 3).

An überrieselten Felsen in dem nach N herabziehenden Schneetälchen unter dem Gipfel des Cerro Tunari, ca. 5000—5200 m, No. 4778 u. 4842.

16. **Andreaea robusta** Broth.

An überrieselten Felsen im Hochtal Viloco (Quimzacruz-Cord.), ca. 4600—4800 m. No. 3191. Prachtvolle, tief- und breitrasige Art von rötlicher Färbung!

Subgen. *Chasmocalyx* Lindb.

17. **Andreaea subenervis** Mitt.

An überfluteten Steinen in kalten Wasserläufen des Hochtales von Viloco, ca. 4700 m, No. 3120 u. 3202; im Abfluß des Huallattanisees, ca. 4900 m, No. 2952; im Schneetälchen des Cerro Tunari, ca. 5100 m, No. 4764.

Sehr eigentümliche, kräftige Art, die an ihren großen, fast kreisrunden, löffelartig-hohlen Blättern und ihrem Firnisglanz leicht zu erkennen ist.

War bisher nur aus den Hochcordilleren von Columbien und Ecuador bekannt und gehört in einen antarktischen Verwandtschaftskreis.

Eubryales.

Dicranaceae.

Ditrichieae.

Pleuridium Brid. Mant. Musc.

18. **Pleuridium andinum** Herzog nov. spec. (Sclerastomum).

Dense caespitosum humile lutescenti-virens nitidulum, caule simplici 0,5 cm longo comoso-foliato. Folia inferiora breviter ovata conchiformi-concava obtusa cucullata, media breviter subulata, comalia longius subulata subula subaequilonga, omnia superne margine eroso-denticulata denticulis hic illic subrecurvis, nervo in foliis superioribus valido superne profunde sulcato inde subduplo, cellulis basi laxioribus rectangulis superne elongate hexagonis vel subrhombis luteis in latere dorsali parietibus incrassatis. Sporogonium immersum, seta quam theca subaequilonga (0,6 mm) tenuissima straminea recta, theca crasse ovoidea apiculata, calyptra late cucullata; spora grosse papillosae, diametro 0,024 mm, ochraceae.

Zwischen Gras an trockenen Abhängen im oberen Llavetal, ca. 4200 m, No. 4846.

Die erste Art der Gattung aus Hochgebirgslagen.

Ditrichum Timm Flor. megap.

19. **Ditrichum submersum** Card. et Herzog nov. spec. (Tafel 1, Fig. 2).

Sterile; submersum, caulibus ad 10 cm longis dichelymoidibus iterum ramosis ramis parallelis tenuibus caudatis, obscure olivaceum inferne nigricans. Folia sat laxe disposita appressa humefacta vix mutata duriuscula 6—7 mm longa, e basi anguste oblonga vaginante raptim in subulam rectam longissimam (4—5 mm) setosam in extremo apice quasi abrupto

remote pauciserratam constricta, nervo valido subulam totam replente stereidium fasciculis 2 suffulto viridi, cellulis laminae elongatis angustis subprosenchymaticis in crassatis superne abbreviatis subobliquis, alaribus nullis.

Untergetaucht im Glazialsee Iscayuni bei Montebianco, Quimzacruz ca. 4700 m, No. 2953.

Habituell der *Blindia inundata* Card. nahestehend, aber durch das Fehlen der Blattflügelzellen sofort von ihr zu unterscheiden.

20. *Ditrichum capillare* (C. M.) Par.

Leptotrichum C. M. in Prodr. Bryol. Bol. I. c.

Meist an Steinen und humusbedeckten Felsen: An der Waldgrenze über Tablas, ca. 3400 m, No. 2867; im Oberen Tocoranital, ca. 2800 m, No. 4084; im Unteren Coranital, ca. 2000 m, No. 4674; zwischen San Mateo und Sunchal, No. 4487.

Verbreitet; schon auf der ersten Reise an der Abra de San Benito, ca. 3900 m, gesammelt.

Tristichium C. M. in Linnaea XLII.

21. *Tristichium Lorentzii* C. M. (Fig. 2.).

1. forma typica Herzog (Fig. 2.₁).

Auf dem Paramo von Caluyo sehr spärlich, ca. 3800 m, No. 2927; im oberen Llavetal zusammen mit der f. intermedia, ca. 4200 m, No. 4790.

2. forma intermedia Herzog (Fig. 2.₂).

A typo differt seta parum longiore (ad 3 mm) suberecta flexili, theca ovali.

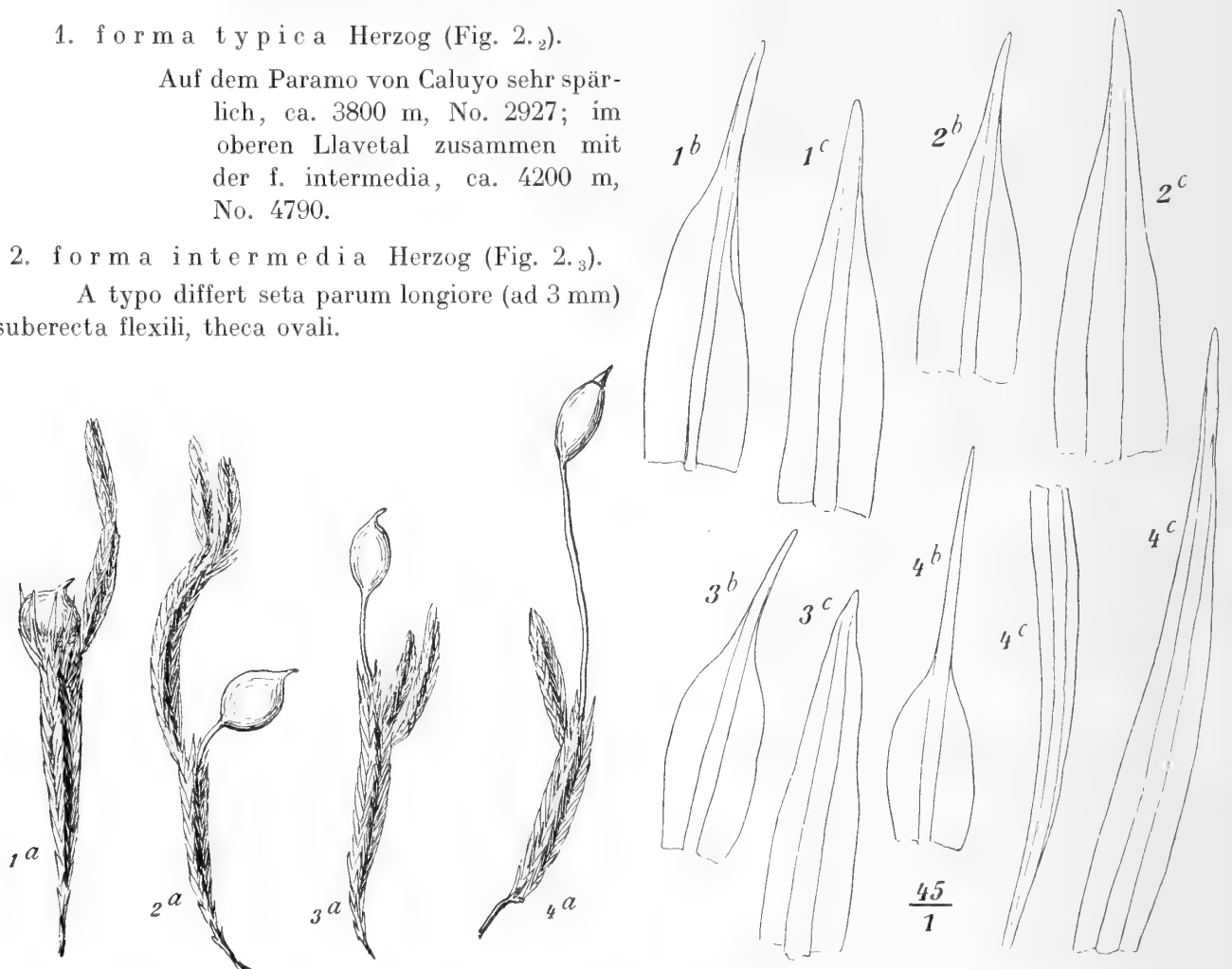


Fig. 2. 1. *Tristichium Lorentzii* C. M. var. *apodum* H., No. 3831. a Habitus 10 : 1, b Blatt 45 : 1, c Perichaetialblatt 45 : 1; 2. *Tristichium Lorentzii* C. M., No. 2927. a Habitus 10 : 1, b Blatt 45 : 1, c Perichaetialblatt 45 : 1; 3. *Tristichium Lorentzii* C. M. f. *intermedia* H., No. 2616. a Habitus 10 : 1, b Blatt 45 : 1, c Perichaetialblatt 45 : 1; 4. *Tristichium mirabile* (C. M.) H., No. 3108. a Habitus 10 : 1, b Blatt 45 : 1, c Perichaetialblatt 45 : 1.

Im oberen Llavetal, ca. 4200 m, No. 4790/a; unter dem Cerro Incachacca, ca. 4600 m, No. 2616.

var. **apodum** Herzog nov. var. (Fig. 2.₁).

Caespites sat densi, 1—2 cm alti; theca apoda, immersa, matura decidua.

Auf den spärlich begrastten Kämmen der Yanakakaberge, ca. 4600 m, No. 3831.

Die Gattung *Tristichium*, zu der auch *Tristichiopsis mirabilis* C. M. gehört, ist im bolivianischen Hochgebirge formenreich entwickelt und läßt alle Übergänge von der Stegokarpie zur Kleistokarpie erkennen. Die extremst kleistokarpe Form ist var. *apodum*. Die forma intermedia stellt dagegen eine Zwischenstufe zwischen *Tr. Lorentzii* und *Tristichiopsis mirabilis* C. M. dar. Sie ist noch völlig kleistokarp, besitzt aber eine längere Seta und eine mehr eiförmige bis elliptische Kapsel. Die Gattung *Tristichiopsis* hat keine Berechtigung mehr und ich stelle daher *T. mirabilis* C. M., welche ich in den Hochgebirgen Boliviens ebenfalls mehrfach auffand, zu *Tristichium*.

22. **Tristichium mirabile** (C. M.) Herzog (Fig. 2.₄).

An der Waldgrenze über Tablas, ca. 3400 m, No. 2857; im oberen Llavetal, ca. 4200 m, No. 4787; im Hochtal von Viloco, ca. 4600 m, No. 3108.

Astomiopsis C. Müll. in Linnæa XLIII.

23. **Astomiopsis amblyocalyx** C. M.

Auf Erdstellen der Hochgebirgstriften im oberen Llavetal, ca. 4300 m, No. 4789 mit *Pleuridium andinum* H., *Tristichium Lorentzii* C. M., *Funaria tucumanica* Broth., einigen *Mielichhoferien*, *Stephaniella boliviensis* St., *Petalophyllum bolivianum* St., eine höchst interessante Association bildend, aber sehr spärlich.

Stimmt mit dem Müller'schen Original sehr gut überein.

Distichium Bryol. eur.

24. **Distichium capillaceum** (Sw.) Br. eur.

Am Bachrand bei der Mine Viloco (Quimzacruz-Cord.), ca. 4350 m, No. 3132.

var. **strictifolium** (C. M.) Herzog = *D. strictifolium* C. M. in Prodr. Bryol. Bol. I. c.

Zwischen Granitblöcken im Hochtal von Choquecota chico, ca. 4500 m, No. 3185; an Felsen des Cerro Tunari, ca. 4600—4700 m, No. 4823, 4824; zwischen Felsblöcken um den Tunarisee, ca. 4400 m, No. 4934, 4935.

Da ich keine spezifischen Unterscheidungsmerkmale finden konnte, schließe ich die Müller'sche Art als Varietät dem weitverbreiteten *D. capillaceum* an.

Das Moos wächst in der Hohecordillere immer in sehr üppigen, reich fruchtenden Rasen!

Ceratodon Brid. Bryol. univ. I.

25. **Ceratodon novogranatensis** Hpe.

Auf Erdstellen an der Waldgrenze über Tablas, ca. 3400 m, No. 2880.

Dicranelleae.

Ångstroemia Bryol. eur.

26. **Ångstroemia julacea** (Hook.) Mitt.

An der Waldgrenze über Tablas, ca. 3400 m, No. 2880/a; im Hochtal von Viloco (Quimzacruz-Cord.), ca. 4600 m, No. 3207.

Auf schwarzer Humuserde über der Waldgrenze gewiß weit verbreitet, aber ziemlich selten fruchtend.

Polymerodon Herzog in Beih. Bot. Centr. 1909.

27. **Polymerodon andinus** Herzog in Beih. Bot. Centr. 1909.

Am gleichen Standort wie auf der ersten Reise reichlich (Llavetal) und in bester Sporogonreife gesammelt.

Im Habitus erinnert die Art sehr an *Dicranella macrostoma* (C. M.); die sehr abweichende Struktur der Peristomzähne läßt sie aber nicht in der Gattung *Dicranella* unterbringen.

Dicranella Schimp. Coroll.

Subgen. *Microdus* Schimp.

28. **Dicranella nanocarpa** (C. M.).

Angstroemia C. M. in Prodr. Bryol. l. c.

Mit voriger Art an unbewachsenen Erdstellen zwischen Incacorral und Paracti, ca. 2100 m, No. 5006.

Subgen. *Dicranella* Sens. strict. Lindb.

29. **Dicranella Perrottetii** (Mont.) Mitt.

Am feuchten Wegrand bei San Miguelito, ca. 1600 m, No. 2777; stimmt genau mit Exemplaren (No. 2752), die R. S. Williams in Bolivia sammelte, überein.

30. **Dicranella Guilleminiana** (Mont.) Hpe.

An unbewachsenen Erdstellen zwischen Incacorral und Paracti, ca. 2100 m, No. 5005.

31. **Dicranella Beyrichii** Hpe.

An feuchten Felsen im Unteren Coranital, ca. 1600 m, No. 4675, reichlich fruchtend.

32. **Dicranella heteromalla** (Dill.) Schimp.

D. crassinervis (Hpe.) Jaeg.

An der Waldgrenze zwischen San Mateo und Sunchal, ca. 2900 m, No. 4434.

Die Exemplare unterscheiden sich von europäischen Pflanzen nur durch die verkürzten Blattzellen und stimmen mit den Hampeschen Originalen von *D. crassinervis* gut überein.

Subgen. *Anisothecium* Mitt. Musc. austr. americ.

33. **Dicranella Jamesonii** (Tayl.).

An feuchten Abhängen zwischen Mocoya- und Tarujumañabach (Aracatal) ca. 3400 m, No. 2998; große, spangrüne, sterile Rasen bildend.

34. **Dicranella campylophylla** (Tayl.) Jaeg.

Am Bachufer bei der Mine Viloco, ca. 4350 m, No. 3130, steril; im oberen Llavetal an feuchten Stellen, ca. 3800 m, No. 4827, c. fr.!

35. **Dicranella laxiretis** Herzog nov. spec.

Sterilis; dense caespitosa laete viridis inferne lutescens opaca, caulibus 5 cm altis erectis iterum divisis zonatis densiuscule foliatis. Folia duriuscula flexuoso-incurva, e basi amplexante breviter triangulari sensim subulata canaliculata obtusiuscula integerrima, nervo viridi subulam occupante, cellulis laminae medianis laxis collabentibus rectangulis, marginalibus multo minoribus, omnibus tenuibus.

An quelligen Stellen in der Quebrada de Pocona, ca. 2800 m, No. 3472, am Bachrand bei der Saittulaguna, ca. 4200 m, No. 2652.

Der *D. Jamesonii* (Tayl.) sehr nahestehend, nur durch den Habitus und die auffallend lockeren Blattzellen unterschieden; vielleicht nur eine Form derselben.

36. **Dicranella submacrostoma** Broth. n. sp.

Diöica; gracilescens, caespitosa, caespitibus densis, fusciscenti-viridibus, inferne fuscis, opacis;

caulis erectus, usque ad 3 cm longus, fusco-radiculosus, dense foliosus, simplex vel furcatus; folia sicca flexuoso-adpressa, humida erecto-patentia, e basi brevi, late vaginante raptim lanceolato-subulata, obtusa, marginibus erectis vel superne anguste recurvis, integerrimis, nervo lato, usque ad apicem folii a lamina distincto, cellulis superioribus subquadratis, dein breviter rectangularibus, basilaribus multo laxioribus, oblongo-hexagonis; seta vix ultra 1 cm alta, tenuis, lutescenti-rubra; theca erecta, ovalis, atropurpurea, laevis; operculum e basi conica longe et oblique subulatum, subula thecae longitudinis.

Cerros de Malaga, alt. 4000 m, No. 4402.

Species *D. macrostomae* (C. Müll.) affinis, sed statura paulum robustiore, foliis latius vaginantibus, subula robustiore, nervo latiore, seta brevior, theca minore, ovali, haud macrostoma, atropurpurea, operculo longius rostrato dignoscenda.

Hygrodicranum Cardot in Rev. Bryol. 1911, No. 3.

37. **Hygrodicranum bolivianum** Herzog nov. spec. (Tafel I, 1).

Sterile; late caespitosum submersum, caulibus simplicibus vel paucidivisis rigidulis 4—15 cm longis obscure viridibus nigricantibus vix nitidulis. Folia duriuscula laxepatula apicibus flexuosis patentissimis vel subrecurvis sicca haud mutata 4 mm longa, e basi concava accumbente late ovata in subulam longam canaliculatam superne subteretem sulcatam contracta, obtusiuscula, nervo valido viridi basi complanato stereidium fascieulis 2 ducibusque nonnullis amplis exstructo superne subulam totam occupante, cellulis laminae plerumque bistratosi rectangularis margine minoribus brevioribus in vicinitate nervi multo laxioribus.

Untergetaucht in einem Glazialtümpel am Cerro Incachacca, ca. 4600 m, No. 2599; an Steinen im Bach, oberes Llavetal, ca. 4200 m, No. 4832; in einem Quellbach des Pajonaltales, ca. 4000 m, No. 3264; in einem Quellbach der Cerros de Malaga, ca. 4000 m, No. 4359.

Im Habitus dem *H. falklandicum* Card. ähnlich. Unterscheidet sich durch den steiferen Wuchs, weniger verkrümmte Blätter, derbere Textur, in der Pfrieme verkürzte, überhaupt kleinere und derbere, weniger regelmäßig 2-schichtige Blattzellen.

Rhabdoweisiae.

Rhabdoweisia Bryol. eur.

38. **Rhabdoweisia fugax** (Hedw.).

In Felsritzen und an steilen Wegeinschnitten über der Waldgrenze häufig, z. B. an der Waldgrenze über Tablas, ca. 3400 m, No. 2905; in den Estradillas über Incacorral, ca. 3400 m, No. 3341 (schon auf der ersten Reise da gesammelt und als *Rh. Lindigiana* Hpe. bestimmt); an den Cerros de Malaga, ca. 4000 m, No. 4351; zwischen San Mateo und Sunchal, ca. 3000 m, No. 4437.

Oreoweisia De Not. Epil.

39. **Oreoweisia Lechleri** (C. M.) Par.

Auf schwarzer Humuserde an Felsen und steilen Rasenhängen in der Hochcordillere die häufigste Art der Gattung. Z. B. im Hohtal von Viloco, ca. 4600 m, No. 3114, 3156; im Piñasgebiet gegen den Cerro Incachacca, ca. 4400 m, No. 2603/a; im oberen Chocayatal, über 4000 m, No. 3581; am Tunarisee, ca. 4400 m, No. 4892.

40. **Oreoweisia laxiretis** Broth. in herb.

Innerhalb der Waldregion, aber stets an deren oberer Grenze, häufiger als die übrigen Arten der Gattung, meist große, hellgrüne, schwammige Polsterrasen bildend. Schon auf der ersten Reise in den Estradillas bei Incacorral gesammelt und als forma elata zu

O. Lechleri gestellt. Die Art ist auf Exemplaren, von O. Buchtien bei Unduavi (Bolivia) 3300—3400 m gesammelt, begründet. Ich fand sie noch an folgenden Orten: An der Waldgrenze über Tablas, ca. 3400 m, No. 2876; im Buschfilz an der Waldgrenze des Rio Saujana, ca. 3400 m, No. 3243, 3275; im unteren Chocayatal, No. 3611; im oberen Tocarantal, 2600—2800 m, No. 4088, 4055; zwischen San Mateo und Sunchal, ca. 2800 m, No. 4489, 4506.

41. *Oreoweisia ligularis* Mitt.

Auf schwarzer Humuserde. An der Waldgrenze über Tablas, ca. 3400 m, No. 2948; in den Bergen der Yanakakabastion, ca. 4000 m, No. 3834; im oberen Llavetal, ca. 4200 m, No. 4803.

42. *Oreoweisia bogotensis* Hpe.

Im Pajonaltal (Quimzacruz-Cord.), ca. 4200 m, No. 3265.

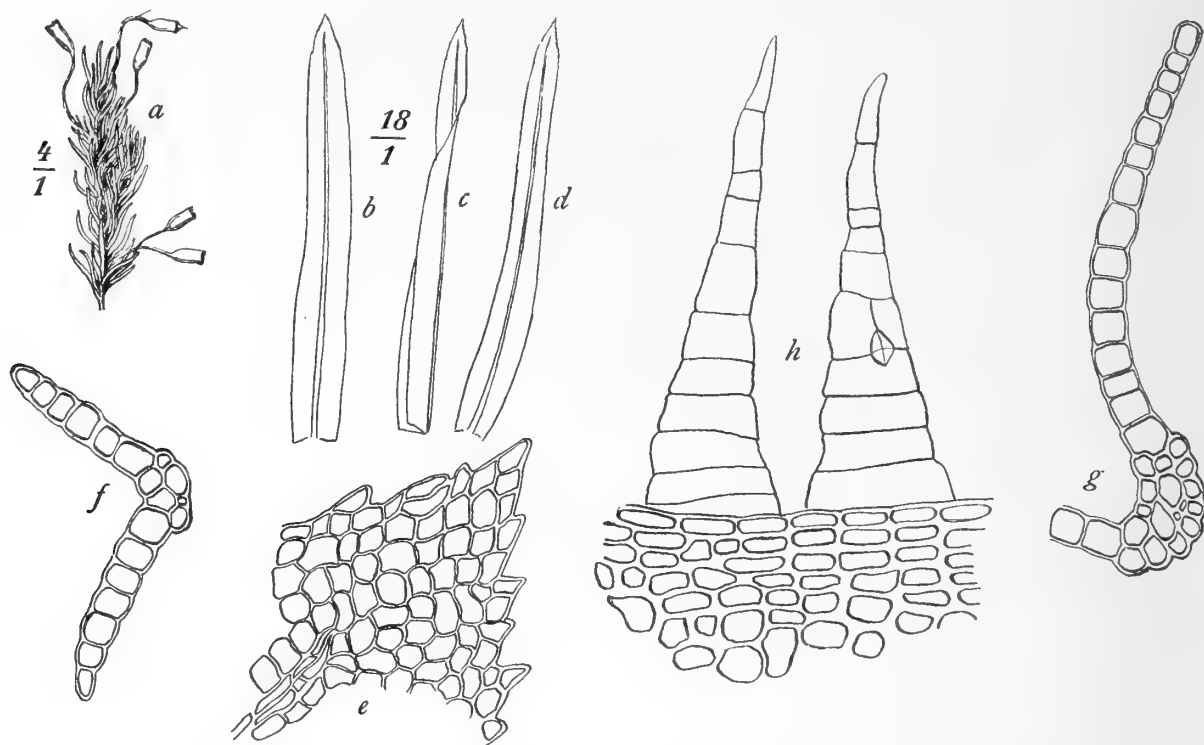


Fig. 3. *Oreoweisia tunariensis* H. n. sp. a Habitus einer fertilen Sproßspitze 4 : 1; b, c, d Blätter 18 : 1; e Blattspitze 250 : 1; f, g Blattquerschnitte 250 : 1; h 2 Peristomzähne 250 : 1.

43. *Oreoweisia ampliata* Mitt.

An Felsen beim Tunarisee, ca. 4400 m, No. 4919.

44. *Oreoweisia tunariensis* Herzog nov. spec. (Fig. 3).

Paroica; turgide caespitosa caespitibus 3 cm altis amoene virentibus intus flavidis. Caulis iterum divisus dite fructiferus. Folia sat laxe disposita sicca contorta, humida mollia, 3—3,5 mm longa, e basi parum latiore anguste ligulari-linearia, acuta, margine inferiore explanato undulato integerrimo, superne carinata apice obtuse crenato-serrata, nervo ante apicem evanido, cellulis laxiusculis hexagono-rotundis chlorophylloso-obscuris sublaevissimis, inferioribus elongate rectangulis pellucidis. Seta 5—6 mm longa flexuosa sicca erecta straminea; theca parva ut plurimum 1,2 mm longa, oblongo-elliptica sub ore parum contracta cinnamomea, operculo breviter rostrato, peristomio sat brevi aurantiaco.

An Felsen beim Tunarisee, ca. 4400 m, No. 4906.

Unterscheidet sich von der verwandten *O. Lechleri* (C. M.) durch die längeren Blätter und größeren glatten Blattzellen wie auch die kürzeren und breiter zugespitzten Peristomzähne.

Dicraneae.

Dicranoweisia Lindb.
in Öfvers K. Vet.-Ak. Förh.
1864.

45. **Dicranoweisia flexipes** Herzog nov. spec. (Fig. 4. 1).

Autoica; flore masculino terminali vel laterali, bractea perigoniali unica, ovali, rotundato-obtusa vel apiculata, nervo tenui, longe infra apicem bractee evanido, cellulis superioribus laxe rhomboideis; gracilis, caespitosa, caespitibus densiusculis, mollibus, viridibus, inferne fusciscentibus, opacis; caulis erectus, usque ad 2 cm longus, parce radiculosus, densiuscule foliosus, plerumque furcatus; folia sicca flexuoso-patula, humida squarrosa, carinato-concava, e basi brevi, ovali sensim breviter lanceolato-subulata, obtusiuscula, marginibus ultra medium anguste recurvis, integerrimis, nervo tenui, continuo, ducibus nonnullis ventralibus, cellulis laminalibus quadratis, 0,010—0,012 mm, chlorophyllosis, basilaribus multo majoribus, rectangularibus, hyalinis, marginem versus brevioribus, infimis brevibus, laxis, alaribus haud diversis, omnibus laevissimis; bractee perichaetii internae e basi alte et late vaginante breviter subulatae, integerrimae; seta 5 mm vel paulum ultra longa, superne cygnoideo-arcuata, tenuissima, lutea; theca turgide ovalis, brevicollis, pallide fuscida, laevis; annulus latus, revolubilis; peristomium rudimentarium, aurantiacum, laevissimum; spori 0,015—0,020 mm, fusciduli, laeves; operculum e basi conica oblique rostratum, rostro brevi, obtuso.

An Felsblöcken beim Tunarisee, ca. 4400 m, No. 4894.

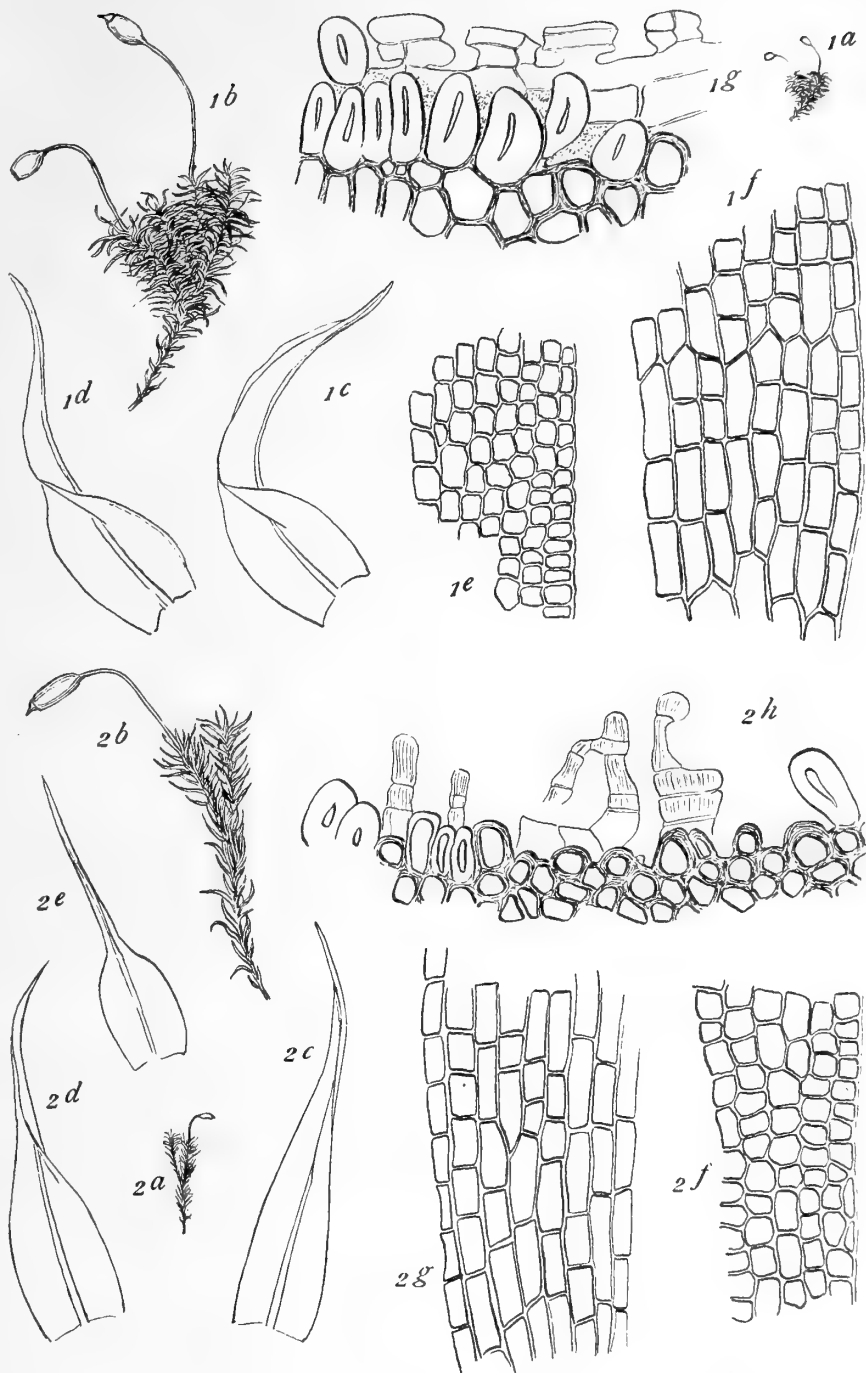


Fig. 4. 1. *Dicranoweisia flexipes* Herzog. a Habitus 1:1, b Habitus 4:1, c, d Blätter, e Blattrand oben 250:1, f Blattecke 250:1, g Peristom 250:1; 2. *Dicranoweisia fallax* H. a Habitus 1:1, b Habitus 4:1, c, d, e Blätter, f Blattrand oben 250:1, g Blattecke 250:1, h Peristom 250:1.

46. **Dicranoweisia fallax** Herzog nov. spec. (Fig. 4.₂).

Paroica; dense pulvinato-caespitosa caespitibus lutescenti-viridibus intus fusciscentibus ca. 2 cm altis. Folia sat dense disposita, sicca contorte inflexa, humida flexuosa *suberecto-patentia*, e basi ovata subulata, subula curvata carinata aequilonga *obtusa* vel acutiuscula integerrima, marginibus erectis vel in uno latere anguste reflexis, nervo debili fusciscente completo, cellulis basi laxe breviter rectangulis, medianis longioribus angustioribus alaribus haud diversis, superioribus sensim brevioribus in apice quadratis vel hexagonis chlorophyllosis omnibus laevissimis; perigonia conchiformi-concava breviter ovata obtusa, perichaetalia e basi late ovata in subulam angustam constricta, flore ♂ et ♀ in gemma terminali unitis. Seta humida *cygnoideo-arcuata*, sicca erigescens bis flexa straminea, 3—4 mm longa; theca *elliptico-cylindrica*, laevis pallide olivacea ore rubro cineta, annulo uniseriali dein diffracto deciduo, operculo conico breviter oblique rostrato; *peristomium rudimentarium brevissimum pallidum verticaliter striolatum*; spori laevissimi ochracei.

An Felsblöcken beim Tunarisee, ca. 4400 m, No. 4800 u. 4882; an Felsblöcken im Hochtal von Viloco, ca. 4400 m, No. 3134.

Mit *D. flexipes* H. sehr nahe verwandt, aber durch den Blütenstand, die aufrechter abstehenden Blätter und das Peristom verschieden.

Symblepharis Mont. Ann. Sc. Nat. Ser. II T. VIII.

47. **Symblepharis boliviana** C. M.

An Baumästen im obersten Gürtel des Bergwaldes, wie es scheint, verbreitet. An der Waldgrenze über Tablas, ca. 3400 m, No. 2844/a; im Bergwald des Rio Saujana, ca. 3200 m, No. 3219; im Nebelwald über Comarapa, ca. 2600 m, No. 4244; Quebrada de Pocona, No. 5142.

Holomitrium Brid. Bryol. univ. I.

48. **Holomitrium macrocarpum** C. M.

An Baumstämmen und Ästen im oberen Waldgürtel sehr häufig; große, üppige, meist reich fruchtende Rasen von tief grüner Färbung bildend. Im Nebelwald über Comarapa, ca. 2600 m, No. 3822, 3809, 3933, 3965, 4212; im Bergwald des Meson bei Samaipata, ca. 2000 m, No. 4132; im Bergwald von Tres Cruces (Cord. von Santa Cruz), ca. 1400—1500 m, No. 3996; im oberen Coranital, ca. 2600 m, No. 3420, 5074; im Bergwald von Florida de San Mateo, ca. 2000—2500 m, No. 3651; an der Waldgrenze des Rio Saujana, ca. 3400 m, No. 3237.

Dicranum Hedw. Fund. II.

Subgen. *Chorisodontium* Mitt.

49. **Dicranum speciosum** (Hook. u. Wils.).

Auf Baumästen um die Waldgrenze, wohl verbreitet, aber meist steril. Im Nebelwald über Comarapa, ca. 2600 m, No. 3964; an der Waldgrenze über Tablas, ca. 3400 m, No. 2885, 2886 c. fr.!

50. **Dicranum nigricans** Herzog in Beih. Bot. Centr. 1909.

Zwischen Felsblöcken an der Abra de San Benito, ca. 3900 m, No. 3355, der gleiche Fundort, wie auf der ersten Reise.

Subgen. *Dicranum* sens. strict. Limpr. Laubm. I.

51. **Dicranum bolivianum** C. M.

D. flaccidissimum C. M.

In der Talschlucht von Tablas an feuchten Felsblöcken, ca. 1800 m, No. 4640 c. fr.!: an der Waldgrenze über Tablas, ca. 3400 m, No. 2917 ster.; im Nebelwald über Comarapa, ca. 2600 m, No. 4191 *f. flaccidissima* (C. M.). Nach Einsicht der Originale von *D. flaccidissimum* C. M. muß ich dieselben aus Mangel unterscheidender Merkmale zu *D. bolivianum* C. M. ziehen.

Campylopus Brid. Mant.

Subgen. *Pseudocampylopus* Limpr. Laubm. I.

52. **Campylopus jugorum** Herzog in Beih. Bot. Centr. 1909.

An begrasten Felsen bei der Abra de San Benito, ca. 3900 m, No. 3356, an der gleichen Stelle, wie auf der ersten Reise; im oberen Llavetal, ca. 4300 m, No. 4902.

53. **Campylopus subjugorum** Broth. in Botan. Jahrb. Bd. 49.

An Felsen des Cerro San Luis (Quimzacruz-Cord.), 5200—5300 m, No. 2962; an Felsen des Cerro Tunari, ca. 5000 m, No. 4784.

Vielleicht nur eine extreme Hochgebirgsform der vorigen Art.

54. **Campylopus ptychotheca** Herzog in Beih. Bot. Centr. 1909.

An der Waldgrenze über Tablas, ca. 3400 m, No. 2824/a, 2889; im Nebelwald über Comarapa, ca. 2600 m, No. 4325.

55. **Campylopus tunariensis** Herzog nov. spec. (Tafel I, Fig. 3).

Sterilis, nanus pulvinatus albidovirens velutino-nitidus. Caulis erectus vix 1 cm altus extomentosus, foliis propagulinis fragilibus filiformibus ereberrimis inter folia comalia instructus. Folia inferiora laxa, superiora dense rosulato-comosa parva erecto-potentia, e basi obovata breviter lanceolata acuta sursum canaliculato-concava, extremo apice muriculato-denticulata, nervo basi tertiam folii partem occupante sursum dilatato apicem totum explente more Pseudocampylopodum exstructo, cellulis laminae cancellatis laxissimis brevibus plerumque rectangularibus subhyalinis, alaribus nullis.

Auf verrotteten Grasbüten bei den Tunariseen, ca. 4400 m, No. 3430; in einem Quellried bei Altamachi, ca. 4000 m, No. 3868.

Durch das lockere Blattzellnetz, die oben verbreiterte Rippe und die schopfig gehäuften Bruchblätter leicht zu erkennende zierliche Art.

56. **Campylopus latinervis** Herzog nov. spec. (Tafel I, Fig. 8).

Sterilis, laxiuscule caespitosus 3—4 cm altus aureofulvus nitidulus, sat dense foliatus. Folia suberecto-potentia scariosa fragilia 6—7 mm longa, quam in Camp. jugorum latiora, ab ipsa basi tubuloso-concavissima superne marginibus perfecte conniventibus, dorso laevissima haud sulcata, integerrima extremo tantum apice argute paucidentata nervo latissimo basi $\frac{5}{6}$ folii occupante more Pseudocampylopodum cellulis ventralibus laxissimis ceteris substereidibus exstructo, cellulis laminae angustissimae utrinque seriis 8—10 conflatae irregularibus breviter ellipticis obliquis incrassatis marginalibus pluriseriatim angustissimis, alaribus brunneis paucis fugacibus.

Auf Torfboden des Morärentals von Torreni in der Yanakakabastion, ca. 3800 m, No. 3738; auf Torfboden an den Cerros de Malaga, ca. 4000 m, No. 4356.

Durch die abstehenden, etwas brüchigen, breiten, von unten an röhrig-hohlen Blätter und die sehr breite Blattrippe sowie auch den Habitus von dem verwandten *C. jugorum* H. verschieden.

57. **Campylopus albidovirens** Herzog nov. spec. (Tafel I, Fig. 12).

Sterilis, caespites densos spongiosos 5—7 cm altos efformans, caulibus inferne tomento rubiginoso obtectis foliorum basi inflata albide nitida vaginatim appressa subjulaceo-foliatis setoso-penicillatis albidovirentibus. Folia scarioso-rigidula 7 mm longa,

e basi inflata laxe appressa late ovata (1,3 mm) in apicem erectum subflexilem setosum convolutaceo-caniculatum contracta, in extremo apice parce dentata ceterum integerrima, nervo validissimo $\frac{3}{4}$ baseos occupante vesiculososo-inflato more Pseudocampylopodum exstructo, cellulis laminae limpido-pellucidis anguste oblique rhombis elongatis, alaribus multis brunneis in auriculam angulatim prominentem conflatis.

In einer Quellwiese an der Waldgrenze über Tablas zwischen Gras und Sphagnum Polster bildend, ca. 3400 m, No. 2782.

Diese sehr ausgezeichnete Art vermehrt die Gruppe der *Pseudocampylopoden* um einen sehr eigenartigen Typus.

58. **Campylopus trichophorus** (Hpe.) Herzog (Tafel I, Fig. 13).

Sterilis; caespites latos subpulvinatos extomentosos laxos efformans, caulibus 2—3 cm altis fragilibus rigidiusculis foliis sat laxe dispositis amoene viridibus aurescentibus inferne spadiceo-nigricantibus vernicoso-nitidis, inter folia juvenilia ramulos plures filiformes iterum ramificatos fragiles in apice ramulorum foliola angustissima hyalina decidua gerentes nitidos foventibus. Folia setuloso-patentia subdivaricata e basi ventricoso-auriculata 0,8 mm lata sensim longe convolutacea 6 mm longa (vel in forma majore 8—9 mm longa) dorso scaberula margine ab apice infra medium dense muriculato-denticulata (vel in forma majore subintegerrima), nervo validissimo $\frac{2}{3}$ baseos occupante more Pseudocampylopodum exstructo, cellulis laminae elongate ellipticis interdum vermiculiformibus valde incrassatis punctulatis, alaribus magnis purpureo-brunneis.

An Bambushalmen bei der Waldgrenze über Tablas ca. 3400 m, No. 2858; an Baumästen bei der Waldgrenze zwischen San Mateo und Sunchal, ca. 2900 m, No. 4447; an Baumästen im oberen Coranital, ca. 2700 m, No. 5055.

forma major epropagulifera. Auf Baumästen im oberen Coranital, ca. 2700 m, No. 3409.

Diese Art ist unter den Pseudocampylopoden durch ihre gespreizt abstehenden, langen, borstigen Blätter, durch die geschwärzten alten Stengelteile und den firnisartigen Glanz sofort zu erkennen. Ich fand sie im Berliner Herbar unter *C. penicillatus* (Hornsch.) eingereiht und als *C. penicillatus* Schimp. bezeichnet, mit einem beigegeklebten Ausschnitt aus Bot. Zeitschrift 1869 No. 27 versehen, worin Hampe schreibt: „Bei *Dicranum* (Camp.) *penicillatum* ist zu bemerken, daß Hornschuch in der Flora Brasiliensis *Dicranum penicillatum* zwar steril beschrieben hat, welches eins ist mit *D. lamellinerve* C. M., daher die Schimpersche Art *D. trichophorum* genannt werden möge“. Diese Exemplare stammen aus den Anden von Ecuador, leg. Krause ex hb. P. G. Lorentz. Auch im Herbar Müller liegt diese Art unter *Campylopus penicillatus* (Hornsch.) von „Peruvia, leg. Lechler, No. 2627.“

Da unser Moos mit *C. penicillatus* (Hornsch.) gar nichts zu tun hat und einen auffallenden Typus unter den *Pseudocampylopoden* darstellt, wollte ich nicht versäumen, eine ausführliche Diagnose zu geben und adoptiere dazu gerne den Hampeschen Namen, der sich auf die charakteristischen Bruchäste und Bruchblätter bezieht.

Subgen. *Campylopus* sens. strict. Limpr. Laubm. I.

59. **Campylopus densicoma** C. M.

Im Nebelwald über Comarapa, ca. 2600 m, No. 4263.

60. **Campylopus leucognodes** C. M.

Besonders auf Baumwurzeln und Baumleichen im oberen Waldgürtel. Im Nebelwald über Comarapa, ca. 2600 m, No. 3797, 3963; zwischen San Mateo und Sunchal No. 4469 f. *intermedia* foliis argute serrulatis ad speciem praecedentem spectans; auf faulem Holz im oberen Coranital, ca. 2600 m, No. 3376 f. *intermedia*.

61. **Campylopus fulvus** Herzog nov. spec.

Caespitosus depressus e viridi fulvo-sericeus, caulibus gracilibus iterum ramosis tenuibus 4—5 cm longis tomento rubiginoso ubique denso indutis sat dense foliatis. Folia erecto-patentia vel secundula, e basi angusta valde concava amplectante sensim longissime subulato-setulosa, tubuloso-canaliculata, summo apice denticulato excepto integerrima, nervo tertiam baseos partem occupante more Eucampylopodum exstructo cellulis laminae breviter rectangulis vel obliquis sat magnis incrassatis inferioribus fuscatis, marginalibus minoribus parum elongatis alaribus permultis magnis purpureis. Seta brevis (4—5 mm) arcuata sicca flexuoso-erecta innovationes vix superans; theca suberecta parva anguste elliptica profunde plicata olivacea ore fuscato, deoperculata parum inaequalis leviter curvata macrostoma, operculo oblique rostrato ochraceo-brunneo, calyptra basi integra.

An Baumwurzeln im Tal des Rio Paracti, ca. 1800 m, No. 4996.

Durch die Tracht, die sehr schmalen, an die *filifolius*-Gruppe erinnernden, von Grund auf rinnigen Blätter und die sehr kleine, etwas gekrümmte Kapsel von den verwandten Arten wie *C. leucognodes* (C. M.) verschieden.

62. **Campylopus Gertrudis** Herzog nov. spec. (Tafel I, Fig. 11).

Laxiuscule caespitosus, caule a basi pluriramoso, ramis tenuibus foliis in gemma convolutis caudatis tomento atropurpureo tenui indutis laete viridibus nitidis. Folia sat laxe disposita — caule exinde diaphano — flexuosa subfalcato-secunda, e basi sat lata (0,7 mm) ventricoso-auriculata appressa longissime filiformi-subulata, superne tubuloso-canaliculata, apice usque ad medium minute arguteque denticulata, nervo basi dimidiam folii partem occupante more Eucampylopodum exstructo, cellulis laminae tenuibus elongate subhexagonis ellipticis marginalibus brevioribus aliquantulum irregularibus, alaribus ventricoso-inflatis magnis purpureis. Seta e partibus vetustioribus oriens innovationibus multo superata inde subcondita, gracillima erecta straminea 12—15 mm longa, theca erecta regularis deoperculata 2 mm longa anguste elliptica profunde plicata pallide olivacea, operculo 1,2 mm longo oblique aciculari-rostrato atropurpureo, calyptra basi integra.

An feuchtem Wurzelwerk über Felsen am Sillar (Espiritu-Santo), ca. 2000 m, No. 2731.

Unter den *Eucampylopoden* mit glatter Haube durch die sehr schmale Kapsel, die aufrechte Seta und die langen, locker gestellten Blätter ausgezeichnet.

63. **Campylopus perexilis** C. M.

Auf schwarzer Humuserde im Hochgebirge. Bei der Saittulguna, ca. 4300 m, No. 2665; an den Cerros de Malaga, ca. 4000 m, No. 4404.

64. **Campylopus Jamesonii** (Hook.) (Tafel I, Fig. 10).

Im Nebelwald über Comarapa, ca. 2600 m, No. 3792; im Buschgürtel von Tres Cruces (Cord. von Santa Cruz), ca. 1500 m; im oberen Coranital, ca. 2600 m, No. 5069, prachtvolle, reich fruchtende Rasen!

65. **Campylopus concolor** Mitt.

Nach der Beschreibung und nach Vergleichung mit Exemplaren im Berliner Herbar rechne ich folgende Nummern hierher: in der Talschlucht von Tablas, ca. 1800 m, No. 4566; an der Waldgrenze über Tablas, ca. 3400 m, No. 2799, forma foliis minus denticulatis.

66. **Campylopus spurioconcolor** C. M.

Zwischen San Mateo und Sunchal, No. 4469 c. fr.!

67. **Campylopus alopecurus** C. M.

Im Bergwald von Florida de San Mateo, ca. 1500 m, No. 3629; im Bergwald von Tres Cruces (Cord. von Santa Cruz) ca. 1400 m, No. 3997.

68. **Campylopus harpophyllus** Herzog nov. spec. (Tafel I, Fig. 4).

Densissime contexto-caespitosus, duriusculus tomento fusciscente indutus, rhizoidibus hic illic e nervi latere dorsali orientibus. Caulis 5 cm altus foliis vetustis stramineis inferne dense obtectus superne e viridi flavescens metallico-nitens. Folia duriuscula sat dense cauli accumbentia apicibus hamatim incurva 4—5 mm longa, e basi aperta sensim lanceolato-subulata in pilum flavescens brevissimum parce denticulatum exeuntia vel inferiora epila, sursum convoluta extremo apice interdum semitorta, integerrima, nervo $\frac{1}{3}$ baseos occupante pro more Eucampylopodum stereidibus paucis suffulto dorso elamelloso, lamina sat lata ad apicem ipsum producta in parte basali cellulis subhyalinis sat laxis breviter rectangulis marginalibusque multo angustioribus superne densissimis parvis valde irregularibus oblique rhombeis vel hexagonis conflata, alaribus hyalinis fugacibus pro more valde tenuibus.

Auf Torfboden im oberen Llavetal, ca. 4200 m, No. 4796; auf Torfboden an den Cerros de Malaga, ca. 4000 m, No. 4416.

Durch die hakenförmig eingekrümmten harten Blätter von sehr eigentümlicher Tracht; gewiß eine gute Art, die an ihren beiden, wohl 50 km voneinander entfernten Fundorten völlig identisch ausgebildet ist.

69. **Campylopus cucullatifolius** Herzog nov. spec. (Tafel I, Fig. 7).

Sterilis, caulis flaccidus flexilis ad 10 cm altus superne in ramos paucos divisus, e partibus vetustis parce rubiginoso-tomentosus vel extomentosus, laxe foliatus, foliis junioribus gemmaceo-involutis cuspidatus. Folia cauli atropurpureo hamatim laxe incumbentia straminea nitida, 4 mm longa, e basi ovata 1,5 mm lata ovato-lanceolata involutaceo-concava, obtusa, cucullata, integerrima, nervo valido quartam vel tertiam baseos partem occupante juvenili in dorso bullato-undulato more Eucampylopodum exstructo in apice evanescente, cellulis laminae oblique seriatis subrhombeis marginalibus ad basin paucis tenerrimis angustis elongatis, alaribus permultis in ventriculum conflatis brunneis dein decoloribus.

Zwischen Sphagnum an der Waldgrenze über Tablas, sehr spärlich, ca. 3400 m, No. 2826/a.

Durch seine an *Dicranum Bonjeani* erinnernde Tracht und die stumpf kapuzenförmige Spitze der breiten Blätter ausgezeichnet.

70. **Campylopus cavifolius** Mitt.

An der Waldgrenze über Tablas, ca. 3400 m, No. 2831, 2890 c. fr.!.; an der Waldgrenze des Rio Saujana, ca. 3400 m, No. 3239, 3261 c. fr.!

71. **Campylopus annotinus** Mitt.

Im unteren Coranital, ca. 1800—2000 m, No. 4708, c. fr.!

72. **Campylopus subgriseus** Hpe.

In der Cordillere von Santa Cruz auf der Durchreise aufgenommen, No. 3476; auf dem Meson bei Samaipata, ca. 2000 m, No. 4129.

73. **Campylopus ingeniensis** R. S. W.

Auf feuchtem Sand an der Waldgrenze über Tablas, ca. 3400 m, No. 2945 f. brevipila; auf Torfboden an den Cerros de Malaga, ca. 4000 m, No. 4401.

74. **Campylopus** (Trichophylli) **filicuspes** Broth. n. sp.

Dioicus; robustus, caespitosus, caespitibus densis, stramineo-viridibus, nitidis; caulis erectus, usque ad 10 cm longus, ubique atropurpureo-tomentosus, densiuscule et aequaliter foliosus, simplex vel apice furcatus; folia sicca erecto-patentia, humida patentia, canaliculato-concava, e basi oblonga sensim longissime lanceolato-subulata, usque ad 15 mm longa et ca. 1,1 mm lata, marginibus erectis, superne serrulatis, nervo basi c. $\frac{2}{3}$ folii latitudinis occupante, longe excedente, dorso laevi, cellulis ventralibus magnis, inanibus, cellulis laminalibus incrassatis, lumine ovali vel anguste ellipticis, basilaribus haud incrassatis, rhomboideis vel oblongis, marginem versus angustioribus, alaribus numerosis, fuscis, in ventrem distinctissimum, valde excavatum dispositis. Caetera ignota.

Im Nebelwald der Laguna verde über Comarapa, alt. 2600 m, No. 4192.

Species pulcherrima, *C. praealto* (C. Müll.) Par. affinis, sed foliis longissime subulatis jam dignoscenda.

75. **Campylopus** (Trichophylli) **reflexus** Broth. n. sp.

Dioicus; robustiusculus, laete viridis, inferne fuscescens, nitidiusculus; caulis erectus, usque ad 8 cm longus, ubique fusco-tomentosus, laxiuscule foliosus, simplex vel superne furcatus; folia inferiora recurvo-patula, superiora reflexa, comalia sicca erecta, humida erecto-patentia, canaliculato-concava, e basi breviter oblonga sensim lanceolato-subulata, plerumque mutica, raro brevissime hyalinomucronata, ca. 6 mm longa et ca. 0,75 mm lata, marginibus erectis, apice argute serratis, nervo basi paulum ultra tertiam partem folii latitudinis occupante, dorso lamellato, cellulis ventralibus inanibus, cellulis laminalibus minutis, irregularibus, triangularibus, rhombis et polygonis, basilaribus internis laxe rectangularibus, marginem versus angustioribus, alaribus numerosis, ovali-hexagonis, fuscis. Caetera ignota.

Inacorral, alt. 2200 m, No. 4988.

Muscus habitu speciebus nonnullis sectionis *Rigidi* sat similis, sed ob foliorum structuram ad sect. *Trichophylli* pertinens.

Subgen. *Palinocraspis* Lindb. musc. scand.

76. **Campylopus malagensis** Herzog nov. spec. (Tafel I, Fig. 6).

Dense humiliter caespitosus, caulibus 1—2 cm longis tenuibus iterum divisis parum tomentosus penicillatis strictiusculis e viridi brunneo-stramineolis vel crupreis sericeo-nitidis. Folia strictiuscule erecta, vix ad apicem surculi secundula, e basi concava lanceolato-subulata apice saepius hyalino-mucronulata, breviuscula (3 mm longa) superne convoluta subintegerrima vel parum ruguloso-scaberula, nervo dimidiam baseos partem occupante more *Palinocraspidum* exstructo stereidium fasciculo ventrali paupero ultra medium evanescente, dorso leviter sulcato, cellulis alaribus multis magnis purpurascensibus plerumque ventricosis, laminaribus inferioribus sat laxis breviter rectangularibus superioribus minoribus subobliquis chlorophyllosis, lamina ultra medium producta.

Auf Torfboden der Cerros de Malaga, ca. 4000 m, No. 4367.

Im Berliner Herbar liegen Exemplare eines *Campylopus* aus Ecuador, auf der Etikette mit *C. microphyllinus* Broth. bezeichnet, die der oben beschriebenen Art sehr nahe zu stehen scheinen. Nach einer brieflichen Mitteilung des Herrn Brothrus ist diese Art jedoch noch nicht veröffentlicht worden. Da nun beide steril sind und infolgedessen ihre Identität nicht sicher nachweisbar ist, so ziehe ich vor, meiner bolivianischen Art einen neuen Namen zu geben. Sie steht nach der Beschreibung dem *C. campiadelphus* C. M. nahe.

Subgen. *Leucocampylopus* Herzog subgen. nov.

77. **Campylopus insignis** Herzog nov. spec. (Tafel I, Fig. 9).

C. leucobasis Herzog in sched.

Laxe caespitosus flavescens-viridis vix nitidulus, speciem *Bartramiae* sectionis *Strictidii* aliquam in mentem referens. Caulis erectus subsimplex vel superne divisis rigidus foliis stricte erectis accumbentibus penicillatus. Folia sat densa 4—5 mm longa, e basi longa angusta in subulam pro genere brevem obtusiusculam tubuloso-concavam (tamen hic illic margine angustissime revoluto) summo apice denticulatam dorso cellulis prominentibus scaberulam constricta, integerrima, nervo latissimo deplanato cellulis ventralibus laxis hyalinis dorsalibus normalibus stereidibus interpositis modice incrassatis, inferne ambo latere lamina tumescente e stratis 2—3 cellularum amplissimarum hyalinarum exstructa dilatato, superne leviter sulcato, cellulis laminae marginalis inferne seriebus 10 angustis elongatis hyalinis raptim in superiores densissimas parvas brevissime oblique rectangularibus chlorophyllosas transeuntibus, alaribus haud perspicuis.

Auf Erde an der Abra de San Mateo, ca. 3000 m, No. 3721.

Scheint nach der eigenartigen Struktur der Blattrippe und der sie begleitenden 2—3schichtigen Laminastreifen, die stark an *Paraleucobryum* erinnern, eine eigene Untergattung von *Campylopus* zu bilden.

Pilopogon Brid. Bryol. univ. I.

Subgen. *Eupilopogon* Broth.

78. **Pilopogon gracilis** Brid.

Weit verbreitet, besonders über der Waldgrenze häufig und meist reich fruchtend. Z. B. an der Waldgrenze des Rio Saujana, ca. 3400 m, No. 3224; auf einem Bergkamm über Comarapa, ca. 2600 m, No. 4315; auch auf der ersten Reise schon gesammelt.

var. **divaricatus** Herzog nov. var.

A typo differt caule brevior foliisque stricte divaricatis.

Am Meson bei Samaipata, ca. 2000 m, No. 4128.

79. **Pilopogon liliputanus** C. M.

Auf steinigem Boden zwischen Gras, zwischen Colomi und Abra de Toncoli, ca. 3600 m, No. 4369; im Hochland von Totorá, ca. 2800 m?, No. 5122.

80. **Pilopogon nanus** C. M.

An der Waldgrenze über Tablas, ca. 3400 m, No. 2848/a; im Hochtal von Viloco, ca. 4600 m, No. 3208; die letzteren Exemplare stimmen genau mit den Lindig'schen Originalen von Bogota überein.

81. **Pilopogon holomitrius** C. M. in Genera muscorum p. 256.

Zu dieser Art, welche ich im Herbar Müller gesehen habe, rechne ich Exemplare aus der Quebrada de Pocona, ca. 2800 m, No. 3465. Eine Beschreibung der Art konnte ich nirgends finden.

82. **Pilopogon Tiquipayae** Herzog nov. spec. (Tafel I, Fig. 5).

Sterilis, dense caespitosus, e viridi superne aureo-brunnescens vel purpurascens sericeo-nitidus, caulibus ad 3 cm altis strictiusculis simplicibus. Folia sicca subappressa strictiuscula, humida parum patula ad 3 mm longa, anguste lanceolato-subulata, canaliculata, apice subtubulosa, integerrima, apice extremo tantum muriculato-denticulata, nervo plus quam tertiam baseos partem occupante dorso plurisulcato, cellulis basalibus ampliatis, alaribus hyalinis mox deletis, laminaribus subrectangulis parum obliquis ultra medium productis, marginalibus tenerrimis angustissimis limbum indistinctum hyalinum efformantibus.

An Schieferfelsen der Cumbre de Tiquipaya, ca. 4100 m, No. 2655.

Leider steril; scheint trotz sehr geringer Unterschiede doch von dem nächst verwandten *P. liliputanus* C. M. spezifisch verschieden zu sein. Im Habitus an *Campylopus Schimperi* erinnernd.

Subgen. *Thysanomitrium* Schwgr. Suppl. II.

83. **Pilopogon Richardii** (Schwgr.).

Auf rotem Sandstein bei Tres Cruces (Cord. von Santa Cruz), ca. 1400 m, No. 3927.

Metzleria Schimp. Musc.

84. **Metzleria spiripes** (C. M.).

Dicranum C. M.

Im Buschfilz an der Waldgrenze über Tablas, ca. 3400 m, No. 2824, 2908; No. 2852 forma elata.

Leucobryaceae.

Octoblepharum Hedw. Musc. frond. III.

85. **Octoblepharum albidum** L.

Zwischen Aguarai und Yacuiba an Baumrinde, ca. 350 m, No. 5157.

Leucobryum Hpe. in Flora 1837.

86. **Leucobryum giganteum** C. M.

Auf der Erde im Bergwald des Sillar, ca. 1800 m, No. 2703; in der Talschlucht von Tablas an tiefschattigen, nassen Felsen, ca. 1800 m, No. 4577, 4530; zwischen Incacorral und Paraeti an feuchten Waldstellen, ca. 2100 m, No. 4997; an schattigen Felsen bei Locotal, ca. 1600 m sine No.

Fissidentaceae.

Fissidens Hedw. Fund. II.

Subgen. *Eufissidens* Mitt. Musc. austr. am.

Sect. *Reticularia* Broth.

87. **Fissidens macrophyllus** Mitt.

Im feuchten Bergwald beim Sillar (Weg nach Espiritu Santo), ca. 1800 m, No. 2688/a.

Sect. *Heterocaulon* C. M. Gen. musc.

88. **Fissidens excurrentinervis** R. S. W. (Fig. 5, e).

An schattigen Konglomeratfelsen bei La Paz mit *Fabronia andina* Mitt, ca. 3600 m, No. 2561.

89. **Fissidens incisus** Herzog nov. spec. (Fig. 5, l).

Pseudo-dioicus; flos ♂ gemmaeformis ad basin plantae ♀ ex eodem protonemate cum caulibus nonnullis fertilibus brevibus paucijugis sterilibusque elongatis gracillimis multijugis oriens. Caulis sterilis eleganter pennaeformis 4 mm longus 16-jugus, foliis ensiformibus acuminatis, lamina vera ad $\frac{2}{3}$ folii occupante, lamina dorsali sensim angustata supra basin desinente, ubique limbo flavido tenui in lamina vera 2—3seriato ceterum uniseriato circumducta, nervo flavido percurrente, cellulis irregularibus elongate hexagonis vel pentagonis laxis pellucide reticulata; caulis fertilis 1 mm longus 3-jugus, foliorum lamina vera multo majore, lamina apicali angustissima brevi, perichaetalia in sinu inter laminam veram 3—4-seriatim limbata et processum apicalem inciserosa, lamina dorsali subnulla, processu angustissimo divaricato. Seta 2—4 mm longa erecta; theca erecta perfecte ovalis microstoma peristomio brevi cruribus echinulato-papillosis.

In einer Erdhöhle im oberen Llavetal, ca. 4200 m, No. 4888.

90. **Fissidens Bockii** Herzog nov. spec. (Fig. 5, a—d).

Pseudo-dioicus; flos ♂ gemmaeformis inter sureulos fertiles et steriles ex eodem protonemate oriens. Caulis sterilis eleganter pennaeformis, 3 mm longus 10—13-jugus, foliis breviter oblongo-ellipticis acutis; limbo ante apicem evanido; caulis fertilis 2—3-jugus foliis arcte vaginantibus lamina vera latissima in processum stricte erectum exeunte, indistincte repandodentata latiuscule limbata, lamina dorsali brevissima, nervo flavido percurrente, cellulis hexagonis vel pentagonis parum incrassatis pellucide laxe reticulatis. Seta 4—7 mm longa erecta; theca erecta perfecte ovalis, peristomio longiore cruribus spiraliter incrassatis.

Auf zersetzten Schieferfelsen in der Bachschlucht von Tarujumaña, ca. 3300 m, No. 2984; auf Erde im oberen Llavetal, ca. 4200 m, No. 4816.

F. Bockii und *F. incisus* stehen dem *F. excurrentinervis* R. S. W. nahe, unterscheiden sich aber beide von ihm durch den deutlichen Blattsaum. Die 3 Arten bilden in der *Heterocaulon*-Gruppe einen engeren Verwandtschaftskreis, von den übrigen Arten durch die normal ausgebildeten, breitblättrigen sterilen Sprosse unterschieden. Alle 3 gehören der bolivianischen Hohecordillere an.

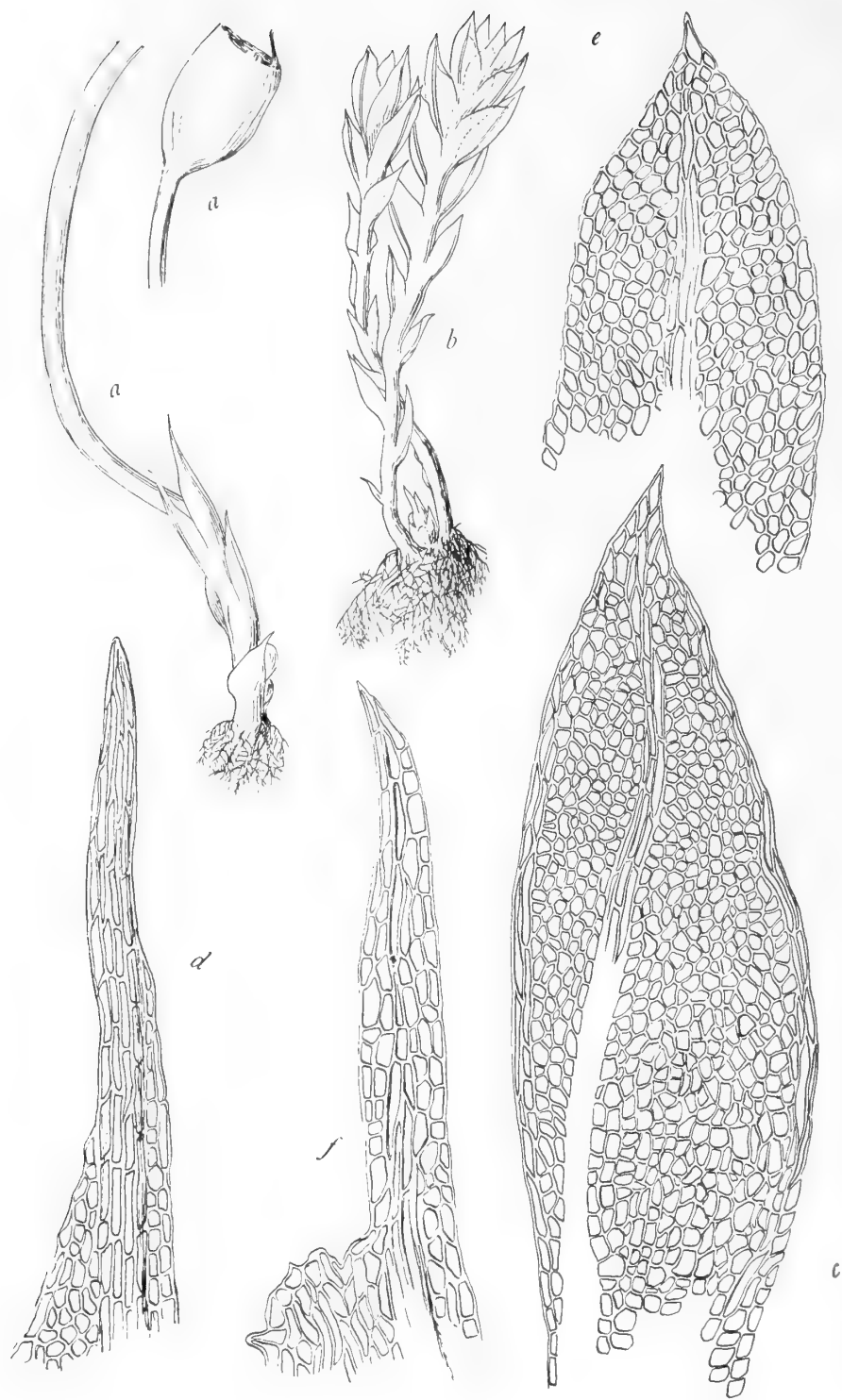


Fig. 5. *a, b, c, d* *Fissidens Bockii* H. n. sp. *a* fertiler Sproß u. Sporogon 15:1; *b* sterile Sprosse und ♂ Knospe 15:1; *c* Blatt 250:1; *d* Spitze eines Perichaetialblattes, *e* Blattspitze von *F. excurrentinervis* R. S. W. 250:1, *f* Spitze eines Perichaetialblattes von *F. incisus* H. n. sp. 250:1.

tegra, limbata, limbo angusto, hyalino, infra summum apicem laminae apicalis ut etiam supra basin laminae dorsalis desinente, ad basin laminae verae intramarginali et dein desinente, lamina vera lamina

Sect. *Bryoidium* C. M. Gen. musc.

91. *Fissidens oligophyllus* C. M.

Auf Walderde zwischen San Mateo und Sunchal, ca. 1800 m, No. 4438; auf faulem Holz im Bergwald des Rio Saujana, ca. 2800 m, No. 3278.

92. *Fissidens Wallisii* C. M.

Im oberen Coranital, ca. 2600 m, No. 3385; in den Estradillas über Incacorral, No. 3326; bei Lagunillas über dem Tocarantal, ca. 3200 m, No. 3840; bei Tres Cruces (Cord. von Santa Cruz), ca. 1400 m, No. 4169; in der Quebrada de Pocona, ca. 2800 m, No. 5141.

93. *Fissidens Carionis* C. M.

Auf Waldboden zwischen San Mateo und Sunchal, ca. 1800 m, No. 4497. Von dem ähnlichen *F. palmatus* Sw. sofort durch die mamillösen, trüben Blattzellen zu unterscheiden.

94. *Fissidens Sanctae Crucis* Broth. n. sp.

Dioicus; gracilescens, caespitosus, caespitibus laxis, saturate viridibus, opacis; caulis erectus, c. 5 mm longus, cum foliis c. 1,75 mm latus, basi fuscoringulosus, laxiuscule foliosus, simplex; folia c. 7-juga, homomalla, infima minuta, superiora multo majora, oblongo-ligulata, acuta, usque ad 1,7 mm longa, in-

apicali longior, lamina dorsalis paulum decurrens, basi angustata, nervo pallido, in apiculum folii desinente, cellulis rotundatis, 0,007—0,010 mm, valde chlorophyllosis, laevibus; seta terminalis, ca. 5 mm alta, tenuissima, rubra; theca suberecta, minuta, ovalis, subsymmetrica, pallida. Caetera ignota.

Cordillera de Santa Cruz, No. 3485.

Species limbo laminae verae basi intramarginali, laminae dorsalis supra basin desinente dignoscenda.

Sect. *Pycnothallia* C. M. Gen. musc.

95. **Fissidens innovans** Herzog nov. spec.

Autoicus, laxe gregarius obscure viridis, caule gracili ad 12 mm longo curvato innovante iterum 4—5-jugo foliis siccis parum decurvatis. Folia anguste oblonga acuta integerima, lamina vera ad medium pertinente, lamina dorsali completa ad basin rotundata, ubique limbo sat crasso 2—3-seriato flavescente extremo apice obsoleto circumducta, nervo pellucido in apiculum desinente, cellulis parvis rotundato-hexagonis vel pentagonis papillis minutissimis obscuris. Seta tenuissima 2 mm longa apice curvata; theca inclinata parva elongate cyathiformis macrostoma, operculo longe oblique rostrato; peristomium dentibus bifidis cruribus filiformibus tenuissime spiraliter incrassatis exappendiculatis.

An Baumästen im Bergwald von Espiritu Santo, ca. 1600 m, No. 2772.

Sect. *Semilimbidium* C. M. Gen. musc.

96. **Fissidens Incacorralis** Herzog nov. spec.

Dioicus?; sat dense gregarius humilis obscure viridis, caule suberecto fertili 5 mm, sterili ad 10 mm longo, innovante, eleganter accrescentim plurijugo. Folia inferiora brevissima squamiformia, superiora e basi angustiore ligulato-oblonga sensim acutata breviter acuminata, lamina vera mediam folii partem aequante vel superante pellucide complanato-limbata, lamina dorsali ad basin angustata rotundate abrupta ut et lamina apicali elimbata, tenuissime crenulata, folia caulium sterilium multo angustiora, omnia nervo sat valido flavescenti-pellucido in mucronem brevissimum exeunte, cellulis minimis hexagono-vel pentagono-rotundis dense minutim papillosis obscuris. — Seta gracilis suberecta flexuosa 2—3 mm longa straminea, theca inclinata subinaequalis oblique elliptica sub ore ampliato constricta, exothecio collenchymatico rubro punctato levissime striato-sulcato, peristomii dentibus cruribus spiraliter incrassatis intus pectinatim lamellosis sporis minimis diametro 0,008 mm laevissimis smaragdinis.

Auf feuchten beschatteten Steinen im Bergwald bei Incacorral, ca. 2300 m, No. 5039.

Sect. *Crenularia* C. M. Gen. musc.

97. **Fissidens mateoënsis** Broth. n. sp.

Dioicus; gracilis, caespitosus, caespitibus laxiusculis, saturate viridibus, opacis; caulis erectus, usque ad 1 cm longus, cum foliis ca. 1,3 mm latus, basi fusco-radiculosus, dense foliosus, innovando-ramosus vel simplex; folia multijuga, patentia, vix homomalla, oblongo-ligulata, obtusa vel late acuta, superiora ca. 0,9 mm longa, elimbata, integra, lamina vera lamina apicali longior, lamina dorsalis ad basin nervi enata ibidemque rotundata, nervo crassiusculo, luteo, infra summum apicem folii evanido, cellulis minutissimis, valde chlorophyllosis, valde papillosis, obscuris. Caetera ignota.

Florida de San Mateo, No. 3708.

Species *F. diplodo* Mitt. affinis, sed statura multo robustiore foliorumque forma dignoscenda.

Sect. *Pachylomidium* C. M. in Flora 1897.

98. **Fissidens rigidulus** (Hook. f. et Wils.).

An Steinen in Gebirgsbächen, in der Hochcordillere wohl weit verbreitet. Im Tocorani-

tal, ca. 2800 m, No. 4062; auf der Nordseite der Cerros de Malaga, ca. 3800 m, No. 4393; im Chocayatal, ca. 3400 m, No. 2619; im oberen Llavetal massig, ca. 4200 m, No. 4836.

Sect. *Amblyothallia* C. M. Gen. muse.

99. **Fissidens asplenioides** Hedw.

In feuchten Schluchten der Waldregion häufig. An der Waldgrenze über Tablas, ca. 3400 m, No. 2855; in der Cordillere von Santa Cruz, ca. 1400 m, No. 3523; im Nebelwald über Comarapa, ca. 2600 m, No. 4218.

Simplicidens Herzog in Beih. Bot. Centr. 1909.

100. **Simplicidens andicola** Herzog in Beih. Bot. Centr. 1909.

Unter Rasenwurzeln im Tälehen San Miguel, nördlich von der Cumbre de Liryuni, ca. 4100 m, No. 2611; am alten Standort im oberen Llavetal, ca. 4200—4300 m, No. 4886.

Calymperaceae.

Syrrophodon Schwgr. Suppl. II.

101. **Syrrophodon** (Acaules) **macrophyllus** Broth. n. sp.

Dioicus; gracilescens, caespitosus, caespitibus laxiusculis, pallide viridibus; caulis erectus, 1 cm vel paulum ultra longus, basi fusco-radiculosus, dense foliosus, simplex vel furcatus; folia e basi

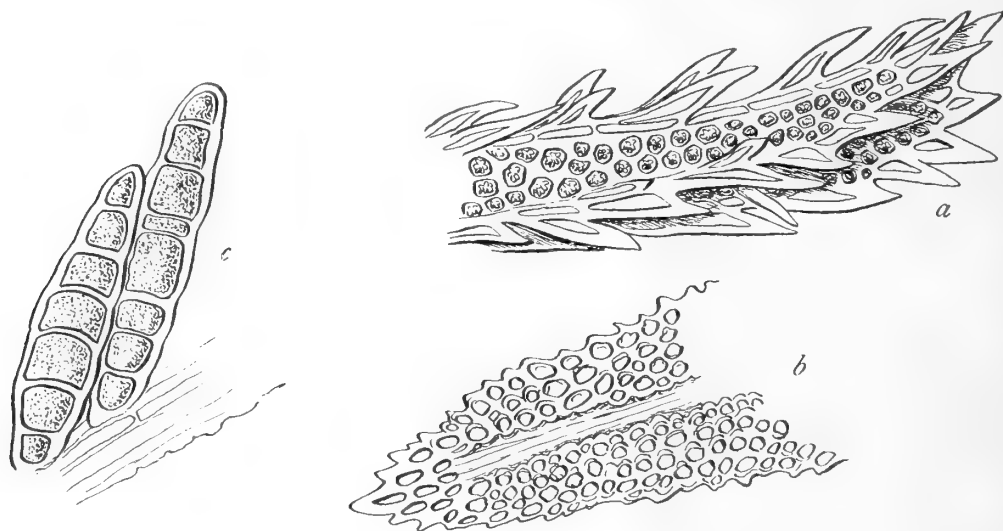


Fig. 6. a *Syrrophodon scaber*, No. 4631, Blattspitze 250:1; b, c *Syrrophodon ochroleucus* H. n. sp., No. 4673, b Blattspitze 250:1, c Brutkörper 250:1.

longe vaginante albescente, nitidiuscula sensim in laminam patentem, flexuosulam, anguste linearem, usque ad 8 mm longam producta, obtusa, marginibus erectis, ubique hyalino-limbata, limbo superne minute, summo apice argute serrulatis, nervo infra summum apicem folii evanido, dorso superne minute serrulato, cellulis laminalibus minutissimis, valde chlorophyllosis, minutissime papillosis, basilaribus laxis, teneris, rectangularibus, inanibus. Caetera ignota.

Cordillera de Santa Cruz, No. 3515.

Species a caeteris speciebus sectionis caule longiusculo dignoscenda.

102. **Syrrhodon** (Acaules) **submacrophyllus** Broth. n. sp.

Species caule foliorumque forma et structura cum praecedente omnino conveniens, sed foliis parte vaginante multo breviora laminaeque vix ultra 4 mm longa dignoscenda.

Cordillera de Santa Cruz, No. 3516.

103. **Syrrhodon ochroleucus** Herzog nov. spec. (Terebellati) (Fig. 6. b u. c).

Sterilis; densiuscule caespitosus caespitibus pallide viridibus intus ochroleucis, caulibus ad 3 cm longis apice ramulosis ramis brevibus rosulato-comosis. Folia densiuscula apice dense congesta 5 mm longa, sicca terebellato-crispula, humida flexuosa margine undulata, e basi longa latiuscule limbata in laminam linearem carinato-caniculatam apice proliferam exeuntia, lamina angustissime limbata limbo ante apicem evanido subintegerrimo vel superne remote denticulato, in apice elimbata densiuscule serrulata, nervo superne vix scaberulo, cellulis laminaribus densis rotundis modice incrassatis diaphanis grosse verrucosis.

An Felsen im unteren Coranital, ca. 1800 m, No. 4673.

104. **Syrrhodon argentinicus** C. M.

Auf faulem Holz in der Cordillere von Santa Cruz, ca. 1400 m, No. 3563; im Nebelwald über Comarapa, ca. 2600 m, No. 3796, 4345.

105. **Syrrhodon papillosus** C. M.

Auf faulem Holz im Bergwald des Sillar, ca. 1800 m, No. 2706.

106. **Syrrhodon scaber** Mitt. (Fig. 6. a).

An schattigen Felsen in der Talschlucht von Tablas, ca. 1800 m, No. 4631; im Bergwald bei Incacorral, ca. 2200 m, No. 4999, forma tristicha. In der dreizeiligen Beblätterung weicht No. 4999 vom Typus ab, zeigt sich aber in allen Einzelheiten des Blattbaues mit der typischen Form übereinstimmend, so daß es mir unmöglich ist, beide zu trennen. Man kann sich denken, daß die wohl ursprünglichere 3zeilige Beblätterung bei dürftigen Exemplaren sonst mehrzeilig beblätterter Arten gelegentlich wieder auftreten kann.

107. **Syrrhodon lycopodioides** (Sw.).

An einem Baumfarn in der Talschlucht von Tablas, ca. 1800 m, No. 4542.

Trichostomaceae.

Hymenostomum R. Brown in Transact. Linn. Soc. XII.

108. **Hymenostomum anomalum** Broth. n. sp.

Robustum, caespitosum, caespitibus laxiusculis, sordide viridibus, opacis; caulis erectus, 5 mm vel paulum ultra longus, basi fusco-radiculosus, dense foliosus, simplex; folia patula, planiuscula, e basi ovali elongate ligulata, obtusa, mucronata, c. 2 mm longa, marginibus erectis, integerrimis, nervo crasso in mucronem brevissimum excedente, cellulis laminalibus minutissimis, subrotundis, valde chlorophyllosis, minutissime papillosis, obscuris, basilaribus multo majoribus, rectangularibus vel oblongo-hexagonis, teneris, hyalinis; seta ca. 5 mm alta, tenuissima, lutea; theca erecta, minuta, ovalis, macrostoma, leptodermis, fuscidula; annulus 0; peristomium 0; spori 0,020 mm, fusci, papilloso; operculum e basi conica longe et oblique subulatum.

Cordillera de Santa Cruz, alt. 1200—1400 m, No. 3484.

Species valde peculiaris, habitu *Hyophylae*, sed ob thecae formam melius inter *Hymenostoma* collocanda.

Hymenostylium Brid. Bryol. univ. II.

109. **Hymenostylium contextum** Herzog nov. spec.

Dioicum?; flores ♂ non visi. Densissime caespitosum partibus vetustis arcte contextum, nigro-viride intus ferrugineum, caulibus tenuibus iterum dichotomis ad 4 cm longis. Folia indistincte tri-

sticha, sat laxa, sicca patula apicibus incurvis, humida erecto-potentia strictiuscula carinata, e basi anguste ovata anguste lineari-lanceolata acutiuscula integerrima margine supra basin uno latere revoluta, nervo fusciscenti completo, cellulis omnibus pellucidis basalibus elongatis superioribus irregulariter subquadratis modice incrassatis papillis parce adspersis; perichaetia parum longiora angustiora. Seta 5 mm longa tenuis basi flavida superne atropurpurea theca minima vix 1 mm longa ovalis deoperculata macrostoma eperistomiata atropurpurea, operculo subaequilongo oblique rostrato cum columella deciduo.

An nassen Felsen der Cerros de Malaga, ca. 4000 m, No. 4376.

Molendoa Lindb. Utkast.

110. **Molendoa boliviana** Broth. n. sp.

Dioica; gracilescens, caespitosa, caespitibus densis, superne saturate viridibus, intus ochraceis; caulis erectus, usque ad 4 cm longus, inferne fusco-radiculosus, dense foliosus, furcatus; folia sicca incurvo-adpressa, humida erecto-potentia, carinato-concava, e basi ovali lineari-lanceolata, plerumque obtusiuscula, ca. 1,7 mm longa, marginibus erectis, integerrimis, nervo crassiusculo, infra summum apicem folii evanido, dorso superne scabriusculo, cellulis minutissimis, subrotundis, chlorophyllosis, minutissime papillois, basilaribus internis multo majoribus, rectangularibus, hyalinis, laevissimis; bractee perichaetii internae erectae, e basi longe vaginante sensim lanceolato-subulatae, subintegrae; seta 5 mm vel paulum ultra alta, flexuosula, tenuissima, lutea; theca erecta, obovata, fusciscenti-lutea; operculum ignotum.

Cumbre de Liryuni, No. 2651.

Species *M. andinae* (Mitt.) Broth. ut videtur valde affinis, e descriptione foliis obtusiusculis nec acutis dignoscenda.

var. **brevifolia** Herzog nov. var.

M. compacta Herzog in sched.

Foliis brevioribus, cellulis basalibus hyalinis paucioribus differt.

An Felsen im oberen Chocayatal, ca. 4400 m, No. 3574.

111. **Molendoa Herzogii** Broth. n. sp.

Dioica; gracilis, caespitosa, caespitibus compactis, vix 2 cm altis, glauco-viridibus; caulis erectus, fusco-radiculosus, dense foliosus, dichotome ramosus; folia sicca adpressa, flexuosa, humida potentia, anguste linearia, obtusiuscula vel acuta, ca. 1,3 mm longa, marginibus erectis, integerrimis, nervo crassiusculo, subcontinuo, cellulis minutis, quadratis, chlorophyllosis, minute papillois, basilaribus internis breviter rectangularibus. Caetera ignota.

Laguna verde, Bergkamm über Comarapa, alt. 2600 m, No. 4226.

Species *M. Sendtnerianae* (Bryol. eur.) Limpr. affinis.

Rhamphidium Mitt. Musc. austr. amer.

112. **Rhamphidium pygmaeolum** (C. M.).

Auf Erde am Wegrand zwischen San Mateo und Sunchal, ca. 1800 m, No. 4498.

Trichostomum Hedw. Fund. II.

Subgen. *Trichostomum* sens. strict. Limpr. Laubm.

113. **Trichostomum challaëense** Broth. n. sp.

Dioicum; tenellum, caespitosum, caespitibus densis, glaucoviridibus; caulis erectus, usque ad 1,5 cm longus, inferne fusco-radiculosus, densiuscule foliosus, dichotome ramosus vel simplex; folia sicca crispatula, humida e basi subvaginante in laminam patulam, lanceolatam, acutiusculam sensim attenuata, ca. 1,5 mm longa, marginibus erectis, integerrimis, nervo crassiusculo, continuo, cellulis laminalibus minutissimis, subquadratis, valde chlorophyllosis, papillois, vaginalibus laxis, teneris, breviter

rectangularibus, hyalinis, marginem versus multo angustioribus, limbum pluriseriatum efformantibus. Caetera ignota.

Erdwände bei Challa, 3800—3900 m, No. 2565.

Species statura gracili, colore glaucoviridi foliisque brevibus dignoscenda.

114. **Trichostomum apophysatum** Herzog nov. spec.

Dioicum?; laxe humiliter caespitosum pallide viridulum caulibus vix 5 mm longis. Folia sicca crispata, humida squarroso-reclinata, e basi appressa anguste linearia obtusa 2 mm longa, perfecte carinata marginibus erectis, nervo valido flavido pellucido in mucronem brevem recurvum excurrente, cellulis basalibus laxe rectangulis hyalinis superioribus subrotundis parvis dense papillois obscuris chlorophyllosis. — Seta 5 mm longa flavissima erecta flexilis; theca 1 mm longa ex apophyse distincta rubra elliptica, pallida, microstoma, eperistomiata, annulo nullo, operculo 0,5 mm longo basi rubro oblique rostrato; sporis majusculis diametro ad 0,020 mm fuscidulis papillois.

Sehr spärlich an einem Berggrat über Comarapa mit *Bartramia perpumila* C. M., ca. 2600 m, No. 4341.

Durch die Kapselapophyse und die großen Sporen eigentümliche Art.

115. **Trichostomum ferrugineum** Herzog nov. spec.

Dioicum; laxiuscule caespitosum, obscure viride intus ferrugineum, caulibus ad 3 cm longis dichotomis sat dense foliatis superne comoso-acrescentibus. Folia 3,5—4 mm longa, sicca contorta, incurva, humida erecto-patula strictiuscula, e basilate oblonga anguste linearia, obtusa, carinata margine medio utrinque anguste revoluta, integerrima, nervo validissimo ferrugineo in apice dissoluto dorso superne scabro, cellulis basalibus rectangulis flavidis superioribus irregulariter subrotundis tenuibus papillois subpellucidis chlorophyllosis; perichaetia vix diversa. Seta 7—8 mm longa, erecta, rubella; theca elliptica microstoma, 2,2—3 mm longa, laevissima nitidula ferruginea, annulo biseriato, eperistomiata, operculo brevi (0,5 mm) oblique aciculari-rostrato, sporis tetragono-globosis diametro 0,008—0,012 mm minutissime punctulatis.

Im Chocayatal, ca. 3300 m, No. 3606.

Durch die steif aufrechten, schmalen und langen, aber stumpfen Blätter, die sehr kräftige, nicht austretende, am Rücken rauhe Rippe in der Verwandtschaft von *T. mutabile* wohl unterschieden.

116. **Trichostomum edentulum** Broth. n. sp.

Dioicum; robustiusculum, sordide fusco-viride; caulis erectus, ca. 1 cm longus, parce radiculosus, dense foliosus, simplex vel furcatus; folia sicca adpressa, apice incurva, humida erecto-patentia, stricta, carinato-concava, breviter et late lineari-lanceolata, obtusiuscula, aristatula, usque ad 2,5 mm longa, marginibus erectis, integerrimis, nervo crassiusculo, in aristam brevem excedente, dorso laevi, cellulis laminalibus minutissimis, subrotundis, chlorophyllosis, obscuris, basilaribus multo majoribus, elongate oblongo-hexagonis, hyalinis, minutissime papillois; seta ca. 5 mm alta, tenuis, lutescenti-rubra; theca erecta, oblongo-cylindrica, leptodermis, fuscidula, laevis; annulus angustus, persistens; peristomium 0; spori 0,017—0,020 mm, ferruginei, papillois; operculum e basi conica breviter subulatum.

Cocapata, alt. 3500 m, No. 4189.

Species *T. quitensi* Hamp. affinis, sed foliis multo brevioribus peristomioque nullo dignoscenda.

117. **Trichostomum quitense** Hpe.

Im Bergwald von Florida de San Mateo, ca. 2000 m, No. 3674/a; an Felsen in den Estradillas über Incacorral, ca. 3100 m, No. 3313; an feuchten Felsen im unteren Coranital, ca. 1600 m, No. 4703.

var. **longifolium** Herzog nov. var.

A typo differt foliis valde comosis duplo longioribus.

Im oberen Tocarantal, ca. 2600 m, No. 4092.

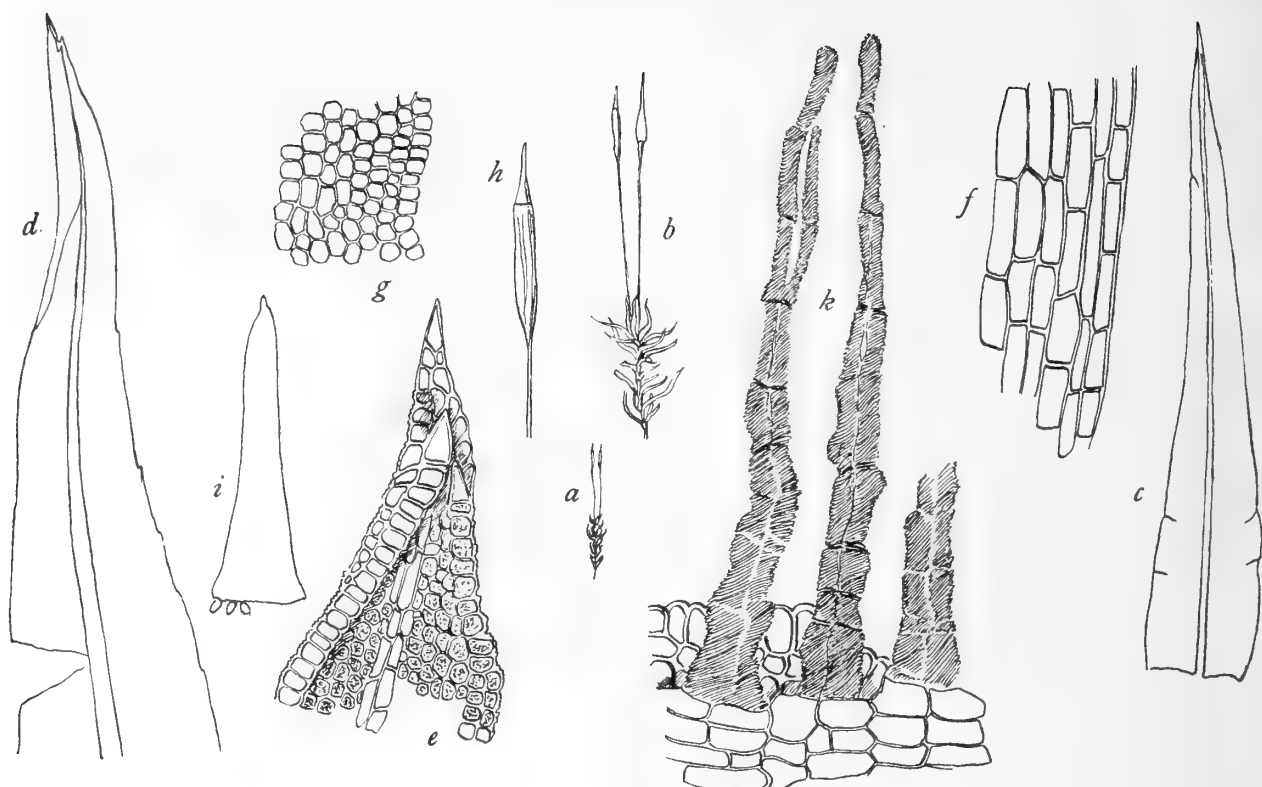


Fig. 7. *Trichostomum fallax* H. forma minuta. a Habitus 1:1, b Habitus 4:1, c Blatt 30:1, d Blattspitze 62:1, e Blattspitze 250:1, f unterer Blattrand 250:1, g oberer Blattrand 250:1, h Kapsel 10:1, i Deckel 62:1, k Peristom von innen 250:1.

Subgen. *Oxystegus* Lindb. de Tort.

118. *Trichostomum fallax* Herzog in Beih. Bot. Centr. 1909 (Fig. 7).

Auf faulem Holz an der Waldgrenze des Rio Saujana, ca. 3400 m, No. 3244; an der Wegböschung bei Incacorral, ca. 2200 m, No. 4972; auf schwarzer Humuserde zwischen San Mateo und Sunchal, ca. 2900 m, No. 4482, forma minuta peristomii dentibus apice saepius fissis.

Tortella (C. M.) Limpr. Laubm. I.

119. *Tortella Germainii* (C. M.).

Barbula C. M. in Prodr. Bryol. Bol.

Am Cerro Pampalarga über Vallegrande, ca. 2000 m, No. 4138; im Wald bei Yuto (N.-Argentinien), ca. 400 m, No. 3774; im Bergwald von Florida de San Mateo, ca. 2000 m, No. 3674.

120. *Tortella Pilcomayica* Herzog nov. spec.

Autoica; gregaria, humillima, caule brevissimo dense rosulato-foliato. Folia sicca crispato-incurva, nervo dorso prominente nitidula, humida explanato-patentia, brevia, insigniter late ligulata subspathulata obtusa, nervo valido viridi excurrente breviter obtuse mucronata, margine basi uno latere late inflexo supra basin undulato integerrima, cellulis basalibus breviter rectangulis hyalinis, marginalibus flavidis parum elongatis superne in margine parum productis limbum brevem hyalinum efformantibus, superioribus densis parvis subquadratis papillosis obscuris. — Seta brevissima 5 mm longa erecta; theca (unica vetusta) breviter cylindrica angusta 1 mm longa.

Auf Baumrinde bei Villa Montes am Rio Pilcomayo, ca. 500 m, No. 2547/a.

Durch den zwergigen Wuchs und die stumpf-zungenförmigen Blätter von den übrigen Arten der Gattung gut unterschieden.

Leptodontium Hpe. in *Linnaea* XX.

121. **Leptodontium proliferum** Herzog nov. spec. (Fig. 8).

Humile, dense caespitosum, intus parce lurido-tomentosum, e viridi flavescens, caulibus simplicibus tenuibus mollibus, fertilibus ad 1 cm altis, sterilibus iterum divisis zonatis ad 4 cm altis. Folia sicca incurva, humida erecto-patentia, inferiora minora 1,2 mm longa lanceolata acuta argute serrata, media majora 2 mm longa late ligulata apice obtusius-

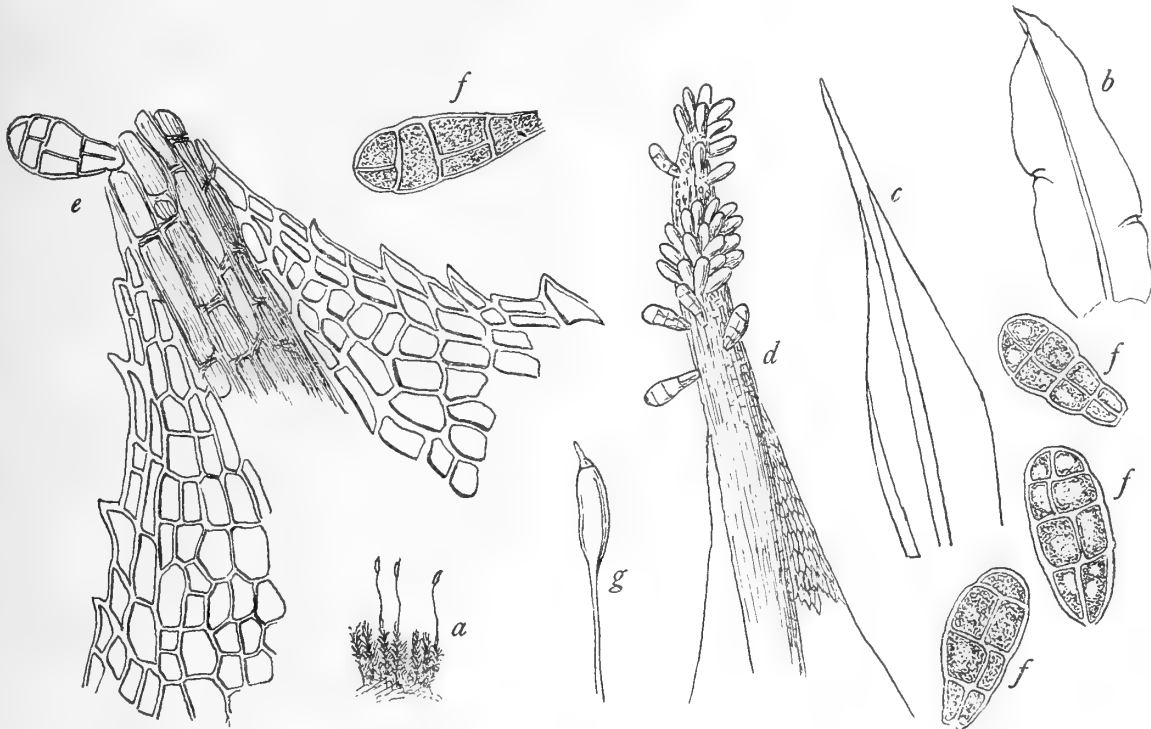


Fig. 8. *Leptodontium proliferum*. a Habitus 1:1, b mittleres Stengelblatt 30:1, c oberes Stengelblatt 30:1, d Spitze eines Brutkörper tragenden Blattes 62:1, e desgleichen mit abgebrochener Rippe 250:1, f reife Brutkörper 250:1, g Kapsel 10:1.

cula vel breviter acuminata argute serrata margine utrinque usque ad medium revoluta, nervo cum apice desinente, suprema cum nervo excurrente 3 mm superantia, e ligulari lanceolata, nervo crassiore longe styloso-excurrente in parte stylosa densissime propagulis valviformibus brevibus obtecto, cellulis basalibus laxe rectangulis limpidis laevissimis, superioribus quadrato-subrotundis diametro 0,010—0,012 mm tenuibus dense papillosis chlorophyllosis, marginalibus in foliis propaguliferis angustioribus elongatis laevibus. — Seta 6—8 mm longa, pallidestraminea, humida flexilis; theca anguste cylindrica, erecta, interdum parum curvata, 1,1 mm longa fuscescens, operculo medio oblique aciculari-rostrato stramineo; peristomii dentibus 16 brevibus, usque ad basin bicurvis laevissimis; sporis diametro ad 0,012 mm minutissime punctulatis luteis.

Auf verrotteten Grasbülden bei den Tunariseen, ca. 4400 m, No. 3429; an der Cumbre de Liryuni, ca. 4500 m, No. 3442; im Hochtal von Choquecota chico auf einem verlandeten Seeboden, ca. 4500 m, No. 3181.

122. *Leptodontium spongiosum* Herzog nov. spec. (Fig. 9. 1).

Dense turgide pulvinato-caespitosum e viridi flavescens, caulibus ad 4 cm longis iterum dichotomis inter novellos ramos longiores julaceos microphyllinos emittentibus tomentosis carnosulis mollibus dense foliatis. Folia sicca subsquamoso-accumbentia, humida erecta subexplanata, late ovato-lanceolata superne canaliculato-carinata, in acumen mucroniformem unicellularem exeuntia, superne remote argute serrata, margine usque ad medium late revoluta, nervo pellucido basi valido sensim angustato dorso minutim papilloso sat longe

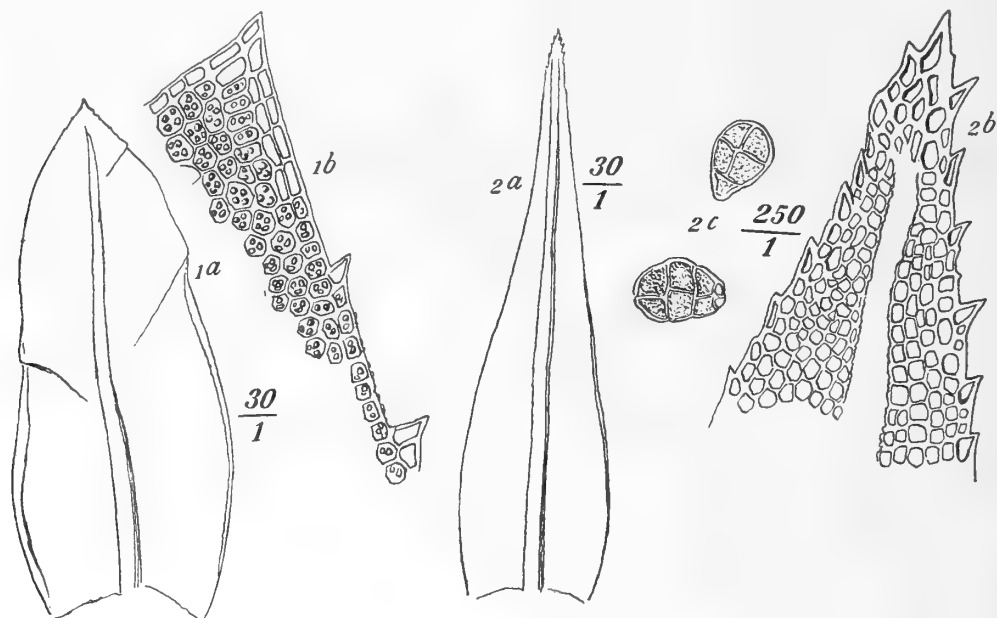


Fig. 9. 1. *Leptodontium spongiosum* H. n. sp. a Blatt 30:1, b Blattspitze 250:1; 2. *L. filicicola* H. n. sp., a Blatt 30:1, b Blattspitze 250:1, c Brutkörper 250:1.

ante apicem evanido, cellulis basalibus laxe rectangulis laevibus, superioribus subquadratis lumine 0,012 mm tenuibus densissime papilloso obscuris, marginalibus in apice minus papilloso modice incrassatis luteis diaphanis.

Auf Torfboden an den Cerros de Malaga, ca. 4000 m, No. 4396; im oberen Chocayatal über 4000 m, No. 3593.

Aus der Verwandtschaft des *L. filescens* (Hpe.) Mitt., aber durch viel dichtere, breitere, sich nicht zurückkrümmende Blätter, den gelblich getuschten Blattrand und die stärkere Säugung verschieden.

123. *Leptodontium filescens* Hpe.

An bemoosten, freiliegenden Felsblöcken bei Calachacca, an der Waldgrenze des Rio Saujana, ca. 3400 m, No. 3229 c. fr.!

124. *Leptodontium filicicola* Herzog nov. spec. (Fig. 9. 2).

Laxe caespitosum, caulibus erectis simplicibus 1—1,5 cm altis rigidulis acutis, laxiuscule foliatis, in foliorum axillis propagula subglobosa pluricellulosa brevissime stipitata creberrima foventibus. Folia brevia 1,5 mm longa, sicca crispato-incurva, humida erecta, strictiuscula, anguste ovato-lanceolata acuta parum complicata, margine ultra medium anguste revoluta, superne obtuse serrata, nervo completo pellucido cum apice confluyente, cellulis basalibus laxiuscule rectangulis superioribus omnibus subrotundis modice incrassatis tenerrime dense papilloso.

An einem Baumfarn zwischen San Mateo und Sunchal, ca. 1800 m, No. 4512, mit *Leptotheca boliviana*.

Sehr gut unterschiedene Art.

125. **Leptodontium erythroneuron** Herzog in Beih. Bot. Centr. 1909.

Charaktermoos oberhalb der Waldregion, aber meist steril. Auf humusbedeckten, flechtenüberzogenen Felsblöcken der Estradillas, ca. 3500 m, No. 3354 spärlich c. fr.!; am Osthang der Punta de San Miguel 4800 m, No. 3446; im Hochtal von Viloco (Quimzacruz-Cordillere), ca. 4600 m, No. 3116, 3171; an den Cerros de Malaga, ca. 4000 m, No. 4407.

Diese Art unterscheidet sich in ihrer Verwandtschaft, der acutifolium-Gruppe, scharf durch ihre steif aufrechten Blätter! Die Bezeichnung „subrecurva“ in meiner Diagnose beruht auf einem Irrtum, hervorgerufen durch beigemischte Stengel des *L. acutifolium*.

126. **Leptodontium acutifolium** Mitt.

Oberhalb des Waldgürtels häufig und formenreich, aber fast immer steril. An der Cuesta de Liryuni, No. 2589; auf Hochgebirgstriften zwischen Felsköpfen bei der Saittulaguna, ca. 4300 m, No. 2659; an der Waldgrenze über Tablas, ca. 3400 m, No. 2860; im Pajonaltal (Quimzacruz-Cord.), ca. 4200 m c. fr.! No. 3245; im oberen Chocayatal, ca. 4300 m, No. 3591; im Hochgebirge über Altamachi, ca. 4000—4200 m, No. 3875.

var. **grimmioides** (C. M.) Herzog.

Ich kann diese Varietät nicht spezifisch von *L. acutifolium* Mitt. trennen. Bei seinem Formenreichtum würde es sich sogar fast empfehlen, die Varietät lediglich als extreme Hochgebirgsform aufzufassen. Ob dieselbe erblich fixiert ist, ob wir eine in Zerfall begriffene Art vor uns haben, läßt sich einstweilen nicht entscheiden. Die von Bucht ien am Chacaltaya gesammelte Form (Beih. Bot. Centr. 1910, Abt. II, pag. 353) entfernt sich allerdings habituell weit vom Typus, viel weiter, als die beiden vorliegenden Exemplare: am Osthang der Punta de San Miguel, ca. 4800 m, No. 3447; im Hochland von Totora auf kahlen Höhen, ca. 2800 m, No. 3435.

127. **Leptodontium sulphureum** (C. M.) Mitt.

An der Waldgrenze über Tablas, ca. 3400 m, No. 2919 c. fr.!

128. **Leptodontium luteum** (Tayl.).

An der Waldgrenze über Tablas, ca. 3400 m, No. 2810 c. fr.!

An dem fast bis zur Basis herab grob gesägten Blattrand leicht von den ähnlichen Verwandten zu unterscheiden.

Obs. *Holomitrium bolivianum* C. M., von dem ich vor Jahren aus dem Herbar Levier eine Probe sah und untersuchte, gehört nach meinen damals gemachten Notizen zu *Leptodontium*. Da das Herbar Levier einstweilen in andern Besitz übergegangen ist, konnte ich das Material nicht nochmals nachprüfen.

129. **Leptodontium Mandoni** C. M.

An der Waldgrenze des Rio Saujana, ca. 3400 m, No. 3225/a; auf einem Bergkamm über Comarapa, ca. 2600 m, No. 3806; an der Waldgrenze über Tablas, ca. 3400 m, No. 2899.

130. **Leptodontium rufescens** Broth. n. sp.

L. gehebiaeopsis Broth. in sched.

Dioicum; robustiusculum, caespitosum, caespitibus laxiusculis, rufescentibus; caulis erectus, usque ad 3 cm longus, parce radiculosus, dense foliosus, dichotome ramosus; folia sicca flexuoso-adpressa, humida patula, subrecurva, carinato-concava, e basi ovali lanceolato-acuminata, c. 4 mm vel paulum ultra longa et c. 1 mm lata, marginibus e basi ultra medium late revolutis, dein erectis, argute et inaequaliter serratis, nervo tenui, lutescente, infra summum apicem folii evanido vel continuo, dorso laevi, cellulis incrassatis, laminalibus lumine subrotundo, superioribus minute, inferioribus grosse verrucosis, basilaribus internis lumine anguste lineari, minute et seriatim papillosis. Caetera ignota.

Cerros de Malaga, alt. 4000 m, No. 4362.

Species e robustioribus, colore rufescente notabilis.

131. **Leptodontium undulatum** Herzog nov. spec.

Late caespitosum, caulibus decumbentibus vagis ascendentibus remote ramosis ad 10 cm longis sat laxe foliatis extomentosis fulvescentibus. Folia sicca patentia subterebellato-contorta, humida vix mutata, e basi longa et lata ovata anguste lanceolata longe acuminata acutissima, superne carinata, undulata, margine utrinque ultra medium late revoluta sursum aliquantulum reflexa argute serrata, nervo completo dorso tenerrime papilloso luteo percursa, cellulis basalibus omnibus angustissimis elongatis valde incrassatis aureis laevibus, superne sensim abbreviatis summis parvis subrotundis pellucidis incrassatis papillois.

Im Knieholz auf einem Bergkamm über Comarapa, ca. 2600 m, No. 4277.

132. **Leptodontium turgidum** Herzog nov. spec. (Fig. 10. 1).

L. latifolium Herzog nov. spec. in sched.

Late denseque caespitosum spongiosum, tomento albido floccoso dense contextum, viridi-flavescens molle, caulibus 6 cm longis erectis subsimplicibus apice divisis breviramosis

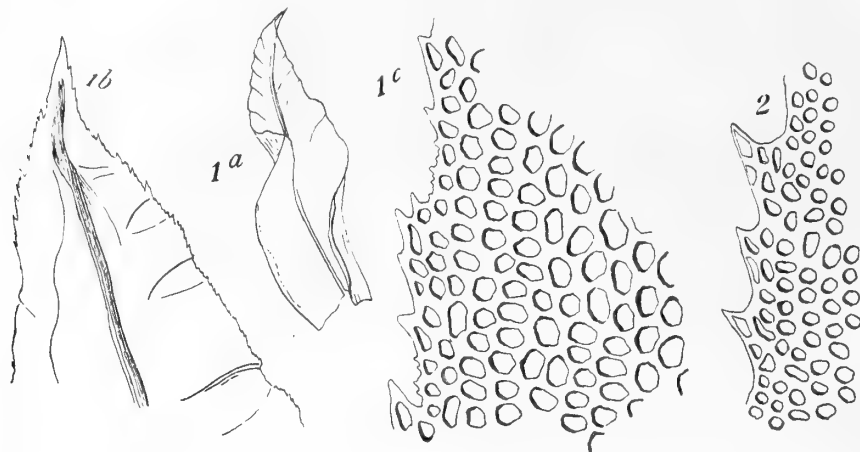


Fig. 10. 1. *Leptodontium turgidum* H. n. sp., a Blatt 12:1, b Blattspitze 31:1, c Blattrand 250:1; *Leptodontium rhacomitrioides* C. M., Blattrand 250:1.

sat densifoliis. Folia sicca incurva contorta, humefacta sensim recurvescentia patula, apice subcomosa majora 3,5—4 mm longa, 1,2 mm lata, late ovato-lanceolata breviter acuminata supra-medium carinato-complicata, undulata, margine medio utrinque — uno latere latius — revoluta, superne irregulariter argute spinoso-serrata, nervo flavo dorso laevissimo in acumine dissoluto, cellulis basalibus angustis elongatis marginalibus laxioribus laevibus, superioribus omnibus

rotundis collenchymaticis parietibus valde diaphanis, diametro 0,012—0,014 mm dense minutim papillois; perichaetalia angustiora 5 mm longa, arcte convoluta, integerrima laevissima, cellulis omnibus elongatis. — Seta singula tenuis erecta 2 cm longa straminea; theca anguste cylindrica ad 3 mm longa, microstoma, parum curvata vix inclinata, annulo angusto, operculo recto rostrato 0,7 mm longo; peristomii dentibus brevibus bicurvis, cruribus ferrugineis subglabris tenuissime spiraliter striolatis; sporis diametro 0,012 mm viridibus.

Im Gebüsch an der Cuesta de Liryuni, ca. 3400 m, No. 3461 u. 2587.

Durch die breiten Blätter und großen collenchymatischen Blattzellen, wie durch die einzelne lange Seta ausgezeichnet.

133. **Leptodontium rhacomitrioides** C. M. (Fig. 10. 2).

Im Buschgürtel von Tres Cruces (Cord. von Santa Cruz), ca. 1500 m, No. 3917, 3988, 3487 (forma caulibus profusis laxe caespitiforbibus); im Buschgürtel des Cerro Pampalarga über Vallegrande, ca. 2300 m, No. 4146 (forma compacta caulibus erectis).

Die beiden Fundorte gehören dem östlichsten Teile der Ostcordillere an, der sich floristisch eng an die argentinischen Randketten anschließt.

134. **Leptodontium capituligerum** C. M.

An einem Bergkamm über Comarapa im feuchten Gebüsch, ca. 2400 m, No. 4304/a u. 4304 (forma foliis stellato-echinulatis); zwischen Cuchicancha und Sacaba, No. 4157.

135. **Leptodontium papillosum** Hpe.

Hierher stelle ich mit Vorbehalt, da ich die Originale nicht gesehen habe, Exemplare von faulem Holz im Bergwald von Florida de San Mateo, ca. 1800 m, No. 3638.

136. **Leptodontium planifolium** Herzog nov. spec.

Laxe caespitosum sordide viride, caulibus flaccidis subsimplicibus erectis 4—5 cm longis laxe foliatis inter folia rubro-diaphanis extomentosis. Folia sicca crispato-incurva, humida parum recurva patentia, 2—2,5 mm longa, e basi latiore lanceolato-ligularia, obtuse acutiuscula, parum complicata superne canaliculata, margine infero undulata medio revoluta, superne argute serrata, planiuscula, nervo dorso scaberrimo in apice evanido, cellulis basalibus medianis paucis rectangulis abbreviatis parce papillois, ceteris omnibus subquadratis rotundatis tenuibus lumine 0,008 mm pellucidis densissime papillois.

An der Waldgrenze im Tal des Rio Saujana, ca. 3400 m; No. 3225.

Durch die im Zuschnitt sehr an *Oreoweisia* erinnernden Blätter, die stumpfliche Spitze und den sehr starken Papillenbesatz wie durch den Habitus gut unterschieden.

137. **Leptodontium vaginatum** Herzog nov. spec.

Laxe caespitosum, e pallide viridi ferrugineum, caulibus ultra 10 cm longis vagantibus tenuibus flexibilibus laxe foliatis. Folia sicca laxepatula contorta, humida squarrosa 3 mm longa, e basi ad 1 mm longa vaginata superne dilatata ibique valde revoluta undulataque refracta, in laminam anguste lanceolatam longe acuminatam complicato-carinatam strictiusculam exeuntia, superne irregulariter serrata, nervo pallido tenui dorso laevissimo excurrente, cellulis partis amplexicaulis omnibus elongate rectangulis modice sinuato-incrassatis infimis exceptis papillois, laminae inferioribus brevissime rectangulis superioribus irregularibus quadratis vel trapezoideis rotundisque incrassatis papillois; perichaetia laxevoluta, 6—7 mm longa, angustissime linearia, excurrentinervia, parte libera papillosa. — Setae 1—2 in uno perichaetio, 10—12 mm longae, rectae, pallide stramineae; theca breviter elliptica, evacuata angustata 1,5 mm longa, operculo longo oblique tenuiter rostrato, peristomii dentibus longis irregulariter fissis cruribus valde inaequalibus laevissimis aurantiacis; sporis ochraceis tetragono-globosis diametro 0,020 mm.

Auf Baumästen im Nebelwald über Comarapa, ca. 2600 m, No. 3936; an der Waldgrenze über Tablas, ca. 3400 m, No. 2873.

Mit *Lept. brevisetum* Mitt. zunächst verwandt, aber durch längere Seta und kürzere Kapsel verschieden.

Streptotrichum Herzog nov. gen.

138. **Streptotrichum ramicolum** Herzog nov. spec. (Tafel II, Fig. 1).

Dioicum; floribus ♂ capitatis antheridiis creberrimis (ultra 100) magnis, foliis perigonalibus latissime ovatis concavis; habitu orthotrichaceo vel streptopogonaceo, laxissime pulvinato-caespitosum lutescenti-viride opacum. Caulis erectus tenuis, simplex vel parum divisus, 2—3 cm altus laxefoliatus. Folia 4 mm longa, sicca patula contorta, madefacta facile emollescentia subrecurvopatula, e basi appressa subvaginata longe oblongo-lanceolata carinata, sensim angustata, apice latiusculo acuto, marginibus ultra medium utrinque latiuscule revolutis sursum planis vel erectis, remotiuscule argute grosseque serrata, nervo flavido sensim attenuato in extremo apice dissoluto, cellulis partis basalis valde elongatis laevibus flavidis, superioribus parvis irregularibus (subquadratis, breviter rectangulis et oblique ellipticis) pellucidis modice incrassatis tenuiter papillois; perichaetia duplo vel triplo longiora, nitida, e basi alte vaginata linearia, usque ad medium convoluta, apicibus flaccidis, superne grossiuscule serrata. — Inflorescentia terminalis vel pseudolateralis; sporogonia 1—3 ex uno perichaetio; seta brevis 5—6 mm longa, erectiuscula vel parum arcuata, in perichaetio involuta vel lateraliter exserta, flavida deinde rubella laevissima; theca inclinata parum

curvata, e basi latiore elliptica microstoma ochracea, deoperculata 2,5—3 mm longa; operculum conicum rostratum, rostro subaequilongo obliquo flavido; calyptra cucullata vesiculata grandis thecam uno latere usque ad basin obtegens, tenuiter rostrata, apice rubra scaberrima ceterum straminea laevis; peristomium barbuloideum, dentibus in membrana basilari humili striulato-punctulata trichoideis 32, insuper irregulariter filis intermediis aequilongis tenuioribus basi diagonaliter striolatis auctis, semel tortis (madefactis suberectis) nigro-rubiginosis densissime echinato-papillosis; sporis ochraceis minutis tenuissime punctulatis.

An den Knoten eines Bambusgrases bei der Waldgrenze über Tablas, ca. 3400 m, No. 2844.

Die neue Gattung ist nach der Blattstruktur in der Nähe von *Leptodontium* einzureihen, wird aber durch das eigenartige Peristom, bei welchem zwischen den normalen 32 Haarzähnen noch weitere strukturell verschiedene Haarzähne auf der Innenseite der Membran hervorbrechen, bestens charakterisiert.

Rhexophyllum Herzog nov. gen.

139. **Rhexophyllum laciniatum** Herzog nov. spec. (Tafel II, Fig. 2).

Dioicum?; laxe caespitosum habitu macromitriaceo caespitibus amoene viridibus intus ferrugineis, caulibus flexuosis iterum divisis, inferne laxius superne densius foliatis. Folia tristicha, seriebus 3 sursum valde tortis inde parum distinctis, sicca crispula contorta patula fragillima, humida valde recurva, apicibus deorsum spectantibus, 3,5—4 mm longa, e basi amplexicauli erecta obovata longe lineari-lanceolata acuminata carinata, margine in parte amplexicauli valde revoluto, superne erecto, dense irregulariterque laciniato-serrata, laciniis appressis pluricellulosis, inter lacinias fissuris usque ad nervum pertinentibus diffragentia, nervo viridi in acumen longum excurrente dorso convexo sursum scaberrimo, eurycystis 3, fasciculis substereidium 2 ventrali dorsalique suffulto, cellulis basalibus anguste rectangularibus pallide flavidis marginalibus brevioribus, superioribus valde irregularibus hexagonis vel pentagonis quadratisque mixtis tenuibus minutim papillosis chlorophyllosis plerumque bistratosis, a margine 1—3 seriebus unistratosis pellucidioribus; perichaetalia longiora, interiora 6—7 mm longa, basi convoluta, erecta flexilia, exteriora breviora apicibus recurvis. — Seta erecta, 10—12 mm longa rubens; theca e collo brevi distincto anguste elliptica microstoma laevis, sub ore cellulis parvis pluriseriatis rubrocincta, eperistomiata, annulo 1-seriato diffracto, operculo rubro subrecte aciculari-rostrato; sporis luride olivaceis laevibus diametro 0,016—0,020 mm.

Auf einem Baumast im Chocayatal, ca. 3200 m, No. 3615.

Durch die Blattstruktur sehr eigentümliche Gattung, welche einen näheren Anschluß unter den *Trichostomaceen*, wohin sie nach der Struktur der Rippe gehört, vermissen läßt. Das Fehlen des Peristoms macht die Beantwortung der Frage nach ihrer Verwandtschaft schwierig. Ich reihe sie vorderhand in der Nähe von *Leptodontium* ein, doch scheint sie mir ziemlich isoliert zu stehen.

Husnotiella Card. in Rev. bryol.

140. **Husnotiella glossophylla** Herzog nov. spec. (Tafel III, Fig 3).

Sterilis, tenella, laxe gregaria, caule 4—5 mm longo, flexuoso tenuissimo, basi remote, superne densiuscule subcomoso-foliato, glaucoviridis. Folia sicca laxe patula apicibus incurvis, humida e basi erecta appressa patentia, perfecte late linguiformia, marginibus parallelis superne valde revolutis, rotundata subtruncata, integerrima, nervo valido ante apicem evanido sulcato dorso fasciculo stereidium suffulto, ventre cellulis chlorophyllosis papillosis obtecto, cellulis basalibus laxe rectangularibus marginalibus angustioribus, superioribus omnibus carnosulis hexagono-rotundis haud incrassatis prominulis dense grosse papillosis obscuris chlorophyllosis.

Im Hochland von Totorá, unterwegs aufgenommen, ca. 2800 m?, No. 5118.

Chrysoblastella R. S. Williams l. c.

141. **Chrysoblastella revoluta** Herzog nov. spec. (Tafel III, Fig. 2).

Sterilis ♀, dioica videtur; dense caespitosa, obscure viridis intus ferruginea opaca, caulibus tenuibus ad 4 cm longis iterum dichotomis ramis erectis, innovationibus microphyllis auctis. Folia rigidula, sicca incurva in caulis apice secundula, humida erecta, inferiora breviora, e basi ovata lanceolata acuta carinata, superiora longe angusteque lanceolata acuminata excurrentinervia, margine medio revoluta, integerrima, nervo valido viridi fasciculis duobus stereidium dorsali ventralique — dorsali eurycystis minusculis interpositis tripartito — suffulto dorso scaberrimo, cellulis basalibus anguste breviter rectangulis subhyalinis, superioribus subquadratis vel hexagonis bistratosis bimamillosis grosse papillosis chlorophyllosis.

Auf Erde in der Quebrada de Pocona, ca. 2800 m, No. 3466.

Von *Chr. boliviana* R. S. W. durch die umgerollten Blattränder unterschieden.

Globulina C. M. Prodr. Bryol. bol.

142. **Globulina boliviana** C. M.

In den trockenen Hochgebirgslagen sehr weit verbreitet, gehört zu den Charaktermoosen der bolivianischen Hochcordillere; fruchtet ziemlich selten. Im Piñasgebiet, ca. 4500 m, No. 2597; auf roter Erde bei Challa, ca. 3900—4000 m, No. 2576; im oberen Llavetal, 4200—4500 m, häufig auch c. fr., No. 4775, 4853; im oberen Chocayatal, ca. 4400 m, No. 3573; am Cerro Sipascoya bei Pojo, ca. 3000 m, No. 4162/a; an Abhängen beim Asiento (Aracatal), ca. 3900 m, No. 2985 c. fr.!: bei La Paz, ca. 3600 m, No. 2559/c.

Didymodon Hedw. Descr. III.

Subgen. *Erythrophyllum* (Lindb.) Limpr. Laubm. I.

143. **Didymodon decolorans** (Hpe.) R. S. W.

Barbula Sect. *Hyophilina* Hpe in Prodr. Fl. Nov. Granat.

Im höheren Bergland von Bolivia sehr verbreitet, besonders auf der Trockenseite der Gebirgskämme. Beim Asiento (Aracatal), ca. 3900 m, No. 2986; an Lößhängen um La Paz, ca. 3600 m, No. 2559/a; im unteren Chocayatal, ca. 3100—3300 m, No. 3601, 2580; zwischen Cuchicancha und Sacaba nahe der Paßhöhe, ca. 3800 m, No. 4155; im oberen Chocayatal, ca. 4300 m, No. 3588; an den Cerros de Malaga, ca. 4000 m, No. 4378; an Mauern in Pocona, ca. 2600 m, No. 5108.

var. **brevifolia** Broth. n. var.

Im Chocoyatal, No. 2643; im oberen Montehuaikotal, ca. 3900 m, No. 3758.

144. **Didymodon angustifolius** Herzog nov. spec.

Dioicus; plantulae tenellae vix 5 mm altae gregariae rubiginoso-fuscidulae, habitu *D. pelichucensi* R. S. W. simillimae. Folia sicca incurvo-appressa, humida patentia, inferiora breviora e basi ovata, superiora longiora (ad 4,8 mm) e basi obovata anguste lineari-lanceolata acuta, marginibus erectis superne bistratosis, integerrima, nervo pro foliolo valido ferrugineo completo, cellulis basalibus valde laxis rectangulis vel oblongo-hexagonis hyalinis vel medianis luteis, superioribus minutis subrotundis modice incrassatis pellucidis papillosis diametro ad 0,008 mm. Seta recta rubella, 7—8 mm longa; theca minuta, anguste elliptica, 1,2 mm longa fusca; annulo 0,04 mm lato, operculo subrecto rostrato obtusiusculo 0,7 mm longo cellulis oblique seriatis; peristomii dentibus suberectis basi membrana humili coalitis rubellis tenuiter papillosis hic illic anguste perforatis; sporis diametro 0,007—0,01 mm ochraceis laevissimis.

Auf Erde an der Waldgrenze über Tablas, ca. 3400 m, No. 2925.

Unter den *Erythrophyllen* durch die schmalen, ganzrandigen Blätter ausgezeichnet.

145. **Didymodon merceyoides** Broth. n. sp.

Dioicus; gracilis, caespitosus caespitibus densis, sordide glauco-viridibus, inferne fuscescentibus; *caulis* erectus, usque ad 3,5 cm longus, inferne fusco-radiculosus, laxiuscule foliosus, dichotome ramosus; *folia* erecto-patentia, carinato-concava, sicca incurva, spathulato-ligulata, obtusa, mutica vel hyalino-mucronata, 1,2 mm longa, superne usque ad 0,10 mm lata, marginibus erectis, integerrimis, *nervo* crassiusculo, rufescente, plerumque infra summum apicem folii evanido, dorso superne minute papilloso, cellulis laminalibus subrotundis, superioribus ca. 0,010 mm, chlorophyllosis, minute verrucosis, basilaribus laxis teneris, oblongo-hexagonis hyalinis, marginem versus multo angustioribus, limbum pluriseriatum efformantibus. Caetera ignota.

Saittulaguna, 4200 m (n. 2661).

Species foliorum forma *Merceyae*, unde nomen.

146. **Didymodon Jamesonii** (Tayl.).

In Felslöchern des Piñasgebietes, ca. 4200 m, No. 2594 eine intensiv rostrote Form; an den Cerros de Malaga, ca. 4000 m, No. 4371/a.

147. **Didymodon rubiginosus** (C. M.).

Barbula (*Syntrichia*) C. M. in Prodr. Bryol. Argentin. II.

An der Waldgrenze über Tablas, ca. 3400 m, No. 2838/b; am Bachrand im oberen Llavel-tal, ca. 4200—4300 m, häufig in sehr üppigen, an *Tortula pichinchensis* erinnernden Rasen, No. 4901, 4932, 4933.

Hierher muß ich auch das in Beih. Bot. Centrbl. 1909, Bd. XXVI, Abt. II, pag. 61 beschriebene *Leptodontium albovaginatum* H. stellen.

148. **Didymodon pelichucensis** R. S. W.

Zwischen Cocapata und Choro sehr spärlich, ca. 3500 m, No. 4178.

149. **Didymodon campylopyxis** C. M.

Am Gemäuer einer zerfallenen Kapelle im Coranital, ca. 2000 m, No. 3397; im Bergwald von Florida de San Mateo, ca. 1800—2000 m auf faulem Holz, No. 3633, forma latifolia.

150. **Didymodon macrophyllus** Broth. n. sp.

Dioicus; robustiusculus, caespitosus, caespitibus laxis, sordide fusco-viridibus; *caulis* usque ad 2 cm longus, adscendens vel erectus, inferne fusco-radiculosus, dense foliosus, simplex vel dichotome ramosus; *folia* erecto-patentia, carinato-concava, sicca laxo flexuoso-adpressa, e basi brevi ovali lineari-lanceolata, obtusiuscula vel acuta, usque ad 3 mm longa, superne ca. 0,3 mm lata, marginibus erectis, superne inaequaliter serrulatis, nervo crasso, superne sensim angustiore, infra summum apicem folii evanido, rufescente, superne dorso minute papilloso, cellulis laminalibus minutissimis, subrotundis, superioribus vix ultra 0,007 mm, minutissime papillosis, basilaribus laxis, ovali- vel oblongo-hexagonis, rufescentibus, marginem versus angustissimis, limbum pluriseriatum efformantibus; *seta* ca. 2 cm alta, flexuosa, tenuis, inferne rubra, superne lutescenti-rubra; *theca* inclinata, cylindracea, curvata, sicca deoperculata sub ore constricta, fusca. *Operculum* ignotum.

Florida de San Mateo, 2200—2500 m, No. 3690.

Species robustitate omnium partium a speciebus omnibus sect. *Amblystegioideae* oculo nudo jam dignoscenda.

Subgen. *Didymodon* sens. strict. Limpr. Laubm. I.

151. **Didymodon contortus** Herzog nov. spec.

Dioicus; dense caespitosus ferrugineo-rubiginosus, caulibus ad 4 cm longis *duriusculis* iterum dichotomis triquetris dense foliatis. *Folia* sicca contorta apicibus incurvis rigidulis, humefacta mobilia patentia apicibus sursum spectantibus, ca. 4 mm longa, e basi concava ovata in apicem lineari-lanceolatum subulatum acutissimum contracta, margine

usque ad medium utrinque revoluta, superne carinata marginibus erectis, nervo valido ferrugineo completo apice flexuoso, stereidium fasciculis duobus, cellulis basalibus anguste rectangularibus luteis laevibus marginalibus abbreviatis, superioribus parvis subquadratis seriatis omnibus unistratosis vix incrassatis papillosis.

An Felsen des Cerro Tunari, ca. 5000 m, No. 4841.

Erythrophyllopsis Broth. nov. gen.

152. **Erythrophyllopsis boliviana** Broth. n. sp. (Tafel III, Fig. 4).

Dioica; gracilis, caespitosa, caespitibus laxiusculis, rubiginosis, opacis; caulis erectus, vix ultra 2 cm longus, inferne fusco-radiculosus, densiuscule foliosus, simplex vel ramosus, in sectione transversa rotundatus, fasciculo centrali distincto; folia sicca crispulo-adpressa, humida e basi vaginante, superne dilatata, hyalina in laminam patulam, carinato-concavam, lanceolatam, anguste acuminatam, hyalino-mucronatam producta, marginibus erectis, integerrimis, nervo crassiusculo, rubescente, continuo, dorso prominente, laevi, ducibus medianis pluribus fasciculoque stereideo dorsali et ventrali instructo, lamina bistratosa, e cellulis minutissimis, rotundato-quadratis, verrucosis, subobscuris instructa, cellulis vaginalibus teneris, linearibus, hyalinis, laevissimis, marginem versus brevioribus et angustioribus, limbum pluriseriatum efformantibus; bractee perichaetii foliis similes; seta ca. 7 mm alta, flexuosula, tenuis, sicca superne dextrorsum torta, laevissima; theca erecta, subcylindracea, saepe paulum asymmetrica, sporangio ca. 2 mm longo, fusco-rubra; annulus latus, revolubilis; peristomium ad orificium oriundum, fuscoluteum; peristomii dentes e membrana basilari humillima erecti, usque ad basin in crura dua, filiformia, hic illic inter se conjuncta, dense papillosa divisi; spori 0,012—0,015 mm, olivacei, laeves; operculum conico-rostratum, ca. 0,95 mm altum, obtusum, inferne cellulis in seriebus subobliquis dispositis.

Cerros de Malaga, ca. 4000 m, No. 4371; Saittulguna, 4400 m, No. 2674; Cerros de Malaga, ca. 4000 m, No. 4379, forma foliis fusciscenti-viridibus, longioribus, siccitate laxe crispatis; am Tunarisee zwischen Felsblöcken, ca. 4400 m, No. 4765, forma glaucoviridis, inferne fusciscentis, caule 4—5 cm longo.

Genus novum subg. *Erythrophyll* *Didymodontis* proximum, sed foliorum structura nec non peristomio dignoscendum.

Barbula Hedw. Fund. II.

Sect. *Eubarbula* Lindb. Muse. scand.

153. **Barbula fusca** C. M.

Im Hochtal von Choquecota chico, ca. 4500 m, No. 3182.

154. **Barbula Pflanzii** Broth.

Grimmia Broth. in Botan. Jahrb. Bd. 49, Heft 1.

Im Hochtal von Viloco (Quimzacruz-Cord.), ca. 4600 m, No. 3106.

var. **falcatula** (Herzog) Broth. n. var. differt a typo structura robustiore, foliis plerumque secundis falcatulis.

An feuchten Felsplatten bei der Saittulguna, ca. 4300 m, No. 2673; im oberen Llavetal gegen den Tunarisee an überrieselten Felsplatten, ca. 4300 m, No. 4900; am Bachrand bei der Mine Viloco, ca. 4350 m, No. 3135.

Die Art steht der *B. fusca* C. M. nahe, unterscheidet sich aber durch im trockenen Zustand gestreifte Blätter und größere, glatte Blattzellen. Sie scheint ein Charaktermoos des „alpinen“ Gürtels in der bolivischen Cordillere zu sein.

155. **Barbula flexifolia** Herzog nov. spec. (Fig. 11.).

B. flexuosa Herzog in sched.

Dioica; late caespitosa e viridi fusciscentis, caulibus ultra 2 cm longis a basi ramosis duriusculis, Folia sat laxa, sicca valde contorta suberispula, humida flexuoso-patula subtorta.

ca. 2 mm longa, e basi subovata concava accumbente anguste lanceolato-subulata acutissima, margine a basi ad medium ambo latere revoluta superne erecta ibique canaliculata, integerrima vel apice cellulis collabentibus indistincte erosula, nervo valido viridi superne attenuato completo haud excurrente, cellulis basalibus medianis breviter rectangularibus incrassatis flavis pellucidis, marginalibus subrotundis chlorophyllosis, superioribus valde irregularibus (subrotundis, transverse ellipticis, triangularibus, subtrapezoideis mixtis) incrassatis laevissimis chlorophyllosis; perichaetia e basi vaginali longiore in subulam longam contracta. Seta ca. 1 cm longa erecta rubra; theca erecta, anguste cylindrica, elongata, rubella, nitida, 2—2,5 mm longa, opereulo longe aciculari obliquo 1,5 mm longo; peristomium sat longum semel vel $1\frac{1}{2}$ tortum rubrum.

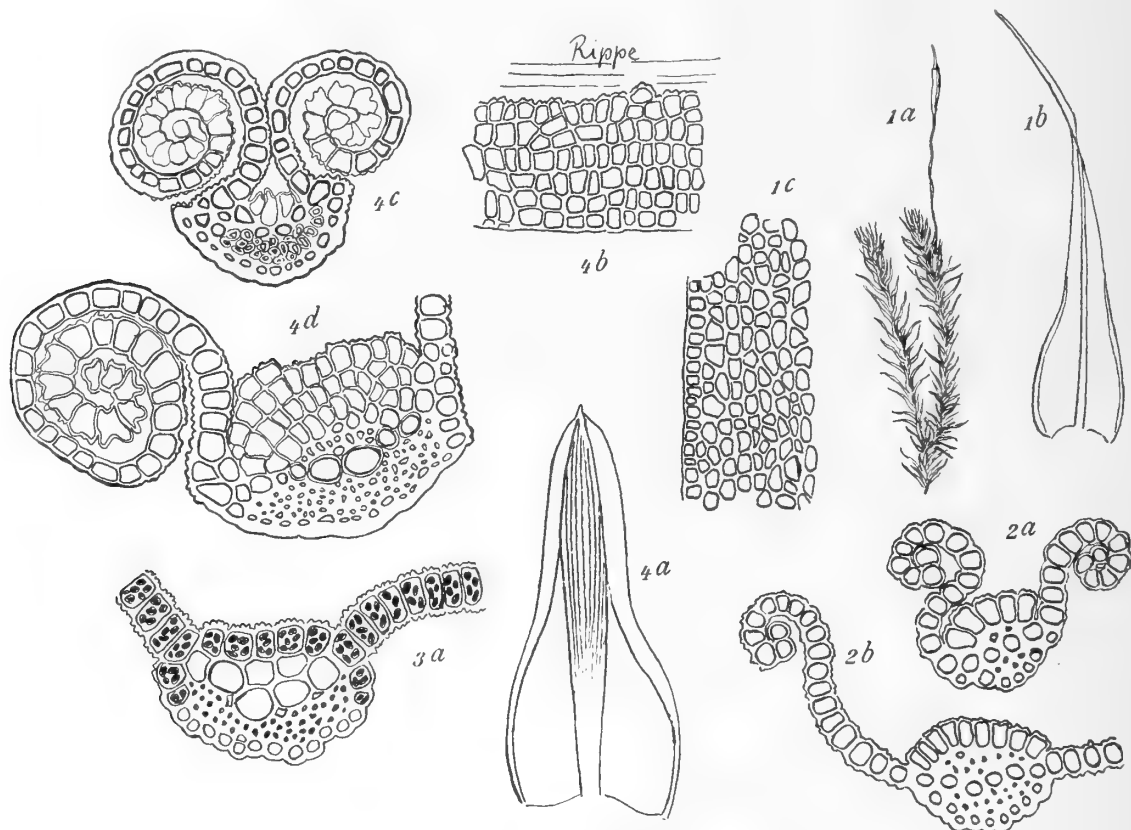


Fig. 11. 1. *Barbula flexifolia* H. a Habitus 2:1, b Blatt 30:1, c Blattrand oben 250:1; 2. *Barbula Punae* H. Blattquerschnitte a oben, b in der B.mitte 250:1; 3. *Barbula chocayensis* Broth. et H. Blattquerschnitt 250:1; 4. *Barbula pachygastrella* H. a Blatt 30:1, b Teil des ungerollten B.randes 250:1, c, d Blattquerschnitte 250:1.

An nassen Felsplatten im oberen Llavetal gegen die Tunariseen, ca. 4300 m, No. 4845.

Die gedrehten Blätter, die unregelmäßigen Blattzellen und die sehr lange, schmale Kapsel sind gute Kennzeichen dieser neuen Art.

156. ***Barbula rectifolia*** (Mitt.).

An Felsen im oberen Montehuaikotal, ca. 3900 m, No. 3760.

Sect. *Helicopogon* (Mitt. Musc. austr. amer.) Lindb.

157. ***Barbula unguiculatula*** C. M.

An Sandsteinfelsen der Cordillere von Santa Cruz, ca. 1400 m?, No. 3483. Es kann hier — die genaue Fundortsnotiz ist verloren — auch ein niederer Fundort in einer der

Schluchten des Gebietes vorliegen; die Höhenangabe wäre dann auf 800—900 m zu korrigieren.

158. **Barbula apiculata** (Hpe.).

An Lößhängen um La Paz, ca. 3600 m, No. 2570.

var. **gracilis** Broth. n. var. Zusammen mit dem Typus bei La Paz, No. 2554.

var. **brevisetata** Broth. n. var. Mit den beiden vorigen zusammen bei La Paz, No. 2557.

159. **Barbula glaucescens** (Hpe.).

Echtes Hochgebirgsmoos, in sehr dichten, niederen, bläulich bis lila bereiften Polsterrasen wachsend. Auf humusbedeckten Felsen im Piñasgebiet gegen den Cerro Incachacca, ca. 4500 m, No. 2598; an Felsen im oberen Chocayatal, ca. 4400 m, No. 3596.

160. **Barbula chocayensis** Broth. et Herzog n. sp. (Fig. 11.₃).

Dioica; gracilis, laete viridis, inferne fuscidula; caulis erectus, vix ultra 1 cm longus, parce radiculosus, dense foliosus, dichotome ramosus vel simplex; folia erecto-patentia, carinato-concava, sicca spiraliter contorta, superiora majora, e basi ovali lanceolato-ligulata, obtusa, aristata, usque ad 2,5 mm longa, marginibus usque ad apicem fortiter revolutis, integris, nervo crasso, lutescente, in aristam brevem, lutescentem, laevem excedente, dorso superne minute papilloso, cellulis laminalibus subrotundis, superioribus 0,010—0,012 mm, valde chlorophyllosis, dense verrucosis, basilaribus multo majoribus, rectangularibus, hyalinis, laevissimis, marginem versus angustioribus; bracteae perichaetii foliis subsimiles; seta vix 1,5 cm alta, tenuis, basi rubella, superne lutescens, sicca superne sinistrorsum torta; theca erecta, majuscula, elongate ovato-oblonga, pallide fusca; annulus 0; peristomium aurantiacum; membrana basilaris humillima; dentes pluries contorti, dense papilloso; spori 0,007—0,010 mm, lutescenti-virides, laevissimi; operculum conico-rostratum, obtusum.

Chocaya-Tal, ca. 3100 m, No. 3602.

Species *B. replicatae* Tayl. affinis, sed foliis distinctius spiraliter contortis, superne latioribus cellulis majoribus faciliter dignoscenda.

161. **Barbula pachygastralla** Herzog nov. spec. (Fig. 11.₁).

Dioica videtur (flos ♂ non visus); dense humiliter caespitosa, novellis citrinoviridulis, partibus vetustis fusciscentibus, caulibus ad 1 cm longis iterum dichotomis illecebrinorigidulis obtusis. Folia sicca humidaque squamato-appressa, tristicha, vix spiraliter torta, duriuscula, late ovato-lanceolata obtusa, mucronulata, margine valde spiraliter revoluta, nervo valido superne incrassato carnosio, dorso lateraliter angulatim prominente striato, ventre stratis pluribus cellularum tenuium chlorophyllosarum pulvinatim oblecto (inde nomen), fasciculis stereidium duobus dorsali validissimo suffulto, in mucronem brevissimum excurrente, cellulis basalibus usque ad medium laxe rectangularis flavidis, superioribus quadratis laxis vel transversim oblongis sublaevibus (in plicis inter nervum partesque marginis revolutae tantum papilloso); perichaetia convoluta, duplo longiora, flavida, laevissima, cellulis tenuibus elongatis conflata. Seta 5—8 mm longa tenuis rubella; theca anguste elliptica 1,5 mm longa cinnamomea, operculo breviter rostrato, peristomio brevi vix semel torto, dentibus in tubo basali brevi coalitis.

An Lößhängen bei La Paz, ca. 3600 m, No. 2559.

Durch die Struktur der Blätter ausgezeichnete Art!

162. **Barbula Punae** Herzog nov. spec. (Fig. 11.₂).

Laxe caespitosa, e fusco glaucescens pruinata, caulibus ca. 1 cm longis sat dense foliatis duriusculis. Folia sicca arete appressa, apicibus incurvis cauli spiraliter accumbentia, 1—1,2 mm longa, ovato-lanceolata breviter acuminata obtusiuscula subcucullata, margine a basi ad apicem late revoluta, nervo valido fusco superne attenuato cum apice obtusiusculo confluyente, fasciculis stereidium duobus suffulto latere ventrali strato unico cellularum chlorophyllosarum majorum oblecto, cellulis omnibus subquadratis — basalibus laxioribus — papilloso; perichae-

tialia parum longiora, angustiora. Seta ad 12 mm longa erecta purpurea, theca e basi latiore breviter elliptica microstoma atropurpurea, deoperculata 1,3 mm longa, operculo 0,6 mm longo oblique obtuse rostrato; peristomii vix semel torti dentibus a basi separatis; sporis olivaceis laevissimis diametro 0,008 mm.

Auf Erde in den Bergen von Malla, ca. 3700 m, No. 2966; im oberen Montehuaikotal steril, ca. 3900 m, No. 3758/a.

Von *B. pruinosa* (Mitt.) durch die stumpfen Blätter und die kurze eiförmig-elliptische Kapsel unterschieden.

Sect. *Streblotrichum* (Pal. Beauv.) Limpr. Laubm. I.

163. *Barbula paludicola* Broth. n. sp.

Dioica; gracilis, caespitosa, caespitibus densis, fusco-tomentosis, viridibus, intus lutescenti-fuscescentibus; caulis erectus, usque ad 4 cm longus, dense foliosus, dichotome ramosus; folia erecto-patentia, carinato-concava, sicca adpressa apice incurvo, comalia indistincte contorta, elongate ligulata, breviter acuminata, aristata, usque ad 2,5 mm longa et ca. 0,38 mm lata, marginibus erectis, integerrimis, nervo crassiusculo, lutescente, in aristam brevem, integram excedente, cellulis laminalibus subrotundis vel quadratis, superioribus 0,007—0,010 mm, chlorophyllosis, verrucosis, inferioribus internis sensim longioribus, basilaribus laxis, teneris, oblongo-hexagonis, hyalinis vel lutescentibus, laevissimis. Caetera ignota.

Saittulaguna auf Moorwiesen, 4200 m, No. 2658.

Species incertae sedis.

164. *Barbula tortelloides* C. M.

Ich rechne hierher nach der Beschreibung, die auf mein allerdings spärliches steriles Material ausgezeichnet paßt, ein Moos aus dem Trockenwald bei Perico, am Ostfuß der Cordillere in Nordargentinien, ca. 300 m, No. 2640.

Williamsiella E. Britton.

165. *Williamsiella tricolor* (R. S. W.) E. Britt.

Syrrophodon R. S. W. in Bull. N.York Bot. Gard. Vol. 3. No. 9.

Williamsia Broth. in Engl. Prantl l. c. pag. 4194.

Dieses schöne, erst durch R. S. Williams aus Bolivia bekannt gewordene Moos findet sich schon unter dem Material meiner ersten Reise, in einzelnen Stengeln dem *Leptodontium longicaule* Mitt. (damals als *L. Mandoni* Schimp. bestimmt) beigemischt. Dieser Fundort wurde später in Beih. Bot. Centr. 1910 Abt. II pag. 348 nachgetragen. Es kommen weiter folgende Fundstellen hinzu: an der Waldgrenze über Tablas, ca. 3400 m, No. 2818; in der Felsschlucht bei Toncoli zwischen Gras, ca. 3500 m, No. 4380; in Felslöchern beim Tunarisee, ca. 4400 m, No. 4941.

Immer wuchs das Moos in großen, allerdings sterilen Rasen.

Gertrudia Herzog nov. gen.

166. *Gertrudia validinervis* Herzog nov. spec. (Tafel III, Fig. 1).

Dioica; flores terminales sessiles, ♂ antheridiis creberrimis magnis aureis, perigonalibus late ovatis breviter acuminatis, ♀ archegoniis 8—10, perichaetialibus parvis aculeonervi-
bus. Laxe caespitosa, amoene virens flavescens, caule ad 2 cm longo parce ramoso dense foliato comoso. Folia sicca valde torta apicibus interdum terebellatis, humida patentia haud recurva, e basi accumbente concavissima longe linearia sensim angustata acutissima integerrima, tubuloso-concava, marginibus a basi ad apicem anguste spiraliter revoluta, nervo valido excurrente dorso superne scaberulo, steridium fasciculo dorsali suffulto, duobus cellulis

superpositis sat amplis incrassatis 2-stratosis subaequalibus auctis, ventre cellulis chlorophyllosis mamillosis obtecto, cellulis basalibus medianis anguste rectangulis tenuibus hyalinis, marginalibus abbreviatis luteolis, superioribus minusculis subquadrato-rotundis seriatis tenuibus ventre mamilloso-prominentibus dorso laevibus, omnibus unistratosis. Sterilis.

In der Dornbuschsteppe des Palo, ca. 1600 m, No. 4344, ♂; an Felsen bei Tres Cruces (Cord. v. Santa Cruz), ca. 1400 m, No. 3473, forma umbrosa foliis latioribus, nervo haud excurrente.

var. **serrato-pungens** Herzog nov. var.

Flavida; rigidula, nervo longius excurrente denticulato scabro.

In der Felsheide von Teneria (Aracatal), ca. 3200 m, No. 2584 ♀.

Ich widme diese Gattung, welche ihren Platz trotz der abweichenden Rippenstruktur am besten bei den *Trichostomeaceen* findet, meiner Frau.

Pottiaceae.

Streptopogon Wils.

167. *Streptopogon heterophyllus* Herzog nov. spec. (Fig. 12).

Paroicus; laxepulvinatus, caulibus ad 2 cm longis iterum dichotomis, ramis divaricatis comose foliatis tomentosis. Folia 5—6 mm longa, e basi angustiore late elliptica, acuminata, explanata vel complicata, superne grosse serrata, insuper propagulis filiformibus ex una serie cellularum (ad 8) chlorophyllosarum efformatis fragilibus ornata, cellulis elongatis tenuiter limbata, limbo 1—2-seriato luteo longe ab apice desinente vel in apice valde dilatato apicem scarioso-membranaceum efficiente, inde apice diversiformia, nervo profolio tenui longe setoso-excurrente, cellulis laxehexagonis chlorophyllis. Setae 1—2 ex uno perichaeatio, ad 3 mm longae,

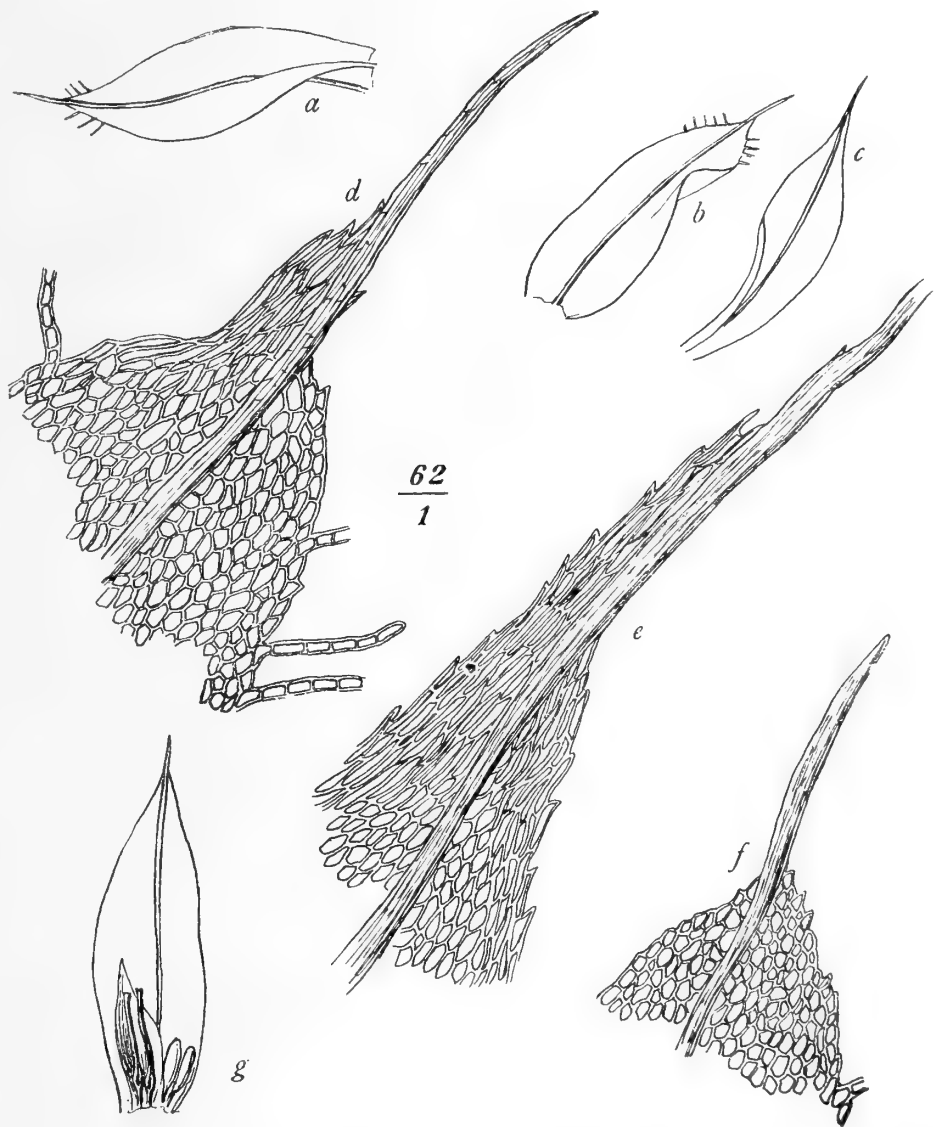


Fig. 12. *Streptopogon heterophyllus* H. n. sp. a, b, c Blätter 10:1, d, e, f Blattspitzen 62:1 g Zwitterblüte.

flavae erectae; theca elliptica, emersa, pallide olivacea, ca. 3 mm longa, operculo margine calloso recte vel parum oblique rostrato aurantiaco, calyptra mitrata alte conica basi lobata, ubique scabra; peristomii semel torti dentibus rubris e tubo brevi tabulato orientibus; sporis obscure viridibus tenuiter punctulatis diametro 0,014—0,017 mm.

An Bäumchen beim Asiento (Aracatal), ca. 3800 m, No. 2992; an Bäumen bei Samaipata (Ost-Cordillere) ca. 1700 m, No. 5125; an Bäumchen bei Altamachi, ca. 3500 m, No. 3858.

Durch die in Brutfäden auswachsenden Randzellen der Blattspitze und ihre verschiedenartige Struktur ausgezeichnet.

168. **Streptopogon erythrodontus** (Tayl.) Wils.

St. bolivianus C. M.

Häufig an Gesträuchstäben und dünneren Baumzweigen im oberen Waldgürtel. Z. B. in den Estradillas über Incaorral, ca. 3200 m, No. 3346; im Gebüsch bei Incaorral, ca. 2200 m, No. 4968, 5046; im unteren und oberen Coranital, 2000—2600 m, sine No.

169. **Streptopogon clavipes** Spruce.

Auf einem Baumast an der Cuesta de Liryuni, ca. 3400 m, No. 3455.

170. **Streptopogon peruvianus** Broth. in herb.

An Gesträuch- und Baumstäben im Bergwald, besonders an lichten Stellen. Im oberen Coranital, ca. 2600 m, No. 3372; im Bergwald des Rio Tocorani, ca. 2600 m, No. 4104. Schon auf der ersten Reise bei Incaorral gesammelt, aber als *St. rigidus* Mitt. bestimmt.

Aloinella Cardot.

171. **Aloinella boliviana** Broth. n. sp.

Dioica; gracilis, caespitosa, caespitibus densis, rigidis, facillime dilabentibus, pallide viridibus, opacis; caulis erectus, usque ad 1,5 cm longus, parce radiculosus, e basi jam dense foliosus, fasciculatim ramosus, ramis fastigiatis; folia sicca et humida dense imbricata, cochleariformi-concava, e basi brevissima, angustiore ovalia, cucullata, rotundato-obtusa, marginibus incurvis, integerrimis, nervo lato, superne dilatato, infra apicem evanido, dense lamelloso, cellulis irregularibus, quadratis, subhexagonis vel trigonis, pellucidis, laevissimis, basilaribus majoribus, breviter rectangularibus vel quadratis. Caetera ignota.

Am Chacaltaya, 30 km von La Paz, alt. 4800 m, von O. Buechti en entdeckt.

Species pulcherrima, e descriptione *A. galeatae* (C. Müll.) et *A. cucullatifoliae* (C. Müll.) valde affinis. Sehr eigentümliches, polsterbildendes Moos der höchsten Cordillerenkämme.

Auf einem Gipfel der Yanakakabastion, ca. 4600 m, No. 3757; am Felskamm der Negros im Tunarigebiet, 4700—4800 m, No. 4806; spärlich den Räschen von *Barbula pachygastris* H. beigemischt, an Lößhängen bei La Paz, ca. 3600 m, No. 2559/b.

Tortula Hedw. Fund. II.

Sect. *Tortula* sens. strict. Limpr. I.

172. **Tortula minima** Herzog nov. spec. (Fig. 13, e—i).

Autoica; caespitosula, humillima, plantulis gemmiformibus obscure luride viridibus nigricantibus. Folia densa, sicca incurva rigidula, humida rosulato-aperta, 1—1,3 mm longa, late breviterque ovato-lanceolata, brevissime obtuse apiculata subcucullata, integerrima, margine ubique anguste revoluta, nervo valido ferrugineo in apice calloso dissoluto, dorso convexo, latere ventrali cellulis amplis chlorophyllosis pulvinatim oblecto, cellulis basalibus laxis subquadratis hyalinis vel parce chlorophyllosis, superioribus sat laxis quadratis tenuibus valde chlorophyllosis dense papillosis omnibus unistratosis. Seta brevissima, 6—7 mm longa erecta; theca breviter elliptica, vix 1 mm longa (vetusta tantum observata).

Auf Erde zwischen Choro und Cocapata, ca. 3500 m, No. 4170.

Aus der Verwandtschaft der *T. characodonta* (C. M.), aber durch Blütenstand und Blattform sehr verschieden.

173. *Tortula mniifolia* (Sull.) Mitt.

Auf feuchten Steinen im Bergwald des unteren Coranitales, ca. 1800 m, No. 4696.

Sect. *Zygotrichia* (Brid. Bryol. univ. I) Mitt. Musc. austr. amer.

174. *Tortula percarnosa* (C. M.) (Fig. 13a).

Echtes Hochgebirgsmoos, bisher nur aus den Hochcordilleren von Argentinien bekannt.

An steilen Erdabbrüchen bei Challa in ausgedehnten, schmutzig-schwarzgrünen Rasen, ca. 3900 m, No. 2564; an Felsen im oberen Chocayatal, ca. 4400 m, No. 3575.

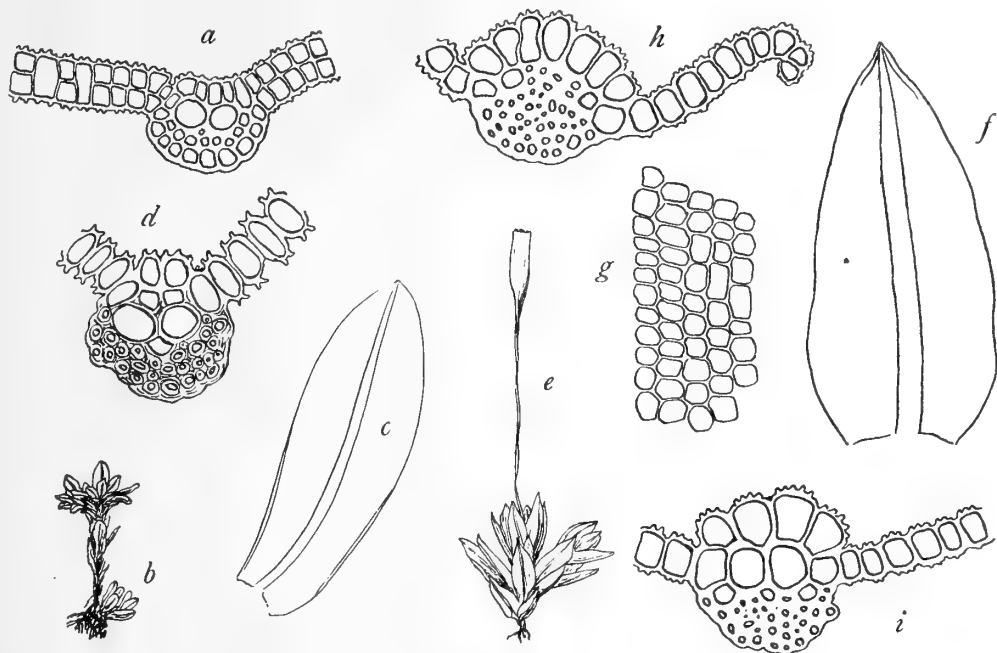


Fig. 13. a *Tortula percarnosa* C. M. Blattquerschnitt 250:1; b—d *Tortula ligulata* H. n. sp. b Habitus 2,5:1, c Blatt 16:1, d Blattquerschnitt 250:1; e—i *Tortula minima* H. n. sp., e Habitus 7:1, f Blatt ca. 50:1, g Zellnetz aus der Blattmitte 250:1, h Blattquerschnitt oben 250:1, i Blattquerschnitt mitten 250:1.

175. *Tortula polyseta* (C. M.).

Charaktermoos des bolivianischen Hochgebirges, besonders an feuchten, humusreichen Stellen.

Am Bachrand bei der Mine Viloco (Quimzacruz-Cordillere), ca. 4350 m, No. 3129; beim Tunarisee, ca. 4400 m, No. 3431; in der Hochregion von Altamachi, ca. 4000 m, No. 3854; an den Cerros de Malaga, ca. 4000 m, No. 4370.

176. *Tortula leiostoma* Herzog nov. spec.

Autoica; dense gregaria vel caespitosa humilis, caule 4—10 mm longo dichotomo, e viridi inferne rubescens. Folia sat densa erecto-patula mollia, elongate lanceolata acuta mucronata, complicata, cellulis inferne 4-, superne 3—2-seriatis elongatis aureofuscis laevibus limbata, superne minutim in apice ipso grossius serrulata, cellulis baseos alte laxe rectangulis hyalinis vel flavidis, superioribus hexagonis vel subquadratis sat amplis tenuibus

densissime papillosis griseis. Seta 5—8 mm longa crassiuscula rubra arcte spiraliter torta; theca elliptico-cylindrica, 2,5 mm longa, evacuata elongata angustata atrorubens, annulo uniseriato fragili deciduo, operculo tenuissimo obliquo aciculari $\frac{3}{4}$ thecae longitudinis aequante, calyptra cucullata inflata pallida totam fere thecam obtegente; peristomium nullum; sporis magnis diametro 0,024—0,032 mm ferrugineis grosse pustulatis.

Im oberen Llavetal, 4400—4600 m, No. 4935; am Bach bei der Mine Viloco, ca. 4350 m, No. 3133; im Hochtal von Choquecota chico, ca. 4500 m; No. 3178; zwischen Rio Saujana und Choquetanga grande, ca. 3700 m, No. 3277.

Von *T. denticulata* (Wils.) und Verwandten durch das Fehlen des Peristoms, von *T. limbata* (Mitt.) durch schmalen Blattsaum und Statur verschieden.

177. *Tortula ligulata* Herzog nov. spec. (Fig. 13b—d).

Dioica; sat dense caespitosa terra permixta, humilis, ex obscure viridi nigricans, caulibus simplicibus crassiusculis dense foliatis quam maxime 1 cm altis. Folia rigidula, sicca spiraliter torta incurva, humida patentia stellatim expansa, e basi concava breviter lateque spatulato-ligulata rotundata, 2,5—3 mm longa, 1 mm lata, nervo valido dorso convexo prominente fusco excurrente brevissime obtuse mucronulata, integerrima, margine usque ad medium anguste revoluta ceterum plana, cellulis basalibus medianis laxe breviter rectangulis hyalinis marginalibus angustioribus subquadratis luteis ceteris omnibus unistratos quadratis diametro 0,010—0,012 mm tenuibus chlorophyllosis papillis hippocrepidiformibus dense obtectis obscuris. Sterilis.

Auf trockener Erde im Aracatal, ca. 3000 m, No. 3193, ♂.

Im Habitus sehr stark an *T. percarcosa* C. M. erinnernd, aber schon durch die überall einschichtigen Blätter von ihr verschieden.

Sect. *Syntrichia* (Brid. Mant. musc.) Hartm.

178. *Tortula Mniadelphus* C. M.

In einer Felshöhle des Piñasgebietes, ca. 4200 m, No. 2633; an den Cerros de Malaga, No. 4375; am Bachrand im oberen Llavetal, ca. 4200 m, No. 4813.

179. *Tortula armata* Broth.

Besonders auf moosigen Baumstämmen im obersten Waldgürtel. An der Waldgrenze über Tablas, ca. 3400 m, No. 2929; an der Waldgrenze des Rio Saujana, ca. 3400 m, No. 3235; an der Cuesta de Liryuni, ca. 3400 m, No. 3451; in den Estradillas über Incacorral, ca. 3200 m, No. 3351.

180. *Tortula pichinchensis* Tayl.

Im Hochtal von Viloco, ca. 4600 m, No. 3161/a.

181. *Tortula angustifolia* Herzog.

Calyptopogon Herzog in Beih. Bot. Centr. 1909.

An der Cuesta de Liryuni, ca. 3400 m, No. 3445; am Osthang der Punta de San Miguel, ca. 4800 m, No. 3439, f. latior. Auf der ersten Reise im Bergwald von Incacorral an faulenden Baumstämmen gefunden und als *Calyptopogon angustifolius* veröffentlicht. Die Art, welche wohl zweifellos in die Verwandtschaft von *T. pichinchensis* Tayl. und *T. fragilis* Tayl. gehört, unterscheidet sich von ihren Verwandten durch schmalere, meist abgebrochene Blattspitzen und gestreckte glatte Randzellen, die einen undeutlichen schmalen Blattsaum bilden.

182. *Tortula fragilis* Tayl.

Auf einem Baumast im Chocayatal, ca. 3400 m, No. 3617, c. fr.!

183. *Tortula Goudotii* (Hamp.) Mitt.

var. *boliviana* Broth. n. var.

Folia recurva, pilo rubro subintegro.

Asiento, Baumwurzeln, 3800 m, No. 2994.

184. **Tortula aculeata** Wils.

In den Estradillas über Incacorral, ca. 3300 m, No. 3338, tiefe, ausgedehnte, aber sterile Rasen bildend.

185. **Tortula andicola** (Mont.).

In Felslöchern und an Felsen in der Hochregion weiche, leicht zerfallende Rasen bildend. Zwischen Cocapata und Choro, ca. 3500 m, No. 4186; am Cerro Tunari, ca. 4600 m, No. 4864; im Hochtal von Viloco, ca. 4600 m, No. 3206, forma humilis.

186. **Tortula runcinata** (C. M.).

Am Bachrand im oberen Llavetal, ca. 4200 m, No. 4928.

Nach Vergleichung von *T. robusta* Hook. u. Grev. und *T. runcinata* (C. M.) im Berliner Herbarium kann ich mich Cardots Ansicht, der die beiden für identisch erklärt, nicht anschließen. Trotz habitueller großer Ähnlichkeit unterscheidet sich *T. robusta* von *T. runcinata* sofort durch wesentlich größere Blattzellen.

187. **Tortula scabrinervis** (C. M.) Mitt.

An Baumrinde bei Villa Montes am Rio Pilcomayo, ca. 400 m, No. 2547.

188. **Tortula serripungens** C. M.

Gehört zu den Charaktermoosen der Trockengebiete in mittleren Höhenlagen.

An der Cuesta de Catalina zwischen Comarapa und Pojo, ca. 2300 m, No. 3685.

var. **exesa** C. M.

Mit dem Typus an der Cuesta de Catalina, No. 3675; an Sandsteinfelsen in der Cordillere von Santa Cruz, ca. 1400 m, No. 3478; im Hochland von Totorá, ca. 2800 m, No. 5119.

189. **Tortula linguifolia** Herzog nov. spec.

Diocica; dense caespitosa, ex obscure viridi nigricans, in partibus vetustis ferruginea subrubella, caulibus a basi divisus ad 2 cm longis. Folia sat densa, superiora majora comosa ultra 3 mm longa, sicca rigidula incurva parum torta, humida patula substellata haud recurva, e basi angustiore late ligulato-spathulata rotundata, margine usque ad medium angustissime revoluta, superne planissima integerrima, nervo valido ferrugineo in mucronem obtusum brevissimum excurrente, cellulis basalibus mediis laxis rectangulis subhyalinis vel aureo-limitatis, marginalibus pluribus seriebus angustioribus subquadratis luteis, superioribus majusculis quadratis vel hexagonis tenuibus grosse denseque papillois chlorophyllosis parietibus vix distinctis. Seta brevis recta, vix 1 cm longa; theca (vetusta tantum visa) breviter cylindrica, ca. 2 mm longa.

An einem alten Baumstamm im Cocapatatal, ca. 3900 m, No. 4179.

Aus der Verwandtschaft der *T. serripungens* C. M., durch die Blattform und kleine Kapsel gut unterschieden.

190. **Tortula bipedicellata** Besch.

In der Hochregion von Altamachi, um 4000 m, No. 3856.

191. **Tortula Buchtienii** Herzog in Beih. Bot. Centr. 1910.

Im oberen Montehuaikotal, ca. 3900 m, No. 3741, forma epila.

192. **Tortula ruralis** (L.).

An schattigen Felsblöcken im Chocayatal, ca. 3400 m?, No. 2586; im Hochtal von Viloco, ca. 4700 m, No. 3160.

var. **spiralis** Herzog nov. var.

Minor; foliis siccis distincte spiraliter tortis, humidis minus squarrosis late spathulatis emarginatis, nervo comitibus paucis praedito.

Im oberen Chocayatal, ca. 4000 m, No. 3592. Vielleicht eine eigene Art, aber *T. ruralis* sehr nahe.

193. **Tortula Polylepidis** Herzog nov. spec. (Fig. 14).

Synocica; dense pulvinata, amoene viridis intus ferruginea, basi tomento denso fusco affixa, caulibus crassiusculis 3 cm longis iterum dichotome divisus sat dense foliatis. Folia sicca rigidula

incurva, humida parum recurva substellatim expansa, concava, 4—5 mm longa, e basi longa plicata late ligulato-spathulata rotundato-obtusa integerrima, margine ultra medium anguste revoluta apice planissima, nervo valido ferrugineo dorso minute scabro in pilum mediocrem fuscum remote serratum excurrente, cellulis basalibus medianis elongate rectangulis laxis hyalinis, marginalibus abbreviatis angustioribus luteis, superioribus majusculis hexagonis tenuibus dense papillois chlorophyllosis. Seta brevis 5—6 mm longa, crassiuscula rubens; theca erecta vel parum inclinata, deoperculata 4 mm longa, e basiliatore cylindrica arcuata, annulo 1-seriato, operculo recte alteque conico 1—1,5 mm longo; peristomii tubo basali $\frac{1}{3}$ altitudinis totalis aequante tabulato pallido, dentibus vix

semel tortis dense tenuiter echinulato-papillois aurantiacis; sporis pallide ochraceis laevissimis diametro 0,012—0,014 mm.

An einem Polylepsisstamm im Llavetal, ca. 3800 m, No. 4874.

Durch eine ganze Summe von Merkmalen ausgezeichnete Art!

194. *Tortula xerophila* Herzog n. sp. (Fig. 15).

Dioica; laxe caespitosa, humilis, e viridi ferruginea, caulibus ad 12 mm longis laxiuscule vel densius foliatis tenuibus. Folia sicca valde torquata, arcte spiralliter appressa, humida patentia vel divaricata strictiuscula, e basi appressa parum latiore anguste ligulata obtusa integerrima, margine ubique valde revoluta, supra basin parum undulata, nervo latissimo aliquantulum complanato dorso laevissimo in pilum longum laeve rufum excurrente, ducibus amplis stereidium fasciculo dorsali suffulto, cellulis omnibus majusculis quadratis vel subquadratis unistratis, basalibus vix diversis parum laxioribus medianis breviter rectangulis parce chlorophyllosis laevibus, superioribus dense papillois chlorophyllosis; perichaetalia pilo

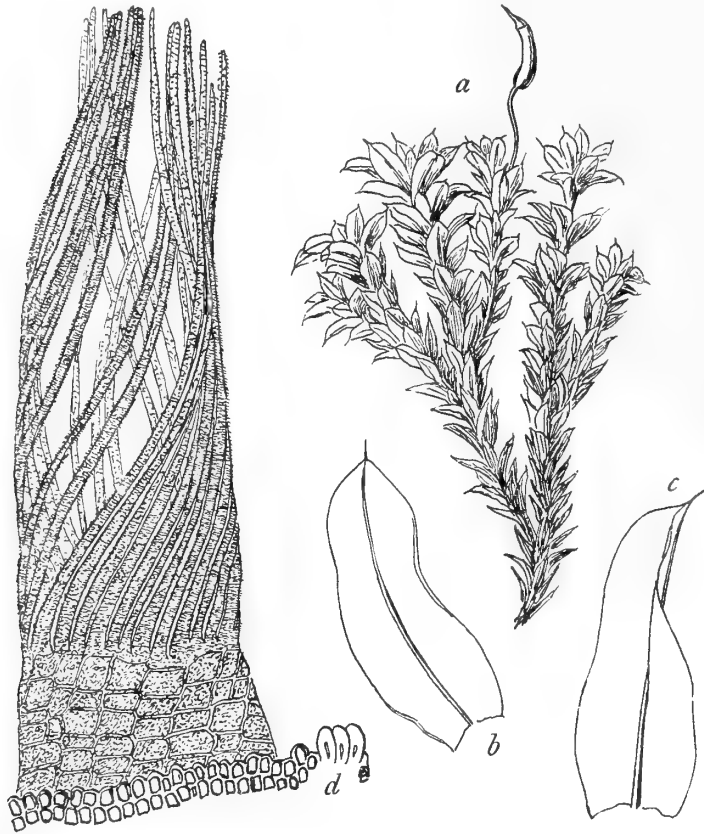


Fig. 14. *Tortula Polylepidis* II. n. sp. a Habitus 2:1, b, c Blätter 8:1, d Peristom 62:1.

longissimo flexuoso. Seta recta, ad 12 mm longa, rubescens, arcte torta; theca erecta e basi latiore anguste elliptica, interdum inaequalis, microstoma, leptodermata, cinnamomea, 2,5 mm longa, operculo anguste conico rubro, calyptra cucullata straminea rostrata dimidiam thecam obtegente laevissima; peristomium breve vix quartam partem thecae aequans, membrana basilari humili luteola, dentibus capillaceis strato externo aurantiaco, interno pallido exstructis dense echinato-papillois; columellae pars superior inter peristomium remanens; spori virides.

In der Dornbuschsteppe des Palo mit *Gertrudia validinervis* H., ca. 1600 m; No. 4344/a; im Trockenwald bei Perico (N.-Argentinien), ca. 400 m, No. 2622.

Merceya Schimp. Syn.

195. *Merceya cataractae* (Mitt.).

Scopelophila Broth.

An feuchten Felsen im unteren Coranital, ca. 1600 m, No. 4754, 4755.

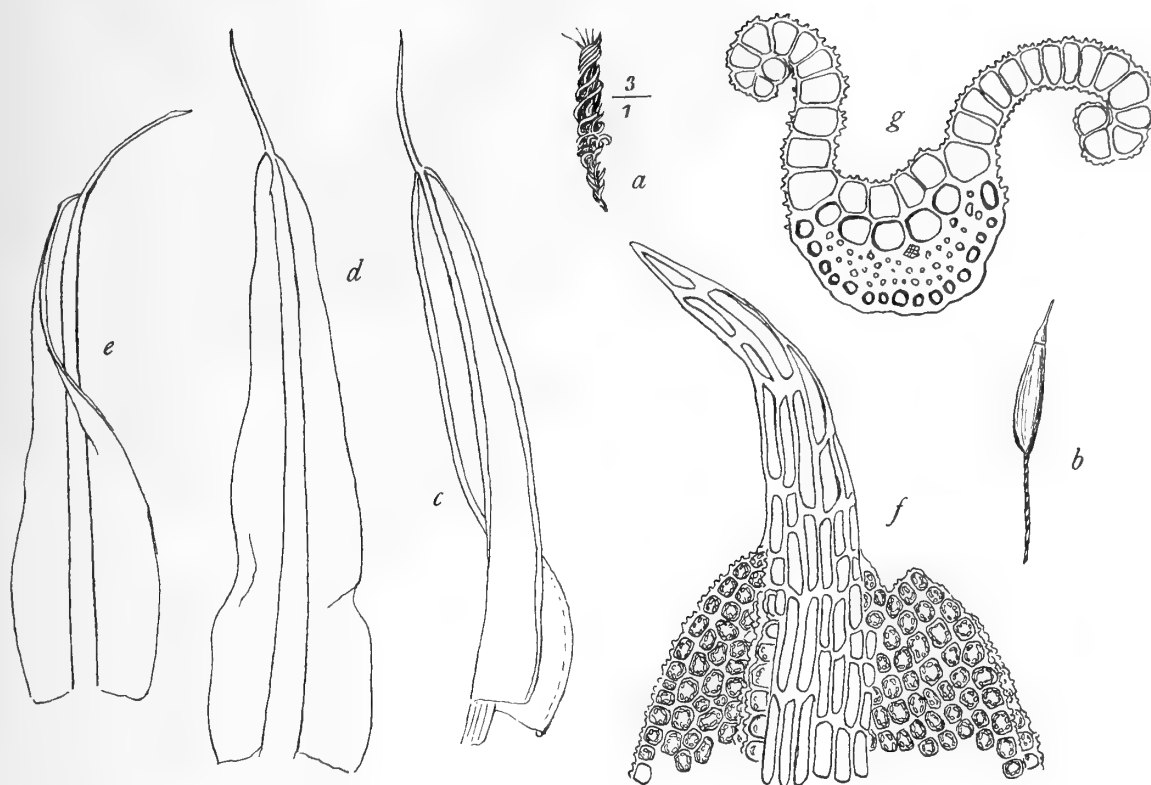


Fig. 15. *Tortula xerophila* H. n. sp. a Habitus eines sterilen Sprosses 3:1, b Kapsel 8:1, c, d, e Blätter 62:1, f Blattspitze 250:1, g Blattquerschnitt 250:1. a und b von No. 2622, c—g von No. 4344/a.

Encalyptaceae.

Encalypta Schreb. Gen. II.

196. *Encalypta asperifolia* Mitt.

E. vernicosa C. M.; *E. emersa* C. M.

Im Hochgebirge von Bolivia, wie es scheint, weit verbreitet, aber meist spärlich. Im Pajonaltal (Quimzacruz-Cordillere), über 4000 m, No. 3286; an Schieferhängen im Hochtal von Choquecota chico (Quimzacruz-Cordillere) ca. 4500 m, No. 3180; an steilen Erdböschungen bei Challa, ca. 3900 m, No. 2567; im Piñasgebiet, ca. 4500 m, No. 2629; auf einem Gipfel der Yanakakabastion, ca. 4600 m, No. 3828.

E. vernicosa C. M. und *E. emersa* C. M. sind ganz gewiß nur Standortsformen, die letztere eine hochandine Kümmerform von *E. asperifolia* Mitt. Ich kann an den Originalen keine irgendwie bemerkenswerten Unterschiede, außer im Wuchs, entdecken.

197. *Encalypta coarctata* (Mitt.).

An der Waldgrenze über Tablas, ca. 3400 m, No. 2863, 2903; an erdigen Felsen der Yanakakabastion über 4000 m, No. 3753, 3833.

198. *Encalypta leiiotheca* Herzog nov. spec.

Dioica?; late turgide caespitosa, obscure viridis, caulibus ad 3 cm longis iterum dichotomis dense foliatis. Folia sicca incurva, humida sub erecto-patula concava, 5—6 mm longa 2 mm lata, e basi macerata late longeque spatulata obtusa, margine ultra medium revoluta in apice plana, nervo rufo valido in mucronem parce denticulatum excurrente, dorso superne vix scaberulo, cellulis basi anguste rectangularibus luteis plerumque mox deletis, superioribus parvis hexagono-rotundis

densissime papillosis chlorophyllosis. Setae ex uno perichaetio 1—3 erectae, ad 10 mm longae rubentes; theca e basi subtruncata anguste elliptico-cylindrica, ultra 2 mm longa, rubrofusca, laevissima, microstoma, eperistomiata, operculo brevi recto aciculari, calyptra basi breviter fimbriata, sporis tetraedricis diametro 0,040—0,044 mm grosse pustulatis, exosporio radiatim incrassato.

Unter Rasenwurzeln bei der Abra de San Benito, ca. 3800 m, No. 4353.

Grimmiaceae.

Ptychomitriaceae.

Ptychomitrium (Bruch) Fűrnr. in Flora 1829 Erg. II.

199. **Ptychomitrium chimborazense** (Spruce).

An Felsen im oberen Montehuaikotal, ca. 3800 m, No. 3749, 3855; im Chocayatal, No. 3584.

Hierher gehört wahrscheinlich auch *Brachysteleum emersum* C. M. Das völlige Fehlen des Peristoms bei diesem Hochgebirgsmoos kann im Vergleich zu dem meist auch nur rudimentären Peristom des *P. chimborazense* nicht für ein artscheidendes Merkmal angesehen werden. Auch *Glyphomitrium Cochabambae* Herzog und *Gl. papillosum* Herzog gehören in die nächste Verwandtschaft von *P. chimborazense*. Vielleicht haben wir es hier überhaupt nur mit Formen oder Lokalrassen einer sehr polymorphen Art zu tun.

Grimmieae.

Coscinodon Spreng.

200. **Coscinodon trinervis** (R. S. W.) Broth.

Grimmia R. S. Williams.

Charaktermoos der höchsten Anden.

In den Aracabergen über 4000 m, No. 2982; an Felsen beim Huallattanisee (Quimzacruz-Cordillere), ca. 4900 m, No. 2970; am Abfluß des Altaranigletschers, ca. 4900 m, No. 2972; an einem Gipfel der Yanakakabastion, ca. 4600 m, No. 3825; im oberen Montehuaikotal, ca. 3900 m, No. 3752/a; im oberen Chocayatal, ca. 4300 m, No. 3589 forma subepila.

201. **Coscinodon bolivianus** Broth. n. sp.

Dioicus; tenellus, caespitosus, caespitibus compactis, basi tomentosus, laete viridibus, griseis; caulis erectus, ca. 1 cm longus, dense foliosus, superne fasciculatim ramosus; folia sicca adpressa, humida suberecta, inferiora patentia, e basi ovali breviter lanceolata, obtusa, inferiora mutica, superiora in pilum hyalinum, elongatum, basi latum, parce serrulatum producta, lamina superne biplicata, marginibus superne incurvis, integerrimis, nervo inferne tenuiore, superne sulcato, cellulis laminalibus minutis, quadratis, basilaribus multo majoribus, breviter rectangularibus, hyalinis, omnibus laevissimis. Caetera ignota.

Felsen am Huallattanisee, alt. 4900 m, No. 2971.

Species pulchella, foliorum forma et structura facilliter dignoscenda.

Schistidium (Brid.) Br. eur.

202. **Schistidium angustifolium** (Mitt.)

An Granitfelsen im Hochtal von Choquecota chico (Quimzacruz-Cordillere), ca. 4500 m, No. 3177.

203. **Schistidium streptophyllum** (Sull.).

An Konglomeratfelsen bei La Paz, ca. 3700 m, No. 2571, forma decolorans.

204. *Schistidium andinum* (Mitt.).

An Felsen neben dem Weg zwischen der Cumbre de Liryuni und der Abra de Piñas, ca. 4400 m, No. 2602.

205. *Schistidium apocarpum* (L.).

An schattigen Felsblöcken im unteren Chocayatal, ca. 3400 m, No. 3610.

206. *Schistidium praemorsum* (C. M.).

An Felsen im oberen Montehuaikotal, ca. 3900 m, No. 3759.

207. *Schistidium subpraemorsum* Broth. n. sp.

Autoicum; gracilescens, caespitosum, caespitibus densis, sordide fuscescenti-viridibus; caulis erectus, usque ad 3 cm longus, parce radiculosus, dense foliosus, fasciculatim ramosus; folia sicca adpressa, humida patentia, carinato-concava, e basi ovali sensim longe et anguste lanceolata, brevipila, marginibus longe ultra medium folii revolutis, integerrimis, nervo rufescente, in pilum breve, serrulatum excedente, dorso sublaevi, cellulis incrassatis, superioribus lumine subquadrato, sinuosulo, dein sensim longioribus, basilaribus lumine lineari, valde sinuoso, infimis haud sinuosis, pellucidis, internis linearibus, marginem versus in seriebus paucis subquadratis, hyalinis; bractae perichaetii erectae, multo majores, pallidae, e basi elongata, ovato-oblonga sensim breviter lanceolato-acuminatae, piliferae; theca immersa, ovalis, macrostoma, leptodermis, ochracea; exostomii dentes late lanceolati, in linea media late perforati, aurantiaci, papilloso; operculum convexum, breviter et recte rostratum; calyptra ignota.

Oberes Llavetal gegen Tunarisee, alt. 4300 m, No. 4867.

Species Sch. praemorso (C. Müll.) affinis, sed foliorum forma et reticulatione optime diversa.

208. *Schistidium Chocayae* Herzog nov. spec.

Autoicum; caespitosum, caespitibus laxe cohaerentibus canescentibus e luride viridi intus nigricantibus, caulibus valde ramosis iterum dichotomis filiformibus vix ultra 1 cm longis. Folia sat densa, sicca aliquantulum spiraliter torta, accumbentia, humida erecto-patentia, haud reflexa, parva, ca. 1 mm longa, e basi perfecte ovata late breviter lanceolata, inferiora brevissime obtuse acuminata epila, superiora pilo brevi hyalino parce dentato ornata, carinato-concava, margine in uno latere a basi supra medium revoluta, nervo mediocri aequilato dorso prominente, cellulis superioribus parvis, basalibus laxioribus, omnibus quadratis chlorophyllosis vix incrassatis; perichaetia vix majora, haud calycina. Seta subnulla; theca immersa, foliis perichaetialibus breviter piliferis vix superata, cyathiformis, peristomii dentibus 16 truncatis irregulariter lobatis perforatis aurantiacis foveolato-striolatis minutissime papillosis.

An Felsen im oberen Chocayatal, ca. 4400 m, No. 3590.

Charakteristisch sind die kaum vergrößerten Perichaetialblätter und das gestutzte Peristom. Im Habitus etwas an *Grimmia funalis* erinnernd.

209. *Schistidium malacophyllum* Herzog nov. spec.

Autoicum?; laxe caespitosum, obscure viride, nigricans, molle. Caulis decumbens, a basi iterum ramosus, ad 2 cm longus flexuosus. Folia tristicha, sicca laxe incumbentia, humefacta hamatim recurva demum erecto-patentia, inferiora minora, superiora 2 mm longa, omnia e basi anguste ovata decurrente elongato-lanceolata, inferiora obtusa, superiora brevissime hyalino-mucronata ibique paucidentata, carinata, margine uno vel ambo latere usque fere ad apicem revoluta ibique seriebus 1—2 bistratoso, nervo valido dorso convexo e viridi fuscescente, cellulis laminae unistratosae basalibus breviter rectangulis sinuatis, superioribus rotundato-quadratis parum incrassatis omnibus chlorophyllosis; perichaetia majora, ad 3 mm longa, latiora, valde carinata. Theca in seta perbrevis recta, immersa, parva, cyathiformis, operculo cupulato oblique rostrato rubro; peristomium multo infra os insertum dentibus 16 longis e basi late lanceolata anguste subulatis irregulariter 2—3-fissis papillosis aurantiacis; sporis aurantiacis.

An Steinen in einer Bachrinne im oberen Llavetal, ca. 4300 m, No. 4925.

Durch die dreizeilige Beblätterung und die schmalen Blätter, wie schon durch das Colorit und die Weichheit aller Teile bestens charakterisiert.

210. *Schistidium tunariense* Herzog nov. spec.

Autoicum; laxe caespitosum, caulibus decumbentibus iterum ramosis e luride viridi ochraceis fusciscentibus sat laxe foliatis. Folia sicca patentia parum contorta, humefacta raptim recurva dein valde patentia, 2,5 mm longa, e basi decurrente ovata aurantiaca longe lanceolato-lineararia subulata, superne carinata, margine usque ad medium anguste revoluto, nervo pro folio tenui ferrugineo sulcato in pilum brevissimum hyalinum laeve excurrente (inferiora epila), cellulis basalibus rectangularis tenuibus mox in laminales breviores superiores subquadratas sinuato-

incrassatas transeuntibus; perichaetia multa majora, late elliptica, 4 mm longa, nervo sat crasso basin versus dissoluto. Theca in seta brevissima (vix 0,5 mm longa) immersa, cyathiformis, macrostoma; peristomii dentibus 16 lanceolatis cribroso-perforatis vel imperfecte 3—4-fissis aurantiacis papillois.

An überrieselten Felsplatten im oberen Llavetal, ca. 4200 m, No. 4866.

211. *Schistidium fontanum* Herzog nov. spec. (Fig. 16).

Autoicum; fluitans, caulibus valde ramosis in fasciculos ramulorum brevium exeuntibus nigricantibus, habitu *Sch. alpicolae* var. *rivularis*, ad 4 cm longis sat laxe foliatis. Folia sicca patula, parum contorta, subsecunda, humefacta haud reflexa, 2,5 mm longa, elliptico-lanceolata, obtuse subulato-stylosa, subula subterete carnososa, margine in uno latere medio late inflexo, epila, nervo nigricanti latissimo complanato, cellulis bistratosi viridissimis seriebus 2—3 dispositis dilatato, laminae (nervo proximae exceptae) cellulis omnibus quadratis vix incrassatis chlorophyllosis, ad basin seriebus singulis bistratosi. Seta brevissima, curvata vel recta, vix 0,2 mm longa; theca perfecte immersa, depresso cyathiformis, macrostoma, atropurpurea; peristomii den-

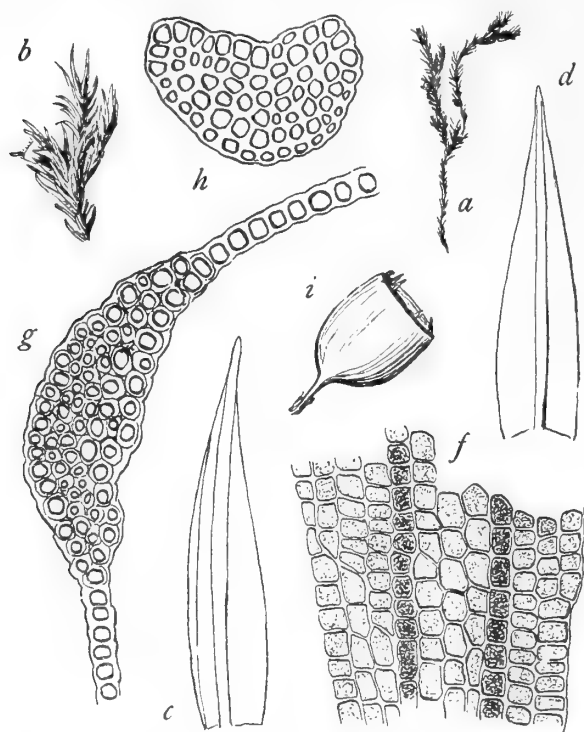


Fig. 16. *Schistidium fontanum* H.n. sp. a Habitus 1:1, b fertile Sproßspitze ca. 4:1, c, d Blätter, f Zellnetz an der B.basis 250:1, g Querschnitt in der B.mitte 250:1, h Querschnitt durch die B.spitze 250:1, i Kapsel ca. 20:1.

tibus robustis lanceolatis solidis a basi ad medium verticaliter striolatis superne papillois purpureis.

An Steinen im Bach bei der Mine Viloco, ca. 4350 m, No. 3127.

Ausgezeichnete Art! Durch die Blattstruktur und das Peristom bestens gekennzeichnet.

Grimmia Ehrh. emend.

Subgen. *Grimmia* sens. strict. Limpr. Laubm. I.

212. *Grimmia subovata* Schimp.

G. integridens C. M.

Auf sonnigen Felsblöcken des Hochgebirges, stets reich fruchtend, besonders im Tunari-gebiet. Beim Tunarisee, ca. 4400 m, No. 4938, 4912; am Cerro Tunari, ca. 5000 m, No. 4863.

213. *Grimmia micro-ovata* C. M.

Im oberen Chocayatal, ca. 4300 m, No. 3585.

214. *Grimmia navicularis* Herzog in Beih. Bot. Centr. 1909.

An Felsen bei der Saittulaguna, ca. 4300 m, No. 2675; an Felsblöcken beim Tunarisee, ca. 4400 m, No. 4913.

215. *Grimmia leucophaeola* C. M.

Zwischen Cuchicancha und Sacaba, ca. 3700 m, No. 4156.

Die Peristomzähne sind bei meinen Exemplaren etwas länger als die Beschreibung verlangt. Im übrigen stimmt dieselbe aber so gut — der Ring ist sehr breit und bleibt am Kapselrand sitzen — daß ich an der Zugehörigkeit derselben zu der Müllerschen Art nicht zweifle.

216. *Grimmia Herzogii* Broth. n. sp.

Dioica; gracilis, caespitosa, caespitibus densis, mollibus, facilliter dilabentibus, viridibus, intus nigrescentibus; caulis erectus, usque ad 1,5 cm longus, parce radiculosus, dense foliosus, dichotome ramosus; folia sicca imbricata, humida suberecta, carinato-concava, e basi late ovali breviter lanceolata, pilifera, marginibus erectis vel uno latere recurvo, nervo tenui, in pilum hyalinum sublaeve vel minutissime serrulatum breve et strictum vel longum et flexuosum excedente, cellulis laminalibus incrassatis, lumine minutissime rotundato-quadrato, chlorophyllosis, dein lumine ovali, basilaribus internis lutescentibus, elongate rectangularibus, teneris, marginem versus in seriebus pluribus laxè quadratis, hyalinis, parietibus transversis incrassatis; bracteae perichaetii internae foliis majores, parte basilari elongata, teneriter rectangularata, longe piliferae; seta ca. 2 mm alta, stricta, lutea; theca erecta, ovalis, fusca, laevis; annulus latus, revolubilis; exostomii dentes lati, apice bifidi, aurantiaci, papilloso; spori 0,010—0,012 mm, fusci, laevissimi; operculum minutum, e basi conica breviter et obtuse rostratum; calyptra mitraeformis, longirostris, basi pluries laciniata, operculum tantum obtegens. Planta mascula ignota.

Oberes Chocaya-Tal, alt. 4400 m, No. 3579; Yanakaka, alt. 4500 m, No. 3826.

Species pulchella, *Gr. vernicosulae* C. Müll. affinis, sed mollitie foliorumque forma facilliter dignoscenda.

217. *Grimmia speirophylla* Herzog nov. spec.

Dioica; dense caespitosa, caespitibus subpulvinatis obscure viridibus intus nigricantibus persistentibus, caule simplici vel diviso 1,5—2 cm longo crassiuscule folioso sursum attenuato. Folia laxiuscula, distincte spiraliter accumbentia, mollia, carinata, e basi oblongo-elliptica linearia, in pilum breve exeuntia, margine in uno latere reflexo, nervo crassiusculo concolori, cellulis superioribus subquadratis parietibus valde incrassatis sinuatis, basalibus elongate rectangularibus, parietibus longitudinalibus valde sinuato-incrassatis; perichaetia longiora. Seta 2 mm longa, recta; theca exserta, 1,5 mm longa, perfecte ovalis, laevissima, pallide cinnamomea, operculo subrecto obtusiuscule rostrato aurantiaco; peristomium dentibus 16 validis usque ad medium bifidis inferne rubris superne griseo-fuscidulis vel rubris dense papilloso; sporis minimis ochraceis.

An Felsen im Hochtal von Viloco, ca. 4600 m, No. 3148; an Felsen der Yanakakabastion, ca. 4500 m, No. 3745 u. 3827; an Felsen des Cerro Tunari, ca. 5000 m, No. 4871 u. 4811.

Stattliches Moos, das durch die deutlich spiralig gedrehten Blätter leicht kenntlich wird. Habituell etwas abweichend verhält sich eine *f. humilis* mit niederen Räschen und stärker buchtigen Zellen aus den Yanakakabergen (sine No.).

218. *Grimmia nigella* Herzog nov. spec. (Fig. 17).

Dioica; pulvinatim caespitosa, obscure viridis, nigricans, caulibus ca. 1 cm longis superne fasciculatim divisim dense foliatis. Folia sicca indistincte spiraliter torta, humefacta haud reflexa, erecta, leviter incurva, e basi late ovali lanceolato-subulata, obtusiuscula, epila,

carinata, margine medio vel fere usque ad apicem uno latere revoluto, nervo valido basi attenuato dorso convexo, cellulis basalibus flavescensibus rectangulis sensim abbreviatis aequaliter incrassatis, marginalibus laxioribus brevioribus subhyalinis, parietibus transversalibus valde incrassatis, superne mox in cellulas quadratas vel subrotundas bistratas valde chlorophyllosas transeuntibus. Seta recta, 2 mm longa, flavescens; theca ovalis vel breviter elliptica, microstoma, laevissima, sicca rugulosa, pallide aurantiaca, ore rubro, operculo conico recte obtuseque rostrato, annulo lato pluriseriato; peristomium dentibus 16 lanceolatis ad basin fere 3-fissis, cruribus trabeculis inter se cohaerentibus laxe papillois aurantiacis; sporis flavescensibus laevissimis diametro 0,008 mm.

An Felsen im oberen Chocayatal, ca. 4400 m, No. 3597 u. 3587/a; an Felsen bei der Saittulguna, ca. 4300 m, No. 2679.

Nach dem Habitus und der glatten Kapsel zu *Eugrimmia* gehörig. Da ich keine Haube gesehen habe, will ich jedoch nicht endgültig entscheiden.

219. *Grimmia olivacea* Herzog n. sp. (Fig. 18, g—m).

Sterilis; dense pulvinata, ex olivaceo subcanescens intus nigricans, caule filiformi a basi ramoso tenello ca. 1 cm longo dense aequaliter foliato. Folia sicca accumbentia, apicibus incurvis, interdum indistincte spiraliter torta, humida patula, e basi angustata elliptico-lanceolata, parum concava, apice subcarinata, inferiora mutica, superiora pilosa, margine in uno latere ultra medium revoluta, nervo superne incrassato sulcato in pilum longiusculum hyalinum remote subdenticulatum saepius flexuosum excurrente, cellulis basalibus rectangulis tenuibus flavidis, marginalibus subhyalinis parum productis, ceteris subhexagono-quadratis modice incrassatis saepius sinuatulis ubique unistratis (in apice serie una marginali tantum bistratosas) chlorophyllosis.

Im oberen Chocayatal an Felsen, ca. 4400 m, No. 3587.

Die Stellung dieser leider nur steril gefundenen Art ist unsicher. Am besten scheint sie noch in die Verwandtschaft von *G. funalis* und *G. navicularis* zu passen, von welchen sie sich jedoch durch bedeutend schwächeren Wuchs und breite, kurze Blätter weit unterscheidet.

220. *Grimmia squamatula* Herzog nov. spec. (Fig. 18, a—f).

Sterilis; densissime pulvinata, duriuscula, fragilis, caulibus tenuissimis a basi divisivis vix 1 cm longis dense minutim foliatis superne crassioribus julaceis. Folia in parte caulis superiore imbricata, sicca squamiformi-appressa, humefacta patula, laxe incumbentia, densissime disposita, 0,5 mm longa, late ovato-lanceolata obtusiuscula, inferiora mutica, superiora depila vel apice decolore, novissima pilo brevi lato laevissimo complanato hyalino terminata, conchiformi-concava, margine in uno latere usque ad medium revoluta, nervo pro folio latiusculo complanato superne vix validiore sulcato dorso parum convexo, cellulis basalibus laxioribus quadratis flavescens-limpidis irregulariter incrassatis, superne unistrato-

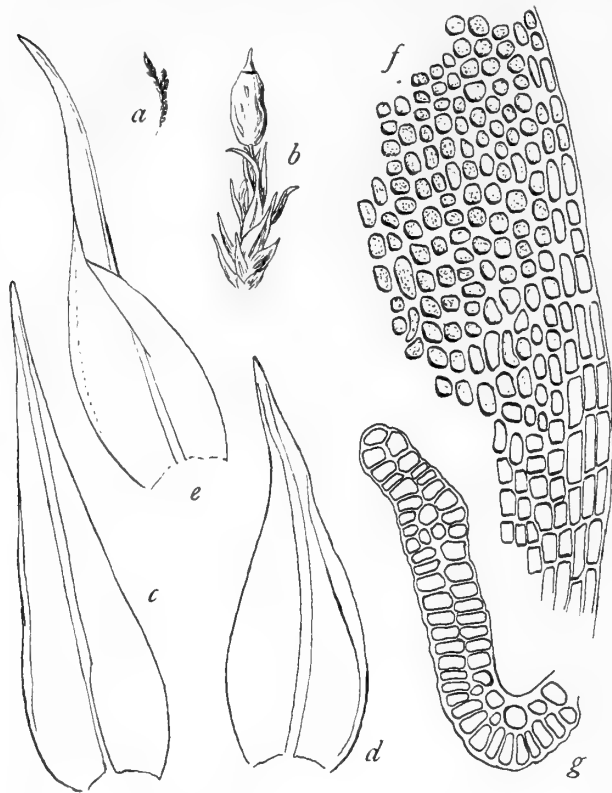


Fig. 17. *Grimmia nigella* H. n. sp. No. 2679. a Habitus 1:1, b fertile Sproßspitze 8:1, c, d, e, Blätter 62:1, f Zellnetz des Blattrandes nahe am B.grund 250:1; B.quer-schnitt 250:1.

sis hexagono-subrotundis minus incrassatis chlorophyllosis; in parte caulis infima fili-formi folia diversiformia, substipularia, remotiora, tamen vix minora, ovato-lanceolata apiculata, unistratosa, ubique cellulis oblongis vel ellipticis valde incrassatis fusciscentibus areolata.

An Felsen der Yanakabastion, ca. 4600 m, spärlich, No. 3825/a.

Durch die winzigen, breiten und sehr hohlen, dicht gestellten Blätter und das verschiedenartige Zellnetz der oberen und unteren Blätter sehr gut charakterisiert.

Subgen. *Rhabdogrammia* Limpr.
Laubm. I.

221. *Grimmia flexicaulis* C. M.

Charaktermoos auf freiliegenden Fels-

blöcken und an Felswänden der höchsten Gebiete; meist reichfruchtende Polster bildend.

Im oberen Chocayatal, ca. 4400 m, No. 3572; an Felsen bei der Saittulaguna, ca. 4300 m, No. 2662; an Felsblöcken beim Tunarisee, ca. 4400 m, No. 4869, 4870.

222. *Grimmia quatricuris* C. M.

An Felsen bei der Saittulaguna, ca. 4300 m, No. 2680.

223. *Grimmia subquatricuris* Broth. n. sp.

Dioica; gracilescens, caespitosa, caespitibus densis, molliculis, sordide atroviridibus; caulis erectus, 1 cm vel paulum ultra longus, parce radiculosus, dense foliosus, dichotome ramosus; folia sicca imbricata, humida patentia, canaliculato-concava, e basi breviter decurrente obovata breviter lanceolata, inferiora mutica, obtusa, superiora breviter pilifera, marginibus basi subrecurvis, superne erectis, nervo crassiusculo, dorso prominente, in foliis superioribus in pilum breve, hyalinum, sublaeve excedente, cellulis laminalibus incrassatis, rotundato-quadratis, chlorophyllosis, basilaribus internis breviter rectangularibus, lutescentibus, marginem versus in seriebus pluribus quadratis, parietibus transversis incrassatis; bractae perichaetii internae foliis majores, longius piliferae; seta vix ultra 1,5 mm alta, cygnea, lutea; theca ovalis, laevis, ochracea, aetate fuscidula; operculum magnum, concolor, plano-convexum, indistincte umbonatum. Caetera ignota.

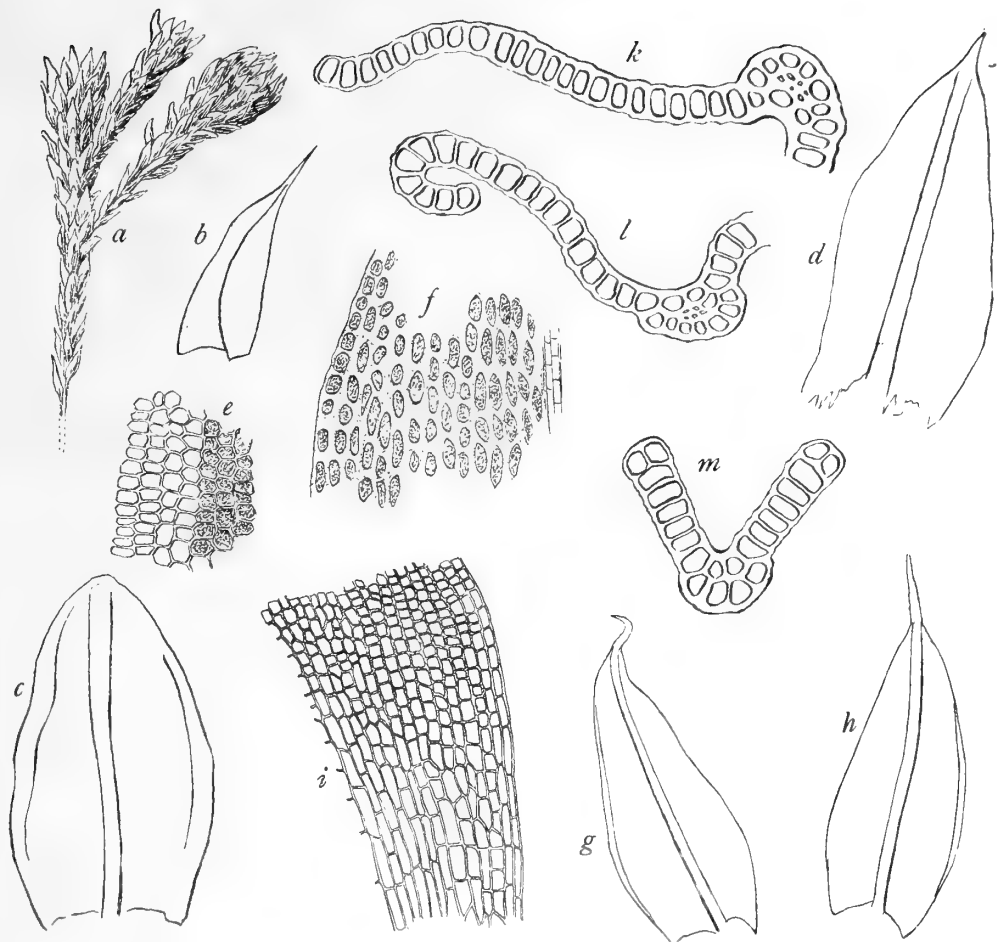


Fig. 18 a—f. *Grimmia squamatula* H. n. sp. a Stück eines Stengels ca. 10 : 1, b junges Blatt von der Sproßspitze mit kurzem Haar 62 : 1, c oberes Stengelblatt 62 : 1, d unteres Stengelblatt 62 : 1, e Zellnetz in der Mitte eines oberen Stengelblattes 250 : 1, f Zellnetz in der Mitte eines unteren Stengelblattes 250 : 1; g—m *G. olivacea* H. n. sp., g, h obere Stengelblätter ca. 30 : 1, i Zellnetz in der Nähe des B.grundes 125 : 1, k—m Blattquerschnitte: k unten, l in der Mitte, m oben 250 : 1.

Felsen am Huailattanisee, alt. 4900 m, No. 2973.

Species *Gr. quatricuri* C. Müll. affinis, sed inflorescentia, statura robustiore, theca majore nec non operculo plano-convexo, indistincte umbonato dignoscenda.

Subgen. *Gümbelia* (Hpe. Bot. Ztg. 1846) Limpr. Laubm. I.

224. *Grimmia bicolor* Herzog in Beih. Bot. Centr. 1909 (Fig. 19).

An Felsen im Schneetälchen des Cerro Tunari, ca. 5100 m, No. 4772 c. fr.!

Zu der l. c. gegebenen Diagnose ist nun von den Fruchtexemplaren noch die Beschreibung des Sporogons nachzutragen.

Seta brevissima vix 2 mm longa, leviter arcuata vel suberecta, pallida; theca turgide elliptica, ultra 1 mm longa, laevissima vel sicca interdum leviter sulcata, pallida, stomatibus deficientibus, annulo angusto diffrangente, fragmentis partim in margine thecae operculique remanentibus, operculo obtuse conico rubro; peristomii dentibus validis apice parum erosis vel inferne perforatis papillosis luteis.

Obgleich ich keine Haube gefunden habe, glaube ich doch die Art nach den übrigen Merkmalen

zu *Guembelia* bringen zu müssen.

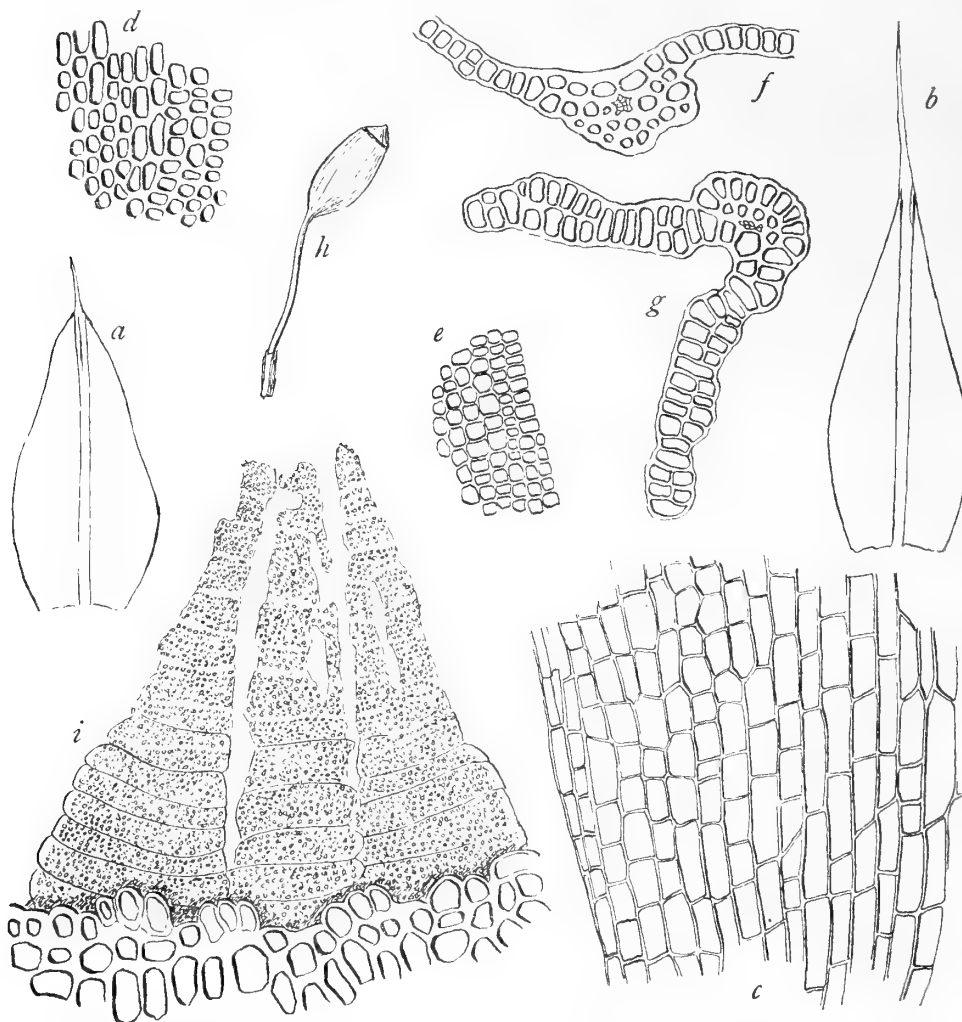


Fig. 19. *Grimmia bicolor* H. a Oberes Stengelblatt 20:1, b Schopfblatt 20:1, c Zellnetz des Blattgrundes 250:1, d Zellnetz in der Blattmitte 250:1, e Zellnetz oben am Blattrand 250:1, f Blattquerschnitt am Grund 250:1, g Blattquerschnitt oben 250:1, h Sporogon ca. 10:1, i Peristom 250:1.

225. *Grimmia tristicha* Herzog nov. spec. (Fig. 20).

Dioica videtur; dense caespitosa, caespitibus extensis ad 3 cm altis, e fusco nigricans, caulibus plerumque simplicibus interdum e basi stoloniferis, filiformibus inferne denudatis superne dense tristiche foliatis, (seriebus foliorum tribus in formis No. 2979, 3152 et 3170 valde apparentibus, in varietate No. 3188 oblitte-ratis). Folia difficile emollientia, sicca incurva parum flexuosa, humefacta vix mutata, laxepatula, anguste longe lanceolata, 2,2—3 mm longa, basi ad 0,5 mm lata, sensim angustata, obtusiuscula, epila, profunde canaliculata,

marginē in uno latere a basi ad medium anguste revoluta, nervo valido sensim attenuato fuscescente dorso valde convexo in apice ipso dissoluto, cellulis basalibus breviter rectangulis, marginalibus parum laxioribus subhyalinis, superne sub quadratis bistratis, omnibus — exceptis baseos marginalibus — valde sinuato-incrassatis chlorophyllosis. Seta erecta, crassiuscula, arcte spiraliter torta, quam maxime 3 mm longa; theca erecta, breviter elliptica, 1,3 mm longa, 0,7 mm lata, laevis, brunnea, annulo biseriali persistente, operculo rubente breviter oblique rostrato, calyptra cucullata, longe rostrata; peristomium dentibus sub ore insertis 16 longis late lanceolatis irregulariter fissis perforatisque marginibus erosis papillosis aurantiacis.

An feuchten Felsen im Hochtal von Viloco, ca. 4700 m, No. 3152 c. fr. u. 3170 (ster.); an nassen Felsen bei der Mine Chojñacota, ca. 4700 m, No. 2979.

var. **comosa** Herzog nov. var.

Differt a typo foliis indistincte tristichis densissimis comosis majoribus latioribus vetustis amoene aureo-ferrugineis.

An nassen Felsen im Hochtal von Viloco, ca. 4700 m, No. 3188.

Durch die ausgedehnten schwärzlichen Rasen von eigentümlicher Tracht, an einen kräftigen *Didymodon* erinnernd. Durch die dreizeilige Beblätterung, Blattstruktur und Peristom von allen Arten des Subgenus *Gümbelia* weit verschieden; habituell jedoch der *G. unicolor* nahe kommend.

Rhacomitrium Brid. Mant.

226. **Rhacomitrium crispipilum** (Tayl.) Jaeg.

Auf Felsblöcken sonniger Lagen des Hochgebirges sehr gewöhnlich. Physiognomisch und biologisch der Vertreter des europäischen *Rh. hypnoides*. Z. B. in den Estradillas über Incacorral, ca. 3300 m, No. 3353; im Hochtal von Viloco (Quimzacruz-Cordillere), ca. 4600 m, No. 3123, 3165; an der Waldgrenze über Tablas, ca. 3400 m, No. 2868; an der Waldgrenze des Rio Saujana, ca. 3400 m, No. 3223; auf einem Bergkamm über Comarapa, ca. 2600 m, No. 4261; am Tunarisee, ca. 4400 m, No. 4910.

227. **Rhacomitrium brachypus** C. M.
Auf Felsblöcken im Pajonaltal (Quimzacruz-Cordillere) ca. 4200 m, No. 3253; an den Cerros de Malaga, ca. 4000 m, No. 4421.

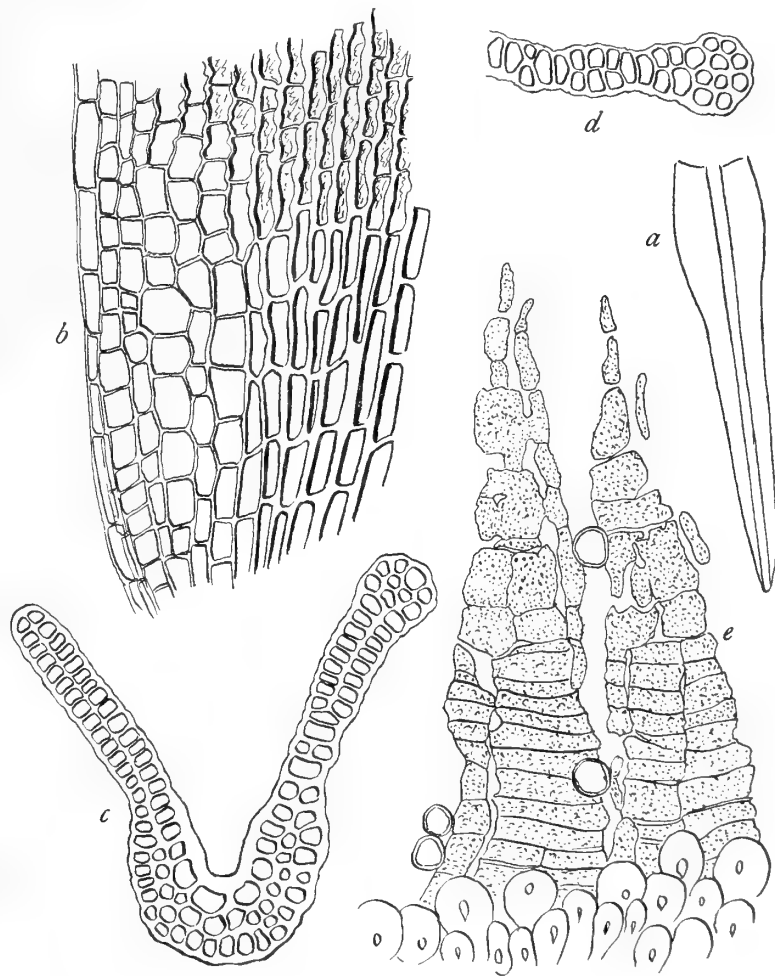


Fig. 20. *Grimmia tristicha* H. n. sp. No. 3152. a Blatt 22: 1, b Zellnetz am Blattgrund 250: 1, c Blattquerschnitt über der Mitte 250: 1, d Teil eines B. querschnittes unterhalb der Mitte 250: 1, e 2 Peristomzähne 250: 1.

228. **Rhacomitrium dimorphum** C. M.

In den Estradillas über Incacorral, ca. 3200 m, No. 3315, f. umbrosa.

229. **Rhacomitrium austro-sudeticum** Broth. n. sp.

Dioicum; gracilescens, caespitosum, caespitibus faciliter dilabentibus, viridibus vel fusciscenti-viridibus, inferne nigrescentibus; caulis ascendens, usque ad 8 cm longus, parce radiculosus, dense foliosus, dichotome ramosus; folia sicca adpressa, humida reflexa, dein erecto-patentia, carinato-concava, e basi ovali sensim lanceolata, plerumque breviter pilifera, marginibus recurvis, integerrimis, nervo dorso prominente, in pilum breve, hyalinum laeve excedente, cellulis laminalibus minutissimis, rotundato-quadratis, sinuosulis, laevibus, basin versus sensim longioribus, distinctius sinuosis, basilaribus linearibus, alaribus laxioribus. Caetera ignota.

Waldgrenze über Tablas, alt. 3400 m, No. 2859; Tunarisee, alt. 4400 m, No. 4807; Cerros de Malaga, alt. 4000 m, No. 4366; Choquecota chico, alt. 4500 m, No. 3179.

Species *Rh. sudetico* (Funck.) Bryol. eur. valde affinis, unde nomen.

Orthotrichaceae.

Eustichia (Brid. Bryol. univ. II) Mitt. Musc. austr. am.

230. **Eustichia Spruceana** (C. M.) Par.

Zu dieser Art, von der ich leider kein Original gesehen habe, rechne ich die von mir in Bolivia gesammelten Pflanzen, vermute jedoch, daß die amerikanischen Arten zu einer einzigen, vielleicht sogar mit *E. longirostris* identischen Art gehören. Die bolivianischen Exemplare unterscheiden sich von *E. longirostris* aus Westpatagonien, leg. Dusén, nur durch kräftigeren Wuchs.

An nassen Felsen einer Bachschlucht an der Waldgrenze über Tablas, ca. 3400 m, No. 2842; in einer Felshöhle am Bergkamm über Comarapa, ca. 2600 m, No. 4193.

Anoetangium (Hedw.) Br. eur.

231. **Anoetangium compactum** Schwgr.

An Felsen eines Bergkammes über Comarapa, ca. 2600 m, No. 4254.

232. **Anoetangium Pflanzii** Broth.

An Felsen im oberen Montehuaikotal, ca. 3900 m, No. 3742; in der Felschlucht von Toncoli, ca. 3600 m, No. 3359; an Felsen des Cerro Tunari, ca. 4700 m, No. 4939.

233. **Anoetangium Herzogii** Broth. n. sp.

Dioicum; gracilescens, caespitosum, caespitibus compactis, ca. 4 cm altis, fusco-viridibus; caulis erectus, fusco-radiculosus, dense foliosus, dichotome ramosus; folia sicca adpressa, humida erecto-patentia, carinato-concava, lanceolato-lineararia, obtusiuscula vel acuta, usque ad 1,6 mm longa, marginibus erectis vel basi recurvis, integerrimis, nervo rufescente, continuo, dorso superne minute papilloso, cellulis incrassatis, pellucidis, lumine angulato-subrotundo, minute papillosis, basilaribus internis breviter rectangularibus. Caetera ignota.

Felsen am Tunari, alt. 4700 m, No. 4839; Cuesta de Liryuni, alt. 3600—3800 m, No. 3453.

Species *A. Pflanzii* Broth. affinis, sed statura robustiore, colore foliorumque structura longe diversa.

234. **Anoetangium Lechlerianum** Mitt.

An Granitfelsen im Hoehthal von Choquecota chico (Quimzacruz-Cordillere) ca. 4600 m, No. 3173; in Felsritzen bei der Saittulaguna, ca. 4300 m, No. 2667.

235. **Anoetangium euchloron** (Schwgr.).

An nassen Felsen im unteren Coranital, ca. 1600 m, reichlich fruchtend und in verschiedenen Wuchsformen, No. 4687, 4699 f. typica; No. 4672 f. elata laxa, foliis siccis crispatis longioribus; No. 4759 f. intermedia caule robustiore caespitibus laxis haud contextis.

Amphidium (Nees) Schimp. emend. in Br. eur. Consp.

236. **Amphidium cyathicarpum** (Mont.).

An Felsen von der Waldgrenze bis ins Hochgebirge verbreitet. Z. B. an der Waldgrenze über Tablas, ca. 3400 m, No. 2864; an Felsen im Piñasgebiet, ca. 4500 m, No. 2632; in Felsritzen bei der Saittulaguna, ca. 4300 m, No. 2666; an der Cuesta de Liryuni, ca. 3400 m, No. 3459; in den Yanakakabergen über 4000 m, No. 3740; an den Cerros de Malaga, ca. 4000 m, No. 4403.

var. **fragilifolium** Herzog nov. var.

Differt a typo foliis brevioribus fragilibus.

An Felsen beim Tunarisee, ca. 4400 m, No. 4868.

Zygodon Hook. et Tayl. Musc. brit.

237. **Zygodon pichinchensis** (Tayl.).

Charaktermoos der höchsten Hochgebirgslagen; schwammige Polsterrasen bildend. Trotzdem die Art fast stets steril gefunden wird, ist sie doch an den dicht stachelig- bis wimperig-papillösen Blättern sehr leicht zu erkennen.

In Felsnischen des Pajonaltales (Quimzacruz-Cordillere) ca. 4100 m, No. 3232; in den Yanakakabergen, ca. 4500 m, No. 3836; an Felsen des Cerro Tunari, ca. 4700 m, No. 4825.

238. **Zygodon Goudotii** Hpe.

Habituell der vorigen Art durch ihre tiefen Polster sehr ähnlich, aber durch die fast glatten Blätter sofort zu unterscheiden. Nach Prüfung der Originale von *Z. aureus* C. M. und *Z. nivalis* Hpe. scheinen mir diese beiden Arten mit *Z. Goudotii* außerordentlich nahe verwandt. Durch Untersuchung reicherer Materials dürfte wohl die Identität der 3 Arten erwiesen werden. Charakteristisches Hochgebirgsmoos.

In Felsspalten des Cerro Chancapiña (Quimzacruz-Cordillere) ca. 5000 m, No. 3299; in Felslöchern des Piñasgebietes, ca. 4500 m, No. 2595.

239. **Zygodon oeneus** Herzog nov. spec. (Fig. 21, a—c).

Dioicus videtur; caespitibus turgidis extensis, ex obscure viridi ferrugineo-rubellis, ad 5 cm altis, caulibus tenellis iterum ramosis superne novellos microphyllinos parce emitentibus, siccis subcatenulatis. Folia humida modice recurva, deinde patentia, in axillis fasciculos rhizoidium papillosorum propagula clavata brevia paucicellulosa gerentium foventia, e basi decurrente breviter ovato-lanceolata, acuminata, integerrima, margine undulata, superne canaliculata, nervo basi valido oeneo-rubro superne attenuato denique subflexili

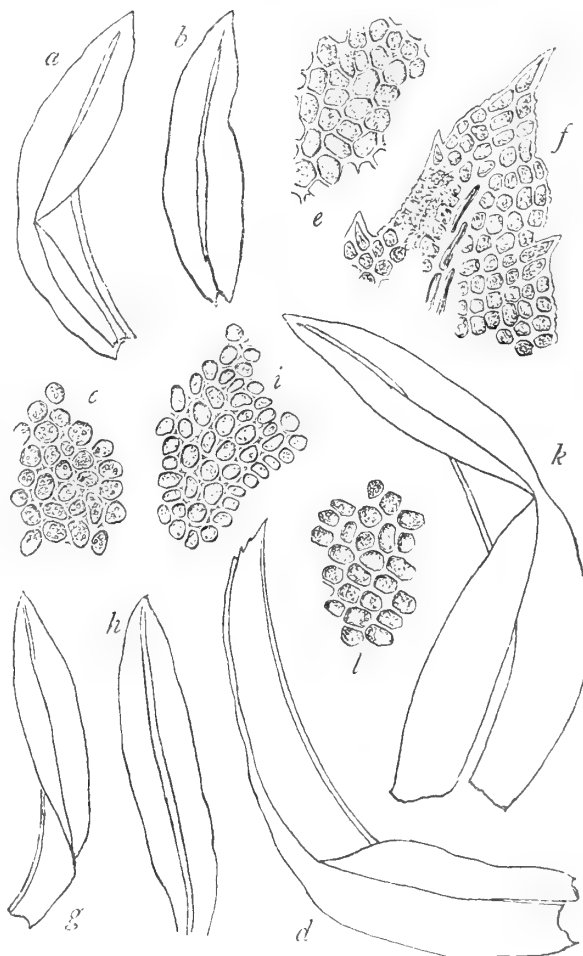


Fig. 21. a—c *Zygodon oeneus* Herzog n. sp.; d—f *Z. ramulosus* Herzog n. sp.; g—i *Z. coraniensis* Herzog n. sp.; k—l *Z. macrophyllus* Herzog n. sp. Blätter 30:1; Zellnetze 250:1.

sub apice evanido, cellulis basalibus brevissime rectangulis pulcherrime roseis, ceteris subrotundis laxiusculis, omnibus incrassatis dense grosse papillois.

Im oberen Chocayatal, über 4000 m, No. 3620.

Schon wegen des eigenartigen Habitus mit keiner Art der Gattung zu verwechseln.

240. *Zygodon macrophyllus* Herzog nov. spec. (Fig. 21, k—l).

Dioicus; caespitibus extensis laxis amoene viridibus, caulibus ad 5 cm longis robustis inferne dense rubiginoso-tomentosis iterum dichotome ramosis. Folia sat densa, sicca laxepatula, humide recurva, pro genere magna, ultra 2 mm longa, e basi decurrente late oblongo-lanceolata, acuminata, brevissime mucronulata, integerrima, carinata, lamina ambo latere valde convexa, margine parum undulata, nervo viridi sub apice evanido dorso infra medium papilloso, cellulis basalibus breviter rectangulis flavidis laevissimis, superioribus subrotundo-hexagonis collenchymaticis diametro 0,012 mm dense grossiuscule papillois.

In Felslöchern beim Tunarisee, ca. 4400 m, No. 4810.

Durch die großen, verhältnismäßig breiten und locker anliegenden Blätter ausgezeichnet.

241. *Zygodon stenocarpus* Tayl.

Zwischen San Mateo und Sunchal, ca. 2800 m, No. 4510. Die Pflanze ist durch Vergleichung mit Exemplaren im Berliner Herbar bestimmt. Das Peristom konnte jedoch nicht untersucht werden.

242. *Zygodon cylindricus* (Schimp.) .

An Baumästen in den Estradillas über Incacorral, ca. 3200 m, No. 3350.

243. *Zygodon caldensis* Angstr.

An Baumästen in den Estradillas über Incacorral, ca. 3200 m, No. 3321, 3352; bei Conarapa No. 4339 (diese Exemplare sind nicht ganz sicher, weil unvollständig).

244. *Zygodon subdenticulatus* Tayl.

In der Talschlucht von Tablas an Baumzweigen, ca. 2000 m, No. 4642; an Baumästen im unteren Coranital, ca. 1800—2000 m, No. 4749, 4756.

245. *Zygodon ovalis* Mitt.

An Bäumen an der Waldgrenze des Rio Saujana, ca. 3400 m, No. 3226.

246. *Zygodon subrecurvifolius* Broth. n. sp.

Dioicus; gracilis, caespitosus, caespitibus densiusculis, fusciscenti-viridibus, opacis; caulis erectus, usque ad 1,5 cm longus, fusco-tomentosus, dense foliosus, dichotome ramosus; folia sicca laxepatula, humida reflexa, carinato-concava, decurrentia, oblongo-lanceolata, acuta, marginibus erectis, integerrimis, nervo tenui, lutescente, plerumque breviter excedente, dorso superne scaberulo, cellulis laminalibus subrotundis, ca. 0,010 mm, chlorophyllosis, papillois, basilaribus rectangularibus, hyalinis, laevissimis; seta ca. 5 mm, tenuis, lutea; theca erecta, e collo longiusculo ovalis, sulcata, pallide fusca. Caetera ignota.

Zwischen Cocapata und Choro, alt. 3500 m, No. 4177.

Species *Z. recurvifolio* Schimp. affinis, sed thecae forma oculo nudo jam dignoscenda.

247. *Zygodon ramulosus* Herzog nov. spec. (Fig. 21, d—f).

Autoicus; floribus ♂ et ♀ in ramulis propriis terminalibus vel interdum ♂ gemmaceis lateralibus, caespitosus, caespitibus humilibus viridi-flavescentibus intus rubiginoso-tomentosis. Folia sat densa, sicca crispato-contorta, humida parum recurva, carinata, 2—2,5 mm longa, e basi vix decurrente angusta oblonga, brevissime acuminata, margine undulata apice dente uno altero venotata, ceterum integerrima, nervo flavescente in mucronem brevissimum excurrente dorso laevissimo, cellulis basi limpidis laevissimis rectangulis, superioribus subrotundo-hexagonis diametro 0,008—0,012 mm, modice collenchymatico-incrassatis pellucidis dense minutim papillois; perichaetia angustiora, acuta, interiora laevissima, cellulis omnibus parum elongatis. Seta ad 1 cm longa flavida dein fuscens; theca e collo brevi eleganter elliptica, micro-

stoma, evacuata elongata, angustata, indistincte curvata, plicata, operculo medio oblique aciculari; peristomii ciliis 8 brevissimis hyalinis.

Im oberen Coranital an Baumrinde, ca. 2600 m, No. 3414.

Durch den autoecischen Blütenstand unter den Arten mit 8 Cilien ausgezeichnet.

248. **Zygodon coraniensis** Herzog nov. spec. (Fig. 21, g—i).

Autoicus, floribus ♂ crebris lateralibus gemmaceis; habitu *Z.* ovali similis, caespitibus humilibus e viridi ochraceis intus rubiginoso-tomentosis. Folia densa, sicca suberispato-contorta, incurva, humida parum recurva, patentia, brevia, e basi angustata oblongo-ligulata, brevissime acuminata, mucronulata, integerrima, carinata, nervo in apice ipso dissoluto flavido dorso laevissimo, cellulis basi rectangularibus limpidis, superne subrotundis sat incrassatis pellucidis dense papillois. Seta 4—6 mm longa flavida; theca e collo brevi ovali-elliptica, plicata, evacuata vix elongata, operculo medio oblique aciculari; peristomii ciliis 16 hyalinis.

Im oberen Coranital an Baumrinde, ca. 2600 m, No. 3413.

Die Blattform und das Peristom unterscheiden diese Art von dem wohl nächst verwandten *Z. ramulosus* mihi.

249. **Zygodon liliputanus** C. M.

An Bäumen an der Waldgrenze des Rio Saujana, ca. 3400 m, No. 3227.

250. **Zygodon linguiformis** C. M.

An einem Baumstumpf im Bergwald von Tres Cruces (Cord. von Sta. Cruz), ca. 1400 m mit *Anacamptodon cubensis*, No. 3552.

Orthotrichum Hedw. Descr. musc. II.

Subgen. *Calyptoporus* Lindb. Musc. scand.

251. **Orthotrichum liliputanum** Broth. n. sp.

Autoicum; gracillimum, caespitosum, caespitibus parvis, laxiusculis, pallide fusciscenti-viridibus; caulis erectus, vix ultra 3 mm longus, basi fusco-tomentosus, densiuscule foliosus, simplex; folia sicca laxè adpressa, humida patula, carinato-concava, e basi ovali lineari-lanceolata, late acuta, usque ad 2 mm longa et ca. 0,47 mm lata, marginibus ultra medium anguste recurvis, integerrimis, nervo tenui, rufescente, longe infra apicem folii evanido, cellulis laminalibus incrassatis, pellucidis, lumine subrotundo, marginem versus minoribus, basilaribus rectangularibus vel oblongo-hexagonis, marginem versus minoribus; seta ca. 0,30 mm alta; theca erecta, immersa, cylindrica, ca. 1,33 mm longa et ca. 0,33 mm lata, 8-costata, pallida; peristomium immaturum; spori immaturi; operculum convexum, breviter rostratum, rostro obtuso; calyptra nuda.

Baumäste im Bergwald des Sillar, 2000 m, No. 2762.

Species statura gracillima oculo nudo jam dignoscenda.

Subgen. *Gymnoporus* Lindb. Musc. scand.

252. **Orthotrichum exsertisetum** C. M.

An Baumästen im obersten Waldgürtel, besonders in den Polylepis- und Escallonia-Wäldchen der Trockenseite des Gebirges, häufigste Art in dem bereisten Gebiet.

Im unteren Chocayatal, ca. 3300 m, No. 3599, 3608; beim Asiento, ca. 3800 m, No. 2996.

253. **Orthotrichum undulatum** Mitt.

Mit dem vorigen sehr nahe verwandt.

An Baumästen mit *O. exsertisetum* zusammen beim Asiento, ca. 3800 m, No. 2995.

254. **Orthotrichum elongatum** Tayl.

An den Ästen der letzten Bäumchen in den Estradillas über Incacorral, ca. 3300 m, No. 3307.

Am gleichen Standort schon auf der ersten Reise gesammelt.

255. *Orthotrichum verrucosum* C. M.

An Bäumchen in der Osteordillere — Samaipata? — unter 2000 m, No. 5126.

Diese Art ist vielleicht mit *O. tuberculatum* Mitt. identisch. An meinen Exemplaren habe ich Peristome mit 8 und mit 16 Cilien nebeneinander angetroffen. Ich habe die Mittenschen Originale nicht gesehen.

256. *Orthotrichum rupestre* Schleich.

In Anbetracht des großen Formenkreises dieser Art kann ich mich nicht entschließen, auf den von mir in der bolivianischen Hochcordillere gesammelten Proben, welche durch etwas starrerem, zugleich schlankeren Wuchs und schmalere Peristomzähne, aber etwas breitere Wimpern sich von den mir bekannten Formen des *O. rupestre* unterscheiden, eine neue Art zu begründen. Ich ziehe also die Pflanzen von folgenden Fundorten hierher:

An Felsen neben dem Weg zwischen der Cumbre de Liryuni und der Abra de Piñas, ca. 4400 m, No. 2601; an Felsen im Hochtal von Choquecota chico (Quimzacruz-Cordillere) ca. 4500 m, No. 2980; an Felsen der Punta de San Miguel, ca. 4800 m, No. 3443.

257. *Orthotrichum psychrophilum* Mont.

An Granitfelsen im Hochtal von Choquecota chico (Quimzacruz-Cordillere), ca. 4500 m, No. 2981.

258. *Orthotrichum parvum* Herzog nov. spec. (Fig. 22).

Autoicum, flore ♂ parvo gemmaceo bracteis hyalinis vel aureis conchiformibus; depresso

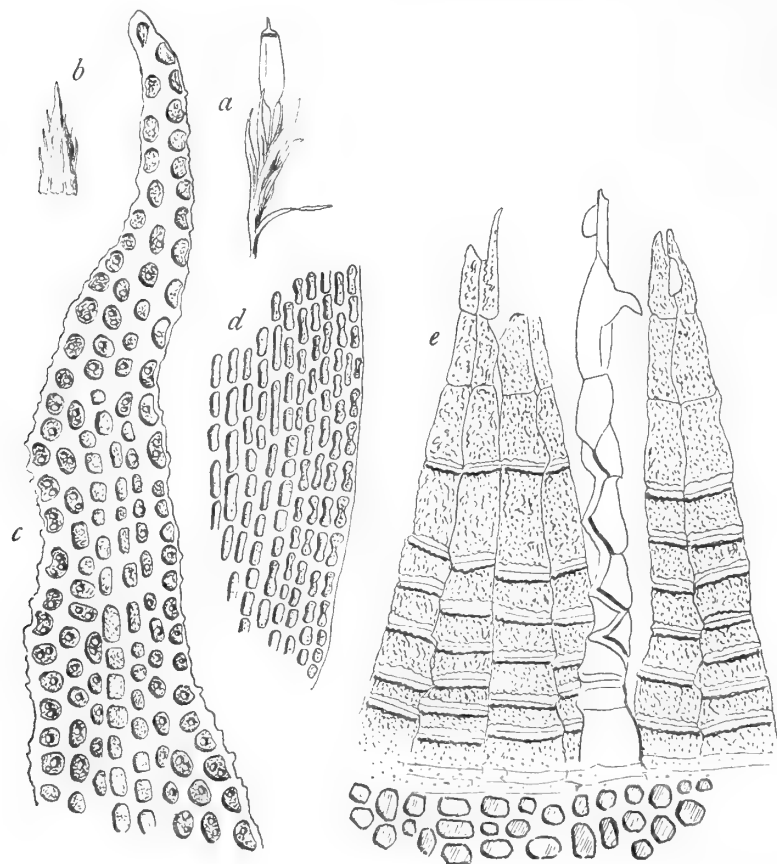


Fig. 22. *Orthotrichum parvum* H. n. sp. a Spitze eines fertilen Sprosses 8 : 1, b Haube 8 : 1, c Blattspitze 250 : 1, d Zellnetz am Rand der Blattbasis, e Peristom 250 : 1.

caespitosum, caespitibus laxiusculis fulvescentibus intus nigellis, caulibus 5—8 mm longis apice dichotome divis. Folia sicca parum contorta, humefacta recurva deinde ascendenti-patula, e basi oblongo-elliptica plicata lineari-lanceolata, sensim longe angustata, carinata, acuminata, acumine tenuissimo breviter filiformi acuminis marginibus saepius decoloribus, margine ambo latere usque ad medium revoluta, parum undulata, papillis grossiuseculis subcrenata, nervo fusco-aureo in acumine dissoluto, cellulis basalibus medianis elongate rectangulis angustis, marginalibus brevioribus aureis valde sinuato-incrassatis, superioribus sat amplis (diametro ca. 0,015 mm) subrotundis valde incrassatis grosse papillois. Seta recta, 1—2 mm longa; theca exserta, anguste breviter elliptica, laevissima vel subore breviplicata, pallida, operculo aciculari, rostrato rubro-marginato, calyptra aurea, apice scaberula-pilis parum crispatis scabris dense oblecta; peristomii externi dentibus

8 geminatis deinde 16 singulis pallidis punctulato-striolatis haud papillois apice subintegerimis obtusis, interni ciliis 8 aequilongis fugacibus; sporis fuscis.

An Felsblöcken beim Tunarisee, ca. 4400 m, No. 4818.

Macromitrium Brid. Mant. Musc.

Subgen. *Macrocoma* Hornsch. in C. Müll. Syn. I.

259. **Macromitrium filiforme** (Hook. et Grev.) Schwgr.

In den trockeneren Gebieten der Ostcordillere an Bäumen häufig. Z. B. im Wald bei Yuto (Nord-Argentinien) ca. 500 m, No. 2548; bei Tres Cruces in der Cordillere von Santa Cruz, ca. 1400 m, No. 3489, 3925, 3995; auf einem Bergkamm über Comarapa, ca. 2400 bis 2600 m, No. 3974.

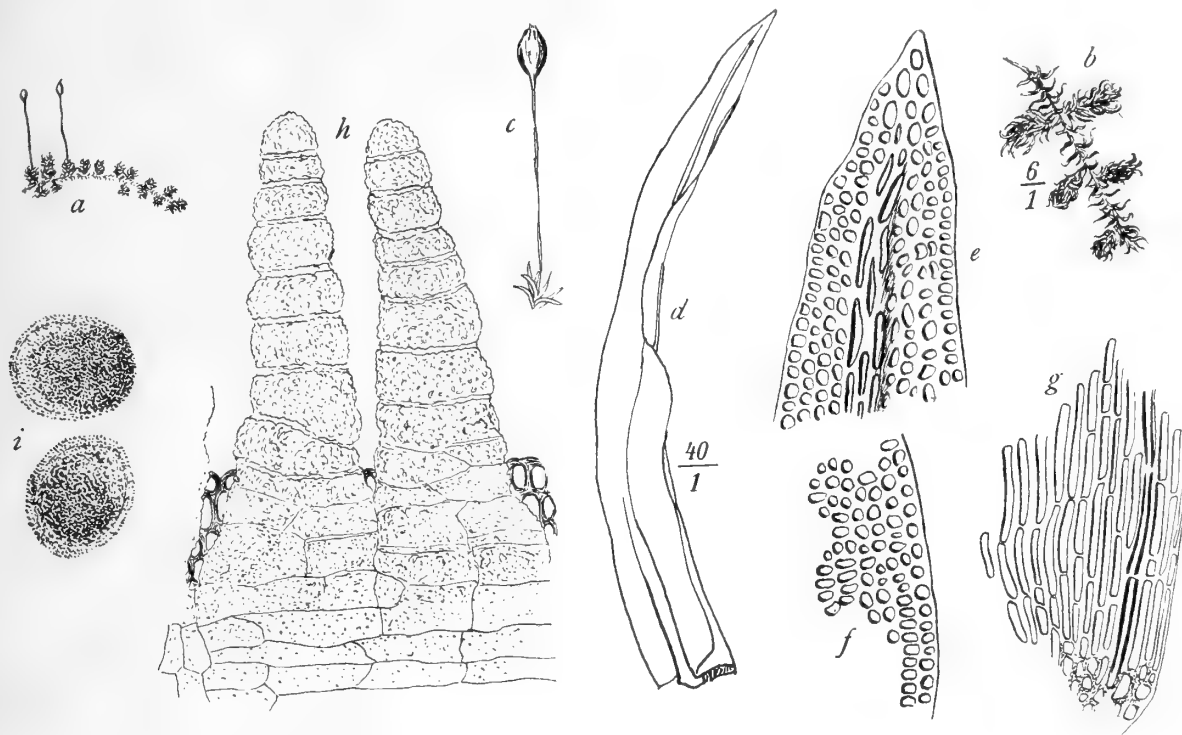


Fig. 23. *Macromitrium pinnulatum* H. n. sp. a Habitus 1:1; b steriler Sproß 6:1, c Sporogon 6:1, d Blatt 40:1, e Blattspitze 250:1, f Blattrand in der Mitte 250:1, g Rand an der Blattbasis 250:1, h Peristom von innen 250:1, i Sporen 250:1.

Subgen. *Eumacromitrium* C. M. Syn. I.

Sect. *Goniostoma* Mitt. Musc. austr. am.

260. **Macromitrium pinnulatum** Herzog nov. spec. (Fig. 23).

Laxe caespitosum, pusillum, aureo-fuscescens nitidulum, caule primario decumbente laxe foliato remotiuscule subpinnulato-ramoso ramis brevissimis densifoliis. Folia sicca crispula, caulina remota, sicca humidaque squarroso-patentia, apicibus saepe incurvis, ramalia densa, pentasticha, haud torquescentia, subincurvo-accumbentia, 2—2,5 mm longa, e basi plicata aurantiaca lineari-lanceolata, acuta, carinata, integerrima, margine suberecto vel hic illic basi angustissime reflexo, nervo in ipso apice dissoluto, cellulis basalibus linearibus elongatis angustissimis valde incrassatis flavescentibus, ceteris subrotundis pellucidis incrassatis, omni-

bus laevissimis; perichaetia haud majora, subaequalia. Seta ad 1 cm longa, suberecta, laevissima; theca ovalis, microstoma, sub ore plicata, laevissima, rubro-fusca, operculo oblique aciculari; peristomii dentibus 16 latiusculis obtusis papillois griseis basi geminatim confluentibus longe sub ore insertis; sporis maximis subglobosis diametro $0,056 \times 0,048$ papillois obscure viridibus.

Im Nebelwald über Comarapa, ca. 2600 m, No. 3945; Quebrada de Pocona, ca. 2800 m, No. 5146.

Aus der Verwandtschaft von *M. saxatile* Mitt. Großsporigkeit scheint in dieser Gruppe öfters vorzukommen. *M. fasciculare* besitzt z. B. fast ebenso große Sporen.

261. **Macromitrium Hornschuchii** Hpe.

An Baumrinde, loco incerto. No. 5304.

Sect. *Leiostoma* Mitt. Musc. austr. am.

262. **Macromitrium crispatum** Mitt.

Im obersten Gürtel des Bergwaldes zwischen San Mateo und Sunchal, ca. 2800 m, No. 4439; im Buschgürtel bei Tres Cruces (Cord. v. Santa Cruz), ca. 1500 m, No. 3924; am Meson bei Samaipata, ca. 2000 m, No. 4130. Auf der ersten Reise im Buschgürtel des Cerro Amboró gesammelt.

263. **Macromitrium subcabrum** Mitt.

Im Bergwald von Florida de San Mateo, ca. 2000 m, No. 3677.

264. **Macromitrium validum** Herzog nov. spec.

Sterile; caespites latos turgidos pulchre aureos nitidos efformans, caulibus vagantibus arcuatis crassis (cum foliis diametro 6 mm), densissime foliatis. Folia sicca patentia, apicibus crispatis, humida valde divaricata, e basi pluriplicata integerrima longe linearilanceolata, (5—6 mm), carinata, superne minutim serrulata, nervo tenui ferrugineo in apice evanido, cellulis basalibus angustissimis rectangulis valde incrassatis papillis altis notatis, superioribus brevissime ellipticis vel subrotundis parvis $0,006 \times 0,008$ mm, mamilloso-prominulis valde incrassatis.

Im Bergwald zwischen San Mateo und Sunchal, ca. 2500 m, No. 4465.

In der Verwandtschaft von *M. cirrhosum* Sw. die weitaus kräftigste Art. Wegen der kleinen, sehr stark verdickten Zellen mit keiner der anderen Arten zu vereinigen.

265. **Macromitrium subcrenulatum** Broth. n. sp.

Robustiusculum, caespitosum, caespitibus densis, fusciscenti-viridibus, vix nitidiusculis; caulibus repens, dense ramosus, ramis erectis, usque ad 4 cm longis, fusco-tomentosis, dense foliosis, dichotome ramulosis; folia ramea sicca flexuoso-adpressa, undulata, humida subrecurvo-patula, carinato-concava, e basi oblonga sensim lanceolato-subulata, marginibus erectis, apice minute et irregulariter serrulatis vel subintegris, nervo rufescente, brevissime excedente, cellulis laminalibus minutis, incrassatis, laevibus, lumine irregulariter subrotundo, basilaribus valde incrassatis, lumine angustissime lineari, ad plicas elevato-papillois, internis infimis paucis laxis teneris, hyalinis, externis infimis laxis, teneris, dentiformibus; bracteae perichaetii erectae, longe vaginantes, plicatae, subsensim longe subulatae, subintegrae, cellulis omnibus valde incrassatis, lumine angusto; seta ca. 1,5 cm alta, rubra, laevissima; theca erecta, ovalis, plicata, fusco-rubra; calyptra nuda. Caetera ignota.

Rio Saujana, alt. 3400 m, No. 3221; Waldgrenze über Tablas, alt. 3400 m, No. 2806a.

Species *M. crenulato* Hamp. affinis, sed statura robustiore foliisque basi latioribus, angustius acuminatis, minutius serrulatis, plerumque subintegris dignoscenda.

266. **Macromitrium Herzogii** Broth. n. sp.

Gracilescens, caespitosum, caespitibus densiusculis, fusciscenti-viridibus, opacis; caulibus repens, dense ramosus, ramis adscendentibus, usque ad 4 cm longis, dense foliosis, dichotome ramulosis; folia

quinquefaria, sicca et humida e basi erecta recurva, carinato-concava, e basi oblonga lineari-lanceolata, marginibus inferne recurvis, summo apice minute serrulatis, nervo rufescente, breviter excedente, cellulis laminalibus haud incrassatis, rotundato-hexagonis vel quadratis, 0,010—0,012 mm, chlorophyllosis, laevibus, marginem versus sensim minoribus, basilaribus elongatis, valde incrassatis, lumine angustissime lineari, laevibus, ad nervum paucis laxis, teneris; seta ca. 6 mm alta, tenuis, rubra, laevissima; theca ovalis, fusco-rubra, plicata; calyptra nuda.

Im Nebelwald der Laguna verde bei Comarapa, alt. 2600 m, No. 4308, 4316.

Species ob folia quinquefaria cum *M. Osculatio* De Not. comparanda, sed foliorum structura jam longe diversa.

267. **Macromitrium longifolium** Brid.

Auf Baumästen im Nebelwald über Comarapa, ca. 2600 m, No. 4229; auf Baumästen im unteren Coranital, ca. 1800—2000 m, No. 4685.

268. **Macromitrium liberum** Mitt.

Auf Baumästen im oberen Coranital, ca. 2600 m, No. 3419.

269. **Macromitrium argutum** Hpe.

In der Talschlucht von Tablas, ca. 1800 m, No. 4623.

270. **Macromitrium solitarium** C. M.

Im Bergwald von Tres Cruces (Cordillere von Santa Cruz) ca. 1400 m, No. 3918; schon auf der ersten Reise im Buschgürtel des Cerro Amboró, eines Gipfels der gleichen Kette, gesammelt.

var. **brevipes** Broth. nov. var.

Differt a typo seta breviora.

Im Bergwald von Tres Cruces (Cordillere von Santa Cruz) ca. 1400 m, No. 3497.

271. **Macromitrium nubigenum** Herzog nov. spec. (Fig. 24).

Caespitosum, fulvum nitidulum, caulibus primariis repentibus sat dense ramos erectos 1—1,5 cm longos basi microphyllinos superne fasciculatim ramosos densifolios emittentibus. Folia quinquefaria, in caulibus vetustis densissima, indistincte spiraliter seriata, ca. 3 mm longa, e basi angusta arcte plicato-sulcata longe lineari-lanceolata, acutissima, angusta, juvenilia margine superne minute serrulata, vetusta aurea subintegerrima, canaliculata, laminis convexis subrecurvis, nervo flavido fusciscente completo, cellulis basalibus aureis elongatis valde incrassatis verrucoso-papillosis, superioribus subrotundis vel breviter ellipticis angulatisve mamilloso-papillosis in foliis vetustis valde incrassatis diametro luminis 0,008 mm haud excedentibus. Seta brevis, 5—6 mm longa, recta, verrucoso-scabra; theca breviter ovato-elliptica, sub ore constricta, octies profunde sulcata opaca, peristomii externi dentibus 16 basi confluentibus obtuse lanceolatis ochraceis densissime punctulatis, interni membrana hyalina $\frac{1}{4}$ dentium aequante, processibus 16 angustis hyalinis $\frac{3}{4}$ dentium vix superantibus; sporis globosis magnis diametro 0,036—0,042 mm, exosporio incrassato laevi vel minutissime papilloso, chlorophyllo dense repletis.

Auf Baumästen an der Waldgrenze des Rio Saujana, ca. 3400 m, No. 3228; auf Baumästen im Nebelwald über Comarapa, ca. 2600 m, No. 4310.

Durch die kurze rauhe Seta und die 5-zeiligen Blätter unter den verwandten Arten charakterisiert.

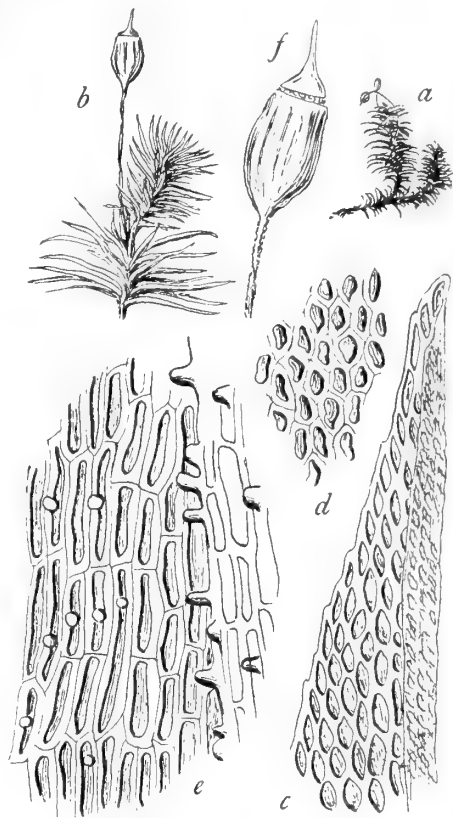


Fig. 24. *Macromitrium nubigenum* H. n. sp. a Habitus 1:1; b fertile Sproßspitze 4:1, c Blattspitze 250:1, d Zellen der B mitte 250:1, e Zellen des Blattgrundes 250:1, f Kapsel 10:1.

272. *Macromitrium brevihamatum* Herzog nov. spec. (Fig. 25).

Laxe lateque caespitosum, caulibus primariis vagantibus ferrugineo-tomentosis, ramos crebros graciles ad 2 cm longos emittentibus sat densifoliis. Folia distincte 5sticha, sicca crispula contorta, humefacta raptim recurvescentia, brevihamata immo semicircularia, lanceolata, ad 2 mm longa, latiuscule acutata, carinata, margine ad basin hyaline dentata, superne a medio dense minutim serrata, nervo ferrugineo completo, cellulis basalibus brevibus incrassatis aureis obtuse papillosis, superioribus omnibus subrotundis mamilloso-papillosis. Seta gracilis, flexilis, longiuscula, 15 mm longa, laevis; theca erecta, elliptica, microstoma, octies plicata, operculo medio aciculari flavo dein rubro, calyptra nuda, ad medium pluries fissa,

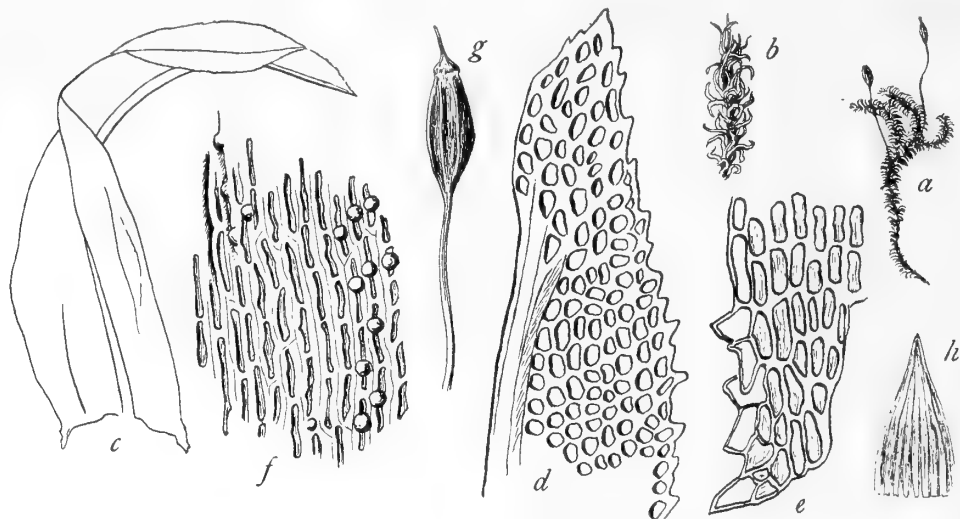


Fig. 25. *Macromitrium brevihamatum* H. n. sp. a Habitus 1:1, b trockene Stengelspitze 3:1, c Blatt 30:1, d Blattspitze 250:1, e Blattflügel 250:1, f Zellen des Blattgrundes 250:1, g Kapsel 7:1, h Haube 7:1.

apice scaberula cupreonitidula; peristomii externi dentibus 16 geminatis arcte inter se appressis obtusis luride ochraceis punctulato-striolatis, interni membrana $\frac{2}{3}$ dentium aequante obtuse lobata subhyalina papillosa; sporis mediocribus globosis minutim papillosis diametro 0,020 ad 0,024 mm chlorophyllosis.

An Bäumen im unteren Coranital, ca. 1800 m, No. 4714 u. 5064; im Bergwald des Rio Tocorani, No. 4065.

Durch die kurzen, breitgespitzten Blätter mit basalen Randzähnen und ihre ausgezeichnet 5-reihige Stellung gut charakterisiert.

Subgen. *Teichodontium* (C. M. Prodr. Br. Bol.) Herzog.

273. *Macromitrium macrosporum* Herzog nov. spec. (Fig. 26).

Laxe lateque caespitosum, caulibus ramisque flexuosis iterum breviramosis ad 8 cm longis e viridi fulvescentibus intus nigricantibus nitidulis. Folia sat densa, sicca e basi appressa patentia, vel divaricata, vix contorta, humida parum refracta dein rigide horizontaliter patentia, 5 mm longa, lineari-lanceolata, anguste subulata, usque ad medium carinata, superne laminis convexo-apertis canaliculata, margine superne minutim serrulata, nervo in extrema subula indistincto, cellulis omnibus sublaevissimis, superioribus parum prominulis rectangulis vel ellipticis (1:3—1:4) parum incrassatis lumine sat amplo (0,007 × 0,030 mm), basalibus angustis elongatis valde incrassatis aureis; perichaetia arcte convoluta, alte vaginantia, longissima, (10 mm), secunda. Seta erecta, 15—18 mm longa, arcte spiraliter torta, laevissima; theca subglobosa (1,3 × 1,8 mm), valde microstoma, laevissima, nitidula, rubens, demum atropurpurea, exothecio coriaceo, operculo crasso hemisphaerico recte aciculari-rostrato, calyptra angusta sparsim pilosiuscula aurea; peristomii externi valli instans dentibus inter se subconcretis abruptis dense articulatis luride flavidis dense papillosis, interni dentibus 32 basi connatis late loriformibus flavidis dense papillosis; sporis subglobosis vel breviter valviformibus maximis diametro 0,06—0,07 mm unicellulosis chlorophyllo oleoque dense repletis.

Auf Bäumen im Nebelwald über Comarapa, ca. 2600 m, No. 3932, 3784; im oberen Coranital, ca. 2600 m, No. 3396; an der Waldgrenze bei Tablas, ca. 3400 m, No. 2806.

forma **brevipes**: differt seta brevior 8 mm longa.

An der Waldgrenze des Rio Saujana, ca. 3400 m, No. 3242.

Mit *M. Rusbyanum* (C. M.) zunächst verwandt, aber durch das innere Peristom, welches bei jenem nur 16 Zähne besitzen und glatt sein soll, wie es scheint, gut unterschieden. Die Exemplare von *M. Rusbyanum* im Herbar C. Müller sind habituell unserem Moos sehr ähnlich; die schlecht erhaltenen Kapseln und die Spärlichkeit des Materials machen jedoch eine Nachprüfung der C. Müllerschen Beschreibung unmöglich.

Schlotheimia Brid. Mant. Musc.

Subgen. *Euschlotheimia* Mitt. Musc. austr. am.

Sect. *Ligularia* C. M.

274. **Schlotheimia longicaulis** Broth. n. sp.

Gracilis, caespitosa, caespitibus densis, saturate viridibus, inferne fusciscentibus, nitidiusculis; caulis secundarius usque ad 3 cm longus, erectus, flexuosus, dense foliosus, plus minusve ramosus; folia sicca adpressa, apicalia hic illic indistincte contorta, humida recurvo-patula, carinato-concava, superne rugulosa, oblongo-ligulata, mucronata, ca. 1,9 mm longa et ca. 0,55 mm lata, marginibus erectis, integerrimis, nervo tenui, in mucrone evanido, cellulis minutis, rhombis, basilaribus elongatis, incrassatis, lumine angustissimo; bractea e perichaetii erectae, e basi lata sensim lanceolato-acuminatae; seta ca. 1 cm alta; theca immatura; calyptra sublaevis.

Florida de San Mateo, alt. 2000 m, No. 3716.

Species *S. subsinuatae* Geh. et Hamp. affinis, sed statura graciliore et caule secundario elongato oculo nudo jam dignoscenda.

275. **Schlotheimia sublaevifolia** C. M.

Auf Baumästen im Nebelwald über Comarapa, ca. 2600 m, No. 4240; im Bergwald von Florida de San Mateo, ca. 1800 m, No. 3632; im Bergwald von Tres Cruces (Cordillere von Santa Cruz), ca. 1400 m, No. 3929.

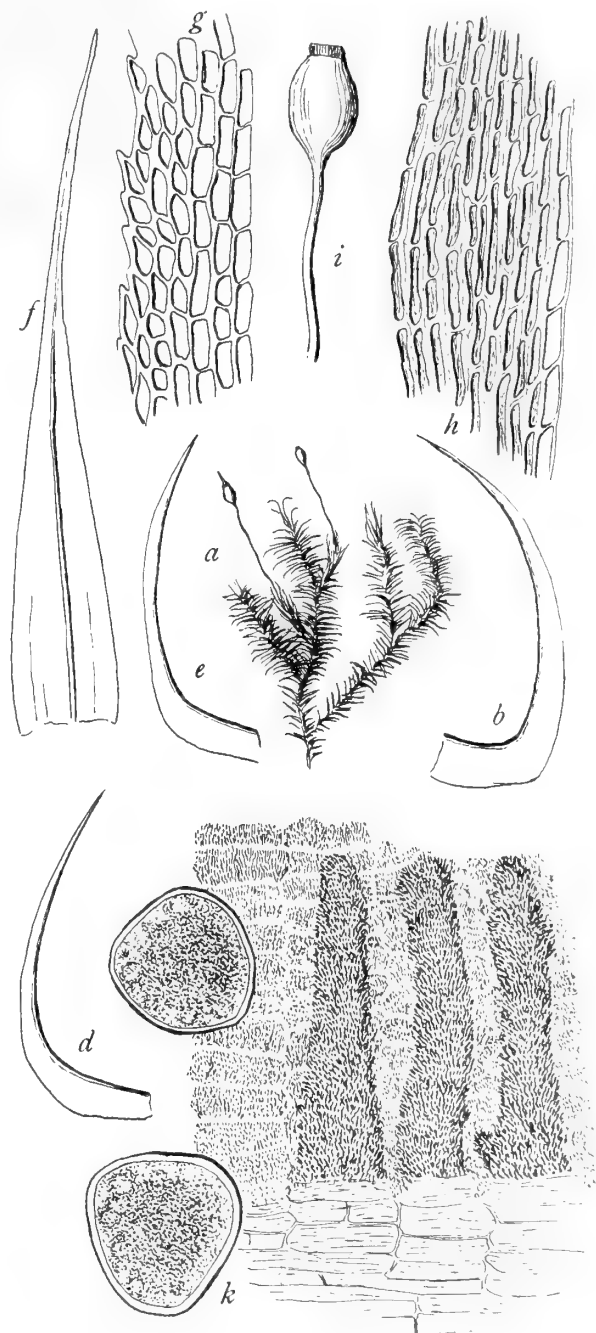


Fig. 26. *Macromitrium macrosporum* H. n. sp. a Habitus 1:1, b, c, d, e Stengelblätter ca. 10:1, f Perichaetialblatt ca. 10:1, g oberer Blattrand 250:1, h Blattrand an der Basis 250:1, i Sporogon ca. 6:1, k Peristom von innen und Sporen 250:1.

Splachnaceae.

Tayloria Hook. in Journ. of Sciences and Arts No. 3.

Subgen. *Brachymitrium* (Tayl.) Musc. austr. am.

276. **Tayloria Moritziana** C. M.

Auf einem gefällten Baumstamm am Weg zwischen San Miguelito und Sillar, ca. 1600 m, No. 2722.

277. **Tayloria Mandoni** C. M.

Auf schwarzem Humus über feuchten Felsen und Baumwurzeln an der Waldgrenze zwischen San Mateo und Sunchal, ca. 2800 m, No. 4481.

Die Art steht *Tayloria Jamesonii* Tayl. sehr nahe und könnte vielleicht als *forma minor* zu dieser gestellt werden.

Subgen. *Cyrtodon* (R. Br.) Lind. Musc. scand.

278. **Tayloria scabriseta** (Hook.) Mitt.

Spärlich auf Humus nahe der Waldgrenze zwischen San Mateo und Sunchal, ca. 2700 m, No. 4433.

279. **Tayloria altorum** Herzog nov. spec.

Autoica, flore ♂ in ramo aequilongo terminali antheridiis ca. 25 valde crassis breviter pedicellatis aureis; densissime caespitosa, tomento villosa laevi contexta, caulibus ad 3 cm altis amoene zonatis obtusis clavatis, intus rubiginosa, superne e viridi flavescens. Folia sat dense disposita, cymbiformi-concava, accumbentia, in gemma conniventia, 3 mm longa, 1,7 mm lata, e basi parum angustiore late obovata, perfecte rotundata, cucullata, integerrima, nervo viridi in ipso apice dissoluto, cellulis valde laxis chlorophyllosis, inferioribus rectangulis, superioribus quadratis modice incrassatis; perichaetia minora, vaginantia. Seta perbrevis, 2 mm longa, flexuosa, carnosula, sublaevis, rubens; theca e caespite vix exserta, e collo subaequilongo anguste clavata, 2 mm longa 0,6 mm lata, atropurpurea; (peristomium destructum).

Auf verrotteten Graspölkern im Schutt an den „Negros“ (Cordillera de Cocapata), ca. 4700 m, No. 4792.

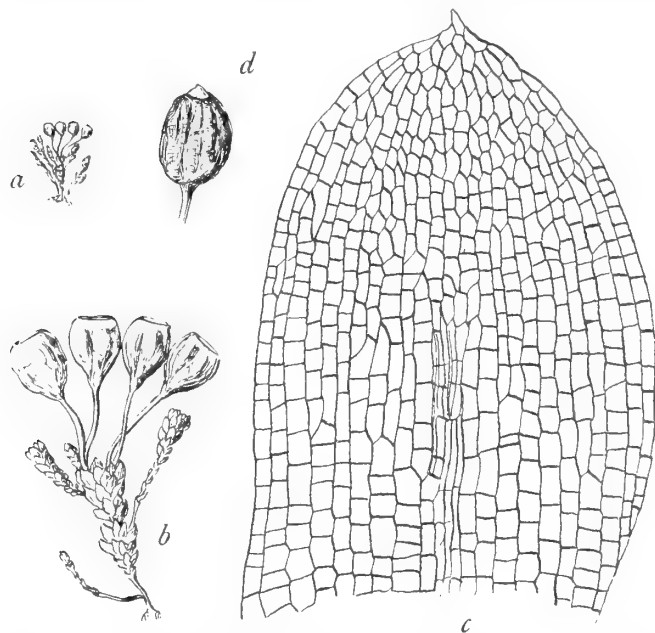


Fig. 27. *Physcomitrium turgidum* Mitt. No. 2610. a Habitus 1: 1, b Habitus 5: 1, c Blatt 62: 1, d Kapsel bei No. 4889, 9: 1.

Funariaceae.

Physcomitrium (Brid.) Fühnr. in Flora XIII P. II Ergänz.

Subgen. *Julocladium* Herzog nov. subgen.

280. **Physcomitrium turgidum** Mitt. (Fig. 27).

In feuchten Felsritzen des Piñasgebietes, ca. 4500 m, - No. 2610; an erdigen Felsen eines Gipfels der Yanakakabastion, ca. 4700 m, No. 3829; auf Erde in Felsritzen des oberen Llavetales, ca. 4200 m, No. 4889.

Dieses eigenartige Hochgebirgsmoos, das schon durch die Natur seines Standortes erheblich

von allen anderen *Physcomitrium*-Arten abweicht, ist auch morphologisch und anatomisch in so vielen Beziehungen eigentümlich, daß ich dasselbe zum mindesten als eigene Untergattung den übrigen *Physcomitrien* gegenüberstellen muß. So sind die sehr hohlen, kätzchenartig angeordneten Blätter und ihr Zellnetz von denen aller anderen Arten erheblich verschieden, desgleichen die in der Blattmitte verschwindende, in den Innovationsblättern sogar völlig fehlende Rippe. Dazu kommt häufig Polykarpie, bis 4 Sporogone aus einem Perichaetium, der synoecische Blütenstand und die Spuren einer Peristommembran, welche diese Art von den übrigen noch mehr trennen.

Ich würde meine Exemplare unbedenklich als eine eigene Art und eigene Gattung beschrieben haben, wenn ich nicht ihre völlige Identität mit den von R. S. Williams⁷⁾ am Huallata-Paß (Bolivia), 4260 m (No. 2769) gesammelten Probchen hätte feststellen können. Williams hat seine Exemplare aber mit den Mittenschen Originalen identifiziert, so daß mir kein Zweifel an der Zugehörigkeit meiner Pflanzen zu *Ph. turgidum* Mitt. bleiben kann.

Noch wäre der Mittenschen Beschreibung gegenüber festzustellen, daß die Blätter an ihrer kappenförmigen Spitze meist einen winzigen apiculus tragen, ferner daß nach Williams der Kapseldeckel nur kurz gespitzt ist. Meine Exemplare aus dem Llavetal zeigen sogar nur einen flach-kegeligen, warzig gespitzten Deckel.

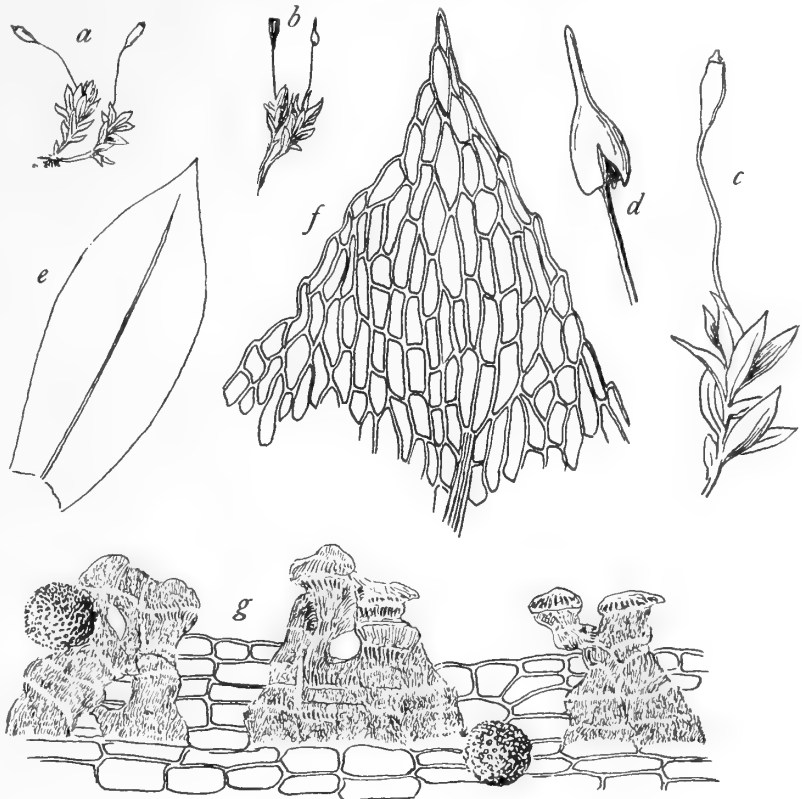


Fig. 28. *Entosthodon fontanus* H. n. sp. a Habitus von No. 3214 1:1, b Habitus von No. 2648 1:1, c Habitus 3:1, d junge Kapsel mit Haube 6:1, e Blatt 10:1, f Blattspitze 62:1, g Peristom von innen 250:1.

Entosthodon Schwg. Suppl. II.

Sect. *Euentosthodon* Broth.

281. **Entosthodon fontanus** Herzog nov. spec. (Fig. 28).

Dense extense caespitosus, obscure viridis, caule simplici dense turgido-folioso, 2—4 cm alto carnosus. Folia omnia subaequalia, erecto-accumbentia, cochleariformi-concava, 3,5 mm longa, 1,5 mm lata, late oblongo-elliptica, brevissime apiculata, margine subintegerrima, nervo fusciscente ante apicem evanido, cellulis laxissimis rectangulis in apice hexagonis chlorophyllosis. Seta valida, erecta, 1—1,5 cm longa; theca erecta, e collo distincto clavellata, sub ore rubro parum constricta, cum collo 0,7 mm longo 2,5 mm longa, quam maxime 1 mm lata, olivacea, vetusta atropurpurea, exothecio cellulis valde incrassatis exstructo, sub ore seriebus 7 cellularum transversim latiorum obviis, annulo nullo, operculo convexo obtuse tumideque mamillato, calyptra maxima, inflata obtuse 3—4-gona, demum 1—2-fissa longe rostrata; peristomium rudimentarium, infra os insertum, dentibus remotis 16 irregularibus brevibus truncatis aurantiacis punctulato-striatis; sporis magnis diametro 0,03 mm tetragono-globosis ochraceis dense minutim verrucosis.

Am Bachrand bei der Mine Viloco, ca. 4350 m, No. 3214; an einem Bächlein bei der Saittullaguna große schwammige Rasen bildend, ca. 4300 m, No. 2648.

Ausgezeichnete, auffallend kräftige Hochgebirgsspezies.

282. *Entosthodon altisetus* Herzog nov. spec. (Fig. 29, a—d).

Dioicus, plantulis ♂ minutis, humillimus, gemmaceus, gregarius, caule vix 2 mm alto, foliis gemmaceo-congestis cochleariformi-concavis, late ovalibus, obtusis vel perfecte rotundatis integerrimis, nervo sat valido ante apicem evanido, cellulis laxissimis chlorophyllosis. Seta gracilis, ad 18 mm longa, tenuis, erecta, laevissima, purpurea; theca e collo brevissimo ovalis, 1—1,4 mm longa, deoperculata haud ampliata, pallida, operculo patelliformi purpureo, annulo nullo; peristomii dentibus 16 anguste lanceolatis aurantiacis apicibus pallidis papillois; sporis magnis diametro 0,028 mm, sublaevibus indistincte punctulatis.

Am Cerro Sipascocya bei Pojo, ca. 3000 m, No. 4158 mit *E. verrucosus* (C. M.).

Durch die lange schlanke Seta, den winzigen, knospenförmigen Wuchs und die fast abgerundeten hohlen Blätter sehr charakteristisch.

283. *Entosthodon Sipascocya* Herzog nov. spec. (Fig. 29, e—f).

Autoicus?; laxe caespitosus, humilis, gracilis, caule 5 mm longo inferne nudo superne rosulato-foliato. Folia patula, concava, oblongo-subspathulata, brevissime apiculata, subintegerrima, nervo sat valido ante apicem evanido, cellulis laxissimis, marginalibus haud diversis. Seta arcuato-deflexa crassiuscula, rubra, laevissima, 5 mm longa; theca nutans, e collo longiusculo plicato piriformi-clavata, microstoma, aureo-rubens, ore seriebus cellularum depressarum 5—6 cincta, exothecio cetero cellulis elongate hexagonis tenuibus flavidis ex-

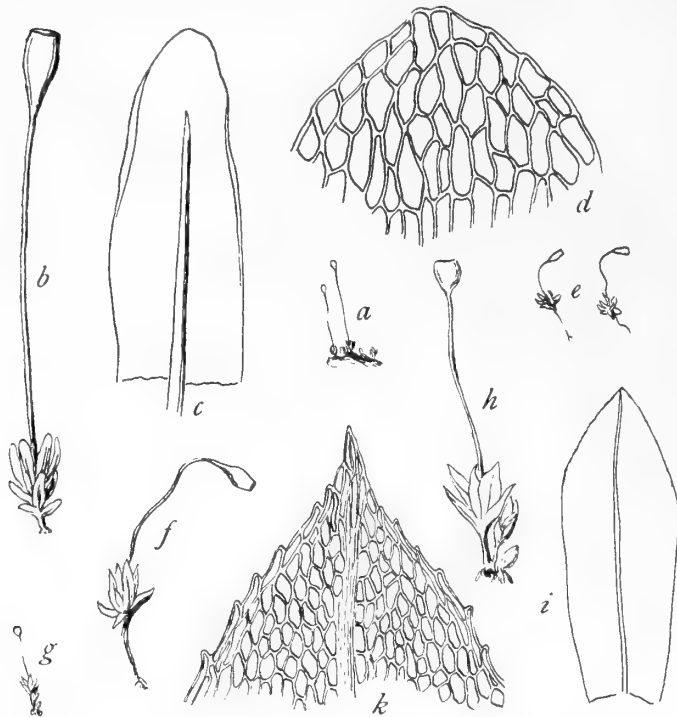


Fig. 29. a—d *Entosthodon altisetus* H. n. sp. a Habitus 1:1, b Habitus 6:1, c Blatt 31:1, d Blattspitze 125:1; e—f *Entosthodon Sipascocya* H. n. sp. e Habitus 1:1, f Habitus 3:1; g—k *Entosthodon faucium* H. n. sp. g Habitus 1:1, h Habitus 4:1, i Blatt, k Blattspitze 62:1.

structo, annulo nullo, operculo subgloboso cellulis ardue ascendentibus, peristomio rudimentario, sporis magnis diametro 0,026—0,028 mm tetragono-globosis ferrugineis minutim dense punctatis.

Am Cerro Sipascocya über Pojo, ca. 3000 m, No. 4162.

284. *Entosthodon faucium* Herzog nov. spec. (Fig. 29, g—k).

Synöicus; plantula gregaria vel sparsa inter alios muscos, tenella, 5 mm alta, inferne laxius foliata, superne rosulato-comosa. Folia patula concava, e basi angustiore latissime obovata, brevissime acuminata, superne remote obtuse serrulata, seriebus 1—2 cellularum angustarum limbata, nervo in foliis inferioribus ante apicem evanido in superioribus completo, cellulis laxis chlorophyllosis breviter rectangulis vel rotundato-hexagonis. Seta gracilis, erecta, 6 mm longa, flavida; theca e collo brevissimo piriformis, 1—1,3 mm longa, cellularum seriebus 3—4 depressarum cincta, interdum sub ore constricta, macrostoma, eperistomiata.

An nassen Felsplatten in der Talschlucht von Tablas, ca. 1800 m, No. 4618.

Blütenstand, Blattstruktur und Peristomosigkeit zeichnen diese Art aufs beste aus.

285. *Entosthodon apiahyensis* (C. M.).

An feuchten Felsen in der Cordillere von Santa Cruz, ca. 1400 m?, No. 4168; Quebrada de Pocona, ca. 2800 m, No. 5148.

286. **Entosthodon acidotus** (Tayl.).

Auf Humus am Bachrand bei der Mine Viloco, ca. 4350 m, No. 3300; auf schwarzem Humus an den Cerros de Malaga, ca. 4000 m, No. 4360.

Sect. *Plagiocleidion* C. M.

287. **Entosthodon Lindigii** Hpe.

Auf Humus an der Waldgrenze über Tablas, ca. 3400 m, No. 2936/a; zwischen Rio Saujana und Choquetanga grande, ca. 3500 m, No. 3289.

288. **Entosthodon papillosus** C. M.

Funaria tucumanica Broth.

Auf Hochgebirgstriften im oberen Llavetal, ca. 4300 m, No. 4801 mit *Tristichium Lorentzii*, *T. mirabile*, *Petalophyllum bolivianum*, *Stephaniella boliviensis* und vielen anderen Seltenheiten.

289. **Entosthodon verrucosus** (C. M.).

Am Cerro Sipascoya bei Pojo, ca. 3000 m, No. 4158/a. Scheint doch eine gute Art zu sein! Die Kapsel ist aufrecht und kürzer als bei voriger.

Funaria Schreb. in L. Gen. plant. VIII ed.

290. **Funaria boliviana** Schimp.

Im unteren Chocayatal am Wegrund, ca. 3000 m, No. 2581.

291. **Funaria linearidens** C. M.

Auf verrotteten Distichia-Polstern im Gletscherboden von Chojñacota, ca. 4700 m, No. 2974; auf einem verlandeten Seeboden im Hochtal von Choquecota chico, ca. 4500 m, No. 3103.

292. **Funaria meeseacea** C. M.

Auf Hochgebirgstriften im oberen Llavetal, ca. 4300 m, No. 4857.

293. **Funaria calvescens** Schwgr.

Im Tal von Florida de San Mateo, ca. 1600 m, No. 3717; im unteren Chocayatal, ca. 3400 m, No. 3452/a; in den Estradillas über Incacorral, ca. 3000 m, No. 3318; im unteren Coranital, ca. 1800 m, No. 4738.

294. **Funaria macrospora** R. S. W.

Im unteren Chocayatal, ca. 3200 m, No. 3619 u. 3400 m, No. 3452.

295. **Funaria hygrometrica** (L.) Sibth.

Am Bachrand bei der Mine Viloco, ca. 4350 m, No. 3131.

Bryaceae.

Mielichhoferiaceae.

Mielichhoferia Hornsch. in Bryol. germ. II. 2.

Subgen. *Eumielichhoferia* Mitt. Musc. austr. amer.

296. **Mielichhoferia bryocarpa** Broth. n. sp. (Tafel IV und V, Fig. 4).

Paroica; gracillima, caespitosa, caespitibus parvis, viridibus, aetate lutescentibus, nitidiusculis; caulis erectus, vix ultra 3 mm longus, basi fusco-radiculosus, superne dense et julaceo-foliosus; folia imbricata, minuta, ovato-lanceolata, carinato-concava, acuta, marginibus erectis, superne serrulatis, nervo infra apicem folii evanido, cellulis elongate rhomboideis, basilaribus laxioribus, rectangularibus vel oblongo-hexagonis; seta 6 mm vel paulum ultra alta, adscendens, tenuis, rubra; theca nutans vel pendula, symmetrica, turgide pyriformis, castanea; annulus latus, revolubilis; endostomium

magnum, fusco-luteum, laevissimum; corona basilaris alta; processus ca. 0,020 mm lati, linea divisurali distincta, parce appendiculati; cilia brevissima; spori 0,020—0,022 mm, ferruginei, papilloso; operculum minutum, convexum, haud apiculatum.

Oberes Llavetal, alt. 4200—4400 m, No. 4793, typus, 4802, 4897.

Species cum *M. micropoma* C. Müll. comparanda, sed theca multo majore, turgide pyriformi peristomioque melius evoluto longe diversa.

297. **Mielichhoferia macrospora** Broth. n. sp.

Paroica; tenella, caespitosa, caespitibus parvis, densis, laete viridibus, nitidiusculis; caulis erectus, 2—3 mm longus, basi fusco-radiculosus, dense et julaceo-foliosus; folia imbricata, carinato-concava, ovato-lanceolata, acuta, marginibus plus minusve recurvis, superne serrulatis, nervo infra apicem folii evanido, cellulis elongate rhomboideis, basilaribus laxioribus, rectangularibus vel oblongo-hexagonis; seta vix ultra 3 mm alta, lutescenti-rubra; theca suberecta, symmetrica vel paulum asymmetrica, obovata, fuscidula; annulus latus, revolubilis; endostomium fusco-luteum, laevissimum; corona basilaris humilis; processus ca. 0,015 mm lati, linea divisurali distincta, appendiculati; spori 0,025—0,030 mm, ferruginei, papilloso; operculum plano-convexum, apiculatum.

In den Bergen der Yanakakabastion, alt. 4600 m, No. 3830.

Species minuta, sporis suis magnis notabilis.

298. **Mielichhoferia seriata** Broth. n. sp. (Tafel IV u. V, Fig. 3).

Paroica; tenella, caespitosa, caespitibus densis, laete viridibus, nitidis; caulis erectus vix ultra 1 cm longus, inferne radiculis longis, fuscis instructus, superne dense et julaceo-foliosus, ramosus; folia imbricata in seriebus oblique dispositis, carinato-concava, inferiora minuta, remota vel nulla, superiora ovato- vel oblongo-lanceolata breviter, raptim in acumen breve, angustum attenuata, marginibus erectis vel inferne leniter recurvis, superne serrulatis, nervo flexuoso infra acumen folii evanido, cellulis teneris elongate rhomboideis apice densis, basilaribus laxioribus, rectangularibus vel oblongo-hexagonis; seta 4—6 mm alta, flexuosula, lutescenti-rubra; theca inclinata, minuta, plerumque asymmetrica, breviter clavata, pallida, aetate fusca; annulus latus, revolubilis; endostomium flavidum, laevissimum; corona basilaris humillima; processus anguste lineares, inter se anastomosantes, linea divisurali distincta; spori 0,025—0,028 mm, ferruginei, papilloso; operculum minutum, convexum, minutissime apiculatum.

Viloco-Hochtal, 4500—4700 m, No. 3146; Cumbre de Liryuni, 4600 m, No. 3437; oberes

Chocayatal, 4300—4400 m, No. 3594.

Species distinctissima, foliis oblique seriatis oculo nudo jam dignoscenda.

299. **Mielichhoferia microdonta** Broth. n. sp. (Tafel IV u. V, Fig. 2).

Paroica; gracilis, caespitosa, caespitibus densis, pallide viridibus, vix nitidiusculis; caulis erectus, vix ultra 1 cm longus, inferne radiculis longis, fuscis instructus, superne dense et julaceo-foliosus; folia imbricata, carinato-concava, inferiora remota, minuta vel nulla, superiora ovato-oblonga, acuta, marginibus erectis vel anguste recurvis, superne serrulatis, nervo infra apicem folii evanido, cellulis elongate rhomboideis laxiusculis, basilaribus rectangularibus vel oblongo-hexagonis; seta ca. 6 mm alta, flexuosula, tenuissima, lutescenti-rubra; theca suberecta, symmetrica vel subsymmetrica, breviter et late clavata, pallida, aetate fuscidula; annulus latus, revolubilis; endostomium luteum, laevissimum; corona basilaris haud exserta; processus brevissimi ciliiformes; spori 0,015—0,020 mm, ferruginei vel aurantiaci, papilloso; operculum minutum, conicum.

Oberes Chocayatal, alt. 4300 m, No. 3578.

Species habitu *M. seriatae* Broth. valde similis, sed foliis haud seriatis, angustioribus longioribus ovato-oblongis, peristomio brevissimo, sporis minoribus nec non operculo conico dignoscenda.

300. **Mielichhoferia minutifolia** C. M.

Auf Humus an der Waldgrenze über Tablas, ca. 3400 m, No. 2880/a.

301. *Mielichhoferia micropoma* C. M.

Im oberen Chocayatal, ca. 4400 m, No. 3586.

302. *Mielichhoferia pusilla* Hook.

Im Chocayatal, No. 2643/a; an der Waldgrenze über Tablas, ca. 3400 m, No. 2936; im oberen Llavetal, ca. 4200 m, No. 4791; bei den Tunariseen, ca. 4400 m, No. 4896.

var. *macrocarpa* Broth. nov. var.

An den Cerros de Malaga, ca. 4000 m, No. 4368; im oberen Llavetal, ca. 4200 m, No. 4860.

303. *Mielichhoferia modesta* C. M.

Zwischen Cocapata und Choro, ca. 3500 m, No. 4176; im Hochland von Totorá, ca. 2800 m, No. 5117.

304. *Mielichhoferia pohlioidea* C. M.

An erdbedeckten Felsen im Piñasgebiet, No. 2638; an der Waldgrenze über Tablas, ca. 3400 m, No. 2935; auf einem Bergkamm über Comarapa, ca. 2600 m, No. 4247; an einem Stein im unteren Coranital (?), No. 4698; am Cerro Sipascoya über Pojo, ca. 3000 m, No. 4161, forma processibus magis papillosis.

305. *Mielichhoferia gracilis* Broth. n. sp. (Tafel IV u. V, Fig. 8).

Paroica; gracillima, caespitosa, caespitibus laxiusculis, lutescenti-viridibus, vix nitidiusculis; *caulis* erectus, 1 cm vel paulum ultra longus, basi radiculosus, dense foliosus; *folia* erecto-patentia, carinato-concava, anguste ovato-lanceolata, anguste acuminata, marginibus erectis vel angustissime recurvis, argute serratis, nervo infra apicem folii evanido, cellulis elongate et anguste rhomboideis, basilaribus paucis oblongo-hexagonis; *seta* 1,5—2 cm alta, tenuissima, flexuosa, lutescenti-rubra; *theca* inclinata, symmetrica, pyriformis, pallide fuscidula; *annulus* latus, revolubilis; *endostomium* pallidum; *corona basilaris* ca. 0,025 mm, laevissima; *processus* ca. 0,015 mm lati, linea divisurali distincta, vix appendiculati, parce papilloso; *spori* 0,015 mm, ferruginei, minutissime papilloso; *operculum* minutum, depresso conicum apiculatum.

Zwischen San Mateo und Sunchal, ca. 3000 m, No. 4486.

Species cum *M. pohlioidea* C. Müll. comparanda.

306. *Mielichhoferia angustata* Broth. n. sp. (Tafel IV u. V, Fig. 1).

Paroica; gracillima, caespitosa, caespitibus parvis, densis, laete viridibus, aetate lutescentibus, nitidiusculis; *caulis* erectus, usque ad 1 cm longus, basi fusco-radiculosus, dense et julaceo-foliosus; *folia* imbricata, minuta, carinato-concava, ovato-lanceolata, acutissima, marginibus erectis, superne serrulatis, nervo crassiusculo, infra apicem folii evanido, cellulis elongate rhomboideis, basilaribus laxioribus, rectangularibus vel oblongo-hexagonis; *seta* usque ad 1 cm alta, flexuosula, tenuissima, rubra; *theca* erecta vel suberecta, anguste clavata, ca. 3 mm longa, symmetrica vel subsymmetrica, deoperculata raro subcurvatula, fusco-rubra; *annulus* latus, revolubilis; *endostomium* flavidum, laevissimum; *corona basilaris* humilis; *processus* angusti, vix ultra 0,010 mm lati, haud appendiculati, linea divisurali distincta; *spori* 0,015 mm, ferruginei, minutissime papilloso; *operculum* alte conicum, acutum.

Oberstes Llavetal, alt. 4200—4400 m, No. 4767, 4898.

Species cum *M. pohlioidea* C. Müll. et *M. bogotensi* Hamp. comparanda, sed statura gracillima, theca anguste clavata et operculo alte conico jam dignoscenda.

307. *Mielichhoferia subclavitheca* Broth. n. sp. (Taf. IV u. V, Fig. 5).

Paroica; gracillima, caespitosa, caespitibus densis, laete viridibus, nitidiusculis; *caulis* erectus, vix 1 cm longus, basi radiculosus, dense et julaceo-foliosus; *folia* imbricata, carinato-concava, inferiora minuta, remota vel nulla, superiora ovato-lanceolata, acutissima, marginibus erectis vel anguste recurvis, superne serrulatis, nervo infra apicem folii evanido, cellulis elongate rectangularibus, basilaribus rectangularibus vel oblongo-hexagonis; *seta* ca. 1 cm alta, tenuissima, lutescenti-rubra; *theca* inclinata vel nutans, anguste clavato-cylindracea, curvata, macrostoma, pallide fusca; *annulus*

latus, revolubilis; endostomium pallidum, minutissime papillosum; corona basilaris humillima; processus elongati, ca. 0,010 mm lati, linea divisurali rimosi, parce appendiculati; spori 0,015—0,020 mm, ferruginei, papilloso; operculum minutum, conicum.

Cumbre de Liryuni, alt. 4600 m, No. 3438.

Species *M. clavithecae* Herz. affinis, sed processibus parce anastomosantibus, ciliis nullis jam dignoscenda.

308. **Mielichhoferia Herzogii** Broth. n. sp. (Tafel IV u. V, Fig. 6).

Paroica; tenella, caespitosa, caespitibus laxiusculis, laete viridibus, opacis; caulis erectus, vix ultra 5 mm longus, basi fusco-radiculosus, superne dense et julaceo-foliosus; folia inferiora minuta, superiora multo majora, imbricata, carinato-concava, ovato-lanceolata, acuta, marginibus erectis vel leniter recurvis, superne serrulatis, nervo infra apicem folii evanido, cellulis elongate rhomboideis, basilaribus laxioribus rectangularibus vel oblongo-hexagonis; seta 6—8 mm alta, flexuosula, tenuis, lutescenti-rubra; theca nutans vel subnutans, magna, asymmetrica, turgide clavata, haud curvata, pallide fusca; annulus latus, revolubilis; endostomium luteum, laevissimum; corona basilaris humillima; processus anguste lineares, appendiculati, linea divisurali distincta; spori 0,025 mm, ferruginei, papilloso; operculum conicum, acutum.

Saittulaguna, 4200 m, No. 2670.

Species cum *M. clavitheca* Herz. et *M. subclavitheca* Broth. comparanda, sed theca magna, turgide clavata, haud curvata oculo nudo jam dignoscenda.

309. **Mielichhoferia subcampylocarpa** Broth. n. sp.

Paroica; gracilis, caespitosa, caespitibus laxiusculis, viridibus, aetate lutescenti-viridibus, opacis; caulis erectus, ca. 2 cm longus, inferne fusco-radiculosus, remote, superne dense foliosus, clavatus; folia inferiora minuta, superiora multo majora, sicca laxe adpressa, humida erecto-potentia, carinato-concava, ovato-lanceolata, breviter acuminata, acutissima, marginibus erectis, superne minutissime serrulatis, nervo tenui, infra summum apicem folii evanido, cellulis elongate rhomboideis, basilaribus rectangularibus; seta ca. 1,5 cm alta, tenuissima, flexuosula, pallide fuscescenti rubra; theca suberecta, asymmetrica, subcylindracea, curvata, usque ad 4 mm longa, fuscescenti-lutea; endostomium luteum, laeve; corona basilaris humillima; processus ca. 0,3 mm longi et ca. 0,015 mm lati, appendiculati; cilia 0; spori 0,015—0,017 mm, fusci, minute papilloso. Caetera ignota.

Hochtal Viloco, alt. 4350 m, No. 3213; in den Yanakakabergen, ca. 4000 m, No. 3835; begraste Felsköpfe in der Piñasregion, ca. 4500 m, No. 2642.

Species *M. campylocarpae* (Hook. et Arn.) Mitt. (*Williams* Pl. boliv. Nr. 2793) habitu similis, sed foliis brevius acuminatis, minutissime serrulatis, laxius reticulatis, seta multo brevioribusque endostomii appendiculatis optime diversa.

310. **Mielichhoferia subglobosa** R. S. W.

In Felsritzen des Hochtales von Choquecota chico, ca. 4500 m, No. 3101; im Hochtal von Viloco, ca. 4600 m, No. 3169; an Gletscherschliffen im Hochtal von Chojñacota, ca. 4800 m; im Schneetälchen des Cerro Tunari, ca. 5000 m, No. 4780.

311. **Mielichhoferia secundifolia** Herzog in Beih. Bot. Centr. 1909.

Im Hochtal von Viloco an humösen Felsen, ca. 4600 m, No. 3167.

312. **Mielichhoferia longipes** C. M. (Fig. 30).

In Felsritzen der Estradillas über Incacorral, ca. 3200 m, No. 3337.

Subgen. *Mielichhoferiopsis* Broth.

313. **Mielichhoferia macrodonta** Broth. n. sp.

Paroica; tenella, caespitosa, caespitibus laxiusculis, pallide viridibus, opacis; caulis

erectus, usque ad 1 cm longus, basi fusco-radiculosus, superne dense foliosus; folia infima minuta, superiora multo majora, erecto-patentia, carinato-concava, ovato-lanceolata, acuta, marginibus anguste revolutis, superne serrulatis, nervo infra apicem folii evanido, cellulis elongate rhomboideis, basilaribus laxioribus rectangularibus vel oblongo-hexagonis; seta ca. 1 cm alta, tenuissima, lutescenti-rubra; theca cernua vel horizontalis, symmetrica, pyriformis, fusca; exostomii dentes robusti, lanceolati, ca. 0,27 mm longi et ca. 0,040 mm lati, fusco-lutei, laevissimi; endostomium fusco-luteum, laevissimum; corona basilaris humilis; processus dentium longitudinis vel paulum longiores, anguste lanceolato-lineares, inferne carinati, haud perforati; spori 0,016—0,018 mm, ferruginei, papilloso; operculum ignotum.

Torreni-Yanakaka, 3800—4000 m, No. 3751.

Species peristomio magno, fusco-luteo jam dignoscenda.

314. *Mielichhoferia submacrodonta* Broth. n. sp.

Species praecedenti valde affinis, sed exostomii dentes pallidi, processus papilloso.

Waldgrenze über Tablas, alt. 3400 m, No. 2938, 2877.

315. *Mielichhoferia castanea* Broth. n. sp. (Tafel IV. u. V, Fig. 7.)

Paroica; tenella, caespitosa, caespitibus densiusculis, pallide viridibus, opacis; caulis vix ultra 5 mm longus, erectus, curvatus, basi fusco-radiculosus, superne dense et julaceo-foliosus; folia infima minuta, superiora multo majora, imbricata, carinato-concava, ovato-lanceolata, acuta, marginibus anguste revolutis, superne serrulatis, nervo infra apicem folii evanido, cellulis elongate rhomboideis, basilaribus laxioribus, rectangularibus vel oblongo-hexagonis; seta ca. 1 cm alta, tenuis, rubra; theca inclinata vel nutans, plerumque symmetrica, elongate clavata, castanea; annulus latus, revolubilis; peristomium duplex; exostomii dentes endostomio multo breviores, lanceolati, flavidi, laevissimi; corona basilaris humillima; processus elongate et anguste lineares, flavidi, minutissime papilloso, linea divisurali distincta; spori 0,015 mm, ferruginei, minute papilloso; operculum convexo-conicum, apiculatum.

Waldgrenze über Tablas, No. 2862a, 2926.

Species theca castanea a congeneribus oculo nudo jam dignoscenda.

316. *Mielichhoferia emergens* (C. M.).

Bryum (Senodictyon) C. M. in Prodr. Bryol. Argent. I.
Über der Waldgrenze zwischen San Mateo und
Sunchal, ca. 3000 m, No. 4428.

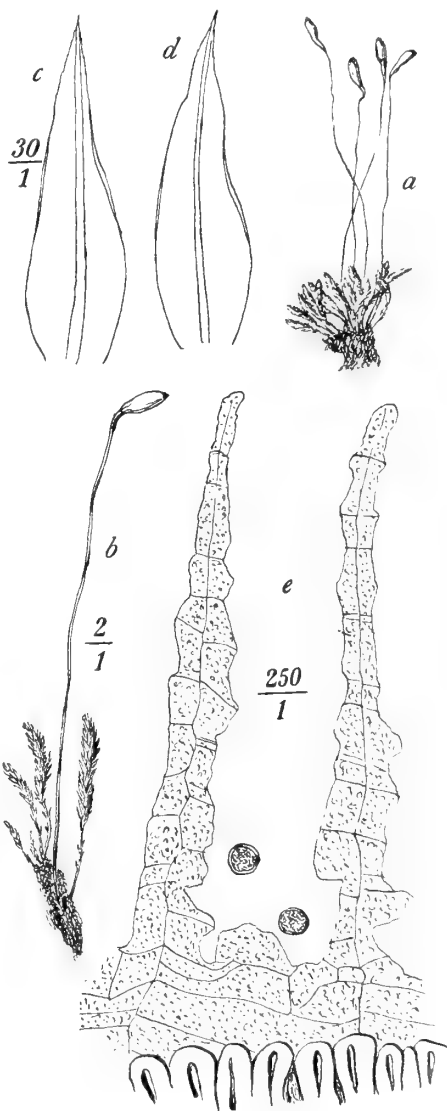


Fig. 30. *Mielichhoferia longipes* C. M.
a Habitus 1: 1, b Habitus 2: 1, c, d Blätter
30: 1, e Peristom 250: 1.

Haplodontium Hpe. Prodr. Fl. Nov. Gran.

Subgen. *Euhaplodontium* Broth.

317. *Haplodontium humipetens* C. M.

An begrasten Felsköpfen im Piñasgebiet große Polsterrasen bildend, ca. 4500 m, No. 2615;
an der Cumbre de Liryuni, ca. 4500 m, No. 3440. Wohl eines der Charaktermoose der

Hochregion, das ich oft gesehen habe, aber wegen seiner völligen Sterilität nur wenige Male mitnahm.

318. **Haplodontium sanguinolentum** C. M. (Tafel IV, Fig. 9).

H. pernanum C. M.

Charaktermoos des Hochgebirges, besonders an Erdblößen und Wegböschungen häufig.

Auf roter Erde der Höhen von Challa, ca. 4000 m, No. 2575, 2578, 2562; an den Cerros de Malaga, ca. 4000 m, No. 4377.

An den Original-Exemplaren von *H. pernanum* C. M. kann ich keinen Unterschied gegen *H. sanguinolentum* finden. Umrollung des Blattrandes, Kapselform, Länge der Seta und Färbung des Peristoms wechseln. Die Rötung der Peristomzähne hängt mit dem Grad der Sporogonreife im Zusammenhang.

319. **Haplodontium cuspidatum** Herzog nov. spec. (Tafel VI, Fig. 1).

Dioicum; laxe caespitosum, humillimum, e minoribus generis, surculis sterilibus 3—5 mm longis flavido-albidis basi rubellis myosuroideo-julaceis tenellis subclavatis. Folia 0,5—1 mm longa, sat densa, stricte erecta, anguste lanceolata, breviter cuspidata, carinato-concava, marginibus erectis, nervo validiusculo in cuspidem flavum brevem excurrente ibique angulis cellularum prominentium remote papilliformi-serrato, cellulis basalibus perpaucis subquadratis rubellis ceteris laxissimis vitreis inanibus apice valde elongatis. Seta rubra, 7—10 mm longa, flexuosa, apice arcuata, deflexa; theca gracillima, e collo longiusculo subgloboso-ovata, atropurpurea, annulo biseriali revolubili, operculo cupulato apiculato, peristomio simplici, dentibus singulis pro genere angustis longiusculis apice indistincte articulatis griseis papillosis.

Am Mocojabach (Aracatal) ca. 3500 m, No. 2983.

Von dem nächstverwandten *H. sanguinolentum* C. M. durch den zierlicheren Wuchs, die wesentlich kleineren, schmalen und fast stachelig zugespitzten Blätter mit auslaufender Rippe, die kleinere, schlankere Kapsel und das Peristom gut unterschieden.

320. **Haplodontium crassinervium** Herzog nov. spec. (Tafel IV, Fig. 10).

Sterile, densissime caespitosum, caulibus 4—5 cm longis valde ramosis, ramis inaequalibus fastigiatis, inde caulibus julaceis nodosis e viridi aureis nitidis. Folia duriuscula, densa, appressa, concava, ovato-lanceolata, acuminata, margine medio anguste revoluta, integerrima, nervo crasso fusciscente in acumen cuspidiforme excurrente, cellulis basalibus laxis rectangularibus roseis, superioribus angustioribus elongate hexagonis incrassatis.

Bei den Tunariseen, ca. 4400 m, No. 4840 u. 4774.

Durch die dicke auslaufende Rippe und das derbe Zellnetz von den verwandten Arten gut unterschieden.

321. **Haplodontium Herzogii** Broth. n. sp.

Dioicum; tenellum, caespitosum, caespitibus mollibus compactis, e glauco lutescenti-viridibus, nitidis; caulis erectus, usque ad 1,5 cm longus, fusco-tomentosus, dense et julaceo-foliosus, superne fasciculatim ramosus vel simplex; folia imbricata, concava, ovalia, breviter acuminata, obtusiuscula, ca. 0,66 mm longa et ca. 0,28 mm lata, marginibus erectis, apice serrulatis, nervo lutescente, infra apicem folii evanido, cellulis laxis teneris, hexagono-rhomboides, basilaribus breviter rectangularibus; seta ca. 0,5 mm alta, tenuissima, flexuosa, lutea; theca nutans, pyriformis, pallide fuscidula, nitidiuscula; annulus latus, revolubilis; exostomii dentes inter se aequidistantes, e basi ca. 0,075 mm lata raptim elongate lanceolati, ca. 0,4 mm longi, papilloso, pallidi; spori 0,017—0,020 mm, fusci, papilloso; operculum minutum, convexo-conicum.

Cumbre de Tiquipaya, an Schieferfelsen, alt. 4100 m, No. 2653; an Schieferfelsen der Cuesta de Abana bei Pojo, ca. 2300 m, No. 3464.

Species pulcherrima, foliorum forma peristomioque pallido facillime dignoscenda.

322. **Haplodontium vilocense** Broth. n. sp.

Gracilescens, caespitosum, caespitibus compactis, lutescenti-viridibus, vix nitidiusculis; c a u l i s erectus, usque ad 2 cm longus, fusco-tomentosus, dense et julaceo-foliosus, superne fasciculatim ramosus vel simplex; f o l i a imbricata, concava, late ovato-lanceolata, acuta, ca. 1,14 mm longa et ca. 0,47 mm lata, marginibus erectis, summo apice minute serrulatis, nervo crassiusculo, infra summum apicem folii evanido, cellulis laxiusculis, rhomboideis, basilaribus numerosis ovali-hexagonis vel breviter rectangularibus. Caetera ignota.

Hochtal Viloco, alt. 4700 m, No. 3168.

Species habitu praecedenti sat similis, sed statura robustiore foliorumque forma optime diversa.

323. **Haplodontium subsplendidum** Broth. n. sp.

Dioicum; gracile, caespitosa, caespitibus densis, mollibus, pallide lutescentibus, vix nitidiusculis; c a u l i s erectus, usque ad 2 cm longus, inferne dense fusco-radiculosus, dense foliosus, innovando-ramosus; f o l i a laxe imbricata, humida suberecta, subcarinato-concava, lanceolata, breviter acuminata, acuta, marginibus longe ultra medium recurvis, integris vel apice minutissime serrulatis, nervo tenui, infra summum apicem folii evanido, cellulis teneris, elongate rhomboideis, basilaribus oblongo-hexagonis; s e t a vix 1,5 cm alta, tenuissima, flexuosula, rubra; t h e c a nutans, anguste pyriformis, pallida; e x o s t o m i i d e n t e s inter se aequidistantes, e basi ca. 0,075 mm lata elongate lanceolati, ca. 0,04 mm longi, pallidi, dense papilloso; s p o r i ca. 0,020 mm, fusci, laeves; o p e r c u l u m ignotum.

Hochtal Viloco, alt. 4350 m, No. 3212.

Species *H. splendido* (Broth. sub *Mielichhoferia*) valde affinis, sed caespitibus haud compactis, foliis latioribus, brevius acuminatis, laxius reticulatis dignoscenda.

Bryeae.

Orthodontium Schwgr. Suppl. II.

324. **Orthodontium longisetum** Hpe.

Auf faulem Holz im Bergwald des Rio Tocorani, ca. 2200 m, No. 4054; auf faulem Holz im Bergwald zwischen San Mateo und Sunchal, ca. 2200—2400 m, No. 4480.

Wollnya Herzog in Beyh. Bot. Centr. 1909.

325. **Wollnya stellata** H.

An einer Tuff absetzenden Quelle im Llavetal, ca. 3800 m, No. 4831 (Original-Fundort!); feuchte Lehmhänge bei Challa, ca. 4000 m, No. 2563.

Webera Hedw. Fund. II.

326. **Webera apolensis** (R. S. W.).

Pohlia R. S. W. l. c.

An der Waldgrenze über Tablas auf Erde, ca. 3400 m, No. 2911.

327. **Webera papillosa** (C. M.).

Auf feuchter Erde zwischen Incacorral und Paracti, ca. 2100 m, No. 5003; im oberen Coranital, ca. 2600 m, No. 5056.

328. **Webera spectabilis** (C. M.).

Im oberen Coranital, ca. 2600 m, No. 3387; im oberen Tocoranital, ca. 2800 m, No. 4096; an einem Berggrat über Comarapa, ca. 2600 m, No. 4194.

329. **Webera subleptopoda** Broth. n. sp.

P a r o i c a; gracilis, caespitosa, caespitibus rigidis, densiusculis, laete viridibus, aetate fuscescens, opacis; c a u l i s erectus, usque ad 1 cm longus, inferne fusco-radiculosus, dense foliosus, inno-

vationibus binis, brevibus, strictis, dense foliosis; folia caulina sicca adpressa, humida erecto-patentia, carinato-concava, anguste lanceolato-subulata, usque ad 3 mm longa, marginibus ubique anguste revolutis, apice serrulatis, nervo crassiusculo, in summam partem subulae desinente, cellulis anguste linearibus, vix flexuosis, basilaribus infimis brevioribus et laxioribus; seta usque ad 4 cm alta, tenuissima, flexuosa, rubra; theca inclinata, cum collo elongato clavato-pyriformis, paulum asymmetrica, haud curvata, cinnamomea, aetate fusca; annulus latus, revolubilis; exostomii dentes lanceolato-subulati, ca. 0,4 mm longi, pallidi, dense papilloso, obscuro; endostomium papillosum; corona basilaris ad medium fere dentium producta; processus anguste lanceolati, carinati, haud pertusi, valde papilloso; cilia 0; spori 0,015 mm, ochracei, laeves; operculum minutum, alte conicum, obtusum.

Waldgrenze über Tablas, alt. 3400 m,
No. 2862, typus, No. 2937, forma
seta brevior et theca minore.

Species *W. leptopodae* (Hamp.) affinis, sed rigiditate, foliorum forma et operculo alte conico jam dignoscenda.

330. *Webera clavicaulis* Broth. n. sp.

Paroica; gracilis, caespitosa, caespitibus densis, lutescenti-viridibus, vix nitidiusculis; caulis erectus, ca. 1 cm longus, basi fusco-radiculosus, ultra medium remote, superne dense clavato-foliosus, simplex; folia inferiora minutissima, squamaeformia, superiora arcte imbricata, carinato-concava, ovato-lanceolata, acuta, usque ad 1,7 mm longa et 0,55 mm lata, marginibus usque ad apicem anguste revolutis, apice minute serrulatis, nervo infra apicem folii evanido, cellulis lineari-rhomboides, basilaribus multo laxioribus, breviter rectangularibus vel oblongo-hexagonis; seta ca. 5 mm alta, flexuosula, tenuis, lutescenti-rubra; theca inclinata, minuta, clavata, curvata, fusco-rubra; annulus latus, revolubilis; exostomii dentes late lanceolati, ca. 0,22 mm longi, minute papilloso et striolati, flavidi; endostomium hyalinum, sublaeve; corona basilaris ca. $\frac{1}{4}$ dentium longitudinis; processus anguste lanceolati, carinati, haud perforati; cilia 0; operculum minutum, conicum, acutum.

Chocayatal, an Felsblöcken, alt. 3300 m,
No. 2592.

Species *W. plurisetae* (Herz.) affinis, sed setis brevibus, singulis nec non theca minuta, curvata oculo nudo jam dignoscenda.

331. *Webera loriformis* Herzog nov. spec. (Fig. 31).

Dioica?; planta humillima gregaria, caule vix 3 mm longo tenuissimo duriusculo comose foliato. Folia inferiora pauca brevissima, vix 1 mm longa, anguste lanceolata, carinata, superiora

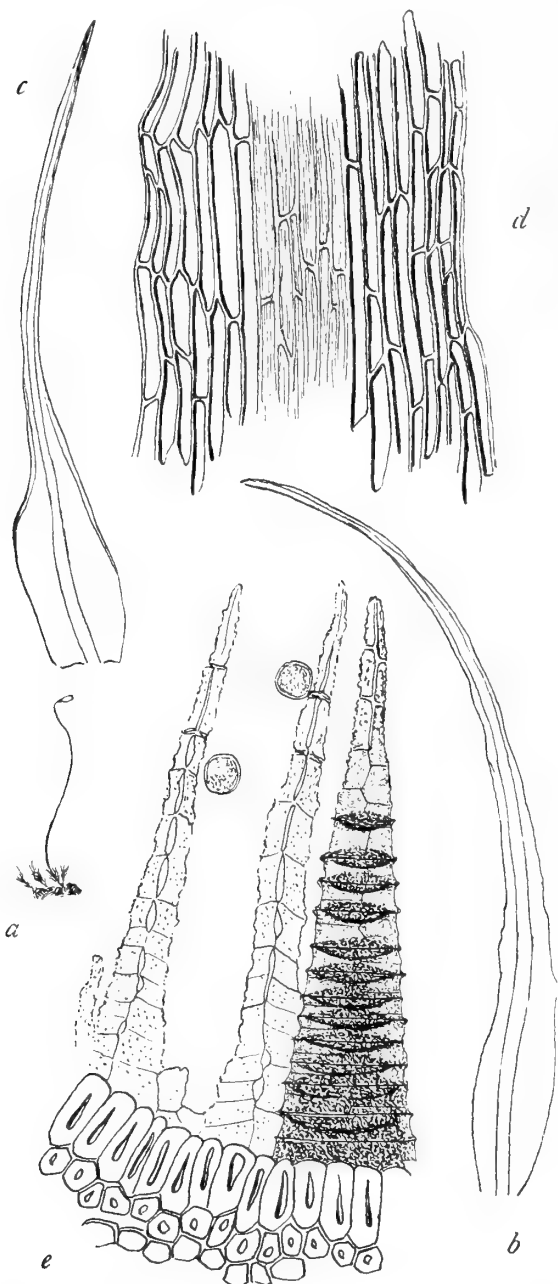


Fig. 31. *Webera loriformis* Herzog n. sp. a Habitus 1:1, b, c Blätter 31:1, d Zellnetz unter der B.mitte 250:1, e Peristom 250:1.

comosa, 3 mm longa, e basi anguste oblonga concava accumbente longe loriformia, flexuosa, patula, margine medio revoluta, ceterum planiuscula undulata, integerrima, nervo pro folio crasso viridi acumen loriforme fere totum occupante, cellulis basalibus elongate rectangulis vel linearibus limpidis, superioribus angustioribus. Seta flexuoso-erecta, 18—22 mm longa, pallide rubra, tenuissima; theca nutans vel pendula, e collo brevissimo breviter ovalis, ca. 1,5 mm longa, cinnamomea, macrostoma, annulo biseriali, operculo conico rubro; peristomii externi dentibus anguste lanceolatis late trabeculatis anguste marginatis tenuiter papillois olivaceis, interni aequilongi membrana vix $\frac{1}{4}$, processibus lineari-lanceolatis margine superne sinuatis carinatis linea mediana perforato-fissis grosse papillois, ciliis interpositis irregularibus brevissimis vel nullis; sporis aurantiacis laevibus diametro 0,016—0,020 mm.

Auf Erde zwischen Incacorral und Paracti, ca. 2000 m, No. 5002.

Schon an den lang riemenförmigen Blättern sofort zu erkennen.

332. **Webera cruda** (L.) Lindb.

In Felsritzen bei der Saittulaguna, ca. 4300 m, No. 2657.

Mniobryum (Schimp. ex parte) Limpr. Laubm. II.

333. **Mniobryum bolivianum** Broth. n. sp.

Dioicum; robustiusculum, caespitosum, caespitibus densis, rigidis, vinoso-rubentibus, opacis; caulis erectus, usque ad 5 cm longus, inferne parce radiculosus, dense foliosus, simplex vel parce ramosus; folia sicca adpressa, humida erecto-patentia, carinato-concava, breviter decurrentia, anguste oblongo-lanceolata, obtusa, ca. 2 mm vel paulum ultra longa et ca. 0,6 mm lata, marginibus erectis, superne dense et minute serrulata, nervo rubro, superne tenuiore, infra apicem folii evanido, cellulis teneris, elongate et anguste rhomboideis, basilaribus laxioribus. Caetera ignota.

Chocayatal, No. 2618; oberes Llavetal, am Bachrand, alt. 4200 m, No. 4834.

Species *Mn. albicanti* (Wahlenb.) affinis, sed rigiditate, foliis angustioribus, cellulis angustis dignoscenda.

Epipterygium Lindb. in Öfvers. Vet. Akad. Förh.

334. **Epipterygium pellucens** Herzog nov. spec.

Sterile; surculis tenellis flexuosis ad 1 cm longis purpureis, foliis laxis distiche patentibus glauculis membranaceo-pellucidis valde dimorphis. Folia normalia latissime ovalia, apiculata, sicca vix mutata, parum concava, integerrima, anguste limbata, limbo parum distincto superne 2- inferne 3-seriato concolori vel rubente, nervo medio evanido sat debili, cellulis pellucidis laxe elongate hexagonis, stipularia multo minora, anguste elliptica, acuta vel acuminata.

Auf bloßer Erde im oberen Tocoranital, ca. 2600 m, No. 4032.

Brachymerium Schwgr. Suppl. II.

335. **Brachymerium Jamesonii** Tayl.

An Ästen der Bäumchen im oberen Coranital, ca. 2600 m, No. 3373; an Bäumen in der Talschlucht von Tablas, ca. 1900—2000 m, No. 4643.

336. **Brachymerium barbuloides** C. M.

Auf einem gefallenem Baumstamm im Bergwald von Florida de San Mateo, ca. 2000 m, No. 3649.

337. **Brachymerium flexipilum** Herzog nov. spec.

Sterile; late densissime caespitosum, basi tomentoso-contextum, caulibus julaceis ca. 1 cm longis superne amoene viridibus inferne rubris. Folia densa, valde concava, ovata vel breviter elliptica, ca. 1 mm longa, margine plano serie una cellularum angustiorum indistincte limbato, integerrima vel apice subcrenulata, nervo mediocri flavescente in pilum longum hyalinum flexuosum basi interdum ramosum vel superne hic illic dente longo ramiformi notatum

excurrente, cellulis basalibus permultis angularibus quadratis, superioribus elongate hexagonis, omnibus valde chlorophyllosis.

Auf Baumästen im Bergwald von Florida de San Mateo, ca. 2500 m, No. 3673.

Acidodontium Schwgr. Suppl. II. 2.

338. **Acidodontium pallidum** Herzog nov. spec. (Tafel VI, Fig. 4d).

Dioicum; laxe caespitosum, amoene viride, fulvescens, caulibus ad 2 cm longis basi rubiginoso-tomentosis simplicibus vel sub flore ♀ innovationibus praeditis, densiuscule foliatis. Folia 5—6 mm longa, erectopatula, e basi decurrente elongate ligulari-lanceolata, acuminata, brevicuspidata, cuspidate tenui flexuoso, margine ubique revoluta, angustissime limbata, apice tantum planiuscula ibique argute serrata, nervo viridi fuscescente subcompleto in cuspidate ipsa evanescente, cellulis superioribus elongate hexagonis chlorophyllosis; innovationum folia ovalia, nervo breviora; perichaetia minora, angustiora, ubique fere revoluta, cuspidate longiore longe serrata. Seta solitaria vel rarius 2 ex uno perichaetio, rubra, apice pallido breviter hamata, 3 cm longa; theca e collo subaequilongo clavata, deoperculata 6 mm longa, regularis, pallide ochracea, annulo lato operculo adhaerente, operculo hemisphaerico flavido rubro-mamillato; peristomii externi dentibus robustis e basi late lanceolata in cuspidate tenuem brevem constrictis valde trabeculatis hyalino-marginatis tenuiter papillosis, interni membrana media, processibus latissimis, cruribus divaricatis latis brevibus cuspidis dentium externorum pedem vix superantibus; sporis variabilibus, nunc (f. microspora) diametro 0,02—0,024 mm, nunc (f. macrospora) 0,028—0,034 mm viridissimis.

Auf Baumästen im unteren Coranital, ca. 2000 m, No. 4701 (f. microspora); auf Baumästen im oberen Coranital, ca. 2600 m, No. 3407 (f. macrospora).

Durch die sehr breiten, kurzen Fortsätze des inneren Peristoms ausgezeichnet.

339. **Acidodontium spinicuspis** Broth. n. sp.

Dioicum; robustum, caespitosum, caespitibus densis, mollibus, laeteviridibus, opacis; caulibus erectis, usque ad 2 cm longis, fusco-tomentosis, densiuscule foliosis, innovationibus ca. 1 cm longis, dense foliosis; folia caulina sicca contracta, humida erecto-patentia, inferiora late oblonga, raptim subulato-acuminata, superiora elongate oblonga, subulato-acuminata, omnia subula plerumque semitorta, marginibus late recurvis, superne minute, apice argute serratis, nervo tenui, longe infra apicem folii evanido, cellulis laxis, teneris, ovali-hexagonis, basilaribus laxioribus, marginalibus angustis, limbum lutescentem, angustum efformantibus; bractee perichaetii erectae, elongate lineares, sensim in aristam argute serratam attenuatae; seta ca. 2 cm vel paulum ultra alta, lutescenti-rubra; theca immatura.

Im Nebelwald der Laguna verde über Comarapa, alt. 2600 m, No. 3949.

Species statura robusta foliisque subula spinoso-serrata dignoscenda.

340. **Acidodontium brachypodium** (C. M.).

An Baumästen im Nebelwald über Comarapa, ca. 2600 m, No. 4319.

341. **Acidodontium longifolium** (Schimp.).

An Baumästen der Waldgrenze über Tablas, ca. 3400 m, No. 2797; an Bäumchen in den Estradillas über Incacorral, ca. 3300 m, No. 3317.

342. **Acidodontium lonchotrachylon** (C. M.).

An Ästen der Bäumchen in den Estradillas über Incacorral, ca. 3300 m, No. 3347.

343. **Acidodontium macropoma** (C. M.) (Tafel VI, Fig. 5c).

An Baumästen in der Talschlucht von Tablas, ca. 1800 m, No. 4588.

Anomobryum Schimp. Syn. 1 ed.

344. **Anomobryum filiforme** (Dicks.) Husn.

Am Bachrand bei der Mine Viloco, ca. 4350 m, No. 3218; an Lößhängen bei La Paz, ca. 3600 m, No. 2556.

345. **Anomobryum soquense** Par.

An Erdhängen bei Challa, ca. 4000 m, No. 2566; an Lößhängen bei La Paz, ca. 3600 m, No. 2558; in der Quebrada de Pocona, ca. 2800 m, No. 3470, 5115; bei Comarapa, ca. 2000 m, No. 4317, 4338; im oberen Llavetal, ca. 4300 m, No. 4893.

346. **Anomobryum robustum** Broth. n. sp.

Dioicum; robustum, caespitosum, caespitibus densis, sordide viridibus, intus nigrescentibus, opacis; caulis erectus, ca. 5 cm longus, basi fusco-radiculosus, dense julaceo-foliosus, simplex; folia imbricata, convexiuscula, latissime ovata, obtusa vel obtusissima, ca. 1,14 mm longa et ca. 1,14 mm lata, marginibus erectis, superne crenulatis, nervo basi crassiusculo, dein multo tenuiore, infra summum apicem folii evanido, cellulis laxe rhombeis, teneris, basilaribus ovali-hexagonis, marginalibus multo angustioribus, limbum angustum efformantibus. Caetera ignota.

Altamachi, alt. 3900—4000 m, No. 3877. Species pulcherrima, statura robusta foliorumque structura facillime dignoscenda.

Bryum Dill. Cat. Giss.

Sect. *Ptychostomum* (Hornsch.) Limpr. Laubm. II.

347. **Bryum flexisetum** Mitt.

Auf schwarzer Erde im Hochtal von Viloco, ca. 4500 m, No. 3150; am Bach bei der Mine Viloco, ca. 4350 m, No. 3128; beim Tunarisee, ca. 4400 m, No. 4895; an den Cerros de Malaga, ca. 4000 m, No. 4418.

Sect. *Bryotypus* Hag. Musc. Norv. bor.

Subsect. *Cladodium* (Brid.) Schimp. in Bryol. eur.

348. **Bryum oediloma** C. M.

An Steinen längs der Wasserläufe im unteren Coranital, ca. 1700 m, No. 4712.

Subsect. *Eubryum* (C. M.) Hag. Musc. Norv. bor.

349. **Bryum bimum** Schreb.

An feuchten Felsen in den Estradillas, ca. 3000—3100 m, No. 3319.

350. **Bryum** (Pseudotriquetra) **pulchrirete** Broth. n. sp.

Dioicum; gracile, caespitosum, caespitibus densis, pallide viridibus, opacis; caulis erectus, usque ad 2 cm longus, fusco-tomentosus, superne dense foliosus; folia sicca laxe adpressa, humida erecto-patentia, carinato-concava, ovata, acuta, usque ad 2 mm longa et 1 mm lata, limbata, marginibus inferne anguste revolutis, superne minute serrulatis, nervo crassiusculo, rufescente, superne tenuiore, cum apice evanido, cellulis laxis, teneris, ovali-hexagonis, basilaribus laxioribus, rubris, marginalibus angustissimis limbum lutescentem pluriseriatum efformantibus; seta usque ad 2 cm alta, tenuissima, flexuosula, rubra; theca nutans, e collo sporangio aequilongo ovalis, ca. 3 mm longa et ca. 1 mm crassa, sicca deoperculata sub ore paulum constricta, leptodermis, pallide fusca; exostomii dentes ca. 0,5 mm longi et ca. 0,1 mm lati, lutei, dense lamellati, haud limbati; endostomium sordide luteum, papillosum; processus late perforati; cilia bene evoluta, longe appendiculata; spori 0,020 mm, olivacei, minutissime papillosum; operculum magnum, convexum, mamillatum.

Llavetal, alt. 3800 m, No. 4854, 4855.

Species cum *Br. ventricosum* Dicks. comparanda, sed foliorum forma et structura longe diversa.

351. **Bryum** (Pseudotriquetra) **malacophyllum** Broth. n. sp.

Dioicum; robustiusculum, caespitosum, caespitibus laxis, mollibus, sordide viridibus, inferne nigrescentibus, opacis; caulis erectus, usque ad 4 cm longus, inferne fusco-radiculosus, laxiuscule foliosus, simplex; folia patentia, carinato-concava, ovalia vel ovata, breviter acuminata, acuta vel breviter cuspidata, 2—3 mm longa et usque ad 1,2 mm lata, limbata, marginibus ultra medium anguste

revolutis vel erectis, integris vel subintegris, nervo crassiusculo, superne multo tenuiore, infra summum apicem folii evanido, cellulis laxis, oblongo-hexagonis, parce chlorophyllosis, basilaribus rectangularibus, infimis rubris, marginalibus angustis, limbum uni- vel pauciseriatum efformantibus. Caetera ignota.

Oberes Llavetal, Bachrand, alt. 4200 m, No. 4844.

Species *Br. Schleicheri* Schwaegr. affinis, sed foliorum forma et nervo infra apicem folii evanido dignoscenda.

352. **Bryum** (Pseudotriquetra) **philonoteum** Broth. n. sp.

Dioicum; gracilescens, caespitosum, caespitibus densis, lutescenti-viridibus, inferne fusciscentibus, nitidiusculis vel opacis; caulis erectus, usque ad 2 cm longus, inferne fusco-radiculosus, dense foliosus, simplex vel ramosus, ramis elongatis, erectis, filiformibus, microphyllinis instructus; folia sicca et humida arcte imbricata, ovato-lanceolata, ca. 1,5 mm longa et ca. 0,55 mm lata, elimbata, marginibus ultra medium angustissime revolutis, integris, nervo crassiusculo, superne tenuiore, breviter excedente, cellulis elongate rhomboideis, basilaribus laxioribus rectangularibus, rubris. Caetera ignota.

Oberes Chocayatal, alt. 4200 m, No. 3582; oberes Llavetal gegen Tunari, alt. 4400 m, No. 4943.

Species *Br. Schleicheri* Schwaegr. affinis, sed statura graciliore, foliis arcte imbricatis, ovato-lanceolatis, cellulis elongate rhomboideis dignoscenda.

353. **Bryum** (Argyrobryum) **challaense** Broth. n. sp.

Dioicum; robustiusculum, caespitosum, caespitibus densis, sordide viridibus, opacis; caulis erectus, usque ad 1 cm vel paulum ultra longus, parce radiculosus, dense clavato-foliosus, simplex; folia sicca et humida arcte imbricata, concaviuscula, infima minuta, dein sensim accrescentia, superiora late ovata, obtusiuscula, ca. 0,95 mm longa et ca. 0,57 mm lata, marginibus erectis, integerrimis, nervo crassiusculo, lutescente, continuo vel subcontinuo, cellulis rhomboideis vel hexagono-rhomboideis, parce chlorophyllosis, inferioribus ad marginem in seriebus plurimis quadratis. Caetera ignota.

Challa, alt. 3800 m, No. 2574.

Species cum *Br. argenteo* L. comparanda, sed foliorum forma et structura dignoscenda.

354. **Bryum argenteum** L.

B. capillipes C. M.

Auf bloßer Erde an der Waldgrenze über Tablas, ca. 3400 m, No. 2946; auf Erde zwischen Felsen am Cerro Chancapiña, ca. 4900 m, No. 3303, etc., häufig.

355. **Bryum** (Argyrobryum) **albidum** Broth. n. sp.

Dioicum; gracilescens, caespitosum, caespitibus laxiusculis, sericeo-albidis; caulis erectus, cum innovationibus vix ultra 5 mm longus, basi radiculosus, dense foliosus, innovationibus 3—4, brevibus, erectis; folia imbricata, concava, ovato-oblonga, acuta, marginibus erectis, integerrimis, nervo tenui, ad medium folii evanido, cellulis lineari-rhomboideis, superioribus angustissimis, hyalinis, basilaribus laxis, parenchymaticis, parce chlorophyllosis; seta ca. 2 cm alta, tenuissima, flexuosula, rubra; theca subhorizontalis, minuta, e collo brevi, ruguloso ovalis, deoperculata macrostoma, fuscidula. Caetera ignota.

Inacorral, alt. 2200 m, No. 4990.

Species habitu *Br. argenteo* var. *lanato* (Palis.) admodum similis, sed foliorum forma raptim dignoscenda.

356. **Bryum** (Argyrobryum) **subsericeum** Broth. n. sp. (Tafel VI, Fig. 5a und b).

Dioicum; tenellum, caespitosum, caespitibus laxis, pallide viridibus, subopacis; caulis erectus, cum innovationibus vix ultra 5 mm longus, basi fusco-radiculosus, dense foliosus, innovationibus 2—3, brevibus, erectis; folia imbricata, concava, ovalia vel obovata, breviter acuminata, aristata, marginibus erectis, integerrimis, nervo lutescente, in aristam strictam, integram excedente, cellulis teneris, elongate rhomboideis, inanibus, basilaribus laxis, quadratis, parce chlorophyllosis; seta ca. 1,5 cm alta, tenuis, flexuosula, rubra; theca horizontalis vel nutans, cum collo sporangio aequilongo clavata,

ca. 5 mm longa et ca. 1 mm crassa, pachydermis, atropurpurea; annulus latus, revolubilis; exostomii dentes ca. 0,42 mm alti et ca. 0,065 mm lati, anguste limbati, aurantiaci, minute papilloso, dense lamellati; endostomium sordide luteum, minute papillosum; processus lanceolato-subulati, anguste perforati; cilia bene evoluta, appendiculata; spori 0,015—0,017 mm, olivacei, laeves; operculum alte conicum, acutum.

Llavetal, alt. 3700 m, No. 4852; Hochland von Totorá, alt. 2800 m, No. 5116.

Species *Br. sericeo* Mitt. affinis, sed foliorum forma et reticulatione dignoscenda.

357. **Bryum sericeum** Mitt.

An sonnigen Erdhängen bei Incacorrá, ca. 2300 m, No. 5008; an Mauern in Pocona, ca. 2600 m, No. 5109.

358. **Bryum apophysatum** C. M.

An feuchten Felsen beim Huaillattanisee, ca. 4900 m, No. 2964, f. robusta; an feuchten Felsen im Hochtal von Viloco, ca. 4500 m, f. robusta; an nassen Felsen im Schneetälchen des Cerro Tunari, ca. 5000—5100 m, f. robusta.

359. **Bryum** (Doliolidium) **subnanophyllum** Herzog nov. spec.

Dioicum; gregarium, humillimum, opacum, e viridi purpurascens, caule brevissimo vix 8 mm excedente cuspidato diviso basi tomentoso. Folia sat dense imbricata, stricte erecta, 1,2—1,5 mm longa, carinato-concava, e basi haud decurrente lanceolata, acuta, breviter cuspidata, marginibus erectis vel angustissime reflexis, subintegerrima vel apice indistincte denticulata, elimbata, nervo validiusculo fusco cuspidiformi-excurrente, cellulis sat densis hexagonis chlorophyllosis, basi quadratis rubellis. Seta ad 22 mm longa, flexuoso-erecta, rubra; theca horizontalis vel pendula, 2,5 mm longa, e collo brevi valde plicato breviter piriformis macrostoma, pallide fusca, operculo majusculo cupulato-conico mamillato rubro nitido; peristomii externi dentibus basi confluentibus fundo aurantiaco perforato, interni membrana alta processibus basilateralibus dentes externos vix aequantibus fenestratis, ciliis interpositis 3 parum brevioribus appendiculatis.

Auf Erde an Felsen der Waldgrenze zwischen San Mateo und Sunchal, ca. 3000 m, No. 4430.

Nach der Beschreibung mit *B. nanophyllum* C. M. zunächst verwandt, aber durch kräftige Rippe und dichte Blattzellen verschieden. Es kommen zwergige Exemplare mit nur 1 cm langer Seta und sehr kleiner, aber normal ausgebildeter Kapsel vor.

360. **Bryum** (Erythrocarpa) **rupicola** Broth. n. sp.

Dioicum; tenellum, caespitosum, caespitibus densis, viridibus, nitidis; caulis erectus, cum innovationibus ca. 1,5 cm longus, fusco-radiculosus, dense foliosus, innovationibus pluribus, erectis, gracillimis, ca. 6 mm longis, dense et aequaliter foliosis; folia caulina erecto-patentia, carinato-concava, longe decurrentia, anguste ovato-lanceolata, nervo excedente aristata, marginibus ubique revolutis, integris vel apice minutissime serrulatis, haud limbata, nervo viridi, sat tenui, in aristam brevem vel longiorem, integram excedente, cellulis elongate hexagonis, chlorophyllosis, basilaribus breviter rectangularibus; bracteae perichaetii multo minores; seta ca. 1,5 cm vel paulum ultra alta, tenuissima, rubra, apice lutescens, nitidiuscula; theca horizontalis, pyriformis, cum collo ca. 2 mm longa et ca. 0,5 mm crassa, fusco-rubra, collo crassiusculo theca brevior, sicca deoperculata sub ore haud constricta; peristomium destructum.

Auf Felsblöcken im Chocayatale, alt. 3300 m, No. 2593, No. 3460 sterile.

Species teneritate foliisque longe decurrentibus notabilis.

361. **Bryum** (Trichophora) **longedecurrens** Broth. n. sp. (Tafel VI, Fig. 3).

Dioicum; gracile, caespitosum, caespitibus densis, fusciscentibus, opacis; caulis erectus, cum innovationibus ca. 1,5 cm longus, basi fusco-radiculosus, laxe foliosus, innovationibus ternis, erectis, ca. 5 mm longis, laxe foliosis; folia sicca contracta, humida patula, carinato-concava, longe decurrentia, elongate oblongo-lanceolata, breviter acuminata, piliformiter cuspidata, ca. 2,5 mm longa et ca. 0,7 mm lata,

limbata, marginibus inferne anguste revolutis, integris, nervo rubescente, superne tenuiore, in cuspidem vel infra cuspidem evanido, cellulis laxis, teneris, oblongo-hexagonis, basilaribus firmioribus, rectangularibus, infimis rubris, marginalibus angustis, limbum pauciseriatum lutescentem efformantibus; seta ca. 2,5 cm alta, tenuis, fuscescenti-rubra, nitidiuscula; theca subnutans, e collo sporangio subaequante oblonga, fusca; exostomii dentes lanceolato-subulati, ca. 0,5 mm longi et ca. 0,075 mm lati, lutei, minutissime papilloso, dense lamellati; endostomium sordide luteum, papillosum; processus lanceolati, late perforati; cilia bene evoluta, longe appendiculata; spori 0,015 mm, laeves; operculum conicum, apiculatum.

Rio Tocorani, an faulem Holz, No. 4077.

Species ob folia longe decurrentia notabilis.

362. **Bryum** (Trichophora) **Stephanii** Herzog nov. spec. (Tafel VI, Fig. 4a—c).

Dioicum; humillimum, gregarium vel laxe caespitosum, opacum, rubellum, caule brevi vix 5 mm longo basi tomentoso remote, superne comose foliato, sub flore ♀ innovationes plures basi nudiusculos tomentosos globuloso-comosos emittente. Folia laxe accumbentia, sicca parum incurva vel torta, humida concaviuscula, 2 mm longa, e basi angustiore late obovata, breviter acuminata, margine ultra medium reflexa, lamina superne convexa linea mediana canaliculata, seriebus 2—3 cellularum angustarum fuscescentium anguste limbata, superne parce denticulata vel subintegerrima, nervo basi robusto rubro-fusco mox attenuato sub apice vel in apice ipso dissoluto, cellulis laxis hexagonis. Seta ad 2 cm longa, erecta, rubella; theca horizontalis vel inclinata, e collo breviuseculo breviter clavato-cylindrica, 3,5 mm longa, operculo conico apiculato nitido; peristomii externi dentibus anguste subulatis, latiuscule hyalino-marginatis crenatis papilloso, strato dorsali tenuissime punctulato, fundo perforato aurantiaco, interni membrana alta papillosa, processibus basi latis cuspidatis carinatis late fenestratis, ciliis 2 aequilongis filiformibus appendiculatis.

An Erdhängen bei Incacorral, ca. 2200 m, No. 5037.

363. **Bryum laevigatum** (Hook. f. et Wils.).

An Quellbächen auf Moorboden bei der Saittulaguna, ca. 4300 m, No. 2650; auf Moorboden der Cerros de Malaga, ca. 4000 m, No. 4412.

364. **Bryum linearifolium** C. M.

An feuchten, quelligen Stellen der Bergwälder häufig, seltener fruchtend.

Bei Florida de San Mateo, ca. 1600 m, No. 3639; Wegrand bei San Miguelito, ca. 1500 m, No. 2763; im Bergwald des Meson bei Samaipata, ca. 2000 m, No. 4126; im unteren Coranital c. fr. ca. 1800 m, No. 4713; im Paraetital zwischen Paraeti und Locotal c. fr., 1900—2000 m, No. 5007.

365. **Bryum microcomosum** C. M.

Unter Gebüsch bei Incacorral, ca. 2200 m, No. 5036.

366. **Bryum genucaule** C. M.

Zwischen Felsblöcken beim Tunarisee, ca. 4400 m, No. 4908; bei Florida de San Mateo, ca. 1600 m, No. 3709; im unteren Chocayatal an Baumwurzeln, ca. 3300—3400 m, No. 3612.

367. **Bryum** (Rosulata) **subgenucaule** Broth. n. sp.

Dioicum; robustum, caespitosum, caespitibus densis, fusco-tomentosis, fuscidulis, apice pallide viridibus, opacis; caulis erectus, cum innovationibus usque ad 5 cm longus, foliis pro maxima parte destructis, comoso-foliosus, innovationibus ca. 1 cm longis, erectis, comoso-foliosis; folia comalia sicca adpressa, saepe spiraliter contortula, humida erecto-patentia, carinato-concava, e basi breviter spathulata ovalia, late acuta vel obtusa, breviter aristata, usque ad 5 mm longa et usque ad 2 mm lata, limbata, marginibus fere ad apicem revolutis, summo apice minutissime serrulatis, nervo rufescente, superne tenuiore, in aristam brevem, subintegram excedente, cellulis ovali-hexagonis, basilaribus breviter rectangularibus, marginalibus angustissimis, limbum lutescentem, pluriseriatum efformantibus. Caetera ignota.

Buschfilz an der Waldgrenze des Rio Saujana (Quimzacruz), alt. 3400 m, No. 3230, typus; auf Sumpfboden im Hochtal Viloco, Quimzacruz, alt. 4500 m, No. 3140, 3304.

Species *Br. genucauli* C. Müll. affinis, sed statura multo robustiore foliisque late limbatis dignoscenda.

368. **Bryum** (Rosulata) **spininervium** Broth. n. sp.

Dioicum; robustiusculum, caespitosum, caespitibus densiusculis, rigidis, laete viridibus, inferne fuscescentibus, opacis; **caulis** erectus, cum innovationibus usque ad 4 cm longus; inferne dense fusco-radiculosus, dense foliosus, innovationibus binis, usque ad 1,5 cm longis, erectis, dense foliosis; **folia** sicca adpressa, humida erecto-patentia, carinato-concava, e basi breviter spathulata oblonga, late acuminata, longe aristata, usque ad 4 mm vel paulum ultra longa et ca. 1,3 mm lata, marginibus fere ad apicem revolutis, summo apice serrulatis, haud limbata, nervo viridi, superne tenuiore, in aristam elongatam, argute serratam excedente, cellulis ovali-hexagonis, chlorophyllosis, basilaribus breviter rectangularibus. Caetera ignota.

Florida de San Mateo, alt. 2000 m, No. 3686, typus; Comarapa, alt. 1900 m, No. 4337, f. minor.

Species cum *Br. genucauli* C. Müll. comparanda, sed rigiditate, foliis haud contortis, elimbatis nervo in aristam longam excedente faciliter dignoscenda.

369. **Bryum** (Rosulata) **perserratum** Broth. n. sp. (Tafel VI, Fig. 2a, b, d).

Dioicum; gracilescens, caespitosum, caespitibus laxiusculis, saturate viridibus, opacis; **caulis** erectus, cum innovationibus usque ad 3 cm longus, fusco-tomentosus, comoso-foliosus, innovationibus binis, brevibus, erectis, comoso-foliosis; **folia** sicca contracta, erecto-patentia, humida patula, carinato-concava, e basi breviter spathulata oblonga, late acuta, breviter aristata, usque ad 5 mm vel paulum ultra longa et usque ad 1,5 mm lata, limbata, marginibus fere ad apicem revolutis, apice argute serratis, nervo rufescente, superne tenuiore, in aristam brevem, serrulatam excedente, cellulis ovali-hexagonis, chlorophyllosis, basilaribus rectangularibus, marginalibus angustissimis, limbum lutescentem, pluri-seriatum efformantibus; **seta** usque ad 3,5 cm alta, flexuosula, rubra, nitidiuscula; **theca** horizontalis vel nutans, e collo breviusculo cylindracea, cum collo usque ad 4 mm longa, pachydermis, fusca; **operculum** conicum, acutum.

Incacorral, alt. 2200 m, No. 4970; im Nebelwald der Laguna Verde über Comarapa, alt. 2600 m, No. 4324.

Species *Br. genucauli* C. Müll. affinis, sed foliis late limbatis, apice argute serratis faciliter dignoscenda.

Rhodobryum (Schimp.) Hpe. in Linnaea XXXII.

370. **Rhodobryum caulifolium** C. M.

An feuchten Stellen im obersten Wald- und Gesträuchgürtel häufig; ausgedehnte, üppige Rasen bildend, oft reich fruchtend.

Z. B. zwischen Tocarani und Lagunillas, ca. 3200 m, No. 3843; im Nebelwald über Comarapa, ca. 2600 m, No. 3815; im Buschfilz an der Waldgrenze des Rio Saujana, ca. 3400 m, No. 3231.

371. **Rhodobryum Beyrichianum** (Hornsch.) .

Auf Waldboden, besonders der unteren Bergregion.

Am Wegrand bei San Miguelito, ca. 1500 m, No. 2764; im Bergwald von Florida de San Mateo, ca. 1600—1800 m, No. 3642; um Tres Cruces in der Cordillere von Sta. Cruz, ca. 1400 m, No. 3504; in der Talschlucht von Tablas, ca. 1800 m, No. 4655.

372. **Rhodobryum roseum** (Weis).

Im Gebüsch am Cerro Pampalarga bei Vallegrande, ca. 2300 m, No. 4137.

373. **Rhodobryum verticillatum** Broth. n. sp. (Tafel VI, Fig. 2e).

Dioicum; robustiusculum, caespitosum, caespitibus laxiusculis, rigidis, viridibus, aetate fuscescentibus, opacis; **caulis** erectus, ca. 4 cm longus, fusco-tomentosus, verticillatim foliosus.

innovando-ramosus vel simplex; folia sicca contractula, humida patula, e basi spathulata obovata, obtusa, aristatula, usque ad 7 mm longa et 4 mm lata, limbata, marginibus inferne revolutis, superne minute serratis, nervo basi crasso, superne multo tenuiore, in aristam brevem, integram excedente, cellulis ovali- vel oblongo-hexagonis, basilaribus rectangularibus, marginalibus elongatis, incrassatis, limbum pluriseriatum, lutescentem efformantibus; seta ca. 2 cm alta, tenuis, flexuosula, rubra; theca horizontalis, paulum asymmetrica, e collo sporangio brevior cylindracea, ca. 5 mm longa, pallida, deoperculata fusca; operculum conicum, apiculatum.

Im Nebelwald der Laguna Verde über Comarapa an Felsen, alt. 2600 m, No. 4190.

Species *Rh. verticillato* (Hamp.) et *Rh. grandifolio* (Tayl.) affinis, sed seta brevi et theca minore oculo nudo jam dignoscenda.

Mniaceae.

Mnium (Dill. ex. p.) L. emend.; Schimp. in Br. eur.

374. **Mnium rostratum** Schrad. var. **ligulatum** (C. M.) Herzog.

M. ligulatum C. M. in Prodr. Bryol. Bol.

In tiefschattigen Bergwäldern an feuchten Stellen, Steinen und Holz, häufig, meist reichlich fruchtend.

Bei Tres Cruces in der Cordillere von Sta. Cruz, ca. 1400 m, No. 3544; am Meson bei Samaipata, ca. 2000 m, No. 4121; im oberen Tocarantal, ca. 2200 m, No. 4087; im Nebelwald über Comarapa, ca. 2600 m, No. 4296; bei Incacorral, ca. 2200 m, No. 5022.

Die Merkmale, durch welche C. Müller seine Art von *M. rostratum* unterscheidet, sind belanglos, da sie wechseln und auch bei europäischem *M. rostratum* vorkommen. R. S. Williams, der *M. ligulatum*

anerkennt, erwähnt die großen Hyalinzellen, welche die Blatt-rippe beiderseits ein gutes Stück begleiten, als Unterschied gegen *M. rostratum*, doch finde ich dieselben, wenn auch schwächer entwickelt, gleichfalls bei europäischem *M. rostratum*. Ein wirklicher Unterschied, der zwar nicht zur spezifischen Abtrennung, wohl aber zur Unterscheidung einer Varietät berechtigt, liegt im Zellnetz, das einmal bei den zahlreichen Proben, die ich verglichen habe, aus kleineren Zellelementen als beim typischen *M. rostratum* besteht und dann auch stets die für *M. rostratum* so charakteristischen collenchymatischen Verdickungen vermissen läßt. Bei der andinen Varietät sind die Zellwände gleichmäßig schwach verdickt und meist etwas verbogen. Auffallend ist ferner bei den bolivianischen Proben die kleinere Kapsel und

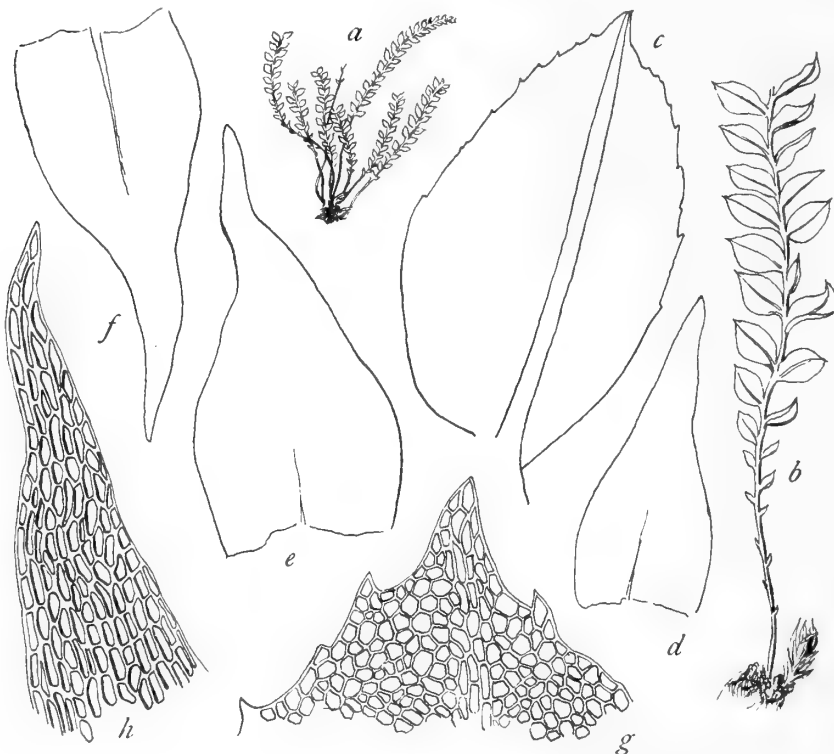


Fig. 32. *Rhizogonium bolivianum* Broth. a Habitus 1:1, b Habitus 5:1, c Blatt eines sterilen Sprosses 31:1, d, e, f Blätter einer ♀ Knospe; g Blattspitze eines sterilen Sprosses 125:1, h Spitze eines Perichaetialblattes 125:1.

die oft sehr große Zahl (6—9) der Sporogone. Nach allem scheint hier eine werdende Art vorzuliegen, die aber noch zu eng mit der Mutterart verbunden ist, um spezifisch abgetrennt werden zu dürfen.

Rhizogoniaceae.

Rhizogonium Brid. Bryol. univ. II.

375. **Rhizogonium bolivianum** Broth. in herb. (Fig. 32).

Auf faulem Holz im feuchten Bergwäldern; von Dr. O. Buchtien 1911 bei Unduavi entdeckt.

Im Nebelwald über Comarapa, ca. 2600 m, No. 3795, 4199; zwischen San Mateo und Sunchal, ca. 2000 m, No. 4464; im Bergwald des Rio Tocorani, ca. 2200 m, No. 4053.

376. **Rhizogonium spiniforme** (L.) Bruch.

Auf faulem Holz in Bergwäldern, ziemlich häufig, z. B. Nebelwald über Comarapa, ca. 2600 m, sine No.

Aulacomniaceae.

Leptotheca Schwgr. Suppl. II.

377. **Leptotheca boliviana** Herzog nov. spec. (Fig. 33).

Sterilis, propagulifera, caespites laxos flavescentes nitidulos efformans. Caulis pentagonus, ascendens, ad 15 mm longus, basi tomento denso minutim papilloso rubiginoso villosus, stoloniferus, sursum parum curvatus, foliis arcte appressis subjulaceus, caudatus, inter folia protonema rhizoideum fuscum iterum ramificatum, ramis propagula clavata articulata (cellulis 8) gerentibus, fovens. Folia erecta, arcte appressa, duriuscula, 1,2—1,5 mm longa, anguste lanceolata, acuminata, margine usque fere ad medium anguste reflexa, supra medium argute serrata, nervo valido sensim attenuato viridi in mucronem longum excurrente dorso semitereti sursum spinoso-serrato, e cellulis ventralibus paucis laminaribus aequalibus ducibusque 2 parum amplioribus substereidibusque dorsalibus paucis extracto, cellulis laminae basalibus breviter rectangularibus sensim in superiores breviter ellipticas summasque aliquantulum irregulares subrhombicas vel hexagonas oblique seriatis transeuntibus, omnibus mediocribus apicalibus 0,020—0,024 mm longis, 0,01 mm latis incrassatis valde chlorophyllous.

An Baumfarnen im Bergwald zwischen S. Mateo und Sunchal, ca. 1800 m, No. 4427.

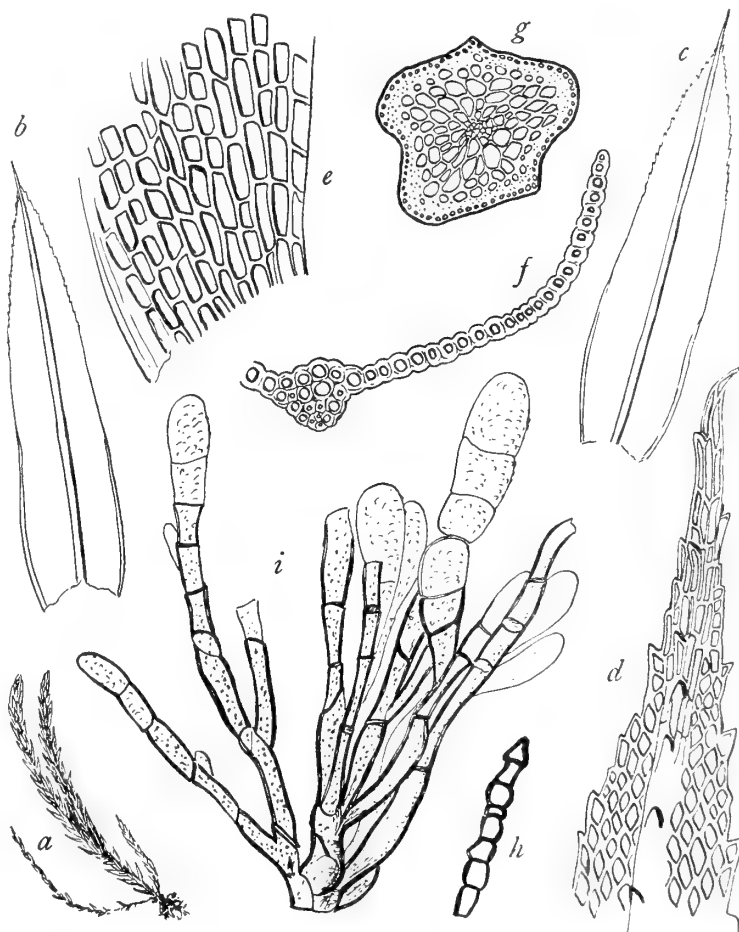


Fig. 33. *Leptotheca boliviana* H. n. sp. *a* Habitus 3 : 1, *b*, *c* Blätter 30 : 1, *d* Blattspitze 125 : 1, *e* Blattbasis 250 : 1, *f* Blattquerschnitt 250 : 1, *g* Stengelquerschnitt 125 : 1, *h* losgelöster Brutkörper 125 : 1, *i* Brutkörpertragender Protonemafäden von der Blattbasis 250 : 1.

Aulacomnium Schwgr. Suppl. III.

378. **Aulacomnium palustre** (L.) Schwgr. var. **marginatum** (Ångstr.) Herzog.

A. marginatum Ångstr. var. *andinum* Herzog.

In hochandinen Quellrieden, auf torfiger Erde, nur steril. Von Buchtien zuerst am Chacaltaya, bei 4800 m gesammelt.

Im Hochtal von Mocoja (Quimzacruz), ca. 4300 m, No. 3251; im Pajonaltal (Quimzacruz) ca. 4000—4200 m, No. 3252; zwischen Distichiapolstern nächst dem Chojñakotagletscher, ca. 4700 m, No. 2976, 2977; im oberen Llavetal, ca. 4200 m, No. 4883.

Nach Vergleichung mit hochalpinen Formen von *A. palustre* kann ich die Ångstroemsche Art nicht mehr anerkennen. Exemplare, die ich auf der Südseite des Kistenpasses (Kt. Graubünden) bei 2400 m gesammelt habe, zeigen bis über die Blattmitte herauf lang gestreckte glatte Randzellen, genau wie bei *A. marginatum* Ångstr. Die Kräuselung der Blattspitze und damit verbundene Verbiegung der Rippe ist eine Eigenschaft, die ich unterdessen auch bei andern hochandinen Moosen, besonders *Breutelien*, kennen lernte, die auf Wachstumshemmungen infolge Erfrierens zurückzuführen sein dürfte, also systematisch nicht verwertbar ist.

Bartramiaceae.

Plagiopus Brid. Bryol. univ. I.

379. **Plagiopus Oederi** (Gunn.) Limpr.

An Felsen der Schlucht von Toncoli, ca. 3600 m, No. 3358. Mit den europäischen ganz übereinstimmende, fruchtende Rasen.

Anacolia Schimp. Syn. 2. ed.

380. **Anacolia setifolia** (Hook.) Jaeg.

An Felsen der Schlucht von Toncoli, ca. 3600 m; No. 3358, steril.

Leiomela (Mitt. musc. austr. amer.) Broth.

381. **Leiomela brachyphylla** (C. M.).

Besonders an Wurzeln und am Grund der Baumstämme in Bergwäldern häufig.

Im Wald beim Sillar, ca. 1800 m, No. 2705; bei Florida de San Mateo, ca. 1800 m, No. 3713, 3714; im oberen Tocoranital, ca. 2200—2600 m, No. 4018, 4108; in der Talschlucht von Tablas, ca. 1800 m, No. 4531; im unteren Coranital, ca. 1800—2000 m, No. 4730.

Das Moos ist dioecisch und zeichnet sich durch haarförmige, gelbliche, sehr lange Perigonialblätter aus. Der C. Müllersche Name scheint mir danach nicht passend gewählt.

382. **Leiomela deciuifolia** Herzog nov. spec.

Dioica; densiuscule caespitosa, nitidula, flavidovirens vel laete viridis, inferne ferrugineo-tomentosa. Caulis erectus, ad 5 cm longus, gracilis, densissime foliatus, foliis erecto-patentibus valde deciduis. Folia e basi breviaequali hyalina nitida haud vaginante sensim in subulam longam angustam dense serrulatam transeuntia, nervo interdum in apice ipso evanido, cellulis basi vix diversis, paucis longioribus subhyalinis; perigonia subtriplo longiora, flavido-setacea, quam in *L. brachyphylla* graciliora.

An faulen Baumstümpfen an der Waldgrenze über Tablas, ca. 3400 m, No. 2800; auf faulem Holz an der Waldgrenze des Rio Saujana, ca. 3400 m, No. 3283; an Baumwurzeln im Bergwald des Rio Tocorani, ca. 2200 m, No. 4011, 4056 u. 4109; im oberen Coranital, ca. 2600 m, No. 5070.

Von *L. brachyphylla* (C. M.) durch schlankeren Wuchs, abfallende Blätter und glänzende Blattbasis unterschieden. Vielleicht eine biologische Form derselben?

Bartramia Hedw. Descr. II.

Sect. *Vaginella* C. M. Syn. I.

383. **Bartramia perpumila** C. M.

In trockenen Hochgebirgslagen, besonders auf schwarzer Erde zwischen Gras.
Auf einem Berggrat über Comarapa, ca. 2600 m, No. 4293; an der Punta de San Miguel, ca. 4800 m?, No. 3441; im obersten Llavetal, ca. 4200—4400 m, No. 4890; auf dem Hochplateau von Vacas, ca. 3600 m, No. 4163.

384. **Bartramia flavicans** Mitt.

Auf schwarzer Erde, besonders in der Nähe der Waldgrenze; im Wuchs sehr veränderlich.
In den Estradillas über Incacorral, ca. 3200 m, No. 3343; am Wegrand bei Incacorral, ca. 2300 m, No. 5106; zwischen San Mateo und Sunchal, ca. 2800 m, No. 4432, ca. 3000 m, No. 4509; hier auch eine *f. humilis* mit schlechter ausgebildetem Peristom und kurzer Seta, No. 4448, und eine *f. major* mit großer Kapsel, No. 4460.

385. **Bartramia Brotheri** Herzog nov. spec. (Fig. 34, a—b).

Dioica; laxe caespitosa, humilis, obscure viridis, caule brevi comoso. Folia sicca humidaque patentia, decidua; inferiora 2,5 mm longa, e basi elongata vaginata superne auriculato-dilatata hyalina nitida refracta, anguste lanceolata, acutissima, canaliculata, margine superne grosse serrata, nervo mediocri breviter excurrente, cellulis basalibus laxis, in parte dilatata abbreviatis laxioribus, laminaribus parvis viridibus alte mamillatis; comalia et perichaetalia 6—7 mm longa, parte vaginali angustiore, lamina duplo vel subtriplo longiore, subloriformia, flexuosa, argutius serrata. Seta breviuscula, 4—5 mm longa, subrecta; theca parum inclinata, asymmetricè subglobose-ovata, arcuata, plicata, microstoma; peristomii externi dentibus 16 brevibus remotis integerrimis obtusis minutissime punctulatis aurantiacis, peristomio interno rudimentario membranoso humili flavido.

Im Hochtal Viloco (Quimzacruz), ca. 4600 m, No. 3195.

386. **Bartramia macropoma** Herzog nov. spec. (Fig. 34 d—f).

Synöica; late caespitosa, flavovirens, caulibus suberectis basi dense fusco-tomentosis 6—10 cm longis parce ramosis aequaliter

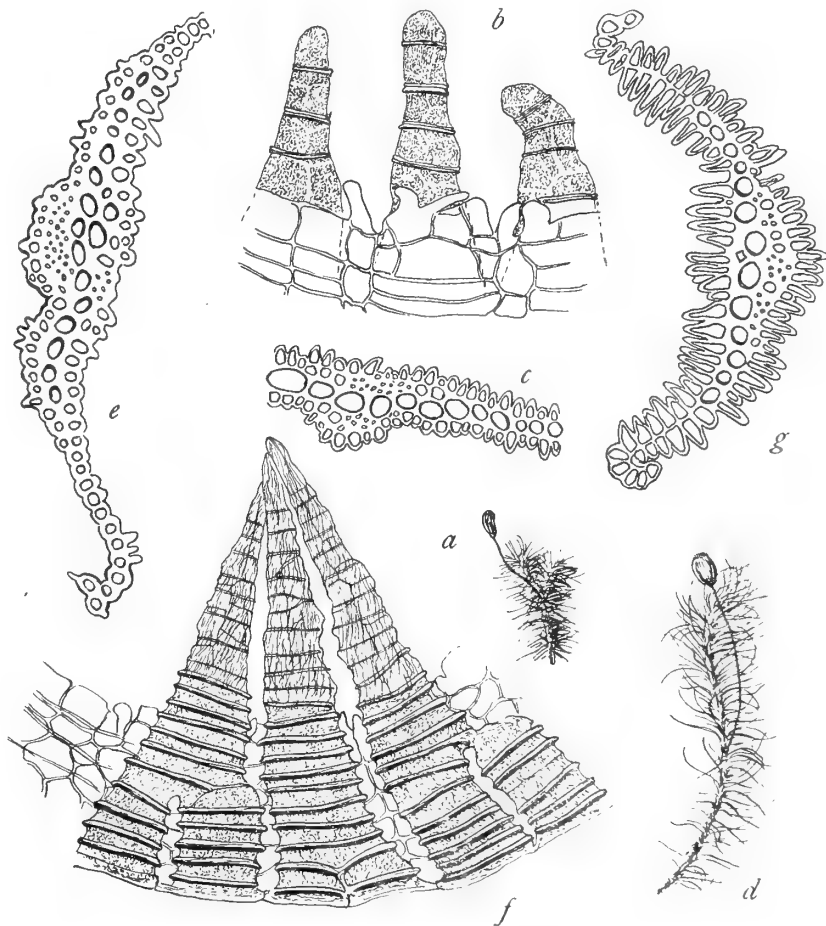


Fig. 34. a—b *Bartramia Brotheri* H. n. sp. a Habitus 1:1, b Peristom 250:1, c *B. mollis* H. n. sp. Blattquerschnitt 250:1; d—f *Bartramia macropoma* H. n. sp. d Habitus 1:1, e Blattquerschnitt 250:1, f Peristom 125:1; g *B. pilicuspis* H. n. sp. Blattquerschnitt 250:1.

foliatis. Folia 10—11 mm longa, haud fragilia, valde patentia, apicibus plerumque arcuatis rarissime secundulis, e basi appressa vaginata sursum auriculato-dilatata in laminam longissimam linearem ubique dense serrulatam contracta, nervo breviter aristiformi excurrente pro folio tenui, cellulis subcostalibus dilatato complanato, stereidium fasciculis duobus ventrali tenero, cellulis basalibus omnibus perangustis elongatis parce chlorophyllosis oleiferis, laminaribus rectangulis pellucidis latere sursum spectante mamilla humili notatis unistratosis vel serie marginali bistratosis; perichaetalia vix diversa. Seta recta, robusta, 20—23 mm longa, caespitem valde superans, rubra; theca parum inclinata, majuscula, subglobosa, diametro 2,5 mm, tenuiter plicata, microstoma; peristomii externi dentibus 16 sat longis anguste lanceolatis basi interdum irregulariter dilatatis, linea mediana fissis inde bipedibus, extus usque ad medium trabeculatis tenerrime punctulatis superne oblique striatis, interni membrana sat alta carinata plicata, plicis fissis, processibus brevissimis cruribus 2 divergentibus vix mediam dentium externorum longitudinem superantibus.

An der Waldgrenze über Tablas, ca. 3400 m, No. 2790.

Durch viele Merkmale ausgezeichnete Art!

387. **Bartramia secunda** Schimp.

Auf faulem Holz dichte Rasen bildend.

An der Waldgrenze über Tablas, ca. 3400 m, No. 2900; an der Waldgrenze des Rio Saujana, ca. 3400 m, No. 3250 m; im Bergwald von Florida de San Mateo, No. 3678.

388. **Bartramia Mathewsii** (Mitt.).

In Felsspalten bei der Saittulaguna, ca. 4300 m, No. 2660.

389. **Bartramia pruinata** Herzog in Beih. Bot. Centr. 1909.

An Felsen über der Waldgrenze; stets durch die hechtbläuliche Bereifung der jungen Sprosse und die langen gelben Borsten der Perigonialblätter ausgezeichnet.

An der Waldgrenze über Tablas, ca. 3400 m, No. 2845; bei der Abra de San Benito, ca. 3900 m, No. 3329; im Hochtal von Viloco (Quimzacruz), ca. 4600 m, No. 3201; an der Waldgrenze des Rio Saujana, ca. 3400 m, No. 3285.

390. **Bartramia Wedellii** Herzog nomen novum.

B. *glauca* Herzog in Beih. Bot. Centralbl. 1909.

B. *Chacaltayae* Herzog in Beih. Bot. Centralbl. 1910.

In Felsspalten des Hochgebirges häufig, aber immer steril; an den kurzen, steif aufrechten Blättern und der bläulichen Bereifung der jungen Sprosse leicht zu erkennen, immer sehr dichte Polster bildend.

In Felsnischen bei der Mine Montebianco (Quimzacruz), ca. 4900 m, No. 2951; im Hochtal von Viloco, ca. 4700 m, No. 3163, 3164, 3115; in einem Schneetälchen des Cerro Tunari, ca. 5000—5100 m, No. 4781.

forma **irrorata** Herzog.

In tiefen, starren, dunkel blaugrünen Rasen in einem kalten Bach des Hochtales von Viloco, ca. 4600 m, No. 3121.

Da es schon eine *B. glauca* Lor. gibt, muß ich die frühere Benennung einziehen und benütze diese Gelegenheit, die schöne Art einem der verdienstvollsten Erforscher der bolivianischen Anden, A. H. Wedell, zu widmen. Nach Untersuchung eines reichen Materials muß ich auch *B. Chacaltayae* mihi in den Formenkreis der *B. Wedellii* einbeziehen.

391. **Bartramia pilicuspis** Herzog nov. spec. (Fig. 34g).

Dioica; dense caespitosa, humilis, *t en e l l a*, caespitibus pruinatis intus flavidis zonatis, caulibus ad 2 cm longis erectis tenuibus mollibus dense foliatis subjulaceis. Folia sicca humidaque appressa, molliuscula, haud fragilia, vix 1,5 mm longa, e basi late vaginata obovata hyalina breviter lanceolata, acuta, in pilum brevissimum laeviusculum hyalinum exeuntia, marginibus superne parum revolutis decoloribus flavidis remote serratis, nervo crasso

dorso applanato, stereidibus cellulis amplioribus intermediis in fasciculos paucos subdivisis, cellulis laminaribus omnibus altissime mamillosis, basalibus laxiusculis hyalinis.

Im oberen Chocayatal, ca. 4000 m, No. 3580.

Unter den Vaginellen durch den äußerst zierlichen Wuchs, das Blatthaar und die Struktur der Rippe ausgezeichnet.

392. **Bartramia fragilifolia** C. M.

B. inflata Herzog in Beih. Bot. Centralbl. 1909.

B. Pflanzii Broth. in Engl. Bot. Jahrb. 1913.

Außerordentlich vielgestaltige Art, die aus dem Waldgürtel bis auf die höchsten Höhen steigt. Stets auf bloßer Erde oder an Felsen.

An Felsen in den Estradillas über Incacorral, ca. 3000—3200 m, No. 3334; in den Bergen der Yanakakabastion, ca. 3800 m, No. 3737; in der Quebrada de Pocona, ca. 2800 m, No. 3467; in der Felsschlucht von Toncoli, ca. 3600 m, No. 3357/a; im oberen Tocoranital, ca. 2800 m, No. 4014; im Hochland von Totorá, ca. 2800 m, No. 5111; beim Tunari-see, ca. 4400 m, No. 4909; an der Punta de San Miguel, über 4500 m, No. 2582; an trockenen Hängen beim Asiento (Aracatal) ca. 4000 m, No. 2991; im Hochtal von Choquecota chico (Quimzacruz), ca. 4500 m, No. 3104; im Hochtal von Viloco (Q.), ca. 4500—4600 m, No. 3125; an der Waldgrenze des Rio Saujana, ca. 3400 m, No. 3238;

forma **latifolia**. In den Yanakakabergen, No. 3761;

forma **compacta**. Im oberen Chocayatal, ca. 4000 m, No. 3621.

Die Art variiert stark im Wuchs, in der Länge und Form der Blätter und der Seta, so daß die Kapseln entweder den Rasen eingesenkt sein können oder sich mehr oder weniger über die Sproßspitzen erheben. Bei dieser großen Veränderlichkeit und der weiten Verbreitung und Anpassungsfähigkeit der Art trage ich keine Bedenken, sowohl *B. inflata* H. als *B. Pflanzii* Broth. bei *B. fragilifolia* C. M. unterzubringen. Vielleicht gehört auch *B. thrausta* C. M., von der ich nicht genügend Material zur Untersuchung besitze, in ihren Formenkreis.

393. **Bartramia potosica** Mont. (Fig. 35, h).

An begrastem Felsen und auf schwarzer Erde der hohen Bergkämme.

Bei der Abra de San Benito, ca. 3900 m, No. 3339; an den Cerros de Malaga, ca. 4000 m, No. 4365.

394. **Bartramia polytrichoides** C. M. (Fig. 35, f—g).

Auf Torfboden im Hochtal von Viloco (Quimzacruz), ca. 4500 m, No. 3197.

Der in Beih. d. Bot. Centrbl. 1909 erwähnte Fundort ist zu streichen und auf *B. potosica* zu übertragen. Charakteristisch für diese Art ist die merkwürdige streitkolbenartige Anschwellung am äußersten Ende der borstigen, abbrechenden Blattspitze.

395. **Bartramia squarrosa** Herzog nov. spec. (Fig. 35, a—e).

Dioica; floribus ♂ capitatis crassis, antheridiis creberrimis ultra 100; robustissima, laxe caespitosa, caulibus ad 15 cm longis erectis rigidis crassiusculis basi fusco-tomentosis, exodermide hyalina laxa. Folia 12 mm longa, rigida, haud fragilia, laxe disposita, e basi 2 mm longa arcte appressa vaginata rectangulari nivea refracta, squarrosa, longe lineari-lanceolata, aristata, margine planiuscula, inferne minutim superne argutius serrata, nervo ipso tenui, stereidium fasciculis ventrali dorsalique pauperis, complanato, sed cellulis subcostalibus valde dilatato inde totam fere laminam explente eamque 3-stratosam sistente, cellulis infimis basalibus aureis, alaribus bistratis, ceteris vaginalibus angustissimis hyalinis — marginalibus tenuissimis exceptis — valde incrassatis porosis; perichaetalia haud diversa. Seta erecta, crassiuscula, ad 12 mm longa, innovationibus multo superata, inde thecis in caespiti-

tibus absconditis; theca valde inclinata, subhorizontalis, majuscula, ad 4 mm longa, 2 mm lata, funarioidea, e basi strumulosa rubra inaequaliter ovalis, arcuata, valde plicata, microstoma; peristomio duplici, externi dentibus longis anguste lanceolatis attenuatis, intus usque ad apices fere late trabeculatis, inferne minutissime punctulatis, apice striatis, interni aequilongi membrana alta, valde

carinato-plicata aurea, processibus in crura duo divergentia cum confinibus cruciantia infra membranae marginem fissis parce appendiculatis, ciliis brevissimis interpositis; sporis obscure fuscis reniformibus pustulatis diametro longiore 0,024 mm.

Im Buschfilz an der Waldgrenze über Tablas, ca. 3400 m, No. 2815; an der Waldgrenze zwischen San Mateo und Sunchal 2900—3000 m, No. 4507.

396. *Bartramia mollis* Herzog nov. spec. (Fig. 34, c).

Dioica; laxe caespitosa, caulibus inter se remotis 8—10 cm longis erectis basi fusco-tomentosis densiuscule foliatis, viridissima. Folia mollia, nec fragilia nec decidua, e basi appressa vaginante nitida superne auriculato-dilatata ibique undulata laxepatula, longe lineari-lanceolata, loriformia, acutissima, 10 mm

Fig. 35. a—e *Bartramia squarrosa* H. n. sp. a Habitus 1:1, b Blattflügel 250:1, c B. querschnitt 250:1, d Stammchenrinde 250:1, e Inneres Peristom 125:1; f—g *Bartr. polytrichoides* C. M., f Blattquerschnitt oben, g B. querschnitt unten 250:1; h *B. potosica* Mont. Blattquerschnitt 250:1.

longa, planissima, margine laminae inferne minutim, superne grossius serrulata, nervo complanato, cellulis subcostalibus valde dilatato, totam fere laminam explente, stereidium fasciculis pauperrimis, cellulis basalibus angustissimis elongatis tenuibus hyalinis, infima basi aureis unistratos, laminaribus parvis haud incrassatis humiliter mamillosis, seriebus 1—2 marginalibus tantum unistratos, ceterum subcostalibus 3-stratos. Sterilis.

Im Nebelwald über Comarapa in lockeren Rasen und einzeln zwischen anderen Moosen den Waldboden bedeckend, ca. 2600 m, No. 4228.

Mit *B. squarrosa* nächst verwandt, aber durch die weichen, nicht sparrigen Blätter und die Textur der Zellen verschieden. Vielleicht nur ihre extreme Schattenform?

397. *Bartramia defolians* Herzog nov. spec.

Dioica; laxe caespitosa, amoene viridis, fuscescens, caulibus ad 3 cm longis tenuibus fragilissimis nigris basi tomentosis, exodermide hyalina, laxe foliatis. Folia 5 mm longa, sicca erecta, laxe accumbentia, humida suberecto-patula, decidua, e basi oblonga concavissima vaginante superne parum dilatata flavido-alba in laminam anguste linearem aristiformem argute serratam contracta, nervo sat lato ubique cellulis subcostalibus dilatato, inde subulam fere totam explente 3-stratosam sistente, stereidium fasciculo appanato suffulto, comitibus praesentibus, cellulis basalibus elongatis laxiusculis, marginalibus angustioribus, laminaribus omnibus elongatis sat incrassatis, seriebus 2—3 marginalibus revolutis exceptis, 3-stratosis, mamillatis; perichaetalia angustiora, 8 mm longa, arista longiore flavida ornata.

An Felsen beim Tunarisee, ca. 4400 m, No. 4946.

Aus der Verwandtschaft von *B. squarrosa* und *B. mollis*.

Sect. *Strictidium* C. Müll. Gen. musc.

398. *Bartramia ambigua* Mont.

Auf bloßer Erde zwischen Gras in höheren Berglagen, ziemlich selten.

Beim Asiento (Aracatal), ca. 3900 m, No. 2990; im Hochtal von Choquecota chico (Quimzacruz), ca. 4500 m, No. 3172; an der Ostseite der Quimzacruz-Cordillere — loco incerto —, No. 3295; beim Tunarisee, ca. 4400 m, No. 4907.

399. *Bartramia rosea* Herzog in Beih. Bot. Centr. 1909.

Auf schwarzer Erde, meist charakteristisch rote Rasen bildend.

In den Estradillas über Incacorrall, ca. 3000 m, No. 3348; im Buschfilz an der Waldgrenze des Rio Saujana, ca. 3400 m, No. 3248; bei der Saittulaguna, ca. 4300 m, No. 2672; zwischen San Mateo und Sunchal, ca. 2800 m, No. 4446; in einer frischen Lichtung bei Incacorrall unter Gebüsch, ca. 2200 m, No. 4962 (forma umbrosa viridis).

Conostomum Sw. in Schrad. N. Journ. f. Bot.

400. *Conostomum aequinoctiale* Schimp.

Häufig auf schwarzer Erde, an exponierten Stellen des Hochgebirges.

Auf dem Plateau von Vacas, ca. 3500 m, No. 3436; im Piñasgebiet, ca. 4500 m, No. 2604; auf dem Paramo von Caluyo, ca. 3800 m, No. 2904, 2879; bei der Saittulaguna, ca. 4300 m, No. 2671; im Hochtal von Choquecota chico (Quimzacruz), ca. 4500 m, No. 3174; im Hochtal von Viloco (Quimzacruz), ca. 4600 m, No. 3157; am Nordabhang des Chancapiña, ca. 4600 m, No. 3306.

forma **breviseta**, differt seta 3 mm longa, theca vix supra caespitem emersa.

Im Hochtal von Viloco, ca. 4600 m, No. 3198/a.

401. *Conostomum macrotheca* Herzog nov. spec. (Fig. 36, a—c).

Autoicum; densissime caespitosum, viride, intus tomento fusco contextum. Caulis erectus, rigidulus, 2—3 cm longus, sub flore ♀ et ♂ ramosus, ramis stricte erectis pentastiche foliatis. Folia 1 mm longa, appressa, anguste ligulata, obtusiuscule acuta, mucronata, canaliculata, marginibus ab apice infra medium anguste revoluta, superne erosa, nervo validissimo basi tertiam folii partem occupante in apice ipso dissoluto dorso valde mamilloso, cellulis ellipticis in apice oblique subradiatim seriatis valde incrassatis sublaevibus vel laevissimis, paucis tantum marginalibus in parte revoluta mamillosis; subperigonia latiora, subovata; perigonia

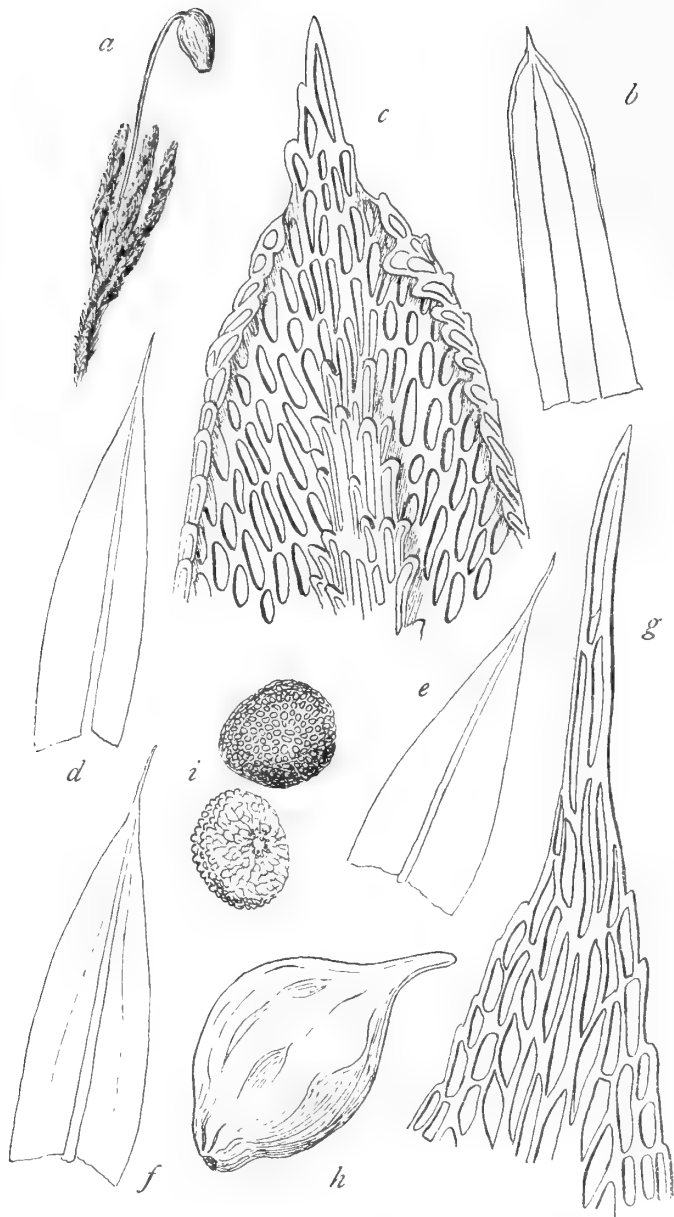


Fig. 36. a—c *Conostomum macrotheca* H. n. sp. a Habitus ca. 2:1
b Blatt 50:1, c Blattspitze 250:1, d—i *Conostomum cleistocarpum*
H. n. sp. d, e, f Blätter 50:1, g Blattspitze 250:1, h Kapsel 22:1,
i Sporen 250:1.

duplo longiora, late obtusa, erosa, subnervia; perichaetia triplo longiora, basi valde plicata, tenuinervia. Seta crassa, suberecta, ultra 1 cm longa; theca horizontalis vel nutans, majuscula, 3 mm longa, e basi umbilicata ovalis, haud plicata, microstoma (vetusta tantum visa).

Auf Torfboden an den Cerros de Malaga, ca. 4000 m, No. 4419 (typus); im Hochtal von Viloco, ca. 4600 m, No. 3111 (Form mit etwas kleinerer Kapsel und breiteren Blättern).

Durch den autoecischen Blütenstand, die große, fast glatte eiförmige Kapsel und die glatten Blattzellen ausgezeichnet.

402. ***Conostomum cleistocarpum*** Herzog nov. spec. (Fig. 36, d—i).

Dioicum; dense humiliter caespitosum, ferrugineum, caulibus vix 1 cm longis tenuibus molliusculis sub flore ramosis caudatis. Folia inferiora minuta, vix 1 mm longa, rubescentia, superiora majora, appressa, pentasticha, seriebus saepius subobsoletis, mollia, complicato-concava, carinata, subovato-lanceolata, sensim angustata, in pilum breve exeuntia, margine erecto haud revoluto, superne obtuse serrata, nervo tenui in apice dissoluto, cellulis omnibus laevibus, elongate ellipticis vel subrhombis; perichaetia duplo vel subtriplo longiora, longe acuminata, apice decoloria, pilifera. Seta subnulla; theca subimmersa vel brevissime exserta, globosa, laeviuscula, oblique obtuse rostrata, clausa, matura decidua; spori maximi, diametro ad 0,052 mm, echidnaeformes, dense grosseque pustulati, olivacei obscuro.

Auf schwarzer Erde im Hochtal von Viloco, ca. 4650 m, No. 3105.

Höchst eigentümliche Art, die sich durch die kleistokarpe Kapsel und die weichen, glatten Blätter weit von allen anderen Arten unterscheidet.

Philonotis Brid. Bryol. univ. II.

Sect. *Philonotula* Bryol. eur.

403. ***Philonotis curvata*** (Hpe.) Jaeg.

Zwischen Tocarani und Lagunillas, ca. 3000 m, No. 3847; an der Waldgrenze über Tablas, ca. 3400 m, No. 2796.

404. **Philonotis Gardneri** (C. M.) Jaeg.

Am Wegrand bei San Miguelito, ca. 1600 m, No. 2760; zwischen Incacorral und Paracti an quelligen Erdblößen, ca. 2100 m, No. 5001; an triefenden Felsen im unteren Coranital, ca. 1600 m, No. 4682.

405. **Philonotis tenella** (C. M.) Besch.

In der Quebrada de Pocona an feuchten Felsen, ca. 2800 m, No. 3471; bei Florida de San Mateo, ca. 2000 m, No. 3714; in den Estradillas über Incacorral, ca. 3000 m, No. 3342; im unteren Coranital an triefenden Felsen, ca. 1600 m, No. 4735.

406. **Philonotis lignicola** Dismier et Herzog nov. spec.

Laxe caespitosa, pallide viridis, opaca, caulibus ad 3 cm longis tenellis flexuosis mollibus irregulariter laxe ramosis, inferne tomento denso laevisimo fusco contextis. Folia remota, laxepatentia, flexuosa, flaccida, tenerrima, mollia, ad 1,5 mm longa, e basi anguste elliptica parum decurrente anguste lanceolata, acutissima, aristata, margine ubique vel superne tantum angustissime revoluta, tenuiter serrulata, nervo tenui viridi breviter excurrente, reticellularum sat laxo pellucido e cellulis elongate rectangulis basi abbreviatis majoribus laxe chlorophyllosis mamillosis exstructo. Seta recta, 1,5 cm longa; theca inclinata, globosa, parva, (diametro 2 mm) plicata, vetusta nigra (peristomium deletum).

Auf faulem Holz im Bergwald von Florida de San Mateo, ca. 2000 m, No. 3637.

Durch die weit abstehenden, weichen Blätter und das sehr lockere Zellnetz ausgezeichnete Art.

Sect. *Catenularia* C. M. in Flora 1885.

407. **Philonotis scabrifolia** (Hook. f. et Wils.).

Ph. pinnulata C. M.

Besonders in Felsspalten, auch unter Rasenüberhängen, über der Waldgrenze.

Unter Felsüberhängen bei der Saittulguna, ca. 4300 m, No. 2678; an Felsen der Yanakakabastion gegen Tablasmonte, ca. 3500 m, No. 3736, große schwammige Polster bildend; unter Rasenwurzeln in den Estradillas über Incacorral, ca. 3400 m, No. 3324 (f. pinnulata); im Hochtal von Viloco, ca. 4600 m, No. 3198.

Die C. Müllersche *Ph. pinnulata* ist nur eine extreme Schattenform der *Ph. scabrifolia* mit lockergestellten, zarten Fiederästchen.

Sect. *Euphilonotis* Limpr. Laubm. II.

408. **Philonotis pellucidiretis** (C. M.) Par.

Am Straßenrand zwischen Cuchicancha und Sacaba in einem Wassergraben, ca. 3700 m, No. 4154; im oberen Llavetal auf einer Sumpfwiese, ca. 4200 m, No. 4837.

409. **Philonotis fontanella** (Hpe.) Jaeg.

Auf nassen Steinen am Rand eines Bächleins an der Waldgrenze über Tablas, ca. 3400 m, No. 2789, 2891.

Breutelia Schimp. Coroll.

Sect. *Anacoliopsis* (C. Müll. Gen. musc.).

410. **Breutelia anacolioides** Herzog nov. spec.

Dioica; planta ♂ haud observata; caespitosa, caespitibus inferne tomento rubiginoso densissimo contextis. Caulis erectus, strictus, 3—4 cm longus, subsimplex vel divisus, sub flore ♀ terminali ramis numerosis per brevibus strictissimis quasi in gemmam congestis innovans, dense foliosus. Folia 2,5—3 mm longa, basi 0,8 mm lata, sicca strictissima, setosa, arcte appressa, surculum subteretem sistencia, apicibus hic illic subsecundis, humefacta vix mutantia, e basi ovata concava leviter striolato-plicata sensim lanceolato-sub-

ulata, marginibus ultra medium anguste revolutis sursum serrulatis, nervo valido aureo in subulam excurrente, cellulis ad basin laxioribus rectangulis, marginalibus vix diversis paucis brevioribus immo subquadratis, superioribus elongatis angustis angulo superiore papilla longa notatis; perichaetalia vix diversa. Seta 8 mm longa, erecta, crassiuscula, rubra; theca erecta, symmetrica, subgloboso-ovoidea, pachyderma, vernicoso-nitidula, profunde denseque plicata, microstoma, collo subnullo, peristomiata; cetera haud observata.

In den Estradillas über Incaorral an Felsen, ca. 3200 m, No. 3311.

Der *B. breviseta* (Schimp.) sehr nahe stehend. Originale nicht gesehen!

Sect. *Polyptychium* (C. Müll. in Linnaea 38).

411. *Breutelia Gertrudis* Herzog nov. spec. (Fig. 37, c).

Dioica; sat dense caespitosa, amoene virens, vix nitidula, caulibus 4 cm longis basi tomentosis iterum ramosis, ramis subparallelibus apice curvatis dense foliatis. Folia secunda, 5 mm longa, ultra 1 mm lata, e basi laxe accumbente concolore late obtrapezoidea sensim longe lineari-lanceolata, acutissima, longitudinaliter pluriplicata, plicis supra basin vesiculari-inflatis conico-prominentibus, margine inferne paulum reflexo, superne serrulata, nervo tenui, cellulis basalibus medianis angustissimis parce mamillosis, marginalibus pluribus seriebus breviter laxequere rectangulis, superioribus omnibus anguste breviter rectangulis mamillosis pellucidis. Sterilis.

An Felsen des Cerro Tunari, ca. 4600 m, No. 4826.

Hat von den *Polyptychien* die breitesten Blätter.

412. *Breutelia undulata* Herzog nov. spec. (Fig. 37, a—b).

Dioica; densissime caespitosa, aureonitens, caulibus suberectis flexilibus 4 cm longis ramosis, ramis aequilongis apicibus secundulis densissime alopecuroideo-foliatis dense tomentosis. Folia appressa, suberecta, apicibus undulatis crispulis patulis, e basi brevissima late obtrapezoidea lanceolata, acuminata, 3 mm longa, longitudinaliter profunde plicata, margine basi tantum anguste reflexiuscula, ceterum plana, superne serrulata, nervo tenui viridi breviter excurrente, cellulis basalibus medianis angustissimis, marginalibus seriebus circiter octo laxis subquadratis, superioribus elongate rectangulis vix incrassatis parce mamillosis pellucidis. Sterilis.

In einem Quellried bei der Saittulaguna, ca. 4300 m, No. 2668.

Unter den *Polyptychien* durch die sehr kurze, undeutlich abgesetzte Blattbasis, die nicht kegelförmig vorgewölbten, verhältnismäßig schwachen Falten und die zahlreichen quadratischen Randzellen ausgezeichnet. Die Wellung der Blattspitzen tritt bei den hochalpinen Formen anderer *Breutelien* auch auf, nirgends aber so stark und regelmäßig wie bei vorliegender Art.

413. *Breutelia Lorentzii* (C. M.) Par.

Br. crispula Herzog in Beih. Bot. Centralblatt 1909.

In Quellrieden der Hochregion.

An der Waldgrenze über Tablas, ca. 3400 m, No. 2861, 2865; im Hochtal von Viloco, ca. 4500 m, No. 3142.

Sect. *Acoleos* (C. Müll. in Linnaea 38).

414. *Breutelia inclinata* (Hpe. et Lor.) Jaeg.

An feuchten, sandigen Stellen im unteren Coranital, ca. 1800 m, No. 4691; in der Talschlucht von Tablas, ca. 1800 m, No. 4524; zwischen San Mateo und Sunchal, ca. 2800 m, No. 4508.

415. *Breutelia Hasskarliana* (Hpe.) Jaeg.

An der Waldgrenze über Tablas, ca. 3400 m, No. 2870.

416. *Breutelia subdisticha* (Hpe.) Jaeg.

Im unteren Coranital, ca. 1800 m, No. 4742.

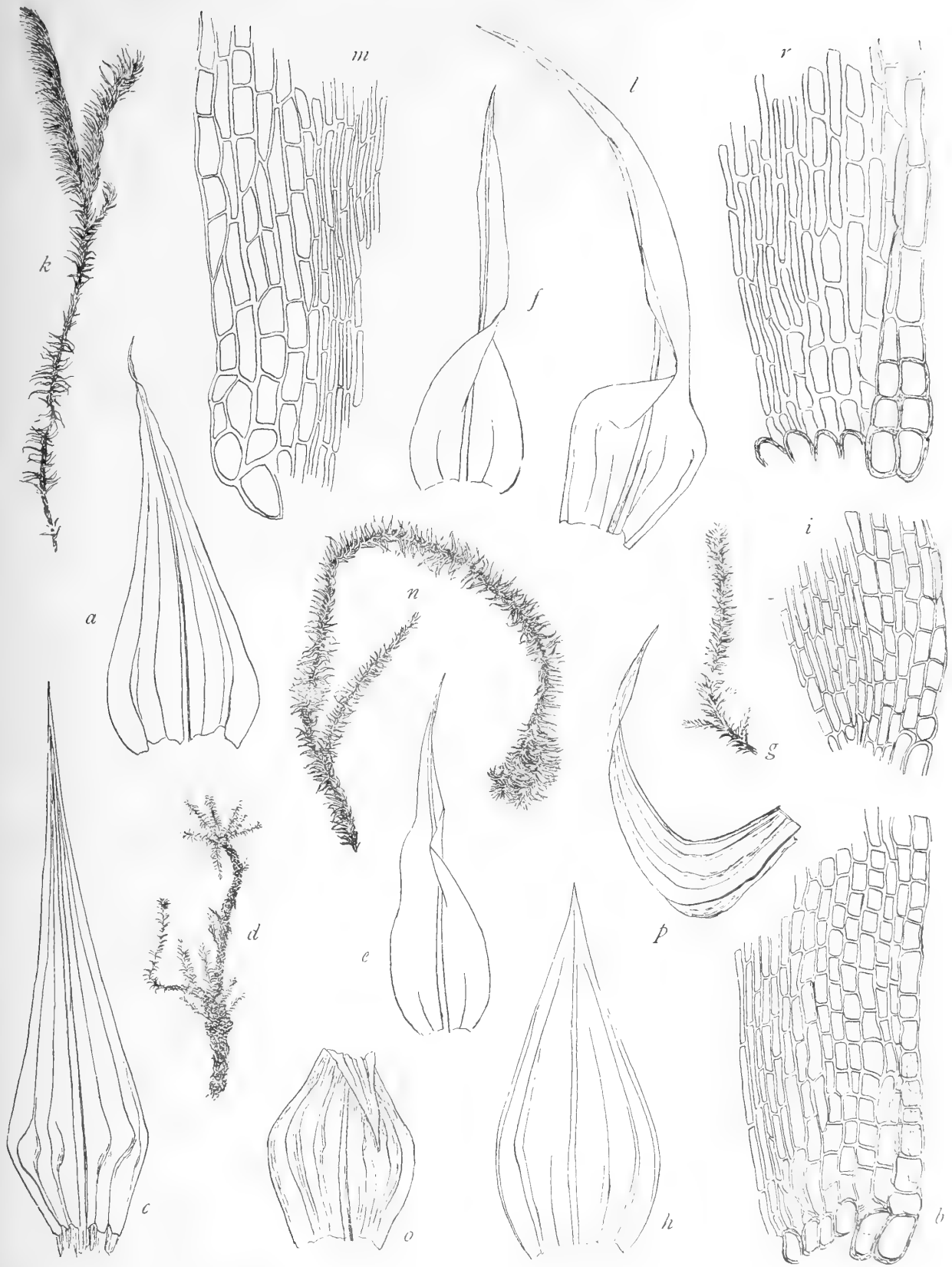


Fig. 37. ¹ a—b *Breutelia undulata* H. n. sp., a Blatt 20:1, b B.flügel 250:1; c *B. Gertrudis* H. n. sp., Blatt 20:1; d—f *B. minuta* H. n. sp., d Habitus 1:1, e, f Blätter 35:1; g—i *B. brevifolia* H. n. sp., g Habitus 1:1, h Blatt 20:1, i B.flügel 250:1; k—m *B. boliviensis* H. n. sp. k Habitus 1:1, l Blatt 20:1, m Blattflügel 250:1; n—r *B. straminea* H. n. sp., n Habitus 1:1, o, p Blätter 20:1, r Blattflügel 250:1.

Stimmt mit den Originalen aus Brasilien sehr gut überein, doch ist bei der Sterilität beider Proben nichts Sicheres über ihren Artwert zu sagen.

417. **Breutelia secundifolia** (C. M.) Par.

In einem Waldsumpf des oberen Coranital, ca. 2600—2800 m, No. 3383; in der Talschlucht bei Tablas, ca. 1800 m, No. 4625/a; an der Abra de San Mateo, ca. 2800 m, No. 3723.

418. **Breutelia brevifolia** Herzog nov. spec. (Fig. 37, g—i).

Dioica; habitu Eubreuteliae cujusdam, densiuscule caespitosa, e viridi straminea, nitidula, caulibus suberectis ad 4 cm longis pauciramosis, ramis subaequilongis parce tomentosus. Folia densa, divaricato-patula vel subsquarrosa, apicibus saepius recurvulis, 3 mm longa, late ovato-lanceolata, brevissime acuminata, partim fragilia, profunde plicata, plicis externis usque ad apicem pertinentibus, internis ad medium obsolete, margine ambo latere ultra medium revoluta, superne minutim serrulata, nervo tenui breviter excurrente, cellulis omnibus chlorophyllis, basalibus medianis anguste rectangulis tenuibus, marginalibus paucis seriebus breviter laxius rectangulis, superioribus anguste rectangulis tenuibus mamillosis pellucidis. Sterilis.

An der Waldgrenze über Tablas, ca. 3400 m, No. 2933.

Unter den *Acoleos*-Arten durch die dicht gedrängten sehr breiten und kurzen Blätter auffallend.

419. **Breutelia minuta** Herzog nov. spec. (Fig. 37, d—f).

Dioica; caespitibus laxis flavescenti-viridibus nitidulis, caulibus longis vagis decumbentibus apice ascendentibus pauciramosis tomento fusco dense obtectis, sub flore verticillatim ramosis, ramis brevibus tenuibus apice curvulis saepius caudatis. Folia minuta, 2 mm longa, squarrosopatula immo recurva, e basi perfecte ovata breviter lineari-lanceolata, acutissima, supra basin complicata, ad basin breviter plicata, margine ambo latere usque fere ad medium anguste revoluta, superne angustissime reflexa serrulata, nervo tenui viridi breviter excurrente, cellulis basalibus angustis modice incrassatis, marginalibus haud diversis, alaribus perpaucis quadratis luteis, superioribus anguste rectangulis modice incrassatis. Sterilis.

An den Cerros de Malaga, auf torfigem Boden, ca. 4000 m, No. 4397.

Unter den *Acoleos*-Arten mit kurzen Falten durch die Kleinheit der Blätter und das Fehlen differenzierter Randzellen ausgezeichnet.

420. **Breutelia integrifolia** (Tayl.) Jaeg.

In Quellrieden und an Bachrändern der höchsten Berggebiete häufig, aber immer steril. Dichte, goldbräunlich glänzende Polsterrasen bildend.

Bei der Saittulaguna, ca. 4300 m, No. 2646; in der Hochregion von Altamachi, ca. 4000 m, No. 3862; im oberen Llavetal, ca. 4200 m, No. 4786, 4945; am Bach bei der Mine Viloco (Quimzacruz), ca. 4350 m, No. 3216.

421. **Breutelia mniocarpa** (Schimp.) Par.

Am Bachrand im oberen Tocoranital, ca. 2600 m, No. 4009, 4013.

Ich halte *Br. mniocarpa* für die Schattenform der *B. integrifolia*; da ich jedoch keine fertilen Exemplare der letzteren gesehen habe, möchte ich nicht definitiv entscheiden. Meine Exemplare stimmen mit solchen im C. Müllerschen Herbar gut überein.

Sect. *Eubreutelia* Broth.

422. **Breutelia bryocarpa** Herzog in Beih. Bot. Centralbl. 1909.

In den Estradillas über Incacorral, 2800—3300 m, No. 3310; an der Waldgrenze des Rio Saujana, ca. 3400 m, No. 3290; in der Talschlucht bei Tablas, ca. 1800 m, No. 4625.

423. **Breutelia tomentosa** (Sw.) Schimp.

Bei Incacorral, ca. 2200 m, No. 5034/a; auch schon auf der ersten Reise an nassen Sandsteinfelsen des Cerro Amboró (Cord. von Santa Cruz), ca. 1400 m, gesammelt.

424. **Breutelia patens** Herzog nov. spec.

Sterilis; laxe caespitosa, caulibus 2—6 cm longis vagis genuflexis ascendentibus vel suberectis parce ramosis vel simplicibus, inferne tomentosis fuscatis apicibus flavido-viridibus nitidis graciliter foliosis. Folia sicca humidaque undique patentissima, subsquarrosa, strictiuscula, 4 mm longa, e basi breviovata appressa amplexicauli longe anguste linearilanceolata, cuspidata, valde plicata, plicis supra basin vesiculato-ampliatas, margine inferne supra medium anguste revoluta, superne remote argute serrata, nervo tenui in cuspidem longam tenuem remote serrulata excurrente, cellulis basalibus infimis aurantiacis, marginalibus seriebus 5—6 laxis breviter rectangulis hyalinis, ceteris elongate rectangulis angustissimis modice incrassatis laxe papillatis.

Beim Tunarisee in Rasen von *Tortula andicola* eingesprengt, ca. 4400 m, No. 4905, typus; am Cerro Sipascoya bei Pojo, ca. 3000 m, No. 4160, forma minor pallide virens.

Mit *Br. Brittoniae* R. et Card. verwandt, aber durch viel kräftigeren Wuchs und größere Blätter sowie deren Zuschnitt verschieden.

425. **Breutelia boliviensis** Herzog nov. spec. (Fig. 37, k—m).

Dioica; late caespitosa, e viridi flavescens, nitida, caulibus longis sat robustis ascendentibus basi tantum tomentosis subsimplicibus vel sub apice verticillatim ramosis, ramis brevissimis 2—4 crassis. Folia densa, secunda, e basi amplexicauli superne dilatata obtrapezoidea in laminam longe linearilanceolata acicularem contracta, profunde plicata, margine basi parum reflexa superne erecta, subcomplicata, superne argute grosseque serrata, nervo tenui sat longe excurrente serrato, cellulis basalibus medianis elongatis angustissimis incrassatis, marginalibus seriebus 4—5 breviter laxequere rectangulis subhyalinis infimis aurantiacis, laminaribus elongatis angustissime rectangulis incrassatis humiliter mamillosis. Sterilis.

An grasigen Felsen der Yanakakabastion, ca. 3800 m, No. 3729, typus; in der Hochregion von Altamachi, ca. 4000 m, No. 3878.

Durch eine Summe kleiner Merkmale charakterisiert und auch nach ihrem Habitus mit keiner der beschriebenen Arten zusammenzubringen; äußerlich etwas an *B. secundifolia* C. M. erinnernd.

426. **Breutelia straminea** Herzog nov. spec. (Fig. 37, n—r).

Dioica; late caespitosa, e viridi straminea, nitidula, caulibus longis vagantibus flexuosis irregulariter ramosis, ramis brevioribus longisque tomentosis. Folia 5 mm longa, sat laxe disposita, sicca divaricata, squarrosa, torta, humida subrefracta, e basi appressa subamplexicauli subquadrata parum dilatata longe lanceolata, acuminata, inferne denticulata, superne argute serrata, longitudinaliter profunde plicata, nervo tenui excurrente, cellulis basalibus infimis aurantiacis, ceteris elongatis angustissimis, marginalibus pluribus seriebus laxis rectangulis, superioribus anguste rectangulis partim elongatis parce mamillosis pellucidis, omnibus modice incrassatis.

In einem Quellried an der Waldgrenze über Tablas, ca. 3400 m, No. 2830.

Aus der Verwandtschaft der *B. aciphylla* (Wils.); im Habitus sehr an *B. dicranacea* (C. M.) erinnernd, aber durch zahlreiche locker rectanguläre Randzellen von ihr unterschieden.

427. **Breutelia nigrescens** Herzog in Beih. Bot. Centralbl. 1909.

An grasigen Felsen bei der Abra de San Benito, ca. 3900 m, No. 3335, in großen, innen geschwärzten, an den Sproßspitzen goldgrünlichen Rasen; an der Waldgrenze des Rio Saujana, ca. 3400 m, No. 3222, eine innen nicht geschwärzte Form.

Polytrichales.

Polytrichaceae.

Catharinaea Ehrh. in Hannov. Mag. 1780.

428. *Catharinaea elamellosa* Herzog nov. spec. (Fig. 38, a—g).

Dioica videtur; planta humillima, gregaria, caule 1 cm vix excedente tenui molli viridissimo laxefoliato. Folia brevia, 2,5—3 mm longa, flaccida, complicato-concava, e basi decurrente angustata ligulato-spathulata, obtusa vel brevissime obtuse apiculata,

elimbata, margine superne remote obtuseque crenata, nervo mediocri viridi sensim angustato ante apicem evanido, elamelloso, cellulis omnibus valde chlorophyllosis laxi hexagonis plerumque transverse latioribus laevissimis unistratis. Seta tenuis, erecta, solitaria, ad 18 mm longa, theca anguste cylindrica, olivacea, 2,5 mm longa, operculo crasso cupulato rubro longe oblique aciculari-rostrato.

Auf Walderde bei Inca-corrall, ca. 2200 m, No. 5088.

Durch die Kleinheit und das Fehlen der Lamellen sehr gut charakterisiert.

429. *Catharinaea nigricans* C. M. nov. spec. in herb.

In der Quebrada de Pocona? — unsicher —, auf der Reise zwischen Pojo und Cochabamba aufgenommen, No. 5136.

Blütenstand paroecisch; Blätter trocken hart und sehr kraus, am Rand schmal gesäumt, scharf gesägt; Rippe mit 6 Lamellen, nur oben mit wenigen Zähnen. Lamina am Rücken gesägt.

Psilopilum Brid. Bryol. univ. II.

430. *Psilopilum gymnostomulum* (C. M.) Par. (Fig. 38, h—i).

P. pygmaeum (C. M.) Par.

Auf Erdblößen zwischen Gras im Hochgebirge.

Auf dem Paramo von Caluyo, ca. 3800—3900 m, No. 2896; im oberen Chocayatal, über 4000 m, No. 3607.

Die Originale der beiden Müllerschen Arten stimmen in allen wesentlichen Punkten überein.

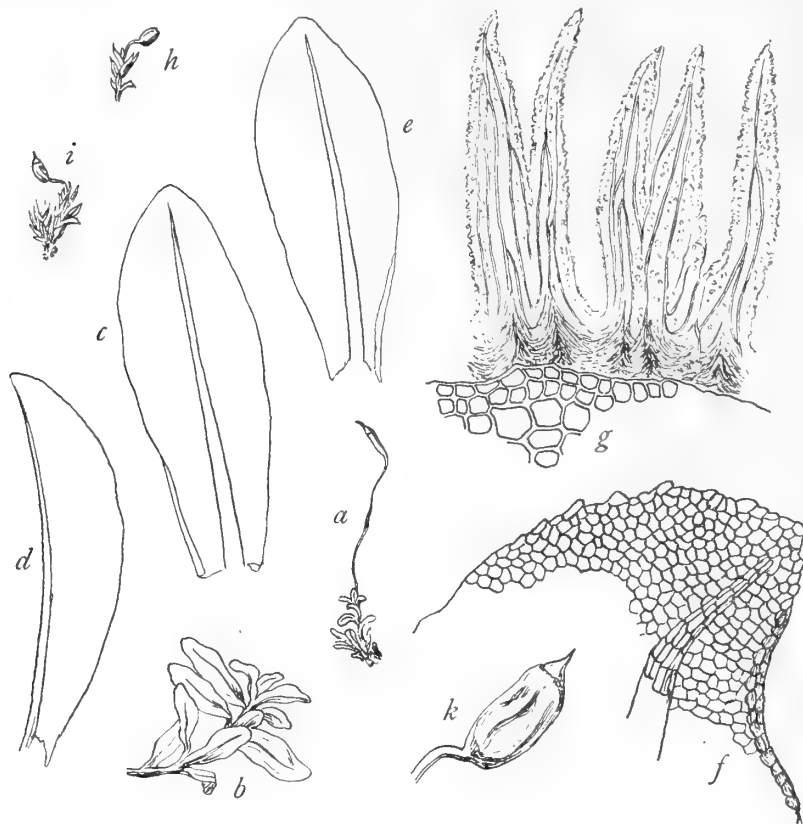


Fig. 38. a—g *Catharinaea elamellosa* H. n. sp., a Habitus 1:1, b ♂ Sproß 5:1, c, d, e Blätter 20:1, f Blattspitze 62:1, g Peristom 125:1; h—k *Psilopilum gymnostomulum* C. M. Habitus 1:1, k. Kapselvergr.

431. **Psilopilum antarcticum** C. M.

Auf Torfboden im Hochtal von Viloco (Quimzacruz), ca. 4500 m, No. 3147 mit *Bartramia polytrichoides*.

Die Exemplare stimmen sehr gut mit den C. Müllerschen Originalen überein. *P. aequinoctiale* Schimp. scheint auch nur eine Form von *P. antarcticum* zu sein.

Polytrichadelphus (C. M.) Mitt. in Journ. Linn. Soc. Bot.

432. **Polytrichadelphus grossidens** (C. M.) Par.

Meist große, reich fruchtende Rasen an Erdhängen in der Nähe der Waldgrenze bildend. An der Waldgrenze über Tablas, ca. 3400 m, No. 2832; an der Abra de San Mateo, ca. 3000 m, No. 3720, 3728.

433. **Polytrichadelphus aristatus** (Hpe.) Mitt.

Zwischen Rio Saujana und Choquetanga grande, ca. 3500 m, No. 3249.

434. **Polytrichadelphus bolivianus** Herzog nov. spec.

Dioicus; laxe caespitosus, e viridi fuscescens, caulibus ad 15 cm longis. Folia laxe disposita, e basi 2,5 mm longa fere 2 mm lata fuscescente vel rubiginosa nitida late ovata caule arcte appressa vaginata in lamina 5—6 mm longam anguste lanceolatam valde patentem immo refractam exeuntia, marginibus erectis ubique remote grosse spinoso-serratis, nervo in cuspidem brevem fuscam excurrente dorso laevi vel denticulo uno alterove notato, lamellis totam fere laminam obtegentibus 5—6-seriatis cellulis terminalibus mammiformibus incrassatis. Seta erecta, flexilis, complanata, 4—6 cm longa, theca generis, olivacea, demum nigrescens, operculo breviter oblique rostrato.

Zwischen San Mateo und Sunchal, ca. 2000 m, No. 4463; bei Locotal, ca. 1700 m, No. 5083.

Durch die weit abstehenden Blätter von den übrigen Arten der tropischen Cordilleren verschieden.

435. **Polytrichadelphus cuspidirostris** (C. M.).

An grasigen Felsen im Pajonaltal (Quimzacruz), über 4000 m, No. 3294.

Pogonatum Palis. Prodr.

Sect. *Anasmogonium* Mitt. Musc. austr. amer.

436. **Pogonatum distantifolium** C. M.

An Erdböschungen des neu angelegten Weges zwischen San Mateo und Sunchal, ca. 1800 bis 2000 m, No. 4504.

Völlig übereinstimmend mit den Originalen, von Ule bei Nova Friburgo (Staat Rio de Janeiro) gesammelt.

437. **Pogonatum arcuatum** Mitt.

Auf Waldboden bei Incacorral, ca. 2200 m, No. 5089.

Sect. *Cephalotrichum* (Bryole. ur.) Broth.

438. **Pogonatum polycarpum** Schimp.

P. plurisetum (C. M.).

In Hochgebirgslagen auf schwarzer Erde häufig. Z. B. im oberen Llavetal, ca. 4200 m, No. 4911; auf der Höhe der Cuesta de Abana bei Pojo, ca. 2800 m, No. 5120, hier auch eine forma uniseta mit einzelnen Seten und größerer Kapsel, die der folgenden, jedenfalls nächst verwandten Art sehr nahekommt.

439. **Pogonatum cylindrotheca** Herzog nov. spec.

Dioicum; gregarium, caulibus ad 1,5 cm longis basi nudis comoso-foliatis. Folia inferiora 3 mm longa, e basi ovata concavissima late lanceolata, acutissima, marginibus superne inflexa, grosse ser-

r a t a, nervo in cuspidem fuscam parce serratam excurrente, lamellis totam fere laminam occupantibus 4—5 seriatis, cellulis terminalibus majoribus incrassatis impressis fuscis; superiora 8 mm longa. Seta erecta, plerumque solitaria, rarissime duo, 3 cm longa; theca anguste cylindrica, 5—6 mm longa, saepius parum asymmetrica, exothecio verrucoso, operculo cupulato brevissime oblique rostellato, sporis olivaceis laevibus diametro 0,02—0,022 mm.

Am Wegrand bei Lagunillas, ca. 3200 m, No. 3839.

Polytrichum Dill. Catal. pl. giss.

440. **Polytrichum intermedium** Herzog in Beih. Bot. Centralbl. 1909.

An Felsen der Cerros de Malaga große, reich fruchtende Rasen bildend, ca. 4100 m, No. 4357.

441. **Polytrichum juniperinum** Willd.

P. secundulum C. M.

P. patens C. M.

An Wegrändern bis über die Waldgrenze.

Z. B. an der Waldgrenze über Tablas, ca. 3400 m, No. 2833, 2931; bei Incacorral, ca. 2300 m, No. 5107; beim Tunarisee, ca. 4400 m, No. 4917.

var. **tumescens** (C. M.) Herzog.

An der Waldgrenze über Tablas, ca. 3400 m, No. 2912.

Die Art ist in der Cordillere sehr formenreich und hat C. Müller dadurch zur Aufstellung mehrerer Arten veranlaßt. Dieselben sind aber angesichts der großen Variabilität, welche die Art schon in Europa zeigt, nicht haltbar.

Die Varietät *tumescens*, welche habituell mit var. *alpinum* Schimp. nahe übereinkommt, unterscheidet sich von dieser durch die goldbräunliche Haube.

Eubryales.

Erpodiaceae.

Erpodium Brid. Bryol. univ. II.

442. **Erpodium Balansae** C. M.

An Baumrinde bei Villa Montes am Rio Pilcomayo (Ostrand der Cordillere), ca. 450 m, No. 2546; im Wald bei Yuto (N. Argentinien) ca. 400 m, No. 3764.

443. **Erpodium Lorentzianum** C. M.

An Baumrinde im Wald bei Yuto (N. Argentinien), ca. 400 m, No. 2550; zwischen Aguaray und Yacuiba (Ostrand der Cordillere nahe der bolivischen Grenze) ca. 400 m, No. 5162.

Hedwigiaceae.

Hedwigia Ehrh. Hann. Mag.

444. **Hedwigia albicans** (Web.) Lindb.

An Felsen der Estradillas über Incacorral, ca. 3100 m, No. 3308.

Hedwigidium Bryol. eur.

445. **Hedwigidium imberbe** (Sm.) Bryol. eur.

An trockenen Felsen besonders der Trockenseite des Hochgebirges häufig; z. B. im Chocayatal, ca. 3300 m, No. 3583; am Tunarisee, ca. 4400 m, No. 4914.

var. **macrocalyx** C. M.

Auf Felsblöcken bei Calachacca an der Waldgrenze des Rio Saujana, ca. 3400 m, No. 3254.

Braunia Bryol. eur.

446. **Braunia cirrhifolia** (Wils.) Jaeg.

An sonnigen Felsen besonders auf der Trockenseite des Mittelgebirges häufig.

An der Cuesta de Sta. Catarina bei Comarapa, ca. 2400 m, No. 3703; am Cerro Pampalarga über Vallegrande, ca. 2500 m, No. 4147; an einem Berggrat über Comarapa, ca. 2600 m, No. 4230 (f. *falcata*); daselbst, No. 3951 (f. *longipila*); bei Tres Cruces in der Cord. von Santa Cruz, ca. 1500 m (f. *canescens*).

Zu dieser vielgestaltigen Art gehören, wie schon Brotherus bemerkt, *B. canescens* Schimp., *B. argyrotricha* C. M. u. *B. incana* C. M.

447. **Braunia argentinica** C. M.

Im Wald bei Yuto (N. Argentinien), ca. 400 m, No. 5155.

448. **Braunia subplicata** E. Britt.

An Felsblöcken im Chocayatal, ca. 3400 m, No. 2585.

449. **Braunia secunda** Schimp.

Auf Felsblöcken im Chocayatal große Rasen bildend, ca. 3400 m, No. 3462.

450. **Braunia laxifolia** Herzog nov. spec.

Laxe caespitosa, amoene viridis, caulibus 6—8 cm longis a basi ramosis, ramis longioribus ramulisque stolonoidis crebris flagelliformibus apice radicanibus. Folia laxepatula, subsquarrosa, concavissima, ultra 2 mm longa, e basi contracta subamplectante late ovata, breviter apiculata, margine usque ad apicem late revoluta, apiculo tenui erosio, subeplicata vel leviter plicata, cellulis subrotundis vel ovalibus dorso tenerrime papillosis; perichaetia alte convoluta, 5 mm longa, angusta, dense plicata. Seta 10 mm longa, recta; theca ovata, 2,5 mm longa, microstoma.

Auf schattigen Felsblöcken im Chocayatal, ca. 3400 m, No. 3618.

Durch die lockeren, weit abstehenden und fast ungefalteten Blätter unterschieden. Vielleicht eine extreme Schattenform von *B. subplicata* E. Britt.

451. **Braunia divaricatula** Herzog nov. spec.

Densiuscule caespitosa, habitu quodam macromitrioideo, e viridi fuscescens, caulibus 5 cm longis valde ramosis tenuibus siccis duriusculis. Folia densa, minuta, valde divaricata, subsquarrosa, sicca sublaevia vel leviter plicata, concava, e basi contracta breviter ovata vel subpanduriformia, acuminata, acumine decolori piliformi papilloso, in summis longiusculo fragili, margine ubique—acumine excepto—angustius revoluta, integerrima, cellulis omnibus valde incrassatis dorso tenerrime papillosis. Sterilis.

Auf einem Berggrat über Comarapa, ca. 2600 m, No. 4243.

Durch die sehr kleinen, sparrig abstehenden Blätter und stark verdickten Zellwände leicht zu unterscheiden.

Rhacocarpus Lindb. in Öfvers. K. Vet. Akad. Förh.

452. **Rhacocarpus Humboldtii** (Hook.) Lindb.

Rh. Mandoni C. M.

An feuchten Felsen und moorigen Stellen im Hochgebirge häufig, oft große Rasen bildend; formenreich.

Z. B. an der Waldgrenze über Tablas, ca. 3400 m, No. 2839/a; am Ostabhang der Yanakakabergerge, ca. 4000 m, No. 3743 (f. *pilifera*); in der Hochregion von Altamachi, ca. 4000 m, No. 3864; im Hochtal Viloco, ca. 4600 m, No. 3149.

Die Art zeigt, wie es scheint, Übergänge zu *Rh. excisus* (C. M.), indem gelegentlich neben der Spitze der Blätter scharfe Einschnitte vorkommen, so bei No. 2878 von der Waldgrenze über Tablas und No. 3722 von der Abra de San Mateo, ca. 3000 m.

453. **Rhacocarpus excisus** (C. M.) Par.

Typische Exemplare an der Waldgrenze über Tablas, No. 2839. Ob aber spezifisch von voriger Art zu trennen?

454. **Rhacocarpus australis** (Hpe) Par.

An Felsen der Estradillas über Incacorral, ca. 3100 m, No. 3316; an den Cerros de Malaga, ca. 4000 m, No. 4372.

Auch diese Art steht *Rh. Humboldtii* sehr nahe und ist vielleicht nicht spezifisch von ihr zu trennen.

455. **Rhacocarpus chlorotus** Herzog nov. spec.

Dioicus; caespitibus latis profundis glaucis, caulibus 4—5 cm longis subpinnatim ramosis ramis decrescentibus cuspidatis. Folia caulina laxe squamosa, concava, 1 mm longa, suborbicularia, supra basin constricta, margine basi anguste reflexo superne saepius late inflexo, ad basin latius, superne angustissime fusciscenti-limbata, tenerrime crenulata, pilifera, pilo subaequilongovalde flexuoso flavo fusciscente laeviusculo, cellulis omnibus tenuibus densissime punctulatis, basalibus aureis, superioribus amoene viridibus, alaribus permultis in auriculam excavatam conflatis, magnis subquadratis, lumine amplo chlorophyllo repleto (unde nomen); ramalia minora, angustiora, panduriformia, subelimbata, pilo breviora; perichaetalia 2 mm longa, anguste ovato-elliptica, acuta, longe pilifera, pilo valde flexuoso fusco, subelimbata, aurea, cellulis valde incrassatis. Seta recta, 12—18 mm longa, theca subglobosa, diametro 1,5 mm, pallide fusca, ab ore ad medium plicata vel laeviuscula, operculo hamato.

An Felsen in der Schlucht bei Locotal, ca. 1800 m, No. 2707.

Nach der Beschreibung dem *Rh. orbiculatus* (Mitt.) nahestehend, jedoch durch die schmalen Astblätter unterschieden.

Fontinalaceae.

Fontinalis (Dill.) L. emend.

456. **Fontinalis turfacea** Herzog nov. spec.

Sterilis; submersa, caulibus ad 30 cm longis, a basi iterum dichotome in ramos subaequilongos divisis, superne dense ramosis, ramulis brevibus subparallelis appressis ut et caule cuspidatis squamoso-foliatis, e viridi-aureo fusciscentis, nigricans. Folia densa, mollia, accumbentia, concavissima, dorso impressa, e basi haud decurrente angustissima inflexa longe oblonga, obtusiuscula, apiculata, vetusta apice plerumque fissa, integerrima, nervo obsolete brevi, cellulis anguste linearibus tenuibus vel parum incrassatis, alaribus perpauca minusculis quadratis.

Untergetaucht in Tümpeln eines Torfmoores der Cerros de Malaga, ca. 4000 m, No. 4423.

Wohl mit *F. squamosa* u. *F. bogotensis* nahe verwandt.

Cryphaeaceae.

Acrocryphaea Bryol. eur. V. Mon. Cryph.

457. **Acrocryphaea julacea** (Hornsch.) Bryol. eur.

Im Wald bei Yuto (N. Argentinien) ca. 400 m, No. 3765.

458. **Acrocryphaea Gardneri** (Mitt.) Jaeg.

In der Talschlucht von Tablas, ca. 1800 m, No. 4576, 4663; im unteren Coranital, ca. 1800 m, No. 4722.

Cryphaea Mohr in Web. Tab. synopt. musc.

459. **Cryphaea ramosa** Wils.

An Bäumchen beim Asiento (Aracatal), ca. 3900 m, No. 3000; in den Estradillas über Incacorral, ca. 3300 m, No. 3322; im Nebelwald über Comarapa, ca. 2600 m, No. 4224.

460. *Cryphaea patens* Hornsch.

Im Bergwald von Florida de San Mateo, ca. 1600 m, No. 3640/a; in der Cordillere von Santa Cruz bei Tres Cruces, ca. 1400 m, No. 3507, 3509, 3492; im Nebelwald über Comarapa, ca. 2600 m, No. 4333.

461. *Cryphaea Jamesonii* Tayl.

An Bäumchen in den Estradillas über Incacorral, ca. 3300 m, No. 3314; bei Incacorral, ca. 2200 m, No. 5045; im Bergwald von Florida de San Mateo, ca. 1600 m, No. 3640; im unteren Coranital, ca. 1800 m, No. 4695, 4724.

462. *Cryphaea pilifera* Tayl.

Im Bergwald des Rio Tocarani, ca. 2200 m, No. 4080; in der Talschlucht von Tablas, ca. 1800 m, No. 4662; bei Incacorral, ca. 2200 m, No. 4963, 5028.

463. *Cryphaea microspora* Herzog nov. spec.

C. ruficalyx Herzog in sched.

Autoica; pendula, statura *Cr. ramosae*, caulibus ad 8 cm longis densiuscule subpinnatim ramosis, ramis tenuibus apice attenuatis. Folia caulina laxe imbricata, concavissima, late cordato-ovata, breviter latiuscule acuminata, integerrima, nervo ultra medium evanido ferrugineo, cellulis generis modice incrassatis; ramalia minora, parum longius acuminata, subintegerrima; perichaetalia longe convoluta, cupreo-rufescentia, nitida, anguste oblonga, obtusa, breviter cuspidata. Theca brevissime pedunculata, immersa, anguste cylindrica, striata, operculo albido alte cupulato rostrato; peristomio completo dentibus ad 0,5 mm longis, processibus aequilongis; sporis diametro 0,016—0,02 mm, ochraceis.

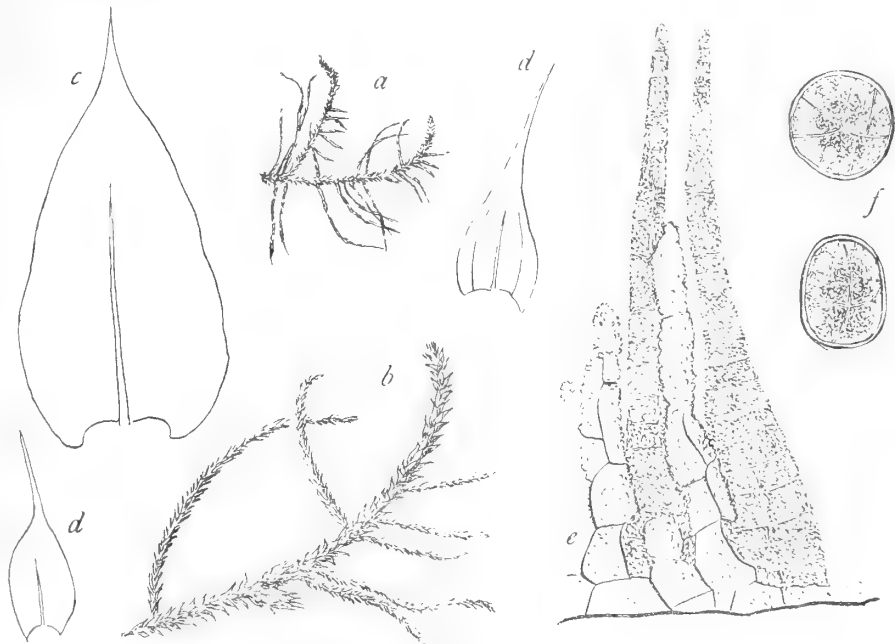


Fig. 39. *Cryphaea gracillima* H. n. sp. No. 4115. a Habitusbild 1: 1, b Sproßspitze 4: 1, c Stengelblatt 62: 1, d Astblätter 62: 1, e Peristom 250: 1, f Sporen 250: 1.

An Bäumchen in den Estradillas über Incacorral, ca. 2900 m

(auf der ersten Reise gesammelt und als *C. ramosa* bestimmt).

Von der nächstverwandten *C. ramosa* durch die schmälere Kapsel und die auffallend kleinen, in Masse ockergelben Sporen unterschieden. Die Sporen der *C. ramosa* sind grün und messen 0,024 bis 0,032 mm.

464. *Cryphaea gracillima* Herzog nov. spec. (Fig. 39).

Laxe caespitosa, tenella, caulibus ascendentibus arcuatis 3—4 cm longis sat dense subpinnatim ramosis, ramis longiusculis tenuibus caudatis, flavescens. Folia caulina densiuscula, imbricata, e basi subcordata ovato-lanceolata, acuminata, subintegerrima, superne tenuissime crenulata, margine undulata, hic illic revoluta, nervo viridi ultra medium evanido, cellulis anguste ellipticis valde incrassatis laeviusculis; ramalia duplo vel subtriplo breviora, anguste ovato-acuminata, longe piliformia, margine crosula; perichaetalia ultra 2 mm longa,

oblongo-obovata, obtusa, in pilum longum flexuosum remote serrulatum viride exeuntia, basi enervia, tenerrima, nitida. Theca parva, immersa, elliptica, annulo lato triseriali revolubili, operculo acute conico rubro, calyptra conica fusca scabra; peristomii externi dentibus longiusculis (0,28 mm) anguste lanceolatis papillois flavidis, interni rudimentarii processibus mediis pellucide membranosis irregulariter sinuatis superne grosse papillois; sporis maximis, diametro 0,044—0,052 mm, cellulis 4—8 compositis viridibus.

Im Bergwald des Rio Tocarani, ca. 2600 m, No. 4115; im Nebelwald über Comarapa, ca. 2600 m, No. 4257/a.

Durch die verschiedenartige Beblätterung von Stengel und Ästen, das rudimentäre, innere Peristom und die großen, mehrzelligen Sporen sehr gut gekennzeichnet.

465. *Cryphaea macrospora* Herzog nov. spec. (Fig. 40).

Caulis tenax, a basi valde ramosus, 8 cm longus; ramulis remotis brevibus tenuibus teretiusculis e viridi aurescens. Folia caulina subsquarrosa, laxa, e basi excisa decurrente late

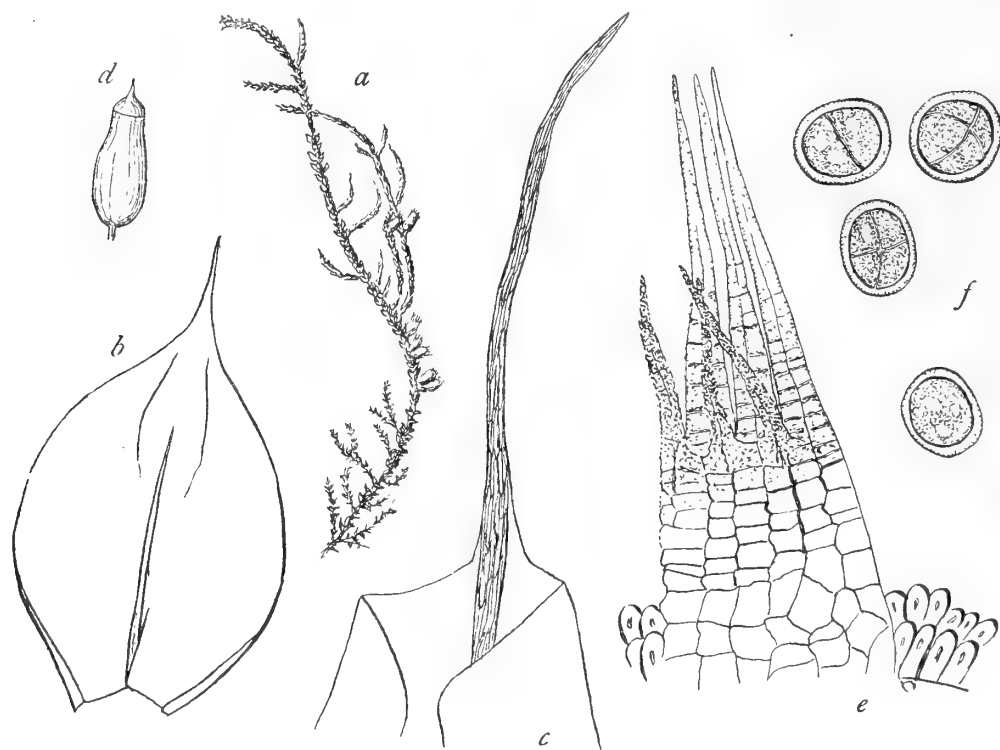


Fig. 40. *Cryphaea macrospora* H. n. sp. a Habitusbild 1:1, b Blatt 30:1, c Spitze eines Perichaetialblattes 62:1, d Kapsel ca. 15:1, e Peristom 125:1, f Sporen 250:1.

ovata, concava, acuminata, acumine longiusculo latiusculo flexuoso, integerrima, margine basi tantum anguste revoluta, nervo aureo supra medium evanido, cellulis breviter ellipticis valde incrassatis sublaevibus basi elongatis aureis; ramalia sicca appressa, humida patentia, subsimilia, vix minora; perichaetialia oblongo-obovata, late truncata, nervo longe excurrente setosa. Seta subnulla; theca immersa, e basi truncata ovata, breviter cylindrica, amphiformis, sub ore leviter plicata, annulo lato biseriali revolubili, operculo cupulato flavo recte rostrato, calyptra rubra conica scabra operculum tantum obtegente; peristomii externi dentibus membranae supra os valliformi-prominenti annulo obiectae insidentibus longe lineari-lanceolatis subhyalinis papillois, interni processibus angustis vix $\frac{3}{4}$ dentium externorum aequantibus; sporis maximis diametro 0,044—0,048 mm, subglobosis vel valvatis, exosporio incrassato hyalino punctulato, unicellulosis vel in cellulas 2—4 divisis valde chlorophyllosis.

Auf Baumästen im oberen Coranital, ca. 2600 m, No. 3370.

Durch das Peristom, die Kapselform und die großen Sporen sehr ausgezeichnete Art.

Leucodontaceae.

Forsstroemia Lindb. in Öfvers. K. Vet. Ak. Förh.

466. **Forsstroemia coronata** (Mont.) Par.

In den Wäldern der Randcordillere bei Yacuiba, ca. 500 m, No. 2625; an Bäumen im Wald bei Yuto (N. Argentinien) ca. 400 m, No. 3769; im Bergwald von Tres Cruces (Cord. von Sta. Cruz) ca. 1400 m, No. 3897, 3989.

Prionodontaceae.

Prionodon C. Müll. in Bot. Ztg. 1844.

467. **Prionodon lycopodioides** Hpe.

Im Bergwald zwischen San Mateo und Sunchal, ca. 2000 m, No. 4443; im Nebelwald über Comarapa, ca. 2600 m, No. 4213, 4295 (f. *angustifolia*).

468. **Prionodon luteovirens** (Tayl.) Mitt.

Ich rechne hierher nach der Beschreibung Exemplare von folgenden Fundorten: im Bergwald des Rio Tocarani, ca. 2200 m, No. 4007 c. fr.; im unteren Coranital, ca. 1800 m, No. 4693.

469. **Prionodon pinnatus** Hpe.

Im oberen Coranital, ca. 2600 m, No. 3422.

470. **Prionodon patentissimus** Besch.

Im Bergwald des Rio Saujana, ca. 2900 m, No. 3258 c. fr. Nach der Beschreibung bestimmt!

471. **Prionodon ciliolato-serratus** Herzog nov. spec.

Caulibus horizontaliter patentibus vel descendentibus subpendulis ad 12 cm longis pinnatim vel subflabellatim ramosis, ramis ad 5 cm longis habitu *P. densum* in mentem referentibus, dense foliatis griseo-viridibus. Folia sicca suberecta, accumbentia, humida laxepatula, ad 5 mm longa, e basi anguste elliptica linearia, subulata, acutissima, subulaflexuoso-undulata fragili, valde plicata, supra basin breviter denticulata, superne argute ciliolato-serrata, nervo in apice ipso evanido, cellulis ellipticis modice incrassatis pellucidis papillois, basi marginalibus multis seriebus transverse ellipticis substellatim incrassatis.

An Bäumen im Nebelwald über Comarapa, ca. 2600 m, No. 4348.

Durch die weit herab stark, fast wimperig gesägten Blätter und die Verzweigung gut gekennzeichnet.

472. **Prionodon ptychomnioides** Broth. n. sp.

Dioicus; robustiusculus, pallide viridis, inferne fuscescens, opacus; caulis secundarius usque ad 10 cm longus, dense foliosus, superne pinnatim ramosus, ramis usque ad 2 cm longis, singulis longioribus, erecto-patentibus, simplicibus; folia caulina patula, sicca suberecta, fragilia, plicata, e basi breviter decurrente late ovali subito lanceolato-loriformia, marginibus erectis, in parte superiore basis minute, dein argute serratis, nervo tenui, infra apicem folii evanido, cellulis ellipticis, superioribus subrotundis, papilla media, basilaribus internis linearibus, lumine angustissimo, externis in seriebus multis valde incrassatis, lumine irregulariter polygono. Caetera ignota.

Florida de San Mateo, No. 3682.

Species foliorum forma dignoscenda, habitu speciebus gracilioribus *Ptychomnii* vel potius *Rhytidadelpho triquetro* sat similis.

473. **Prionodon cavifolius** Herzog nov. spec.

E cauli primario rhizomatico repente caulibus horizontaliter patentibus vel descendentibus ad 15 cm longis sat regulariter pinnatis pinnis decrescentibus e viridi lutescentibus. Folia caulina sat densa, laxepatula, mollia, 5 mm longa, 2 mm lata, late elliptica, breviter acuminata, concava, haud plicata, sicca dorso impressa, margine planiusculo, superne remote

serrulata, nervo viridi flexuoso ante apicem evanido, cellulis basalibus medianis laxe rectangularibus aureis, marginalibus multis seriebus transverse ellipticis valde incrassatis, superioribus parvis angulatis irregularibus tenuibus papillois; ramalia laxiora, sicca patentiora, minora, similia.

An Bäumen im unteren Coranital, ca. 1800 m, No. 4741.

Durch die weichen, nicht gefalteten, sehr breiten Blätter gut unterschiedene Art aus der Verwandtschaft des *P. pinnatus*.

474. Prionodon pendulus Herzog nov. spec.

Caulibus pendulis ad 30 cm longis tenellis, subpinnatim (apice fasciculatim) ramosis, ramis ut et caule flexuosis e viridi-flavo fuscis. Folia sat densa, valde patentia, 6 mm longa, sicca profunde plicata, e basi late ovata subauriculata in subulam latiusculam longam acutissimam valde fragilem contracta, fere a basi grosse ciliato-serrata, nervo in extrema subula dissoluto, cellulis majusculis irregularibus ellipticis pellucidis papillois, basi marginalibus permultis transversim ellipticis angulatis stellatim incrassatis; ramalia angustiora, breviora.

An Baumästen zwischen San Mateo und Sunchal, ca. 2500 m, No. 4495; an Baumästen im Nebelwald über Comarapa, ca. 2600 m, No. 4309.

Durch den Wuchs und die Form der sehr brüchigen Blätter leicht zu unterscheiden, jedoch *P. ciliolato-serratus* gewiß sehr nahe stehend und möglicherweise eine durch die hängende Lebensweise veränderte Form desselben.

475. Prionodon undulatus Mitt.

Im Bergwald von Florida de San Mateo, ca. 2600 m, No. 3623, 3727. Sehr charakteristisch durch die großen breiten Blätter und dicken, hängenden Äste.

476. Prionodon fuscolutescens Hpe.

An Bäumen im Bergwald des Sillar gegen Espiritu Santo, ca. 1800 m, No. 2734; im oberen Coranital, ca. 2600 m, No. 3423; an der Waldgrenze über Tablas, ca. 3400 m, No. 2902; im Bergwald des Rio Tocarani, ca. 2200 m, No. 4044 (f. angustifolia).

477. Prionodon bolivianus (C. M.).

Im Nebelwald über Comarapa, ca. 2600 m, No. 3935; im Bergwald des Rio Tocarani, ca. 2200 m, No. 4044/a c. fr.

478. Prionodon densus (Sw.) C. M.

Hauptsächlich in der unteren Bergregion.

Im Bergwald von Florida de San Mateo, ca. 2000 m, No. 3698, 3705; bei Tres Cruces in der Cordillere von Santa Cruz, ca. 1400 m, No. 3481, 3993. Schon auf der ersten Reise im Waldgebiet des Cerro Amboró in der Cordillere von Santa Cruz gesammelt.

479. Prionodon contortus Herzog nov. spec.

Dense caespitosus, caulibus subsimplicibus vel parce ramosis vel subpinnatim ramosis suberectis amoene viridibus densissime foliatis. Folia sicca contorta, apicibus incurvis subhelicoideis, vix plicata, humefacta facile emollientia, subrecurvescentia, dein valde patula, plicata, concavissima, canaliculata, apice saepius subundulata, e basi brevi auriculata anguste ovata lineari-lanceolata, acutissima, apice saepe diffracto, margine superne remote breviterque subobtusae, inferne argutius denticulata, nervo in apice ipso dissoluto, cellulis basalibus medianis angustis incrassatis, marginalibus paucis seriebus transverse ellipticis stellatim incrassatis, superioribus minusculis irregularibus sublaevibus.

An Bäumen in der Cordillere von Santa Cruz, ca. 1400 m, No. 3567; im Bergwald von Florida de San Mateo, ca. 2000 m, No. 3702; im Nebelwald über Comarapa, ca. 2600 m, No. 4278 (f. major).

Durch die gedrehten, fast krausen, hohlrippigen Blätter und glatten Blattzellen leicht zu erkennen.

Lepirodontaceae.

Lepyrodon Hpe. Prodr. Fl. Nov. Granat.

480. *Lepyrodon tomentosus* (Hook.) Mitt.

An Bäumen der Waldgrenze über Tablas, ca. 3400 m, No. 2795 (f. flagellifera).

var. *tunariensis* Herzog.

L. tunariensis H. in Beih. Bot. Centr. 1909.

Häufiges Felsmoos der höchsten Kämme in der Cordillere von Cocapata, nur auf Schiefer; in der Quimzacruz-Cordillere nicht beobachtet.

An Felsen des Cerro Tunari in üppigen großen Rasen, ca. 4700 m, No. 4929; an der Punta de San Miguel, ca. 4800—5000 m, sine No., an den Gipfeln des Yanakakamassives, 4500—4800 m, sine No.; in der Hochregion von Altamachi, ca. 4000 m, No. 3859.

Pterobryaceae.

Pterobryum Hornsch. in Fl. Brasil. I.

481. *Pterobryum densum* (Schwgr.) Hornsch.

Prionodon splendens Herzog in Beih. Bot. Centr. 1909.

Am Grund der Baumstämme in der unteren und mittleren Bergwaldregion, meist steril.

Am Sillar und bei Tres Cruces in der Cord. von Santa Cruz, 1400—1600 m, 3522, 3992; bei Incacorral, ca. 2200 m, No. 5035; zwischen San Mateo und Sunchal, ca. 1800 m, No. 4424, c. fr.!

Orthostichidium C. M. in K. Sv. Vet. Ak. Handl.

482. *Orthostichidium excavatum* (Mitt.).

An Bäumen im Bergwald von Florida de San Mateo, ca. 1800—2000 m, No. 3630. Der unteren Bergregion angehörend.

Pterobryopsis Fleisch. in Musc. Archip. Ind.

483. *Pterobryopsis stolonacea* (C. M.).

An Bäumen in der Randcordillere zwischen Yacuiba und Ipaguassú, ca. 500 m, No. 2623; bei Tres Cruces in der Cordillere von Santa Cruz, ca. 1400 m, No. 3547.

Meteoriaceae.

Squamidium (C. M.) Broth.

Sect. *Eusquamidium* Broth.

484. *Squamidium nigricans* (Hook.).

Orthostichidium Orthostichella C. M.

An Bäumen im Bergwald von Espiritu Santo, ca. 1500 m, No. 2733, c. fr.!

485. *Squamidium perinflatum* (C. M.).

Pilotrichella C. M.

Im Bergwald des Rio Tocarani, ca. 2200 m, No. 4024; in der Talschlucht von Tablas, ca. 1800 m, No. 4667.

486. *Squamidium filiferum* (C. M.).

An Bäumen bei San Miguelito, ca. 1500 m, No. 2748; im oberen Coranital, ca. 2600 m, No. 3428 (f. densior); zwischen Tocarani u. Lagunillas, ca. 2900 m, No. 3846.

487. *Squamidium leucotrichum* (Tayl.).

An Bäumen im feuchten Bergwald häufig. Z. B. im oberen Coranital, ca. 2400 m, No. 3424; im Tocatorital, ca. 2200 m, No. 4117, 4120.

Sect. *Macrosquamidium* Broth.

488. *Squamidium macrocarpum* (Spruce).

An dünnen Baumästen im Bergwald von Espiritu Santo, ca. 1600 m, No. 2735 c. fr. 1; im unteren Coranital, ca. 1800 m, No. 4763; im Bergwald von Espiritu Santo, ca. 1600 m, No. 2727 (f. repens); bei Tres Cruces in der Cordillere von Santa Cruz, ca. 1400 m, No. 3999 (f. repens).

489. *Squamidium turgidulum* (C. M.).

An Bäumen im Bergwald bei Tres Cruces (Cord. von Santa Cruz), ca. 1400 m, No. 3569. Bis jetzt nur in den östlichen Ketten der Cordilleren gefunden.

Pilotrichella (C. M.) Besch. Prodr. Bryol. Mexic.

490. *Pilotrichella versicolor* (C. M.) Jaeg. (Fig. 41, c—d).

An Baumästen im Bergwald von Florida de San Mateo, ca. 2000 m, No. 3719; in der Talschlucht von Tablas, ca. 1800 m, No. 4665.

491. *Pilotrichella angustifolia* Herzog nov. spec. (Fig. 41 a—b).

Sterilis; longe pendula, laxe subpinnatim ramosa, ramis brevibus, e pallide viridi lutescens vel fuscescens, nitidula, caulibus ramisque tenuissimis. Folia pentasticha, imbricatopaccumbentia, concavissima, caulina ca. 1 mm longa, ramalia minora, e basi angustata subpanduriformia, apice cucullato-inflexa, tenerrime serrulata, breviter acuminata, brevissime mucronato-cuspidata, cellulis alaribus vix conspicuis.

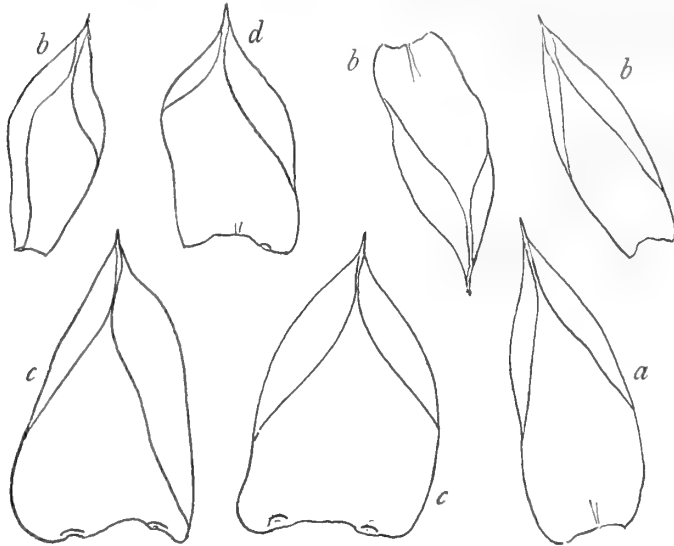


Fig. 41. a—b *Pilotrichella angustifolia* H. n. sp. a Stengelblatt 31:1, b Astblätter 31:1. c—d *Pilotrichella versicolor* (C. M.). c Stengelblätter 31:1, d Astblatt 31:1.

An Baumästen in der Talschlucht bei Tablas, ca. 1800 m, No. 4666.

Von der verwandten *P. versicolor* durch die weniger gedunsene Beblätterung und die kleineren, an der Basis verschmälerten Blätter deutlich unterschieden.

492. *Pilotrichella cyathipoma* (C. M.).

Nur in den östlichen Randgebirgen der Cordillere, schon auf der ersten Reise reichlich im Gebiet des Cerro Amboró gesammelt.

An Bäumen im Wald bei Yacuiba, ca. 500 m, No. 2552; bei Tres Cruces in der Cordillere von Santa Cruz, ca. 1400 m, No. 3502/a, 3987.

var. *laxiretis* Herzog nov. var.

Differt a typo habitu robustiore retique cellularum multo laxiore.

An Bäumen im Wald des Randgebirges bei Yacuiba, ca. 500 m, No. 2626.

493. *Pilotrichella flexilis* (Sw.).

Häufig in den Nebelwäldern des obersten Waldgürtels; z. B. im Buschgürtel bei Tres Cruces

in der Cordillere von Santa Cruz, ca. 1500 m, No. 3571 und im Nebelwald über Comarapa, ca. 2600 m, No. 3837, c. fr.!

Hierher gehört wohl auch *P. turgescens* (C. M.).

Papillaria (C. M.) C. M. in Öfv. K. Sv. Vet. Ak. Förh.

494. **Papillaria appressa** (Hornsch.) Jaeg.

Im Bergwald von Florida de San Mateo, ca. 1600 m, No. 3712, 3726.

495. **Papillaria nigrescens** (Sw.) Jaeg.

Im Bergwald von Tres Cruces (Cord. von Santa Cruz), ca. 1400 m, No. 3546.

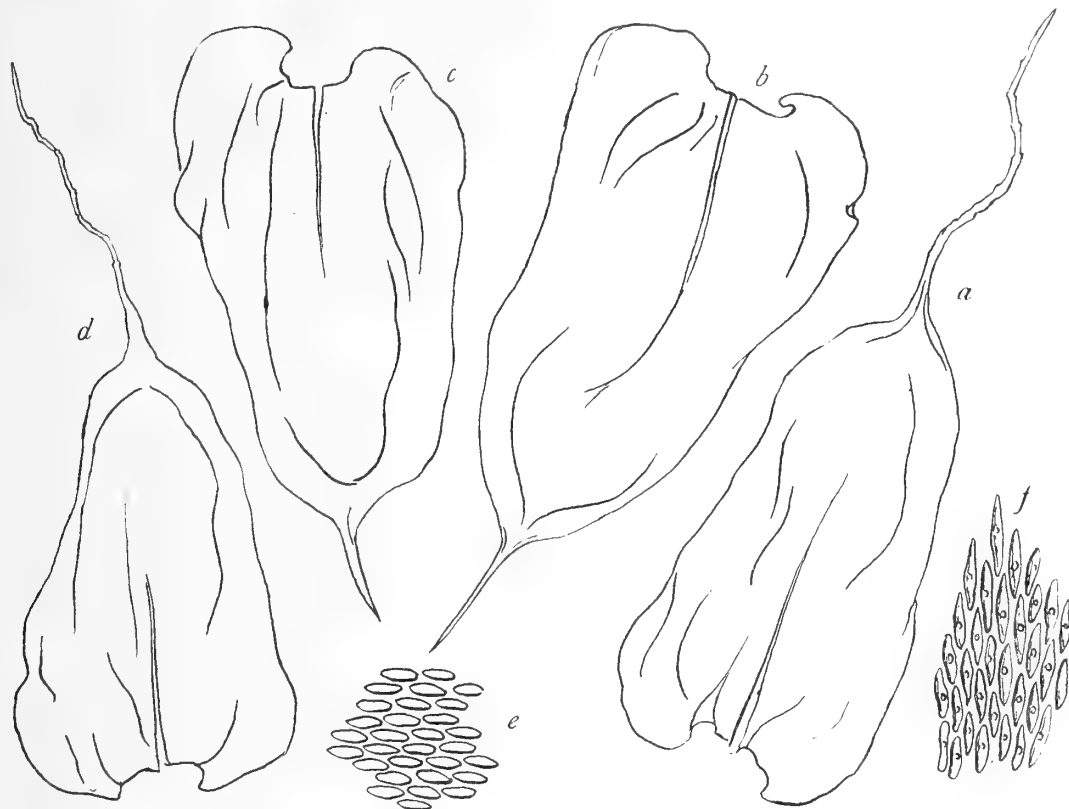


Fig. 42. *Meteorium illecebrum* (C. M.). *a, b* No. 4116. *a* Astblatt von einem hängenden Sproß 30:1, *b* Astblatt von einem kriechenden Sproß 30:1; *c—f* No. 3568: *c* unteres Astblatt 30:1, *d* oberes Astblatt 30:1, *e* Zellen aus der Blattmitte von *c* 250:1, *f* Zellen aus der Blattmitte von *d* 250:1.

496. **Papillaria Deppei** (Hornsch.) Jaeg.

Im Buschgürtel bei Tres Cruces, in der Cord. von Santa Cruz, ca. 1500 m, No. 3902, 3921, 4002.

497. **Papillaria squamatula** C. M.

An Bäumen im Bergwald von Florida de San Mateo, ca. 1600—2000 m, No. 3624; bei Tres Cruces in der Cordillere von Santa Cruz, ca. 1400 m, No. 3570; zwischen Tocorani und Lagunillas, ca. 2900 m, No. 3845.

Meteorium Doz. et Molck. Musci Archip. Ind. ined.

498. **Meteorium illecebrum** (C. M.) Mitt. (Fig. 42).

M. lonchotrichum C. M.

M. fuscoviride (Hpe).

Die äußerst formenreiche Art variiert in allen Merkmalen des Gametophyten sehr stark, ohne aber durchgreifende Unterschiede aufzuweisen, die etwa die Abgrenzung bestimmter Varietäten oder Formen gestatten würden. Die Abänderungen erstrecken sich nämlich oft auf die Teile eines und desselben Individuums, so daß z. B. Blätter mit langer Haarspitze und kurzem Acumen am gleichen Ast vorkommen. Bei den Unterschieden handelt es sich immer um ein durch alle Übergänge miteinander verbundenes Mehr oder Weniger. Die Äste können entweder dünn oder dick, spitz oder stumpf sein, die Beblätterung anliegend kätzchenförmig bis dick gedunsen wurmförmig, die Blätter selbst breiter oder schmaler, mehr oder weniger hohl und gefaltet, die Blattspitze haarförmig ausgezogen bis kurz und gerade, die Zellen der Blattspitze kurz elliptisch-hexagonal oder schmal und lang, mit unverdickten oder stark bis sehr stark verdickten und getüpfelten Wänden, fast glatt bis stark spitzig papillös. Obwohl ein nicht verkennbarer Einfluß auf die Ausgestaltung der Blätter von dem Wuchs der Pflanze, die rasenförmig mit kriechenden Stengeln und aufrechten Ästen oder mit hängenden Sprossen und wagerecht abstehenden Ästen vorkommt, ausgeübt wird, so sind doch sicher nicht alle Verschiedenheiten auf diese Verhältnisse zurückzuführen. Das Vorkommen verschiedener Blattformen zuweilen am gleichen Seitenast oder doch häufig wenigstens am gleichen Sproß, scheint mir darauf hinzudeuten, daß die Luftfeuchtigkeitsverhältnisse oder auch die Belichtungsintensität und andere äußere Umstände während der Entwicklung des einzelnen Blattes oft wichtige Faktoren für seine definitive Gestalt darstellen.

So ist es auch rein unmöglich, die Arten *M. lonchotrichum* und *M. fuscoviride* neben *M. illecebrum* aufrecht zu erhalten, da die von den Autoren verwendeten Artmerkmale, angesichts der Veränderlichkeit dieser Verwandtschaftsgruppe, hier systematisch völlig bedeutungslos werden.

Ich sammelte dieses in den Bergwäldern der Cordillere zu den häufigsten Erscheinungen gehörende Moos an folgenden Orten: im Tocoranital, ca. 2200 m, No. 4060, 4116, c. fr. cop. 1; im oberen Coranital, ca. 2600 m, No. 3427; in der Cordillere von Santa Cruz, ca. 1600 m, No. 3568; am Meson bei Samaipata, ca. 2000 m, No. 4134; im Gebüsch des Cerro Pampalarga bei Vallegrande, ca. 2300 m, No. 4151; im Nebelwald über Comarapa, ca. 2600 m, sine No.

Floribundaria C. M. in Linnaea XL.

Sect. *Capillidium* (C. M.) Broth.

499. **Floribundaria tenuissima** (Hook. ^{et} Wils.).

In feuchten Bergwäldern an Baumästen hängend, sehr häufig, aber im Gebiet bis jetzt immer steril, so im Nebelwald über Comarapa, ca. 2600 m, No. 4231; im oberen Paractital an der Waldgrenze, ca. 3300 m, No. 4384; im unteren Coranital, ca. 1800—2000 m, No. 4716, massig; bei Incacorral, ca. 2200 m, No. 5010.

Lindigia Hpe. in Linnaea XXXI.

500. **Lindigia aciculata** (Tayl.) C. M.

An Baumästen in den feuchten Bergwäldern sehr häufig und auch meist reich fruchtend. Im Bergwald von Florida de San Mateo, ca. 1800—2000 m, No. 3628; im Tocoranital, ca. 2200 m, No. 4051; in der Talschlucht von Tablas, ca. 1800 m, No. 4543, 4592, 4652; im unteren Coranital, ca. 1800 m, No. 4694; bei Incacorral, ca. 2200 m, No. 5017.

Neben der typischen Form mit steifen, abstehenden Stengeln und ziemlich regelmäßigen Fiederästen kommt auch eine hängende Form mit unregelmäßiger Beästung vor, die der folgenden Art sehr ähnlich sieht. Hier entscheidet die Skulptur der Peristomzähne sehr leicht.

501. **Lindigia debilis** (Wils.) Jaeg.

Wie vorige an Baumästen in feuchten Bergwäldern, aber stets hängend und locker beästet.

Im unteren Coranital, ca. 1800 m, No. 4677; zwischen San Mateo und Sunchal, ca. 2000 bis 2400 m, No. 4502; im Tocoranital, ca. 2200 m, No. 4078.

Meteoriopsis Fleisch. Musc. Archip. Ind. exs.

502. **Meteoriopsis remotifolia** (Hornsch.).

In breiten, flachen Rasen, mit relativ kurzen hängenden Sprossen.

Im Bergwald des Rio Tocorani auf Baumästen, ca. 2200 m, No. 4093; an den untersten Gesträuchästen im Buschgürtel von Tres Cruces (Cordillere von Santa Cruz), ca. 1400—1500 m, No. 3540.

var. **latifolia** Herzog nov. var.

Differt a typo foliis latioribus.

Im Buschgürtel von Tres Cruces (Cord. von Santa Cruz), ca. 1500 m, No. 3984; im Bergwald des Rio Tocorani, ca. 2200 m, No. 4093/a.

503. **Meteoriopsis onusta** (Spruce).

An Baumästen dichte Überzüge und Behänge bildend: an niederen Waldbäumen der Cordillere von Santa Cruz, Cuesta de la Piedra Borracha, ca. 1600 m, No. 3566.

504. **Meteoriopsis patens** (Hook.).

Die häufigste Art im Gebiet, aber meist steril. Sie erinnert im Wuchs außerordentlich an die ceylonische *M. reclinata* und gibt derselben in den Maßen kaum etwas nach.

Im Gebüsch am Cerro Pampalarga bei Vallegrande, ca. 2300 m, No. 4152; im Buschgürtel von Tres Cruces, Cord. von Santa Cruz, ca. 1500 m, No. 3508; über Baumwurzeln und Felsen in der Schlucht bei Locotal, ca. 1800 m, No. 2704; im Wald des Sillar (Espiritu Santo), ca. 1800 m, No. 2793, c. fr. !; zwischen Incacorral und Locotal, No. 5080; bei Florida de San Mateo, No. 3699; in der Talschlucht bei Tablas, ca. 1800 m, No. 4664 c. fr. !; im unteren Coranital, ca. 1800 m, No. 4762.

Neckeraceae.

Phyllogonieae.

Phyllogonium Brid. Bryol. univ. II.

505. **Phyllogonium fulgens** (Sw.) Brid.

In großer Menge von Baumästen herabhängend im Nebelwald über Comarapa, ca. 2600 m, No. 3934.

506. **Phyllogonium viscosum** (Palis.) Mitt.

An Baumästen im Bergwald des Rio Tocorani, ca. 2200 m, No. 4119; massig im Wald von Chusimayo bei Incacorral, ca. 2200 m, sine No., hier schon auf der ersten Reise, auch c. fr. gesammelt.

Neckereae.

Calyptothecium Mitt. in Journ. Linn. Soc. Bot. X.

507. **Calyptothecium duplicatum** (Schwgr.).

var. **integerrimum** Herzog nov. var.

Differt a typo foliis integerrimis.

An Bäumen in der Cordillere von Santa Cruz, ca. 1400 m?, No. 3524; im Bergwald von Florida de San Mateo, ca. 2000 m, No. 3681.

Neckeropsis Reichdt. in Novara Exp. Bot. I.

508. **Neckeropsis undulata** (Palis).

An Bäumen im Bergwald der Cordillere von Santa Cruz — zwischen Cuesta de Suspiros

und Cuesta de Guitarras —, ca. 1000 m, No. 3904; in der Talschlucht von Tablas, ca. 1800 m, No. 4526.

Neckera Hedw. Fund. II.

509. **Neckera Lindigii** Hpe.

Häufigste Art. An Bäumen im Bergwald große, meist reich fruchtende Rasen bildend. Z. B. bei Tres Cruces in der Cord. von Santa Cruz, ca. 1400 m, No. 3502, 3985; im Nebelwald über Comarapa, ca. 2600 m, No. 3953; bei Incacorral, ca. 2200 m, No. 5027; bei Florida de San Mateo, ca. 2000 m, No. 3627.

510. **Neckera Jamesonii** Tayl.

N. cyathocarpa Hpe.

Im Nebelwald über Comarapa, ca. 2600 m, No. 4336; an der Waldgrenze im obersten Paractital, ca. 3200 m, No. 4386.

N. cyathocarpa Hpe. ist von *N. Jamesonii* nicht zu unterscheiden. Die Kapselform wechselt am gleichen Exemplar.

511. **Neckera Marchalii** Herzog nov. spec. (Fig. 43).

Autoica; *gracilis*, caule late pinnato breviusculo, 3—5 cm longo valde complanato viridi nitidulo dite fructifero. Folia 8-seriata, anguste oblongo-ligulata, horizontaliter falcata, undulata, basi uno latere inflexa, caulina 3,5 mm longa, obtusiuscula, integerrima vel subintegerrima, nervo simplici medio viridi tenui vel gemello brevissimo, ramalia ca. 2 mm longa, distinctius

breviter acuminata, apice tenuissime serrulata, enervia vel nervis binis brevissimis obsoletis, cellulis omnibus angustissime linearibus, alaribus haud distinctis; perichaetalia interna laxevolventa, oblonga, breviter acuminata, 2 mm longa. Seta 2—3 mm longa, perichaetalia parum superans; theca exserta, minuta, 1—1,5 mm longa, cyathiformis, sub ore ampliato constricta; peristomii externi dentibus tenerrime punctulatis haud striatis, interni processibus parum brevioribus.

An Bäumen im Bergwald von Florida de San Mateo, ca. 2000 m, No. 3635; im unteren Coranital, ca. 1800 m, No. 4739; im Bergwald von Tres Cruces (Cord. von Santa Cruz), ca. 1400 m, No. 3907.

Durch die Kleinheit aller Teile und die dicht punktierten, nicht gestreiften Peristomzähne von ihren Verwandten in der Gruppe *N. Jamesonii* und *N. andina* gut unterschieden. Ich widme diese Art Herrn Prof. Dr. Marchal in Gembloux (Belgien).

512. **Neckera eucarpa** Schimp.

An Gesträuch- und Baumästen, um die Waldgrenze häufig.

An der Waldgrenze über Tablas, ca.



Fig. 43. *Neckera Marchalii* H. n. sp. a Habitusbild 1:1, b fruktifizierender Ast 4—5:1, c Stengelblatt 31:1, d Astblatt 31:1, e Perichaetium und Kapsel 12:1.

3400 m, No. 2827; in den Estradillas über Incacorral, ca. 3200—3300 m, No. 3323; im obersten Paractital, ca. 3300 m, No. 4387; an der Waldgrenze des Rio Saujana, ca. 3400₂ m, No. 3284.

Thamnieae.

Porotrichum (Brid.) Bryol. jav.

Sect. *Complanaria* Fleisch.

513. *Porotrichum pinnatelloides* C. M. (Fig. 44).

An Bäumen im feuchten Bergwald oft ausgedehnte lockere, immer reich fruchtende Rasen bildend.

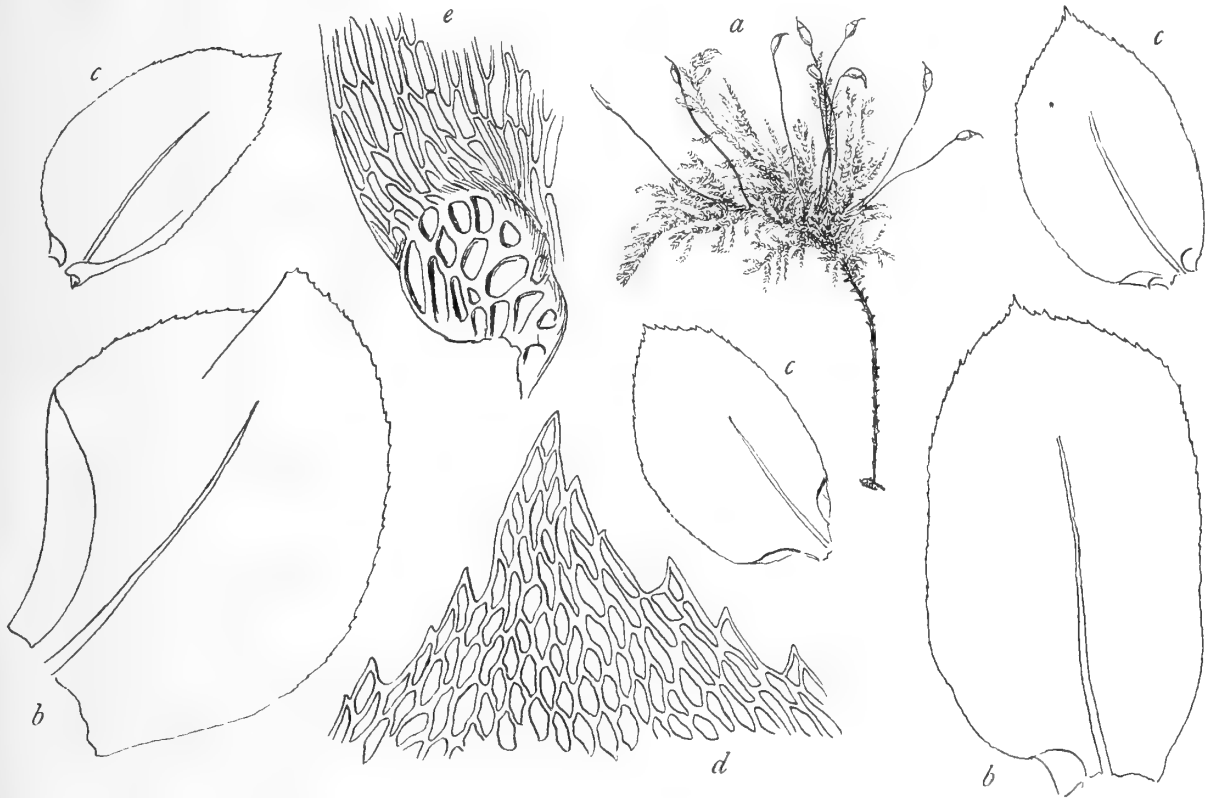


Fig. 44. *Porotrichum pinnatelloides* C. M., No. 4046. a Habitusbild 1:1, b Stengelblätter 31:1, c Astblätter 31:1, d Blattspitze 250:1, e Blattflügel 250:1.

Im Bergwald des Rio Tocarani, ca. 2200 m, No. 4046; zwischen San Mateo und Sunchal, ca. 2000 m, No. 4505; bei Incacorral, ca. 2200 m, No. 4983, hier auch auf der ersten Reise, aber fälschlich als *P. longirostre* bestimmt.

Sect. *Euporotrichum* Besch.

514. *Porotrichum Lorentzii* (C. M.).

An Baumwurzeln in der Waldcordillere von Santa Cruz häufig, z. B. am Sillar, ca. 1500 m, No. 3512, bei Tres Cruces, ca. 1400 m, No. 3893.

Nach meiner Auffassung zu *Porotrichum* in die Verwandtschaft von *P. longirostre* gehörig. In seine nächste Nähe gehört auch *P. amboröicum* H. in Beih. Bot. Centr. 1909.

515. *Porotrichum longirostre* (Hook.).

An Baumstämmen im Bergwald des Rio Tocorani, ca. 2200 m, No. 4101/a; in der Talschlucht bei Tablas, ca. 1800 m, No. 4520 u. 4606.

516. *Porotrichum macropoma* Herzog nov. spec. (Fig. 45).

Dioicum; laxe caespitosum, caule secundario brevi ca. 3 cm longo prolifero inferne stipiti-formi denudato superne bipinnatim ramoso, ramis parum decrescentibus in frondem sub-

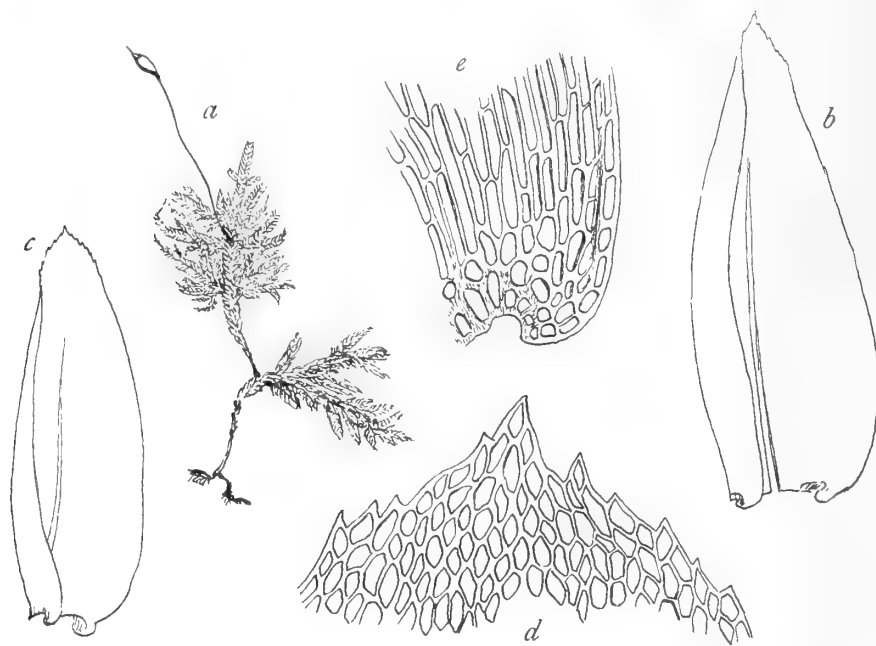


Fig. 45. *Porotrichum macropoma* H. n. sp. a Habitusbild 1:1, b Stengelblatt 31:1, c Astblatt 31:1, d Blattspitze 250:1, e Blattflügel 250:1.

flabelliformem valde complanatam coordinatis. Folia caulina ad 2 mm longa, valde complanata, pseudodisticha, e basi auriculata elliptica, breviter acuminata, margine uno latere late inflexo, nervo sat tenui $\frac{3}{4}$ folii percurrente, apice serrulata; ramalia parum minor, complanata, distincte auriculata, elliptico ligulata, apiculata, argutius serrata, nervo vix brevior, cellulis alaribus subrotundis fuscatis excavatis in auriculam congestis, ceteris anguste linearibus pellucidis tenerrimis, apicalibus valde abbreviatis subrhombohexagonis. Seta ultra 2 cm

longa, flexuose suberecta; theca pro genere majuscula, deoperculata ad 3 mm longa, parum inclinata, e collo distincto turgide ovalis, operculo alte cupulato longe subrecte rostrato.

Im Nebelwald über Comarapa, ca. 2600 m, No. 4312; im Bergwald des Rio Tocorani, ca. 2200 m, No. 4080/a.

Mit *P. longirostre* verwandt, aber durch die sehr flache Beblätterung, die deutlichen Blattöhrchen und die auffallend große Kapsel gut unterschiedene Art.

517. *Porotrichum strictum* Herzog nov. spec. (Fig. 46).

Dioicum; laxe caespitosum, caulibus secundariis e caule primario rhizomatico longe repente suberectis strictis a substrato horizontaliter patentibus 8—10 cm longis basi denudatis superne pinnatim ramosis, caule ramisque complanatis, ramulis vix complanatis. Folia caulina laxiuscula, majora, ramalia densa, minor, subconformia, caulina ultra 2 mm longa, e basi indistincte auriculata ovata late ligulata, rotundata, lateralia margine uno latere late inflexa, apice complanata, argute inciso-serrata, nervo sub apice evanido, cellulis inferioribus anguste linearibus, in apice breviter hexagonis laxiusculis, alaribus paucis excavatis subrotundis fuscatis; ramalia lateralia 1,5 mm longa, similia, distinctius auriculata, media parum breviora, concava, ovata, late acuminata, apice parce serrata; perichaetia interna e basi anguste oblonga longe subulata, integerrima. Seta recta, 20—23 mm longa; theca e collo longiusculo plicato elliptica, pallide fusca, operculo longe oblique rostrato; peristomii externi dentibus inferne dense horizontaliter striatis, ciliis nullis; sporis diametro 0,01 mm ochraceis.

An Bäumen zwischen San Mateo und Sunchal, ca. 1800 m, No. 4483.

Dem *P. longirostre* (Hook.) verwandt, aber durch den Habitus und die kleingeohrte Blattbasis verschieden.

Porothamnium Fleisch. Laubm.
v. Java.

Sect. *Pseudo-Porotrichum*
(Broth.) Fleisch.

518. **Porothamnium gymnopodum** (Tayl.).

An Baumrinde in schattig-feuchten Wäldern.

Im Nebelwald über Comarapa, ca. 2600 m, No. 4204 u. No. 4248 c. fr.

519. **Porothamnium ramosissimum** (Hpe.)

An ähnlichen Orten; im Nebelwald über Comarapa, ca. 2600 m, No. 3978.

520. **Porothamnium subramosissimum**

Broth. in herb.

Wie die beiden vorigen.

Im Nebelwald über Comarapa, ca. 2600 m, No. 4236, 4311; im Bergwald des Rio Tocarani, ca. 2200 m, No. 4047.

Sect. II. *Thamniadelphus* Fleisch.

521. **Porothamnium neckeraeforme** (Hpe.).

Im Bergwald des Rio Tocarani, ca. 2200 m, No. 4015 c. fr.

522. **Porothamnium explanatum** (Mitt.).

Hierher gehört wohl nach Brotherus' brieflicher Mitteilung ein steril gesammeltes Moos aus dem Bergwald von Florida de San Mateo, ca. 2000 m, No. 3680.

523. **Porothamnium subexplanatum** Broth. et Herzog nov. spec. (Fig. 47).

Dioicum; caulibus robustis arbusculantibus, stipite decumbente foliato vel erecto inferne subnudo sursum dendroideo-ramoso comoso atrato, foliis obscure viridibus vix nitidulis. Folia caulina remota, ultra 3 mm longa, basi ad 2 mm lata, late ovata, parum acuminata, subexplanata, subintegerrima, nervo viridi sub apice evanido, cellulis elongate hexagonis summis tantum brevioribus; ramalia 2 mm longa, vix complanata, cochleariformi-concava, valde asymmetrica, e basi angustata breviter late ligulato-spathulata, apice rotundata, apiculo brevi lato, superne argute serrata, cellulis omnibus abbreviatis hexagonis pellucidis chlorophyllosis; perichaetialia e basi ovata subulata, integerrima, cellulis omnibus elongatis incrassatis valde punctulatis. Seta erecta, subflexuosa, apice parum arcuata, 15—17 mm longa, crassiuscula, atropurpurea; theca horizontalis, breviter cylindrica, vix curvata, sub ore constricta, robusta, deoperculata 2,5 mm longa, operculo olivaceo longe oblique aciculari-rostrato; peristomium generis.

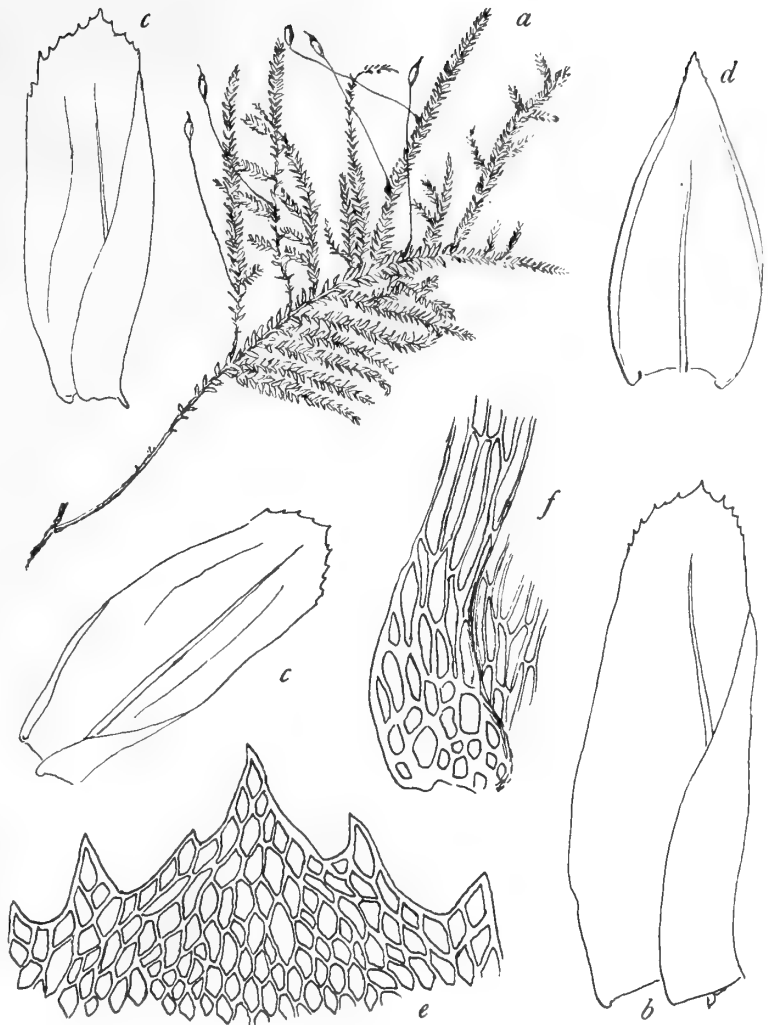


Fig. 46. *Porotrichum strictum* H. n. sp. a Habitusbild 1:1, b Stengelblatt 31:1, c normale Astblätter 31:1, d seltenere Form (mitten und oben) 31:1; e Blattspitze 250:1, f Blattflügel 250:1.

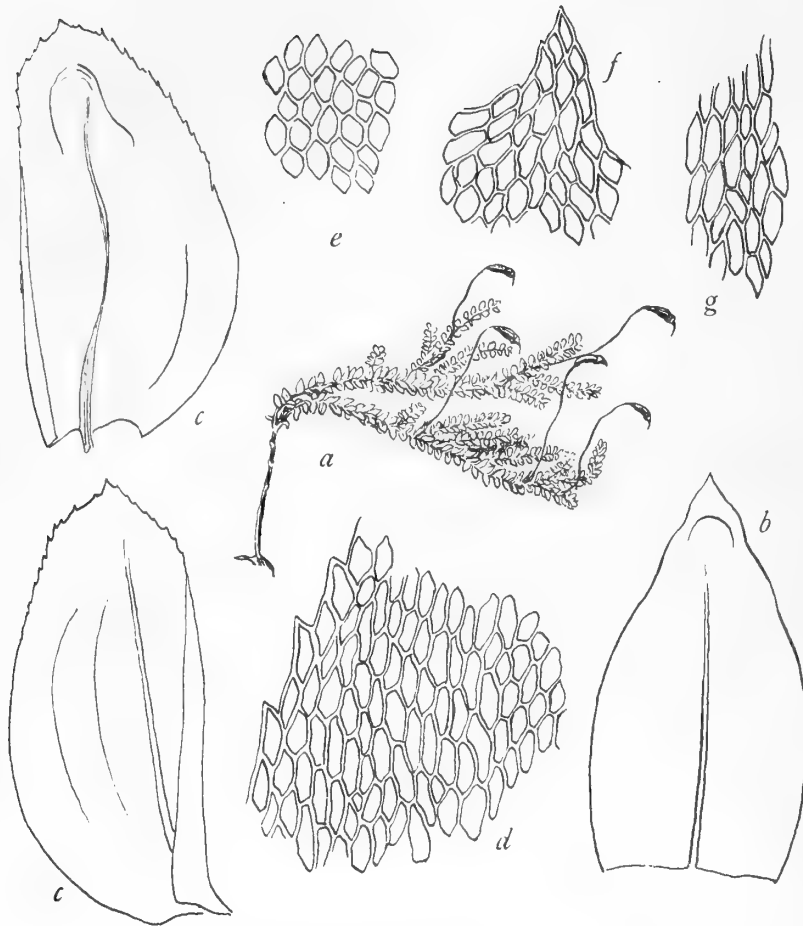


Fig. 47. *Poroathamnium subexplanatum* H. n. sp. a Habitusbild 1:1, b Stengelblatt 15:1, c Astblätter 31:1, d Blattrand in der Mitte 250:1, e Zellen der Blattspitze 250:1, f Blattsipitze 250:1 und g Zellen der Blattmitte 250:1 (f u. g von *P. explanatum*).

validiusculo $\frac{3}{4}$ folii percurrente, cellulis alaribus perpaucis fuscatis vix excavatis, ceteris omnibus anguste linearibus apicalibus abbreviatis laxioribus.

An der Waldgrenze über Tablas, ca. 3400 m, No. 2813.

Mit *P. leucocaulon* (C. M.) verwandt.

Poro-trichodendron Fleisch. Laubm. v. Java.

525. **Poro-trichodendron superbum** (Tayl.) Broth. (Fig. 49).

Poro-trichum Mitt.

Poro-trichodendron bolivianum Herzog in sched.

Neckera heteroclada Herzog in Beih. Bot. Centralblatt 1909.

Eine sehr kritische, formenreiche Art.

Im Nebelwald über Comarapa, ca. 2600 m, No. 3819 u. 4216 c. fr., hier auch eine lang herabhängende Form (f. *pendula*) No. 3818; bei Incacorral, ca. 2200 m, No. 4979, steril; eine Form mit quergewellten Stengelblättern (f. *undulata*) im Nebelwald über Comarapa, ca. 2600 m, No. 3950 u. 4206; in den Estradillas über Incacorral ca. 3000 m (1. Reise, als *Neckera heteroclada* mihi veröffentlicht).

In der Talschlucht von Tablas, ca. 1800 m, No. 4638, 4639.

Von *P. explanatum* (Mitt.) durch verschiedenartige Stamm- und Astblätter, lockeres Zellnetz in der Spitze der Astblätter, sehr hohle Astblätter und kräftigeren Wuchs zu unterscheiden.

524. **Poro-thamnium comosum** Herzog nov. spec. (Fig. 48).

Sterile; caule primario rhizomato repente tomentoso, caulibus secundariis erectis arbusculantibus 6—8 cm longis, parte inferiore stipitiformi 4—5 cm longa eramosa atrata foliis squamiformibus pallidis appressis laxè oblecta, apice tantum ramosis, ramis numerosis brevibus teretiusculis iterum laxè ramosis tenuibus in comam densam congestis. Folia caulina concavissima, late triangulari-ovata, cucullata, vix apiculata, apice parce serrulata, 3 mm longa, basi 3 mm lata, nervo viridi ultra medium saepius inaequaliter furcato; ramalia multo minor, e basi ovata breviter ligulata, 1,5 mm longa, parum concava, plicata, apice argute grosse, inferne minutius serrata, nervo

Die vorliegende Art ändert im Wuchs, in der Beblätterung und der Blattform so sehr ab, daß die Unterbringung steriler Formen die größten Schwierigkeiten bereitet. Es lassen sich 2 Haupttypen unterscheiden, nämlich die mit durchaus drehrunder Beblätterung von Stengel und Ästen und die mit verflachter Beblätterung des Hauptstengels, wobei aber die Äste doch fast drehrund beblättert sind. Der erstere Typus unterscheidet sich auch durch den etagenförmigen Wuchs und durchwegs löffelartig hohle Blätter von dem zweiten, bei welchem die Äste meist fiederig in einer Ebene abstehen und die Blätter des Hauptstengels meist etwas verflacht erscheinen. Als extreme Form dieses zweiten Typus betrachte ich No. 3950 u. 4206 sowie die Pflanzen aus den Estradillas von meiner ersten Reise, die mich zur Aufstellung einer neuen *Neckera*-Art veranlaßten. Hier ist die Querswellung der Stengelblätter derartig auffallend, daß sie sofort an *Neckera* denken läßt, zumal die Sporogone fehlen und infolgedessen nicht auf die richtige Spur leiten können. Eine sorgfältige Vergleichung aller vorliegenden Exemplare läßt jedoch die Identität derselben und ihre Zugehörigkeit zu *P. superbum* erkennen. Eine seltsame Wuchsform ist auch die *f. pendula*, die sich aber in ihrer rundlichen Beblätterung trotzdem eng an den 1. Typus anschließt. No. 4979 zeichnet sich durch sehr verflachte Beästung und die flagellenförmigen Astendigungen aus und zeigt an einzelnen Stengelblättern den Beginn einer Querswellung, wodurch sie zu der *f. undulata* hinüberleitet; wahrscheinlich ist diese Form identisch mit *P. stolonaceum* Hpe.

526. **Porotrichodendron gracile** Herzog nov. spec. (Fig. 50).
Sterile; laxe caespitosum, iterum proliferum, habitu *Hylocomium umbratum* vel *H. proliferum* in mentem referens, caulibus arcuatis ad 10 cm longis tertiusculis eleganter irregulariter laxe bipinnatim ramosis, ramis flexuosis flagelliformi-attenuatis, exodermide rubro-pellucida, ceterum flavido-viridibus nitidulis. Folia caulina densiuscule imbricata, haud vel vix complanata, parum concava, e basi exauriculata late ovalia, 2 mm longa, obtusa, brevissime apiculata, apice minutim argute eroso-serrata, nervo $\frac{3}{4}$ folii percurrente, cellulis alaribus paucis ellipticis incrassatis vix fuscatis parum excavatis, ceteris anguste linearibus apice abbreviatis, ramalia multo minora, vix 1 mm longa, concaviora, late spathulata, (supra medium latissima), exauriculata, apice argute eroso-serrulata, nervo medio tenuissimo, cellulis alaribus perpaucis distinctis parum excavatis, ceteris limpидis angustissimis.

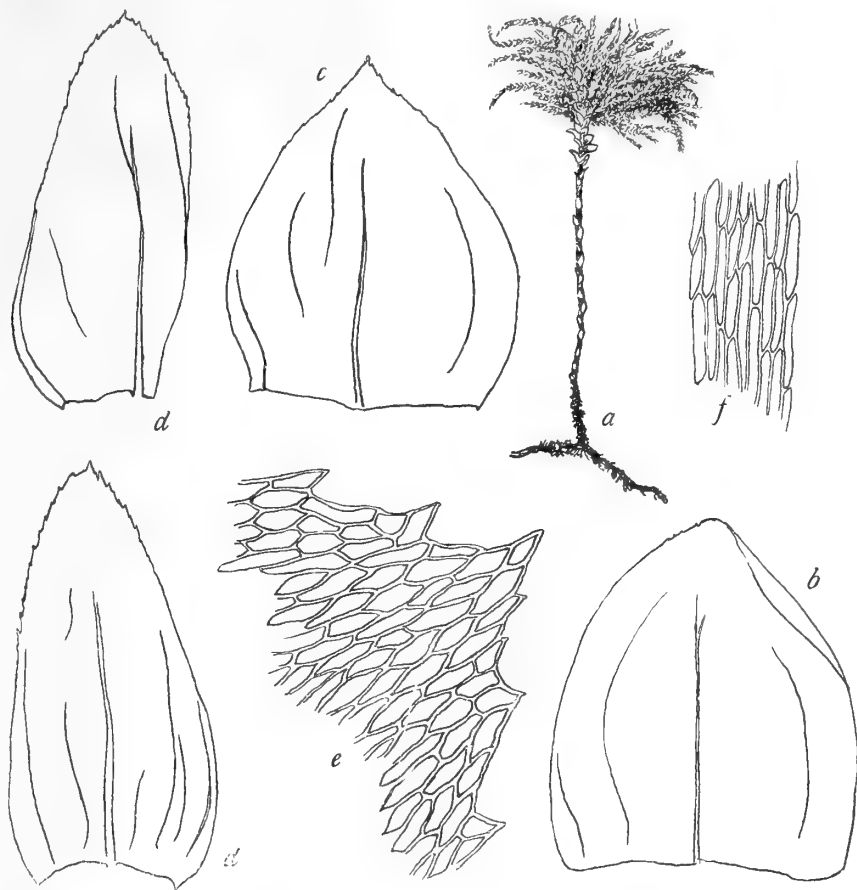


Fig. 48. *Porotrichum comosum* H. n. sp. a Habitusbild 1:1, b Stengelblatt 15:1, c oberes Stengelblatt 31:1, d Astblätter 31:1, e Blattspitze (Astblatt) 250:1, f Zellen der Blattbasis 250:1.

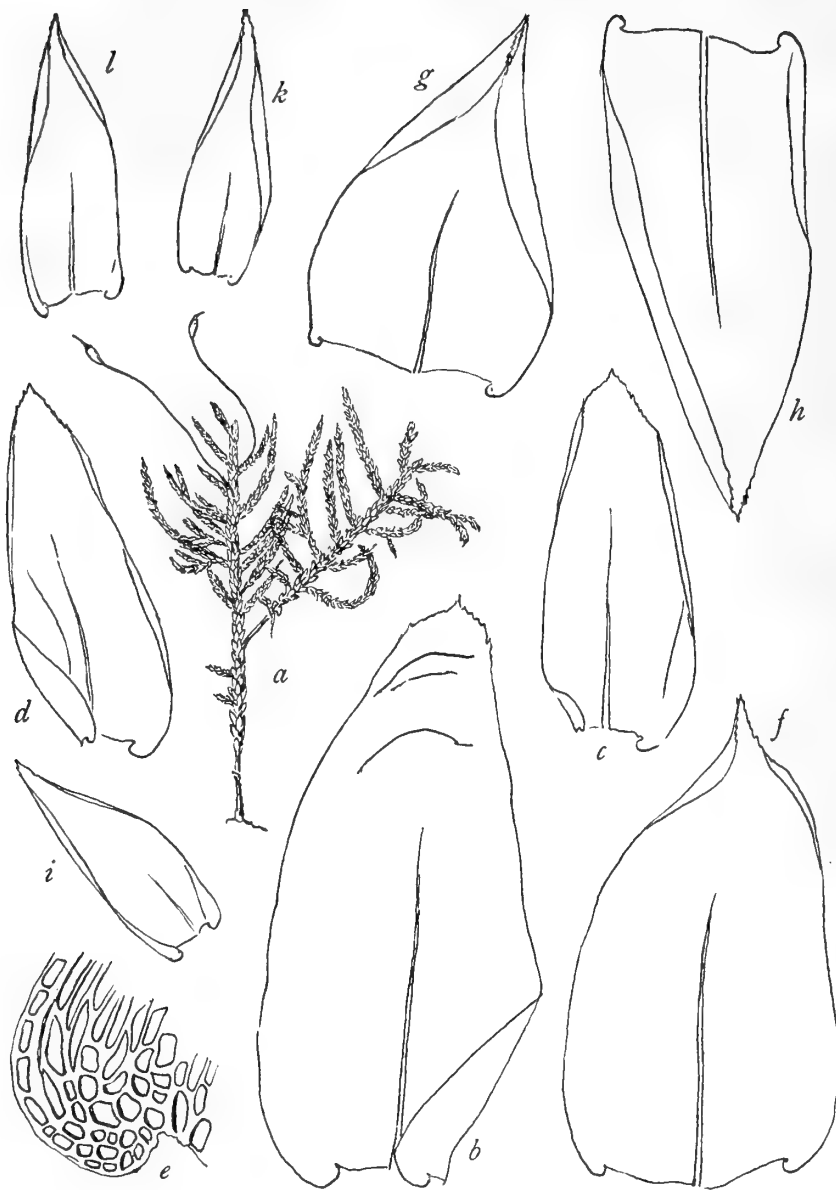


Fig. 49. *Porotrichodendron superbum* (Tayl.). a Habitusbild 1:1 No. 3819, b—e No. 4979: b Stengelblatt 31:1, c, d Astblätter 31:1, e Blattöhrchen 250:1, f—l No. 4216: f, g, h Stengelblätter 31:1, i, k, l Astblätter 31:1.

An der Waldgrenze über
Tablas, ca. 3400 m,
No. 2875.

Von *P. superbum* durch
den schlanken Wuchs, die sehr
dünnen Äste und sehr kleinen
Astblätter, sowie deren Form und
das Fehlen des Blattöhrchens
bestens unterschieden.

527. *Porotrichodendron robustum*
Broth. n. sp. (Fig. 51).

Robustum, lutescenti-vi-
ride, nitidiusculum; caulis secun-
darius ca. 8 cm longus, strictus,
dense foliosus, ramosus, ramis
vix complanatulis, dense pinnatim
ramulosis, ramulis patentibus,
plerumque raptim flagella elon-
gata, filiformi, plus-minusve ramosa
instructis; folia erecto-
patentia, cochleariformi-concava,
caulina oblonga vel ovato-ob-
longa, breviter acuminata, acuta,
marginibus erectis, superne in-
curvis ibidemque minute serru-
latis, nervo tenui, ultra medium
folii evanido, cellulis superioribus
anguste rhomboideis, inferioribus
linearibus; folia ramea angustiora.
Caetera ignota.

Im Nebelwald über Co-
marapa, alt. 2600 m,
No. 3937.

Species statura robusta
ramisque uberrime filiferis oculo
nudo jam dignoscenda.

Porotrichopsis Broth et Herzog nov. gen.

528. *Porotrichopsis flacca* Herzog nov. spec. (Fig. 52).

Dioica (planta ♂ tantum observata); caulis primarius rhizomaticus, arcuatus, apice decur-
vatus, stolonaceus, caules secundarios laxè dispositos simplices flaccos tenues arcuatos apice flagelloso-
attenuatos ibique defoliantes emittens, floribus ♂ creberrimis gemmaceis, perigonalibus concavissimis
obovatis marginibus late inflexis acuminatis integerrimis. Folia laxè disposita, undique
patentia, strictiuscula, nitida, sicca immutata, 2 mm longa, carinato-concava, e basi angustiore
haud auriculata anguste lineari-spathulata, acuta, apice irregulariter grosse serr-
rata, margine a basi usque ad medium angustissime revoluta, nervo simplici
tenuissimo viridi, infra medium evanido, cellulis alaribus valde distinctis totum spatium

inter nervum marginemque occupantibus laxis subquadratis vel ovalibus incrassatis, nonnullis magnis fuscatis excavatis, ceteris omnibus elongate hexagonis laxiusculis laevibus chlorophyllosis.

Zwischen andern Baummoosen im feuchten Bergwald zwischen San Mateo und Sunchal, über 2000 m?, No. 4503.

Dieses hübsche, leider nur spärlich und steril gefundene Moos gehört zweifellos zu einer neuen Gattung in der Verwandtschaft der *Porotrichen*. Der Zuschnitt der Blätter, wenn auch in dieser ungewohnt schmalen Form stark verändert, die grobe Serratur der Blattspitze, die dünne einfache Rippe und das hexagonale Zellnetz lassen die Zugehörigkeit desselben zu den *Porotrichen* ohne weiteres erkennen. Für die neue Gattung charakteristisch ist jedoch die große, ausgehöhlte Gruppe von Blattflügelzellen, die die ganze Breite des Blattgrundes mit Ausnahme der Rippe einnimmt. Eine deutliche Differenzierung von Blattflügelzellen findet sich zwar schon bei *Porotrichodendron*, aber dort sind sie viel kleiner und in einem kleinen, deutlich abgesetzten Blattöhrchen zusammengedrängt, während bei *Porotrichopsis* nicht die Spur eines Blattöhrchens zu finden ist, die Basis vielmehr die schmalste Stelle des Blattes darstellt.

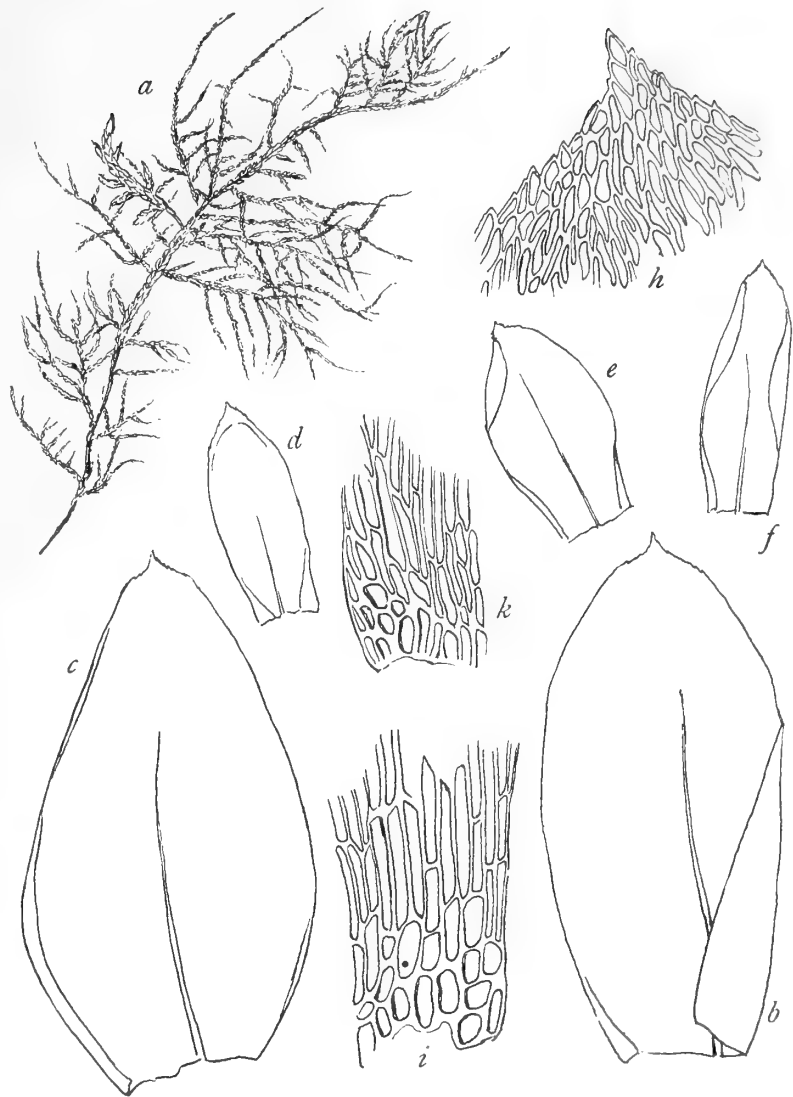


Fig. 50. *Porotrichodendron gracile* H. n. sp. a Habitusbild 1:1, b, c Stengelblätter 31:1, d, e, f Astblätter 31:1, h Spitze eines Stengelblattes 250:1, i Flügel eines Stengelblattes, k Flügel eines Astblattes 250:1.

Lembophyllaceae.

Lembophyllum Lindb. in Act. Soc. Sc. Fenn. X.

529. *Lembophyllum bolivianum* Herzog nov. spec. (Fig. 53).

Late caespitosum, e pallide viridi ochraceum, caule primario repente, secundariis suberectis vel arcuatis 5—7 cm longis superne subpinnatim ramosis ramis brevibus teretibus attenuatis subcuspidatis. Folia sat densa, concavissima, cymbiformi-incumbentia, e basi latissima auriculata subrotundo-ovata, apice perfecte rotundato latissimo, ibique tenerrime crenulata, ceterum integerrima, nervis duobus brevissimis obsolete, cellulis angustissime linearibus subvermicularibus, modice incrassatis conflata, auriculis valde excavatis cellulis multis subrotundis incrassatis chlorophyllosis fuscis contexta; ramalia minora, angustiora, latissime apiculata, distinctius suberoso-crenulata.

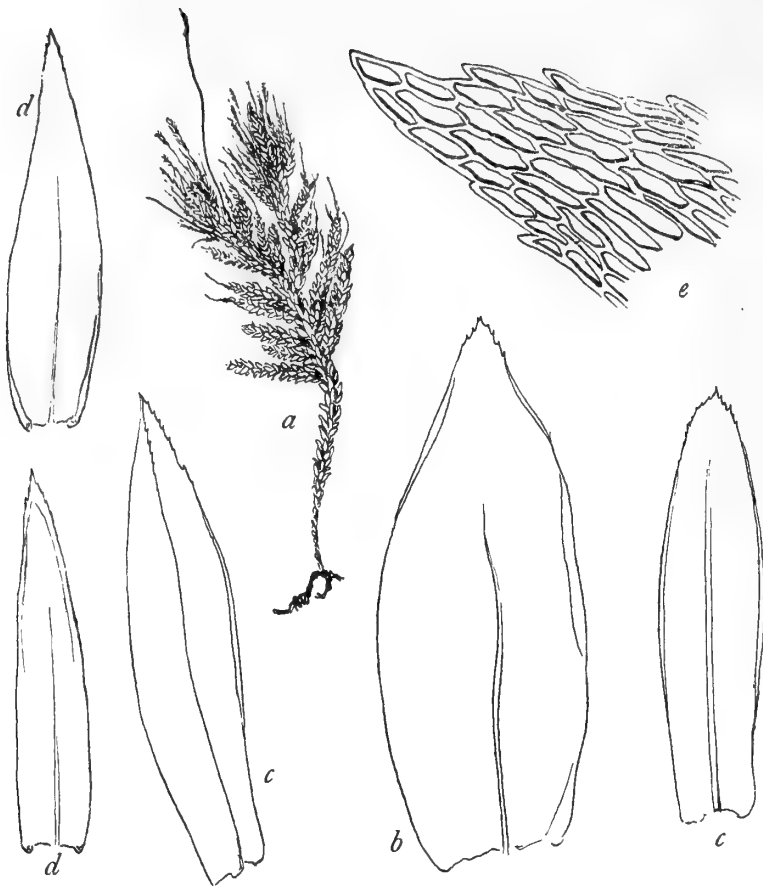


Fig. 51. *Porotrichodendron robustum* Broth. n. sp. a Habitusbild 1:1, b Stengelblatt 31:1, c Astblätter 31:1 (b u. c von No. 3937), d Astblätter 31:1, e Spitze eines Astblattes 250:1 (d u. e von No. 4203).

2600 m, No. 3366; im Bergwald von Florida de San Mateo, ca. 1600—1800 m, No. 3653 (*f. stylosa*); im Bergwald des Rio Tocarani, ca. 2600 m, No. 4076 (*f. stylosa*); bei Incacorral, ca. 2300 m, No. 4974 (*f. robustior*); bei Florida de San Mateo, ca. 1600 m, No. 3715 (*f. robustior*); an der Waldgrenze des Rio Saujana (Quimzacruz), ca. 3400 m, No. 3266 (*f. robustior*).

var. **macropterus** Herzog nov. var.

A typo differt foliis latoribus, cellulis alaribus numerosissimis alam magnam constituentibus.

Auf Steinen bei Incacorral, ca. 2200 m, No. 5011.

Bei dieser Art kommen Formen mit kürzerer und längerer Columella vor. Die letztere Form, bei welcher die Columella über den Rand der trockenen Kapsel emporragt, habe ich als *forma stylosa* bezeichnet.

531. **Entodon micans** Herzog nov. spec. (Fig. 54).

Autoicus; late caespitosus, depressus, caulibus gracillimis repentibus apice stolonoidis pallide viridibus argenteo-micantibus subpinnatim ramosis, ramis tenuibus siccis subteretibus foliis decurvis, humidis sursum convexis deorsum concavis inde subtus sulcatis. Folia caulina concavissima, minuta, 1 mm longa, ovalia, brevissime apiculata, apiculo subrecurvo tenerrime serrulato, ceterum integerrima, nervis nullis, cellulis tenuissimis limpidis angustissimis, alaribus multis quadratis chlorophyllous, ramalia vix minora parum angustiora; perichaetia convoluta, anguste oblonga, longe acuminata, acumine reflexo integerrima. Seta brevis, 8—10 mm longa, rubra; theca breviter cylindrica, vix ultra 2 mm longa, levissime striata, operculo brevi

Zwischen Gras in der Felschlucht von Toncoli, ca. 3500 m, No. 4382; an der Waldgrenze des Rio Saujana ca. 3500 m, No. 3250/a.

Das Vorkommen einer Art dieser bisher nur aus Australien, Tasmanien und Neu-Seeland bekannten Gattung ist pflanzengeographisch außerordentlich bemerkenswert. Es läßt einmal auf Zwischenstationen der bisher im antarktischen Südamerika noch nicht gefundenen Gattung in Patagonien und Feuerland schließen und bildet andererseits ein wichtiges Glied in der Reihe antarktischer Pflanzen, die längs der Cordillere nach Norden gewandert sind.

Entodontaceae.

Entodon C. M. in Bot. Ztg. 1844.

Sect. *Erythropus* Broth.

530. **Entodon Nanoclimacium** C. M.

Auf Steinen und über Baumwurzeln, breite, meist reich fruchtende Rasen bildend.

Im oberen Coranital, ca.

oblique rostrato, columella prominente, peristomio brevi 0,25 mm longo, externo dentibus ex aureo fuscatis anguste lanceolatis basi horizontaliter superne oblique striatis apice pallidis, juvenilibus laevibus, vetustis superne papillois, interno processibus aequilongis angustissime linearibus carinatis, linea mediana hic illic fissis laevibus hyalinis; sporis ochraceis, diametro 0,010—0,012 mm laevissimis.

Auf Baumwurzeln im Wald bei Yuto (Ostrand der Cordillere, N. Argentinien), ca. 400—500 m, No. 2551 u. 3762.

Mit *E. Beyrichii* Schwgr. nahe verwandt, aber in allen Teilen bedeutend kleiner und durch das Peristom verschieden.

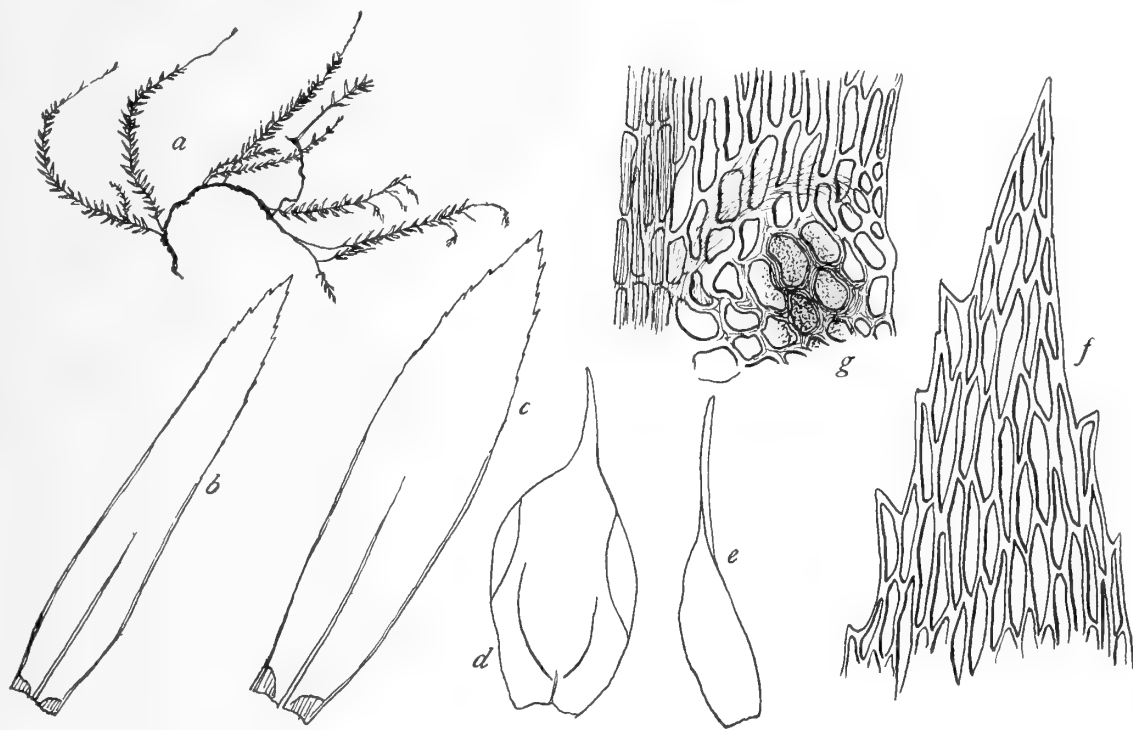


Fig. 52. *Porotrichopsis flacca* Broth. et H. n. gen. a Habitusbild 1:1, b, c Blätter 31:1, d, e Perigonalblätter 31:1, f Blattspitze 250:1, g Blattflügel 250:1.

Sect. *Xanthopus* Broth.

532. *Entodon flexipes* C. M.

Im Bergwald von Florida de San Mateo, ca. 1800 m, No. 3718.

533. *Entodon flavissimus* C. M.

An Baumstäben und Steinen, häufig auch auf den Einfassungsmauern der kleinen Äcker im Waldgebiet.

An Bäumchen in den Estradillas über Incacorral, ca. 3100—3300 m, No. 3333; im oberen Coranital, ca. 2300—2600 m, No. 3388; zwischen Tocarani und Lagunillas, ca. 3000 m, No. 3844; bei Incacorral, ca. 2200 m, No. 5012.

534. *Entodon gracilisetus* Hpe.

Auf Steinen und an Baumwurzeln.

Zwischen San Miguelito u. Sillar, ca. 1600 m, No. 2728; bei Incacorral, ca. 2200 m, No. 5015, 5040.

535. *Entodon microcarpus* Broth. n. sp.

Autoicus; gracilescens, laete viridis, nitidus; caulis usque ad 3 cm longus, dense et complanate foliosus, pinnatim ramosus, ramis patulis, vix ultra 1 cm longis, cum foliis ca. 2 mm latis, obtusis; folia lateraliter patentia, concava, e basi contracta ovato-oblonga, breviter acuminata, acuta, marginibus erectis, apice minute serrulatis, nervis binis, brevibus, cellulis angustissime linearibus, basilaribus breviori-

bus et laxioribus, alaribus numerosis, quadratis; bracteae perichaetii erectae, e basi longe vaginante sensim lanceolato-subulatae, integrae; seta solitaria, ca. 1 cm alta, tenuis, lutea; theca erecta, anguste cylindracea, ca. 3 mm longa et ca. 0,57 mm crassa, pallida; exostomii dentes lanceolati, ca. 0,3 mm longi et ca. 0,07 mm lati, aurantiaci, basi transverse, superne oblique striati, laeves; endostomium fuscum, laeve; processus dentium longitudinis, angustissime lineares; spori 0,017 ad 0,020 mm, virides, laeves; operculum e basi conica breviter oblique rostratum.

Corani-Tal, Steine, alt. 2400 m, No. 3393.

Species seta solitaria, theca minuta, angusta oculo nudo jam dignoscenda.

Pylaisia Br. et Schimp. in Hook. Lond. Journ. of bot. II.

536. **Pylaisia panduraefolia** Herzog nov. spec.

Autoica; densiuscule caespitosa, e viridi aurescens vix nitidula, caulibus repentibus apice curvatis dense ramosis, ramis suberectis ad 1 cm longis crassiusculis. Folia densa, sub-

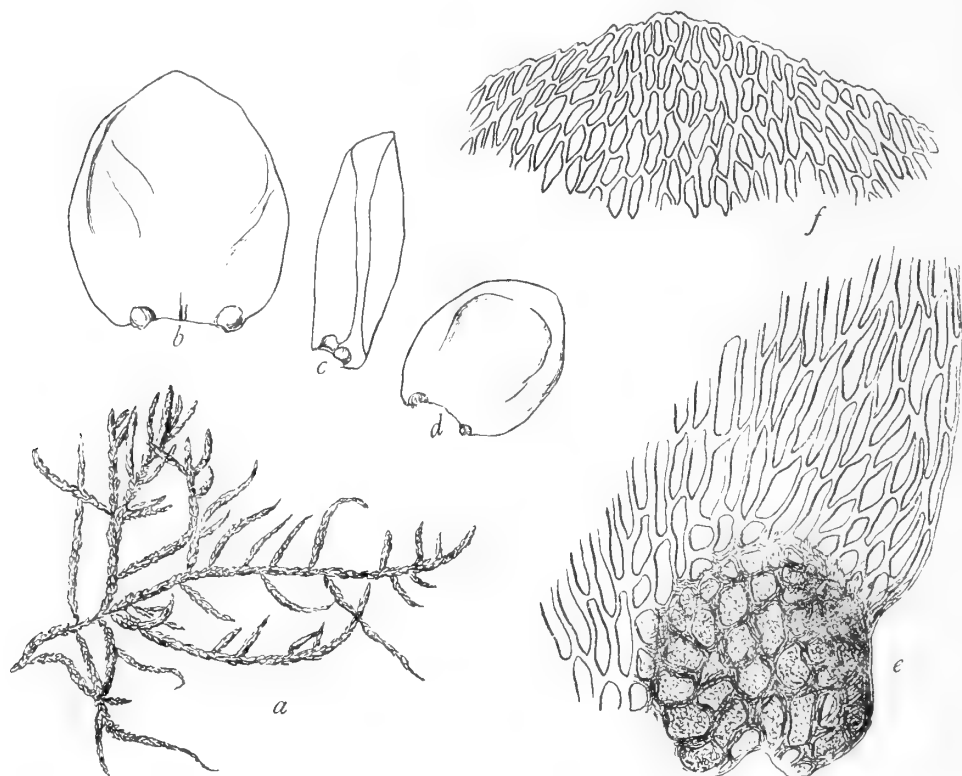


Fig. 53. *Lembophyllum bolivianum* H. n. sp. a Habitusbild 1:1, b Stengelblatt 20:1, c, d Astblätter 20:1, e Blattflügel 250:1, f Blattspitze 250:1.

secunda, e basi subcordata ovata, subpanduriformia, concavissima, longiuscule acuminata, margine erecta, integerrima, nervis subnullis vel raro brevissimis obsoletis, cellulis angustis

breviter linearibus chlorophyllosis, alaribus multis subquadratis valde chlorophyllosis; perichaetia patula, angustiora, integerrima. Seta erecta, 12—15 mm longa, arcte spiraliter torta, rubra; theca cylindrica, recta vel parum curvata, 2 mm longa, operculo brevi conico; peristomii externi dentibus longiusculis cristatis apice pallidis nodoso-articulatis,

interni processibus aequilongis angustis linea mediana fissis subhyalinis; sporis viridissimis, diametro 0,020 mm, tenerrime punctulatis.

Im Hochland von Totorá, ca. 2800 m, No. 5123.

Der *P. subfalcata* Schimp. nahestehend, aber durch sehr hohle, etwas geigenförmige Blätter und kürzere Blattspitze unterschieden.

Erythrodontium Hampe Symb. VIII.

537. **Erythrodontium squarrosus** (C. M.) Par.

An Baumästen im Bergwald von Florida de San Mateo, ca. 1600—1800 m, No. 3652, 3683; bei Tres Cruces (Cord. von Santa Cruz), ca. 1400 m, No. 3490/a.

538. *Erythrodontium Germainii* (C. M.) Par.

var. *brevipes* Broth. nov. var.

A typo differt seta brevi.

Bei Tres Cruces, Cordillere von Santa Cruz, ca. 1400 m, No. 3490.

539. *Erythrodontium brasiliense* (Hpe.) Par.

Bei Tres Cruces, Cordillere von Santa Cruz, ca. 1400 m, No. 3490/b.

540. *Erythrodontium macrocarpum* Broth. n. sp.

Autoicum; robustum, caespitosum, caespitibus densis, viridibus, inferne fusciscentibus, nitidis; *caulis* elongatus, divisus, divisionibus repentibus, dense foliosis, dense ramosis, ramis erectis, vix ultra 1 cm longis, dense et julaceo-foliosis; *folia* imbricata, cochleariformi-concava, late ovalia, raptim breviter acuminata, acuta, marginibus erectis, integerrimis, enervia, cellulis anguste ellipticis-

alaribus numerosis quadratis vel transverse latioribus; bractee perichaetii internae erectae, e basi longe vaginante sensim lanceolato-subulatae, apice minutissime denticulatae; seta 1,5 cm alta, lutescenti-rubra; theca erecta, oblonga-cylindracea, ca. 3 mm longa et ca. 1 mm crassa, pallide fuscidula; exostomii dentes aurantiaci, lanceolati, laeves, ultra orificium ca. 0,32 mm longi et ca. 0,065 mm lati; spori 0,025—0,035 mm, virides, minute papilloso; operculum e basi conica breviter et oblique rostratum.

In der Dornbuschsteppe von Comarapa, an Gesträuchwurzeln, alt. 1900—2000 m, No. 4320.

Species robustitate omnium partium a congeneribus oculo nudo jam dignoscenda.

Stereophyllum Mitt. *Musc. Ind. or.*

541. *Stereophyllum Lindmannii* Broth.

An Baumwurzeln bei Yuto (Randgebirge der Cordillere), N. Argentinien, ca. 450 m, No. 3763.

542. *Stereophyllum leucostegium* (Brid.) Mitt.

Mit voriger Art bei Yuto, No. 3767; beim Asiento im Aracatal an Gesträuchwurzeln, ca. 3800 m, No. 2988 (auffallend hoher Fundort!).

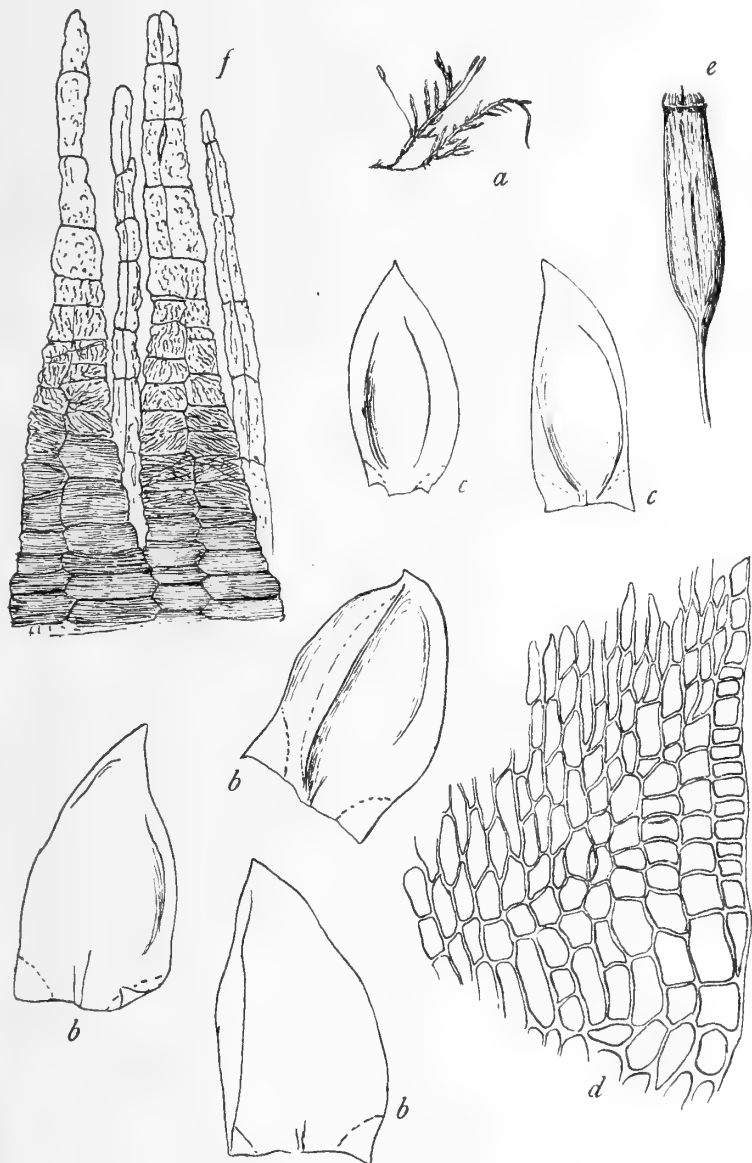


Fig. 54. *Entodon micans* H. n. sp. *a* Habitusbild 1:1, *b* 3 Stengelblätter 31:1, *c* 2 Astblätter 31:1, *d* Blattflügel (Stengelblatt) 250:1, *e* Kapsel ca. 15:1, *f* Peristom 250:1.

Fabroniaceae.

Fabronia Radd. in Atti dell. Acad. de Scienze di Siena IX.

543. **Fabronia andina** Mitt.
An Konglomeratfelsen und dünnen Ästchen unter Gebüsch bei La Paz, ca. 3600 m, No. 2560;
an Felsen bei der Mine Viloco (Quimzacruz), ca. 4400 m, No. 3302.
544. **Fabronia argentinica** C. M.
An Bäumen im Wald bei Yuto (N. Argentinien), ca. 450 m. No. 2551/a, 3768.
545. **Fabronia Podocarpi** C. M.
An Baumästen bei Tres Cruces (Cord. v. Santa Cruz), ca. 1400 m, No. 3486.
546. **Fabronia Attaleae** Herzog in Beih. Bot. Centr. 1909.
In den Achseln der abgefallenen Blätter von *Attalea princeps* um Santa Cruz, ca. 400 m,
No. 2621.

Anacamptodon Brid. Mant. musc.

547. **Anacamptodon cubensis** (Sull.) Mitt.
Auf faulem Holz im Bergwald von Tres Cruces, Cord. von Santa Cruz, ca. 1400 m, No. 3551.

Hookeriaceae.

Daltonieae.

Daltonia Hook. et Tayl. Musc. brit.

548. **Daltonia longifolia** Tayl.
An Baumästen im oberen Coranital, ca. 2600 m, No. 3399; im unteren Coranital, ca. 1800 m,
No. 4680; in der Talschlucht bei Tablas, ca. 1800 m, No. 4650, forma foliis angustioribus,
seta longiore.
549. **Daltonia tenuifolia** (Mitt.).
An der Waldgrenze über Tablas, ca. 3400 m, No. 2940; im oberen Coranital, ca. 2600 m,
No. 3418; in der Quebrada de Pocona, ca. 2800 m, No. 5149.
550. **Daltonia gracilis** Mitt.
Im unteren Coranital, ca. 1800 m, No. 4721.
551. **Daltonia pulvinata** Mitt.
Auf Baumästen im Nebelwald über Comarapa, ca. 2600 m, No. 4267; im unteren Coranital,
ca. 1800—2000 m, No. 4761.
552. **Daltonia Jamesonii** (Tayl.).
var. *laevis* Herzog nov. var.
A typo differt seta laevissima.
Auf schwarzer Erde an feuchten Felsen der Cerros de Malaga, ca. 4000 m, No. 4415.
553. **Daltonia pellucida** Herzog nov. spec.
Robustuscula, pulvinata, caulibus 1—2,5 cm longis basi dense fusco-tomentosis, superne iterum
ramosis vel subsimplicibus, e viridi flavescens, opaca. Folia densa, sicca contorta, flexuosa, humida
erecta, strictiuscula, 3—4 mm longa, longe oblongo-ligulata, breviter acuminata,
integerrima, profunde complicato-carinata, apice dorso impressa, marginibus late
recurvis, late limbata, limbo basi 7—9-seriali, in apice 2-seriali, nervo in plica mediana
abscondito longe ab apice evanido, cellulis omnibus fere laxis pellucidis hexagonis in apice
tantum densioribus, haud incrassatis, chlorophyllosis. Seta vix 1 cm longa, valde torta, laevissima,
purpurea; theca ovalis, deoperculata macrostoma, atropurpurea. Cetera ignota.
Auf Baumästen im Nebelwald über Comarapa, ca. 2600 m, No. 4214, 4294, 4281.

Diese Art zeichnet sich durch das lockere Zellnetz der Blätter, stark zurückgeschlagene Blattränder und breiten Saum, sowie durch die glatte Seta aus.

554. **Daltonia subirrorata** Broth. n. sp.

Gracilescens, caespitosa, caespitibus parvis, pallide viridibus, subopacis; caulis vix ultra 1 cm longus, basi fusco-tomentosus, dense foliosus, simplex vel parce ramosus; folia sicca laxè adpressa, crispata, humida erecto-patentia, e basi elongate oblonga lanceolato-ligulata, anguste acuminata, ca. 3 mm longa, marginibus anguste recurvis, integris, nervo longe infra apicem folii evanido, cellulis ovali-hexagonis, subpellucidis, basilaribus longioribus, pellucidis, infimis laxis, marginalibus limbum pallidum, inferne 3—4seriatum, superne angustiorefformantibus; seta ca. 1 cm alta, tenuis, rubra, sublaevis; theca erecta, ovalis, fusca; spori 0,012—0,015 mm, virides, laeves; operculum e basi conica recte subulatum; calyptra ad medium thecae producta, fimbriata, laevis.

Incacorral, alt. 2200 m, No. 4950.

Species *D. irroratae* Mitt. valde affinis, sed statura graciliore, foliis cellulis superioribus brevioribus dignoscenda.

555. **Daltonia latolimbata** Broth. n. sp.

Robustiuscula, caespitosa, caespitibus parvis, lutescenti-viridibus, subopacis, caulis usque ad 2 cm longus, basi fusco-tomentosus, dense foliosus, simplex vel ramosus; folia sicca laxè adpressa, flexuosula, humida erecto-patentia, e basi oblonga lanceolato-ligulata, anguste acuminata, usque ad 4 mm longa, marginibus anguste recurvis vel subplanis (Th. H.), integris, superne parce subdenticulatis (Th. H.), nervo longe infra apicem folii evanido, cellulis superioribus incrassatulis, subpellucidis, lumine elliptico, basilaribus longioribus, infimis laxis, marginalibus limbum lutescentem, basi multiseriatum, apice 2—3seriatum efformantibus; seta ca. 7 mm alta, tenuissima, flexuosa, rubra, superne scaberula; theca erecta, ovalis, fusca; spori 0,025 mm, virides, laeves. Caetera ignota.

Incacorral, alt. 2200 m, No. 4950/a.

Species foliorum forma marginibusque recurvis ad sect. B. in Engler-Prantl referenda, sed cellulis superioribus incrassatulis, lumine haud angulato dignoscenda.

Distichophylleae.

Adelothecium Mitt. Musc. austr. am.

556. **Adelothecium bogotense** (Hpe.) Mitt.

In der Talschlucht bei Tablas, ca. 1800 m, No. 4582.

Leskeodon Broth. in Nat. Pfl.

557. **Leskeodon andicola** (Spruce).

An dünnen Lianen im Bergwald des Rio Tocorani, ca. 2200 m, No. 4043; an gefallenem Ästchen im feuchten Bergwald des Sillar gegen Espiritu Santo, No. 2757/a.

Eriopus (Brid.) C. Müll. in Bot. Ztg. 1847.

558. **Eriopus papillatus** Herzog in Beih. Bot. Centr. 1909.

Auf faulem Holz und an nassen Steinen im Nebelwald über Comarapa, ca. 2600 m, No. 4217; in der Quebrada de Pocona, ca. 2800 m, No. 5147; im Bergwald des Rio Tocorani, ca. 2200 m, No. 4021.

Hookerieae.

Hookeria Sm. in Trans. Linn. Soc. IX.

559. **Hookeria acutifolia** Hook.

Auf feuchter Erde in Felshöhlen am Bach in der Talschlucht bei Tablas, ca. 1800 m, No. 4541.

Cyclodictyon Mitt. in Journ. Linn. Soc. VII.

560. **Cyclodictyon limbatum** (Hpe.).

An faulen Ästen im Bergwald des Sillar, ca. 1800 m, No. 2696.

561. **Cyclodictyon albicans** (Sw.).

Auf faulem Holz im Bergwald des Sillar, ca. 1800 m, No. 2715.

562. **Cyclodictyon roridum** (Hpe.).

Auf faulem Holz im Bergwald des Rio Tocarani, ca. 2200 m, No. 4004, 4005; auf faulem Holz in der Quebrada de Pocona, ca. 2800 m, No. 5143.

563. **Cyclodictyon pusillum** Herzog nov. spec.

Sterile; aliis muscis intermixtum, caule repente sat dense subpinnatim ramoso ramisque brevibus plumulosis angustissimis cum foliis 1 mm latis, e pallide glauco-viridi flavidulis.

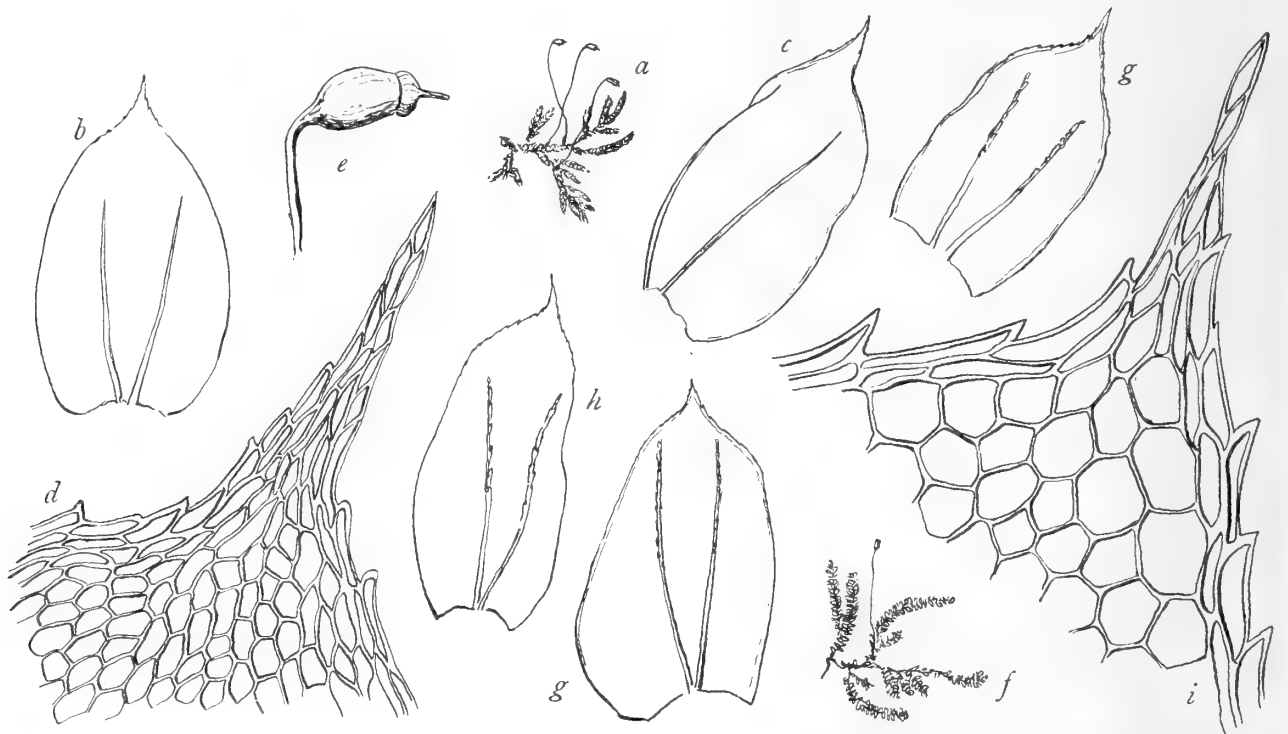


Fig. 55. a—e *Cyclodictyon obscurum* H. n. sp. a Habitusbild 1:1, b rückenständiges Blatt 31:1, c seitenständiges Blatt 31:1, d Blattspitze 250:1, e Kapsel; f—i *Cyclodictyon breve* H. n. sp. f Habitusbild 1:1, g rückenständige Blätter 31:1, h seitenständiges Blatt 31:1, i Blattspitze 250:1.

Folia erecto-patentia, complanata, sicca nec crispula nec incurva, subimmutata, minuta, 1 mm longa, oblongo-subpanduriformia, anguste acuminata, acumine medioeri subpili-formi, anguste limbata, limbo 1—2seriato, subintegerrima vel superne indistincte appresse serrata, nervis binis longis viridibus dorso a medio dense vesiculoso-serratis, cellulis laxissimis hyalinis.

Auf gefallenem Ästchen im feuchten Bergwald des Sillar gegen Espiritu Santo, ca. 1600 m, No. 2757, mit *Leskeodon andicola*, *Hookeriopsis hypnacea*, *Callicostella spec.* und *Fissidens innovans*.

Die neue Art ist weitaus die zarteste und kleinste der Gattung und war mit bloßem Auge kaum von der sehr ähnlichen mit ihr zusammenwachsenden *Hookeriopsis hypnacea* zu unterscheiden.

564. *Cyclodictyon obscurum* Herzog nov. spec. (Fig. 55).

Dioicum; depresso caespitosum, obscure viride, caulibus repentibus substrato fasciculis rhizoidium affixis valde complanatis tenuibus humidis cum foliis 1,5 mm latis 3 cm longis valde ramosis, ramis plerumque brevibus obtusis. Folia ca. 1 mm longa, laxiuscule disposita, asymmetrica, sicca crispula, humida concava, late ovata, acuminata, acumine latiusculo medioeri argute serrato, limbata, limbo 3- in apice 4-seriato, nervis duobus laevibus viridibus divergentibus longis, cellulis sat densis hexagonis chlorophyllo repletis inferne parum laxioribus elongatis. Seta 1,5—2 cm longa, erecta, arcte spiraliter torta, laevissima, atropurpurea; theca inclinata vel horizontalis vel nutans,

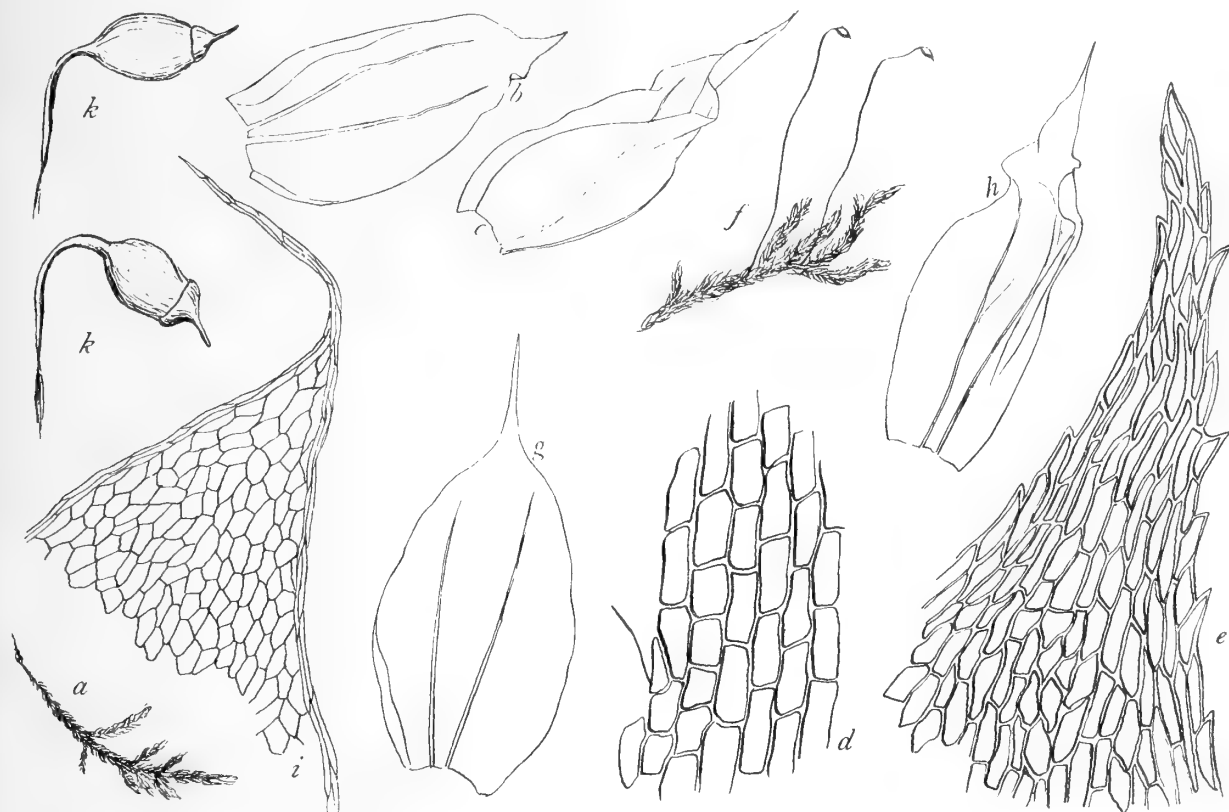


Fig. 56. a—e *Cyclodictyon angustirete* H. n. sp. a Habitusbild 1:1, b rückenständiges Blatt 15:1, c seitenständiges Blatt 15:1, d Zellnetz in der Blattmitte 250:1, e Blattspitze 256:1. f—k *Cyclodictyon stephanii* H. n. sp. f Habitusbild 1:1, g rückenständiges Blatt 15:1, h seitenständiges Blatt 15:1, i Blattspitze 62:1, k 2 Kapseln.

e collo brevi atropurpureo breviter elliptica, pallide fusca, sub ore constricta, vix 2 mm longa, operculo alte cupulato aciculari-rostrato atropurpureo; peristomio generis; sporis diametro 0,012 mm.

Auf feucht-schattigen Steinen bei Inacorral, ca. 2200 m, No. 4973.

In die Verwandtschaft von *C. aeruginosum* (Mitt.) und *C. ulophyllum* (Besch.) gehörig, aber durch Kleinheit und kurze, breit eiförmige Blätter von ihnen unterschieden.

565. *Cyclodictyon tocoraniense* Herzog nov. spec.

Dioicum; depresso caespitosum, pallide glauco-virens, caulibus valde ramosis complanatis cum foliis vix 2 mm latis. Folia e basi ovata in acumen acutissimum flexuosum mediocre constricta, marginibus flexuosa, concavissima, limbata, limbo 3-seriali in apice interdum 4-seriali argute serrato, nervis binis ultra $\frac{3}{4}$ folii percurrentibus spinosoterminantibus dorso superne serratis, cellulis pro genere densiusculis breviter hexagonis chlorophyllis.

An nassen Steinen im oberen Tocarantal, ca. 2600 m, No. 4106.

566. *Cyclodictyon breve* Herzog nov. spec. (Fig. 55).

Dioicum; depresso caespitosum, caulibus ad 5 cm longis valde ramosis ramulisque brevibus complanatis cum foliis ultra 2 mm latis pallide glaucescentibus. Folia breviter ovata, subtriangularia, in acumen cuspidiforme breviusculum constricta, margine flexuoso tenuiter limbata, limbo 2-seriato superne remote argute serrato, nervis ultra $\frac{3}{4}$ folii percurrentibus dorso superne valde serratis, cellulis omnibus laxissimis subrotundo-hexagonis diametro 0,040 mm, inferioribus $0,042 \times 0,05$ mm.

An feuchten Steinen im oberen Tocarantal, ca. 2600 m, No. 4049.

Dem *C. iporanganum* (Geh. et Hpe.) verwandt, aber durch sehr kurze Blätter unterschieden.

567. *Cyclodictyon angustirete* Herzog nov. spec. (Fig. 56).

Sterile; aliis muscis intermixtum, caulibus flaccidis ad 5 cm longis parce ramosis complanatis humidis 2,5 mm latis, pallide viridibus apicibus castaneis nigricantibus. Folia erecto-patula, concava, plicata, ovata, in acumen angustum contracta, 2 mm longa, apice remote argute serrata, limbo 4-seriali in apice evanido cellulis tenuibus fuscatis exstructo, nervis duobus pro folio tenuibus longis, cellulis superioribus densis hexagonis parum elongatis obliquatis, inferioribus laxiusculis subrectangulis, parietibus tenuibus fuscatis pellucidis.

Beim Abstieg ins Tal des Rio Paracti, 2800 m, No. 4392.

Dem *C. nivale* (C. M.), wie es scheint, nahestehend.

568. *Cyclodictyon Stephanii* Herzog nov. spec. (Fig. 56).

C. purpurascens Herzog in sched.

Auticum; depressum, repens, caulibus inter alios muscos longe vagantibus 4—7 cm longis remote ramosis complanatis cum foliis ultra 3 mm latis e pallide viridi purpurascens. Folia sat densa, flaccida, crispata, undulata, e basi latissima late ovata, acuminata, acumine undulato in pilum tenuissimum breve flexuosum exeunte, tenerrime limbata, limbo biseriali purpurascens, subintegerrima, nervis duobus pro folio tenuibus longis parum divergentibus approximatis, cellulis laxissimis elongate hexagonis limpidis purpurascens. Seta 3 cm longa, purpurea, erecta, subflexuosa; theca inclinata vel horizontalis, e collo brevi ovalis, 2 mm longa, sub ore constricta, fusca, operculo conico longe recteque aciculari, calyptra ultra 4,5 mm longa, basi plurilobata glabra; peristomio generis.

Zwischen Sphagnum im feuchten Bergwald des Rio Tocarani, ca. 2300 m, No. 4026.

Durch die haarförmig gespitzten großen, ganzrandigen, sehr schmal gesäumten Blätter und das gestreckte, sehr lockere Zellnetz von dem anscheinend nahe verwandten *C. Lindigianum* (Hpe.) unterschieden. — Ich widme die Art dem bekannten Hepitocologen, meinem Mitarbeiter, Herrn F. Stephanii.

Callicostella (C. M.) Jaeg. Adumbr. II.

569. *Callicostella* spec.

Andern Moosen untermengt — wenige sterile Stengel — an abgefallenen Ästen im Bergwald des Sillar, ca. 1800 m, No. 2757/c.

Hookeriopsis (Besch.) Jaeg. Adumbr. II.

Sect. *Euhypnella* (Hpe.).

570. *Hookeriopsis variabilis* (Hornsch.) Jaeg.

H. hypnacea (C. M.) Jaeg.

Auf faulem Holz in der Talschlucht bei Tablas, ca. 1800 m, No. 4659; an abgefallenen Ästchen im Bergwald des Sillar, ca. 1800 m, No. 2757/b, 2761, 2781.

Sect. *Cupressinadelphus* (C. M.) Broth.

571. *Hookeriopsis purpureophylla* (C. M.).

Auf Steinen im Bergwald des Sillar, ca. 1800 m, No. 2682.

572. *Hookeriopsis subsecunda* (Mitt.) Jaeg.

An nassen Steinen im Bergwald von Florida de San Mateo, über 2000 m, No. 3672; im Nebelwald über Comarapa, ca. 2600 m, No. 4300.

573. *Hookeriopsis falcata* (Hook.) Jaeg.

var. *latifolia* Herzog nov. var.

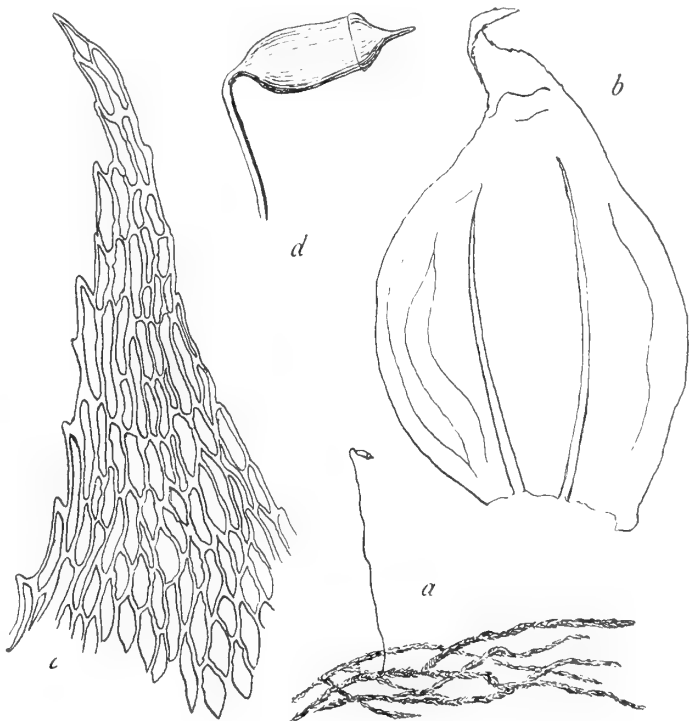
A typo differt foliis basi ovatis latioribus staturaque robustiore. Seta ut et in typo (lg. Humboldt) glabra non apice scabra, ut dicit Mitten.

An Steinen im Bergwald des Sillar, ca. 1800 m, No. 2729.

Sect. *Omaliadelphus* (C. M.) Jaeg.

574. *Hookeriopsis pachydictyon* Herzog nov. spec. (Fig. 57).

Dioica; laxe caespitosa, decumbens, ex aureo-fulvo fuscescens; caulibus exodermide sub-sphagnoidea, tenuibus cum foliis 1 mm latis, 6—8 cm longis vagantibus flexuosis, humidis distincte complanatis parce ramosis, ramis brevissimis. Folia sicca rugulosa, accumbentia, humida amoene pennaeformi-patentia, sub-erecta, undulata, dorsalia majora, late ovata, breviter acuminata, acumine tenui acutissimo flexuoso subrecurvo vel obliquo, valde concava, longitudinaliter plicata, superne remote serrata, nervis duobus tenuibus supra medium evanidis dorso laevibus fuscis, cellulis basalibus medianisque laxis ellipticis vel hexagonis, apicalibus marginalibusque pluribus seriebus usque fere ad basin valde angustioribus elongatis limbum male limitatum efformantibus, omnibus — marginalibus magis — incrassatis punctulatis laevibus; lateralia parum asymmetrica, angustiora, ventralia vix minora, symmetrica. Seta recta, 2,5—3 cm longa, rubra, laevissima; theca ovalis, sub ore constricta, vix 2 mm longa, operculo breviter recte rostrato.



Im Buschfilz an der Waldgrenze über Tablas, ca. 3400 m, No. 2823.

Fig. 57. *Hookeriopsis pachydictyon* H. n. sp. a Habitusbild 1:1, b Blatt 62:1, c Blattspitze 250:1, d Kapsel.

Durch das Zellnetz sehr eigenartig.

575. *Hookeriopsis lepidopiloides* Herzog nov. spec. (Fig. 58).

Synöica; laxe caespitosa, caulibus repentibus ramosis valde complanatis cum foliis 4 mm latis amoene viridibus nitidis, habitu quodam lepidopiloides. Folia undulata, densiuscula, lateralia valde patentia, horizontaliter subfalcata, oblongo-elliptica, asymmetrica, acuminata, acumine brevissimo tenui, superne argute serrata, nervis binis tenuibus viridibus inaequalibus supra medium evanidis laevissimis, cellulis elongate hexagonis angustis chlorophyllosis; media minus asymmetrica. Seta 2—2,5 cm longa, erecta, flexilis, laevissima, rubra; theca horizontalis, e collo distincto

longiusculo ovalis, sub ore constricta, sicca deoperculata curvata, vix 2 mm longa, operculo cupulato oblique breviter rostrato; peristomio generis, sporis diametro, 0,012 mm viridulis.

Auf Steinen in der Talschlucht bei Tablas, ca. 1800 m, No. 4580.

Durch glatte Blattrippen von den verwandten Arten unterschieden.

576. *Hookeriopsis Williamsii* Herzog nov. spec.

Autoica; depresso caespitosa, tenella, e viridi flava, nitida, caulibus repentibus valde ramosis, ramis vix 1 cm longis parum arcuatis gracilibus cum foliis 1,5 mm latis. Folia laevia, densiuscula, 1—1,2 mm longa, e basi elliptica concava acuminata, acumine longiusculo argute serrato, in lateralibus parum longiore obliquo falcato, nervis binis in lateralibus ultra medium pertinentibus, in mediis brevioribus, tenuibus, dorso serratis, cellulis angustis linearibus laevissimis.

Seta 16—20 mm longa, tenuis, erecta, flexuosa, apice arcuata, laevissima, rubra; theca horizontalis, ad 2 mm longa, e collo tenui rubro breviter cylindrica, curvata, pallide ochracea, macrostoma, operculo rubro breviter rostrato, peristomio generis.

In der Talschlucht bei Tablas, ca. 1800 m, No. 4547.

Durch den Blütenstand, glatte und lang-zugespitzte Blätter und die geringe Größe unter den *Omaliadelphes* bestens charakterisiert.

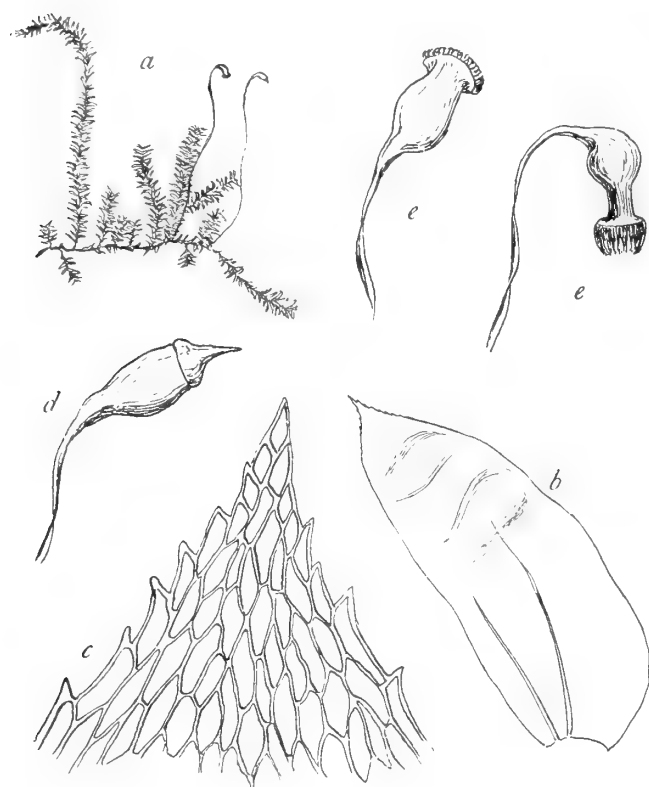


Fig. 58. *Hookeriopsis lepidopiloides* H. n. sp. a Habitusbild 1:1, b Blatt 20:1, c Blattspitze 250:1, d bedeckelte Kapsel, e 2 entleerte Kapseln.

pallide rubens; theca horizontalis vel decurvata, elliptica, sub ore constricta, operculo oblique rostrato, calyptra 4—5lobata laevissima; peristomii externi dentibus robustis anguste lanceolatis hyalino-marginatis, linea mediana sulcatis, dense striolatis, lamellis densissimis ateraliter prominentibus, interni processibus aequilongis carinatis flavidis; sporis viridibus, diametro 0,018—0,02 mm laevibus.

An feuchten Steinen in der Quebrada de Pocona, ca. 2800 m, No. 5140.

Crossomitrium C. Müll. in Linnaea XXXVIII.

578. *Crossomitrium rotundifolium* Herzog nov. spec.

Sterile. Caulibus pro genere robustulis ad 6 cm longis laxè subpinnatim ramosis valde complanatis cum foliis ultra 3 mm latis aureo-viridibus nitidis. Folia sicca subexplanata, parum deflexa

Lepidopilidium (C. M.) Broth. in Nat. Pfl.

577. *Lepidopilidium synoicum* Herzog nov. spec.

Synoicum; laxè caespitosum, amoene viride, nitidulum, caulibus decumbentibus 3 cm longis basi radicanibus ramosis, caule ramisque complanatis 3 mm latis angustatis. Folia patentia, sicca parum contorta, apicibus subrecurvis, e basi cordata late ovalia, breviter acuminata, lateralibus parum asymmetrica, paulum longiora, angustiora, indistincte limbata, superne serrulata, nervis duobus medio evanidis tenuibus, cellulis majusculis breviter elliptico subhexagonis chlorophyllosis. Seta breviuscula, 4—5 mm longa, erecta, apice hamata, tenuis, papillosa,

concaua, bullata, e basi cordata suborbiculari-ovata, brevissime apiculata, ubique tenuissime serrulata, enervia, cellulis linearibus tenuibus angustissimis valde pellucidis; propagulis in foliorum axillis basi que stipitatis, stipitibus bibrachiatis brachiis divergentibus filiformi-fusiformibus fuscatis chlorophyllosis.

Auf Gesträuchstäben im feuchten Gebüsch bei San Miguelito, ca. 1400 m, No. 2716; an Ästchen in der Talschlucht bei Tablas, ca. 1800 m, No. 4594.

579. **Crossomitrium Wallisii** C. M.

Auf abgefallenen Blättern in der Talschlucht bei Tablas, ca. 1800 m, No. 4558.

Lepidopilum Brid. Bryol. univ. II.

Sect. *Eu-Lepidopilum* Mitt.

580. **Lepidopilum nanothecium** C. M.

An Baumästen im Bergwald des Sillar, ca. 1800 m, No. 2794.

581. **Lepidopilum Mülleri** (Hpe.) Mitt.

Häufigste Art! An Ästen und dünnen Baumstämmchen und Gesträuchen des Bergwaldgürtels.

Im Bergwald des Rio Tocarani, ca. 2200 m, No. 4081; in der Talschlucht bei Tablas, ca. 1800 m, No. 4515, 4516, 4581; bei Incacorral, ca. 2200 m, No. 5019, hier auch eine Form mit vereinzelt Zwitterblüten, No. 5018.

582. **Lepidopilum auriculatum** Herzog nov. spec.

Dioicum videtur; habitu *L. Mülleri*, caulibus repentibus ramosis, ramis patentibus complanatis cum foliis 4—5 mm latis flavescenti-viridibus valde nitidis. Folia densiuscula, patentia, horizontaliter falcato-recurva, e basi angusta distincte minute auriculata, auriculis inflexis, longe oblonga, sensim acuminata, margine usque fere ad apicem anguste reflexa, subintegerrima, acumine parce serrulata, nervis tenuissimis medio evanidis, cellulis omnibus infimis exceptis angustissimis elongate ellipticis sublinearibus tenerrimis hyalino-limpidis. Seta 6—7 mm longa, tenuis, erecta, dense echinulato-papillosa; theca cylindrica, macrostoma, peristomio generis.

An Baumästen in der Talschlucht bei Tablas, ca. 1800 m, No. 4517.

Durch die gehörten, fast ganzrandigen und fast überall schmal zurückgeschlagenen Blätter von dem verwandten *L. Mülleri* unterschieden.

583. **Lepidopilum Herzogii** Broth. n. sp.

Dioicum; robustiusculum, lutescenti-viride, hic illic rufescens, nitidum; caulis secundarius usque ad 4 cm longus, dense foliosus, turgide complanatus, cum foliis ca. 3 mm latis, plus minusve ramosus; folia sicca vix mutata, facillime emollita, lateralia erecto-patentia, concaviuscula, ovato-oblonga, breviter acuminata, acuta, marginibus erectis, apice minutissime serrulatis, nervis binis, tenuibus, vix ultra medium folii productis, cellulis laxis, elliptico-hexagonis, marginalibus angustioribus, limbum indistinctum, uniseriatum efformantibus; seta 11 mm, crassiuscula, setosa. Caetera ignota.

Tocarani, alt. 2700 m, No. 4097.

Species *L. frondoso* Mitt. affinis, foliis lateralibus ovato-oblongis, breviter acuminatis, minutissime serrulatis dignoscenda.

584. **Lepidopilum malachiticum** Herzog nov. spec.

Dioicum; e caule repente rhizomatico pluriramosum, ramis simplicibus suberectis duriusculis angustatis subcaudatis complanatis cum foliis vix 3 mm latis malachiticis. Folia laxiuscula, media breviora, minus asymmetrica, late ovalia, brevissime late acuminata, lateralia valde asymmetrica, patula, horizontaliter falcata, ligulata vel ovato-ligulata, oblique longius acuminata, subacumine caviuscula contracta, marginibus ceterum planis, superne

argute serrata, elimbata, nervis foliorum mediorum subobsoletis, lateralium brevissimis, e basi ventrali saepius propagula filiformia emittentibus, cellulis anguste hexagonis densiusculis chlorophyllosis basi valde elongatis; perichaetia multa minora, angusta, longe acuminata, divaricato-serrata.

An Baumwurzeln bei San Miguelito, ca. 1500 m, No. 2746; an Baumästen beim Sillar, ca. 1800 m, No. 2769.

Durch die sehr breiten, kurzspitzigen Mittelblätter und die fädigen Brutkörper charakterisiert; dem *L. curvirameum* wohl verwandt, aber durch Habitus und flache Blattränder gut unterschieden, durch die hohlen Blattspitzen auch an *L. caviusculum* Mitt. erinnernd.

585. **Lepidopilum filosum** Herzog nov. spec. (Fig. 59a).

Dioicum; caulis repens, rhizomaticus, ramosus, ramis 2 cm longis simplicibus attenuatis, tenuissime caudatis, apice curvatis e viridi fuscatis, inter folia propagula filiformia



Fig. 59. a *Lepidopilum filosum* H. n. sp., Habitusbild 1:1, b—d *Lepidopilum Ballivianii* H. n. sp. b Habitusbild 1:1, c Blattspitze 125:1, d Blattrand in der Mitte 125:1; e—g *Lepidopilum tenuissimum* H. n. sp. e Habitusbild 1:1, f Blatt 15:1, g Zellnetz in der Blattspitze 125:1.

sat longa crebra foveantibus. Folia densiuscula, erecto-patentia, lateralia valde asymmetrica, ultra 2 mm longa, e basi late ovata in acumen sat breve complicatum margine undulatum contracta, apice argute grosseque serrata, nervis binis medio evanidis, cellulis elongate ellipticis laxiusculis. Seta (unica) brevis, carnosae, densissime echinulato-papillata.

An einem Baum im unteren Chocayatal, ca. 3200 m, No. 3603.

Durch lang geschwänzte Äste und kurze, sehr scharf und grob gesägte Blätter ausgezeichnet.

586. **Lepidopilum Ballivianii** Herzog nov. spec. (Fig. 59, b—d).

Dioicum; caulibus rhizomaticis repentibus ramosis, ramis erectis 2—3 cm longis caudatis complanatis cum foliis 4 mm latis laxe foliatis. Folia patentia, horizontaliter falcato-recurva, lateralia oblongo-ligulata, breviter acuminata, asymmetrica; media breviora, margine inferiore inflexo subcomplicata, sub apice contracta, concava, limbata, limbo superne 4-seriato hyalino cellulis linearibus tenuibus longissimis exstructo inferne latiore minus distincto, argute serrata, nervis tenuissimis ad medium vel ultra medium pertinentibus, cellulis laxissimis elongate hexagono-ellipticis tenuibus chlorophyllosis; perichaetia ovato-lanceolata, integerrima.

An Bäumen im Bergwald des Rio Tocarani, ca. 2200 m, No. 4041.

Durch relativ schwächtigen Wuchs, geschwänzte Äste, das äußerst lockere Zellnetz, Blattform und lange dünne Rippen gut gekennzeichnet.

587. **Lepidopilum brachyphyllum** Broth. n. sp.

Dioicum; robustiusculum, viride, hicillie vinoso-rubens, vernicoso-nitidiusculum; caulis secundarius usque ad 5 cm longus, cum foliis ca. 4 mm latus, filis articulatis paucis praeditus, dense foliosus,

vage ramosus, ramis plerumque arcuatulis; folia sicca vix mutata, facillime emollita, lateralia patentia, asymmetrica, oblongo-ovata, in acumen breviusculum lanceolato-subulatum contracta, marginibus erectis, superne serratis, nervis binis, tenuissimis, vix ad medium folii productis, cellulis teneris, laxis, elliptico-hexagonis, marginalibus angustis, limbum angustissimum efformantibus; seta 2,5 mm alta, dense verrucosa. Caetera ignota.

Espiritu Santo, alt. 1400 m, No. 2724.

Species *L. erubescenti* C. Müll. et *L. huallagensi* Broth. affinis, ab hac caule brevi folisque distincte serratis, ab illa foliorum forma et margine jam dignoscenda.

588. **Lepidopilum Gertrudis** Herzog nov. spec. (Fig. 60).

Dioicum; e robustissimis generis, caulibus 5—8 cm longis obtusis immo apice dilatatis complanatis cum foliis 7—8 mm latis amoene viridibus nitidis. Folia sat densa, sicca parum contracta, media late obovata, parum asymmetrica, lateralia majora, ultra 4 mm longa, 3 mm lata, magis asymmetrica, late obovato-ligulata, omnia brevissime apiculata, limbata, limbo concolori superne 4-seriato, serie marginali angustiore hyalina, ceteris incrassatis angustissimis, inferne minus distincto male delimitato, a medio argute serrata, nervis duobus ultra medium evanidis, dorso — saepius nervi unius tantum — a basi ultra medium propagulis filiformibus articulatis basi interdum ramificatis fuscis dense obtectis, cellulis laxis magnis hexagonis superioribus 0,045—0,05 mm longis 0,025—0,03 latis. Seta 7—8 mm longa, erecta, flexuosa, crassiuscula, papillis altis obtusis densissime verrucosa; theca suberecta, e collo brevissimo elliptica, 2 mm longa, crassiuscula, atropurpurea, operculo longe tenuiter rostrato; peristomio generis, interni processibus angustissime subulatis.

An Baum- und Gesträuchstäben im Bergwald des Rio Tocarani, ca. 2200 m, No. 4020.

Mit *L. flexifolium* (C. M.) verwandt, aber schon durch die viellängere Seta unterschieden.

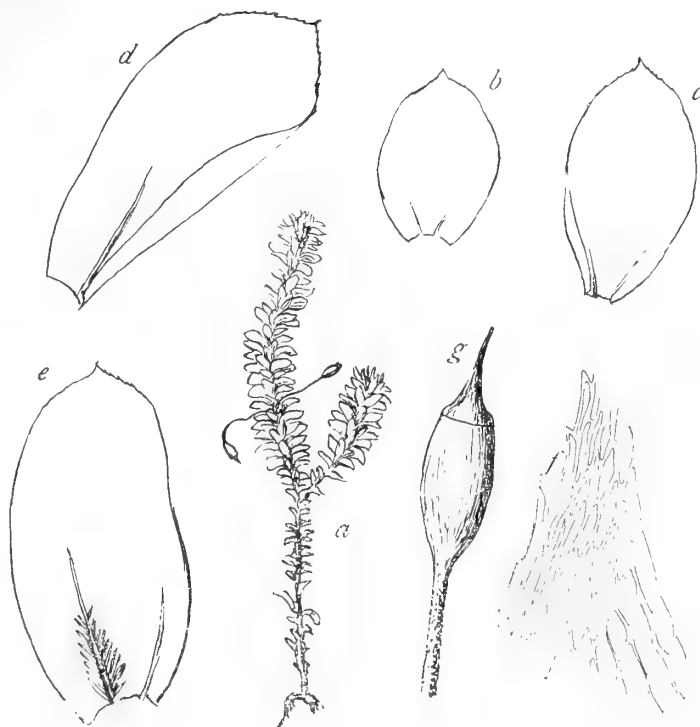


Fig. 60. *Lepidopilum Gertrudis* H. n. sp. a Habitusbild 1:1, b, c 2 rückenständige Blätter 10:1, d, e 2 seitenständige Blätter 10:1, f Blattrand 125:1, g Kapsel.

Species incertae sedis.

589. **Lepidopilum tenuissimum** Herzog nov. spec. (Fig. 59, e—g).

Autoicum?; tenellum, flavescens nitidum, caule subsimplici brevissimo 1 cm longo, habitu daltoniaceo. Folia sat densa, erecta, strictiuscula, 3 mm longa, concava, e basi subcarinato-concava 0,7 mm lata anguste elliptica, angustissime lineari-subulata, subula longa tenui integerrima, margine ubique fere anguste revoluta, nervis binis inaequalibus brevissimis longe sub medio evanidis, cellulis basi paucis laxis aureis, ceteris omnibus angustissimis elongate hexagonis laevissimis; perichaetalia breviora. Seta brevis, 5—7 mm longa,

s u b l a e v i s, superne papillis humillimis planis indistincte adspersa, pallide rubra; theca (unica vetusta) vix 1 mm longa, anguste elliptica; (peristomio deleta); calyptra juvenilis laevissima.

Im Bergwald des Rio Tocarani, ca. 2800 m, No. 4079/a, zwischen andern Moosen äußerst spärlich. Die Art steht unter den *Lepidopila* ziemlich isoliert da.

Hypnelleae.

Rhynchostegiopsis C. Müll. in Prodr. Bryol. Bol.

590. **Rhynchostegiopsis complanata** C. M.

Über Sphagnum und andere Moose hinkriechend nach Art des europäischen *Plagiothecium undulatum* breite Rasen bildend, schön goldglänzend: im Bergwald des Rio Tocarani, ca. 2200 m, No. 4025.

Hypnella (C. Müll.) Jaeg. Adumbr. II.

591. **Hypnella pilifera** (Hook. et Wils.) Jaeg.

An schattig-feuchten Stellen im Bergwaldgürtel häufig. Z. B. im Nebelwald über Comarapa, ca. 2600 m, No. 4219; am Wegrand beim Sillar, ca. 1800 m, No. 2681; in der Talschlucht bei Tablas, ca. 1800 m, No. 4560, 4645.

592. **Hypnella Brotheri** Herzog nov. spec. (Fig. 61).

Sterilis. Laxe caespitosa, pallide virens, opaca, caulibus 3—4 cm longis cum foliis vix 2 mm latis complanatis, exodermide inter folia nigro-diaphana, laxe subpinnatim ramosis, ramis brevibus angustioribus. Folia laxa, erecto,

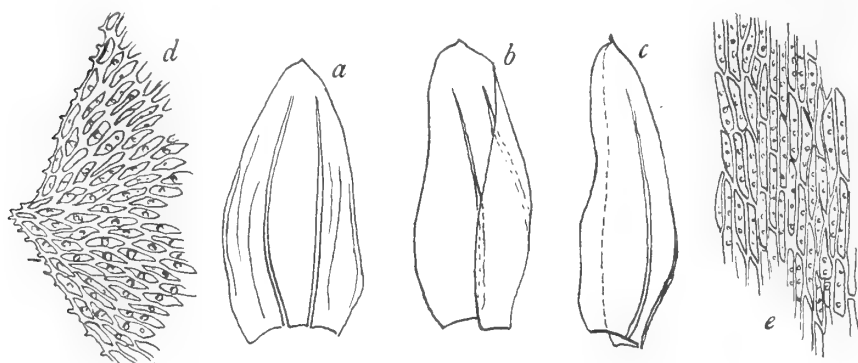


Fig. 61. *Hypnella Brotheri* H. n. sp. a rückenständiges Blatt 31:1, b, c 2 seitenständige Blätter 31:1, d Blattspitze 250:1, e Zellnetz in der unteren Blatthälfte 250:1.

patula, concavissima, media ovalia, 1 mm longa, symmetrica, obtusiuscula vel brevissime apiculata, apiculo saepius subrecurvo, lateralia parum angustiora, asymmetrica, complicata, margine basi revoluta, superne papillis prominentibus tenuissime echinulata, nervis duobus validiusculis sub apice spina breviter terminatis laevissimis, cellulis angustissime hexagonis tenuibus, in apice incrassatis papillis acutis humilibus simplicibus vel bipartitis seriatim armatis.

Auf feuchtem Waldboden beim Sillar, ca. 1800 m, No. 2745.

Schon durch die Blattform und die 1—2spitzigen, relativ niederen Papillen von den verwandten Arten wie *H. pallescens* und *H. verrucosa* zu unterscheiden.

Helicoblepharum (Spruce) Broth.

593. **Helicoblepharum venustum** (Tayl.).

An Baumästen der Waldgrenze im oberen Tocarantal, ca. 2800 m, No. 4079.

Hypopterygiaceae.

Hypopterygium Brid. bryol. univ. II.

594. **Hypopterygium Tamarisci** (Sw.) Brid.

Im Bergwald an schattigen, feuchten Stellen, besonders auf faulem Holz, häufig. Z. B.

beim Sillar, ca. 1800 m, No. 2730, 2721; bei Tres Cruces in der Cordillere von Santa Cruz, ca. 1400 m, No. 3520, 3885; bei Florida de San Mateo, ca. 1600—1800 m, No. 3650; zwischen San Mateo und Sunchal, ca. 2000 m, No. 4500; in der Talschlucht bei Tablas, ca. 1800 m, No. 4611.

Rhacopilaceae.

Rhacopilum Palis Prodr.

595. *Rhacopilum tomentosum* (Sw.)
Brid.

Im Bergwald des Sillar, ca. 1800 m, No. 2692; zwischen Aguairai und Yacubiba (östliche Randketten), ca. 450 m, No. 5160.

596. *Rhacopilum intermedium* Hpe.
In der Talschlucht bei Tablas, ca. 1800 m, No. 4634.

597. *Rhacopilum Floridae* Herzog
nov. spec.

Synöico-autoicum, floribus ♀, ♂ et ♀ in eodem caule, floribus ♂ antheridiis 12 crassis brevibus graciliter pedunculatis, perigonalibus conchiformibus obtusis. Caespitosum, caespitibus extensis obscure viridibus, caule repente dense rubiginoso-tomentoso ramoso, ramis complanatis apice setosis microphyllis, foliolis deciduis mox denudatis. Folia e basi angustata subcordata late ovalia, aristata, margine argute serrulata, nervo excurrente, cellulis ut in *Rh. tomentosum*; stipulae parum minores, late cordatae, longius aristatae. (Sporogonia involuta tantum praesentia.)

Im Bergwald von Florida de San Mateo, ca. 2000 m, No. 3634.

Durch den Blütenstand und die auffallend großen Stipularblätter von den mir bekannten Formen des *Rh. tomentosum* verschieden, ihm aber nahestehend. Abfallende kleine Blätter an den Astspitzen kommen auch bei *Rhacopilum tomentosum* vor.

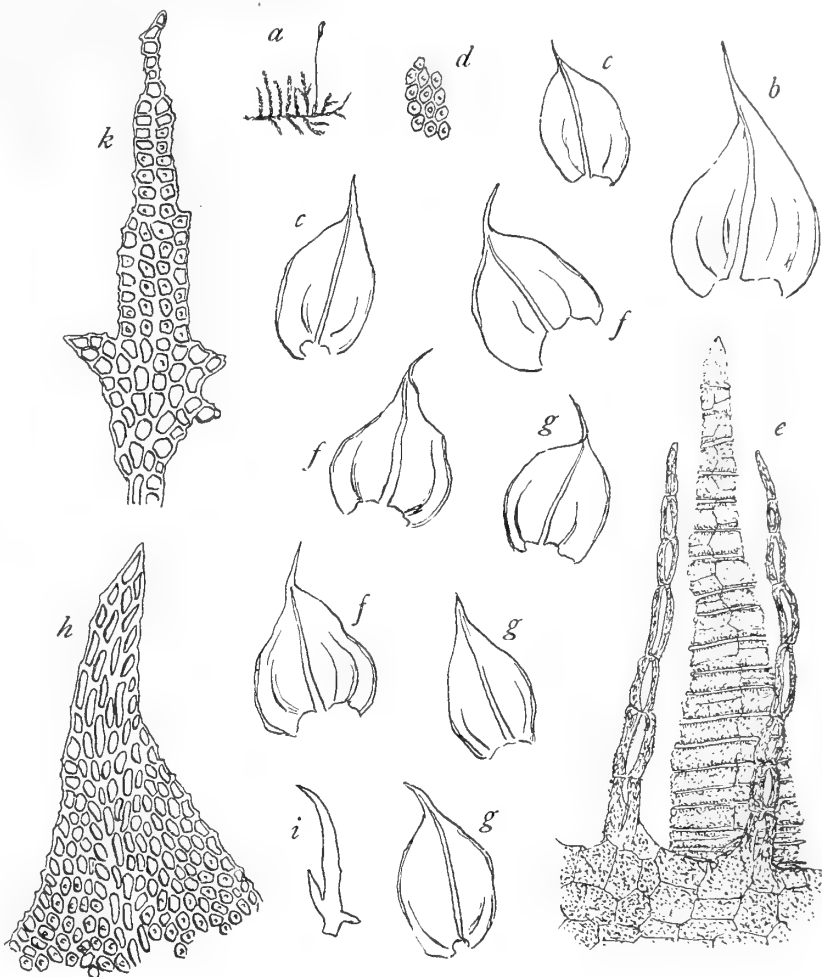


Fig. 62. *Leskea plumaria* Mitt. a—e No. 3905, f—k No. 2019 leg. R. S. Williams. a Habitus 1: 1, b Stengelblatt 31: 1, c 2 Astblätter 31: 1, d Zellen in der Blattmitte 250: 1, e Peristom 250: 1, f 3 Stengelblätter 31: 1, g 3 Astblätter 31: 1, h Spitze eines Astblattes 250: 1, i Paraphyllum 62: 1, k Paraphyllum 250: 1.

Leskeaceae.

Leskeae.

Lindbergia Kindb. Sp. Eur. and Northam. Bryin.

598. *Lindbergia mexicana* (Besch.).
Leskea Besch.

In mittleren Höhenlagen der Cordillere im Trockengebiet häufig, z. B. in der Cordillere von Santa Cruz, ca. 1400 m, No. 3479; an der Cuesta de Liryuni, ca. 3400 m, No. 3457; bei Comarapa, ca. 2000—2200 m, No. 4342; in der Ostcordillere — bei Samaipata? —, No. 5131; unter Felsüberhängen im Hochtal von Viloco, ca. 4400 m, No. 3186.

Vermutlich gehört mit dieser Art *Leskea boliviana* C. M. zusammen; ich habe das Original leider nicht vergleichen können.

Leskea Hedw. Fund. II.

599. *Leskea julicaulis* C. Müll. in herb.

Beim Asiento im Aracatal, ca. 3800 m, No. 2989; im Hochland von Totorá, No. 5301.

Die Exemplare stimmen mit den Originalen von der Cuesta de Pinos (Cord. Argentin. subtrop.), leg. Lorentz 1873, völlig überein.

600. *Leskea plumaria* Mitt. (Fig. 62).

Rauia Broth.

An Bäumen bei Tres Cruces (Cord. von Santa Cruz), ca. 1400 m, No. 3905.

Diese Art gehört nach ihrem Peristombau zu der Gattung *Leskea*, nicht *Rauia*. Die Zweigestaltigkeit der Blätter, welche allerdings nicht sehr stark ausgeprägt ist und die äußerst zahlreichen Paraphyllien weisen zwar mehr auf *Rauia*, doch sind diese Merkmale nicht wichtig genug, besonders wenn man in Betracht zieht, daß die echten *Rauien* eine ganz andere Rippenstruktur haben. Hier wird nämlich die

Rückenseite der Rippe von warzenförmig vorgewölbten, kurzen, dicht chlorophyllösen und papillösen Zellen überdeckt, während bei den *Leskeen* glatte, gestreckte, durchsichtige Zellen an dieser Stelle liegen. Hierzu kommt noch das Peristom, wie schon erwähnt, um die Trennung von *Rauia* zur Notwendigkeit zu machen.

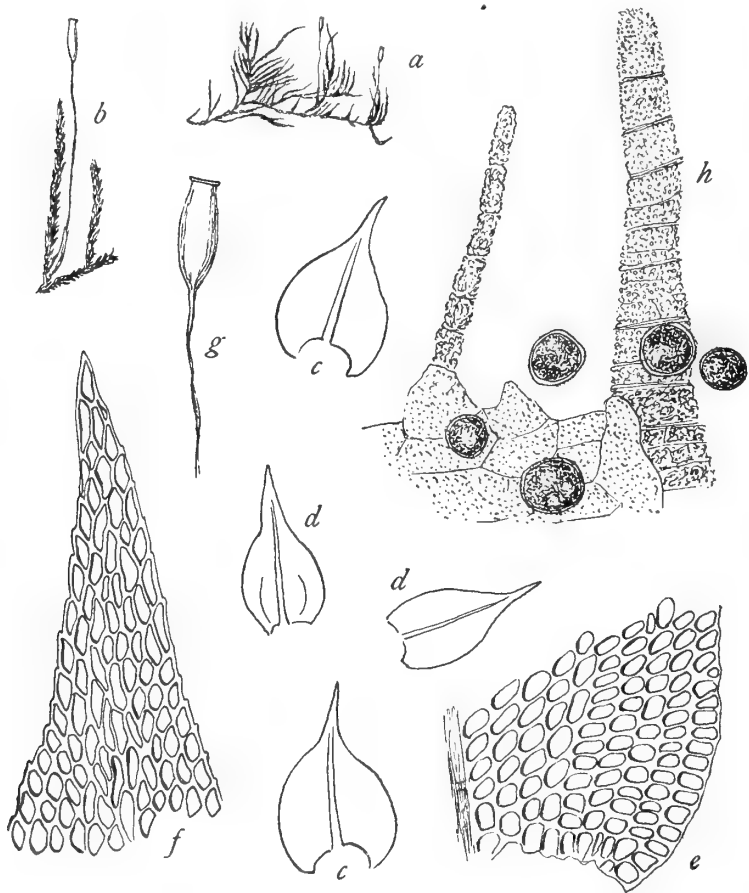


Fig. 63. *Leskeadelphus catenulatulus* (C. M.). a Habitusbild 1:1, b fruchtender Ast 3:1, c 2 Stengelblätter 31:1, d 2 Astblätter 31:1, e Blattflügel (Astblätter) 250:1, f Blattspitze 250:1, g entleerte Kapsel 7:1, h Peristom und Sporen 250:1.

Leskeadelphus Herzog nov. gen.

601. *Leskeadelphus catenulatulus* (C. M.) Herzog (Fig. 63).

Pseudoleskea C. Müll. in Prodr. Bryol. Argentin. III.

An Bäumchen in den Estradillas über Incacorral, ca. 2900 m, No. 146 der ersten Reise.

Die vorliegenden Exemplare stimmen zu der C. Müllerschen Beschreibung gut. Broth erus ist der Ansicht, daß diese Art wegen der großen Sporen mit *Lindbergia* verwandt sei und wohl eine eigene Gattung bilde. Das Peristom, welches bisher nur ganz unvollständig bekannt war, sich aber an meinen Exemplaren noch gut beobachten ließ, bestätigt nun diese Ansicht. Es steht etwa in der Mitte zwischen *Leskea* und *Lindbergia*, wenn man das der letzteren als eine abgeleitete, vereinfachte Form betrachtet.

Bei *Leskeadelphus* ist noch ein inneres Peristom vorhanden, es besteht aber aus einer niederen papillösen Membran mit schmalen, sehr hinfalligen Fortsätzen; auch die Zähne des äußeren Peristoms sind, was die Zahl der Lamellen und ihre Ausbildung betrifft, eine Vereinfachung des *Leskea*-Typus. Die Sporen messen von 0,020 bis 0,025 mm, sind lebhaft grün und fein gekörnelt, bilden also auch ein Mittelglied zwischen *Leskea* und *Lindbergia*. Paraphyllien fehlen; umgerollte Blattränder kommen nicht vor, das Zellnetz ist fast glatt und auffallend derbwandig.

Pseudoleskea Bryol. eur.

Sect. *Eu-Pseudoleskea*
Broth.

602. **Pseudoleskea andina**
Schimp. (Fig. 64).

P. Rusbyana C. M. in
Prodr. Bryol. Bol.

An Bäumchen, Wurzeln
und Ästen in der
Nähe der Waldgrenze
häufig.

Bei Choquetanga grande
(Quimzacruz - Cordil-
lere), c. 3000—3200 m,
No. 3262 c. fr. per-
fect. !; an der Wald-
grenze über Tablas,
ca. 3400 m, No. 2914;
in den Estradillas über
Incacorral, ca. 3000
bis 3200 m, No. 3320;
im oberen Coranital,
ca. 2600 m, No. 3367;
an der Waldgrenze
des Rio Saujana, ca.
3400 m, No. 3282/a
f. filicuspis, sehr spär-
lich.

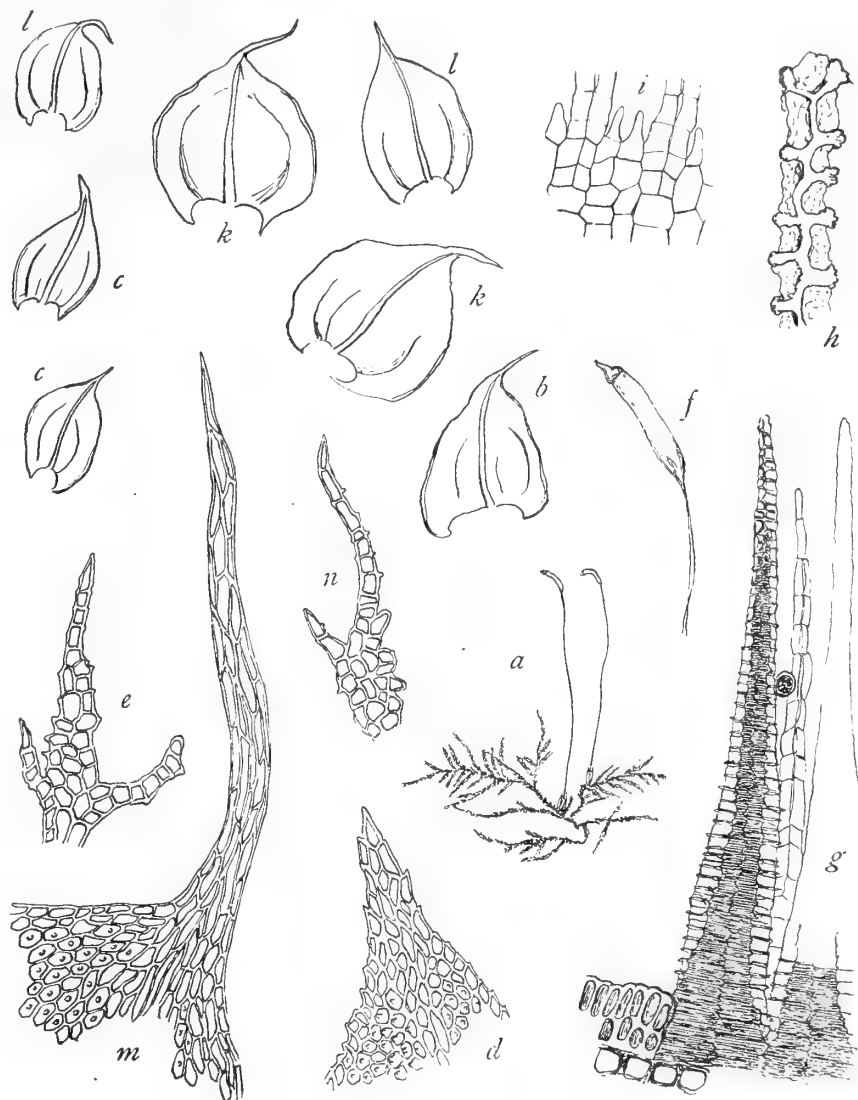


Fig. 64. *Pseudoleskea andina* Schimp. a—i No. 3262; k—l No. 2914; m—n No. 3282/a. a Habitusbild 1:1, b Stengelblatt 31:1, c 2 Astblätter 31:1, d Spitze eines Astblattes 250:1, e Paraphyllum 250:1, f Kapsel 6:1, g Peristom 125:1, h Spitze eines äußeren Peristomzahnes 500:1, i Stück des inneren Peristoms 125:1, k 2 Stengelblätter 31:1, l 2 Astblätter 31:1, m Spitze eines Stengelblattes 250:1, n Paraphyllum 250:1.

Diese Art, welche von mir versehentlich als *Rauia teretiuscula* verteilt wurde, erinnert in Blattform, Zellnetz und Paraphyllien, auch im Habitus, wenn keine Sporogone vorhanden sind, so sehr an *Leskea plumaria*, daß es oft schwer hält, sterile Pflanzen auseinander zu halten.

Bemerkenswert für diese Art ist die Größe der Sporen (0,020 mm) und das Vorhandensein eines sich in Stücken ablösenden, breiten, zehringigen Ringes.

Rauia Aust. in Bull. Torr. Bot. Club, 7.

603. **Rauia firmula** (C. M.) Broth.

Thuidium C. M. in Prodr. Bryol. Argentin. III.

Auf faulem Holz und an Baumwurzeln des Cordillerostrand. Von R. S. Williams auch aus der tropischen Waldregion angegeben; ob wohl die gleiche Art?

Im Wald bei Yuto (N.-Argentinien), ca. 450 m, No. 2549, 3773.

Ob diese Art bei der Gattung *Rauia* verbleiben kann, ist mir noch nicht klar. Jedenfalls zeigt sie sich mit *Rauia subcatenulata* und *Rauia Bornii mihi* nahe verwandt, aber es wäre vielleicht richtiger, Abt. B. der Gattung in Engler und Prantl's Nat. Pfl. als eigene Gattung abzutrennen.

Die Stellung dieser Gruppe bei den *Leskeae*, wo sie als höchstes Entwicklungsglied einer eigenen Reihe aufgefaßt werden kann, erscheint mir richtiger, als ihre Zuteilung zu den *Thuidieae*.

Genus incertae sedis.

Leptopterigynandrum
C. Müll. in Hedw. XXXVI.

604. **Leptopterigynandrum**
australpinum C. M.
(Fig. 65).

Heterocladium Broth.

In den Trocken- gebieten des bolivianischen Hochgebirges bis in mittlere Lagen herab ziemlich verbreitet, aber selten fruchtend; auf Steinen und an Baumrinde.

An der Cuesta de Liryuni, ca. 3400 m, No. 3456; in Felslöchern des Piñasgebietes, ca. 4200 m, No. 2614; im Chocayatal, ca. 3300 m, No. 3609; im oberen Monte-huaikotal, ca. 3500 m, No. 3748; im Hochland von Totorá, ca. 2800 m, No. 5112; am Tunarisee, ca. 4400 m, No. 4799 u. 4915, hier auch eine *forma falcatula*, No. 4914.

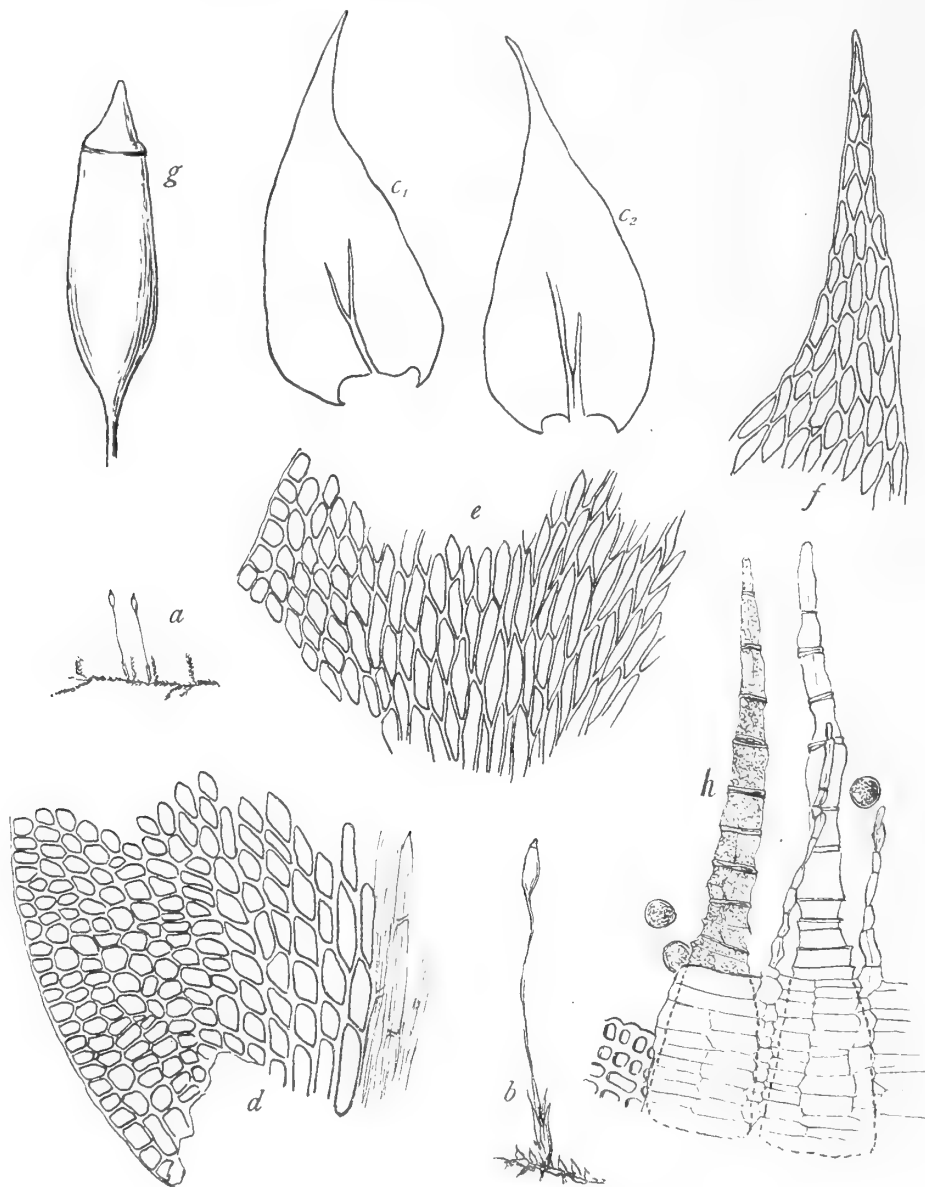


Fig. 65. *Leptopterigynandrum australpinum* C. M. *a* Habitusbild 1:1, *b* Perichaetium mit Kapsel 4:1, *c* 2 Astblätter 20:1, *d* Blattbasis 250:1, *e* Blattmitte 250:1, *f* Blattspitze 250:1, *g* Kapsel 22:1, *h* Peristom 200:1.

Die systematische Stellung dieser Gattung dürfte wohl in der Nähe von *Leskea* zu suchen sein. Das Zellnetz hat viel Ähnlichkeit mit dem der andinen *L. julicaulis* C. M. Daß bei unserer Gattung eine Gabelrippe vorliegt, ist zwar auffallend, kann aber nicht als zwingender Grund gelten, um dieselbe von den *Leskeae* zu trennen, mit welchen sie sonst, sowohl habituell als im Zellnetz, wie im Sporogon viel Ähnlichkeit besitzt. Eine große Ähnlichkeit besteht auch, worauf mich Herr M. F l e i s c h e r aufmerksam macht, mit *Erythrodontium* und *Trachyphyllum*; ich muß jedoch die Frage, welcher von beiden Gruppen diese jedenfalls selbständige Gattung näher steht, noch offen lassen.

Thuidieae.

Thuidium Bryol. eur.

Subgen. *Thuidiella* Schimp. in Besch. Prodr. bryol. mex.

605. *Thuidium minutulum* (Hedw.) Bryol. eur.

Auf Baumwurzeln im Bergwald von Tres Cruces (Cord. von Santa Cruz), ca. 1400 m, No. 3923, 3998.

606. *Thuidium leptocladum* (Tayl.) (Tafel VIII, Fig. 1—9).

Auf feuchten Steinen, Baumwurzeln und faulem Holz in schattigen Bergwäldern häufig und stets reichlich fruchtend.

Z. B. im Bergwald von Florida de San Mateo, ca. 1800—2000 m, No. 3631; in der Tal-schlucht bei Tablas, ca. 1800 m, No. 4565; bei Incacorral, ca. 2200 m, No. 4989, 5044; im oberen Coranital, ca. 2600 m, No. 5068.

607. *Thuidium Yungarum* Herzog nov. spec. (Tafel VIII, Fig. 10—16).

Autoicum; *tenellum*, *gracillimum*, *depressum*, laete virens, longe repens, iterum divisum, caule ad 4 cm longo pulchre latiuscule bipinnato, ramis ramulisque patentibus paraphylliferis. Folia laxiuscula, caulina late rotundato-triangularia, breviter oblique acuminata, acumine latiusculo hamato, nervo in acumine evanido; ramalia late subcordato-ovata, brevissime acuminata, margine uno vel ambo latere basi late revoluta, ubique serrulata; ramulina apice bipapillata, cellulis omnibus hexagonis, in caulinis parum elongatis, limpidis papilla alta rectiuscula ornatis; perichaetalia longa (ad 2 mm) anguste oblonga falcata ciliata. Seta 20—24 mm longa, valde spiraliter torta, erecta, rubra, basi parce scaberula, ceterum laevissima; theca inclinata vel horizontalis, cylindrica, curvata, sub ore constricta, ad 2 mm longa, operculo oblique tenuiter rostrato; peristomio completo ciliis 2—3 mediis.

Im feuchten Bergwald bei Incacorral, ca. 2200 m, No. 4993 u. 5094.

Durch breitere Fiederung, größere Blätter, Blattform, gekrümmte Kapsel und vollständiges Peristom von dem verwandten *Th. leptocladum* verschieden.

608. *Thuidium ochraceum* Herzog nov. spec. (Tafel VIII, Fig. 17—24).

Autoicum; laxe caespitosum, gracile, ochraceum, caulibus anguste bipinnatis, ramis saepius simplicibus vel parce pinnulatis tenuissimis. Folia caulina late ovata, obtusiuscule apiculata, concava, profunde plicata, nervo superne flexuoso supra medium evanido; ramalia minora, e basi subrotunda brevissime ovata, obtusa, concavissima, conchiformia, nervo tenuissimo medio vel brevior, margine dense serrulata, cellulis omnibus brevissime ellipticis vel subrotundis incrassatis pellucidis papilla alta sursum curvata ornatis; ramulina pro more majuscula; perichaetalia e basi latiuscula ovato-oblonga, in subulam contracta. Seta ad 23 mm longa, rubra, laevissima; theca horizontalis, 2 mm longa, cylindrica, curvata, sub ore constricta, fusca, operculo medio oblique obtuse rostrato; peristomio completo, ciliis 2 aequilongis.

Auf faulem Holz zwischen Sphagnum im Buschfilz an der Waldgrenze über Tablas, ca. 3400 m, No. 2924.

Durch die Form der Stengelblätter sehr ausgezeichnete Art.

609. **Thuidium latopulvinatum** Herzog nov. spec. (Tafel VIII, Fig. 25—32).

Autoicum?; late denseque pulvinato-caespitosum, e laete viridi flavescens, caulibus arcuatis laxe bipinnatis, ramis remotiusculis curvatis tenuissimis caudatis. Folia caulina duriuscula, sicca subsquarrosa, e basi latissime triangulari-cordata in subulam angustam hamatam contracta, concavissima, plicata, margine basi unius lateris revoluta, nervo valido in subula dissoluto, cellulis omnibus subrotundis tenuibus tenerrime papillois subobscuris in subula breviter ellipticis vel ovalibus incrassatis laevibus; ramalia e basi perfecte cordata recte acuminata, crenulata, nervo pellucido subcompleto, cellulis subrotundis obscuris; ramulina ovato-cordata. Sterile.

Auf Baumwurzeln im Bergwald des Meson bei Samaipata in großen, tiefen Rasen, ca. 2100 m, No. 4124; in der Quebrada de Pocona, ca. 2800 m, No. 5150.

Durch den Wuchs und die Form der Stengelblätter ausgezeichnet.

Subgen. *Euthuidium* Lindb. Musc. scand.

610. **Thuidium peruvianum** Mitt.

Tamariscella tripinnata C. M. in Prodr. Bryol. Bol.

Auf Sumpfboden am Rand des Nebelwaldes über Comarapa, ca. 2600 m, No. 3779, 4303; im Tal des Rio Paracti, ca. 1800 m, No. 5000, c. fr.!, im oberen Coranital, ca. 2600 m, sine No.; im unteren Coranital, ca. 1800 m, No. 4715; in der Quebrada de Pocona, ca. 2800 m, No. 3469.

Hypnaceae.

Amblystegieae.

Hygroamblystegium Loesk. Moosfl. d. Harz.

611. **Hygroamblystegium curvicaule** (Jur.).

An quelligen Stellen im unteren Chocayatal, ca. 3100 m, No. 2634; an den Cerros de Malaga, ca. 4000 m, No. 4385.

612. **Hygroamblystegium Punae** (C. M.) Broth.

Im Bach im oberen Llavetal, ca. 4200 m, No. 4833, 4835.

var. **tenuinerve** Herzog nov. var.

A typo differt nervo distincte tenuiore.

An einem Zufluß des Llavebaches, ca. 4300 m, No. 3433.

Sciaromium Mitt. Musc. austr. am.

Sect. *Limbidium* Dus. in Bot. Not.

613. **Sciaromium crassinervatum** Mitt.

Sc. plicatum Herzog nov. spec. in sched.

An Steinen in einem Bach des oberen Tocoranitales, ca. 2800 m, No. 4114; in der Hochregion von Altamachi, ca. 4000 m, No. 3865.

Sect. *Aloma* Dus. in Bot. Not.

614. **Sciaromium holoneuron** Herzog nov. spec. (Fig. 66).

Sterile; late caespitosum, e glaucoviridi ferrugineum, nitidulum vel opacum; caulibus 4—5 cm longis tenuibus duriusculis valde ramosis, ramis apice curvatis. Folia rigidula,

densa, erecta vel secundula, sicca accumbentia, parum incurva, 1 mm longa, anguste lanceolata, subulata, subula acuta vel obtusiuscula, carinato-concava, superne tenerrime serrulata vel integerrima, nervo validissimo basi $\frac{1}{2}$ folii occupante superne cum subula confluyente dorso prominente, cellulis laminaribus breviter linearibus vel oblique elliptico-hexagonis, parietibus subsinuatis, plerumque bistratis.

An nassen Felsen im Hochtal von Choquecota chico (Quimzaeruz), ca. 4600 m, No. 3184.
Mit *Sc. flavidulum* Dusén aus Fuegia verwandt.

Cratoneuron (Sull.) Roth. in Hedwigia XXXVIII Beibl.

615. **Cratoneuron submersum** Herzog nov. spec.

Sterile; submersum, obscure viride, caulibus 5—10 cm longis remote pinnatim ramosis ut et rami apice subhelicoides valde falcatis lutescentibus nitidulis. Folia laxiuscula, 5—6 mm longa, secunda, valde falcata, e basi indistincte auriculata haud decurrente linearilanceolata, longe tenuissime subulata, integerrima, nervo valido fusco sensim attenuato subulam totam occupante completo, cellulis alaribus paucis parvis abbreviatis, ceteris angustis longe linearibus haud incrassatis, angulo superiore parum prominente nitidulo.

Untergetaucht in Moortümpeln des oberen Monte-huaikotales, ca. 3900 m, No. 2656.

Durch die sehr langen Blätter und die auslaufende Rippe gut von dem verwandten *C. falcatum* unterschieden.

Drepanocladus (C. Müll.) Roth in Hedwigia XXXVIII Beibl.

616. **Drepanocladus exannulatus** (Gümb.) Warnst.

In einem Quellried der Cerros de Malaga, ca. 3800 m, No. 4355.

617. **Drepanocladus** species **Sendtneri** (Schimp.) **affinis**.

Auf Sumpfwiesen im oberen Llavetal, ca. 4200 m, No. 4877.

Calliergon (Sull.) Kindb. Eur. and. Northam. Bryin. I.

618. **Calliergon Luipichense** R. S. Williams l. c.

In einem alpinen Quellried der Yanakakaberger, um 4000 m, No. 3734; in einem Quellbach des Hochtals von Viloco, ca. 4600 m, No. 3122; in einem Bach zwischen Viloco und Choquecota chico, ca. 4300 m, No. 3183/a.

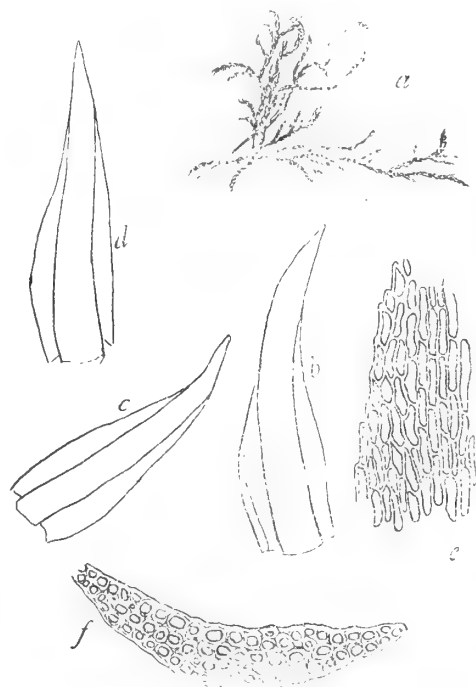


Fig. 66. *Sciaromium holoneuron* H. n. sp. a Habitusbild 1:1, b, c, d 3 Blätter 40:1, e Blattrand 250:1, f Blattquerschnitt 250:1.

Hygrohypnum Lindb. in Act. Soc. sc. fenn. X.

619. **Hygrohypnum aureum** Herzog nov. spec. (Fig. 67).

Late caespitosum, caespitibus mollibus amoene aureis nitidis, caulibus ad 6 cm longis flaccidis iterum divisis suberectis cum foliis sursum accrescentibus cochleariformi-concavis 3—4 mm crassis. Folia laxè accumbentia, concavissima, 3 mm longa, e basi subcordata contracta parum auriculata late oblonga, marginibus sursum inflexis conniventibus cucullata, apiculo mucroniformi tenui brevissimo recurvo terminata, integerrima, nervis duobus brevibus tenuissimis flavidis, cellulis alaribus crebris in auriculam distinctam conflatis, paucis majoribus ovalibus, laminaribus anguste linearibus modice incrassatis.

In Quellsümpfen des oberen Llavetales, ca. 4200 m, No. 4875.

Durch Größe und Blattform sehr ausgezeichnete Art.

620. *Hygrohypnum validum* Herzog nov. spec.

Sterile; habitu *H. dilatatum* in mentem referens, dense caespitosum, e caule repente valde ramosum, ramis 1,5—2 cm vel ad 4 cm longis suberectis crassis apice secundis, e viridi aureo-fuscum, nitidulum. Folia sat densa, secunda, concavissima, 1,3 mm longa, e basi decurrente late ovata, in apicem concavum subrecurvum breviusculum parce denticulatum constricta, ceterum integerrima, nervo variabili, vel medio furcato vel $\frac{3}{4}$ folii percurrente validiore viridi, immo dorso in spinam brevem appressam excurrente, cellulis alaribus multis breviter rectangularibus chlorophyllosis, ceteris breviter linearibus modice incrassatis, apice abbreviatis saepius fuscatis, omnibus laevissimis chlorophyllosis.

Am Bachrand im oberen Llavetal, ca. 4200 m, No. 4768; am Bachrand im Hochtal Viloco (Quimzacruz), ca. 4350 m, No. 3126.

Gehört zu denjenigen Moosen, welche in der Ausbildung der Blattrippe sich sehr schwankend verhalten und, wie Loeske betont, die Grenze zwischen *Oxyrrhynchium rusciforme* und Verwandten gegen die *Hygrohypnen* fast verschwinden lassen. Unsere Art ist sicher mit *Oxyrrhynchium aquaticum* nahe verwandt, obwohl ich sie bei der derzeitigen Umgrenzung der Gattungen nach der Struktur der Rippe und den hohlen Blättern nur zu *Hygrohypnum* bringen kann. *Oxyrrhynchium aquaticum* ist ein Verbindungsglied mehr zwischen beiden Gattungen; auch bei ihm wird die Rippe gelegentlich so stark zurückgebildet, daß Täuschungen über die Unterbringung solcher Formen entstehen können. Eine derartige Form habe ich unter den Moosen meiner ersten Bolivia-Reise als *Hygrohypnum circulifolium* var. *bolivianum* bezeichnet. Die Auflösung der gewiß

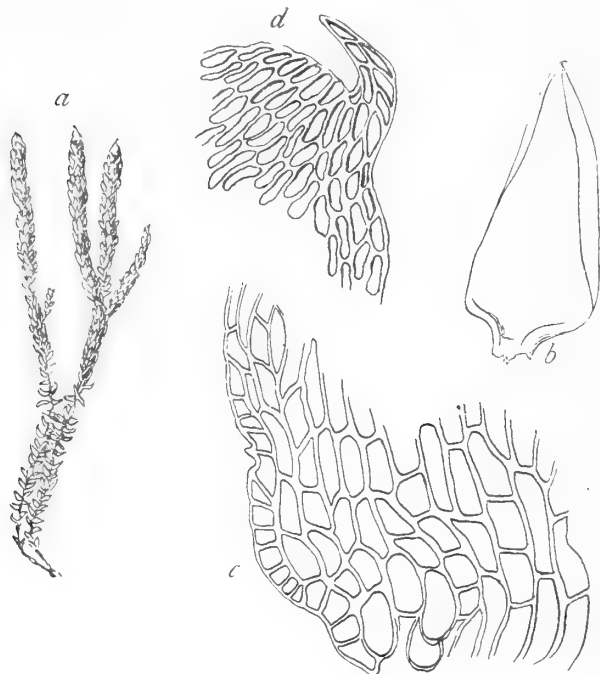


Fig. 67. *Hygrohypnum aureum* H. n. sp. a Habitusbild 1:1, b Blatt 15:1, c Blattflügel 250:1, d Blattspitze 250:1.

nur biologisch begründeten Gattung *Hygrohypnum* ist wohl nur eine Frage der Zeit. Denn so nahe Verbindungen zwischen Vertretern zweier in verschiedenen Familien untergebrachten Arten sind ein systematisches Ünding.

Die Exemplare aus dem Llavetal (No. 4768) zeigen gestauchtere Äste und haben regelmäßig eine einfache starke Rippe, diejenigen aus dem Hochtal Viloco (No. 3126) sind etwas schlanker und besitzen neben langen, einfachen Rippen am gleichen Stengel auch kürzere gegabelte.

Campylium (Sull.) Bryhn Explor.

621. *Campylium hispidulum* (Brid.) Mitt.

An Erdhängen und über Wurzelgeflecht selten.

Am Cerro Pampalarga bei Vallegrande, ca. 2300 m, No. 4149; bei Incacorral, ca. 2200 m, No. 4980.

622. *Campylium polygamum* (Bryol. eur.).

var. *latifolium* Herzog nov. var.

A typo differt foliis latioribus, nervo robustiore, margine basi integerrimo, cellulis parum angustioribus.

Auf einer Sumpfwiese im oberen Llavetal, ca. 4200 m, No. 4876.

Hypneae.

(Hylocomieae Broth. ex p., Stereodonteae Broth. ex p.) = Hypnaceae Fleisch.

Ctenidium (Schimp.) Mitt. musc. austr. am.

623. **Ctenidium malacodes** Mitt.

Im Nebelwald über Comarapa, ca. 2300 m, No. 4276 und f. *robustior* No. 3942; im Bergwald des Rio Tocorani, ca. 2200 m, No. 4082, f. *robustior*; in der Talschlucht von Tablas, ca. 1800 m, No. 4535; daselbst f. *robustior*, No. 4616.

var. *ampliretis* Herzog nov. var.

A typo differt alis foliorum majoribus retique cellularum basali ampliore.

Im Nebelwald über Comarapa, No. 4346, 3820.

624. **Ctenidium plumulosum** Herzog nov. spec. (Fig. 68).

Dioicum videtur; densiuscule caespitosum, laete viride, molle, habitu fere *Ct. mollusci*, caulibus procumbentibus graciliter dense cristato-pinnatis pinnulis contiguis tenuissimis 3—4 mm longis apice extremo caudatis subcurvulis. Folia caulina densiuscula patentia, e basi decurrente latissime triangulari-cordata in acumen subulatum flexuosum basi subtubulosum saepius undulatum constricta, ubique argute serrata, nervis deficientibus vel obsoletis, cellulis alaribus multis laxiusculis ovalibus valde excavatis ceteris anguste breviter linearibus angulo superiore papilloso-prominente; ramalia minora, parum secunda, falcata vel plerumque undique plumuloso-patentia, e basi elliptica concava anguste acuminata, superne argute serrata; perichaetia multa majora, longius subulata, subula argute serrata. Seta 2 cm longa erecta, rubra, laevissima; theca inclinata, subhorizontalis, parum curvata, vetusta suberecta, atropurpurea, operculo alte conico subrostrato acuto rubro-punctato nitido.

An der Waldgrenze über Tablas, ca. 3400 m, No. 2874.

Durch die Kleinheit aller Teile, die federig abstehenden Astblättchen und die stark ausgehöhlten Blattflügelzellen von dem verwandten *Ct. malacodes* unterschieden.

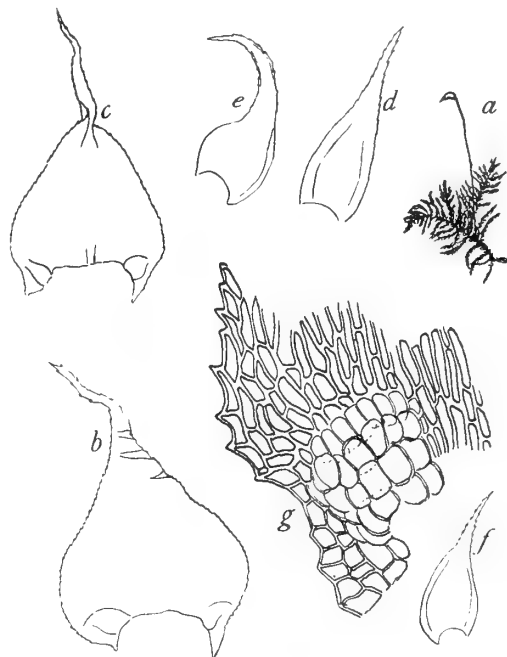


Fig. 68. *Ctenidium plumulosum* H. n. sp. a Habitusbild 1:1, b, c 2 Stengelblätter 31:1, d, e, f, 3 Astblätter 31:1, g Blattflügel 250:1.

Rhizohypnum Hpe. Symbol.

625. **Rhizohypnum stigmopyxis** (C. M.).

Sigmatella C. M. in Prodr. Bryol. Bol.

Auf Baumwurzeln im Bergwald von Florida de San Mateo, ca. 1600 m, No. 3626.

626. **Rhizohypnum thelistegium** (C. M.) Mitt.

Microthamnium Mitt.

Auf Baumwurzeln im Bergwald des Meson bei Samaipata, ca. 2000 m, No. 4133.

627. **Rhizohypnum breviusculum** (Mitt.) (Fig. 69 h—i).

Microthamnium Mitt.

Im unteren Coranital, ca. 1800 m, No. 4726.

628. **Rhizohypnum delicatulum** Herzog nov. spec. (Fig. 69, a—g).

Autoicum, floribus ♂ paucis in caule primario flori ♀ vicinis; caespitosum, sat humile, *Rh. oxystego*

statura simillimum, caule primario repente, ramis sat densis suberectis ad 1 cm longis humidis parum complanatulis acutis. Folia patentia, caulina subsquarrosa, e basi contracta parum decurrente late ovata, anguste acuminata, concava, margine ubique fere anguste reflexo, subintegerrima, nervis binis flavidis plerumque mediis; ramalia subsimilia, parum minora angustiora,

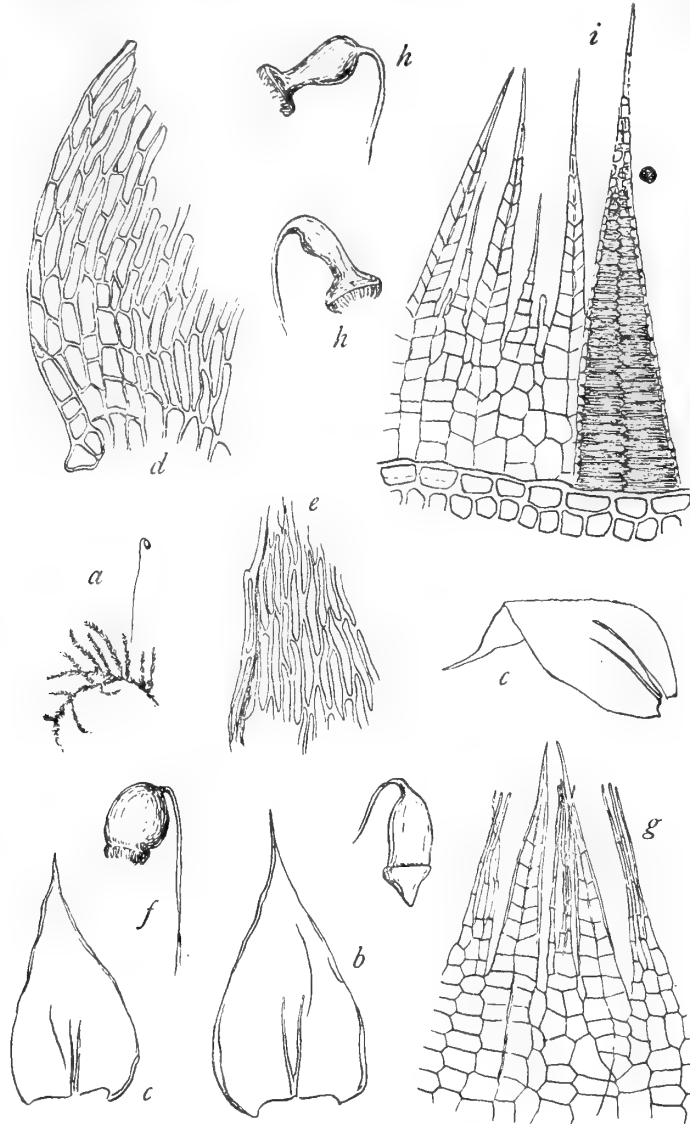


Fig. 69. a—g *Rhizohypnum delicatulum* H. n. sp. h—i *Rhizohypnum breviusculum* Mitt. a Habitusbild 1:1, b Stengelblatt 31:1, c 2 Astblätter 31:1, d Blattflügel 250:1, e Stück des oberen Blattrandes, f entdeckelte Kapsel ca. 10:1, g inneres Peristom 125:1, h 2 entleerte Kapseln ca. 10:1, i Peristom 125:1.

distiche patentia, similia, distinctius serrulata, dorso cellulis papilloso-prominentibus scabra, chlorophyllosa; perichaetia anguste oblonga, subulata, integerrima. Seta ca. 6—8 mm longa, apice breviter hamata, laevissima, purpurea; theca minutissima, 0,7—0,8 mm longa, nutans vel dependens, subglobosa vel turgide ovalis, deoperculata, sub ore constricta denique macrostoma, exothecii cellulis siccis verrucoso-prominentibus, operculo alte conico acuminato; peristomium completum, ciliis singulis vel binis brevibus.

cellulis anguste linearibus dorso angulo superiore papilloso-prominentibus, alaribus paucis parvis subquadratis vix excavatis; perichaetia anguste lineari-lanceolata, sensim longe subulata, subintegerrima, hyalina. Seta 1,6—2 cm longa, capillaris, purpurea, apice breviter hamata; theca nutans, parva, 0,8 mm longa, subglobosa, (operculo deleta); peristomium completum, internum ciliis 3 processibus subaequilongis; sporis minimis diametro 0,008—0,010 mm viridibus.

Im Bergwald des Sillar (Espiritu Santo), ca. 1500 m, No. 2693/a.

Die Art ist in der Gruppe *Pseudomicrothamnium* Broth. durch Wuchs und Länge der Seta in die Nähe von *Rh. oxystegum* zu stellen, unterscheidet sich aber von ihm durch die kleine, fast kugelige Kapsel und das Fehlen eines Kapselhalses. Bei Mittenl.c. ist bei *Rh. oxystegum* auch nichts von Wimpern des inneren Peristoms erwähnt. Von dem gleichfalls sehr nahestehenden *Rh. breviusculum* unterscheidet die neue Art sich durch das Peristom.

629. ***Rhizohypnum hookerioides*** Herzog nov. spec.

Autoicum; depresso caespitosum, humillimum, laete viride, opacum, caule primario repente substrato rhizoidibus affixo, sat dense subpinnatim ramoso, ramis brevissimis 2—4 mm longis horizontaliter patentibus valde complanatis. Folia caulina laxiuscula, minutissima, 0,4 mm longa, e basi late cordato-ovata tenuiter acuminata, concava, margine minutissime obtuse serrulata, nervis omnino deficientibus; ramalia densiora, sub-

Auf Baumwurzeln im Bergwald der Cordillere von Santa Cruz bei Tres Cruces, ca. 1400 m, No. 3541, 3883.

Dem *Rh. thelistegium* (C. M.) nahestehend, aber noch kleiner und durch die verflachte Aststellung und Beblätterung von ihm leicht zu unterscheiden.

630. **Rhizohypnum heterostachys** Hpe.

Auf Baumwurzeln und über Steinen ausgedehnte Rasen bildend, im Bergwald von Florida de San Mateo, ca. 1800 m, No. 3643, 3684, 3689; in der Talschlucht von Tablas, ca. 1800 m, No. 4661; bei Incacorral, ca. 2200 m, No. 5023.

631. **Rhizohypnum acorrhizon** (Hornsch.).

Auf Baumwurzeln und über Steinen, ausgedehnte Rasen bildend. Im Bergwald von Florida de San Mateo, ca. 1800 m, No. 3687, 3688; im Bergwald des Rio Tocorani, ca. 2200 m, No. 4019; in der Talschlucht bei Tablas, ca. 1800 m, No. 4552.

632. **Rhizohypnum reptans** (Sw.).

Im Bergwald von Florida de San Mateo, ca. 1800 m, No. 3706; im Nebelwald über Comarapa, ca. 2600 m, No. 3775; an der Waldgrenze über Tablas, ca. 3400 m, No. 2874/a, forma theca majore.

633. **Rhizohypnum decurrens** (H.).

Stereohypnum H. in Beih. Bot. Centr. 1909.
Im Bergwald bei Incacorral, ca. 2200 m, No. 5315.

634. **Rhizohypnum andicola** (Hook.).

In der Talschlucht von Tablas, ca. 1800 m, No. 4589, 4590; bei Incacorral, ca. 2200 m, No. 5316.

635. **Rhizohypnum viscidulum** Hpe.

Im unteren Coranital, ca. 1800 m, No. 4711, 4732; bei Incacorral, ca. 2200 m, No. 5317; bei Tres Cruces in der Cordillere von Santa Cruz, ca. 1400 m, No. 3517.

636. **Rhizohypnum viridicaule** (C. M.).

Im Nebelwald über Comarapa, ca. 2600 m, No. 3973; im unteren Coranital, ca. 1800 m, No. 4748, forma lutescens.

637. **Rhizohypnum plumosum** H. (Fig. 70).

Stereohypnum H. in Beih. Bot. Centrbl. 1909.

Im Bergwald bei Incacorral, ca. 2200 m, No. 5103, wohl am Originalfundort.

Die Exemplare stimmen mit den Originalen mit Ausnahme von unwesentlichen Größenunter-

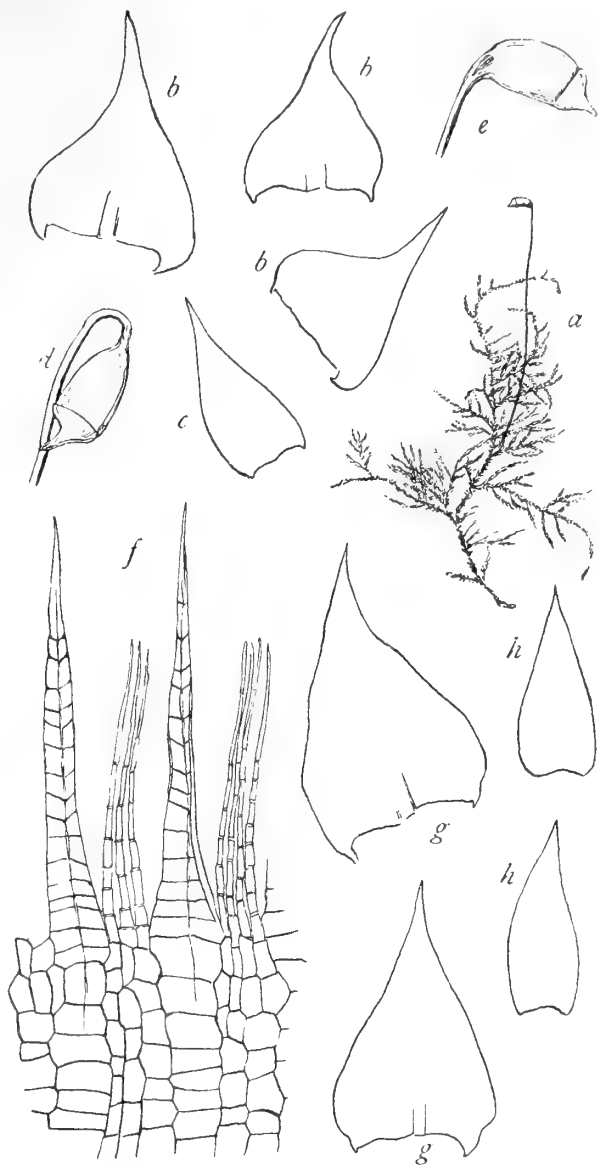


Fig. 70. *Rhizohypnum plumosum* H. No. 5103. a Habitusbild 1:1, b 3 Stengelblätter 31:1, c Astblatt 31:1, d, e 2 Kapseln ca. 7:1, f inneres Peristom 125:1, g 2 Stengelblätter 31:1, h 2 Astblätter 31:1 (g—h Original).

schieden in den Blättern sehr gut überein. Zu der a. a. O. gegebenen Diagnose mag noch folgendes hinzugefügt werden: operculum alte conicum, acutum; endostomium ciliis 2—4 (plerumque 3) optime evolutis.

Sehr charakteristisch für diese Art ist die lange kräftige Seta und die große dicke Kapsel. Sie scheint darin *Rh. Jamesonii* nahe zu kommen, unterscheidet sich aber von dieser Art durch die glatten ungefalteten Blätter und den einhäusigen Blütenstand.

638. **Rhizohyponum robustiusculum** Broth. n. sp.

Rh. eciliatum Herzog in sched.

Autoicum; robustiusculum, lutescenti-viride, nitidum; caulis procumbens, laxe foliosus, bipinnatim ramosus, ramis patulis, usque ad 3 cm longis, laxe foliosis, ramulis usque ad 1,5 cm longis, complanatis, cum foliis ca. 2 mm latis, arcuatis, densiuscule foliosis, subattenuatis; folia caulina squarroso-patula, late ovata, raptim anguste lanceolato-acuminata, marginibus basi anguste recurvis, dein erectis, superne minute serratis, nervis binis, brevibus, cellulis angustissime linearibus, laevibus, basilaribus infimis brevibus, laxis; folia ramea ovato-lanceolata, distinctius serrulata, cellulis apice papillose exstante; bracteae perichaetii internae e basi vaginante superne crenulata subsensim in subulam squarroso-patulam, integram attenuatae; seta 2 cm vel paulum ultra alta, tenuis, flexuosula, rubra; theca subhorizontalis, obovata, sicca deoperculata sub ore paulum constricta, fusca; spori 0,017—0,020 mm, virides, laeves; operculum alte conicum, acutum, apice rubro; calyptra ignota.

San Mateo-Sunchal, No. 4470; oberes Coranital, alt. 2600 m, No. 3395; im Bergwald von Florida de San Mateo, ca. 1800 m, No. 3644; beim Sillar, ca. 2000 m, No. 2752.

Species a congeneribus statura robustiore oculo nudo jam dignoscenda.

Obs. Ich füge als weiteres, sehr charakteristisches Merkmal das Fehlen der Wimpern hinzu; an ihrer Stelle sind nur 1—2 winzige Membranlappchen zu beobachten. (Th. H.).

639. **Rhizohyponum capillirameum** (C. M.).

Im Bergwald von Florida de San Mateo, ca. 1800 m, No. 3692.

Ectropothecium Mitt. in Journ. Linn. Soc.

640. **Ectropothecium apiculatum** (Hornsch.).

In der Talschlucht von Tablas, ca. 1800 m, No. 4544, 4583.

641. **Ectropothecium campanulatum** Mitt.

Im Bergwald des Sillar, ca. 1800—1600 m, No. 2753.

642. **Ectropothecium aeruginosum** (C. M.).

Auf faulem Holz im Bergwald des Sillar, ca. 1800 m, No. 2739; im Bergwald des Rio Tocorani, ca. 2200 m, No. 4102.

Stereodon Mitt. emend.

643. **Stereodon spiripes** (Hpe.).

St. entodonticarpus (C. M.).

Auf Baumästen an der Waldgrenze über Tablas, ca. 3400 m, No. 2814; an Bäumchen in den Estradillas über Incacorral, ca. 3300 m, No. 3312.

Die C. Müllersche Art scheint mir durch kein wesentliches Merkmal von *St. spiripes* (Hpe.) verschieden zu sein.

Hypnum Dill. emend.

644. **Hypnum latifolium** Herzog nov. spec. (Fig. 71).

Dioicum; dense turgide caespitosum, e viridi lutescens nitidulum, caulibus ascendentibus sat crassis subjulaceis ramosis, ramis sursum crassioribus acutis, sparsim paraphylliferis, para-

phylliis majusculis laciniatis. Folia dense imbricata, concavissima, apice plerumque secundula, e basi contracta subauriculata latissime ovalia, in acumen subuliforme breviusculum constricta, integerrima vel apice indistincte serrulata, nervis omnino deficientibus, cellulis alaribus valde excavatis numerosis subquadratis viridibus modice collenchymatico-incrassatis, ceteris linearibus vermiformibus 1:8, haud incrassatis chlorophylliferis. Sterilis ♂.

An Felsen des Cerro Tunari, ca. 4600 m, No. 4880/81.

Aus der Verwandtschaft des *H. cupressiforme*, aber doch so stark durch den Zuschnitt der Blätter, die kürzeren unverdickten Blattzellen und die großen zerschlitzen Paraphyllien verschieden, daß mir eine Vereinigung beider nicht tunlich erscheint. Auch der Habitus weicht von allen mir bekannten Formen des *H. cupressiforme* beträchtlich ab.

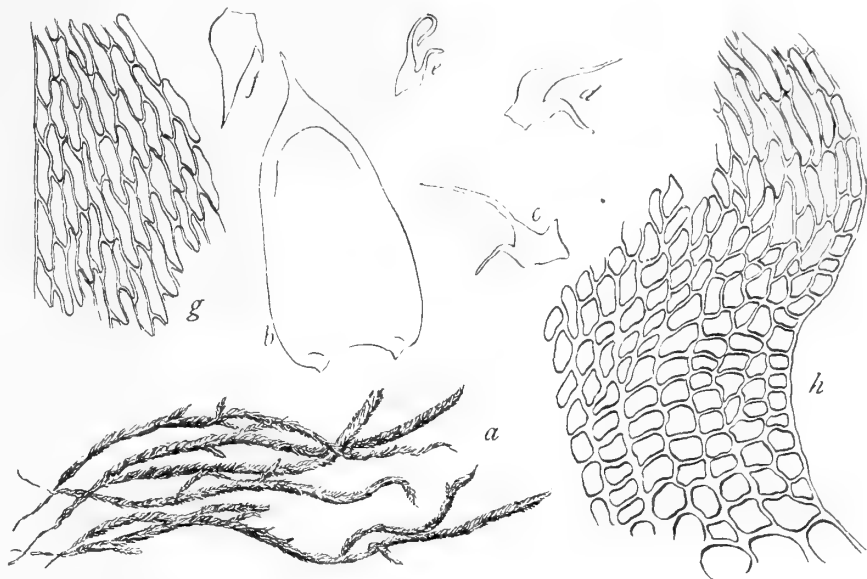


Fig. 71. *Hypnum latifolium* H. n. sp. a Habitusbild 1:1, b Blatt 15:1, c, d, e, f Paraphyllien 30:1, g Zellen des Blattrandes 250:1, h Blattflügel 250:1.

645. *Hypnum cupressiforme* Linn.

Zwischen Gras an trockenen Abhängen der Cerros de Malaga, ca. 4000 m, No. 4408, forma robusta ramis subjulaceis.

Breidleria Loeske emend.

646. *Breidleria amabilis* (Mitt.).

Stereodon Broth.; *Hypnum subimponens* Hpe. in Prodr. Flor. Nov. Granat; *Ctenidium subimponens* Herzog in Beih. Bot. Centr. 1909.

Häufig an feuchten, sonnigen Plätzen, besonders in der Nähe der Waldgrenze; große, aber fast immer sterile Rasen und Decken bildend.

An der Waldgrenze über Tablas, ca. 3400 m, No. 2897; an den Cerros de Malaga, ca. 4000 m, No. 4406; in einem Waldsumpf des oberen Coranital, ca. 2600 m, No. 3384; an der Waldgrenze bei Lagunillas im Tocarantal, ca. 3000 m, No. 3849.

Plagiotheciae.

Isopterygium Mitt. musc. austr. am.

647. *Isopterygium subglobosum* Herzog nov. spec.

A u t o i c u m; caulis tenellus, v a g a n s, laxe ramosus, pallide viridis. Folia caulina sat laxè disposita, e basi contracta fibrosa ovata, a n g u s t e a c u m i n a t a, integerrima, ramalia deorsum subsecunda asymmetrica, majora, latiora, brevius oblique acuminata, superne parce denticulata, omnia concava, enervia, cellulis angustis granulis chlorophylli seriatim insigniter punctatis, basalibus laxis hyalinis; perichaetalia e basi late ovato-triangulari raptim longe subulata,

subula extrorsum hamata. Seta pro plantula longa (ad 2 cm) tenuissima, recta; theca nutans vel horizontalis, breviter ovalis, deoperculata subglobosa majuscula, diametro 1 mm, macrostoma, e basi rubra pallide olivacea, operculo oblique conico acuto.

Auf faulem Laub an Bachrändern beim Sillar (am Weg nach Santa Rosa del Chapare), ca. 1600 m, No. 2738.

Charakteristisch ist die langgestielte, fast kugelige, relativ große Kapsel.

648. *Isopterygium vagans* Herzog nov. spec.

Autoicum; caulis vagans, longe repens, parce ramosus, ramis tenuibus sericeo-nitentibus pallidis. Folia sat densa, erecta, ovata, tenuissime acuminata integerrima, ramalia minora, angustiora, integerrima, cellulis basalibus minus laxis, alaribus paucis quadratis, ceteris angustis inanibus. Seta praelonga (ad 3 cm), flexuosa; theca subglobosa, ut in praecedente.

An Wegrändern bei San Miguelito, ca. 1600 m, No. 2765.

Der vorigen Art sehr nahestehend, aber durch die schmalere Blattspitze und die Ausbildung von Blattflügelzellen unterschieden. Vielleicht kommen Zwischenformen vor; in dem spärlich gesammelten Material konnte ich solche nicht beobachten.

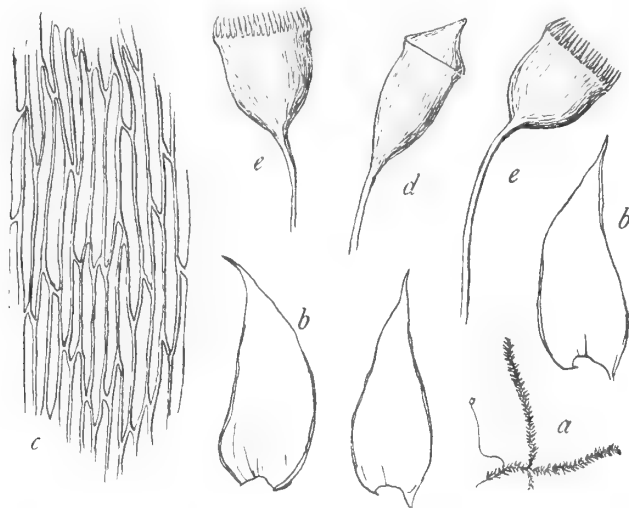


Fig. 72. *Plagiothecium microsphaerothecium* H.n.sp. a Habitus-bild 1:1, b 3 Blätter 31:1, c Blattzellnetz 250:1, d bedeckelte Kapsel ca. 20:1, e 2 entdeckelte Kapseln ca. 20:1.

Plagiothecium Bryol. eur. fasc. 48 Mon.

649. *Plagiothecium microsphaerothecium* Herzog nov. spec. (Fig. 72).

Autoicum; pusillum, laxe caespitosum, depressum, amoene viride, nitidum, caulibus repentibus ad 2 cm longis tenuissimis apice saepius radicanibus parce ramosis hic illic stoloniferis, caule ramisque valde complanatis,

hyalodermide optime evoluta. Folia laxa, minuta, parum ultra 1 mm longa, patentia, concava, e basi amplexicauli ovata oblique anguste elliptica, breviter piliformi-acuminata, integerrima, margine plerumque anguste reflexa, nervis binis brevissimis subobsoletis, cellulis linearibus tenuissimis angustis chlorophyllous, alaribus paucis majusculis inflatis hyalinis. Seta vix ultra 10 mm longa, capilliformis, e basi arcuata subrecta, flexuosa, pallide rubra vel flavescens, laevissima; theca subrecta vel inclinata, minutissima, deoperculata 0,7—0,8 mm longa, subgloboso-ovata, olivacea, exothecio cellulis subrotundo-hexagonis laxis collenchymaticis siccis verrucoso-prominentibus exstructo, annulo angusto diffracto, operculo pro theca majusculo oblique rostrato; peristomii externi dentibus longissimis ultra $\frac{1}{2}$ thecae aequantibus inferne dorso dense punctulatis ventre striatis superne papillosis pallidis, interni processibus aequilongis papillosis hyalinis, ciliis interpositis brevibus vel mediis 1—2 papillosis; sporis diametro 0,008 mm viridibus laevissimis.

Im Nebelwald über Comarapa, ca. 2600 m, No. 4250.

Durch die äußerst kleine, fast kugelige Kapsel und die haardünne Seta bestens charakterisiert.

650. *Plagiothecium fallax* Herzog nov. spec.

Autoicum?; laxe caespitosum, habitu *Pl. denticulatum* aemulans, sed *Pl. microsphaerothecio* magis affine, caulibus procumbentibus parce ramosis complanatis, foliis sat laxis quam in priore majoribus, obscure viridibus nitidulis. Folia e basi subamplexicauli parum decurrente elliptica

anguste oblonga, parum asymmetrica, breviter subpiliformi-acuminata, margine plana vel angustissime reflexa, integerrima, subnervia vel nervis binis valde inaequalibus subobsoletis, cellulis elongate linearibus tenuissimis basi tantum laxioribus, alaribus paucis amplioribus hyalinis. Seta ad 10 mm longa, tenuissima, purpurea, laevissima; theca minuta, breviter ovata *Pl. microsphaerothecii* thecae simillima sed parum majore, deoperculata macrostoma quasi truncata, exothecio laxe texto cellulis collenchymaticis siccis verrucoso-prominentibus, operculo majusculo oblique rostrato; peristomii externi dentibus robustiusculis dorso dense horizontaliter striatis apicibus papillosis, interni processibus quam in praecedente latioribus minus papillosis, ciliis interpositis singulis subaequilongis; sporis viridibus, diametro 0,008—0,01 mm, laevissimis.

Im Bergwald des Rio Tocarani, ca. 2200 m, No. 4064, sehr spärlich.

Der vorigen Art durch die kleine Kapsel und die trocken warzig vorragenden Zellen des Exotheciums sehr nahe stehend, aber durch die Statur in den vegetativen Teilen und das Peristom verschieden.

651. **Plagiothecium bolivianum** Broth. n. sp.
(Tafel VII, Fig. 2).

Herzogiella Broth. in sched.

Autoicum; tenellum, caespitosum, caespitibus laxis, mollibus, pallide viridibus, sericeo-nitidis; caulis repens, per totam longitudinem fusco-radiculosus, dense ramosus, ramis adscendentibus, plerumque arcuatulis, usque ad 1,5 cm longis, dense foliosis, complanatulis, plus minusve distincte attenuatis; folia lateralibus concaviuscula, patentia, subsymmetrica, ovato-lanceolata, in acumen elongatum, piliforme, flexuosulum sensim attenuata, marginibus erectis, ubique argute serratis, enervia, cellulis omnibus angustissime linearibus, laevissimis; folia ventralia et dorsalia erectiora, eisdem lateralibus paulum minora, caeterum similia; bracteae perichaetii erectae, e basi vaginante sensim longe subulatae, superne serratae; seta ca. 2 cm alta, tenuissima, rubella, laevissima; theca erecta, regularis, e basi longiuscula breviter oblonga, leptodermis, pallida, cellulis exothecii haud incrassatis, quadratis vel irregulariter polygonis, stomatibus in collo solum positis; annulus angustus, operculo adhaerens; exostomii dentes ad orificium thecae oriundi, lanceolato-subulati, ca. 0,3 mm longi et ca. 0,05 mm lati, lutei, dense striolati, apice hyalini, minute papilloso; endostomium flavidum, laeve; membrana basilaris humilis; processus dentium longitudinis, anguste lineari-lanceolati, carinati, linea media perforati; cilia rudimentaria vel nulla; spori 0,010—0,012 mm, virides, laeves; operculum alte conicum, obtusum.

Waldgrenze über Tablas, alt. 3400 m, No. 2821; auf faulem Holz zwischen San Mateo u. Sunchal, No. 4435, 4444; an der Waldgrenze des Rio Saujana, ca. 3400 m, No. 3236.

Species distinctissima, foliorum forma et structura a congeneribus longe diversa.



Fig. 73. a—d *Plagiothecium conostegium* H. n. sp. a Habitusbild 1:1, b Blatt 15:1, c Blattzellnetz 250:1, d Kapsel ca. 10:1, e—h *Plagiothecium novogranatense* (Hpe.). e, f, g Blätter 15:1, h Blattzellnetz 250:1.

652. *Plagiothecium novogranatense* (Hpe.). (Fig. 73 e—h).

Im oberen Waldgürtel zwischen San Mateo und Sunchal, ca. 2600 m, No. 4426/a u. 4426/b.

Nach der Beschreibung stimmen meine Exemplare zu der Hampeschen Art recht gut; die Originale habe ich nicht gesehen. Der Blütenstand ist übrigens autoceisch, wie auch M i t t e n angibt. Bemerkenswert für die Art ist die unregelmäßige Ausbildung der Blattrippe. Neben der normalen Gabelrippe mit ungleichen Ästen kommen Blätter mit sehr kräftiger, einfacher, bis über $\frac{3}{4}$ des Blattes durchlaufender Rippe vor. Das Zellnetz ist eng, nur an der Basis gelockert. Die Blätter sind wesentlich schmaler als z. B. bei *P. conostegium* und die Kapsel klein und glatt. Im Habitus erinnert die Art an schwächere Exemplare von *P. silvaticum*, ist aber immerhin kräftiger als *P. denticulatum*.

653. *Plagiothecium conostegium* Herzog nov. spec. (Fig. 73 a—d).

Dioicum videtur (flores ♂ haud observati); caulis profusus pauciramosus complanato-foliatus cum foliis ca. 2,5 mm latus, foliis laxis patulis luteo-viridibus nitidulis. Folia concava, ovata, breviter acuminata, integerrima, lateralia asymmetrica, breviter decurrentia, nervo furcato brevissimo viridi, cellulis omnibus sat laxis (ut in *Pl. silvatico*). Seta 2 cm longa, tenuis, rubra; theca inclinata, breviter cylindrica, parum curvata, pallide olivacea, distincte striata, sub ore parum constricta, operculo alte conico acuto apice rubro; peristomio generis.

An der Waldgrenze über Tablas, ca. 3400 m, No. 2947; im Nebelwald über Comarapa, ca. 2600 m, No. 4239; zwischen San Mateo und Sunchal No. 4513/a.

Habituell zwischen *P. denticulatum* und *P. silvaticum* stehend.

Catagonium (C. Müll.) C. M. in Flora 1896.

654. *Catagonium politum* (Hook. fil. et Wils.).

Auf schwarzer Humuserde in Felsspalten und unter Baumwurzeln weit verbreitet in der Waldregion und steril in einer lockerer beblätterten Form bis ins hochandine Gebiet aufsteigend.

Im Nebelwald über Comarapa, ca. 2600 m, No. 3941, 4249, 4290, 4307; an den Cerros de Malaga, ca. 4000 m, No. 4417; in der Talschlucht bei Tablas, ca. 1800 m, No. 4550, 4629; in der Quebrada de Pocona, ca. 2800 m, No. 5144; an der Waldgrenze über Tablas, ca. 3400 m, No. 2854; in den Estradillas über Incacorral, ca. 3000 m?, No. 3328; zwischen San Mateo und Sunchal, No. 4490 (forma obtusifolia); im Hochtal von Viloco (Cord. von Quimzacruz), ca. 4600—4700 m, No. 3118.

In den Formenkreis dieser vielgestaltigen Art gehört auch offenbar, wie Brotherus schon vermutet, *C. brevicaudatum* C. M. aus Bolivia. Ich habe zahlreiche Exemplare untersucht und mit Pflanzen aus Chile verglichen, kann aber, trotz oft auffallend verschiedenen Aussehens, nirgends faßbare Unterschiede im Bau finden. Die C. Müllersche Beschreibung von *C. brevicaudatum* läßt sich auch ohne weiteres auf *C. politum* anwenden. Wenn der Habitus, den ich allerdings nicht unterschätze, maßgebend wäre, so ließen sich aus den mir bekannten Formen von *C. politum* zum mindesten 3 Arten machen; in Worte fassen lassen sich die Unterschiede aber kaum, nur der verschiedene Wuchs begründet den verschiedenen Eindruck.

Rhythidiaceae.

Rhythidium (Sull.) Kindb. Laubm. Schwed. und Norw.

655. *Rhythidium rugosum* (Ehrh.) Kindb.

Mit Breutelien in einem Quellried zwischen Gras bei der Saittulaguna, ca. 4300 m, No. 2647; an den Cerros de Malaga, ca. 4000 m, No. 4398.

Sematophyllaceae.

Sematophylleae.

Rhaphidostegium (Bryol. eur.) De Not. Cronaca II.

Sect. *Cupressinopsis* Broth.

656. *Rhaphidostegium decumbens* (Wils.) Jaeg.

Auf faulem Holz flache Decken bildend, im Bergwaldgürtel häufig. Z. B. im Nebelwald über Comarapa, ca. 2600 m, No. 3954, 3966, 4274; in der Talschlucht bei Tablas, ca. 1800 m, No. 4591; bei Samaipata — auf dem Meson? —, No. 5129.

657. *Rhaphidostegium Lindigii* (Hpe.).

Häufig im Bergwaldgürtel auf Baumästen, besonders um die Waldgrenze, überhaupt an offeneren Stellen.

Im Nebelwald über Comarapa, ca. 2600 m, No. 4275; bei Tres Cruces, Cord. von Santa Cruz ca. 1400 m, No. 3994; an der Waldgrenze über Tablas, ca. 3400 m, No. 2825; am Meson bei Samaipata, ca. 2000 m, No. 4127, forma propagulifera.

658. *Rhaphidostegium prominulum* (Mitt.).

In der Talschlucht von Tablas, ca. 1800 m, No. 4586.

Sect. *Aptychus* (C. Müll.) Broth.

659. *Rhaphidostegium orthocarpum* Broth. n. sp.

Autoicum; tenellum, caespitosum, caespitibus laxis, lutescenti-viridibus, nitidiusculis; caulis elongatus, repens, per totam longitudinem hic illic fusco-radiculosus, densiuscule foliosus, subpinnatim ramosus, ramis complanatis, vix ultra 5 mm longis, singulis longioribus, simplicibus, obtusis; folia erecto-patentia, concaviuscula, anguste oblonga, sensim lanceolato-subulata, marginibus recurvis integerrimis, enervia, cellulis angustissime linearibus, alaribus magnis, oblongis, luteis; bracteae perichaetii erectae, e basi vaginante sensim longe subulatae, integrae; seta ca. 1 cm alta, tenuissima, rubra; theca erecta, regularis, ovalis. Caetera ignota.

Waldgrenze am Rio Saujana, alt. 3400 m, No. 3291.

Species e tenerioribus, theca regulari, erecta notabilis.

660. *Rhaphidostegium eurycystis* Herzog nov. spec. (Fig. 74 a—f).

Autoicum; pusillum, amoene virens, sericeo-nitidum, caulibus brevissimis acutis, humidis subcomplanatis, subsimplicibus vel ramulis brevissimis dense obtectis. Folia erecta, subappressa, e basi elliptica anguste lanceolata, sensim acuminata, 1 mm longa, concavissima, integerrima, nervis deficientibus, cellulis alaribus pluribus magnis, superpositis multis majusculis angulum laxiretem sistentibus, ceteris elongate hexagonis densiusculis in angulis longitudinalibus minutim noduloso-nitidis pellucidis. Seta brevissima, 7—9 mm longa, tenuissima, pallide rubra; theca horizontalis, brevis, turgidula, valde inaequalis, macrostoma, pallide olivacea, peristomio aurantiaco.

An Bäumen in der Cordillere von Santa Cruz, ca. 1400 m, No. 3527/a; an Bäumen im Bergwald von Florida de San Mateo, ca. 2000 m, No. 3648.

Durch die große Gruppe von Blattflügelzellen charakterisiert.

661. *Rhaphidostegium tenerifolium* (C. M.) Car.

Auf Baumwurzeln im Bergwald von Tres Cruces, Cordillere von Santa Cruz, ca. 1400 m, No. 3886/a.

662. *Rhaphidostegium cuspidiferum* (Mitt.) Jaeg.

Im Bergwald des Sillar, ca. 1800 m, No. 2714, 2725; an der Waldgrenze über Tablas, ca. 3400 m, No. 2871; im unteren Coranital, ca. 1800 m, No. 4728.

Die Art ändert in der Länge der Haarspitze stark.

663. *Rhaphidostegium caespitosum* (Sw.) Jaeg.

An Bäumen im Bergwald von Florida de San Mateo, ca. 1800 m, No. 3646.

664. *Rhaphidostegium Kegelianum* (C. M.) Jaeg.

An Bäumen im Bergwald von Florida de San Mateo mit voriger Art, ca. 1800 m, No. 3646/d.

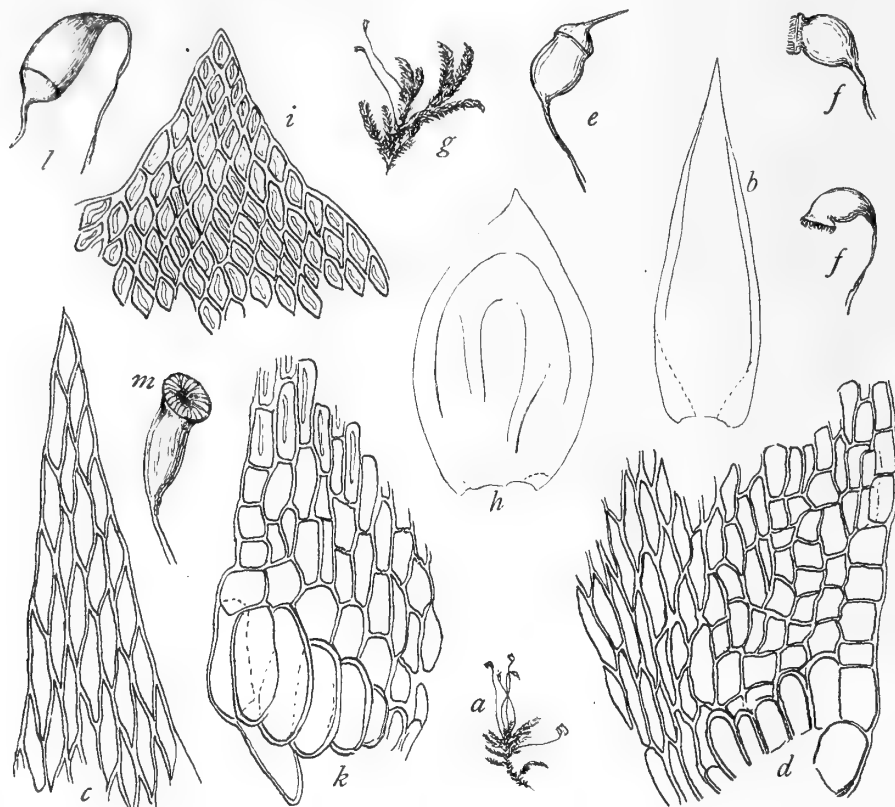


Fig. 74. *a-f Rhaphidostegium eurycystis* H. n. sp. *a* Habitusbild 1:1, *b* Blatt 31:1, *c* Blattspitze 250:1, *d* Blattflügel 250:1, *e* Kapsel mit Deckel, *f* 2 entdeckte Kapseln; *g-m Rhaphidostegium turgidulum* H. n. sp. *g* Habitusbild 1:1, *h* Blatt 31:1, *i* Blattspitze 250:1, *k* Blattflügel 250:1, *l* bedeckte Kapsel, *m* entleerte Kapsel.

665. *Rhaphidostegium loxense* (Hook.) Jaeg.

An feuchten Steinen in der Talschlucht von Tablas, ca. 1800 m, No. 4615.

666. *Rhaphidostegium turgidulum* Herzog nov. spec. (Fig. 74 *g-m*).

Autoicum; laxe caespitosum, viride, nitidum, caulibus 2—3 cm longis ramis paucis suberecti, apice curvulis obtusis. Folia densa, parum secundula, concavissima, cochleariformia, late ovalia, brevissime late apiculata, margine late subreflexo, integerrima vel apice subserrulata, nervis perfecte deficientibus, cellulis obscuris apice valde abbreviatis densis rhombis, alaribus 3—4 magnis flavidis, superpositis pluribus minusculis quadratis. Seta vix 1 cm longa, tenuis,

rubra; theca minuta, suberecta vel nutans, sicca deoperculata, sub ore valde constricta.

An Bäumen im Bergwald von Florida de San Mateo; ca. 2000 m, No. 3647; bei Incacorral, ca. 2200 m, No. 5085.

Aus der Verwandtschaft von *Rh. loxense*, aber durch sehr hohle Blätter und dichte Zellen der Blattspitze verschieden.

667. *Rhaphidostegium undulatum* Herzog nov. spec. (Fig. 75).

Autoicum; caespitosum, viride, nitidum, caule longe repente basi rhizoidibus affixo dense pinnato, ramis ultra 1 cm longis horizontaliter patentibus parum complanatis. Folia sat densa, humida valde patentia, mollia, 2 mm longa, e basi ovata longius acuminata, concavissima, margine usque ad extremum apicem late reflexo undulato, integerrima, nervis perfecte deficientibus, cellulis omnibus densis breviter hexagonis apice abbreviatis obscuris, alaribus pluribus magnis flavidis, superpositis ovalibus pluribus. Seta 1—1,5 cm longa, tenuis, rubra; theca inclinata vel horizontalis, breviter cylindrica, deoperculata macrostoma parum curvata sub ore parum constricta, vix ultra 1 mm longa.

In der Talschlucht bei Tablas, ca. 1800 m, No. 4537; im Bergwald bei Incacorral, ca. 2200 m, No. 5092.

Aus der Verwandtschaft von *Rh. rufulum* Besch.

Sematophyllum (Mitt.) Jaeg. Adumb. II.

668. **Sematophyllum ulicinum** Mitt.

An Ästen in der Talschlucht von Tablas, ca. 1800—2000 m, No. 4522.

Schröterella Herzog nov. gen.

669. **Schröterella zygodonta** Herzog n. sp. (Tafel VII, Fig. 3).

Autoica; plantula pergracilis, gregaria vel laxe caespitosa, lutescenti-viridis, sericeo-nitida, caule primario perbrevis repente rhizoidibus numerosis affixo, ramis ascendentibus vel erectis sat dense dispositis 5—8 mm longis plumulosis apice subpungente instructis. Folia rigidula, patentia, sat laxa, concavissima, e basi anguste elliptica paulatim longe acuminata, integerrima, margine angustissime reflexo, nervis nullis, cellulis teneris prosenchymaticis sursum parum abbreviatis pellucide areolata, cellulis alaribus magnis elongatis sematophyllaceis inflatis hyalinis vel luteolis. Seta erecta, pertenuis, 2—3 mm longa, laevissima, olivacea; theca minima, 0,5—0,6 mm longa, 0,2 mm lata, anguste pyriformis, collo distincto, matura sub ore constricta, leptoderma, exothecio irregulariter collenchymatico, operculo oblique rostrato mediam thecae longitudinem aequante, calyptra cucullata pallida; peristomium duplex tenerrimum, externum orthotrichaceum, dentibus 16 in 8 paria geminatis siccis perfecte introflexis lanceolatis acutis e membrana simplici pallida tenerrime papillosa exstructis, strato dorsali nullo, internum ciliis 8 interpositis subaequilongis vel brevioribus a basi latiore capillaceis hyalinis laxè papillosis compositum; sporis minimis viridibus.

An dünnen Lianen einer Waldschlucht im Tal des Rio Tocarani, ca. 2200 m, No. 4039, mit *Leskeodon andicola*.

Eine ausgezeichnete neue Gattung, die in manchen Zügen an *Schraderella* erinnert, sich jedoch durch doppeltes Peristom und zwerghaften Wuchs von ihr unterscheidet. Ich widme dieselbe meinem Freunde Dr. C. Schröter, Professor der Botanik an der Eidgenöss. Technischen Hochschule in Zürich.

Heterophylleae Fleisch.

Aptychella (Broth. als Section von *Rhaphidostegium*) Herzog nov. gen.

670. **Aptychella prolifera** (Broth.) Herzog (Fig. 76).

Rhaphidostegium lageniforme Dus. Musc. bras.

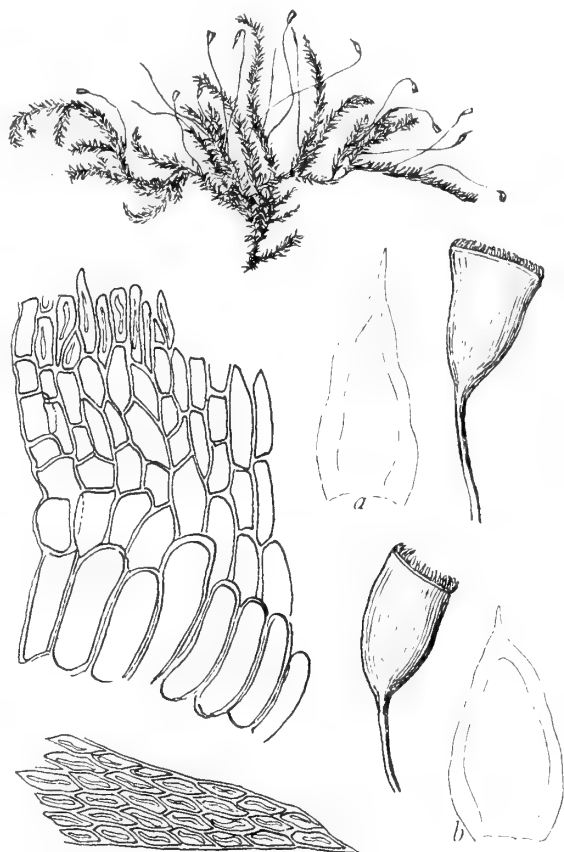


Fig. 75. *Rhaphidostegium undulatum* H. n. sp.
a Habitusbild 1:1, b 2 Blätter 15:1, c Blattspitze 250:1, d Blattflügel 250:1, e 2 entdeckelte Kapseln.

Auf Baumrinde und an faulen Strünken im Bergwald.

Im oberen Coranital, ca. 2600 m, No. 3410, 5063; im unteren Coranital, ca. 1800 m, No. 4717; bei Inacorral, ca. 2200 m, No. 5016.

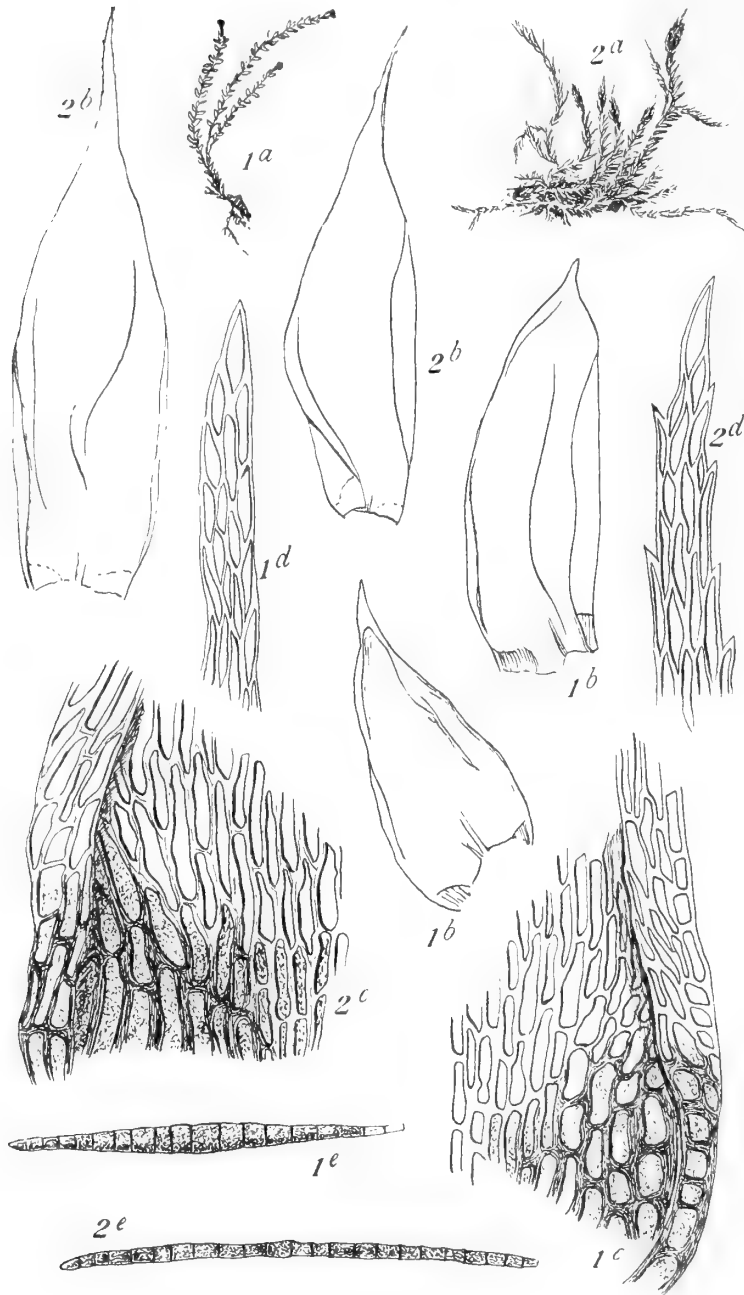


Fig. 76. 1. *Aptychella prolifera* (Broth.) H. 2. *Aptychella caudata* H. n. sp.
a Habitusbild 1:1, b 2 Blätter 31:1, c Blattflügel 250:1, d Blattspitze
250:1, e Brutkörper 61:1.

und die stets viel kräftiger entwickelte Rippe von den asiatischen Arten von *Clastobryum*. Die mexikanische Art *C. americanum* Card. kenne ich nicht. Vielleicht könnte die Gattung als Untergattung bei *Clastobryum* eingereiht werden, doch scheint es mir vorderhand, bis zur Auffindung der Sporogone, besser, ihr einen eigenen Platz anzuweisen.

671. *Aptychella caudata* Herzog n. sp.
(Fig. 76).

Clastobryum bolivianum Broth.
in sched.

Dioica; laxe caespitosa, e viridi lutescens, nitida, caule repente ramis suberectis ad 3 cm longis, in apice caudato-attenuato densissime propaguliferis, propagulis filiformibus articulatis fuscis. Folia laxa, erecto-patula, plerumque secunda, ultra 2 mm longa, concava, e basi oblonga vel subpanduriformi lanceolato-subulata, subula tenui serrulata, marginibus usque ad medium, interdum ubique, latiuscule reflexis, nervis duobus inaequalibus uno saepius elongato validiore interdum folium medium aequante, cellulis alaribus fuscatis incrassatis majusculis late rectangularibus a ceteris linearibus incrassatis punctulatis optime distinctis.

An Baumstrünken im Bergwald des unteren Coranital, ca. 1800 m, No. 4745; im Nebelwald über Comarapa, ca. 2600 m, No. 4349, forma epropagulifera flaccida; an der Waldgrenze über Tablas, ca. 3400 m, No. 2866.

Diese Art unterscheidet sich von *A. prolifera* (Broth.) durch die längeren und schmäleren, an der Spitze deutlich gesägten Blätter, die geringere Entwicklung der Blattflügelzellen und die Anordnung der Brutfäden, welche hier ährenförmig, dort deutlich köpfchenförmig ist.

Die Gattung steht *Clastobryum* sehr nahe, unterscheidet sich aber durch wesentlich größere Ausmaße aller Teile

Acanthocladium Mitt.

672. **Acanthocladium subnitidum** (Hpe.).

Auf Baumwurzeln im Bergwald von Tres Cruces, Cordillere von Santa Cruz, ca. 1400 m, No. 3886.

Brachytheciaceae.

Pleuropus Griff. Not. et Icon. pl. asiat. II.

673. **Pleuropus Bonplandii** (Hook.).

An schattigen Felsen und auf Baumwurzeln.

Im Nebelwald über Comarapa, ca. 2600 m, No. 3799, 4200; am Meson bei Samaipata, ca. 2000 m, No. 4125; im Bergwald des Rio Tocorani, ca. 2200 m, No. 4059.

Brachythecium Bryol. eur.

Subgen. *Salebrosum* Loeske in Allg. Bot. Z.

674. **Brachythecium stereopoma** (Spruce) Jaeg.

Im Gebiet der Cerros de Malaga, No. 4395.

675. **Brachythecium sulphureum** (Geh. u. Hpe.).

Auf der Erde im lichten Gebüsch am Rand des Nebelwaldes über Comarapa, ca. 2300 bis 2400 m, No. 4347; auf Steinen am Waldrand bei Incacorral breite Decken bildend, ca. 2200 m, No. 5105 und 5104 (forma viridissima).

676. **Brachythecium longisetum** Herzog nov. spec.

Dioicum; late caespitosum, e viridi lutescens, nitidulum, caulibus longe repentibus subpinnatim ramosis, ramis crassioribus tenuioribusque irregulariter ramulosis. Folia caulina laxa patentia, e basi valde decurrente late subtriangulato-ovata, in acumen subtortum longiusculum constricta, 2 mm longa, ultra 1 mm lata, profunde plicata, basi remote tenerrime, in acumine distinctius serrulata, inferne saepius subintegerrima, nervo tenui ultra medium producto, cellulis basalibus angularibusque multis laxis brevissime rectangulis vel hexagonis, ceteris anguste linearibus (8:1), ramalia subsimilia, ramulina multo breviora, angustiora, vix 1 mm longa; perichaetia majora, longissime filiformi-acuminata. Seta 3 cm longa, erecta, arcte spiraliter torta, atropurpurea, laevissima; theca suberecta vel inclinata, cylindrica, leviter curvata, deoperculata 3 mm longa, operculo 1 mm longo alte conico acuto subrostrato; peristomio generis.

An Steinen im Gebüsch bei Incacorral, ca. 2200 m, No. 4959.

Durch sehr breite Stengelblätter und auffallend lange Seten ausgezeichnet.

677. **Brachythecium cavifolium** Herzog nov. spec.

Sterile; caespites latos turgidos viridissimos nitidulos efformans, caule ramisque longiusculis ca. 3 cm longis vermiculari-turgidis sciuroideis obtusis dense foliatis. Folia e basi contracta parum decurrente latissime ovato-cochleariformia, concavissima, sicca plicata, brevissime tenuiterque acuminata, subintegerrima, nervo viridi $\frac{3}{4}$ folii percurrente, cellulis omnibus sat laxis elongate hexagonis in apice abbreviatis chlorophyllosis, in angulis subquadratis hic illic fusciscentibus.

An nassen Granitfelsen im Hochtal von Choquecota chico (Quimzacruz), ca. 4600 m, No. 3175.

678. **Brachythecium lescuraeoides** Broth. in Engl. Bot. Jahrb. I. c.

Über Wurzeln am Wegrand im unteren Chocayatal, ca. 3300 m, No. 3614, ster.

679. **Brachythecium grandirete** C. M. (Fig. 77, i—k).

Im Nebelwald über Comarapa, ca. 2600 m, No. 4237; bei Incacorral, ca. 2200 m, No. 4994,

5104; an den Cerros de Malaga — N. Seite — unter 4000 m, No. 4383, forma major foliis fragilibus.

680. *Brachythecium fissidentoides* Herzog nov. spec. (Fig. 77, e—h).

Autoicum; depresso caespitosum, obscure viride, caulibus procumbentibus breviter ramosis, humidis complanatis, habitu *Fissidentem* quendam *hydrobium* aemulans. Folia laxe accumbentia vel erecto-patula, e basi angustiore ovato-elliptica, longe subpiliformi-acuminata, concavissima, haud plicata, ubique remote serrulata, nervo debili medio viridi, cellulis basalibus multis laxis, superioribus breviter linearibus laxiusculis omnibus chlorophyllosis; ramalia breviora, angustiora, concavissima. Seta 12—15 mm longa, erecta, atropurpurea, laevis; theca suberecta vel inclinata, 1,5—2 mm longa, breviter cylindrica, parum arcuata, sub ore calloso valde constricta, olivacea, operculo alte conico concolore vel pallidioris breviter obtuse rostrato apiculo rubro.

In der Quebrada de Pocona auf nassen Steinen, ca. 2800 m, No. 5113.

Mit *B. grandirete* C. M. verwandt, aber durch engeres Zellnetz und schmalere Astblätter unterschieden.

Subgen. *Eubrachythecium* Loeske.

Sect. *Rutabula* Limpr.

681. *Brachythecium Chocayae* Herzog nov. spec.

Autoicum; laxe caespitosum, vagans, viridi-lutescens, nitidulum, caule primario repente vel arcuatim deflexo apice interdum radicante robusto irregulariter subpinnatim ramoso, ramis inaequalibus sat robustis dense foliatis. Folia laxe patula, sublaevia vel leviter plicata, e basilata parum decurrente late ovata, sensim in acumen longiusculum tenue producta,

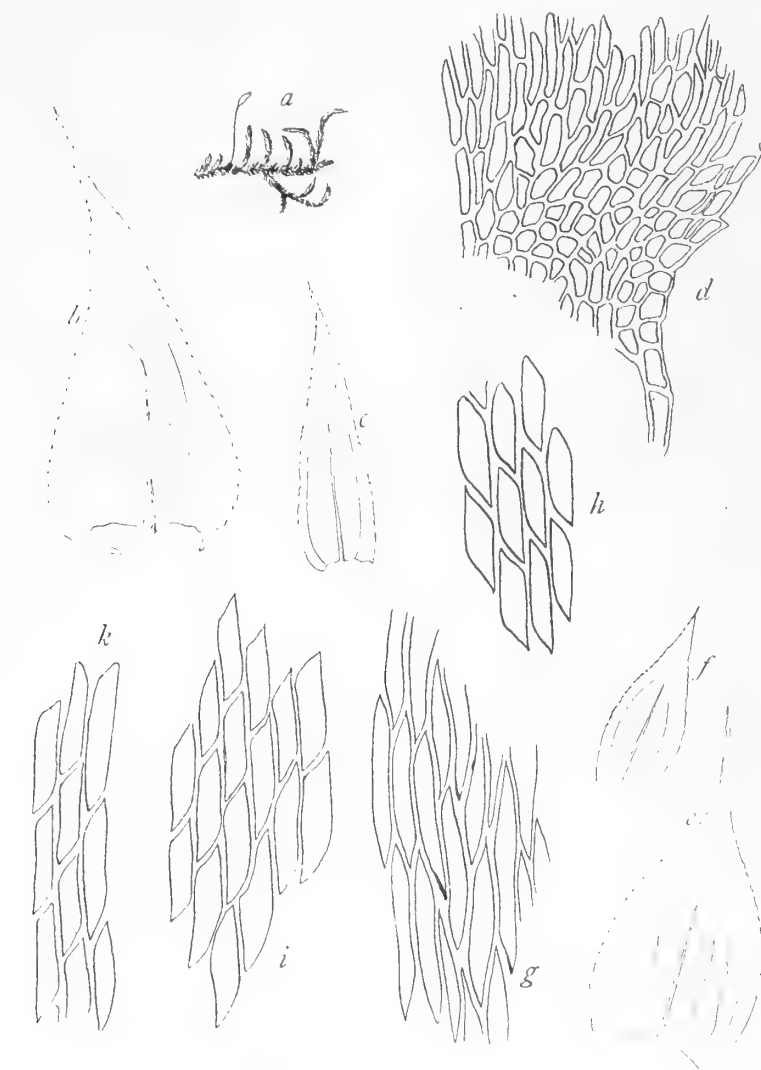


Fig. 77. a—d *Brachythecium scaberrimum* H. n. sp. a Habitusbild 1:1, b Stengelblatt 15:1, c Astblatt 15:1, d Blattflügel 250:1; e—h *Brachythecium fissidentoides* H. n. sp. e Stengelblatt 15:1, f Astblatt 15:1, g Zellnetz aus der Mitte eines Stengelblattes 250:1; h Zellnetz aus der Mitte eines Astblattes 250:1; i—k *Brachythecium grandirete* C. M., i Zellnetz eines Stengelblattes 250:1; k Zellnetz eines Astblattes 250:1.

marginibus subintegerrimis vel sursum tenuissime serrulatis, nervo tenui viridi $\frac{3}{4}$ folii percurrente, cellulis tenuibus angustis basi laxioribus brevibus areolata; perichaetia in acumen longum flexuosum exeuntia, crispula. Seta erecta, 1,5 cm longa, sat crassa, rubra, verrucellis singulis tenuibus adspersa; theca oblonga, curvata, crassiuscula, rutabuliformis, operculo conico.

Im unteren Chocayatal, ca. 3100 m, No. 3616; in der Quebrada de Pocona, ca. 2800 m, No. 3468.

682. **Brachythecium rutabulum** (Br. eur.).

Unter Gebüsch an der Waldgrenze über Tablas, ca. 3400 m, No. 2811.

Subgen. *Velutinium* Loeske.

Sect. *Julacea* Broth.

683. **Brachythecium subjulaceum** Herzog nov. spec.

Autoicum; humile, dense caespitosum vel altris muscis intermixtum, lutescens, vix nitidulum, caule primario repente filiformi densiuscule ramoso, ramis brevibus erectis subjulaceis acutis densissime foliatis. Folia erecto-patula, sicca appressa, valde plicata e basi subcordata late ovata, sensim acuminata, acumine longiusculo subflexuoso, marginibus toto fere ambitu leviter serrulatis, nervo viridi flexuoso supra medium evanido, carinata, cellulis omnibus chlorophyllosis angustissimis, basalibus paucis abbreviatis; ramalia argutius serrulata; perichaetia suberoso-denticulata. Seta ad 1 cm longa, atropurpurea, verrucis tenuibus dense scabra; theca suberecta, breviter cylindrica, leviter curvata, sub ore vix constricta, operculo obtuse conico.

An schattigen Felsen und Baumwurzeln im Chocayatal, ca. 3300 m, No. 2591; in Felslöchern des Piñasgebietes mit *Philonotis scabrifolia* f. *pinnulata*, ca. 4300 m, No. 2613,

684. **Brachythecium scaberrimum** Herzog nov. spec. (Fig. 77a—d).

Synico-autoicum; floribus ♂♀ et ♀ in eodem surculo, floribus hermaphroditis crebrioribus. Caespitosum, depressum, e pallide viridi aureum, sericeo-nitidum, caulibus tenuibus repentibus valde flexuosis apice saepius stolonaceis dense breviter ramosis, ramis curvatis subjulaceis. Folia caulina laxiuscula, e basi anguste decurrente subcordata lanceolata, anguste subpiliformi-acuminata, concava, valde plicata, ubique tenerrime serrulata, nervo $\frac{3}{4}$ folii percurrente dorso in spinam minutam terminante, cellulis angularibus multis parvis subquadratis vel ovalibus chlorophyllosis, ceteris anguste linearibus; ramalia minora, angustiora, minus decurrentia, brevius acuminata, distinctius serrulata. Seta 10—12 mm longa, crassiuscula, atropurpurea, ubique densissime echinulato-scaberrima; theca suberecta, breviter cylindrica, parum curvata.

An der Waldgrenze des Rio Saujana, ca. 3400 m, No. 3268; in einer hochandinen Form, die sich durch kürzere, zerknitterte Blätter auszeichnet, im Hochtal von Viloco, ca. 4500 m, No. 3141.

Durch Blütenstand, Blattform und sehr rauhe Seta ausgezeichnete Art, die jedoch *B. subjulaceum* mihi sehr nahe steht.

Subgen. *Cirriphylopsis* Broth.

685. **Brachythecium bolivio-plumosum** C. M.

Auf nassen Steinen an Bachrändern: bei Incacorral, ca. 2200 m, No. 4966, 5090; an der Waldgrenze des Rio Saujana, ca. 3400 m, No. 3274.

686. **Brachythecium flaccum** C. M. in Prodr. Bryol. bol.

An Baumwurzeln und Steinen im unteren Chocayatal, ca. 3300—3400 m, No. 3605.

Species incertae sedis.

687. **Brachythecium calliergonoides** Broth. n. sp.

Gracile, caespitosum, caespitibus laxis, viridibus, opacis; caulibus usque ad 8 cm longis, laxiuscule foliosus, vage ramosus; folia patentia, concaviuscula, breviter decurrentia, laevia, ovato-lanceolata, sensim piliformiter attenuata, marginibus erectis, integris, nervo tenui, viridi, ad medium folii evanido, cellulis elongate et anguste linearibus, basilaribus laxis, abbreviatis, alaribus haud diversis. Caetera ignota.

Laguna verde über Comarapa, alt. 2600 m, No. 4291.

Species distinctissima, incertae sedis, habitu formis gracilibus *Callierg. cordifolii* (Hedw.) sat similis.

Cirriphyllum Grout in Bull. Torr. Bot. Club XXV.

688. **Cirriphyllum andinum** Herzog nov. spec.

Sterile; dense pulvinato-caespitosum, zonatum, laete viride, inferne ochraceum, caulibus ad 4 cm longis erectis subsimplicibus aequalibus vel pseudodichotomis sat tenuibus julaceis. Folia densissima, cymbiformi-accumbentia, concavissima, plicata, late ovata, breviter acuminata, acumine angustissimo, inferne remote superne densissime serrulata, nervo basi valido sensim angustato ultra medium evanido viridi, cellulis angularibus paucis quadratis ceteris breviter linearibus laxiusculis, apicalibus valde abbreviatis laxis hexagonis vel ellipticis modice incrassatis.

Zwischen Felsblöcken beim Altaranigletscher (Quimzacruz) ca. 5000 m, No. 2955.

689. **Cirriphyllum laevifolium** Herzog nov. spec.

Sterile; caespitosum, e viridi flavescens, sericeum, caule repente dense fasciculato-ramoso, ramis vix 1 cm longis flexuosis haud julaceis. Folia sicca laxe appressa, humida turgescientia, imbricata, concava, laevia, 1,5—1,8 mm longa, late ovalia, breviter piliformi-acuminata, integerrima, nervo basi crassiusculo mox attenuato, infra vel supra medium evanido viridi, cellulis basalibus multis subquadratis laxiusculis, ceteris linearibus (8:1), omnibus chlorophylliferis.

An Felsen beim Huailattanisee (Quimzacruz), ca. 4900 m, No. 2969.

Von *C. andinum* mihi unterscheidet sich diese Art schon durch den locker rasenförmigen Wuchs, die kurzen, nicht kätzchenförmigen Äste und die glatten Blätter mit starkem Seidenglanz.

Oxyrrhynchium (Bryol. eur.) Warnst. Laubm.

690. **Oxyrrhynchium clinocarpum** (Tayl.) var. **brevisetum** Herzog nov. var.

A typo differt seta multo brevior (an forma?).

An tiefschattigen Stellen im Bergwald des Rio Tocorani, ca. 2200 m, No. 4072/a.

691. **Oxyrrhynchium rugisetum** (Hpe.).

Auf nassen Steinen im Wald bei Incacorral, ca. 2200 m, No. 5014, 4985, 4991.

692. **Oxyrrhynchium aquaticum** (Hpe.).

Hygrohypnum circulifolium Kindb. var. bolivianum Herzog in Beih. Bot. C. 1909.

Untergetaucht, auf Steinen in Bergbächen.

An der Cuesta de Liryuni, ca. 3400 m, No. 2620; bei Incacorral, ca. 2200 m, No. 4960, 5093 c. fr.1; im oberen Llavetal, ca. 4200 m, No. 4879.

Eurhynchium Bryol. eur.

693. **Eurhynchium oedogonium** (C. M.).

Cratoneuron C. M. in Prodr. Bryol. Bol.

Auf nassen Steinen des Bachrandes an der Waldgrenze über Tablas, ca. 3400 m, No. 2791, c. fr.1

Bryhnia Kaur. in Bot. Notis. 1892, H. 2.

694. **Bryhnia Pflanzii** Broth. in Bot. Jahrb. Bd. 49 H. 1.

B. boliviana Broth. in sched.

In Felslöchern um den Tunarisee, ca. 4400 m, No. 4903, 4920 ster., große Rasen bildend mit *Williamsiella tricolor*, *Erythrophyloopsis boliviana* und einer ster. *Bryum*-species.

Rigodium Kunz mss.; Schwgr. in Linn.

695. **Rigodium leptodendron** C. M.

Auf Baumwurzeln und an dicken Stämmen des Bergwaldes oft große Rasen bildend.

Z. B. im Nebelwald über Comarapa, ca. 2600 m, No. 3817; an der Waldgrenze des Rio Sajana, ca. 3400 m, No. 3262/a.

Ich habe das leicht kenntliche Moos noch an vielen Stellen beobachtet, aber nicht mehr mitgenommen.

Flabellidium Herzog nov. gen.

696. **Flabellidium spinosum** Herzog nov. spec. (Tafel VII, Fig. 1).

Dioicum; pusillum, laxe caespitosum, caule primario repente, caulibus secundariis suberectis 1 cm vix superantibus dendroideis subflabellato-ramosis, ramis confertis iterum ramosis tenuissimis attenuatis densiuscule foliosis eparaphylliferis obscure viridibus. Folia minuta, laxe accumbentia, concava, caulina 1 mm parum superantia, e basi parum decurrente subcordata late ovata, breviter late acuminata, acuta, ubique argute minutim serrata, nervo $\frac{3}{4}$ folii percurrente viridi dorso serrato in spinam robustiusculam desinente, reti rhacopiloido cellulis elongate hexagonis parietibus leviter sinuatis tenuibus angulo superiore parum prominentibus subobscuris, alaribus multis quadratis transverseque rectangulis vel ellipticis, omnibus chlorophyllosis; ramalia breviora, angustiora, elliptico-lanceolata, margine superne saepius leviter reflexo, ceterum similia; perichaetia exteriora brevissima, obtusa, brevissime apiculata, interiora oblonga, in subulam latiusculam superne eroso-serrulata contracta, hyalina, nervo tenuissimo. Seta (juvenilis tantum observata) rubra, laevissima.

Auf Baumwurzeln im Bergwald von Tres Cruces (Cordillere von Santa Cruz), ca. 1400 m, No. 3883/a.

Die neue Gattung erinnert im Zellnetz stark an *Scorpiurium*. Ihre Stellung im System ist aber noch unsicher; vielleicht wird die Auffindung reifer Sporogone die Frage lösen helfen.

Rhynchostegiella (Bryol. eur.) Limpr. Laubm.

Sect. *Leptorhynchostegium* (C. M.) Broth.

697. **Rhynchostegiella toncolensis** Broth. n. sp.

Autotica; tenella, caespitosa, caespitibus densis, mollibus, laete viridibus, nitidiusculis; caulis repens, fusco-radiculosus, dense foliosus, dense ramosus, ramis pinnatim ramulosis, ramulis vix ultra 1 cm longis, adscendentibus, complanatulis, simplicibus; folia erecto-patentia, concaviuscula, basi biplicata, ovato-lanceolata, cuspidi brevi semitorta terminata, marginibus ultra medium anguste recurvis, superne argute serratis, nervo ultra medium folii evanido, apice exstante, cellulis anguste linearibus, basilaribus brevioribus, alaribus haud diversis; bractea eperichaetii squarroso-patulae, e basi vaginante raptim longe subulatae, minutissime serrulatae; seta 1—1,5 cm alta, tenuis, rubra, laevissima; theca suberecta, paullum asymmetrica, ovalis, sicca deoperculata sub ore contracta, atrofusca; operculum ignotum.

Schlucht bei Toncoli, alt. 3400 m (No. 3362).

Species *Rh. acanthophyllae* (Mont.) Broth. affinis, sed statura multo robustiore oculo nudo jam dignoscenda.

698. **Rhynchostegiella semitorta** (Mitt.) Herzog.

Eurhynchium Par.

An Baumwurzeln beim Asiento (Aracatal) ca. 3800 m, No. 3176, 2997; bei Incacorral, ca. 2200 m, No. 5100; ferner rechne ich hierher unter Vorbehalt No. 3641 von Florida de San Mateo und No. 4732/a aus dem unteren Coranital.

Diese Art steht der *Rh. acanthophylla* (Mont.) so nahe, daß ich sie nicht generisch von ihr trennen kann.

Rhynchostegium Bryol. eur.

699. **Rhynchostegium conchophyllum** (Tayl.) Jaeg.

Auf Waldboden über nassem, faulendem Laub und Holz dünne Rasen und Überzüge bildend. Im unteren Coranital, ca. 1800 m, No. 4725; in der Talschlucht von Tablas, ca. 1800 m, No. 4540; bei Inacorrall, ca. 2200 m, No. 5020; bei Florida de San Mateo, ca. 1800 m, No. 3645.

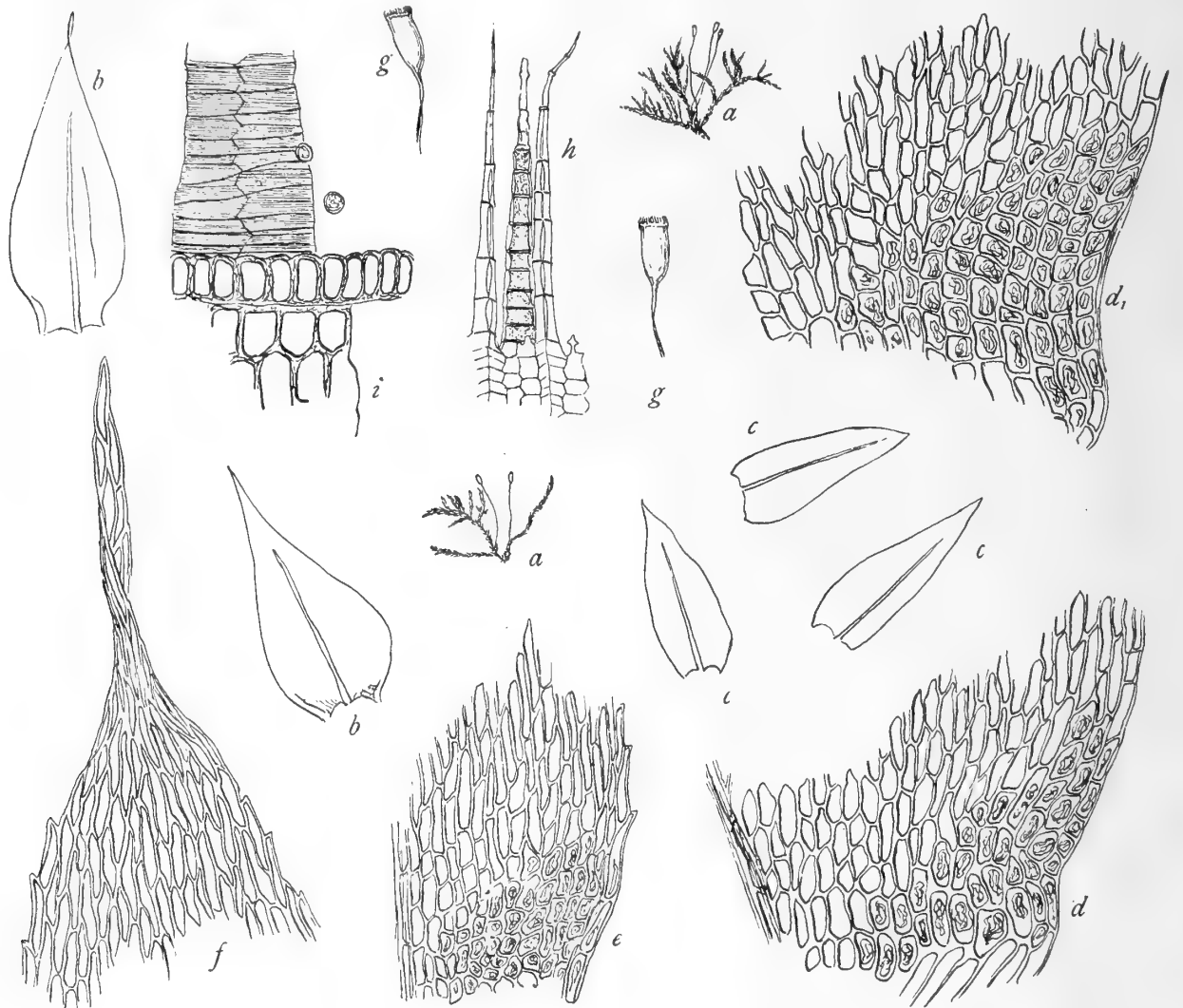


Fig. 78. *Mandoniella spicatinervia* (R. S. W.) H. a 2 Habitusbilder 1:1, b 2 Stengelblätter 31:1, c 3 Astblätter 31:1, d Flügel eines Stengelblattes von No. 5128, d dasselbe vom Williamsschen Original 250:1, e Flügel eines Astblattes 250:1, f Spitze eines Stengelblattes 250:1, g Kapseln, h Peristom von innen 125:1, i Basis eines Zahnes des äußeren Peristoms 250:1.

700. **Rhynchostegium planifolium** C. M.

Auf faulendem Laub, an Baumwurzeln und Ästen im Bergwald. Im unteren Coranital, ca. 1800 m, No. 4711/a; bei Inacorrall, ca. 2200 m, No. 5099, im oberen Coranital, ca. 2600 m, No. 5060; bei Samaipata (?), No. 5130; bei Inacorrall, ca. 2200 m, No. 5041, forma tenuis.

701. **Rhynchostegium scariosum** (Tayl.).

An dünnen Ästchen im Bergwald, ohne Fundortnotiz, No. 5314.

702. **Rhynchostegium Tocaremae** Hpe.

Hierher rechne ich ein Moos von Baumwurzeln im Bergwald von Tres Cruces, Cord. von Santa Cruz, ca. 1400 m, No. 3561, welches zwar steril ist, aber durch seinen Glanz und die verflachte, an *Plagiothecium* erinnernde Beblätterung gut mit den Originalen übereinstimmt.

Mandoniella Herzog nov. gen.

703. **Mandoniella spicatinervia** (R. S. Williams) Herzog. (Fig. 78).

Helicodontium R. S. Williams l. c.

An Bäumen in der Ostcordillere, wahrscheinlich bei Samaipata, ca. 1700 m, No. 5128.

Meine Exemplare stimmen mit den Williams'schen Originalen völlig überein; ich kann dieses Moos jedoch unmöglich bei *Helicodontium* belassen. Eine Vergleichung mit zahlreichen Arten dieser Gattung, welche im Zellnetz der Blätter überaus konstante Verhältnisse aufweist, zeigt so bedeutende Abweichungen, daß eine Vereinigung der vorliegenden Art mit jenen in der gleichen Gattung völlig untunlich erscheint. Die Blätter erinnern in ihrer Struktur vielmehr an die Arten der Section *Juratzkaea* von *Stereophyllum*, welche bei Mitten auch noch bei *Helicodontium* stehen, bei Brotherus aber teilweise zu *Stenocarpidium* gezogen werden. Diese Gattung wird in die Nähe von *Eriodon* gestellt, dessen beide Arten von Mitten gleichfalls bei *Helicodontium* untergebracht waren. In die gleiche Verwandtschaft (*Stenocarpidium* und *Eriodon*) scheint auch unsere neue Gattung zu gehören. Die gute Beschreibung bei Williams und die von mir angefertigten Zeichnungen werden dies genügend begründen. Das Blattzellnetz und die oft gedrehte Spitze der St.blätter weist auf die *Brachythecien*-Verwandtschaft, und das lange innere Peristom, das mit seinen feinen Spitzen selbst die langen äußeren Zähne überragt, erinnert an *Eriodon*. Immerhin bleibt die Stellung der neuen Gattung noch etwas zweifelhaft; nur soviel erscheint ausgemacht, daß sie nicht bei den *Helicodontien* verbleiben kann. — Ob das gleichfalls glatt gestielte *H. laevisetum* auch hierher gehört, kann ich, da mir die Originale nicht vorlagen, nicht entscheiden.

Ich widme diese Gattung dem Sammler M a n d o n, dem wir die ersten Kenntnisse über die Moosflora Boliviens verdanken.

N a c h t r a g.

704. **Dicranoweisia brunnea** Herzog nov. spec.

Sterilis (autoica?); dense pulvinato-caespitosa, e flavido brunnescens, caule 2 cm longo fastigiato. Folia sicca incurva subcrispula, humida erecto-patentia apicibus incurvis, vix 2 mm longa, mollia, anguste lanceolata, breviter subulata subula obtusiuscula, carinata, marginibus erectis vel anguste recurvis integerrimis vel apice inaequaliter subcrenulatis, nervo validiusculo completo flavido, cellulis omnibus subaequalibus laxiusculis chlorophyllosis pellucidis, parietibus subsinuosis laevibus. Cetera desunt.

An Felsen bei der Abra de San Benito, ca. 3900 m, Januar 1908.

Diese Art scheint der *Dicranoweisia fastigiata* (Tayl.) nahe zu stehen, unterscheidet sich jedoch, nach der Beschreibung zu schließen, von jener durch das durchwegs gleichartige Blattzellnetz.

705. **Dicranella boliviana** Herzog nov. spec.

Dioica; humiliter dense caespitosa, viridis, ditissime fructifera; caulibus 4—5 mm longis gracillimis. Folia subfalcato-secunda, ad 3 mm longa, e basi concava latiuscule elliptica in subulam latam duplo vel subtriplo longiorem canaliculatam obtusiusculam contracta, integerrima vel apice parietibus cellularum collapsis levissime crenulata, nervo crasso viridi usque ad extremum apicem a lamina optime discreto, cellulis inferioribus elongate rectangularibus pellucidis, superioribus brevioribus; perichaetia minora. Seta ca. 3 mm longa, flavida, tenuissima; theca erecta, anguste elliptica, cinnamomea, laevissima, operculo longe oblique rostrato, calyptra cucullata, annulo optime distincto; peristomii dentibus robustis infra medium bicurvis, inferne ferrugineis verticaliter foveolato-striatis, superne pallidis oblique striolatis; spori humiliter verrucosi, diametro 0,016 mm.

Auf Erde am Wegrand bei Incacorral, ca. 2200 m, No. 289, Januar 08.

Diese hübsche Art möchte man nach ihrem Habitus und der sehr deutlich begrenzten Rippe zu *Microdus* rechnen, doch ist das Peristom sehr kräftig entwickelt und zeigt die charakteristische senkrechte Streifung der Zähne der *Eudicranellen*. Von den bisher beschriebenen Arten von *Eudicranella* unterscheidet sich unsere Art einmal durch die Rippe und dann auch durch die aufrechte kleine, schmale Kapsel.

706. *Fissidens terebrifolius* C. M.

Auf schwarzer Erde unter Rasenwurzeln am Bacheinschnitt im oberen Llavetal, ca. 4200 m, No. 4848.

707. *Fissidens pauper* Herzog nov. spec. (Bryoidium) (Fig. 79).

Dioicus videtur; gregarius, humillimus, glauco-viridis, caulibus ♀ ca. 3 mm longis basi radiculis. Folia 5—6-juga, remotiuscula, inferiora multo minora, lamina dorsali vix evoluta, superiora asymmetrica,

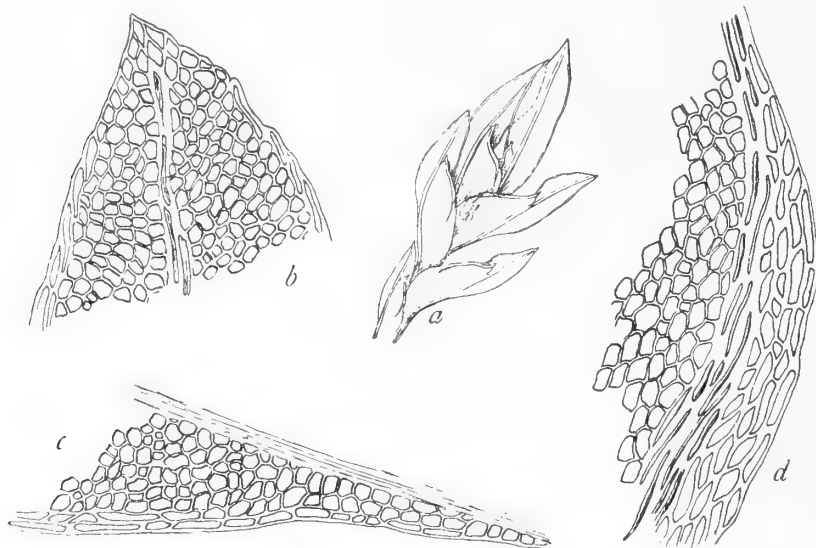


Fig. 79. *Fissidens pauper* H. n. sp. a ♂ Spießspitze 15:1, b Blattspitze 250:1, c Ansatz des Dorsalflügels 250:1, Saum der Lamina vera 250:1.

anguste lanceolata, suprema 1,3 mm longa, lamina vera majuscula valde amplexicauli dimidiam folii partem superante apiculo mucroniformi terminata, limbo latiusculo mox in laminam introducto marginata, lamina apicali acuta angustissime pellucide limbata, limbo sub apice desinente ibique indistincte crenulata, lamina dorsali brevissima longe supra basin terminata, nervo tenui pellucido in apice parum flexuoso evanido, cellulis omnibus subhexagonis irregularibus angulatis (laminae apicalis diametro 0,005—0,006 mm metientibus) laevissimis chlorophyllosis sat pellucidis.

Zwischen *Mielichhoferia modesta* im Hochland von Totorá, ca. 2800 m, wenige ♀ Stengel beigemengt, No. 5117/a.

Durch den in die Lamina eintretenden Saum und den äußerst kurzen Rückenflügel ausgezeichnet.

708. *Syrhodon ciliolatus* Herzog nov. spec. (Orthotheca).

Caespitosus, obscure viridis, inferne dense radiculosus fuscescens, caulibus 4 cm longis robustiusculis. Folia sat laxa, sicca rigidula, apicibus tortis incurvis saepe diffractis, humida erecto-patentia, e basi oblonga in laminam ligulari-linearem acutiuseculam concavam contracta, 5—6 mm longa, parte basilari late limbata superne densissime ciliolata, margine laminari superne bilamellato argute spinoso-serrato, nervo valido superne ambo latere spinoso, insuper dorso usque fere ad basin verrucoso-scabro, cellulis laminaribus brevissime rectangulis vel ovalibus verrucoso-obscuris chlorophyllosis, cancellinis breviter rectangulis laxis hyalinis vel flavidis, margine seriebus 6—7 cellularum elongatarum chlorophyllosarum circumductis. Cetera desunt.

Im Bergwald, ohne nähere Fundortsnotiz, No. 4203/a.

709. *Trichostomum pomangium* Herzog nov. spec. (Diagnose von V. F. Brotherus).

Dioicum; gracile, caespitosum, caespitibus densiusculis, laete viridibus, opacis; caulis erectus, vix ultra 3 mm longus, basi fusco-radiculosus, dense foliosus, simplex; folia sicca incurva, humida patula,

canaliculato-concava, lanceolato-linearia, obtusiuscula, mucronatula, comalia usque ad 2 mm longa, marginibus erectis, integerrimis, nervo crasso lutescente brevissime excedente dorso laevi, cellulis laminalibus minutissimis, quadratis, dense papillosis, inferioribus sensim rectangularibus, basilaribus oblongo-hexagonis, pellucidis, teneris; seta ca. 4 mm alta, tenuissima, lutea; theca erecta, minuta, ovalis, fusco-rubra, nitidiuscula, laevis; peristomium 0; operculum e basi conica oblique rostratum.

Cerro Sipascoya, ca. 3000 m, No. 4159. Species *Tr. Elliiothii* Broth. affinis, sed foliis brevioribus et angustioribus necnon thecae forma dignoscenda.

710. **Leptodontium cirrhifolium** Mitt.

Auf Baumästen im oberen Coranital, ca. 2600 m, No. 3371, 5076; im Bergwald des Tocarantales nahe der Waldgrenze, ca. 2800 m, No. 4045.

711. **Leptodontium longicaule** Mitt.

Im oberen Coranital, ca. 2600 m, No. 3368.

712. **Barbula Humboldtii** Herzog nov. spec. (Fig. 80).

Dioica videtur. Laxe caespitosa, caulibus 1—2 cm longis tenellis flexuosis irregulariter ramosis ramis tenuioribus, e sordide viridi glaucescens, in foliorum axillis propagula minuta globulosa stipitata creberrima fovens. Folia sat densa, sicca incurva, saepius indistincte spiraliter torta, humefacta raptim recurvescentia, dein suberecta, apicibus parum patulis, ad 1 mm longa, e basilate ovata decurrente concava in subulam subaequilongam obtusiusculam contracta, margine supra medium uno vel ambo latere anguste revoluta, nervo crasso luteo subulam extremam totam occupante, cellulis omnibus subrotundis, vel parum oblongis prominulis laevibus incrassatis chlorophyllis, paucis infimis elongatis vel sub-similibus.

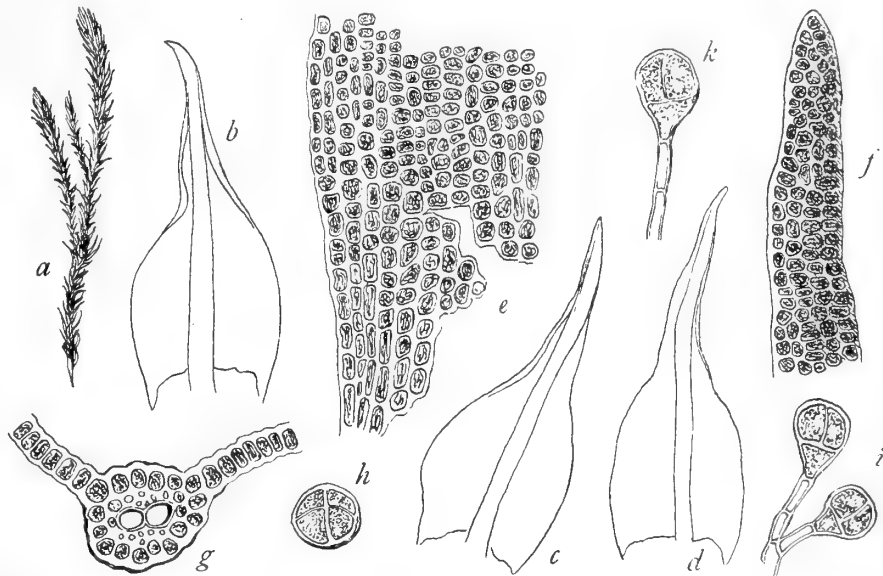


Fig. 80. *Barbula Humboldtii* H. n. sp. a Habitus 4:1, b, c, d Blätter 31:1, e Blatt basis 250:1, f Blattspitze 250:1, g Blattquerschnitt 250:1, h, i, k Brutkörper 250:1.

An Wegrändern auf Sandstein in der Waldcordillere von Santa Cruz, ca. 1400 m, No. 3564. — Durch Blattform, glatte Blattzellen und kugelige Brutkörper ausgezeichnete Art der Section *Eubarbula*.

713. **Zygodon basidentatus** Herzog nov. spec. (Fig. 81).

Sterilis; dense humiliter caespitosus, viridis, caulibus inferne rubiginoso-tomentosis. Folia densa, superne accrescentia, comose congesta, sicca crispatissima contorta, humida recurva, e basi angustata decurrente longe ligulata, obtusa, mucronata, parum carinata, lamina convexa marginibus leviter reclinatis, integerrima, basi tantum cellulis prominentibus setuloso-papillosis subappendiculato-dentata, nervo pellucido basin versus robustiore breviter excurrente, e basi dorsali propagula stipitata emittente, cellulis basalibus paucis elongatis, ceteris hexagonis parvis collenchymaticis obscuris densissime papillosis chlorophyllis.

An Bäumen bei Comarapa, No. 4340.

714. **Orthotrichum apiculatum** Mitt.

Auf Baumästen an der Cuesta de Liryuni, ca. 3400 m, No. 2607.

715. *Rhizohypnum pelichucense* (R. S. W.).

Hygrohypnum R. S. W. l. c.

An schattig-feuchten Steinen. Im Nebelwald über Comarapa, ca. 2600 m, No. 4283, 4223; an der Waldgrenze des Rio Saujana, ca. 3400 m, No. 3260; im oberen Tocoranital, ca. 2600 m, No. 4010.

♂ Diese Art weicht durch sehr schmale Stengelblätter, gekrümmte Äste und mehr oder weniger einseitwendige Blätter von allen andern *Rhizohypna* ab. Das R. S. Williams'sche Original, No. 2781, hält ungefähr die Mitte zwischen den beiden extremen Formen No. 4010 und No. 4283, von denen erstere durch kürzere Blätter und weiteres Zellnetz sich einigermaßen abseits stellt. Doch scheinen mir die Unterschiede bei der offensichtigen Veränderlichkeit dieser Art nicht zu genügen, No. 4010 von den übrigen abzutrennen. Jedenfalls ist nicht daran zu denken, die Art bei *Hygrohypnum* stehen zu lassen.

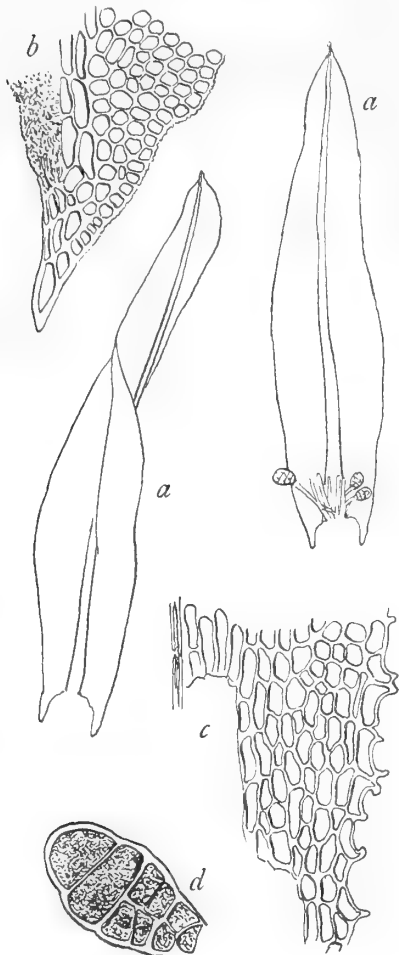


Fig. 81. *Zygodon basidentatus* H. n. sp.
a 2 Blätter 31:1, b Blattspitze 250:1,
c Blattflügel 250:1, d Brutkörper 250:1.

716. *Thuidium breviacuminatum* Herzog nov. spec.

Dioicum; late depresso caespitosum, e viridi flavescens, habitu *Th. peruvianum* aemulans (cui quoque proximum videtur). Caulis decumbens, ad 8 cm longus, tomento paraphyllino dense obtectus gracillime 2—3-pinnatus, pinnis primariis 5—9 mm longis. Folia caulina parva, 0,6 mm vix excedentia, late cordato-triangularia, breviter acuminata, profunde plicata, sub acumine contracta, marginibus inferne revolutis tenerrime crenulatis, nervo in acuminis basi evanido flavescente, cellulis omnibus papillois, terminali 2—3-cuspidata; ramalia primaria media, concava, e basi ovata subcordata breviter acuminata, ramulina secundaria minima subnervia; perichaetia strictiuscula, omnia angusta, e basi lanceolata longe piliformia vel loriformia, intima fimbriata laciniis filiformibus appressis. Seta 3 cm longa, purpurea, laevisissima; theca inclinata, e collo mediocri oblonga, deoperculata 3 mm longa.

An feuchten Stellen im Tal des Rio Paracti, ca. 1800 m, Juni 1911, No. 5000.

Die Art steht *Th. peruvianum* sehr nahe, läßt sich aber wegen der sehr kleinen und sehr kurz gespitzten Stengelblätter doch nicht wohl mit ihm vereinigen. Ich habe diese Art irrthümlicherweise in meinen Boliv. Exsiccaten unter der Bezeichnung *Th. peruvianum* Milt. ausgegeben.

Von späteren Bestimmungen schon angeführter Arten sind noch folgende Fundorte nachzutragen:

26. *Ångstroemia julacea* (Hook.) Mitt.

Im oberen Chocayatal, ca. 4000 m, No. 3621/a.

34. *Dicranella campylophylla* (Tayl.) Jaeg.

In den Yanakakabergen gegen Tablasmonte.

42. *Oreowisia bogotensis* Hpe. An begrasten Felsen des Ostabfalls der Yanakakabastion gegen Tablasmonte, ca. 3800 m, sine No.
128. *Leptodontium luteum* (Tayl.). An der Waldgrenze des Rio Saujana, ca. 3400 m, No. 3247/a.
152. *Erythrophyllopsis boliviana* Broth. Im Hochtal von Choquecota chico, ca. 4500 m, No. 3102.
155. *Barbula flexifolia* Herzog. Am Bachrand bei der Mine Viloco, ca. 4350 m, No. 3217, große, sterile Rasen bildend.
182. *Tortula fragilis* Tayl. An der Waldgrenze des Rio Saujana, ca. 3400 m, No. 3282/c.

Anhang zum I. Abschnitt (Laubmoose).

Im systematischen Teil wurden bis jetzt nur diejenigen Laubmoose behandelt, welche auf meiner 2. Reise durch Bolivia gesammelt sind. Um hier aber eine vollständige Übersicht über das aus dem Gebiet bekannte Material zu geben, füge ich eine Liste bei, in welcher die oben nicht angeführten Arten — also alle die, welche früher schon publiziert worden sind — mit Literaturhinweis verzeichnet sind. Diese Zusammenstellung halte ich schon deswegen für nötig, weil im III. Abschnitt, dem geographischen Teil, sehr oft auf von mir nicht gefundene Arten Bezug zu nehmen sein wird. Die Williams'schen Funde z. B. sind besonders für die Kenntnis der untersten Bergwaldstufe von großer Bedeutung und unter den Moosen meiner ersten Reise sind viele Arten enthalten, die sich zur Füllung von Lücken als sehr nützlich erweisen, umso mehr, als sie gerade zu der interessanten Williams'schen Ausbeute aus dem Tropenwald des Kordillerenrandes eine willkommene Ergänzung bieten.

Verzeichnis sämtlicher bolivisch-andiner Laubmoose, die im II. Teil noch nicht angeführt sind.

- | | |
|---|--|
| Sphagnum medium Limpr. (<i>Williams l. c.</i>) | Campylopus perreduncus (C. M.) (<i>Prodr. Bryol. Bol.</i>) |
| „ Boliviae Warnst. (<i>Williams l. c.</i>) | „ multicapsularis (C. M.) (<i>Prodr. Bryol. Bol.</i>) |
| „ gracile C. M. (<i>Williams l. c.</i>) | „ trivialis (C. M.) (<i>Prodr. Bryol. Bol.</i>) |
| Andreaea striata Mitt. (<i>Williams l. c.</i>) | „ nanofilifolius (C. M.) (<i>Prodr. Bryol. Bol.</i>) |
| „ pseudosubulata C. M. (<i>Herzog Beih. Bot. Centr. 1909.</i>) | „ Benedicti H. (<i>Herzog, Beih. Bot. C. 1909</i>) |
| Trematodon bolivianus C. M. (<i>Prodr. Bryol. Bol.</i>) | „ Yungarum H. (<i>Herzog, Beih. Bot. C. 1909</i>) |
| „ reflexus C. M. (<i>Williams l. c.</i>) | „ Incacorrallis H. (<i>Herzog, Beih. Bot. C. 1909</i>) |
| Wilsoniella flaccida (R. S. W.) (<i>Williams l. c.</i>) | „ Pseudodicranum H. (<i>Herzog, Beih. Bot. C. 1909</i>) |
| Ditrichum rufescens Hpe. (<i>Williams l. c.</i>) | „ laxiretis H. (<i>Herzog, Beih. Bot. C. 1909</i>) |
| Dieranella apolensis R. S. W. (<i>Williams l. c.</i>) | „ microtheca H. (<i>Herzog, Beih. Bot. C. 1909</i>) |
| „ Kunzeana (C. M.) Mitt. (<i>Williams l. c.</i>) | „ julaceus (Hpe.) (<i>Herzog, Beih. Bot. C. 1909</i>) |
| „ Hilariana Mont. (<i>Williams l. c.</i>) | „ heterophyllus Mitt. (<i>Herzog, Beih. Bot. C. 1909</i>) |
| „ tenuirostris (Kunze) Mitt. (<i>Williams l. c.</i>) | „ Edithae Broth. (<i>Brotherus l. c.</i>) |
| „ macrostoma (C. M.) (<i>Prodr. Bryol. Bol. und Williams l. c.</i>) | Metzleria longiseta (Hook.) Broth. (<i>Williams l. c.</i>) |
| „ callosa Hpe. (<i>Prodr. Bryol. Bol.</i>) | Ochrobryum obtusifolium Mitt. (<i>Williams l. c.</i>) |
| Holomitrium crispulum Mart. (<i>Herzog, Beih. Bot. Centr. 1909</i>
u. <i>Williams l. c.</i>) | „ Gardnerianum Mitt. (<i>Herzog, Beih. Bot. C. 1909</i>) |
| Dicranum Germainii C. M. (<i>Prodr. Bryol. Bol.</i>) | Leucobryum crispum C. M. (<i>Williams l. c.</i>) |
| „ spectabile C. M. (<i>Prodr. Bryol. Bol.</i>) | „ Martianum (Hornsch.) Hpe. (<i>Williams l. c.</i>) |
| Campylopus Krauseanus (Hpe. u. Lor.) (<i>Williams l. c.</i>) | „ macrofalcatum C. M. (<i>Prodr. Bryol. Bol.</i>) |
| „ occultus Mitt. (<i>Williams l. c.</i>) | „ strictum C. M. (<i>Prodr. Bryol. Bol.</i>) |
| „ zygodonticarpus (C. M.) Par. (<i>Williams l. c.</i>) | „ calycinum C. M. (<i>Prodr. Bryol. Bol.</i>) |
| „ introflexus (Hedw.) Mitt. (<i>Williams l. c.</i>) | Octoblepharum pulvinatum Mitt. (<i>Williams l. c.</i>) |
| „ penicillatus (Hornsch.) Jaeg. (<i>Williams l. c.</i>) | Fissidens crispus Mont. (<i>Williams l. c.</i>) |
| „ pelichucensis R. S. W. (<i>Williams l. c.</i>) | „ Kegelianus C. M. (<i>Williams l. c.</i>) |
| „ humilis Mont. (<i>Williams l. c.</i>) | „ Hornschuchii Mont. (<i>Williams l. c.</i>) |
| „ chrysodictyon (Hpe.) Mitt. (<i>Williams l. c.</i>) | „ macroblastus R. S. W. (<i>Williams l. c.</i>) |
| „ rosulatus (Hpe.) (<i>Williams l. c.</i>) | „ repandus Wils. (<i>Herzog, Beih. Bot. C. 1910</i>) |
| „ filifolius (Hornsch.) Mitt. (<i>Williams l. c.</i>) | „ amboeicus H. (<i>Herzog, Beih. Bot. C. 1910</i>) |
| „ subcubitus R. S. W. (<i>Williams l. c.</i>) | Moenckemeyera obtusifolia R. S. W. (<i>Williams l. c.</i>) |
| „ leptodus (Mont.) Mitt. (<i>Williams l. c.</i>) | Syrrophodon elatior Hpe. (<i>Williams l. c.</i>) |
| | „ goyazensis Broth. (<i>Williams l. c.</i>) |
| | „ Gaudichaudii Mont. (<i>Williams l. c.</i>) |

- Syrrophodon Leprieurii Mont. (*Williams l. c.*)
 „ Miquelianus C. M. (*Williams l. c.*)
 „ circinatus (Brid.) Besch. (*Williams l. c.*)
 „ brachystelioides C. M. (*Prodr. Bryol. Bol. und Williams l. c.*)
 „ serpentinus C. M. (*Prodr. Bryol. Bol.*)
 Calymperes bolivianum R. S. W. (*Williams l. c.*)
 Weisia tortivelata R. S. W. (*Williams l. c.*)
 „ longidentata R. S. W. (*Williams l. c.*)
 „ viridula (L.) Hedw. (*Williams l. c.*)
 Gyroweisia boliviana R. S. W. (*Williams l. c.*)
 Leptodontium Quennoae C. M. (*Herzog, Beih. Bot. C. 1909*)
 „ ferrugineum Broth. (*Brotherus l. c.*)
 Trichostomum chilense Mont. (*Williams l. c.*)
 „ semivaginatatum Schimp. (*E. G. Britton l. c.*)
 Rhamphidium Levieri H. (*Herzog, Beih. Bot. C. 1910*)
 Hyophila peruviana R. S. W. (*Williams l. c.*)
 „ contermina (C. M.) (*Herzog, Beih. Bot. C. 1909*)
 „ involutifolia (C. M.) (*Herzog, Beih. Bot. C. 1909*)
 Didymodon subtrophaceus R. S. W. (*Williams l. c.*)
 Chrysoblastella boliviana R. S. W. (*Williams l. c.*)
 Barbula amblyacra C. M. (*Williams l. c.*)
 „ laevigata (Mitt.) Jaeg. (*Williams l. c.*)
 „ perexilis C. M. (*Prodr. Bryol. Bol.*)
 „ subglaucescens C. M. (*Prodr. Bryol. Bol.*)
 „ austrorevoluta Besch. (*E. G. Britton l. c.*)
 Streptopogon setiferus Mitt. (*Williams l. c.*)
 „ spathulatus H. (*Herzog, Beih. Bot. C. 1909*)
 Aloina calceolifolia (*Herzog, Beih. Bot. C. 1909*)
 Tortula glacialis (Kunze) Mitt. (*Williams l. c.*)
 „ brunnea (C. M.) (*Prodr. Bryol. Bol.*)
 „ viridula (C. M.) (*Prodr. Bryol. Bol.*)
 „ ciliata Broth. (*Brotherus l. c.*)
 Ptychomitrium Cochabambae H. (*Herzog, Beih. Bot. C. 1909*)
 „ papillosum H. (*Herzog, Beih. Bot. C. 1909*)
 „ Sellowianum (C. M.) (*Herzog, Beih. Bot. C. 1909*)
 Schistidium calycinum H. (*Herzog, Beih. Bot. C. 1910*)
 Grimmia longirostris Hook. (*Williams l. c.*)
 „ fuscolutea Hook. (*Williams l. c.*)
 „ pansa R. S. W. (*Williams l. c.*)
 „ trichophylloidea Schimp. (*Prodr. Bryol. Bol.*)
 „ nanoglobosa C. M. (*Prodr. Bryol. Bol.*)
 Rhacomitrium sublanuginosum R. S. W. (*Williams l. c.*)
 Anoectangium Mandonianum Schimp. (*Prodr. Bryol. Bol. und Williams l. c.*)
 Amphidium brevifolium Broth. (*Brotherus l. c.*)
 Zygodon vestitus R. S. W. (*Williams l. c.*)
 „ peruvianus Sull. (*Williams l. c.*)
 „ andinus Mitt. (*Williams l. c.*)
 „ ferrugineus Schimp. (*Prodr. Bryol. Bol.*)
 „ recurvifolius Schimp. (*Prodr. Bryol. Bol.*)
 „ paucidens C. M. (*Prodr. Bryol. Bol.*)
 „ brevipes C. M. (*Prodr. Bryol. Bol.*)
 „ perichaetialis H. (*Herzog, Beih. Bot. C. 1909*)
 „ inconspicuus H. (*Herzog, Beih. Bot. C. 1909*)
 „ fasciculatus Mitt. (*Herzog, Beih. Bot. C. 1909*)
 Orthotrichum patulum Mitt. (*Williams l. c.*)
 „ pariatum Mitt. (*Williams l. c.*)
 Orthotrichum epilosum R. S. W. (*Williams l. c.*)
 „ Tacacomense R. S. W. (*Williams l. c.*)
 „ sordidulum C. M. (*Prodr. Bryol. Bol.*)
 „ emersulum C. M. (*Prodr. Bryol. Bol.*)
 „ Mandoni Schimp. (*Herzog, Beih. Bot. C. 1909*)
 Macromitrium Didymodon Schwgr. (*Williams l. c.*)
 „ macrothela C. M. (*Williams l. c.*)
 „ obtusum Mitt. (*Williams l. c.*)
 „ tumidulum Mitt. (*Williams l. c.*)
 „ Swainsoni (Hook.) Brid. (*Williams l. c.*)
 „ stellulatum (Hornsch.) Brid. (*Williams l. c.*)
 „ subdiscretum R. S. W. (*Williams l. c.*)
 „ ulophyllum Mitt. (*Williams l. c.*)
 „ atroviride R. S. W. (*Williams l. c.*)
 „ pentastichum C. M. (*Williams l. c.*)
 „ Tocaremae Hpe. (*Williams l. c.*)
 „ sublaeve Mitt. (*Williams l. c.*)
 „ refractifolium C. M. (*Prodr. Bryol. Bol. und Herzog, Beih. Bot. C. 1909*)
 „ bolivianum C. M. (*Prodr. Bryol. Bol.*)
 „ amboicicum H. (*Herzog, Beih. Bot. C. 1909*)
 „ crenulatum Hpe. (*Herzog, Beih. Bot. C. 1909*)
 Schlotheimia trichomitria Schwgr. (*Williams l. c.*)
 „ fuscoviridis Hornsch. (*Williams l. c.*)
 „ Jamesonii (W. Arn.) Brid. (*Williams l. c.*)
 „ rugifolia (Hook.) Brid. (*Williams l. c.*)
 „ Sprengelii Hornsch. (*Williams l. c.*)
 „ angustata Mitt. (*Williams l. c.*)
 „ pilomitria C. M. (*Prodr. Bryol. Bol.*)
 Tayloria Cochabambae C. M. (*Prodr. Bryol. Bol.*)
 Funaria subtilis (C. M.) Broth. (*Prodr. Bryol. Bol. und Williams l. c.*)
 „ andicola (Mitt.) Broth. (*Williams l. c.*)
 „ acutifolia (Hpe.) (*Williams l. c.*)
 „ Jamesonii (Tayl.) (*Williams l. c.*)
 „ inflata C. M. (*Prodr. Bryol. Bol.*)
 „ incurvifolia C. M. (*Prodr. Bryol. Bol.*)
 „ apiculata Schimp. (*Prodr. Bryol. Bol.*)
 „ cartilaginea C. M. (*Prodr. Bryol. Bol.*)
 „ glabripes C. M. (*Prodr. Bryol. Bol.*)
 Haplodontium splendidum Broth. (*Brotherus l. c.*)
 Mielihoferia andina Sull. (*Williams l. c.*)
 „ campylothea C. M. (*Williams l. c.*)
 „ Lindigii Hpe. (*Williams l. c.*)
 „ lonchocarpa C. M. (*Herzog, Beih. Bot. C. 1910*)
 „ sericea Schimp. (*Herzog, Beih. Bot. C. 1910*)
 „ cygnicolla Schimp. (*Prodr. Bryol. Bol.*)
 „ minutissima C. M. (*Prodr. Bryol. Bol.*)
 „ aurifolia C. M. (*Prodr. Bryol. Bol.*)
 „ boliviana C. M. (*Prodr. Bryol. Bol.*)
 „ decurrens C. M. (*Prodr. Bryol. Bol.*)
 „ clavitheca H. (*Herzog, Beih. Bot. C. 1909*)
 „ longiseta C. M. (*Herzog, Beih. Bot. C. 1909*)
 „ elegans H. (*Herzog, Beih. Bot. C. 1910*)
 Stableria tenella (Mitt.) Broth. (*Williams l. c.*)
 Orthodontium confine Hpe. (*Williams l. c.*)
 Wollnya Wilsoni Mitt. (*Williams l. c. u. Herzog, Beih. Bot. C. 1911*)
 Epipterygium Mandoni C. M. (*Prodr. Bryol. Bol.*)

- Brachyemium dimorphum R. S. W. (*Williams l. c.*)
 „ verrucosum (C. M.) (*Prodr. Bryol. Bol.*)
 Anomobryum obtusatissimum (C. M.) (*Prodr. Bryol. Bol.*)
 „ humillimum (C. M.) (*Prodr. Bryol. Bol.*)
 „ cymbifolium (C. M.) (*Prodr. Bryol. Bol.*)
 Webera Rusbyana (C. M.) (*Prodr. Bryol. Bol.*)
 „ schisticola (C. M.) (*Prodr. Bryol. Bol.*)
 „ plurisetia H. (*Herzog, Beih. Bot. C. 1909*)
 Bryum Mayense Spruce (*Williams l. c.*)
 „ concavum Mitt. (*Williams l. c.*)
 „ Atenense R. S. W. (*Williams l. c.*)
 „ cavum C. M. (*Williams l. c.*)
 „ densifolium Brid. (*Williams l. c.*)
 „ nanophyllum C. M. (*Prodr. Bryol. Bol.*)
 „ nigropurpureum C. M. (*Prodr. Bryol. Bol.*)
 „ coloratum C. M. (*Prodr. Bryol. Bol. und Herzog, Beih. Bot. C. 1909*)
 „ Incacorrals H. (*Herzog, Beih. Bot. C. 1909*)
 Rhodobryum grandifolium (Tayl.) (*Williams l. c. und Herzog, Beih. Bot. C. 1910*)
 Leiomela bartramioides (Hook.) Par. (*Williams l. c.*)
 Bartramia perpusilla C. M. (*Prodr. Bryol. Bol.*)
 „ auricola C. M. (*Prodr. Bryol. Bol.*)
 „ didymocarpa (Anacolia) (C. M.) (*Prodr. Bryol. Bol.*)
 „ ithyphylloides Schimp. (*Williams l. c. und Herzog, Beih. Bot. C. 1909*)
 Philonotis minutissima (C. M.) Par. (*Williams l. c. und Prodr. Bryol. Bol.*)
 „ operta R. S. W. (*Williams l. c.*)
 „ angulata (Tayl.) (*Williams l. c.*)
 „ gracilenta (Hpe.) (*Williams l. c.*)
 „ filiramea (C. M.) (*Prodr. Bryol. Bol.*)
 „ Guyabayana (C. M.) (*Prodr. Bryol. Bol. und Herzog, Beih. Bot. C. 1909*)
 „ asperrima (C. M.) (*Prodr. Bryol. Bol.*)
 „ pugionifolia (C. M.) (*Prodr. Bryol. Bol.*)
 Breutelia nutans Mont. (*Williams l. c.*)
 „ Wainioi Broth.? (*Williams l. c.*)
 „ breviseta (C. M.) (*Prodr. Bryol. Bol.*)
 „ macrocarpa Schimp. (*Prodr. Bryol. Bol.*)
 „ scorioides (C. M.) (*Prodr. Bryol. Bol.*)
 Catharinaea polycarpa (Schimp.) (*Williams l. c.*)
 Psilopilum aequinoctiale Schimp. (*Prodr. Bryol. Bol.*)
 „ trichodon (Hook. f. et W.) (*Williams l. c.*)
 Polytrichadelphus umbrosus Mitt. (*Williams l. c.*)
 „ rubiginosus Mitt. (*Williams l. c.*)
 „ integrifolius (*Prodr. Bryol. Bol.*)
 „ Trianae Hpe. (*Herzog, Beih. Bot. C. 1910*)
 Pogonatum abbreviatum Mitt. (*Williams l. c.*)
 „ laxirete R. S. W. (*Williams l. c.*)
 „ subbifarium Mitt. (*Herzog, Beih. Bot. C. 1910*)
 Polytrichum Antillarum Rich. (*Williams l. c.*)
 „ tenellum (C. M.) (*Prodr. Bryol. Bol.*)
 Braunia plicata (Mitt.) (*Herzog, Beih. Bot. C. 1909*)
 Rhacocarpus squamosus R. S. W. (*Williams l. c.*)
 Cryphaea hygrophila C. M. (*Prodr. Bryol. Bol.*)
 „ latifolia Mitt. (*Williams l. c.*)
 Cryphaea boliviana C. M. (*Prodr. Bryol. Bol.*)
 „ brachycarpa C. M. (*Prodr. Bryol. Bol.*)
 Cryphaea tenuicaulis C. M. (*Prodr. Bryol. Bol.*)
 Prionodon laeviusculus Mitt. (*Williams l. c.*)
 „ flagellaris Hpe. (*Herzog, Beih. Bot. C. 1909*)
 „ divaricatus Mitt. (*Williams l. c.*)
 „ filifolius H. (*Herzog, Beih. Bot. C. 1909*)
 Leucodon squarrosus H. (*Herzog, Beih. Bot. C. 1909*)
 Pseudocryphaea flagellifera E. Britt. (*Herzog, Beih. Bot., Williams l. c. 1909*)
 Orthostichidium pentagonum (Hpe. u. Lor.) (*Herzog, Beih. Bot. Williams l. c. 1909*)
 Pirea Pohlii (Schwgr.) (*Herzog, Beih. Bot. C. 1909 u. Williams l. c.*)
 Orthostichopsis crinita (Sull.) Broth. (*Williams l. c.*)
 „ dimorpha (C. M.) (*Prodr. Bryol. Bol.*)
 Squamidium diversifolium R. S. W. (*Williams l. c.*)
 „ Lorentzii (C. M.) (*Herzog, Beih. Bot. C. 1909*)
 Papillaria tenella H. (*Herzog, Beih. Bot. C. 1909*)
 Floribundaria flaccida (Mitt.) (*Herzog, Beih. Bot. C. 1909*)
 Pilotrichella viridis (C. M.) (*Williams l. c.*)
 Meteoropsis minuta (C. M.) (*Prodr. Bryol. Bol. u. Herzog, Beih. Bot. C. 1910*)
 „ straminea (C. M.) (*Prodr. Bryol. Bol.*)
 „ recurvifolia (Hornsch.) (*Williams l. c.*)
 „ subrecurvifolia Broth. (*Herzog, Beih. Bot. C. 1909*)
 „ patula (Sw.) (*Herzog, Beih. Bot. C. 1910*)
 Neckeropsis disticha (Hedw.) (*Herzog, Beih. Bot. C. 1909 und Williams l. c.*)
 Neckera trabeculata H. (*Herzog, Beih. Bot. C. 1909*)
 Porotrichum microthecium C. M. (*Prodr. Bryol. Bol.*)
 „ bolivianum C. M. (*Prodr. Bryol. Bol.*)
 „ amboroicum H. (*Herzog, Beih. Bot. C. 1909*)
 Porothamnium thyrsoides C. M. (*Prodr. Bryol. Bol.*)
 „ fasciculatum Sw. (*Herzog, Beih. Bot. C. 1909*)
 Pinnatella ochracea H. (*Herzog, Beih. Bot. C. 1909*)
 Entodon erythropus Mitt. (*Williams l. c.*)
 „ Jamesonii (Tayl.) (*Williams l. c.*)
 „ Hampeanus C. M. (*Williams l. c.*)
 „ suberythropus C. M. (*Herzog, Beih. Bot. C. 1909*)
 Campyodontium onustum (Hpe.) (*Williams l. c.*)
 „ bolivianum C. M. (*Prodr. Bryol. Bol.*)
 Erythrodontium longisetum (Hook.) (*Williams l. c.*)
 Stereophyllum brevipes (C. M.) (*Williams l. c.*)
 „ pseudoradiculosum (C. M.) (*Williams l. c.*)
 „ subchlorophyllosum (C. M.) (*Williams l. c.*)
 „ flaccisetum (C. M.) (*Williams l. c.*)
 Fabronia singulidens C. M. (*Prodr. Bryol. Bol. u. Williams l. c.*)
 „ seligeriacea C. M. (*Prodr. Bryol. Bol.*)
 „ polycarpa Hook. (*Williams l. c.*)
 Schwetschkea boliviana C. M. (*Prodr. Bryol. Bol. und Williams l. c.*)
 „ minuta C. M. (*Prodr. Bryol. Bol.*)
 Helicodontium tenuirostre Schwgr. (*Williams l. c.*)
 „ capillare (Sw.) (*Williams l. c.*)
 Daltonia irrorata Mitt. (*Williams l. c.*)
 „ minutifolia C. M. (*Prodr. Bryol. Bol. und Herzog, Beih. Bot. C. 1909*)
 Daltonia Hampeana Sch. (*Herzog, Beih. Bot. C. 1909*)
 Cyclodictyon aeruginosum (Mitt.) (*Williams l. c.*)

- Cyclodictyon humile (Mitt.) Broth. (*Williams l. c.*)
 „ plicatum (C. M.) (*Prodr. Bryol. Bol.*)
 Callicostella rivularis (Mitt.) (*Williams l. c.*)
 „ pallida (C. M.) (*Williams l. c.*)
 „ scabriuscula (C. M.) (*Williams l. c.*)
 „ microcarpa (Hornsch.) (*Williams l. c.*)
 „ scabripes C. M. (*Prodr. Bryol. Bol.*)
 „ integrifolia C. M. (*Prodr. Bryol. Bol.*)
 „ strumulosa (Hpe. u. Lor.)? (*Herzog, Beih. Bot. C. 1910*)
 Hookeriopsis longiseta R. S. W. (*Williams l. c.*)
 „ asprella (Hpe.) (*Williams l. c.*)
 „ undatula (C. M.) (*Prodr. Bryol. Bol. u. Williams l. c.*)
 „ incurva (Hook. u. Grev.) (*Williams l. c.*)
 „ papillidioides (C. M.) (*Prodr. Bryol. Bol.*)
 Stenodictyon saxicola R. S. W. (*Williams l. c.*)
 Hypnella sigmatelloides (C. M.) (*Prodr. Bryol. Bol.*)
 Lepidopilum intermedium (C. M.) (*Williams l. c.*)
 „ ovatifolium H. (*Herzog, Beih. Bot. C. 1910*)
 „ angustifrons Hpe. (*Williams l. c.*)
 „ pallidonitens C. M. (*Prodr. Bryol. Bol.*)
 „ curvirameum (C. M.) (*Prodr. Bryol. Bol.*)
 „ Buchtienii Broth. (*Brotherus l. c.*)
 Helicophyllum torquatum Hook. (*Herzog, Beih. Bot. C. 1909*)
 Rhegmatodon schlotheimoides Spruce (*Williams l. c.*)
 Anomodon fragillimus H. (*Herzog, Beih. Bot. C. 1909*)
 Leskea boliviana C. M. (*Prodr. Bryol. Bol.*)
 „ catenularia C. M. (*Prodr. Bryol. Bol.*)
 Rauia Bornii H. (*Herzog, Beih. Bot. C. 1910*)
 Thuidium pusillum Mitt. (*Williams l. c.*)
 „ scabrosulum Mitt. (*Williams l. c.*)
 „ involvens (Hedw.) (*Williams l. c.*)
 „ schistocalyx (C. M.) (*Williams l. c.*)
 „ brasiliense Mitt. (*Williams l. c.*)
 „ delicatum Hedw. (*Herzog, Beih. Bot. C. 1909*)
 Hygroamblystegium filicinum (L.) (*Brotherus l. c.*)
 Drepanocladus intermedius (Schimp.) (*Williams l. c.*)
 „ Barbeyi Ren. u. Card.
 Scorpidium scorpioides (L.) (*Williams l. c.*)
 Calliigon stramineum (Dicks.) (*Brotherus l. c.*)
 Rhizohypnum Langsdorffii (Hook.) (*Williams l. c.*)
 „ modestum H. (*Herzog, Beih. Bot. C. 1909*)
 „ versipoma Hedw. (*Herzog, Beih. Bot. C. 1909*)
 Rhizohypnum elegantulum (Hook.) (*Herzog, Beih. Bot. C. 1909 u. Williams l. c.*)
 Vesicularia vesicularis (Schwgr.) (*Williams l. c.*)
 „ amphibola (Spruce) (*Williams l. c.*)
 Taxithelium pseudoacuminatum C. M. (*Williams l. c.*)
 „ subandinum H. (*Herzog, Beih. Bot. C., 1910*)
 Isopterygium brachyneuron (C. M.) (*Williams l. c.*)
 „ tenerum (Sw.) (*Williams l. c.*)
 „ leucophyllum (Hpe.) (*Williams l. c.*)
 „ stigmocarpum (C. M.) (*Prodr. Bryol. Bol.*)
 „ cylindraceum (C. M.) (*Prodr. Bryol. Bol.*)
 Plagiothecium mollicaule R. S. W. (*Williams l. c.*)
 Potamium longisetum R. S. W. (*Williams l. c.*)
 Pterogonidium pulchellum (Hook.) (*Williams l. c.*)
 Meiothecium commutatum (C. M.) (*Williams l. c.*)
 „ tenerum Mitt. (*Williams l. c.*)
 Trichosteleum fluviale (Mitt.) (*Williams l. c.*)
 „ arrectum (Mitt.) (*Williams l. c.*)
 „ ambiguum (Schwgr.) (*Williams l. c.*)
 Sematophyllum pungens (Sw.) (*Williams l. c.*)
 Rhaphidostegium cucullatifolium (Hpe.) (*Williams l. c.*)
 „ tenuicarpum R. S. W. (*Williams l. c.*)
 „ circinale (Hpe.) (*Williams l. c.*)
 „ chrysostegum (C. M.) (*Williams l. c.*)
 „ obliquerostratum Mitt. (*Williams l. c.*)
 „ subsimplex (Hedw.) (*Williams l. c.*)
 „ subcylindraceum (C. M.) (*Prodr. Bryol. Bol.*)
 „ Levieri (C. M.) (*Prodr. Bryol. Bol.*)
 „ chlorocormum (C. M.) (*Prodr. Bryol. Bol.*)
 „ brachyacrum C. M. (*Herzog, Beih. Bot. C. 1909*)
 „ densirete H. (*Herzog, Beih. Bot. C. 1909*)
 „ galipense (C. M.) (*Herzog, Beih. Bot. C. 1909*)
 „ andinum (Mitt.) (*Herzog, Beih. Bot. C. 1909*)
 Brachythecium conostomum (Tayl.) (*Engler u. Prantl.*)
 „ tenuipinnatum (C. M.) (*Williams l. c.*)
 „ cochlear C. M. (*Prodr. Bryol. Bol.*)
 „ praelongum C. M. (*Prodr. Bryol. Bol.*)
 „ pseudorutabulum C. M. (*Prodr. Bryol. Bol. u. Herzog, Beih. B. C. 1909*)
 Rhynchostegium lamasicum (Spruce) (*Williams l. c.*)
 „ callistomum Besch. (*Williams l. c.*)
 „ alboviride R. S. W. (*Williams l. c.*)
 „ minutum C. M. (*Prodr. Bryol. Bol.*)
 „ hirtipes C. M. (*Prodr. Bryol. Bol.*)
 Oxyrhynchium scabripes (C. M.) (*Prodr. Bryol. Bol.*)

Hepaticae.

(Auctore F. Stephani.)

Marchantiales.

Targionia L. 1753.

1. *Targionia robusta* St.

Zwischen Cocapata u. Choro, ca. 3500 m, No. 4174; bei Incacorral, ca. 2200 m, No. 4948.

Plagiochasma L. et L.

2. *Plagiochasma bolivianum* St. n. sp. (Fig. 82).

Dioica mediocris validissima, virens, postice purpurascens. Frons ad 3 cm longa, 5 mm lata, repetito-furcata, tenuis antice plana. Stomata magna, parum convexa, poro parvo, parietibus radialibus incrassatis, 6 cellulis triseriatis circumdato, reliquae cellulae epidermales angulis trigone incrassatis. Costa angusta, parum producta. Squamae posticae sub fronde occulta, confertae, imbricatae, purpureae, appendiculo parvo, late ovato-trigono, apice cuspidato integerrimo. Pedunculus capituli elongatus, apice dense breviterque barbatus, paleis angustis. Capitula vertice convexa, centro umbonatim prominulo, sexlobato, lobis antice convexis. Reliqua desunt.

Incacorral 2000 m, Tablas
1800 m, No. 4619. In
rupibus humidis gregarie crescens.

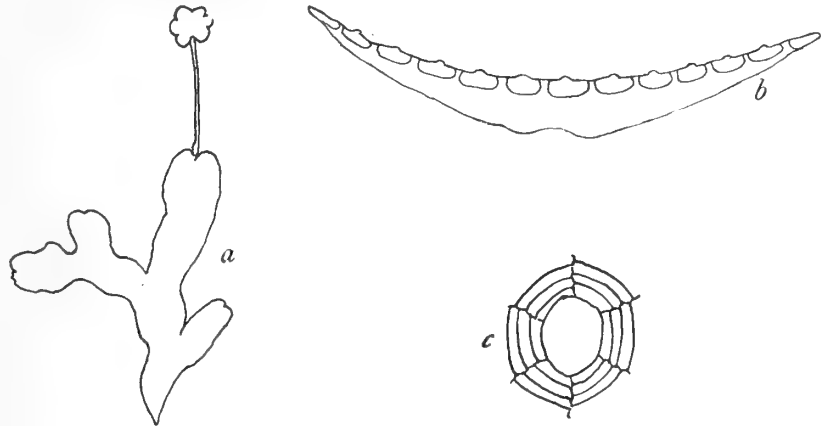


Fig. 82. *Plagiochasma bolivianum* St. n. sp. a Habitus 1:1; b Thallusquerschnitt 10:1; c porus anticus 30:1.

Fimbriaria N. ab Es. 1820.

3. *Fimbriaria fissiquama* St. n. sp. (Fig. 83).

Dioica magna virens vel flavescens, margine et postice atropurpurea. Frons ad 2 cm longa, 7 mm lata, simplex, ramis femineis semper posticis, antice plana, costa bene producta, late convexa, fronde triplo angustior, triplo latior quam crassa; alae tenues; stomata humillima, poro majusculo, 6 cellulis triseriatis circumdato. Squamae posticae magnae, purpureae, appendiculo bifido vix constricto, laciniis elongatis anguste lanceolatis acutis integerrimis. Carpopophala majuscula pe-

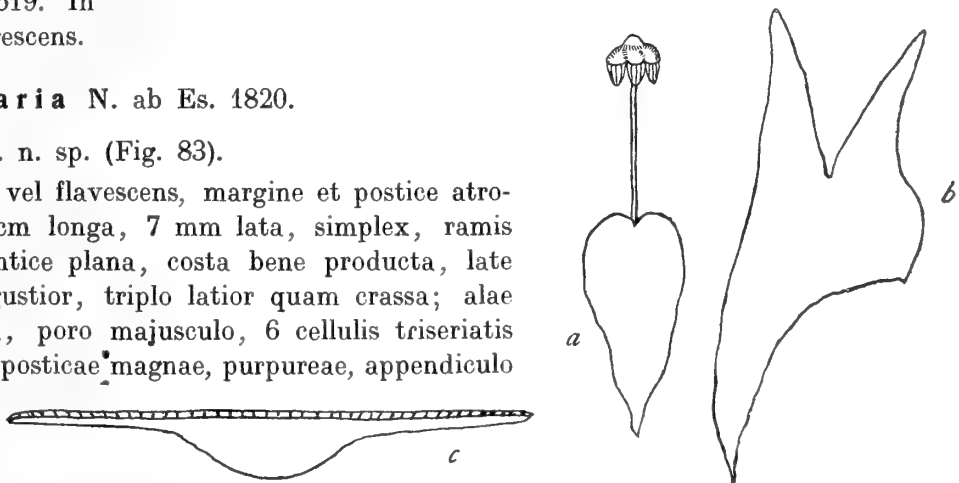


Fig. 83. *Fimbriaria fissiquama* St. n. sp. a Habitus 3:1; b squama 40:1; c Thallusquerschnitt 20:1.

dunculo 2 cm longo, apice breviter barbato, lacinulis purpureis. Capitula conica obtusa, bene producta, lobis 4, subrotundis, valde convexis. Perianthia oblonga, longe exserta, hyalina. Reliqua desunt.

Zwischen San Mateo und Sunchal, ca. 2900 m, No. 4445.

Lunularia Adans. 1763.

4. **Lunularia cruciata** (L.) Dum.

In valle Llave (4200 m), zwischen Cocapata u. Choro, ca. 3500 m, No. 4173, in terra gregarie crescens.

Dumortiera Reinw. Bl. et N. ab Es. 1824.

5. **Dumortiera hirsuta** (Sw.) R. Bl. Nees.

Nebelwald über Comarapa, ca. 2600 m, No. 4302; Incacorral, No. 4987.

Preissia Corda.

6. **Preissia commutata** (Ldbg.) Nees.

Tocoranital, ca. 2600 m, No. 4071.

Marchantia (L.) Raddi 1818.

7. **Marchantia brasiliensis** L. et L.

Sillar, in terra humida repens. 1600 m, No. 2755.

8. **Marchantia plicata** N. et M.

Toncoli, in rupibus humidis repens, ca. 3500 m, No. 3361.

9. **Marchantia Wilmsii** St.

Bolivia (sine loco natali).

Jungermanniales.

J. anacrogynae.

Aneura Dum. 1822.

10. **Aneura capillacea** St. n. sp. (Fig. 84a—b).

Sterilis, magna, gracillima, rigida, fusco-brunnea, dense depresso-caespitans. Frons ad 6 cm longa, remote breviterque bipinnata; truncus in sectione transversa bene biconvexus (1 mm latus, medio 0,2 mm crassus) cellulae internae majusculae, aequalis, medic sexseriatae, corticales multo minores, alis 2 cellulas latis.

Tablas, in terra humida crescens, repens, ca. 3400 m, No. 2786, 2856.

11. **Aneura crassicaulis** St. n. sp. (Fig. 84c).

Sterilis, maxima, flaccida, olivacea, dense depresso-caespitans. Frons ad 6 cm longa, regulariter tripinnata; truncus crassus, alte biconvexus, in sectione transversa ellipticus, duplo latior quam crassus, exalatus; pinnae et pinnulae remotae, 15 mm longae, lineares, anguste alatae, alis 4 cellulas latis. Cellulae alarum ad costam $27/54 \mu$, marginales $18/36 \mu$, tenerrimae.

Rio Tocorani, ca. 2200 m, No. 4029, 4035, in terra humida repens.

12. **Aneura Glaziovii** Spruce.

Tablas, in rivuli marginibus repens. 3400 m, No. 2802.

13. *Aneura gracillima* St. n. sp. (Fig. 84f—g).

Sterilis mediocris, gracillima, rigidula, fusco-virens, gregarie crescens. Frons ad 3 cm longa, remote breviterque bipinnata, pinnulis brevibus solitariis, hic illic tripinnata. Truncus primarius tenuis, postice planus, antice valde convexus, triplo latior quam crassus, marginibus acutis, alis nullis. Cellulae internae ubique aequales, in acie marginali uniseriatae et multo majores, limbum angustum acutum formantes.

Rio Tocorani, No. 4091.

14. *Aneura Herzogiana* St. n. sp.

Dioica, mediocris rigidula, intense viridis, dense depresso-caespitans. Frons ad 3 cm longa, regulariter bipinnata, ramis primariis remotis, 5 mm longis, dense breviterque pinnulatis, marginibus ubique alatis (alae 3 cellulas latae); in sectione transversa sextuplo latior quam crassa, cellulis internis et corticalibus ubique aequalibus. Rami feminei (steriles) brevissimi, canaliculati, marginibus piliferis. Bene distincta cellulis internis et corticalibus per totam frondem aequimagnis.

Quebrada de Pocona (2800 m), No. 5132, in humo repens.

15. *Aneura lamellifera* St. n. sp. (Fig. 84d—e).

Sterilis magna, gracillima, rigidula, flavescens, in cortice laxe caespitans lateque expansa. Frons

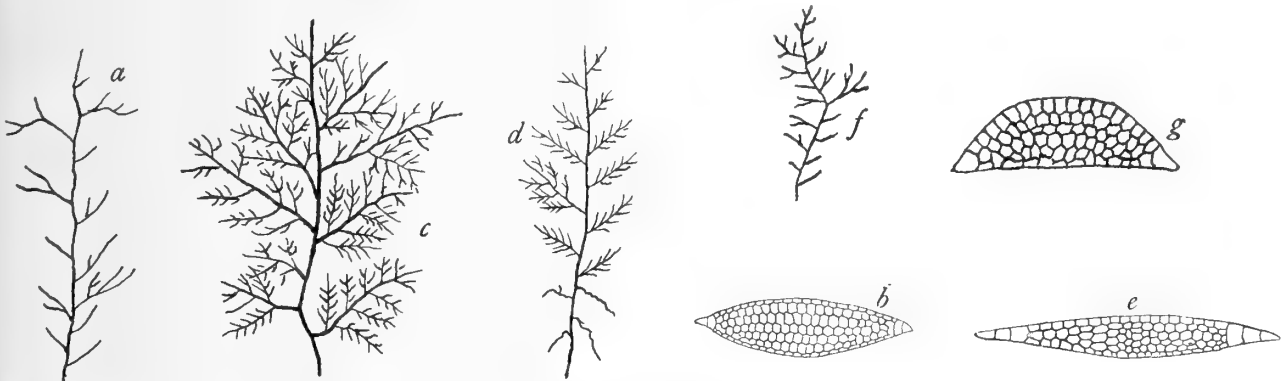


Fig. 84. a—b *Aneura capillacea* St. n. sp. a Habitus 1:1; b Thallusquerschnitt; c *An. crassicaulis* St. n. sp. Habitus 1:1; d—e *An. lamellifera* St. n. sp. d Habitus 1:1; e Thallusquerschnitt; f—g *An. gracillima* St. n. sp. f Habitus 1:1; g Thallusquerschnitt.

ad 4 cm longa, regulariter remoteque pinnata pinnis ad 10 mm longis, superis pinnulatis, inferis bipinnatis, ubique late alata, alis fragillimis, 3 cellulas latis; in sectione transversa fusiformis, 1,4 mm lata, medio 0,17 mm crassa, utrinque longe attenuata. Cellulae internae parvae; corticales vix minores, anticae minute denseque lamellatae.

Sillar, 1900 m, No. 2743.

16. *Aneura metzgeriaeformis* St.

Cordillera de Santa Cruz (1200 m), No. 4172, in rupibus humidis arcte repens.

17. *Aneura parasitans* St. n. sp. (Fig. 85c—d).

Dioica pusilla rigida, rufo-brunnea, in humo dense depresso-caespitans. Frons ad 25 mm longa, remote breviterque ramosa; truncus primarius subteres, exalatus, ramis dense breviterque bipinnatis, anguste limbatis, limbo 2—3 cellulas lato, in sectione transversa elliptica (1 mm lata, medio 0,33 mm crassa) utrinque attenuata acuta. Cellulae internae 54/54 μ marginales 9/36 μ . Androecia brevissima, capitata, marginibus papulosis; reliqua desunt.

Cerros de Malaga (4000 m), No. 4374, in humo repens.

18. *Aneura pulvinata* St. n. sp.

Monoica hypogyna, pusilla, nigra, rigida, in rupibus pulvinatim caespitans. Frons ad 15 mm longa, pinnata et bipinnata, exalata, saepe fasciculatim ramosa; truncus primarius subteres, rami

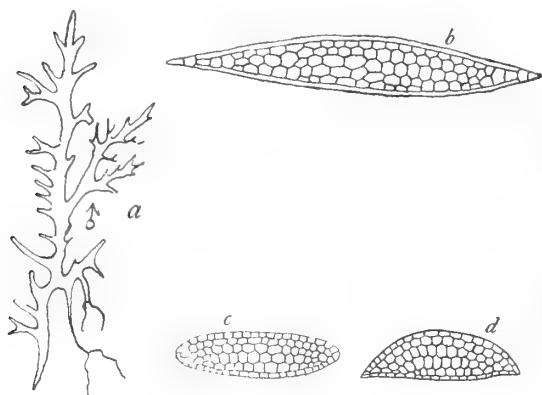
primarii 6 cellulas crassi, secundarii tenues biconvexi (in sectione transversa 0,75 mm lati, medio 0,2 mm crassi) utrinque attenuati acuti. Cellulae internae frondis valde irregulares, in medio frondis gigantei, versus margines duplo et triplo minores, corticales minutae. Rami feminei exigui, papulosi; involucria gigantea, 3 mm longa, anguste clavata, cuticula papulosa, apice cellulis longis clavatis hirta. Androecia spicata, alveolis 5—6 jugis.

Quebrada de Cuñucu, ca. 900 m (I. Reise).

19. *Aneura boliviensis* St. n. sp.

Dioica magna rigida, fusco-brunnea, subatra, in cortice dense depresso-caespitans. Frons ad 5 cm longa, sparsim breviterque bipinnata, ubique alata, alis latiusculis (3—4 cellulas latis) truncus primarius validissimus (1,67 mm latus) biconvexus, quadruplo latior quam crassus, marginibus acutis, cellulae ubique aequimagnae; hic illic parum minores. Rami masculi numerosi, in pinnis minoribus saepe geminati, alveolis 5—6 jugis. Reliqua desunt.

Incacorral, ca. 2200 m (I. Reise).



20. *Aneura pinguis* (L.) Dum.

Rio Tocarani 2200 m, No. 4066, Cerro Incachacca 4700 m, No. 2644.

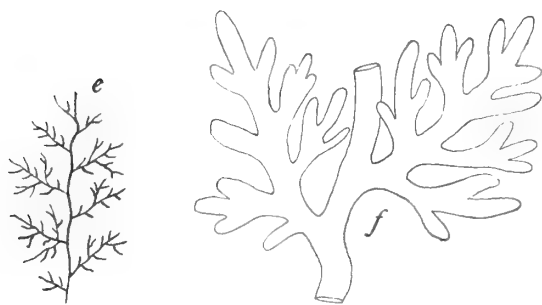
21. *Aneura plumaeformis* S.

Nebelwald über Comarapa, ca. 2600 m, No. 4299.

22. *Aneura muscicola* St. n. sp. (Fig. 85e—f).

Dioica pusilla, rigida, rufo-brunnea, dense depresso-caespitans. Frons ad 25 mm longa, truncus primarius subteres, exalatus, remote breviterque ramosus, ramis dense breviterque bipinnatis, anguste limbatis, limbo 3—4 cellulas lato. Androecia brevissima, capitata, marginibus papulosis.

Nebelwald über Comarapa, 2600 m, No. 4287 muscis consociata.



23. *Aneura Uleana* St. n. sp. (Fig. 85a—b).

Dioica major flavescens tenera et flaccida, terricola. Frons ad 4 cm longa, ubique anguste alata, irregulariter breviterque pinnata et bipinnata, paucis ramis longioribus interjectis similiter bipinnatis, ramis ubique attenuatis flagellaribus ramosis, in sectione transversa

angustissime biconvexa (1,67 mm lata, medio 0,25 mm lata) utrinque longe attenuata, acuta. Cellulae internae subaequales, medianae parum majores, corticales triplo minores. Rami masculi exigui in trunco sessiles, alveolis quadrijugis.

Brasilia: Itajahy (Ule legit); Bolivia: Incacorral, Herzog No. 4982.

24. *Aneura Wallisii* St.

Sillar 1800 m, No. 2710, 2744; Rio Saujana 3400 m, No. 3259, 3279.

Metzgeria Raddi 1820.

25. *Metzgeria acuminata* St.

Estradillas supra Incacorral. 3000 m, No. 3345.

26. *Metzgeria albinea* S.

Cordillera de Santa Cruz, ca. 1400 m, No. 3477.

Fig. 85. a—b *Aneura Uleana* St. n. sp. a Habitus 1:1; b Thallusquerschnitt; c—d *An. parasitans* St. n. sp. c Sect. transv. in trunco; d Sect. transv. in ramulis; e—f *An. muscicola* St. n. sp. e Habitus 1:1; f Habitus vergr. 30:1.

27. *Metzgeria arborescens* St. n. sp. (Fig. 86).

Dioica magna flaccida, subhyalina, in cortice dense intricata, late depresso-caespitans. Frons ad 6 cm longa, irregulariter breviterque bipinnata; ramis primariis 10—12 mm longis, oblique patulis, pinnulis brevibus, varie distributis. Costa in trunco primario valida, in ramis et ramulis gradatim angustior. Cellulae alarum ad costam 27/72 μ , mediae 27/45 μ , marginales 14/54 μ . Calyptra clavata, apice dense longeque setosa. Reliqua desunt.

Inacorral 2200 m, No. 5047, 4952;
Cerros de Malaga 3300 m, No. 4389;
Coranital, No. 5062, 4690.

28. *Metzgeria attenuata* St. n. sp. (Fig. 87).

Sterilis, exigua, subhyalina, in foliis arborum repens. Frons ad 6 mm longa, irregulariter breviterque furcata, ramis angustioribus, apice saepe attenuatis, e margine frondis simpliciter setosa, setulis saepe radican-
tibus; Costa nuda; cellulae costae corticales utrinque biacriatae. Cellulae alarum 36/36 μ , ad costam parum longiores.

Inacorral 2200 m, No. 5048.

29. *Metzgeria boliviana* St. n. sp. (Fig. 88).

Dioica, magna, intense viridis, rigidula, in cortice dense depresso-caespitans maximeque intricata. Frons ad 6 cm longa, 2 mm lata, irregulariter longeque bipinnata. Costa tenuis, in sectione transversa late elliptica, antice et postice 4 cellulis angustis tecta, postice sparsim breviterque pilosa. Alae planae vel leviter concavae, postice sparsim breviterque pilosae, marginibus dense minuteque setulosis, setulis geminatim oppositis. Cellulae frondis marginales angustae, 27/36 μ , submarginales 36/36 μ , ad costam 36/72 μ trigonis nullis.

Altamachi 3400 m, No. 3860; Sillar
1600 m, Lacus Tunari 4400 m,
No. 4788.

30. *Metzgeria fruticola* Spruce.

Rio Tocorani, No. 4105.

31. *Metzgeria gigantea* St. n. sp. (Fig. 89 a).

Sterilis, longissima, gracilis, pallide virens, in cortice repens lateque expansa. Frons ad 10 cm longa, simplex vel pauciramosa. Costa valida, subteres, in sectione transversa cellulis corticalibus numerosis inaequalibus tecta. Cellulae costae anticae sexseriatae, posticae 10-seriatae denseque setulosae. Alae valde decurvae, subinvolutae,

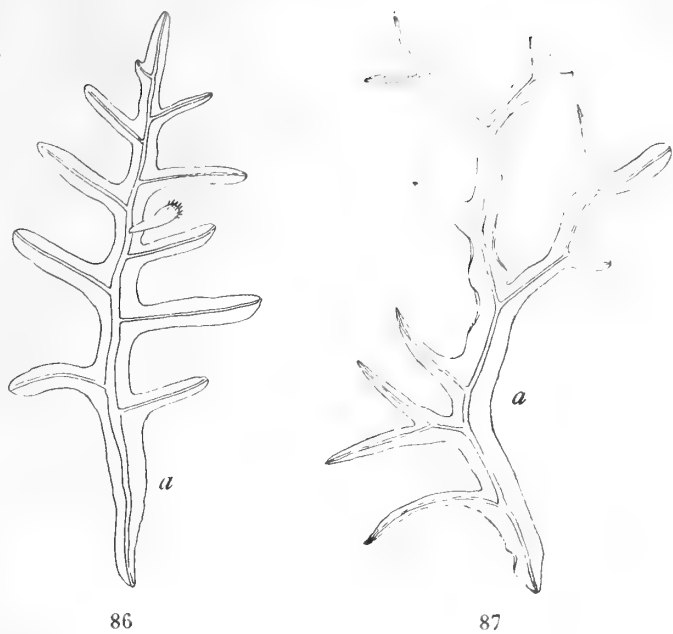


Fig. 86. *Metzgeria arborescens* St. n. sp. a Habitus 5: 1.
Fig. 87. *Metzgeria attenuata* St. n. sp. a Habitus 5: 1.

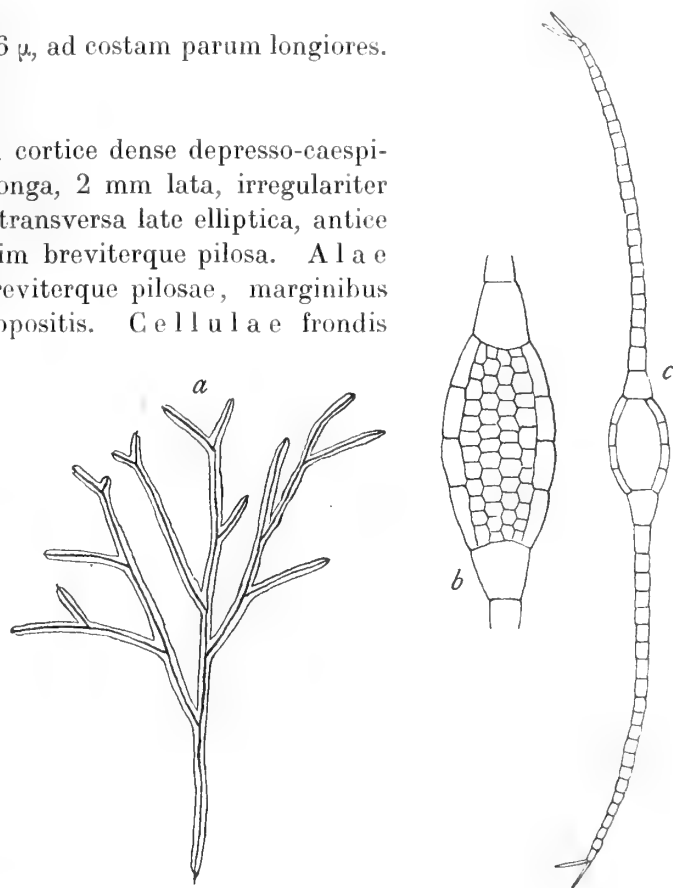


Fig. 88. *Metzgeria boliviana* St. n. sp. a Habitus 1: 1; b Sect. transv. 120: 1; c Sect. transv. 40: 1.

in facie nuda, marginibus quidem setiferis, setulis fasciculatis (vulgo 5). Cellulae alarum ad costam $36/54 \mu$, mediae $36/45 \mu$, marginales $18/54 \mu$.

Inacorral 2200 m, No. 4992; San Mateo-Sunchal, No. 4475.

32. **Metzgeria Herzogiana** St. n. sp. (Fig. 89, b—c).

Dioica magna gracillima, pallide virens, flaccida, muscis consociata. Frons ad 6 cm longa, 1 mm lata, regulariter breviterque pinnata, pinnis hic illic ramulo auctis. Costa valida nuda, in sectione transversa antica 12—, postice 8 cellulis corticalibus parvis tecta; Cellulae internae corticalibus aequimagnae, maxime numerosae. Alae tenerrimae, nudaе, cellulis unistratis, ubique aequimagnis. Rami feminei valde numerosi, latissime obcordati, margine repandi, valde inflati denseque setulosi.

Cochabamba (sine No.)

33. **Metzgeria heteroramea** St. n. sp. (Fig. 89, d).

Sterilis medioeris, pallide-virens, flaccida, in rupibus dense depresso-caespitans. Frons ad 2 cm longa, repetito-furcata, omnino nuda, 2 mm lata, rami e latere costae orti numerosi, inaequales,

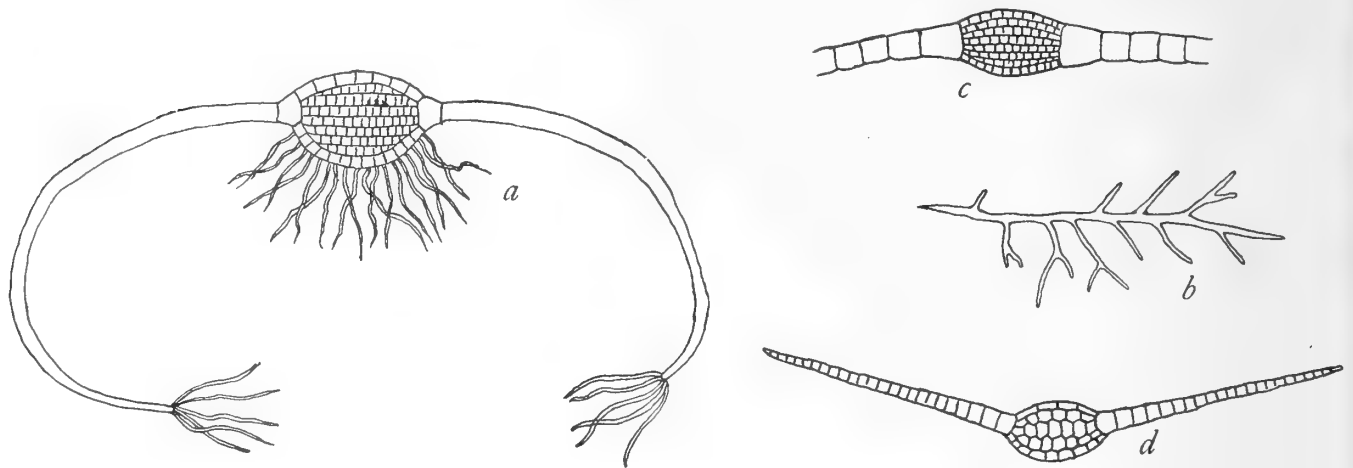


Fig. 89. a *Metzgeria gigantea* St. n. sp. sect. transv. 45: 1; b—c *M. Herzogiana* St. n. sp. b Habitus 1: 1; c sect. transv. 45: 1; d *M. heteroramea* St. n. sp. sect. transv. 15: 1.

parum angustiores. Costa tenuis, in sectione transversa utrinque 4 cellulis corticalibus tecta. Cellulae alarum ad costam $36/54 \mu$, mediae $36/36 \mu$, marginales $27/27 \mu$, in facie antica frondis papuloso-prominulae.

Caverna ad lacum Tunari. 4400 m, No. 4808.

34. **Metzgeria Lechleri** St.

Cordillera de Santa Cruz, ca. 1400 m, No. 3493/a.

35. **Metzgeria leptoneura** Spruce.

Tablas, in prato humido. 3400 m, No. 2787.

36. **Metzgeria myriopoda** Lindb.

Nebelwald über Comarapa, ca. 2600 m, No. 3960, 3800.

37. **Metzgeria nudicosta** St. n. sp. (Fig. 90, a).

Sterilis, magna, gracillima, subhyalina, flaccida, in rupibus rivuli dense depresso-caespitosa. Frons ad 7 cm longa, irregulariter longeque pinnata et bipinnata, pinnis remotis, ultimis 8 mm longis, paucis. Costa angusta, in sectione transversa ovalis, antice et postice 2 cellulis angustis tecta, nuda. Alae valde decurvae, nudaе; margine quidem setulosae, setulis parvis, confertis, oppositis, hamatis. Cellulae alarum marginales $18/36 \mu$, submarginales $36/45 \mu$, ad costam $36/43 \mu$, parietibus tenuibus.

Cerros de Malaga 3300 m, No. 4390.

38. *Metzgeria pulvinata* St. n. sp. (Fig. 90, b—c).

Sterilis, longissima gracilis, pallide flavicans, apicibus virescentibus, profunde pulvinata. Frons valde convexa in plano 7 mm longa, 1,3 mm lata, regulariter bipinnata, ramis primariis ad 5 cm longis, pinnulis 1 cm longis. Costa valida, in sectione transversa subrotunda, antice 8 cellulis, postice 10 cellulis tecta, creberrime setulosa. Alae nudaе, margine quidem brevissime denseque setulosae, setulis ubique ternis vel quaternis, divergentibus hamatis. Cellulae alarum ubique aequales, 27 μ , trigonis nullis, ad costam hic illic 27/54 μ .

Estradillas supra Incacorral, 3000 m, No. 3349.

39. *Metzgeria Schiffneri* St. n. sp.

Sterilis, mediocris, gracilis, flaccida, subhyalina, corticola, dense depresso-caespitans. Frons ad 35 mm longa, angusta, repetito-furcata, ramis ad 10 mm longis, valde convexa; Costa tenuis, in sectione transversa antice 2 cellulis postice 4 cellulis tecta, postice dense longeque setosa. Alae valde decurvae, in facie nudaе, marginibus setiferis, setulis brevissimis, opposito-geminatis. Cellulae alarum ubique aequales.

San Mateo-Sunchal, No. 4472.

40. *Metzgeria Spindleri* St. n. sp.

Sterilis, magna, gracilis flaccida, flavescens, in cortice dense depresso-caespitans. Frons ad 8 cm longa, 2,8 mm lata, repetito-furcata, ramis ad 15 mm longis, canaliculatum concava. Costa tenuis, in sectione transversa utrinque 4 cellulis corticalibus tecta, dense longeque pilosa (in facie postica). Alae latissimae, antice nudaе, margine piliferae, pilis geminatis oppositis, longis hamatis, sub margine alarum in facie postica similiter pilosae, limbum angustum hirtum formantes. Cellulae alarum marginales 18/36 μ , in medio alarum 45/54 μ , ad costam 36/90 μ , parietibus tenuibus.

San Mateo-Sunchal, No. 4484.

41. *Metzgeria subinvoluta* St. n. sp. (Fig. 90, d—e).

Sterilis mediocris flaccida, pallide virens, in rupibus humidis dense depresso-caespitans. Frons ad 25 mm longa, 1 mm lata, regulariter pinnata, pinnis apice breviter furcatis. Costa valida, in sectione transversa oblongo-elliptica, duplo latior quam crassa, antice 4 cellulis, postice 8 cellulis tecta denseque setulosa. Alae valde decurvae, subinvolutae, nudaе, marginibus quidem densissime setulosis, setulis oppositis divergentibus. Cellulae alarum marginales 27/36 μ , submarginales 36/36 μ , ad costam 27/54 μ parietibus tenuibus, cuticula levis.

Bolivia (sine loco natali).

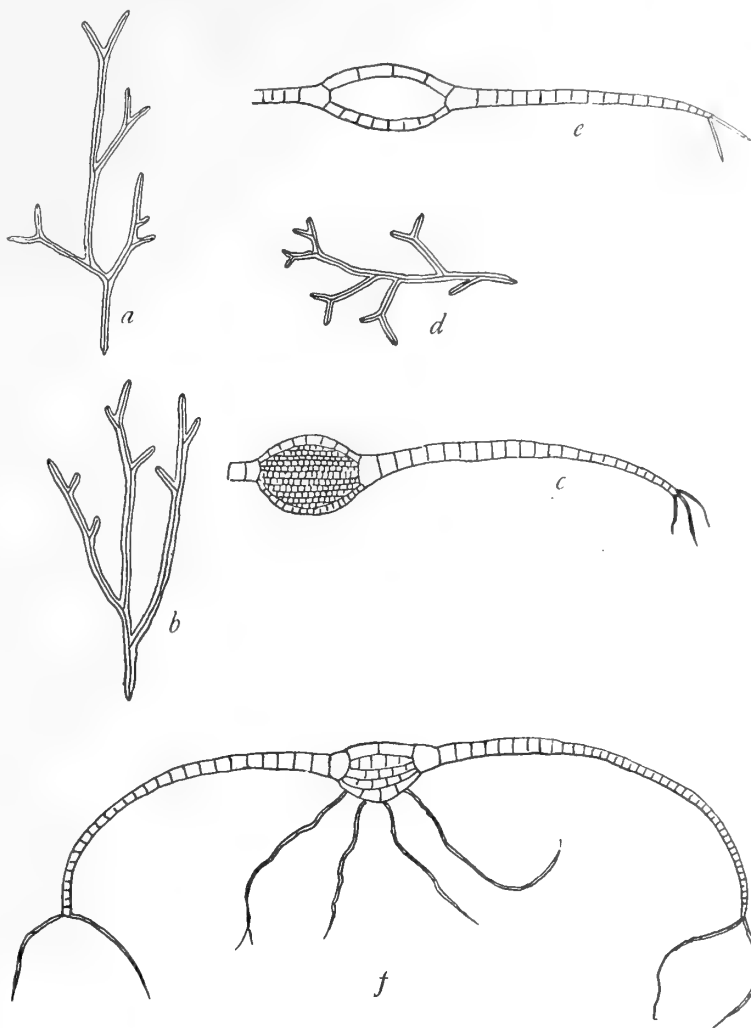


Fig. 90. a *Metzgeria nudicosta* St. n. sp. Habitus 1:1; b—c *M. pulvinata* St. n. sp. b Habitus 1:1; c sect. transv. 45:1; d—e *M. subinvoluta* St. n. sp. d Habitus 1:1; e sect. transv. 45:1; f *M. villosicosta* sect. transvers. 45:1.

42. *Metzgeria terricola* St.

Sillar. 1800 m, No. 2699.

43. *Metzgeria villosicosta* St. n. sp. (Fig. 90, f).

Sterilis magna valida virens flaccida, in cortice dense depresso-caespitans. Frons ad 6 cm longa, repetito-furcata, ramis 15 mm longis, canaliculatim concava. Costa tenuis, postice dense longeque pilosa, in sectione transversa late elliptica, antice 2 cellulis, postice 4 cellulis corticalibus tecta. Alae latissimae, nudaе, 1,5 mm latae, valde concavae, marginibus piliferis, pilis longis, geminatis, oppositis hamatis. Cellulae alarum marginales $18/36 \mu$, mediae $45/72 \mu$, ad costam $54/90 \mu$.

Nebelwald über Comarapa, ca. 2600 m, No. 4330.

Symphyogyna Nees et Mont. 1836.

44. *Symphyogyna apiculispina* St. n. sp. (Fig. 91, a).

Sterilis magna, viridis, flaccida, in cortice expansa. Frons ad 6 cm longa, 1 cm lata, plana, e facie postica costae flagella-valida nuda proferens, marginibus regulariter breviterque inciso-lobatis, lobulis subrotundis, apice oblique emarginatis, segmentis apiculatis, inaequalibus, supero multo validiore. Cellulae frondis submarginales $54/54 \mu$ inferae $36/90 \mu$.

Rio Tocorani 2200 m, No. 4034, 4098; Comarapa 2600 m, No. 4286; Tablas 1800 m, No. 4578, 4579.

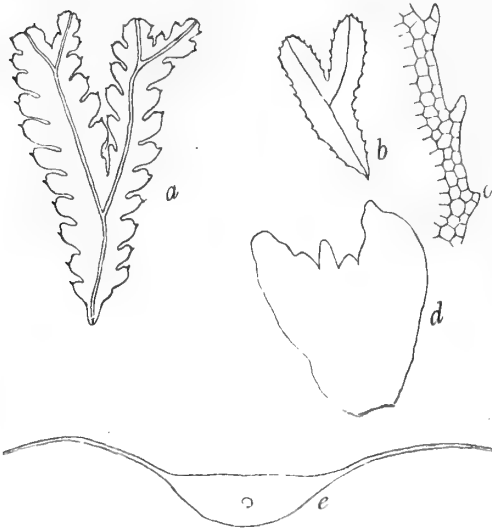


Fig. 91. a *Symphyogyna apiculispina* St. n. sp. Habitus 1:1; b—e *S. boliviensis* St. n. sp. b Habitus 1:1; c frondis margo 30:1; d squama feminea 30:1; e sect. transv. frondis 30:1.

45. *Symphyogyna bogotensis* (G.) St.

Comarapa 2600 m, No. 4279, 4298; in valle Llave 4200 m, No. 4849.

46. *Symphyogyna boliviensis* St. n. sp. (Fig. 91, b—e).

Dioica minor, pallide virens, flaccida, terricola, gregarie crescens. Frons ad 2 cm longa, 5 mm lata, furcata, marginibus remote breviterque dentatis, dentibus 2 cellulas longis obtusis. Cellulae frondis marginales $36/72 \mu$, mediae $27/63 \mu$, ad costam $27/36 \mu$. Costa valida, fasciculo fibrovasali percurso. Involucra feminae parva, squamae formia, late obcuneata, apice varie obtuseque lobulata. Reliqua desunt.

Cordillera Santa Cruz 1200 m, No. 4171.

47. *Symphyogyna brasiliensis* Nees.

Sillar 2690 m, No. 2690.

48. *Symphyogyna Brogniartii* Mont.

Samaipata 2000 m, No. 4123, Sillar, No. 2776/a.

49. *Symphyogyna canaliculata* St.

Sillar 1800 m, No. 2779.

50. *Symphyogyna chiloensis* St.

Tablas 3400 m, No. 2805; Rio Saujana 3400 m, No. 3292.

51. *Symphyogyna digitisquama* St.

Quebrada de Pocona 2800 m, No. 5138.

52. *Symphyogyna Goebellii* St.

Sillar 1800 m, No. 2700, 2780; Tablas 3400 m, No. 2804; Paracti 2000 m, No. 5053.

53. *Symphyogyna mexicana* St.

Tablas, No. 4627.

54. *Symphyogyna paucidens* St.

Sillar, No. 2689; Rio Tocorani, No. 4022.

Monoclea Hook. 1820.

55. **Monoclea Gottschei** Lindb.

Rio Tocorani 2200 m, No. 4099; Tablas 1800 m, No. 4562; Llave 4200 m, No. 4856; Incacorral 2300 m, No. 5086.

Petalophyllum Gottsche 1844; Androcryphia N. ab Es. in Syn. Hep. 1846.

56. **Petalophyllum bolivianum** St. n. sp. (Fig. 92).

Planta sterilis, parva, validissima, pallida, apicibus rufescentibus, gregarie crescens, terricola. Frons ad 8 mm longa, 5 mm lata, arcte repens; costa validissima, valde producta, radicellis pallidis; alae tenerrimae oblique erectae profunde canaliculatae, antice lamellis sparsis humilibus et oblique insertis percursorae. Reliqua desunt.

Cumbre de Liryuni 4500 m, No. 2577.

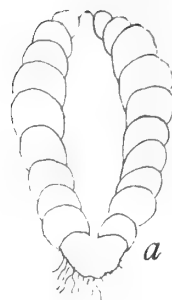


Fig. 92. *Petalophyllum bolivianum* St. n. sp. a Habitus 30: 1.

J. acrogynae.

Lophoziaceae.

Marsupella (Dum. 1822) emend. S. O. Lindb. 1886.

57. **Marsupella cuspidata** St. n. sp. (Fig. 93, a—b).

Sterilis parva gracillima, rigidula, flavo-virens, acetate flavo-rufescens, pulvinatim caespitans. Folia caulina remotiuscula, conduplicatim concava, oblique patula, in plano cordiformia (1,53 mm longa, medio infero 1,4 mm lata) basi utrinque rotundata, apice valde angustato, ad $\frac{1}{4}$ inciso-bilobato, lobis anguste triangulatis cuspidatis porrectis. Cellulae superae $18/18 \mu$, basales $18/36 \mu$, trigonis majusculis; cuticula minute papillata.

Altamachi 4000 m, No. 3867; Viloco 4600 m, No. 3164/a.

58. **Marsupella exigua** St. n. sp. (Fig. 93, c).

Sterilis parva rigida et fragilis, rufo-brunnea, gracillima, pulvinatim caespitans. Caulis ad 2 cm longus, simplex, rarissime ramosus, ramulis longiusculis. Folia caulina vix contigua, oblique patula, conduplicatim concava vel hiantia et squarrose recurva, in plano subrectangulata (1 mm longa, medio 0,75 mm lata) lata basi inserta, marginibus superis et inferis leviter arcuatis, apice ad $\frac{1}{5}$ inciso-biloba, sinu amplissimo, lobis late triangulatis acutis, divergentibus. Cellulae superae $18/18 \mu$, basales $18/27 \mu$, trigonis maximis nodulosis.

Corani 1800 m, No. 4681.

59. **Marsupella pusilla** St. n. sp. (Fig. 93, d—e).

Sterilis pusilla, rufescens, rigida, aliis hepaticis consociata. Caulis ad 2 cm longus, parum longoque ramosus. Folia caulina

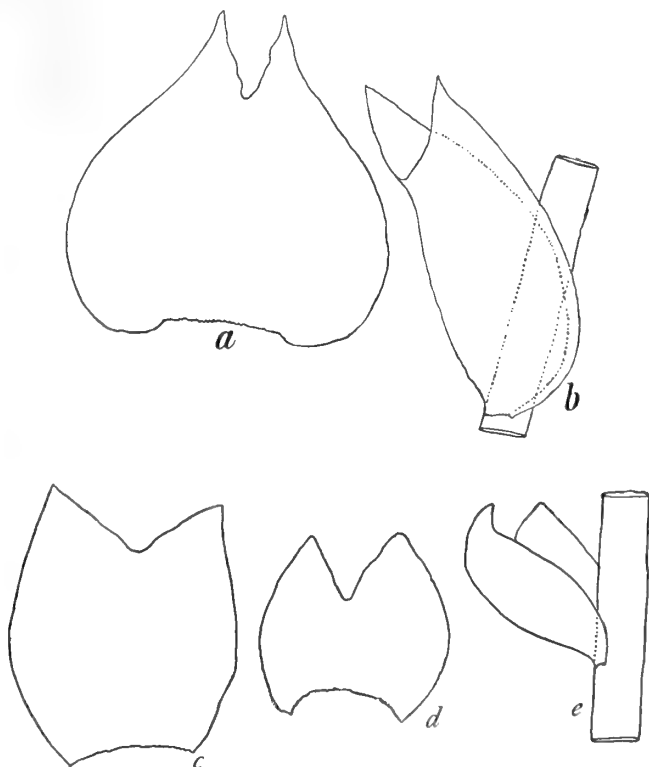


Fig. 93. a—b *Marsupella cuspidata* St. n. sp. a fol. caul. 20: 1; b Amphig. caul. 20: 1; c *M. exigua* St. n. sp. fol. caul. 40: 1; d—e *M. pusilla* St. n. sp. d fol. caul. 40: 1; e fol. caul. 40: 1.

remota, oblique patula, conduplicatim concava, in plano subrotunda (0,67 mm longa et lata) symmetrica, lata basi inserta, ad medium biloba, sinu recto obtuso, laciniis triangulatis acutis inaequalibus, lobo antico parum latiore. Cellulae superae $14/14\ \mu$, basales $14/18\ \mu$, parietibus validis, trigonis nullis. Cerro Tunari 4700 m, No. 4891.

Solenostoma Mitt. 1865.

60. **Solenostoma bolivianum** St. n. sp. (Fig. 94, c).

Sterilis, mediocris, rufo-brunnea, rigidula, pulvinatim caespitans. Caulis ad 4 cm longus, parum longeque ramosus. Folia caulina imbricata, erecto-homomalla, in plano subrotunda, lata basi inserta (3,25 mm lata, 2,75 mm longa) integerrima. Cellulae superae $27/27\ \mu$, trigonis parvis, basales $27/45\ \mu$, trigonis nullis. Amphigastria caulina majuscula, ambitu subrotunda, caule subtriplo latiora, profunde sinuatim inserta, apice subtruncata breviterque incisa, segmentis late divergentibus acutis. Reliqua desunt.

Incacorral 2200 m, No. 4975; in ramis arborum saepe depresso-caespitans.

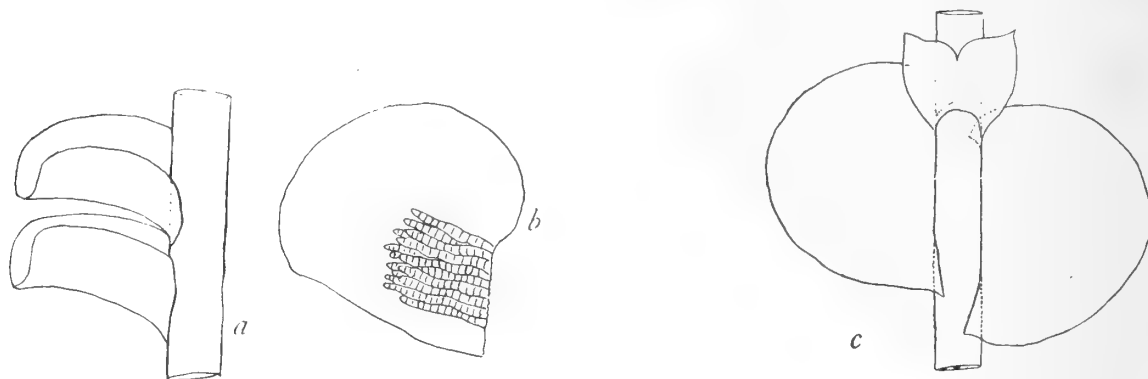


Fig. 94. a—b *Stephaniella boliviensis* St. n. sp. a fol. caul. 15: 1; b fol. caul. 45: 1; c *Solenostoma bolivianum* St. n. sp. 10: 1.

Stephaniella Jack.

61. **Stephaniella boliviensis** St. n. sp. (Fig. 94, a—b).

Sterilis exigua rigida, dilute brunnea, in rupibus pulvinatim caespitans lateque expansa. Caulis ad 4 mm longus, validus, simplex vel ramosus, ramis cauli aequilongis, flagellis posticis validis numerosis. Folia caulina conferta, erecto-homomalla, valde concava, in plano late ovata, asymmetrica, margine supero valde arcuato, infero stricto, apice obtusa, integerrima. Paraphylla chlorophyllifera in facie antica foliorum, fasciculatim aggregata, filiformia. Cellulae foliorum optime rectangulares, $14/36\ \mu$, parietibus validis; marginales crenato-prominulae, apicales subdentiformes.

Catena Yanakaka 4700 m, No. 3750; valle Llave, ca. 4300 m, No. 4794.

62. **Stephaniella paraphyllina** Jack.

Comarapa 2600 m, No. 4255.

Jamesoniella (Spruce p. subg. 1876) Steph. 1892.

63. **Jamesoniella Allionii** St. n. sp.

Dioica mediocris, fusco-brunnea, rigidula gracilis, in rupibus dense lateque depresso-caespitans. Caulis ad 3 cm longus, tenuis simplex vel pauciramosus, ramis elongatis. Folia caulina contigua squarrose patula, valde concava, in plano subrotunda, antice breviter decurrentia, basi antica truncata, appendiculo nullo. Cellulae foliorum superae $14/14\ \mu$, trigonis parvis, basales $18/36\ \mu$, trigonis majusculis. Folia floralia caulinis aequimagna, subrotunda, apice truncato-rotundata, mar-

ginibus lateralibus remote breviterque dentatis vel subspinosis. *Amphigastrium* florale anguste lanceolatum, foliis floralibus parum longius, utrinque grosse remoteque trispinosum, apice ad $\frac{1}{4}$ incisobifidum, segmentis late lanceolatis cuspidatis integerrimis. *Perianthia* obovato-oblonga, pluriplicata, apice irregulariter incisa, segmentis tuncatulis integris. *Androecia* in medio caulis repetita, spicata, bracteis 10—12 jugis, confertis, inflatis, dense imbricatis apiceque patulis.

Tablas 3400 m, No. 2808, 2806/a, 2847; Saittulaguna 4300 m, No. 2662/a; Vacas 3000 m, Viloco 4600 m, No. 3162; Vallis Pajonal 4000 m, No. 3246; Rio Saujana 3400 m, No. 3270.

64. *Jamesoniella boliviana* St. n. sp. (Fig. 95, a).

Sterilis, major valida, flaccida, dilute virens, in cortice caespitans. Caulis ad 5 cm longus, simplex vel sparsim breviterque ramosus. Folia caulina confertissima, erecto-homomalla, valde concava, in plano subrotunda (1,17 mm longa et lata) antice attenuatim longeque decurrentia, postice breviter inserta apice leviter obtusa, integerrima; Cellulae superae $27/27 \mu$, aliis majoribus interjectis $36/36 \mu$, basales $36/63 \mu$ trigonis ubique nullis, cuticula verrucosa.

Cerros de Malaga 3500 m, No. 4411/a.

65. *Jamesoniella fragillima* St. n. sp. (Fig. 95, b).

Sterilis mediocris, rigida, fragillima, rufescens, profunde pulvinata. Caulis ad 6 cm longus, parum longeque ramosus, rarius simplex. Folia caulina confertissima, erecto-homomalla, valde concava, in plano subrotunda (1,17 mm longa, medio 1 mm lata) asymmetrica, margine supero longe arcuato, infero substricto, in caule attenuato, apice rotundata, basi antica ampliata, caulem late superantia, integerrima. Cellulae superae $18/18 \mu$, trigonis maximis, basales $27/36 \mu$ trigonis ovalibus. Cuticula verrucosa.

Nebelwald über Comarapa, ca. 2600 m, No. 4270.

66. *Jamesoniella latifolia* St. n. sp. (Fig. 96, a).

Sterilis, major, gracilis, flaccida, dilute virens vel flavescens, profunde pulvinata. Caulis ad 4 cm longus, parum longeque ramosus, stolonibus sparsis longissimis. Folia caulina contigua, oblique patula, erecto-homomalla, valde concava (aetate subplana) in plano late ovato-

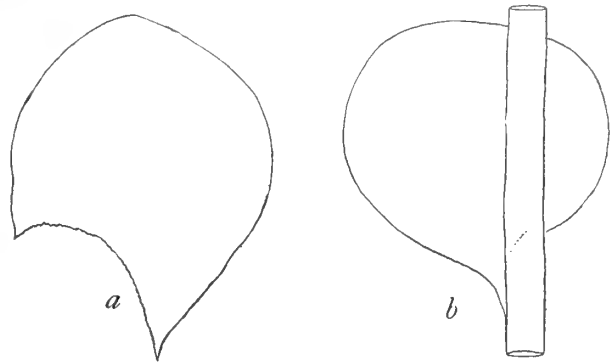


Fig. 95. a *Jamesoniella boliviana* St. n. sp. fol. caul. 30:1; b *J. fragillima* St. n. sp. fol. caul. 30:1.

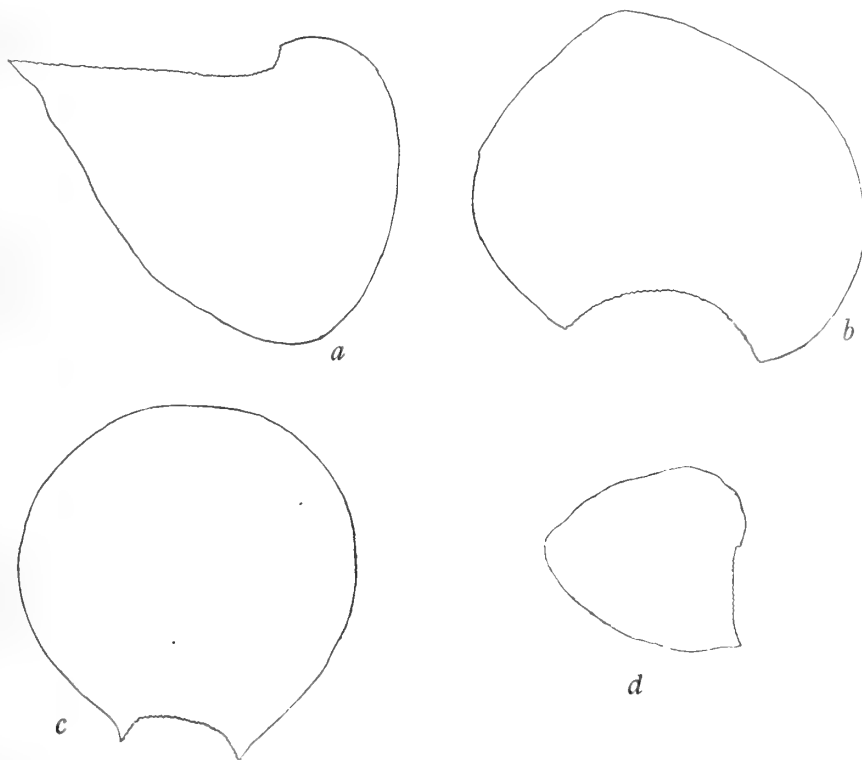


Fig. 96. a *Jamesoniella latifolia* St. n. sp. fol. caul. 30:1; b *J. limbata* St. n. sp. fol. caul. 30:1; c *J. nudifolia* St. n. sp. fol. caul. 30:1; d *J. ovato-trigona* St. n. sp. fol. caul. 30:1.

trigona, latiora quam longa (1,33 mm longa, supra basin 1,67 mm lata) asymmetrica, margine supero brevior, substricto vel leviter arcuato, infero multo longiore, apice obtusa, basi antica brevissime inserta, caulem vix tegentia. Cellulae superae 18/18 μ trigonis subnullis, basales 18/36 μ trigonis parvis, cuticula dense verrucosa.

San Mateo-Sunchal, No. 4450.

67. **Jamesoniella limbata** St. n. sp. (Fig. 96, b).

Sterilis, exigua, rufescens, in cortice caespitans. Caulis ad 8 mm longus, simplex vel parum ramosus. Folia caulina confertissima, erecto-homomalla, valde concava, in plano reniformia (1,67 mm lata, 1,17 mm longa) lata basi inserta, apice obtusa. Cellulae superae 27/27 μ , basales 27/72 μ trigonis nullis, marginales 18/90 μ , limbum bene distinctum formantes.

San Mateo-Sunchal, No. 4491.

68. **Jamesoniella nudifolia** St. n. sp. (Fig. 96, c).

Sterilis, major, rufescens, gracillima, rigida, aliis hepaticis consociata. Caulis ad 7 cm longus, simplex, stolonibus numerosis brevibus. Folia caulina remotiuscula, squarrose patula, parum

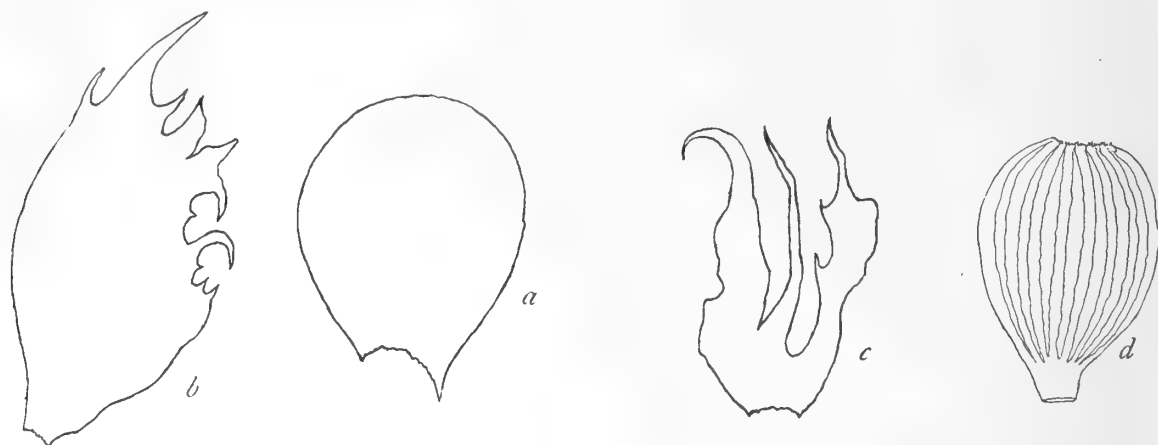


Fig. 97. *Jamesoniella papillifolia* St. n. sp. a fol. caul. 60:1; b fol. florale 60:1; c Amph. flor. 60:1; d Perianth 60:1.

concava, in plano optime rotunda (1,5 mm longa et lata) brevi basi inserta, utrinque breviter decurrentia, integerrima. Cellulae superae 27/27 μ , trigonis parvis, basales 27/45 μ , trigonis grosse ovalibus; stolonibus sparsis brevibus.

Cerro de Malaga, ca. 4000 m, No. 4409/b.

69. **Jamesoniella ovato-trigona** St. n. sp. (Fig. 96, d).

Sterilis mediocris rigida, fusco-virens, muscis consociata. Caulis ad 3 cm longus, simplex vel parum breviterque ramosus, stolonibus numerosis, longis. Folia caulina contigua, erecto-homomalla, valde concava, in plano ovato-trigona, (0,83 mm longa, supra basin 0,67 mm lata) symmetrica, apice obtusa, lata basi inserta, margine supero e basi rotundata substricto, infero similiter arcuato, basi breviter decurrente. Cellulae superae 18/18 μ , basales 18/54 μ trigonis nullis, cuticula levis.

In valle Llave 4200 m, No. 4942.

70. **Jamesoniella papillifolia** St. n. sp. (Fig. 97).

Dioica magna gracillima, in rupibus dense depresso-caespitans lateque expansa. Caulis ad 8 cm longus, parum longeque ramosus. Folia caulina contigua vel remota, subrotunda, 2 mm longa et lata, utrinque breviter decurrentia, cauli lateraliter appressa, subhomomalla, integerrima. Cellulae superae 27/27 μ , basales 27/36 μ , trigonis parvis, cuticula papillata. Folia floralia intima ex angusta basi oblongo-elliptica (3 mm longa, medio 1,5 mm lata) apice longe attenuata, margine externo integro, interno maxime grosseque lacerato. Amphigastrium florale foliis floralibus parum brevius, profundissime bi- vel trifidum, laciniis valde irregularibus, lanceolatis vel linearibus, interdum

grosse remoteque spinosis. Perianthia late pyriformia (3,5 mm longa, medio 2,5 mm alta) ore contracto, minute spinuloso, dense longeque plicata, plicis usque ad basin decurrentibus, inflatis. Reliqua desunt.

Bolivia, sine loco natali.

71. *Jamesoniella rotundifolia* St. n. sp. (Fig. 98, a).

Sterilis magna robusta rigida, fusco-rufa, profunde pulvinata. Caulis ad 6 cm longus, simplex vel sparsim longeque ramosus. Folia caulina conferta, erecto-homomalla, parum concava, in plano optime rotunda (0,75 mm longa et lata) integerrima, brevissima basi inserta nusquam decurrentia. Cellulae superae 18/18 μ trigonis maxime nodulosis, basales 18/36 μ , trigonis maximis acutis, cuticula verrucosa, inferne nuda.

Nebelwald über Comarapa, No. 4227.

72. *Jamesoniella rufescens* St. n. sp. (Fig. 98, b).

Sterilis mediocris gracillima, rufescens, pulvinatim caespitans. Caulis ad 3 cm longus, parum longeque ramosus, stolonibus sparsis, longis. Folia caulina contigua, erecto-homomalla, concava, in plano reniformia (1,17 mm longa, medio 1,33 mm lata) asymmetrica, margine supero longe arcuato, infero multo longiore substricto, apice obtusa, latissima basi inserta. Cellulae superae 27/27 μ , trigonis magnis acutis, basales 27/36 μ , trigonis grosse nodulosis.

San Mateo-Sunchal, No. 4453.

73. *Jamesoniella trigonifolia* St. n. sp. (Fig. 99, a—c).

Autoica major, dilute brunnea, apicibus purpurascens. Caulis ad 4 cm longus, validus, sub flore geminatim innovatus, ramis sterilibus sparsis longis. Folia caulina conferta, squarrose patula, in plano late ovato-triangularia (5,5 mm longa, basi 4,5 mm lata) apice obtusa leviterque angulata, antice caulem superantia, basi antica breviter rotundata. Cellulae superae 27/27 μ trigonis majusculis nodulosis, basales 36/54 μ trigonis magnis acutis vel subnodulosis. Folia floralia (juvenilia) subrotunda, conduplicatim concava, antheridium globosum longe stipitatum gerentia. Perianthia (juvenilia) triplicata, rostro brevissimo.

Tablas, No. 2932; Rio Saujana (3400 m), No. 3234, sphagno consociata.

74. *Jamesoniella verrucosa* St. n. sp. (Fig. 99, d).

Sterilis magna gracilis rigida, rufescens, profunde pulvinatim caespitans. Caulis ad 8 cm longus, simplex vel sparsim longeque ramosus, stolonibus sparsis. Folia caulina conferta, erecto-homomalla, concava, in plano obovata, symmetrica (1,5 mm longa, medio 1,17 mm lata) apice late rotundata, brevissima basi inserta, nusquam decurrentia. Cellulae superae 18/18 μ , basales 18/36 μ trigonis parvis, cuticula grosse papillata.

Lacus Tunari 4700 m, No. 4873, in fissuris rupium nidulans.



Fig. 98. a *Jamesoniella rotundifolia* St. n. sp. 10:1; b *J. rufescens* St. n. sp. 30:1.

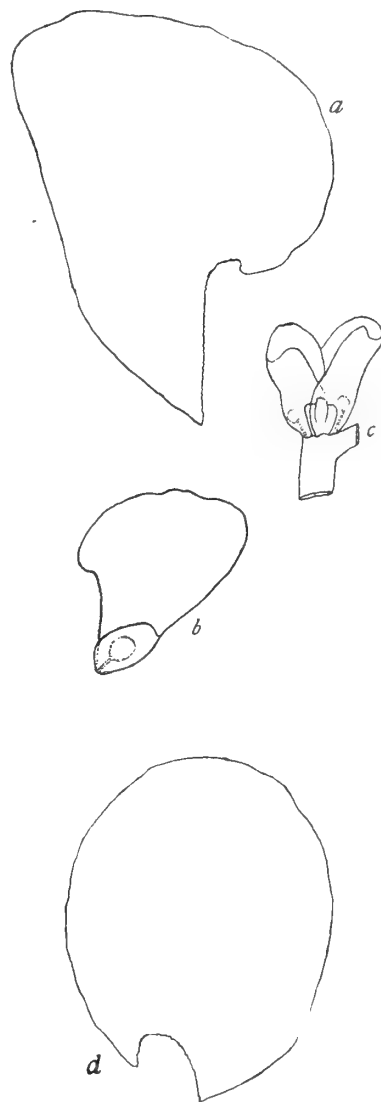


Fig. 99. *Jamesoniella trigonifolia* St. n. sp. a fol. caul. 30:1; b folium ♂ 14:1; c Perianth 14:1; d *J. verrucosa* St. n. sp. fol. caul. 30:1.

Anastrophyllum (Spruce p. subg. 1876) Steph. 1893.

75. **Anastrophyllum bolivianum** St. n. sp. (Fig. 100).

Sterilis, rigidula, flavicans, apicibus intense viridibus, pulvinatim caespitans. Caulis ad 15 mm longus, sparsim longaque ramosus. Folia caulina maxime conferta, erecto-homomalla, valde concava, in plano late ovato-triangularata (1,17 mm longa, 1,25 mm lata) latissima basi inserta, apice fere ad medium usque inciso-biloba, sinu subrecto, lobis late triangularatis, apice in spinam longiusculam attenuatis. Cellulae superae 18/18 μ , trigonis majusculis, basales 18/36 μ trigonis parvis.

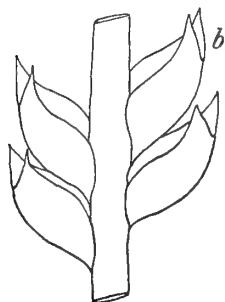
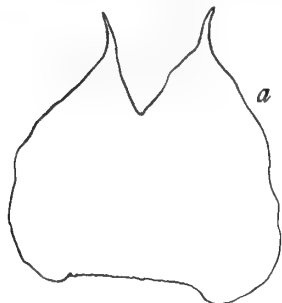
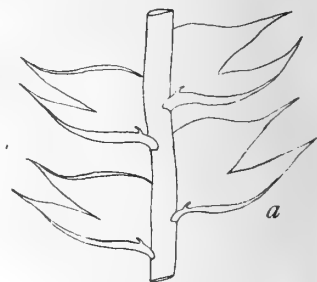


Fig. 100. *Anastrophyllum bolivianum* St. n. sp. a fol. caul. in plano 30: 1; b folia caulina 15: 1.

Yanakaka Montes 4000 m, No. 3832, in rupibus caespitans.

76. **Anastrophyllum cuspidatum** St. n. sp. (Fig. 101).

Dioica magna, gracillima, rufo-brunnea, rigidula, in cortice dense intricata, in terra humida depresso-caespitans. Caulis ad 11 cm longus, simplex vel parum breviterque eramosus. Folia caulina parum imbricata, erecto-homomalla, valde concava, in plano late ovata (1,83 mm longa, medio 1,4 mm lata) ad $\frac{2}{3}$ inciso-bifida, sinu semirecto, laciniis porrectis, anguste triangularatis, attenuatis, superne setaceis, basi antica spinula hamata armata. Cellulae superae 18/18 μ , trigonis magnis nodulosis, basales 18/27 μ , parietibus dense nodulosis, ex parte trabeculatim confluentibus. Perianthia oblongo-cylindrica (3,5 mm, longa medio 1,5 mm lata) quinqueplicata, plicis inflatis, humilibus, longe decurrentibus, ore contracto, irregulariter lacinulato, minute dentato. Folia floralia perianthio duplo breviora, ceterum caulinis simillima. Androecia desunt.



Tablas, No. 2907/a.

77. **Anastrophyllum hians** St. n. sp. (Fig. 102).

Dioica, mediocris, gracilis, rigidula, rufescens, aliis hepaticis corticolis consociata. Caulis ad 4 cm longus, simplex, capillaceus. Folia caulina erecto-homomalla, squarrosa, in plano subrotunda (2,75 mm longa et lata) ad $\frac{2}{3}$ inciso-biloba, segmentis triangularatis subaequalibus, breviter cuspidatis. Cellulae superae 18/18 μ , mediae 14/18 μ , trigonis maximis, basales 18/36 μ parietibus validis. Perianthia fusiformia, ore multiplicato, breviter inciso-laciniato, segmentis minute dentatis. Folia floralia intima caulinis parum majora, ad medium trifida, laciniis aequilongis sed inaequilatis, lacinia antica multo validiore, crispata, media duplo angustiore, tertia anguste lanceolata apice setacea. Folia floralia subintima caulinis similia, majora, sparsim varieque inciso-lobulata.

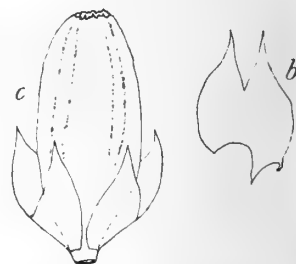


Fig. 101. *Anastrophyllum cuspidatum* St. n. sp. a folia caulina 10: 1; b fol. caulina in plano 10: 1; c Perianth 10: 1.

Corani 2600 m, No. 5077; San Mateo Sunchal, No. 4473.

78. **Anastrophyllum laxifolium** Mont.

Piñas 4600 m, No. 2617, in rupibus herbiferis.

79. **Anastrophyllum leucostomum** Tayl.

Tablas, in cortice et rupibus dense caespitans, No. 2809, 2930.

80. **Anastrophyllum Mandoni** St.

Abra de San Benito. 3900 m, No. 3330, in rupibus caespitans.

81. **Anastrophyllum nigrescens** (Mitt.) St.

Tablas. In ramis arborum nidulans, No. 28 40/a, 2869, 2944.

Androecia desunt.

82. *Anastrophyllum parvum* St.

Tablas, No. 2881; Cerro Tunari 5000 m, Viloco 4600 m, No. 3199, 3110; Cerros de Malaga 4000 m.

83. *Anastrophyllum pusillum* St.

Cerros de Malaga 4000 m, No. 4420; Cerro Tunari 5000 m, No. 4776, 4878.

Lophozia (Dum. 1835).

84. *Lophozia boliviensis* St. n. sp. (Fig. 103).

Dioica minor rigidula, fusco-brunnea, in rupibus humo obtectis pulvinatim caespitans. Caulis ad 15 mm longus, vulgo simplex, rarius ramulo auctus. Folia caulina imbricata, oblique patula, valde concava, in plano late obcuneata (1,5 mm longa, 2,17 mm lata) asymmetrica, margine supero quam infero subduplo longiore, apice late truncato-rotundata, 4—5 lobata, lobis inaequalibus, (superis multo validioribus) rotundatis, irregulariter emarginato-dentatis et spinulosis, sinubus arcte recurvis. Cellulae superae folium 27/27 μ , trigonis parvis, basales 27/54 μ , trigonis majusculis. Perianthia obovato-obconica (3,75 mm longa, medio 2 mm lata) pluriplicata, plicis inflatis, ore amplo breviter lobato, lobis irregulariter denseque spinulosis. Folia floralia intima caulinis aequimagna, similima, perianthio breviter accreta.

Viloco 4500 m, No. 3200.

85. *Lophozia multiflora* St. n. sp. (Fig. 104).

Monoica pusilla flaccida, rufescens, muscis consociata. Caulis ad 12 mm longus, irregulariter (saepe fasciculatim) ramosus. Folia caulina imbricata, oblique patula, valde concava, in plano late obovato-obconica (0,67 mm longa, medio 0,58 mm lata) symmetrica, apice ad $\frac{1}{3}$ biloba, sinu recto obtuso, lobis late triangulatis, apice rotundatis. Cellulae superae 18/18 μ , basales 18/27 μ , trigonis nullis. Perianthia magna, cylindrica, plicis inflatis, minus distinctis (4,5 mm longa, 1,5 mm lata) apice truncato, vix angustiore, varie breviterque inciso minuteque crenato. Folia floralia intima obovato-oblonga (2 mm longa, medio 1 mm lata) apice ad $\frac{1}{4}$ inciso-biloba, sinu recto, lobis late triangulatis acutis integerrimis. Amphigastrium florale intimum foliis floralibus alte connatum, apice breviter inciso-bilobatum, rima angusta, segmentis ovatis acutis porrectis. Androecia longe spicata, bracteis 6—9 jugis.

Lacus Tunari 4400 m, No. 3432.

Sphenolobus S. O. Lindb.

86. *Sphenolobus achrous* Spruce.

Viloco, 4300 m in terra dense caespitans, No. 3187.

Syzygiella Spruce 1876.

87. *Syzygiella boliviana* St. n. sp. (Fig. 105, b).

Sterilis maxima robusta, dilute flavo-rufescens, in rupi-

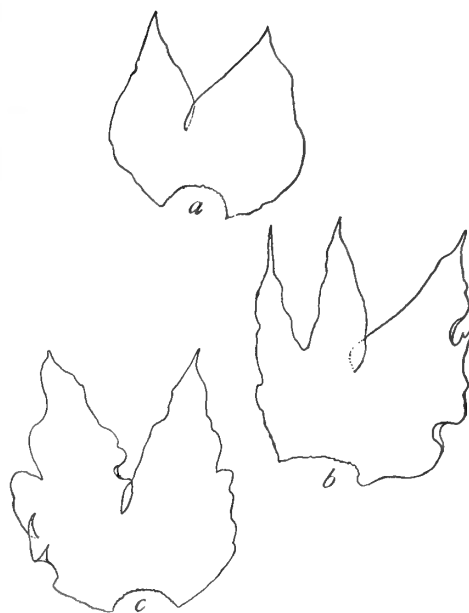


Fig. 102. *Anastrophyllum hians* St. n. sp. a fol. caulinum 10:1; b fol. florale 10:1; c Amphig. florale 10:1.



Fig. 103. *Lophozia boliviensis* St. n. sp. a fol. caul. 30:1; b fol. flor. 10:1; c Perianth mit Amphigastrium 10:1.

bus dense depresso-caespitans lateque expansa. Caulis ad 8 cm longus, longissime ramosus, ramis remotis, inferis 6 cm longis, superis brevioribus, omnibus simplicibus, rarius bifidis. Folia caulina conferta, oblique patula, decurva, in plano oblongo-trigona (5 mm longa, supra basin 3 mm lata) asymmetrica, margine supero e basi rotundata longe leviterque arcuato, infero stricto, apice oblique emarginato (0,75 mm lato) angulis apiculatis, sub apice remote minuteque dentatis. Cellulae superae $27/27 \mu$ basales $27/54 \mu$ trigonis magnis acutis. Amphigastria majuscula, folio breviter connata, anguste lanceolata longe cuspidata, integerrima.

Corani, ca. 2600 m, No. 3415.

88. *Syzygiella Herzogiana* St. n. sp. (Fig. 105, a).

Sterilis magna robusta rigidula purpurascens, in cortice dense depresso-caespitans. Caulis ad 6 cm longus, tenuis, simplex vel parum breviterque ramosus. Folia caulina opposita, conferta, oblique patula, canaliculatim concava vel subconvoluta, in plano late trigona (4 mm longa, supra basin 4 mm lata) asymmetrica, margine supero e basi ampliata longe arcuato, margine infero multo longiore substricto, oblique adscendens, apice obtusa integerrima. Cellulae superae $27/27 \mu$, basales $27/54 \mu$ trigonis parvis parietibus validis.

Comarapa 2600 m, No. 4192/a; San Mateo-Sunchal, No. 4488.

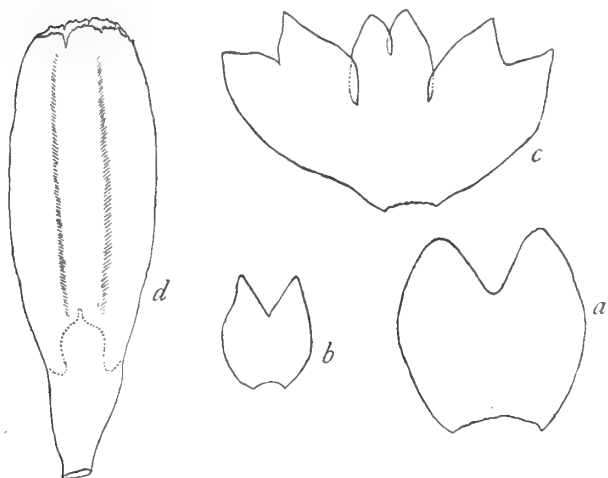


Fig. 104. *Lophozia multiflora* St. n. sp. a fol. caul. 40:1; b fol. ramulin. ca. 13:1; c Involucrum ca. 13:1; d Perianth ca. 13:1.

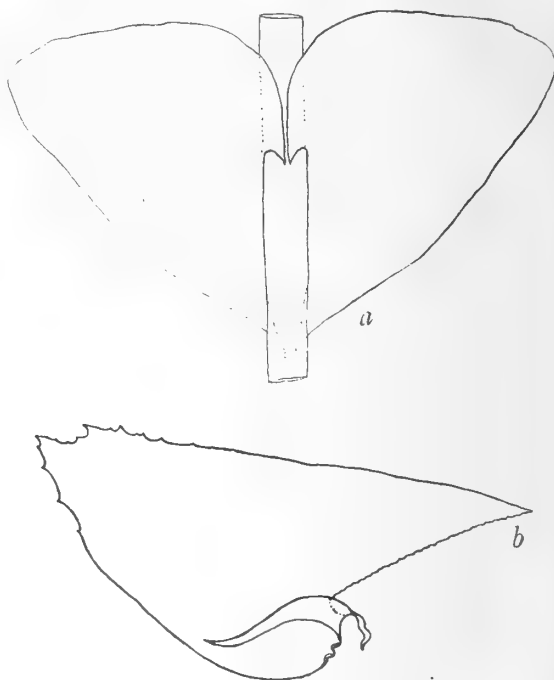


Fig. 105. a *Syzygiella Herzogiana* St. n. sp. folia floralia 10:1; b *S. boliviana* St. n. sp. folium caulinum 10:1.

Plagiochila (Dum. 1835) ref. Spruce 1885.

89. *Plagiochila acanthoda* G.

San Miguelito, No. 2749. In ramulis arborum nidulans.

90. *Plagiochila Alberti* St. n. sp. (Fig. 106, a).

Sterilis magna gracillima rufescens, rigidula, aliis hepaticis corticolis consociata. Caulis ad 5 cm longus, capillaceus parum breviterque ramosus. Folia caulina contigua, subrecte patula, parum concava, in plano ovata (2 mm longa, medio 1,5 mm lata) asymmetrica, margine supero longe arcuato, remote longeque 5-spinoso, margine infero substricto nudo, apice angusta, oblique truncata, angulis spina valida armatis, spinulis oblique patulis parallelis. Cellulae superae $27/27 \mu$ basales $18/36 \mu$ trigonis magnis acutis.

San Mateo-Sunchal, No. 4442.

91. *Plagiochila Ambronii* St. n. sp. (Fig. 106, b).

Dioica magna robusta, rigida, flavescens, in cortice laxe caespitans varieque intricata. Caulis ad 7 cm longus, simplex crassus, fusco-rufus. Folia caulina contigua, oblique patula, leviter concava, in plano ovato-oblonga (6,5 mm longa, medio 3,5 mm lata) asymmetrica, margine supero longe arcuato, regulariter remoteque spinoso, margine infero e basi leviter sinuata substricto, superne remote minuteque dentato, apice truncata, dense breviterque sexdentata. Cellulae superae 36/36 μ , basales 36/90 μ trigonis subnullis. Androecia magna, terminalia, longe spicata, spicis longe ramosis irregulariter pinnatis et bipinnatis, patulis.

Tablas 1800 m, No. 4612.

92. **Plagiochila alpina** G.

Tablas 1800 m, No. 2849, in rupibus humidis caespitans.

93. **Plagiochila ampliata** St. n. sp. (Fig. 106, c).

Sterilis magna robusta rigida, flavo-rufescens, in rupibus laxe caespitans lateque expansa. Caulis ad 10 cm longus, simplex vel apice furcatus. Folia caulina conferta, recte patula, valde concava, in plano late triangulata (6,5 mm longa, supra basin 6,5 mm lata) ad medium acereta, apice 0,75 mm lata, tridenticulata, asymmetrica, marginibus nudis, infero substricto, supero e basi late rotundata substricto. Cellulae superae 18/18 μ trigonis parvis, basales 27/63 μ trigonis magnis attenuatis.

Florida de San Mateo, No. 3666.

94. **Plagiochila anguste-oblonga** St. n. sp. (Fig. 107, a).

Sterilis magna rigidula, intense rufescens, in cortice laxe caespitans. Caulis ad 7 cm longus, regulariter remoteque pinnatus, pinnis 12 mm longis, parvifoliis. Folia caulina adulta anguste oblonga (4,5 mm longa, medio 2 mm lata) asymmetrica, margine supero longe arcuato, infero stricto superne remote breviterque dentato, apice 0,75 mm lata, irregulariter quadrispina, spinis longis varie patulis, plus minus longis. Cellulae superae 27/36 μ basales 27/54 μ , parietibus validis.

Tablas, No. 4554, 4656.

95. **Plagiochila apicidens** St. n. sp. (Fig. 107, b).

Sterilis magna robusta, rigida, flavo-rufescens, in cortice laxe caespitans. Caulis ad 8 cm longus, simplex vel parum breviterque ramosus. Folia caulina oblongo-triangulata, (6,5 mm longa, supra basin 5 mm lata) asymmetrica, margine supero e basi late rotundata superne stricto, margine infero stricto, basi utrinque attenuata, longius decurrente, apice obtusa, bidentata, sub apice (in margine infero) regulariter quadridentata. Cellulae superae 27/27 μ trigonis subnodulosi, medio basique 27/90 μ , trigonis majusculis subnodulosi.

Incacorral (I. Reise).

96. **Plagiochila argentina** Gottsche.

Corani 2600 m, No. 5066.

97. **Plagiochila bahiensis** Ldbg.

Corani, No. 3391.

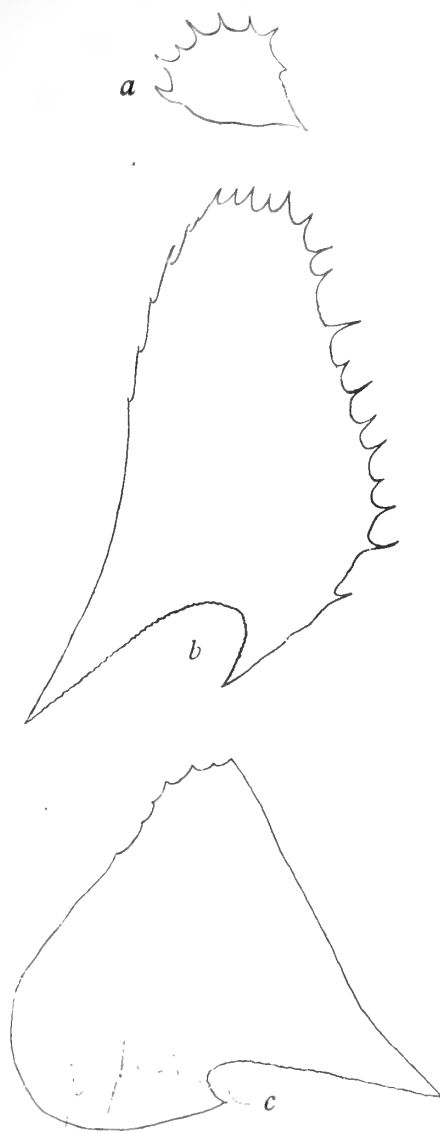


Fig. 106. a *Plagiochila Alberti* St. n. sp. fol. caul.; b *P. Ambroonii* St. n. sp. fol. caul.; c *P. ampliata* St. n. sp. folium caulinum 10:1.

98. **Plagiochila Bakeri** St. n. sp. (Fig. 108).

Sterilis magna, fusco-olivacea, rigida, in cortice dense depresso-caespitans lateque expansa. C a u l i s ad 10 cm longus, valde irregulariter ramosus, ramis primariis 7 cm longis, superne breviter furcatis et repetito-furcatis. F o l i a c a u l i n a imbricata, oblique patula, leviter concava, in plano oblonga

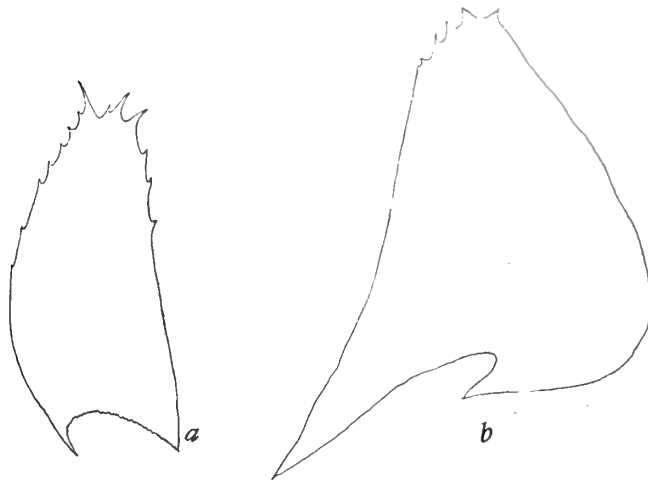


Fig. 107. a *Plagiochila anguste oblonga* St. n. sp. 10:1; b *P. apicidens* St. n. sp. folium caulinum 10:1.

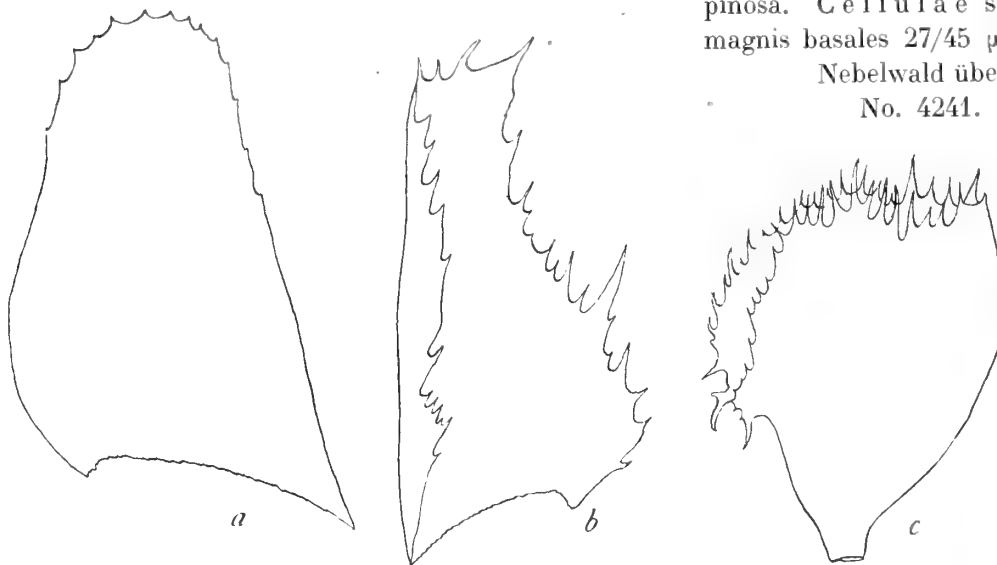


Fig. 108. *Plagiochila Bakeri* St. n. sp. a fol. caulin. 15:1; b fol. florale 15:1; c Perianth 15:1.

3 mm lata) asymmetrica, margine supero e bas, rotundata longe leviterque arcuato, regulariter valideque dentato, dentibus plus minus approximatisi margine infero substricto, nudo, sub apice paucidentato, apice ipso obtusa quadrispina. Cellulae superae 27/27 μ basales 27/54 μ parietibus validis.

Tablas 1800 m, corticola, No. 4657.

101. **Plagiochila barutana** G.

San Miguelito 1500 m, corticola, No. 2746/a; Corani, No. 3379; Cordillera de Santa Cruz, No. 3505.

(4 mm longa, inferne 2,5 mm lata) asymmetrica, margine supero leviter arcuato; infero substricto, apice rotundata, regulariter minuteque dentata. Cellulae superae 27/27 μ trigonis majusculis, basales 27/36 μ , trigonis parvis.

Tablas 1800 m, No. 4525.

99. **Plagiochila barbata** St. n. sp. (Fig. 109).

Dioica major rigida, rufescens, in rupibus dense intricata. Caulis ad 6 cm longus, simplex, sub flore sterili innovatus, ramis innovantibus numerosis, capillaceis, 15 mm longis, minute remoteque foliosis vel omnino nudis. Folia caulina contigua, oblique patula, leviter decurvo-homomalla, valde concava, in plano ovatotrigona (3,5 mm longa, supra basin 2 mm lata) asymmetrica, margine supero e basi rotundata stricto, irregulariter remoteque dentato, margine infero stricto, nudo, apice valde angusta, 0,8 mm lata emarginato-bispinosa. Cellulae superae 27/27 μ trigonis magnis basales 27/45 μ trigonis maximis.

Nebelwald über Comarapa, ca. 2600 m, No. 4241.

100. **Plagiochila Barbeyi** St. n. sp. (Fig. 110, a).

Sterilis majuscula rigida, pallide flavicans, laxe caespitosa. Caulis ad 4 cm longus, validus, apice furcatus, ramis 1 cm longis. Folia caulina conferta, recte patula, canaliculatum concava, in plano oblongo-trigona (4 mm longa, supra basin

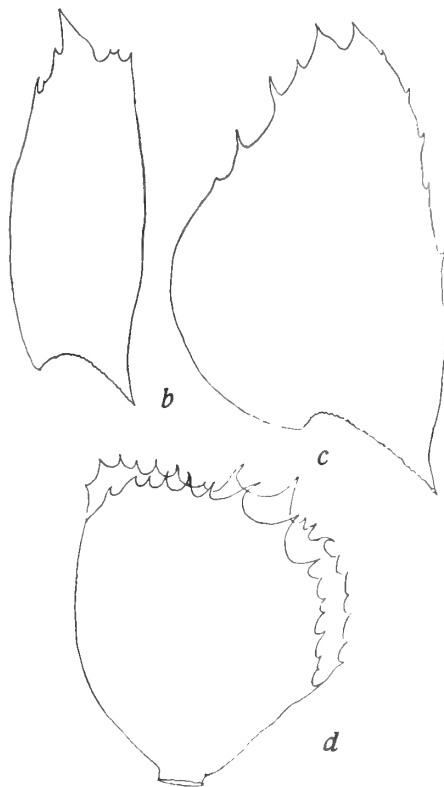


Fig. 109. *Plagiochila barbata* St. n. sp. a, b, c, d folia floralia heteromorpha 14:1.

102. *Plagiochila Beauverdii* St. n. sp. (Fig. 110, b—d).

Dioica gigantea rigidula rufescens; apicibus dilute viridibus. Caulis ad 15 cm longus, parum longeque ramosus, ramis 5 cm longis, sub flore simpliciter innovatis. Folia caulina subcontigua, oblique patula, parum concava, in plano sublinearia (5 mm longa, medio 1,75 mm lata) symmetrica, lata basi inserta, antice anguste decurrentia, apice oblique truncata, quadridentata, dentibus 2—4, valde inaequalibus, sub apice parum remoteque denticulata. Cellulae superae 18/18 μ , trigonis parvis, basales 18/54 μ parietibus trabeculatis. Perianthia (sterilia) late obconica, ore late rotundato regulariter valideque dentato, dentibus late triangulatis cuspidatis. Folia floralia caulinis majora, valde aberrantia (5,5 mm longa, medio 3,75 mm lata) asymmetrica, margine supero e basi valde arcuata substricto, superne remote minuteque dentato, margine infero substricto, nudo, apice angusta, emarginato-bidentata, dentibus triangulatis validis.

Comarapa 2600 m, No. 4262; in ramulis arborum nidulans.



103. *Plagiochila Berggrenii* St. n. sp. (Fig. 111, a).

Sterilis major gracilis rigida, intense rufescens, laxe intricata. Caulis ad 5 cm longus, capillaceus, irregulariter longeque ramosus. Folia caulina remota, recte patula, valde concava, in plano oblongo-obcuneata (3 mm longa, medio 1,5 mm lata) asymmetrica, margine supero quam inferus magis arcuato, remote dentato, dentibus 6—7, validis subaequalibus, margine infero substricto, nudo

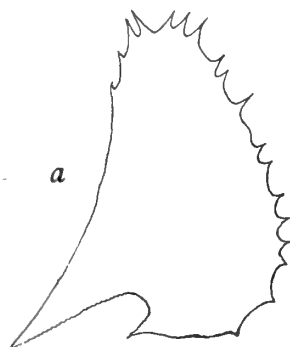


Fig. 110. a *Plagiochila Barbeyi* St. n. sp. fol. caul. 10:1; b *P. Beauverdii* St. n. sp. a fol. caul. 10:1; b fol. flor. 10:1; c Perianth 10:1.

apice oblique truncato, tridentato, dentibus angularibus validis, medio multo minore. Cellulae superae 27/27 μ trigonis majusculis, basales 18/54 μ trigonis magnis ovali-nodulosis.

Tablas 1800 m, No. 4564; in ramis arborum effuse caespitans.

104. *Plagiochila brevivittata* St. n. sp. (Fig. 114, b).

Sterilis medioeris gracilis flaccida, pulvinatim caespitans, terricola. Caulis ad 5 cm longus, remote longeque ramosus, ramis 15—20 mm longis, simplicibus. Folia caulina remotiuscula,

decurvo-homomalla, valde concava vel arcte convoluta, in plano-late trigona (2,5 mm longa, supra basin 2,5 mm lata) symmetrica, margine superiore e basi rotundata leviter arcuato, remote minuteque dentato, margine infero substricto nudo, apice obtusa emarginato-bidentula. Cellulae superae 18/18 μ , trigonis majusculis, in vitta basali 18/54 μ trigonis acutis magnis.

In valle Corani 1800 m, No. 4688.

105. *Plagiochila Bryhnii* St. n. sp. (Fig. 111, c, d).

Dioica magna gracilis flaccida, dilute rufescens, aetate fuscorufa, aliis hepaticis consociata. Caulis ad 9 cm longus, regulariter remoteque ramosus, ramis 15 mm longis parum patulis. Folia caulina opposita, squarrose patula, in plano ovata (4 mm longa, medio 2,75 mm lata) asymmetrica, margine superiore e basi rotun-

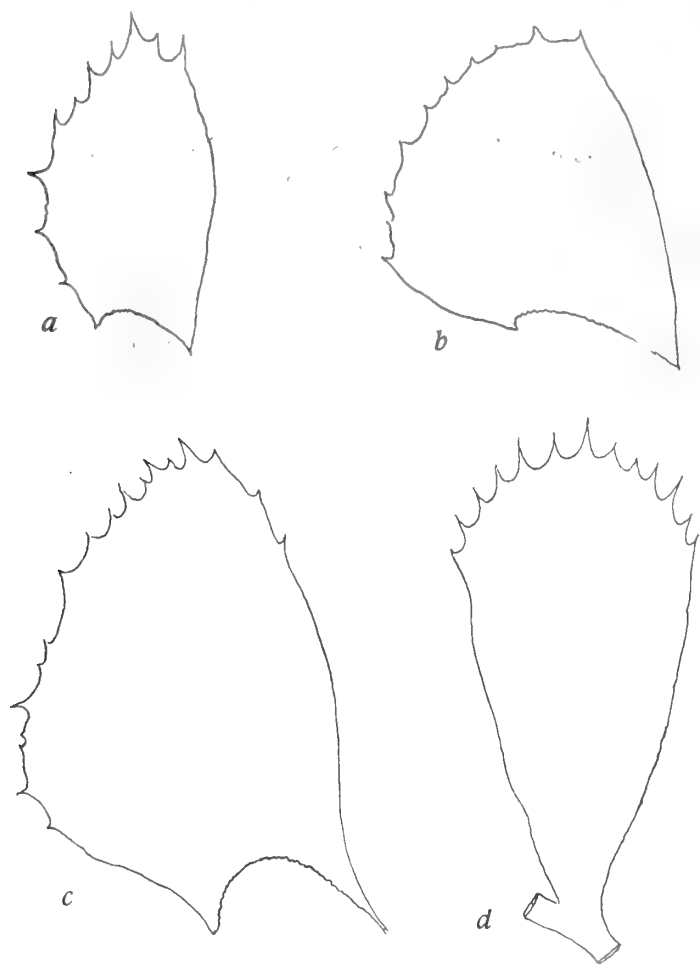


Fig. 111. a *Plagiochila Berggrenii* St. n. sp. fol. caulin. 15:1; b *P. breviovata* St. n. sp. fol. caulin. 15:1; c—d *P. Bryhnii* St. n. sp.; c fol. caul. 15:1; d Perianth 15:1.

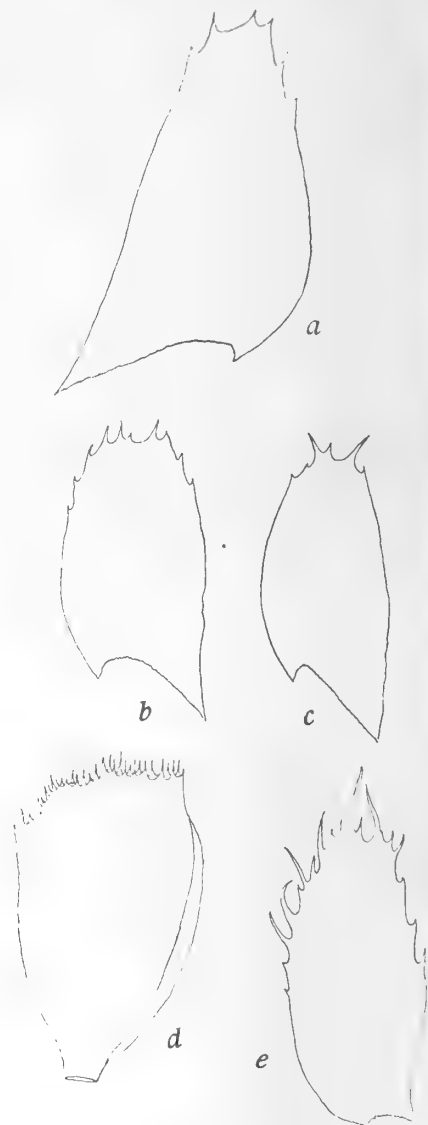


Fig. 112. a *Plagiochila Buchii* St. n. sp. fol. caul. 15:1; b—e *P. Camusii* St. n. sp. b, c fol. caul. 10:1; d fol. flor. 10:1; e Perianth 10:1.

data longe arcuato, remote irregulariterque denticulato, margine infero substricto, superne paucidentato, apice ipso rotundato, similiter armato, basi angustata utrinque breviter decurrentia. Cellulae superae 27/27 μ trigonis parvis, basales 27/45 μ trigonis magnis. Perianthia anguste obconica (4 mm longa, sub apice 2 mm lata) apice late rotundata, regulariter denseque spinosa. Folia floralia caulinis simillima, parum majora. Androecia desunt.

Paracti-Locotal 1800—2000 m, No. 5052.

106. **Plagiochila Buchii** St. n. sp. (Fig. 112, a).

Sterilis magna gracilis flavescens, rigidula, in ramis arborum nidulans et pendula. Caulis ad 8 cm longus, capillaceus, irregulariter remoteque ramosus, ramis simplicibus vel pinnula auctis. Folia caulina contigua, oblique patula, parum concava, in plano anguste oblonga (3 mm longa, supra basin 1,75 mm lata) asymmetrica, margine supero e basi leviter arcuato superne stricto, infero stricto, apice rotundata, tridenticulata, sub apice sparsim similiterque armata. Cellulae superae 27/27 μ , trigonis majusculis, basales 27/36 μ , trigonis subnullis.

San Mateo-Sunchal, No. 4441.

107. **Plagiochila bursata** Ldbg.

Sillar 1800 m, No. 2768.

108. **Plagiochila Camusii** St. n. sp. (Fig. 112, b—e).

Dioica major rigida, rufescens, in cortice laxe intricata. Caulis ad 10 cm longus, validus, parum longeque ramosus. Folia caulina remotiuscula, oblique patula, canaliculatim concava, in plano anguste-oblonga, (4 mm longa, medio 1,75 mm lata) symmetrica, marginibus aequaliter longeque arcuatis, basi oblique truncata, latissime inserta, apice

Fig. 113. *Plagiochila capillicaulis* St. n. sp. a. b fol. caul 15:1; c fol. ramul. 15:1.

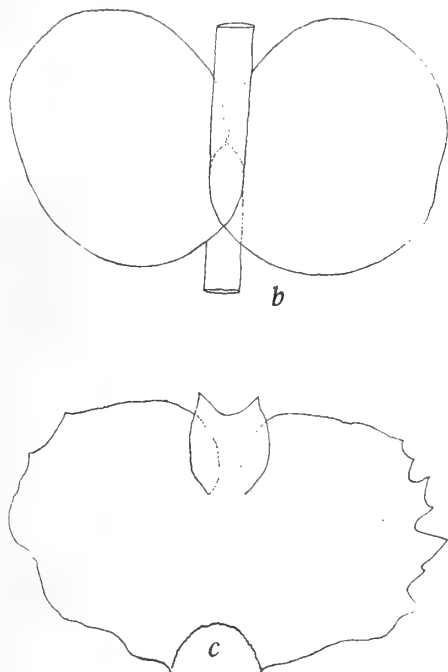
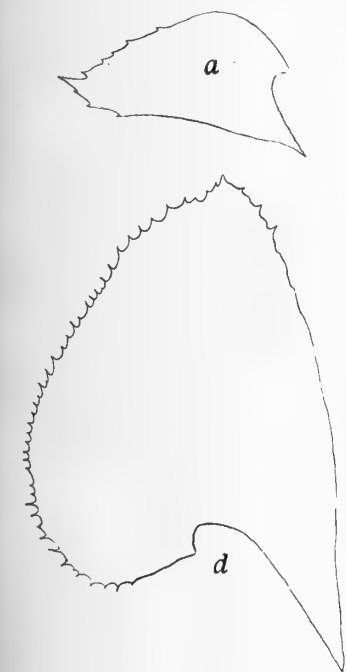
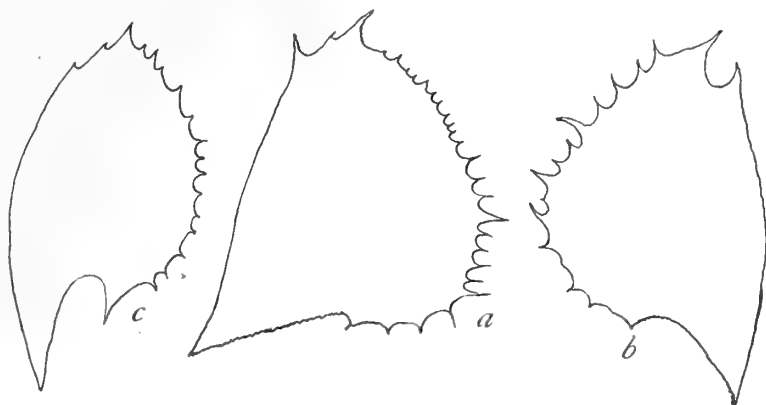


Fig. 114. a *Plagiochila Caversii* St. n. sp. 7:1; b—c *P. connatistipula* St. n. sp. b fol. caul. 10:1; c Involuerum 10:1; d *P. Corbieri* St. n. sp. fol. caulinum 7:1.

obtusum, irregulariter trispinosum, sub apice nuda vel paucidenticulata. Cellulae superae 18/18 μ , basales 18/36 μ , trigonis nullis. Perianthia magna, 4 mm longa, oblongo-obconica, ore dense longeque ciliato. Folia floralia caulinis similia, similiter armata. Androecia desunt.

Tablas 1800 m, No. 4534.

109. **Plagiochila capillicaulis** St. n. sp. (Fig. 113).

Sterilis mediocris gracillima, flavescens, in rupibus pulvinatim caespitans. Caulis ad 4 cm longus, tenuis, irregulariter ramosus, ramis sparsis longiusculis, interdum fasciculatim aggregatis. Folia caulina imbricata, cauli a latere appressa, parum concava, in plano ovato-trigona (2,5 mm longa supra basim 2 mm lata) subsymmetrica, margine supero longe arcuato

irregulariter denseque dentato, hic illic spinoso, margine infero substricto nudo, apice 0,75 mm lata, oblique truncata, angulis valide dentatis, ad medium inserta, basi antica truncato-rotundata similiter spinosa. Cellulae superae 18/18 μ , basales 18/36 μ , trigonis majusculis acutis.

In valle Chocaya 3400 m, No. 3613.

110. *Plagiochila cava* St.

Comarapa 2600 m, No. 3786; Cordillera de Santa Cruz, No. 4000 m; corticola, effuse intricata.

111. *Plagiochila Caversii* St. n. sp. (Fig. 114, a).

Dioica magna gracilis rigidula, rufescens, in cortice laxe intricata vel pendula. Caulis ad 11 cm longus, capillaceus, parum longeque ramosus, ramis 6 cm longis, sparsim remoteque pinnatis, pinnulis 1 cm longis. Folia caulina conferta, oblique patula, decurva, valde concava, in plano oblongo-trigona (4,5 mm longa, supra basim 4 mm lata) asymmetrica, margine supero e basi rotundata longe arcuato, regulariter remoteque denticulato, ipsa basi nudo, margine infero substricto, nudo, sub apice paucidentato, apice ipso angustissimo (0,5 mm) oblique emarginato-bidentulo. Cellulae superae



Fig. 115. a—c *Plagiochila deciduifolia* St. n. sp. a, b folia caulina 15:1; c folia floralia 15:1; d folium florale 15:1; e Perianthium 15:1; f folium caulinum 15:1.

27/27 μ , basales 27/54 μ trigonis majusculis, saepe truncatis et interrupte trabeculatis. Androecia sparsa, in medio ramorum longe spicata, bracteis 8—10-jugis. Reliqua desunt.

San Mateo-Sunchal, No. 4467.

112. *Plagiochila choachina* G.

Corani, No. 3405.

113. *Plagiochila cobana* St.

Sillar, No. 2719/a.

114. *Plagiochila connatistipula* St. n. sp. (Fig. 114, b—c).

Dioica major valida, rufescens, apicibus virescentibus, in cortice laxe caespitans. Caulis ad 8 cm longus, parum longeque ramosus, ramis 2—3 cm longis. Folia caulina imbricata, erecto-homomalla, opposita, brevissima basi inserta, in plano subrotunda (3 mm longa, 3,5 mm lata) integerrima. Cellulae superae 18/18 μ , trigonis grosse nodulosis, basales 18/54 μ , trigonis grosse acutis, cuticula verrucosa. Perianthia late cylindrica, triplo longiora quam lata, ore contracto plicato integro. Folia floralia caulinis subaequimagna, apice varie breviterque dentata; amphigastrium florale parvum, late ovatum, foliis utrinque connatum, apice late emarginato-bidentatum. Androecia desunt.

Nebelwald über Comarapa, ca. 2600 m, No. 4195.

115. *Plagiochila contingens* G.

Sillar 1800 m, No. 2759.

116. *Plagiochila Corbieri* St. n. sp. (Fig. 114, d).

Sterilis maxima, valida et robusta, in cortice laxe caespitans, in ramulis arborum pendula. Caulis ad 12 mm longus, simplex validus fuscus, parum longeque ramosus, ramis 6 cm longis confertis, fasciculatim approximatis. Folia caulina imbricata, oblique patula, parum concava in plano, late trigona, maxima (8 mm longa, supra basin 6 mm lata) symmetrica, margine superiore basi valde ampliata semirotundo, superne substricto, regulariter denseque spinuloso, margine inferiore vix arcuato, nudo, sub apice paucidentato. Cellulae superae $36/36\ \mu$, trigonis majusculis, mediae $54/54\ \mu$ trigonis parvis, basales $27/90\ \mu$ trigonis nullis.

Comarapa 2600 m, No. 4328.

117. *Plagiochila cuencensis* St. n. sp.

Sterilis major purpurea rigidula, in cortice pulvinatim caespitans. Caulis ad 5 cm longus, simplex vel furcatus. Folia caulina conferta, erecto-homomalla, valde concava, in plano reniformia (2,75 mm longa, medio 3,5 mm lata) integerrima. Cellulae superae $27/27\ \mu$ trigonis maximis nodulosis, basales $27/72\ \mu$ trigonis giganteis ovalibus, saepe trabeculatim confluentibus.

Sillar 1800 m, No. 2709; Comarapa, ca. 2600 m, No. 4245.

118. *Plagiochila cuervina* G.

Corani, No. 3404.

119. *Plagiochila deciduifolia*

St. n. sp. (Fig. 115).

Dioica, minor, flavicans, rigidula, rupicola laxe intraicat.

Caulis ad 35 mm longus, ca-

pillaceus, parum longeque ramosus. Folia caulina remotiuscula, oblique patula, valde concava, in plano obovato-obconica (1,67 mm longa, medio 1,17 mm lata) symmetrica, marginibus inferis nudis, superis longe remoteque ciliatis. Cellulae superae $27/27\ \mu$ parietibus validis, basales $27/36\ \mu$ trigonis magnis in parietibus validis. Perianthia obconica, ore bilabiato, labiis apice rotundatis, grosse irregulariterque spinosis. Folia floralia ovata, 3 mm longa, medio 2 mm lata, margine superiore irregulariter dentato et spinoso, margine inferiore nudo, apice late truncata, irregulariter breviterque sexdentata.

Comarapa, 2600 m, No. 3943; Rio Tocorani, No. 4023.

120. *Plagiochila decurvo-homomalla* St. n. sp. (Fig. 116, a).

Sterilis minor gracilis rigidus, flavescens, aliis hepaticis consociata. Caulis ad 3 cm longus, parum longeque ramosus. Folia caulina remotiuscula, decurvo-homomalla, involuta, in plano ovata, asymmetrica, margine supero bene arcuato, irregulariter valdeque sexdentato, dentibus plus minus approximatis, margine infero substricto vel leviter arcuato nudo, apice



Fig. 116. a *Plagiochila decurvo-homomalla* St. n. sp. fol. caul. 15: 1; b *P. Delognei* St. n. sp. folium caulinum 15: 1; c *P. densiramosa* St. n. sp. folium caulinum 20: 1.

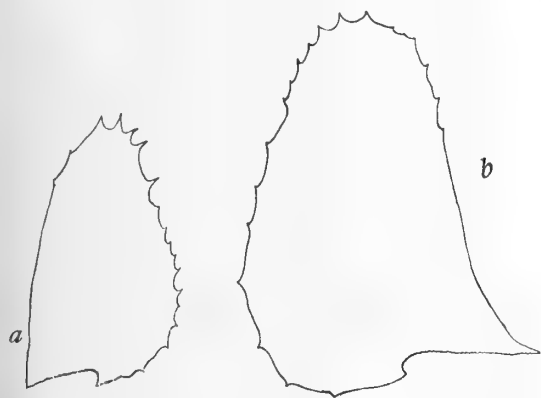


Fig. 117. a *Plagiochila Doerfleri* St. n. sp. fol. caulin. 10: 1; b *P. Douini* St. n. sp. fol. caulin. 20: 1.

angusta, truncata trispinosa spinis validis divergentibus. Cellulae superae $18/18 \mu$ trigonis magnis truncatis, basales $18/36 \mu$, trigonis majusculis subnodulosis.

San Mateo-Sunchal, No. 4459.

121. *Plagiochila Delognei* St. n. sp. (Fig. 116, b).

Sterilis medioeris rufescens, rigida, in cortice laxe caespitans. Caulis ad 8 cm longus, parum longeque ramosus. Folia caulina conferta, oblique patula, parum concava, in plano oblongo-trigona (3 mm longa, supra basin 2 mm lata) symmetrica, margine supero e basi rotundata stricto, regulariter remoteque dentato, margine infero stricto, nudo, apice 0,5 mm lata, truncata, quadridentata, sub apice, paucidentata. Cellulae superae $18/18 \mu$, trigonis magnis, basales $27/45 \mu$, parietibus interrupte trabeculatis.

Comarapa 2600 m, No. 4265.

122. *Plagiochila densiramosa* St. n. sp. (Fig. 116, c).

Dioica magna rigida, rufo-brunnea, in cortice laxe intricata. Caulis ad 8 cm longus, validus, regulariter longeque ramosus, ramis 2—4 cm longis, simplicibus, late divergentibus. Folia caulina oblique patula, canaliculatim concava, marginibus plus minus arcte recurvis, in plano late triangulata (4,25 mm longa, supra basin 3,5 mm lata) latissima basi inserta, asymmetrica, margine supero e basi rotundata stricto, irregulariter dentato, sinus interdentalibus arcte recurvis, margine infero arcte recurvo, stricto nudo, apice truncata, 1 mm lata breviter quadridenticulata. Cellulae superae $27/27 \mu$, basales $27/45 \mu$, trigonis magnis acutis. Androecia in ramis numerosa, interdum repetita, bracteis sexjugis.

Bolivia, sine loco natali.

123. *Plagiochila Doerfleri* St. n. sp. (Fig. 117, a).

Dioica, minor rigida, rufescens, laxe caespitans. Caulis ad 5 cm longus, remote longeque ramosus, ramis recte patulis vel squarrose recurvis. Folia caulina valde remota, oblique patula, parum concava, in plano oblonga (1,17 mm longa, medio 0,67 mm

lata) asymmetrica, margine supero e basi leviter arcuata stricto, regulariter dentato, dentibus superis remotis, margine infero stricto nudo vel sub apice remote paucidentato, apice ipso angusto truncato, trispinuloso. Cellulae superae $27/27 \mu$, basales $27/54 \mu$, parietibus validis. Androecia in caule ramisque terminalia, longe spicata, bracteis 6—8 jugis.

San Mateo-Sunchal, No. 4474.

124. *Plagiochila Douini* St. n. sp. (Fig. 117, b).

Sterilis maxima robusta rigida, olivacea, in cortice laxe caespitans. Caulis ad 12 cm longus, validissimus, parum longeque ramosus. Folia caulina imbricata, recte patula, concava, in plano oblongo-trigona (7,5 mm longa, supra basin 5 mm lata) asymmetrica, margine supero e basi rotundata longe



Fig. 118. *Plagiochila effuse-intricata* St. n. sp. a fol. caul. 15:1; b, c fol. flor. 15:1; d perianth. juvenile 15:1.

leviterque arcuata, remote minuteque dentata, margine infero stricto, sub apice paucidenticulato, apice ipso truncato-rotundato, similiter armato. Cellulae superae 45/45 μ , basales 45/72 μ , trigonis majusculis. Comarapa 2600 m, No. 4221.

125. **Plagiochila dubia** L. et G.

Florida de San Mateo (2000 m), No. 3656; Cordillera de Santa Cruz, No. 3556, 3499; Abra de San Mateo (3000 m).

126. **Plagiochila Duriei** G.

Sillar, No. 2708/a; Rio Tocorani, No. 4028.

127. **Plagiochila echinella** G.

Corani, No. 3390.

128. **Plagiochila ecuadorensis** St.

Cordillera de Santa Cruz, No. 3529.

129. **Plagiochila effuse-intricata** St. n. sp. (Fig. 118).

Dioica major gracilis rigida, in rupibus laxae caespitosa. Caulis ad 5 cm longus, irregulariter longeque ramosus. Folia caulina imbricata, oblique patula, decurvo-homomalla maximeque concava vel involuta, in plano obovato-obconica (3 mm longa, medio 1,5 mm lata) symmetrica, margine supero et infero aequaliter arcuato, inferne nuda superne remote valideque spinosa, apice obtusa bispinulosa. Cellulae superae 18/27 μ basales 18/36 μ trigonis majusculis. Perianthia (sterilia) obconica, compressa, ore semicirculari, labiis irregulariter denseque spinosis. Folia floralia caulinis multo majora (4,5 mm longa, medio 2,5 mm lata) similiter armata, spinis quidem multo magis validis.

Tablas, No. 4564/a.

130. **Plagiochila effuse-ramea** St. n. sp. (Fig. 119, a).

Sterilis, major, robusta, flaccida, flavo-rufescens, in cortice laxae caespitans. Caulis ad 6 cm longus, parum longeque ramosus, ramis simplicibus vel longe pinnatis. Folia caulina contigua, oblique patula, parum concava, in plano ovato-triangularata (4 mm longa, supra basin 3 mm lata) asymmetrica, margine supero e basi rotundata substricto, superne remote denticulato, margine infero stricto, sub apice similiter armato, apice quam basis duplo angustiore, oblique truncato, dentato, dentibus minimis, majoribus interjectis. Cellulae superae 27/27 μ basales 27/45 μ trigonis magnis acutis. Comarapa 2600 m, No. 3821.



Fig. 119. a *Plagiochila effuseramea* St. n. sp. fol. caul. 10: 1; b *P. emarginato-bidentula* St. n. sp. fol. caul. 20: 1

131. **Plagiochila emarginato-bidentula** St. n. sp. (Fig. 119, b).

Sterilis pusilla capillacea flaccida, flavescens, aliis hepaticis consociata. Caulis ad 2 cm longus, parum longeque ramosus tenuis. Folia caulina remota, oblique patula, valde concava, subinvoluta, in plano ovata (2,5 mm longa, medio 1,5 mm lata) symmetrica, margine supero regulariter remoteque dentato, infero nudo, apice emarginata (0,25 mm



Fig. 120. a *Plagiochila falcato-oblonga* St. n. sp. fol. caul. 10: 1; b *P. Familleri* St. n. sp. fol. caul. 15: 1.

lata) angulis spina brevi valida armatis, spinis parallelis oblique patulis. Cellulae superae 27/27 μ , basales 27/36 μ , trigonis majusculis, acutis.

Cerro de Malaga, No. 4414.

132. **Plagiochila falcata** St.

Rio Tocorani, No. 4110.

133. **Plagiochila falcato-oblonga** St. n. sp. (Fig. 120, a).

Dioica magna, gracillima, rigidula, flavescens, apicibus virescentibus, effuse caespitans. Caulis ad 9 cm longus, repetito-furcatus, ramis late divergentibus, primariis ad 3 cm longis, reliquis multo minoribus, 8 mm longis. Folia caulina conferta, oblique patula, maxime concava, subcanaliculata, in plano ovato-oblonga (3,5 mm longa, medio 2 mm lata) symmetrica, basi utrinque late decurrentia, margine supero regulariter breviterque dentato, dentibus validis, inferne nudo, margine infero nudo, sub apice paucidentato, apice ipso 5 mm lata, truncato-rotundata, irregulariter quadridentata. Cellulae superae 18/36 μ , trigonis parvis, parietibus validis, basales 18/45 μ , trigonis parvis, parietibus tenuibus. Folia floralia caulinis parum majora, simillima. Perianthia desunt.

Tablas, No. 4555.



Fig. 121. *Plagiochila Farlowii* St. n. sp. a fol. caul. 10:1; b Perianth cum. foliis floralibus 10:1.

134. **Plagiochila Familleri** St. n. sp. (Fig. 120, b).

Tablas, No. 4555.

Dioica mediocris rigida, gracilis, fusco-purpurea, laxe intricata. Caulis ad 6 cm longus, sparsim longeque ramosus, flagellis posticis capillaceis sparsis, minutifoliis, longiusculis. Folia caulina conferta, decurvo-homomalla, valde concava, in plano subrotunda (3,5 mm longa, medio 3 mm lata) symmetrica, margine supero regulariter spinuloso, basin versus spinoso et duplicatim spinoso, margine infero nudo, apice obtuso, emarginato-bispinoso, spinis oblique patulis parallelis. Cellulae superae 18/18 μ , trigonis grosse nodulosis, basales 18/54 μ , parietibus validis. Perianthia terminalia, late campanulata, compressa, apice late truncata, irregulariter breviterque spinulosa et dentata. Folia floralia intima caulinis vix majora, simillima.

Comarapa 2600 m,
No. 4196.

135. **Plagiochila Farlowii** St. n. sp. (Fig. 121).

Dioica major rigida, flavo-rufescens, in cortice laxe intricata. Caulis ad 7 cm longus, irregulariter longeque ramosus, ramis primariis ad 4 cm longis, simplicibus vel sparsim breviterque ramosis. Folia caulina remota, recte patula, canaliculatim concava, in plano linearia (4,5 mm longa, 1,5 mm lata) apice late acuminata, remote valideque paucidentata. Cellulae superae 36/36 μ , basales 27/54 μ , trigonis subnullis. Perianthia

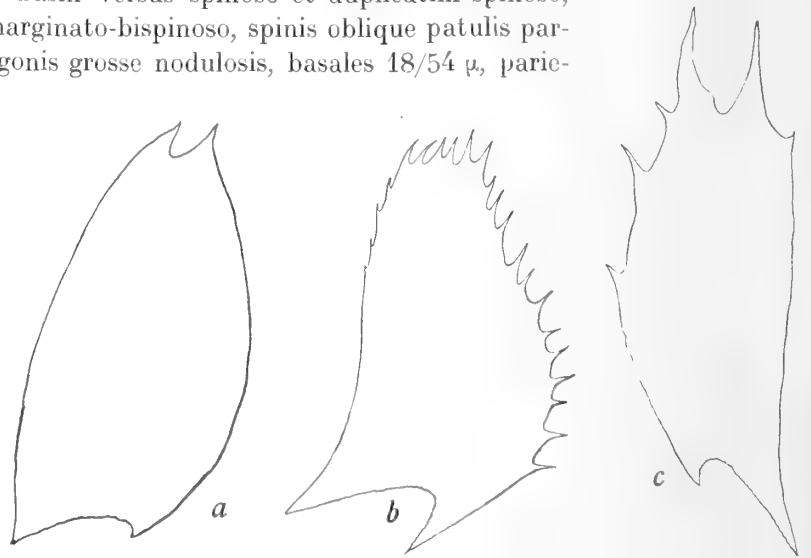


Fig. 122. a *Plagiochila flavorufescens* St. n. sp. folium caulinum 15:1; b *P. gamma* St. n. sp. folium caulinum 8:1; c *P. Geppii* St. n. sp. folium caulinum 10:1.

(sterilia) oblongo-obconica, ore truncato breviter armato sublacerato. Folia floralia perianthio aequilonga, caulinis simillima. Androecia desunt.

Tablas 1800 m, No. 4633.

136. **Plagiochila flabellifrons** S.

Cordillera de Santa Cruz, No. 3519.

137. **Plagiochila flavo-rufescens**. St. n. sp. (Fig. 122a).

Sterilis magna gracilis rigida, flavo-rufescens, in cortice laxe intricatim caespitans. Caulis ad 9 cm longus, irregulariter ramosus, ramis 1—4 cm longis, sparsis. Folia caulina remota, decurva, in plano oblonga (4 mm longa, medio 2 mm lata) symmetrica, apice breviter exciso-bidentata, dentibus late triangulatis, acutis, ceterum integerrima. Cellulae superae $18/54 \mu$, basales $18/72 \mu$ parietibus validis, trigonis minus distinctis.

Tablas 3400 m, No. 2788.

138. **Plagiochila fusco-lutea** Tayl.

Tablas 3400 m, No. 2841.

139. **Plagiochila Friesei** St.

Locotal 1800 m, No. 5058; Comarapa, No. 4238, 4288.

140. **Plagiochila gamma** St. n. sp. (Fig. 122, b).

Dioica magna robusta flaccida, dilute brunnea vel viridis, in ramulis arborum nidulans et pendula. Caulis ad 7 cm longus, simplex. Folia caulina imbricata, subrecte patula, parum concava, in plano oblongo-trigona (7 mm longa, supra basin 4,5 mm lata) asymmetrica, margine supero e basi valde arcuata stricto regulariter denseque ciliato, margine infero longe in caule decurrente, substricto, nudo, sub apice parum remoteque spinuloso, apice ipso 1,25 mm lato, recte truncato, irregulariter denseque ciliato. Cellulae superae $36/54 \mu$ trigonis majusculis acutis, basales $27/72 \mu$, trigonis magnis acutis, saepe trabeculatum confluentibus. -Androecia longe spicata, spicis 3—4, in caule terminalibus, fasciculatim insertis, elongatis, simplicibus, bracteis ad 30 jugis.

Tablas 1800 m, No. 4624.

141. **Plagiochila geniculata** Ldbg.

Sillar 1800 m, No. 2686/b.

142. **Plagiochila Geppii** St. n. sp. (Fig. 122, c).

Sterilis pusilla gracillima, rigidula, flavo-rufescens, in cortice laxe caespitans maximeque intricata. Caulis ad 25 mm longus, capillaceus, sparsim longeque ramosus. Folia caulina remota, oblique patula, angustelanceolata (2,33 mm longa, medio 0,83 mm lata) symmetrica, basi antica longe in caule decurrentia, margine supero leviter arcuato, remote longeque trispinoso, margine infero stricto nudo, apice grosse bifido, sinu obtuso laciniis 0,5 mm longis porrectis. Cellulae superae $18/18 \mu$ trigonis minutis, basales $27/36 \mu$, parietibus validis.

Tablas, No. 4617.



Fig. 123. *Plagiochila grossiseta* St. n. sp. a folium caulinum 10:1; b Perianth 10:1.



Fig. 124. *Plagiochila grossitexta* St. n. sp. a fol. caul. 30:1; b fol. flor. 10:1; c Perianth 10:1.

143. *Plagiochila graclicauilis* S.

Rio Tocorani, No. 4103.

144. *Plagiochila grossisetia* St. n. sp. (Fig. 123).

Dioica major valida rigida, rufo-brunnea, in cortice laxe caespitans. Caulis ad 8 cm longus, longeramosus, ramis numerosis, 25 mm longis, recte patulis irregulariter insertis, simplicibus, rarius pinnula auctis. Folia caulina conferta, sursum recurva, valde concava, in plano rotunda (3,5 mm longa et lata) profunde sinuatim inserta, margine supero regulariter valideque spinoso, spinis approximatis, margine infero nudo, apice acuminata, longissima seta armata. Cellulae superae 18/18 μ trigonis maximis nodulosis, basales 18/36 μ trigonis maximis ovalibus, saepe trabeculatim confluentibus. Perianthia late obovato-obconica, compressa, apice late truncata, labiis dense grosseque spinosis. Folia floralia caulinis aequimagna, simillima. Androecia desunt.

Nebelwald über Comarapa,
No. 3947.

145. *Plagiochila grossitexta* St. n. sp. (Fig. 124).

Dioica magna robusta rigida, rufo-brunnea, in cortice laxe caespitans longeque prostrata. Caulis ad 9 cm longus, superne sparsim longeque ramosus, ramis 3 cm longis, sub flore furcatim innovatis. Folia caulina remotiuscula, oblique patula, concava, in plano late ovata (1,17 mm longa, 1 mm lata) asymmetrica, margine supero longe arcuato, regulariter valideque spinuloso, margine infero similiter arcuato, nudo, in caule longe decurrente, apice obtuso validius spinoso. Cellulae superae 18/27 μ , trigonis grosse nodulosis, basales 18/54 μ nodulis giganteis. Perianthia maxima, late obconica, ore irregulariter dentato et spinoso. Folia floralia caulinis simillima aequimagna. Androecia desunt.



Fig. 124. *Plagiochila heterofolia* St. n. sp. a, b folia caulina 15: 1.

Perianthia late oblongo-elliptica (5 mm longa, 2,75 mm lata) eplicata, ore parvo irregulariter dentato et duplicatim dentato. Folia floralia intima subrotunda (3,5 mm longa et lata) apice profunde irregulariterque laciniata, laciniis plus minus longis, varie denticulatis et angulatis. Androecia in medio ramorum, longe spicata, saepe in ramo repetita, bracteis 10—12 jugis.

Quebrada de Pocona 2800 m, No. 5151; Comarapa, No. 4195.

147. *Plagiochila heterofolia* St. n. sp. (Fig. 126).

Sterilis mediocris gracilis, pallide flavicans, laxe caespitosa. Caulis ad 5 cm longus, irregulariter ramosus, ramis 1—2 cm longis, longioribus pinnula auctis. Folia caulina contigua, oblique patula, canaliculatim concava, in plano ovato-oblonga (3,5 mm longa, medio 2 mm lata) asymmetrica, margine supero leviter arcuato, infero substricto, apice oblique truncata trispinosa, margine supero irre-

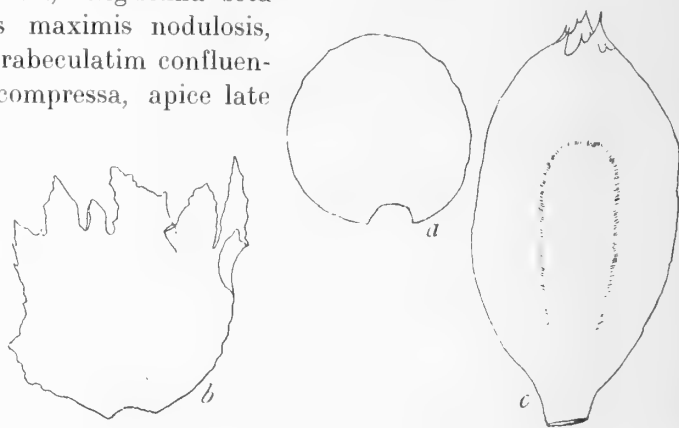


Fig. 125. *Plagiochila Hariotii* St. n. sp. a fol. caul. 10: 11; b fol. flor. 10: 1; c Perianth 10: 1.

giganteis. Perianthia maxima, late obconica, ore irregulariter dentato et spinoso. Folia floralia caulinis simillima aequimagna. Androecia desunt.

Tablas 3400 m, No. 2916, 2803, 2872;
Rio Saujana 3400 m, No. 3220, 3232;
Incacorral 2200 m, No. 4978.

146. *Plagiochila Hariotii* St. n. sp. (Fig. 125).

Dioica magna flaccida brunnea, profunde pulvinata. Caulis ad 6 cm longus, tenuis, sparsim longeque ramosus. Folia caulina conferta, erecto-homomalla, opposita, in plano rotunda (2,5 mm longa et lata) integerrima. Cellulae superae 18/18 μ , trigonis majusculis nodulosis, basales 18/36 μ trigonis majusculis sub-

gulariter remoteque spinoso, spinis plus minus remotis, varie patulis. Cellulae superae 18/18 μ , trigonis parvis, basales 18/36 μ , trigonis magnis.

Nebelwald über Comarapa, No. 3948.

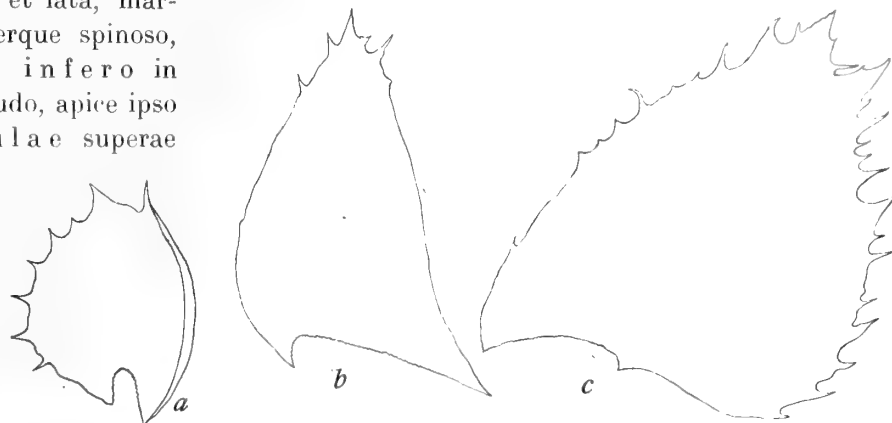
148. **Plagiochila Hieronymi** St. n. sp.

Sterilis parva rigida rufescens, pulvinatim caespitans. Caulis ad 2 cm longus, capillaceus, simplex vel sparsim longeque ramosus. Folia caulina confertissima, arrecta, parum concava, in plano rotunda, 1 mm longa et lata, margine supero dense regulariterque spinoso, spinis leviter hamatis, margine infero in caule longe decurrente, ubique nudo, apice ipso spinis maximis armato. Cellulae superae 27/27 μ , basales 27/45 μ , trigonis magnis acutis.

Cerro Tunari 4700 m,
No. 4930/c.

149. **Plagiochila homochroma** S.

Cordillera de Santa
Cruz, No. 3526.



150. **Plagiochila huatuscana** G.

Florida de San Mateo
2000 m, No. 3654.

Fig. 127. a *Plagiochila Jaapii* St. n. sp. fol. caulinum 10: 1; b—c *P. Jensenii* St. n. sp. b fol. caul. 8: 1; c fol. flor. 8: 1.

151. **Plagiochila Jaapii** St. n. sp. (Fig. 127, a).

Sterilis pusilla flaccida virens, in rupibus caespitans. Caulis ad 2 cm longus, parum longeque ramosus. Folia caulina leviter imbricata, decurvo-homomalla, in plano subrotunda (3 mm longa, medio 2,75 mm lata) subsymmetrica, margine supero bene arcuato, remote longeque sexspinoso, margine infero similiter arcuato, nudo, arcte incurvo, apice truncata 0,5 mm lata, angulis grosse spinosis, spinis oblique patulis, subparallelis. Cellulae superae 18/18 μ , basales 18/54 μ , trigonis parvis. Comarapa 2600 m, No. 4256.

152. **Plagiochila Jensenii** St. n. sp. (Fig. 127, b—c).

Sterilis, gigantea robusta rigida, flavescens, in cortice laxo caespitans vel pendula. Caulis ad 12 cm longus, fuscus, validus, parum longeque ramosus. Folia caulina opposita, parum imbricata, recte patula, parum concava, in plano oblongo-trigona (6 mm longa, supra basin 3,5 mm lata) asymmetrica, margine supero e basi leviter rotundata stricto, margine infero leviter sinuato vel stricto, apice acuta, sub apice paucispinosa. Cellulae superae 27/27 μ mediae 27/36 μ , trigonis maximis, basales 27/54 μ parietibus grosse trabeculatis.



Fig. 128. *Plagiochila informifolia* St. n. sp. a fol. adultum 10: 1; b fol. ramul. 10: 1.



Fig. 129. *Plagiochila Inuensis* St. n. sp. a, b folia caulina 10: 1.

Corani 2600 m, No. 5059.

153. *Plagiochila implexa* L. et G.

Quebrada de Pocona 2800 m, No. 5135.

154. *Plagiochila informifolia* St. n. sp. (Fig. 128).

Dioica magna robusta, intense viridis, rigidula, in cortice laxe caespitans. Caulis ad 7 cm longus, regulariter breviterque ramosus, paucis ramis longioribus interjectis similiter ramosis. Folia caulina conferta, oblique patula, canaliculatim concava, in plano oblongo trigona (4,5 mm longa, supra basin 3 mm lata) latissima basi inserta, margine superiore basi leviter arcuata stricto, irregulariter breviterque dentato, margine inferiore stricto, nudo, sub apice paucidentulato, apice ipso truncato (1,25 mm lato) similiter armato. Folia ramulina angustiora, similiter armata. Cellulae superae 27/27 μ , trigonis parvis attenuatis, basales 18/45 μ trigonis majusculis acutis. Perianthia oblongo-obconica, ore truncato dense valideque dentato. Folia floralia caulinis subaequalia. Androecia desunt.

In valle Corani 1800 m, No. 4744.

155. *Plagiochila Inuensis* St. n. sp. (Fig. 129).

Sterilis mediocris flaccida flavescens, in rupibus dense depresso-caespitans. Caulis ad 5 cm longus, dense longeque ramosus, ramis simplicibus, paucis elongatis sparsim pinnatis. Folia caulina contigua, oblique patula, parum decurva, in plano late trigona (3 mm longa, supra basin 3 mm lata) asymmetrica, margine superiore basi semirotonda stricto, irregulariter dentato, hic illic spinoso, margine inferiore stricto nudo, apice 0,75 mm lato, oblique truncata tridentata. Cellulae superae 18/18 μ trigonis majusculis, basales 27/45 μ trigonis magnis truncatis.

Nebelwald über Comarapa, No. 4259.

156. *Plagiochila jovoensis* St.

Samaipata 2000 m, No. 4122.

157. *Plagiochila lacerifolia* St. n. sp. (Fig. 130).

Sterilis major gracillima rigidula, pallide flavicans, in cortice dense depresso-caespitans lateque expansa. Caulis ad 5 cm longus, capillaceus, parum longeque ramosus. Folia caulina remata, oblique patula, parum concava, in plano obovato-obcuneata (25 mm longa, medio 1,25 mm lata) symmetrica, margine superiore leviter arcuato, quadridentato, dentibus inferioribus minutis, superioribus multo majoribus, elongatis, margine inferiore stricto nudo vel sub apice unidentato, apice ipso oblique truncato, grosse bifido, laciniis lanceolatis aequimagnis vel inaequalibus; adsunt folia apice varie denseque spinosa sublacerata.

Cordillera de Santa Cruz, No. 3901.

158. *Plagiochila Lachenaudii* St. n. sp. (Fig. 131).

Sterilis major rigida, flavo-rufescens, in ramulis arborum nidulans, effuse caespitosa. Caulis ad 7 cm longus, fuscus, regulariter bipinnatus, ramis primariis 3 cm longis, remote breviterque pinnatis. Folia caulina



Fig. 130. *Plagiochila lacerifolia* St. n. sp. a fol. caul. 30: 1; b fol. flor. 30: 1; c Perianth 30: 1.

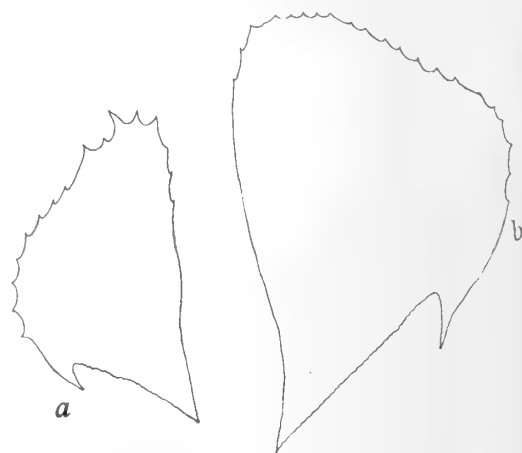


Fig. 131. *Plagiochila Lachenaudii* St. n. sp. a fol. ramul. 10: 1; b fol. caul. 10: 1.

parum imbricata, oblique patula, parum concava, in plano oblonga (3,5 mm longa, medio 2,25 mm lata) asymmetrica, margine supero e basi leviter rotundata stricto, regulariter breviterque dentato, margine infero stricto, nudo, sub apice paucidentulato, apice ipso 0,75 mm lato, emarginato-tridentato, dentibus validis divergentibus. Cellulae superae 18/27 μ , basales 18/36 μ , trigonis magnis.

Nebelwald über Comarapa, No. 4242.

159. **Plagiochila Lacouturei** St. n. sp. (Fig. 132, a—b).

Sterilis pusilla rigida et fragilis, rufescens, dense pulvinata vel laxe intricata. Caulis ad 2 cm longus, parum longeque ramosus. Folia caulina imbricata, oblique patula, leviter decurva, in plano late rotundato-obconica (2 mm longa, medio 1,5 mm lata, basi 0,5 mm lata) valde asymmetrica, margine supero valde arcuato, irregulariter denseque spinoso, margine infero substricto nudo apice profunde exciso-bispinoso (sinu 0,5 mm lato) segmentis e lata basi apiculatis. Cellulae superae 18/18 μ , basales 18/36 μ , trigonis ubique magnis acutis.

Nebelwald über Comarapa, No. 4201.

160. **Plagiochila latissima** St. n. sp. (Fig. 132, c).

Sterilis magna, robusta, rigida, flavo-rufescens, in cortice dense depresso caespitans. Caulis ad 10 cm longus, simplex vel furcatus, ramis ad 4 cm longis. Folia caulina conferta, oblique patula, valde concava, marginibus plus minus involutis, in plano subrotunda (4,5 mm longa et lata) antice quidem longissime decurrentia, margine supero (e basi truncata subinde semicirculari) longe arcuato, apice apiculata, sub apice remote minuteque dentata, ceterum integerrima. Cellulae superae 27/27 μ , trigonis magnis acutis, in vitta basali 27/54 μ trigonis maximis truncatis, saepe trabeculatim confluentibus.

Tablas 3400 m, No. 2898.

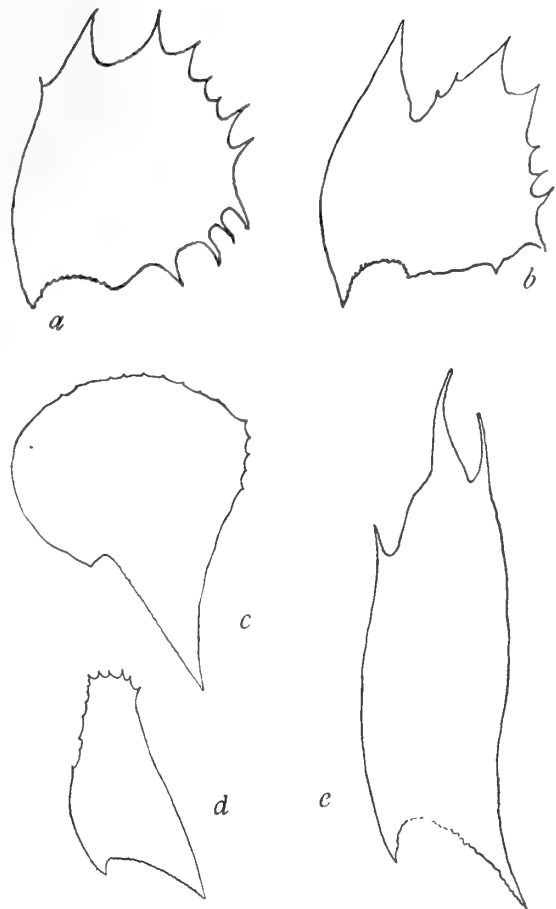


Fig. 132. a—b *Plagiochila Lacouturei* St. n. sp. folia caulina. 20:1; c *P. latissima* St. n. sp. fol. caulina. 7:1; d *P. laxiramea* St. n. sp. fol. caulina. 7:1; e *P. lineari-cuspidata* St. n. sp. fol. caulina. 15:1.

161. **Plagiochila laxiramea** St. n. sp. (Fig. 132, d).

Dioica medioeris rigida, virens, corticola, effuse caespitans. Caulis ad 9 cm longus, validus, irregulariter tripinnatus, ramis primariis numerosis, 2—3 cm longis, late divergentibus, pinnulis brevibus. Folia caulina parum imbricata, oblique patula, valde concava, in plano oblongo-trigona (4 mm longa, supra basin 2 mm lata) symmetrica, margine supero irregulariter remoteque denticulato, inferne nudo, margine infero sub apice paucidentato, apice ipso truncato (1 mm lato) regulariter

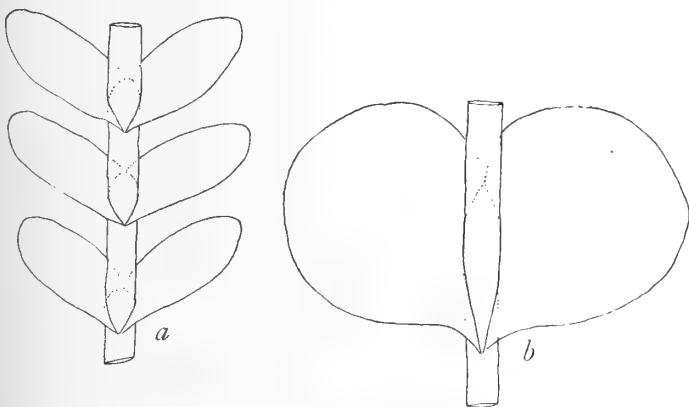


Fig. 133. a *Plagiochila ligulato-opposita* St. n. sp. folia caulina. 10:1; b *P. purpurea* St. n. sp. fol. caulina 10:1.

emarginato-sexdentato. Cellulae superae 27/27 μ , basales 18/45 μ trigonis nullis, parietibus tenuibus.

Florida de San Mateo 2000 m, No. 3657.

162. **Plagiochila ligulato-opposita** St. n. sp. (Fig. 133, a).

Sterilis minor rigida fragilis rufescens, profunde pulvinata. Caulis ad 5 cm longus, capillaceus, simplex vel parum longeque ramosus. Folia caulina remotiuscula, opposita, anguste ligulata (2,25 mm longa, 0,75 mm lata) integerrima, apice obtusa vel rotundata. Cellulae superae 27/27 μ trigonis maximis acutis, basales 18/27 μ trigonis magnis acutis.

In valle Corani 1800 m,
No. 4670.

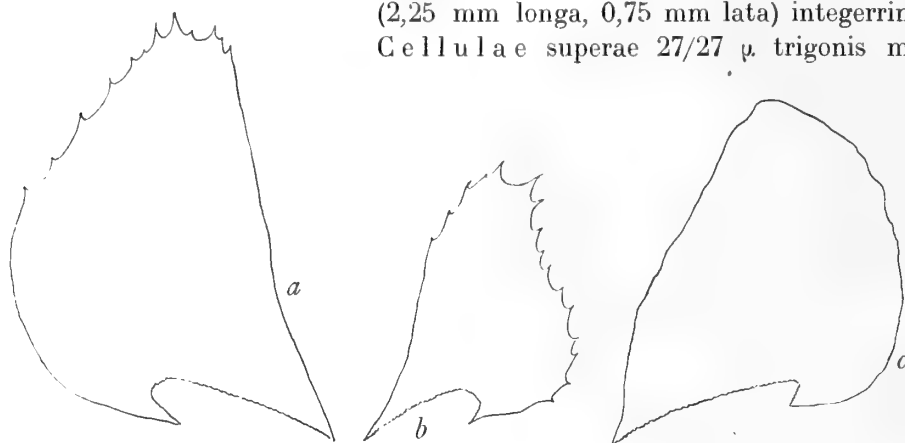


Fig. 134. a *Plagiochila longiramea* St. n. sp. fol. caulin. 10: 1; b *P. Lindau* St. n. sp. fol. caulin. 10: 1; c *P. Lotsyana* St. n. sp. fol. caulin. 10: 1.

163. **Plagiochila Lindau** St. n. sp. (Fig. 134, b).

Sterilis maxima robusta rigida, flavo-rufescens, corticola, laxe intricata, pendula. Caulis ad 12 cm longus, regulariter remoteque bipinnatus, ramis primariis ad 5 cm longis, pinnulis 0,5 mm longis. Folia caulina

parum imbricata, oblique patula, parum concava, in plano oblongo-trigona (3,5 cm longa, supra basin 2 mm lata) asymmetrica, margine supere basi rotundata stricto, regulariter valideque dentato, margine infero stricto nudo, sub apice remote paucidentato, apice ipso 0,5 mm lato, emarginato-bidentato, dentibus validis triangulatis, parallelis, oblique patulis. Cellulae superae 18/18 μ , basales 18/36 μ , trigonis magnis, parietibus validis.

Nebelwald über Comarapa, No. 4222.

164. **Plagiochila lineari-cuspidata** St. n. sp. (Fig. 132, d).

Sterilis, major gracilis rigida, flavo-rufescens, apicibus subhyalinis, in cortice laxe intricata. Caulis ad 7 cm longus, simplex vel regulariter longeque ramosus, ramis ad 3 cm longis, simplicibus, aliis brevissimis interjectis 5 mm longis. Folia caulina lanceolata, (4,5 mm longa, medio 1,25 mm lata) lata basi inserta, utrinque in caule decurrentia, apice ad $\frac{1}{3}$ emarginato-bifida, sinu angusto, laciniis angustis cuspidatis parallelis hamatis, margine supere sub apice paucispinuloso. Cellulae superae 18/45 μ , basales 18/54 μ parietibus ubique validis.

San Mateo-Sunchal, No. 4451.

165. **Plagiochila longiramea** St. n. sp. (Fig. 134, a).

Dioica magna robusta rigida, pallide flavicans, corticola, laxe caespitans. Caulis ad 8 cm longus, simplex vel parum longeque ramosus. Folia caulina contigua, recte patula, concava, in plano oblongo-trigona (5,5 mm longa, supra basin 3,5 mm lata) asymmetrica, margine supere basi rotundata stricto, superne breviter remoteque denticulato, margine infero stricto nudo, apice quam



Fig. 135. *Plagiochila maxima* St. n. sp. a fol. caul. 10: 1; b Perianth 4: 1.

basis quadruplo angustiore, truncato irregulariterque quadridentato. Cellulae superae $27/27 \mu$ trigonis majusculis, basales $36/54 \mu$, trigonis grosse nodulosis, ovalibus. Perianthia obovato-obconica, 8 mm longa ore compresso truncato, dense minuteque setuloso. Folia floralia late trigona, 6 mm longa et lata, apice grosse irregulariterque dentata. Androecia desunt.

Rio Tocarani, No. 4095.

166. **Plagiochila Lotsyana** St. n. sp. (Fig. 134, c).

Sterilis magna robusta rigidula, flavo-rufescens, profunde pulvinata. Caulis ad 7 cm longus, simplex, validus, pallide flavicans. Folia caulina conferta, oblique patula, leviter decurva, in plano late trigona, (4 mm longa, supra basin 3,5 mm lata) asymmetrica, margine supero longe arcuato, infero substricto, apice obtusa integerrima. Cellulae superae $27/27 \mu$ trigonis parvis, basales $27/45 \mu$, trigonis majusculis.

Nebelwald über Comarapa, No. 4235.

167. **Plagiochila macrotricha** S.

Sillar 1800 m, No. 2718.

168. **Plagiochila Macvivaritii** St.

Sillar, 1700 m, No. 2773.

169. **Plagiochila maxima** St. n. sp. (Fig. 135).

Sterilis gigantea rigida flavescens, in cortice laxe caespitans lateque expansa. Caulis ad 16 cm longus, superne parum longeque ramosus, ramis 3 vel 4 cm longis. Folia caulina imbricata, oblique patula, parum concava, in plano ovato-trigona (7 mm longa, supra basin 5,5 mm lata) basi utrinque longius decurrentia, margine supero leviter arcuato, infero stricto, sub apice paucidentato, apice obtusa similiter armata. Cellulae superae $36/36 \mu$ mediae $36/54 \mu$, basales $36/72 \mu$, trigonis magnis acutis, basi quidem trabeculatim incrassatis.

Tablas 3400 m, No. 2816.

170. **Plagiochila minutidens** St. n. sp. (Fig. 136, c).

Sterilis mediocris rigida, fusco-brunnea, dense intricata, corticola et rupicola. Caulis ad 5 cm longus, crassus, parum longeque ramosus, ramis 15 mm longis. Folia caulina conferta, decurvo-homomalla, valde concava, brevi basi inserta, in plano subrotunda (5,5 mm longa, medio 4,75 mm lata) asymmetrica, margine supero e basi semicirculari longe arcuato, margine infero leviter arcuato, marginibus ubique dense minuteque dentatis, ipsa



Fig. 136. a *Plagiochila Miyakei* St. n. sp. fol. caul. 10:1; b *P. multi-spina* St. n. sp. fol. caul. 20:1; c *P. minutidens* St. n. sp. fol. caul. 20:1.



Fig. 137. a—c *Plagiochila nigricaulis* St. n. sp. a fol. caul. 10:1; b fol. florale 10:1; c Perianth. 10:1; d *P. Nathorstii* St. n. sp. fol. caulinum 10:1

basi nudis. Cellulae superae $27/27 \mu$ trigonis subnullis, in medio folii majusculis, basales $18/63 \mu$ trigonis parvis.

In valle Tocorani 3000 m, No. 3850.

171. **Plagiochila Miyakei** St. n. sp. (Fig. 136, a).

Sterilis, gigantea, rigida, flavo-rufescens, corticola, in latas plagas caespitans. Caulis ad 15 cm longus, validus, simplex vel longe remoteque pauciramosus. Folia caulina remotiuscula, superne parum imbricata, decurvo-homomalla, in plano late trigona (5 mm longa, medio 4,25 mm lata) latissima basi inserta, utrinque longe decurrentia; margine supero e basi rotundata stricto, superne remote breviterque dentato, margine infero stricto nudo, apice angustissimo, emarginato-bidentulo. Cellulae superae $27/27 \mu$ trigonis magnis truncatis, basales $27/72 \mu$ parietibus grosse trabeculatis, trabeculis longioribus interruptis.

Corani, No. 4704.

172. **Plagiochila montana** S.

Corani, No. 3378.

173. **Plagiochila multispina** St. n. sp. (Fig. 136, b).

Sterilis magna, robusta, rigida, fusco-olivacea, dense depresso-caespitans lateque expansa, corticola et rupicola. Caulis ad 8 cm longus, simplex vel parum longeque ramosus, ramis 4 cm longis, simplicibus. Folia caulina contigua, decurva, oblique patula, canaliculatim concava, in plano subrotunda (4,5 mm longa et lata) brevissima basi inserta, asymmetrica, margine supero e basi maxime rotundata longe arcuato, creberrime breviterque ciliolato, margine infero substricto, inferne nudo, sub apice ciliolato, apice late rotundato, similiter armato, ciliis ubique bicellularibus. Cellulae superae $27/27 \mu$, basales $27/45 \mu$ trigonis ubique parvis.

Rio Tocorani, No. 4016.

174. **Plagiochila Nathorstii** St. n. sp. (Fig. 137, d).

Sterilis, maxima gracillima, rigida, dilute flavescens, corticola, effuse caespitans laxequae intricata. Caulis ad 12 cm longus, regulariter bipinnatus, ramis inferis et superis simplicibus, brevibus, mediis

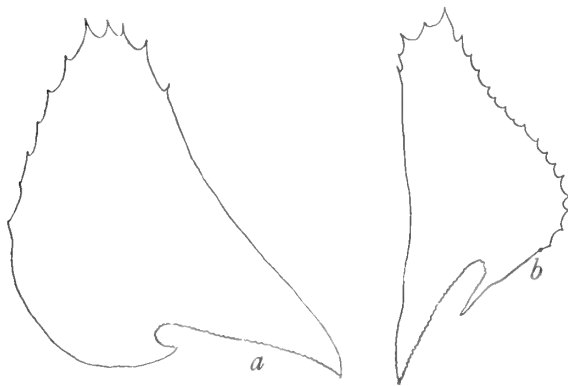


Fig. 138. a *Plagiochila nudicosta* St. n. sp. fol. caul. 10:1; b *P. oblique truncata* St. n. sp. fol. caul. 10:1.

4 cm longis, remote breviterque pinnatis. Folia caulina remotiuscula, oblique patula, canaliculatim concava, in plano oblonga (3 mm longa, medio 1,75 mm lata) asymmetrica, margine supero leviter arcuato, superne paucispinosa, margine infero nudo stricto, apice emarginato-bispinosa, spinis validis divergentibus. Cellulae superae $18/27 \mu$, basales $18/45 \mu$, parietibus validis.

Tablas, No. 4653.

175. **Plagiochila nigricaulis** St. n. sp. (Fig. 137, a—c).

Dioica major robusta rigida, virens, in cortice laxe caespitans. Caulis ad 8 cm longus, regulariter bipinnatus, ramis primariis 3 cm longis, pinnis brevibus sparsis. Folia caulina parum imbricata, oblique patula, parum concava, in plano oblonga, antice longissime lateque decurrentia ideoque latissima basi inserta, margine supero longe arcuato, basi breviter angusteque decurrente, inferne nudo, superne remote minuteque dentato, margine infero stricto nudo, sub apice paucidentato, apice truncato-rotundata, 1,5 mm lata, similiter armata. Cellulae superae $18/36 \mu$ trigonis nullis, basales $18/36 \mu$, parietibus validis. Perianthia obovato-obconica, compressa, apice truncata, dense grosseque spinosa. Folia floralia caulinis aequimagna, ovata, irregulariter grosseque spinosa, margine infero nudo, sub apice similiter spinoso. Androecia desunt.

Rio Tocorani, No. 4111.

176. *Plagiochila notha* G.

Tablas 3400 m, No. 2843/a.

177. *Plagiochila nudicauda* St. n. sp. (Fig. 138, a).

Sterilis major rigida flavicans, corticola, laxe caespitans. Caulis ad 12 cm longus, simplex, rarius ramo elongato ramosus. Folia caulina confertissima, oblique patula, canaliculatim concava, in plano oblongo-trigona (4,5 mm longa, supra basin 3,5 mm lata) asymmetrica, margine supero e basi rotundata stricto, nudo, superne remote paucidentato, margine infero stricto nudo, apice oblique truncata, 1 mm lata, emarginato-quadridentata. Cellulae superae 27/27 μ , trigonis magnis acutis, basales 27/63 μ , parietibus trabeculatis.

Bolivia (sine loco natali).

178. *Plagiochila obliquetruncata* St. n. sp. (Fig. 138, b).

Sterilis maxima rigida, flavo-rufescens, corticola, effuse caespitans vel pendula. Caulis ad 13 cm longus, validus, irregulariter bipinnatus; ramis primariis 2—4 cm longis, pinnulis paucis, 5—15 mm longis. Folia caulina remotiuscula, oblique patula, canaliculatim concava, in plano oblongo-trigona (3,5 mm longa, supra basin 2,25 mm lata) basi utrinque longe decurrentia, asymmetrica, margine supero e basi rotundata stricto, dense breviterque dentato, margine infero stricto, omnino nudo vel sub apice paucidentato, apice ipso oblique truncato, emarginato-tridentato. Cellulae superae 18/27 μ , basales 18/36 μ , parietibus trabeculatis incrassatis.

Bolivia (sine loco natali).

179. *Plagiochila ovata* Ldbg. u. G.

Tablas 3400 m, No. 2812.

180. *Plagiochila papillifolia* St. n. sp. (Fig. 139).

Dioica, mediocris gracillima, rigida, flavo-rufescens vel virens, in rupibus laxe intricata. Caulis ad 5 cm longus, irregulariter ramosus, ramis primariis pinnatis, rarius bipinnatis. Folia caulina remotiuscula, oatu pliquela, decurvula, leviter concava, 15 mm longis, simplicibus vel sparsim breviterque in plano oblonga (2 mm longa, medio 1 mm lata) asymmetrica, margine supero leviter arcuato, irregulariter spinoso, spinis plus minus longis irregulariterque insertis, margine infero parum arcuato vel substricto, nudo, apice truncata, 0,67 mm lata, quadridentata, dentibus plus minus longis, valde irregularibus. Cellulae superae 18/18 μ , basales 18/36 μ , trigonis subnullis. Folia floralia caulinis aequalia, vix majora. Reliqua desunt.

Nebelwald über Comarapa, No. 3955, 3943/a.

181. *Plagiochila patentissima* St.

Cordillera de Santa Cruz, No. 3549.

182. *Plagiochila Patzschkei* St. n. sp. (Fig. 140, c).

Sterilis mediocris, rigidula rufescens, pulvinatim caespitans. Caulis ad 5 cm longus, simplex vel sparsim longeque ramosus. Folia caulina remotiuscula, oblique patula, canaliculatim concava, saepe convoluta, in plano late trigona (2,25 mm longa, medio 2 mm lata) asymmetrica, margine supero valde arcuato regulariter remoteque spinoso, margine infero stricto, nudo, apice 0,7 mm lata, oblique truncata, emarginato-tridentata. Cellulae superae 18/18 μ , basales 18/45 μ , trigonis magnis truncatis.

Nebelwald über Comarapa, No. 4246.

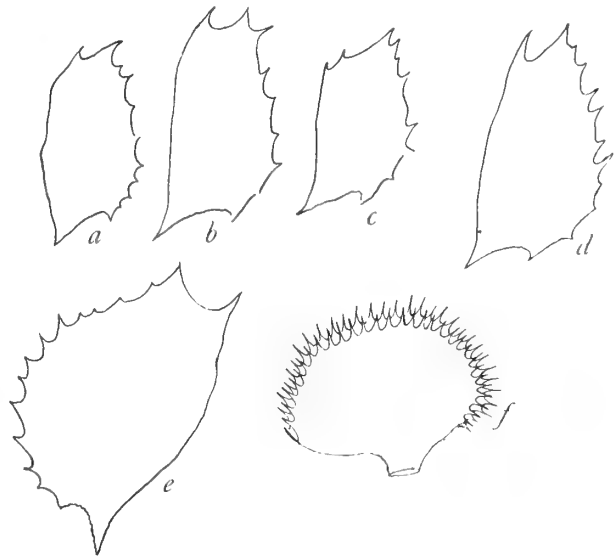


Fig. 139. *Plagiochila papillifolia* St. n. sp. a, b, c, d fol. caulina 14: 1; e fol. flor. 14: 1; f Perianth. 14: 1.



Fig. 140. *a* *Plagiochila rufifolia* St. n. sp. fol. caul. 7: 1; *b* *P. repetito-furcata* St. n. sp. fol. caul. 10: 1; *c* *P. Patzschkei* St. n. sp. fol. caul. 10: 1; *d* *P. Schiffneri* St. n. sp. fol. caul. 7: 1.

190. ***Plagiochila repetito-furcata*** St. n. sp. (Fig. 140, b).

Sterilis magna robusta, flaccida, dilute viridis, in cortice laxe intricata lateque effusa. Caulis ad 8 cm longus, bipinnatus, ramis primariis 5 cm longis, remote breviterque pinnatis, apicibus semper furcatim-ramosis vel repetito-furcatis. Folia caulina parum imbricata, oblique patula, canaliculatum concava, in plano late linguata (4 mm longa, medio 2,75 mm lata), basi utrinque longe attenuata, symmetrica, marginibus aequaliter leviterque arcuatis; margine supero regulariter remoteque dentato, infero paucidentato, apice truncata, irregulariter valideque sexspinoza. Cellulae superae 27/27 μ , basales 36/54 μ , trigonis subnullis.

San Mateo Sunchal, No. 4479;
Corani, 1800 m, No. 4734.

191. ***Plagiochila rigidula*** L. et G.

Nebelwald über Comarapa,
No. 4264.

183. ***Plagiochila pauciramea*** St.

Florida de San Mateo 3000 m, No. 3655;
Cordillera de Santa Cruz, No. 3498.

184. ***Plagiochila permista*** S.

Corani, No. 3403.

185. ***Plagiochila pichinchensis*** S.

Comarapa 2600 m, No. 3798.

186. ***Plagiochila procera*** Ldbg.

Comarapa 2600 m, No. 3813.

187. ***Plagiochila purpurea*** St. n. sp. (Fig. 133, b).

Sterilis, mediocris, purpurea, flaccida, aliis hepaticis corticulis consociata. Caulis ad 6 cm longus, simplex vel paucis ramis longissimis pinnatus. Folia caulina opposita, conferta, oblique patula, erecto-homomalla, valde concava, in plano optime rotunda, lata basi inserta (3 mm longa et lata) integerrima. Cellulae superae 27/27 μ , trigonis magnis nodulosis, basales 27/72 μ , parietibus validissimis.

Comarapa 2600 m, No. 3781; Rio Saujana
3400 m, No. 3258/a; Tablas 3400 m,
No. 2871/b, Florida de San Mateo,
No. 3659.

188. ***Plagiochila quitensis*** St.

Nebelwald über Comarapa, ca. 2600 m,
No. 3962.

189. ***Plagiochila relicta*** St.

Rio Saujana, 3400 m, No. 3273.



Fig. 141. *Plagiochila Schmidtii* St. n. sp. *a* fol. caul. 10: 1; *b* fol. flor. 10: 1; *c* Perianth 10: 1.

192. *Plagiochila rotundifolia* St.

Nebelwald über Comarapa, No. 3778.

193. *Plagiochila rufifolia* St. n. sp. (Fig. 140, a).

Sterilis, maxima gracilis, rigidula, flavo-rufescens, in cortice laxe caespitans lateque expansa. *Caulis* ad 15 cm longus, bipinnatim ramosus, ramis primariis 6 cm longis, sparsis, breviter remoteque pinnatis. *Folia caulina* contigua, oblique patula, canaliculatim concava, in plano oblongo-trigona (2,5 mm longa, supra basin 1,5 mm lata) basi utrinque longius angustequa decurrentia, asymmetrica, margine supero e basi rotundata stricto, inferne nudo, superne regulariter breviterque dentato, margine infero e basi nuda leviterque sinuata stricto, regulariter remoteque dentato, apice ipso truncata (0,33 mm lata) emarginato-bispinosa. *Cellulae* superae 18/27 μ , parietibus validis, basales 18/45 μ , parietibus subtrabeculatis.

In valle Corani 1800 m, No. 4689, 4729; Rio Tocorani, No. 4112.

194. *Plagiochila rufo-viridis* S.

Rio Tocorani, No. 4058.

195. *Plagiochila Schiffneri* St. n. sp. (Fig. 140, d).

Sterilis magna, robusta, rigida, pallide virens, corticola, laxe intricata. *Caulis* ad 12 cm longus, regulariter bipinnatus, ramis primariis 5 cm longis, sparsim breviterque pinnatis. *Folia caulina* parum imbricata, oblique patula, canaliculatim concava, in plano ovato-trigona (4,5 mm longa, supra basin 3,5 mm lata) asymmetrica, margine supero e basi rotundata stricto, irregulariter breviterque dentato, margine infero stricto nudo, apice 0,75 mm lata, truncata, quadridentata. *Cellulae* superae 18/18 μ , basales 18/54 μ , trigonis ubique majusculis.

In valle Corani 1800 m, No. 4684.

196. *Plagiochila Schinzei* St. n. sp.

Sterilis major flaccida virens, laxa intricata corticola. *Caulis* ad 6 cm longus, simplex vel parum longeque ramosus. *Folia caulina* conferta, oblique patula, canaliculatim concava, saepe revoluta, in plano ovata (5 mm longa, medio 3 mm lata) asymmetrica, margine supero longe arcuato, remote minuteque dentato, basi nudo, margine infero stricto, nudo, sub apice remote denticulato, basi utrinque longius decurrentia, apice 1,5 mm lata, emarginata, angulis spina valida porrecta armatis, sinu apicali irregulariter breviterque dentato. *Cellulae* superae 18/36 μ trigonis parvis, basales 18/45 μ , trigonis nullis.

Corani, No. 5061.

197. *Plagiochila Schmidtii* St. n. sp. (Fig. 141).

Dioica, magna rigida viridis, corticola, laxa intricata. *Caulis* ad 9 cm longus, remote irregulariterque pinnatus et bipinnatus, ramis primariis ad 3 cm longis, sparsim breviterque pinulatis. *Folia caulina* contigua, oblique patula, canaliculatim concava, in plano oblonga (3,5 mm longa, supra basin 1,75 mm lata) lata basi inserta, utrinque decurrentia, symmetrica, margine supero longe arcuato,

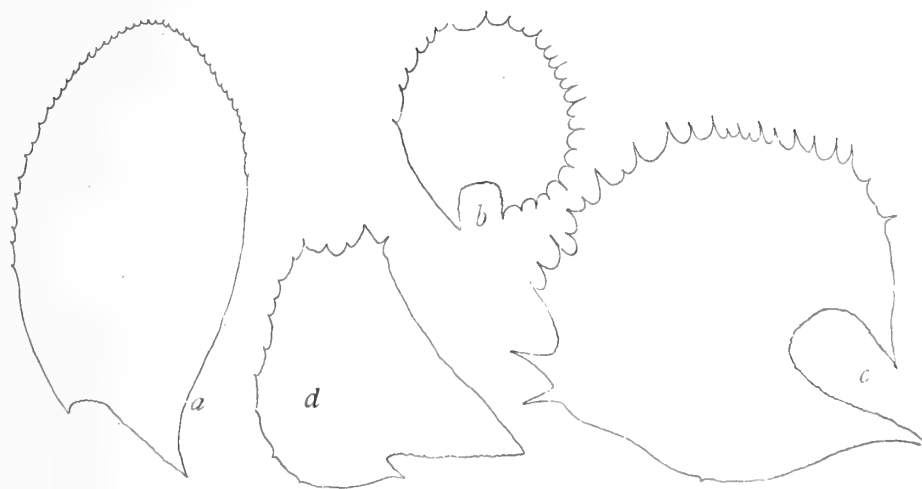


Fig. 142. a *Plagiochila semidentata* St. n. sp. fol. caul. 10: 1; b—c *P. semiamplectens* St. n. sp.; b fol. ramul. 10: 1; c fol. caul. 10: 1; d *P. similis* St. n. sp. fol. caulinum 10: 1.

superne remote minuteque dentato, margine infero similiter arcuato, nudo, sub apice paucidentato, apice ipso truncato, 0,75 mm lato, emarginato-quadridentato. Cellulae superae 18/36 μ , basales 18/45 μ trigonis parvis. Perianthia magna, 3 mm longa, oblongo-obconica, ore truncato, dense spinuloso. Folia floralia caulinis parum majora, ceterum simillima. Androecia desunt.

Incacorral 2200 m, No. 5098.



Fig. 143. *Plagiochila Slateri* St. n. sp. a fol. caul. 10: 1; b fol. ramul. 10: 1; c fol. flor. 10: 1; d Perianth 10: 1.

198. *Plagiochila semiamplectens* St. n. sp. (Fig. 142, b—c).

Sterilis mediocris flaccida, rufo-brunnea, in cortice pulvinatim caespitans. Caulis ad 3 cm longus, parum breviterque pinnatus. Folia caulina conferta, cauli a latere appressa, valde concava, in plano subrotunda (1,67 mm longa et lata) margine, supero dense regulariterque dentato-spinoso, margine infero nudo, basi utrinque longius decur-

rentia, apice rotundata, validius spinosa. Cellulae superae 27/27 μ , basales 27/36 μ trigonis magnis acutis.

Yanakaka Montes 4000 m, No. 3835/a.

199. *Plagiochila semidentata* St. n. sp. (Fig. 142, a).

Sterilis mediocris flaccida virens, corticola, aliis hepaticis consociata. Caulis ad 6 cm longus, parum longeque ramosus, viridis. Folia caulina remotiuscula, oblique patula, parum concava, in plano obovato-oblonga, obconica, brevi basi inserta, utrinque breviter decurrentia, optime symmetrica (5 mm longa, medio 3 mm lata) inferne nuda, superne denticulata, denticulis inferne remotis, superis densis, apice rotundata, similiter armata. Cellulae superae 27/27 μ , basales 27/72 μ , trigonis ubique parvis.

Tablas 1800 m, No. 4585.

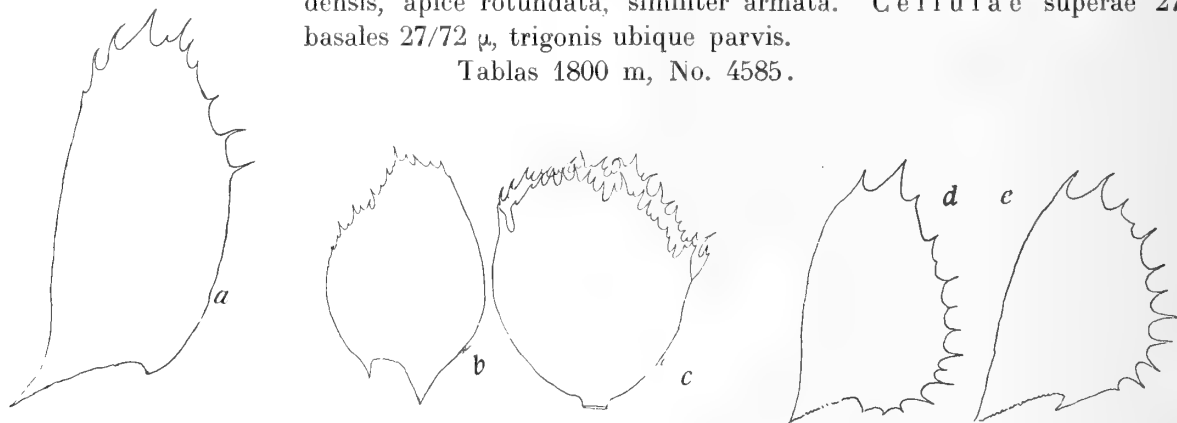


Fig. 144. a—c *Plagiochila sparsifolia* St. n. sp. a fol. caul. 8: 1; b fol. flor. 5: 1; c Perianth. 5: 1; d *P. Solmsii* St. n. sp. fol. caul. 14: 1 e *P. striolata* St. n. sp. fol. caulinum 14: 1.

200. *Plagiochila similis* St. n. sp. (Fig. 142, d).

Sterilis magna gracilis rigida, intense viridis, in cortice laxe caespitans. Caulis ad 8 cm longus, regulariter bipinnatus, ramis primariis ad 3 cm longis, sparsim remoteque pinnulatis. Folia caulina conferta, oblique patula, canaliculatim concava, saepe convoluta, in plano late trigona (3,5 mm longa, supra basin 3 mm lata) asymmetrica, margine supero e basi rotundata stricto, remote minute dentato, margine infero substricto vel leviter sinuato, omnino nudo, apice late truncata (1,25 mm lata) vel leviter excisa, validius denticulata. Cellulae superae 18/27 μ , basales 18/45 μ , trigonis nullis.

Florida de San Mateo, No. 3667.

201. **Plagiochila Slateri** St. n. sp. (Fig. 143).

Dioica magna gracilis rigida olivacea, corticola, effuse caespitans, laxe intricata. Caulis ad 11 cm longus, regulariter pinnatus, ramis ad 3 cm longis, parum remoteque pinnulatis, superis simplicibus, remotis recte patulis. Folia caulina contigua, oblique patula, parum concava, in plano oblonga (3,5 mm longa, supra basin 2,5 mm lata) asymmetrica, basi antica longissime lateque decurrentia, quasi caudata, margine supero e basi rotundata substricto, sub apice dense minuteque dentato, inferne nudo, margine infero nudo, substricto, sub apice paucidentato, apice ipso truncata (0,75 mm lata) quadridentata, dentibus validis brevibus porrectis. Cellulae superae 27/27 μ trigonis parvis, basales 27/54 μ parietibus validis, trigonis nullis. Perianthia oblongo-obconica, 3 mm longa, ore truncato dense minuteque spinoso. Folia floralia caulinis aequimagna, simillima. Androecia desunt.
Inacorral 2200 m, No. 5026.

202. **Plagiochila Solmsii** St. n. sp. (Fig. 144, d).

Sterilis minor gracilis, rigidula, rufescens, corticola, dense depresso-caespitans lateque expansa. Caulis ad 4 cm longus, capillaceus, parum longeque ramosus. Folia caulina conferta, oblique patula parum concava, in plano anguste ovata, (2,5 mm longa, medio 1,5 mm lata) asymmetrica, ad medium inserta, vix decurrentia, margine supero e basi rotundata longe arcuato, regulariter remoteque spinuloso, margine infero stricto, nudo, apice angusta, emarginato-bispinosa, spinis validis, oblique patulis, parallelis. Cellulae superae 18/18 μ , trigonis parvis, basales 18/27 μ trigonis majusculis.
Nebelwald über Comarapa, No. 4313.

203. **Plagiochila sparsifolia** St. n. sp. (Fig. 144, a—c).

Dioica, maxima, robusta rigida, in cortice laxe intricata, latissime expansa. Caulis ad 15 cm longus, sparsim longeque ramosus, ramis 5 cm longis, simplicibus, rarius ramulo auctis. Folia caulina remota, oblique patula, canaliculatim concava, saepe omnino convoluta, in plano oblonga (6,5 mm longa, medio 2,75 mm lata), symmetrica, margine supero et infero aequaliter leviterque arcuato nudo, sub apice tantum paucispinoso, spinis e lata basi attenuatis, subaequalibus, apice obtusa, similiter armata. Cellulae superae 18/36 μ trigonis parvis, basales 18/54 μ trigonis nullis. Perianthia anguste cupulata, ore truncato, irregulariter breviterque dentato-spinoso et duplicatim spinoso. Folia floralia caulinis simillima, aequimagna. Androecia desunt.
Nebelwald über Comarapa, No. 3802.

204. **Plagiochila strictifolia** St.

Altamachi 3400 m, No. 3874.

205. **Plagiochila striolata** St. n. sp. (Fig. 144, e).

Sterilis mediocris flaccida, dilute rufescens, apicibus subhyalinis, corticola, laxe intricata. Caulis ad 3 cm longus, parum longeque ramosus. Folia caulina remotiuscula, decurvo-homomalla, canaliculatim concava vel involuta, in plano ovata (2,5 mm longa, medio 1,5 mm lata) asymmetrica, margine supero longe arcuato, regulariter longeque spinoso, margine infero substricto, nudo, basi utrinque breviter decurrentia, apice truncata, bispinosa, spinis oblique patulis parallelis. Cellulae superae 18/18 μ trigonis majusculis, cuticula aspera, basales 18/45 μ trigonis parvis cuticula striolata.
Corani, No. 5078.



Fig. 145. a *Plagiochila subaequalis* St. n. sp. fol. caul. 10:1; b *P. subalpina* folium caulinum 7:1; c *P. subhyalina* St. n. sp. fol. caulin. 10:1.

206. *Plagiochila subaequalis* St. n. sp. (Fig. 145 a).

Sterilis olivacea rigida, gigantea, in cortice laxe caespitans lateque expansa. C a u l i s ad 18 cm longus, parum longeque ramosus vel simplex. F o l i a caulina remota, recte patula, canaliculatim concava, in plano late triangulata, marginibus superis et inferis subaequalibus (unde nomen plantae) margino

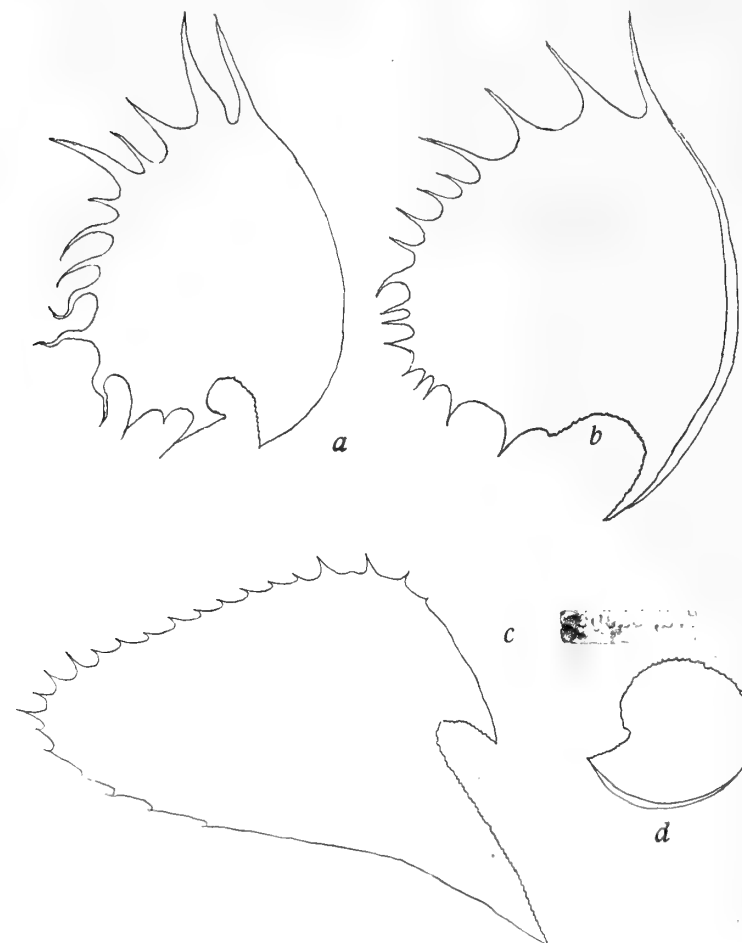


Fig. 146. a—b *Plagiochila subwallisiana* St. n. sp. a, b fol. caulina 15: 1; c *P. submacrotricha* St. n. sp. fol. caulinum 10: 1; d *P. subviminea* St. n. sp., fol. caul. 10: 1.

supero e basi rotundata substricto vel leviter arcuato, remote minuteque dentato, margine infero stricto, similiter armato, apice truncato-rotundata, densius armata (quadridenticulata). Cellulae superae 36/36 μ , trigonis majuseculis acutis, basales 36/72 μ trigonis nullis.

Rio Tocorani, No. 4030.

207. *Plagiochila subconvoluta* G., Sillar 1600 m, No. 2732.

208. *Plagiochila subcristata* G. Sillar 1800 m, No. 2717.

209. *Plagiochila subhyalina* St. n. sp. (Fig. 145, c).

Sterilis mediocris tenerrima, pallide virens, aliis hepaticis corticolis consociata. C a u l i s ad 4 cm longus, simplex, tenuis rufescens. Folia caulina imbricata, oblique patula, canaliculatim concava vel involuta, in plano oblonga (5 mm longa, medio 2,25 mm lata) symmetrica, margine supero longe leviterque arcuato, inferne nudo, superne sparsim remoteque dentato, margine infero simillimo, apice angusta, emarginato-bispinosa, spinis divergentibus validis. Cellulae superae 18/36 μ , basales 18/54 μ , trigonis ubique magnis acutis.

Bolivia (sine loco natali).

210. *Plagiochila submacrotricha* St. n. sp. (Fig. 146, c).

Dioica major robusta, rigida, olivacea, corticola, laxe caespitans. C a u l i s ad 8 cm longus, parum longeque ramosus. Folia caulina contigua, oblique patula, parum concava, in plano oblongo-trigona (6 mm longa, supra basin 3,75 mm lata) asymmetrica, margine supero e basi rotundate stricto, regulariter remoteque dentato, ipsa basi nudo, margine infero substricto, superne remote minuteque dentato, inferne nudo apice obtusa similiter dentata. Cellulae superae 54/54 μ , mediae 36/54 μ , basales 27/90 μ , trigonis subnullis. A n d r o e c i a terminalia, spicis fasciculatim insertis 15 mm longis, pinnatim ramosis.

Tablas 1800 m, No. 4598.

211. *Plagiochila subrotundifolia* St.

Tablas 1800 m, No. 2942; Incaorral 3000 m, No. 3350/a; in valle Corani 2600 m, No. 3421.

212. *Plagiochila subviminea* St. n. sp. (Fig. 146, d):

Sterilis magna gracillima, dilute rufo-brunnea, rigida, in cortice dense depresso-caespitans lateque expansa. C a u l i s ad 9 cm longus, superne dense longeque ramosus, ramis 3 cm longis, simplicibus,

rarius pinnula auctis. Folia caulina conferta, decurvo-homomalla, valde concava, in plano subrotunda, margine supero apiceque regulariter minuteque dentatis, margine infero recurvo nudo. Cellulae superae $18/18 \mu$, trigonis magnis, saepe trabeculatim confluentibus, basales $18/45 \mu$, parietibus validissimis, optime vittatae.

Tablas 3400 m, No. 2853/a.

213. **Plagiochila subwallisiana** St. n. sp. (Fig. 146, a—b).

Dioica mediocris rigida, fusco-brunnea, apicibus flavo-rufescentibus, in cortice laxe intricata. Caulis ad 5 cm longus, validus, regulariter

remoteque pinnulatus, ramis longioribus interjectis paucipinnulatis.

Folia caulina conferta, decurvo-homomalla, valde concava, in plano ovata (4 mm longa, medio

2,75 mm lata) symmetrica, margine supero arcuato, grosse irregulariterque spinoso, spinis porrectis vel

flagellatim curvatis, parvis et longissimis mixtis, margine infero similiter

armato, nudo, apice laciniis maximis angustis longeque attenuatis armato.

Cellulae superae $18/18 \mu$ trigonis majusculis, basales $18/72 \mu$ trigonis ovalibus, hic illic trabeculatim confluentibus. Perianthia in caule

semper terminalia urceolata, quinqueplicata, ore truncato creberrime

longeque dentato-spinoso. Folia floralia caulinis simillima, majora. Androecia desunt.

Nebelwald über Comarapa, No. 3811.

214. **Plagiochila Tocarani** St. n. sp. (Fig. 147, c).

Rio Tocarani 2200 m, No. 4030.

215. **Plagiochila towarina** G.

Tablas 3400 m, No. 2906.

216. **Plagiochila Trabutii** St. n. sp. (Fig. 147, a—b).

Sterilis major flaccida viridis corticola, laxe intricata. Caulis ad 8 cm longus, capillaceus, irregulariter longeque ramosus. Folia caulina contigua, oblique patula, parum concava, in plano ovato-trigona (4,5 mm longa, medio 3,5 mm lata) lata basi inserta, utrinque breviter decurrentia, asymmetrica, margine supero e basi leviter arcuata stricto, remote valideque dentato, margine infero

substricto, sparsim minuteque dentato, apice obtusa, grosse emarginato-bispinosa, spinis oblique patulis, parallelis. Cellulae superae $36/36 \mu$, basales $36/54 \mu$, parietibus tenuibus, trigonis nullis.

Bolivia (sine loco natali).

217. **Plagiochila Trianae** G.

Tablas 3400 m, No. 2851.

218. **Plagiochila triangulifolia** St. n. sp. (Fig. 148, a).

Sterilis gigantea robusta rigida, in cortice profunde pulvinata longeque prostrata. Caulis ad 18 cm longus, parum longeque ramosus. Folia caulina conferta, oblique patula, valde concava, postice valde ampliata, cristam altam formantia, in plano latissime triangulata (5,25 mm longa, supra basin 5 mm lata) valde asymmetrica, margine supero e basi maxime rotundata stricto, nudo, margine

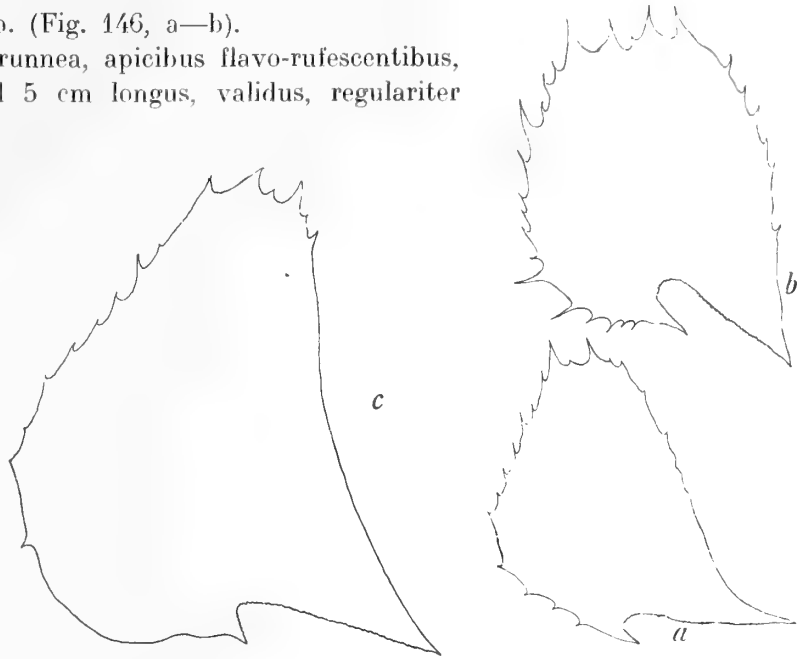


Fig. 147. a—b *Plagiochila Trabutii* St. n. sp., a fol. caul. 8:1; b fol. flor. 8:1; c *P. Tocarani* St. n. sp. fol. caul. 10:1.

infero substricto nudo, apice angustissima, 0,75 mm lata, truncata, angulis minute apiculatis. Cellulae superae 27/27 μ , trigonis parvis, basales 27/54 μ , trigonis ovali-nodulosis.

Comarapa 2600 m, No. 3838.

219. **Plagiochila trilobata** St. n. sp. (Fig. 149).

Dioica magna gracillima, flaccida, pallide rufescens, in cortice laxe intricata lateque expansa. Caulis ad 12 cm longus, simplex vel parum longeque ramosus, capillaceus. Folia caulina remotiuscula, oblique patula, canaliculatim concava, in plano linearia (4,5 mm longa, medio 1,5 mm lata) symmetrica, basi antica breviter decurrentia, margine supero leviter arcuato, nudo, sub apice spina longa angusta armato, margine infero substricto, nudo, apice angusta (0,75 mm lata) emarginatobifida, sinu subacuto, laciniis leviter divergentibus, elongatis, inaequalibus. Cellulae 18-54 μ , ubique aequales, parietibus validis, inferne interrupte trabeculatis. Androecia pusilla, in ramis mediana, bracteis quadrijugis.

Nebelwald über Comarapa, No. 3810, 3956.

220. **Plagiochila validissima** St. n. sp. (Fig. 148, b).

Sterilis maxima, valde robusta et rigida, rufo-brunnea vel fusca, in cortice laxe intricata, pendula. Caulis ad 10 cm longus, simplex vel furcatus, ramis 5-6 cm longis, validissimis, fuscis. Folia caulina conferta, subrecte patula, valde decurva, canaliculatim concava, in plano subrotunda (5,5 mm longa, medio 5 mm lata) asymmetrica, margine supero semicirculato, regulariter denseque spinuloso, margine infero leviter arcuato, inferne nudo, superne minute regulariterque dentato, apice obtusa, similiter armata, basi utrinque breviter lateque decurrentia, lata basi inserta. Cellulae superae 27/27 μ trigonis parvis nodulosis, basales 18/90 μ , trigonis nullis.

Lagunillas in valle Tocorani 3000 m, No. 3851.

221. **Plagiochila variespinosa** St. n. sp. (Fig. 148, c-d).

Sterilis mediocris rigida, dilute virens, in cortice laxe intricata. Caulis ad 5 cm longus, inferne nudus, superne pauciramosus, ramis 12 mm longis, late divergentibus. Folia caulina parum imbricata, oblique patula, parum concava, in plano oblonga (4 mm longa, medio 2 mm lata) asymmetrica, margine supero leviter arcuato, inferne nudo, superne irregulariter denticulato, margine infero stricto nudo, apice oblique truncata, quadrispina, spinis oblique patulis parallelis validis subaequalibus. Cellulae superae 27/27 μ basales 27/36 μ trigonis subnullis.

Florida de San Mateo 2000 m, No. 3700.

222. **Plagiochila ventricosotrigona** St. n. sp. (Fig. 150, b-c).

Sterilis mediocris, flavo-rufescens, flaccida, corticola dense depresso-caespitans. Caulis ad 5 cm longus, superne longe remoteque ramosus, ramis late divergentibus. Folia caulina imbricata, decurvo-homomalla, valde concava, saepe convoluta, in plano late trigona (3 mm longa, supra basin

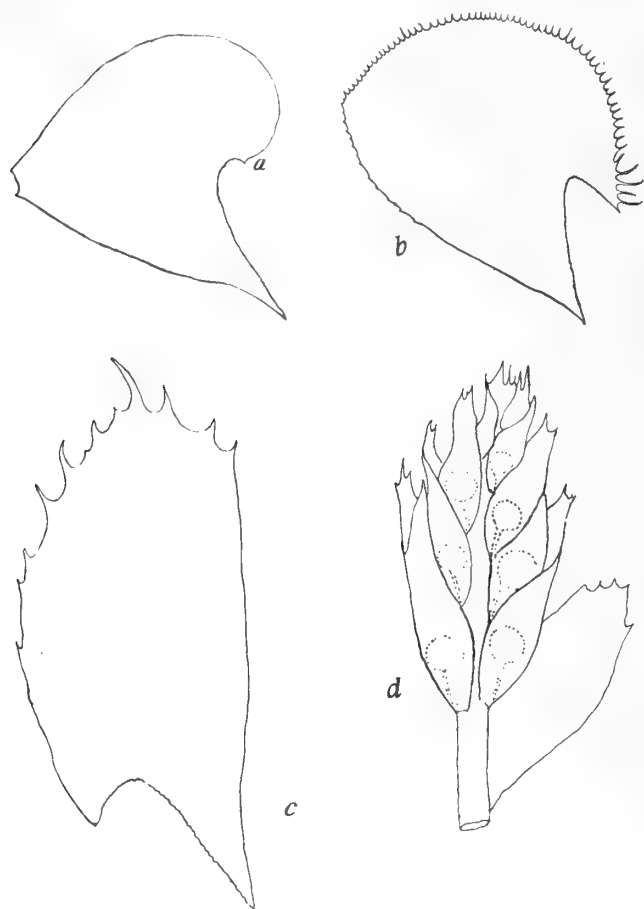


Fig. 148. a *Plagiochila triangulifolia* St. n. sp. fol. caul. 7:1; b *P. validissima* St. n. sp. fol. caul. 7:1; c-d *P. variespinosa* St. n. sp.; c fol. caul. 15:1; d Spica mascula 15:1.

2,75 mm lata) asymmetrica, margine superiore basi valde arcuata stricto, regulariter denticulato, margine inferiore substricto nudo, basi utrinque breviter decurrentia, apice oblique truncata (1 mm lata) paucispinulosa. Cellulae superae $18/18 \mu$ trigonis magnis acutis, basales $18/72 \mu$ parietibus validis, subtrabeculatis.

Tablas 1800 m, No. 4538.

223. *Plagiochila viminea* S.

Samaipata 2000 m, No. 4131.

224. *Plagiochila Weymouthiana* St. n. sp. (Fig. 150, d).

Sterilis parva, rigida, brunnea, pulvinata. Caulis 15 mm longus,



Fig. 149. *Plagiochila trilobata* St. n. sp. a—e fol. caulina 15:1; f Spica mascula 15:1.

simplex vel furcatus, capillaceus. Folia caulina confertissima, arrecta, concava, in plano subrotunda (3 mm longa et lata) basi utrinque decurrentia, angusta basi inserta, subsymmetrica, margine superiore dense regulariterque spinuloso, margine infero nudo, apice late rotundata irregulariter denticulata. Cellulae superae $18/18 \mu$ trigonis parvis, basales $18/36 \mu$ trigonis nodulosis.

Lacus Tunari 4700 m, No. 4872.

225. *Plagiochila yoshinagana* St. (Fig. 150, a).

Quebrada de Pocona 2800 m, No. 5137.

Tylimanthus Mitt. 1867.

226. *Tylimanthus bifidus* St. n. sp. (Fig. 151).

Planta sterilis parva rigida rufescens, in rupibus laxae caespitans, vulgo aliis hepaticis corticulis consociata. Caulis ad 25 mm longus, simplex, validus et rigidus, fuscus, e caudice repente ortus. Folia caulina contigua, inferne remote oblique patula, parum concava, in plano late ovata, (3,5 mm longa, supra basin 2 mm lata) asymmetrica, margine superiore basi late rotundata substricto, sub apice unidentato, margine inferiore leviter arcuato, substricto, apice oblique truncata, angulis dente valido armatis, dentibus parallelis, ad anticum vergentibus. Cellulae superae $27/27 \mu$, basales $27/36 \mu$ trigonis ubique parvis, cuticula minute aspera.

Nebelwald über Comarapa, No. 3812.

227. *Tylimanthus Herzogii* St. n. sp. (Fig. 152).

Dioica mediocris flaccida, dilute brunnea, corticola, dense depresso-caespitans. Caulis ad 4 cm longus, tenuis simplex vel parum longeque ramosus. Folia caulina parum imbricata, oblique



patula, canaliculatum concava, in plano ovata vel late ligulata, (4,25 mm longa, 2,5 mm lata) lata basi inserta, apice emarginato-biloba, lobis inaequalibus, supero multo majore, omnibus acutis vel apiculatis, marginibus repandis vel irregulariter breviterque dentatis. Cellulae superae 27/27 μ , basales 27/45 μ trigonis ubique majusculis. Androecia in caule mediana, bracteis 4—6jugis, parvis, saccatis, apice planis, irregulariter dentatis.

Nebelwald über Comarapa, No. 4258, 4280.

228. **Tylimanthus patagonicus** St.

Tablas, 3400 m, No. 2803/b.

229. **Tylimanthus pusillus** St. n. sp.

Sterilis mediocris gracillimus, flaccidus, rufo-brunneus, dense depresso-caespitans, corticolus. Caulis ad 35 mm longus, parum remoteque flagellaceus, flagellis minute remoteque foliatis. Folia caulina pusilla, contigua, subrecte patula, valde concava (in centro gibbosa) subrotunda (1,33 mm longa, 1,5 mm lata) brevi basi inserta, apice late leviterque emarginata, angulis parvo dente armatis. Cellulae superae 27/27 μ , trigonis maximis acutis, basales 27/45 μ trigonis magnis truncatis; cuticula dense papillata.

Viloco 4500 m, No. 3117.

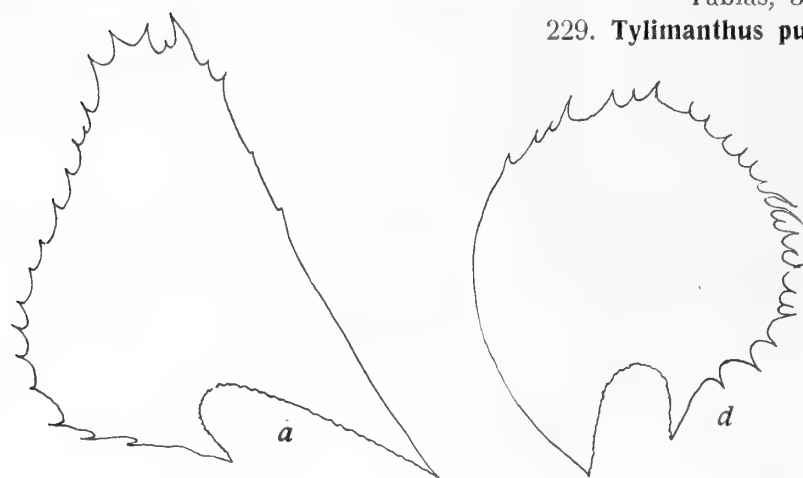


Fig. 150. a *Plagiochila yoshinagana* St. n. sp. fol. caul. 15: 1; b—c *P. ventricosotrigona* St. n. sp. fol. caul. 10: 1; d *P. Weymouthiana* St. n. sp. fol. caul. 15: 1.

Cephaloziaceae.

Leioscyphus Mitt. 1855.

230. **Leioscyphus campanulatus** St. n. sp. (Fig. 153).

Planta dioica magna robusta, purpurascens, in cortice laxo caespitans. Caulis ad 3 cm longus, sparsim longeque ramosus, interdum fasciculatus. Folia caulina conferta, erecto-homomalla, concava, marginibus anguste recurvis, in plano late triangulata (3,5 mm longa, 5 mm lata) apice obtusa, integerrima. Cellulae superae 27/27 μ , trigonis magnis acutis, basales 36/90 μ , parietibus validis, trigonis nullis. Amphigastria caulina parva, caule subduplo latiora, subrotunda, sinuatim inserta, medio utrinque unidentata, apice ad $\frac{1}{3}$ emarginata, sinu subrotundo, laciniis lanceolatis acutis conniventibus. Perianthia terminalia, foliis aequilonga, campanulata, leviter compressa,

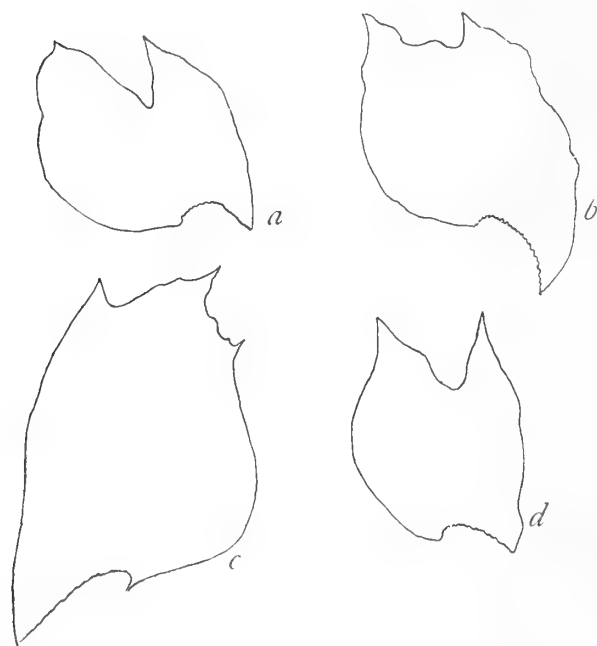


Fig. 151. *Tylimanthus bifidus* St. n. sp. a—d fol. caul. 15: 1.

triplicata, plica tertia postica, sub apice leviter constricta, ipso apice truncato-rotundata, repanda. Folia floralia intima perianthio subaequilonga (5,5 mm longa, medio 3,5 mm lata) apice acuta, lobulo subaequilongo, duplo angustiore, breviter soluto, obtuso. Amphigastrium florale intimum late ovatum (4 mm longum, medio 2,75 mm latum medio utrinque longa spina armatum, ad medium bifidum, sinu subrecto obtuso, laciniis lanceolatis, longe attenuatis acutis.

Rio Tocorani, No. 4075, 4083.

231. *Leioscyphus chiloscyphoideus* Mitt.

Corani, No. 3389.

232. *Leioscyphus schizostomus* S.

Tablas 3400 m, No. 2943.

Lophocolea Dum. 1835.

233. *Lophocolea alpina* St. n. sp. (Fig. 154).

Dioica pusilla flaccida, dilute brunnea, muscis conso-
ciata. Caulis ad 9 mm longus parum longeque ramosus.

Folia caulina conferta, erecto-homomalla, valde concava, in plano subrotunda (0,67 mm longa et lata) lata basi inserta, apice breviter exciso-bidentata, dentibus late triangulatis acutis. Cellulae superae 27/27 μ , basales 27/36 μ , trigonis nullis. Amphigastria caulina majuscula, oblongo-elliptica (0,58 mm longa, 0,33 mm lata) transverse inserta, ad medium emarginato-bifida, laciniis angustis superne setiformibus. Perianthia magna, optime campanulata (3,75 mm longa, medio 2 mm lata), ore amplissimo, 2,75 mm lato, profunde trilobato, lobis lateralibus breviter bifidis,

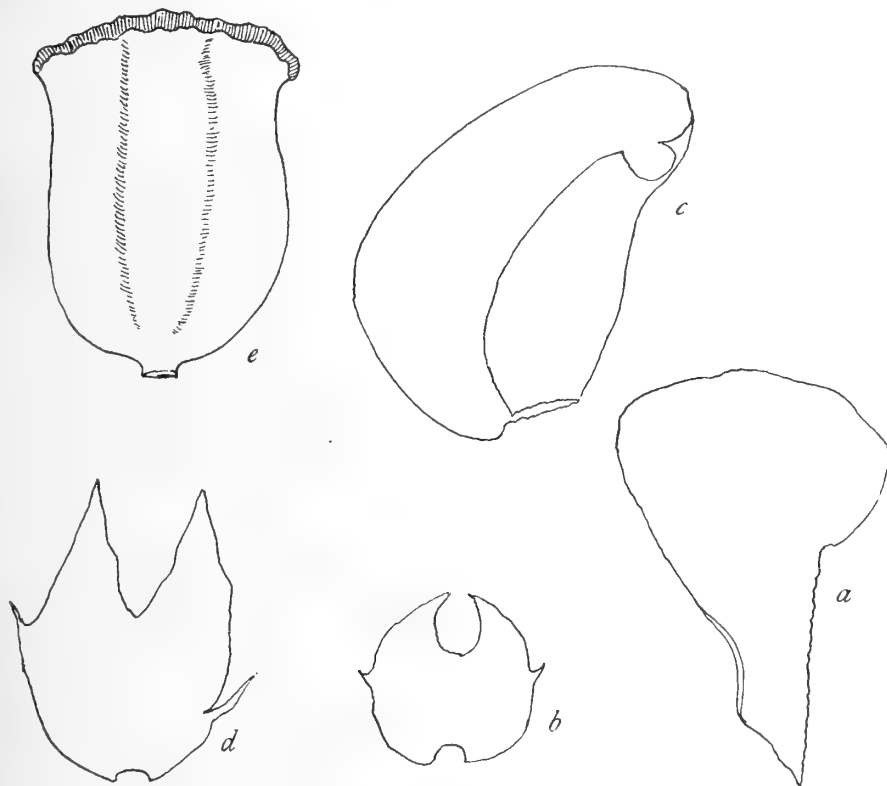


Fig. 153. *Leioscyphus campanulatus* St. n. sp. a fol. caul. 10:1; b Amph. caulin. 10:1; c fol. flor. 10:1; d amphigastr. flor. 10:1; e Perianth. 10:1.

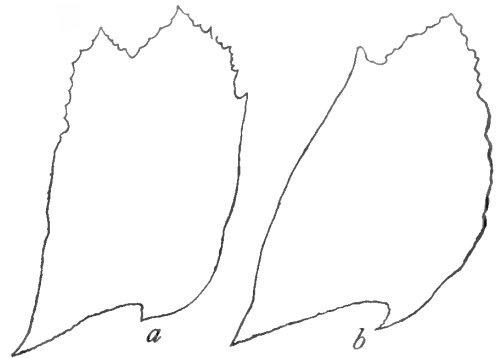


Fig. 152. *Tylimanthus Herzogii* St. n. sp. a, b fol. caulin 10:1.

ad $\frac{1}{3}$ incisus, sinu recto, segmentis triangulatis cuspidatis, lobulo postico subquadrato, apice rotundato exciso-bidentulo. Folia floralia oblonga, perianthio parum breviora, duplo longiora quam lata, apice ad $\frac{1}{4}$ inciso-biloba, lobis acutis inaequalibus, supero duplo latiore, triangulato, altero lanceolato. Amphigastrium florale caulino simillimum, laciniis quidem longioribus, valde cuspidatis, apice setaceis. Androecia desunt.

In valle Llave 4300 m.
No. 4795.

234. *Lophocolea boliviensis* St. n. sp. (Fig. 155).

Dioica minor, fusco-brunnea vel subatra, in cortice pulvinatim caespitans.

Caulis ad 2 cm longus, simplex vel paucipinnulatus. Folia caulina imbricata, oblique patula, erecto-homomalla, valde concava, in plano subrotunda, interdum truncata vel obtuse apiculata, valde heterophylla (0,83 mm longa et lata). Cellulae superae $27/27 \mu$ trigonis parvis, basales $27/36 \mu$ trigonis magnis. Amphigastia caulina parva, caule parum latiora, foliis utrinque coalita, subrotunda, ad medium exciso-bifida, laciniis angustis hamatim conniventibus, acutis, sinu amplo. Perianthia anguste clavata, (4 mm longa, medio 1,25 mm lata) ore parvo truncato crenulato, plicis angustis. Folia floralia intima conduplicatim concava, in plano late obovata, apice rotun-

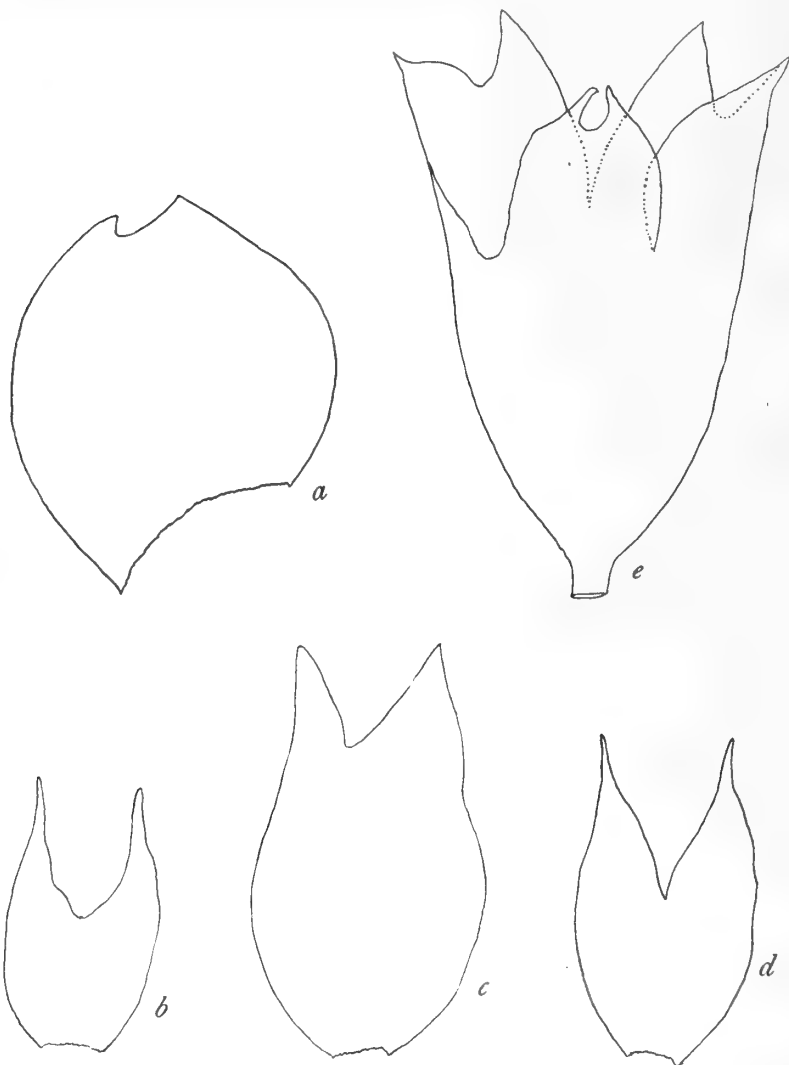


Fig. 154. *Lophocolea alpina* St. n. sp. a fol. caul. 60:1; b amphig. caul. 60:1 c fol. flor. 60:1; d amphig. flor. 60:1; e Perianth. 60:1.

data, perianthio duplo breviora (2 mm longa, 1,75 mm lata). Amphigastrium florale intimum ovatum, foliis floralibus duplo brevius, ad medium inciso-bifidum, sinu subrecto, laciniis lanceolatis acutis porrectis, disco basali integro utrinque bidentato, dentibus remotis, inferis subbasalibus, superis medianis. Capsula breviter pedicellata, sphaerica. Elateres attenuati, bispiri, spiris laxe tortis. Sporae 14μ leves, flavescens. Androecia desunt.

Sillar 1800 m, No. 2778; Altamachi, No. 3869.

235. *Lophocolea celluloso-crenulata* St. n. sp. (Fig. 156).

Dioica minor flaccida, pallide virens, aetate flavescens, dense depresso-caespitans, corticola. Caulis ad 2 cm longus, irregulariter pluriramosus. Folia caulina imbricata, oblique patula, concava apiceque decurva, in plano late ovata (1,33 mm longa, medio 1 mm lata) subsymmetrica, apice breviter emarginata-bidentata, sinu amplo, laciniis e lata basi breviter attenuatis, acutis. Cellulae superae $18/18 \mu$, basales $36/54 \mu$, trigonis nullis, marginales crenulatim prominulae. Amphigastia caulina parva, caule parum latiora, basi obtusata, medio utrinque setula armata, apice ad medium bifida, sinu

recto obtuso, laciniis lanceolatis cuspidatis divergentibus. Perianthia (sterilia) obovata (4,5 mm longa, 2,5 mm lata) apice profunde trilobata, lobis breviter bifidis, irregulariter angulatis et denticulatis, innovatione nulla. Folia floralia ovato-oblonga symmetrica (3,5 mm longa, medio 2 mm lata) apice ad $1/5$ inciso-bifida, sinu subrecto, laciniis lanceolatis porrectis acutis. Amphigastrium florale intimum ovatum (2,25 mm longum, medio 1,75 mm latum) apice ad $1/4$ emarginato-bilobatum, sinu recto, lobis triangulatis obtusis integerrimis. Androecia ignota.

Florida de San Mateo, No. 3694.

236. **Lophocolea cervicornis** St. n. sp. (Fig. 157, a).

Sterilis major rigida, dilute virens, aetate fusca, muscis consociata. Caulis ad 6 cm longus, simplex vel parum longeque ramosus. Folia caulina contigua, recte patula, parum concava, in plano subrotunda (1,33 mm longa et lata) latissima basi inserta, apice late rotundata, quadrispina, spinis validis longis remotis divergentibus. Cellulae superae 36/36 μ basales 36/54 μ trigonis nullis. Amphigastria caulina magna, folio proximo breviter connata, disco integro humillimo, utrinque lacinia longissima armato, laciniis hamatim incurvis, late divergentibus, apice inaequaliter bifidis, superne setaceis, cornua fingentibus.

Tablas 1800 m, No. 4529; San Mateo Sunchal, No. 4455.

237. **Lophocolea grossitexta** St. n. sp. (Fig. 157, b).

Sterilis major rigidula, olivacea, inter muscos caespitans. Caulis ad 5 cm longus, parum longeque ramosus vel simplex. Folia caulina parum imbricata, oblique patula, leviter concava, in plano subrhombea (3 mm longa, 1,5 mm lata) apice varie armata, truncata, angulis apiculatis vel leviter emarginata, angulis late rotundatis, adsunt folia apice profundius emarginata, lobis angustis obtusis, alia apice truncata, angulo obtuso altero acuto. Cellulae superae 54/54 μ , basales 54/90 μ trigonis nullis. Amphigastria caulina parva, caule latiora, disco integro subquadrato, utrinque hispinoso, apice late emarginata, angulis longa seta armatis, setulis late divergentibus.

Cerros de Malaga 4000 m, No. 4373.

238. **Lophocolea Hariotii** St. n. sp. (Fig. 158, b).

Sterilis exigua, gracilis, pallide virens, aliis hepaticis rupicolis consociata. Caulis ad 5 mm longus, simplex, tenuissimus. Folia caulina imbricata, recte patula, parum concava, in plano late ovato-trigona (1 mm longa, supra basin 1 mm lata) optime symmetrica, latissima basi inserta, apice triplo angustiore, leviter emarginato, angulis apiculatis. Cellulae superae 27/27 μ , basales 27/36 μ , trigonis nullis. Amphigastria caulina majuscula, ambitu late obconica, transverse inserta, apice late emarginata longeque spinosa, spinis late divergentibus attenuatis, sub apice utrinque spinula instructa.

Lacus Tunari 4400 m, No. 4899.

239. **Lophocolea Lechleri** G.

Sillar 1800 m, No. 2766.

240. **Lophocolea longiseta** St. n. sp. (Fig. 158, a).

Dioica parva flaccida, dilute virens, aliis hepaticis terricolis consociata. Caulis ad 15 mm longus, irregulariter longeque ramosus. Folia caulina contigua, subrecte patula, parum concava, in plano late ovata (1,67 mm longa, basi 1,25 mm lata) subsymmetrica, apice ad $\frac{1}{3}$ emargi-

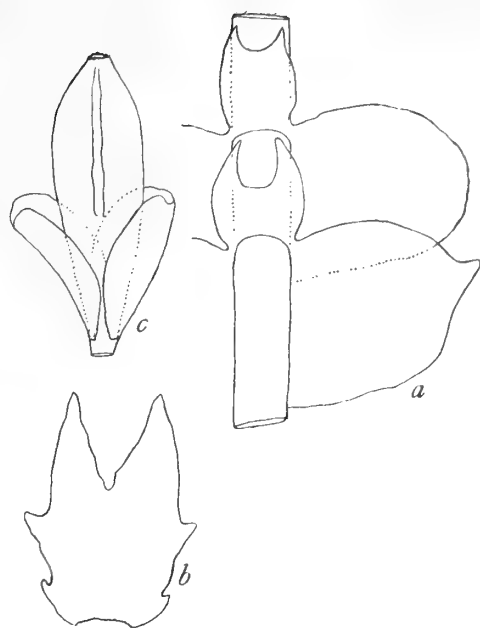


Fig. 155. *Lophocolea boliviensis* St. n. sp. a folia cum amphigastr. 30:1; b amphig. florale 10:1; c Perianth. cum foliis flor. 30:1.

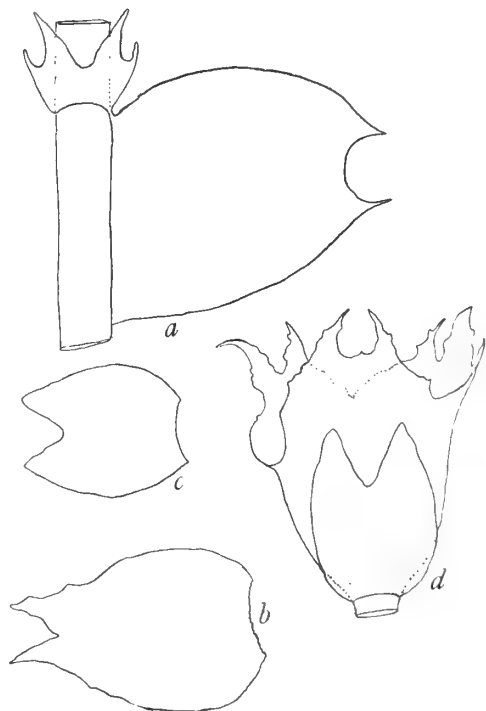


Fig. 156. *Lophocolea celluloso-crenulata* St. n. sp. a fol. caul. 10:1; b fol. flor. 10:1; c amph. flor. 10:1; d Per. 10:1.

nato-bifida, sinu amplo, 0,5 mm lato, laciniis e lata basi setaceis, porrectis, 0,5 mm longis. Cellulae superae 27/27 μ , basales 27/36 μ trigonis nullis. Amphigastria caulina majuscula, caule triplo latiora, folio proximo anguste coalita, transverse inserta, disco basali integro duplo latiore quam longo, utrinque spina armato, apice emarginato-bifida, sinu amplissimo, laciniis setaceis curvatim erectis. Androecia in caule mediana, valde numerosa, bracteis 4—8 jugis.

Lacus Tunari 4400 m, No. 4918; Inacorral 2200 m, No. 4965; Rio Tocorani 2200 m, No. 4006.

241. **Lophocolea longissima** St. n. sp. (Fig. 159, a).

Sterilis magna gracilissima flaccida, flavo-rufescens, in cortice dense prostrata. Caulis ad 5 cm longus, parum longeque ramosus. Folia caulina contigua, erecto-homomalla, valde concava vel involuta, in plano reniformia (1 mm longa, 1,25 mm lata) apice late rotundata vel varie retusa, latissima basi inserta, integerrima. Cellulae superae 36/36 μ basales 36/54 μ trigonis nullis. Amphigastria caulina parva, caule parum latiora, sinuatim inserta, ovata, ad medium emarginato-bifida, sinu semirecto, segmentis lanceolatis, porrectis, cuspidatis.

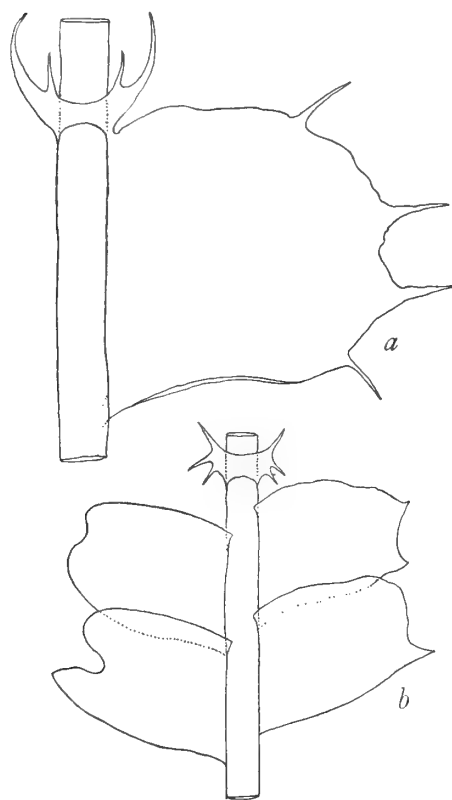


Fig. 157. a *Lophocolea cervicornis* St. n. sp. 10 : 1; b *L. grossitexta* St. n. sp. 10 : 1.

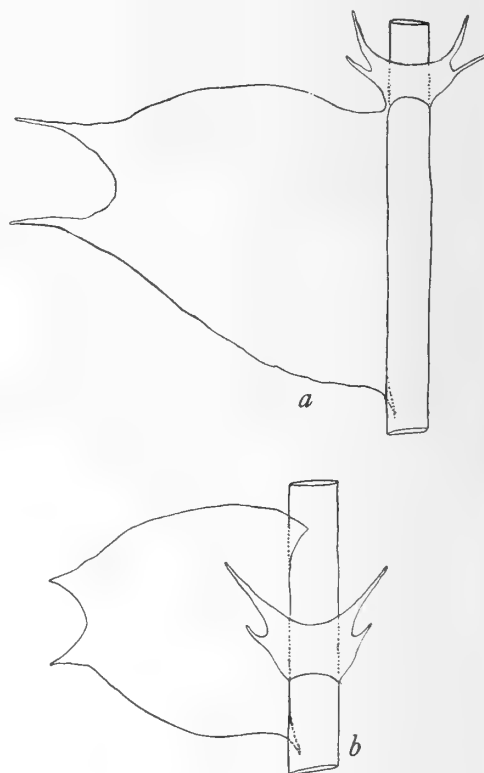


Fig. 158. a *Lophocolea longiseta* St. n. sp. 30 : 1; b *L. Hariotii* St. n. sp. 30 : 1.

Hab. Corani, ca. 1800 m, No. 4671.

242. **Lophocolea Lorentiana** St.

Tablas 3400 m, No. 2785, 2838/a, Rio Saujana 3400 m, No. 3272.

243. **Lophocolea Mandoni** St.

Cerros de Malaga 3500 m, No. 4399.

244. **Lophocolea Osculati** De Not.

Sillar 1800 m, No. 2686/a.

245. **Lophocolea pinnatistipula** St. n. sp. (Fig. 159, b—d).

Sterilis pusilla rufescens, rigida et fragilis, aliis hepaticis consociata. Caulis ad 25 mm longus, simplex vel parum longeque ramosus. Folia caulina imbricata, decurva, oblique patula, in plano subrotunda (1,33 mm longa et lata) symmetrica, apice truncato-rotundata vel varie repanda. Cellulae superae 18/18 μ , basales 27/36 μ , trigonis nullis. Amphigastria caulina parva, lanceolata, pinnatim ciliata, ciliis plus minus longis.

Cerro Tunari, ca. 4700 m, No. 4930/b in rupibus.

246. **Lophocolea quadridens** St.

Sillar 1800 m, No. 2719; Corani 2600 m, No. 3402; Tablas 3400 m. No. 2807.

247. **Lophocolea quadridentata** St.

Sillar 1800 m, No. 2683;
Locotal 1800 m, No. 5084;
Quebrada de Pocona 2800 m.

248. **Lophocolea Sprucei** St. n. sp.
(Fig. 159, e—f).

Sterilis majuscula gracilis, rigi-
dula, rufo-brunnea, aliis hepaticis
consociata. Caulis ad 4 cm longus,
simplex vel parum longeque ramosus.
Folia caulina conferta,
erecto-homomalla, parum concava,
in plano late trigona (2 mm longa,
supra basin 2,25 mm lata) asym-
metrica, margine supero valde arcu-
ato, infero stricto, latissima basi
inserta, apice 0,75 mm lata, trun-
cata, angulis apiculatis. Cellulae su-
perae 36/36 μ trigonis nullis, basales
27/45 μ , trigonis magnis acutis.
Amphigastria caulina majus-
cula, disco integro subquadrato,
utrinque bispinoso, spinis remotis,
apice emarginato-bifida, sinu amplo,
laciniis setaceis porrectis, disco
longioribus.

Cerros de Malaga 3500 m,
No. 4410.

249. **Lophocolea Wehmeri** St. n. sp.
(Fig. 160).

Dioica major flaccida, dilute
virens, muscis corticolis consociata.
Caulis ad 3 cm longus, parum
longeque ramosus, sub flore gemi-
natim innovatus. Folia caulina
subopposita, oblique patula con-
ferta, leviter decurva, in plano ovato-
trigona (3 mm longa, supra basin
2 mm lata) subsymmetrica, apice
oblique truncata, angulis spina
valida armatis. Cellulae superae
36/54 μ , basales 36/72 μ trigonis
parvis, apice subnullis. Amphigastria caulina parva, caule
vix latiora, parum latiora quam longa,
apice late emarginato-bidentata, sub
apice utrinque parvo dente armata,
foliis utrinque breviter coalita.

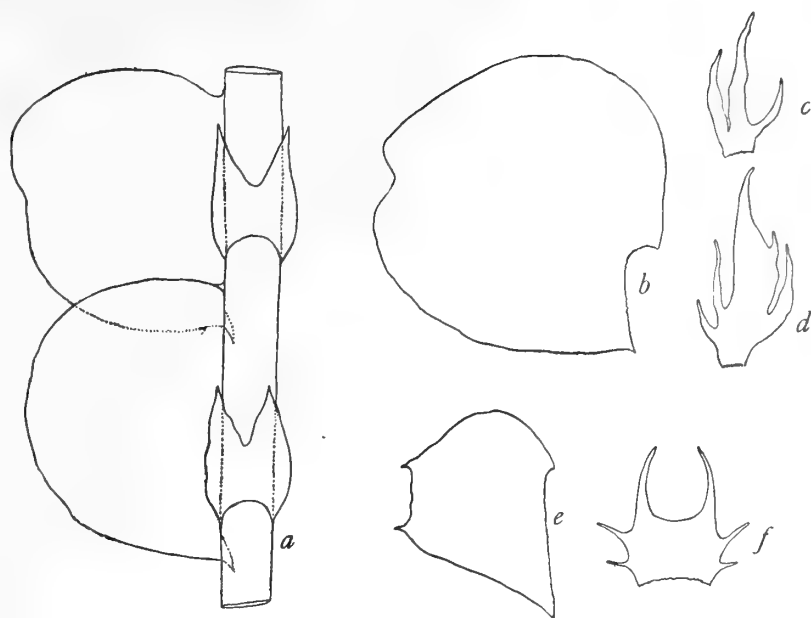


Fig. 159. *a* *Lophocolea longissima* St. n. sp. 30 : 1; *b—d* *L. pinnatistipula* St. n. sp.; *b* fol. caul. 10 : 1; *c, d* Amphigastria caulina 10 : 1, *e—f* *L. Sprucei* St. n. sp.; *e* fol. caul. 30 : 1; *f* amphig. 30 : 1.

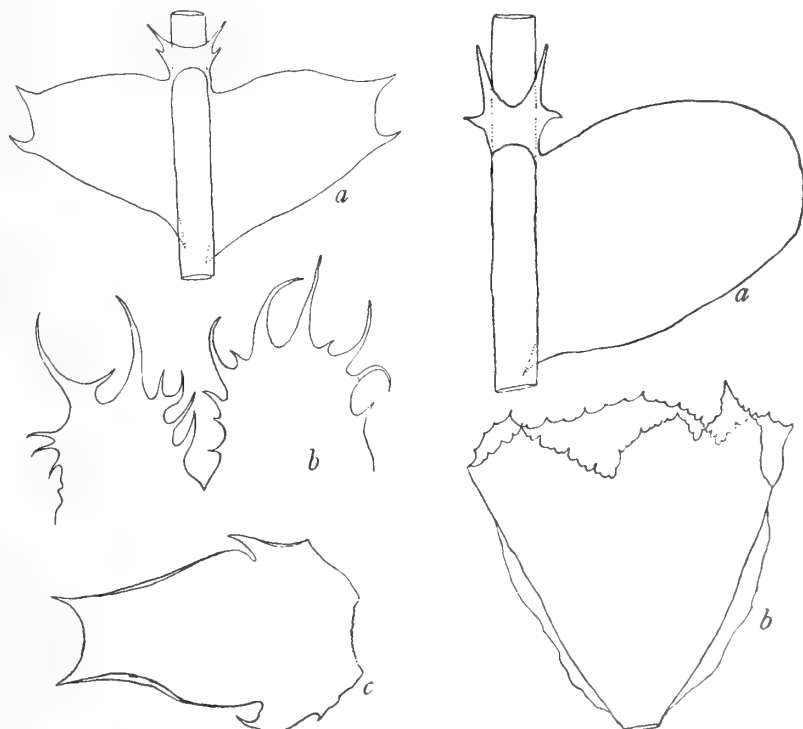


Fig. 160. *Lophocolea Wehmeri* St. n. sp. *a* fol. caul. 30 : 1; *b* apex perianthii 10 : 1; *c* amphig. flor. 10 : 1.

Fig. 161. *Chiloscyphus difficilis* St. n. sp. *a* fol. caul. 10 : 1; *b* Perianthium 10 : 1.

Perianthia anguste oblonga, apice breviter triloba, lobis subquadratis, irregulariter valideque spinosis. Folia floralia caulinis simillima, parum majora. Amphigastrium florale intimum ovato-oblongum (4 mm longum, medio 2 mm latum) apice angustiore emarginato-bidentatum, supra basin utrinque remote bidentulum. Androecia desunt. Comarapa 2600 m, No. 4285.

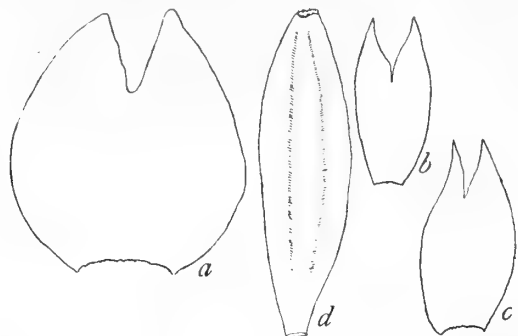


Fig. 162. *Cephalozia grandifolia* St. n. sp. a fol. caul. in plano 30 : 1; b amphig. flor. 10 : 1; c fol. flor. cum lobulo 10 : 1; d Perianth. 10 : 1.

disco integro subquadrato, utrinque spina valida recte patente armato, apice emarginato-bifida, laciniis disco duplo longioribus, setaceis porrectis vel divergentibus. *Perianthia* late obconica, compressula, carinis utrinque anguste alatis, alis integerrimis, apice truncata, marginibus irregulariter breviterque lobatis, lobis acutis, plus minus dense minuteque dentatis. Folia floralia caulinis simillima, perianthio aequilonga. Amphigastrium florale destructum.

Comarapa 2600 m, No. 4234.

251. *Chiloscyphus parvistipulus* St.

Corani 1800 m, No. 4719.

252. *Chiloscyphus porphyrius* Nees.

Vallis Pajonal 4000 m, No. 3255.

Cephalozia Dum. 1835.

253. *Cephalozia diacantha* (Mont.) St.

Tablas, 1800 m, No. 4593.

254. *Cephalozia grandifolia* St. n. sp. (Fig. 162).

Dioica pusilla, dilute brunnea, aliis hepaticis consociata. Caulis ad 8 mm longus, irregulariter multiramosus, pallidus, carnosus. Folia caulina contigua, erecto homomalla, cucullatim incurva, in plano late ovata, optime symmetrica (1,17 mm longa, medio 1 mm lata) transverse inserta, ad $\frac{1}{3}$ biloba, sinu angusto, obtuso, lobis triangulatis porrectis obtusis. Cellulae foliorum superae 27/27 μ , mediae 18/45 μ , basales 18/63 μ trigonis nullis, parietibus tenuibus. *Perianthia* fusiformia (4,5 mm longa) ore parvo crenulato. Folia floralia perianthio duplo breviora, oblonga, ad $\frac{1}{3}$ bifida, laciniis lanceolatis, porrectis acutis, sinu angusto. Amphigastrium florale intimum foliis floralibus aequilongum oblongo-obconicum, ceterum simillimum. Androecia desunt.

Viloco 4500 m, No. 3107, 3113, 3119.

Chiloscyphus Corda 1829.

250. *Chiloscyphus difficilis* St. n. sp. (Fig. 161).

Planta dioica mediocris rigidula et valida, rufa, in rupibus pulvinatim caespitans. Caulis ad 2 cm longus, irregulariter breviterque pinnatus, saepe subfasciculatim ramosus. Folia caulina conferta, erecto-homomalla, parum concava, in plano ovato-trigona (3,5 mm longa, supra basin 2,75 mm lata) subsymmetrica, apice rotundata, integerrima. Cellulae 36/36 μ , ubique subaequales, trigonis nullis. Amphigastria caulina parva, caule vix latiora, folio proximo connata;

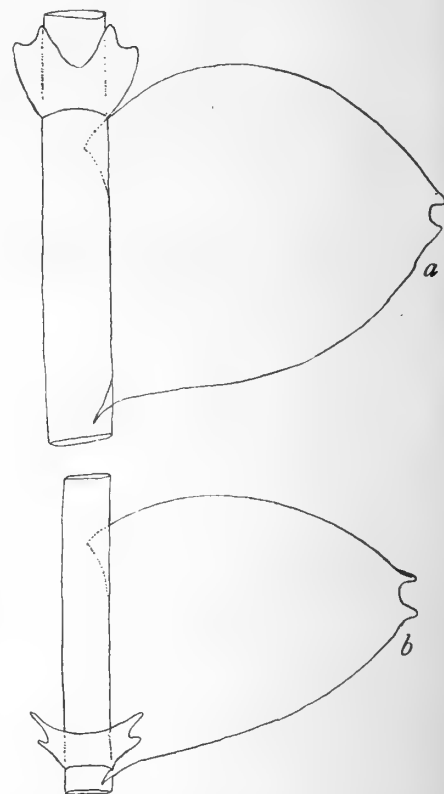


Fig. 163. a *Calypogeia subrotunda* St. n. sp. fol. caul. 30 : 1; b *C. muscicola* St. n. sp. fol. caul. 30 : 1.

Calypogeia (Raddi 1820).

255. **Calypogeia annabanensis** St.

Bolivia (sine loco natali).

256. **Calypogeia muscicola** St. n. sp. (Fig. 163, b).

Sterilis exigua, rigidula, dilute brunnea, muscis corticolis consociata. Caulis ad 15 mm longus, parum longeque ramosus. Folia caulina contigua, oblique patula, leviter decurva, in plano optime ovata, symmetrica (1,4 mm longa, medio 1,1 mm lata) latissima basi inserta, apice exciso-bidentula, denticulis obtusis. Cellulae superae 27/36 μ , basales 27/54 μ , parietibus tenuibus, trigonis nullis. Amphigastria caulina parva, caule parum latiora, transverse inserta, duplo latiora quam longa, apice late emarginato-biloba, lobis apice bifidis, lobulis inaequalibus, supero longiore.

Cordillera de Santa Cruz, No. 3892.

257. **Calypogeia subrotunda** St. n. sp. (Fig. 163, a).

Sterilis mediocris rigidula olivacea, in rupibus dense depresso-caespitans. Caulis ad 15 mm longus, simplex, validus. Folia caulina conferta, oblique patula, parum concava, in plano ovatotrigona (1,5 mm longa, 1,4 mm lata) symmetrica, apice obtusa, minute exciso-bidentata. Cellulae superae 27/27 μ , basales 36/54 μ , trigonis subnullis. Amphigastria caulina parva, caule vix latiora, latiora quam longa, ad medium excisa, lobis iterum breviter exciso-bidentulis, dentibus obtusis.

Tablas, 1800 m, No. 4587.

Mastigobryum Syn. Hep. 1846.

258. **Mastigobryum azuayense** St.

San Miguelito, No. 2780/a.

259. **Mastigobryum bolivianum** St. n. sp. (Fig. 164, f—h).

Sterilis, maxima, rigida, flavo-rufescens, gracilis, in cortice laxe caespitans maximeque intricata. Caulis ad 12 cm longus, sparsim breviterque ramosus, ramulis 1 cm longis, remotis flagellis paucis minutis capillaceis. Folia caulina parum imbricata, decurvo-homomalla, maxime concava, in plano oblongo-trigona (4,25 mm longa, supra basin 3 mm lata), apice truncata (0,6 mm lata) emarginato-tridentata, dentibus parvis triangulatis acutis, basi utrinque appendiculata, appendiculo supero breviusculo constricto apice truncato, angulis apiculatis, infero longissimo anguste lanceolato, obtuso, integerrimo. Cellulae superae 27/27 μ , trigonis magnis acutis, basales 27/54 μ , trigonis magnis truncatis. Amphigastria caulina magna (1,5 mm longa, 1,17 mm lata) quadrato-rotundata, repanda, apice late rotundata, basi utrinque appendiculata, appendiculis rotundatis recurvis irregulariter breviterque lobatis, lobis obtusis vel spinulosis, sublaceratis.

Corani 2600 m, No. 5072.

260. **Mastigobryum Braunianum** St.

Bolivia (sine loco natali).

261. **Mastigobryum decurrens** St.

Bolivia (sine loco natali).

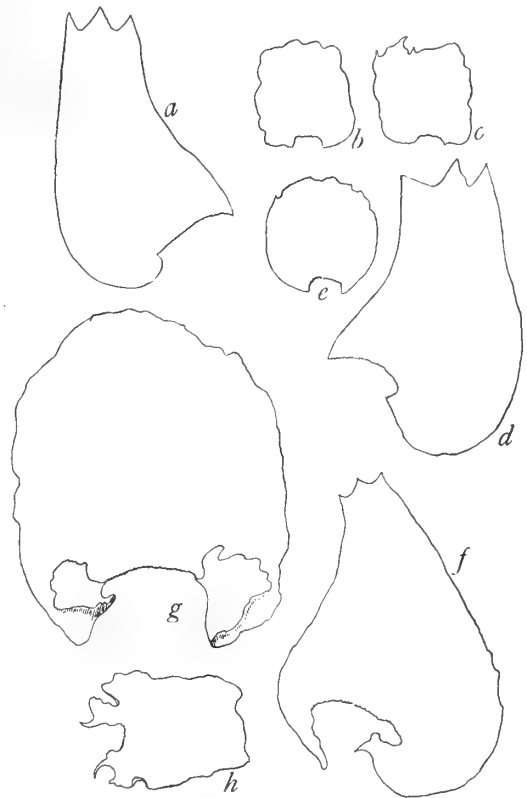


Fig. 164. a—c *Mastigobryum Douini* St. n. sp. a fol. caul. 10:1; b—c amph. caul. 10:1; d—e *M. Hariotii* St. n. sp. d fol. caul. 10:1; e amphig. 10:1; f—h *M. bolivianum* St. n. sp. f fol. caul. 10:1; g amph. caul. 30:1; h amph. caul. 10:1.

262. **Mastigobryum Douini** St. n. sp. (Fig. 164, a—c).

Sterilis magna valida flaccida, pallide flavicans, in cortice prostrata denseque caespitans. Caulis ad 5 cm longus, superne regulariter breviterque furcatus et repetito furcatus, flagellis brevibus numerosis. Folia caulina parum imbricata, recte patula, parum concava, in plano oblongo-trigona (3,75 mm longa, supra basin 2 mm lata, apice 1 mm lata) truncata, breviter inciso-triloba, lobulis triangulatis acutis porrectis integerrimis, lata basi inserta, basi antica breviter rotundata caulem vix tegentia. Cellulae superae $27/27 \mu$ trigonis nodulosas, basales $27/54 \mu$ trigonis magnis truncatis, parietibus validis. Amphigastria caulina magna, optime quadrata, 1,25 mm longa et lata, apice recte truncata, marginibus leviter irregulariterque repandis, hic illic spinulosis.

Tablas, 1800 m, No. 4620; Rio Tocorani, ca. 3000 m, No. 3841/a.

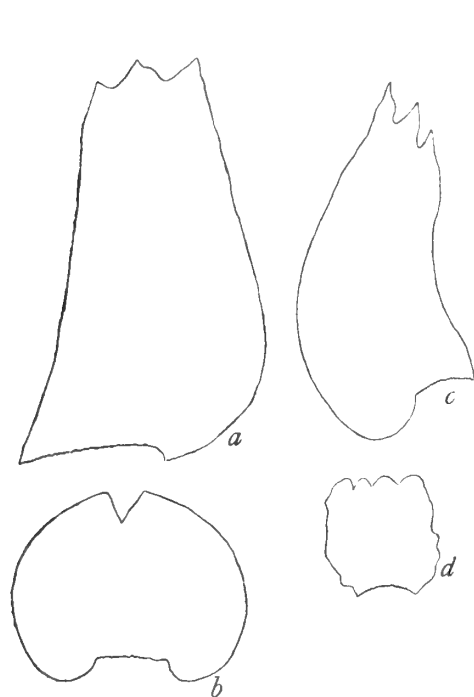


Fig. 165. a—b *Mastigobryum incisobilobatum* St. n. sp. a fol. caul. 30:1; b amphig. 30:1; c—d *M. incisostipulum* St. n. sp. c fol. caul. 10:1; d amphig. 10:1.

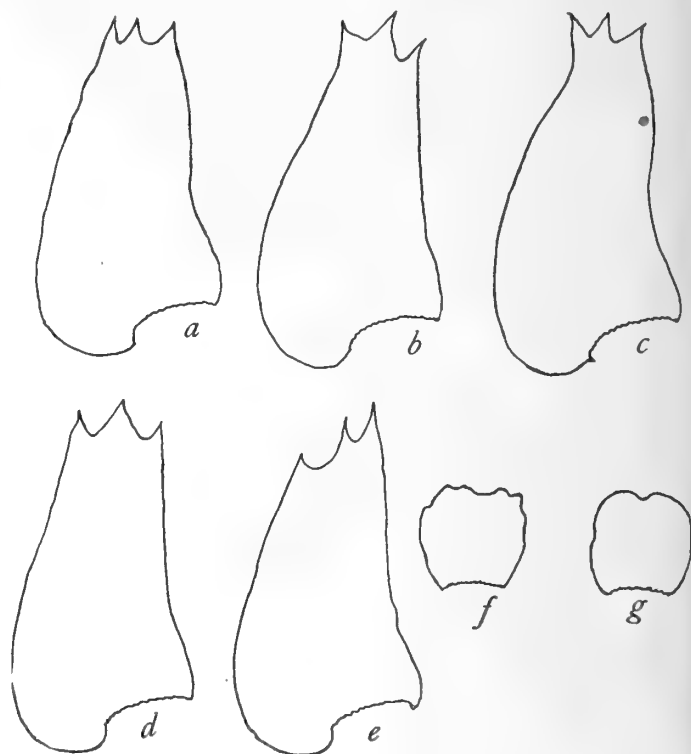


Fig. 166. *Mastigobryum variedentatum* St. n. sp. a—c folia caulina 15:1; f, g amphig. caulina 15:1.

263. **Mastigobryum Hariotii** St. n. sp. (Fig. 164, d—e).

Sterilis magna gracilis rigida, olivacea, in rupibus dense depresso-caespitans lateque expansa. Caulis ad 8 cm longus, parum breviterque ramosus, flagellis remotis brevissimis numerosis. Folia caulina parum imbricata, decurvo-homomalla, in plano oblonga (3,5 mm longa, supra basin 2,5 mm lata, apice 1,25 mm lata) leviter curvata, apice truncata, tridentata, dentibus triangulatis acutis aequalibus, sinibus acutis amplis, basi ad medium inserta, basi antica ampliata, caulem superantia truncato-rotundata. Cellulae superae $27/27 \mu$ trigonis parvis, basales $27/54 \mu$ parietibus validis. Amphigastria caulina magna squarrose patula, in plano optime rotunda, brevi basi inserta, 1,5 mm longa et lata, integerrima.

Nebelwald über Comarapa, ca. 2600 m, No. 4233.

264. **Mastigobryum inciso-bilobatum** St. n. sp. (Fig. 165, a—b).

Sterilis mediocris rigidula, pallide virens aetate rufescens. Caulis ad 3 cm longus, parum longeque ramosus, flagellis numerosis longissimis. Folia caulina remotiuscula, subrecte patula,

parum concava, in plano oblonga (1,8 mm longa, supra basin 0,9 mm lata) asymmetrica, margine sup e basi late rotundata substricto, infero stricto, apice recte truncata (0,5 mm lata) trilobata, lobis brevibus triangulatis acutis subaequalibus, rarius apiculatis. Cellulae superae 18/18 μ , basales 18/36 μ trigonis nullis. Amphigastria caulina magna, optime cordiformia (1,25 mm lata, 1 mm longa) basi utrinque late rotundata, apice ad $\frac{1}{5}$ inciso-biloba, sinu recto, lobis triangulatis acutis.

Rio Tocorani, No. 4073.

265. **Mastigobryum incisostipulum** St. n. sp. (Fig. 165, c—d).

Sterilis major, rigida, flavo-virens, aetate flavo-rufescens. Caulis ad 5 cm longus, sparsim longeque ramosus, flagellis sparsis breviusculis. Folia caulina parum imbricata, recte patula, leviter concava, in plano anguste oblonga (4,75 mm longa, basi 2 mm lata) leviter falcata, apice recte vel oblique truncata (1 mm lata) inciso-triloba, lobis subaequalibus, anguste triangulatis acutis porrectis. Cellulae superae 18/18 μ basales 27/54 μ , trigonis ubique grosse nodulosi. Amphigastria caulina caule triplo latiora, subquadrata, apice plus minus regulariter quadri-loba, lobulis brevibus obtusis vel rotundatis.

Comarapa 2600 m, No. 3946.

266. **Mastigobryum Lindigii** St.

Corani, ca. 2600 m, No. 3390/a.

267. **Mastigobryum variedentatum** St. n. sp. (Fig. 166).

Sterilis major valida, dilute virens, aetate fusco-brunnea. Caulis ad 5 cm longus, parum longeque ramosus, flagellis numerosi longissimi. Folia caulina parum imbricata, decurvo-homomalla, in plano anguste oblonga (3 mm longa, supra basin 1,5 mm lata) asymmetrica, margine sup e, e basi late rotundata substricto, infero leviter sinuato, apice quam basis triplo angustiore, recte truncato, emarginato-tridentato, dentibus normaliter triangulatis, acutis porrectis, in aliis oblique truncato vel sub apice constricto. Cellulae superae 18/18 μ trigonis majusculis, basales 27/45 μ , trigonis subnullis. Amphigastria caulina optime quadrata (0,83 mm longa et lata) apice leviter repanda, angulis obtusis.

Comarapa 2600 m, No. 3788.



Fig. 167. *Lepidozia appendiculata* St. n. sp. a fol. caul. 20:1; b amphig. caul. 20:1.

Lepidozia Dum. 1835.

268. **Lepidozia Allionii** St.

Sillar 1800 m, No. 2713; Tablas, No. 4549.

269. **Lepidozia appendiculata** St, n. sp. (Fig. 167).

Sterilis magna robusta, flavo-rufescens, flaccida, in cortice dense depresso-caespitans. Caulis ad 6 cm longus, regulariter denseque bipinnatus, pinnis primariis 10 mm longis, apice attenuatis breviterque flagellatis. Folia caulina remota, oblique patula, maxime concava, in plano 2 mm longa, 2,5 mm lata, valde asymmetrica, margine antico late rotundato, postico brevissimo, truncato, basi antica grosse appendiculata, appendiculo lacerato, apice quadrifida, laciniis 0,67 mm longis, e lata basi attenuatis, apice setaceis, basi 8—15 cellulas latis. Cellulae superae 18/18 μ , basales 18/36 μ , parietibus validis. Amphigastria caulina reniformia, 1,33 mm lata, 1,17 mm longa, utrinque breviter irregulariterque dentata et spinosa, apice ad medium quadrifida, laciniis sparsim irregulariterque dentatis porrectis acutis, basi 10 cellulas latis.

Tablas 3400 m, No. 2820.

270. **Lepidozia amazonica** S.

Corani, 1800 m, No. 4669.

271. *Lepidozia boliviensis* St.

Tablas 3400 m, No. 2805/a, 2883, 2856/a.

272. *Lepidozia flavescens* St. n. sp. (Fig. 168, a—b).

Sterilis major flaccida flavescens vel flavo-virens, in humo laxe caespitans lateque expansa. Caulis ad 4 cm longus, regulariter pinnatus, pinnis 1 cm longis decurvis attenuatis. Folia caulina remota, oblique patula, valde concava, apicibus quidem planis, porrectis, in plano 1 mm lata, 1,17 mm longa, asymmetrica, margine supero valde arcuato, postico stricto; disco basali integro oblique truncato (antice 0,67 mm postice 0,25 mm longo) apice quadrifida, laciniis 0,5 mm longis, anguste lanceolatis attenuatis subaequalibus, basi 7—9 cellulas latis. Cellulae superae 18/18 μ , basales 18/27 μ parietibus validis. Amphigastria caulina cauli parum latiora, squarrose patula, in plano subquadrata (0,67 mm longa et lata) basi utrinque parvo dente armata, apice quadrifida, laciniis 0,5 mm longis lanceolatis, apice setaceis.

Lagunillas in valle Tocorani 3000 m, No. 3841.

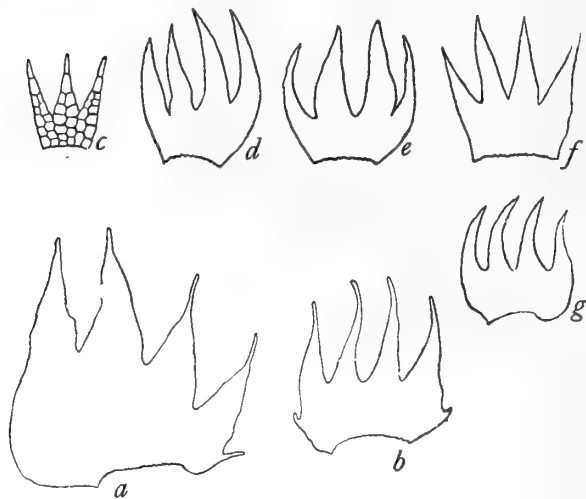


Fig. 168. a—b *Lepidozia flavescens* St. n. sp. a fol. caul. 20:1; b amph. caul. 20:1. c *L. Herzogiana* St. n. sp. amph. caul. 40:1; d—e *L. rufescens* St. n. sp. d fol. caul. 40:1; e amphig. 40:1; f—g *L. subtilis* St. n. sp. f fol. caul. 40:1; g amphig. caulinum 40:1.

obcuneata, subsymmetrica, (ambitu 0,5 mm longa, medio 0,33 mm lata); disco basali integro humili, obcuneato, antice 0,21 mm postice 0,12 mm longo, oblique truncato, apice profunde quadrifida, laciniis subaequilongis, anguste lanceolatis porrectis acutis, basi 2—4 cellulas latis, 0,33 mm longis. Cellulae superae 18/18 μ , basales 18/27 μ , parietibus validis. Amphigastria caulina foliis aequimagna, simillima, symmetrica, laciniis mediis basi 4 cellulas latis, externis duplo angustioribus.

Tablas 2000 m.

276. *Lepidozia serpens* S.

Tablas, 3400 m, No. 2882.

277. *Lepidozia Sprucei* St.

Tablas 1800 m, No. 4548.

278. *Lepidozia subtilis* St. n. sp. (Fig. 168, f—g).

Sterilis magna gracillima flavescens, in cortice laxe caespitans lateque expansa. Caulis ad 6 cm longus, valde irregulariter pinnatus, ramis longioribus paucipinnulatis, hic illic longissime flagelliformibus, apicibus nudis. Folia caulina remotiuscula, oblique patula, parum concava, in plano obcuneata (0,5 mm longa, basi 0,25 mm lata, apice 0,5 mm lata) symmetrica, apice quadrifida, laciniis

273. *Lepidozia Herzogiana* St. n. sp. (Fig. 168, c).

Sterilis exigua capillacea, rufescens, in cortice dense intricata. Caulis ad 5 mm longus, regulariter remoteque pinnatus, ramis simplicibus subrecte patulis. Folia caulina remotiuscula, valde concava, in plano 0,3 mm longa, basi 0,17 mm lata, symmetrica, disco basali integro 3 cellulas longo, 6 cellulas lato, apice trifida, laciniis aequimagnis, angustis, 2 cellulas latis, apice setaceis. Cellulae laciniarum 14/27 μ , basales 18/18 μ , trigonis subnullis. Amphigastria caulina foliis aequimagna, simillima, patula, incurva

Paracti 2000 m, No. 5032.

274. *Lepidozia heterophylla* St.

Tablas 1800 m, No. 4556, 4646.

275. *Lepidozia rufescens* St. n. sp. (Fig. 168, d—e).

Sterilis mediocris rigida, rufescens, in rupibus pulvinatim caespitans. Caulis ad 3 cm longus, irregulariter multiramis, interdum subfasciculatus. Folia caulina parum imbricata, valde concava, cauli accumbentia, in plano late obovata,

0,25 mm longis, anguste lanceolatis, cuspidatis acutis, basi 4 cellulas latis. Cellulae superae 18/18 μ , basales 18/27 μ , parietibus validis. Amphigastria caulina foliis aequimagna, ad $\frac{2}{3}$ inciso-quadrifida, laciniis subsetaceis, mediis basi tres cellulas latis, externis 2 cellulas latis.

Rio Tocarani, No. 4052.

279. *Lepidozia Urbanii* St.

San Mateo-Sunchal, No. 4457.

Isotachis (Mitt. 1855) ref. Gottsche 1864.

280. *Isotachis aequifoliata* St. n. sp. (Fig. 169, a—c).

Sterilis minor, rufo-brunnea rigidula, in cortice laxe caespitans. Caulis ad 2 cm longus, simplex, rarius ramulum longiusculum proferens. Folia caulina remotiuscula, oblique patula, canaliculatum concava apiceque incurva, in plano late ovata, optime symmetrica (2,5 mm longa, medio 2 mm lata) ad $\frac{1}{4}$ emarginato-bifida (rarius trifida) lobis late triangulatis acutis, integerrimis. Cellulae superae 18/27 μ , trigonis majusculis, cuticula alte papillata, cellulae basales 18/54 μ parietibus validis, trigonis majusculis, cuticula striolata. Amphigastria caulina foliis omnino aequantia, bifida.

Saittu laguna 4300 m No. 2649.

281. *Isotachis ecuadorensis* St.

Tablas, 3400 m, No. 2848; in valle Corani 1800 m, No. 4736.

282. *Isotachis heterophylla* St. n. sp. (Fig. 169, d—g).

Sterilis, mediocris rigidula, rufo-brunnea, pulvinatim caespitans. Caulis ad 25 mm longus, parum longeque ramosus, flagellis sparsis longissimis. Folia caulina remotiuscula, oblique patula, canaliculatum concava, in plano ovata (2 mm longa, medio 1,25 mm lata) normaliter symmetrica, ad $\frac{1}{3}$ incisa, biloba, sinu semirecto, segmentis anguste trigonis acutis; adsunt folia trifida, laciniis externis minoribus vel maxime inaequalibus. Cellulae superae 27/27 μ ; basales 27/36 μ , parietibus validis. Amphigastria caulina foliis simillima, aequimagna, semper bifida.

Cerros de Malaga 4000 m, No. 4409.

283. *Isotachis Lindigiana* G.

Sillar 1800 m, No. 2771; Tablas 3400 m, No. 2783.

284. *Isotachis mascula* G.

Tablas 3400 m, No. 2840/b, 2892; San Miguelito, ca. 1700 m, No. 2780/b.

285. *Isotachis paucidens* St. n. sp. (Fig. 169, h—i).

Dioica, major, rufo-fusca; rigidula, in terra laxa caespitans. Caulis ad 35 mm longus, sub flore innovatus, haud aliter ramosus. Folia caulina contigua, squarrose patula, conduplicatim concava, in plano late ovata, asymmetrica (1,5 mm longa, medio 1,17 mm lata) margine antico quam posticus multo longiore magisque arcuato, brevi basi inserta, basi utrinque cordatim ampliata, apice leviter exciso-biloba, segmentis triangulatis remote minuteque paucidentatis. Cellulae superae

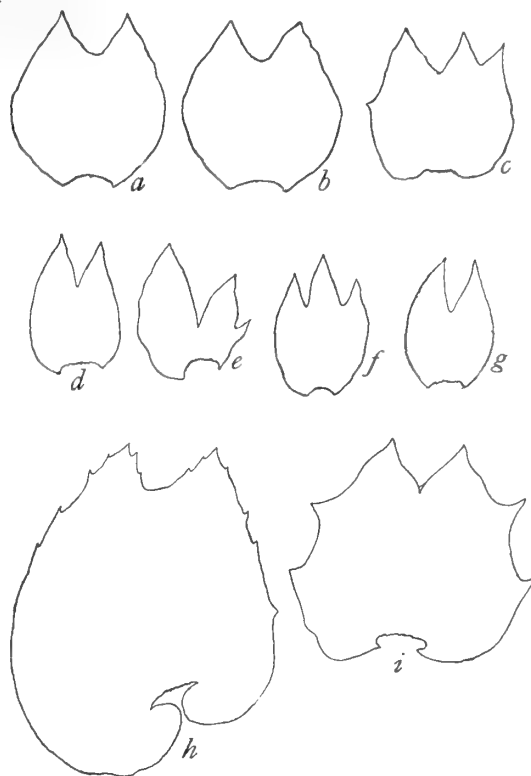


Fig. 169. a—c *Isotachis aequifoliatus* St. n. sp. a fol. 30 : 1; b amph. 30 : 1; c fol. caul. 30 : 1; d—g *I. heterophyllus* St. n. sp. d fol. 30 : 1; e fol. 30 : 1; f amph. 30 : 1; g amph. 30 : 1; h—i *I. paucidens* St. n. sp. h fol. caul. 30 : 1; i amph. caul. 30 : 1.

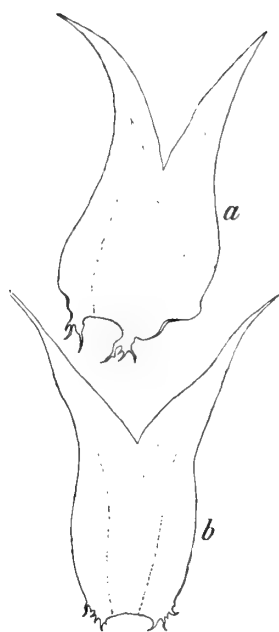


Fig. 170. *Schisma boliviense* St. n. sp. *a* fol. caul. 8:1; *b* amph. caul. 8:1.

27/27 μ basales 18/54 μ trigonis majusculis. Amphigastria caulina triangularia (1 mm longa, basi 0,83 mm lata) circumcirca irregulariter remoteque dentata et angulata, sinuatim inserta, basi utrinque cordatim ampliata, rotundata, minute irregulariterque denticulata, apice multo angustiore, ad $\frac{1}{4}$ inciso bilobato, lobis late triangulatis, acutis, extus paucidentatis. Folia et amphigastria floralia caulinis simillima, parum majora. Reliqua desunt.

Sillar 1600—1800 m, No. 2720, 2751/b.

286. *Isotachis ripensis* S.

Tablas 3400 m, No. 2784; in valle Pajonal 4000 m, No. 3280.

287. *Isotachis trifida* (G.) S.

Tablas, No. 4637.

Ptilidiaceae.

Schisma Dum. 1822.

288. *Schisma bivittatum* S.

Tablas 3400 m, No. 2915, 2920.

289. *Schisma boliviense* St. n. sp. (Fig. 170).

Sterilis magna robusta, rufo-brunnea, laxe caespitans. Caulis ad 6 cm longus, parum irregulariterque ramosus. Folia caulina conferta, decurvo-homomalla, oblonga (6 mm longa, 2 mm lata) ad medium bifida, disco basali subrectangulato, basi utrinque minute piloso, vitta mediana latiuscula, superne breviter furcata, brevissima; laciniis disco aequilongis attenuatis, longe cuspidatis, in plano latissime divergentibus integerrimis. Cellulae vittarum 18/54 μ , parietibus grosse trabeculatis, cellulae marginales et submarginales 18/18 μ , trigonis nodulosis, in medio et angulis parietum, hic illic confluentibus.

San Mateo-Sunchal, No. 4494.

290. *Schisma divergens* St.

Tablas 3400 m, No. 2850, 2913.

291. *Schisma Lechleri* St.

Abra de San Benito 3900 m, No. 3340.

292. *Schisma limbatum* St.

Vallis Pajonal 4000 m, No. 3256.

293. *Schisma serratum* (L.) St.

Comarapa 2600 m, No. 3808, 3939, 3940; Corani, No. 3406.

Lepicolea Dum. 1835.

294. *Lepicolea boliviensis* St.

n. sp. (Fig. 171).

Dioica major rigidula,

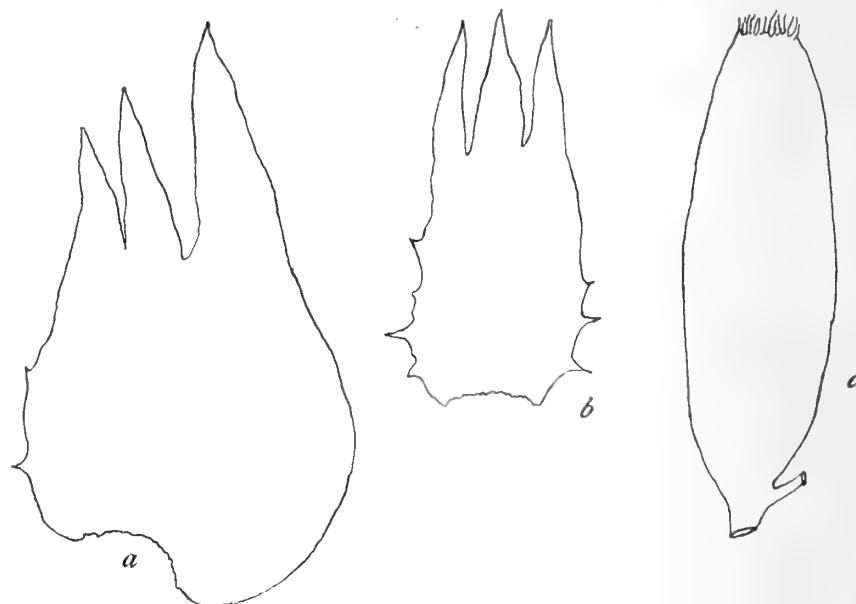


Fig. 171. *Lepicolea boliviensis* St. n. sp. *a* fol. 20:1; *b* amph. caulin. 20:1; *c* Perianth 20:1.

flavo-virens, aetate rufescens. Caulis ad 5 cm longus, sparsim longeque ramosus. Folia caulina imbricata, homomalla, valde concava, in plano ovato-oblonga (4 mm longa, medio 2,25 mm lata) asymmetrica, margine supero magis arcuato, caulem tegente, apice fere ad medium usque trifida, laciniis anguste lanceolatis, inaequalibus, lacinia antica multo validiore, reliquis duplo angustioribus, gradatim brevioribus. Cellulae superae 36/36 μ , basales 27/72 μ , trigonis magnis acutis. Amphigastria caulina parum minor, ambitu ligulata (2,75 mm longa, 1 mm lata) apice ad $\frac{1}{3}$ inciso-trifida, laciniis anguste lanceolatis acutis; disco basali integro utrinque paucidentato. Perianthia magna, epicata, optime cylindrica (5,5 mm longa, 1,75 mm lata) uno vel utroque latere innovata, apice angustiore truncato, dense longeque spinuloso.

Folia floralia intima magna, conduplicatim concava, in plano subrotunda, (3,75 mm longa, medio 3,5 mm lata) medio utrinque bispinosa, apice ad $\frac{1}{3}$ inciso-biloba, sinu angusto, lobis late triangulatis, apice grosse bispinosis. Amphigastrium florale intimum magnum, subrotundum, symmetricum, apice ad $\frac{1}{3}$ inciso-bilobatum, lobis subquadratis, apice late emarginatis, angulis spinula armatis. Tablas 3400 m, No. 2853.



Fig. 172. *Lepicolea Herzogiana* St. n. sp. a amph. caul. 30 : 1; b fol. caul. 30 : 1.

295. *Lepicolea Herzogiana* St. n. sp. (Fig. 172).

Sterilis magna valida rufescens, in cortice (?) laxe caespitans. Caulis ad 6 cm longus, regulariter denseque ramosus, ramis simplicibus vel sparsim pinnatis, omnibus apice flagellatim attenuatis. Folia caulina imbricata, decurva, parum concava, in plano 2,5 mm longa, 1,17 mm lata, disco integro subquadrato, margine supero irregulariter remoteque spinoso, infero subnudo, laciniis apicalibus longissimis 1,5 mm longis, anguste lanceolatis, inferne paucidentatis superne longe setaceis, fragillimis. Cellulae superae 36/45 μ , basales 36/63 μ , parietibus validis. Amphigastria caulina foliis subaequimagna, similia, disco integro subquadrato, leviter obconico, 0,7 mm longo, marginibus repandis, apice quadri-fida, laciniis 1 mm longis, porrectis, linearibus, irregulariter obtuseque denticulatis, apice longissime setaceis.

Comarapa 2600 m, No. 4198.

296. *Lepicolea pruinosa* (Taylor) S.

Comarapa 2600 m, No. 3957, 3790; Corani, No. 3387/a.

Mastigophora N. ab Es.

297. *Mastigophora diclados* (Brid.) Nees.

Bolivia (sine loco natali).

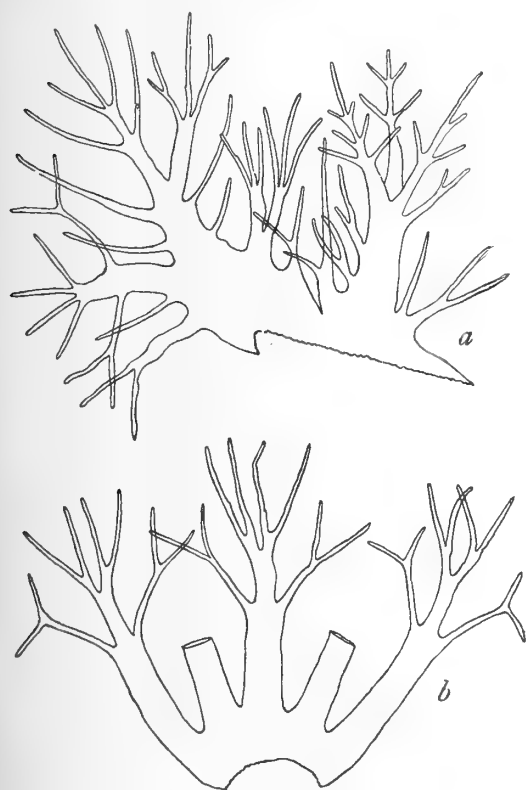


Fig. 173. *Trichocolea difficilis* St. n. sp. a fol. caul. 30 : 1; b amphig. caul. 30 : 1.

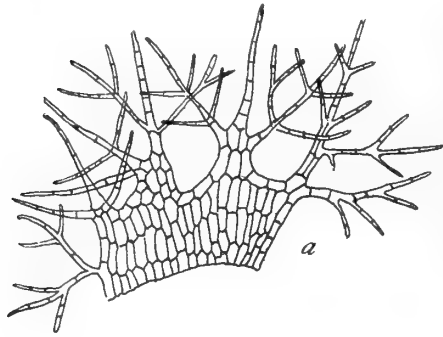
Trichocolea Dum. 1822.

298. **Trichocolea Allionii** St.

Sillar 1600 m, No. 2736; Comarapa 2600 m, No. 3789; Tabla 3400 m, No. 2798 und 1800 m, No. 4553, 4622; Rio Tocorani, No. 4037.

299. **Trichocolea difficilis** St. n. sp. (Fig. 173).

Sterilis magna, flaccida, pallide virens, dense depresso-caespitans, spongiosa. Caulis ad 5 cm longus, regulariter bipinnatus, ramis primariis 1 cm longis, remotis, apice breviter furcatis. Folia caulina imbricata, oblique patula, concava, in plano 1,5 mm longa, supra basin 1,17 mm lata, latissima basi inserta; disco integro humillimo, apice varie laciniato, laciniis primariis 4, inaequalibus, plus minus validis, basi 4—6 cellulas latis, longe cuspidatis, apice setaceis, opposito-pinnatis, pinnis capillaceis elongatis, inferis longissimis, superis gradatim brevioribus. Cellulae ubique elongatae, angustae. Amphigastria caulina foliis aequimagna, profundissime quadrifida, laciniis 5, divergentibus, linearibus, inferne nudis, superne setaceo-pinnatis, pinnis apice longe furcatis setaceis.



Nebelwald über Comorapa, No. 4331.

300. **Trichocolea filicaulis** St.

Sillar 1800 m, No. 2697; San Mateo-Sunchal, No. 4492.

301. **Trichocolea flaccida** S.

Sillar 1800 m, No. 2776.

302. **Trichocolea Herzogii** St. n. sp. (Fig. 174, a—b).

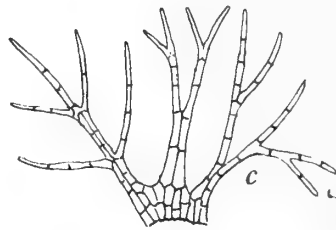
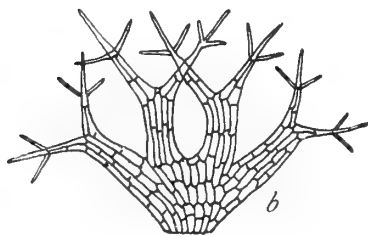


Fig. 174. a—b *Trichocolea Herzogii* St. n. sp. a fol. caul. 30 : 1; b amphig. caul. 30 : 1; c *T. paupercula* St. n. sp. fol. caul. ca. 24 : 1.

Sterilis pusilla, intense viridis, flaccida, corticola, spongiose caespitans. Caulis ad 2 cm longus, regulariter breviterque pinnatus. Folia caulina conferta, decurva, in plano 0,83 mm longa, 1,33 mm lata) disco basali integro 0,25 mm longo, apice quadrifida, laciniis lanceolatis porrectis, apice setaceis, opposito-pinnatis, pinnis setaceis remote bipinnatis. Amphigastria caulina foliis subaequilonga duplo angustiora, disco basali integro late obtusato, apice quadrifida, laciniis apice bifidis, segmentis late divergentibus, superne opposito-pinnatis, pinnis anguste setaceis.

Comarapa 2600 m, No. 4297.

303. **Trichocolea paupercula** St. n. sp. (Fig. 174, c).

Sterilis pusilla, pallide virens, aliis hepaticis corticolis consociata. Caulis ad 15 mm longus, parum ramosus capillaceus. Folia caulina imbricata, concava, in plano subsymmetrica (0,67 mm longa, 1 mm lata); disco basali integro humillimo, apice trifido, laciniis 0,6 mm longis, setaceis, basi 2 cellulas latis, opposito-pinnulatis, pinnulis setaceis bijugis, valde remotis. Amphigastria caulina foliis subaequilonga, apice bifida, ceterum similiter pinnata.

Nebelwald über Comarapa, No. 4314.

Scapaniaceae.

Schistochila Dum. 1835.

304. **Schistochila Loriana** St.

Bolivia (sine loco natali).

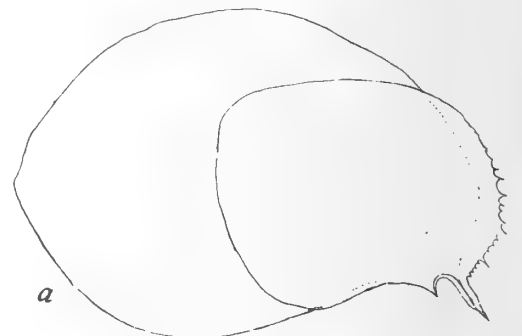


Fig. 175. *Scapania boliviensis* St. n. sp. a fol. caul. 10 : 1.

Scapania Dum. 1835.

305. **Scapania boliviensis** St. n. sp. (Fig. 175).

Sterilis magna robusta, dilute brunnea, flaccida, dense depresso-caespitans. Caulis ad 8 cm longus, simplēx vel sub apice pauciramosus, ramis brevibus, fasciculatim aggregatis. Folia caulina obovata (6,5 mm longa, medio supero 4,25 mm lata) superne late rotundata, apice ipso subacuta, marginibus ubique minute denseque dentatis. Cellulae superae $18/18 \mu$ trigonis majusculis, basales $18/72 \mu$, parietibus validis, Lobulus folio duplo brevior, subquadratus (3,75 mm longus, 3 mm latus) apice rotundatus, marginibus similiter denticulatis.

Comarapa 2600 m, No. 3959; in valle Corani 1800 m, No. 4740.

Radulaceae.

Radula N. ab Es. 1833.

306. **Radula andicola** St.

Florida de San Mateo, No. 3665.

307. **Radula appendiculata** St. n. sp. (Fig. 177, a).

Sterilis, flavescens flaccida, muscis consociata. Caulis ad 3 cm longus, regulariter breviterque bipinnatus. Folia caulina imbricata, recte patula, parum concava, in plano ovato-trigona (3,5 mm longa, basi 3 mm lata) asymmetrica, margine supero longe arcuato, infero leviter sinuato, apice late rotundata, ad medium inserta, basi antica truncata breviterque rotundo-appendiculata. Cellulae superae $18/18 \mu$, basales $18/27 \mu$ trigonis nullis, cuticula levis. Lobulus magnus, folio duplo brevior, rectangulatus, parum longior quam latus, apice oblique truncatus, acutus, basi similiter appendiculatus.

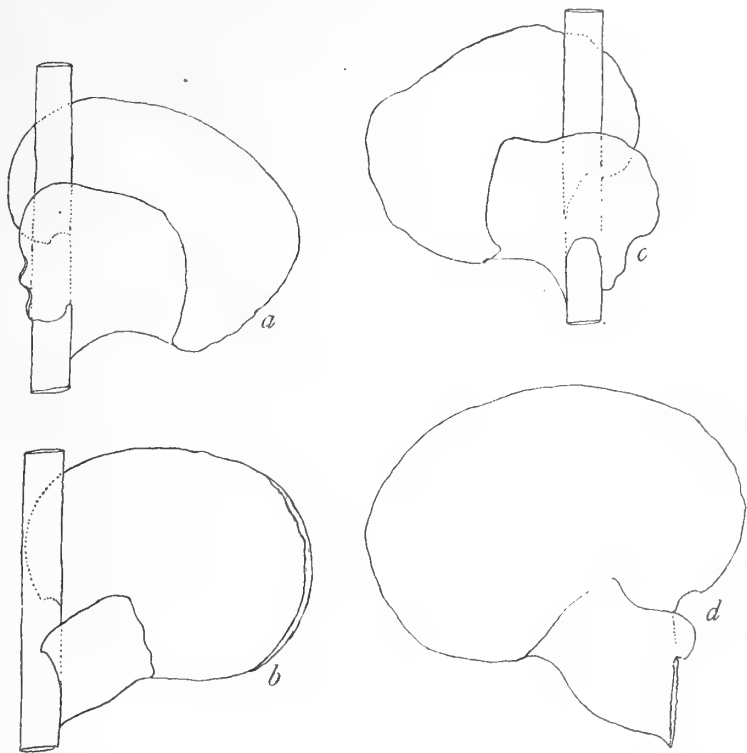


Fig. 176. a *Radula grandiloba* St. n. sp. folium 10 : 1; b *R. convexa* St. n. sp. folium 10 : 1; c *R. boliviana* St. n. sp. folium 10 : 1; d *R. Goebelii* St. n. sp. folium 10 : 1.

Comarapa 2600 m, No. 4321; Corani 1800 m, No. 4746.

308. **Radula bipinnata** Mitt.

Bolivia (sine loco natali).

309. **Radula boliviana** St. n. sp. (Fig. 176, c).

Sterilis magna robusta, pallide-flavicans, rigidula. Caulis ad 4 cm longus, regulariter bipinnatus, ramis primariis ad 3 cm longis, remote breviterque pinnulatis. Folia caulina recte patula, parum imbricata, subplana, late ovato-trigona (4 mm longa, basi 3,5 mm lata) asymmetrica, margine supero longe arcuato, infero substricto, apice obtusa, ad medium inserta, basi antica ampliata, caulem superantia, appendiculo nullo. Cellulae superae $18/18 \mu$ parietibus validis, basales $18/27 \mu$ trigonis minutis, cuticula levis. Lobulus maximus, folio duplo brevior, subquadratus, apice truncatus, angule obtuso, basi valde ampliatus, caulem late superans longeque in caule decurrens.

Locotal 1800 m; Vallis Corani 2600 m, No. 5079; Pocona 2800 m.

310. *Radula conferta* L. et G.

Nebelwald über Comarapa, ca. 2600 m, No. 3801.

311. *Radula convexa* St. n. sp. (Fig. 176, b).

Sterilis mediocris flavescens, rigidula, in cortice dense depresso-caespitans. Caulis ad 2 cm longus, parum longeque ramosus. Folia caulina parum imbricata, recte patula, valde concava, marginibus anguste arcuate recurvis (1,33 mm longa, medio 1 mm lata) apice late rotundata, ad medium inserta, basi antica truncato-rotundata, caulem tegentia. Cellulae superae 18/18 μ , trigonis nullis, ubique aequimagnis. Lobulus majusculus, folio triplo brevior, rhomboideus (0,5 mm longus, 0,4 mm

latus) carina oblique adscendens, stricta, stricte in folium recurrens, apice truncatus, angulo obtuso.

Nebelwald über Comarapa, No. 4272.

312. *Radula cornucopiae* S.

Rio Tocarani 2200 m, No. 4036.

313. *Radula epiphylla* Mitt.

Bolivia (sine loco natali).

314. *Radula frondescens* St.

Corani, ca. 2600 m, No. 3386.

315. *Radula Goebellii* St. n. sp. (Fig. 176, d).

Sterilis major, rigidula, flavo-rufescens, aliis hepaticis consociata denseque pulvinata. Caulis ad 3 cm longus, irregulariter breviterque pinnatus. Folia caulina contigua, oblique patula, concava, in plano ovato-triangularata (1,67 mm longa, basi 1,5 mm lata) asymmetrica, margine supero late arcuato, infero

leviter sinuato, apice rotundata, basi ad medium accreta, basi antica truncato-rotundata. Cellulae superae 18/18 μ basales 18/27 μ , trigonis nullis. Lobulus magnus, folio duplo brevior, subrhombeus, carina oblique adscendens, levi sinu in folii marginem excurrans, apice oblique truncato, angulo acuto, sub apice constrictus.

San Mateo-Sunchal, No. 4458.

316. *Radula grandiloba* St. n. sp. (Fig. 176 a).

Sterilis, magna robusta, rigida, flavescens aliis hepaticis consociata. Caulis ad 8 cm longus, regulariter remoteque pinnatus (ramis 10—30 mm longis). Folia caulina remota, (ramulina contigua) recte patula, late ovata-trigona, (4 mm longa, basi 3,5 mm lata) apice obtusa, asymmetrica, margine supero late arcuato, infero leviter sinuato, ad medium inserta, basi antica ampliata, caulem superantia. Cellulae superae 14/14 μ , basales 18/36 μ , trigonis nullis. Lobulus maximus quadratus, (2,25 mm longus et latus) carina recte patens substricta, apice recte truncatus, angulo obtuso, brevissima basi insertus, caulem superans ibidemque saepe crispatus.

Incaorral 2200 m, No. 5027.

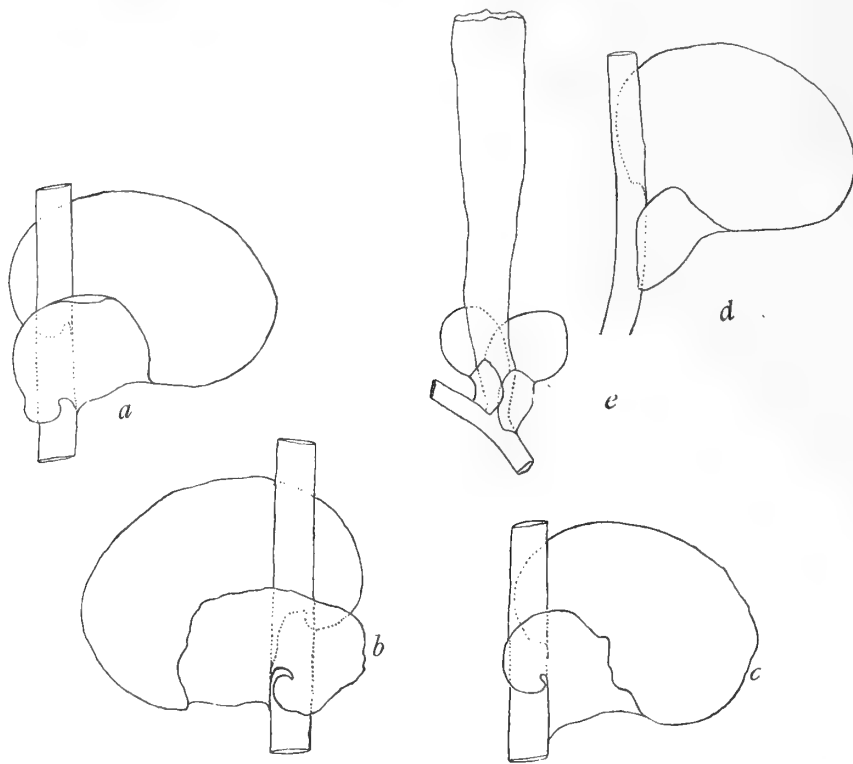


Fig. 177. a *R. appendiculata* St. n. sp. fol. caulin. 10 : 1; b *R. subtropica* St. folium caul. 10 : 1; c—d *R. longituba* St. n. sp. e perianth., d fol. caulin. 10 : 1; e *R. verrucifolia* St. n. sp. fol. caulin. 10 : 1.

317. **Radula longituba** St. n. sp. (Fig. 177, d—e).

Dioica parva rigidula, flavo-rufescens, aliis hepaticis consociata. Caulis ad 12 mm longus, irregulariter bipinnatus. Folia caulina parum imbricata, subrecte patula, parum concava, in plano ovato-trigona (1 mm longa, basi 1 mm lata) apice rotundata, asymmetrica, margine supero longe arcuato, infero leviter sinuato, ad medium accreta, basi antica truncato-rotundata, integerrima. Cellulae superae 18/18 μ trigonis nullis, basales 18/27 μ trigonis minutis. Lobulus parvus, folio subtriplo brevior, carina oblique ascendens, substricta, amplo sinu in folium excurrens, apice oblique truncatus, angulo obtuso. Perianthia angusta, longissima (5 mm longa) apice truncato, 1 mm lato, ore leviter repando. Folia floralia 1,5 mm longa, obovata, obtusa, lobulo duplo brevior, oblongo, truncato, angulo rotundato.

Tablas 1800 m, No. 4559.

318. **Radula macrostachya** L. et G.

Bolivia (sine loco natali).

319. **Radula ramulina** Taylor.

Comarapa 2600 m, No. 3780; Cordillera de Santa Cruz, No. 3982.

320. **Radula subtropica** St.

Corani 2200 m, No. 3363; Cocapata 3500 m, No. 4182, 4188; Cordillera de Santa Cruz, No. 3535.

321. **Radula verrucifolia** St. n. sp. (Fig. 177, c).

Sterilis pusilla, pallide brunnea, in foliis arborum et filicum repens. Caulis capillaceus, remote breviterque ramosus, ramis recte patulis. Folia caulina parum imbricata, recte patula, late ovata (1,17 mm longa, 0,9 mm lata) apice obtusa, ad medium inserta, basi antica truncato-rotundata, caulem vix tegentia, asymmetrica, margine supero late rotundato, infero leviter sinuato. Cellulae ubique 18/18 μ trigonis nullis, verruca coronatae. Lobulus magnus, folio duplo brevior, latior quam longus, carina leviter sinuata, apice oblique truncatus, angulo obtuso, ad medium insertus, medio supero ampliato, caulem superante, circinatim involuto.

Tablas 1800 m, No. 4557.

Porellaceae.

Madotheca Dum. 1821.

322. **Madotheca acutiloba** St. n. sp. (Fig. 178).

Dioica major valida, rigidula, rufo-brunnea, corticola. Caulis ad 6 cm longus, dense tripinnatus, ramis primariis 3 cm longis, reliquis gradatim minoribus, omnibus late divergentibus. Folia caulina conferta, recte patula, concava, margine infero recurvo, in plano ovato-oblonga (2,5 mm longa, medio 1,5 mm lata) valde asymmetrica, margine supero e basi alte rotundata longe arcuato, margine infero substricto, apice obtusa, superne integerrima, basi utrinque paucispinosa. Cellulae superae 18/18 μ , trigonis subnullis, basales 36/54 μ trigonis magnis acutis. Lobulus magnus late triangulatus (1,33 mm longus, basi 1 mm latus) uno latere integerrimus, altero irregulariter dentatus et spinosus, sublaceratus. Amphigastria caulina ovato-trigona, lobulis aequimagna, profunde sinuatim inserta, superne obtusa integra, inferne utrinque grosse hamatim pilosa. Perianthia ovato-elliptica pluriplicata, ore late tubuloso truncato, minute denticulato. Folia floralia intima magna, late ovata (3 mm longa medio 1,75 mm lata) late acuminata acuta-integerrima, lobulus folio aequilongus, ultra medium solutus, anguste lanceolatus, uno latere minute laceratus. Amphigastrium florale intimum oblongo-ellipticum (2,75 mm longum, medio 1,5 mm latum) medio infero minute lacerato, superne nudo, apice ad $\frac{1}{5}$ inciso-bifido, rima angusta, laciniis angustis porrectis obtusis. Androecia desunt.

Argentina Septentr. Yuto 450 m, No. 2552/a; Yacuiba, 500 m, No. 2627.

323. **Madotheca caudata** St. n. sp. (Fig. 179).

Dioica magna robusta, rigida, dilute flavo-virens, corticola et rupicola. Caulis ad 10 cm longus,

bipinnatim remoteque ramosus, ramis primariis 3 cm longis, sparsim breviterque pinnulatis. Folia caulina conferta, recte patula, parum concava, in plano ovato-oblonga (4,5 mm longa, medio 2,75 mm lata) apice obtusa, brevissima basi inserta, basi antica valde ampliata, caulem superantia, rotundata vel acute angulata, basi postica caudata, cauda majuscula bifida, laciniis late divergentibus, ceterum integerrima. Cellulae superae 18/18 μ , basales 27/36 μ trigonis majusculis acutis. Lobulus magnus ligulatus (2 mm longus, 0,75 mm latus) apice acutus, basi appendiculatus, appendiculo valido subrotundo, breviter acuminato, acuto. Amphigastia caulina ovata (2 mm longa, medio 1,5 mm lata) apice rotundata, basi utrinque breviter caudata, laciniis angustis paucispinis. Folia floralia intima caulinis parum minora, similia, circumcirca denticulata, apice cuspidata, margine infero superne spinoso inferne longe denseque pilifero; lobulus linearis, folio parum brevior,

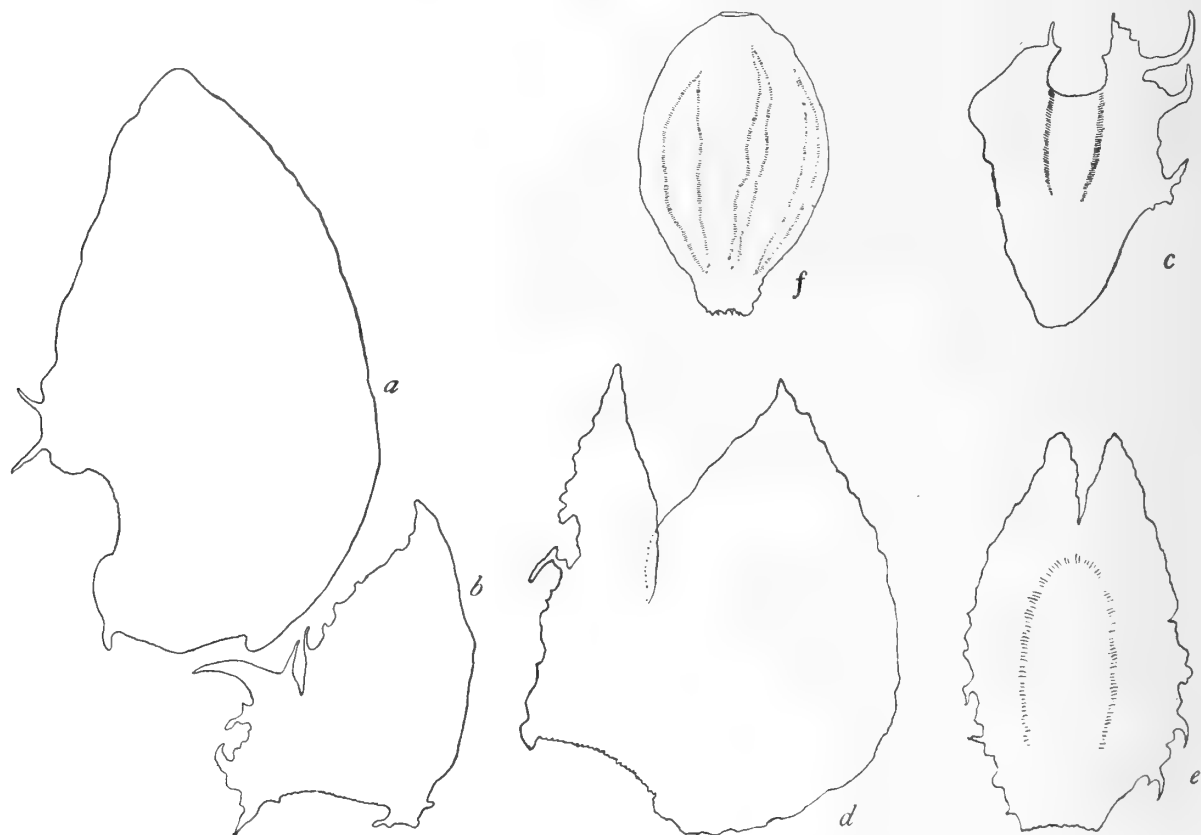


Fig. 178. *Madotheca acutiloba* St. n. sp. a fol. caul. 30 : 1; b lobulus fol. caul. 30 : 1; c amphig. caul. 30 : 1; d fol. flor. 20 : 1; e amphig. flor. 20 : 1; f Perianth. 20 : 1.

profunde solutus, apice acutus, marginibus ubique dense longeque setaceis. Amphigastrium florale intimum lobulo aequilongum, oblongum vel sublingulatum, apice rotundatum, marginibus ubique dense irregulariterque spinulosis. Reliqua desunt.

Florida de San Mateo 2000 m, No. 3661.

324. *Madotheca cognata* L. et G.

Cordillera de Santa Cruz, No. 3550.

325. *Madotheca fissistipula* St. n. sp.

Dioica magna robusta, rigidula, flavo-rufescens, laxè intricata vel pendula. Caulis ad 12 cm longus, regulariter longeque ramosus, ramis simplicibus, hic illic pinnulatis. Folia caulina parum imbricata, oblique patula leviter concava, in plano ovata (4,25 mm longa, supra basin 3 mm lata) apice obtusa, superne integerrima, supra basin sparsim minuteque dentata, basi postica crispata, antica rotun-

data, caulem tegentia. Cellulae superae $18/27 \mu$, trigonis majusculis, basales $27/54 \mu$, trigonis magnis nodulosis. Folia floralia intima caulinis aequimagna, ovato-elliptica, cuspidata, superne irregulariter dentata et spinosa; lobulus parum brevior, anguste ligulatus, profundissime solutus, regulariter denseque dentatus. Amphigastrium florale foliis floralibus subaequilongum, duplo longius quam latum, optime rectangulatum, ad medium inciso-bilobatum, segmentis linearibus truncatis, marginibus ubique dense regulariterque dentatis; lobulus folii ligulatus, folio duplo brevior integerrimus. Amphigastria caulina ovato-trigona, lobulis aequilonga, basi utrinque decurrentia integra, apice truncato-rotundata.

San Mateo-Sunchal, No. 4478.

326. *Madotheca latetrigona* St. n. sp. (Fig. 180, a—c).

Sterilis major valida virens, in cortice laxe caespitans. Caulis ad 8 cm longus, regulariter pinnatus, pinnis 15 mm longis, recte patulis, sparsim

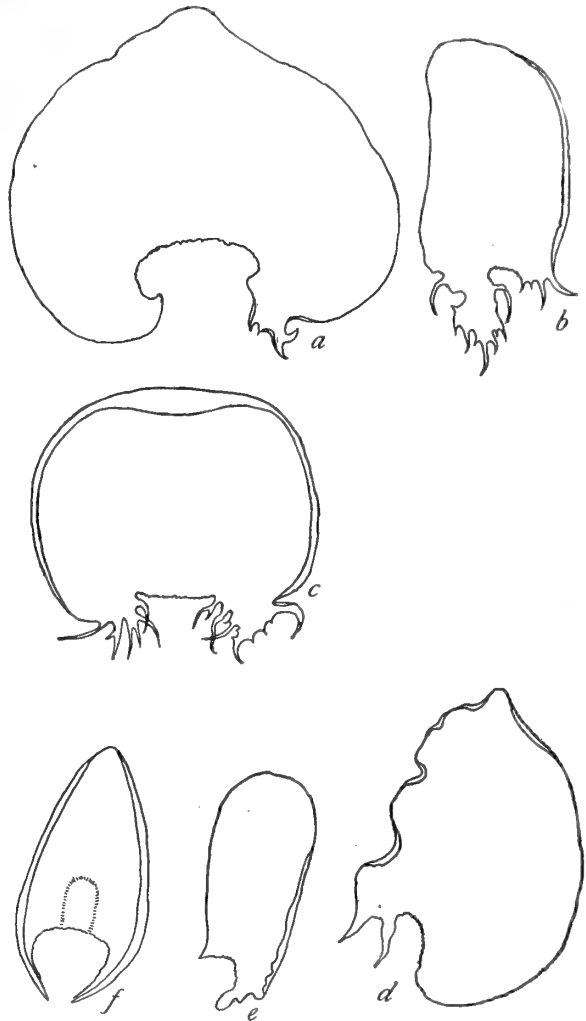


Fig. 180. a—c *Madotheca latetrigona* St. n. sp. a fol. caulinum; b lobulus folii; c amphigastr. caulinum ca. 14:1; d—f *M. Pilgeri* St. n. sp. d fol. caul.; e lobulus folii; f amphigastr. caulinum ca. 14:1.

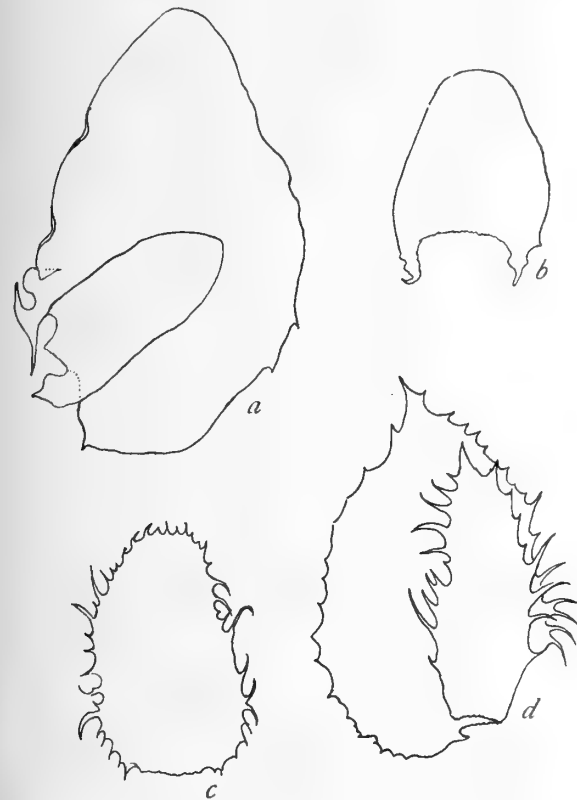


Fig. 179. *Madotheca caudata* St. n. sp. a fol. caulin.; b Amphig. caulin.; c Amph. florale; d fol. florale ca. 14:1.

remoteque pinnulatis. Folia caulina contigua, recte patula, parum concava, in plano late trigona (4 mm lata, 3,5 mm longa) apice late triangulata obtusa, basi profunde sinuatim inserta, alis plus minus liberis, pendulis, dentatis. Cellulae superae $18/18 \mu$, trigonis majusculis acutis, basales $27/36 \mu$, trigonis subnullis. Lobulus foliis aequilongus, late ligulatus, obtusus, basi utrinque appendiculatus, appendiculis grosse laceratis. Amphigastria caulina rotunda, 3 mm longa et lata, marginibus anguste arctequ recurvis, sinuatim inserta, utrinque appendiculata, appendiculis sublaceratis, majusculis.

Inacorral (2200 m), No. 4969.

327. *Madotheca Pilgeri* St. n. sp. (Fig. 180, d—f).

Sterilis magna robusta rigida, fusco-rufa, in cortice laxe caespitans lateque expansa. Caulis ad 12 cm longus, regulariter remoteque pinnatus, pinnis 12 mm longis, saepe flagellatim attenuatis. Folia caulina conferta, recte patula, concava, in plano ovata, 3mm longa, medio 2,25 mm lata, apice obtusa, asymmetrica, margine supero longe arcuato, infero substricto, valde crispato, basi grosse bifido. Cellulae superae $18/18 \mu$, trigonis maximis acutis, basales $18/36 \mu$ trigonis magnis subnodulosis. Lobulus magnus, lingulatus (2,5 mm longus, 1 mm latus) apice rotundatus, canaliculatim concavus integerrimus.

Amphigastia caulina lobulis aequimagna, ovato-trigona, apice obtusa, basi utrinque longe angusteque decurrentia, marginibus arcte angusteque recurvis.

Inacorral (2200 m), No. 5081.

328. *Madotheca pilistipula* St. n. sp. (Fig. 182, a—d).

Dioica maxima robusta, rufo-brunnea, in umbrosis fuscoviridis, in latas plagas expansa vel pendula. Caulis ad 15 cm longus, irregulariter multiramis, ramis primariis ad 10 cm longis, remote bipinnatis. Folia caulina conferta, recte patula, valde concava, in plano ovata (3,25 mm longa, supra basin 2,25 mm lata) asymmetrica, margine supero leviter arcuato, infero stricto, apice obtusa, ad medium inserta, basi antica rotundata, caulem superantia. Cellulae superae $27/27 \mu$, trigonis magnis acutis, basales $36/45 \mu$ trigonis magnis nodulosis. Lobulus magnus, linearis, folio aequilongus, quadruplo longior quam latus, apice obtusus, basi setis longis geminatis armatus. Amphigastia caulina maxima, folio aequimagna, late lingulata, duplo longiora quam lata, apice truncato-rotundata, basi utrinque bipilosa, pilis plus minus longis. Androecia in caule sessilia, capitata, bracteis 3—4jugis.

Cordillera de Santa Cruz 1500 m, No. 3979;
Rio Tocarani, No. 4017; Comarapa, 2600 m,
No. 3816; Cerro Pampa-larga, No. 4145.

329. *Madotheca ptilopsis*. S.

Cordillera de Santa Cruz, No. 3501.

330. *Madotheca ramentifissa* St. (Fig. 184).

Cerros de Malaga (3300 m), No. 4394.

331. *Madotheca renifolia* St. n. sp. (Fig. 181).

Sterilis maxima robusta valida, dilute brunnea, in cortice dense depresso-caespitans. Caulis ad 15 cm longus, regulariter remoteque bipinnatus, paucis ramis longioribus interjectis similiter ramosis. Folia caulina parum imbricata, recte patula, valde concava, in plano subrotunda (4 mm longa et lata) apice obtusiuscula, basi utrinque cordatim ampliata, paucilobata, sinibus recurvis, lobulis obtusis vel acutis. Cellulae superae $18/18 \mu$, trigonis parvis, basales $18/45 \mu$ trigonis majusculis. Lobulus magnus, oblongo-ellipticus (3 mm longus, 1,75 mm latus) apice obtusus, basi utrinque breviter laciniatus, laciniis angustis, acutis, valde irregularibus, longioribus paucispinis. Amphigastia caulina lobulis subaequalia, basi similiter sed longius appendiculata, apice truncato-rotundata.

Florida de San Mateo, No. 3669.

332. *Madotheca rufescens* St. n. sp. (Fig. 182, e—g).

Sterilis magna valida rufescens, rigida, in cortice laxe caespitans. Caulis ad 11 cm longus,

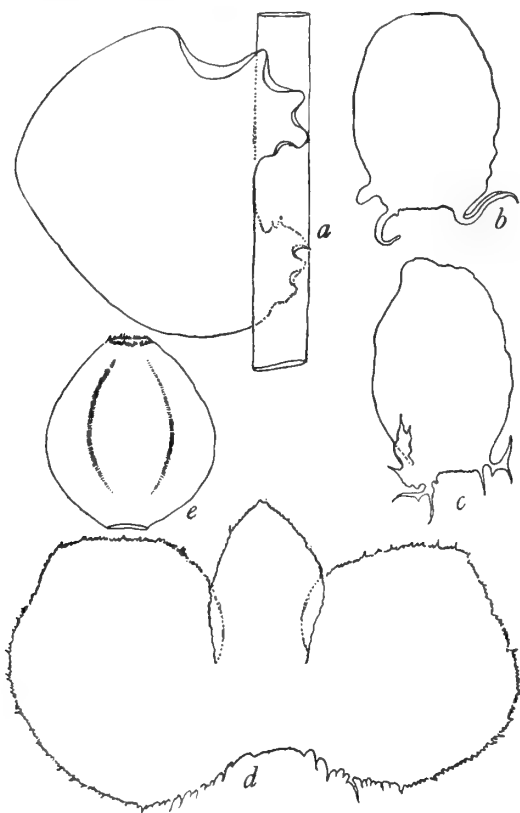


Fig. 181. *Madotheca renifolia* St. n. sp. a fol. caul. 10:1; b amph. caulin. 10:1; c lobulus folii 10:1; d folia floralia connata 10:1; e Perianth 5:1.

irregulariter breviterque bipinnatus, ramis longioribus interjectis similiter ramosis. Folia caulina conferta, recte patula, plano disticha, late ovata, symmetrica (3 mm longa, supra basin 2,25 mm lata) apice late truncato-rotundata, integerrima. Cellulae superae 18/18 μ trigonis parvis, basales 18/45 μ parietibus validis. Lobulus magnus, folio parum brevior, oblongus, obtusus, basi utrinque appendiculatus, appendiculis acuminatis, grosse dentatis. Amphigastria caulina subrotunda (2 mm longa, 1,5 mm lata) integerrima, basi quidem appendiculata, appendiculis varie spinosis, sublaceratis. Paracti (1800 m), No. 5029.

333. **Madotheca spinistipula** St. n. sp. (Fig. 183).

Dioica magna robusta, flaccida, fusco-virens, corticola. Caulis ad 6 cm longus, inferne regulariter breviterque pinnatus, ramis superis longioribus, similiter ramosis. Folia caulina parum imbricata, subrecte patula, valde concava, margine infero arcte incurvo, in plano ovato-oblonga (1,33 mm longa, medio 0,83 mm lata) superne acuminata, marginibus crispatis, apice obtuso, brevissima basi inserta, basi antica rotundato-appendiculata, integerrima, appendiculo incurvo. Cellulae superae 27/27 μ , trigonis parvis, basales 27/36 μ trigonis nullis. Lobulus lanceolatus, acuminatus acutus, folio duplo brevior basi grosse spinosus, spinis validis, hamatis. Amphigastria caulina magna, 2 mm longa et lata, apice quam basis duplo angustiore, truncato, integro, basi utrinque appendiculato, appendiculis breviusculis, grosse denseque spinosis. Folia floralia intima caulinis aequimagna, similia, margine infero quidem dense spinoso; lobulus floralis caulino aequalis, ubique irregulariter dentatus sublaceratus. Amphigastrium florale intimum foliis floralibus aequilongum, ovato-oblongum, marginibus crispatis recurvis, remote minuteque dentatis, basi dense spinulosis. Reliqua desunt.

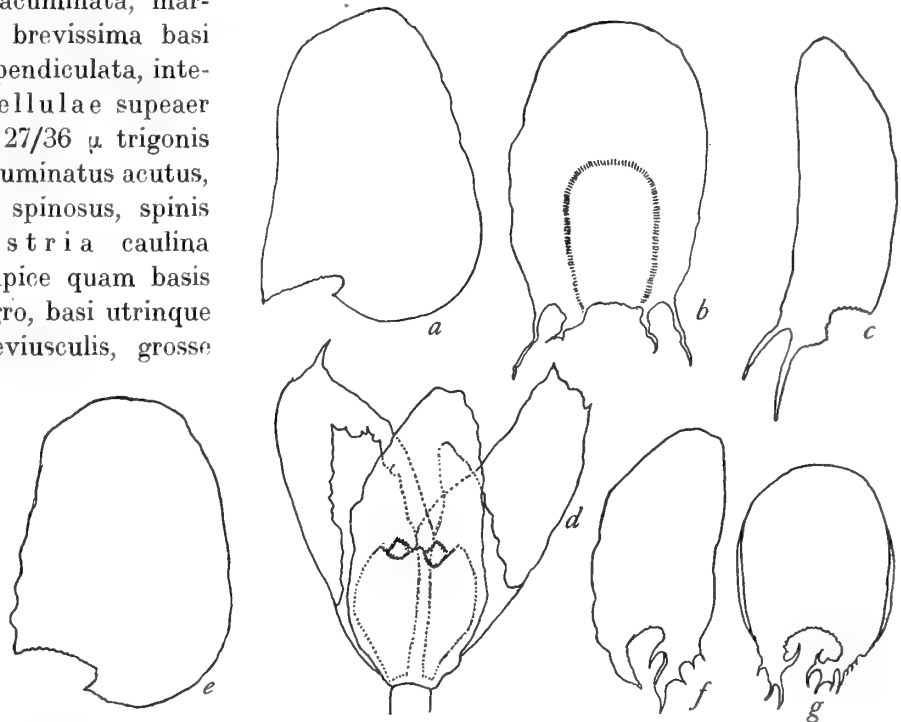


Fig. 182. a—d *Madotheca pilistipula* St. n. sp. a fol. caulin.; b amphig. caulin.; c lobulus folii; d Perianth. cum foliis ca. 14 : 1; e—g *M. rufescens* St. n. sp. e folium caulin.; f lobulus folii; g amphig. caulin. ca. 14 : 1.

Argentina Septentr., Yuto (450 m), No. 3772.

334. **Madotheca subciliata** L. und L.

Cordillera de Santa Cruz, No. 3496, 3506.

335. **Madotheca Swartziana** Ldbg.

Bolivia (sine loco natali).

336. **Madotheca venezuelana** St.

Cordillera de Santa Cruz (1500 m), No. 3560.

Frullania Raddi 1820.

337. **Frullania Alberti** St. n. sp. (*Chonanthelia*) (Fig. 185).

Dioica minor gracilis, flaccida, viridis, laxe caespitosa, corticola. Caulis ad 4 cm longus, remote breviterque bipinnatus, ramis primariis 1 cm longis, saepe simplicibus. Folia caulina parum

imbricata, recte patula, valde concava, in plano ovata, symmetrica (1,4 mm longa, medio 1 mm lata) apice rotundata, basi ampliata, caulem late superantia, basi antica appendiculata, appendiculo obtuse trigono. Cellulae superae 18/18 μ trigonis parvis, parietibus valde flexuosis, basales 27/27 μ trigonis subnullis, parietibus strictis. Lobulus magnus subrotundus (0,5 mm longus et latus) ore parvo, angusto truncato. Amphigastria caulina magna, caule quintuplo latiora, transverse inserta, rotunda, apice breviter emarginata, segmentis late triangulatis acutis. Perianthia destructa.

Samaipata, No. 5127.

338. **Frullania Arecae** G. (*Chonanthelia*).

Comarapa, 2600 m, No. 4323.

339. **Frullania Berggrenii** St. n. sp. (*Chonanthelia*) (Fig. 186).

Dioica maxima flaccida, rufescens vel purpurascens, in cortice dense depresso-caespitans. Caulis ad 11 cm longus, regulariter bipinnatus, ramis primariis 6 cm longis, remote breviterque pinnatis. Folia caulina conferta, recte patula, valde concava leviterque crispata, in plano subrotunda (2,17 mm longa 2 mm lata) integerrima. Cellulae superae 18/18 μ , trigonis minutis, basales 27/36 μ trigonis majusculis, parietibus strictis. Lobulus magnus, cucul-



Fig. 183. *Madotheca spinistipula* St. n. sp. a folium caulinum; b lobulus folii; c amphig. caulin.; d folium florale; e amphig. florale 14 : 1.

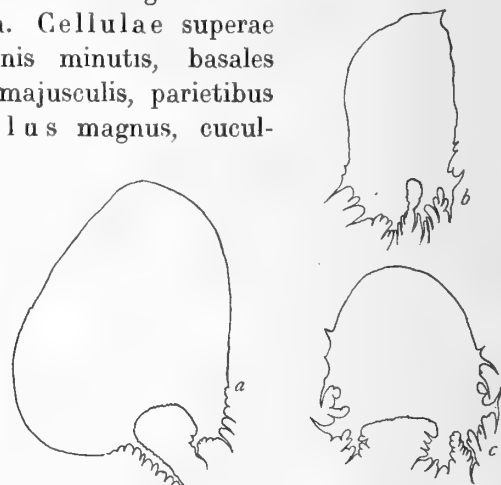


Fig. 184. *Madotheca ramentifissa* St. n. sp. a fol. caulin.; b lobulus folii; c amphigastrium caulinum ca. 14 : 1.

latus, rostro magno, haud producto, decurvo, appendiculum lobulo duplo longius, late triangulatum, carina stricta, margine libero parallelo substricto, margine infero latissimo, irregulariter dentato. Amphigastria caulina maxima, subrotunda (1,5 mm longa, 1,83 mm lata) marginibus integerrimis crispulis, apice breviter exciso-bidentula, brevi basi inserta, utrinque appendiculata, appendiculis magnis constrictis, conniventibus. Perianthia angusta cylindrica, multiplicata, plicis longissime decurrentibus, rostro e basi conica elongato (0,5 mm longo). Folia floralia lanceolata, cuspidata, superne varie longeque spinosa; lobulus ad pilum longissimum reductus, amphigastrio alte connatus. Amphigastrium florale intimum lobulis alte connatum, apice longissime quadrifidum, laciniis subcapillaceis porrectis. Androecia desunt.

Inacorral 2200 m, No. 4957.

340. **Frullania boliviana** S. (*Chonanthelia*).

Bolivia (sine loco natali).

341. *Frullania brachyclada* S. (*Chonanthelia*).

Tablas, 1800 m, No. 4551, 4658.

342. *Frullania crispistipula* St. (*Chonanthelia*).

Bolivia (sine loco natali).

343. *Frullania cuencensis* Tayl. (*Chonanthelia*).

Corani, 2600 m, No. 3380/a.

344. *Frullania fusiflora* St. n. sp. (*Chonanthelia*) (Fig. 187).

Dioica major, dilute olivacea, flaccida, in cortice laxe caespitans. Caulis ad 6 cm longus, regulariter longeque ramosus. Folia caulina magna, parum imbricata valde concava apiceque arcte decurva, in plano subrotunda (1,83 mm longa et lata) antice caulem late superantia, basi antica breviter rotundata. Cellulae superae 18/18 μ , basales 27/36 μ , trigonis magnis acutis; lobulus magnus, folio longe connatus, vertice late rotundatus angusteque hamatim decurvus, appendiculo elongato,

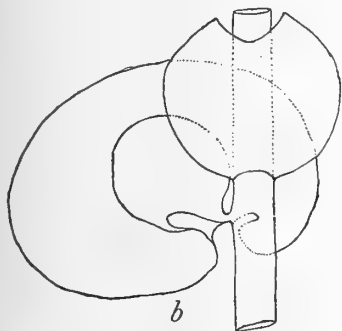
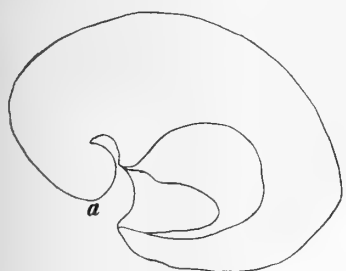


Fig. 185. *Frullania Alberti* St. n. sp. a folium caul.; b folium et amphig. 10 : 1.

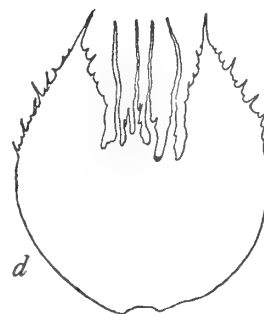
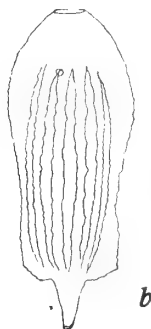
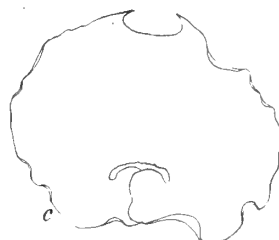


Fig. 186. *Frullania Berggrenii* St. n. sp. a fol. caul. 20 : 1; b Perianth 10 : 1; c amphig. caul. 20 : 1; d amphig. flor. 20 : 1.

marginem folii superante ibidemque crispato et paucidentato. Amphigastria caulina maxima, subrotunda (1,33 mm lata, 1,17 mm longa) brevibasi inserta et utrinque cordatim rotundata, apice breviter exciso bidentula, sinu lunato, dentibus apiculatis. Perianthia fusiformia (1,67 mm longa, medio 0,6 mm lata) 7—8 plicata, plicis usque ad basin decurrentibus, apice rotundata, rostro longo angustissimo. Folia floralia perianthio longiora (1,83 mm longa, 0,83 mm lata) acuminata, acuta, sub apice (in margine externo) irregulariter denticulata; lobulus magnus, folio parum brevior, angustissimus, canaliculatim concavus, acutus, medio infero cum amphigastrio bifido alte coactus, infundibulum altum plicatum formans. Androecia numerosa capitata, bracteis trijugis.

Florida de San Mateo (2000 m), No. 3658; Comarapa, 2600 m, No. 3782, 3783, 3787, 3814, 3969; Cerro Pampalarga, No. 4141.

345. *Frullania hians* L. et L. (*Chonanthelia*).

Cordillera de Santa Cruz, No. 3530, 3477/a.

346. *Frullania Jelskii* Loitl.

Incaorral (2200 m), No. 3377.

347. *Frullania megalostipa* S.

Corani, 2600 m, No. 3377.

348. *Frullania ovistipula* St. n. sp. (*Chonanthelia*) (Fig. 188).

Dioica major, valida, fusco-rufa, flaccida, in rupibus spongiose caespitans. Caulis ad 4 cm longus, irregulariter pinnatus et bipinnatus. Folia caulina conferta, recte patula, valde concava apiceque arcte decurva, in plano late ovato-trigona (1,83 mm longa, basi 1,5 mm lata) apice rotundata,

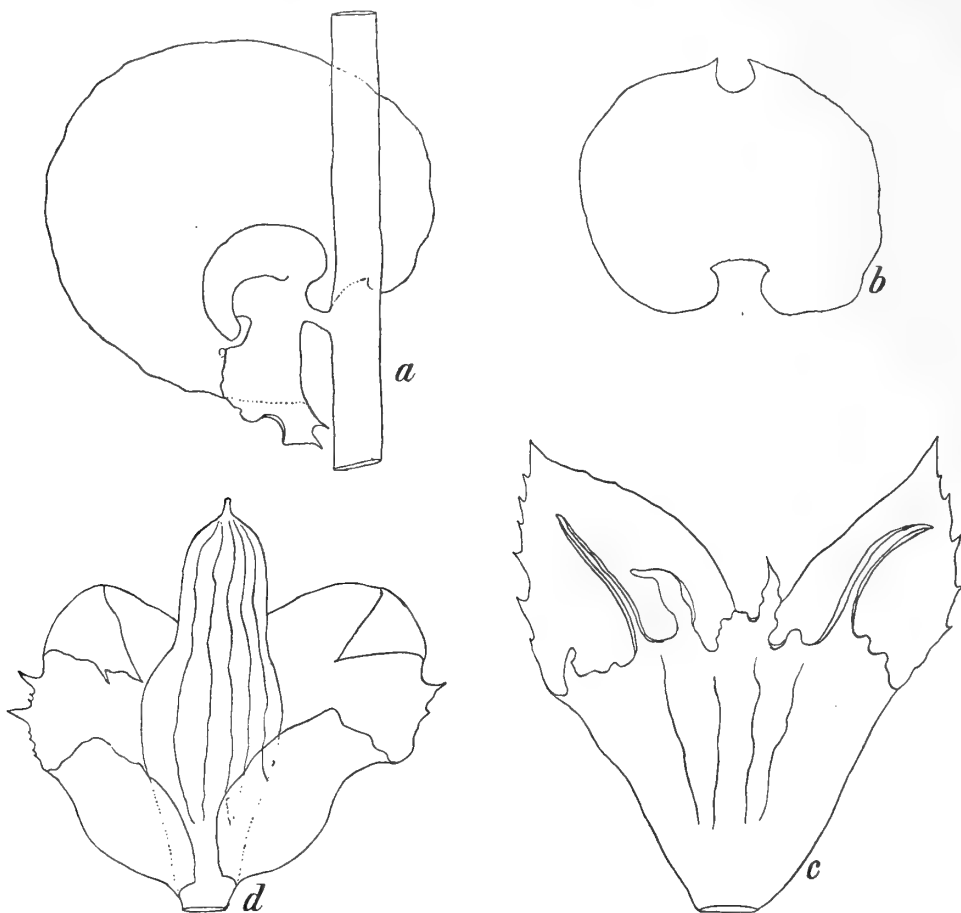


Fig. 187. *Frullania fusiflora* St. n. sp. a fol. caul. cum lobulo 10 : 1; b amphig. caul. 10 : 1; involucrum intim. 10 : 1; d Perianth.; c fol. flor. 10 : 1.

antice caulem superantia, basi antica rotundato-
 appendiculata. Cellulae superae 27/27 μ
 trigonis parvis, basales 27/36 μ
 trigonis majusculis. Lobulus mag-
 nus, angustus, folio longe
 connatus, margine dense
 crispatus, superne cucul-
 latus, breviter rostratus,
 rostro obtuso incurvo.
 Amphigastria cau-
 lina majuscula, late
 ovata, lobulo aequilonga,
 sinuatim inserta, apice
 breviter exciso-bifida,
 sinu subrotundo, laciniis
 cuspidatis conniventibus.
 Folia floralia in-
 tima magna, lanceolata
 (4,5 mm longa, 1,75 mm
 lata) leviter falcata, apice
 acuta; lobulus aequi-
 longus, anguste lanceola-
 tus, superne canalicula-
 tus, acutus. Amphigastrium florale am-
 bitu oblongum, duplo
 longius quam latum,

lobulo proximo alte connatum, ad medium bifidum, laciniis angustis acutis, canaliculatis. Reliqua desunt.

Vallegrande: Cerro Pampalarga (2300 m), No. 4144.

349. *Frullania rioblancana* St. (*Chonanthelia*).

Asiento in valle Araca (3800 m), No. 2993.

350. *Frullania spiniloba* St. (*Chonanthelia*).

Cordillera de Santa Cruz, No. 3488.

351. *Frullania truncatiloba* St. (*Chonanthelia*).

Bolivia (sine loco natali).

352. *Frullania viminicola* S. (*Chonanthelia*).

Rio Saujana 3400 m, No. 3269; Estradillas, No. 3331/c; Corani, No. 3365, 3369.

353. *Frullania Winteri* St. (*Chonanthelia*).

Estradillas, No. 3331/b.

354. *Frullania andina* St. (*Galeiloba*).

Sillar (1800 m), No. 2695; Cordillera de Santa Cruz, No. 3545, 3554, 3510.

355. *Frullania apiahyna* G. (*Galeiloba*).

Cordillera de Santa Cruz, No. 3500.

356. *Frullania Arnellii* St. n. sp. (*Galeiloba*) (Fig. 189).

Sterilis minor rigidula, rufo-brunnea, rupicola. Caulis ad 25 mm longus, sparsim irregulariterque pinnatus, pinnulis 5—7 mm longis. Folia caulina parum imbricata, oblique patula, maxime decurva, in plano subrotunda (1 mm longa et lata) antice caulem late superantia, basi antica rotundato-appendiculata, integerrima. Cellulae superae 18/18 μ trigonis parvis, basales 27/27 μ -trigonis majusculis, parietibus ubique strictis, Lobulus magnus, caule plus duplo latior, cucullatus, erectus, parum longior quam latus, ore amplo oblique truncato, labiis parallelis. Amphigastria caulina magna, obovato-obcuneata (1 mm longa, medio 0,83 mm lata) apice ad $\frac{1}{4}$ inciso biloba, rima angusta, lobis triangulatis obtusis.

Cerro Tunari (4700 m),
No. 4930/a.

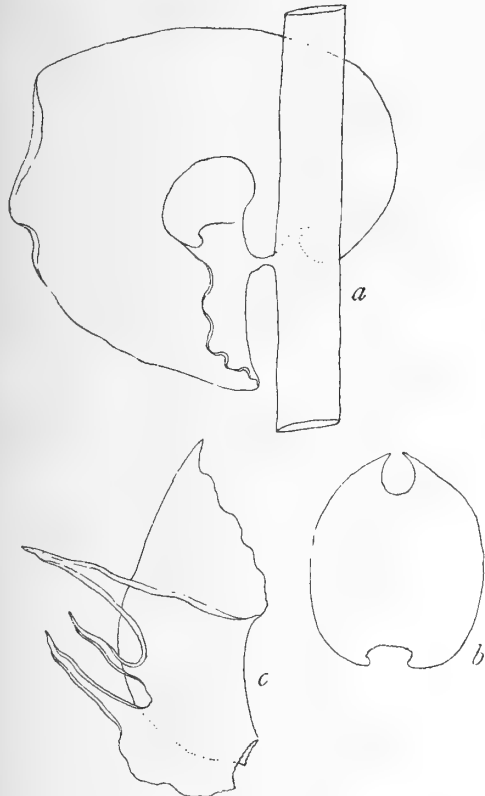


Fig. 188. *Frullania ovistipula* St. n. sp. a fol. caulin. 10 : 1; b amphig. caul. 10 : 1; c folium florale 10 : 1.

357. *Frullania bangiensis* St. (*Galeiloba*).

Bolivia (sine loco natali).

358. *Frullania Barbeyana* St. n. sp. (*Galeiloba*) (Fig. 190).

Dioica, magna robusta, flaccida, intense rufa, in cortice laxae caespitans vel pendula. Caulis ad 8 cm longus, irregulariter remoteque bipinnatus. Folia caulina parum imbricata, recte patula, valde concava, in plano subrotunda (2,17 mm longa, medio 1,75 mm lata)

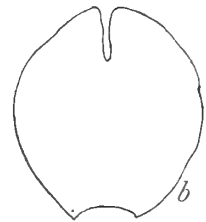
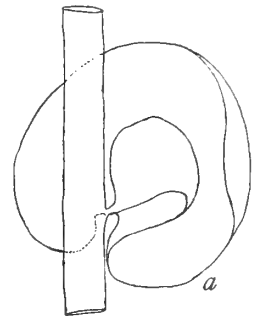


Fig. 189. *Frullania Arnellii* St. n. sp. a fol. caulinum 10 : 1; b amphig. caulinum 10 : 1.

integerrima, basi antica ampliata, caulem superantia, rotundato-appendiculata. Cellulae superae 18/18 μ , basales 18/36 μ trigonis parvis. Lobulus maximus, alte cucullatus, ambitu semitundus, rostro magno angusto porrecto; appendiculum plus duplo longius, late lingulatum, lobulo duplo longius, carina stricta, cauli parallela, margine libero valde arcuato. Amphigastria caulina maxima (1,5 mm longa et lata) sinuatim inserta, apice breviter exciso-bidentata. Perianthia pyriformia, rostro brevissimo, quadriplicata, plicis interjectis pluriplicata. Folia floralia intima oblonga (5 mm longa, 0,83 mm lata) acuminata acuta integerrima. Amphigastrium florale intimum foliis floralibus altissime connatum, apice quadrifidum, laciniis anguste lanceolatis, porrectis, mediis majoribus, marginibus crispulis. Androecia desunt.

Comarapa (2600 m), No. 4197.

359. *Frullania Beauverdii* St. n. sp. (*Galeiloba*) (Fig. 191).

Dioica maxima robusta, rigida, rufo-brunnea, in cortice laxae intricata. Caulis ad 10 cm longus,

irregulariter bipinnatus, ramis primariis 2—3 cm longis, breviter remoteque pinnulatis. Folia caulina contigua, recte patula, concava, marginibus leviter crispatis, in plano late ovata (1,83 mm longa, 1,5 mm lata) apice late rotundata, integra, margine supero longe arcuato, basi antica ampliata, caulem late superantia, appendiculis breviter rotundato.

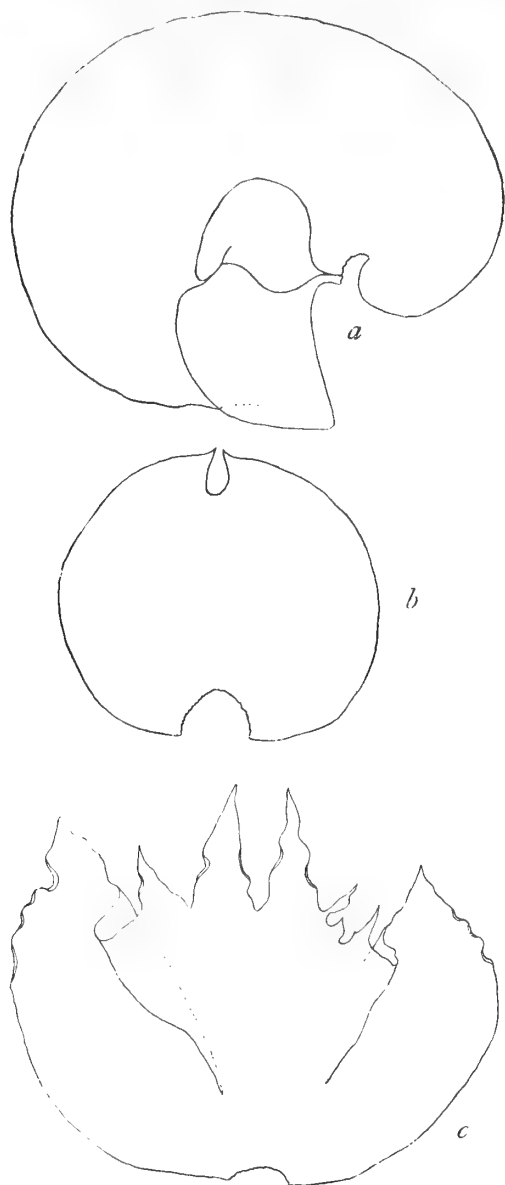


Fig. 190. *Frullania Barbeyana* St. n. sp. a fol. caul. 10 : 1; b amphig. caul. 10 : 1; c amphig. flor. foliis coalitum 10 : 1.

Cellulae superae 18/18 μ , trigonis parvis, basales 27/36 μ , trigonis majusculis. Lobulus magnus, alte cucullatus, rostro magno acuminato decurvo, appendiculum parum longius, oblongum, lobulo subaequilatum, carina stricta, oblique patula, margineolifero valde arcuato, in folii marginem attenuato. Amphigastria caulina magna, rotunda (1,75 mm longa et lata) brevissima basi inserta, basi utrinque appendiculata, appendiculis parvis conniventibus. Folia et amphigastria floralia altissime connata, optime campanulata, ore profunde irregulariterque laciniato, laciniis 8, plus minus angustis longaeque cuspidatis. Perianthia involucre aequilonga, anguste fusiformia, quadruplicata, plieis humilibus interjectis multiplicata, rostro longo angusto. Androecia ignota.

Altamachi (3400 m), No. 3870; Corani, No. 5071, 4727.

360. *Frullania brasiliensis* Raddi (Galeiloba).

Sillar (1800 m), No. 2723; Estradillas supra Incacorral (3200 m), No. 3309; Cordillera de Santa Cruz, No. 3521, 3528 etc.

361. *Frullania campanulata* St. n. sp. (Galeiloba) (Fig. 192).

Sterilis major, flaccida, fusco-rufa, in cortice dense depresso-caespitans. Caulis ad 4 cm longus, regulariter bipinnatus, ramis primariis 1 cm longis, remotiusculis, brevissime pinnulatis. Folia caulina parum imbricata, oblique patula, valde concava, in plano subrotunda, basi cordatim ampliata, antice caulem late superantia, integerrima. Cellulae superae 27/27 μ , trigonis minutis, basales 27/45 μ , trigonis parvis acuminatis. Lobulus magnus campanulatus, caule triplo latior, ore amplo, subrecte truncato. Amphigastria caulina maxima, subrotunda (1 mm longa et lata) breviter emarginato-inserta, apice ad $\frac{1}{4}$ inciso-biloba, sinu semirecto, segmentis triangulatis, acutis.

Corani, 1800 m, No. 4752.

362. *Frullania flexicaulis* S. (Galeiloba).

Cerro Pampalarga (2300 m), No. 4136; Altamachi (3400 m), No. 3879.

363. *Frullania squamuligera* S. (Galeiloba).

Cerro Pampalarga, 2300 m, No. 4140.

364. *Frullania squarrosa* Nees. (Galeiloba).

Cordillera de Santa Cruz (1500 m), No. 3880, 3884; Yacuiba (500 m), No. 2628.

365. *Frullania Ambronii* St. n. sp. (Thyopsiella) (Fig. 193).

Dioica magna, gracillima, rufescens, in cortice laxe caespitans vel pendula. Caulis ad 10 cm longus, regulariter remoteque tripinnatus; ramis primariis ad 3 cm longis, capillaceis, pinnis ad 15 mm, pinnulis ad 5 mm longis, omnibus remotis recte patulis. Folia caulina parum imbricata, oblique

patula, valde concava, in plano oblongo-elliptica (1,83 mm longa, medio 1 mm lata) apice apiculata, basi antica appendiculata, appendiculo subrotundo constricto, incurvo. Cellulae superae $9/18 \mu$, parietibus validis flexuosis, basales $9/27 \mu$, parietibus validis, leviter nodulosis. Lobulus parvus, cylindricus, 0,33 mm longus, quadruplo longior quam latus, cauli contiguus. Amphigastria caulina obovata (1,75 mm longa, 1,75 mm lata) profunde sinuatim inserta, rotundato-appendiculata, appendiculis ex parte accretis, apice ad $1/3$ biloba, sinu semirecto obtuso, laciniis anguste triangulatis acutis. Perianthia cylindrica, rostro longo. Folia floralia lanceolata, acuminata acuta (4 mm longa, medio 1,5 mm lata) integerrima; lobulus aequimagnus, ad $1/3$ solutus, apice inaequaliter bifidus. Amphigastrium florale foliis floralibus subaequimagnum, obovato-obconicum, basi angustissimum, medio utrinque unispinum, apice ad $1/3$ bifidum, sinu angusto, obtuso, segmentis late triangulatis porrectis longe cuspidatis. Androecia desunt.

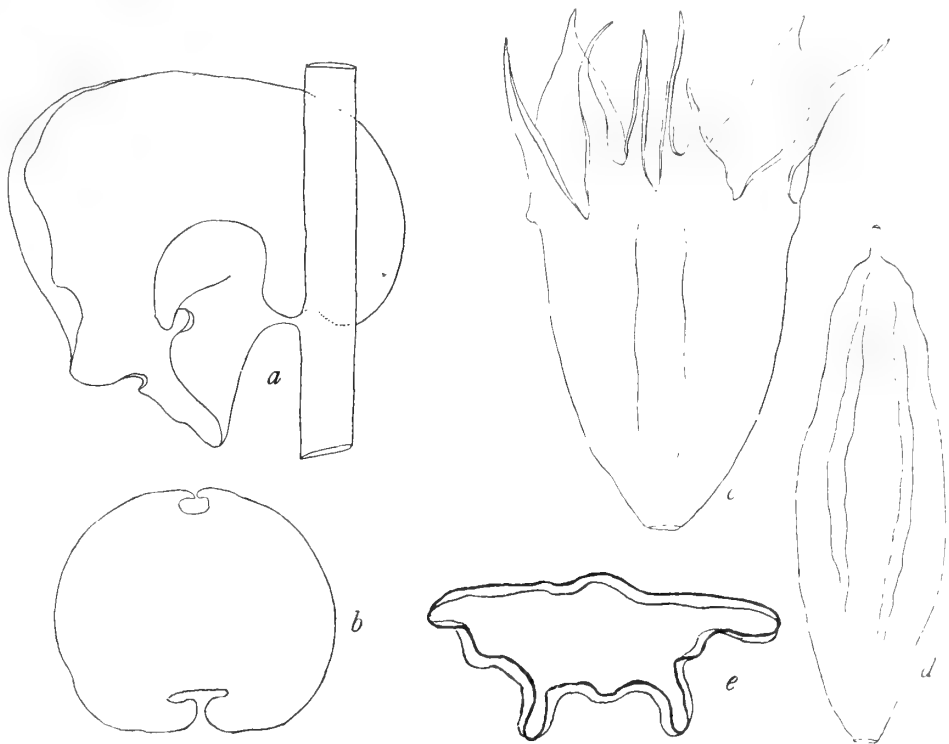


Fig. 191. *Frullania Beauverdii* St. n. sp. a fol. caul. 10 : 1; b amphig. caul. 10 : 1; c folia floralia; d Perianth. 10 : 1; e sect. transv. perianthii 10 : 1.

Tablas (2000 m), No. 4536, 4569.

366. **Frullania Bakeri** St. n. sp. (*Thyopsiella*) (Fig. 194).

Sterilis maxima gracillima, subatra, in ramulis arborum pendula. Caulis ad 20 cm longus, regulariter remoteque bipinnatus, ramis primariis ad 3 cm longis, remotis, remote previterque pinulatis. Folia caulina remota, oblique patula, maxime decurva, subconvoluta, in plano late ovata (1,83 mm longa, medio 1,4 mm lata) apice late acuminata, acuta, basi antica ampliata, caulem superantia, appendiculata, appendiculo subrotundo. Lobulus majusculus, anguste cylindricus (0,5 mm longus, 0,17 mm latus). Amphigastria caulina magna, ovata (1,17 mm longa, 0,75 mm lata) brevi basi inserta utrinque appendiculata, appendiculis breviter rotundatis, conniventibus, apice breviter inciso-biloba, sinu subrecto, lobis late, triangulatis acutis, marginibus ceterum ubique arcte angusteque recurvis.

Comarapa (2600 m), No. 4266.

367. **Frullania coalita** St. (*Thyopsiella*).

Tablas (3400 m), No. 2918, 2800/a, 2826/b; Cordillera de Santa Cruz, No. 3533, 3539, 3555.

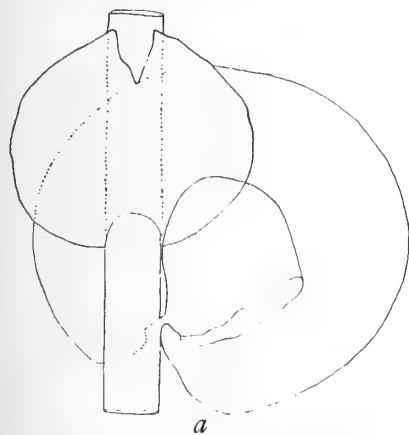


Fig. 192. *Frullania campanulata* St. n. sp. planta completa 1 : 30.

368. *Frullania connata* Ldbg. et G. (*Thyopsiella*).

Tablas 2000 m, No. 2866/a.

369. *Frullania curviramea* St. (*Thyopsiella*).

Comarapa (2600 m), No. 3776.

370. *Frullania evolutiloba* St. n. sp. (*Thyopsiella*), Fig. 195.

Dioica mediocris, flaccida, rufo-brunnea, corticola. Caulis ad 6 cm longus, regulariter breviterque bipinnatus. Folia caulina oblique patula, parum imbricata, valde concava, marginibus superioribus anguste arctique recurvis, in plano obovato-oblonga (1,83 mm longa, medio 1,25 mm lata) apice minute

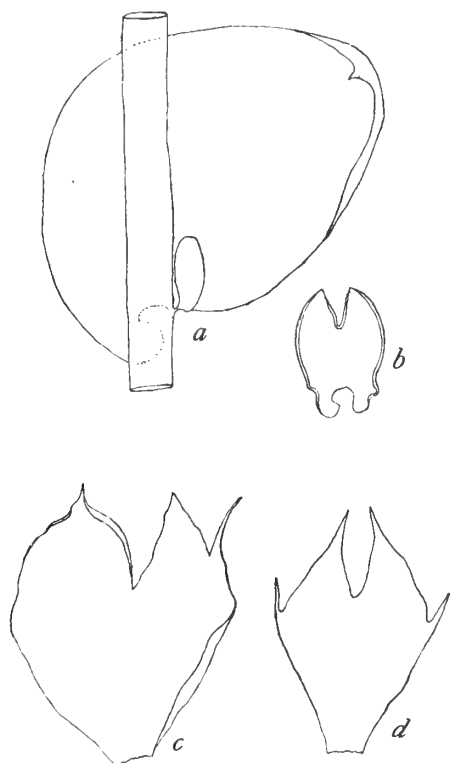


Fig. 193. *Frullania Ambronnii* St. n. sp. a folium 30 : 1; b amphig. 10 : 1; c folia floralia 10 : 1; d amphigastrium florale 10 : 1.

apiculata, dorso caulem late superantia, basi antica appendiculata, appendiculo constricto rotundo. Cellulae superae 12/18 μ parietibus flexuosis, basales 18/27 μ , parietibus strictis, trigonis ubique parvis. Lobulus evolutus, anguste lanceolatus, folio triplo brevior. Amphigastria caulina maxima subrotunda (1,17 mm longa, 1 mm lata) transverse inserta, basi utrinque minute rotundata, apice ad $\frac{1}{3}$ emarginato-biloba, sinu angusto, lacinii late triangulatis obtusis. Folia floralia caulinis aequilonga, anguste ligulata, breviter acuminata, sub apice paucispinulosa; lobulus folio aequimagnus, ad medium solutus, acuminatus, margine libero trispinoso, spinis apicalibus approximatis, inaequalibus, infero multo majore, basi lacinia duplo minore, lanceolata et apiculata armata. Amphigastrium florale foliis floralibus aequi-



Fig. 194. *Frullania Bakeri* St. n. sp. a fol. caul.; b amphig. caul. 10 : 1.

longum, obovato-oblongum, basi obtusum, ad medium bifidum, sinu angusto obtuso, lacinii anguste lanceolatis, cuspidatis, utrinque bi-vel trispinosis.

Florida de San Mateo (2000 m), No. 3671.

371. *Frullania paradoxa* L. et L. (*Thyopsiella*).

Tablas (3400 m), No. 2807/a; in valle Corani (2600 m), No. 3364.

372. *Frullania purpurascens* St. (*Thyopsiella*).

Cordillera de Santa Cruz, No. 3537.

373. *Frullania triquetra* L. et L. (*Thyopsiella*).

Cordillera de Santa Cruz, No. 3493.

374. *Frullania capilliformis* St. n. sp. (*Meteoriopsis*) (Fig. 196).

Dioica magna gracillima rigida, in humo laxe intricata, pendula. Caulis ad 15 cm longus, irregulariter longeque ramosus, ramis remote breviterque pinnulatis. Folia caulina remotiuscula, oblique patula, valde concava, margine infero late arctique decurvo, in plano late ovata, asymmetrica, margine antico quam posticus multo magis arcuato; apice late acuminato acuto. Cellulae superae

18/18 μ , basales 18/27 μ , trigonis parvis. Lobulus cauli arcte appressus, majusculus, folio triplo brevior, cylindricus, quadruplo longior quam latus, apice obtusus, ore recte truncato. Amphigastria caulina ovata, sinuatim inserta valde concava, marginibus arcte recurvis, apice breviter inciso-biloba, sinu semirecto, segmentis late triangulatis acutis. Folia floralia magna, 3 mm longa, lanceolata, medio vix 1 mm lata, longe attenuata, superne setacea, lobulus triplo angustior, parum brevior, similiter setaceus. Amphigastrium florale foliis floralibus aequilongum, fere ad basin usque bifidum, aciniis linearibus, superne longe setaceis. Reliqua desunt.

Comarapa (2600 m), No. 3807, 3967, 4260; San Mateo (3000 m), No. 3660.

375. **Frullania glomerata** L. et L. (Meteoripsis).
Cordillera de Santa Cruz (1500 m), No. 3488/a;
Corani, No. 3381.

376. **Frullania Goebeliana** St. n. sp. (Meteoripsis)
(Fig. 197).

Dioica magna gracilis, rigidula, rufescens, in cortice caespitans vel pendula. Caulis ad 7 cm longus, regulariter bipinnatus, pinnis primariis 15 mm longis, sparsim breviterque pinnulatis. Folia caulina contigua, oblique patula, valde concava, in plano ovata (1,75 mm longa, medio 1,17 mm lata) apice apiculata, symmetrica, basi antica ampliata, caulem superantia, appendiculo rotundato constricto. Cellulae superae 9/18 μ , trigonis majusculis, parietibus flexuosis, basales 18/36 μ parietibus validis. Lobulus parvus, anguste cylindricus,

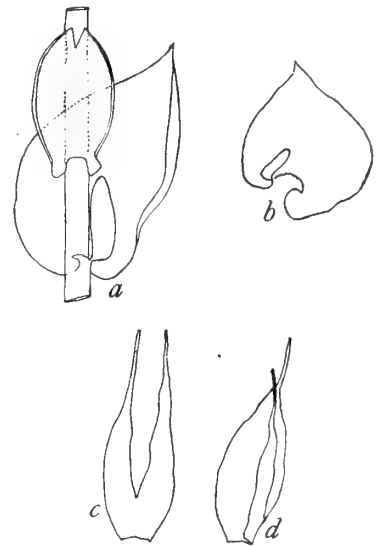


Fig. 196. *Frullania capilliformis* St. n. sp. a pars rami 30 : 1; b fol. caul. 10 : 1; c amphig. flor. 10 : 1; d fol. flor. 10 : 1.

Fig. 195. *Frullania evolutiloba* St. n. sp. a folium c. amphig. 30 : 1; b amphig. florale 30 : 1; c folia floralia 30 : 1.

cauli approximatus et parallelus, vertice obtusus, ore recte truncato. Amphigastria caulina magna, subrectangulata (1,33 mm longa, 0,9 mm lata) marginibus arcte angustequae recurvis, brevi basi inserta ibidemque utrinque appendiculata, appendiculis constrictis rotundatis, planis, hamatim conniventibus. Androecia numerosa, capitata, bracteis paucijugis.

Tablas, 1800 m, No. 4569/a.

377. **Frullania Haeckeriana** Ldbg. (Meteoripsis).

Tablas, 3400 m, No. 2829.

378. **Frullania hastatistipula** St. n. sp. (Meteoripsis) (Fig. 198).

Dioica magna gracilis, rigida, subnigra, in ramulis arborum nidulans. Caulis ad 10 cm longus, remote longeque pinnatus, ramis remote breviterque pinnulatis. Folia caulina contigua, subrecte patula hamatim decurva, in plano ovata, symmetrica (1,1 mm longa, medio 0,67 mm lata) apice grosse apiculata, antice caulem late superantia, basi antica breviter rotundata. Cellulae superae 14/18 μ , basales 14/27 μ , parietibus validis flexuosis. Lobulus majusculus, cauli subcontiguus, folio triplo brevior, cylindricus, triplo longior quam latus, vertice obtusus, ore recte truncato. Amphigastria caulina maxima, foliis subaequimagna, oblongo-elliptica (1 mm longa, medio 0,5 mm lata) transverse

inserta, basi utrinque hastatim appendiculata, appendiculis liberis angustis obtusis, apice ad $\frac{1}{3}$ inciso-bifida, sinu semirecto, laciniis anguste triangulatis, cuspidatis, hamatim divergentibus. *Perianthia* clavata (4 mm longa, superne 1,5 mm lata) apice truncato-rotundata, rostro parvo, plica postica subnulla vel solum sub apice perspicua, depresso-inflata. *Folia floralia* caulinis subaequilonga, lanceolata, longe cuspidata, sub apice regulariter breviterque spinulosa; *lobulus* parum brevior, obovato-oblongus, cuspidatus, superne irregulariter valideque spinosus. *Amphigastrium* florale late ellipticum, lobulis aequilongum, apice ad $\frac{1}{5}$ inciso-bifidum, sinu recto, segmentis late triangulatis cuspidatis, utrinque creberrime irregulariterque dentatis et spinosis. *Androecia* desunt.

Comarapa (2600 m), No. 3777; Tablas (3400 m), No. 2828; Cuchicancha

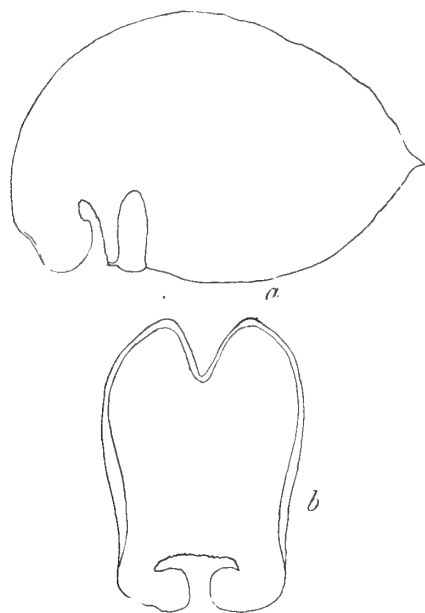


Fig. 197. *Frullania Goebeliana* St. n. sp. a fol. caulin. 10 : 1; b amphig. caulinum 10 : 1.

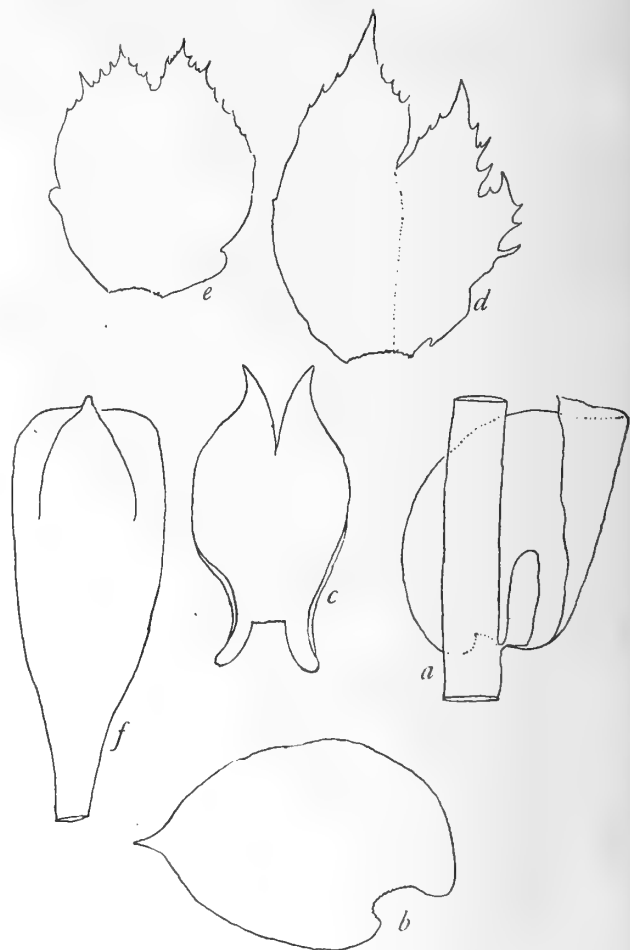


Fig. 198. *Frullania hastatistipula* St. n. sp. a fol. caul. in situ ca. 14 : 1; b fol. caul. in plano ca. 14 : 1; c amphig. caul. ca. 14 : 1; d fol. flor. cum lobulo 14 : 1; e amph. flor. 14 : 1; f Perianth 14 : 1.

(3000 m), No. 4166; Abra de San Mateo (3000 m), No. 3724; Paramo de Caluyo (3900 m); Cordillera de Santa Cruz, No. 3909, 3916.

379. ***Frullania Herzogiana*** St. n. sp. (*Meteoriosis*) (Fig. 199).

Dioica, magna gracillima, in ramis arborum pendula laxequae intricata. *Caulis* ad 15 cm longus, remote longeque ramosus, ramis simplicibus vel sparsim breviterque pinnulatis. *Folia caulina* contigua, oblique patula, squarrose recurva, canaliculatim concava, in plano ovata, asymmetrica, margine infero magis arcuato (1,17 mm longa, medio 0,83 mm lata) apice obtusa, dorso caulem late superantia, basi antica breviter rotundata. *Cellulae* superae $12/12 \mu$ trigonis parvis, basales $14/27 \mu$ trigonis magnis, nodulosi. *Lobulus* majusculus, folio subtriplo brevior, cauli contiguus, subcylindricus, quadruplo longior quam latus, vertice obtusus, ore rotundato, sub ore constrictus. *Amphigastria* caulina magna, caule duplo latiora, ovata, transverse inserta, basi utrinque leviter rotundata, apice ad medium inciso-biloba, rima angusta, segmentis lanceolatis obtusiusculis. *Perianthia* obovato-oblonga

(4 mm longa, medio 1,75 mm lata) apice rotundata, rostro longissimo; plica postica lata, usque ad basin decurrens. Folia floralia caulinis majora (1,83 mm longa), obovato-oblonga, leviter falcata, apiculata, sub apice paucidentata; lobulus folio aequimagnus vel parum angustior, ad medium solutus, margine supero irregulariter longeque spinoso, sublacerato. Amphigastrium florale

foliis floralibus aequilongum, ambitu late obovatum, ad medium bifidum, laciniis late lanceolatis cuspidatis, marginibus ubique irregulariter dentatis et spinosis. Androecia desunt.

Tablas, 3400 m, No. 2829.

380. *Frullania Lechleri* St. (Meteoripsis).

Comarapa (2600 m), No. 4268.

381. *Frullania Pfefferi* St. (Meteoripsis).

Comarapa (2600 m), No. 4207.

382. *Frullania phalangiflora* St. n. sp. (Meteoripsis) (Fig. 200).

Dioica magna gracillima, in ramulis arborum pendula laxèque intricata. Caulis ad 20 cm longus, ramis primariis sparsis longis, remote

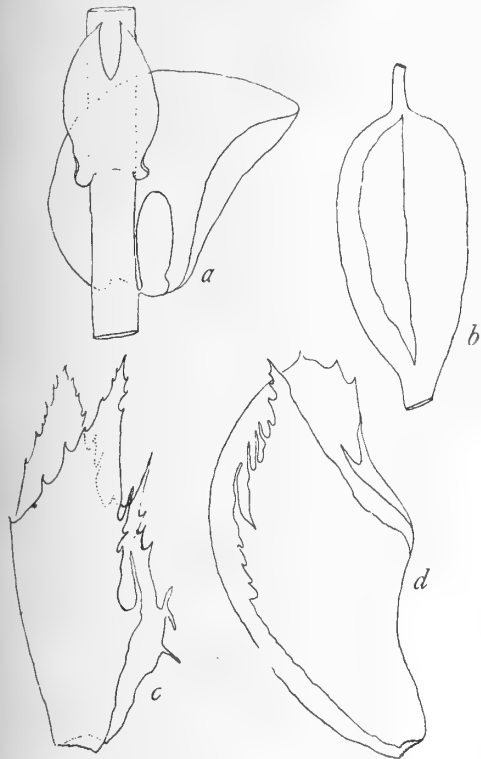


Fig. 199. *Frullania Herzogiana* St. n. sp. a pars rami 10 : 1; b Perianth. 10 : 1; c amphigastrium flor. 10 : 1; d folium florale 10 : 1.

breviterque pinnatis. Folia caulina valde remota, oblique patula, valde concava, in plano subrotunda (1,67 mm longa, medio 1,5 mm lata) apice late acuminata breviter apiculata, dorso caulem latissime superantia, basi antica circinatim appendiculata. Cellulae superae 12/18 μ trigonis nodulosis, parietibus maxime flexuosis, basales 18/27 μ , trigonis ovali-nodulosis, saepe confluentibus, parietibus strictis. Lobulus majusculus, anguste cylindricus, cauli appressus, sextuplo longior quam latus, vertice rotundatus. Amphigastria caulina magna, elliptica (in plano 1 mm longa, 0,75 mm lata) marginibus ubique anguste arcteque recurvis, basi utrinque hastatim appendiculatis, appendiculis canaliculatim concavis, obtusis, apice ad $\frac{1}{6}$ biloba, sinu angusto obtuso, segmentis triangulatis obtusis. Perianthia ex angusta basi subcylindrica (1,5 mm longa, 0,58 mm lata) eplicata, rostro longissimo angusto. Folia floralia oblonga (2,5 mm longa, medio 1,5 mm lata) apiculata, lobulus lanceolatus, folio parum brevior et duplo angustior, ad medium solutus, cuspidatus, margine interno paucispinoso. Amphigastrium florale folio proximo breviter connatum, foliis floralibus subaequimagnis, obovato-obconicum, apice ad $\frac{1}{3}$ emarginato-bifidum, sinu amplo, laciniis e lata basi attenuatis, setaceis. Reliqua desunt.

Nebelwald über Comarapa, No. 3794.

383. *Frullania subaculeata* S. (Meteoripsis).

Tablas, 3400 m, No. 2827/a; Cordillera de Santa Cruz, No. 3538, 3558, 3926.

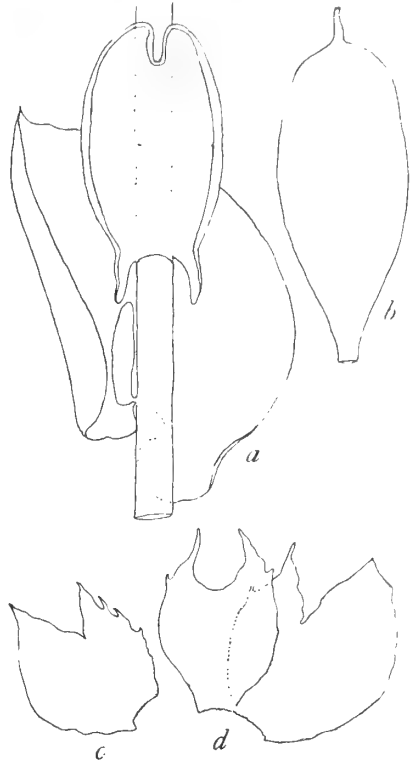


Fig. 200. *Frullania phalangiflora* St. n. sp. a Pars rami 10 : 1; b Perianth. 10 : 1; c fol. florale 10 : 1; d amphigastrium florale 10 : 1.

384. **Frullania villosa** St. (Meteoropsis).

Tablas, 3400 m, No. 2939.

385. **Frullania nodulosa** Nees. (Homotropantha).

Bolivia (sine loco natali).

Omphalanthus (Lindenb. et N. ab Es. in Syn. Hep. 1845).

386. **Omphalanthus filiformis** (Sw) Nees.

Tablas (1800 m), No. 4568, 4607; Sillar (1800 m),
No. 2767; Cordillera de Santa Cruz No. 3513,
3514; etc.

387. **Omphalanthus grandistipulus** St. n. sp. (Fig. 201).

Planta dioica, magna, gracillima, flaccida, in ramis arborum nidulans et pendula, rufescens. Caulis ad 10 cm longus, tenuis, longe ramosus, ramis remotis simplicibus vel regulariter breviterque pinnulatus. Folia caulina contigua, recte patula, parum concava, in plano obovata, apice late rotundata, longissima basi inserta, basi antica angusta, rotundata, caulem superantia, integerrima. Cellulae superae $18/27 \mu$, inferae $27/45 \mu$, trigonis magnis. Lobulus majusculus, folio triplo brevior, oblongus, lata basi insertus, carina semierecta, leviter arcuata, amplo sinu in folium excurrens, apice oblique truncato, angulo acuto, sub apice leviter constrictus. Amphigastria caulina gigantea, foliis parum majora, reniformia (1,33 mm lata, 0,9 mm longa) ad medium sinuatim inserta integerrima. Folia floralia obovato-oblonga (1,4 mm longa, medio 0,75 mm lata) apice obtusa; lobulus ad plicam angustam reductus. Amphigastrium florale foliis floralibus aequilongum, obovato-oblongum, obtusum, apice leviter retusum. Reliqua desunt.

Tablas (1800 m), No. 4621, 4654; Comarapa (2000 m),
No. 4343.

Archilejeunea Spruce 1885 p. subgen.

388. **Archilejeunea Tonduzana** St.

Cerro Pampalarga bei Valle grande (2300 m), No. 4143.

389. **Archilejeunea involuta** St. n. sp. (Fig. 202).

Sterilis major flaccida, fusco-brunnea, in rupibus dense depresso-caespitans. Caulis ad 4 cm longus, irregulariter breviterque pinnatus. Folia caulina conferta, recte patula, valde concava, in plano subrotunda (2,25 mm longa et lata), asymmetrica, margine supero valde arcuato, infero substricto, apice late rotundata, basi antica longe truncata, brevissima basi inserta. Cellulae superae $18/18 \mu$, parietibus validis, trigonis majusculis, basales $18/27 \mu$, trigonis magnis acutis. Lobulus in situ involutus, in plano oblongo-rectangulatus, carina substricta, stricte in folium excurrens, apice quam basis parum angustiore, recte truncato, angulo acuto. Amphigastria

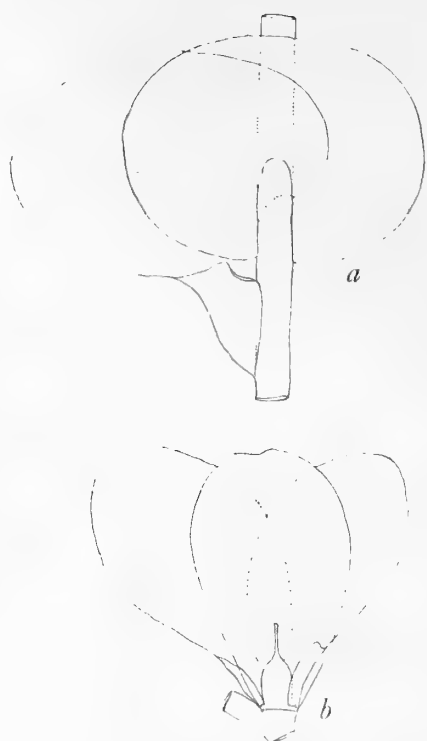


Fig. 201. *Omphalanthus grandistipulus* St. n. sp. a Pars rami 30:1; b Flos sterilis 30:1.

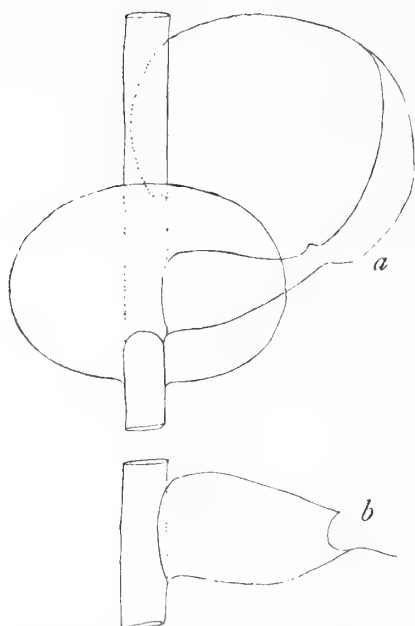


Fig. 202. *Archilejeunea involuta* St. n. sp. a Pars rami 30:1; b lobulus folii in plano 30:1.

caulina gigantea, reniformia (0,83 mm longa, 1,25 mm lata) profunde sinuatim inserta, apice late truncato-rotundata, integerrima.

Comarapa (2600 m), No. 4289.

Ptychanthus (N. ab Es. 1833).

390. **Ptychanthus boliviensis** St. n. sp. (Fig. 203).

Dioica, maxima, dilute brunnea, flaccida, in cortice laxe intricata, pendula. Caulis ad 10 cm longus, regulariter bipinnatus, ramis primariis 3 cm longis, remote breviterque pinnatis. Folia caulina imbricata, oblique patula, decurva, in plano ovata (2,33 mm longa, 1,58 mm lata) subsymmetrica, apice acuta, ad medium inserta, basi antica rotundata, caulem tegentia, integerrima. Cellulae superae 18/27 μ , basales 18/36 μ , trigonis parvis, in medio parietum nodulosi. Lobulus magnus, folio triplo brevior, late conicus, carina substricta, amplo sinu in folium excurrens, apice quam basis duplo angustiore, subrecte truncato, angulo obtuso vel apiculato. Amphigastia caulina maxima, caule quintuplo latiora, profunde sinuatim inserta, alis rotundatis, ex parte liberis, ceterum integerrima apiceque late rotundata. Perianthia cylindrica (3 mm longa, 1,5 mm lata) decemplexata, rostro longissimo. Folia floralia obovato-obconica, apice apiculata, sub apice paucidentata. Lobulus duplo vel tertio brevior, linearis, ad medium solutus, apice bifidulus, carina late alata. Amphigastrium florale lobulis aequilongum, lingulatum, apice late rotundato, dentato. Androecia desunt.

Rio Tocorani, No. 4113.

Mastigolejeunea Spruce 1885 p. subgen.

391. **Mastigolejeunea Büttneri** St.

Bolivia (sine loco natali).

392. **Mastigolejeunea decurrens** St. n. sp. (Fig. 204).

Dioica, major, flaccida, pallide-virens, in cortice dense depresso-caespitans. Caulis ad 5 cm longus, regulariter bipinnatus, ramis primariis 2 cm longis, remotis, irregulariter breviterque pinnulatis. Folia caulina conferta, recte patula, valde concava apiceque arcte decurva, in plano late ovata (2,5 mm longa, medio

2 mm lata) apice late acuminato acuto, integerrima, asymmetrica, margine supero longe arcuato, infero substricto, basi antica rotundato-appendiculata. Cellulae superae 18/27 μ , basales 27/36 μ trigonis parvis. Lobulus magnus, oblongus, folio duplo brevior, triplo longior quam latus, carina substricta, amplo sinu in folium excurrens, apice attenuatus, oblique truncatus, angulo obtuso, sub apice leviter constrictus. Amphigastia caulina magna, caule quadruplo latiora subrotunda, profunde sinuatim inserta, alis basalibus truncato-rotundatis, apice rotundato, arcte recurvo. Perianthia (juvenilia) obovata, utrinque innovata, triplicata, apice truncato-rotundata, rostro brevissimo. Folia floralia obovato-obconica (3 mm longa, sub apice 2,25 mm lata) apice ipso rotundato, abrupte apiculato; lobulus ad plicam angustam minimam reductus. Amphigastrium florale intimum caulinis simillimum, parum majus.

Florida de San Mateo (2000 m), No. 3695, 3697; Rio Tocorani, No. 4089, 4094, etc.

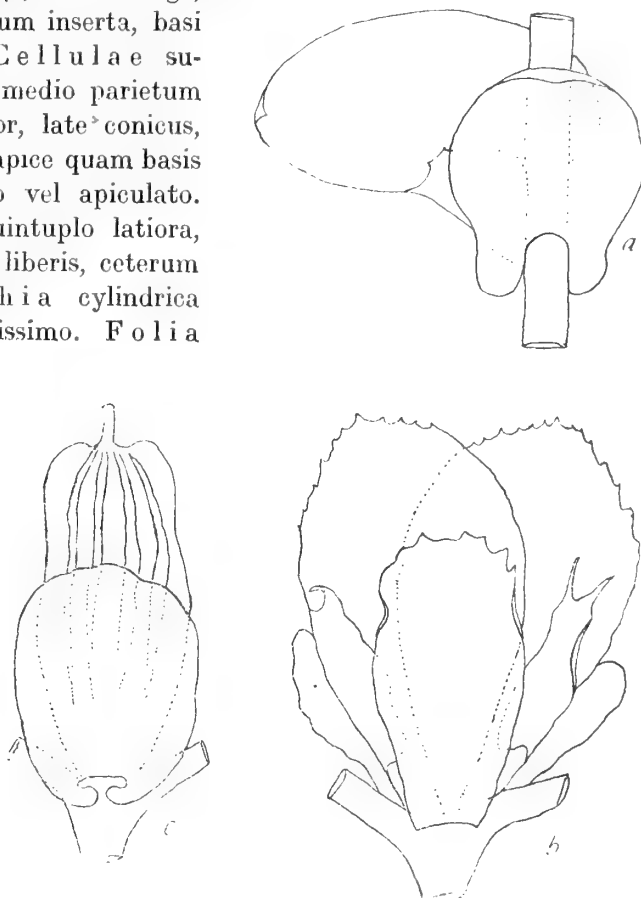


Fig. 203. *Ptychanthus boliviensis* St. n. sp. a Pars rami 15:1; b folia floralia 15:1; c Perianth c. amphig. florali 15:1.

393. *Mastigolejeunea fusco-virens* St.
Bolivia (sine loco natali).

Bryopteris Lindenb. in Syn. Hep. 1845.

394. *Bryopteris filicina* Sw.
Cordillera de Santa Cruz (1500 m), No. 3887, 3930, 4003.
395. *Bryopteris longispica* S.
Cordillera de Santa Cruz, No. 3525; Florida de San Mateo, No. 3662.

396. *Bryopteris trinitensis*
L. et L.
Cordillera de Santa Cruz (1500 m), No. 3565; San Mateo-Sunchal, No. 4476.

Ptychocoleus
Trevis 1877.

397. *Ptychocoleus boli-
viensis* St.
Florida de San Mateo (2000 m), No. 3693.
398. *Ptychocoleus denti-
lobulus* St. n. sp.
(Fig. 205).

Planta sterilis, magna, gracilis, flaccida, viridis, aetate fusco-brunnea, in cortice dense depresso-caespitans. Caulis ad 7 cm longus, supra basin dense fasciculatim ramosus, ramis omnibus aequalibus (5 cm longis) interdum sub apice breviter furcatis. Folia caulina conferta, oblique patula, valde concava, in plano ovato-trigona (2,5 mm longa, medio 2 mm lata) apice obtusa, asymmetrica, margine supero longe arcuato, infero substricto, ad medium inserta, basi antica rotundata, appendiculo semirotondo inte-

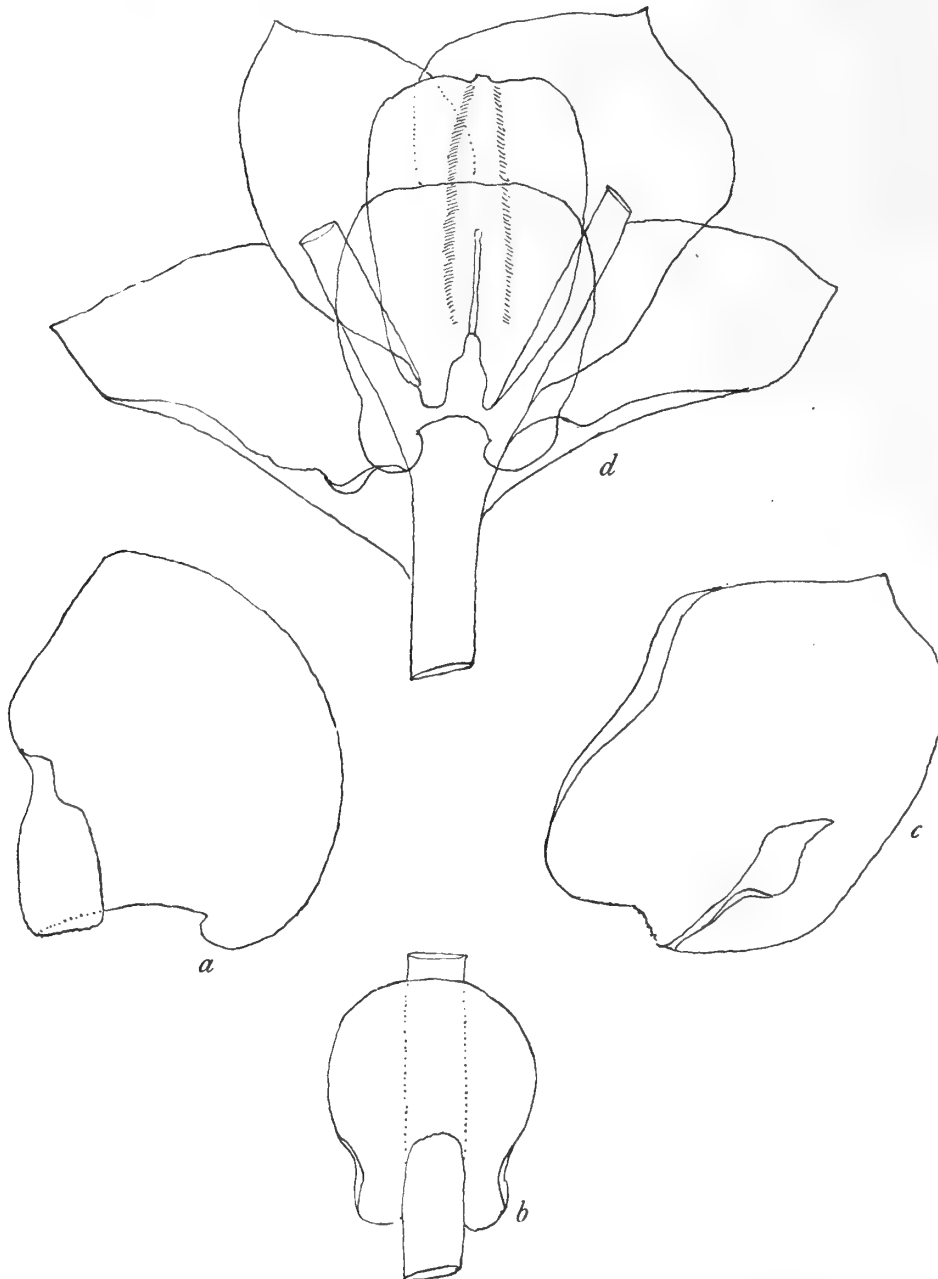


Fig. 204. *Mastigolejeunea decurrens* St. n. sp. a fol. caul. 20:1; b amphig. caul. 20:1; c fol. florale 20:1; d Perianth. 20:1.

gerrimo. Cellulae superae 27/27 μ , basales 45/45 μ , parietibus validis. Lobulus majusculus folio triplo brevior, in situ oblongus, in plano late obtusatus, carina oblique adscendens, leviter arcuata, amplo sinu in folium excurrens, apice late recteque truncatus, remote tridentatus, margine supero longe arcuato nudo. Amphigastia caulina maxima, reniformia (2,5 mm lata, 1,5 mm longa) profunde sinuatim inserta, apice late truncato-rotundata.

Florida de San Mateo, No. 3663.

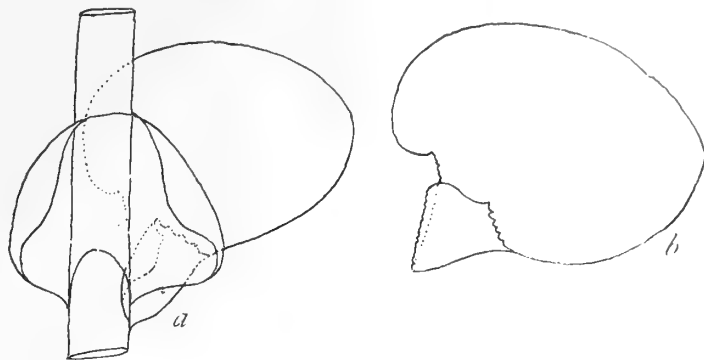


Fig. 205. *Ptychocoleus dentilobulus* St. n. sp. a pars caulis 15 : 1; b folium solutum 15 : 1.

Anoplolejeunea Spruce 1885 p. subgen.

399. **Anoplolejeunea acutifolia** St. n. sp. (Fig. 206).

Dioica, exigua, fusco-brunnea, rigida, in cortice pulvinata. Caulis ad 8 mm longus, irregulariter multiramus.

Folia caulina parum imbricata, recte patula, arcte decurva, in plano ovato-trigona (0,67 mm longa, supra basin 0,4 mm lata) apice longe valideque cuspidata, asymmetrica, margine supero valde arcuato, infero sinuato, basi antica longe truncata, brevissima basi inserta. Cellulae superae 18/18 μ trigonis nullis, basales 18/27 μ trigonis parvis; ocelli basales tres, 27/36 μ trigonis nullis. Lobulus (in situ) oblongus, folio duplo brevior, attenuatus, in plano rectangulatus, triplo longior quam latus, apice recte truncatus, angulo acuto, ceterum oblique adscendens, carina leviter arcuata, amplo sinu in folium excurrens.

Amphigastia caulina parva, caule duplo latiora, obtusata, vix latiora quam longa, apice truncato-rotundata, integerrima. Perianthia oblongo-elliptica, duplo longiora quam lata, superne dense irregulariterque spinulosa, plicis posticis longissimis, inferne nudis, superne similiter armatis, rostro validissimo. Folia floralia perianthio aequilonga, oblongo-obovata, obtusa, integerrima, lobulo parum brevior, duplo angustior, apice obtuso, breviter soluto, integro. Amphigastrium florale lobulis aequilongum, late obconicum, apice emarginatum, integrum. Androecia desunt.

Inacorral (2200 m), No. 4964.

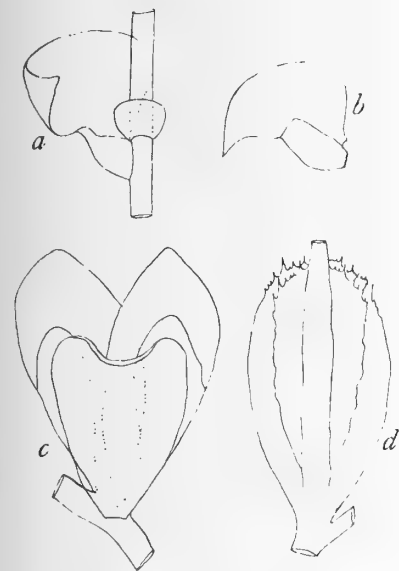


Fig. 206. *Anoplolejeunea acutifolia* St. n. sp. a pars caulis 30 : 1; b folium caul. 30 : 1; c folia floralia 30 : 1; d Perianth. 30 : 1.

Brachiolejeunea Spruce 1885 p. subgen.

400. **Brachiolejeunea cordistipula** St. n. sp. (Fig. 207).

Sterilis, minor flaccida flavescens, in cortice repens. Caulis ad 15 mm longus, densissime longeque ramosus, ramis simplicibus, rarius pinnula auctis. Folia caulina parum imbricata, oblique patula, parum concava, in plano ovato-trigona (1,33 mm longa, supra basin 1 mm lata) asymmetrica, margine supero longe arcuato, infero substricto, apice rotundata, brevi basi inserta, basi antica longe

truncata, caulem vix tegentia, integerrima. Cellulae superae 27/27 μ , basales 27/45 μ trigonis majusculis, in medio parietum nodulosi. Lobulus magnus, folio duplo brevior, in situ anguste oblongus, triplo longior quam latus, in plano late ovatus, carina oblique adscendens, inflata, papulosa, amplo sinu in folium excurrens, apice oblique truncatus, angulo acuto. Amphigastia

caulina maxima, caule quintuplo latiora, optime rotundata, breviter sinuatim inserta ibidemque cordatim rotundata.

Incacorral, ca. 2200 m, No. 4953.

401. **Brachiolejeunea laxifolia** (Taylor) S.

Estradillas supra Incacorral 3200 m, No. 3331/a, 3344; Corani, No. 3380.



Fig. 207. *Brachiolejeunea cordistipula* St. n. sp. a fol. caul. in situ 30 : 1; b. fol. caul. in plano 30 : 1; c folia floralia 30 : 1.

402. **Brachiolejeunea Leiboldiana** St.

Rio Saujana (3400 m), No. 3271.

403. **Brachiolejeunea mamillata** St.

Cordillera de Santa Cruz, No. 3494/a.

404. **Brachiolejeunea Mandoni** St.

Cuesta de Liryuni 3300 m, No. 2608.

405. **Brachiolejeunea rupestris** G.

In valle Corani (2600 m), No. 3375.

406. **Brachiolejeunea succisa** St.

Bolivia (sine loco natali).

Marchesinia S. F. Gray 1821.

407. **Marchesinia longissima** St. n. sp. (Fig. 208).

Dioica magna robusta, rigida, pallide flavicans, aetate brunnea, corticola. Caulis ad 9 cm longus, regulariter bipinnatus, ramis primariis 1 cm longis, apice breviter dichotome ramosis. Folia caulina imbricata, oblique patula, concava, in plano ovato-trigona (3 mm longa, medio 2 mm lata) subsymmetrica, apice obtusa, ad medium inserta, basi antica grosse rotundato-ampliata, caulem late transeuntia. Cellulae superae 27/27 μ trigonis parvis acutis, basales 36/45 μ , parietibus interrupte trabeculatis. Lobulus parvus, triangulatus, folio triplo brevior, carina alte adscendens, leviter arcuata, sinu subnullo in folium excurrens, apice oblique lateque truncatus, quadrimamillatus; Amphigastria caulina magna, caule quintuplo latiora, subrotunda (1,25 mm longa, 1,75 mm lata) basi attenuata, sinuatim inserta, apice late rotundata integerrima. Perianthia pyriformia, compressa (5,25 mm longa, medio 2,75 mm lata) eplicata, in medio umbonatim inflata, apice truncato-rotundata, rostro parvo. Folia floralia perianthio duplo breviora, obovato-oblonga (3,5 mm longa, medio 2 mm lata) apice obtusa, integerrima; lobulus

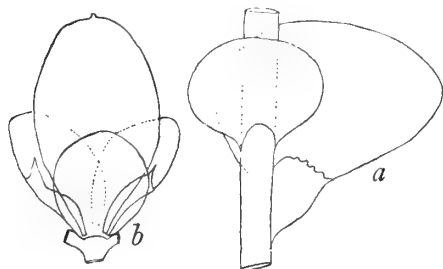


Fig. 208. *Marchesinia longissima* St. n. sp. a pars caulis 20 : 1; b Perianthium 10 : 1.

tertio brevior, anguste lanceolatus, apice breviter solutus, cuspidatus. Amphigastrium florale subrotundum (2,5 mm longum et latum) basi obtusatum, brevissima basi insertum. Androecia desunt. Tablas, 1800 m, No. 4532.

Dicranolejeunea Spruce 1885 p. subgen.

408. **Dicranolejeunea axillaris** (Mont.).

Sillar 1800 m, No. 2701, 2702, 2711; Florida de San Mateo, No. 3670, 3696.

409. **Dicranolejeunea boliviensis** St. n. sp. (Fig. 209).

Sterilis magna robusta, rigidula, dilute brunnea, in cortice dense depresso-caespitans lateque expansa. Caulis ad 8 cm longus, regulariter longeque ramosus, ramis breviter remoteque pinnulatis. Folia caulina conferta, oblique patula, concava apiceque decurva, in plano ovata (1,5 mm longa, medio 1,17 mm lata) subsymmetrica, apice acuta, ad medium inserta, basi antica rotundato-appendiculata, integerrima. Cellulae superae 18/27 μ , trigonis subnullis, basales 18/36 μ , trigonis majusculis. Lobulus folio subduplo brevior, ovato-triangularis, carina oblique adscendens, inflata,

leviter arcuata, amplo sinu in folium excurrens, margine supero stricto, regulariter mamillato, mamillis 6; Amphigastria caulina magna, caule quintuplo latiora, concava apiceque recurva, in plano subquadrata, sinuatim inserta, basi utrinque appendiculata, appendiculis angustis, hamatim incurvis conniventibus.

Incacorral (2200 m), No. 4971.

410. **Dicranolejeunea gigantea** St.

Estradillas supra Incacorral (3200 m), No. 3331.

411. **Dicranolejeunea Herzogiana** St. n. sp. (Fig. 210).

Monoica mediocris flaccida, dilute brunnea, aliis hepaticis consociata. Caulis ad 3 cm longus, irregulariter pinnatus, pinnis longioribus similiter pinnatis. Folia caulina imbricata, subrecte patula, valde concava, in plano oblongo-elliptica (1,83 mm longa, medio 1,17 mm lata) symmetrica, apice rotundata valideque dentata; margine supero minute remoteque dentato, infero subnudo. Cellulae superae 27/27 μ , basales 36/36 μ , trigonis subnullis. Lobulus parvus, in plano subquadratus (0,4 mm longus et latus) carina substrieta levi sinu in folium excurrens, apice recte truncatus bimamillatus. Amphigastria caulina subcircularia, profunde sinuatim inserta (ex parte libera) integerrima. Perianthia pyriformia, compressa, triplicata, plicis lateralibus anguste alatis, alis regulariter valideque dentatis. Folia floralia perianthio subduplo breviora, oblonga, apice rotundata, irregulariter denticulata, inferne nuda; lobulus omnino nullus. Amphigastrium florale

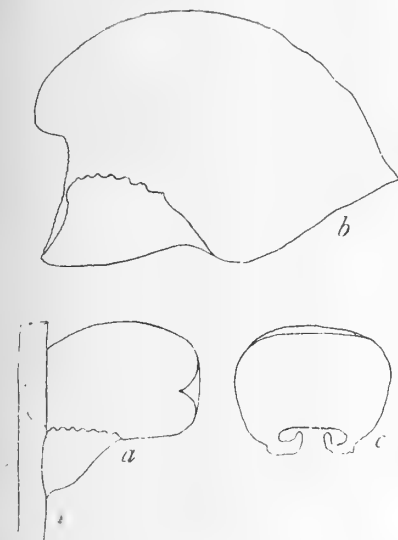


Fig. 209. *Dicranolejeunea boliviensis* St. n. sp. a fol. caul. in situ 10:1; b fol. caul. in plano 30:1; c amphig. caul. 10:1.

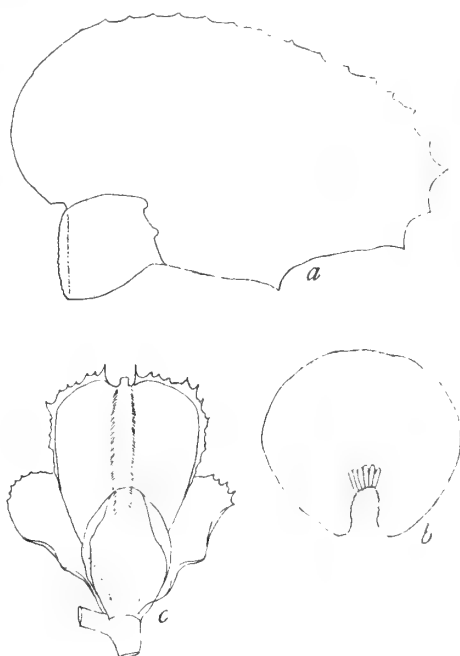


Fig. 210. *Dicranolejeunea Herzogiana* St. n. sp. a fol. caul. in plano 30:1; b amphig. caul. 30:1; c Perianth. 30:1.

perianthio duplo brevius, marginibus arcte recurvis, in plano subrotundum integerrimum. Androecia sessilia, alveolis quadrijugis.

Tablas (1800 m), No. 4584, 4603.

412. *Dicranolejeunea nudiflora* St. n. sp. (Fig. 211).

Dioica magna flaccida, rufo-brunnea, in cortice prostrata denseque depresso-caespitans. Caulis ad 7 cm longus, irregulariter multiramis, ramis primariis 1—4 cm longis, sparsim breviterque pinnatis, sub flore furcatis. Folia caulina parum imbricata, recte patula, concava apiceque decurva, in plano ovata (2,5 mm longa, medio 1,75 mm lata) apice apiculata, ad medium inserta, basi antica rotundato-appendiculata. Cellulae superae 18/27 μ trigonis majusculis, basales 18/36 μ trigonis subnullis. Lobulus magnus, folio duplo brevior, anguste oblongus, carina oblique ascendens, leviter arcuata amplo sinu in folium excurrentes, apice quam basis triplo angustiore, oblique truncato, angulo acuto, margine supero (in situ occulto) mamillato, mamillis 5—6. Perianthia obovato-oblonga (3,5 mm longa,

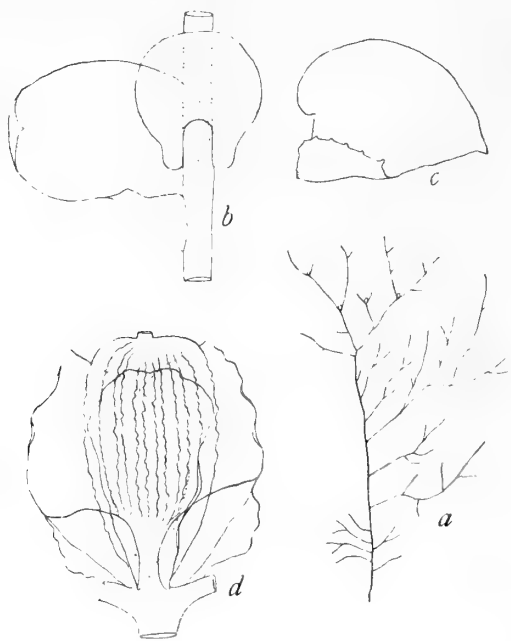


Fig. 211. *Dicranolejeunea nudiflora* St. n. sp. a Schemat. Habitus 1:2; b pars caulis 15:1; c folium solutum 15:1; d Perianth. c. foliis 15:1.

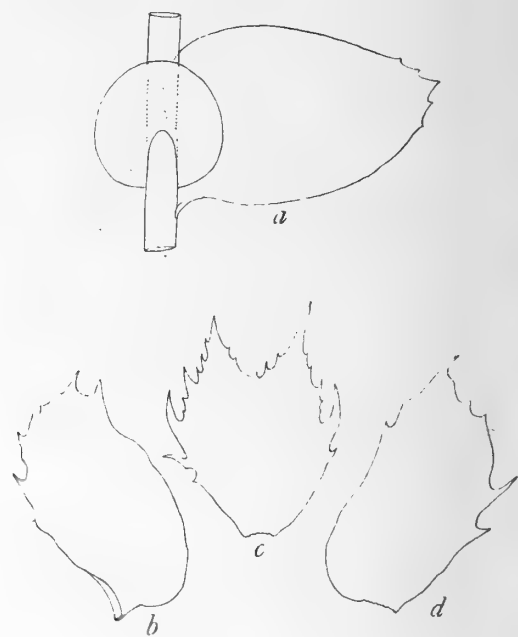


Fig. 212. *Dicranolejeunea oblongifolia* St. n. sp. a pars caulis 15:1; b fol. flor. 15:1; c amph. flor. 15:1; d fol. florale 15:1.

medio 1,75 mm lata) decomplicata, plicis confertis, angustis, longe decurrentibus crispulis, rostro valido brevissimo. Folia floralia perianthio aequilonga, ovata, acuta, lobulus subtriplo brevior, oblongus, haud solutus, ad plicam reductus; carina alata, alis latiusculis. Amphigastrium florale perianthio aequilongum, oblongo-obconicum, apice rotundatum breviterque retusum, liberum. Androecia desunt.

In valle Corani (1800 m), No. 4753.

413. *Dicranolejeunea oblongifolia* St. n. sp. (Fig. 212).

Dioica major flaccida, dilute virens, in rupibus humidis dense depresso-caespitans lateque expansa. Caulis ad 9 cm longus, sparsim breviterque pinnatus, saepe omnino simplex. Folia caulina remota vel contigua, recte patula, ovato-oblonga, symmetrica (4 mm longa medio 2,5 mm lata) apice acuta, sub apice paucidentata, antice caulem vix tegentia, basi antica exappendiculata. Cellulae superae 27/27 μ , basales 36/63 μ , trigonis nullis, parietibus tenuibus. Lobulus ad plicam angustam reductus. Amphigastria caulina majuscula, caule quintuplo latiora, circularia, integerrima, profunde sinuatim inserta. Folia floralia caulinis subaequimagna, oblonga (3,5 mm longa 1,5 mm

lata) apice breviter cuspidata, sub apice remote irregulariterque dentata; Lobulus ad plicam minutam reductus. Amphigastrium florale foliis floralibus aequilongum, late obovato-obconicum, liberum, apice ad $\frac{1}{3}$ emarginato-bifidum, sinu amplo, laciniis lanceolatis, dense irregulariterque dentatis et spinulosis, inferne nudum. Androecia desunt.

Tablas, 1800 m, No. 4533.

414. *Dicranolejeunea pulcherrima* St. n. sp. (Fig. 213).

Dioica major gracilis flaccida flavescens, in cortice profunde pulvinata. Caulis ad 6 cm longus, remote breviterque pinnatus, ramis elongatis interjectis similiter pinnatis. Folia caulina parum



Fig. 213. *Dicranolejeunea pulcherrima* St. n. sp. a pars caulis 30 : 1; b Perianth. 30 : 1.

imbricata, subrecte patula, valde concava vel involuta, in plano ovato-trigona (2,5 mm longa, supra basin 2,25 mm lata) apice acuta, sub apice paucidenticulata, lata basi inserta, basi antica truncato-rotundata, caulem tegentia. Cellulae superae 18/18 μ , basales 27/36 μ , trigonis subnullis. Amphigastria caulina in situ ovalia, in plano subrotunda, marginibus arcute recurvis, apice plana integerrima, profunde sinuatim inserta. Lobulus folii parvus, in situ oblongus, margine supero involuto occulto, in plano ovatus, folio quadruplo brevior, carina oblique adscendens, arcuata, amplo sinu in folium excurrens, apice

oblique truncatus, angulo acuto. Perianthia compresso-pyriformia (1,83 mm longa, medio 1,5 mm lata) inferne nuda, superne anguste alata, alis regulariter spinosis, plica postica nuda, humilis, inflata. Folia floralia perianthio subduplo breviora, lanceolata, cuspidata, superne trinque 4—5-spinosa; lobulus ad plicam exiguam reductus. Amphigastrium florale foliis floralibus aequilongum, obovato-obconicum, medio supero grosse spinoso. Androecia desunt.

Inacorral (2200 m), No. 5043; Corani, (1800 m), No. 4720, 4743.

415. *Dicranolejeunea Renauldii* St.

Inacorral (2200 m), No. 5024.

Cyclolejeunea Spruce 1885 p. subgen.

416. *Cyclolejeunea peruviana* (G.) St.

Sillar (1800 m), No. 2774, 2792.

Harpalejeunea Spruce 1885 p. subgen.

417. *Harpalejeunea boliviana* St. n. sp. (Fig. 214).

Dioica pusilla, rigida et fragillima, fusco-brunnea, in cortice et rupibus pulvinatim caespitans. Caulis ad 12 mm longus, sparsim longeque ramosus. Folia caulina parum imbricata, oblique patula, hamatim decurva, in plano ovata (1 mm longa medio 0,67 mm lata) asymmetrica, margine supero longe arcuato, infero substricto, apice acuta, basi antica longe arcuata, caulem vix tegentia. Cellulae superae 18/18 μ , basales 18/36 μ , trigonis magnis acutis. Lobulus magnus, folio plus duplo brevior, oblongus, duplo longior quam latus, carina oblique adscendens, leviter arcuata, amplo sinu in folium

excurrens, apice quam basis parum angustiore, recte truncato, angulo obtuso. Amphigastria caulina majuscula, caule triplo latiora, subrotunda, transverse inserta, apice ad $\frac{1}{3}$ biloba, sinu subrecto obtuso, segmentis triangulatis obtusis. Perianthia oblongo-obconica (1,5 mm longa, medio 0,75 mm lata) apice truncato-rotundata, omnino eplicata, rostro parvo. Folia floralia caulinis parum minora, simillima, lobulo lineari, exiguo, apice breviter soluto obtuso. Amphigastrium florale obovato-obconicum, perianthio triplo brevior, ad medium inciso-bilobatum, sinu semirecto, segmentis lanceolatis obtusis vel acutis. Androecia desunt.

Nebelwald über Comarapa, (2600 m) No. 4202.

418. *Harpalejeunea exciso-stipula* St. n. sp. (Fig. 215).

Monoica mediocris, gracillima, flaccida, flavo-rufescens, aliis hepaticis consociata. Caulis ad 4 cm longus, irregulariter remoteque pinnatus, pinnis longioribus paucipinnulatis. Folia caulina recte patula, contigua, valde decurva, in plano ovato-oblonga (1 mm longa, medio 0,58 mm lata) apice grosse apiculata, basi antica rotundata, caulem tegentia. Cellulae superae $14/14 \mu$, basales $18/18 \mu$ trigonis magnis. Lobulus majusculus, ovato-triangulatus, folio quadruplo brevior, carina oblique adscendens, arcuata, papulosa, sinu acuto in folium excurrens, apice quam basis triplo angustior, profunde excisus, angulo spinula hamata armato. Amphigastria caulina

Fig. 214. *Harpalejeunea boliviana* St. n. sp. a pars caulis 15:1; b fol. caul. 15:1; c Perianth. 15:1.

majuscula, caule triplo latiora, subrotunda, basi cuneatim angustata, transverse inserta, ad medium exciso-bifida, sinu amplo, laciniis anguste triangulatis leviterque conniventibus. Perianthia magna, pyriformia (1,33 mm longa, medio 0,75 mm lata) rostro parvo, plicis posticis angustis, longe decurrentibus, divergentibus. Folia floralia caulinis aequimagna, simillima, lobulo parvo lineari, 0,33 mm longo, sextuplo longiore quam lato, apice truncato, angulo acuto. Amphigastrium florale parvum, late ovato-obconicum, caulino subaequimagnum simillimum. Androecia parva sessilia, bracteis trijugis.

Tablas (1800 m), No. 4641.

419. *Harpalejeunea grosse-armata* St. n. sp. (Fig. 216, a—b).

Monoica, parva, flaccida, dilute virens, in foliis filicum arcte repens. Caulis ad 10 mm longus, irregulariter longeque pinnatus, sub flore innovatus. Folia caulina parum imbricata, saepe remotiuscula, recte patula, ovata, symmetrica (0,83 mm longa, medio 0,5 mm lata) apice rotundata, basi antica truncato-rotundata, caulem vix tegentia, integerrima. Cellulae superae $18/18 \mu$, basales $27/36 \mu$, trigonis parvis, basi subnullis. Lobulus majusculus, ovatus, folio triplo brevior, carina oblique adscendens, leviter arcuata, cellulis prominulis crenulata, amplo sinu in folium excurrens, apice oblique truncato, angulo apiculato. Amphigastria caulina majuscula, caule subtriplo latiora, rotunda, transverse inserta, ad medium exciso-bifida, segmentis lanceolatis acutis conniventibus. Perianthia parva, folio caulino subaequimagna, obovato-obconica, rostro magno valido, plicis ubique grosse irregulariterque spinosis, inferne nudis. Folia floralia perianthio duplo breviora, oblongo-obconica, obtusa, integerrima; lobulus tertio brevior, lanceolatus, ad medium solutus, obtusus, integerrimus. Amphigastrium florale

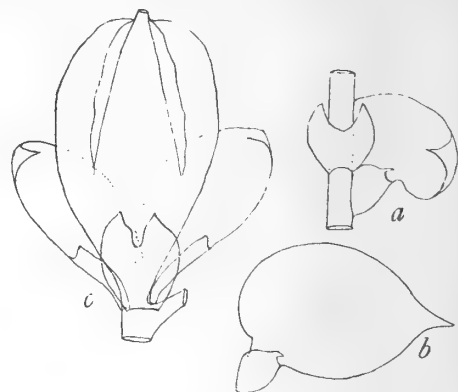
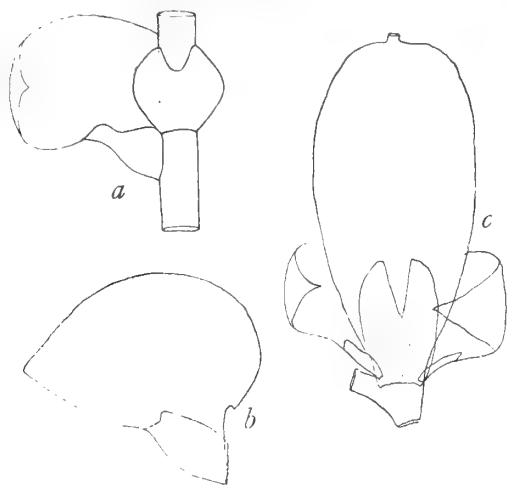


Fig. 215. *Harpalejeunea excisostipula* St. n. sp. a fol. caul. in situ 30:1; b fol. caul. in plano 30:1; c Perianth. 30:1.

lobulis aequilongum, obovato-obconicum, ad $\frac{1}{3}$ inciso-bifidum, sinu semirecto, lobis anguste triangularibus porrectis acutis. *Androecia* breviter spicata, sessilia bracteis paucijugis.

Inacorral (2200 m), No. 5051.

420. *Harpalejeunea Spruceana* St. n. sp. (Fig. 216, c—d).

Sterilis medioeris flaccida, pallide flavicans, aliis hepaticis consociata. *Caulis* ad 2 cm longus, irregulariter breviterque pinnatus, ramis saepe fasciculatim approximatis, simplicibus. *Folia* caulina contigua, recte patula, valde concava decurva, in plano late ovato-trigona, asymmetrica, margine supero alte arcuato, infero substricto (0,75 mm longa, supra basin 0,67 mm lata) apice obtusa, basi antica truncato-rotundata, caulem vix tegentia. *Cellulae* superae 18/18 μ , basales 27/36 μ trigonis subnullis. *Lobulus* magnus,

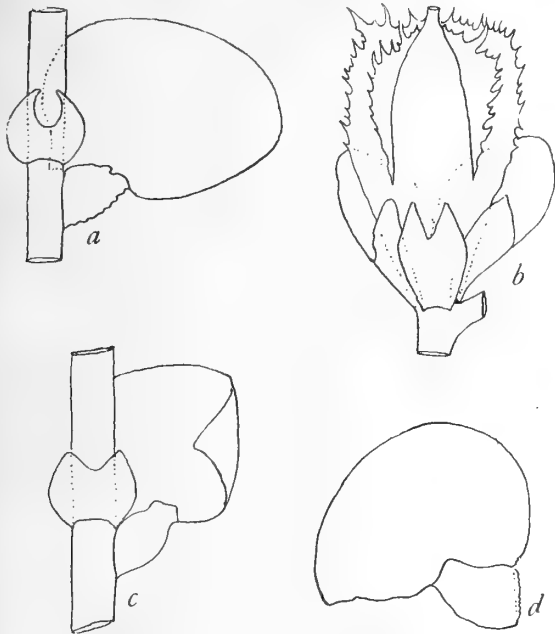


Fig. 216. a—b *Harpalejeunea grossearmata* St. n. sp. a pars caulis 20:1; b Perianth. 20:1; c—d *H. Spruceana* St. n. sp. c pars caulis 20:1; d folium caulin. in plano 20:1.

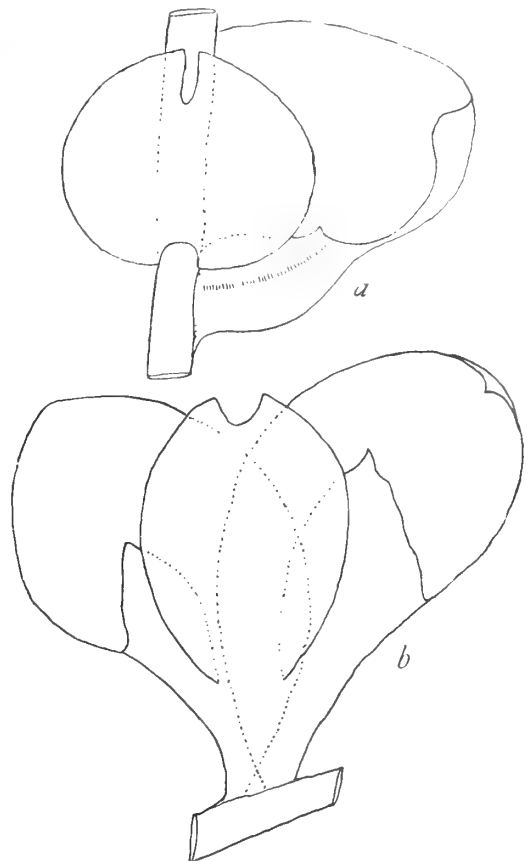


Fig. 217. *Strepsilejeunea boliviensis* St. n. sp. a pars caulis ca. 23:1; b folia floralia ca. 23:1.

folio duplo brevior, ovato-oblongus, carina oblique adscendens, arcuata, amplo sinu in folium excurrens, apice truncato, quam basis duplo angustiore, angulo obtuso, sub apice constrictus. *Amphigastria* caulina parva, caule parum latiora, subrotunda, transverse inserta, apice leviter lateque emarginata, segmentis late triangularibus acutis.

In valle Corani (1800 m), No. 4686.

421. *Harpalejeunea tuberculata* Jack.

Tablas (3400 m), No. 2822.

Strepsilejeunea Spruce 1885 p. subgen.

422. *Strepsilejeunea boliviensis* St. n. sp. (Fig. 217).

Dioica parva gracillima, dilute brunnea, in cortice dense depresso-caespitans. *Caulis* ad 2 cm longus, sparsim breviterque ramosus. *Folia* caulina contigua, oblique patula, valde decurva, in plano ovato-trigona (1,17 mm longa, medio 1 mm lata) asymmetrica, margine supero longe arcuato,

infero substricto, basi antica truncata, apice obtusa vel rotundata, integerrima. Cellulae superae $27/27 \mu$ basales $27/36 \mu$ trigonis subnullis. Lobulus in situ oblongus recte patens, folio duplo brevior, carina arcuata, levi sinu in folium excurrens, inflata, sub apice constrictus, apice ipso oblique truncato, angulo acuto. Amphigastria caulina maxima, subrotunda (0,67 mm longa, 0,75 mm lata) profunde sinuatim inserta, apice biloba, rima angusta obtusa, lobis late triangulatis acutis. Folia floralia caulinis aequimagna, spathulata, falcato-divergentia, apice acuta, integerrima, lobulus

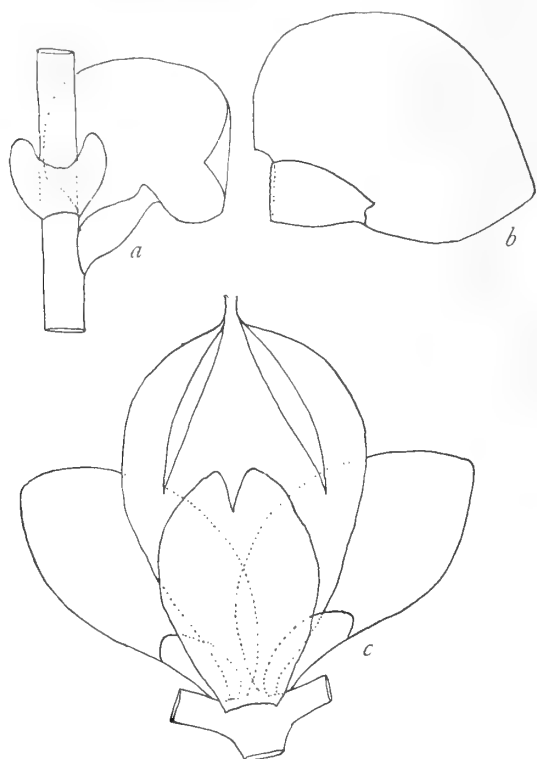


Fig. 218. *Strepsilejeunea obtusistipula* St. n. sp.
a pars caulis 18:1; b folium caulinum 18:1; c Perianth.
18:1.

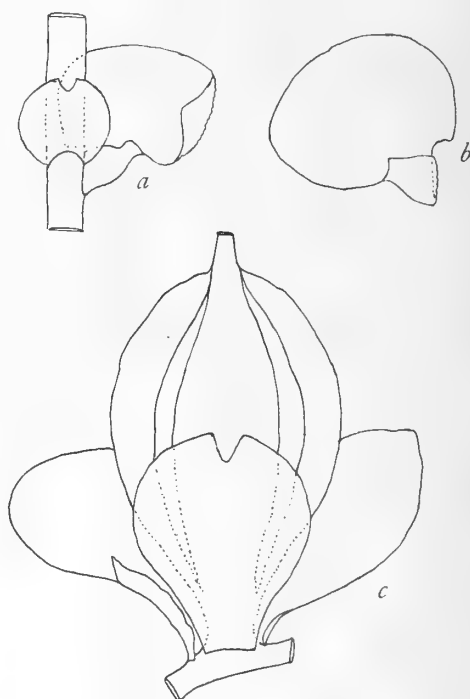


Fig. 219. *Strepsilejeunea papulifolia* St. n. sp.
a pars caulis 18:1; b fol. caulin. 18:1;
c Perianth. 18:1.

parum brevior, lanceolatus, ad $\frac{1}{3}$ solutus, acutus. Amphigastrium floralis foliis floralibus subaequilongum, apice breviter emarginato-bidentatum, inferne lobulis altissime connatum. Androecia parva, in ramis lateralibus, sessilia, bracteis 3—4 jugis.

Nebelwald über Comarapa, (2600 m) No. 3975.

423. *Strepsilejeunea Kunthiana* Ldbg.

Cordillera de Santa Cruz, No. 3913.

424. *Strepsilejeunea obtusistipula* St. n. sp. (Fig. 218).

Dioica mediocris flaccida, dilute brunnea, terricola, laxe caespitans. Caulis ad 25 mm longus, superne remote breviterque ramosus, inferne fasciculatim multiramosus, ramis simplicibus vel minute pinnatis. Folia caulina oblique patula, remotiuscula, superne imbricata, decurva, in plano ovata (1,1 mm longa, 0,75 mm lata) asymmetrica, margine supero e basi rotundata longe arcuato, infero leviter curvato, apice acuta vel obtusa, brevi basi inserta. Cellulae superae $18/18 \mu$ basales $18/27 \mu$ trigonis magnis acutis. Lobulus in situ oblique adscendens, oblongus, quadruplo longior quam latus, sub apice constrictus, apice ipso truncato, angulo acuto, carina leviter arcuata, recto angulo in folii marginem excurrens. Amphigastria caulina majuscula, late obcuneata, caule triplo latiora, transverse inserta, apice profunde emarginata, lobis leviter divergentibus, apice rotundatis. Perianthia pyriformia (1,33 mm longa, medio 0,9 mm lata) plicis posticis angustis, late divergentibus, ad medium

decurrentibus; rostro longissimo angusto. Folia floralia oblongo-elliptica, 1,17 mm longa medio 0,58 mm lata, apice obtusiuscula. Lobulus sublinearis, foliis floralibus quadruplo brevior, apice breviter solutus, obtusus. Amphigastrium florale obovato-obconicum, apice ad $\frac{1}{2}$ incisum, rima angusta, lobis obtusis. Androecia parva, in caule terminalia, vulgo ex apice vegetativa, bracteis paucijugis.

Cuchicancha (3000 m), No. 4164.

425. **Strepsilejeunea papulifolia** St. n. sp. (Fig. 219).

Monoica, exigua flaccida, dilute brunnea, in terra gregaria, muscis consociata. Caulis ad 12 mm longus, parum breviterque ramosus. Folia caulina imbricata, oblique patula, valde decurva, in plano ovata (0,67 mm longa, medio 0,58 mm lata) subsymmetrica, margine supero longe arcuato, infero similiter curvato, apice obtusa, basi antica truncato-rotundata, integerrima. Cellulae superae 18/18 μ , basales 18/27 μ , trigonis magnis acutis, cuticula papulosa. Lobulus folio triplo brevior, ovato-conicus, carina oblique adscendens, amplo sinu in folium excurrentes, margine supero stricto, apice truncatus, angulo apiculato. Amphigastria caulina magna, caule subtriplo latiora, subrotunda, leviter sinuatim inserta, apice breviter inciso-bidentula. Perianthia maxima, late elliptica (1,5 mm longa, medio 0,83 mm lata) ex angusta basi valde ampliata, plicis posticis longissime decurrentibus, angustis, rostro longissimo. Folia floralia obovato-obconica, late divergentia (1 mm longa, 0,5 mm lata) apice obtusa, integerrima. Lobulus duplo brevior, anguste linearis, apice truncato, angulo acuto. Amphigastrium florale perianthio duplo brevius, late obtusum, apice brevissime emarginatum, dentibus acutis. Androecia in caule lateralia, brevissima, bracteis bijugis, perianthio approximatis.

Cordillera de Santa Cruz, No. 3915.

Ceratolejeunea Spruce 1885 p. subgen.

426. **Ceratolejeunea brasiliensis** (Gottsche) S.

Cordillera de Santa Cruz, No. 3983.

427. **Ceratolejeunea peruviana** St.

Sillar (1800 m), No. 2770.

Taxilejeunea Spruce 1885 p. subgen.

428. **Taxilejeunea acutifolia** (Ldbg.) St.

Tablas 1800 m, No. 4571; Sillar 1800 m, No. 2756; Rio Tocarani, No. 4061.

429. **Taxilejeunea apiculata** (G.) Spruce.

Tablas 1800 m, No. 4605, 4518; Cerros de Malaga 4000 m, No. 4358.

430. **Taxilejeunea Allionii** St.

Bolivia (sine loco natali).

431. **Taxilejeunea asperrima** St. n. sp. (Fig. 220, b—c).

Sterilis major gracillima flaccida, flavescens, aetate dilute brunnea, in cortice dense depresso-caespitans. Caulis ad 5 cm longus, capillaceus, simplex, rarius parum longeque ramosus. Folia caulina parum imbricata, valde concava, saepe involuta caulique parallela, in plano ovato-trigona (1,5 mm longa, supra basin 1,33 mm lata) ad medium accreta, basi antica rotundata, caulem superantia, apice acuta. Cellulae superae 18/18 μ , trigonis magnis, vulgo confluentibus, papilla magna coronatae, basales 18/27 μ trigonis ovalibus, cuticula laevis. Lobulus oblongo-triangularis, latissima basi insertus, carina oblique adscendens, leviter arcuata, amplo sinu in folium excurrentes, apice breviter truncatus, angulo apiculato. Amphigastria

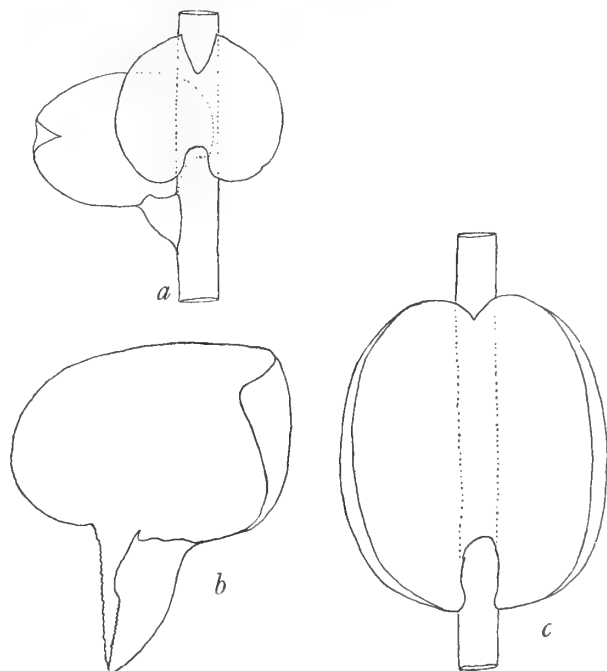


Fig. 220. a *Taxilejeunea hamatifolia* St. n. sp. pars caulis 15 : 1; b—c *T. asperrima* St. n. sp. b fol. caulin. 18 : 1; c amphig. caulinum 18 : 1.

caulina gigantea, subrotunda (1,33 mm longa et lata) profunde sinuatim inserta, apice breviter excisa, lobis late rotundatis integerrimis, marginibus lateralibus acute recurvis.

Tablas, 3400 m, No. 2907.

432. *Taxilejeunea boliviana* St. n. sp. (Fig. 221).

Monoica medioeris gracilis, pallide virens, aliis hepaticis consociata. Caulis ad 3 cm longus, sparsim breviterque pinnatus, paucis ramis longioribus simplicibus. Folia caulina parum imbricata,

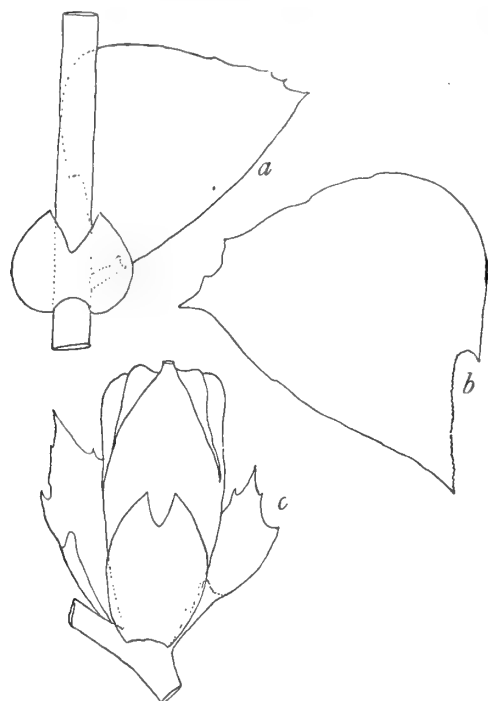


Fig. 221. *Taxilejeunea boliviana* St. n. sp. a pars caulis 15:1; b fol. caulin. 15:1; c Perianth. 15:1.

oblique patula, plana, ovato-triangulata (1,33 mm longa, basi 1,33 mm lata) asymmetrica, margine postico stricto, antico late rotundato, apice acuta, sub apice paucidentata vel solum angulata. Cellulae superae 18/36 μ basales 27/36 μ , trigonis parvis, in medio parietum nodulosus. Lobulus nullus vel ad plicam exiguam reductus. Amphigastria caulina majuscula, caule triplo latiora, rotunda, leviter sinuatim inserta, ad medium biloba, sinu subrecto obtuso, lobis late triangulatis acutis. Perianthia uno latere innovata, clavata, plus duplo longiora quam lata, apice truncata, angulis rotundatis, integerrima, plicis posticis ad medium decurrentibus late divergentibus, angustis, apice truncato-rotundato. Folia floralia perianthio parum breviora, lanceolata, cuspidata,



Fig. 222. *Taxilejeunea cuspidata* St. n. sp. a Folium caulin. 12:1; b Amphigastrium caulinum 12:1.

remote valideque paucidentata; lobulus duplo brevior, anguste linearis, haud solutus, truncatus, obtusus. Amphigastrium florale perianthio duplo brevius, ovatum, ad $\frac{1}{4}$ exciso-bifidum, sinu angusto, lobis acutis. Androecia sessilia, bracteis 4-jugis.

Bolivia (sine loco natali).

433. *Taxilejeunea chimborazensis* St.

Sillar 1800 m, No. 2775, 2792/a.

434. *Taxilejeunea cordistipula* (Ldbg. et G.).

Tablas, 1800 m, No. 4523.

435. *Taxilejeunea cuspidata* St. n. sp. (Fig. 222).

Sterilis major gracillima, flaccida, pallide flavicans, dense depresso-caespitans, vel muscis corticolis consociata. Caulis ad 6 cm longus, simplex vel parum longueque ramosus. Folia caulina parum imbricata, oblique patula, valde concava, in plano late ovata (1,83 mm longa, supra basin 1,33 mm lata) ad medium inserta, margine supero e basi late rotundata substricto, caulem late superante, margine infero similiter arcuato breviterque decurrente, apice apiculata, integerrima. Cellulae 27/36 μ ubique aequales, trigonis parvis, superne subnullis. Lobulus nullus, ad plicam minimam reductus. Amphigastria caulina gigantea (1,17 mm longa, 1 mm lata) optime cordiformia, brevi basi inserta, utrinque breviter rotundata, apice ad medium biloba, sinu angusto, lobis late triangulatis cuspidatis porrectis.

Nebelwald über Comarapa, No. 4232.

436. *Taxilejeunea Dusenii* St.

Bolivia (sine loco natali).

437. *Taxilejeunea epiphyta* St.

Bolivia (sine loco natali).

438. *Taxilejeunea filicaulis* (Ldbg.) St.

Bolivia (sine loco natali).

439. *Taxilejeunea flaccida* St.

Bolivia (sine loco natali).

440. *Taxilejeunea grandifolia* St. n. sp. (Fig. 223, c—d).

Dioica, magna, gracillima, flaccida, pallide-virens, in humo laxè caespitans. Caulis ad 7 cm longus, simplex vel sparsim longeque ramosus. Folia caulina contigua, (in ramis remota) oblique patula, parum concava, in plano latissime triangulata, latiora quam longa (2,5 mm longa, 3 mm lata) asymmetrica, margine supèro e basi

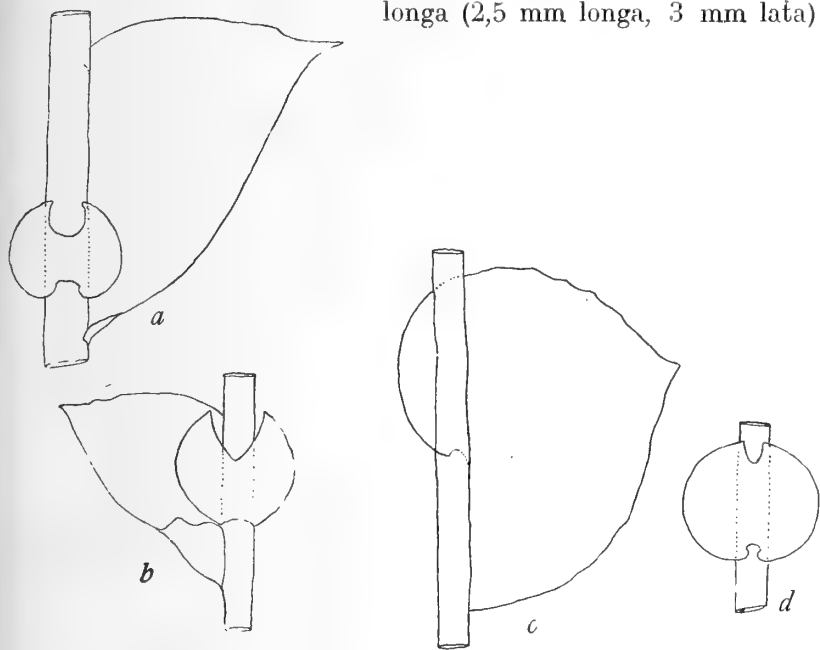


Fig. 223. a—b *Taxilejeunea pusilla* St. n. sp. a pars caulis 15 : 1; b pars ramuli 15 : 1; c—d *T. grandifolia* St. n. sp. c pars caulis 15 : 1; d Amphigastrium caulinum 15 : 1.

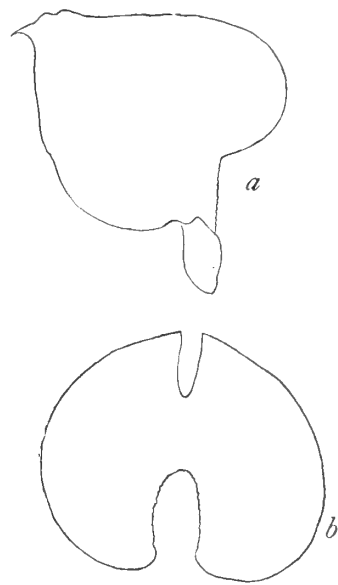


Fig. 224. *Taxilejeunea Herzogiana* St. n. sp. a folium caulinum 15 : 1; b Amphigastrium caulinum 15 : 1.

rotundata longe arcuato, infero substricto, apice apiculata, ad medium inserta, basi antica caulem late superantia, postice attenuatim decurrentia, integerrima. Cellulae superae 36/36 μ , basales 27/45 μ , trigonis nullis. Lobulus ad plicam minutam reductus. Amphigastria caulina magna, caule quadruplo latiora, rotunda, transverse inserta, basi utrinque breviter rotundata, optime cordata, apice ad medium biloba, sinu semirecto obtuso, lobis triangulatis porrectis acutis. Perianthia oblongo-obconica (4 mm longa, superne 1,75 mm lata) plicis posticis angustis, longe decurrentibus, rostro valido brevissimo. Folia floralia perianthio aequilonga vel longiora, lanceolata, acuta, integerrima. Lobulus ad plicam longam angustam reductus, apice parvo dente armatus. Amphigastrium florale perianthio aequilongum, ovatum, basi lobulis foliorum breviter connatum, apice breviter exciso-bidentulum. Androecia desunt.

Bolivia (sine loco natali).

441. *Taxilejeunea hamatifolia* St. n. sp. (Fig. 220, a).

Dioica pusilla flaccida, virens, aetate brunnea, in rupibus humidis dense depresso-caespitans lateque expansa. Caulis ad 15 mm longus, simplex vel breviter remoteque pinnulatus. Folia caulina

contigua, recte patula, apice decurva, in plano ovato-trigona (0,9 mm lata, inferne 0,58 mm lata) apice apiculata, hamatim decurva, basi antica truncato-rotundata, caulem tegentia, celluloso-crenulata. Cellulae superae 27/27 μ , basales 27/36 μ , trigonis nullis. Lobulus parvus, latissimus, ambitu late triangulatus, carina oblique adscendens, leviter arcuata, levi sinu in folii marginem excurrente, apice quam basis quadruplo angustiore, oblique truncato, sub apice constrictus. Amphigastia caulina gigantea, rotunda (0,75 mm longa et lata) basi profunde cordata, alis late rotundatis, apice ad $\frac{1}{4}$ incisobiloba, sinu semirecto, lobis late triangulatis acutis. Androecia in caule sessilia, bracteis quadrijugis.

Florida de San Mateo, No. 3664.

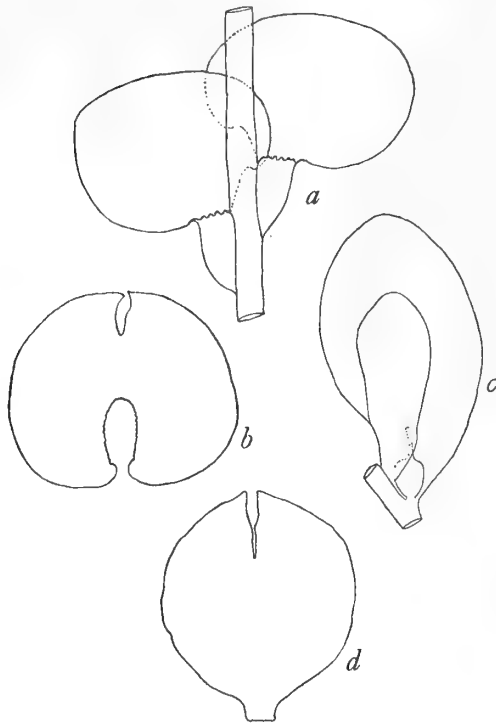


Fig. 226. *Taxilejeunea longiloba* St. n. sp. a fol. caul. in situ 15 : 1; b amphig. caul. 15 : 1; c fol. flor. 15 : 1; d amphig. flor. 15 : 1.

442. *Taxilejeunea Herzogiana* St. (Fig. 224).

Corani, 1800 m, No. 4692.

443. *Taxilejeunea isocalycina* (Nees.) S.

San Miguelito, 1600 m, No. 2770/a.

444. *Taxilejeunea lancifolia* St. n. sp. (Fig. 225, a).

Sterilis major gracillima, flaccida, hyalina, in ramulis arborum pendula laxaque intricata. Caulis ad 5 cm longus, irregulariter longeque ramosus, pallidus. Folia caulina contigua, in ramis remota, oblique patula, subplana, oblongo-lanceolata (1,17 mm longa, medio 0,5 mm lata) lata basi inserta, marginibus longe leviterque arcuatis, basi antica caulem vix tegentia, apice longe cuspidata, integerrima. Cellulae superae 18/36 μ , basales 27/36 μ , trigonis nullis. Lobulus ad plicam minimam reductus. Amphigastia caulina majuscula, late ovata, caule subtriplo latiora, transverse

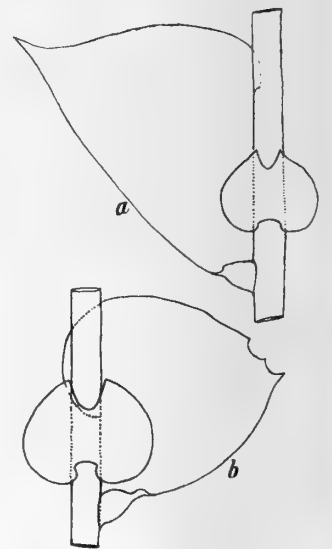


Fig. 225. a *Taxilejeunea lancifolia* St. n. sp. pars caulis 10 : 1; b *T. paucidens* St. n. sp. pars caulis 10 : 1.

inserta, ad $\frac{2}{3}$ emarginato-bifida, sinu amplo, laciniis anguste lanceolatis porrectis acutis.

Tablas, 1800 m, No. 4545, 4649.

445. *Taxilejeunea longiloba* St. n. sp. (Fig. 226).

Dioica magna flaccida gracilis, virens, in cortice dense depresso-caespitans. Caulis ad 6 cm longus, parum breviterque ramosus. Folia caulina imbricata, subrecte patula, parum concava, in plano subrotunda (3 mm longa, 2,25 mm lata) ad $\frac{2}{3}$ accreta, margine supero e basi rotundata longe arcuato, caulem superante, margine infero similiter curvato, apice late rotundata vel leviter obtusa. Cellulae superae 36/36 μ , basales 36/54 μ , trigonis nullis. Lobulus angustus, erectus, cauli longe accretus (1 mm longus, 0,5 mm latus) quasi anguste saccatus, apice recte truncatus, repandus vel subdenticulatus. Amphigastia caulina gigantea, subcircularia (2,5 mm longa, 3 mm lata) ad medium sinuatim inserta, apice ad $\frac{1}{5}$ inciso-biloba, sinu angusto, lobis late triangulatis apiculatis, leviter conniventibus. Folia floralia obovato-oblonga (4 mm longa, 2 mm lata) apice rotundata, integra, inferne attenuata. Lobulus 3 mm longus, anguste spatulatus, folio breviter connatus et parallelus, apice obtuso. Amphigastrium florale subrotundum (3 mm longum, 2,5 mm

latum) foliis floralibus utrinque breviter connatum, apice ad $\frac{1}{3}$ inciso-bilobatum, rima angusta, lobis acutis. Reliqua desunt.

Corani, ca. 1800 m, No. 4678.

446. *Taxilejeunea longirostris* St.

Bolivia (sine loco natali).

447. *Taxilejeunea muscicola* St. n. sp. (Fig. 227, b—c).

Dioica pusilla, pallide virens, flaccida, fragillima, muscis consociata. Caulis ad 15 mm longus, irregulariter multiramosus. Folia caulina contigua, subrecte patula, decurva, in plano late ovato-trigona (1,5 mm longa, supra basin 1,25 mm lata) marginibus superis et inferis aequaliter arcuatis, apice late attenuata breviterque cuspidata, ad medium inserta, basi antica rotundata, caulem tegentia. Cellulae superae $27/27 \mu$, basales $27/45 \mu$, parietibus tenuibus, trigonis nullis. Lobulus exiguus, ad plicam minutam reductus, linearis, apice truncatus, angulo acuto. Amphigastria caulina

magna, caule triplo latiora, rotunda, transverse inserta, apice breviter emarginato-bifida, rima angusta, lobis late triangulatis apiculatis. Perianthia anguste clavata (1,5 mm longa, medio 0,5 mm lata) cylindrica, sub apice constricta, apice ipso 5-plicata, plicis brevibus truncatis biangulatis, rostro minimo. Folia floralia exigua, perianthio triplo breviora, obovato-obconica, apice rotundata, integerrima; lobulus triplo brevior, lanceolatus, breviter solutus, acutus. Amphigastrium florale lobulis parum longius, oblongum, ad $\frac{1}{3}$ inciso-bifidum, lobis lanceolatis acutis. Androecia desunt.

Rio Tocorani, No. 4048.

448. *Taxilejeunea paucidens* St. n. sp. (Fig. 225, b).

Sterilis mediocris, subhyalina, flaccida, gracillima, muscis corticolis consociata. Caulis ad 6 cm longus capillaceus, simplex vel parum breviterque ramosus. Folia caulina conferta, oblique patula, vix concava, in plano late ovata (1,5 mm longa, medio 1 mm lata) symmetrica, ad medium inserta, margine supero e basi truncata longe arcuato, caulem superante, infero similiter arcuato, apice acuta vel apiculata, sub apice paucidenticulata vel solum angulata. Cellulae superae $36/36 \mu$, trigonis nullis, basales $36/54 \mu$ trigonis parvis. Lobulus majusculus, folio quadruplo brevior, oblongus, carina oblique adscendens, leviter arcuata, amplo sinu in

folium excurrens, apice quam basis subduplo angustiore, oblique truncato, angulo obtuso, sub apice constrictus. Amphigastria caulina magna, caule quadruplo latiora, reniformia, transverse inserta, ad $\frac{1}{3}$ emarginato-biloba, lobis late triangulatis porrectis acutis.

Tablas (1800 m), No. 4602.

449. *Taxilejeunea pendula* St. n. sp. (Fig. 223, a).

Sterilis magna gracilis, pallide flavicans, subhyalina, dense depresso-caespitans, in ramulis arborum pendula. Caulis ad 5 cm longus, capillaceus, pallidus, debilis, parum longeque ramosus. Folia caulina contigua, oblique patula, parum concava, in plano oblonga (2 mm longa, medio 1,17 mm lata) latissima basi inserta, marginibus longe arcuatis, apice longe apiculata, integerrima. Cellulae superae $36/36 \mu$, basales $36/45 \mu$, trigonis nullis. Lobulus minimus subquadratus, apice truncatus, angulo obtuso. Amphigastria caulina reniformia, caule triplo latiora (0,67 mm lata, 0,5 mm longa)

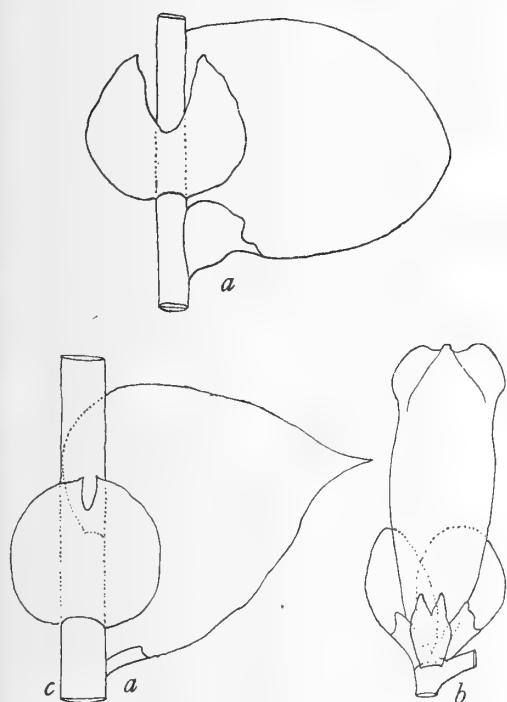


Fig. 227. a *Taxilejeunea Reehingeri* St. pars caulis 15:1; b—c *T. muscicola* St. n. sp. b Perianth. 15:1; c fol. caul. in situ 15:1.

transverse inserta, basi utrinque cordatim rotundata, apice ad medium inciso-biloba, sinu recto, lobis late triangulatis porrectis acutis.

In valle Corani (1800 m), No. 4668.

450. *Taxilejeunea peruviana* St.

Nebelwald über Comarapa, No. 4329.

451. *Taxilejeunea pusilla* St. n. sp. (Fig. 223, b).

Sterilis pusilla, pallide flavicans, subhyalina, corticola. Caulis ad 8 mm longus, simplex vel parum ramosus. Folia caulina contigua, oblique patula, canaliculatim concava, in plano ovata



Fig. 228. *Taxilejeunea rufescens* St. n. sp. a fol. caul. 15 : 1; b amphig. caul. 15 : 1; c Perianth. 15 : 1.

(0,83 mm longa, medio 0,5 mm lata) ad medium inserta, margine supero e basi truncata longe arcuato, margine infero substricto vel leviter curvato, apice acuta, integerrima. Cellulae superae 18/18 μ , basales 27/36 μ trigonis nullis, parietibus validis. Lobulus magnus, late ovatus, folio quadruplo brevior, carina oblique adscendens, leviter arcuata, levi sinu in folium excurrens, apice quam basis duplo angustiore, oblique leviterque emar-

ginatus, angulo apiculato. Cellulae superae 18/18 μ , basales 27/36 μ , trigonis nullis, parietibus validis. Amphigastria caulina maxima, caule quintuplo latiora, rotunda, profunde sinuatim inserta, fere ad medium usque biloba, sinu angusto acuto lobis triangulatis acutis porrectis.

Incacorral (2200 m), No. 4951.

452. *Taxilejeunea Rechingeri* St. (Fig. 227, a).

Bolivia (sine loco natali).

453. *Taxilejeunea rufescens* St. n. sp. (Fig. 228).

Dioica magna gracilis flaccida, rufescens vel pallide virens, in cortice laxe intricata. Caulis ad 6 cm longus, irregulariter ramosus; ramis primariis ad 2 cm longis, sparsim breviterque pinnatis et bipinnatis. Folia caulina contigua, oblique patula, in plano late ovata (1,33 mm longa, medio 1 mm lata) margine supero e basi valde rotundata longe arcuato, ipsa basi rotundato-appendiculato, margine infero similiter longeque arcuato, apice grosse apiculata, integerrima. Cellulae superae 27/27 μ , basales 27/36 μ , trigonis parvis, medio nodulosis, marginibus celluloso-crenulatis. Lobulus majusculus, oblongus, folio quadruplo brevior, carina oblique adscendens, leviter arcuata, levi sinu in folium excurrens, apice quam basis duplo angustiore, truncato, angulo obtuso, sub apice leviter constrictus. Amphigastria caulina gigantea, subrotunda (1 mm longa et lata) profunde sinuatim inserta, apice ad $\frac{1}{4}$ biloba, rima angusta, lobis late triangulatis acutis. Perianthia oblonga, 1,5 mm longa, 0,67 mm lata) sub apice leviter constricta, superne quadruplicata, plicis brevibus angustis irregulariter dentatis et spinulosis. Folia floralia perianthio parum breviora, anguste lanceolata, acuta, integra; lobulus folio duplo brevior, haud solutus, angustissimus, apice truncatus, angulo acuto. Amphigastrium florale intimum obovato-obconicum, ad $\frac{1}{3}$ bilobatum, sinu semirecto obtuso, laciniis extus dente armatis. Androecia desunt.

Tablas, 1800 m, No. 4567, 4609, 4610; Corani, 1800 m, No. 4679.

Macrolejeunea Spruce 1885 p. subgen.

454. **Macrolejeunea Herzogiana** St. n. sp. (Fig. 229).

Dioica magna flaccida, fusco-brunnea, in cortice laxe caespitans lateque expansa. Caulis ad 4 cm longus, simplex vel paucipinnulatus. Folia caulina conferta, oblique patula, valde decurva, in plano ovato-trigona (2,5 mm longa supra basin 2,5 mm lata) asymmetrica, margine supero longe arcuato, infero substricto, apice acuta, lata basi inserta, basi antica truncata, caulem vix tegentia, integerrima. Cellulae superae 27/27 μ , basales 27/36 μ trigonis nullis. Lobulus magnus, folio subduplo brevior,

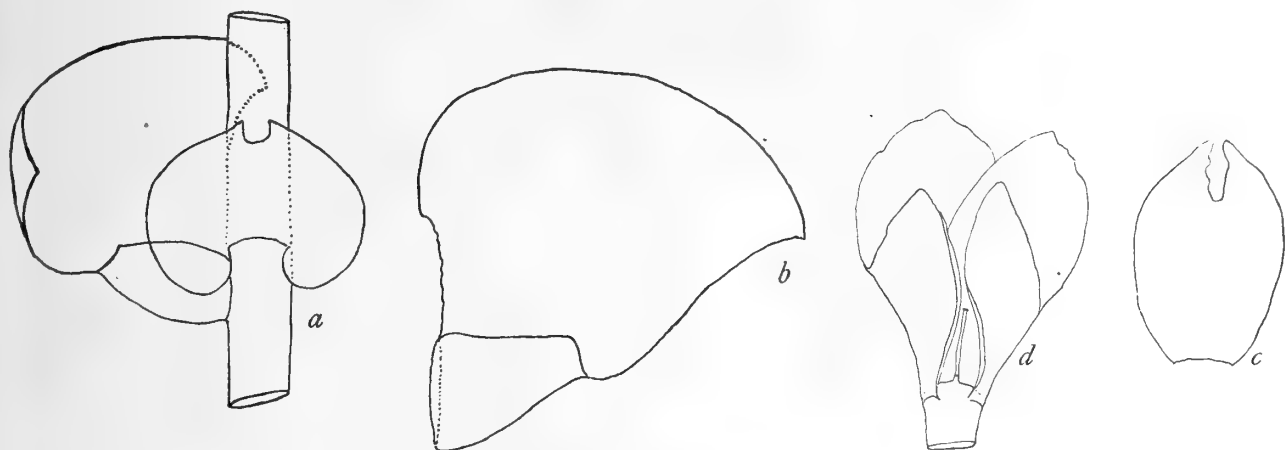


Fig. 229. *Macrolejeunea Herzogiana* St. n. sp. a fol. caul. in situ 20 : 1; b fol. caul. in plano 20 : 1; c amphig. flor. 30 : 1; d folia floralia 30 : 1.

oblongus, duplo longior quam latus, carina subrecte patula, leviter arcuata, levi sinu in folium excurrens, apice oblique truncatus, angulo acuto. Amphigastria caulina maxima, reniformia (1,25 mm longa, 1,5 mm lata) profunde sinuatim inserta, basi utrinque optime cordata, apice minute exciso-bidentula. Folia floralia spathulata (1,33 mm longa, medio 0,75 mm lata) apice acuta integerrima; lobulus lanceolatus, folio parum brevior, ad $\frac{1}{3}$ vel ad medium solutus, acutus. Amphigastrium florale lobulis aequilongum, obovato-obconicum, apice ad $\frac{1}{4}$ bifidum, sinu angusto, obtuso, lobis triangulatis obtusis. Reliqua desunt.

Cordillera de Santa Cruz, No. 3911, 3908.

Hygrolejeunea Spruce 1885 p. subgen.

455. **Hygrolejeunea cordifissa** Tayl.

Sillar 1600 m, No. 2721/a, 2774/a; Tablas, 3400 m, No. 2838; Cordillera de Santa Cruz, No. 3542, 3543.

456. **Hygrolejeunea cuspidata** (G.) St.

Cordillera de Santa Cruz, No. 3919.

457. **Hygrolejeunea eluta** (Nees.) St.

Cordillera de Santa Cruz, No. 3914.

458. **Hygrolejeunea Herzogii** St. n. sp. (Fig. 230).

Dioica magna robusta flaccida, rufo-brunnea, in cortice dense depresso-caespitans. Caulis ad 6 cm longus, parum longeque ramosus. Folia caulina conferta, recte patula, valde concava, in plano ovata (1,5 mm longa, medio 1 mm lata) asymmetrica, margine supero longe arcuato, infero leviter sinuato, apice late rotundata, brevissima basi inserta, basi antica truncato-rotundata, caulem vix tegentia, integerrima. Cellulae superae 36/36 μ , basales 36/45 μ trigonis parvis, in medio parietum nodulosis. Lobulus parvus folio quadruplo brevior, oblongus, duplo longior quam latus apice quam basis parum

angustiore, oblique truncato, angulo obtuso; carina oblique adscendens, leviter arcuata, amplo sinu in folium excurrent. Amphigastria caulina maxima, optime circularia (0,5 mm longa et lata)

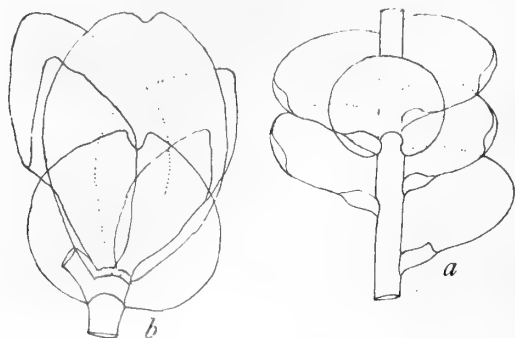


Fig. 230. *Hygrolejeunea Herzogii* St. n. sp. a pars rami 10 : 1; b folia floralia 30 : 1.

profunde sinuatim inserta, profunde cordata, integerrima. Perianthia desunt. Folia floralia lanceolata (1,25 mm longa, medio 0,67 mm lata) apice obtusa; lobulus parum minor, ad medium solutus, apice subacutus. Amphigastrium florale foliis floralibus aequilongum, obovato-obconicum, apice minute incisum, segmentis obtusis. Androecia desunt.

Sillar (1800 m), No. 2687.

459. *Hygrolejeunea orba* (Gottsche) St.

Cordillera de Santa Cruz, No. 3890.

Euosmolejeunea Spruce 1885 p. subgen.

460. *Euosmolejeunea tenerrima* (Ldbg.) St.

Cordillera de Santa Cruz, No. 3922.

Microlejeunea Spruce 1885 p. subgen.

461. *Microlejeunea Herzogiana* St. n. sp.

Dioica majuscula, fusco-brunnea, in rupibus humidis dense depresso-caespitans. Caulis ad 4 cm longus, simplex vel parum breviterque pinnatus. Folia caulina conferta, oblique patula, inflata, apice decurva, in plano ovato-trigona (2,5 mm longa, supra basin 2,25 mm lata) lata basi inserta, asymmetrica, margine supero longe arcuato, infero stricto vel leniter sinuato, apice acuta, integerrima. Cellulae superae 27/27 μ , basales 27/36 μ trigonis nullis. Lobulus magnus, oblongus, duplo longior quam latus, carina stricta, oblique adscendens, levi sinu in folii marginem excurrent, apice quam basis subtriplo angustiore, recte truncato, angulo obtuso, margine supero stricto. Amphigastria caulina magna, reniformia (1,5 mm lata, 1 mm longa) basi profundissime cordata, apice breviter emarginato-bidentula. Folia floralia intima obovato-oblonga (1,33 mm longa, superne 0,67 mm lata) apice acuta, integerrima; lobulus magnus lanceolatus (1 mm longus, 0,33 mm latus) ad $\frac{1}{3}$ solutus, apice acuto, integerrimo. Amphigastrium florale intimum obovato-obconicum (1 mm longum, superne 0,67 mm latum) ad $\frac{1}{4}$ inciso-bifidum, rima angusta, lobis triangulatis obtusis. Reliqua desunt. Bolivia (sine loco natali).

Homalolejeunea.

462. *Homalolejeunea excavata* Mitt.

Hab. Bolivia (sine loco natali).

Cheilolejeunea Spruce 1885 p. subgen.

463. *Cheilolejeunea boliviensis* St. n. sp. (Fig. 231).

Dioica minor flaccida, virens, in cortice dense depresso-caespitans. Caulis ad 2 cm longus, irregulariter multiramis, capillaceus, virens et debilis. Folia caulina parum imbricata, subrecte patula, parum concava, in plano optime ovata, symmetrica, apice obtusa, basi antica truncato-rotundata, brevi basi inserta. Cellulae superae 18/18 μ , basales 18/36 μ , parietibus validis, trigonis nullis. Lobulus magnus, folio duplo brevior, fusiformis, carina oblique adscendens, leviter arcuata, levi sinu in folii marginem excurrent, apice oblique truncatus, angulo apiculato. Amphigastria caulina magna, caule triplo latiora, sinuatim inserta, ad medium bifida, sinu angusto obtuso, lobis triangulatis acutis porrectis. Perianthia pyriformia (1 mm longa, sub apice 0,58 mm lata) rostro longo, plicis

posticis angustis, longe decurrentibus. Folia floralia perianthio longiora, oblongo-obcuneata, apice rotundata vel obtusa; lobulus tertio brevior, angustus, ad $\frac{1}{3}$ solutus, obtusus. Amphigastrium florale perianthio aequilongum, obovato-obconicum, ad medium bifidum, rima angusta obtusa, lobis late lanceolatis acutis integerrimis. Androecia desunt.

Nebelwald über Comarapa, No. 3804.

464. **Cheilolejeunea Herzogiana** St. n. sp. Fig. (232.)

Dioica, mediocris flaccida, dilute brunnea, pulvinatim caespitans. Caulis ad 15 mm longus, simplex vel breviter remoteque pinnatus. Folia caulina imbricata, recte patula, apice decurva, in plano ovato-trigona, asymmetrica (0,83 mm longa, medio 0,75 mm lata) apice obtusa, ad medium inserta, basi antica truncato-rotundata, caulem tegentia, margine supero valde arcuato, infero substricto, integerrima. Cellulae superae 18/18 μ trigonis majusculis, basales 27/36 μ trigonis magnis. Lobulus in situ oblongus, sub apice valde constrictus, in plano late trigonus, carina oblique

adscendens, leviter arcuata, amplo sinu in folium excurrens, apice recte truncatus, angulo apiculato. Amphigastria caulina magna, reniformia, caule triplo latiora, sinuatim inserta, ad medium inciso-biloba, rima angusta, lobis late triangulatis obtusis. Folia floralia caulinis multo majora (1,17 mm longa, medio 0,83 mm lata) spathulata, acuta, integerrima; lobulus duplo brevior, linearis, triplo longior quam latus, apice truncatus, angulo obtuso. Amphigastrium florale subrotundum (0,67 mm latum et longum) apice ad $\frac{1}{3}$ inciso-bilobatum, sinu recto, lobis late triangulatis obtusis. Reliqua desunt.

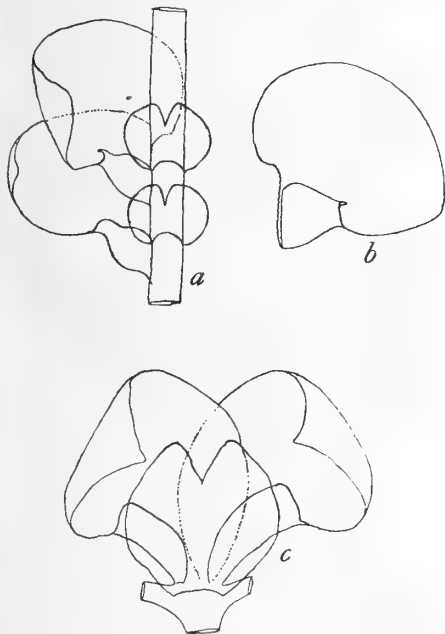


Fig. 232. *Cheilolejeunea Herzogiana* St. n. sp. a Pars caulis 15 : 1; b fol. caul. in plano 15 : 1; c Folia floralia 15 : 1.

gentia (1,17 mm longa, supra basin 1 mm lata). Cellulae superae 27/27 μ , basales 36/54 μ , trigonis nullis. Lobulus magnus, folio duplo brevior, anguste oblongus, triplo longior quam latus, carina oblique adscendens, leviter arcuata, stricte in folium excurrens, apice quam basis quadruplo angustiore, oblique truncato, angulo obtuso, sub apice constrictus. Amphigastria

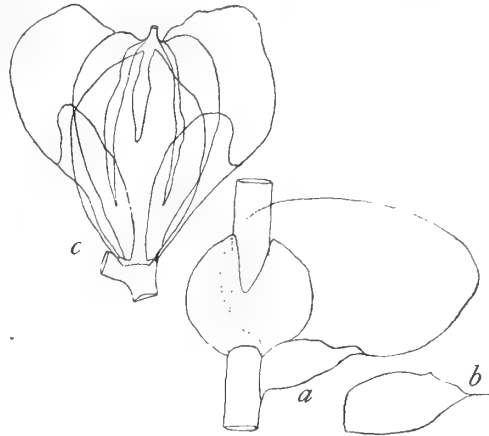


Fig. 231. *Cheilolejeunea boliviensis* St. n. sp. a fol. caul. in situ 15 : 1; b lobulus explanatus 15 : 1; c Perianth. 15 : 1.

Vallegrande, Cerro Pampalarga (2300 m), No. 4139.

Diplasiolejeunea Spruce 1885 p. subgen.

465. **Diplasiolejeunea pellucida** S.

In valle Corani (1800 m), No. 4706.

466. **Diplasiolejeunea Pauckerti** (Nees.) St.

Comarapa (2600 m), No. 3976.

Eulejeunea Spruce (1885 p. subgen.) ref. 1887.

467. **Eulejeunea Spindleri** St. n. sp. (Fig. 233).

Dioica pusilla, flaccida, flavo-rufescens, aliis hepaticis consociata. Caulis ad 10 mm longus, regulariter pinnatus, pinnis longioribus paucipinnulatis. Folia caulina imbricata, squarrose patula, in plano ovata, asymmetrica, margine supero arcuato, infero sinuato, apice rotundata, ad medium inserta, basi antica truncato-rotundata, caulem tegentia (1,17 mm longa, supra basin 1 mm lata). Cellulae superae 27/27 μ , basales 36/54 μ , trigonis nullis. Lobulus magnus, folio duplo brevior, anguste oblongus, triplo longior quam latus, carina oblique adscendens, leviter arcuata, stricte in folium excurrens, apice quam basis quadruplo angustiore, oblique truncato, angulo obtuso, sub apice constrictus. Amphigastria

caulina maxima (1 mm longa et lata) subrotunda, sinuatim inserta, apice ad $\frac{1}{5}$ biloba, lobis triangulatis, apiculatis, sinurecto obtuso. Perianthia pyriformia (1,33 mm longa, medio 0,75 mm lata) rostro parvo, plicis posticis angustis, longe decurrentibus, integerrimis. Folia floralia perianthio aequilonga, oblongo-obcuneata, acuta, margine supero paucidentato; lobulus parum brevior, lanceolatus, ad $\frac{1}{3}$ solutus, acutus. Amphigastrium florale foliis floralibus aequilongum, obovatum, lobulis breviter connatum, apice brevissime exciso-bidentulum, sub apice utrinque unidentatum. Androecia desunt.

Corani, in ligno putrido, ca. 1800 m, No. 4700.

468. **Eulejeunea Spruceana** St. n. sp. (Fig. 234).

Dioica minor flaccida, flavo-virens, in cortice dense depresso-caespitans.

Caulis ad 2 cm longus, parum minuteque pinnatus, sub flore innovatus. Folia caulina parum imbricata, oblique patula, concava, in plano late ovata (1,25 mm longa, supra basin 1 mm lata) asymmetrica; margine supero longe arcuato, infero sinuato, apice rotundata vel subobtusa, brevi basi inserta, basi antica truncato-rotundata, caulem superantia. Cellulae superae $18/18 \mu$ basales $27/45 \mu$, trigonis nullis, parietibus tenuibus. Lobulus magnus, folio duplo brevior, oblongus, carina oblique adscendens, leviter arcuata, amplo sinu in folium excurrens, apice quam basis triplo angustiore, oblique truncato, angusto acuto, sub apice leviter constrictus. Amphigastria caulina magna, subrotunda (0,75 mm longa, 0,67 mm lata) sinuatim inserta, apice breviter biloba, sinu recto obtuso, segmentis obtusis. Perianthia optime pyriformia, (1,25 mm longa, medio supero 0,75 mm lata) rostro brevissimo, plicis posticis breviter decurrentibus, angustis. Folia floralia

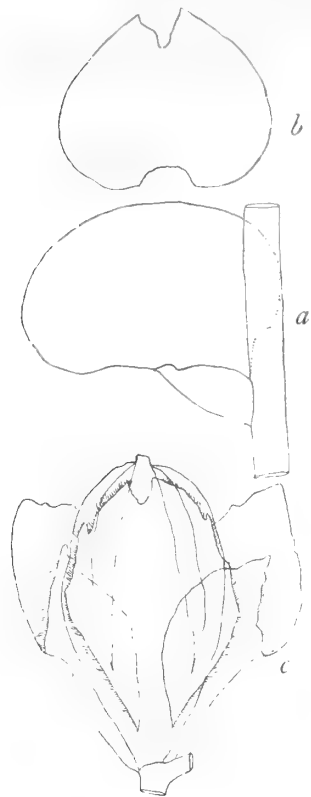


Fig. 233. *Eulejeunea Spindleri* St. n. sp. a fol. caul. in situ 15:1; b amphig. caul. 15:1; c Perianth. 15:1.

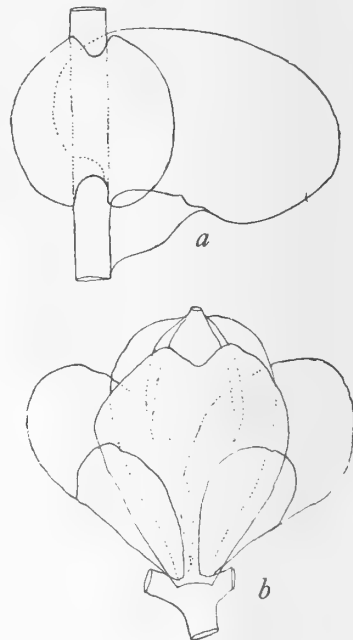


Fig. 234. *Eulejeunea Spruceana* St. n. sp. a Pars caulis 15:1; b Perianth. 15:1.

perianthio aequilonga, spathulata, apice rotundata; lobulus subduplo brevior, obovato-obcuneatus, ad $\frac{1}{2}$ vel $\frac{1}{3}$ solutus, apice rotundatus. Amphigastrium florale perianthio aequilongum, late obconicum, apice breviter bilobatum, sinu recto, obtuso, segmentis obtusis. Androecia desunt.

Comarapa, 2600 m, No. 4220.

469. **Eulejeunea subsymphoreta** St.

Tablas, ca. 1800 m, No. 4604, 4614.

470. **Eulejeunea symphoreta** S.

Tres Cruces (Cord. de Sta. Cruz), ca. 1500 m, No. 3891.

Megaceros.

471. **Megaceros boliviensis** St.

Tablas (1800 m), No. 4563.

472. **Megaceros Jamesoni** (Taylor) St.

Tablas (1800 m), No. 4528.

Nachtrag zu dem Abschnitt „Hepaticae“

von Th. Herzog.

Außer den in meinen Exsiccaten herausgegeben Lebermoosen habe ich von meiner Reise auch einiges Alkoholmaterial mitgebracht, das sich im Besitz von Herrn Geheimrat Professor Dr. K. von Goebel befindet. Es fanden sich darunter noch 2 Arten, die in der Stéphanischen Zusammenstellung fehlen und welche hier noch nachgetragen werden sollen. Die Diagnosen verdanke ich dem freundlichen Entgegenkommen des Autors. Die Abbildungen befinden sich in der 2. Auflage von Goebels „Organographie“.

Gleichzeitig mögen noch einige Bemerkungen über die Zusammenstellung des Herrn F. Stephani am Platze sein. Da Herr Stephani wegen Überbürdung mit anderen Arbeiten es abgelehnt hat, noch eine letzte Durchsicht des Manuskriptes vorzunehmen, so bin ich genötigt, selbst einige kleine Korrekturen anzubringen. Unter den aufgezählten Arten befindet sich eine geringe Zahl, bei welcher an Stelle einer genauen Fundortsangabe die allgemeine Bemerkung „Bolivia (sine loco natali)“ beigefügt ist. Da nun ein Teil dieser Arten in den Bestimmungslisten, die ich von Herrn Stephani erhielt, nicht enthalten ist und ich trotz meiner Bitte von Herrn Stephani auch die Sammlungsnummer nicht erfahren konnte, obwohl alle von mir gesammelten Moose mit Nummern versehen waren, so liegt die Vermutung nahe, daß sich bei der Bearbeitung einige nicht hierher gehörende Arten eingeschlichen haben.

Ich möchte namentlich auf eine Art, „*Schistochila Lorianae*“, hinweisen, deren Vorkommen in Bolivia sehr unwahrscheinlich ist. Ich erinnere mich auch nicht, unter meinem Material, das ich eigenhändig aufpräparierte, etwas ähnliches gesehen zu haben.

So möchte ich also bei allen denjenigen Arten, wo genauere Fundortsangaben, resp. die Sammlungsnummern, fehlen, vor Verwendung bei pflanzengeographischen Darstellungen warnen.

Ich bedaure, zu dieser eigenmächtigen Richtigstellung gezwungen zu sein, da von Herrn Stephani keine Antwort in dieser Angelegenheit mehr zu erhalten war.

Außer den nachfolgend beschriebenen 2 neuen Arten befinden sich in meiner Sammlung noch einige biologisch sehr interessante Hochgebirgsformen (wahrscheinlich *Jamesonia*, eine kleine *Fossombronia* und eine *Riccia* von 3500 m Meereshöhe), die aber alle spezifisch nicht bestimmbar sind.

Cololejeunea Herzogii Goebel nov. spec.

Caespites densos ca. 1 cm longos, $\frac{1}{2}$ cm latos formans, laete viridis. Tota superficie perianthiis numerosissimis obtecta. Caules ascendentes, sub perianthiis iteratim innovantes. Rhizoidia fasciculatim disposita. Folia dissita (amphigastria nulla), distiche patula, basi angusta inserta, interdum apice obtuse lobata, basin versus paucas papillas mucigeras in juventute gerentia, una earum apicem lobuli inferioris ornat. Lobulus inferior plerumque maxime reductus, in foliis inferioribus nonnunquam sacculum formans.

Folia 0,5 mm longa, 0,45 mm lata. Cellulae majores 0,022 mm latae. Perianthium a folio proximo elongatione caulis claviformi 0,8—0,83 mm longa separatum, 0,7 mm longum, 0,38 mm latum. Perianthia 5-carinata, apice tubulosa. Os tubuli dilatatum.

Plantae monoicae, sed rami masculi minus frequentes; antheridia solitaria.

An Baumästen bei Incacorral, sine No. leg. Herzog.

Cololejeuneae gymnocoleae Spr. affinis sed forma et textura foliorum et perianthii optime distincta.

Fossombronia Herzogii Goebel n. sp.

(Icones No. 589 in Goebel, Organographie, 2. Auflage.)

Inter omnes hepaticas anacrogynas prominens magnitudine, qua solum a *Treubia* insigni superatur. Caulis ad 6 cm longus, laxis, iteratim dichotomus, superne planiusculus, ca. 1 mm latus, 0,7 mm altus. Cellulae omnes membrana tenui instructae, exteriores interioribus multo minores. Folia magna, 6 mm longa, 3 mm lata, juvenilia valde crispata. Basin versus 4—6 strata cellularum, in parte superiore unicum. Margo posterior in facie dorsali caulis insertus, margo anterior ita reflexus, ut in facie ventrali caulis transverse insertus sit. Folia juvenilia papillas mucigeras e margine proferunt. Amphigastria prorsus nulla. In facie dorsali nonnunquam squamulae foliaceae observantur. Rhizoidia raro occurrunt, violacea. Archeogonia, antheridia et sporogonia desunt.

Forsan genus novum sed a *Noteroclada* (*Androcryphia*) certissime diversum.

An nassen Stellen (Bachrand?) der Cerros de Malaga, No. 4388 (irrtümlicherweise unter der Bezeichnung *Androcryphia confluens* var. *major* ausgegeben).

III. Geographischer Teil.

1. Die wichtigsten Familien der andinen Moosflora Bolivias.

In diesem Abschnitt soll ein Überblick über die in Bolivien vertretenen Moosfamilien unter Einbeziehung aller bisher aus dem Gebiet nachgewiesenen Arten gegeben werden, woraus die Stellung der Einzelemente im Gesamtbild hervorgeht. In den Vordergrund werden hier diejenigen Gattungen und Arten gestellt, welche durch massiges Auftreten den Formationen ihr besonderes Gepräge verleihen.

Sphagnaceae.

Im Gegensatz zu den Ländern der gemäßigten und kalten Zone spielen die Sphagnaceen in den tropischen Gebieten eine relativ untergeordnete Rolle und sind namentlich durch den Charakter ihres Standortes von dem Gros der Torfmoose verschieden. Während diese — wie ja schon ihr Name sagt — in unseren Breiten die Charakterpflanzen der Torfmoore sind, liegt der Schwerpunkt ihrer Verbreitung in den Tropen in den feuchten Wäldern der Gebirge, wo sie Abhänge des Waldbodens und Baumstümpfe überziehen; in den eigentlichen Hochregionen jedoch, wo Moorbildungen durchaus nicht zu den Seltenheiten gehören, fehlen sie — wenigstens in Bolivia — völlig. So habe ich sie z. B. in dem ausgedehnten Moorbecken des oberen Montehuaikotales vergeblich gesucht. Auch auf dem torfig-sandigen Plateau von Caluyo („Paramo“) das für die Entstehung ausgedehnter Sphagnum-Bestände die besten Bedingungen zu bieten schien, war keine Spur von Sphagnen zu finden. In der Quimzacruz-Hochkordillere, wo fast jede Talstufe ihren See mit benachbarten Moorwiesen oder einen verlandeten Seeboden mit typischer Hochmoorbildung besitzt, konnte ich ebensowenig Sphagna entdecken. Das ist um so merkwürdiger, als Weberbauer sie in Peru auch in den Hochregionen gefunden hat. Die höchsten mir bekannten Fundorte in Bolivia liegen an der Waldgrenze über Tablas bei ca. 3400 m, aber noch innerhalb des Hartlaubgebüsches, wo sie ausgedehnte schwammige Polster bilden. Fleckweise traf ich sie auch in der mittleren und unteren Bergregion, jedoch nie mit der physiognomischen Bedeutung, welche den Sphagneen in unseren europäischen Bergwäldern zukommt.

Andreaeaceae.

Diese schon in den europäischen Hochgebirgen (vielleicht weniger wegen der Zahl ihrer Arten als durch die Häufigkeit einzelner Arten und ihre physiognomisch bedeutsame Rolle) wichtige Familie ist in den Hochregionen der Kordillere überaus artenreich entwickelt und nimmt auch physiognomisch, besonders in der Nivalregion, eine der europäischen ebenbürtige Stellung ein. Die meisten Arten bevorzugen feuchte, z. T. sogar nasse und überrieselte Felsen, wo sie oft ausgedehnte Polsterkissen bilden. Eine Art, *A. subnervis* — zu einer antarktischen Verwandtschaftsgruppe gehörig — wächst sogar mit Vorliebe untergetaucht im kalten Wasser der Schmelzbäche in der höchsten Kordillere und entfernt

sich habituell durch die großen löffelförmig-hohlen Blätter weit vom gewohnten Typus der Gattung. Alle Arten mit Ausnahme der ebengenannten *A. subnervis* (aus der Untergattung *Chasmocalyx*) und der gleichfalls antarktischen *A. pseudosubulata*, die ich auf der ersten Reise an der Abra de San Benito sammelte, reihen sich unter den *Enerviae* der Untergattung *Euandreaea* ein, können aber nur zum Teil als unseren arktisch-alpinen Spezies verwandt betrachtet werden. Die kräftigen, hochstengligen Arten wie *A. robusta*, *vilocensis*, *erythrodictyon*, *clavata* und *dissitifolia* bilden eine eigene, enger unter sich verwandte Gruppe mit bis jetzt ganz beschränktem Verbreitungsareal in der bolivischen Hochkordillere.

Dicranaceae.

In ihren einzelnen Unterfamilien ist diese wohl aus mehreren heterogenen Gruppen zusammengesetzte, in ihrer heutigen Umgrenzung also kaum haltbare Familie in Bolivien sehr ungleichmäßig vertreten. Während die Gruppe der *Ditricheae*, mit welcher sich wohl *Campylopus* und *Pilopogon* zu der von Loeske vorgeschlagenen Familie der *Campylopodaceae* vereinigen ließen, mit sehr zahlreichen Arten durch das ganze Gebiet — von der unteren Bergregion bis auf die höchsten Höhen — verbreitet ist, sind gerade die echten *Dicraneen*, welche sich um *Dicranum* scharen, sehr spärlich vorhanden. Hierher gehört allerdings auch eines der gewöhnlichsten Moose an der Waldgrenze, nämlich *Dicranum speciosum*. Die Gattungen *Holomitrium* und *Symblepharis*, welche sehr charakteristische Gestalten des oberen Waldgürtels liefern, wird man dagegen aus diesem engeren Verwandtschaftskreis ausscheiden müssen. Noch weniger klar liegen die verwandtschaftlichen Beziehungen zwischen den *Dicraneen* und den *Rhabdoweisieen*, unter denen nur die Gattung *Oreoweisia* mit einigen weiter verbreiteten Arten in den Formationen hervortritt. Die schon oben kurz erwähnten *Ditricheae* oder *Campylopodaceae* entwickeln namentlich in den verschiedenen Untergattungen von *Campylopus* einen außerordentlichen Artenreichtum. Besonders interessant ist unter diesen eine Gruppe hochwüchsiger Formen aus der Untergattung *Pseudocampylopus*, wie *C. albidovirens*, *trichophyllus* und *latinervis*, die wohl den Cordilleren ausschließlich eigentümlich ist, und die neue Untergattung *Leucocampylopus*, ein Endemismus Bolivias. Hierher gehören auch die interessanten endemisch hochandinen Gattungen *Tristichium* und *Astomiopsis*, während ein *Pleuridium* und das wohl kosmopolitische *Distichium capillaceum* weniger charakteristische, aber doch pflanzengeographisch bedeutsame Erscheinungen sind. Die *Dicranelleae* sind in den tieferen Lagen durch mehrere Arten der Untergattungen *Microdus* und *Eudiranella* vertreten, in den Hochregionen jedoch ausschließlich durch *Anisothecien* und die ihnen verwandten Gattungen *Hygrodicranum* und *Polymerodon*. Die Gattung *Angstroemia* liefert in ihrer hochandinen Art *A. julacea* eine Parallele zu der alpinen *A. longipes*.

Leucobryaceae.

Diese sonst in den Tropen, besonders der alten Welt, sehr wichtige Familie ist in der bolivianischen Cordillere nur durch wenige Arten von untergeordneter Bedeutung vertreten und auf die untere bis mittlere Bergregion beschränkt. Eine der gewöhnlichsten Arten, die jedoch nur den tropisch-heißen Tälern angehört und da besonders die Palmstämme besiedelt, ist *Octoblepharum albidum*. Pflanzengeographisch bemerkenswert ist auch das Vorkommen der Gattung *Ochrobryum* in den tiefsten Lagen des Bergwaldes.

Fissidentaceae.

Im Gebiet kommen hauptsächlich Kleinformen der Gattung *Fissidens* vor; alle größeren Sektionen sind vertreten, aber keine der Arten hat in den Formationen irgend welche hervortretende Bedeutung. Bemerkenswert ist das Auftreten von drei winzigen Arten der Sektion *Heterocaulon* in den höchsten andinen Lagen. Das systematisch größte Interesse beansprucht die hochandine, monotypische Gattung *Simplicidens* mit sehr derbem Sporogon und ungeteilten kräftigen Peristomzähnen, wohl ein alter Typus dieser sonst so einheitlich organisierten Familie. An eine Rückbildung ist hier wohl deshalb nicht zu

denken, weil das Peristom von *Simplicidens* nichts weniger als den Eindruck eines abgeleiteten, etwa verkümmerten Gebildes macht, wie dies sonst in vielen Verwandtschaftskreisen bei Hochgebirgsformen der Fall ist.

Calymperaceae.

Diese kleine, ausschließlich tropische Familie gehört dem Waldgebiet und hier in erster Linie tiefsten Lagen an. Keine der Arten zeichnet sich durch massigeres Auftreten aus; doch ist *Syrrhopodon argentinicus* insofern bemerkenswert, als er allein auch ins subtropische Gebiet übertritt und hier in den Bergwäldern des Kordilleren-Ostrandes weit südlich bis nach Argentinien vordringt. Aus der großen, in Ostasien besonders vielfältig entwickelten Gattung *Calymperes* ist in Bolivia nur eine einzige Art bekannt.

Trichostomaceae.

Der amerikanische Kontinent und hier insbesondere die Trockengebiete des Tropengürtels und die höchsten Erhebungen der Gebirge besitzen in dieser Familie einen geradezu unerschöpflichen Reichtum von eigentümlichen Gattungen und extrem angepaßten Arten. Bolivien an erster Stelle nennt als endemisch 6 Gattungen sein eigen und beherbergt daneben noch 2 Gattungen, *Globulina* und *Husnotiella*, von sehr merkwürdiger Verbreitung, nämlich mit je einer Art in Mexiko und Bolivia, ein pflanzengeographisches Phänomen, über welches später noch ausführlicher zu sprechen sein wird. Neben diesen mehr oder weniger eigentümlichen Gattungen sind auch fast alle aus Europa bekannten Genera vorhanden, so *Trichostomum* mit 7 Arten, *Tortella*, *Hymenostomum*, *Hymenostylium*, *Molendoa*, *Weisia*, *Gyroweisia*, *Didymodon* (besonders die Untergattung *Erythrophyllum*) und *Barbula*. Als Formation bildende Elemente treten sie jedoch nicht hervor, mit Ausnahme von *Molendoa*, die in den höchsten Felsrevieren als verbreitetes Polstermoos Beachtung verdient, schon wegen des ähnlichen Vorkommens in den Alpen. Von größter Bedeutung dagegen ist die Gattung *Leptodontium*, welche integrierende Bestandteile aller Formationen vom mittleren Waldgürtel bis auf die höchsten Kämme liefert. Sie ist mit 20 Arten vertreten, von denen einige für gewisse sowohl floristisch wie physiognomisch einheitliche Gebietsteile als Leitmoose dienen können. Von pflanzengeographischen Gesichtspunkten aus ist die reiche Entwicklung der *Erythrophyllum*-Gruppe bemerkenswert, vom biologischen die vielfältige Variation des Rollblatttypus in der Gruppe *Helicopogon* von *Barbula*.

Pottiaceae.

Neben der großen Gattung *Tortula*, die mit sehr zahlreichen Arten aus dem Waldgürtel bis an die Grenze des ewigen Schnees hinansteigt und viele sehr eigentümliche Formen enthält, sind im Gebiet nur noch die Gattungen *Streptopogon* mit mehreren astbewohnenden Arten lichter Wälder, *Aloinella*, mit einer biologisch sehr merkwürdigen hochandinen Art, die den beiden argentinisch-hochandinen Arten *A. galeata* und *A. cucullatifolia* sowie der mexikanischen *A. catenulata* sehr nahe steht, und *Aloina* mit einer Art im Trockengebiet vertreten.

Grimmiaceae.

Im Vegetationsbild der Hochgebirge Bolivias nehmen die *Grimmien* dieselbe Stelle wie in den Hochalpen ein. Während aber in Europa die Gattungen *Grimmia* und *Schistidium* mit ihren vielen Arten sich von der Ebene durch alle Höhenlagen bis in die Felsreviere der Schneeregion hinein verteilen, bleiben sie in Bolivien ausschließlich auf den obersten Vegetationsgürtel, d. h. das Gebiet über der Waldgrenze beschränkt, erreichen hier aber trotzdem eine sehr bedeutende Artenzahl. Nur die Gattung *Rhacomitrium*, deren einer Art *Rh. crispipilum* in der Hochkordillere etwa die gleiche Rolle wie dem arktisch-alpinen *Rh. hypnoides* in den altweltlichen Gebirgen zukommt, steigt gelegentlich in den obersten Waldgürtel hinab. Eine sehr häufige Art ist auch *Rh. austrosudeticum*, die Kopie des arktisch-alpinen *Rh. sudeticum*.

Orthotrichaceae.

Während in der europäischen Moosflora *Orthotrichum* eine der artenreichsten Gattungen ist, fehlt ihm in Bolivia jede größere Bedeutung als Charakterbestandteil einer Formation. Immerhin ist als pflanzengeographisch bezeichnend zu erwähnen, daß die Mehrzahl der in Bolivia vorkommenden *Orthotrichum*-Arten auf die Trockenseite des Gebirges angewiesen ist, im genauen Gegensatz zu der Gattung *Macromitrium*, deren Arten mit Ausnahme einer einzigen (*M. filiforme*) gerade die feuchte Seite der Bergketten bevorzugen. *Macromitrium* gehört hier zu den bestandbildenden Moosen und stellt mit *Leptodontium* und *Zygodon* die wichtigsten Bewohner dickerer Baumäste. Auch von *Zygodon* finden wir hier eine ganz beträchtliche Artenzahl in den feuchten Wäldern, doch steigt diese Gattung in mehreren sehr ausgezeichneten Arten auch bis in die höchsten Felsregionen empor. *Anoetangium* und *Amphidium* schließlich sind charakteristische, aber in keiner Formation hervortretende Felsmoose.

Funariaceae.

In dieser Familie ist zunächst die hohe Zahl der *Entosthodon*-Arten anzuführen, von denen ein größerer Teil den Hochanden angehört. Die Untergattung *Plagiocleidion* ist in den Kordillern Südamerikas endemisch. Ebenso die monotypische Untergattung *Julocladium* von *Physcomitrium* — vielleicht eine selbständige Gattung, — welche nur in den allerhöchsten Gebirgsgegenden zu treffen ist. Fast alle Arten finden sich nur in geringer Individuenzahl andern Moosverbänden beigesellt oder eingestreut; einzig *Funaria linearidens* gehört zu den rasenbildenden Charaktermoosen der hochandinen Distichiamoore.

Bryaceae.

Die Hochanden sind das Entwicklungszentrum der *Mielichhoferieen*, deren beide Gattungen *Mielichhoferia* und *Haplodontium* mit zusammen nicht weniger als 46 Arten an erster Stelle unter den hochandinen Moosen Bolivias stehen. Ihr Formenreichtum ist ganz ungeheuer und kann sich wohl an die Seite der nordischen und alpinen *Brya* stellen. Aus der dem geographischen Teil beigegebenen Übersicht der hochandinen Moose geht die Wichtigkeit dieser kleinen, in Europa und überhaupt der alten Welt sehr bescheiden vertretenen Familie für die Flora der Hochkordillern deutlich hervor. Zu den hier genannten Arten kommt noch eine große Zahl *Mielichhoferia*-Arten aus andern Teilen der Kordillere von Mexico bis Argentinien.

Im Vergleich zu ihnen gelangt die Unterfamilie der *Bryae* numerisch nicht so sehr zur Geltung. Übrigens ist der Wohnsitz ihrer Arten größtenteils von dem der *Mielichhoferieen* verschieden. Sie bewohnen in der Mehrzahl die Waldgebiete, und hier sind besonders die *Rosulata*-Gruppe von *Bryum* und die durch schöne Arten ausgezeichnete Gattung *Rhodobryum* als formationsbildende Elemente auffällig. So *Bryum linearifolium*, *Rhodobryum caulifolium* und *Rh. verticillatulum*, welche ausgedehnte Hochrasen zusammensetzen und zu den tonangebenden Moosen einiger Formationen gehören. Hervorgehoben sei noch die hochandine interessante Gattung *Wollnya*. *Brachymenium* und *Acidodontium* liefern einen ansehnlichen Prozentsatz der Baummoose.

Aulacomniaceae.

Von dieser Familie nenne ich nur das in hochandinen Quellwiesen und Mooren da und dort formationsbildende *Aulacomnium palustre* var. *marginatum*.

Bartramiaceae.

Eine der größten und schönst entfalteten Familien des Andengebirges sind die *Bartramiaceen*. Nicht nur enthält jede ihrer 3 großen Gattungen *Bartramia*, *Philonotis* und *Breutelia* zahlreiche, in den Formationen stark hervortretende Arten, sondern in dieser Familie finden sich auch eine Anzahl biologisch

sehr eigentümlich organisierter Arten, wie z. B. die ganze Gruppe der bruchblättrigen Bartramien, sodann die höchst eigentümliche *Bartramia polytrichoides*, auf der C. Müller eine Untergattung *Pyridium* begründen wollte, und eine kleistokarpe *Conostomum*-Art.

Während die Gattung *Conostomum* ausschließlich hochandin ist, erstreckt sich das Areal der übrigen Gattungen von der mittleren Waldregion bis in bedeutende Höhenlagen; *Breutelia* ist namentlich an begrasteten Felsen um und über 4000 m überaus artenreich verbreitet. Unter den Bartramien kommt an erster Stelle die *Vaginella*-Gruppe zur Geltung; ihre Arten zeigen nicht nur im Peristom, sondern auch in der Blattanatomie dieses nur wenige Abänderungen ertragenden Typus noch eine erstaunliche Plastizität. Am tiefsten in die Waldregion steigt die Gattung *Leiomela* hinab, die ihre sammetweichen Kissen mit Vorliebe über faule Baumstrünke oder Baumwurzeln breitet.

Die stärkste Entwicklung der Familie liegt im obersten Waldgürtel, wo auch die Riesenform *Bartramia squarrosa* auftritt.

Polytrichaceae.

Diese so durchaus eigenartig organisierte Familie liefert einige Charaktermoose der Formationen um und über der Waldgrenze, so *Polytrichadelphus grossidens*, der in ausgedehnten, starren Hochrasen steile Erdhänge — mit Vorliebe auch die Ränder der Wege — besetzt und zuweilen Stengel von 40 cm Länge entwickelt. *Pogonatum polycarpum* ist eines der häufigsten und floristisch zuverlässigsten Moose in waldlosen Gebirgsgegenden, wo es auf schwarzer Humuserde von 2600 bis 4400 m ansteigt; endlich das zwergige *Psilopilum gymnostomulum*, das zwar nur sehr sporadisch, dann aber stets in großer Individuenzahl auftritt und eine ausgesprochen hochandine Art ist.

Hedwigiaceae.

Die Gattung *Braunia* liefert mehrere der Charaktermoose des Trockengebietes und gelangt auch physiognomisch dadurch zu Bedeutung, daß ihre Arten meist ausgedehnte Rasen bilden. *Rhacocarpus* dagegen ist eine typisch hochandine Gattung, deren Arten mit Vorliebe feuchte Felsen bewohnen und an geeigneten Stellen auch in die Schluchten der Waldgebiete hinabsteigen. Die schwellenden Kissen von *Rhacocarpus Humboldtii* gehören zu den charaktervollsten Erscheinungen der Felsflora über der Waldgrenze.

Cryphaeaceae.

Diese Familie gehört mit ihren ausschließlich baumbewohnenden Arten ganz der Waldregion an. Zwei Arten sind durch die Mehrzelligkeit ihrer Sporen biologisch von hohem Interesse.

Prionodontaceae.

Wenn irgend eine Familie als vorwiegend andin bezeichnet werden kann, so ist es diese. Daran ändert auch die Tatsache nichts, daß einige Arten in den brasilianischen Gebirgen und 2 sogar in Afrika vorkommen. Der Schwerpunkt dieser sehr eigenartigen Moosgruppe liegt trotzdem in den tropischen Anden, aus deren Wäldern von Mexico bis Nordargentinien bis heute mehr als 30 Arten bekannt sind. Sie entsprechen physiognomisch den *Spiridentaceen* Papuasien, mit denen sie wohl auch stammesgeschichtlich zusammenhängen. Einige ihrer Arten gehören zu den auffallendsten und ihrem Wuchs nach größten Baummoosen des Kordillerenwaldes und verknüpfen sich untrennbar mit dem Bild des bolivischen Bergmooswaldes. Aus Bolivia sind nicht weniger als 17 Arten bekannt.

Meteoriaceae.

Keine Familie ist in den Tropen so mächtig und formenreich entwickelt wie diese. Ihr dem Europäer ungewohnter Typus bringt in das Moosbild des Tropenbergwaldes jenen charakteristischen Zug, durch den er sich auf den ersten Blick, also zunächst rein physiognomisch, von allen Moosfor-

mationen anderer Waldgebiete unterscheidet. In der Familie der *Meteoriaceae* tritt der Typus der Hängemoose am mannigfaltigsten in Erscheinung; man vergegenwärtige sich nur die zahlreichen Formen von *Squamidium*, *Pilotrichella*, *Papillaria*, *Meteorium*, *Meteoriopsis*, *Floribundaria* und *Barbella*! Diese zunächst nur biologisch als Anpassung an eine besondere aërische Lebensweise erkannte Form hat aber gewiß auch phylogenetisch ihre Bedeutung, indem eben besonders im *Meteoriaceen*- und dem verwandten *Neckeraceen*-Stamm der innere Bau die Entstehung von Hängesprossen begünstigte. Man darf also diese Eigenschaft gleichfalls zu den Organisationsmerkmalen rechnen — zwar nicht etwa die Form an sich, sondern die Fähigkeit, unter bestimmten Einflüssen solche Formen zu bilden. Es genügt nicht zu sagen, daß die Hängesprosse aus einer besonderen Lebensweise heraus entstehen und daß die betreffenden Moose, wenn sie keine Gelegenheit finden, solche Sprosse zu bilden, Rasen oder Filze wie andere pleurokarpe Moose zusammensetzen, daß demnach Hängesprosse nicht für sie charakteristisch seien, sondern es ist gewiß für die innere Organisation dieser Moose bezeichnend, daß sie ausnahmslos befähigt sind, solche Pendelsprosse freihängend zu entsenden, während die Unzahl anderer Moose, welche auf Baumästen leben, eben nicht und unter keinen Umständen auf die gleichen äußeren Reize diese Antwort geben. Außer den *Neckeraceen* und *Pterobryaceen*, die Hängesprosse ebenfalls in großer Menge hervorbringen, aber stammesgeschichtlich auch nahe zu den *Meteoriaceen* gehören, sind mir nur verschwindend wenige Fälle aus anderen Gruppen bekannt. Aus diesen einzelnen Ausnahmen aber schließen zu wollen, daß die Fähigkeit Hängesprosse zu bilden, systematisch keine Bedeutung habe, wäre ganz unrichtig. Ein Merkmal kann eben sowohl als Ausdruck innerer Organisation auftreten, als auch dann und wann rein durch Anpassung verursacht sein.

Die *Meteoriaceen* sind in der neuen Welt und hier auch in unserem Gebiet ebenso artenreich wie in den Tropen Ostasiens, wo ich sie zum erstenmal in den Gebirgswäldern Ceylons sah. Sie bevorzugen die höheren Lagen der Bergwälder, wo besonders einzelne wenige Arten wie *Meteorium illecebrum*, *Pilotrichella flexilis* und *Squamidium leucotrichum* in ungeheurer Massigkeit aufzutreten pflegen.

Neckeraceae.

Was die allgemeine Physiognomie dieses Stammes betrifft, so gilt hier auch das meiste im vorigen Abschnitt Gesagte. Charakteristisch ist aber in erster Linie die Neigung zum dorsiventralen Bau sowohl der Sproßsysteme als der Blätter, so daß in dieser Gruppe die Astwedelmoose weitaus überwiegen. Von Wichtigkeit ist als weitestverbreitetes Moos *Neckera Lindigii* und die große Zahl der systematisch so schwer umgrenzbaren *Porotricha* und *Porothamnia*. Eine besondere, auch physiognomisch sehr scharf hervortretende Sippe bilden die *Phyllogonien* mit ihren langen, wenig verzweigten, streng 2zeilig beblätterten Hängesprossen. Das Kupfer und Gold ihrer langen glänzenden Schuppenbänder bringt eine ganz eigene Note in das an sich schon fremdartige Gefüge des tropischen Bergwaldes mit seinen leise schwankenden Girlanden von Meteorien und Pilotrichellen.

Entodontaceae.

Obwohl in zahlreichen Arten durchs Gebiet verbreitet, üben die Vertreter dieser Familie doch nirgends einen Einfluß auf die Physiognomie der Moosvegetation, können also in diesem Abschnitt füglich mit dieser kurzen Bemerkung abgetan werden.

Hookeriaceae.

Eine der größten und fast ausschließlich tropische Familie! Südamerika besitzt die meisten endemischen Gattungen, von denen wieder der Ausgangspunkt überwiegend in der Waldregion der Anden liegt. Auch von den übrigen, weiter verbreiteten Gattungen, wie *Callicostella*, *Hookeriopsis*, *Cyclodictyon* und *Lepidopilum* findet sich weitaus die Mehrzahl der Arten in Südamerika. Es ist nicht überraschend, daß Bolivia an diesem Reichtum in erheblichem Maß teilnimmt. Freilich kann seine absolute Artenzahl

mit derjenigen Columbiens, Ecuadors und Brasiliens noch nicht Schritt halten, doch darf man — wenn auch zugegeben werden muß, daß die äquatorialen Gebiete schon durch ihr Klima einen Vorsprung vor den übrigen Ländern haben — nicht vergessen, daß gerade die Waldgebiete Bolivias noch verhältnismäßig wenig erforscht sind. Schon heute aber erreicht es trotzdem die stattliche Zahl von 72 Arten, wovon 71 auf das andine Gebiet entfallen.

Physiognomisch treten nur die allenthalben an dünnen Ästen wachsenden *Daltonien* und die zierlichen Laubwedel einiger *Lepidopilum*-Arten hervor — hier besonders das häufige *Lepidopilum Mülleri* mit schönem, grün-goldenem Seidenglanz. Das Vorkommen der übrigen ist zu sporadisch, um in den Formationen stärker zu wirken. Die Mannigfaltigkeit der Formen ist aber ganz gewaltig und die Durchdringung der Einzelelemente in den kleinsten Räschen oft ganz erstaunlich. So fand ich an Baumästchen im feuchten Bergwald des Sillar innigst vergesellschaftet und wegen ihres äußerst ähnlichen Wuchses und der Kleinheit mit bloßem Auge kaum voneinander zu unterscheiden, 4 Hookeriaceen: *Cyclodictyon pusillum*, *Leskeodon andicola*, *Hookeriopsis variabilis* und *Callicostella spec.*

Die Hookeriaceen bewohnen fast alle die mittleren und unteren, also wärmeren Lagen. Über 2600 m werden sie sehr spärlich. Ihr Dichtigkeitsmaximum erreichen sie zwischen 600 und 2000 m. Interessant wegen ihres ungewöhnlichen Standortes ist *Daltonia Jamesonii* var. *laevis* auf torfiger Erde in durchaus alpiner Lage an den Cerros de Malaga (ca. 4000 m).

Hypopterygiaceae.

Von dieser kleinen Familie ist nur eine einzige Art im Gebiet vorhanden, das in schattig-feuchten Bergwäldern weitverbreitete *Hypopterygium Tamarisci*. Sowohl *H. argentinicum* wie *H. bolivianum* scheinen nur Lokalrassen zu sein.

Leskeaceae.

Nur wenige Arten sind im Gebiet vorhanden. Am häufigsten ist *Pseudoleskea andina*, die zu den Charaktermoosen des Gesträuchgürtels an der Waldgrenze gehört.

Thuidiaceae.

Von den Großformen der Gattung *Thuidium* trifft man allenthalben *Th. peruvianum*, das im Habitus an das nordische *Th. delicatulum* erinnert. Von den Microthuidien ist *Th. leptocladum* häufig; es ist ein charakteristischer Begleiter schattiger Bachränder, wo es auf feuchten Steinen, faulem Laub und Holz wächst.

Hypnaceae.

Von den Amblystegieen beanspruchen namentlich einige *Drepanocladus*- und *Calliergon*arten wegen des nordischen Akzentes, den sie in die Flora bringen, Beachtung. *Sciaromium* ist dagegen eine ausgesprochen antarktische Gattung.

Unter den Hypneen steht unstreitig an erster Stelle die Gattung *Rhizohypnum*, von welcher viele Arten zu den häufigsten Moosen des Waldbodens gehören. Hier bilden besonders *Rh. reptans*, *acrorrhizon*, *heterostachys* und *viscidulum* breite Rasen oder Filze mit charakterisch an den Spitzen niedergebogenen und hier wurzelnden Sprossen. Die Abgrenzung der einzelnen Arten ist wegen ihrer bedeutenden individuellen Variationsbreite sehr schwierig. *Rhizohypnum* ist — mit Ausnahme einiger weniger Arten in Afrika — rein amerikanisch und darf jedenfalls, obwohl nicht ausschließlich ihm angehörend, doch zu den bezeichnendsten Erscheinungen in seiner Mooswelt gezählt werden.

Breidleria amabilis ist ein Charaktermoos der Waldgrenze, wo es dem *Ptilium crista-castrensis* ähnliche breite Rasen bildet.

Von den Plagiothecieen tritt keine besonders in den Formationen hervor. Bemerkenswert ist immerhin die relativ starke Entfaltung der Gattung *Plagiothecium* mit sehr verschiedenartig gebauten Typen und das Vorhandensein der Gattung *Catagonium*, die sicherlich antarktischen Ursprungs ist.

Sematophyllaceae.

Die Sematophyllaceen sind überwiegend durch die Gattung *Rhaphidostegium* repräsentiert, von der einige Arten zu den häufigsten Erscheinungen der Bergwaldflora gehören, so *Rh. Lindigii* und *Rh. decumbens*. Die Gattung *Sematophyllum*, welcher in den indisch-papuasischen Moosformationen eine so hohe Bedeutung zufällt, ist in den Anden nur ganz spärlich vertreten. *Trichosteleum*, eine ausgesprochene Tieflandsgattung, erreicht nur den Fuß der Berge mit wenigen Arten.

Brachytheciaceae.

Diese Familie liefert Vertreter zu allen Formationen und ist weder von den Trockengebieten noch den Hochregionen ausgeschlossen. Zwei *Cirriphyllum*arten, 3 *Brachythecien* und eine *Bryhnia* bewohnen die Felsgebiete der höchsten Anden bis über 5000 m hinauf. Die Gattung *Mandoniella* gehört den innerandinen Trockengebieten an, das große Heer aber wächst auch hier, wie die meisten Pleurokarpfen, in den feuchten Bergwäldern, wo besonders *Rhynchostegium* mit ein paar Arten zu den häufigsten Moosen gehört. Von der Gattung *Brachythecium* ist das Subgenus *Salebrosium* am meisten entwickelt. *Br. bolivioplumosum* kommt fast völlig mit dem europäischen *Br. plumosum* überein und bewohnt wie dieses häufig die Steine an Bachrändern. *Oxyrrhynchiuma quaticum* ist ein vollständiges Analogon des nordischen *O. rusciforme*, doch spezifisch gewiß von ihm unterschieden.

Zusammenfassung.

Überblicken wir noch einmal kurz das ganze Material, so tritt als Hauptunterschied gegenüber der Flora unserer Breiten — zunächst physiognomisch — in den Wäldern die große Zahl der epiphytisch lebenden, Äste und Zweige dicht besetzenden Arten und unter diesen die den Tropenwäldern vorbehaltene Form der Hängemoose hervor.

Floristisch ist der Mangel an Torfmoosen bemerkenswert; ferner die reiche Entwicklung folgender Gattungen und Familien:

Andreaeaceae, Oreoweisia, Campylopus, Leptodontium, Tortula, Zygodon, Macromitrium, Funariaceae, Mieliichhoferiae, Acidodontium, Bartramiaceae, Polytrichadelphus, Prionodon, Thamnieae, Hookeriaceae, Rhizohyllum, Rhaphidostegium, Brachythecium,

dagegen das Zurücktreten von anderwärts, speziell in der alten Welt, reich entwickelten Gruppen so: *Dicranum, Dicranoloma, Leucoloma, Leucophanaceae, Calymperes, Mniaceae, Pterobryaceae, Pilotrichaceae, Ectropothecium, Sematophyllum.*

Es ist später noch auf diese Verhältnisse zurückzukommen.

2. Floristische Gliederung.

Das Gebiet, auf welches sich die im vorigen Abschnitt systematisch behandelten Moose verteilen, ist nur ein Stück der bolivianischen Kordillere, enthält aber trotzdem alle floristischen Elemente der südamerikanischen Anden, und zerfällt nach seinem in verschiedenen Teilen sehr verschiedenen Florencharakter in 2 große Unterabteilungen, die sich als natürlich umgrenzte, schon im großen durch eine vorherrschende Vegetationsform gut gekennzeichnete Bezirke erweisen.

Eine lange, über den Kamm von mehreren Haupt- und Nebenketten verlaufende Linie, die im allgemeinen einen Bogen von NW über S nach O beschreibt, zerlegt unser Gebiet in 2 klimatisch streng voneinander geschiedene Teile, nämlich — östlich und nördlich von der genannten Linie — ein Gebiet reichlichster Niederschläge und demgemäß üppigster Waldbedeckung, und — westlich und südlich davon — ein Hochland von ausgesprochen trockenem Klimacharakter.

Diese beiden Abschnitte haben in ihrer Flora wie ihrem allgemeinen Vegetationscharakter so wenig Berührungspunkte, daß man sie ohne weiteres als ganz verschiedene Welten erkennt, jede von durchaus eigenartigem floristischem wie Formations-Gepräge.

Dem Waldgebiet entspricht der subandin-neotropische Abschnitt, dem Trockengebiet der andine Abschnitt, beides nur Stücke größerer floristischer Bezirke, die als subandine und andine Provinz bezeichnet werden können.

Wenn auch „Waldgebiet“ und „Trockengebiet“ als Bezeichnungen logisch nicht ohne weiteres Gegensätze bilden, so drücken sie doch den Klima- und Vegetationscharakter der betreffenden Gebiete aufs beste aus und können daher nicht mißverstanden werden. Eine gleichgeordnete Bezeichnung für das Trockengebiet wie für die Wälder des äußeren Kordillerenabhanges läßt sich nicht geben, da dort mehrere Formationen — von der Wüste über die Steppe bis zu den Gehölzformationen — miteinander wechseln; allen aber ist die xerophytische Struktur ihrer Bestandteile gemeinsam.

Schon bei oberflächlicher Betrachtung erweist sich jedoch das Waldgebiet als floristisch nicht einheitlich. Nicht für das ganze östliche Waldland wäre die floristische Bezeichnung „subandin“ angängig, weil man darunter ein ganz bestimmtes; entwicklungsgeschichtlich einheitliches Florenelement versteht. Die Aufstellung einer subandinen Provinz hat sich aus dem Florencharakter ihrer Gefäßpflanzen und ihrer charakteristischen Verbreitung ergeben. Die Verteilung der Bryophyten in unserem Gebiet steht damit in vollem Einklang. Das subandine Gebiet geht nur bis knapp 18° s. Br., also ungefähr bis zu der Stelle, wo der weit nach Osten hinausgreifende Kordillerenrand sich wieder die in N-S-Richtung einstellt, etwa in der Breite von Santa Cruz. Wenn hier auch für das Auge keine Vegetationsgrenze bemerkbar ist, indem sich der Wald fast ununterbrochen am Ostrand der Kordillere bis nach N.-Argentinien über 25° s. Br. hinaus fortsetzt, so unterscheidet sich dieses Gebiet floristisch und klimatisch doch so stark von dem subandinen Regenwald der Gebiete nördlich des 18. Breitengrades, daß es notwendig von ihm abgetrennt werden muß. Meines Wissens ist für dieses Waldgebiet noch keine besondere Bezeichnung geschaffen worden. Ich schlage daher den Namen „subtropische Randwälder“ vor. Floristisch ist das Gebiet allerdings nicht einheitlich; es läßt eine Mischung andiner und brasilianischer Florenelemente erkennen, wozu sich noch vereinzelt Reste der hier allmählich ausklingenden subandinen Flora gesellen. Seine Flora macht einen relativ jugendlichen Eindruck, ist arm an Arten, besonders an Endemismen und erscheint wie künstlich aufgepfropft auf die alte andine Flora in ihrer charakteristisch xerothermen Fazies der sog. Tucumanzone, die umgekehrt sehr reich an Endemismen und streng von den subtropischen Randwäldern zu trennen ist.

Wie überall, wo zwei Florengebiete aneinander grenzen, ist auch hier zwischen tropisch-subandinen und subtropischen Wäldern der trennende Schnitt nicht scharf, sondern ein allmählicher Übergang findet statt, um so mehr als die Grundform des Zusammenlebens die gleiche bleibt, nämlich Wald. Der subandine Regenwald der tropischen Gebiete verwandelt sich allmählich — vom 17. bis 18. Breitengrad — durch alle Mischungen und Übergänge hindurch in den laubwerfenden Sommerwald der subtropischen Randgebirge.

In den Bestandteilen des Waldes drückt sich dieser Wechsel dadurch aus, daß einmal die Palmen sehr rasch verschwinden und dann die meisten Charakterbäume des Regenwaldes wie die Gattungen *Ficus*, *Perebea*, *Cecropia*, *Hura*, *Macrobium*, *Macrocnemum*, *Condaminea*, *Rheedia*, *Swietenia*, *Guarea*, *Picramnia*, *Erythrochiton* etc. hier die Südgrenze ihrer Verbreitung finden, während südwärts in den subtropischen Randwäldern ganz neue Gattungen und Arten auftreten, so zahlreiche *Acacia*- und *Mimosa*-Arten, *Tipuana*, *Myroxylon*, *Bougainvillea*, *Diatenopteryx*, *Athyana*, *Schinopsis*, *Myrcia* etc., in der Flora der Bryophyten begleitet durch das Ausklingen der *Calymperaceen*, *Prionodontaceen*, *Neckeraceen* und *Hookeriaceen*. Mehr noch als in der Phanerogamenflora tritt bei den Moosen die Verarmung der Flora in den subtropischen Randwäldern hervor, weil sie hier zugleich mit einem empfindlichen Zurückgehen der Individuenzahl verbunden ist, so daß südwärts des Rio Grande den Moosen nur noch ausnahmsweise physiognomische Bedeutung zukommt. Die Verarmung an Arten und Gattungen wird durch die beigegebene Tabelle S. 283 deutlich illustriert.

Der floristischen Analysierung des vorliegenden Gebietes mögen einige geographische Bemerkungen vorausgeschickt werden. Für Einzelheiten muß allerdings auf die Karte und auf meine Abhandlung in Petermanns Geogr. Mitteilungen l. c. verwiesen werden.

Der Klima-, Vegetations- und Florengränze, welche Waldgebiet und Trockengebiet, subandine

und andine Provinz trennt, entsprechen die Kämme zweier hohen Äste der Kordillere. Ihre Richtung bedingt im großen ganzen den Verlauf der Wetterscheide und damit die Abgrenzung der Vegetationsformationen und Floren.

Diese wetterscheidenden Kämme sind im Westen die *Cordillera Real*, im Osten die *Cordillera Oriental*, beides echte Hochgebirge, die zwischen Oruro und Tunari durch eine relativ hohe Schwelle (Wasserscheide) miteinander verbunden werden. Zwischen die *Cordillera Real* und den nordwestlichen, höchsten Teil der *Cordillera Oriental*, welcher ungefähr parallel mit der *Cordillera Real* verläuft, greift das Flußsystem des Rio Cotacajes hinein, im Süden von der erwähnten etwa W.-O. verlaufenden Schwelle begrenzt. Südwärts von ihr gelangt man in das große interandine Becken des Rio Grande, von Mittelgebirgscharakter und ausgesprochen trockenem Klima.

Ein Teil der *Cordillera Real*, ihr südlichster Abschnitt, ist die von mir bereiste *Quimzacruzkordillere*. Sie erhebt sich als stark vergletscherte Hochgebirgskette mit nahe an 6000 m hohen Gipfeln zwischen den feuchten Tälern des Ostens (Rio Meguilla und Rio Cotacajes) und der wüstenartig trockenen Hochfläche der Meseta alta oder Puna. Südwärts setzt sich an diesen hohen Gebirgsgrat ein System niederer, schneefreier Ketten an, welche zusammen — nach Osten hin aneinander schließend — die erwähnte Verbindungsbrücke zwischen *Cordillera Real* und *Cordillera Oriental* bilden. Ihre durchschnittliche Kammhöhe dürfte 4100 m kaum übersteigen.

Die *Cordillera Oriental* beginnt, wie schon gesagt, mit einem der *Cordillera Real* fast parallel verlaufenden Abschnitt aus hohen N.W.-S.O. streichenden Ketten, die also wieder unter sich nahezu parallel sind. Dieser Abschnitt von ausgeprägtestem Hochgebirgscharakter und Kammhöhen von ca. 4500 m mit Gipfeln bis 5200 m richtet sich als hohe Mauer zwischen der weiten Bucht des Cotacajestalsystems und den östlichen Waldtälern des Chapare auf und treibt so einen Keil in die von Osten am Gebirgshang emporbrandenden Wälder. Hierdurch wird die auf der Karte deutlich hervortretende Ausbuchtung und Zurückdrängung der Waldgrenze hervorgebracht. Östlich der Cerros de Malaga beginnt die *Cordillera Oriental* ihren strengen Hochgebirgscharakter zu verlieren, doch bleibt der Kamm bis zum Cerro Sipascocya, ca. 4100 m, immer noch hoch genug, um dem Vordringen der andinen Flora gegen Osten einen Weg zu bieten. Ihr Areal wird allerdings immer schmaler, bis es sich schließlich, wenig östlich vom Cerro Sipascocya, völlig verliert. Hier findet zugleich ein starkes Herabsinken der Kammlinie, von ca. 4000 m auf ca. 3300 m statt und schon in der Gegend von Comarapa gelingt es dem Wald, von N. her über den Kamm herüberzusteigen. Von nun an grenzen Waldgebiet des Nordens und xerotherme Formationen des Südens fast unmittelbar aneinander. Durch eine weitgehende Auflösung des Hauptkammes in sekundäre Nebenketten und das tiefe Einschneiden der Yapacani-Talbucht in diesen durchschnittlich 2000 m hohen östlichen Teil der Kordillere wird eine starke Komplizierung aller Verhältnisse herbeigeführt, welche eine Schilderung der Vegetation dieses Gebietes im einzelnen sehr erschwert. Dazu kommt noch, daß das östliche Bergland viel zu wenig erforscht ist — was übrigens für große Teile der Kordillere weiter westlich genau so gilt, nur daß dort die Verhältnisse weniger verwickelt liegen —, um die Abgrenzung der oft innig sich durchdringenden Formationen und Florenbestandteile vornehmen zu können.

Schließlich wäre noch ein Wort über die Gesteine des bereisten Gebietes zu sagen. Massengesteine finden sich nur im nördlichen Teil der Quimzacruzkordillere, deren Kern aus grobkörnigen Graniten besteht. Alle übrigen Teile unserer Kordillere sind von Sedimenten aufgebaut.

Weitaus die größte Ausdehnung besitzen hier graue Silurschiefer, die sowohl einen Mantel um den granitischen Kern der Quimzacruzkordillere legen, als auch die ganze Hochkordillere von Cocapata bis über die Cerros de Malaga hinaus — also den westlichen Teil der *Cordillera Oriental* — zusammensetzen. Weiter östlich wechsellagern Silurschiefer und devonische Sandsteine von verschiedener Zusammensetzung; die östlichsten Randketten schließlich bestehen aus roten Sandsteinen der „zona petrolifera“. Näheres findet man in Geologische Rundschau 1914 I. c.

Diese weite Ausdehnung von Schiefen stellt einen sehr günstigen Umstand für die Entwicklung einer reichen Moosflora dar. Wie in den Alpen zeichnen sich nämlich auch in den Kordilleren die Schiefergesteine durch eine besonders mannigfaltige Pflanzendecke aus. Der Unterschied zwischen Schiefer und

Granit tritt z. B. in der Quimzacruzkordillere überaus scharf hervor. Der vordere Teil des Viloco-Hochtales mit seinen Bergen des Pireomassives aus metamorphosierten Schiefen ist außerordentlich reich an Arten; das unmittelbar daran anschließende Granitgebiet des Chancapiña liefert dagegen nur ein paar wenige Arten. Dem entspricht auch der fabelhafte Reichtum der Hochkordillere von Cocapata, der speziell im Tunarigebiet eine sonst ungewohnte Höhe erreicht und die seltsamsten Typen in sich vereinigt. Der rote Sandstein des Ostens ist artenarm, da die Gesteinsoberfläche rasch abgetragen und an steilen Wänden ständig als sandiger Detritus abgewaschen wird.

Nach diesem kurzen Überblick über das bereiste Gebiet in geographischer, orographischer und geologischer Hinsicht mag die Schilderung der oben unterschiedenen Vegetations- und Florenbezirke ihren Platz finden.

I. Das Waldgebiet.

1. Die subandinen Bergwälder.

Dieser Abschnitt umfaßt den ganzen Waldsaum des Kordillerenabfalls gegen die Ebenen von Mojos von der nordwestlichen Landesgrenze bis an die äußerste Ostecke der Cordillera Oriental, die etwa durch die markante Berggestalt des Cerro Amboró bei Santa Cruz de la Sierra bezeichnet wird. Hier reicht der Wald im Zusammenhang durchschnittlich bis 3200 m empor, zuweilen bis 3400 m.

Der Florencharakter dieses vom 18. Grad s. Br. bis weit in die nördliche Hemisphäre hinein den Osthang der Kordillere begleitenden Waldgürtels ist überall subandin. Es versteht sich daraus ohne weiteres, daß der tropische Kordillerenwald Boliviens mit demjenigen Perus, Ecuadors und Columbiens mehr floristische Ähnlichkeit hat, als mit den subtropischen Wäldern der Randkordillere vom 18. Grad südlich bis nach Argentinien hinein. Das drückt sich nicht nur in den vorherrschenden Gattungen, sondern auch oft in der Identität der Arten aufs deutlichste aus. So stößt man in den subandinen Kordillerenwäldern Boliviens Schritt für Schritt auf die gleichen Gattungen, oft auch dieselben Arten, welche Lindig und andere aus den aequatorialen Anden von Quito und Columbien mitgebracht haben.

Eine floristische Parallele zwischen dem Kordillerenwald Boliviens und Columbiens kann natürlich nur in den Umrissen gelten. In den Einzelheiten zeigen sich sehr viel Unterschiede und es ist wohl anzunehmen, daß jeder Bergstock, jedes Tal fast seine eigenen Florenbestandteile herausgebildet hat. Die Mannigfaltigkeit der Moose in den Waldländern ist ja fast beispiellos, und wenn man bedenkt, wie winzig die bis heute bereisten Gebiete im Verhältnis zu den noch gänzlich unerforschten Strecken sind, und dazu noch, daß von den bereisten Strecken nur verschwindend kurze Abschnitte nach Moosen abgesucht worden sind, so wirkt die Zahl der trotzdem schon bekannt gewordenen Arten verblüffend, immer im Hinblick darauf, welche Überraschungen die noch unberührten Teile bringen müssen. Das Verhältnis der einigermaßen durchforschten zu den bryologisch noch gänzlich unbekanntem Gebieten dürfte sich für diese Länder wesentlich schlechter als 1 : 1000 stellen.

Immerhin können die wenigen Bausteine, welche heute vorliegen, doch schon einiges allgemein Gültige aussagen über die vermutliche Zusammensetzung der Moosflora dieses noch so mangelhaft durchforschten Gebietes, nach der gleichen Wahrscheinlichkeit, wie die genaue Analyse eines Hektars Buchenwald doch schon die Grundelemente zum Verstehen eines 1000 Hektare umfassenden Buchenwaldes enthalten wird.

Die großen Sammlungen, welche aus den letzten Jahren stammen, haben nämlich mit großer Wahrscheinlichkeit erwiesen, daß zwar noch ein unerschöpflicher Reichtum an neuen Arten aus diesen Wäldern zu erwarten ist, generell viel Neues aber kaum mehr dazu kommen wird. Wo auch die Stichprobe entnommen wurde, immer sind es die gleichen Gattungen oder Verwandtschaftsgruppen, welche in unendlicher Variation dasselbe Thema behandeln, oft sogar fast identische Assoziationen, die in weit voneinander entfernten Gebieten auftreten. Dieses letztere gilt allerdings wohl nur für die epiphytischen Baummoose, welche im allgemeinen eine weitere Verbreitung als die im Dickicht der Waldtiefe eingeschlossenen Formen besitzen.

Meine erste Reise hat aus diesem Gebiet keine neue Gattung ergeben, ebensowenig R. S. Williams' Expedition im Departement La Paz. Erst meine zweite Reise hat 2 neue Gattungen geliefert (*Poro-trichopsis* und *Schröterella*). Das Trockengebiet, besonders in hochandinen Lagen, ist viel reicher an eigentümlichen Gattungen von eng begrenztem Areal.

Das subandine Waldgebiet zeichnet sich vor allem durch seine reichlichen, fast über das ganze Jahr gleichmäßig verteilten Niederschläge aus. Zwar läßt sich auch hier zwischen einer etwa 8 Monate dauernden Regenzeit und einer kurzen Trockenzeit unterscheiden, aber auch während dieser sog. Trockenzeit fehlt es nicht an gelegentlichen Gewittern und Regengüssen, so daß das ganze Jahr hindurch Feuchtigkeit genug, meist sogar im Überfluß, zur Entwicklung einer üppigen Waldvegetation vorhanden ist. Genaue Messungen liegen meines Wissens aus diesem Gebiet nicht vor. Doch dürfte, rein schätzungsweise, die jährliche Niederschlagsmenge kaum unter 3000 mm betragen.

Die Temperaturen des subandinen Waldgebietes sind je nach der Meereshöhe recht verschieden; auch hierüber liegen zwar keine exakten Daten vor. Trotzdem lassen sich auch so nach ihrem Klima 3 Höhengürtel des Kordillerenwaldes unterscheiden: 1. Der untere, rein tropische Gürtel, in Bolivia als „Yungas“ bezeichnet (der peruanischen „Montaña“ entsprechend), bis ca. 1600 m, 2. der mittlere Waldgürtel von subtropischem Gepräge, bis etwa 100—200 m unter die Waldgrenze reichend, und 3. der obere Waldgürtel, ein schmaler Saum längs der Waldgrenze, wo die Temperatur in den trockenen Wintermonaten bis auf 0 sinkt und gelegentlich Reifbildung auftritt. Für den unteren Waldgürtel sind sehr gleichmäßige Temperaturen, für den oberen starke Temperaturschwankungen charakteristisch.

Am bedeutendsten ist der Unterschied zwischen dem unteren und den beiden oberen Gürteln ausgeprägt. Dies drückt sich nicht nur im allgemeinen Habitus des Yungaswaldes, der sehr hochwüchsig und reich an Palmen, Araceen und Zingiberaceen ist, sondern auch in der Verbreitung einiger wichtiger Kulturpflanzen aus. In den „Yungas“ allein gedeihen Banane, Zuckerrohr, Kaffee, Coca, Locotos (spanischer Pfeffer), Orangen etc. Ihr Klima dürfte ungefähr dem der Regenzeit von Santa Cruz entsprechen. Hier erhielt ich aus den Messungen während der 2 Regenmonate Januar und Februar folgende Daten:

Mittlere Morgentemperatur (6 Uhr a. m.)	= 23,44° C.
Mittlere Mittagstemperatur (12 Uhr a. m.)	= 27,5° C.
Mittlere Abendtemperatur (7 Uhr p. m.)	= 25,5° C.
Mittlere Tagestemperatur	= 25,5° C.
Minimum	= 21° C.
Maximum	= 31° C.

Für das Klima der höher gelegenen Waldgebiete kann ich leider gar keine Daten beibringen. Zur Charakterisierung der mittleren Stufe mag die Erwähnung einiger Kulturpflanzen dienen. In Lagen um 2000 m gedeiht besonders gut Mais, der die wichtigste Kulturpflanze des mittleren Waldgürtels ist, ferner auch die Kartoffel und Gerste, welche freilich mit Vorliebe um die Waldgrenze und darüber hinaus angepflanzt werden.

Weiter will ich in der Schilderung der großen Vegetationsformen nicht gehen; es sollte nur der Rahmen gezeichnet werden, in welchem nun die Kleinwelt der Moose untergebracht werden kann.

Zunächst mag eine Tabelle über die Verbreitung der bolivianischen Waldmoose nach Höhenstufen orientieren. Der Vergleichung wegen sind in dieser Tabelle auch die Arten der subtropischen Randwälder angeführt.

Die erste Abteilung der Kolonnen ist für die tropisch-subandine Flora, die zweite für die subtropische Flora der Randwälder reserviert. In der ersteren sind 3 Stufen unterschieden: I. untere („Yungas“-) Stufe bis ca. 1600 m (örtlich verschieden), II. mittlere Stufe bis ca. 3000 m, III. obere Stufe, charakterisiert durch hartblättrige Gehölze von niederem Wuchs. In der zweiten Kolonne sind nur 2 Stufen, eine untere (I.) bis etwa 1000 m, und eine obere (II.) bis zur Waldgrenze unterschieden. In II herrscht auch hier der niedere Wuchs vor; Gesträuchformationen sind weit verbreitet,

Tabellarische Übersicht über die Arten des Waldgebietes
(subandine Provinz und subtropische Randwälder).

	Trop.			subtrop.			Trop.			subtrop.	
	I	II	III	I	II		I	II	III	I	II
<i>Sphagnum meridense</i>		×				<i>Campylopus pelichucensis</i> .		×			
„ <i>sparsum</i>						„ <i>humilis</i>		×			
„ <i>pulchricoma</i>			×			? „ <i>chrysodictyon</i>				×	?
„ <i>platyphylloides</i>			×			„ <i>filifolius</i>	×				
„ <i>erythrocalyx</i>			×			„ <i>rosulatus</i>		×			
„ <i>medium</i>		×	×			„ <i>subcubitus</i>	×				
„ <i>Boliviae</i>	×					„ <i>leptodus</i>		×			
<i>Ditrichum capillare</i>		×	×			„ <i>perreduncus</i>				×	
„ <i>rufescens</i>		×				„ <i>multicapsularis</i>				×	
<i>Trematodon reflexus</i>	×					„ <i>trivialis</i>	×				
<i>Wilsoniella flaccida</i>	×					? „ <i>nanofilifolius</i>	?				
<i>Dicranella nanocarpa</i>		×				„ <i>Yungarum</i>		×			
„ <i>Perrottetii</i>	×	×				„ <i>Jncacorrallis</i>		×			
„ <i>Guilleminiana</i>		×				„ <i>Pseudodicranum</i>					×
„ <i>Beyrichii</i>	×	×				„ <i>microtheca</i>					×
„ <i>heteromalla</i>			×			„ <i>julaceus</i>				×	
„ <i>apolensis</i>	×					„ <i>heterophyllus</i>				×	
„ <i>Kunzeana</i>	×					<i>Metzleria longiseta</i>		×			
„ <i>Hilariana</i>	×					„ <i>spiripes</i>				×	
„ <i>tenuirostris</i>	×					<i>Pilopogon Richardii</i>					×
<i>Oreoweisia laxiretis</i>			×			<i>Octoblepharum albidum</i>	×				×
<i>Symblypharis boliviana</i>		×	×			„ <i>pulvinatum</i>	×				
<i>Holomitrium crispulum</i>				×		<i>Leucobryum giganteum</i>	×	×			
„ <i>macrocarpum</i>		×	×	×		„ <i>crispum</i>		×			
<i>Dicranum speciosum</i>			×			„ <i>Martianum</i>	×				
„ <i>bolivianum</i>		×	×			„ <i>macrofalcatum</i>	?				
„ <i>Germainii</i>		?	?			„ <i>strictum</i>				×	
„ <i>spectabile</i>			×			„ <i>calycinum</i>	×				
<i>Campylopus Ptychotheca</i>		×	×			<i>Ochrobryum obtusifolium</i>	×				
„ <i>trichophorus</i>			×			„ <i>Gardnerianum</i>	×				
„ <i>densicoma</i>		×	×			<i>Fissidens macrophyllus</i>		×			
„ <i>leucognodes</i>		×	×			„ <i>oligophyllus</i>		×			
„ <i>fulvus</i>		×				„ <i>Wallisii</i>		×			×
„ <i>Gertrudis</i>		×				„ <i>Carionis</i>		×			
„ <i>Jamesonii</i>		×	×	×		„ <i>Sanctae Crucis</i>					×
„ <i>concolor</i>		×	×			„ <i>innovans</i>		×			
„ <i>spurioconcolor</i>		×						1500			
„ <i>alopeurus</i>	×			×		„ <i>Incacorrallis</i>		×			
„ <i>cavifolius</i>			×			„ <i>mateoënsis</i>		×			
„ <i>annotinus</i>		×				„ <i>rigidulus</i>				(×)	
„ <i>subgriseus</i>				×		„ <i>asplenioides</i>		×			×
„ <i>filicuspes</i>			×			„ <i>crispus</i>		×			
„ <i>reflexus</i>		×				„ <i>Kegelianus</i>	×				
„ <i>Krauseanus</i>		×				„ <i>Hornschuchii</i>	×				
„ <i>occultus</i>		×				„ <i>macroblastus</i>	×				
„ <i>zygodonticarpus</i>		×				„ <i>repandus</i>				×	
„ <i>introflexus</i>	×					„ <i>amboroicus</i>	×				
„ <i>penicillatus</i>		×				<i>Moenkemeyera obtusifolia</i>	×				
		1650				<i>Syrhropodon macrophyllus</i>					×

	Trop.			subtrop.			Trop.			subtrop.	
	I	II	III	I	II		I	II	III	I	II
Syrhoph. submacrophyllus				×		Streptopogon setiferus ...		×			
„ argentanicus ...		×		×		„ spathulatus ...		×			
„ ochroleucus ...		×				Tortula mniifolia ...	×	×			
„ papillosus ...		×				„ glacialis ...		×			
„ scaber ...		×				„ angustifolia ...				(×)	
„ lycopodioides ...		×				„ aculeata ...				×	
„ elatior ...		×				„ armata ...				×	
		1650				Merceya cataractae ...		×			
„ goyazensis ...		×				Ptychomitrium Sellowii .					×
		1650				Rhacomitrium dimorphum				×	
„ Gaudichaudii ...		×				Eustichia Spruceana ...				×	
„ Leprieurii ...	×					Anoetangium euchloron .		×			
„ Miquelianus ...	×					Zygodon liliputanus ...				×	
„ circinatus ...	×					„ linguiformis ...	×	×			×
„ brachystelioides	×					„ caldensis ...		×	×		
„ serpentinus ...		×				„ coraniensis ...		×			
„ ciliolatus ...		×				„ ramulosus ...		×			
Calymperes bolivianum ..	×					„ ovalis ...				×	
Hymenostomum anomalum				×		„ subdenticulatus .		×			
Weisia tortivelata ...	×					„ stenocarpus ...		×			
„ longidentata ...	×					„ cylindricus ...				×	
„ viridula ...	×					„ basidentatus ...		×			
Rhamphidium pygmaeolum		×				„ vestitus ...		×			
„ Levieri ...		×				„ andinus ...	×	×			
Trichostomum quitense ..		×				„ ferrugineus ...		×			
„ fallax ...		×	×			„ paucidens ...		?			
„ chilense ...		×				„ brevipes ...		?			
Tortella Germainii ...		×		×		„ perichaetialis ..				×	
„ pilcomayica ...				×		„ inconspicuus ...		×			
Leptodontium filicicola ..		×				Orthotrichum elongatum .				×	
„ sulphureum ...			×			„ liliputanum ...		×			
„ luteum ...			×			„ patulum ...		×			
„ Mandoni ...			×			„ pariatum ...		×			
„ undulatum ...			×			„ epilosum ...				×	
„ rhacomitrioides				×		„ exsertisetum ..		×	×		
„ papillosum ...		×				„ Tacacomense ..		×	×		
„ planifolium ...			×			„ apiculatum ...		×			
„ vaginatum ...			×			Macromitrium filiforme ..		(×)		×	×
„ cirrifolium ...		×	×			„ Herzogii ...		×!	×		
Streptotrichum ramicolium			×			„ nubigenum ...			×		
Hyophila contermina ...	×					„ subscabrum ...	×	×			
„ involutifolia ...	×					„ macrosporum ..			×		
Didymodon campylopyxis.		×				„ solitarium ...			×	×	×
„ macrophyllus ..		×				„ subcrenulatum .			×		
Barbula unguiculatula ...				×		„ validum ...		×			
„ Humboldtii ...				×		„ brevihamatum .		×			
„ tortelloides ...				×		„ longifolium ...		×!			
„ amblyacra ...	×					„ argutum ...		×			
„ laevigata ...		×				„ crispatum ...			×		×
Williamsiella tricolor ...			(×)			„ liberum ...		×			
Streptopogon erythronotus.		×	×			„ Hornschuchii ..					×
„ peruvianus ...		×				„ pinnulatum ...		×!			

	Trop.			subtrop.			Trop.			subtrop.	
	I	II	III	I	II		I	II	III	I	II
Macromitrium Didymodon		×				Brachymerium verrucosum			×	?	
„ macrothele	×					Acidodontium brachypod.		×	!		
„ obtusum	×					„ macropoma . . .		×			
„ tumidulum	×					„ pallidum		×			
„ Swainsonii	×					„ longifolium				×	
„ stellulatum	×					„ lonchotrachylon				×	
„ subdiscretum . .		×				„ spinicuspes			×	!	
„ ulophyllum		×				Anomobryum soquense . .		×			
„ atroviride	×					Bryum Stephanii		×			
„ pentastichum . .	×					„ sericeum		×			
„ Tocaremae		×				„ oediloma		×			
„ sublaeve	×	×				„ bimum		×			
„ refractifolium . .		×				„ longedecurrens . . .		×			
„ amboroicum				×		„ genucaule		×			
„ crenulatum		×				„ linearifolium		×		×	×
Schlotheimia longicaulis . .		×				„ perserratum		×			×
„ sublevifolia		×		×		„ microcomosum		×			
„ trichomitria	×	×				„ Mayense	×				
„ fuscoviridis	1500			×		„ Atenense	×				
„ Jamesonii	1500					„ cavum	×				
„ rugifolia	1200					„ densifolium	×				
„ Sprengelii	1440					„ coloratum		×			
„ angustata	1500					„ Incacorrals		×			
„ pilomitria		×				Rhodobryum Beyrichian . .	×	×			
Tayloria Moritziana		×				„ grandifolium					×
„ Mandoni			×			„ verticillatum			×	!	
„ Cochabambae			×	?		„ caulifolium			×	!	×
„ scabriseta			×			Mnium rostratum	×	×	!		×
Entosthodon apiahyensis . .				×		Rhizogonium spiniforme . .	×	×			×
„ faucium		×				„ bolivianum		×			
„ andicola	×					Leptotheca boliviana		×			
„ acutifolia	×					Leiomela brachyphylla . .		×		×	
Funaria calvescens		×	×			„ deciduifolia		×			
Mielichhoferia longipes . .			×			„ bartramioides	×				
Stableria tenella		×	×			Bartramia rosea		×		×	
Orthodontium longisetum		×				„ pruinata				×	
„ confine	×	×				„ secunda				×	
Webera spectabilis			×			„ macropoma				×	
„ apolensis	×	×	×			„ squarrosa				×	
„ papillosa		×				„ mollis			×	!	
„ loriformis		×				„ flavicans		×		×	
„ subleptopoda			×			„ fragilifolia		×		×	
Epipterygium pellucens . .		×				Philonotis curvata	×			×	
Brachymerium Jamesonii		×	×			„ fontanella				×	
„ barbuloide		×				„ tenella	×	×			
„ flexipilum		×				„ Gardneri		×			
„ dimorphum	×					„ lignicola		×			
	1500					„ minutissima	×	×			
						„ operta	×				
						„ angulata		×			
						„ gracilenta		×			

	Trop.			subtrop.			Trop.			subtrop.	
	I	II	III	I	II		I	II	III	I	II
<i>Philonotis guayabayana</i> ..			×			<i>Prionodon patentissimus</i> .			×		
„ <i>pugionifolia</i> ...	×					„ <i>pinnatus</i>			×		
<i>Breutelia bryocarpa</i>			×			„ <i>lycopodioides</i> ..			×		
„ <i>subdisticha</i>		×				„ <i>ptychomnioides</i>			×		
„ <i>secundifolia</i>		×				„ <i>ciliolatoserratus</i>			×	!	
„ <i>mniocarpa</i>			×			„ <i>pendulus</i>			×		
„ <i>Hasskarliana</i> ..			×			„ <i>cavifolius</i>			×		
„ <i>inclinata</i>		×				<i>Lepyrodon tomentosus</i> ..				×	
„ <i>tomentosa</i>		×			×	<i>Orthostichidium excavatum</i>	×	×			
<i>Catharinaea elamellosa</i> ...		×				„ <i>pentagonum</i> ...	×				
„ <i>polycarpa</i> ...		×				<i>Pterobryum densum</i>	×	×		×	×
<i>Polytrichadelphus boliv.</i> .		×				<i>Pterobryopsis stolonacea</i> .				×	×
„ <i>rubiginosus</i> ..		×				<i>Pirea Pohlii</i>	×				
<i>Pogonatum distantifolium</i>		×				<i>Orthostichopsis crinita</i> ..	×				
„ <i>arcuatum</i> ...		×				„ <i>dimorpha</i>	×				
„ <i>abbreviatum</i> .	×					<i>Squamidium nigricans</i> ...	×	×			
„ <i>laxirete</i>	×					„ <i>perinflatum</i> ...		×			
„ <i>subbifarium</i> ..	×					„ <i>filiferum</i>	×	×			
<i>Polytrichum Antillarum</i> .		×	×			„ <i>diversifolium</i> ...	×	×			
„ <i>juniperinum</i> .		×	×			„ <i>leucotrichum</i> ...		×	×		
<i>Erpodium Lorentzianum</i> .				×		„ <i>Lorentzii</i>					×
„ <i>Balansae</i>				×		„ <i>turgidulum</i>				×	×
<i>Rhacocarpus Humboldtii</i> .			×		×	„ <i>macrocarpum</i> ..	×	×			
„ <i>chlorotus</i> ...		×				<i>Pilotrichella versicolor</i> ..		×			
<i>Acrocryphaea julacea</i>	×			×		„ <i>cyathipoma</i> .	×			×	×
„ <i>Gardneri</i> ..	×	×				„ <i>viridis</i>	×				
<i>Cryphaea patens</i>		×				„ <i>angustifolia</i> .		×			
„ <i>ramosa</i>		×	×			„ <i>flexilis</i>		×	×		
„ <i>microspora</i>			×			<i>Papillaria appressa</i>		×			
„ <i>Jamesonii</i>		×	×			„ <i>nigrescens</i>	×	×		×	
„ <i>pilifera</i>		×				„ <i>Deppei</i>					×
„ <i>gracillima</i>		×	!			„ <i>squamatulata</i> ...		×	×		×
„ <i>macrospora</i>		×				„ <i>tenella</i>		×			
„ <i>hygrophila</i>			×			„ <i>imponderosa</i> ..	×	×			
„ <i>latifolia</i>		×				<i>Meteorium illecebrum</i> ...	(X)	×	×		
„ <i>boliviana</i>			×			<i>Floribundaria tenuissima</i>		×	×		
„ <i>brachycarpa</i> ...		×	?			„ <i>flaccida</i> ...	×				
„ <i>tenuicaulis</i>			×			<i>Lindigia aciculata</i>		×			
<i>Forsstroemia coronata</i> ...				×		„ <i>debilis</i>		×			
<i>Leucodon squarrosus</i>	×					<i>Meteoriopsis remotifolia</i> ..		×			
<i>Pseudocryphaea flagellifera</i>	×					„ <i>onusta</i>					×
<i>Prionodon densus</i>	×			×	×	„ <i>patens</i>	×	×			
„ <i>contortus</i>		×		×		„ <i>minuta</i>	×				
„ <i>fuscolutescens</i> .		×	×			„ <i>straminea</i> ..	×				
„ <i>undulatus</i>			×			„ <i>subrecurvifolia</i>	×				
„ <i>bolivianus</i>		×				„ <i>recurvifolia</i> ..	×				
„ <i>divaricatus</i>		×				„ <i>patula</i>	×				
„ <i>laeviusculus</i> ..	×					<i>Phyllogonium fulgens</i>	×	×	!		
„ <i>flagellaris</i>		×				„ <i>viscosum</i> ..	×	×			
„ <i>filifolius</i>		×				<i>Neckeropsis undulata</i> ...	×	×		×	
„ <i>luteovirens</i> ...		×				„ <i>disticha</i>	×				
						<i>Calypothecium duplicat.</i> .		×		×	

	Trop.			subtrop.			Trop.			subtrop.	
	I	II	III	I	II		I	II	III	I	II
Neckera Lindigii		×			×	Fabronia andina		(×)			
„ trabeculata		×				Anacamptodon cubensis..	×				×
„ Jamesonii		×	×			Helicodontium tenuirostre	×				
„ Marchalii		×		×		„ capillare ..	×				
„ eucarpa			×			Daltonia longifolia		×			
Porotrichum longirostre .		×				„ tenuifolia		×	×		
„ Lorentzii				×	×	„ gracilis		×			
„ amboraicum ...				×		„ pulvinata		×			
„ pinnatelloides .		×				„ subirrorata		×			
„ macropoma ...		×				„ latolimbata		×			
„ bolivianum	×					„ irrorata		×			
„ strictum		×				„ minutifolia				×	
„ microthecium ..	×					„ Hampeana				×	
Porothamnium gymnopod.		×	!			Adelothecium bogotense .		×			
„ ramosissimum ..		×	!			Leskeodon andicola.....		×			
„ subramosissimum		×				Eriopus papillatus		×			
„ neckeraeforme .		×				Hookeria acutifolia		×			
„ explanatum		×				Cyclodictyon limbatum ..		×			
„ subexplanatum .		×				„ albicans	×	×			
„ comosum			×			„ humile	×				
„ fasciculatum ..	×	×				„ aeruginosum ..	×				
„ thyrsoides		×	?			„ angustirete				×	
Porotrichodendron superb.		×	×			„ Stephanii.....		×			
„ robustum.....		×	!			„ obscurum		×			
„ gracile			×			„ roridum		×			
Porotrichopsis flacca.....		×				„ breve		×			
Pinnatella ochracea.....	×					„ tocoraniense ...		×			
Entodon Nano Climacium		×				„ pulchellum		×			
„ flavissimus		×	×			„ plicatulum	×	×			
„ gracilisetus.....		×				Callicostella rivularis ...	×				
„ micans				×		„ pallida	×				
„ flexipes		×				„ scabriuscula ...	×				
„ microcarpus ...		×				„ microcarpa	×				
„ erythropus		×				„ strumulosa	×				
„ Jamesonii		×	×			„ scabripes	×	?			
„ Hampeanus ...		×				„ integrifolia	×	?			
„ suberythropus .				×		Hookeriopsis variabilis ..	×	×			
Erythrodontium squarros.	×	×		×		„ purpureophylla .		×			
„ longisetum	×					„ crispa	×	×			
„ Germainii					×	„ pachydictyon ..					
„ brasiliense					×	„ falcata		×	×		
Campylodontium onustum	×					„ subsecunda		×			
„ bolivianum		?				„ lepidopiloides ..		×			
Stereophyllum leucosteg. .				×		„ Williamsii		×			
„ Lindmannii				×		„ longiseta	×				
„ brevipes	×					„ asprella		×			
„ pseudoradiculosum	×							1670			
„ subchlorophyllum	×					„ undatula	×				
„ flaccisetum	×					„ incurva	×				
Fabronia argentinica				×		„ papillidioides ..	×	?			
„ polycarpa	×				×	Stenodictyon saxicola....		×			
„ Podocarpi					×	Rhynchostegiopsis compl.		×			

	Trop.			subtrop.			Trop.			subtrop.	
	I	II	III	I	II		I	II	III	I	II
Hypnella pilifera		×				Rhizohypnum thelistegium	×	×			
„ Brotheri		×				„ breviusculum ..		×			
„ sigmatelloides ..	×					„ hookerioides ...		×			×
Crossomitrium Wallisii ..		×				„ oxystegium ...	×	×			
„ rotundifolium ..	×	×				„ elegantulum ...	×				
Lepidopilum Mülleri		×				„ versipoma	×				
„ nanothecium ..		×				„ decurrens		×			
„ Herzogii			×			„ heterostachys ..		×			
„ auriculatum ...		×				„ acrorrhizon		×			
„ malachiticum ..	×	×				„ reptans	×	×	×		
„ Balliviani		×				„ andicola	×	×			
„ brachyphyllum	×					„ viscidulum		×			×
„ Gertrudis		×				„ viridicaule		×			
„ intermedium ..		×				„ robustiusculum .		×			
„ angustifrons ...		×				„ Langsdorffii ...	×				
„ ovatifolium ...		×				„ plumosum		×			
„ pallidonitens ..	×	?				„ modestum	×				
„ curvirameum ..	×	?				„ capillirameum ..		×			
„ Buchtienii	×					Ectropothecium apiculat. .	×	×			
„ tenuissimum ..			×			„ campanulatum .		×			
Helicoblepharum venust. .			×			„ aeruginosum ..	×	×			
Hypopterygium Tamarisci	×	×		×	×	Stereodon spiripes					×
„ argentinicum ..				×	×	Breidleria amabilis					×
Rhacopilum tomentosum .	×	×		×		Isopterygium subglobosum		×			
„ Floridae		×				„ vagans		×			
„ intermedium ..		×				„ brachyneuron .	×				
Helicophyllum torquatum	×					„ tenerum	×				
Anomodon fragillimus ...				×		„ leucophyllum ..	×				
Leskea plumaria		×		×		„ stigmocarpum ..	×	?			
„ boliviana			×			„ cylindraceum ..	×	?			
Pseudoleskea andina			×			Plagiothecium microsphae-					
Leskeadelphus catenulatul.			×			rothecium		×	1		
Ravia firmula	×			×		„ fallax		×			
„ Bornii				×		„ bolivianum ...					×
Thuidium leptocladum ...		×				„ novogranatense					×
„ ochraceum			×			„ conostegium ...					×
„ Yungarum		×				„ mollicaule		×			
„ minutulum	×			×		„ submollicaule ..		×			
„ latopulvinatum					×	Taxithelium pseudoacumi-					
„ pusillum	×					natulum	×				
„ scabrosulum ...	×					„ subandinum ...	×				
„ involvens	×					„ planum	×				
„ schistocalyx ..	×					Vesicularia vesicularis ...	×				
„ brasiliense		×				„ amphibola	×				
„ delicatulum ...	×					Catagonium politum ...		×		×	
„ peruvianum ...		×	×			Pterogonidium pulchellum	×				
Sciaromium crassinervat. .			(×)			Potamium longisetum	×				
Campyllum hispidulum ..		(×)				Meiothecium commutatum	×				
Ctenidium malacodes		×				„ tenerum	×				
„ plumulosum ...			×			Trichosteleum fluviale ...	×				
Rhizohypnum stigmopyxis		×				„ arrectum	×				
„ pelichucense			×			„ ambiguum	×				

	Trop.			subtrop.			Trop.			subtrop.	
	I	II	III	I	II		I	II	III	I	II
Rhaphidostegium decumbens		×				Pleuropus Bonplandii ...		×			
„ Lindigii		×	×			Brachytec. stereopoma ..	×	×	×		
„ prominulum ...	×	×				„ sulphureum		×			
„ orthocarpum			×			„ longisetum		×			
„ eurycystis		×		×		„ grandirete		×			
„ tenerifolium ...				×		„ rutabulum				×	
„ cuspidiferum ...		×	×			„ scaberrimum ...				(×)	
„ caespitosum ...	×	×				„ bolivioplumosum .		×	×		
„ Kegelianum ...		×				„ calliergonoides ...		×!			
„ loxense	×	×				„ conostomum		?			
„ galipense	×	×				„ tenuipinnatum ...		×			
„ densirete		×				„ cochlear		?			
„ andinum		×				„ pseudorutabulum .			×		
„ cucullatifolium ..	×					Oxyrrhynchium clinocarp.		×			
„ tenuicarpum ...	×					„ rugisetum		×			
„ circinale	×					„ aquaticum ...		×	×		
„ chrysostegum ..		×				„ scabripes		?			
„ obliquerostratum	×					Eurhynchium oedogonium		×	×		
„ subsimplex	×					Rigodium leptodendron ..		×	×		
„ subcylindraceum	×	?				Flabellidium spinosum ...					×
„ Levieri		×				Rhynchostegiella semitorta		×			
„ chlorocormum ..		×	?			Rhynchosteg. conchophyll.		×	×		
„ turgidulum		×				„ planifolium ...	×	×			
„ undulatum		×				„ scariosum		×			
Sematophyllum ulicinam .		×				„ Tocarema					×
„ pungens ..	×					„ lamasicum ...	×				
Schröterella zygodonta ...		×				„ callistomum ...	×				
Aptychella prolifera		×				„ alboviride	×				
„ caudata		×	×			„ hirtipes		×			
Acanthocladium subnitid. .				×		„ minutum		?			
Rhegmatodon schlotheimi-						664	201	368	145		90
oides			×								46
											eigene

Wir haben uns zunächst nur mit den Moosen des subandinischen Abschnittes zu beschäftigen. Nach obiger Tabelle entfallen auf dieses Waldgebiet 618 Arten = 57 % aller aus Bolivien bekannten Arten.

Es wird sich nun darum handeln, zu ermitteln, wie weit das subandine Element an der Zusammensetzung dieser Flora beteiligt ist und wie weit andere Florenelemente diesem Grundstock beigemischt sind. Eine sorgfältige Analysierung ergibt folgende subandine Gattungen:

1. in der subandinischen Provinz weiter verbreitet:

- Streptopogon (2 Arten in Afrika)
- Brachymitrium (subgen. von Tayloria)
- Acidodontium
- Prionodon (einige Arten in Brasilien und Afrika)
- Stenodictyon
- Rhynchostegiopsis
- Helicoblepharum

mit zusammen 35 Arten.

2. *endemisch in Bolivien.*

Streptotrichum (1)

Porotrichopsis (1)

Schröterella (1)

mit zusammen 3 Arten.

Dazu kommen noch 465 Arten aus neotropischen oder circumaequatorialen Gattungen, die bis jetzt entweder nur aus den subandinen Waldgebieten Boliviens oder, wenn auch außerhalb Boliviens, doch nur aus der subandinen Provinz bekannt sind. Zusammen also 503 Arten = 81,3 % der Flora des subandinen Waldgebietes. Der Rest (= 18,7 %) ist nicht subandin, sondern setzt sich zum größten Teil zusammen aus neotropischen Arten, also solchen, die in Mittel- und Südamerika weiter verbreitet sind. Zwei Gattungen — *Leptotheca* und *Eurhizogonium* (subgen. von *Rhizogonium*) — repräsentieren das austral-antarktische Element.

Auf Einzelheiten ist bei Besprechung der verschiedenen Höhenstufen noch einzugehen.

a) Die untere („Yungas“-) Stufe.

Der tropische Hochwald der Yungas ist durch 201 Arten = 32,5 % der bolivisch-subandinen Moosflora verhältnismäßig sehr artenreich vertreten. Bei der geringen physiognomischen Rolle, die hier die Moose spielen, ist die hohe Artenzahl sehr überraschend. Wie aber einerseits die Moose hier im Vegetationsbild wenig hervortreten, ist in dieser Stufe auch das subandine Element am wenigsten stark betont. Von subandinen Gattungen ist nur *Prionodon* mit 2 Arten vertreten. 58 Arten = 28,8 % sind neotropisch, also weiter in Süd- und Mittelamerika verbreitet. Der Rest gehört meist großen, in allen Florenreichen vertretenen Gattungen an und ist zum größten Teil, ca. 70 %, subandin — also nur in diesem Gebiet bis jetzt gefunden —, steht aber in den meisten Fällen neotropischen Arten Brasiliens nahe.

Bemerkenswert sind hier noch die Gattungen *Anomodon* und *Leucodon*, die wir als boreal bezeichnen dürfen, die aber je mit einer Art im Yungasgürtel repräsentiert sind.

Die stärkst vertretenen Familien und Gattungen dieses Gürtels sind *Dicranelleae*, *Leucobryaceae*, *Calymperaceae*, *Schlotheimia*, *Pterobryaceae*, *Meteoriaceae*, *Hookeriaceae*, *Thuidium*, *Isopterygium*, *Rhaphidostegium* und *Trichosteleum*, woraus deutlich das Überwiegen der pleurokarpen Formen hervorgeht.

b) Die mittlere Stufe.

Sie bedeckt den weitaus größten Flächenraum innerhalb des subandinen Waldgebietes und ist die artenreichste der 3 unterschiedenen Bergwaldgürtel. Sie enthält 368 Arten = 59,5 % der bolivisch-subandinen Species.

Davon gehören 36 zu den subandinen Gattungen *Streptopogon*, *Brachymitrium*, *Acidodontium*, *Prionodon*, *Stenodictyon*, *Rhynchostegiopsis*, *Helicoblepharum*, *Porotrichopsis* und *Schröterella*; das sind 10 %. Dazu kommen noch 266 subandine Arten aus meist neotropischen Gattungen, so daß das subandine Element hier 82 % der gesamten Flora ausmacht. Der Rest ist neotropisch mit Ausnahme zweier Arten: *Leptotheca boliviana* und *Rhizogonium bolivianum*, welche endemische Vertreter des austral-antarktischen Elementes darstellen.

Die wichtigsten Familien und Gattungen dieser Stufe sind *Campylopus*, *Streptopogon*, *Zygodon*, *Macromitrium*, *Acidodontium*, *Bryum* (*Rosulata*), *Rhodobryum*, *Leiomela*, *Cryphaeaceae*, *Prionodontaceae*, *Meteoriaceae*, *Thamnieae*, *Hookeriaceae*, *Rhizohypnum*, *Rhaphidostegium*. Auch hier überwiegen noch die Pleurokarpen über die Akrokarpen.

Besonders bemerkenswert ist die reiche Gliederung der Gattungen *Rhizohypnum* und *Prionodon*, welche zwar nicht rein südamerikanisch sind, aber mit ihren zahlreichen Arten der Andenflora einen sehr bedeutsamen Zug verleihen und physiognomisch in den Vordergrund treten.

c) Die obere Stufe.

Sie bildet einen schmalen Saum längs der Waldgrenze und schließt sich floristisch eng an die mittlere Stufe an, obwohl die Mehrzahl ihrer Arten von denen der tiefer gelegenen Bergwälder verschieden ist. Der Unterschied zwischen beiden wird wohl wesentlich auf den Einfluß des Lichtes zurückzuführen sein, welches um die Waldgrenze einmal qualitativ wirksamer ist und dann auch quantitativ in den niederen Gesträuchformationen ausgiebiger als im Hochwald zur Geltung gelangt.

Die obere Stufe oder „Ceja“, wie sie in Peru heißt, enthält nach unserer Tabelle 145 Arten = 23,4% der subandinen Flora. In Wirklichkeit dürfte sich aber nicht nur die absolute, sondern auch die relative Zahl sehr viel höher stellen. Unter diesen 145 Arten befinden sich 9 Arten aus echt subandinen Gattungen: *Streptopogon*, *Brachymitrium*, *Acidodontium*, *Prionodon*, *Streptotrichum* (endemisch), ferner 116 Arten ausschließlich subandiner Verbreitung, zusammen 125 subandine Arten = 86,2% der Moosflora dieser Stufe; sie ist also die an subandinen Elementen reichste Abteilung des Bergwaldes.

Der Rest von 14% oder 20 Arten enthält noch 1 boreale und 5 Arten austral-antarktischer Verwandtschaft, nämlich *Fissidens rigidulus*, 1 *Eustichia*, 1 *Rhacocarpus*, 1 *Lepyrodon* und 1 *Catagonium*. Die Akrokarpen überwiegen hier zum erstenmal über die Pleurokarpen, erreichen aber noch nicht die Höhe der normalen Verhältniszahl von etwa $\frac{3}{5}$ zu $\frac{2}{5}$.

Die Dichtigkeit des Mooswuchses erreicht in dieser Stufe ihr Maximum. Zu den erwähnten Laubmoosen kommt eine vielleicht noch bedeutendere Zahl von Lebermoosen, doch bin ich nicht in der Lage, auf die geographische Verbreitung dieser Moosgruppe einzutreten.¹⁾

2. Die subtropischen Randwälder.

Innerhalb Boliviens sind diese Gebiete noch sehr mangelhaft bekannt. Außer den wenigen, von mir auf der Durchreise gesammelten Daten liegt kein bryologisches Material aus den bolivischen Randwäldern vor. Die kleine Stichprobe läßt aber eine weitgehende Übereinstimmung mit den von Lorentz durchforschten Bergwäldern der argentinischen Provinzen Tucuman und Salta erkennen. Die Zahl der in bolivischem Gebiet gefundenen Arten ist naturgemäß viel geringer als die der argentinischen Kordillerenwälder, welche von Lorentz in langjähriger Sammeltätigkeit nachgewiesen wurden.

Durch die Identität zahlreicher Arten in den beiden Gebieten wird die Gleichartigkeit ihrer Floren schlagend nachgewiesen. Von den 89 Arten des bolivianischen Teiles sind 33 = 37% auch aus den argentinischen Bergwäldern bekannt. Der Rest gehört subandinen und brasilianischen Typen an. Diese noch relativ große Zahl tropischer Elemente wird aber dadurch erklärt, daß der Ort (Tres Cruces in der Kordillere von Santa Cruz), dem meine Stichproben entstammen, der Grenze des subandinen Gebietes sehr nahe liegt, eigentlich sogar dem Übergangsbereich angehört. Die Übereinstimmung mit den argentinischen Kordillerenwäldern würde sich in den Randketten von Charagua und Aguaragué viel ausgesprochener zeigen; doch sind diese bryologisch noch unbekannt.

Einige Arten sind dadurch bemerkenswert, daß sie als letzte Vorposten großer tropischer Sippen gelten können und so die floristische Ausstrahlung des subandinen Gebietes erkennen lassen. Hierher gehört *Prionodon densus*, die einzige Art der großen vorwiegend subandinen Gattung, *Pilotrichella cyathipoma*, ebenfalls die einzige Art der Gattung in diesem Gebiet, *Squamidium Lorentzii* und *Sq. turgidulum*, vikariierende Arten für die subandinen *Sq. leucotrichum* und *Sq. macrocarpum*, *Pterobryum densum*, das von C. Müller im argentinischen Gebiet als eigene Art *Pt. Lorentzii* aufgefaßt wurde, *Hypopterygium argentinicum*, das wohl nur eine lokale Rasse des weitverbreiteten *H. Tamarisci* ist, und andere.

Eine Gattung ist den bolivianischen Randwäldern allein eigentümlich, nämlich das von mir bei Tres Cruces entdeckte *Flabellidium*, welches verwandtschaftlich wohl am ehesten mit *Scorpiurium* und *Rigodium* zusammengebracht werden kann.

¹⁾ Herr Stephani teilte mir brieflich mit, daß die geographische Verbreitung der südamerikanischen Hepaticae noch zu wenig bekannt sei, als daß sie schon bestimmte floristische Elemente erkennen ließen. Es muß daher in diesem Abschnitt ganz von den Lebermoosen abgesehen werden.

Eine Gliederung des Gebietes kann zurzeit noch nicht vorgenommen werden, weil die Daten dafür zu spärlich sind. In der Tabelle (S. 283) wurde allerdings zwischen den Hochwäldern des Gebirgsfußes und den niederen Gehölzen der Kämme (bei Tres Cruces zwischen 1400 und 1700 m) unterschieden.

II. Das Trockengebiet.

(Andine Provinz.)

Während das Waldland die Kordillere als breiter Saum umgürtet, nehmen die Trockengebiete den Innenraum des Gebirges ein und bedecken den weitaus größten Teil des bolivianischen Berglandes. Das Gemeinsame, alle Teilabschnitte dieses Gebietes Verbindende ist die Trockenheit des Klimas und ihr entsprechend der allgemeine xerophytische Charakter seiner Vegetation. Je nach der Höhenlage aber ist sowohl Vegetation als Flora dieser nach der Entwicklungsgeschichte ihres Pflanzenelementes als andin bezeichneten Provinz so verschieden, daß auch hier wieder eine Gliederung in wenigstens 2 scharf getrennte Bezirke vorgenommen werden muß. Der eine begreift in sich die Mittelgebirgslagen mit xerothermer Vegetation, also hauptsächlich die interandinen Becken der großen Ströme: in unserem Gebiet das des Rio Grande, woran sich nach Vegetations- und Florencharakter die Talschaften des oberen Yapacani-, Cotacajes- und Rio de La Paz-Beckens anschließen lassen; dahin gehört auch das von Rusby, Mandon und Williams bereiste Tal von Sorata. Die obere Grenze dieses Gebietes dürfte bei etwa 2800 m zu ziehen sein. Der andere umfaßt die Hochgebirgslagen, also speziell die hohen Kämme der Cordillera Real und C. Oriental zwischen 3500 m und der Schneegrenze, die — örtlich verschieden — bei ca. 5400 m an den N.-Hängen anzusetzen sein dürfte. Der dazwischenliegende Gürtel von 2800—3500 m hat den Charakter eines Überganggebietes mit gleichfalls eigentümlicher Phänogamenflora, das wohl nach genauerer Durchforschung seiner Pflanzenwelt als besondere Stufe abgegliedert zu werden verdient, zu meinen Zwecken jedoch besser an das Mittelgebirge angeschlossen wird, da die Polylepis- und Escalloniagehölze dieser mittleren Stufe in ihrer Moosflora die meisten Anklänge an die untere (Mittelgebirgs-) Stufe zeigen. Ich rechne also das Mittelgebirge im folgenden bis ca. 3500 m, worüber dann das eigentliche Hochgebirge beginnt. Auf eine weitere Gliederung dieser obersten Stufe verzichte ich deswegen, weil die heutige Kenntnis ihrer Flora noch nicht ausreicht, die gewiß vorhandenen verschiedenen Fazies oder Höhenschichten ihrer Pflanzendecke genügend sicher auseinander zu halten. Ich begnüge mich also mit der Zweiteilung in Mittelgebirge und Hochgebirge, die in den nächsten Kapiteln durchgeführt werden soll.

Tabellarische Übersicht über die Arten der andinen Provinz.
(Trockengebiet).

	Mittel- Geb.	Hoch- Geb.		Mittel- Geb.	Hoch- Geb.
Andreaea arachnoidea		×	Campylopus Totarae	×	
„ Lorentziana		×	„ chrysodictyon		×
„ angustifolia		×	„ Benedicti		×
„ dissitifolia		×	„ Edithae		×
„ vilocensis		×	„ insignis	×	
„ tunariensis		×	Pilopogon gracilis	×	×
„ barbulooides		×	„ liliputanus	×	×
„ clavata		×	„ nanus		×
„ laticuspes		×	„ holomitrius	×	
„ erythrodictyon		×	„ Tiquipayae		×
„ robusta		×	Fissidens excurrentinervis		×
„ striata		×	„ Bockii		×
„ pseudosubulata		×	„ incisus		×
„ subenervis		×	„ terebrifolius		×
Pleurodictyon andinum		×	„ pauper	×	
Ditrichum submersum		×	„ rigidulus		×
Tristichium Lorentzii		×	Hymenostylium contextum		×
„ mirabile		×	Gyroweisia boliviana		×
Astomiopsis amblyocalyx		×	Molendoa boliviana		×
Distichium capillaceum		×	„ Herzogii		×
Ceratodon novogranatensis		×	Trichostomum challaense		×
Angstroemia julacea		×	„ apophysatulum	×	
Polymerodon andinus		×	„ ferrugineum	×	
Dicranella Jamesonii		×	„ edentulum		×
„ campylophylla		×	„ pomangium	×	
„ laxiretis		×	Leptodontium proliferum		×
„ submacrostoma		×	„ spongiosum		×
„ macrostoma		×	„ filescens		×
„ callosa		×	„ erythroneuron		×
Hygrodictyon bolivianum		×	„ acutifolium		×
Rhabdoweisia fugax		×	„ rufescens		×
Oreoweisia Lechleri		×	„ turgidum	×	
„ ligularis		×	„ rhacomitrioides	×	
„ bogotensis		×	„ Quennoae	×	
„ ampliata		×	„ ferrugineum		×
„ tunariensis		×	Rhexophyllum laciniatum	×	
Dicranoweisia flexipes		×	Husnotiella glossophylla	×	
„ fallax		×	Chrysoblastella revoluta	×	
Dicranum nigricans		×	„ boliviana		×
Campylopus jugorum		×	Globulina boliviana	×	×
„ subjugorum		×	Hyophila peruviana		×
„ latinervis		×	Didymodon subtrophaceus		×
„ albidovirens		×	„ decolorans	×	×
„ tunariensis		×	„ angustifolius		×
„ perexilis		×	„ merceyoides		×
„ harpophyllum		×	„ Jamesonii		×
„ cucullatifolius		×	„ rubiginosus		×
„ ingeniensis		×	„ pelichucensis		×
„ malagensis		×	„ contortus		×

	Mittel- Geb.	Hoch- Geb.		Mittel- Geb.	Hoch- Geb.
Erythrophyllopsis boliviana		×	Schistidium praemorsum		×
Barbula fusca		×	„ subpraemorsum		×
„ Pflanzii		×	„ Chocayae		×
„ flexifolia		×	„ malacophyllum		×
„ rectifolia		×	„ tunariense		×
„ apiculata		×	„ fontanum		×
„ glaucescens		×	Grimmia subovata		×
„ chocayensis	×		„ microovata		×
„ pachygastrella		×	„ navicularis		×
„ Punae		×	„ leucophaeola	×	?
„ perexilis		×	„ Herzogii		×
„ subglaucescens	×		„ speiophylla		×
„ austrorevoluta	×		„ nigella		×
Williamsiella tricolor		×	„ olivacea		×
Gertrudia validinervis	×		„ squamatula		×
Aloina calceolifolia	×		„ longirostris		×
Aloinella boliviana		×	„ fuscolutea		×
Streptopogon heterophyllus	×		„ flexicaulis		×
Tortula minima		×	„ quatricurris		×
„ percarinosa		×	„ subquatricurris		×
„ polyseta		×	„ pansa		×
„ leiostoma		×	„ trichophylloidea		×
„ ligulata	×		„ julacea		×
„ Mniadelphus		×	„ nanoglobosa		×
„ pichinchensis		×	„ bicolor		×
„ angustifolia		×	„ tristicha		×
„ fragilis	×		Rhacomitrium crispipilum		×
„ Goudotii	×		„ brachypus		×
„ andicola		×	„ dimorphum		×
„ runcinata		×	„ sublanuginosum		×
„ serripungens	×		„ austrosudeticum		×
„ linguifolia		×	Anoetangium compactum	(×)	
„ bipedicellata	×	×	„ Pflanzii		×
„ Buchtienii		×	„ Herzogii		×
„ ruralis		×	„ Lechlerianum		×
„ Polylepidis	×		Amphidium cyathicarpum		×
„ xerophila	×		„ brevifolium		×
„ brunnea		×	Zygodon peruvianus		×
„ viridula		×	„ pichinchensis		×
„ ciliata		×	„ Goudotii		×
Encalypta asperifolia		×	„ oeneus		×
„ coarctata		×	„ macrophyllum		×
„ leiotecha		×	„ subrecurvifolius	(×)	
Ptychomitrium chimborazense		×	Orthotrichum exsertisetum	×	
„ papillatum		×	„ undulatum	×	
„ Cochabambae	×		„ verrucosum	×	
Coscinodon trinervis		×	„ rupestre		×
„ bolivianus		×	„ psychophilum		×
Schistidium angustifolium		×	„ parvum		×
„ streptophyllum		×	„ apiculatum	×	
„ andinum		×	„ patulum	×	
„ apocarpum	×		„ pariatum	×	
„ calycinum		×	„ epilosum	×	

	Mittel- Geb.	Hoch- Geb.		Mittel- Geb.	Hoch- Geb.
Orthotrichum Tacacomense	×		Mielichhoferia macrodonta		×
Macromitrium filiforme	×		„ submacrodonta		×
Tayloria altorum		×	„ castanea		×
Physcomitrium turgidum		×	„ emergens	×	?
Entosthodon fontanus		×	Haplodontium humipetens		×
„ altisetus	×		„ sanguinolentum		×
„ Sipascoyae	×		„ Jamesonii	×	×
„ acidotus		×	„ dipodontum		×
„ subtilis		×	„ cuspidatum		×
„ Lindigii		×	„ crassinervium		×
„ papillosum		×	„ Herzogii	×	×
„ verrucosus	×		„ vilocense		×
„ cartilagineus		×	„ splendidum		×
„ apiculatus		×	„ subsplendidum		×
„ [glabripes		×	Wollnya stellata		×
Funaria Jamesonii		×	„ Wilsoni		×
„ boliviana	×		Webera clavicaulis	×	
„ linearidens		×	„ pluriseta		×
„ meeseacea		×	„ schisticola		×
„ calvescens	×		„ cruda		×
„ macrospora	×		Mniobryum bolivianum		×
„ hygrometrica		×	Anomobryum filiforme		×
„ incurvifolia	×		„ soquense	×	×
„ inflata	×	?	„ robustum		×
Mielichhoferia bryocarpa		×	„ obtusatissimum		×
„ macrospora		×	„ humillimum	×	
„ seriata		×	Bryum flexisetum		×
„ microdonta		×	„ pulchrirete		×
„ minutifolia		×	„ malacophyllum		×
„ micropoma		×	„ philonoteum		×
„ pusilla		×	„ challaense		×
„ modesta	×	×	„ argenteum		×
„ pohlioidea	×	×	„ subsericeum	×	×
„ gracilis		×	„ sericeum	×	
„ angustata		×	„ apophysatum		×
„ subclavitheca		×	„ nanophyllum	×	?
„ Herzogii		×	„ nigropurpureum	×	?
„ subcampylocarpa		×	„ concavum	×	?
„ subglobosa		×	„ rupicola	×	
„ secundifolia		×	„ laevigatum		×
„ andina		×	„ genucaule		(×)
„ campylothea		×	„ subgenucaule		(×)
„ Lindigii	×	?	„ spininervium	×	
„ lonchocarpa		×	Rhodobryum roseum	×	
„ sericea		×	Aulacomnium palustre		×
„ cygnicolla		×	Plagiopus Oederi		×
„ minutissima		×	Anacolia setifolia		×
„ aurifolia		×	Bartramia perpumila		×
„ boliviana		×	„ Brotheri		×
„ decurrens		×	„ Mathewsii		×
„ clavitheca		×	„ pruinata		×
„ longiseta		×	„ Weddellii		×
„ elegans		×	„ pilicuspes		×

	Mittel- Geb.	Hoch- Geb.		Mittel- Geb.	Hoch- Geb.
Bartramia fragilifolia	×	×	Meteorium illecebrum	(×)	
„ potosica		×	Meteoriopsis patens	(×)	
„ polytrichoides		×	Neckera Lindigii	(×)	
„ defolians		×	Lembophyllum bolivianum		×
„ ambigua	×	×	Pylaisia panduraefolia	×	
„ rosea		×	Erythrodonium macrocarpum	×	×
„ auricola		× ?	Fabronia andina	×	×
Conostomum aequinoctiale		×	„ seligeriacea		×
„ macrotheca		×	Schwetschkea boliviana	×	×
„ cleistocarpum		×	„ minuta		×
Philonotis scabrifolia		×	Daltonia Jamesonii var.		×
„ pellucidiretis		×	Lepidopilidium synoicum		
„ gracilentia		×	Lepidopilum filosum	(×)	
„ guyabayana		×	Lindbergia mexicana	(×)	×
„ asperrima		×	Leskea julicaulis	×	
Breutelia anacolioides		×	Leptopterigynandrum austroalpinum ..	×	×
„ breviseta		×	Hygroamblystegium curvicaule	×	×
„ Gertrudis		×	„ filicinum		×
„ undulata		×	„ Punae		×
„ Lorentzii		×	Sciaromium crassinervatum		×
„ minuta		×	„ holoneuron		×
„ integrifolia		×	Cratoneuron submersum		×
„ patens		×	Drepanocladus exannulatus		×
„ boliviensis		×	„ Sendtneri?		×
„ straminea		×	„ intermedius		×
„ nigrescens		×	„ Barbeyi		×
Catharina nigricans	×		Scorpidium scorpioides		×
Psilopilum gymnostomulum		×	Calliergon Luipichense		×
„ antarcticum		×	„ stramineum		×
„ aequinoctiale		×	Hygrohypnum aureum		×
„ trichodon		×	„ validum		×
Polytrichadelphus grossidens		×	Campyllum hispidulum	×	
„ aristatus		×	„ polygamum var.		×
„ cuspidirostris		×	Hypnum latifolium		×
Pogonatum polycarpum		×	„ cupressiforme		×
„ cylindrotheca	×	×	Catagonium politum		×
Polytrichum intermedium		×	Rhytidium rugosum		×
„ tenellum		×	Rhaphidostegium brachyacrum	×	
„ juniperinum	×	×	Brachythecium cavifolium		×
Hedwigidium imberbe	×	×	„ lescuraeoides		×
Braunia cirrbifolia	×	×	„ fissidentoides	×	
„ argentinica	×		„ Chocayae	×	
„ subplicata	×	×	„ subjulaceum	×	×
„ plicata	×	×	„ scaberrimum	×	×
„ secunda	×		„ flaccum	×	
„ laxifolia	×		Cirriphyllum andinum		×
„ divaricata	×		„ laevifolium		×
Rhacocarpus Humboldtii		×	Oxyrrhynchium aquaticum		(×)
„ australis		×	Bryhnia Pflanzii		×
„ excisus		×	Rhynchostegiella toncolensis		(×)
„ squamosus		×	Mandoniella spicatinervia	×	
Fontinalis turfacea		×			
Lepyrodon tomentosus		×			

Zu dieser Tabelle sind einige Bemerkungen nötig. Die Bryophyten des Trockengebietes sind selbst nicht alle Xerophyten, sondern gehören zu einem großen Teil, besonders im Hochgebirge, mesophytischen Verbänden, teilweise sogar hygrophytischen Assoziationen an. Wir treffen eben die Moose innerhalb der xerophytischen Phanerogamenvegetation vorzugsweise an schattigen, länger feucht bleibenden Orten, besonders in dauernd berieselten Schluchten (Quebradas), und nur eine relativ kleine Zahl ist xerophytisch angepaßt an die extreme Trockenheit des Klimas und die geringe Luftfeuchtigkeit der Dornbusch- und Steppenformationen. Zu diesen gehören aber gerade die eigenartigsten Typen, wie *Leucocampylopus*, *Rhexophyllum*, *Globulina*, *Husnotiella*, *Chrysoblastella*, *Aloina* und *Gertrudia*. Trotzdem mußten sie alle in diesem Abschnitt untergebracht werden; denn das Trockengebiet mit Einschluß seiner Mesophyten- und Hygrophytenverbände ist eine floristische Einheit, da der Grundstock seiner Flora das andine Element ist und es dadurch im schärfsten Gegensatz zum Waldgebiet mit seinen subandinischen und neotropischen Florenbestandteilen steht.

1. Das Mittelgebirge.

Der Trockenheit des Klimas entsprechend ist hier die Moosflora sehr schwach entwickelt. In der Physiognomik der Formationen kommt ihr keine Bedeutung zu, wenn schon dem aufmerksamen Beobachter in den Gehölzen der Quebradas die *Orthotrichaceen* an den Baumästen und die breiten Teppiche der *Braunia*-Arten über den Felsblöcken nicht entgehen können. Aber im Vergleich mit dem Waldgebiet und selbst mit dem Hochgebirge, bleiben die während mehr als eines halben Jahres sengender Hitze und Trockenheit ausgesetzten Bergländer der Binnenketten in ihrer Moosvegetation weit zurück. Trotz der relativ geringen Zahl (100) ihrer Arten besitzen sie aber doch einen hohen Prozentsatz sehr eigentümlicher Typen, die z. T. endemischen Gattungen angehören, so *Rhexophyllum*, *Gertrudia*, *Chrysoblastella*, *Leucocampylopus*, *Leptopterigynandrum* und *Mandoniella*, z. T. in merkwürdigem verwandtschaftlichem Verhältnis zu Arten des mexikanischen Hochlandes stehen, so *Globulina*, *Husnotiella* und einige *Braunia*-Arten. Die auffallenden Beziehungen Bolivias zu Mexiko, die auch in andern Formationen zu erkennen sind, treten besonders stark in den xerophytischen Verbänden hervor. Auf die Hypothesen zur Erklärung dieser sehr merkwürdigen Tatsache soll hier nicht eingegangen werden.

Aus der beigegebenen Tabelle (Seite 293) sieht man, wie ganze große Familien, so die *Andreaeaceen*, *Dicranaceen* und *Grimmiaceen* in den warmen Mittelgebirgslagen fehlen oder nur durch einzelne Arten vertreten sind. Bemerkenswert ist daneben die reiche Gliederung der *Trichostomaceen* und *Pottiaceen*, ferner das Hervortreten der Gattungen *Orthotrichum* und *Braunia*. Als fremdartige Ausstrahlungen stammen aus dem subandinischen Bezirk Arten der Gattungen *Meteorium*, *Meteoriopsis*, *Neckera*, *Lepidopilidium* und *Lepidopilum*, aus dem Hochgebirge der Gattungen *Ptychomitrium*, *Anoetangium*, *Mielichhoferia* und *Haplodontium*.

Bei der Schilderung der Formationen wird auf manche der Arten dieses Gebietes nochmals zurückzukommen sein.

2. Das Hochgebirge.

Mit 337 Arten (= 81% der andinen Flora Boliviens¹⁾) stellt sich die bolivianische Hochkordillere als ein überaus reiches Florengebiet dar. Es übertrifft hierin die Alpen, welche über der Baumgrenze 353 Arten besitzen, zweifellos ganz wesentlich. Denn es ist in Betracht zu ziehen, daß einmal die Alpen sehr sorgfältig und in allen Teilen durchforscht sind, und dann, daß das Alpengebirge alpine und hochalpine Gebiete in viel größerem Umfang als die bolivianische Cordillere einschließt. So findet sich also in der Hochkordillere der Reichtum ihrer Moosflora auf engem Raum zusammengedrängt, wodurch der Eindruck der Mannigfaltigkeit noch ganz wesentlich gesteigert wird. Der Endemismus des bolivianischen Hochgebirges ist nicht nur in zahlreichen Arten ausgedrückt, sondern spiegelt sich auch in mehreren ganz eigentümlichen Gattungen. Da ich die Berechtigung einer Grenzpfahlfloristik nicht anerkenne, so rechne ich zu diesen Hochgebirgsendemismen auch solche Gattungen, die in der benachbarten argentinischen und peruanischen Hochkordillere vertreten sind. Denn die floristische Einheit dieses ganzen Gebietes kann keinem Zweifel unterliegen. Endemische Gattungen des Gebietes sind also *Tristichium*, *Astomiopsis*,

¹⁾ Das sind wohl kaum zwei Drittel aller hier vorkommenden Laubmoose.

Illecebraria (subgen. von *Angstroemia*), *Polymerodon*, *Simplicidens*, *Chrysoblastella*, *Williamsiella*, *Erythrophyloopsis*, *Aligrimmia*, *Plagiocleidion* (subgen. von *Entosthodon*), *Wollnya*, *Pseudodimerodontium* (subgen. von *Schwetschkea*) und *Leptopterigynandrum*. Dazu kommt noch *Julocladium* (subgen. von *Physcomitrium*) mit einem Fundort in den Hochanden von Ecuador, *Globulina* und *Aloinella* mit je einer vikariierenden Art in Mexiko.

Neben dem andinen Element, das naturgemäß weit vorherrscht, machen sich noch 2 Fremdelemente, deren Heimat in der gemäßigt-kühlen und kalten Zone beider Halbkugeln liegt, bemerkbar, nämlich das austral-antarktische und das boreale Element. Dieser Fremdeinschlag bekundet sich z. T. in identischen Arten, z. T. in eigenen Arten austral-antarktischer oder borealer Sippen.

Mit dem austral-antarktischen Gebiet gemeinsam besitzt das bolivianische Hochgebirge folgende Arten:

<i>Andreaea pseudosubulata</i>	<i>Bryum laevigatum</i>
<i>Andreaea subenervis</i>	<i>Philonotis scabrifolia</i>
(einer antarktischen Gruppe der Gattung nächst verwandt)	<i>Psilopilum antarcticum</i>
<i>Fissidens rigidulus</i>	<i>Catagonium politum</i>
<i>Tortula runcinata</i>	

und folgende Gattungen:

<i>Hygrodicranum</i>	<i>Rhacocarpus</i>
<i>Catenularia</i> (<i>Philonotis</i>)	<i>Lepyrodon</i>
<i>Anacoliopsis</i> (<i>Breutelia</i>)	<i>Lembophyllum</i>
<i>Psilopilum</i>	<i>Sciaromium</i>
<i>Polytrichadelphus</i>	<i>Catagonium</i>

Mit dem borealen Florengebiet gemeinsam besitzt das bolivianische Hochgebirge folgende Arten:

<i>Sphagnum medium</i>	<i>Aulacomnium palustre</i>
<i>Distichium capillaceum</i>	<i>Plagiopus Oederi</i>
<i>Dicranella heteromalla</i>	<i>Hygroamblystegium curvicaule</i>
<i>Rhabdoweisia fugax</i>	„ <i>filicinum</i>
<i>Grimmia subovata</i>	<i>Drepanocladus exannulatus</i>
(der <i>G. ovata</i> nächst verwandt und für sie vikariierend)	„ <i>intermedius</i>
<i>Rhacomitrium austrosudeticum</i>	<i>Scorpidium scorpioides</i>
(mit <i>Rh. sudeticum</i> nächst verwandt und dafür vikariierend)	<i>Calliergon stramineum</i>
<i>Anoetangium compactum</i>	<i>Campylium polygamum</i>
<i>Orthotrichum rupestre</i>	<i>Rhytidium rugosum</i>
<i>Webera cruda</i>	<i>Brachythecium rutabulum</i>
<i>Anomobryum filiforme</i>	

und folgende Gattungen:

<i>Rhabdoweisia</i>	<i>Fontinalis</i>
<i>Oreoweisia</i>	<i>Hygroamblystegium</i>
<i>Eudicranum</i>	<i>Cratoneuron</i>
<i>Gyroweisia</i>	<i>Drepanocladus</i>
<i>Hymenostylium</i>	<i>Scorpidium</i>
<i>Molendoa</i>	<i>Calliergon</i>
<i>Coscinodon</i>	<i>Hygrohypnum</i>
(<i>Grimmia</i>)	<i>Campylium</i> Sect. I u. II
<i>Anoetangium</i>	<i>Rhytidium</i>
<i>Ptychostomum</i> (<i>Bryum</i>)	<i>Brachythecium</i>
<i>Aulacomnium</i>	<i>Cirriphyllum</i>
	<i>Bryhnia</i> .

Der boreale Einschlag erscheint hier mit 63 Arten wesentlich stärker als der antarktische mit 29 Arten. Doch geben die absoluten Zahlen nicht den richtigen Begriff von der Wichtigkeit der einzelnen Arten in einer Flora. Denn in allen Formationen muß zwischen den tonangebenden „Grundformen“ und den mehr zufälligen Beimischungen unterschieden werden. Das antarktische Element liefert nun besonders charakteristische und durch Häufigkeit ausgezeichnete Florenbestandteile, wie die Gattungen *Polytrichadelphus*, *Rhacocarpus* und *Lepyrodon*. So könnte man den unteren Saum des Hochgebirges als den *Polytrichadelphus*-Gürtel bezeichnen. In ähnlichen Höhenlagen, aber auf felsigem Substrat, dominiert *Rhacocarpus* in mächtigen Rasen, und *Lepyrodon tomentosus* var. *tunariensis* bildet das Leitmotiv der Moosflora der höchsten Schiefergebirgskämme. *Fissidens rigidulus* ist in allen kalten Bächen des Hochgebirges daheim und *Andreaea subnervis*, einer neuseeländischen Gruppe der Gattung verwandt, ist das Charaktermoos längs der Schmelzwasser der höchsten Berge.

In diesem hohen Grad tritt unter den borealen Elementen nur die Gattung *Molendoa* und *Grimmia* hervor, wobei anzumerken ist, daß man die Gattung *Grimmia* nicht einmal mit Sicherheit als boreal bezeichnen kann, da ihre Arten über die ganze Erde verbreitet sind und wohl ein uraltes Geschlecht darstellen, das floristisch nur schwer zu deuten und zu werten ist. Die *Amblystegieen* sind fast alle accessorische Erscheinungen in den auf glazialen Boden auftretenden Vermoorungen. Sie sind sicher rezent, eiszeitlich oder nacheiszeitlich eingewandert, da sie ausnahmslos an Stellen vorkommen, die nachweisbar vor nicht zu langer Zeit mit Gletschern bedeckt gewesen waren. Auch die antarktischen Arten dürften größtenteils jüngere Florenelemente darstellen und zu gleicher Zeit mit den erwähnten borealen Arten eingewandert sein, nämlich zur Zeit der maximalen Vergletscherung der Kordillere, als eine klimatische Verbindung zwischen dem antarktischen Kordillerenabschnitt und der tropischen Kordillere bestand, d. h. zu einer Zeit, als die breite Lücke der Hochgebirgswüste von Atacama noch nicht klaffte. Damals waren alle heute trocken liegenden, wüstenartigen Täler dauernd von den Schmelzwässern der Gletscher durchflossen und trugen eine üppig grünende Pflanzendecke, so daß der Wanderung feuchtigkeitliebender und misothermer Elemente von Süden nach Norden und umgekehrt, wenigstens in der östlichen Kordillere, keine Hindernisse im Weg standen. Von Phanerogamen, deren disjunkte Verbreitung im antarktischen und tropischen Abschnitt der Kordillere auf andre Weise unerklärlich wäre, nenne ich nur die Gattung *Gunnera*. Doch möchte ich mich hier nicht näher über die Verbreitungsverhältnisse der Gefäßpflanzen auslassen, da diese Abhandlung ja nur den Moosen gewidmet ist und an andrem Ort auf die Phanerogamenflora des Gebietes ausführlich einzugehen sein wird.

Ganz seltsam mutet eine *Daltonia* auf 4000 m Höhe an; sie ist die einzige Vertreterin der großen, vorzugsweise tropischen Familie der *Hookeriaceen*.

Von größter Bedeutung für die Zusammensetzung der Hochgebirgsflora sind dann einige weiter verbreitete Gattungen, die aber gerade in der Hochkordillere eine selten reiche Entfaltung gefunden haben. Hierher gehört an erster Stelle *Mielichhoferia*, die mit 33 Arten im bolivianischen Hochgebirge vertreten ist, daneben die verwandte Gattung *Haplodontium* mit 10 Arten. Allein an diesem so sehr charakteristischen starken Einschlag der *Mielichhoferieen* könnte jeder Bryogeograph eine Sammlung aus der Hochkordillere erkennen.

Sehr formenreich sind ferner die Gattungen *Andreaea* mit 14 Arten, *Leptodontium* mit 7 Arten, *Tortula* mit 16 Arten, *Schistidium* mit 10 Arten, *Grimmia* mit 19 Arten und die Familie der *Bartramiaceae* mit 34 Arten, darunter besonders einige *Vaginella*- und *Breutelia*-Arten als Charaktermoose bestimmter Subformationen.

Das Verhältnis der Akrokarpen zu den Pleurokarpen ist 291 : 46 oder 6 : 1. Der Unterschied gegenüber den übrigen Florengebieten könnte kaum schärfer ausgeprägt sein. Im trockenen Mittelgebirge ist dasselbe Verhältnis 77 : 23 oder 3,3 : 1.

Auf besonders charakteristische Assoziationen und auf die zahlreichen speziellen „Anpassungen“ der Hochgebirgsmoose wird in dem Abschnitt über die Moosformationen hinzuweisen sein.

IV. Das austral-antarktische Element.

Hygrodicranum	Rhacocarpus
Eurhizogonium (subg. von Rhizogonium)	Lepyrodon
Leptotheca	Lembophyllum
Catenularia (subg. von Philonotis)	Sciaromium
Anacoliopsis (subg. von Breutelia)	Catagonium
Psilopilum (1 Art in der Arktis)	Acanthocladium
Polytrichadelphus	

V. Das boreale Element.

Distichium	Pylaisia
Rhabdoweisia	Anomodon
Oreoweisia	Hygroamblystegium
Eudicranum (subg. von Dicranum)	Cratoneuron
Gyroweisia	Drepanocladus
Hymenostylium	Scorpidium
Molendoa	Calliergon
Coseinodon	Hygrohypnum
(Grimmia)?	Campylium (Sect I und II)
Anoectangium	Rhytidium
Ptychostomum (subg. von Bryum)	Brachythecium
Mnium	Cirriphyllum
Aulacomnium	Bryhnia
Fontinalis	

Das andine Gebiet enthält vorwiegend:

1. andine, 2. austral-antarktische, 3. boreale Elemente.

Das subandine Gebiet enthält vorwiegend (fast ausschließlich)

1. subandine, 2. neotropische Elemente, dazwischen sehr wenige austral-antarktische eingestreut.

III. Moosformationen.

Wenn im folgenden von Moosformationen gesprochen wird, so sind damit nicht eigene, durch Moose allein zusammengesetzte Pflanzenverbände gemeint, sondern es sollen die Moose im Rahmen der Gesamtformation, in welcher sie neben den übrigen Pflanzen ein gleichgeordnetes Glied bilden, betrachtet werden. Es wird sich also zunächst darum handeln, die Pflanzenformationen unsres Gebietes übersichtlich zusammenzustellen und nach ihrem allgemeinen ökologischen Gepräge kurz zu charakterisieren. Dabei läßt es sich kaum umgehen, auch einige der hervortretendsten Phanerogamen, nach welchen wir ja gewöhnlich die Formationen benennen, zu erwähnen.

I. Gehölze.¹⁾

1. Regenwälder.

Das Klima ist heiß und feucht. Der Wald ist hochwüchsig und hauptsächlich aus immergrünen Laubbäumen zusammengesetzt; der Laubfall ist unregelmäßig. Lianen sind häufig. Die Lichtmenge, welche den Bewohnern der Waldtiefe zur Verfügung steht, ist gering.

In diese Abteilungen gehören die Bergwälder der subandinischen Region mit Gürtel I und II.

¹⁾ Ich folge hier der Einteilung von Brockmann-Jerosch und Rübel.

Den unteren Gürtel kann man als den **Palmengürtel**, den mittleren als den **Baumfarn-gürtel** bezeichnen. Denn das Charakteristische des unteren Gürtels ist die große Häufigkeit der Palmen — der Gattungen *Iriartea*, *Attalea*, *Chamaedorea*, *Martinezia* und *Astrocaryum* — neben dem Fehlen der Baumfarne; im mittleren Gürtel die Häufigkeit der Baumfarne — der Gattungen *Alsophila*, *Cyathea* und *Dicksonia* — und das völlige Ausbleiben der Palmen.

2. Lorbeergehölze.

Im Gebiet sind diese Gehölze sowohl als Wald- wie als Gesträuchformationen entwickelt. Klimatisch stellen sie den Typus des temperierten Regenwaldes dar. Vorherrschend sind niedere, hartblättrige Holzgewächse, oft mit auffallend großen Blüten. Diese Formationen nehmen den oberen Saum des subandinen und subtropischen Waldes ein. Charakteristische Bäume liefern die Gattungen *Escallonia*, *Weinmannia*, *Myrica*, *Podocarpus*, *Gaiadendron* und *Clethra*. Epiphyten sind reichlich vertreten. Das Licht dringt tief in die Vegetationsschichten hinab und ermöglicht eine sehr weitgehende Ausfüllung der Innenräume eines Bestandes. Nach der Häufigkeit der hier auftretenden Nebel kann man diese Formation auch kurz als **Nebelwald** bezeichnen.

3. Hartlaubgehölze.

Diese Gehölzformationen sind bedingt durch eine ganz allgemein ungünstige Wasserbilanz und die Notwendigkeit, eine lange, heiße Trockenzeit auszuhalten. Die Blätter sind klein und hart. Dornsträucher und Sukkulente herrschen vor. Diesen Charakter besitzen alle Gehölze des **xerothermen** interandinen Gebietes. Vorherrschend sind *Schinopsis marginata*, *Prosopis Kuntzei*, *Aspidosperma Quebracho*, *Capparis spec.*, *Peireskia spec.*, *Cereus spec.* etc. Hier lassen sich auch die Queuiñawälder des *Polylepigürtels* zwischen 3000 und 3900 m anschließen.

4. Sommerwälder.

Hierher gehören die oben unterschiedenen „subtropischen Randwälder“ am Ostrand der Kordillere vom 18. Grad südwärts. Ihr Klima ist warm temperiert. Der Laubfall tritt periodisch auf. Immergrüne Gewächse finden sich nur im Unterholz. Von Bäumen sind *Tipuana speciosa*, *Juglans spec.*, *Diatenopteryx*, *Piptadenia spec.* etc. besonders bezeichnend. Durch den winterlichen Laubfall erfolgt eine starke Austrocknung und Durchlichtung des Waldinnern, welche den Moosen wenig zusagt. Als Epiphyten trifft man besonders extrem angepaßte Xerophyten, am häufigsten graue schuppenhaarige *Tillandsien*.

II. Wiesen.

1. Immergrüne Bergwiesen.

Das Klima dieser die alpinen Lagen der Kordillere außerhalb der Felsreviere beherrschenden Formation ist gemäßigt bis kühl-temperiert. Die Temperaturgegensätze sind schroff und bedeutend. Minimale Temperaturen von — 15 Grad sind beobachtet. *Calamagrostis*-, *Agrostis*- und *Festuca*-Arten sind am häufigsten. Ein zusammenhängender Rasen ist selten; die meisten Gräser bilden Büschel und breite Horste; ihr Bau ist xerophytisch.

2. Hochmoore.

In gleicher Höhenlage, besonders häufig auf glazialen Böden. Das Substrat besteht zumeist aus *Distichia muscoides*, welche harte hochgewölbte Polster bildet, die an ihrer Basis in Torf übergehen. Ähnlich verhält sich auch ein dicht rasig wachsender *Plantago*. *Sphagna* sind wohl sehr selten; von mir wurden solche im Gebiet nur noch um die Waldgrenze beobachtet.

III. Einöden.

1. Steppen.

Im Gebiet sind die Steppen der warmen interandinen Täler, welche mit Hartlaubgehölzen wechseln, von den Steppen der kühl-temperierten bis kalten Hochgebirgsländer zu unterscheiden. Beide zeichnen sich durch harte Büschelgräser und sparrige Krüppelsträucher aus, die allerdings von ganz verschiedenen Arten geliefert werden. Die Hochgebirgssteppe, in welcher auf der einen Seite, bei extremer Trockenheit, Polsterpflanzen, wie z. B. *Azorella*-Arten auftreten, andererseits in feuchteren Vertiefungen die Tolaheide gedeiht, kann man kurz zusammenfassend mit dem einheimischen Namen „Puna“ belegen. Die untere Grenze der Puna dürfte 3500 m sein. Sie gehört den trockenen Hochländern der innersten Kordillere an.

2. Felsreviere des Hochgebirges.¹⁾

Diese Abteilung umfaßt die felsigen Substrate der hohen Kordillerenkämme, deren Flora ausschließlich aus Moosen und Flechten besteht. Hier gibt es extrem trockene und dauernd durch Wasser befeuchtete Stellen neben einander. Hier herrschen die reinen Laubmoosformationen vor.

1. Regenwälder und Lorbeergehölze.

Jedem wird der physiognomische Unterschied zwischen der unteren, tropisch-heißen und der höheren, subtropischen Region der Regenwälder am Abhang der Kordillere auffallen. Im tropisch-heißen Hochwald treten Moose nirgends als Formationselemente hervor. Man findet fast nur kleine, unscheinbare Formen, die nicht zu größeren Verbänden zusammentreten, sondern spärlich auf Baumrinde, morschen Strünken, faulendem Laub und feuchten Steinen leben. Große, zusammenhängende Moosdecken oder Polster sind fast unbekannt, und unbedeutend ist auch die Rolle, welche den Hängemoosen zukommt. Trotzdem ist die Zahl der Arten nicht gering. Dieses Merkmal, nämlich floristisch reiche Gliederung neben geringer Individuenzahl und dem Mangel eigener Moosverbände, ist charakteristisch für alle tropisch-heißen Regenwälder, nicht nur der Kordillere allein. Er ist genau ebenso bezeichnend für die feuchten Monsunwälder des indomalayischen und afrikanischen Gebietes, für die Amazonasniederungen und alle andern tropisch-heißen Waldgebiete.

Der hervortretendste Zug des tropisch-heißen Regenwaldes ist also für uns die Moosarmut. Eine Schilderung des Formationscharakters ist dadurch sehr erschwert, daß fast alle Arten durch weite Zwischenräume voneinander getrennt und durch das Gebiet zerstreut sind und neben der üppigen Entfaltung der Gefäßpflanzen nahezu verschwinden. Am meisten Moose treffen wir noch in den Talböden unweit der Bäche, wo die Feuchtigkeit am größten und die Temperatur durch das kühle Bergwasser etwas gemildert ist. Hier gibt es sogar gewisse Gruppierungen — Assoziationen — von Moosarten, die man als charakteristisch bezeichnen kann und die wahrscheinlich in allen Tälern des Gebirgsrandes in gleicher Weise wiederkehren. Als Beispiel führe ich ein Moosbild aus der Quebrada de Cuñucú im Amborógebiet an. Hier bildet *Rhizohypnum elegantulum* und *Rhynchosyrium ulicon*, zwei Arten, die dem unteren Gürtel allein angehören, auf feuchtem, steinigem Boden oft ausgedehnte Lager. Auf Baumwurzeln und auf alten Strünken breiten sich weiche Polster von *Rhizogonium spiniforme* (circumaequatorial) und *Leucobryum*arten, und die Basis der Baumstämme, jedoch selten höher als bis 1 m über dem Boden, umklammern in dichtem Netz die Rhizome einiger Astwedelmoose, so verschiedene *Bryopteris*- und *Plagiochila*-Arten mit oft langen, übergebogen herabhängenden Wedeln, dann *Pterobryum densum*, *Porothamnium fasciculatum*, *Orthostichidium excavatum*, *Pirea Pohlilii*, *Neckeropsis undulata* und *N. disticha*, während höher oben in lockerem Verband oder einzeln, flockenartig anklebend, *Pseudocryphaea flagellifera*, *Acrocryphaea julacea* und *Helicophyllum torquatum* folgen. Feuchtschattige Lauben, besonders Astwerk im Unterholz, bewohnen einige zarte Hängemoose, am häufigsten

¹⁾ Bei Brockmann-Jerosch findet sich keine ganz entsprechende Bezeichnung.

Pilotrichella cyathipoma, *Meteoriopsis patula* und *M. subrecurvifolia*. Ihr Auftreten ist aber so sporadisch, daß ein Vergleich mit den Hängemoosen des oberen Bergwaldgürtels, die in ungeheuren Massen eine eigene Moosformation bilden, sich von selbst verbietet.

G i e s e n h a g e n sucht a. a. O. die Ursache für diesen Unterschied zwischen den Wäldern des Gebirgsfußes und der höheren Lagen in dem verschiedenen F e u c h t i g k e i t s g e h a l t der Luft; dieser steigt in der wärmeren Ebene und am Fuß des Gebirges nie so hoch, wie in den kühleren Höhen. Während in den tropisch-heißen Gebieten die Erwärmung durch die Sonnenstrahlen unter Tags eine allmähliche Abnahme des Wassergehaltes der Luft bewirkt, nimmt die Feuchtigkeit in den Hochregionen zur selben Zeit ständig zu, da die mit Feuchtigkeit beladenen, aufsteigenden Luftströme durch die Abkühlung in höheren Lagen sich mit Wasserdampf anreichern, so daß schließlich in einer gewissen Höhe, oft schon zu früher Morgenstunde, Nebelbildung eintritt. Daß hierdurch ein sehr fühlbarer Unterschied in der Wasserbilanz der Pflanzen der beiden verglichenen Gebiete bewirkt wird, ist ohne weiteres einzusehen.

Die Untersuchungen K. M ü l l e r s über die Aufnahmefähigkeit der Moose für Wasser aus wasserdampfgesättigter Atmosphäre scheinen mir in der Richtung zu weisen, daß das Gedeihen der Moose in hohem Grade davon abhängig ist, ob sie der umgebenden Luft Wasser entnehmen können, und dies ist wohl erst bei dampfgesättigter Luft in ausreichendem Maße der Fall. In tropfbar flüssigem Zustand wird ja Wasser von allen Moosen mit Leichtigkeit an der ganzen Oberfläche aufgenommen, aber diese Eigenschaft kommt nicht in Betracht, sobald wir es mit Zeiten fehlender Niederschläge oder mangelnder Tau- und Nebelbildung zu tun haben. Und solcher gibt es in jedem Regenwald der Tiefenlagen genug. So erklärt sich die Tatsache, daß in den Wäldern der Ebene und niederen Berge die *Leucobryaceen* und *Calymperaceen* mit xerophilen oder halb-xerophilen Strukturen besonders häufig sind und die Moose sich sehr häufig in nichtturgescendem Zustand befinden.

Wenn zwar auch in den höchsten Waldgebieten, wo der Nebel fast täglich anhängt, gelegentlich intensive Sonnenbestrahlung eine austrocknende Wirkung ausübt, so bedeutet das für die Wasserbilanz jener Moose nicht so viel, wie der fast täglich durch Verdunstung hervorgebrachte Wasserverlust in den warmen Wäldern der Ebene, schon deswegen, weil sich die Austrocknung bei den meist in mächtigen Polstern wachsenden Bergmoosen nur auf die peripheren Teile erstreckt.

Hier, in der Wuchsform, in der Art, wie die Einzelindividuen sich zu Verbänden zusammenschließen, liegt ein ganz wesentlicher Unterschied zwischen Höhen- und Tiefenwald. Die Ursache dafür — und dies scheint mir neben dem verschiedenen Feuchtigkeitsgehalt der Luft der wichtigste Punkt zu sein, — liegt in der L i c h t m e n g e, welche den Moosen zur Verfügung steht. Dieselbe ist in den hochstämmigen, aus mehreren Stockwerken aufgebauten Wäldern des Gebirgsfußes sehr gering, daher der viel lockerere Wuchs der Moose im unteren Bergwaldgürtel und damit verbunden die wesentlich größere Austrocknungsgefahr. Oder anders ausgedrückt, die Moose des schattigen Hochwaldes können sich den Schutz gegen Austrocknung, welcher in dem engen Zusammenschluß zu wasserspeichernden Polstern, Kissen und Filzen liegt, nicht leisten, weil die zur Verfügung stehende Lichtmenge zu gering ist. Je höher wir aber hinaufkommen und je lichter es in dem immer mehr zusammensinkenden Walde wird, desto dichter werden die Moosverbände, und es ist klar, daß die gewaltigen Kissen und Polster, welche Stämme und Äste bedecken, wenn sie sich einmal voll Wasser gesogen haben, die Umgebung auch bei starker Sonnenbestrahlung noch lange mit Wasserdampf zu sättigen vermögen. Besonders den Hängemoosen, die ja durch ihren freien Wuchs, durch die Loslösung des Einzelindividuums aus dem großen Verband, der Austrocknung am meisten ausgesetzt sind, kommt dieser von den Polstermoosen ihrer Nistplätze gelieferte Feuchtigkeitsüberschuß zugute. Einmal erhalten sie alles abfließende Wasser und dann tauchen sie auch mit ihrer Basis dauernd in den feuchten Schwamm, aus dem sie auf rein kapillarem Wege längs des Stengels noch eine Menge Wasser aufnehmen können. Es mag hier übrigens erwähnt werden, daß die Hängemoose selbst mit ihren durcheinander kriechenden basalen Stengelteilen oft dichte Rasen und Filze bilden und stets nur einen Teil ihrer Äste zu Hängesprossen ausbilden. Weitere Einrichtungen zum Festhalten von Wasser besitzen diese Moose in der Stellung und Form ihrer Blätter, welche meist

ein ganzes System kapillarer Hohlräume herstellen. Schließlich mag noch der Vollständigkeit halber auf die fast allen Moosen gemeinsame Fähigkeit, einen hohen Grad von Austrocknung ohne Schaden zu ertragen, hingewiesen werden; doch ist dieselbe in dem vorliegenden Fall wohl kaum von praktischer Bedeutung.

Daß der Lichtgenuß tatsächlich einen sehr wichtigen Faktor im Leben der Moose darstellt, geht auch aus der Beobachtung hervor, daß selbst in den Bergwäldern an besonders schattigen Plätzen trotz enormer Feuchtigkeit die Menge der Moose zurückgeht.

Von Bedeutung für die Besiedelungsfähigkeit des Waldbodens durch Moose ist auch zweifellos die Menge des abgefallenen Laubes, ferner die Konkurrenz durch Krautpflanzen, die den Rest des in die Waldtiefe hinabdringenden Lichtes mit ihren breiten Blättern verschlucken und durch ihr rascheres Wachstum sich über den Boden erheben, bevor ein Moos seine Decken zu breiten vermag. Am anspruchslosesten in dieser Richtung sind einige *Rhynchostegien*, so *Rhynchostegium conchophyllum* und *Rh. planifolium* und einige *Hookeriaceen*, wie *Cyclodictyonarten* und *Hypnella pilifera*.

Der Typus der *Hochstamm-Solitärmoose*,¹⁾ welcher sowohl der tiefen Laubschüttung als auch dem sehr verminderten Lichtgenuß am besten angepaßt erscheint, fehlt in den bolivianischen Wäldern.

Einen andern Typus treffen wir dagegen häufig, wenn auch meist nicht auf dem Waldboden selbst, sondern mehr auf Strünken und am Grund der Baumstämme. Das sind die *Wedelmoose*, deren dorsiventraler Bau (Horizontalausbreitung der Äste und verflachte Beblätterung) dem einseitigen Lichteinfall und der geringen Lichtmenge entspricht. Hierher gehören z. B. *Hypopterygium Tamarisci*, *Porotrichum*- und *Neckeropsis*-Arten und von Lebermoosen die zahlreichen *Plagiochila*- und *Bryopteris*-Arten. Der Typus der *Wedelmoose* kommt allen 3 Gürteln des Kordillerenwaldes zu.

Überwiegend an Individuenzahl und physiognomisch am auffallendsten sind in allen feuchten Wäldern der Tropen und Subtropen die *H ä n g e m o o s e*. Am häufigsten sind sie in den lichten Nebelwäldern. Schon durch ihren Wohnort an den Ästen der Bäume oder Sträucher sind sie im Lichtgenuß günstiger als die übrigen Moose gestellt und reagieren daher auf Lichtreize weit weniger exakt als die ausgesprochenen Schattenformen. Der von *G i e s e n h a g e n* beschriebene Typus von *Barbella javanica*, welcher einen deutlichen Unterschied zwischen der radiär beblätterten Hauptachse und den dorsiventral beblätterten, horizontal abstehenden seitlichen Kurztrieben erkennen läßt, ist durchaus nicht allgemein. Zwar entspricht er den Forderungen, die man nach zahlreichen Beobachtungen zu stellen gewöhnt ist: radiärer Wuchs bei allseitig gleichmäßiger Beleuchtung, dorsiventraler Wuchs bei einseitig einfallendem Licht. Die „Verstöße“ gegen dieses „normale“ Verhalten sind aber so zahlreich, daß man nicht wohl daran vorübergehen kann, obwohl damit keineswegs in Abrede gestellt werden soll, daß Beziehungen zwischen Bau und Beleuchtungsverhältnissen meistens bestehen und abweichende Wuchsformen sehr häufig dadurch erklärt werden können. Meines Erachtens hat man jedoch bei solchen Betrachtungen allzuwenig den Bauplan der betreffenden Moose in Rechnung gesetzt und sich zu leicht mit denjenigen biologischen Feststellungen zufrieden gegeben, welche mit der äußeren Erscheinung der betreffenden Arten im Einklang stehen, ohne zu fragen, ob das Reagieren der betreffenden Art auf den Lichtreiz nicht in ihrem erblich fixierten Bauplan begründet sei oder ob nicht gar gelegentlich unabhängig von Lichtreizen gewisse äußere Formen zustande kommen, die man sonst als Anpassungen aufzufassen pflegt. Es ist doch sicher auffallend, daß bei allen *Barbell*en, die gewiß eine entwicklungsgeschichtlich einheitliche Gruppe bilden, der Unterschied zwischen Hauptachsen und Nebenachsen besteht, daß aber bei allen Arten der Gattungen *Meteorium*, *Squamidium*, *Pilotrichella*, *Meteoriopsis* und *Papillaria*, die doch in der Zahl den *Barbell*en weit über sind, eine solche Beeinflussung durch das Licht nicht zu beobachten ist, sondern daß bei ihnen trotz der vollkommen gleichen Wuchsbedingungen sowohl Haupt- als Nebenachsen radiär beblättert sind. Mehr noch — wie will man erklären, daß bei den *Phyllogonien*, die den vollkommensten Typus der Hängemoose repräsentieren, sowohl Haupt- als Nebenachsen 2zeilig und ganz verflacht beblättert sind, obwohl gerade hier, wo selbst die Nebenachsen sich sehr bald in die Richtung der Hauptachse ein-

¹⁾ Ich folge den von *G i e s e n h a g e n* l. c. vorgeschlagenen Bezeichnungen.

stellen und nach abwärts hängen, radiär gebaute Sprosse am meisten zu erwarten wären. Gewiß, hier liegt eine zweischneidige Scheitelzelle vor, die natürlich zwei Blattzeilen hervorbringt; aber unverständlich bleibt trotzdem, weshalb gerade solche Moose die extremsten Hängeformen ausgebildet haben und weshalb hier nicht durch einseitig gefördertes Wachstum, was doch so häufig ist, die zweizeilige Stellung in eine Stellung höherer Ordnung übergeführt wurde. Diese Starrheit der Form ist nur dann verständlich, wenn wir auch in der Blattstellung erblich fixierte Eigenschaften und Anlagen annehmen, die nicht ohne weiteres biomorphisch beeinflussbar sind.

Ähnlich liegen die Verhältnisse bei den Wedelmoosen, wo allerdings die überwiegende Zahl deutlich dorsiventrale Blattstellung in Verbindung mit der Ausbreitung der Sproßachsen in einer Ebene erkennen läßt. Diesen Formen steht aber das typische, durchaus radiär beblätterte Wedelmoos *Pterobryum densum* und die fiederästigen Arten der Gattung *Prionodon*, *P. luteovirens*, *pinnatus*, *lycopodioides*, *ptychomnioides*, *patentissimus* und *cavifolius* entgegen. Auch die *Thuidien* zeigen trotz ihres extrem dorsiventral ausgebildeten Achsensystems durchweg bis in die äußersten Verzweigungen radiäre Beblätterung.

Eine ausführlichere Darlegung dieser eigenartigen Verhältnisse behalte ich mir für später vor. Hier mag es genügen, die Bewohner des Waldes nach ihrem Wuchs in verschiedene biologische Gruppen einzuteilen und ihr Vorkommen in den Pflanzenformationen zu verfolgen.

Ich halte mich dabei, wie schon oben angeführt, an die Giesenhagensche Einteilung und Bezeichnung, muß aber noch verschiedene kleine Untergruppen unterscheiden, welche bei Giesenhagen nicht erwähnt werden. Auch möchte ich anmerken, daß mir die Giesenhagensche Bezeichnung „Moosfilz“ nicht glücklich gewählt erscheint, da bei den von Giesenhagen hierher gerechneten Typen gerade keine charakteristische filzige Verwebung vorliegt, sondern die einzelnen Moospflanzen durch Wuchs, Verzweigungsart und Innovationen sowie Ausläufer zu einem lockeren Verband vereinigt werden. Diese elastischen, von Hohlräumen durchsetzten Massen sind eigentlich nicht wohl als Filz zu bezeichnen; ich würde sie lieber als „Lager“ bezeichnen. Um jedoch die Nomenklatur nicht unnötig zu beschweren, mag die Giesenhagensche Bezeichnung hier adoptiert werden.

Ich unterscheide also folgende Typen:

I. *Kurzrasen*.

Sie spielen in unserem Gebiet nur an offenen Stellen als Bewohner von Erdhängen eine gewisse Rolle. Hierher sind zu rechnen: *Ditrichum*, *Dicranella*, *Funaria*, manche *Bryum*-Arten, *Webera*, *Rhamphidium*, *Barbula* etc.

II. *Hochrasen*.

Sie sind in verschiedenen Wuchsformen häufige Bewohner des Waldbodens oder faulenden Holzes und durchs ganze Gebiet verbreitet. Es sind zu unterscheiden:

1. *Lockerrasen* (die einzelnen Stengel im Abstand der ausgebreiteten Blätter voneinander entfernt): *Polytrichadelphus bolivianus*, *Polytrichum juniperinum*, *Pogonatum subbifarium* und *P. distantifolium*, *Bartramia squarrosa*, *Campylopus Jamesonii*, *C. Pseudodicranum*, *Rhodobryum*-Arten, *Bryum linearifolium*.
2. *Dichtrasen* (die einzelnen Stengel dicht aneinander gepreßt und die Blattspreiten ineinander greifend): *Leiomela*, die meisten *Bryum*-Arten der *Rosulata*-Gruppe, viele *Campylopus*- und *Bartramia*-Arten.

III. *Moospolster*.

1. *Echte Polster* (die Achsen parallel und senkrecht zur Unterlage, meist dicht durch Wurzelfilz verwoben): *Anoetangium*, *Zygodon*. Hierher gehören wenige Waldmoose, am häufigsten ist diese Form an Felsen des Hochgebirges.
2. *Kissen* (die Achsen radial von einem Mittelpunkt ausgehend, die peripheren der Unterlage angeschmiegt): *Orthotrichum*, *Acidodontium*. Am schönsten wird dieser Typus von den *Grimmien* und *Andreaeen* des Hochgebirges repräsentiert.

3. *Flocken* (den Kissen ähnlich, aber klein und sehr locker gefügt): *Streptopogon*, *Daltonia*, *Schröterella*, einige *Zygodon*-Arten, *Symblepharis*, viele Lebermoose, so winzige *Lejeuneen* und *Metzgerien*. In dieser Gruppe finden sich Übergänge zu den Laubwedelmoosen (so *Lepidopilum*).

IV. *Moosdecken*.

Sie zeichnen sich durch flache Ausbreitung der Haupt- und Nebenachsen aus, sind dorsiventral gebaut und bedecken dicht anliegend ihr Substrat fast lückenlos. Hierher gehören die meisten *Hookeriaceen* (mit Ausnahme von *Daltonia* und *Lepidopilum*), *Plagiothecium* etc., von Kleinformen viele *Rhaphidostegium*-Arten, *Ectropothecium*, *Vesicularia* und *Taxithelium* und ferner als eigenes Glied die regelmäßig fiederästigen *Thuidien* und *Leskeen* mit zwar in einer Ebene ausgebreiteten Haupt- und Nebensprossen, aber radiärer Beblätterung.

V. *Moosteppiche*.

Es seien so diejenigen deckenartigen Moosverbände genannt, bei welchen die Sproßachsen in niederliegende Langtriebe und aufgerichtete Kurztriebe, beide mit radiärer Beblätterung, differenziert sind. Hierher gehört z. B. *Brachythecium* und *Erythrodonium*.

VI. *Moosfilze* (oder Mooslager).

Hierher sind zu rechnen die Verbände der halbbäumchenförmigen *Rhizohypnum*-Arten, ferner *Rigodium leptodendron*, *Porotrichodendron superbum* und ähnliche Wuchsformen, von Lebermoosen *Plagiochila grossitexta* und *Lepicolea pruinosa*.

VII. *Mooskrausen*.

Ich bezeichne so die halskrausenartig horizontal oder schief abwärts von der vertikal gestellten Unterlage abstehenden Moosverbände. Sie setzen sich hauptsächlich aus Wedelmoosen zusammen. Und zwar lassen sich unterscheiden:

1. *Astwedelmoose* (die Wedelform wird durch die in einer Ebene ausgebreiteten Sproßsysteme gebildet; die Beblätterung ist meist ausgesprochen dorsiventral, zuweilen aber auch radiär). Hierher gehören *Neckera*, *Neckeropsis*, *Porotrichum*, *Porothamnium*, *Pinnatella*, *Pterobryum*, *Orthostichidium* und die fiederästigen *Prionodon*-Arten, von Lebermoosen die meisten *Plagiochilen*, *Madotheca*- und *Bryopteris*-Arten, sowie viele *Frullanien*.
2. *Laubwedelmoose* (die schmale Wedelform wird durch die in einer Ebene ausgebreiteten relativ großen Blätter hervorgebracht). Hierher gehört besonders *Lepidopilum*, *Adelothecium*, *Eriopus* und *Rhizogonium bolivianum*, von Lebermoosen einige *Plagiochila*-Arten. An diese Gruppe ließen sich anschließen die
3. *Schirmastmoose*, welche aber nicht immer horizontal oder schief von ihrer Unterlage abstehen, sondern meist auf aufrechtem, fast blattlosem Hauptspießschirmartig ausgebreitete beblätterte Kurztriebe tragen. Diesen Typus repräsentiert *Hypopterygium*.

VIII. *Hängemoose*.

Ihr Charakter wurde oben schon kurz geschildert. Hierher gehören fast alle *Meteoriaceen*, von den *Neckeraceen* die *Phyllogonien*, von den *Pterobryaceen* *Orthostichopsis*, einige *Cryphaea*- und *Prionodon*-Arten.

Wenn wir nun diese verschiedenen Wuchsformen nach ihrer räumlichen Verteilung innerhalb einer Pflanzenformation untersuchen, so zeigt sich aufs deutlichste, daß sie sich stets als Funktion ihres Standortes erklären lassen. Nehmen wir als Beispiel ein ganz bestimmtes, eng umschriebenes Gebiet; ich wähle dazu einen Ausschnitt aus dem Nebelwald von Comarapa, der mir so reiche Ausbeute geliefert hat und als Typus für den obersten Gürtel des Kordillerenwaldes dienen kann. Das niedere, aber dichte Gehölz besteht aus 5—8 m hohen Bäumen, am häufigsten ist *Weinmannia fagaroides*, *Escallonia spec.*, 2 *Pod-*

carpusarten, *Barnadesia* spec., *Fagara* spec.; von den Ästen der Bäume hängen die schmalen Sporophylle der *Vittaria Ruiziana* neben einer pendelnden *Lycopodiacee* herab und in ihren Moospolstern nisten kleine Orchideen: *Pachyphyllum* und *Neodryas*. In feuchten Einschnitten erheben sich die Kronen schöner Baumfarne (*Dicksonia Karsteniana*) und zahlreiche andre Farne, wie *Dryopteris Filix mas* var. *paleacea*, *Plagiogyria semicordata* und *Athyrium Dombeyi* schmücken den feuchten Waldboden, den ein satt grüner Rasen von *Hymenophyllum multiflorum* deckt. An der Zusammensetzung dieses Rasens beteiligen sich auch mehrere Moose, so die hochstenglige *Bartramia mollis* und das üppig schwellende *Rhodobryum caulifolium* im Verein mit ausgedehnten Lagern oder Filzen von *Lepicolea pruinosa*, *Mastigobryum Hariotii*, *Mnium ligulatum*, *Thuidium peruvianum*, *Breidleria amabilis* und ein paar *Rhizohypnum*arten. Aus diesem saftig grünen Moos- und Farnrasen erheben sich die Wurzelschwellen der Bäume, überzogen mit einem dichten Filz etagenförmig wachsender Moose, weitaus überwiegend *Rigodium leptodendron* und *Porotrichodendron superbum*, während stammaufwärts einige frei, fast horizontal abstehende Astwedelmoose, z. B. *Porothamnium gymnopodum*, *Porotrichum macropoma* und *Neckera Lindigii* mit ihren Rhizomen die Rinde dicht überspinnen. Diese Assoziation reicht etwa 1 m über den Boden am Stamm hinauf, befindet sich also unter dem Einfluß einseitiger Beleuchtung wie die Bodenvegetation und ist demgemäß ausgesprochen dorsiventral gebaut, die Verästelungen und Blattflächen annähernd horizontal oder — genauer — senkrecht zum einfallenden Licht orientiert. Höher aufwärts am Stamm folgen dann, besonders in nischenartigen Vertiefungen der Rinde oder Astnarben die prächtigen Kissen und Flocken von *Holomitrium macrocarpum* und *Symblepharis boliviana*. Schließlich verzweigt sich der Stamm, oft schon 2 m über dem Boden in knorrig hin- und hergebogene, meist weit horizontal ausgebreitete Äste, die auf ihrer ganzen Oberfläche dicht von Moosen besetzt sind. Die Oberseite besiedeln Formen von polster- und kissenförmigem Wuchs; von letzteren besonders charakteristisch einige *Macromitrium*arten: *M. nubigenum*, *M. Herzogii* und *M. macrosporum*, welches durch seine Ausläufer und Kriechsprosse einen Übergang zum Moosfilz bildet; ferner *Schlotheimia sublaevifolia*. Den Moosfilz vertritt *Leptodontium vaginatum*. Auf der Oberseite der Äste lagernd und hinkriechend, speziell alle dünneren Auszweigungen bis zu den feinsten Verästelungen besetzend, tritt daneben besonders augenfällig die Unmenge von Hängemoosen hervor, deren schleierartig herabwallende, bis 1/2 m lange Hängesprosse im durchfallenden Sonnenlicht in den prächtigsten Farben schimmern. An erster Stelle stehen nach ihrer Häufigkeit *Meteorium illecebrum* und *Squamidium leucotrichum* mit lichtgrünen, an den älteren Stengelteilen geschwärzten Sprossen, *Pilotrichella flexilis* mit goldbraunen Quasten und Girlanden und *Phyllogonium fulgens* mit glänzend kupfer- und goldrötlichen Schuppenbändern. Von Lebermoosen nehmen an dieser Wuchsform mehrere *Frullanien* der Gruppe *Meteoropsis* teil, so *Frullania subaculeata*, *Haeckeriana* und *capilliformis* in zarten braunroten bis fast schwarzen Spitzenschleiern. An den dünnsten Ästchen, welche einem breiten Kissen oder Filz keinen Raum bieten, siedelt sich neben den Hängemoosen das Heer der Moosflocken an, kleinste Individuengruppen, die meist nur mit der Basis an der Unterlage befestigt sind und ihre Stengel radial nach allen Richtungen hin entsenden. Eine Verwebung durch Wurzelfilz in kleine Kissen kommt nur ausnahmsweise zustande, nämlich bei *Acidodontium* und *Zygodon*. *Orthotrichum* und *Symblepharis* bilden Übergangsformen zwischen Zwergkissen und Flocke. Zur Flockenform gehören vor allem die *Daltonien*, *Streptopogon* und überaus zahlreiche kleine Lebermoose, unter denen sich von den winzigen *Lejeuneen* (*Brachiolejeunea*, *Harpalejeunea*, *Archilejeunea* etc.), *Radula* und Kleinformen von *Frullania* und *Plagiochila* alle Übergänge zur Laubwedelform und zum Krausenwuchs der großblättrigen *Plagiochilen* finden. In dieser Gruppe weist der Nebelwald über Comarapa einen ungeheuren Reichtum auf, da fast alle Zweigchen und Äste über und über von den bunten, aus dem hellsten Grün und Gelb bis ins tiefe Violett-schwarz spielenden Moosflöckchen beladen sind.

Selbstverständlich würde es möglich sein, auch innerhalb der Formen dieses Mikrokosmos noch feinere Unterscheidungen nach der Einzelorganisation vorzunehmen. So sind z. B. die radial von der Unterlage wegstrebenden Sprosse eines *Streptopogon* in mancher Beziehung verschieden von den horizontal abstehenden, oft in balkonartigen Lagern angeordneten und mit ihren Spitzen aufwärtsgekrümmten sproßsystemen der *Lejeuneen* und *Frullanien* oder den fast regellos durcheinander gewobenen, einer

Watteflocke nicht unähnlichen *Trichocoleahäufchen*. Hier in Einzelheiten zu gehen, würde aber weit über den Rahmen dieser geographischen und Formations-Übersicht gehen. Es sollte nur auf die Mannigfaltigkeit des Bauplanes aller dieser das Mosaik einer Moosformation bildenden Einzeltypen hingewiesen werden.

In obigem Versuch, ein Formationsbild aus dem Nebelwald über Comarapa zu skizzieren, wurden nur die wichtigsten Typen herausgegriffen; Vollständigkeit war gar nicht bezweckt. Einen Überblick über die Gesamtheit aller diese Formation zusammensetzenden Moose findet man in dem Schlußabschnitt, welcher eine Zusammenstellung der Funde von den wichtigsten Sammelstellen nach ihrer Verteilung über die verschiedenen Substrate enthält.

2. Hartlaubgehölze.

Hierher rechne ich alle Gehölzformationen des trockenen interandinen Gebietes, obwohl sie floristisch an den verschiedenen Orten und in verschiedenen Höhenlagen sehr verschieden sind. Ihre Verschiedenheit drückt sich aber weit stärker in der phanerogamen Flora als in den Bryophyten aus. Letztere weisen im Gegenteil so viele gemeinsame Züge auf, daß ihre Zusammengehörigkeit keinem Zweifel unterliegen kann. Immerhin lassen sich zwei Typen voneinander unterscheiden, nämlich der Dornbusch und die Trockenwälder der mittleren, warmen Lagen, welche sich durch eine extreme Moosarmut auszeichnen, und der Queuiñawald der Berghänge zwischen 2800 und 3900 m (maximal), welcher entweder aus reinen Beständen einer *Polylepis*art (*Polylepis incana* und *P. tomentella*)¹⁾ besteht oder sich auch wechselnd aus Gruppen von *Escallonien*, *Alnus jorullensis* und *Hesperomeles*arten zusammensetzen kann. In diesem sind die Moose sowohl als Epiphyten auf den Baumästen als auch auf schattigen Felsblöcken nicht selten; am dichtesten drängen sich die Arten in den wasserdurchflossenen Quebradas zusammen. Im allgemeinen aber tragen sie alle mehr oder weniger deutliche Züge einer xerophytischen Lebensweise an sich.

Aus dem Dornbusch kenne ich nur 2 allerdings sehr typische Moosarten, die haartragende *Tortula xerophila* und die eigentümliche *Gertrudia validinervis*, beides Formen mit dem vollkommensten Typus des Rollblattes.

In den *Polylepis*gehölzen spielen dagegen einige *Orthotrichum*arten als Bewohner der Baumäste eine wichtige Rolle, am häufigsten *O. exsertisetum*; von der großen Gattung *Macromitrium* die vorzugsweise den Trockengebieten angehörende Art *M. filiforme* und die interessante monotypische Gattung *Rhexophyllum*; kleine *Fabronien*, eine endemische *Streptopogon*art, *St. heterophyllus* und die monotypischen Gattungen *Mandoniella* und *Leptopterigynandrum* vervollständigen das Bild. Letztere Art geht als Leitmotiv durch dieses ganze Gebiet und auf felsiger Unterlage darüber hinaus ins Hochgebirge hinauf. Von Bewohnern des steinigen oder felsigen Untergrundes verdienen besonders die *Braunien* hervorgehoben zu werden, die mit 7 Arten diesem Gebiet und der damit eng verwandten Hochgebirgsregion allein angehören. Die breiten Rasen der *B. secunda* und *B. subplicata* gehören zu den gewöhnlichsten Erscheinungen, die als dichte Lager die Felsblöcke überziehen. Die haartragenden Arten *B. cirrifolia* und *B. plicata* ziehen die trockensten Stellen vor, die ihren Platz mit dem starren, braungelben *Hedwigidium imberbe* der für das interandine Gebiet so sehr charakteristischen *Tortula serripungens* und der ebenso bezeichnenden *Lindbergia mexicana* teilen. Von Wichtigkeit sind sodann noch die breite Polster bildenden *Leptodontium*-arten *L. turgidum*, *L. Quennoae* und *L. rhacomitrioides*, die mit ihrem flockigen Stengelfilz einen ganz eigenen Typus repräsentieren. Auf Einzelheiten soll auch hier nicht eingegangen werden. Es mag genügen, darauf hinzuweisen, daß die Elemente, welche diesen Formationen angehören, von denjenigen der Regenwälder und Lorbeergehölze völlig verschieden sind.

3. Sommerwälder.

Die Moosarmut, welche diesen Wäldern eignet, beruht zweifellos auf der nachteiligen Wirkung der blattlosen Jahreszeit, während welcher das Waldinnere aufs empfindlichste austrocknet. Daher wohl

¹⁾ Mit dem einheimischen Namen „Queuiña“.

der schreiende Gegensatz im inneren Ausbau zwischen den subandinen Regenwäldern und den subtropischen Randwäldern, der vielleicht in der floristischen Zusammensetzung noch stärker hervortreten würde, wenn nicht einzelne schattige Winkel, während des ganzen Jahres feuchte Schluchten einer Anzahl von Moosen, die den benachbarten feuchten Wäldern angehören, Asylrecht gewährten. Dahin gehören Arten von *Hypopterygium*, *Callicostella*, *Lindigia*, *Rhacopilum* etc., welche sich ganz fremd in dem veränderten Rahmen ausnehmen. Eine einzige Art, *Forsstroemia coronata*, repräsentiert einen den speziellen Lebensbedingungen gut angepaßten Typus. Haupt- und Nebenachsen rollen sich fast spiralg bei der Austrocknung ein und erinnern in dieser eigenartig xeromorphen Organisation an die gleichfalls xerophilen *Leucodon*-arten, *Pterogonium*, *Pterigynandrum* und *Leptopterigynandrum*; noch extremer ist dieser Rolllasttypus bei dem mediterranen *Leptodon Smithii* ausgeprägt. Zwei charakteristische Moose der Sommerwälder sind auch die beiden *Erpodium*-Arten: *E. Balansae* und *E. Lorentzii*. Von den laubwerfenden Wäldern der ostbolivianischen Ebenen kenne ich ferner *E. coronatum* und an gleichfalls der Trockenheit zeitweilig ausgesetzten Stellen um Rio de Janeiro *E. Glaziovii*. Nach den Fundortsangaben über den Rest der Gattung darf man schließen, daß auch die Gattung *Erpodium* zu den Charaktertypen der periodisch austrocknenden und stark durchlichteten Wälder gehört. Als weitere Leitmoose dieser Randwälder lassen sich noch *Rauia firmula*, *Entodon micans* und *Stereophyllum Lindmannii* bezeichnen. Ihre Bedeutung liegt aber mehr auf floristischem Gebiet.

Mit diesen wenigen Bemerkungen muß ich die Sommerwälder, deren ökologische Bedingungen im einzelnen noch recht wenig bekannt sind, verlassen.

4. Immergrüne Bergwiesen.

Durch den lockeren horst- oder büschelartigen Wuchs der Gräser bleiben überall kleine Flecken des Erdbodens zwischen dem höheren Pflanzenwuchs frei und bieten, oft feucht und von den dichten Grasbüscheln beschattet, der Ansiedelung kleiner Moose die günstigsten Bedingungen dar. Weit aus die Mehrzahl der andinen Typen bewohnt die von höherer Vegetation entblößten Erdstellen des Hochgebirgsrasens, nur wenige nisten sich in den Rasen selbst ein. Die Natur ihres Wohnortes, lange Trockenzeiten und häufige Fröste, dabei auch, wo der Schattenschutz der Grasbüschel nicht hinreicht, starke Insolation, bedingen eine xeromorphe Ausstattung aller dieser Moose. Wenn das Klima des Standortes dem der meteorologischen Daten entsprechen würde, so wäre wohl der größte Teil dieses Bodens für Moose unbesiedelbar, aber wie in den meisten Fällen unterscheidet es sich wesentlich davon. Wenn auch immerhin noch genug Ansprüche an die Bedürfnislosigkeit dieser Moose gestellt werden, so stellt sich doch besonders die Wasserbilanz nicht so schlecht, als es auf den ersten Blick erscheinen könnte. Einmal beziehen sie die nötige Feuchtigkeit den in der Trockenzeit häufigen Reif- und Taubildungen, dann aber bilden auch die Horste der hohen Gräser, besonders der *Calamagrostis*-arten mit ihren mächtigen Strohtuniken wirksame Wasserreservoirs, welche die windstille Atmosphäre zwischen den einzelnen Grasbüscheln mit Wasserdampf sättigen. Ganz kahle, von jeder höheren Vegetation entblößte Erdstellen entbehren meist auch jeder Besiedelung durch Moose. Erst auf reiner Felsunterlage stellen sich Moose ein, die auf sich allein angewiesen, den Unbilden ihres Wohnortes zu trotzen wagen. Es sind nur noch wenige Familien, welche diesen Kampf aufzunehmen vermögen, fast nur *Grimmien* und *Andreaeen*; was von andern Arten dazwischen vorkommt, verdankt seine Existenz wohl nur der Auffindung eines Schlupfwinkels, etwa einer wasserdurchrieselten Spalte, einem tiefschattigen Überhang oder einem benachbarten Schneefleck, der die nötige Feuchtigkeit spendet. Der freien Oberfläche des Felsleibes, unbekümmert um die Wasserversorgung, die lediglich von den Atmosphärlilien geliefert wird, vertrauen sich nur noch *Grimmien* und *Andreaeen* an. Doch wird erst später über die Moosvegetation der Felsen im einzelnen zu sprechen sein.

Die Moosvegetation der Hochgebirgswiesen ist überaus lückenhaft. Das Auftreten der meisten Arten kann man als „herdenweise“ bezeichnen. Von engeren Verbänden kommen nur dicht gedrängte Kurzrasen vor. Die Zahl der Arten und die Mannigfaltigkeit aber, welche diese in ihrem Habitus ärmliche Moosvegetation auszeichnet, ist geradezu überraschend.

Auch hier soll wieder ein Moosbild, der Natur entnommen, den Reichtum und die eigenartige Zusammensetzung dieser Formation verdeutlichen. Der Leser mag mich auf einem Streifzug ins obere Llavetal begleiten, das zwischen die Felskämme des Tunari und der Negros eingebettet, eine reiche Fundgrube echter Hochgebirgsmoose darstellt! Die Talfurche, von einem klaren Bach durchflossen, und ihre beidseitigen, flachwellig bis an den Fuß der Felswände aufsteigenden Abhänge tragen jenes charakteristische, aus der Entfernung geschlossen erscheinende Kleid harter Büschelgräser, wie es die Mulden und Rücken der Hochkordillere von Cocapata über 4000 m allenthalben bedeckt. Vorherrschend sind die starren Büschel der „Paja“, *Calamagrostis elegans* und *Agrostis bromoides*, gelbgrüne bis graue, harte Besen von $\frac{1}{2}$ —1 m Höhe, die in fast regelmäßigen Abständen, nur wenig von anderen, niedrigeren Gräsern, besonders *Festuca*-arten, untermischt den Boden bedecken. Zur Regenzeit belebt ein bunter Flor von Alpenblumen diese Horstwiesen. Wer nicht scharf beobachtet, wird der Formation das Prädikat „moosfrei“ geben. So ist es leicht verständlich, daß Phanerogamenbotaniker aus diesen Gebieten fast gar keine Moose mitgebracht haben, auch wenn sie ihnen im Waldgebiet, wo man sie schlechterdings nicht übersehen kann, Aufmerksamkeit schenkten. Und doch finden wir hier zahlreiche Arten, darunter solche, die von biologischen Gesichtspunkten betrachtet, das allerhöchste Interesse beanspruchen. Sie sind meist so winzig, daß man schon am Boden kriechen muß, um sie überhaupt zu sehen. Welche Formenmannigfaltigkeit aber enthüllt sich dann dem Auge! Steigt man den östlichen Talabhang vom Llavecach empor, so findet man zwischen den Grashüscheln allenthalben den Boden mit zwergigen Moosen bedeckt. Eine ihrer Haupteigentümlichkeiten, dem Blütenreichtum der Alpenpflanzen analog, fällt sofort auf; die Räschen sind fast stets mit Sporogonen über und über besät. Die *Mielichhoferieen* mit ihren schlank gestielten orangegelben bis rotbraunen Sporenkapseln beherrschen den Habitus. *Mielichhoferia bryocarpa*, *M. pusilla* und *M. angustata*, *Haplodontium sanguinolentum*, *H. diplodontum*,¹⁾ *H. Jamesonii*¹⁾ und das mielichhoferieenähnliche *Bryum subsericeum* bilden zierliche Miniaturgärtchen und ganze Beete von *Entosthodon papillosus*, mit den orangegelben, birnförmigen Kapseln dicht bedeckt, breiten sich daneben. Mehr herdenweise wächst *Funaria meeseacea* und einige der interessantesten Zwergmoose: die kleistokarpen *Pleuridium andinum* und *Tristichium Lorentzii*, in ihrer Gesellschaft das verwandte *Tristichium mirabile* und die höchst eigentümliche *Astomiopsis amblyocalyx*; die dicht gedrängten Kurzrasen von *Globulina boliviana* bilden charakteristisch fuchsrote Flecken, von denen die tiefbraunen Räschen des *Didymodon decolorans* und der *Bartramia perpumila* und die hechtbläulichen Polsterräschen des *Conostomum aequinoctiale* scharf abstechen. Dazwischen breiten sich zart grüne, morgens von feinen Tautropfen glänzende Decken einer winzigen *Fossombronina* und die harten, silbergrau schimmernden Krusten der *Stephaniella boliviensis* und einer *Jamesoniella*-Art. An andern Erdstellen reifen Tausende von braun firnißglänzenden, in eine weite, blasige Haube gehüllten Kapseln der *Tortula leiostoma*. *Tortula polyseta* und *Pohlia plurisetata* lieben mehr die Bachnähe. Aber noch ist der Köstlichkeiten kein Ende. An schattigen Erdbrüchen des Bacheinschnittes finden wir auf kleinstem Raum vereinigt *Fissidens Bockii*, *F. incisus*, *F. terebrifolius*, *Angstroemia julacea* und *Physcomitrium turgidum*, alles winzige Gestältdchen, daneben den merkwürdig robusten *Simplicidens andicola*. Längs der vom Wasser bespritzten Bachränder unter den Wurzelüberhängen des weit vorspringenden Rasens grünen breite Teppiche von *Androcryphia confluens*, *Symphyogyne bogotensis* und *Anthoceros* spez., durchsetzt mit *Mniobryum bolivianum*, *Tortula Mniadelphus* und *T. polyseta*, *Breutelia integrifolia*, *Philonotis scabrifolia* und *Tortula runcinata*. Die beiden letzteren vertreten hier in durchaus charakteristischer Umgebung das austral-antarktische Element, im kalten Wasser des Baches begleitet von den gleichfalls antarktischen *Fissidens rigidulus* und *Hygrodicranum bolivianum*. Mehr im Gras eingebettet wachsen *Leptodontium acutifolium*, *Didymodon rubiginosus* und *Campylopus jugorum*.

Um gegen die floristische Treue nicht zu verstoßen, habe ich eine große Zahl von Arten nicht genannt, die zwar der gleichen Formation angehören, von welchen ich aber aus dem Llavetal keine Fundorte kenne. Hierher sind noch von wichtigeren Arten zu rechnen: *Pilopogon gracilis* und *P. liliputanus*, *Aloinella*

¹⁾ Die beiden Arten wurden durch ein Versehen im systematischen Teil nicht aufgeführt.

boliviana, *Encalypta asperifolia*, *E. coarctata* und *E. leiotheca*, die übrigen *Mielichhoferien* und *Haplodontien*, *Conostomum cleistocarpum*, *Erythrophylopsis boliviana* und *Psilopilum gymnostomulum*.

Über die biologischen Eigentümlichkeiten, die gleicherweise allen Hochgebirgsformationen zukommen, wäre am Schluß noch einiges zu sagen.

5. Hochmoore.

An Stellen stärkerer Befeuchtung, also besonders an flachen Stellen mit träger Wasserbewegung entstehen inmitten der soeben behandelten Formation die Hochmoore. Am meisten begegnen wir solchen auf Talböden und über alten Seebecken glazialen Ursprungs, wo der Grundmoränenschlamm stehendes Wasser nicht einsickern läßt; sie spielen hier in den Verlandungsformationen die Titelrolle. Im Gegensatz zu unseren Breiten, wo *Sphagna* und andre Moose die Hauptrolle beim Aufbau der Hochmoore spielen, treten in den hochandinen Torf- und Wiesenmooren die Moose ganz zurück. Wichtiger sind sie in dem der Vermoorung vorangehenden Stadium als Bewohner der seichten Glazialtümpel, in denen einige Moose ausgedehnte untergetauchte Wiesen bilden. Bemerkenswert sind hier *Hygrodicranum bolivianum*, *Ditrichum submersum*, *Fontinalis turfacea*, *Cratoneuron submersum*, *Androcryphia confluens* und eine *Jamesoniella*-Art. Daneben sind allerhand flockige Grünalgen, *Nitella spec.* und als schwimmende Decken *Azolla caroliniana*, letztere in Moortümpeln, zu beobachten.

Der eigentliche Verlander und Torfbildner ersten Ranges ist allenthalben *Distichia muscoides*, welche in breit und hoch gewölbten harten Polstern vom Ufer her vordringt. Ihre dicht gefügten Kissen hängen überall wie Balkone, mit ihrer Basis die Oberfläche des Wassers berührend, am Ufertrand vor. Die zweizeilig beblätterten Sprosse sind so eng aneinander gepreßt, daß nur selten eine andre Pflanze in ihren Polstern sich ansiedeln kann; daher auch die Seltenheit der Moose in dieser Formation. Erst, wo an einer Stelle — etwa nach Austrocknung des Bodens — die *Distichia*-Polster verrotten und oberflächlich zerstört werden, siedeln sich einzelne Moose an, von denen ich als charakteristisch *Funaria linearidens* und *Aulacomnium palustre var. marginatum* kennen gelernt habe. Zu der gleichen Gesellschaft, besonders wo *Distichia* zurücktritt, gehört *Campylopus harpophyllus*, *C. latinervis*, *C. cucullatifolius*, *C. ingeniensis* und *Breutelia integrifolia*. Bedeutender ist die Zahl der Moose in den hochandinen Quellrieden, wo ebenfalls Torfbildung in geringer Mächtigkeit stattfindet. Hier findet man folgende Arten: *Dicranella Jamesonii*, *D. campylophylla*, *D. laxiretis* und *D. submacrostoma*, *Campylopus malagensis*, *Leptodontium proliferum*, *L. spongiosum*, *L. rufescens*, *Barbula paludicola*, *Entosthodon fontanus*, *Anomobryum robustum*, *Bryum flexisetum*, *B. laevigatum*, *Aulacomnium palustre var. marginatum*, *Bartramia polytrichoides*, *Conostomum macrotheca*, *Philonotis pellucidiretis*, *Breutelia undulata*, *B. Lorentzii*, *B. minuta*, *B. integrifolia*, *B. straminea*, *Psilopilum antarcticum*, *Rhacocarpus Humboldtii*, *Hygroamblystegium curvicaule*, *Drepanocladus exannulatus*, *Calliergon Luipichense*, *C. stramineum*, *Hygrohypnum aureum*, *Campylium polygamum var. latifolium* und *Rhytidium rugosum*. *Sphagna* treten im Gebiet nur an der Waldgrenze auf; im eigentlichen Hochgebirge habe ich vergebens danach gesucht. Auch von anderen Sammlern liegen keine solchen Beobachtungen vor, was um so merkwürdiger ist, als **W e b e r b a u e r** aus den peruanischen Hochanden *Sphagneen* anführt.

6. Steppen.

Bei zunehmender Trockenheit des Klimas wird in den kühl temperierten Hochländern des innerandinen Gebietes aus den Sempervirentiprata oder immergrünen Hartgraswiesen die Steppe. Den schlechteren Lebensbedingungen dieser Formation entspricht die weitgehende Verarmung in der Mooswelt. Der Typus bleibt im allgemeinen derselbe, die Anpassungen aber im einzelnen werden noch extremer xeromorph. Kleine *Haplodontien*, wie *Haplodontium sanguinolentum* und *H. cuspidatum* sind noch zu finden, während die *Mielichhoferien* zurückbleiben. Die meisten Arten dieser Xerophytenformation

stammen aus den Familien der *Pottiaceae* und *Trichostomaceae*. Dichte Kurzrasen, kätzchenförmige Sprosse und das Rollblatt sind dieser Biomorphose charakteristisch. Hierher gehören *Barbula apiculata*, *B. pachygastrella*, *B. Punae*, *Globulina boliviana*, *Husnotiella glossophylla*, *Tortula percarcosa*, *Alcinella boliviana*, *Trichostomum challaense* und *T. edentulum*, *Anomobryum soquense*, *A. humillimum* und *Bryum challaense*. Das Gebiet ist leider nur sehr unvollkommen durchforscht und verspricht noch, trotz der äußersten Spärlichkeit und Winzigkeit der Moose, die interessantesten Funde.

Die Steppen der warmen interandinen Täler haben ihre Behandlung schon bei den Hartlaubgehölzen gefunden, da sie sich in ihrem bryologischen Inhalt vom Dornbusch nicht trennen lassen.

7. Felsreviere des Hochgebirges.

Die reichste Entfaltung findet die Moosvegetation des Hochgebirges auf felsiger Unterlage. Nach der chemischen Zusammensetzung pflegt man zwischen kalkholden und kieselholden Moosen zu unterscheiden. In unserem Gebiet gibt es keine kalkreichen Gesteine; wir haben lediglich zwischen den meist granitischen Massengesteinen (nur in der Quimzacruzkordillere) und den silurischen und devonischen Sedimenten zu unterscheiden, die vorwiegend aus dunkelgrauen Tonschiefern bestehen; seltener sind devonische rote Sandsteine. Im Kontaktbereich der Aracagranite sind die silurischen Tonschiefer in Hornblendeschiefer mit reicher Erzführung (Zinn, Eisen, Wolfram) umgewandelt. Die Unterschiede in der Vegetation zwischen den Massengesteinen und den Schiefern dürften weniger durch die chemische Beschaffenheit des Substrates verursacht sein, sondern finden ihre Erklärung wohl am besten in dem physikalisch verschiedenen Verhalten dieser Gesteine. Der Granit verwittert mehr makroklastisch in grobe, an ihrer Oberfläche wenig zersetzte Körner, während der Schiefer an der Oberfläche, besonders an den Schichtköpfen, fein zerspaltet und in dieser erdigkrümligen Verwitterungshaut das günstigste Substrat für Moose darbietet.

In der ganzen Ostkordillere kommen als Unterlage fast nur Schieferfelsen in Betracht. In der Quimzacruzkordillere entfallen weitaus die meisten Fundorte auf die z. T. kontaktmetamorph veränderten Schiefer. Eine Gegenüberstellung nach der Gesteinsbeschaffenheit ist also nicht empfehlenswert, da aus dem Granit viel weniger Fundorte und Beobachtungen vorliegen, die beiden zu vergleichenden Größen deshalb ganz ungleichwertig ausfallen müßten. Für die scharfe Unterscheidung einer unteren hochandinen und einer oberen hochandinen oder subnivallen Stufe liegen nicht genügend Aufzeichnungen vor. Weitaus die meisten der hochandinen Felsmoose stammen aus Höhen von 4400 m aufwärts. Tatsächlich reichen ausgedehntere Felsreviere selten tiefer in die Hochsteppe und Hartwiesen hinab. Die höchsten von mir (und überhaupt in Bolivia) beobachteten Fundorte von Moosen liegen um 5300 m am Cerro San Luis in der Montblancokette (Quimzacruz), wo ich noch *Campylopus subjugorum* und eine sterile *Mielichhoferia* sammelte. Um 5200 m hat Frau E. Knoche am Aguilakamm mehrere Moose, darunter *Tortula ciliata*, *Amphidium brevifolium*, *Haplodontium splendidum* und *Philonotis scabrifolia*, gefunden, und die von mir im Schneetälchen am Gipfel des Cerro Tunari aufgenommenen Moose stammen aus Höhen nicht weit unter 5200 m. Wie schon oben erwähnt, setzt sich das Gros der Felsmoosvegetation aus *Grimmiaceen* und *Andreaeaceen* zusammen, von weiteren wichtigen Gattungen sind hervorzuheben: *Distichium*, *Oreoweisia*, *Dicranoweisia*, *Molendoa*, *Anoetangium*, *Amphidium*, *Zygodon*, *Bartramia*, *Hedwigidium*, *Braunia*, *Rhacocarpus*, *Leptopterigynandrum*.

Eine Einteilung der Felsmoose läßt sich wohl am besten auf folgender Grundlage geben:

1. An freiliegenden, sonnigen, trockenen Stellen:

<i>Andreaea arachnoidea</i>	<i>Dicranoweisia flexipes</i>
„ <i>Lorentziana</i>	„ <i>fallax</i>
„ <i>angustifolia</i>	<i>Didymodon contortus</i>
„ <i>laticuspes</i>	<i>Barbula glaucescens</i>
<i>Oreoweisia ampliata</i>	<i>Tortula ruralis</i>
„ <i>bogotensis</i>	<i>Ptychomitrium chimborazense</i>

Ptychomitrium papillosum	Grimmia flexicaulis
Coscinodon trinervis	„ quatricurris
„ bolivianus	„ trichophylloidea
Schistidium angustifolium	„ fuscolutea
„ streptophyllum	„ pansa
„ calycinum	„ julacea
„ andinum	Rhacomitrium brachypus
„ praemorsum	„ austrosudeticum
„ Chocayae	Orthotrichum rupestre
Grimmia subovata	„ psychophilum
„ microovata	„ parvum
„ navicularis	Haplodontium Herzogii
„ leucophaeola	Polytrichum intermedium
„ Herzogii	Hedwigidium imberbe
„ speirophylla	Braunia argentinica
„ nigella	„ subplicata
„ olivacea	Leptopterigynandrum austroalpinum
„ squamatula	

2. An freiliegenden, wasserberieselten oder wenigstens feuchten Stellen.

Andreaea dissitifolia	Schistidium tunariense
„ vilocensis	„ fontanum
„ tunariensis	Grimmia subquatricurris
„ barbuloides	„ bicolor
„ clavata	„ tristicha
„ erythrodictyon	Wollnya stellata
„ robusta	Bryum pulchretere
„ pseudosubulata	„ apophysatum
„ subenervis	Rhacocarpus Humboldtii
Polymerodon andinus	„ excisus
Hymenostylium contextum	„ australis
Barbula Pflanzii	Sciaromium holoneuron
„ flexifolia	Hygrohypnum validum
Schistidium malacophyllum	Brachythecium cavifolium

3. In Felsspalten oder Nischen (meist schattig-feucht).

Distichium capillaceum	Haplodontium vilocense
Rhabdoweisia fugax	Webera cruda
Molendoa boliviana	Bryum philonoteum
„ Herzogii	Plagiopus Oederi
Tortula andicola	Anacolia setifolia
Anoectangium Pflanzii	Bartramia Brotheri
„ Herzogii	„ pruinata
„ Lechlerianum	„ Weddellii
Amphidium cyathicarpum	Philonotis scabrifolia
„ brevifolium	Breutelia Gertrudis
Zygodon pichinchensis	Lepyrodon tomentosus var. tunariensis
„ Goudotii	Fabronia andina
„ oeneus	Hypnum latifolium
Physcomitrium turgidum	Cirriphyllum andinum
Mielichhoferia subglobosa	„ laevifolium

4. In trockenen, tienschattigen Löchern zwischen Felsblöcken.

Distichium capillaceum	Williamsiella tricolor
Didymodon Jamesonii	Tortula Mniadelphus
Erythrophyllopsis boliviana	Zygodon macrophyllus

Bryum spec.
 Philonotis scabrifolia f. pinnulata
 Catagonium politum

Brachythecium subjulaceum
 Bryhnia boliviana

5. Auf schwarzem Humus an begrasten Felsen.

Oreoweisia Lechleri
 „ ligularis
 „ bogotensis
 Angstroemia julacea
 Campylopus jugorum
 „ subjugorum
 „ perexilis
 Pilopogon nanus
 Didymodon angustifolius
 Erythrophyllopsis boliviana
 Aloiella boliviana
 Rhacomitrium crispipilum
 Tayloria altorum
 Entosthodon acidotus
 Mielichhoferia subcampylocarpa

Mielichhoferia secundifolia
 Haplodontium humipetens
 „ splendidum
 Bryum flexisetum
 „ subnanophyllum
 Bartramia flavicans
 „ perpumila
 „ fragilifolia
 „ potosica
 Conostomum aequinoctiale
 Breutelium pateas
 „ boliviensis
 „ nigrescens
 Daltonia Jamesonii var. laevis
 Catagonium politum

Zum Schluß dürften noch einige Bemerkungen über die allgemeine Erscheinungsform der hochandinen Moose und die Einrichtungen, durch die sie den extremen Bedingungen ihres Wohnortes angepaßt sind, am Platze sein.

Weitaus die Mehrzahl der hochandinen Moose wachsen in Kissen und Polstern, selbst pleurokarpe Arten, wie *Lepyrodon tomentosus* var. *tunariensis*, *Hypnum latifolium*, *Cirriphyllum andinum* nehmen diesen Wuchs an, indem sie zahlreiche aufrechte, in Kissenform dicht aneinander gepreßte Sprosse bilden. Zu den ausgeprägtesten Kissenformen gehören *Ptychomitrium*, *Coscinodon*, *Grimmia*, *Orthotrichum* und *Andreaea*; sie gehören der nackten Felsoberfläche an. In Felsspalten und Nischen dominiert die Polsterform, dichte Verfilzung ist hier die Regel; die typischen Vertreter sind Arten der Gattungen *Hymenostylium*, *Molendoa*, *Anoetangium*, *Amphidium*, *Zygodon*, *Mielichhoferia* und *Haplodontium*. Auf schwarzem Humus herrschen Kurzrasen vor; Beispiele sind *Oreoweisia*, *Angstroemia*, *Campylopus*, *Bryum*, *Bartramia*, *Conostomum*. Daneben finden sich breite Rasen und Filze, wie die *Eubreutelien* und *Rhacomitrium crispipilum*, welches habituell und als Formationsglied etwa die gleiche Rolle wie das nordische *Rh. hypnoides* spielt.

Die Beblätterung ist im allgemeinen gedrängt. Die Blätter liegen im trockenen Zustand meist eng an; kätzchenartige Sprosse kommen in allen Verwandtschaftskreisen vor. Besonders typische Beispiele dafür sind *Angstroemia julacea*, *Astomiopsis*, *Aloiella*, *Globulina*, *Anomobryum*, *Haplodontium*, *Bryum subsericeum*, *B. apophysatum*, *Physcomitrium turgidum*, *Tayloria altorum*, *Conostomum*, *Hedwigidium*, *Lepyrodon*, *Leptopterigynandrum*, *Cirriphyllum andinum*. Bei vielen Polstermoosen verwebt reichlicher Stengelfilz die einzelnen Individuen zu kompakten Massen, so bei *Anoetangium* und *Molendoa*. Die Bewohner sonniger, exponierter Standorte tragen häufig an den Spitzen der Blätter Glashaare; der bekannteste Typus ist *Grimmia* und *Coscinodon*, aber auch bei den *Bartramiaceen* kommen solche vor, nämlich bei *Bartramia pilicuspis* und *Conostomum aequinoctiale*. Ein Analogon bilden die chlorophyllfreien Blattspitzen der *Brya* aus der *Argyrobryum*-Gruppe und einiger Lebermoose, *Jamesoniella* und *Marsupella*-Arten. Das Extrem in dieser Richtung erreichen die Arten der Gattung *Stephaniella*, bei welchen die Blätter ganz chlorophyllfrei sind und nur noch als Schutzorgane für die den Stengel dicht bedeckenden grünen, assimilierenden Paraphyllien funktionieren. Im inneren Bau drückt sich die xerophytische Anpassung einmal in der häufig auf der Rücken(Außen-)Seite stark verdickten Cuticula der Blattzellen, sodann überhaupt in der sehr starken Verdickung aller Blattzellwände aus; damit Hand in Hand schreitet die Verdickung der mechanischen Elemente der Blattrippe, doch dürfte es sich hier nicht mehr um die mechanischen Funktionen, vielmehr um die Aufgabe der Wasserspeicherung handeln.

Der Hohlblatttypus und die Umrollung des Blattrandes bei zahlreichen Arten sind ebenfalls ausgesprochene Xeromorphosen. Mit zu den extremst angepaßten Hochgebirgsmoosen gehören, neben den *Stephaniella*-Arten, *Aloinella* mit dichten Polsterräschen, kätzchenförmigen Sprossen, hohl muschelförmig mit den Rändern eingekrümmten Blättern und fädigen Wucherungen des Assimilationsgewebes auf der Blattinnenseite, sowie die ganz ähnlich organisierte *Aligrimmia*, welche von R. S. Williams in der Westkordillere an besonders trockenen Stellen entdeckt wurde.

Die reichliche Sporogonbildung ist eine Parallelerscheinung zu dem von unsern Alpenpflanzen bekannten Blumenreichtum. Häufig ist eine Verkürzung des Kapselstieles, ein großer Teil der typischen Felsmoose hat eingesenkte, also zwischen den Perichaetialblättern geschützte Kapseln, z. B. viele *Grimmien*, *Schistidium*, *Coscinodon*, *Ptychomitrium*, *Amphidium*, *Tayloria altorum*. Rückbildung des Peristoms (*Mielichhoferia*, *Bartramia Brotheri*, *Entosthodon*arten etc.) und völlige Peristomlosigkeit (*Tristichium mirabile*, *Astomiopsis*, *Angstroemia*, *Physcomitrium turgidum*, *Tortula polyseta* und *T. leiostoma*, *Ptychomitrium chimborazense*, *Bartramia perpumila*, *Psilopilum gymnostomulum* etc.) sind häufige Erscheinungen. Das Extrem in dieser Richtung bildet die Kleistokarpie. Drei Arten haben es erreicht: *Pleuridium andinum*, *Tristichium Lorentzii* und *Conostomum cleistocarpum*. Es ist bezeichnend, daß alle 3 den höchsten Hochgebirgslagen angehören.

Eine ausführliche Darlegung aller dieser hier nur kurz angedeuteten Verhältnisse behalte ich mir vor. Immerhin mag aus dem wenigen Gesagten die Vielseitigkeit der Fragestellungen auf diesem von den Pflanzengeographen noch kaum betretenen Gebiet hervorgehen.

IV. Art-Verzeichnisse von einzelnen besonders reichen Fundstellen.

I. Waldgebiet.

1. Bergwald von Tres Cruces (Kordillere von Santa Cruz) ca. 1400—1500 m.

a) Hochwald (untere Stufe).

Laubmoose:

Holomitrium macrocarpum	Pterobryum densum
Campylopus alopecurus	Pterobryopsis stolonacea
Leucobryum spec. (No. 3548)	Squamidium turgidulum
„ spec. (No. 3899)	„ macrocarpum
Fissidens Wallisii	Pilotrichella cyathipoma
„ Sanctae Crucis	Papillaria nigrescens
„ asplenioides	Neckeropsis undulata
Syrhophodon argentineus	Calyptothecium duplicatum
„ macrophyllus	Neckera Marchalii
„ submacrophyllus	„ Lindigii
Hymenostomum anomalum	Porotrichum Lorentzii
Tortella Germainii	Erythrodonium squarrosus
Barbula unguiculatula	Anacamptodon cubensis
„ Humboldtii	Helicodontium spec. (No. 3562)
Zygodon linguiformis	Hypopterygium Tamarisci
Macromitrium filiforme	Thuidium minutulum
„ solitarium	Rhizohypnum hookerioides
Entosthodon apiahyensis	„ viscidulum
Rhodobryum Beyrichianum	Rhaphidostegium eurycystis
Mnium ligulatum	„ tenerifolium
Leiomela spec. (No. 3900)	„ Lindigii
Forsstroemia coronata	Acanthocladium subnitidum
Prionodon densus	Flabellidium spinosum
„ contortus	Rhynchostegium Tocaremae

Lebermoose:

Metzgeria albina
 Plagiochila pauciramea
 „ dubia
 „ cava
 „ informifolia
 „ barutana
 „ flabellifrons
 „ homochroma
 „ ecuadoriensis
 „ patentissima

Calypogeia muscicola
 Madotheca cognata
 „ pilistipula
 „ ptilopsis
 „ subciliata
 „ venezuelana
 Bryopteris longispica
 „ trinitensis
 „ filicina
 Mastigolejeunea decurrens

b) Buschgürtel (obere Stufe).

Laubmoose:

Campylopus Jamesonii
 „ Pseudodicranum
 „ spec. (No. 3534)
 Fissidens asplenioides
 Leptodontium rhacomitrioides
 Macromitrium filiforme
 „ crispatum
 „ solitarium
 Schlotheimia sublaevifolia
 Bryum linearifolium
 „ perserratum
 Braunia cirrifolia
 Cryphaea patens
 Pterobryum densum

Squamidium turgidulum
 „ macrocarpum
 Pilotrichella cyathipoma
 „ flexilis
 Papillaria Deppei
 „ squamatula
 Meteorium illecebrum
 Meteoropsis remotifolia
 „ patens
 Erythrodontium Germainii
 „ brasiliense
 Fabronia Podocarpi
 Leskea plumaria

Lebermoose:

Plagiochila lacerifolia
 Radula subtropica
 „ ramulina
 Frullania brasiliensis
 „ glomerata
 „ hians
 „ spiniloba
 „ triquetra
 „ coalita
 „ apiahyna
 „ andina
 „ purpurascens
 „ subaculeata
 „ squarrosa

Frullania hastatistipula
 Omphalanthus filiformis
 „ grandistipulus
 Brachiolejeunea mamillata
 Hygrolejeunea cordifissa
 „ eluta
 „ orba
 „ cuspidata
 Eulejeunea symphoreta
 Macrolejeunea Herzogiana
 Strepsilejeunea Kunthiana
 „ papulifolia
 Euosmolejeunea tenerrima

Die Lebermoose sind in dieser Formation numerisch weit überwiegend, ihre aërischen Formen beherrschen mit den Hängeformen der *Meteoriaceen* zusammen vollkommen die Physiognomie der Vegetation.

2. Nebelwald über Comarapa, ca. 2600 m.

Laubmoose:

Symblepharis boliviana
 Holomitrium macrocarpum
 Dicranum speciosum
 „ bolivianum forma
 Campylopus ptychotheca
 „ densicoma
 „ leucognodes

Campylopus Jamesonii
 „ filicuspes
 (Pilopogon gracilis)
 Fissidens asplenioides
 Syrrhopodon argentinicus
 Leptodontium undulatum
 „ capituligerum

Leptodontium vaginatum
 „ cirrifolium
 Eustichia Spruceana
 Zygodon basidentatus
 Macromitrium filiforme
 „ pinnulatum
 „ Herzogii
 „ longifolium
 „ nubigenum
 „ macrosporum
 Schlotheimia sublaevifolia
 Orthodontium spec. (No. 4305)
 Webera spectabilis
 Acidodontium spinicuspes
 „ brachypodium
 Bryum perserratum
 Rhodobryum caulifolium
 „ verticillatum
 Mnium ligulatum
 Rhizogonium bolivianum
 „ spiniforme
 Bartramia mollis
 Cryphaea ramosa
 „ patens
 „ gracillima
 Prionodon lycopodioides
 „ ciliolatoserratus
 „ pendulus
 „ bolivianus
 „ contortus
 Squamidium leucotrichum
 Pilotrichella flexilis
 Meteorium illecebrum

Lebermoose:

Dumortiera hirsuta
 Aneura muscicola
 „ plumaeformis
 Metzgeria myriopoda
 „ villosicosta
 Symphyogyne bogotensis
 „ apiculispina
 Jamesoniella rotundifolia
 „ verrucosa
 „ fragillima
 Lophocolea Wehmeri
 Syzygiella Herzogiana
 Plagiochila connatistipula
 „ Hariotii
 „ Familleri
 „ Lacouturei
 „ Douini
 „ Lindau
 „ triangulifolia
 „ deciduifolia
 „ papillifolia
 „ grossiseta
 „ heterofolia
 „ quitensis

Floribundaria tenuissima
 Phyllogonium fulgens
 Neckera Lindigii
 „ Jamesonii
 Porotrichum macropoma
 Porothamnium gymnopodium
 „ ramosissimum
 „ subramosissimum
 Porotrichodendron superbum
 „ robustum
 Daltonia pulvinata
 „ pellucida
 Eriopus papillatus
 Hookeriopsis subsecunda
 Hypnella pilifera
 Hypopterygium Tamarisci
 Thuidium peruvianum
 Ctenidium malacodes
 Rhizohypnum reptans
 „ viridicaule
 „ pelichucense
 Breidleria amabilis
 Plagiothecium microsphaerothecium
 „ conostegium
 Catagonium politum
 Rhaphidostegium decumbens
 „ Lindigii
 Aptychella caudata
 Pleuropus Bonplandii
 Brachythecium sulphureum
 „ grandirete
 Rigodium leptodendron

Plagiochila trilobata
 „ Beauverdii
 „ rotundifolia
 „ purpurea
 „ cava
 „ pichinchensis
 „ sparsifolia
 „ subwallisiana
 „ grossitexta
 „ procera
 „ effuseramea
 „ Lotsyana
 „ Friesei
 „ barbata
 „ Lachenaudii
 „ cuencensis
 „ Patzschkei
 „ Jaapii
 „ Inuensis
 „ rigidula
 „ Delognei
 „ Solmsii
 „ Corbieri
 Tylimanthus bifidus

Tylimanthus Herzogii	Frullania	Arecae
Chiloscyphus difficilis	„	Pfefferi
Schisma serratum	„	Bakeri
Mastigobryum variedentatum	„	Barbeyana
„ incisostipulum	„	curviramea
„ Hariotii	„	hastatistipula
„ Douini	„	fusiflora
Lepicolea pruinosa	„	brasiliensis
„ Herzogiana	„	phalangiflora
Trichocolea Allionii	„	capilliformis
„ Herzogii	Omphalanthus	filiformis
„ paupercula	Mastigolejeunea	decurrens
„ difficilis	Archilejeunea	involuta
Scapania boliviensis	Eulejeunea	Spruceana
Madotheca pilistipula	Diplasiolejeunea	Paukerti
Radula ramulina	Strepsilejeunea	boliviensis
„ conferta	Harpalejeunea	boliviana
„ convexa	Taxilejeunea	cuspidata
„ appendiculata	„	peruviana
Frullania Lechleri	Cheilolejeunea	boliviensis
„ andina		

Die Lebermoose sind nach der Artenzahl im Übergewicht, als Formationselemente halten sich Laub- und Lebermoose ungefähr die Wage. Die breiten Kissen, Polster und Filze werden meist von Laubmoosen gebildet, denen zahlreiche Lebermoose eingestreut sind. Ein Rasen von *Leptodontium* oder *Dicranum speciosum* etc. enthält zuweilen bis zu 10 verschiedene Lebermoose.

3. Feuchte Bergwälder im Einzugsgebiet des Rio San Mateo (tiefster erreichter Punkt ca. 1400 m).

a) Unterer Gürtel (unter 2000 m).

Laubmoose:

Campylopus alopecurus	Squamidium	leucotrichum
Fissidens oligophyllus	Pilotrichella	versicolor
„ Carionis	Papillaria	appressa
„ mateoënsis	„	squamatula
„ asplenioides	Lindigia	aciculata
Rhamphidium pygmaeolum	Meteoriopsis	patens
Leptodontium filicicola	Calyptothecium	duplicatum
„ papillosum	Neckera	Lindigii
Didymodon campylopyxis	„	Marchalii
Schlotheimia longicaulis	Porotrichum	strictum
„ sublaevifolia	Porothamnium	explanatum
Funaria calvescens	Entodon	Nanoclimacium
Bryum linearifolium	„	flexipes
„ genucaule	Erythrodonium	squarrosum
Rhodobryum Beyrichianum	Hypopterygium	Tamarisci
Mnium ligulatum	Rhacopilum	Floridae
Leptotheca boliviana	Thuidium	leptocladum
Leiomela brachyphylla	Rhizohypnum	stigmopyxis
Philonotis lignicola	„	heterostachys
Polytrichadelphus bolivianus	„	acrorrhizon
Pogonatum distantifolium	„	reptans
Cryphaea Jamesonii	„	robustusculum
„ patens	„	capillirameum
Prionodon densus	Rhaphidostegium	eurycystis
„ contortus	„	caespitosum
Pterobryum densum	„	Kegelianum
Orthostichidium excavatum	Rhynchostegium	conchophyllum

Lebermoose:

Lophocolea	celluloso-crenulata	Madotheca	renifolia
Plagiochila	huatuscana	Radula	andicola
„	pauciramea	Frullania	fusiflora
„	dubia	„	evolutiloba
„	laxiramea	Ptychocoleus	dentilobulus
„	ampliata	„	boliviensis
„	similis	Dicranolejeunea	oblongifolia
„	variespinosa	„	axillaris
Bryopteris	longispica	Mastigolejeunea	decurrens
„	trinitensis	Taxilejeunea	hamatifolia
Madotheca	caudata		

b) *Oberer Gürtel* (über 2000 m).

Laubmoose:

(Rhabdoweisia	fugax)	Bartramia	squarrosa
Oreoweisia	laxiretis	Prionodon	lycopodioides
Holomitrium	macrocarpum	„	ptychomnioides
Campylopus	trichophorus	„	pendulus
„	leucognodes	„	undulatus
„	spurioconcolor	Squamidium	leucotrichum
Trichostomum	fallax	Pilotrichella	flexilis
Tortella	Germainii	Papillaria	imponderosa
Didymodon	macrophyllus	Meteorium	illecebrum
Zygodon	stenocarpus	Lindigia	debilis
Macromitrium	crispatulum	Neckera	Lindigii
„	subscabrum	Porotrichum	pinnatelloides
„	validum	Porotrichopsis	flacca
Tayloria	Mandoni	Hookeriopsis	subsecunda
„	scabriseta	Hypnella	pilifera
Orthodontium	longisetum	Plagiothecium	bolivianum
Brachymenium	barbaloides	„	novogranatense
„	flexipilum	„	conostegium
Rhizogonium	bolivianum	Catagonium	politum
Bartramia	secunda	Rhaphidostegium	turgidulum

Lebermoose:

Metzgeria	gigantea	Plagiochila	linearicuspidata
„	Schiffneri	„	decurvo-homomalla
„	Spindleri	„	Caversii
Jamesoniella	latifolia	„	Doerfleri
„	rufescens	„	repetitifurcata
„	limbata	Schisma	boliviense
Lophocolea	cervicornis	Lepidozia	serpens
Syzygiella	Herzogiana	„	Urbanii
Plagiochila	Alberti	Trichocolea	filicaulis
„	Buchii	Radula	Goebelii

4. *U m g e b u n g v o n I n c a c o r r a l* (zwischen 2000 und 2300 m).

Laubmoose:

Dicranella	Guilleminiana	Leucobryum	giganteum
„	nanocarpa	Fissidens	Inacorralis
Campylopus	reflexus	„	asplenioides
„	fulvus	Syrrophodon	scaber
„	ptychotheca	Trichostomum	fallax
„	Inacorralis	Rhamphidium	pygmaeolum
„	Yungarum	„	Levieri
„	densicoma	Leptodontium	cirrifolium

Streptopogon erythrodontus
 „ peruvianus
 „ spathulatus
 Zygodon inconspicuus
 Macromitrium crenulatum
 „ refractifolium
 Webera loriformis
 „ papillosa
 Bryum albidum
 „ argenteum
 „ sericeum
 „ Stephanii
 „ perserratum
 „ microcomosum
 „ linearifolium
 Mnium ligulatum
 Bartramia flavicans
 „ rosea
 Philonotis Gardneri
 „ Guyabayana
 Breutelia tomentosa
 Catharinaea elamellosa
 Pogonatum arcuatum
 Polytrichum juniperinum
 Cryphaea pilifera
 „ Jamesonii
 Prionodon pinnaatus
 „ filifolius
 „ bolivianus
 Pterobryum densum
 Squamidium leucotrichum
 „ nigricans
 Pilotrichella flexilis
 Papillaria imponderosa
 Floribundaria tenuissima
 Meteorium illecebrum
 Lindigia aciculata
 „ debilis
 Phyllogonium viscosum
 Neckera Lindigii
 „ trabeculata

Porotrichum pinnatelloides
 Porothamnium ramosissimum
 Entodon Nanoclimacium
 „ flavissimus
 „ gracilisetus
 „ pallidisetus
 Daltonia subirrorata
 „ latolimbata
 Eriopus papillatus
 Cyclodictyon obscurum
 Lepidopilum Mülleri
 „ ovatifolium
 Hypnella pilifera
 Hypopterygium Tamarisci
 Rhacopilum intermedium
 Thuidium leptocladum
 „ Yungarum
 „ peruvianum
 Rhizohypnum heterostachys
 „ plumosum
 „ decurrens
 „ andicola
 „ viscidulum
 Campylium hispidulum
 Breidleria amabilis
 Rhaphidostegium Lindigii
 „ decumbens
 „ andinum
 „ loxense
 Aptychella prolifera
 Brachythecium sulphureum
 „ longisetum
 „ grandirete
 „ bolivioplumosum
 Oxryrhynchium aquaticum
 „ rugisetum
 Eurhynchium oedogonium
 Rhynchostegiella semitorta
 Rhynchostegium conchophyllum
 „ planifolium

Lebermoose:

Targionia robusta
 Lunularia cruciata
 Dumortiera hirsuta
 Aneura Uleana
 Metzgeria arborescens
 „ gigantea
 „ attenuata
 Symphyogyne bogotensis
 „ Goebelii
 Monoclea Gottschei
 Lophocolea longiseta
 Solenostoma bolivianum
 Plagiochila grossitexta
 „ Slateri
 „ Bryhnii

Lepidozia Herzogiana
 Madotheca latetrigona
 „ rufescens
 Radula grandiloba
 Frullania andina
 „ Berggrenii
 „ Jelskii
 Dicranolejeunea boliviensis
 „ Renauldii
 „ pulcherrima
 Brachiolejeunea cordistipula
 Harpalejeunea grossearmata
 Anoplolejeunea acutifolia
 Taxilejeunea pusilla

5. Bergwald des Sillar (Espiritu Santo-Weg) zwischen 1400 und 1800 m.

Laubmoose:

Sphagnum meridense	Cyclodiotion pusillum
Dicranella Perrottetii	Callicostella spec. (No. 2757 c)
Campylopus Gertrudis	Hookeriopsis variabilis
Leucobryum giganteum	„ purpureophylla
„ spec. (No. 2685)	„ falcata
Fissidens macrophyllus	„ crispa
„ innovans	Hypnella pilifera
Syrrophodon papillosus	„ Brotheri
Orthotrichum liliputanum	Crossomitrium rotundifolium
Tayloria Moritziana	Lepidopilum curvisetum
Bryum linearifolium	„ malachiticum
Rhodobryum Beyrichianum	„ brachyphyllum
Leiomela brachyphylla	„ spec. (No. 2688)
Philonotis Gardneri	„ spec. (No. 2712)
Prionodon fuscolutescens	Hypopterygium Tamarisci
Meteoriopsis patens	Rhacopilum tomentosum
Squamidium nigricans	Rhizohypnum delicatulum
„ filiferum	Ectropothecium aeruginosum
„ leucotrichum	„ campanulatum
„ macrocarpum	„ spec. (No. 2693)
Entodon gracilisetus	Isopterygium vagans
Leskeodon andicola	„ subglobosum
Cyclodictyon limbatum	Rhaphidostegium cuspidiferum
„ albicans	

Lebermoose:

Dumortiera hirsuta	Plagiochila acanthoda
Marchantia brasiliensis	„ contingens
Aneura Wallisii	„ bursata
„ lamellifera	„ Macvivarii
Metzgeria terricola	Isotachis paucidens
„ boliviana	„ Lindigiana
Symphyogyne paucidens	Lepidozia Allionii
„ brasiliensis	Trichocolea filicaulis
„ Goebelii	„ flaccida
„ Brogniartii	„ Allionii
„ canaliculata	Frullania andina
Lophocolea quadridens	„ brasiliensis
„ quadridentata	Omphalanthus filiformis
„ Osculatii	Dicranolejeunea axillaris
„ Lechleri	Hygrolejeunea Herzogii
„ boliviensis	„ cordifissa
Plagiochila geniculata	Ceratolejeunea peruviana
„ subcristata	Cyclolejeunea peruviana
„ macrotricha	Taxilejeunea acutifolia
„ cobana	„ isocalycina
„ subconvoluta	„ chimborazensis
„ barutana	

6. Oberes Coranital (zwischen 2400 und 2700 m).

Laubmoose:

Holomitrium macrocarpum	Leptodontium longicaule
Campylopus leucognodes	„ cirrhifolium
„ Jamesonii	Streptopogon erythrodontus
„ trichophorus	„ peruvianus
Fissidens Wallisii	Zygodon coraniensis

Zygodon ramulosus
 Macromitrium macrosporum
 „ liberum
 „ brevihamatum
 Brachymerium Jamesonii
 Acidodontium pallidum
 Webera spectabilis
 „ papillosa
 Leiomela deciuifolia
 Breutelia secundifolia
 Cryphaea macrospora
 Prionodon pinnatus
 „ fuscolutescens
 Squamidium leucotrichum
 „ filiferum

Lebermoose:

Androcryphia confluens
 Metzgeria acuminata
 „ arborescens
 Anastrophyllum hians
 Lophocolea quadridens
 Leioscyphus campanulatus
 Syzygiella boliviana
 Plagiochila montana
 „ barutana
 „ echinella
 „ bahiensis
 „ permixta
 „ cuervina
 „ choachina
 „ subrotundifolia
 „ Friesei
 „ Jensenii
 „ Schinzii
 „ argentinica

Pilotrichella flexilis
 Floribundaria tenuissima
 Meteorium illecebrum
 Daltonia longifolia
 „ tenuifolia
 Entodon Nanoclimacium
 „ flavissimus
 „ microcarpum
 Pseudoleskea andina
 Thuidium leptocladum
 Breidleria amabilis
 Rhizohypnum robustiusculum
 Aptychella prolifera
 Rhaphidostegium Lindigii
 Rhynchostegium planifolium

Plagiochila striolata
 Mastigobryum Lindigii
 „ bolivianum
 Lepicolea pruinosa
 Schisma serratum
 Radula subtropica
 „ frondescens
 „ boliviana
 Frullania paradoxa
 „ brasiliensis
 „ boliviana
 „ viminicola
 „ megalostipa
 „ Beauverdii
 „ spiniloba
 „ cuencensis
 „ glomerata
 Brachiolejeunea rupestris
 „ laxifolia

7. Unteres Coranital (zwischen 1500 und 1900 m).

Laubmoose:

Ditrichum capillare
 Dicranella Beyrichiana
 Campylopus annotinus
 Syrrhopodon ochroleucus
 Trichostomum quitense
 Streptopogon erythrodontus
 „ peruvianus
 Tortula mniifolia
 Merceya cataractae
 Anoetangium euchloron
 Zygodon subdenticulatus
 Macromitrium longifolium
 „ brevihamatum
 Funaria calvescens
 Mielichhoferia pohlioidea
 Acidodontium pallidum
 Bryum oediloma
 „ linearifolium
 Rhodobryum spec. (No. 4733)

Leiomela brachyphylla
 Philonotis tenella
 „ Gardneri
 Breutelia inclinata
 „ subdisticha
 Acrocryphaea Gardneri
 Cryphaea Jamesonii
 Prionodon luteovirens
 „ cavifolius
 „ spec. (No. 4750)
 „ spec. (No. 4751)
 Squamidium macrocarpum
 Floribundaria tenuissima
 Lindigia aciculata
 „ debilis
 Meteorium illecebrum
 Meteoropsis patens
 Neckera Marchalii
 Daltonia longifolia

Daltonia gracilis
 „ pulvinata
 Isopterygium tenerum
 Rhizohypnum viscidulum
 „ viridicaule
 „ breviusculum

Rhaphidostegium cuspidiferum
 Aptychella proligera
 „ caudata
 Rhynchostegium planifolium
 „ conchophyllum

Lebermoose:

Metzgeria arborescens
 Marsupella exigua
 Lophocolea longissima
 Chilosecyphus parvistipulus
 Plagiochila Schiffneri
 „ ligulato-opposita
 „ brevivittata
 „ rufifolia
 „ Miyakei
 „ repetitifurcata
 „ informifolia
 Lepidozia amazonica
 Isotachis ecuadoriensis
 Scapania boliviensis

Radula appendiculata
 Frullania Beauverdii
 „ campanulata
 Eulejeunea Spindleri
 Mastigolejeunea decurrens
 Harpalejeunea Spruceana
 Diplasiolejeunea pellucida
 Dicranolejeunea nudiflora
 „ pulcherrima
 Taxilejeunea pendula
 „ longiloba
 „ Herzogiana
 „ rufescens

8. Waldgrenze über Tablas (ca. 3400 m).

Laubmoose:

Sphagnum erythrocalyx
 „ sparsum
 „ pulchricoma
 „ platyphylloides
 Ditrichum capillare
 Ceratodon novogranatensis
 Tristichium mirabile
 Angstroemia julacea
 Oreoweisia ligularis
 „ laxiretis
 Rhabdoweisia fugax
 Symblepharis boliviana
 Dicranum bolivianum
 „ speciosum
 Campylopus albidovirens
 „ trichophorus
 „ ptychotheca
 „ concolor
 „ cavifolius
 „ cucullatifolius
 „ ingeniensis
 Pilopogon gracilis
 „ nanus
 Metzleria spiripes
 Fissidens asplenioides
 Leptodontium luteum
 „ Mandoni
 „ sulphureum
 „ vaginatum
 Streptotrichum ramicolium
 Williamsiella tricolor
 Didymodon rubiginosus

Didymodon angustifolius
 Tortula armata
 Encalypta coarctata
 Rhacomitrium crispipilum
 Eustichia Spruceana
 Amphidium cyathicarpum
 Macromitrium subrenulatum
 „ macrosporum
 Entosthodon Lindigii
 Mielichhoferia pusilla
 „ pohlioidea
 „ subcampylocarpa
 „ castanea
 „ submacrodongta
 Webera subleptopoda
 „ apolensis
 Acidodontium longifolium
 Bryum argenteum
 Leiomela deciduifolia
 Bartramia macropoma
 „ squarrosa
 „ secunda
 „ pruinata
 Philonotis fontanella
 „ curvata
 Breutelia straminea
 „ brevifolia
 „ Hasskarliana
 „ Lorentzii
 Polytrichadelphus grossidens
 Polytrichum juniperinum
 Rhacocarpus Humboldtii

Rhacocarpus excisus
 Lepyrodon tomentosus
 Prionodon fuscolutescens
 Neckera eucarpa
 Porothamnium comosum
 Porotrichodendron gracile
 Daltonia tenuifolia
 Hookeriopsis pachydictyon
 Pseudoleskea andina
 Thuidium ochraceum
 Ctenidium malacodes
 „ plumulosum

Lebermoose:

Aneura capillacea
 „ Glaziovii
 „ lamellifera
 Metzgeria leptoneura
 Symphyogyne Goebelii
 „ chiloensis
 Anastrophyllum leucostomum
 „ nigrescens
 „ parvum
 „ cuspidatum
 Jamesoniella Allionii
 „ trigonifolia
 Lophocolea Lorentziana
 „ quadridens
 Leioscyphus schizostomus
 Syzygiella anomala
 Plagiochila flavorufescens
 „ grossitexta
 „ ovata
 „ maxima
 „ fuscolutea
 „ notha
 „ alpina
 „ Trianae
 „ subviminea
 „ purpurea

Rhizohypnum reptans
 Stereodon spiripes
 Breidleria amabilis
 Plagiothecium conostegium
 „ bolivianum
 Catagonium politum
 Rhaphidostegium Lindigii
 Aptychella caudata
 Brachythecium rutabulum
 „ bolivioplumosum
 Eurhynchium oedogonium

Plagiochila latissima
 „ tovarina
 „ subrotundifolia
 Tylimanthus patagonicus
 Schisma divergens
 „ bivittatum
 Isotachis Lindigiana
 „ mascula
 „ ripensis
 „ ecuadoriensis
 Trichocolea Allionii
 Lepicolea boliviensis
 Lepidozia appendiculata
 „ boliviensis
 „ rufescens
 Frullania coalita
 „ paradoxa
 „ subaculeata
 „ hastatistipula
 „ Haeckeriana
 „ Herzogiana
 „ connata
 „ villosa
 Harpalejeunea tuberculata
 Hygrolejeunea cordifissa
 Taxilejeunea asperrima

9. Talschlucht von Tablas (zwischen 1800 und 2000 m).

Laubmoose:

Sphagnum spec. (No. 4648)
 Dicranum bolivianum
 Campylopus concolor
 Leucobryum giganteum
 Syrrhopodon scaber
 „ lycopodioides
 Streptopogon erythrodontus
 Zygodon subdenticulatus
 Macromitrium argutum
 Entosthodon faucium
 Acidodontium macropoma
 Bryum linearifolium
 Leiomela brachyphylla
 Breutelia inclinata
 Acrocryphaea Gardneri

Cryphaea pilifera
 Squamidium perinflatum
 „ leucotrichum
 Pilotrichella versicolor
 „ angustifolia
 Papillaria imponderosa
 Meteorium illecebrum
 Lindigia aciculata
 Meteoropsis patens
 Neckeropsis undulata
 Neckera Lindigii
 Porotrichum longirostre
 Porothamnium subexplanatum
 Daltonia longifolia
 Hookeria acutifolia

Adelothecium bogotense
 Hookeriopsis variabilis
 „ lepidopiloides
 „ Williamsii
 Crossomitrium Wallisii
 „ rotundifolium
 Lepidopilum Mülleri
 „ auriculatum
 Hypnella pilifera
 Hypopterygium Tamarisci
 Rhacopilum intermedium
 Thuidium leptocladum

Ctenidium malacodes
 Rhizohypnum acrorrhizon
 „ heterostachys
 „ andicola
 Ectropothecium apiculatum
 Catagonium politum
 Rhabdostegium decumbens
 „ undulatum
 „ prominulum
 „ loxense
 Sematophyllum ulicinum
 Rhynchostegium conchophyllum

Lebermoose:

Plagiochasma bolivianum
 Monoclea Gottschei
 Aneura muscicola
 Metzgeria boliviana
 Androcryphia confluens
 Symphyogyne mexicana
 „ apiculispina
 Lophocolea cervicornis
 Calypogeia subrotunda
 Plagiochila Bakeri
 „ Camusii
 „ ventricoso-trigona
 „ anguste-oblonga
 „ falcato-oblonga
 „ Berggrenii
 „ effuse-intricata
 „ Barbeyi
 „ Nathorstii
 „ Farlowii
 „ Ambronnii
 „ Geppii
 „ gamma
 „ semidentata
 „ submacrotricha
 Cephalozia diacanthos
 Isotachis trifida
 Mastigobryum Douini
 Trichocolea Allionii

Lepidozia Sprucei
 „ Allionii
 „ heterophylla
 Radula verrucifolia
 „ longituba
 Marchesinia longissima
 Frullania fusiflora
 „ Ambronnii
 „ brachyclada
 „ Goebeliana
 Omphalanthus filiformis
 „ grandistipulus
 Dicranolejeunea axillaris
 „ oblongifolia
 „ Herzogiana
 Diplasiolejeunea pellucida
 Eulejeunea symphoreta
 „ subsymphoreta
 Harpalejeunea excisostipula
 Taxilejeunea apiculata
 „ cordistipula
 „ lancifolia
 „ rufescens
 „ acutifolia
 „ pterogonia
 „ paucidens
 Megaceros Jamesonii
 „ bolivianus

10. Bergwald des Rio Tocarani (zwischen 2100 und 2400 m).

Laubmoose:

Sphagnum spec. (No. 4118)
 Trichostomum quitense var.
 Leptodontium cirrifolium
 Streptopogon peruvianus
 Macromitrium brevipilatum
 Orthodontium longisetum
 Bryum longedecurrens
 Rhizogonium bolivianum
 Mnium ligulatum
 Leiomela brachyphylla
 „ deciduifolia
 Prionodon luteovirens

Prionodon fuscolutescens
 „ bolivianus
 „ spec. (No. 4057)
 Squamidium perinflatum
 „ leucotrichum
 Papillaria imponderosa
 Meteorium illecebrum
 Lindigia aciculata
 „ debilis
 Meteoropsis remotifolia
 Phyllogonium viscosum
 Porothamnium neckeraeforme

Porothamnium subramosissimum
 Porotrichum macropoma
 „ longirostre
 „ pinnatelloides
 Entodon Nanoclimacium
 Eriopus papillatus
 Leskeodon andicola
 Cyclodictyon roridum
 „ breve
 „ tocoraniense
 „ Stephanii
 Hookeriopsis variabilis
 Lepidopilum Mülleri

Lepidopilum Ballivianii
 „ Gertrudis
 Rhynchostegiopsis complanata
 Hypnella pilifera
 Rhacopilum tomentosum
 Thuidium leptocladum
 Rhizohypnum acrorrhizon
 Ectropothecium aeruginosum
 Plagiothecium fallax
 Schröterella zygodonta
 Pleuropus Bonplandii
 Oxyrrhynchium clinocarpum

Lebermoose:

Monoclea Gottschei
 Aneura pinguis
 „ crassicaulis
 „ gracillima
 „ Glaziovii
 Metzgeria fruticola
 Symphyogyne paucidens
 „ apiculispina
 Lophocolea longisetia
 Leioscyphus campanulatus
 Plagiochila Duriei
 „ multispina
 „ deciduifolia
 „ Tocorani
 „ rufoviridis
 „ rufifolia

Plagiochila longiramea
 „ gracilicaulis
 „ falcata
 „ nigricaulis
 Mastigobryum incislobatum
 Trichocolea Allionii
 Lepidozia subtilis
 Madotheca pilistipula
 Radula cornucopiae
 Ptychanthus boliviensis
 Mastigolejeunea decurrens
 Omphalanthus filiformis
 „ grandistipulus
 Anthoceros mexicanus
 Taxilejeunea muscicola
 „ acutifolia

11. Waldgrenze im Tocorani-Tal (ca. 2800—3100 m).

Laubmoose:

Ditrichum capillare
 Ceratodon novogranatensis
 Oreoweisia laxiretis
 Fissidens rigidulus
 Webera spectabilis
 Rhodobryum caulifolium
 Philonotis curvata
 Breutelia mniocarpa
 Cryphaea pilifera
 „ gracillima

Squamidium filiferum
 Papillaria squamatula
 Meteorium illecebrum
 Lepidopilum Herzogii
 „ tenuissimum
 Helicoblepharum venustum
 Entodon flavissimus
 Sciaromium crassinervatum
 Breidleria amabilis

Lebermoose:

Plagiochila minutidens
 „ validissima

Mastigobryum Douini
 Lepidozia flavescens

II. Trockengebiet.

12. Unteres Chocayatal mit Cuesta de Liryuni (3000—3500 m), Polylepis- und Escallonia-Wäldchen.

Laubmoose:

Fissidens rigidulus
 Trichostomum ferrugineum
 Leptodontium turgidum
 Rhexophyllum laciniatum

Didymodon decolorans
 Barbula chocayensis
 Streptopogon clavipes
 Tortula ruralis

Tortula armata
 „ fragilis
 Schistidium apocarpum
 Amphidium cyathicarpum
 Zygodon spec. No. 3600
 Orthotrichum apiculatum
 „ exsertisetum
 Funaria boliviana
 „ calvescens
 „ macrospora
 Mniobryum bolivianum
 Webera clavicaulis
 Bryum rupicola
 „ genucaule
 Breutelia bryocarpa

Hedwigidium imberbe
 Braunia secunda
 „ subplicata
 „ laxifolia
 Lepidopilum filosum
 Lindbergia mexicana
 Leptopterigynandrum austroalpinum
 Hygroamblystegium curvicaule
 Brachythecium Chocayae
 „ lescuraeoides
 „ subjulaceum
 „ flaccum
 „ spec. No. 3463
 Oxyrrhynchium aquaticum

Lebermoose:

Targionia robusta

Brachiolejeunea Mandoni

13. Oberes Llavetal (4100—4400 m) mit Umgebung der Tunariseen.

Laubmoose:

Pleuridium andinum
 Distichium capillaceum
 Astomiopsis amblyocalyx
 Tristichium mirabile
 „ Lorentzii
 Ceratodon novogranatensis
 Dicranella campylophylla
 Hygrodicranum bolivianum
 Oreoweisia Lechleri
 „ ligularis
 „ ampliata
 „ tunariensis
 Dicranoweisia flexipes
 „ fallax
 Campylopus tunariensis
 „ jugorum
 „ harpophyllus
 Fissidens rigidulus
 „ terebrifolius
 „ Bockii
 „ incisus
 Simplicidens andicola
 Leptodontium proliferum
 „ acutifolium
 Williamsiella tricolor
 Globulina boliviana
 Erythrophyllopsis boliviana
 Didymodon decolorans
 „ rubiginosus
 Barbula flexifolia
 „ Pflanzii
 Tortula polyseta
 „ leiostoma
 „ Mniadelphus
 „ runcinata
 „ andicola
 Schistidium tunariense

Schistidium malaccophyllum
 Grimmia subovata
 „ flexicaulis
 „ navicularis
 Rhacomitrium crispipilum
 „ austrosudeticum
 Amphidium cyathicarpum var.
 Zygodon macrophyllus
 Orthotrichum parvum
 Physcomitrium turgidum
 Entosthodon papillosus
 Funaria meeseacea
 Mielihoferia angustata
 „ pusilla
 „ bryocarpa
 „ modesta
 „ campylocarpa
 Haplodontium diplodontum
 „ Jamesonii
 Webera pluriseta
 Anomobryum soquense
 Mniobryum bolivianum
 Bryum argenteum
 „ subsericeum
 „ malaccophyllum
 „ pulchrirete
 „ philonoteum
 „ flexisetum
 „ genucaule
 Aulacomnium palustre var.
 Bartramia fragilifolia
 „ perpumila
 „ defolians
 „ ambigua
 Philonotis pellucidiretis
 Breutelia integrifolia
 „ patens

Pogonatum polycarpum
 Polytrichum juniperinum
 Hedwigidium imberbe
 Braunia subplicata
 „ argentinica
 Leptopterigynandrum austroalpinum

Hygroamblystegium Punae
 Hygrohypnum aureum
 „ validum
 Campylium polygamum
 Bryhnia boliviana
 Oxyrrhynchium aquaticum

Lebermoose:

Metzgeria boliviana
 „ heteroramea
 Symphyogyne bogotensis
 Androcryphia confluens
 Fossombronia spec. (No. 4804)
 Marsupella pusilla

Lophozia multiflora
 Lophocolea alpina
 „ Hariotii
 „ longiseta
 Stephaniella boliviensis

14. Felsen des Cerro Tunari (4600—5200 m).

Laubmoose:

Andreaea arachnoidea
 „ erythrodictyon
 „ clavata
 „ tunariensis
 Distichium capillaceum
 Campylopus subjugorum
 Didymodon contortus
 Tortula andicola
 Grimmia subovata
 „ speirophylla
 „ bicolor

Anoetangium Herzogii
 „ Pflanzii
 Zygodon pichinchensis
 Mielichhoferia subglobosa
 Haplodontium crassinervium
 Bryum apophysatum
 Bartramia fragilifolia
 „ Weddellii
 Breutelia Gertrudis
 Lepyrodon tomentosus var.
 Hypnum latifolium

Laubmoose:

Jamesoniella verrucosa
 Plagiochila Weymouthiana
 „ Hieronymii

Lophocolea pinnatistipula
 Anastrophyllum pusillum
 Frullania Arnellii

15. Umgebung der Saittulaguna (4200—4300 m).

Laubmoose:

Andreaea arachnoidea
 Dicranella laxiretis
 Campylopus perexilis
 Molendoa boliviana
 Leptodontium acutifolium
 Didymodon merceyoides
 Erythrophyllopsis boliviana
 Barbula Pflanzii
 „ paludicola
 Grimmia flexicaulis
 „ navicularis
 „ quatricruris
 „ nigella
 Rhacomitrium austrosudeticum

Amphidium cyathicarpum
 Anoetangium Lechleri
 Entosthodon fontanus
 Mielichhoferia Herzogii
 Haplodontium Herzogii
 Webera cruda
 Bryum laevigatum
 Bartramia fragilifolia
 „ rosea
 Conostomum aequinoctiale
 Philonotis scabrifolia
 Breutelia undulata
 „ integrifolia
 Rhytidium rugosum

Lebermoose:

Jamesoniella Allionii

Isotachis aequifoliata

16. Hochtal von Viloco, Quimzacruzkordillere (4300—5000 m).

Laubmoose:

Andreaea subenervis
 „ arachnoidea

Andreaea Lorentziana
 „ barbuloidea

Andreaea dissitifolia
 „ *vilocensis*
 „ *robusta*
Tristichium mirabile
Distichium capillaceum
Dicranella campylophylla
Angstroemia julacea
Oreoweisia Lechleri
Dicranoweisia spec. (No. 3134)
Pilopogon nanus
Fissidens spec. (No. 3136)
 „ „ (No. 3138)
Leptodontium erythroneuron
Barbula Pflanzii
 „ *fusca*
 „ *flexifolia*
Tortula polyseta
 „ *lelostoma*
 „ *pichinchensis*
 „ *ruralis*
 „ *andicola*
Schistidium fontanum
Grimmia speirophylla
 „ *tristicha*
Rhacomitrium crispipilum
Zygodon pichinchensis
Entosthodon fontanus
 „ *acidotus*
Funaria hygrometrica
Mielichhoferia subcampylocarpa
 „ *seriata*

Mielichhoferia subglobosa
 „ *secundifolia*
Haplodontium vilocense
 „ *subsplendidum*
Anomobryum filiforme
 „ *robustum*
Bryum argenteum
 „ *apophysatum*
 „ *flexisetum*
 „ *subgenucaule*
Bartramia Brotheri
 „ *pruinata*
 „ *Weddellii*
 „ *fragilifolia*
 „ *polytrichoides*
 „ *ambigua*
Conostomum aequinoctiale
 „ *macrotheca*
 „ *cleistocarpum*
Philonotis scabrifolia
Breutelia Lorentzii
 „ *integrifolia*
Psilopilum antarcticum
Rhacocarpus Humboldtii
Fabronia andina
Lindbergia mexicana
Calliergon Luipichense
Hygrohypnum validum
Catagonium politum forma
Brachythecium scaberrimum

Lebermoose:

Marsupella cuspidata
Sphenobolus achrous
Lophozia multiflora
Jamesoniella Allionii

Jamesoniella spec. (No. 3109)
Tylimanthus pusillus
Cephalozia grandifolia
Anastrophyllum parvum

17. U m g e b u n g d e r M i n e M o n t e b l a n c o (Quimzacruz), ca. 4700—5300 m; hierher gehört auch der Aguilakamm.

Laubmoose:

Andreaea subnervis
 „ *clavata*
 „ *laticuspes*
 „ *arachnoidea*
 „ *angustifolia*
 „ *robusta*
Ditrichum submersum
Campylopus subjugorum
 „ *Edithae*
Leptodontium acutifolium var.
 „ *ferrugineum*
Tortula ciliata
Coscinodon trinervis
 „ *bolivianus*
Grimmia subquatricruris

Grimmia tristicha
Amphidium cyathicarpum
 „ *brevifolium*
Funaria linearidens
Mielichhoferia subglobosa
Haplodontium splendidum
Bryum apophysatum
Aulacomnium palustre var.
Bartramia Weddellii
 „ *polytrichoides*
Philonotis scabrifolia
Calliergon stramineum
Brachythecium lescuraeoides
Cirriphyllum andinum
 „ *laevifolium*

Lebermoose:

Androcryphia confluens

Isotachis Uleana

Literatur zu den Laubmoosen.

1. Ångström, Joh. Primae lineae musc. cognosc., qui ad Caldas Brasiliae sunt collecti. Öfv. af Kgl. Sv. Vet. Ak. Förh. 1876, No. 4.
2. Beschereille, E. Prodromus Bryologiae Mexicanae. Mémoires de la Soc. nat. des sc. natur. de Cherbourg, Tome XVI.
3. — Musci in „Cryptog. Centrali-Americanae a cl. F. Lehmann lectae.“ Bull. Herb. Boiss. Tome II, No. 6, 1894.
4. — Note sur les Mousses du Paraguay. Mém. de la Soc. nat. des sc. natur. de Cherbourg, Tome XXI., 1877.
5. — Selectio Novorum Muscorum. Journal de Botanique, 1891.
6. Britton, E. G. An enumeration of the Plants collected by H. Rusby in Bolivia, 1885—1886. Bull. of the Torr. Bot. Club 1896.
7. Brotherus, V. F. Musci in Engler et Prantl Nat. Pfl.
8. — Musci Schenckiani. Hedwigia 1894.
9. — Beiträge zur Kenntnis der brasilianischen Moosflora, Hedwigia 1895.
10. — Nouvelles contributions à la fl. bryol. du Brésil. Bihang till K. Vet.-Ak. Handl. Bd. XXI, Afd. III.
11. — Die Laubmoose der ersten Regnellschen Expedition. Bihang till K. Vet.-Ak. Handl. Bd. XXVI, Afd. III.
12. — Contributions à la flore bryologique du Brésil. Act. Soc. sc. Fenn. 1891, No. 5.
13. — Musci Amazonici et subandini Uleani. Hedwigia, Bd. XLV.
14. — Musci frondosi in J. Perkins, Beiträge zur Flora von Bolivia. Englers Bot. Jahrb. Bd. 49, 4. 1.
15. Cardot, J. Coup d'oeil sur la flore bryologique du Mexique. Revue Bryol. 1911.
16. — Diagnoses préliminaires de Mousses mexicaines. Revue Bryol. 1909, 1910 und 1911.
17. — Deux genres nouveaux de la région magellanique (Neuroloma et Hygrodicranum), Revue Bryol. 1911, No. 3.
18. — La Flore Bryologique des Terres Magellaniques, de la Géorgie du Sud et de l'Antarctide. Wissensch. Erg. der Schwed. Südpolar-Exp. 1901—1903. Bd. IV Lf. 8. Stockholm, 1908.
19. Geheeb, A. Révision des mousses récoltées au Brésil dans la province de San Paulo par. J. J. Puiggari pendant les années 1877—1882. Revue bryol. 1900.
20. — Additamenta ad Enum. Muscor. hactenus in prov. brasil. Rio de Janeiro et Sao Paulo detect. Flora 1881.
21. Giesenhagen, K. Die Moostypen der Regenwälder. Annales du Jardin Botan. de Buitenzorg. 2. Ser. Suppl. III.
22. Hampe, E. Species novae Muscorum a Lindigio in Novo-Granada coll. Linnaea 1863.
23. — Musci in Triana et Planchon, Prodromus Florae Novo-Granatensis. Paris 1863—1867.
24. — Bemerkungen zu Musci in Prodr. Fl. Nov.-Gran., Bot. Ztg. 1869.
25. — Musci frondosi Brasilienses Pars 1—4. Havniae 1870—1877 in Journ. d'hist. nat. de Copenhague.
26. — Enumeratio Muscorum in prov. brasil. Rio de Janeiro et Sao Paulo detect. Havniae 1879.
27. — Symbolae ad floram Brasiliae centralis cognoscendam. Musci. Vidensk. Meddel. fra den naturh. Foren. in Kjobenhavn 1872.
28. — Musci frondosi a cl. Krause in Ecuador coll. Bot. Ztg., 1869.
29. Herzog, Th. Beiträge zur Laubmoosflora von Bolivia. Beih. zum Bot. Centralblatt, Bd. XXVI (1909), Abt. II.
30. — Weitere Beiträge zur Laubmoosflora von Bolivia. Beih. zum Bot. Centr., Bd. XXVII (1910), Abt. II.
31. — Bemerkungen zu der neuen Laubmoosgattung Wollnya, Beih. zum Bot. Centr., Bd. XXVIII (1911), Abt. II.
32. — Vom Urwald zu den Gletschern der Kordillere. Stuttgart, 1913.
33. — Die bolivischen Kordilleren. Peterm. Mitt. 1913 Mai- und Juniheft.
34. — Beiträge zur Kenntnis von Tektonik und Glazial der bolivischen Ostkordillere. Geolog. Rundschau, 1914.
35. Hooker, W. J. Plantae cryptogamicae quas in plaga orbis novi aequinoctiali collegerunt Alex. von Humboldt et Aimé Bonpland. Adjectis tabulis species quasdam novas minusve cognitatas (Musc. frondosorum et hepat.) exhibentibus, London 1816.
36. Hornschuch. Musci in Martii Flora Brasiliensi. Monachii 1840—1865.
37. Lorentz, P. G. Musci frondosi a cl. Krause in Ecuador prope Loja collecti. Bot. Ztg. 1868.
38. Martius. Icones select. plantarum cryptogamarum quas in itinere per Brasiliam annis 1817—1820 colleg. et descr. Monachii 1828—1834.
39. Mitten, G. Musci Austro-Americani. Enumeratio muscorum omnium austr. am. auctori hucusque cognitorum. Journ. of the Linn. Soc. Vol. XII, 1869.

40. Montagne. Flora Boliviensis. Cryptogamie. Paris 1839.
 41. — Cryptogamae brasilienses s. plantae cellul., quas in itinere per Brasiliam a A. St. Hilaire collect. recens. Ann. sc. nat. 1839.
 42. Müller, C. Hal. Prodrum Bryologiae Boliviana. Nuovo Giornale botanico italiano (Nuova serie) Vol. IV, Fasc. I e II (1897).
 43. — Prodrum Bryologiae Argentinicae Pars I, Linnaea 1879; Pars II, Linnaea 1882; Pars III, Hedwigia, Bd. XXXVI, 1897.
 44. — Symbolae ad Bryologiam Brasiliae et regionum vicinarum, Hedwigia 1900.
 45. — Musci Novo-Granatenses. Flora 1875, No. 34 und 35.
 46. — Musci Novo-Granatenses. Linnaea 1873.
 47. — Genera Muscorum. Classes Schistocarporum, Cleistocarporum, Stegocarporum complectentia, exceptis Orthotrichaceis et Pleurocarpis. Leipzig 1901.
 48. — Relation über die von Gardner in Brasilien gesammelten Moose. Bot. Ztg. 1844 und 1845.
 49. Müller, K. Untersuchung über die Wasseraufnahme durch Moose etc. Jahrb. f. wissenschaftl. Bot., Bd. XLVI, Heft 4.
 50. Raddi. Crittogame Brasiliane. Modena 1827.
 51. Renauld, F. et Cardot, J. Mousses nouvelles de l'Herbier Boissier (Hypnum Barbeyi). Bull. Herb. Boiss. Tome II, No. 1, 1894.
 52. — Musci Costaricensis. Bull. de la Soc. royale de bot. de Belg. t. XXXI, 1892.
 53. — Musci exotici novi vel minus cogniti. Bull. de la Soc. royale de bot. de Belg. t. XXIX, 1890.
 54. Spruce, R. Mosses of the Amazon and Andes. Journ. Linn. Soc. Vol. V, 1851.
 55. — Catalogus Muscorum terrae Amazon. et Andes. London 1867.
 56. Williams, R. S. Bolivian Mosses, Part I und II. Bull. of the New York Bot. Garden Vol. 3, No. 9, 1903 und Vol. 6, No. 21, 1909.
-

Nachtrag.

- S. 78. 318a. **Haplodontium Jamesonii** (Tayl.)
Im oberen Llavetal, ca. 4200 m, No. 4820;
im Hochland von Totorá, ca. 2800 m, No. 5110.
- S. 78. 318b. **Haplodontium diplodontum** (Mitt.) Jaeg.
Im oberen Llavetal auf Erde am Bachrand, ca. 4200 m, No. 4817.
- S. 133. 574a. **Hookeriopsis crispa** (C. M.) Jaeg.
Auf Steinen im Wald beim Sillar, ca. 1700 m, No. 2684.
-

Berichtigungen.

- S. 41. 155. **Barbula flexifolia** Herzog nov. spec. ist in **B. Rothii** Herzog nov. spec. umzuändern, da, wie Herr Dr. G. Roth mir mitteilt, schon eine *B. flexifolia* Hpe. existiert.
- S. 68. 273. **Macromitrium macrosporum** Herzog nov. spec. ist in **M. gigasporum** Herzog nov. spec. umzuändern, da schon ein *M. macrosporum* Broth existiert. (Frdl. Mitteilung von Herrn Dr. G. Roth.)
-

Namen-Register.¹⁾

- Acanthocladium subnitidum* (Hpe.) **159**, 289
Acidodontium brachypodium (C. M.) **82**
 .. *lonchotrachylon* (C. M.) **82**
 .. *longifolium* (Schimp.) **82**
 .. *macropoma* (C. M.) **82**
 .. *pallidum* Herzog **82**
 .. *spinicuspes* Broth. **82**
Acrocryphaea Gardneri (Müll.) **106**, 286
 .. *julacea* (Hornsch.) **106**, 286 303,
Adelothecium bogotense (Hpe.) **129**, 287
Aloina calceolifolia **170**, 311, 394
Aloinella boliviana Broth. **46**, 294, 313, 315
Amphidium brevifolium Broth. **170**, 294 313, 314,
 .. *cyathicarpum* (Mont.) **61**, 294, 314
Anacamptodon cubensis (Sull.) **128**, 287
Anacolia setifolia (Hook.) **90**, 295 314,
Anastrophyllum bolivianum St. **186**
 .. *cuspidatum* St. **186**
 .. *hians* St. **186**
 .. *laxifolium* Mont. **186**
 .. *leucostomum* Taylor **186**
 .. *Mandoni* St. **186**
 .. *nigrescens* (Mitt.) St. **186**
 .. *parvum* St. **187**
 .. *pusillum* St. **187**
Andreaea angustifolia Broth. **9**, 293, 313
 .. *arachnoidea* C. M. **8**, 293, 313
 .. *barbuloides* Broth. **10**, 293, 314
 .. *clavata* Broth. **10**, 272, 293, 314
 .. *dissitifolia* Broth. **9**, 272, 293, 314
 .. *erythrodictyon* Herzog **11**, 272, 293, 314
 .. *laticuspes* Broth. **10**, 293, 313
 .. *Lorentziana* C. M. **9**, 293, 313
 .. *pseudosubulata* C. M. **169**, 272, 293, 298, 314
 .. *robusta* Broth. **11**, 272, 293, 314
 .. *striata* Mitt. **169**, 293
 .. *subenervis* Mitt. **11**, 271, 272, 293, 298, 299, 314
 .. *tunariensis* Broth. **10**, 293, 314
 .. *vilocensis* Broth. **9**, 272, 293, 314
Aneura boliviensis St. **176**
 .. *capillacea* St. **174**
 .. *crassicaulis* St. **174**
 .. *Glaziovii* S. **174**
 .. *gracillima* St. **175**
 .. *Herzogiana* St. **175**
 .. *lamellifera* St. **175**
 .. *metzgeriaeformis* St. **175**
 .. *musciicola* St. **176**
 .. *parasitans* St. **175**
 .. *pinguis* (L.) **176**
 .. *plumaeformis* S. **176**
 .. *pulvinata* St. **175**
 .. *Uleana* St. **176**
 .. *Wallisii* St. **176**
Angstroemia julacea (Hook.) Mitt. **13**, **168**, 272, 293, 311, 315
Anoetangium compactum Schwgr. **60**, 294, 298
 .. *euchloron* (Schwgr.) **60**, 284
 .. *Herzoghii* Broth. **60**, 294
 .. *Lechlerianum* Mitt. **60**, 294
 .. *Mandonianum* Schimp. **170**
 .. *Pflanzii* Broth. **60**, 294
Anomobryum cymbifolium (C. M.) **171**
 .. *filiforme* (Dicks.) Husn. **82**, 295, 298
 .. *humillimum* (C. M.) **171**, 295, 313
 .. *obtusatissimum* (C. M.) **171**, 295
 .. *robustum* Broth. **83**, 295, 312
 .. *soquense* Par. **83**, 285, 295, 313
Anomodon fragillimus H. **172**, 288
Anoplolejeunea acutifolia St. **251**
Aptychella caudata Herzog **158**, 289
 .. *proliger* (Broth.) **157**, 289
Archilejeunea involuta St. **248**
 .. *Tonduzana* St. **248**
Astomiopsis amblyocalyx C. M. **13**, 293, 311
Aulacomnium palustre (L.) Schwgr. **90**, 274, 295, 298, 312
Barbula amblyacra C. M. **170**, 284
 .. *apiculata* (Hpe.) **43**, 294, 313
 .. *austroevoluta* Besch. **170**, 294

¹⁾ Die fett gedruckten Zahlen beziehen sich auf den systematischen Teil. Ein Hinweis auf die in den Fundortslisten verzeichneten Arten unterblieb des Raumes wegen, da zahlreiche Wiederholungen zu häufige Zitate nötig gemacht hätten.

- Barbula chocayensis* Broth. et Herzog **43**, 294
 „ *flexifolia* Herzog **41**, **168**, 314, 942
 „ *fusca* C. M. **41**, 294
 „ *glaucescens* (Hpe.) **43**, 293, 313
 „ *Humboldtii* Herzog **167**, 284
 „ *laevigata* (Mitt.) Jaeg. **170**, 284
 „ *pachygastrella* Herzog **43**, 294, 313
 „ *paludicola* Broth. **44**, 312
 „ *perexilis* C. M. **170**, 294
 „ *Pflanzii* Broth. **41**, 294, 314
 „ *Punae* Herzog **43**, 294, 313
 „ *rectifolia* (Mitt.) **42**, 294
 „ *subglaucescens* C. M. **170**, 294
 „ *tortelloides* C. M. **44**, 284
 „ *unguiculatula* C. M. **42**, 284
Bartramia *ambigua* Mont. **95**, 296
 „ *auricola* C. M. **171**, 296
 „ *Brotheri* Herzog **91**, 295, 314, 316
 „ *defolians* Herzog **95**, 296
 „ *didymocarpa* (*Anacolia*) (C. M.) **171**
 „ *flavicans* Mitt. **91**, 285, 315
 „ *fragilifolia* C. M. **93**, 285, 296, 315,
 „ *ithyphylloides* Schimp. **171**
 „ *macropoma* Herzog **91**, 285
 „ *Mathewsii* (Mitt.) **92**, 295
 „ *mollis* Herzog **94**, 285, 308,
 „ *perpumila* C. M. **91**, 295, 311, 315, 316
 „ *perpusilla* C. M. **171**
 „ *pilicuspes* Herzog **92**, 295, 315
 „ *polytrichoides* C. M. **93**, 275, 296, 312
 „ *potosica* Mont. **93**, 296, 315
 „ *pruinata* Herzog **92**, 285, 295, 314
 „ *rosea* Herzog **95**, 285, 296
 „ *secunda* Schimp. **92**, 285
 „ *squarrosa* Herzog **93**, 275, 285, 306
 „ *Weddellii* Herzog **92**, 295, 314
Brachiolejeunea *cordistipula* St. **251**
 „ *laxifolia* (Tayl.) **252**
 „ *Leiboldiana* St. **252**
 „ *mamillata* St. **252**
 „ *Mandoni* St. **252**
 „ *rupestris* (G.) **252**
 „ *succisa* St. **252**
Brachymenium *barbuloides* C. M. **81**, 285
 „ *dimorphum* R. S. W. **171**, 285
 „ *flexipilum* Herzog **81**, 285
 „ *Jamesonii* Tayl. **81**, 285
 „ *verrucosum* (C. M.) **171**, 285
Brachythecium *bolivio-plumosum* C. M. **161**, 278, 289
 „ *cavifolium* Herzog **159**, 269, 314
 „ *calliergonoides* Broth. **161**, 289
 „ *Chocayae* Herzog **160**, 296
 „ *cochlear* C. M. **172**, 289
 „ *conostomum* (Tayl.) **172**, 289
 „ *fissidentoides* Herzog **160**, 296
 „ *flaccum* C. M. **161**, 296
 „ *grandirete* C. M. **159**, 289
 „ *lescuraeoides* Broth. **159**, 296
 „ *longisetum* Herzog **159**, 289
Brachythecium *praelongum* C. M. **172**
 „ *pseudorutabulum* C. M. **172**, 289
 „ *rutabulum* (Br. eur.) **161**, 289, 298
 „ *scaberrimum* Herzog **161**, 289, 296
 „ *stereopoma* (Spruce) **159**, 289
 „ *subjulaceum* Herzog **161**, 296, 315
 „ *sulphureum* (Geh. et Hpe.) **159**, 289
 „ *tenuipinnatum* (C. M.) **172**, 289
Braunia *argentinica* C. M. **105**, 296, 314
 „ *cirrhifolia* (Wils.) **105**, 296, 309
 „ *divaricatula* Herzog **105**, 296
 „ *laxifolia* Herzog **105**, 296
 „ *plicata* (Mitt.) **171**, 296, 309
 „ *secunda* Schimp. **105**, 296, 309
 „ *subplicata* E. Britt. **105**, 296, 309, 314
Breidleria *amabilis* (Mitt.) **151**, 277, 288, 308
Breutelia *anacolioides* Herzog **97**, 296
 „ *boliviensis* Herzog **101**, 296, 315
 „ *brevifolia* Herzog **100**
 „ *breviseta* (C. M.) **171**, 296
 „ *bryocarpa* Herzog **100**, 286
 „ *Gertrudis* Herzog **98**, 296, 314
 „ *Haskarlana* (Hpe.) **98**, 286
 „ *inclinata* (Hpe. et Lor.) **98**, 286
 „ *integrifolia* (Tayl.) **100**, 296, 311, 312
 „ *Lorentzii* (C. M.) **98**, 296, 312
 „ *macrocarpa* Schimp. **171**
 „ *minuta* Herzog **100**, 296, 312
 „ *mniocarpa* (Schimp.) **100**, 286
 „ *nigrescens* Herzog **101**, 296, 315
 „ *nutans* Mont. **171**
 „ *patens* Herzog **101**, 296, 315
 „ *scorpioides* (C. M.) **171**
 „ *secundifolia* (C. M.) **100**, 286
 „ *straminea* Herzog **101**, 296
 „ *subdisticha* (Hpe.) **98**, 286
 „ *tomentosa* (Sw.) **100**, 286
 „ *undulata* Herzog **98**, 296, 312
 „ *Wainioi* Broth. **171**
Bryhnia *Pflanzii* Broth. **162**, 296
Bryum *albium* Broth. **84**
 „ *apophysatum* C. M. **85**, 295, 314, 315
 „ *argenteum* L. **84**, 295
 „ *Atenense* R. S. W. **171**, 285
 „ *bimum* Schreb. **83**, 285
 „ *cavum* C. M. **171**, 285
 „ *challaëase* Broth. **84**, 295, 313
 „ *coloratum* C. M. **171**, 285
 „ *concauum* Mitt. **171**, 295
 „ *densifolium* Brid. **171**, 285
 „ *flexisetum* Mitt. **83**, 295, 312, 315
 „ *genucaule* C. M. **86**, 285, 295
 „ *Inaeorralis* Herzog **171**, 285
 „ *laevigatum* (Hook. f. et Wils.) **86**, 295, 298, 312
 „ *linearifolium* C. M. **86**, 274, 285, 306
 „ *longedecurrens* Broth. **85**, 285
 „ *malacophyllum* Broth. **83**, 295
 „ *Mayense* Spruce **171**, 285
 „ *microcomosum* C. M. **86**, 285

- Bryum nanophyllum* C. M. **171**, 295
 „ *nigropurpureum* C. M. **171**, 295
 „ *oediloma* C. M. **83**, 285
 „ *perserratum* Broth. **87**, 285
 „ *philonoteum* Broth. **84**, 295, 314
 „ *pulchrirete* Broth. **83**, 295, 314
 „ *rupicola* Broth. **85**, 295
 „ *sericeum* Mitt. **85**, 285, 295
 „ *spininervium* Broth. **87**, 295
 „ *Stephanii* Herzog **86**, 285
 „ *subgenucaule* Broth. **86**, 295
 „ *subnanophyllum* Herzog **85**, 315
 „ *subsericeum* Broth. **84**, 295, 311, 315
Callicostella integrifolia C. M. **172**, 287
 „ *microcarpa* (Hornsch.) **172**, 287
 „ *pallida* (C. M.) **172**, 287
 „ *rivularis* (Mitt.) **172**, 287
 „ *scabripes* C. M. **172**, 287
 „ *scabriuscula* (C. M.) **172**, 287
 „ *strumulosa* (Hpe. et Lor.) **172**, 287
 „ *spec.* **132**, 277
Calliergon Luipichense R. S. W. **145**, 296, 312
 „ *stramineum* (Dicks.) **172**, 296, 298, 312
Calymperes bolivianum R. S. W. **170**, 284
Calypogeia annabanensis St. **223**
 „ *musciola* St. **223**
 „ *subrotunda* St. **223**
Calypothecium duplicatum (Schwgr.) **115**, 286
Campylium hispidulum (Brid.) **146**, 288, 296
 „ *polygamum* (Bryol. eur.) **146**, 296, 298, 312
Campylodontium bolivianum C. M. **171**, 287
 „ *onustum* (Hpe.) **171**, 287
Campylopus albidovirens Herzog **19**, 272, 293
 „ *alopecurus* C. M. **21**, 283
 „ *annotinus* Mitt. **22**, 283
 „ *Benedicti* Herzog **169**, 293
 „ *cavifolius* Mitt. **22**, 283
 „ *chrysodictyon* (Hpe.) Mitt. **169**, 283, 293
 „ *concolor* Mitt. **21**, 283
 „ *cucullatifolius* Herzog **22**, 293, 312
 „ *densicoma* C. M. **20**, 283
 „ *Edithae* Broth. **169**, 293
 „ *filicuspes* Broth. **22**, 283
 „ *filifolius* (Hornsch.) Mitt. **169**, 283
 „ *fulvus* Herzog **21**, 283
 „ *Gertrudis* Herzog **21**, 283
 „ *harpophyllum* Herzog **22**, 293, 312
 „ *heterophyllum* Mitt. **169**, 283
 „ *humilis* Mont. **169**, 283
 „ *ingeniensis* R. S. W. **22**, 293, 312
 „ *insignis* Herzog **23**, 293
 „ *introflexus* (Hedw.) Mitt. **169**, 283
 „ *Jamesonii* (Hook.) **21**, 283, 306
 „ *jugorum* Herzog **19**, 293, 311, 315
 „ *julaceus* (Hpe.) **169**, 283
 „ *Krauseanus* (Hpe. et Lor.) **169**, 283
 „ *latinervis* Herzog **19**, 272, 293, 312
 „ *laxiretis* Herzog **169**
 „ *leptodus* (Mont.) Mitt. **169**, 283
Campylopus leucognodes C. M. **20**, 283
 „ *malagensis* Herzog **23**, 293, 312
 „ *microtheca* Herzog **169**, 283
 „ *multicapsularis* (C. M.) **169**, 283
 „ *nanofilifolius* (C. M.) **169**, 283
 „ *occultus* Mitt. **169**, 283
 „ *pelichucensis* R. S. W. **169**, 283
 „ *penicillatus* (Hornsch.) Jaeg. **169**, 283
 „ *perexilis* C. M. **21**, 315, 293
 „ *perreduncus* (C. M.) **169**, 283
 „ *Pseudodicranum* Herzog **169**, 283
 „ *ptychotheca* Herzog **19**, 283
 „ *reflexus* Broth. **23**, 283
 „ *rosulatus* (Hpe.) **169**, 283
 „ *spurioconcolor* (C. M.) **21**, 283
 „ *subcubitus* R. S. W. **169**, 283
 „ *subgriseus* Hpe. **22**, 283
 „ *subjugorum* Broth. **19**, 315, 293
 „ *trichophorus* (Hpe.) Herzog **20**
 „ *trivialis* (C. M.) **169**, 283
 „ *tunariensis* Herzog **19**, 293
 „ *Yungarum* Herzog **169**, 283
 „ *zygodonticarpus* (C. M.) Par. **169**, 283
Catagonium politum (Hook. fil. et Wils.) **154**, 288, 298, 296, 315
Catharinaea elamellosa Herzog **102**, 286
 „ *nigricans* C. M. **102**, 296
 „ *polycarpa* (Schimp.) **171**, 286
Cephalozia diacantha (Mont) St. **222**
 „ *grandifolia* St. **222**
Ceratodon novogranatensis Hpe. **13**, 293
Ceratolejeunea brasiliensis (G.) St. **259**
 „ *peruviana* St. **259**
Cheilolejeunea boliviensis St. **266**
 „ *Herzogiana* St. **267**
Chiloscyphus difficilis St. **222**
 „ *parvistipulus* St. **222**
 „ *porphyrius* Nees **222**
Chrysoblastella boliviana R. S. W. **170**, 293
 „ *revoluta* Herzog **39**, 293
Cirriphyllum andinum Herzog **162**, 296, 314, 315
 „ *laevifolium* Herzog **162**, 296, 314
Cololejeunea Herzogii Goebel **269**
Conostomum aequinoctiale Schimp. **95**, 296, 311, 315
 „ *cleistocarpum* Herzog **96**, 296, 312, 316
 „ *macrotheca* Herzog **96**, 296, 312
Coscinodon bolivianus Broth. **52**, 294, 314
 „ *trinervis* (R. S. W.) Broth. **52**, 294, 314
Cratoneuron submersum Herzog **145**, 296, 312
Crossomitrium rotundifolium Herzog **134**, 288
 „ *Wallisii* C. M. **135**, 288
Cryphaea boliviana C. M. **171**, 286
 „ *brachycarpa* C. M. **171**, 286
 „ *gracillima* Herzog **107**, 286
 „ *hygrophila* C. M. **171**, 286
 „ *Jamesonii* Tayl. **107**, 286
 „ *latifolia* Mitt. **171**, 286
 „ *macrospora* Herzog **108**, 286
 „ *microspora* Herzog **107**, 286
 „ *patens* Hornsch. **107**, 286

- Cryphaea pilifera* Tayl. **107**, 286
 „ *ramosa* Wils. **106**, 286
 „ *tenuicaulis* C. M. **171**, 286
Ctenidium malacodes Mitt. **147**, 288
 „ *plumulosum* Herzog **147**, 288
Cyclodictyon aeruginosum (Mitt.) **171**, 287
 „ *albicans* (Sw.) **130**, 287
 „ *angustirete* Herzog **132**, 287
 „ *breve* Herzog **132**, 287
 „ *humile* (Mitt.) Broth. **172**, 287
 „ *limbatum* (Hpe.) **130**, 287
 „ *obscurum* Herzog **131**, 287
 „ *plicatum* (C. M.) **172**, 287
 „ *pusillum* Herzog **130**, 277
 „ *roridum* (Hpe.) **130**, 287
 „ *Stephanii* Herzog **132**, 287
 „ *tocoraniense* Herzog **131**, 287
Cyclolejeunea peruviana (L. et L.) St. **255**
Daltonia gracilis Mitt. **128**, 287
 „ *Hampeana* Sch. **171**, 287
 „ *irrorata* Mitt. **171**, 287
 „ *Jamesonii* Tayl. **128**, 277, 296, 315
 „ *latolimbata* Broth. **129**, 287
 „ *longifolia* Tayl. **128**, 287
 „ *minutifolia* C. M. **171**, 287
 „ *pellucida* Herzog **128**
 „ *pulvinata* Mitt. **128**, 287
 „ *subirrorata* Broth. **129**, 287
 „ *tenuifolia* (Mitt.) **128**, 287
Dicranella apolensis R. S. W. **169**, 283
 „ *Beyrichii* Hpe. **14**, 283
 „ *boliviana* Herzog **165**
 „ *callosa* Hpe. **169**, 293
 „ *campylophylla* (Tayl.) Jaeg. **14**, 168, 293, 312
 „ *Guilleminiana* (Mont.) Hpe. **14**, 283
 „ *heteromalla* (Dill.) Schimp. **14**, 288, 298
 „ *Hilariana* Mont. **169**, 283
 „ *Jamesonii* Tayl. **14**, 293, 312
 „ *Kunzeana* (C. M.) Mitt. **169**, 283
 „ *laxiretis* Herzog **14**, 293, 312
 „ *macrostoma* (C. M.) **169**, 293
 „ *nanocarpa* C. M. **14**, 283
 „ *Perrottetii* (Mont.) Mitt. **14**, 283
 „ *submacrostoma* Broth. **14**, 293, 312
 „ *tenuirostris* (Kunze) Mitt. **169**, 283
Dicranolejeunea axillaris (Mont.) **253**
 „ *boliviensis* St. **253**
 „ *gigantea* St. **253**
 „ *Herzogiana* St. **254**
 „ *nudiflora* St. **254**
 „ *oblongifolia* St. **253**
 „ *pulcherrima* St. **255**
 „ *Renauldii* St. **255**
Dicranoweisia brunnea Herzog **165**
 „ *fallax* Herzog **18**, 293, 313
 „ *flexipes* Herzog **17**, 293, 313
Dicranum bolivianum C. M. **18**, 283
 „ *Germainii* C. M. **169**, 283
 „ *nigricans* Herzog **18**, 293
Dicranum speciosum Hook. et Wils. **18**, 272, 283
 „ *spectabile* C. M. **169**, 283
Didymodon angustifolius Herzog **39**, 293, 315
 „ *campylopyxis* C. M. **40**, 284
 „ *contortus* Herzog **40**, 293
 „ *decolorans* (Hpe.) R. S. W. **39**, 293, 311
 „ *Jamesonii* Tayl. **40**, 314; 293
 „ *macrophyllus* Broth. **40**, 284
 „ *merceyoides* Broth. **40**, 293
 „ *pelichucensis* R. S. W. **40**, 293
 „ *rubiginosus* (C. M.) **40**, 293, 311
 „ *subtrophaceus* R. S. W. **170**, 293
Diplasiolejeunea Pauckerti (Nees) **267**
 „ *pellucida* S. **267**
Distichium capillaceum (Sw.) Br. eur. **13**, 272, 293, 298, 314
Ditrichum capillare C. M. **12**, 283
 „ *rufescens* Hpe. **169**, 283
 „ *submersum* Card. et Herzog **11**, 293, 312
Drapanocladus Barbeyi Ren. et Card. **172**, 296
 „ *exannulatus* (Gümb.) **145**, 296, 298, 312
 „ *intermedius* (Schimp.) **172**, 296, 298
 „ *Sendtneri* (Schimp.) **145**, 296
Dumortiera hirsuta (Sw.) R. B. N. **174**
Ectropothecium aeruginosum (C. M.) **150**, 288
 „ *apiculatum* (Hornsch.) **150**, 288
 „ *campanulatum* Mitt. **150**, 288
Encalypta asperifolia Mitt. **51**, 294, 312
 „ *coarctata* (Mitt.) **51**, 294, 312,
 „ *leiotheca* Herzog **51**, 294, 312,
Entodon erythropus Mitt. **171**, 287
 „ *flavissimus* C. M. **125**, 287
 „ *flexipes* C. M. **125**, 287
 „ *gracilisetus* Hpe. **125**, 287
 „ *Hampeanus* C. M. **171**, 287
 „ *Jamesonii* (Tayl.) **171**, 287
 „ *micans* Herzog **124**, 310, 287
 „ *microcarpus* Broth. **125**, 287
 „ *Nanoclimacium* C. M. **124**, 287
 „ *suberythropus* C. M. **171**, 287
Entosthodon acidotus (Tayl.) **73**, 295, 315
 „ *altisetus* Herzog **72**, 295
 „ *apiahyensis* (C. M.) **72**, 285
 „ *faucium* Herzog **72**, 285
 „ *fontanus* Herzog **71**, 295, 312
 „ *Lindigii* Hpe. **73**, 295
 „ *papillosus* C. M. **73**, 295, 311
 „ *Sipascoyae* Herzog **72**, 295
 „ *verrucosus* (C. M.) **73**, 295
Epipterygium Mandoni C. M. **170**
 „ *pellucens* Herzog **81**, 285
Eriopus papillatus Herzog **129**, 287
Erpodium Balansae C. M. **104**, 286, 310
 „ *Lorentzianum* C. M. **104**, 286, 310
Erythrodonium brasiliense (Hpe.) **127**, 287
 „ *Germainii* (C. M.) **127**, 287
 „ *longisetum* (Hook.) **171**, 287
 „ *macrocarpum* Broth. **127**, 296
 „ *squarrosum* (C. M.) **126**, 287
Erythrophylopsis boliviana Broth. **41**, **168**, 294, 312, 314, 315

- Eulejeunea* *Spindleri* St. **267**
 „ *Spruceana* St. **268**
 „ *symphoreta* S. **268**
 „ *subsymphoreta* St. **268**
Euosmolejeunea *tenerrima* (Ldbg.) **266**
Eurhynchium *oedogonium* (C. M.) **162**, 289
Eustichia *Spruceana* (C. M.) Par. **60**, 284
Fabronia *andina* Mitt. **128**, 296, 314, 287
 „ *argentinica* C. M. **128**, 287
 „ *Attaleae* Herzog **128**
 „ *Podocarpi* C. M. **128**, 287
 „ *polycarpa* Hook. **171**, 287
 „ *seligeriacea* C. M. **171**, 296
 „ *singulidens* C. M. **171**
Fimbriaria *fissisquama* St. **173**
Fissidens *amboroicus* Herzog **169**, 283
 „ *asplenioides* Hedw. **28**, 283
 „ *Bockii* Herzog **25**, 293, 311
 „ *Carionis* C. M. **26**, 283
 „ *crispus* Mont. **169**, 283
 „ *excurrentinervis* R. S. W. **25**, 293
 „ *Hornschuchii* Mont. **169**, 283
 „ *Inacorralis* Herzog **27**, 283
 „ *incisus* Herzog **25**, 293, 311
 „ *innovans* Herzog **27**, 283
 „ *Kegelianus* C. M. **169**, 283
 „ *macroblastus* R. S. W. **169**, 283
 „ *mateoënsis* Broth. **27**, 283
 „ *oligophyllus* C. M. **26**, 283
 „ *pauper* Herzog **166**, 293
 „ *repandus* Wils. **169**, 283
 „ *rigidulus* (Hook. f. et Wils.) **27**, 283, 291, 293, 298, 299, 311
 „ *Sanctae Crucis* Broth. **26**, 283
 „ *terebriifolius* C. M. **166**, 293, 311
 „ *Wallisii* C. M. **26**, 283
Flabellidium *spinosum* Herzog **163**, 289
Floribundaria *flaccida* (Mitt.) **171**
 „ *tenuissima* (Hook. et Wils.) **114**
Fontinalis *turfacea* Herzog **106**, 296, 312
Forsstroemia *coronata* (Mont.) **109**, 286, 310
Fossombronia *Herzogii* Goebel **269**
Frullania *Alberti* St. **237**
 „ *Ambroonii* St. **242**
 „ *andina* St. **241**
 „ *apiahyana* G. **241**
 „ *Arecae* G. **238**
 „ *Arnellii* St. **241**
 „ *Bakeri* St. **243**
 „ *bangiensis* St. **241**
 „ *Barbeyana* St. **241**
 „ *Beauverdii* St. **241**
 „ *Berggrenii* St. **238**
 „ *boliviana* S. **238**
 „ *brachyclada* S. **239**
 „ *brasiliensis* Raddi **242**
 „ *campanulata* St. **242**
 „ *capilliformis* St. **244**
 „ *coalita* St. **243**
Frullania *connata* Ldbg. et G. **244**
 „ *crispistipula* St. **239**
 „ *cuencensis* Tayl. **239**
 „ *curviramea* St. **244**
 „ *evolutiloba* St. **244**
 „ *flexicaulis* S. **242**
 „ *fusiflora* St. **239**
 „ *glomerata* L. et L. **245**
 „ *Goebeliana* St. **245**
 „ *Haeckeriana* Ldbg. **245**
 „ *hastatistipula* St. **245**
 „ *Herzogiana* St. **246**
 „ *hians* L. et L. **239**
 „ *Jelskii* Loitl. **240**
 „ *Lechleri* St. **247**
 „ *megalostipa* S. **240**
 „ *nodulosa* Nees. **248**
 „ *ovistipula* St. **240**
 „ *paradoxa* L. et L. **244**
 „ *Pfefferi* St. **247**
 „ *phalangiflora* St. **247**
 „ *purpurascens* St. **244**
 „ *rioblancana* St. **240**
 „ *spiniloba* St. **240**
 „ *squamuligera* S. **242**
 „ *squarrosa* Nees **242**
 „ *subaculeata* S. **247**, 308
 „ *triquetra* L. et L. **244**
 „ *truncatiloba* St. **240**
 „ *villosa* St. **248**
 „ *viminicola* S. **240**
 „ *Winteri* St. **241**
Funaria *acutifolia* (Hpe.) **170**
 „ *andicola* (Mitt.) **170**
 „ *apiculata* Schimp. **170**
 „ *boliviana* Schimp. **73**, 295
 „ *calvescens* Schwgr. **73**, 285, 295
 „ *cartilaginea* C. M. **170**
 „ *glabripes* C. M. **170**
 „ *hygrometrica* (L.) Sibth. **73**, 295
 „ *incurvifolia* C. M. **170**, 295
 „ *inflata* C. M. **170**, 295
 „ *Jamesonii* (Tayl.) **170**, 295
 „ *linearidens* C. M. **73**, 274, 295, 312
 „ *macrospora* R. S. W. **73**, 295
 „ *meeseacea* C. M. **73**, 295, 311
 „ *subtilis* (C. M.) Broth. **170**
Gertrudia *validinervis* Herzog **44**, 294, 309
Globulina *boliviana* C. M. **39**, 293, 311, 313
Grimmia *bicolor* Herzog **58**, 294, 314
 „ *flexicaulis* C. M. **57**, 294, 314
 „ *fuscolutea* Hook. **170**, 294, 314
 „ *Herzogii* Broth. **55**, 294, 314
 „ *leucophaeola* C. M. **55**, 294, 314
 „ *longirostris* Hook. **170**, 294
 „ *microovata* C. M. **55**, 294, 314
 „ *nanoglobosa* C. M. **170**, 294
 „ *navicularis* Herzog **55**, 294, 314
 „ *nigella* Herzog **55**, 294, 314

- Grimmia olivacea Herzog **56**, 294, 314
 „ pansa R. S. W. **170**, 294
 „ quatricurris C. M. **57**, 294, 314
 „ speiophylla Herzog **55**, 294, 314
 „ squamatula Herzog **56**, 294, 314
 „ subovata Schimp. **54**, 294, 298, 314
 „ subquatricurris Broth. **57**, 294, 314
 „ trichophylloidea Schimp. **170**, 294, 314
 „ tristicha Herzog **58**, 294, 314
- Gyroweisia boliviana R. S. W. **170**, 293
- Haplodontium crassinervium Herzog **78**, 295
 „ cuspidatum Herzog **78**, 295, 312
 „ Herzogii Broth. **78**, 295, 314
 „ humipetens C. M. **77**, 295, 315
 „ sanguinolentum C. M. **78**, 295, 311, 312
 „ splendidum Broth. **170**, 295, 313, 315
 „ subsplendidum Broth. **79**, 295
 „ vilocense Broth. **79**, 295, 314
- Harpalejeunea boliviana St. **255**
 „ exciso-stipula St. **256**
 „ grosse-armata St. **256**
 „ Spruceana St. **257**
 „ tuberculata Jack. **257**
- Hedwigia albicans (Web.) **104**
- Hedwigidium imberbe (Sm.) **104**, 296, 309, 314
- Helicoblepharum venustum (Tayl.) **138**, 288
- Helicodontium capillare (Sw.) **171**, 287
 „ tenuirostre Schwgr. **171**, 287
- Helicophyllum torquatum Hook. **172**, 288, 303
- Holomitrium crispulum Mart. **169**, 283
 „ macrocarpum C. M. **18**, 283, 308
- Homalolejeunea excavata Mitt. **266**
- Hookeria acutifolia Hook. **129**, 287
- Hookeriopsis asprella (Hpe.) **172**, 287
 „ falcata (Hook.) **133**, 287
 „ incurva (Hook. et Grev.) **172**, 287
 „ lepidopiloides Herzog **133**, 287
 „ longiseta R. S. W. **172**, 287
 „ pachydictyon Herzog **133**, 287
 „ papillidioides (C. M.) **172**, 287
 „ purpureophylla (C. M.) **133**, 287
 „ subsecunda (Mitt.) **133**, 287
 „ undatula (C. M.) **172**, 287
 „ variabilis (Hornsch.) **132**, 277, 287
 „ Williamsii Herzog **134**, 287
- Husnotiella glossophylla Herzog **38**, 293, 313
- Hygroamblystegium curvicaule (Jur.) **144**, 296, 298, 312
 „ filicinum (L.) **172**, 296, 298
 „ Punae C. M. **144**, 296
- Hygrodicranum bolivianum Herzog **15**, 293, 311, 312
- Hygrohypnum aureum Herzog **145**, 296, 312
 „ validum Herzog **146**, 296, 314
- Hygrolejeunea cordifissa (Tayl.) **265**
 „ cuspidata (G.) St. **265**
 „ eluta (Nees) St. **265**
 „ Herzogii St. **265**
 „ orba (G.) **266**
- Hymenostomum anomalum Broth. **29**, 284
 „ contextum Herzog **29**, 314
- Hyophila contermina (C. M.) **170**, 284
 „ involutifolia (C. M.) **170**, 284
 „ peruviana R. S. W. **170**, 293
- Hypnella Brotheri Herzog **138**, 288
 „ pilifera (Hook. et Wils.) **138**, 288
 „ sigmatelloides (C. M.) **172**, 288
- Hypnum latifolium Herzog **150**, 296, 314, 315
 „ cupressiforme L. **151**, 296
- Hypopterygium Tamarisci (Sw.) **138**, 277, 288, 291, 305
- Isopterygium brachyneuron (C. M.) **172**, 288
 „ cylindraceum (C. M.) **172**, 288
 „ leucophyllum (Hpe.) **172**, 288
 „ stigmocarpum (C. M.) **172**, 288
 „ subglobosum Herzog **151**, 288
 „ tenerum (Sw.) **172**, 288
 „ vagans Herzog **152**, 288
- Isotachis aequifoliata St. **227**
 „ ecuadorensis St. **227**
 „ heterophylla St. **227**
 „ Lindigiana G. **227**
 „ mascula G. **227**
 „ paucidens St. **227**
 „ ripensis S. **228**
 „ trifida (G.) S. **228**
- Jamesoniella Allionii St. **182**
 „ boliviana St. **183**
 „ fragillima St. **183**
 „ latifolia St. **183**
 „ limbata St. **184**
 „ nudifolia St. **184**
 „ ovato-trigona St. **184**
 „ papillifolia St. **184**
 „ rotundifolia St. **185**
 „ rufescens St. **185**
 „ trigonifolia St. **185**
 „ verrucosa St. **185**
- Leiomela bartramioides (Hook.) Par. **171**, 285
 „ brachyphylla (C. M.) **90**, 285
 „ decuduifolia Herzog **90**, 285
- Leioscyphus campanulatus St. **216**
 „ chiloscypoides Mitt. **217**
 „ schizostomus S. **217**
- Lembophyllum bolivianum Herzog **123**, 296
- Lepicolea boliviensis St. **228**
 „ Herzogiana St. **229**
 „ pruinosa (Tayl.) S. **229**, 307, 308
- Lepidopilidium synoicum Herzog **134**
- Lepidopilum angustifrons Hpe. **172**, 288
 „ auriculatum Herzog **135**, 288
 „ Ballivianii Herzog **136**, 288
 „ brachyphyllum Broth. **136**, 288
 „ Buchtienii Broth. **172**
 „ curvirameum C. M. **172**, 288
 „ filosum Herzog **136**, 296
 „ Gertrudis Herzog **137**, 288
 „ Herzogii Broth. **135**, 288
 „ intermedium (C. M.) **172**, 288
 „ malachiticum Herzog **135**, 288
 „ Mülleri (Hpe.) **135**, 277, 288

- Lepidopilum nanothecium* C. M. 135, 288
 „ *ovatifolium* Herzog 172, 288
 „ *pallidonitens* C. M. 172, 288
 „ *tenuissimum* Herzog 137, 288
- Lepidozia Allionii* St. 225
 „ *amazonica* S. 225
 „ *appendiculata* St. 225
 „ *boliviensis* St. 226
 „ *flavescens* St. 226
 „ *Herzogiana* St. 226
 „ *heterophylla* St. 226
 „ *rufescens* St. 226
 „ *serpens* S. 226
 „ *Sprucei* St. 226
 „ *subtilis* St. 226
 „ *Urbanii* St. 227
- Leptodontium acutifolium* Mitt. 35, 293, 311
 „ *capituligerum* C. M. 36
 „ *cirrhifolium* Mitt. 167; 284
 „ *erythroneuron* Herzog 35, 293
 „ *ferrugineum* Broth. 170, 293
 „ *filescens* Hpe. 34, 293
 „ *filicicola* Herzog 34, 284
 „ *longicaule* Mitt. 167
 „ *luteum* (Tayl.) 35, 168, 284
 „ *Mandoni* C. M. 35, 284
 „ *papillosum* Hpe. 37, 284
 „ *planifolium* Herzog 37, 284
 „ *proliferum* Herzog 33, 293, 312
 „ *Quennoae* C. M. 170, 309
 „ *rhamomitrioides* (C. M.) 36, 284, 293, 309
 „ *rufescens* Broth. 35, 293, 312
 „ *spongiosum* Herzog 34, 293, 312
 „ *sulphureum* (C. M.) Mitt. 35, 284
 „ *turgidum* Herzog 36, 293, 309
 „ *undulatum* Herzog 36, 284
 „ *vaginatum* Herzog 37, 284, 308
- Leptopterigynandrum austroalpinum* C. M. 142, 296, 314
- Leptotheca boliviana* Herzog 89, 285
- Lepyrodon tomentosus* (Hook.) 111, 286, 296, 299, 314, 315
- Leskea boliviana* C. M. 172, 288
 „ *catenularia* C. M. 172
 „ *julicaulis* C. Müll. 140, 296
 „ *plumaria* Mitt. 140, 288
- Leskeadelphus catenulatulus* (C. M.) Herzog 140, 288
- Leskeodon andicola* (Spruce) 129, 277, 287
- Leucobryum calycinum* C. M. 169, 283
 „ *crispum* C. M. 169, 283
 „ *giganteum* C. M. 25, 283
 „ *macrofalcatum* C. M. 169, 283
 „ *Martianum* (Hornsch.) Hpe. 169, 283
 „ *strictum* C. M. 169, 283
- Leucodon squarrosus* Herzog 171, 286
- Lindbergia mexicana* (Besch.) 139, 296, 309
- Lindigia aciculata* (Tayl.) 114
 „ *debilis* (Wils.) 114
- Lophocolea alpina* St. 217
 „ *boliviensis* St. 217
 „ *celluloso-crenulata* St. 218
- Lophocolea cervicornis* St. 219
 „ *grossitexta* St. 219
 „ *Hariotii* St. 219
 „ *Lechleri* G. 219
 „ *longiseta* St. 219
 „ *longissima* St. 220
 „ *Lorentziana* St. 220
 „ *Mandoni* St. 220
 „ *Osculatii* De Not. 220
 „ *pinnatistipula* St. 220
 „ *quadridens* St. 220
 „ *quadridentata* St. 221
 „ *Sprucei* St. 221
 „ *Wehmeri* St. 221
- Lophozia boliviensis* St. 187
 „ *multiflora* St. 187
- Lunularia cruciata* (L.) Dum. 174
- Macrolejeunea Herzogiana* St. 265
- Macromitrium amboroicum* Herzog 170, 285
 „ *argutum* Hpe. 67, 284
 „ *atroviride* R. S. W. 170, 285
 „ *bolivianum* C. M. 170
 „ *brevihamatum* Herzog 68, 284
 „ *crenulatum* Hpe. 170, 285
 „ *crispatum* Mitt. 66, 284
 „ *Didymodon* Schwgr. 170, 285
 „ *filiforme* (Hook. et Grev.) 65, 274, 284, 295, 309
 „ *Herzogii* Broth. 66, 284, 308
 „ *Hornschuchii* Hpe. 66, 284
 „ *liberum* Mitt. 67, 284
 „ *longifolium* Brid. 67, 284
 „ *macrosporum* Herzog 68, 285, 308
 „ *macrothele* C. M. 170, 284
 „ *nubigenum* Herzog 67, 308
 „ *obtusum* Mitt. 170, 285
 „ *pentastichum* C. M. 170, 285
 „ *pinnulatum* Herzog 65, 284
 „ *refractifolium* C. M. 170, 285
 „ *solitarium* C. M. 67, 284
 „ *stellulatum* (Hornsch.) Brid. 170, 285
 „ *subcrenulatum* Broth. 66, 284
 „ *subdiscretum* R. S. W. 170, 285
 „ *sublaeve* Mitt. 170, 285
 „ *subscabrum* Mitt. 66, 284
 „ *Swainsoni* (Hook.) Brid. 170, 285
 „ *Tocaremae* Hpe. 170, 285
 „ *tumidulum* Mitt. 170, 285
 „ *ulophyllum* Mitt. 170, 285
 „ *validum* Herzog 66, 284
- Madotheca acutiloba* St. 233
 „ *caudata* St. 233
 „ *cognata* Ldbg. et G. 234
 „ *fissistipula* St. 234
 „ *latetrigona* St. 235
 „ *Pilgeri* St. 236
 „ *pilistipula* St. 236
 „ *ptilopsis* S. 236
 „ *ramentifissa* St. 236
 „ *renifolia* St. 236

- Madotheca rufescens* St. 236
 „ *spinistipula* St. 237
 „ *subciliata* L. et L. 237
 „ *Swartziana* Ldbg. 237
 „ *venezuelana* St. 237
Mandoniella spicatinervia (R. S. W.) Herzog 165, 296
Marchantia brasiliensis L. et L. 174
 „ *plicata* N. et M. 174
 „ *Wilmsii* St. 174
Marchesinia longissima St. 252
Marsupella cuspidata St. 181
 „ *exigua* St. 181
 „ *pusilla* St. 181
Mastigobryum azuayense St. 223
 „ *bolivianum* St. 223
 „ *Braunianum* St. 223
 „ *decurrens* St. 223
 „ *Douini* St. 224
 „ *Hariotii* St. 224, 308
 „ *incisobilobatum* St. 224
 „ *incisostipulum* St. 225
 „ *Lindigii* St. 225
 „ *variedentatum* St. 225
Mastigolejeunea Büttneri St. 249
 „ *decurrens* St. 249
 „ *fuscovirens* St. 250
Mastigophora diclados (Endl) Nees 229
Megaceros bolivianus St. 268
 „ *Jamesoni* (Taylor) 268
Meiothecium commutatum (C. M.) 172, 288
 „ *tenerum* Mitt. 172, 288
Merceya cataractae Mitt. 50, 284
Meteoriopsis minuta (C. M.) 171
 „ *onusta* (Spruce) 115, 286
 „ *patens* (Hook.) 115, 286, 296
 „ *patula* (Sw.) 171, 286, 304
 „ *recurvifolia* (Hornsch.) 171, 286
 „ *remotifolia* (Hornsch.) 115, 286
 „ *straminea* (C. M.) 171, 286
 „ *subrecurvifolia* Broth. 171, 286, 304
Meteorium illecebrum (C. M.) 113, 276, 296, 308
Metzleria longiseta (Hook.) Broth. 169, 283
 „ *spiripes* (C. M.) 24, 283
Metzgeria acuminata St. 176
 „ *albinea* S. 176
 „ *arborescens* St. 177
 „ *attenuata* St. 177
 „ *boliviana* St. 177
 „ *fruticola* S. 177
 „ *gigantea* St. 177
 „ *Herzogiana* St. 178
 „ *heteroramea* St. 178
 „ *Lechleri* St. 178
 „ *leptoneura* S. 178
 „ *myriopoda* Lindb. 178
 „ *nudicosta* St. 178
 „ *pulvinata* St. 179
 „ *Schiffneri* St. 179
 „ *Spindleri* St. 179
Metzgeria subinvoluta St. 179
 „ *terricola* St. 180
 „ *villosicosta* St. 180
Microlejeunea Herzogiana St. 266
Mielichhoferia andina Sull. 170, 295
 „ *angustata* Broth. 75, 295, 311
 „ *aurifolia* C. M. 170, 295
 „ *boliviana* C. M. 170, 295
 „ *bryocarpa* Broth. 73, 295, 311
 „ *campylothea* C. M. 170, 295
 „ *castanea* Broth. 77, 295
 „ *clavithea* Herzog 170, 295
 „ *cygnicolla* Schimp. 170, 295
 „ *decurrens* C. M. 170, 295
 „ *elegans* Herzog 170, 295
 „ *emergens* (C. M.) 77, 295
 „ *gracilis* Broth. 75, 295
 „ *Herzogii* Broth. 76, 295
 „ *Lindigii* Hpe. 170, 295
 „ *lonchocarpa* C. M. 170, 295
 „ *longipes* C. M. 76, 285
 „ *longiseta* C. M. 170, 295
 „ *macrodongta* Broth. 76, 295
 „ *macrospora* Broth. 74, 295
 „ *microdongta* Broth. 74, 295
 „ *micropoma* C. M. 75, 295
 „ *minutifolia* C. M. 74, 295
 „ *minutissima* C. M. 170, 295
 „ *modesta* C. M. 75, 295
 „ *pohlioidea* C. M. 75, 295
 „ *pusilla* Hook. 75, 295, 311
 „ *secundifolia* Herzog 76, 295, 315
 „ *seriata* Broth. 74, 295
 „ *sericea* Schimp. 170, 295
 „ *subcampylocarpa* Broth. 76, 295, 315
 „ *subclavithea* Broth. 75, 295
 „ *subglobosa* R. S. W. 76, 295, 314
 „ *submacrodongta* Broth. 77, 295
Mniobryum bolivianum Broth. 81, 295, 311
Mnium rostratum Schrad. 88, 285
Moenkemeyera obtusifolia R. S. W. 169, 283
Molendoa boliviana Broth. 30, 293, 314
 „ *Herzogii* Broth. 30, 293, 314
Monoclea Gottschei Lindb. 181
Neckera eucarpa Schimp. 116, 287
 „ *Jamesonii* Tayl. 116, 287
 „ *Lindigii* Hpe. 116, 276, 287, 296 308,
 „ *Marchalii* Herzog 116, 287
 „ *trabeculata* Herzog 171
Neckeropsis disticha (Hedw.) 171, 286, 303
 „ *undulata* (Palis.) 115, 286, 303
Ochrobryum Gardnerianum Mitt. 169, 283
 „ *obtusifolium* Mitt. 169, 283
Octoblepharum albidum L. 24, 272, 283
 „ *pulvinatum* Mitt. 169, 283
Omphalanthus filiformis (Sw.) Nees 248
 „ *grandistipulus* St. 248
Oreoweisia ampliata Mitt. 16, 293, 313
 „ *bogotensis* Hpe. 16, 168, 293, 313

- Oreoweisia laxiretis Broth. **15**, 283
 „ Lechleri C. M. **15**, 293, 315
 „ ligularis Mitt. **16**, 293, 315
 „ tunariensis Herzog **16**, 293
 Orthodontium confine Hpe. **170**, 285
 „ longisetum Hpe. **79**, 285
 Orthostichidium excavatum (Mitt.) **111**, 286, 303
 „ pentagonum (Hpe. et Lor.) **171**, 286
 Orthostichopsis crinita (Sull.) Broth. **171**, 286
 „ dimorpha (C. M.) **171**, 286
 Orthotrichum apiculatum Mitt. **167**, 294
 „ elongatum Tayl. **63**, 284
 „ emersulum C. M. **170**
 „ epilosum R. S. W. **170**, 284, 294
 „ exsertisetum C. M. **63**, 284, 294, 309
 „ liliputanum Broth. **63**, 284
 „ Mandoni Schimp. **170**
 „ pariatum Mitt. **170**, 284, 294
 „ parvum Herzog **64**, 294, 314
 „ patulum Mitt. **170**, 284, 294
 „ psychrophilum Mont. **64**, 294, 314
 „ rupestre Schleich. **64**, 294, 298, 314
 „ sordidulum C. M. **170**
 „ Tacacomense R. S. W. **170**, 284, 295
 „ undulatum Mitt. **63**, 294
 „ verrucosum C. M. **64**, 294
 Oxyrrhynchium aquaticum (Hpe.) **162**, 278, 289, 296
 „ clinocarpum (Tayl.) **162**, 289
 „ rugisetum (Hpe.) **162**, 278, 289
 „ scabripes (C. M.) **172**, 289
 Papillaria appressa (Hornsch.) **113**, 286
 „ Deppei (Hornsch.) **113**, 286
 „ nigrescens (Sw.) **113**, 286
 „ squamatula C. M. **113**, 286
 „ tenella Herzog **171**, 286
 Petalophyllum bolivianum St. **181**
 Philonotis angulata (Tayl.) **171**, 285
 „ asperrima (C. M.) **171**, 296
 „ curvata (Hpe.) **96**, 285
 „ filiramea (C. M.) **171**
 „ fontanella (Hpe.) **97**, 285
 „ Gardneri (C. M.) **97**, 285
 „ gracilentata (Hpe.) **171**, 285, 296
 „ Guyabayana (C. M.) **171**, 286, 296
 „ lignicola Dismier et Herzog **97**, 285
 „ minutissima (C. M.) Par. **171**, 285
 „ operta R. S. W. **171**, 285
 „ pellucidiretis (C. M.) **97**, 296, 312
 „ pugionifolia (C. M.) **171**, 286
 „ scabrifolia (Hook. f. et Wils.) **97**, 296, 298, 311,
 313, 315
 „ tenella (C. M.) **97**, 285
 Phyllogonium fulgens (Sw.) **115**, 286, 308
 „ viscosum (Palis.) **115**, 286
 Physcomitrium turgidum Mitt. **70**, 295, 311, 314, 315, 316
 Pilopogon gracilis Brid. **24**, 293, 311
 „ holomitrius C. M. **24**, 293
 „ liliputanus C. M. **24**, 293, 311
 „ nanus C. M. **24**, 293, 315
 Pilopogon Richardii (Schwgr.) **24**, 283
 „ Tiquipayae Herzog **24**, 293
 Pilotrichella angustifolia Herzog **112**, 286
 „ cyathipoma (C. M.) **112**, 286, 291, 304
 „ flexilis (Sw.) **112**, 276, 286, 308
 „ versicolor (C. M.) **112**, 286
 „ viridis (C. M.) **171**, 286
 Pinnatella ochracea Herzog **171**, 287
 Pirea Pohlii (Schwgr.) **171**, 286, 303
 Plagiochasma bolivianum St. **173**
 Plagiochila acanthoda G. **188**
 „ Alberti St. **188**
 „ alpina G. **189**
 „ Ambronii St. **188**
 „ ampliata St. **189**
 „ anguste-oblonga St. **189**
 „ apicidens St. **189**
 „ argentina G. **189**
 „ bahiensis Ldbg. **189**
 „ Bakeri St. **190**
 „ barbata St. **190**
 „ Barbeyi St. **190**
 „ barutana G. **190**
 „ Beauverdii St. **191**
 „ Berggrenii St. **191**
 „ brevivittata St. **191**
 „ Bryhnii St. **192**
 „ Buchii St. **193**
 „ bursata Ldbg. **193**
 „ Camusi St. **193**
 „ capillicaulis St. **193**
 „ cava St. **194**
 „ Caversi St. **194**
 „ choachina G. **194**
 „ cobana St. **194**
 „ connatistipula St. **194**
 „ contingens G. **195**
 „ Corbieri St. **195**
 „ cuencensis St. **195**
 „ cuervina G. **195**
 „ deciduifolia St. **195**
 „ decurvohomomalla St. **195**
 „ Delognei St. **196**
 „ densiramea St. **196**
 „ Doerfleri St. **196**
 „ Douini St. **196**
 „ dubia L. et G. **197**
 „ Duriei G. **197**
 „ echinella G. **197**
 „ ecuadorensis St. **197**
 „ effuse-intricata St. **197**
 „ effuseramea St. **197**
 „ emarginato-bidentula St. **197**
 „ falcata St. **198**
 „ falcato-oblonga St. **198**
 „ Famillieri St. **198**
 „ Farlowii St. **198**
 „ flabellifrons S. **199**
 „ flavo-rufescens St. **199**

- Plagiochila Friesei* St. 199
 „ *fuscolutea* Tayl. 199
 „ *gamma* St. 199
 „ *geniculata* Ldbg. 199
 „ *Geppii* St. 199
 „ *gracilicaulis* S. 200
 „ *grossiseta* St. 200
 „ *grossitexta* St. 200, 307
 „ *Hariotii* St. 200
 „ *heterofolia* St. 200
 „ *Hieronymi* St. 201
 „ *homochroma* S. 201
 „ *huatuscana* G. 201
 „ *Jaapii* St. 201
 „ *Jensenii* St. 201
 „ *implexa* L. et G. 202
 „ *informifolia* St. 202
 „ *Inuensis* St. 202
 „ *jovoensis* St. 202
 „ *lacerifolia* St. 202
 „ *Lachenaudii* St. 202
 „ *Lacouturei* St. 203
 „ *latissima* St. 203
 „ *laxiramea* St. 203
 „ *ligulato-opposita* St. 204
 „ *Lindau* St. 204
 „ *linearicuspidata* St. 204
 „ *longiramea* St. 204
 „ *Lotsyana* St. 205
 „ *macrotricha* S. 205
 „ *Macvivarii* St. 205
 „ *maxima* St. 205
 „ *minutidens* St. 205
 „ *Miyakei* St. 206
 „ *montana* S. 206
 „ *multispina* St. 206
 „ *Nathorstii* St. 206
 „ *nigricaulis* St. 206
 „ *notha* G. 207
 „ *nudicauda* St. 207
 „ *obliquetruncata* St. 207
 „ *ovata* Ldbg. et G. 207
 „ *papillifolia* St. 207
 „ *patentissima* St. 207
 „ *Patzschkei* St. 207
 „ *pauciramea* St. 208
 „ *permista* S. 208
 „ *pichinchensis* S. 208
 „ *procera* Ldbg. 208
 „ *purpurea* St. 208
 „ *quitensis* St. 208
 „ *relicta* St. 208
 „ *repetitifurcata* St. 208
 „ *rigidula* L. et G. 208
 „ *rotundifolia* St. 209
 „ *rufifolia* St. 209
 „ *rufo-viridis* S. 209
 „ *Schiffneri* St. 209
 „ *Schinzei* St. 209
 „ *Schmidtii* St. 209
 „ *semiamplectens* St. 210
 „ *semidentata* St. 210
 „ *similis* St. 210
 „ *Slateri* St. 211
 „ *Solmsii* St. 211
 „ *sparsifolia* St. 211
 „ *strictifolia* St. 211
 „ *striolata* St. 211
 „ *subaequalis* St. 212
 „ *subconvoluta* G. 212
 „ *subcristata* G. 212
 „ *subhyalina* St. 212
 „ *submacrotricha* St. 212
 „ *subrotundifolia* St. 212
 „ *subviminea* St. 212
 „ *subwallisiana* St. 213
 „ *Tocorani* St. 213
 „ *towarina* G. 213
 „ *Trabutii* St. 213
 „ *Trianae* G. 213
 „ *triangulifolia* St. 213
 „ *trilobata* St. 214
 „ *validissima* St. 214
 „ *variespinosa* St. 214
 „ *viminea* S. 215
 „ *Weymouthiana* St. 215
 „ *Yoshinagana* St. 215
Pleuropus Oederi (Gunn.) 90, 295, 298, 314
Plagiothecium bolivianum Broth. 153, 288
 „ *conostegium* Herzog 154, 288
 „ *fallax* Herzog 152, 288
 „ *microsphaerothecium* Herzog 152, 288
 „ *mollicaule* R. S. W. 172, 288
 „ *novogranatense* (Hpe.) 154, 288
Pleurodium andinum Herzog 11, 293, 311, 316
Pleuropus Bonplandii (Hook.) 159, 289
Pogonatum abbreviatum Mitt. 171, 286
 „ *arcuatum* Mitt. 103, 286
 „ *cylindrotheca* Herzog 103, 296
 „ *distantifolium* C. M. 103, 286, 306
 „ *laxirete* R. S. W. 171, 286
 „ *polycarpum* Schimp. 103, 275, 296
 „ *subbifarium* Mitt. 171, 286, 306
Polymerodon andinus Herzog 14, 293
Polytrichadelphus aristatus (Hpe.) 103, 296
 „ *bolivianus* Herzog 103, 286, 306
 „ *cuspidirostris* C. M. 103, 296
 „ *grossidens* (C. M.) 103, 275, 296
 „ *integrifolius* (C. M.) 171
 „ *rubiginosus* Mitt. 171, 286
 „ *Trianae* Hpe. 171
 „ *umbrosus* Mitt. 171
Polytrichum Antillarum Rich. 171, 286
 „ *intermedium* Herzog 104, 296, 314
 „ *juniperinum* Willd. 104, 296, 306
 „ *tenellum* (C. M.) 171, 296
Porothamnium comosum Herzog 120, 287
 „ *explanatum* (Mitt.) 119, 287

- Porothamnium fasciculatum* Sw. **171**, 287, 303
 „ *gymnopodium* Tayl. **119**, 287, 308
 „ *neckeraeforme* (Hpe.) **119**, 287
 „ *ramosissimum* (Hpe.) **119**, 287
 „ *subexplanatum* Broth. et Herzog **119**, 287
 „ *subramosissimum* Broth. **119**, 287
 „ *thyrsoides* C. M. **171**, 287
Porotrichodendron gracile Herzog **121**, 287
 „ *robustum* Broth. **122**, 287
 „ *superbum* (Tayl.) **120**, 287, 307, 308
Porotrichopsis flacca Herzog **122**, 287
Porotrichum amboraicum Herzog **171**, 287
 „ *bolivianum* C. M. **171**, 287
 „ *longirostre* (Hook.) **118**, 287
 „ *Lorentzii* (C. M.) **117**, 287
 „ *macropoma* Herzog **118**, 287, 308
 „ *microthecium* C. M. **171**, 287
 „ *pinnatelloides* C. M. **117**, 287
 „ *strictum* Herzog **118**, 287
Potamium longisetum R. S. W. **172**, 288
Preissia commutata (Ldbg.) Nees **174**
Prionodon bolivianus C. M. **110**, 286
 „ *cavifolius* Herzog **109**, 286, 306
 „ *ciliolato-serratus* Herzog **109**, 286
 „ *contortus* Herzog **110**, 286
 „ *densus* (Sw.) **110**, 286, 291
 „ *divaricatus* Mitt. **171**, 286
 „ *filifolius* Herzog **171**, 286
 „ *flagellaris* Hpe. **171**, 286
 „ *fuscolutescens* Hpe. **110**, 286
 „ *laeviusculus* Mitt. **171**, 286
 „ *luteovirens* (Tayl.) **109**, 286, 306
 „ *lycopodioides* Hpe. **109**, 286, 306
 „ *patentissimus* Besch. **109**, 286, 306
 „ *pendulus* Herzog **110**, 286
 „ *pinnatus* Hpe. **109**, 286, 306
 „ *ptychomnioides* Broth. **109**, 286, 306
 „ *undulatus* Mitt. **110**, 286
Pseudocryphaea flagellifera E. Britt. **171**, 286, 303
Pseudoleskea andina Schimp. **141**, 277, 288
Psilopilum aequinoctiale Schimp. **171**, 296
 „ *antarcticum* C. M. **102**, 295, 298, 312
 „ *gymnostomulum* (C. M.) **102**, 275, 296, 312, 316
 „ *trichodon* (Hook. f. et Wils.) **171**, 296
Pterobryopsis stolonacea (C. M.) **111**, 286
Pterobryum densum (Schwgr.) **111**, 291, 286, 303
Pterogonidium pulchellum (Hook.) **172**, 288
Ptychanthus boliviensis St. **249**
Ptychocoleus dentilobulus St. **250**
Ptychomitrium chimborazense Spruce **52**, 294, 313, 316
 „ *Cochabambae* H. **170**, 294
 „ *papillosum* H. **170**, 294, 314
 „ *Sellowianum* (C. M.) **170**, 284
Pylaisia panduraefolia Herzog **126**, 296
Radula andicola St. **231**
 „ *appendiculata* St. **231**
 „ *bipinnata* Mitt. **231**
 „ *boliviana* St. **231**
 „ *conferta* L. et G. **232**
Radula convexa St. **232**
 „ *cornucopiae* S. **232**
 „ *epiphylla* Mitt. **232**
 „ *frondescens* St. **232**
 „ *Goebelii* St. **232**
 „ *grandiloba* St. **232**
 „ *longituba* St. **233**
 „ *macrostachya* L. et G. **233**
 „ *ramulina* Taylor **233**
 „ *subtropica* St. **233**
 „ *verrucifolia* St. **233**
Rauia Bornii Herzog **172**, 288
 „ *firmula* (C. M.) **142**, 288, 310
Rhabdoweisia fugax (Hedw.) **15**, 293, 298, 314
Rhacocarpus australis (Hpe.) **106**, 296, 314
 „ *chlorotus* Herzog **106**, 286
 „ *excisus* (C. M.) **106**, 296, 314
 „ *Humboldtii* (Hook.) **105**, 275, 286, 296, 312, 314
 „ *squamosus* R. S. W. **171**, 296
Rhacomitrium austrosudeticum Broth. **60**, 273, 294, 314
 „ *brachypus* C. M. **59**, 314, 294
 „ *crispipilum* (Tayl.) **59**, 273, 294, 315
 „ *dimorphum* C. M. **60**, 284, 294
 „ *sublanuginosum* R. S. W. **170**, 294
Rhacopilum Floridae Herzog **139**, 288
 „ *intermedium* Hpe. **139**, 288
 „ *tomentosum* (Sw.) **139**, 288
Rhamphidium Levieri H. **170**, 284
 „ *pygmaeolum* (C. M.) **30**, 284
Rhaphidostegium andinum (Mitt.) **172**, 289
 „ *brachyacrum* C. M. **172**, 296
 „ *caespitosum* (Sw.) **156**, 289
 „ *chlorocormum* (C. M.) **172**, 289
 „ *chrysostegum* (C. M.) **172**, 289
 „ *circinale* (Hpe.) **172**, 289
 „ *cucullatifolium* (Hpe.) **172**, 289
 „ *cuspidiferum* (Mitt.) **155**, 289
 „ *decumbens* (Wils.) **155**, 289
 „ *densirete* Herzog **172**, 289
 „ *eurycystis* Herzog **155**, 289
 „ *galipense* (C. M.) **172**, 289
 „ *Kegelianum* (C. M.) **156**
 „ *Levieri* (C. M.) **172**, 289
 „ *Lindigii* (Hpe.) **155**, 289
 „ *loxense* (Hook.) **156**, 289
 „ *obliquerostratum* Mitt. **172**, 289
 „ *orthocarpum* Broth. **155**, 289
 „ *prominulum* Mitt. **155**, 289
 „ *subcylindraceum* (C. M.) **172**, 289
 „ *subsimplax* (Hedw.) **172**, 289
 „ *tenerifolium* (C. M.) **155**, 289
 „ *tenuicarpum* R. S. W. **172**, 289
 „ *turgidulum* Herzog **156**, 289
 „ *undulatum* Herzog **156**, 289
Rhegmatodon schlotheimioides Spruce **172**, 289
Rhexophyllum laciniatum Herzog **38**, 293
Rhizogonium bolivianum Broth. **89**, 285, 307
 „ *spiniforme* (L.) Bruch **89**, 285
Rhizohyponum acorrhizon (Horns.) **149**, 277, 288

- Rhizohypnum* *andicola* (Hook.) 149, 288
 „ *breviusculum* (Mitt.) 147, 288
 „ *capillirameum* C. M. 150, 288
 „ *decurrens* Herzog 149, 288
 „ *delicatulum* Herzog 147
 „ *elegantulum* (Hook.) 172, 288, 303
 „ *heterostachys* Hpe. 149, 277, 288
 „ *hookerioides* Herzog 148, 288
 „ *Langsdorffii* (Hook.) 172, 288
 „ *modestum* Herzog 172, 288
 „ *pelichucense* (R. S. W.) 168, 288
 „ *plumosum* Herzog 149, 288
 „ *reptans* (Sw.) 149, 277, 288
 „ *robustiusculum* Broth. 150, 288
 „ *stigmopyxis* (C. M.) 147, 288
 „ *thelistegium* (C. M.) 147, 288
 „ *versipoma* Hedw. 172, 288
 „ *viridicaule* (C. M.) 149, 288
 „ *viscidulum* Hpe. 149, 277, 288
- Rhodobryum* *Beyrichianum* (Hornsch.) 87, 285
 „ *caulifolium* C. M. 87, 274, 285, 308
 „ *grandifolium* (Tayl.) 171, 285
 „ *roseum* (Weis.) 87, 295
 „ *verticillatulum* Broth. 87, 274, 285
- Rhynchostegiella* *semitorta* (Mitt.) 163, 289
 „ *toncolensis* Broth. 163, 296
- Rhynchostegiopsis* *complanata* C. M. 138, 287
- Rhynchostegium* *conchophyllum* (Tayl.) 164, 289, 305
 „ *planifolium* C. M. 164, 289, 305
 „ *scariosum* (Tayl.) 164, 289
 „ *Tocaremae* Hpe. 165, 289
- Rhytidium* *rugosum* (Ehrh.) 154, 296, 298, 312
- Rigodium* *leptodendron* C. M. 163, 289, 307, 308
- Scapania* *boliviensis* St. 231
- Schisma* *bivittatum* S. 228
 „ *boliviense* St. 228
 „ *divergens* St. 228
 „ *Lechleri* St. 228
 „ *limbatum* St. 228
 „ *serratum* (L.) St. 228
- Schistochila* *Loriana* St. 230
- Schistidium* *andinum* Mitt. 53, 294, 314
 „ *angustifolium* Mitt. 52, 294, 314
 „ *apocarpum* (L.) 53, 294
 „ *calycinum* Herzog 170, 294, 314
 „ *Chocayae* Herzog 53, 294, 314
 „ *fontanum* Herzog 54, 294, 314
 „ *malacophyllum* Herzog 53, 294, 314
 „ *praemorsum* (C. M.) 53, 294, 314
 „ *streptophyllum* (Sull.) 52, 294, 314
 „ *subpraemorsum* Broth. 53, 294
 „ *tunariense* Herzog 54, 314
- Schlotheimia* *angustata* Mitt. 170, 285
 „ *fuscoviridis* Hornsch. 170, 285
 „ *Jamesonii* (W. Arn.) Brid. 170, 285
 „ *longicaulis* Broth. 69, 285
 „ *pilomitria* C. M. 170, 285
 „ *rugifolia* (Hook.) Brid. 170, 285
 „ *Sprengelii* Hornsch. 170, 285
- Schlotheimia* *sublaevifolia* C. M. 69, 285, 308
 „ *trichomitria* Schwgr. 170, 285
- Schröterella* *zygodonta* Herzog 157, 289
- Schwetschkea* *boliviana* C. M. 171, 296
 „ *minuta* C. M. 171, 296
- Sciaromium* *crassinervatum* Mitt. 144, 288, 296
 „ *holoneuron* Herzog 144, 296
- Scorpidium* *scorpioides* (L.) 172, 296, 298
- Sematophyllum* *pungens* (Sw.) 172, 289
 „ *ulicinum* Mitt. 157, 289
- Simplicidens* *andicola* Herzog 28, 311
- Solenostoma* *bolivianum* St. 182
- Sphagnum* *Boliviae* Warnst. 169, 283
 „ *erythrocalyx* Hpe. 8, 283
 „ *gracile* C. M. 169
 „ *medium* Limpr. 169, 283, 298
 „ *meridense* C. M. 8, 283
 „ *platyphylloides* Warnst. 8, 283
 „ *pulchricoma* C. M. 8, 283
 „ *sparsum* Hpe. 8, 283
- Sphenolobus* *achrous* S. 187
- Squamidium* *diversifolium* R. S. W. 171, 286
 „ *filiferum* (C. M.) 111, 286
 „ *leucotrichum* (Tayl.) 112, 276, 286, 308
 „ *Lorentzii* (C. M.) 171, 286, 291
 „ *macrocarpum* (Spruce) 112, 286, 291
 „ *nigricans* (Hook.) 111, 286
 „ *turgidulum* (C. M.) 112, 291, 286
- Stableria* *tenella* (Mitt.) Broth. 170, 285
- Stenodictyon* *saxicola* R. S. W. 172, 287
- Stephaniella* *boliviensis* St. 182, 311
 „ *paraphyllina* Jack. 182
- Stereodon* *spiripes* (Hpe.) 150, 288
- Stereophyllum* *brevipes* (C. M.) 171, 287
 „ *flaccisetum* (C. M.) 171, 287
 „ *leucostegium* (Brid.) 127, 287
 „ *Lindmannii* Broth. 127, 287 310,
 „ *pseudoradiculosum* (C. M.) 171, 287
 „ *subchlorophyllosum* (C. M.) 171, 287
- Strepsilejeunea* *boliviensis* St. 257
 „ *Kunthiana* (Ldbg.) 258
 „ *obtusistipula* St. 258
 „ *papulifolia* St. 259
- Streptopogon* *clavipes* Spruce 46
 „ *erythrodonatus* (Tayl.) Wils. 46, 284
 „ *heterophyllus* Herzog 45, 294, 309
 „ *setiferus* Mitt. 170, 284
 „ *spatulatus* Herzog 170, 284
- Streptotrichum* *ramicolum* Herzog 37, 284
- Symblepharis* *boliviana* C. M. 18, 283, 308
- Symphyogyna* *apiculispina* St. 180
 „ *bogotensis* (G.) St. 180, 311
 „ *boliviensis* St. 180
 „ *brasilensis* Nees 180
 „ *Brogniartii* Mont. 180
 „ *canaliculata* St. 180
 „ *chiloensis* St. 180
 „ *digitisquama* St. 180
 „ *Goebelii* St. 180

- Symphogyna mexicana* St. **180**
 „ *paucidens* St. **180**
Syrrhopodon argentinicus C. M. **29**, 273, 284
 „ *brachystelioides* C. M. **170**, 284
 „ *ciliolatus* Herzog **166**, 284
 „ *circinatus* (Brid.) Besch. **170**, 284
 „ *elatior* Hpe. **169**, 284
 „ *Gaudichaudii* Mont. **169**
 „ *goyazensis* Broth. **169**, 284
 „ *Leprieurii* Mont. **170**, 284
 „ *lycopodioides* (Sw.) **29**, 284
 „ *macrophyllus* Broth. **28**, 283
 „ *Miquelianus* C. M. **170**, 284
 „ *ochroleucus* Herzog **29**, 284
 „ *papillosus* C. M. **29**, 284
 „ *scaber* Mitt. **29**, 284
 „ *serpentinus* C. M. **170**, 284
 „ *submacrophyllus* Broth. **29**, 284
Syzygiella boliviana St. **187**
 „ *Herzogiana* St. **188**
Targionia robusta St. **173**
Taxilejeunea acutifolia (Ldbg.) St. **259**
 „ *apiculata* (G.) S. **259**
 „ *Allionii* St. **259**
 „ *asperrima* St. **259**
 „ *boliviana* St. **260**
 „ *chimboraensis* S. **260**
 „ *cordistipula* L. et G. **260**
 „ *cuspidata* St. **260**
 „ *Dusenii* St. **261**
 „ *epiphylla* St. **261**
 „ *filicaulis* **261**
 „ *flaccida* **261**
 „ *grandifolia* St. **261**
 „ *hamatifolia* St. **261**
 „ *Herzogiana* St. **262**
 „ *isocalycina* (Nees) St. **262**
 „ *lancifolia* St. **262**
 „ *longiloba* St. **262**
 „ *longirostris* St. **263**
 „ *musciola* St. **263**
 „ *paucidens* St. **263**
 „ *pendula* St. **263**
 „ *pusilla* St. **264**
 „ *peruviana* St. **264**
 „ *Rechingeri* St. **264**
 „ *rufescens* St. **264**
Taxithelium pseudoacuminatum C. M. **172**, 288
 „ *subandinum* Herzog **172**, 288
Tayloria altorum Herzog **70**, 295, 315, 316
 „ *Mandoni* C. M. **70**, 285
 „ *Moritziana* C. M. **70**, 285
 „ *scabriseta* (Hook) Mitt. **70**, 285
Thuidium brasiliense Mitt. **172**, 288
 „ *breviacuminatum* Herzog **168**
 „ *delicatulum* Hedw. **172**, 277, 288
 „ *involvens* (Hedw.) **172**, 288
 „ *latopulvinatum* Herzog **144**, 288
 „ *leptocladum* (Tayl.) **143**, 277, 288
Thuidium minutulum (Hedw.) **143**, 288
 „ *ochraceum* Herzog **143**, 288
 „ *peruvianum* Mitt. **144**, 277, 308, 288
 „ *pusillum* Mitt. **172**, 288
 „ *scabrosulum* Mitt. **172**
 „ *schistocalyx* (C. M.) **172**, 288
 „ *Yungarum* Herzog **143**, 288
Tortella Germainii (C. M.) **32**, 284
 „ *Pilcomayica* Herzog **32**, 284
Tortula aculeata Wils. **49**, 284
 „ *andicola* (Mont.) **49**, 294
 „ *angustifolia* Herzog **48**, 284, 294
 „ *armata* Broth. **48**, 284
 „ *bipedicellata* Besch. **49**, 294
 „ *brunnea* (C. M.) **170**, 294
 „ *Buchtienii* Herzog **49**, 294
 „ *ciliata* Broth. **170**, 294, 313
 „ *fragilis* Tayl. **48**, **168**, 294
 „ *glacialis* (Kunze) Mitt. **170**, 284
 „ *Goudotii* (Hpe.) Mitt. **48**, 294
 „ *leiostoma* Herzog **47**, 294, 311, 316
 „ *ligulata* Herzog **48**, 294
 „ *linguifolia* Herzog **49**, 294
 „ *minima* Herzog **46**, 294
 „ *Mniadelphus* C. M. **48**, 294, 311, 314
 „ *mniifolia* (Sull.) Mitt. **47**, 284
 „ *percarcosa* (C. M.) **47**, 294, 313
 „ *pichinchensis* Tayl. **48**, 294
 „ *Polylepidis* Herzog **49**, 294
 „ *polyseta* (C. M.) **47**, 294, 311, 316
 „ *runcinata* (C. M.) **49**, 294, 298, 311
 „ *ruralis* (L.) **49**, 294, 313
 „ *scabrinervis* (C. M.) Mitt. **49**
 „ *serripungens* (C. M.) **49**, 294, 309
 „ *viridula* (C. M.) **170**, 294
 „ *xerophila* Herzog **50**, 309, 294
Trematodon bolivianus C. M. **169**
 „ *reflexus* C. M. **169**, 283
Trichocolea Allionii St. **230**
 „ *difficilis* St. **230**
 „ *filicaulis* St. **230**
 „ *flaccida* S. **230**
 „ *Herzogii* St. **230**
 „ *paupercula* St. **230**
Trichosteleum ambiguum (Schwgr.) **172**, 288
 „ *arrectum* (Mitt.) **172**, 288
 „ *fluviale* (Mitt.) **172**, 288
Trichostomum apophysatum Herzog **31**, 293
 „ *challaense* Broth. **30**, 293, 313
 „ *edentulum* Broth. **31**, 293, 313
 „ *fallax* Herzog **32**, 284
 „ *ferrugineum* Herzog **31**, 293
 „ *pomangium* Broth. et Herzog **166**, 293
Tristichium Lorentzii C. M. **12**, 293, 311, 316
 „ *mirabile* C. M. **13**, 293, 311, 316
Tylimanthus bifidus St. **215**
 „ *Herzogii* St. **215**
 „ *patagonicus* St. **216**
 „ *pusillus* St. **216**

- Vesicularia amphibola (Spruce) **172**, 288
 " vesicularis (Schwgr.) **172**, 288
Webera apolensis (R. S. W.) **79**, 285
 " clavicaulis Broth. **80**, 295
 " cruda (L.) Lindb. **81**, 295, 298, 314
 " loriformis Herzog **80**, 285
 " papillosa (C. M.) **79**, 285
 " pluriseta Herzog **171**, 295
 " Rusbyana (C. M.) **171**
 " schisticola (C. M.) **171**, 295
 " spectabilis (C. M.) **79**, 285
 " subleptopoda Broth. **79**, 284
Weisia longidentata R. S. W. **170**, 284
 " tortivelata R. S. W. **170**, 284
 " viridula (L.) Hedw. **170**, 284
Williamsiella tricolor (R. S. W.) E. Britt. **44**, 284, 294, 314
Wilsoniella flaccida (R. S. W.) **169**, 283
Wollnya stellata Herzog **79**, 295, 314
 " Wilsoni Mitt. **170**, 295
Zygodon andinus Mitt. **170**, 284
 " basidentatus Herzog **167**, 284
 " brevipes C. M. **170**, 284
Zygodon caldensis Angstr. **62**, 284
 " coraniensis Herzog **63**, 284
 " cylindricus (Schimp.) **62**, 284
 " fasciculatus Mitt. **170**
 " ferrugineus C. M. **170**, 284
 " Goudotii Hpe. **61**, 294, 314
 " inconspicuus Herzog **170**, 284
 " liliputanus C. M. **63**, 284
 " linguiformis C. M. **63**, 284
 " macrophyllus Herzog **61**, 294, 314
 " oeneus Herzog **61**, 294, 314
 " ovalis Mitt. **62**, 284
 " paucidens C. M. **170**, 284
 " perichaetialis Herzog **170**, 284
 " peruvianus Sull. **170**, 294
 " pichinchensis (Tayl.) **61**, 294, 314
 " ramulosus Herzog **62**, 284
 " recurvifolius Schimp. **170**
 " stenocarpus Tayl. **62**, 284
 " subdenticulatus Tayl. **62**, 284
 " subrecurvifolius Broth. **62**, 294
 " vestitus R. S. W. **170**, 284
-



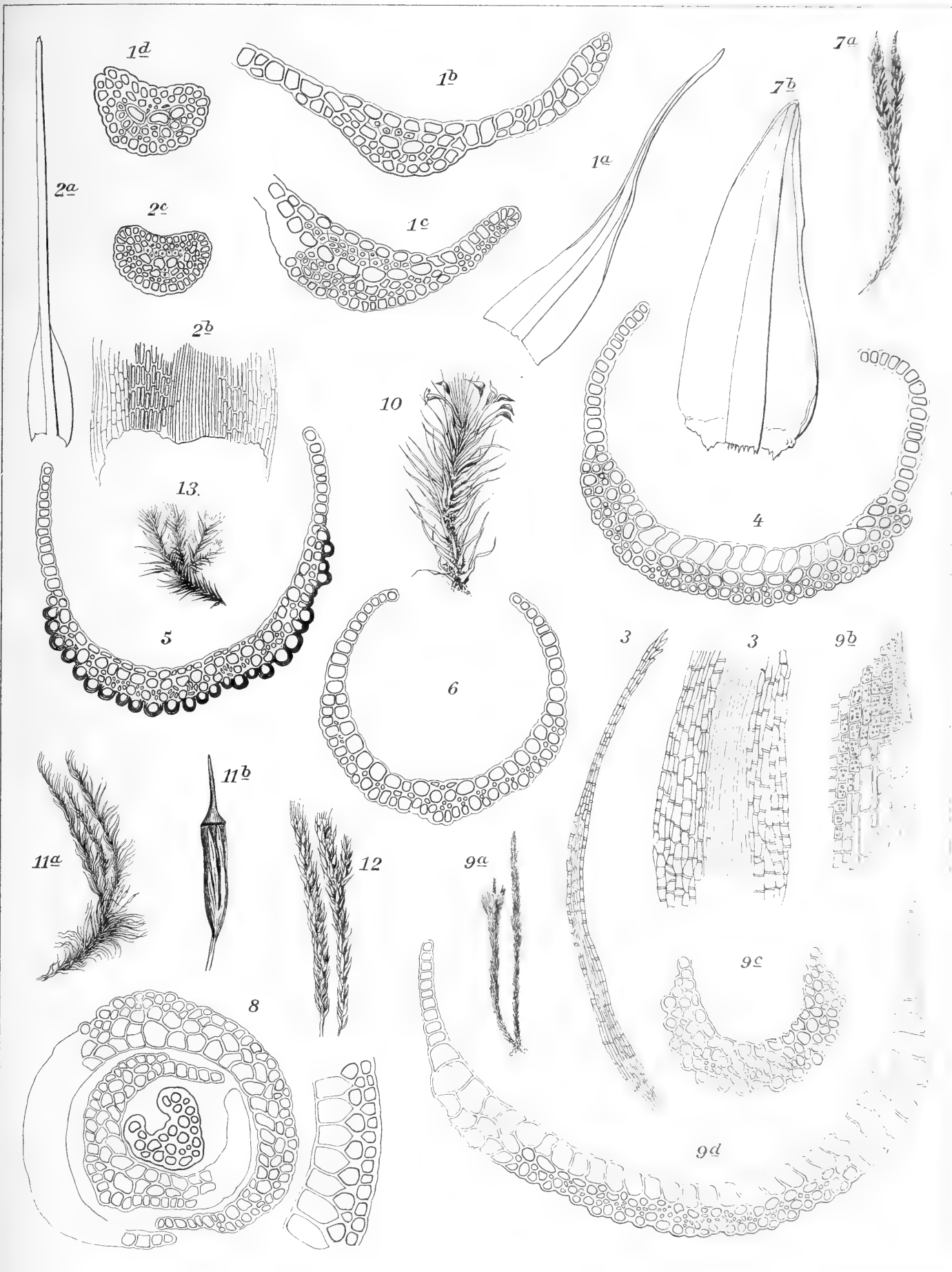




Tafel I.

Erklärung zu Tafel I.

1. *Hygrodicranum bolivianum* Card. et Herzog.
a Blatt ca. 18:1; b Blattquerschnitt unten 250:1; c B. querschnitt in der Mitte 250:1;
d B. querschnitt oben 250:1.
 2. *Ditrichum submersum* Herzog.
a Blatt ca. 12:1; b Blattbasis ca. 60:1; c Querschnitt durch die B. spitze 250:1.
 3. *Campylopus tunariensis* Herzog.
Ein Bruchblatt 62:1 und Basis eines Laubblattes 125:1.
 4. *Campylopus harpophyllus* Herzog, No. 4416.
Blattquerschnitt 250:1.
 5. *Pilopogon Tiquipayae* Herzog, No. 2655.
Blattquerschnitt 250:1.
 6. *Campylopus malagensis* Herzog, No. 4367.
Blattquerschnitt 250:1.
 7. *Campylopus cucullatifolius* Herzog.
a Stengel 1:1; b Blatt 16:1.
 8. *Campylopus latinervis* Herzog. No. 4356.
Blattquerschnitte 250:1.
 9. *Campylopus insignis* Herzog.
a Habitus 1:1; b Blattrand unten; c Bl. querschnitt oben 250:1; d Blattquerschnitt unten 250:1.
 10. *Campylopus Jamesonii* (Hook.).
Habitusbild eines fruchtenden Stengels 1:1.
 11. *Campylopus Gertrudis* Herzog.
a Habitus 1:1; b Kapsel 10:1.
 12. *Campylopus albidovirens* Herzog.
Habitus 1:1.
 13. *Campylopus trichophorus* (Hpe.).
Habitus 1:1.
-



del. Th. Herzog.

Hyrodicranum, Ditrichum, Campylopus, Pilopogon.



Tafel II.

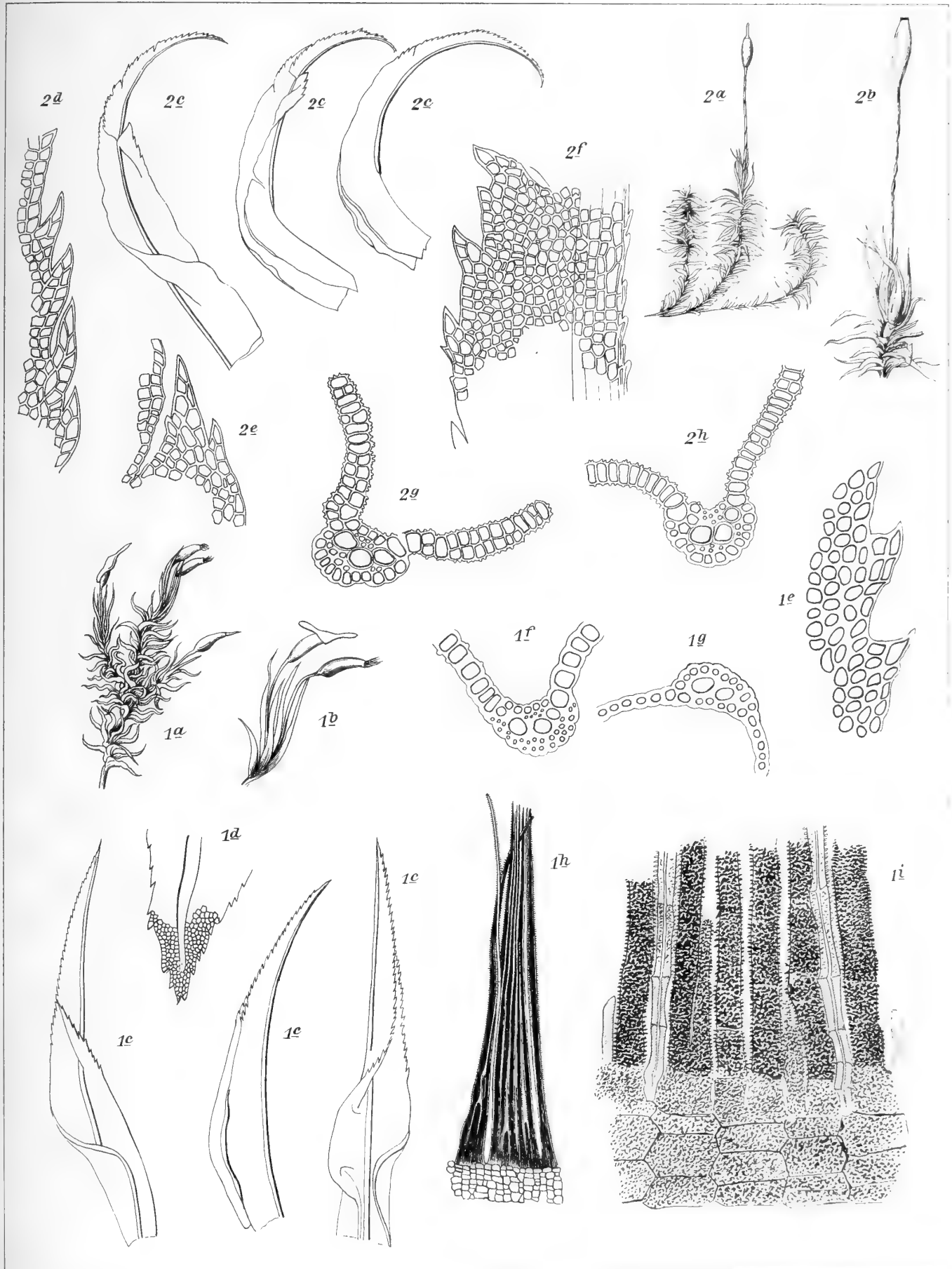
Erklärung zu Tafel II.

1. *Streptotrichum ramicolum* Herzog.

a Fruchtende Sproßspitze 2:1; *b* Perichaetium mit 2 Kapseln 3:1; *c* 3 Blätter 20:1; *d* Blattspitze 62:1; *e* Blattrand 250:1; *f* Querschnitt in der B.mitte 250:1; *g* Querschnitt durch die B.basis 250:1; *h* Peristom 62:1; *i* Peristombasis 250:1.

2. *Rhexophyllum laciniatum* Herzog.

a Fruchtender Sproß 2:1; *b* Perichaetium mit entdeckelter Kapsel 4:1; *c* 3 Blätter 20:1; *d, e, f* Blattrand an verschiedenen Stellen 250:1; *g* Blattquerschnitt oben 250:1; *h* B.quer-schnitt unter der Mitte 250:1.



del. Th. Herzog.

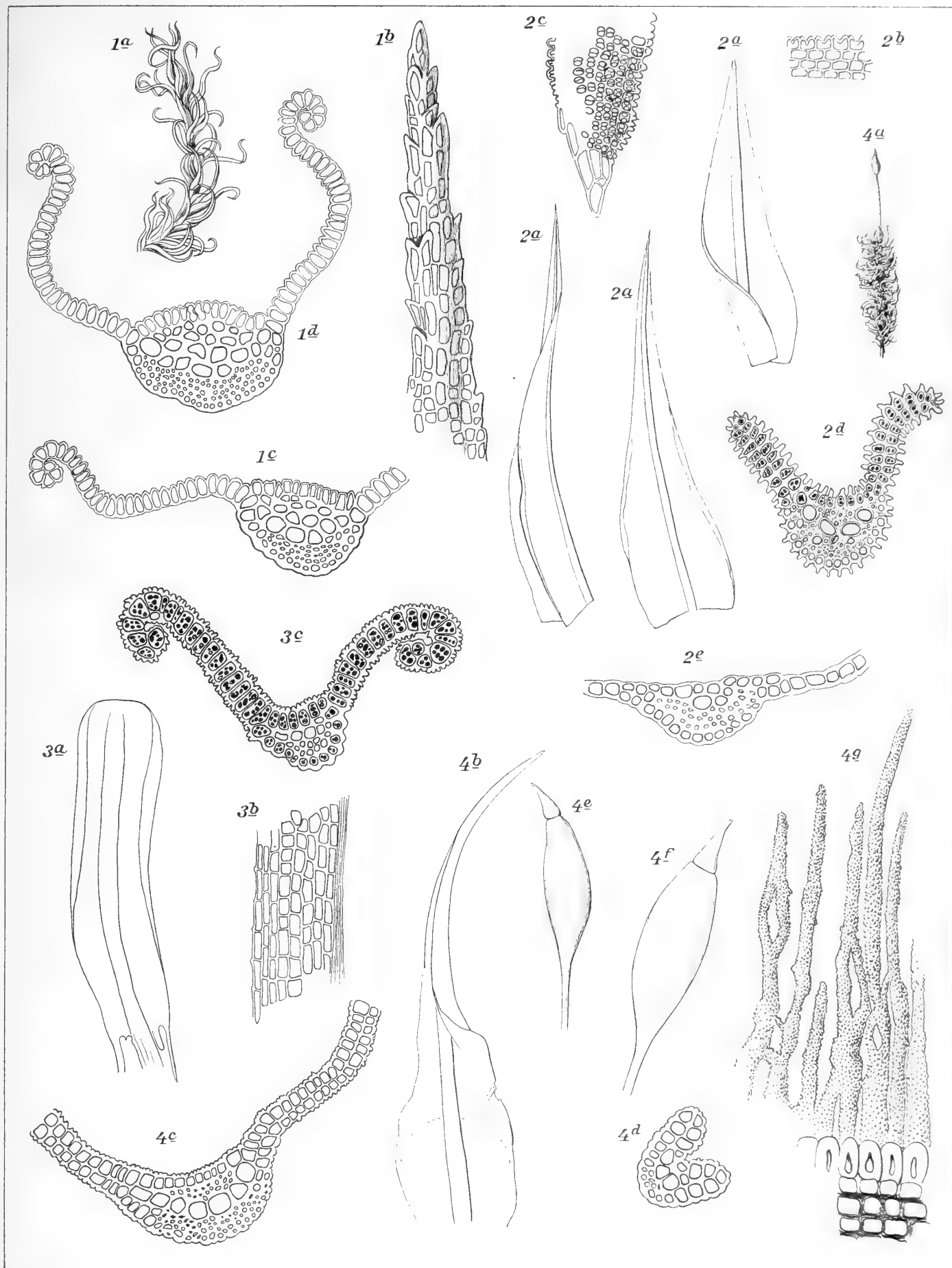
Streptotrichum, Rhexophyllum.



Tafel III.

Erklärung zu Tafel III.

1. *Gertrudia validinervis* Herzog.
a Sproßspitze 4: 1; b Blattspitze der var. *serratopungens* 250: 1; c und d B. querschnitte 250: 1.
 2. *Chrysoblastella revoluta* Herzog.
a 3 Blätter 30: 1; b oberer Blattrand 250: 1; c Blattspitze 250: 1; d B. querschnitt oben 250: 1; e B. querschnitt an der Basis 250: 1.
 3. *Husnotiella glossophylla* Herzog.
a Blatt 62: 1; b Blattrand unten 250: 1; c Blattquerschnitt 250: 1.
 4. *Erythrophyloopsis boliviana* Broth.
a Fruchtender Stengel 1: 1; b Blatt 30: 1; c Blattquerschnitt in der Mitte 250: 1; d B. querschnitt oben 250: 1; e, f Kapseln 15: 1 und 20: 1; g Peristom 250: 1.
-



del. Th. Herzog.

Gertrudia, Chrysoblastella, Husnotiella, Erythrophylopsis.



Tafel IV.

Erklärung zu Tafel IV.

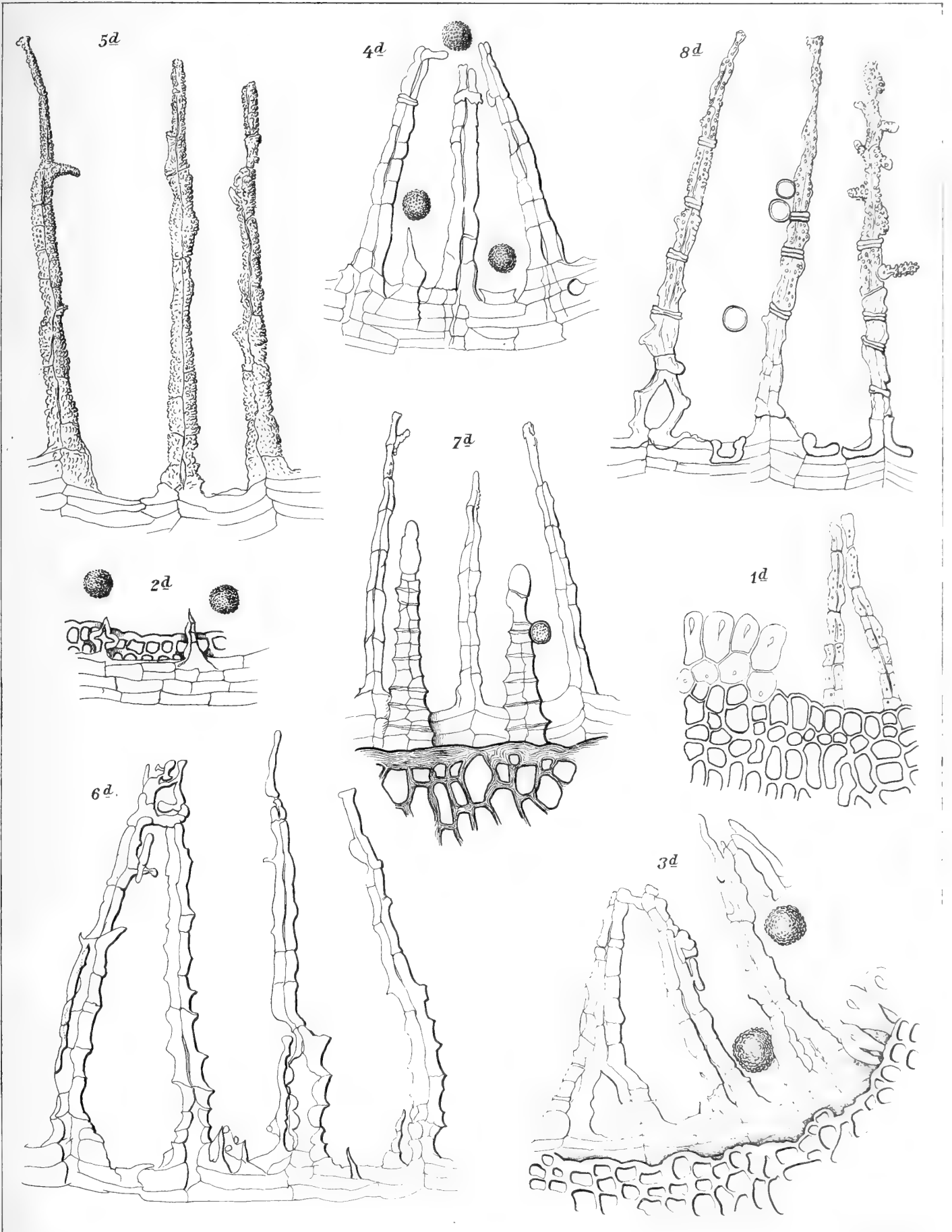
1. *Mielichhoferia angustata* Broth.
a Habitus 1:1; b Habitus 4:1; c Blatt 30:1.
2. *Mielichhoferia microdonta* Broth.
a Habitus 1:1; b Habitus 4:1; c Blatt 30:1.
3. *Mielichhoferia seriata* Broth.
a Habitus 1:1; b Habitus 4:1; c Blatt 30:1; d Kapsel 8:1.
- 4 a—c u. e. *Mielichhoferia bryocarpa* Broth.
a Habitus von No. 4793 1:1; az Habitus von No. 4800 1:1; b Habitus 4:1; c Blätter 30:1;
e Kapsel 8:1.
- 4 d. *Mielichhoferia pusilla* Hook. Habitus 1:1.
5. *Mielichhoferia subclavitheca* Broth.
a Habitus 1:1; b Habitus 4:1; c Blatt 30:1.
6. *Mielichhoferia Herzogii* Broth.
a Habitus 1:1; b Habitus 4:1; c Blatt 30:1.
7. *Mielichhoferia castanea* Broth.
a Habitus 1:1; b Habitus 4:1; c Blatt 30:1.
8. *Mielichhoferia gracilis* Broth.
a Habitus 1:1; b Habitus 3:1; c Blatt 30:1.
9. *Haplodontium sanguinolentum* C. M.
a Blätter 30:1; b Blattspitze 125:1.
10. *Haplodontium crassinervium* Herzog.
a Blatt 30:1; b Blattspitze 125:1 (die Rippe ist weiß gelassen); c Zellnetz unten 125:1.



Tafel V.

Erklärung zu Tafel V.

- 1 d. *Mielichhoferia angustata* Broth. Peristom 250: 1.
2 d. „ *microdonta* Broth. Peristom 250: 1.
3 d. „ *seriata* Broth. Peristom 250: 1.
4 d. „ *bryocarpa* Broth. Peristom 250: 1.
5 d. „ *subclavitheca* Broth. Peristom 250: 1.
6 d. „ *Herzogii* Broth. Peristom 250: 1.
7 d. „ *castanea* Broth. Peristom 250: 1.
8 d. „ *gracilis* Broth. Peristom 250: 1.
-



del. Th. Herzog.

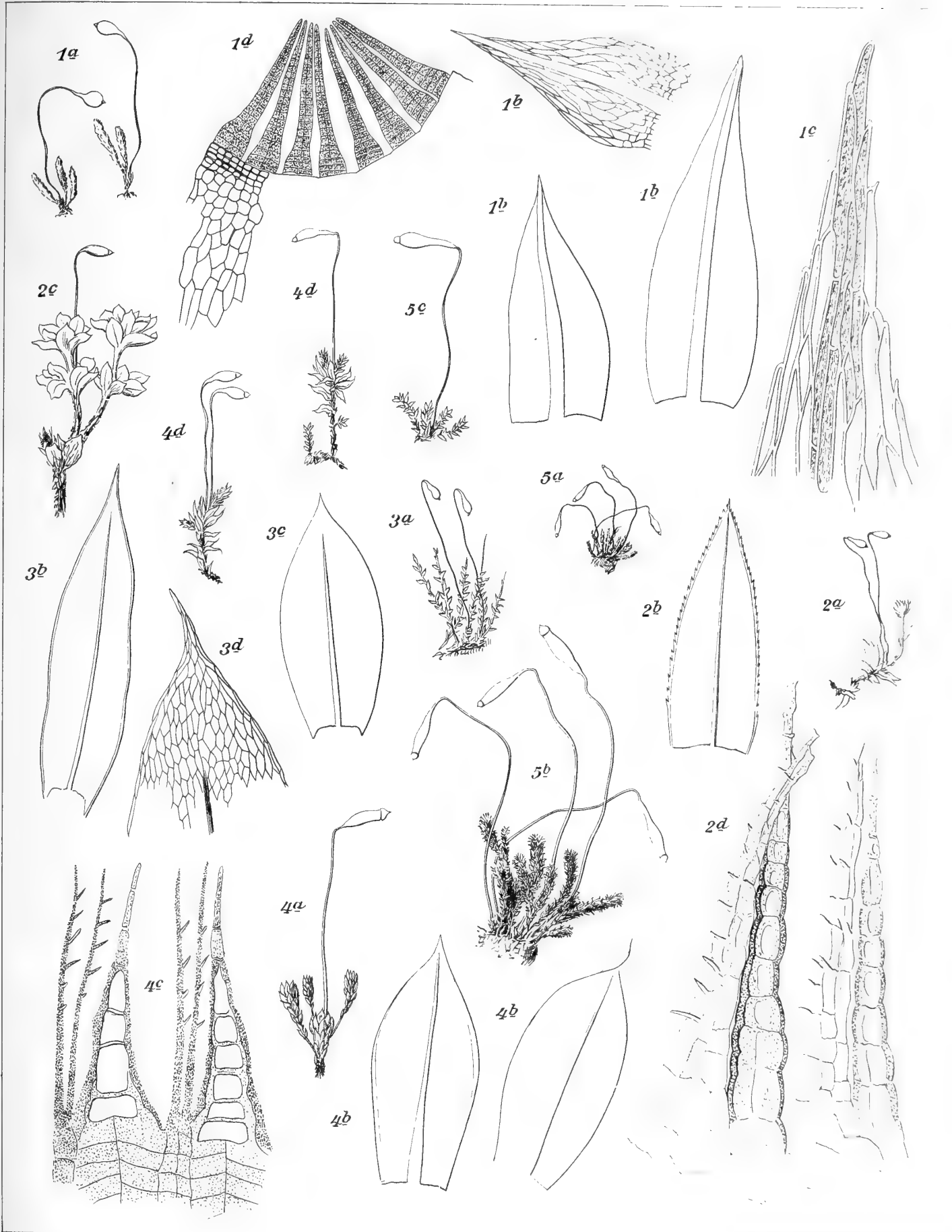
Melichhoferia.



Tafel VI.

Erklärung zu Tafel VI.

1. *Haplodontium cuspidatum* Herzog.
a Habitus 2: 1; b 3 Blätter 60: 1; c B.spitze 250: 1; d Peristom 125: 1.
 - 2 a, b u. d. *Bryum perserratum* Broth.
a Habitus 1: 1; b Blatt 9: 1; d inneres Peristom 250: 1.
 - 2 c. *Rhodobryum verticillatum* Broth. Habitus 1: 1.
 3. *Bryum longedecurrens* Broth.
a Habitus 1: 1; b Stengelblatt 20: 1; c Blatt eines Innovationssprosses 20: 1; d Blattspitze 62: 1.
 - 4 a—c. *Bryum Stephanii* Herzog.
a Habitus 2: 1; b Blätter 25: 1; c Teil des inneren Peristoms 250: 1.
 - 4 d. *Acidodontium pallidum* Herzog. Habitus 1: 1.
 - 5 a—b. *Bryum subsericeum* Broth.
a Habitus 1: 1; b Habitus 4: 1.
 - 5 c. *Acidodontium macropoma* C. M. Habitus 1: 1.
-



del. G et Th. Herzog.

Haplodontium, Bryum, Rhodobryum.



Tafel VII.

Erklärung zu Tafel VII.

1. *Flabellidium spinosum* Herzog.

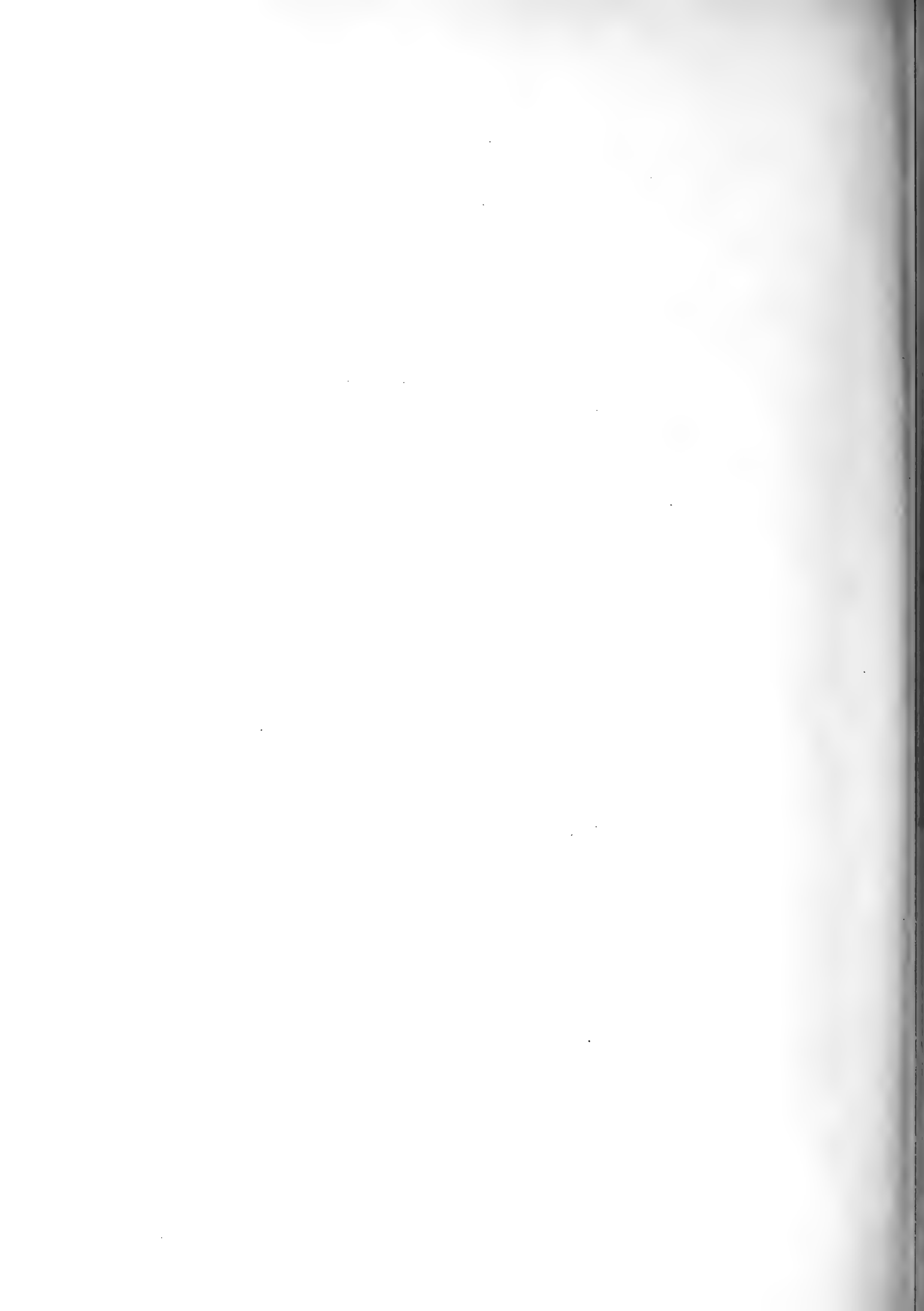
a Schematisches Habitusbild 1:1; *b, c* Habitusbild 1:1; *c* Stengelblatt 45:1; *d* Astblatt 45:1; *e* Aststück 18:1; *f* Blattspitze 250:1; *g* Blattflügel 250:1.

2. *Plagiothecium bolivianum* Broth.

a Habitus 1:1; *b* Stengelblatt 30:1; *c* 2 Astblätter 30:1; *d, e* 3 Perichaetialblätter 30:1; *f* Blattspitze 250:1; *g* Blattflügel 250:1; *h* bedeckelte Kapsel ca. 12:1; *i* entdeckelte Kapsel ca. 12:1; *k* Peristom von innen 250:1; *l* Zahn des äußeren Peristoms von außen 250:1;

3. *Schröterella zygodonta* Herzog.

a Fruchtende Pflanze 5:1; *b* 2 Blätter 30:1; *c* Blattbasis 125:1; *d* entdeckelte Kapsel 25:1.
e, f Peristom 250:1.



Tafel VIII.

Erklärung zu Tafel VIII.

1—9. *Thuidium leptocladum* (Tayl.).

1. Habitus 1: 1; 2. Ästchen 2. Ordnung 62: 1; 3, 4. Stengelblätter 62: 1; 5, 6, 7. Astblätter 1. Ordnung 62: 1; 8. Perichaetialblatt 31: 1; 9. bedeckelte Kapsel.

10—16. *Thuidium Yungarum* Herzog.

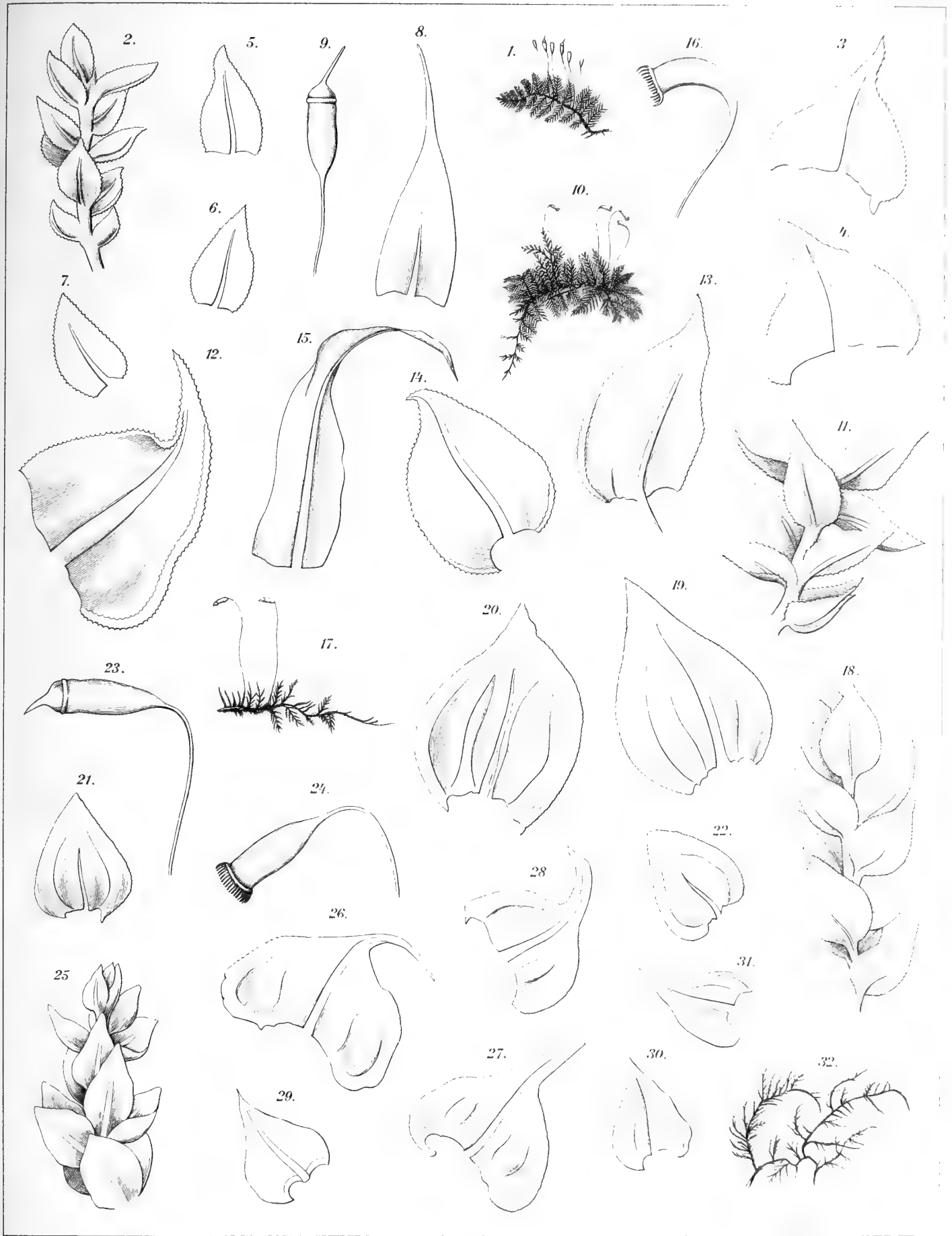
10. Habitus 1: 1; 11. Ästchen 2. Ordnung 62: 1; 12. Stengelblatt 62: 1; 13, 14. Astblätter 1. Ordnung 62: 1; 15. Perichaetialblatt 31: 1; 16. entdeckelte Kapsel.

17—24. *Thuidium ochraceum* Herzog.

17. Habitus 1: 1; 18. Ästchen 2. Ordnung 62: 1; 19, 20. Stengelblätter 62: 1; 21, 22. Astblätter 1. Ordnung 62: 1; 23, 24. bedeckelte und entdeckelte Kapsel.

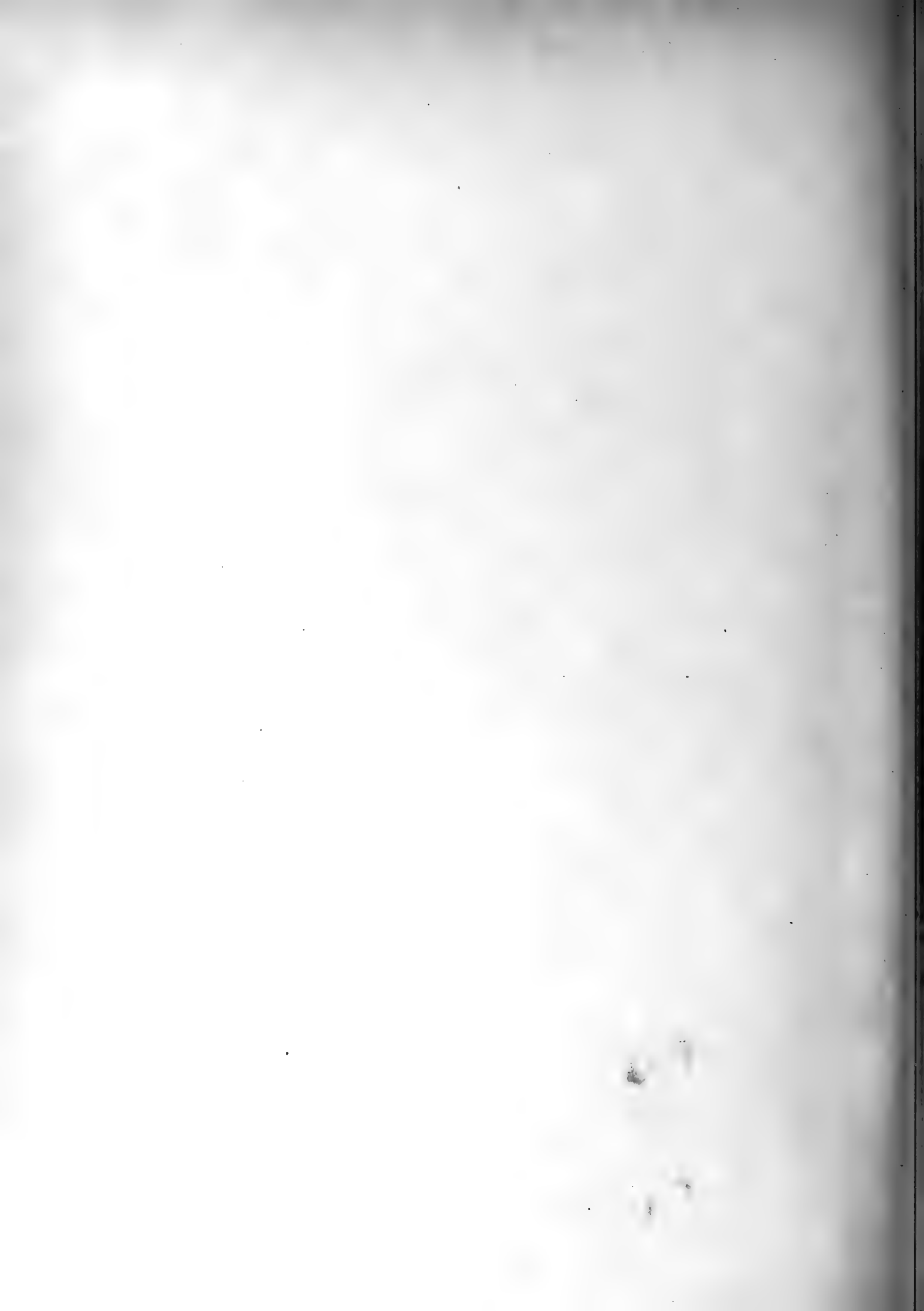
25—32. *Thuidium latopulvinatum* Herzog.

25. Ästchen 2. Ordnung 62: 1; 26, 27, 28. Stengelblätter 62: 1; 29, 30, 31. Astblätter 62: 1; 32. Habitus 1: 1.



del. Th.Herzog.

Thuidium.



Bibliotheca Botanica

Verzeichnis der bisher erschienenen Hefte

1. **Schenck, Dr. H.**, Vergleichende Anatomie der submersen Gewächse. Mit 10 Tafeln. Preis Mk. 32.—.
2. **Zopf, Dr. W.**, Botanische Untersuchungen über die Gerbstoff- und Anthocyan-Behälter der Fumariaceen. Mit 3 farbigen Doppeltafeln. Preis Mk. 30.—.
3. **Schiffner, Dr. V.**, Über *Verbascum*-Hybriden und einige neue Bastarde des *Verbascum pyramidatum*. Mit 2 Tafeln. Preis Mk. 4.—.
4. **Vöchting, Dr. H.**, Über die Bildung der Knollen. — Mit 5 Tafeln und 5 Figuren im Text. Preis Mk. 8.—.
5. **Dietz, Dr. Sándor**, Über die Entwicklung der Blüte und Frucht von *Sparganium Tourn.* und *Typha Tourn.* Mit 3 Tafeln. Preis Mk. 8.—.
6. **Schenk, Prof. Dr.**, Fossile Pflanzen aus der Albqürskette. Mit 9 Tafeln. Preis Mk. 8.—.
7. **Rees, Dr. Max** und **Dr. C. Fisch**, Untersuchungen über Bau und Lebensgeschichte der Hirschtrüffel, *Elaphomyces*. Mit 1 Tafel und 1 Holzschnitt. Preis Mk. 5.—.
8. **Buchtien, Dr. O.**, Entwicklungsgeschichte des Prothallium von *Equisetum*. — Mit 6 Tafeln. Preis Mk. 10.—.
9. **Huth, Dr. E.**, Die Klettplanzen mit besonderer Berücksichtigung ihrer Verbreitung durch Tiere. — Mit 78 Holzschnitten. Preis Mk. 4.—.
10. **Schulz, Aug.**, Beiträge zur Kenntnis der Bestäubungseinrichtungen und der Geschlechtsverteilung bei den Pflanzen I. Teil. Mit 1 Tafel. Preis Mk. 8.—.
11. **Wiegand, Dr. A.**, *Nelumbium speciosum*. — Nach des Verfassers Tode herausgegeben von Dr. E. Dennert. Mit 6 Tafeln. Preis Mk. 12.—.
12. **Stenzel, Dr. G.**, Die Gattung *Tubicaulis* Cotta. Mit 7 Tafeln. Preis Mk. 20.—.
13. **Geheeb, Adalbert**, Neue Beiträge zur Moosflora von Neu-Guinea. Mit 8 Tafeln. Preis Mk. 10.—.
14. **Oltmanns, Dr. Friedrich**, Beiträge zur Kenntnis der Fucaceen. Mit 15 Tafeln. Preis Mk. 32.—.
15. **Schumann, Dr. C. R. G.**, Anatomische Studien über die Knospenschuppen von Coniferen und dicotylen Holzgewächsen. Mit 5 Tafeln. Preis Mk. 10.—.
16. **Bucherer, Dr. Emil**, Beiträge zur Morphologie und Anatomie der Dioscoreaceen. Mit 5 Tafeln. Preis Mk. 10.—.
17. **Schulz, August**, Beiträge zur Kenntnis der Bestäubungseinrichtungen und Geschlechtsverteilung bei den Pflanzen. II. Teil. Preis Mk. 27.—.
18. **Walter, Dr. Georg**, Über die braunwandigen, sklerotischen Gewebeelemente der Farne, mit besonderer Berücksichtigung der sog. „Stützbündel“ Russow's. Mit 3 farbigen Tafeln. Preis Mk. 6.—.
19. **Beck von Mannagetta, Dr. Günther Ritter**, Monographie der Gattung *Orobanche*. Mit 4 farbigen Tafeln und 3 Karten. Preis Mk. 64.—.
20. **Rostowzew, J.**, Die Entwicklung der Blüte und des Blütenstandes bei einigen Arten der Gruppe *Ambrosieae* und Stellung der letzteren im System. Mit 7 Tafeln. Preis Mk. 10.—.
21. **Stenzel, Prof. Dr. G.**, Blütenbildungen beim Schneeglöckchen (*Galanthus nivalis*) und Samenformen bei der Eiche (*Quercus pedunculata*). Mit 6 Tafeln. Preis Mk. 29.—.
22. **Karsten, G.**, Über die Mangrove-Vegetation im Malayischen Archipel. Mit 11 Tafeln. Preis Mk. 24.—.
23. **Reinke, J.**, Beiträge zur vergleichenden Anatomie und Morphologie der Sphacelariaceen. Mit 13 Tafeln. Preis Mk. 24.—.
24. **Berckholtz, W.**, Beiträge zur Kenntnis der Morphologie und Anatomie von *Gunnera manicata* Linden. Mit 9 Tafeln. Preis Mk. 20.—.
25. **Krick, Fr.**, Über die Rindenknollen der Rotbuche. Mit 2 Tafeln. Preis Mk. 8.—.
26. **Wettstein, Dr. R. von**, Beitrag zur Flora Albaniens. Mit 5 Tafeln. Preis Mk. 24.—.
27. **Buchenau, Prof. Dr. Fr.**, Über den Aufbau des Palmiet-Schilfes aus dem Kaplande. (*Prionium serratum* Drège.) Mit 3 teilweise kolorierten Tafeln. Preis Mk. 18.—.
28. **Luerssen, Prof. Dr. Chr.**, Beiträge zur Kenntnis der Flora West- und Ostpreussens. I.-III. Mit 23 Tafeln. Preis Mk. 65.—.
29. **Pohl, Dr. Jul.**, Botanische Mitteilung über *Hydrastis canadensis*. Mit 4 Tafeln. Preis Mk. 8.—.
30. **Elfert, Dr. Th.**, Über die Auflösungsweise der sekundären Zellmembranen der Samen bei ihrer Keimung. Mit 2 Tafeln. Preis Mk. 8.—.
31. **Groppler, Dr. Rob.**, Vergleichende Anatomie des Holzes der Magnoliaceen. Mit 4 Tafeln. Preis Mk. 12.—.
32. **Jungner, J. R.**, Wie wirkt träufelndes und fließendes Wasser auf die Gestaltung des Blattes? Einige biologische Experimente und Beobachtungen. Mit 3 Tafeln. Preis Mk. 10.—.
33. **Mäule, C.**, Der Faserverlauf im Wundholz. Eine anatomische Untersuchung. Mit 2 Tafeln. Preis Mk. 8.—.
34. **Jarius, M.**, Untersuchungen über *Ascochyta Pisi* bei parasitischer und saprophyter Ernährung. Mit 1 Tafel. Preis Mk. 7.—.
35. **Schlickum, A.**, Morphologischer und anatomischer Vergleich der Kotyledonen und ersten Laubblätter der Keimpflanzen der Monokotylen. Mit 5 Tafeln. Preis Mk. 24.—.
36. **Grob, A.**, Beiträge zur Anatomie der Epidermis der Gramineenblätter. Mit 10 Tafeln. Preis Mk. 46.—.
37. **Zander, R.**, Die Milchsafthaare der Cichoriaceen. Mit 2 Tafeln. Preis Mk. 12.—.
38. **Gruber, F.**, Über Aufbau und Entwicklung einiger Fucaceen. Mit 7 Tafeln. Preis Mk. 24.—.
39. **Grüss, J.**, Über Lösung und Bildung der aus Hemicellulose bestehenden Zellwände und ihre Beziehung zur Gummosis. Mit 1 Tafel. Preis Mk. 7.—.
40. **Wahl, Dr. C. von**, Vergleichende Untersuchungen über den anatomischen Bau der geflügelten Früchte und Samen. Mit 5 Tafeln. Preis Mk. 16.—.
41. **Heydrich, F.**, Neue Kalkalgen von Deutsch-Neu-Guinea (Kaiser-Wilhelms-Land). Mit 1 Tafel. Preis Mk. 6.—.
42. **Vanhöffen, Dr. E.**, Botanische Ergebnisse der von der Gesellschaft für Erdkunde zu Berlin unter Leitung Dr. v. Drygalski's ausgesandten Grönlandexpedition nach Dr. Vanhöffens Sammlungen bearbeitet. A.: Kryptogamen. Mit 1 Tafel. Preis Mk. 12.—.
- 42^b. — — B.: Phanerogamen aus dem Ulmanaks- und Ritenbenks-Distrikt. Bearbeitet von Dr. J. Abromeit, Königsberg. Mit 4 Tafeln und 1 Textfigur. 1899. Preis Mk. 18.—.
43. **Richter, Dr. A.**, Über die Blattstruktur der Gattung *Cecropia*, insbesondere einiger bisher unbekannter *Imbauba*-Bäume des tropischen Amerika. Mit 5 Doppel- und 3 einfachen Tafeln. Preis Mk. 24.—.
44. **Geheeb, A.**, Weitere Beiträge zur Moosflora von Neu-Guinea. Mit 21 Tafeln. 1898. Preis Mk. 42.—.

Bibliotheca Botanica

Verzeichnis der bisher erschienenen Hefte (Fortsetzung)

45. **Darbishire, O. V.**, Monographia Rocelleorum. Ein Beitrag zur Flechtensystematik. Mit 29 Figuren im Text und 30 Tafeln. 1898. Preis Mk. 60.—
46. **Minden, M. von**, Beiträge zur anatomischen und physiologischen Kenntnis Wasser-secernierender Organe. Mit 7 Tafeln. 1899. Preis Mk. 24.—
47. **Knoch, E.**, Untersuchungen über die Morphologie, Biologie und Physiologie der Blüte von *Victoria regia*. Mit 6 Tafeln. 1899. Preis Mk. 17.—
48. **Fisch, E.**, Beiträge zur Blütenbiologie. Mit 6 Tafeln. 1899. Preis Mk. 16.—
49. **Heydrich, F.**, Über die weiblichen Conceptakeln von *Sporolithon*. Mit 2 Tafeln. 1899. Preis Mk. 6.—
50. **Hämmerle, J.**, Zur Organisation von *Acer Pseudoplatanus*. Mit 1 Tafel. 1900. Preis Mk. 16.—
51. **Siim-Jensen, J.**, Beiträge zur botanischen und pharmacognostischen Kenntnis von *Hyoscyamus niger* L. Mit 6 Tafeln. 1901. Preis Mk. 18.—
52. **Uexküll-Gyllenband, M. von**, Phylogenie der Blütenform und der Geschlechterverteilung bei den Compositen. Mit 2 Tafeln. 1901. Preis Mk. 18.—
53. **Correns, C.**, Bastarde zwischen Maisrassen, mit besonderer Berücksichtigung der Xenien. Mit 2 farbigen Tafeln. 1901. Preis Mk. 24.—
54. **Richter, Dr. A.**, Physiologisch-anatomische Untersuchungen über Luftwurzeln, mit besonderer Berücksichtigung der Wurzelhaube. Mit 12 Tafeln. 1901. Preis Mk. 30.—
55. **Stenzel, Dr. K. G. W.**, Abweichende Blüten heimischer Orchideen mit einem Rückblick auf die der Abietineen. Mit 6 Tafeln. 1902. Preis Mk. 28.—
56. **Areschoug, Prof. Dr. F. W. C.**, Untersuchungen über den Blattbau der Mangrove-Pflanzen. Mit 13 Tafeln. 1902. Preis Mk. 24.—
57. **Heydrich, F.**, Das Tetrasporangium der Florideen, ein Vorläufer der sexuellen Fortpflanzung. Mit 1 Tafel. 1902. Preis Mk. 6.—
58. **Günthart, Dr. A.**, Beitrag zur Blütenbiologie der Cruciferen, Crassulaceen und der Gattung *Saxifraga*. Mit 11 Tafeln. 1902. Preis Mk. 28.—
59. **Kroemer, Dr. H.**, Hypodermis und Endodermis der Angiospermenwurzel. Mit 6 Tafeln. 1903. Preis Mk. 28.—
60. **Ursprung, Dr. A.**, Die physikalischen Eigenschaften der Laubblätter. Gekrönte Preisschrift. Mit 27 Figuren im Texte und 9 Tafeln. 1903. Preis Mk. 28.—
61. **Freidenfelt, T.**, Der anatomische Bau der Wurzel in seinem Zusammenhange mit dem Wassergehalt des Bodens. (Studien über die Wurzeln krautiger Pflanzen II) Mit 5 Tafeln und 7 Textfiguren. 1904. Preis Mk. 20.—
62. **Rumpf, Dr. G.**, Rhizodermis, Hypodermis und Endodermis der Farnwurzel. Mit 4 Tafeln. 1904. Preis Mk. 12.—
63. **Lohaus, Dr. K.**, Der anatomische Bau der Laubblätter der Festucaceen und dessen Bedeutung für die Systematik. Mit 16 Tafeln. Preis Mk. 30.—
64. **Lang, W.**, Zur Blüten-Entwicklung der Labiäten, Verbenaceen und Plantaginaceen. Mit 5 Tafeln. Preis Mk. 26.—
65. **Domin, K.**, Monographie der Gattung *Koeleria*. Mit 22 Tafeln und 3 Karten. Preis Mk. 96.—
66. **Mager, H.**, Beiträge zur Anatomie der physiologischen Scheiden der Pteridophyten. Mit 4 Tafeln. Preis Mk. 15.—
67. **Pascher, A.**, Studien über die Schwärmer einiger Süßwasseralgen. Mit 8 Tafeln. Preis Mk. 24.—
68. **Matthiesen, Frz.**, Beiträge zur Kenntnis der Podostemaceen. Mit 9 Tafeln. Preis Mk. 18.—
69. **Heinzerling, O.**, Der Bau der Diatomeenzelle mit besonderer Berücksichtigung der ergastischen Gebilde und der Beziehung des Baues zur Systematik. Mit 3 Tafeln. Preis Mk. 24.—
70. **Kühns, R.**, Die Verdoppelung des Jahresringes durch künstliche Entlaubung. Mit 2 Tafeln. Preis Mk. 14.—
71. **Wolf, Th.**, Monographie der Gattung *Potentilla*. Mit 2 Karten und 20 Tafeln. Preis Mk. 120.—
72. **Focke, W. O.**, Species Ruborum. Monographiae generis *Rubi* Prodromus. Pars I. Iconibus LIII illustrata. Preis Mk. 40.— Pars II. Iconibus XXXIV illustrata. Preis Mk. 40.—
73. **Geheeb, A. und Th. Herzog**, Bryologia atlantica. Die Laubmoose der atlantischen Inseln (mit Ausschluß der europäischen und arktischen Gebiete). Mit 20 farbigen lithogr. Tafeln. Preis Mk. 80.—
74. **Bitter, Gg.** Gattung *Acaena*. — Vorstudien zu einer Monographie. Mit 37 Tafeln und 98 Textillustrationen. Preis Mk. 100.—
75. **Heydrich, F.**, *Lithophyllum incrustans* Phil. — Mit einem Nachtrag über *Paraspora fruticulosa* (Ktz.) Heydr. Mit 2 Tafeln. Preis Mk. 8.—
76. **Fuchs, Josef**, Über die Beziehungen von Agaricineen und anderen humusbewohnenden Pilzen zur Mycorrhizenbildung der Waldbäume. Mit 4 Tafeln. Preis Mk. 10.—
77. **Günthart, A.**, Beitrag zu einer blütenbiologischen Monographie der Gattung *Arabis*. Mit 2 Tafeln. Preis Mk. 16.—
78. **Petrak, F.**, Der Formenkreis des *Cirsium eriophorum* (L.) Scop. in Europa. Mit 6 Tafeln und 1 Verbreitungskarte. Preis Mk. 24.—
79. **Mylius, Georg**, Das Polyderm, eine vergleichende Untersuchung über die physiologischen Scheiden Polyderma, Periderm und Endodermis. Mit 4 Tafeln. Preis Mk. 28.—
80. **Fleischer, Max**, Seltene sowie einige neue indische Archipelmoose nebst *Calymperopsis* gen. nov. Mit 7 Tafeln. Preis Mk. 18.—
81. **Gerresheim, Eduard**, Über den anatomischen Bau und die damit zusammenhängende Wirkungsweise der Wasserbahnen in Fiederblättern der Dicotyledonen. Mit 7 Tafeln. Preis Mk. 16.—
82. **Rippel, August**, Anatomische und physiologische Untersuchungen über die Wasserbahnen der Dicotylen-Laubblätter mit besonderer Berücksichtigung der handnervigen Blätter. Mit 4 Tafeln. Preis Mk. 15.—
83. **Focke, W. O.**, Species Ruborum. Monographiae generis *Rubi* Prodromus. Pars III Iconibus LXVII illustrata. Preis Mk. 84.—
84. **Klinken, Johannes**, Ueber das gleitende Wachstum der Initialen im Kambium der Koniferen und den Markstrahlverlauf in ihrer sekundären Rinde. Mit 2 Tafeln, 1 Doppeltafel und 21 Textabbildungen. Preis Mk. 14.—
85. **Domin, K.**, Beiträge zur Flora und Pflanzengeographie Australiens. Lieferung 1, 2 mit 8 Tafeln und 57 Textabbildungen. Preis Mk. 80.— Lieferung 3, 4 mit 10 Tafeln und 60 Textabbildungen. Preis Mk. 112.—
86. **Frohnmeier, Max**, Die Entstehung und Ausbildung der Kieselzellen bei den Gramineen. Mit 2 Tafeln. Preis Mk. 12.—

BIBLIOTHECA BOTANICA

Original-Abhandlungen

aus

dem Gesamtgebiete der Botanik

Herausgegeben

von

Prof. Dr. L. Diels

Berlin-Dahlem.

Heft 88

THEODOR HERZOG

Die Bryophyten meiner zweiten Reise durch Bolivia.

Nachtrag.

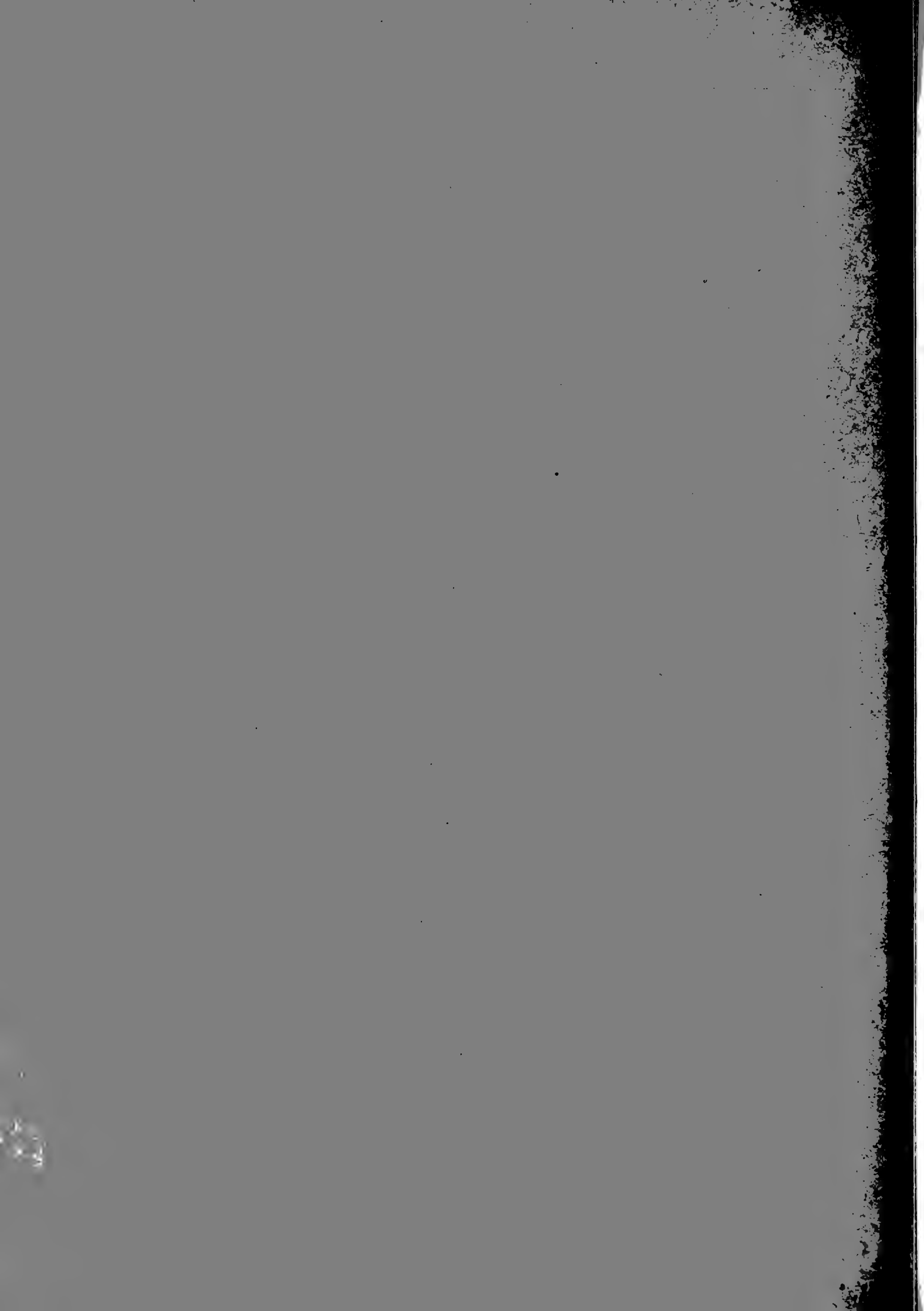
Mit 19 Text-Abbildungen.



STUTTGART 1921

E. Schweizerbart'sche Verlagsbuchhandlung
(Erwin Nägele).

ARNOLD ARBORETUM
JAMAICA PLAIN,
MASS.





BIBLIOTHECA BOTANICA

Original-Abhandlungen

aus

dem Gesamtgebiete der Botanik

Herausgegeben

von

Prof. Dr. L. Diels

Berlin-Dahlem.

Heft 88

THEODOR HERZOG

Die Bryophyten meiner zweiten Reise durch Bolivia.

Nachtrag.

Mit 19 Text-Abbildungen.

STUTTGART 1920

E. Schweizerbart'sche Verlagsbuchhandlung
(Erwin Nägele).

Die Bryophyten

meiner zweiten Reise durch Bolivia.

Nachtrag.

Von

Dr. Theodor Herzog.

==== Mit 19 Text-Abbildungen. ====



STUTTGART 1920

E. Schweizerbart'sche Verlagsbuchhandlung
(Erwin Nägele).

Alle Rechte, besonders das der Übersetzung, vorbehalten.

Vorwort.

Als ich unter dem Zwang äußerer Verhältnisse meine Arbeiten über „die Bryophyten meiner 2. Reise durch Bolivia“ abschloß und das Manuskript zum Druck einsandte, blieb noch ein ziemlich großer Rest meiner Moose, der der Analyse aus Mangel an Vergleichsmaterial und wegen anderer Hindernisse größere Schwierigkeiten bereitet hatte, unbestimmt liegen. Eine beabsichtigte Vervollständigung wurde durch den Ausbruch des Weltkrieges und mein Einrücken ins Feld verhindert. So mußten auch die Korrekturbogen schon größtenteils im Felde selbst gelesen werden, so daß Abänderungen, wie sie sich stets bei langer Dauer der Drucklegung als nötig erweisen, nicht mehr angebracht werden konnten. Es stellte sich daher nach meiner Rückkehr aus dem Felde bald das dringende Bedürfnis nach einer Ergänzung und teilweisen Berichtigung der in Heft 87 erschienenen Mitteilungen heraus, die ich hiermit der Öffentlichkeit übergebe.

Die Ergänzung betrifft teils gänzlich neue Arten, teils bekannte Arten, die in meiner ersten Veröffentlichung nicht enthalten sind, und schließlich neue Fundorte von Arten, die schon in Heft 87 angeführt wurden (ohne Numerierung), aber interessant genug sind, um diesen Nachtrag zu rechtfertigen.

Berichtigungen sind z. T. durch falsche Bestimmungen nötig geworden, teilweise aber entsprechen sie nur einer anderen Auffassung der systematischen Zugehörigkeit mancher Arten und schließlich mußten auch einige Namen geändert werden, die schon vor meiner Publikation von anderen Autoren an andere Spezies vergeben waren.

Obwohl hierdurch die Zahl der in meiner ersten Veröffentlichung angeführten Laubmoose von 716 auf 773, der Lebermoose von 474 auf 483 steigt, so ändert sich doch an dem pflanzengeographischen Bild, das ich entworfen habe, grundsätzlich nichts. Die Neubürger fügen sich völlig zwanglos in den schon seinerzeit gegebenen Umriß. Fremde Elemente sind auch im Rest meiner Sammlung nicht enthalten gewesen.

Dagegen hat sich gezeigt, daß manche systematische Gruppen der Laubmoose noch dringend einer Neubearbeitung bedürfen, so z. B. die Gattung *Campylopus*, von der ich noch viel steriles Material besitze, das aber vor einer monographischen Behandlung der schwierigen und großen Gattung nicht mit Sicherheit unterzubringen ist.

Ebenso kritisch ist die Gruppe um *Porothamnium* und *Porotrichodendron*, besonders die Verwandtschaft von *P. superbum*, dessen Formenkreis noch durchaus nicht geklärt ist. Meine S. 121 l. c. gemachten Bemerkungen sind, wie ich bei nochmaliger Durcharbeitung dieser Gruppe erkannt habe, keineswegs als letztes Wort aufzufassen — ohne daß ich allerdings heute schon imstande wäre, das wirklich letzte Wort darüber zu sprechen. Entscheidungen auf rein systematischem Gebiet lassen sich eben im Rahmen einer vorzugsweise pflanzengeographischen Bearbeitung nicht wohl erledigen. Sie können nur im Zusammenhang mit dem Studium umfassenden Originalmaterials einer Klärung zugeführt werden. Man braucht deshalb den Originalen nicht blinde Verehrung zu zollen; nur kann man schlechterdings über ihre Existenz nicht einfach hinweggehen. Freilich möchte man sie gerne entbehren können, wenn z. B. gelegentlich

Original und Beschreibung gar nicht zusammenpassen wollen, so daß die Vermutung nahe liegt, es seien unter der gleichen Nummer zu verschiedenen Arten gehörende Exemplare in die Sammlungen gelangt. In einem solchen Fall ist man von vornherein zum Scheitern verdammt. Doch gehören Erörterungen dieser Art jedenfalls nicht in den Rahmen der vorliegenden Arbeit.

Sehr der Durchsicht bedürftig erscheint mir auch die Gattung *Daltonia* und der Kreis von Arten, welcher sich um *Lepidopilum Mülleri* schließt. Nach Vergleichung der Originale, die mir von der Direktion des Botanischen Museums in Dahlem in entgegenkommendster Weise zugänglich gemacht wurden, möchte ich alle von *Brotherus* unter *Baz* zusammengefaßten Arten für Formen einer und derselben stark veränderlichen Art halten. Auch mein l. c. S. 135 aufgestelltes *L. auriculatum* dürfte hierher gehören. Je mehr Proben man vergleicht, desto mehr befestigt sich diese Auffassung. An den zahlreichen Fundortsbelegen, die mir von dieser Art aus Bolivien vorliegen, ließ sich diese Anschauung unmittelbar gewinnen. Während einzelne herausgerissene Stengel im Vergleich mit andern sehr wohl spezifische Unterschiede vortäuschen können, gerät bei einer genaueren Untersuchung *zahlreicher Exemplare* der ganze Komplex von Merkmalen ins Wanken. Sogar schon an ein und demselben Stämmchen und verschiedenen Sporogonen eines und desselben Pflänzchens lassen sich zuweilen mehrere der bisher aufgestellten Arten unterscheiden, der beste Beweis, daß alle die verwendeten Charaktere — wenigstens in dieser anscheinend sehr plastischen Gruppe — des Artwertes entbehren.

Doch mag dies hier genügen!

Mit der Bearbeitung des Reststoffes bei den Lebermoosen war ich weit übler dran. Da sich kein Spezialist hierzu bereit erklären wollte, blieb mir nichts andres übrig, als nach Möglichkeit diese Arbeit selbst zu besorgen, obwohl ich mir des Mißlichen dabei völlig bewußt war. Ich mußte mich eben auf jene Fälle beschränken, wo es sich um klar faßbare und auch für den Nichthepaticologen zu erledigende Formen handelte. Ihre Zahl ist deshalb auch sehr klein ausgefallen; doch halte ich selbst diesen Beitrag nicht für ganz unnütz insofern, als doch der Nachweis zweier neuer Arten aus Gattungen gelang, die bisher in den südamerikanischen Anden unbekannt waren. Eine Vermehrung der *Plagiochila*-Arten, deren Zahl ja heute schon Legion ist und die in den Herbaren sich offenbar in gründlichster Verwirrung befinden, habe ich mir natürlich gerne versagt. Dagegen bedaure ich, eine Anzahl biologisch interessanter Typen des Hochgebirges, die wohl zur Gattung *Jamesoniella* gehören dürften, nicht näher bestimmen zu können. Sollte sich unter den Lesern dieser Zeilen ein Hepaticologe befinden, der sich der noch ausstehenden Bearbeitung unterziehen möchte, so steht ihm mein Material gerne zur Verfügung.

Schließlich darf ich noch denjenigen Herren, die meine z. T. schwierigen Arbeiten gütigst unterstützten, meinen aufrichtigen Dank aussprechen. An erster Stelle nenne ich Herrn Prof. Dr. V. F. *Brotherus*, der in bekannter Hilfsbereitschaft, trotz starker Belastung mit anderen Arbeiten, durch Revision und Bestimmung eines Teiles des hier mitgeteilten Stoffes mir die wertvollsten Dienste leistete. Unter den Diagnosen neuer Arten befinden sich mehrere aus seiner Feder. Sodann nenne ich Herrn Prof. M. *Fleischer*, der besonders durch Bearbeitung einer Anzahl schwieriger *Rhizohypnum*-Formen, aber auch durch die Überprüfung eines Teils meiner Bestimmungen sich ein großes Verdienst um das Zustandekommen dieser Veröffentlichung erworben hat. Schließlich hat auch Herr Dr. H. *Paul* durch sein großes Interesse, das er meinen Arbeiten entgegenbrachte, und die willkommene Aussprache über kritische Formen sowie durch Bestimmung der restlichen *Sphagnen* zur Abrundung dieser Publikation beigetragen.

Ihnen allen gebührt mein wärmster Dank.

Sphagnales.

Sphagnaceae.

Sphagnum Ehrh. in Hannov. Mag. 1780 (bearbeitet von Dr. H. Paul).

Sphagnum meridense (Hpe.) C. Müll. (Acutifolia).

Im Bergwald des Rio Tocarani, ca. 2200 m, No. 4118, in Gesellschaft von *Rhynchostegiopsis complanata* und *Cyclodictyon Stephanii*.

717. **Sphagnum americanum** Warnst. (Acutifolia).

S. molle Sulliv. var. *limbatum* Warnst.

S. Mandonii Warnst. ?

An feuchten Felsen in den „Estradillas“ bei Incacorral (Prov. Cochabamba) ca. 2700 m.

Die Gesamtart *S. molle* Sulliv. zerfällt in zwei Formenkreise, die von Warnstorf in Sphagnol. univ. als var. *molluscoides* (C. Müll.) und var. *limbatum* Warnst. bezeichnet werden. Da dem letzteren das Hauptmerkmal von *S. molle*, die Resorptionsfurche fehlt, macht Warnstorf l. c. den Vorschlag, die var. *limbatum* als besondere Art unter dem Namen *S. americanum* Warnst. von *S. molle* abzutrennen. Dem ist hier Rechnung getragen, und zwar auch aus pflanzengeographischen Rücksichten, denn während *S. molle* eine atlantische Art ist, gehört *S. americanum* dem Hochgebirge Amerikas an. Sie war bisher nur aus Nordamerika bekannt und liegt nun auch aus Südamerika vor, denn trotz der etwas abweichenden Form- und Porenverhältnisse der Stammblätter muß das vorliegende Moos zu *S. americanum* gestellt werden in der Erwägung, daß es sich bei dieser Art um einen in ähnlicher Weise abändernden Typus wie *S. molle* handeln dürfte, was sich erst herausstellen wird, wenn mehr Material bekannt sein wird. Möglicherweise gehört auch *S. Mandonii* Warnst., das sich durch noch stärker poröse Stammblätter auszeichnet, hierher.

Die wichtigsten Merkmale der vorliegenden Form seien nachstehend kurz mitgeteilt:

Pflanzen kräftig, graugrün, in lockeren, bis 10 cm tiefen Rasen. Stammblätter zungenförmig, am Grunde nicht verengt, 1,8—2 mm lang und 0,8 mm breit; die Spitze nur wenig vorgezogen, gezähnt und an den Seiten etwas eingeschlagen. Zellen meist ein- bis vierfach geteilt, im oberen Teile fibrös, auf der Innenseite mit vielen Poren und Membranlücken in den Zellecken und an den Teilungswänden, nach unten mit einzelnen großen Poren in der Zellmitte und in den Teilstücken, auf der Außenseite fast porenlos. Rand zwei- bis dreizellig, nach unten etwas verbreitert. Astblätter 1,5 mm lang, mit der oberen Hälfte z. T. sparrig abstehend, aus verengter Basis breit eiförmig, mit rasch zulaufender, breitgezählter Spitze. Rand 2—3zellig, ohne Resorptionsfurche. Innen mit zahlreichen Eckporen, außen oft porenlos oder nur im unteren Teile mit einzelnen kleinen runden oder halb elliptischen Poren in den Zellecken.

718. **Sphagnum boliviae** Warnst. (Subsecunda).

An schattigen Sandsteinfelsen des Cerro de Santiago (Chiquitos), ca. 700 m; an Sandsteinfelsen einer Schlucht des Cerro Amboró (Ostcordillere), ca. 1200 m; auf feuchten Waldlichtungen zwischen Incacorral und Locotal, ca. 2000 m, No. 5054.

var. **virescens** Warnst.

In der Talschlucht von Tablas, ca. 1800 m, No. 4648.

Diese Art scheint in Bolivien weit verbreitet und ziemlich veränderlich zu sein. Die Äste sind bald länger und schlanker, bald kürzer und bisweilen etwas sichelförmig eingekrümmt. Auch die Farbe ändert vom hellen Graugrün bis ins Schmutzigbräunliche ab. Endlich ist die Teilung der Stammblattzellen wechselnd; bald sind nur wenige Zellen im unteren Teile septiert, bald zahlreiche im ganzen Blatt, so besonders bei No. 4648. Immer aber bleiben die Vielporigkeit auf beiden Seiten der Stamm- und Astblätter und die großen Spitzenlöcher in den Zellen der unteren Blatthälfte charakteristisch.

719. **Sphagnum medium** Limpr. (Cymbifolia).

An feuchten Felsen neben dem Weg in den „Estradillas“ bei Incacorral, ca. 2700 m (1. Reise); auf feuchtem Waldboden im unteren Coranital, ca. 1800 m, No. 4718.

Andreaeales.

Andreaeaceae.

Andreaea Ehrh. in Hannov. Nag. 1778.

720. **Andreaea squarrosa** Mitt.

An Felsen im Piñasgebiet, ca. 4500 m, No. 2612.

Eubryales.

Dicranaceae.

Ditrichum Timm. Flor. megap.

721. **Ditrichum bogotense** (Hpe.).

Die meisten der in „Die Bryophyten meiner 2. Reise durch Bolivia“ S. 12 zu *D. capillare* C. M. gerechneten Exemplare gehören nicht zu jener, sondern zu der Hampeschen Art.

C. Müllers *D. capillare* steht durch seine schmal rinnenförmigen Blätter mit sehr breiter, $\frac{1}{3}$ der B.basis betragender B.rippe und dem durchwegs stark gestreckten Zellnetz dem *D. affine* (C. M.) am nächsten und ist vielleicht mit ihm zu vereinigen, während *D. bogotense* durch seine breitere B.basis und hier schmalere Rippe (kaum $\frac{1}{5}$ der Breite) sowie das unregelmäßig verkürzte B.zellnetz, das am oberen Ende des Scheideteils und in der Pfrieme sich sehr deutlich gegen die langgestreckten Basalzellen absetzt, in engen Beziehungen zu *D. Hookeri* und *D. elongatum* steht.

Es ist mir übrigens zweifelhaft, ob *D. bogotense* bei der Gruppe *Aschistodon* verbleiben kann, da nach der Originalbeschreibung (Prodromus Florae Novo-Granatensis; Musci, E. Hampe, S. 24) seine Peristomzähne nicht einfach, sondern unregelmäßig zerspalten sind. Überhaupt ist es eine Frage, ob die Untergattung *Aschistodon* natürlich zu begründen sein wird, da es sich bei dem Peristommerkmal doch wohl um eine sehr veränderliche Größe handelt. Allerdings würde dies an der engen verwandtschaftlichen Zusammengehörigkeit von *D. Hookeri*, *australe*, *elongatum* und *bogotense* nichts ändern.

Ein gutes Merkmal, das mir für die verwandtschaftlichen Beziehungen zwischen *D. Hookeri* und *D. bogotense* zu sprechen scheint, ist die korkzieherartige Kräuselung bzw. Aufdrehung der langen Pfriemenspitzen der Blätter, die bei allen Exemplaren wiederkehrt und besonders bei *D. bogotense* aus Bolivia schön zu beobachten ist, aber auch an chilenischen Exemplaren von *D. Hookeri* (Hermite Island) deutlich hervortritt.

Diese eigenartig spiralige Drehung der Blätter hat mich bei einer sonst etwas abweichenden Form von *D. bogotense*, in Verbindung mit der Anatomie der B.rippe, zur Aufstellung einer neuen *Campylopus*-Art verleitet (*C. spirifolius* in Beih. Bot. Centr.blatt Bd. XXVI, 1909, Abt. II). Diese Art ist also zu streichen.

Die Blattanatomie dieser größeren *Ditrichen* ist aber der des Subgenus *Palinocraspis* von *Campylopus* so überraschend ähnlich, daß sie einen überzeugenden Beweis für die nahe Verwandtschaft dieser Gattungen darstellt, die *Loeske* erstmals bei seiner Aufstellung der *Campylopodaceen* (Studien zur vergl. Morphologie u. phylog. Systematik d. Laubmoose, S. 87) betont hat.

Von den l. c. angeführten Fundorten des *D. capillare* (C. M.) kann ich — da mir nicht mehr sämtliches Material zur Nachprüfung vorliegt — nur noch No. 4084 vom Tocoranital mit Sicherheit hierher rechnen. Die übrigen muß ich (No. 2867, 3325 und die Exemplare der ersten Reise von der Abra de San Benito (Beih. Bot. Centr.bl. 1909 l. c. S. 94) bestimmt!) zu *D. bogotense* (Hpe.) ziehen.

Dicranum Hedw. Fund. II.

722. **Dicranum frigidum** (C. M.).

Im Buschfilz an der Waldgrenze des Rio Saujana, ca. 3300 m, No. 3247, ster.
Die Exemplare sind ganz typisch.

Campylopus Brid. Mant.

Campylopus latinervis H. in Br.B. ist in **C. Renneri** H. abzuändern, da der erstere Name schon für eine Art aus Ostindien — Ceylon vergeben ist (*C. latinervis* (Mitt.) als *Dicranum* in Jaeg. u. Sauerb. Adumbr.). Ich habe diese Art Herrn Prof. Dr. O. Renner in München gewidmet.

Fissidentaceae.

Fissidens Hedw. Fund. II.

723. **Fissidens tocoraniensis** Herzog n. sp. (Aloma), Fig. 1.

Gracillimus; caulis fertilis 4-jugus, sterilis 5-jugus, 3 mm longus. Folia 1,3 mm longa, flexuosa, angusta, longe ligularia, late acuta, flaccida, sicca hamato-curvata, lamina vera ultra medium producta, dorsali supra basin desinente vel vix decurrente, ubique argute serrulata, serrulis sublimpidis, cellulis omnibus subpellucidis sed papilla magna centrali notatis, nervo lutescenti sat tenui sub apice evanido. Seta (unica) pro plantula longa, 8 mm, flavida, tenuissima, suberecta; theca subinclinata, breviter elliptica, deoperculata 0,5 mm longa, exothecii cellulis laxis. Cetera ignota.

Äußerst spärlich anderen Moosen beigemischt, im Bergwald des Rio Tocorani, ca. 2200 m, No. 4072/a.

In der Gruppe *Aloma* durch die außerordentlich schmalen und langen Blätter, sowie die ungewöhnlich lange, zarte Seta gut gekennzeichnet. Unterscheidet sich auch von der Mehrzahl der verwandten Arten durch die vor der breiten Blattspitze endende Rippe.

Simplicidens Herzog in Beih. Bot. Centr. 1909.

Simplicidens andicola H. Fig. 2. Neben dem Typus, wie ich ihn in Beih. Bot. Centr.bl. Bd. XXVI, Abt. II, S. 58 beschrieben und abgebildet habe, kommt eine andre, sehr lockerblättrige und hochstenglige Form vor, die als forma flaccida unterschieden zu werden verdient. Hierher gehört No. 2611 meiner Sammlung, bezw. meiner ausgegebenen Exsiccaten c. sporog. vet. Außerdem rechne ich dazu No. 4805 vom Bachrand im Llavelal. Offenbar reagiert die Art auf besonders feuchten Standort durch diese etwas abweichende Ausbildung; auch No. 4923, die man nach ihren gekräuselten, trocken fast schneckenförmig

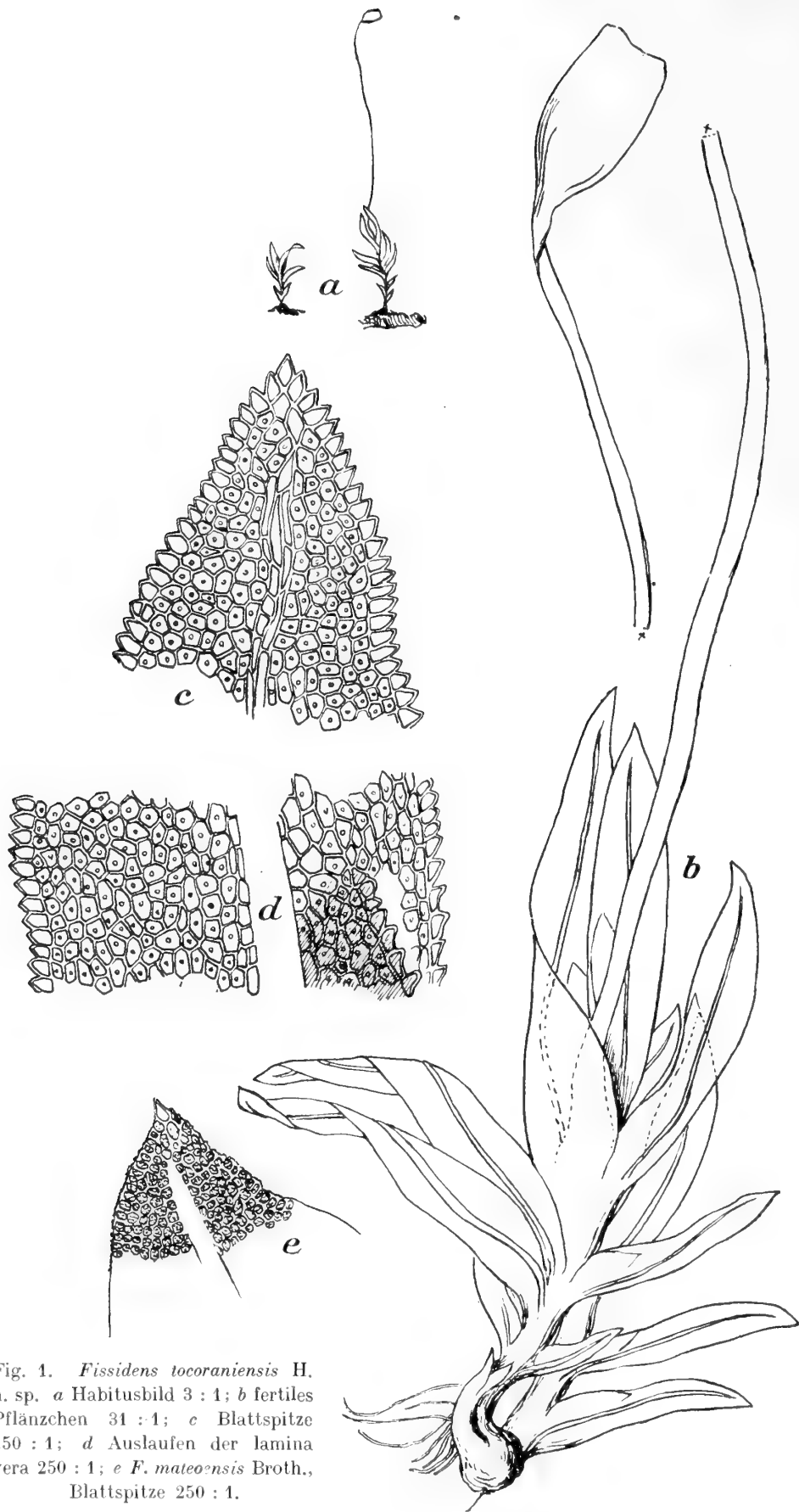


Fig. 1. *Fissidens tocoraniensis* H. n. sp. a Habitusbild 3 : 1; b fertiles Pflänzchen 31 : 1; c Blattspitze 250 : 1; d Auslaufen der lamina vera 250 : 1; e *F. mateoensis* Broth., Blattspitze 250 : 1.

eingerollten Blättern als *fo. crispula* unterscheiden könnte, gehört hierher. Zur typischen, mehr straffblättrigen Form ziehe ich dagegen No. 3293 von Humuserde unter Rasenpolstern am Pfad vom Rio Saujana nach Choquetanga grande, ca. 3500 m, ster. gesammelt.

An No. 2611 hatte ich Gelegenheit, die merkwürdige Ausbildung der Perigonialblätter in einem etwas älteren Stadium zu beobachten, als an den Exemplaren, die meiner Beschreibung zu Grunde liegen. Es wachsen nämlich die beiden Hälften der lamina vera — vielleicht unter dem Einfluß anhaltender Nahrungszufuhr, die nach dem Abwelken der Antheridien von diesen nicht mehr benötigt wird — zu fast selbständigen Hüllen heran, aus deren Verbindungsbrücke der

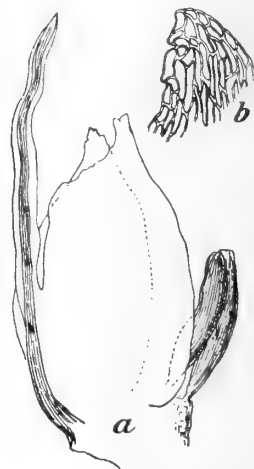


Fig. 2. *Simplicidens andicola* H. a 1 Perigonialblatt 31 : 1; b Zipfel der lamina vera 250 : 1.

schwertförmige Fortsatz sich wie ein Fremdkörper erhebt. Dadurch wird ein 4-blättriges Perigon vorgetäuscht, ein Eindruck, der mich offenbar veranlaßt hat, bei meiner Beschreibung für die Zahl der Perigonblätter 4 anzugeben. Bei der Spärlichkeit der Original Exemplare bin ich jedoch nicht mehr imstande, die Ursache dieses Irrtums nachzuprüfen.

Tatsache ist, daß im jugendlicheren Alter der ♂ Blüte der Einschnitt zwischen lamina vera und Fortsatz zwar tief reicht, aber doch nicht bis zur Verselbständigung der beiden Hälften der lamina vera geht. Bei einer alten Blüte von No. 2611 beobachtete ich dagegen 2 Hüllblätter, deren Eigenart am besten aus der beigegebenen Abbildung (Fig. 2) hervorgeht.

724. **Simplicidens Plumula** Herzog n. sp.

Synonymus; dense caespitosus, viridis, lutescens. Scapus floriger ad 2 cm altus, parte inferiore microphyllus, remote foliatus, foliis squamulosis appressis subaxalatis obsitus, parte superiore eleganter distiche foliatus, foliis patentibus sursum accrescentibus ad 2 mm longis, anguste lanceolatis, parte equitante $\frac{2}{3}$ — $\frac{3}{4}$ folii, processu lanceolato-acuto, lamina dorsali angustissima sensim angustata supra basin evanida, circumcirca anguste limbatis limbo uniseriali in apice dissoluto, nervo flavido valido superne flexuoso, cellulis omnibus chlorophyllosis turgidulis diametro formaque illis *S. andicola* simillimis apiculis relaxatis parum elongatis; perichaetalia infra processum distincte sed minus profunde quam in *S. andicola* incisa. Scapus sterilis abbreviatus, vix 1 cm longus, parte microphyllina brevissima paucifolia, foliis superioribus aequimagnis coarctatis amoene plumiformis; folia distincte breviora, 1 mm haud excedentia, media subobtusata apiculata.

In Felshöhlen und unter Blöcken im Vilocotal, ca. 4300—4400 m, No. 3136 und 3138.

Durch Habitus, Zellnetz — besonders die etwas gewölbten Außenwände der Zellen und die locker-maschige Gruppe in der Blattspitze, sowie durch die im Fortsatz etwas hin und her gebogene Rippe ist die Art dem *S. andicola* sehr ähnlich, wird jedoch einmal durch den Blütenstand und dann auch durch die enge Blattstellung von ihm gut unterschieden. Leider sind meine Exemplare völlig steril, obwohl man bei ihrer Zwitterigkeit eher auf eine reiche Sporogonbildung hätte rechnen dürfen. Die Sterilität scheint jedoch von der verschiedenen Reifezeit der beiderlei Geschlechtsorgane herzurühren. In den untersuchten Blüten fanden sich nämlich entleerte Antheridien neben noch unreifen Archegonien. Es läge also ein Fall von Proterandrie vor, über dessen „Zweckmäßigkeit“ man allerdings nicht viel Rühmliches sagen kann.

Trichostomaceae.

Trichostomum Hedw. Fund. II.

725. **Trichostomum canaliculatum** (Mitt.) Par.

Im unteren Coranital, ca. 1800 m, No. 4709.

Auffallend ist die weite Lücke, die zwischen dem bisher einzigen Fundort auf Cuba und der neuen, zweiten Fundstelle klafft. An der Zugehörigkeit meiner Exemplare zu der Art kann aber kein Zweifel bestehen. Denn die Beschaffenheit der gespaltenen und durchbrochenen, bleichgelben, glatten Peristomzähne und die Struktur der hyalinen Blattbasis wie auch der langen, am Rand eingebogenen Blattspreite läßt keine andre Bestimmung zu. Es ist zu vermuten, daß die Art weiter verbreitet ist und noch im zwischenliegenden Gebiet nachzuweisen sein wird.

726. **Trichostomum syrrhopodontoides** Herzog n. sp. (*Oxystegus*).

Dense caespitosum, lutescenti-viride, inferne lurido-albidum. Caulis ad 1 cm longus, subsimplex vel fastigiatus ramosus, tenuis. Folia sicca tortilia, crispato-accumbentia, fragilia, humida crispato-patentia, comalia ad 5 mm longa, medio 0,2, apice 0,1 mm lata, e basi latiore laxè vaginante alba (inde syrrhopodontoidea) longe et anguste linearia, canaliculata, margine superne iteratim inciso-lobato ibique

fragilia, apice saepius diffracto, integerrima, nervo viridi in cuspidem brevem unicellulosam laevem excurrente, cellulis basalibus elongatis hyalinis, laminaribus quadratis (diametro 0,012 mm) tenuibus, chlorophyllosis dense papillois. Cetera desunt.

Zwischen *Oreoweisia ampliata* an Felsblöcken beim Tunarisee, ca. 4400 m, No. 4919/a.

Durch die brüchigen, im oberen Teil der Lamina am Rand oft tief eingeschnittenen und in Stücken zerbrechlichen Blättern der *Barbula sinuosa* sehr ähnlich. Wie diese zweifelhafte Art gehört auch wohl unsre neue *Trichostomum*-Art nach der Struktur der scheidigen B.basis in die Verwandtschaft von *T. cylindricum* (Bruch) und *T. fallax* H. und zeichnet sich durch ihre an kleinere Formen von *Syrrophodon* erinnernde Tracht bestens aus.

Leptodontium Hpe. in Linnaea XX.

Leptodontium undulatum H. f. **propagulifera** f. nov. Von der l. c. S. 36 beschriebenen Stammform durch den Besitz von Brutkörpern unterschieden, die auf kurzen, gebüschelten Trägern basal am Rücken der Blattrippe stehen.

Mit der Stammform auf Baumästen im Nebelwald über Comarapa, ca. 2600 m, No. 4277/a.

Leptodontium rhacomitrioides C. M. Mit der vorhergehenden Art spärlich c. fr., No. 4277/c.

Leptodontium spongiosum H.

In der Hochregion der Yanakakaberge, über 4000 m, sine No.

Didymodon Hedw. Deser. III.

Didymodon decolorans (Hpe.) Erythrophyllum. Die Nummern 4378 und 4155 meiner Sammlung werden besser als eine eigene Varietät aufgefaßt, für die ich die Bezeichnung *var. obtusus* vorschlage. Sie unterscheiden sich vom Typus durch gestauchten Wuchs, kürzere und völlig stumpf abgerundete, mehr zungenförmige Blätter, deren Spitze durch den rinnenförmig aufgerichteten und dann stark zurückgerollten Rand fast löffelförmig hohl ist. Wenn *D. decolorans* nicht schon sehr polymorph wäre, könnte man geneigt sein, diese Varietät als eigene Art zu beschreiben. Sie würde sich besser charakterisieren lassen als manche Art, die bis jetzt unbestritten ihr Dasein fristet.

Didymodon angustifolius H. l. c. S. 39 ist in **D. angustulus** H. umzubenennen, da ein *D. angustifolius* Warnstorff schon existiert.

Didymodon rubiginosus (C. M.). Erythrophyllum. Alle unter *Tortula armata* Broth. veröffentlichten Fundorte gehören hierher. Das Original von *T. armata*, leg. B u c h t i e n, ist selbst nur *D. rubiginosus* (C. M.). Die Ähnlichkeit mit einer *Tortula* ist groß, und da das ventrale Stereidenband besonders im oberen Blatteil sehr schwach entwickelt ist, kann auch ein Querschnitt, der nicht sehr dünn geraten ist, das charakteristische Bild einer *Tortula* vortäuschen. Demnach ist *Tortula armata* Broth. zu streichen. Dieselbe war übrigens zur Zeit meiner Veröffentlichung in *Bibl. Bot.* noch nicht beschrieben, also „nomen nudum“. Ich hatte damals angenommen, daß die Buchtianschen Moose vor Abschluß meiner Arbeit veröffentlicht sein würden, und deshalb den mir nur brieflich mitgeteilten Namen verwendet.

Pottiaceae.

Aloinella Cardot.

Aloinella boliviana Broth. Diese offenbar im Hochland von Bolivia weiter verbreitete Art fand sich noch spärlich einem Rasen von *Plagiochasma chlorocarpum* Mont. beigemischt, den ich an Konglomeraten des Montehuaikobeckens bei ca. 3800 m aufgenommen habe.

Tortula Hedw. Fund. II.

Tortula armata Broth. ist zu streichen; siehe unter *Didymodon rubiginosus* (C. M.).

Tortula ruralis (L.) muß für die bolivianische Flora gestrichen werden. Die l. c. S. 49 hierher gezogenen Exemplare gehören teils (No. 2586) zu *T. aculeata* Wils., teils (No. 3160) zu *T. andicola* (Mont.). Durch ein Versehen hatte ich meine vorläufige Notierung „*T. ruralis*“ für eine endgültige Bestimmung gehalten. *T. ruralis* var. *spiralis* H. ist besser als eigene Art zu betrachten:

727. **Tortula spiralis** Herzog = *T. ruralis* var. *spiralis* H. l. c. S. 49. Fig. 3.

Die tiefe Ausrandung der Blattspitze, verbunden mit der beim Anfeuchten nur langsamen Zurückkrümmung der Blätter, deren im trockenen Zustand deutlich spirale Drehung, ihr Zuschnitt — größte

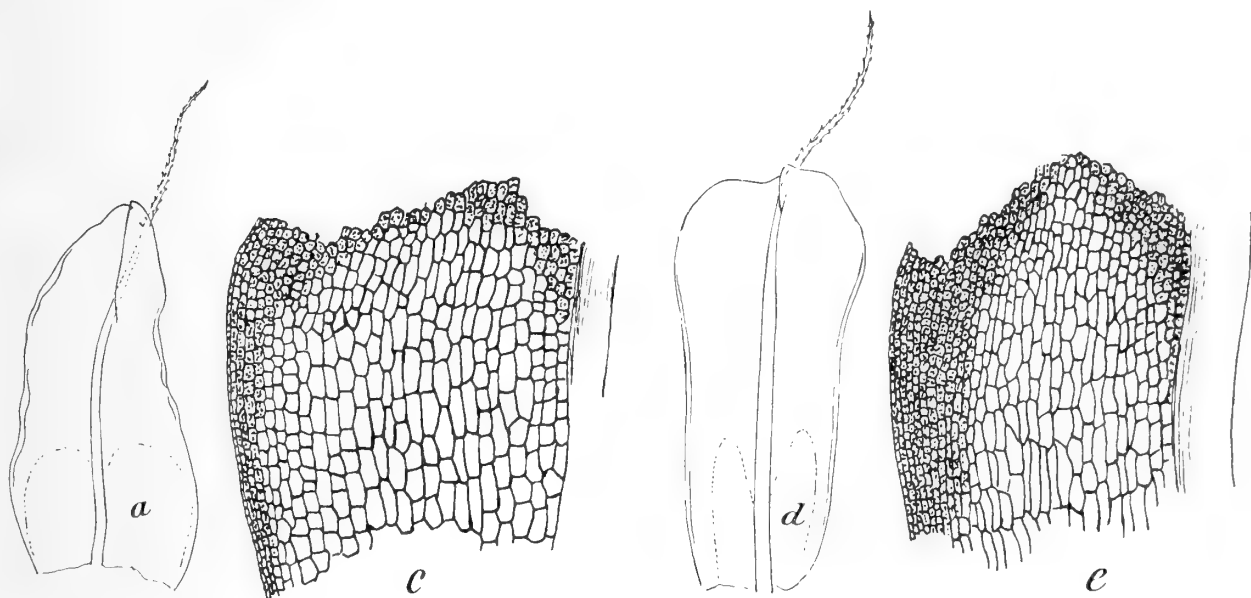


Fig. 3. a—c *Tortula spiralis* H. n. sp. a Blatt 15 : 1; c Zellnetz der Blattbasis 125 : 1; d—e *Tortula ruralis*, d Blatt 15 : 1; e Zellnetz der Blattbasis 125 : 1.

Breite unten — und das basale Blattzellnetz, das nur einen wenig differenzierten Randsaum erkennen läßt, scheinen mir diese Art genügend von *T. ruralis* zu unterscheiden, in deren unmittelbare Nähe sie allerdings gehört.

Außer dem l. c. schon angeführten Fundort im Chocayatal gehört hierher auch das Moos, welches ich in „Beiträge zur Laubmoosflora von Bolivia“, Beih. Bot. Centr.bl. XXVI, 1909, S. 98 als *T. ruralis* bezeichnet habe.

728. **Tortula sordida** Herzog n. sp. Fig. 4.

Dioica videtur, laxe caespitosa, e luride viridi rufescens. Caulis ad 2 cm longus, rigidulus. Folia sicca rigide erecta, humefacta difficile mobilia, denique subrecurvescentia, carinata, 3—3,5 mm longa, basi 1 mm lata, pilifera, e basi subaequilata ligulata, subobtusa vel acutata, margine medio revoluta, sursum suberecto, sub pilo parce denticulato, nervo rubro dorso prominente scabro in pilum breve hyalinum serratum excurrente, cellulis basalibus laxiusculis pallide rufescentibus, ad marginem sensim

angustatis limbum distinctum haud exstruentibus vel immo omnibus subaequalibus, cellulis superioribus hexagonis diametro ca. 0,016 mm chlorophyllosis, papillis densissimis obscuris. Cetera desunt.

An Lößhängen bei La Paz, ca. 3600 m, No. 2555.

Die vorliegende Art gehört wohl in die Verwandtschaft der *T. andicola*, an welche die gezähnte B.spitze erinnert. Doch unterscheidet sie sich von dieser gut durch die kleineren, steiferen und kielig gefalteten Blätter, ihren Zuschnitt und durch den sehr un- deutlichen Saum an der Blattbasis. Während die B. der *T. andicola* sehr weich sind und eine breit eiförmige Basis besitzen, ist das Blatt der *T. sordida* von der Basis bis zur Spitze fast gleich breit, zungenförmig; ferner sind die Zellen des Basalteiles auffallend enger als bei *T. andicola*. Der Rippenquerschnitt zeigt ein sehr starkes dorsales Stereiden- bündel, 2 weite Deuter und darunter 2 Begleiterzellen, ferner 2 Schichten Bauchzellen.

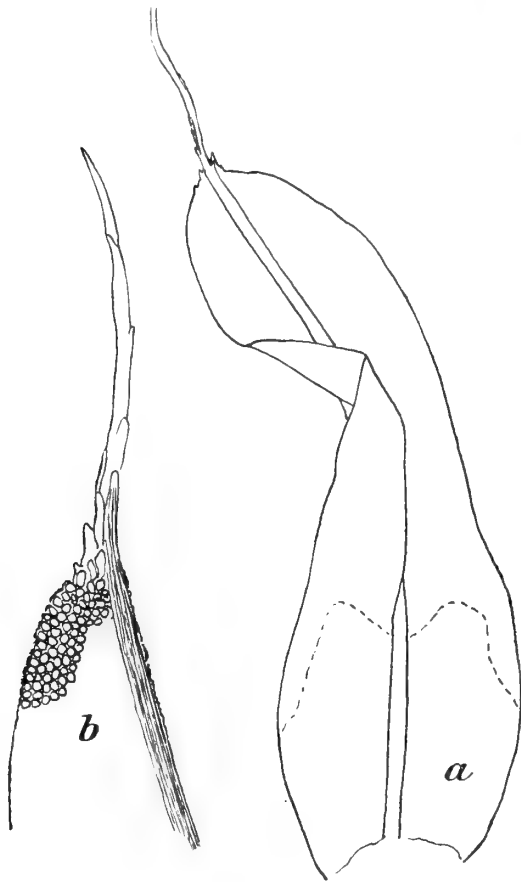


Fig. 4. *Tortula sordida* H. n. sp. a Blatt 31 : 1; b Blattspitze 62 : 1.

Orthotrichaceae.

Anoetangium (Hedw.) Br. eur.

729. *Anoetangium brachyphyllum* Broth. n. sp.

Dioicum; tenellum, caespitosum, caespitibus densius- culis, viridissimis, intus ferrugineis. Caulis erectus, ad 2 cm usque altus, fusco-radiculosus, laxiuscule foliosus, simplex vel ramosus. Folia sicca crispatula, humida e basi brevi adpressa subrecurvo-patula, carinato-concava, linearia, ob- tusa vel obtusiuscula, mucronata, usque ad 1,1 mm longa et c. 0,17 mm lata, marginibus erectis, integerrimis; nervo infra apicem folii evanido, dorso scabro; cellulis minutissimis, quadratis, papillosis, pellucidis, basilaribus internis anguste rectangularibus, lutescentibus, laevissimis. Caetera ignota.

An feuchten Felsen der Talschlucht von Tablas, ca. 1800 m (4572).

Species **A. Mandoniano** Schimp. affinis, sed foliis brevi- oribus, obtusis vel obtusiusculis nec acuminatis, cellulis pellu- cidis, basilaribus internis tantum rectangularibus dignoscenda.

Zygodon Hook. et Tayl. Musc. brit.

Zygodon ovalis Mitt.

An der Waldgrenze über Tablas, ca. 3400 m, No. 2910, det. Brotherus.

730. *Zygodon recurvifolius* Mitt.

An kleinen Bäumchen bei Altamachi mit *Orthotrichum undulatum* Mitt., ca. 3500 m, No. 3872/a. det. Brotherus.

731. *Zygodon peruvianus* Sull.

An Schieferfelsen des Cerro Tunari in Rasen von *Lepyrodon tomentosus* var. *tunariensis* eingestreut, ca. 4600 m, No. 4884/85.

Die Exemplare unterscheiden sich nach Brotherus vom typischen *Z. peruvianus* durch das Fehlen der Brutkörper.

Zygodon stenocarpus Tayl.

An Bäumen in der Cordillere von Sta. Cruz, ca. 1400 m, No. 3906, det. Brotherus.

732. *Zygodon rigeus* Broth. n. sp.

Dioicus; gracilis, caespitosus, caespitibus densis, fusco-viridibus, intus fuscescentibus. Caulis erectus, usque ad 1,5 cm altus, fusco-tomentosus, dense foliosus, dichotome ramosus, ramis fastigiatis. Folia sicca adpressa, humida erecto-patentia vel patentia, carinato-concava, lineari-lanceolata, breviter acuminata, acuta, usque ad 1,9 mm longa, integerrima; nervo infra apicem folii evanido; cellulis laminalibus minutissimis, subrotundis, incrassatis, dense papillois, basilaribus laevissimis, internis rectangularibus, incrassatis, lutescentibus, externis quadratis. Caetera ignota.

An Bäumen im Chocayatal bei Cochabamba, ca. 3300 m (3604/a). Planta mascula.

Species *Z. Goudotii* Hamp. affinis, sed statura rigidiore foliisque angustioribus, lineari-lanceolatis, cellulis incrassatis dignoscenda.

Orthotrichum Hedw. Descr. Musc. II.

733. *Orthotrichum Quennoae* C. M.

An Bäumen in der Cordillere von Sta. Cruz, ca. 1500 m?, No. 3480.

734. *Orthotrichum praeruptorum* Herzog n. sp. Fig. 5.

Autoicum, sat dense caespitosum, ex habitu *O. rupestri* vel *O. Sturmii*, rigidulum, e viridi-flavo rufescens. Caulis 2—3 cm altus, rigidulus, fragilis, sursum fastigiatim vel fasciculatim ramosus, turgidule foliosus, foliis siccis laxè accumbentibus rigidulis strictis, humefactis patulis. Folia 4—4,5 mm longa, basi 1—1,2 mm lata, late lanceolata, late breviter acutata, humefacta mollia, veluti subcarnosula, linea mediana nervo carinata, margine medio utroque latere (uno latere magis) revoluta, apice plano, nervo completo, dorso valde prominente rufo, cellulis infimis exceptis parvis ellipticis vel subrotundis incrassatis (lumine 0,007 × 0,006 mm) humiliter dense papillois ubique unistratosis; perichaetia subconformia, 5 mm longa. Seta brevissima, nec 0,5 mm longa; vaginula archegoniis numerosis et pilis nonnullis longis scaberulis adspersa; ochrea hyalina, laciniata, setae longitudinem fere superans exinde thecae basin attingens. Theca profunde immersa, subglobosa, tumidula, ad 2 mm longa, 8-striato-plicata, stomatibus in parte inferiore urnae sparsis liberis (phaneropora), operculo deplanato subimpresso, margine undulato rubro, rostro brevi subrecto, calyptra late conica aurea, apiculo acuto fuscato, subnuda, plicata. Peristomium simplex, dentibus 16 anguste lanceolatis 0,035 mm longis, basi 0,010 mm latis, linea mediana properistomii rudimentis irregularibus rugulosis notatis, late perforatis vel usque ad basin fere fissis, luteis, laxè papilloso-punctulatis, subdiaphanis. Spori obscure fuscati.

An Schieferfelsen der Punta de San Miguel, ca. 5000 m, No. 3443.

Durch das merkwürdige Peristom, dem auf der Außenseite Bruchstücke eines Vorperistoms anhängen, in der Sect. *Gymnopus* trotz deutlicher Verwandtschaft zu *O. Sturmii* ganz einzigartig dastehend, bildet diese neue Art der höchsten Kordillerenkämme eine wertvolle Bereicherung der so überaus mannigfaltig gegliederten Gattung.

Macromitrium Brid. Mant. Musc.

Macromitrium filiforme (Hook. et Grev.) f. *phyllorhizans* (C. M.).

An Bäumen zwischen Aguaraí und Yacuiba, N.-Argentinien, ca. 500 m.

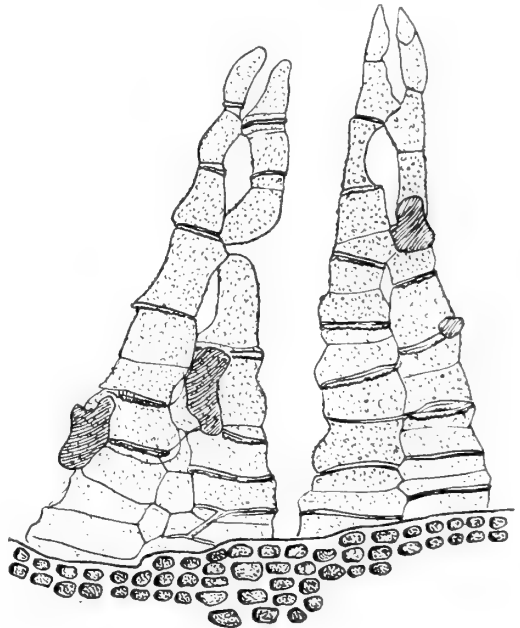


Fig. 5. *Orthotrichum praeruptorum* H. n. sp.
2 Peristomzähne 200 : 1.

Aus der Rückseite der Blattrippen entwickeln sich in der ganzen Länge des Blattes dichte Rhizoidenbärte, wodurch das Moos eine ganz eigene Tracht erhält; im übrigen aber schließt sich die Form so nahe an das in Südamerika weit verbreitete *M. filiforme typicum* an, daß mir die Unterscheidung einer eigenen Art nicht berechtigt erscheint.

735. **Macromitrium (Leiostoma) subbrevihamatum** Broth. n. sp.

Gracilescens, fuscescenti-viride, opacum. Caulis elongatus, repens, hic illic fusco-tomentosus, foliis plerumque destructis, ramis usque ad 1 cm longis, simplicibus, obtusis. Folia ramea indistincte 5-faria, sicca flexuosa, humida \pm distincte recurva, carinato-concava, anguste lanceolata, ca 2,5 mm longa et ca 0,4 mm lata, e medio ad apicem minutissime serrulata, infima basi dentibus paucis, hyalinis instructa; nervo continuo vel subcontinuo; cellulis laminaribus rotundatis, ca 0,010 mm, chlorophyllosis, grosse papillois, basilaribus anguste linearibus, lutescentibus, laevissimis, intimis laxis. Seta 5—7 mm longa, tenuis, lutea, laevissima. Theca elliptica, plicata, fusca. Exostomii dentes lineari-lanceolati, obtusi, cohaerentes, olivacei, striolati. Endostomium hyalinum papillosum, laciniatum. Spori 0,015—0,030 mm, olivacei, minutissime papillois. Operculum luteum, subulatum. Calyptra ignota.

Auf Bäumen im oberen Coranital; ca. 2600 m (5065).

Species **M. brevihamato** Herz. habitu similis, sed foliis angustioribus, minutius serrulatis, cellulis basilaribus laevibus jam dignoscenda.

736. **Macromitrium (Leiostoma) glabratum** Broth. n. sp.

Robustiusculum, caespitosum, caespitibus densis, viridibus vel fuscescenti-viridibus, opacis. Caulis repens, dense ramosus, ramis adscendentibus vel erectis, usque ad 3 cm longis, dense foliosis, dichotome ramulosis. Folia sicca flexuoso-adpressa, humida subrecurvo-patula, apice erectiore, carinato-concava, e basi oblonga sensim lanceolata, 3—3,2 mm longa et ca 0,6 mm lata, integra vel subintegra; nervo continuo; cellulis laminaribus rotundatis, ca 0,010 mm, basilaribus anguste linearibus, lutescentibus, laevissimis, intimis laxis. Seta ca 1 cm vel paulum ultra alta, tenuis, rubra, laevissima. Theca elliptica, plicata, fusco-rubra. Caetera ignota.

Im Nebelwald über Comarapa, ca. 2600 m (3785, 4243/a).

Species **M. subcrenulato** Broth. habitu similis, sed foliis cellulis basilaribus laevissimis, externis infimis haud dentiformibus dignoscenda.

Diese wie auch die vorige Art weichen von allen bekannten Arten der Abt. Vb in Engler-Prantl durch glatte Basalzellen ab.

Schlotheimia Brid. Mant. Musc.

737. **Schlotheimia breviseta** Angstr.

An Bäumen in der Cordillere von Sta. Cruz, ca. 1400 m, No. 3475.

738. **Schlotheimia Krauseana** Hpe. et Lor.

No. 4240 meiner Sammlung, die ich l. c. S. 69 als *Sch. sublaevifolia* C. M. veröffentlichte, scheint vielmehr zu dieser Art zu gehören. Die Perichaetialblätter stehen weit hervor und sind lang zungenförmig mit kurzen Spitzchen. Die Laubblätter sind völlig glatt. Die Haube ist hornig, bräunlich und glatt. Originale konnte ich leider nicht vergleichen, doch stimmt die Pflanze mit der Beschreibung gut überein. Nur vermisse ich darin eine Angabe, ob die Blätter glatt oder gerunzelt sind.

Bryaceae.

Mielichhoferia Hornsch. in Bryol. germ. II. 2.

739. **Mielichhoferia kerguelensis** C. M.

Hierher rechne ich Exemplare aus dem obersten Llavetal, 4200 m, die sich durch lange, schmale, glatte und bleiche Fortsätze des inneren Peristoms mit reichlichen, oft anastomosierenden Anhängseln

auszeichner. Die Kapseln sind fast aufgerichtet und zeigen die charakteristische Krümmung dieser Verwandtschaftsgruppe. Im ganzen erinnert die Art habituell, auch durch die bleichen, schmutzig gelben Kapseln, an *M. modesta*, deren P.fortsätze jedoch ohne Anhängsel sind.

Haplodontium Hpe. Prodr. Fl. Nov. Gran.

Haplodontium cuspidatum H. Zu dem in der Originaldiagnose angeführten Fundort im Mocoyatal habe ich noch einen zweiten aus dem oberen Llavetal, ca. 4200 m (No. 4858) hinzuzufügen. Die Exemplare unterscheiden sich vom Original nur durch die stark geröteten Rasen, sind aber in Blatttextur und Peristomform mit jenem völlig übereinstimmend.

Acidodontium Schwgr. Suppl. II. 2.

740. **Acidodontium ramicola** (Spruce).

Auf Baumästen im Nebelwald über Comarapa, ca. 2600 m; No. 4354.

Die vorliegenden Exemplare stimmen mit der Beschreibung ziemlich gut überein; nur der deutlich mit vortretender Warze versehene Deckel weicht etwas ab. Da ich aber sonst keine wesentlichen Unterschiede anzuführen wüßte, ziehe ich vor, auf dem spärlichen Material keine neue Art zu begründen. Die Sporen messen 0,036—0,04 mm; der Kapselhals ist auffallend warzig-höckerig.

Bryum Dill. Cat. Giss.

741. **Bryum hamipilum** C. M.

Äußerst spärlich zwischen anderen Moosen an der Abra de San Mateo, ca. 2800 m, No. 3709/b.

742. **Bryum niveum** Herzog n. sp. Fig. 6.

Dioicum, dense caespitosum, subpulvinatum, niveum, tomento fusco contextum. Caulis ca. 1 cm altus, tenellus, juliformis, ruber, superne innovationibus pluribus inter se aequilongis auctus. Folia subaequalia, in apice parum comosa, minima, 0,6 mm longa, oblonga, in acumen longiusculum subpiliforme flexuosum attenuata, carinato-concava, medio contracta inde subpanduriformia, nervo basi rubro superne flavo supra medium evanido, cellulis omnibus laxissimis, basalibus ampliatis subquadratis chlorophyllosis, superioribus elongatis rhombico-linearibus limpidis. Cetera ignota.

An Felsen des Huailattani-Seeufers, ca. 4800 m, No. 2965.

Aus der nächsten Verwandtschaft des *B.*

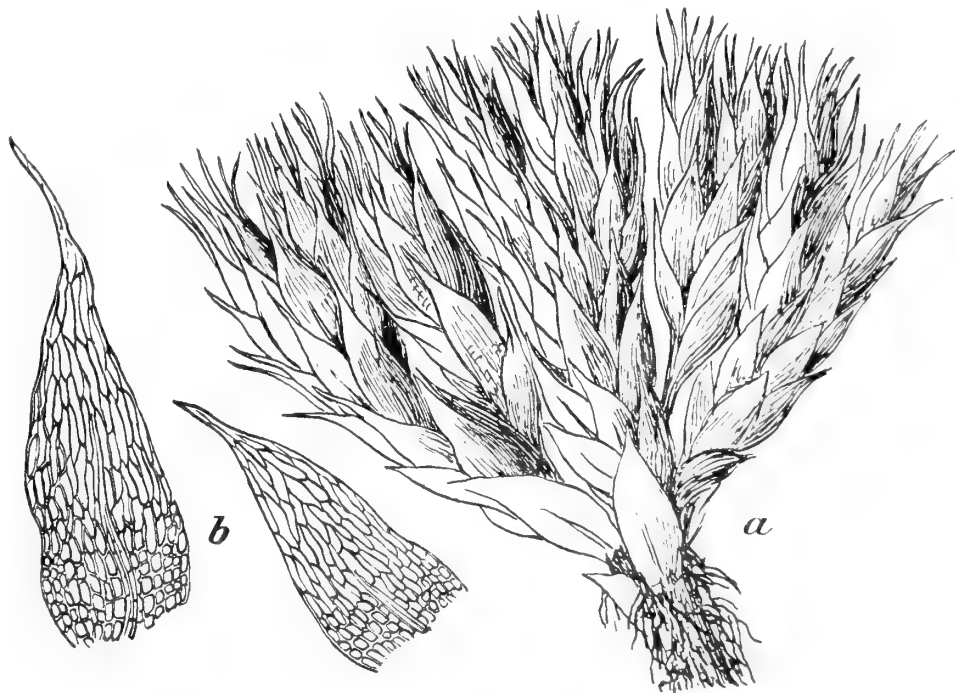


Fig. 6. *Bryum niveum* H. n. sp. a Sproßgipfel 31 : 1; b 2 Blätter 62 : 1.

apophysatum, jedoch durch die gleichmäßig haarförmig gespitzten Blätter, die viel zarteren Sprosse und den dicht kissenförmigen Wuchs gut zu unterscheiden. Vielleicht erweist sich die Art bei reichlicherem Material als eine extreme Sonnenform des *B. apophysatum*. Da sich dies z. Z. mit Sicherheit noch nicht behaupten läßt, ziehe ich vor, dieselbe als eigene Art zu beschreiben.

743. *Bryum fragilicuspis* Herzog n. sp.

Caespites extensi, laxiusculi, e viridi rubicundi. Caulis 3—4 cm altus, parce innovans. Folia subaequalia sursum indistincte comoso-penicillata, 3 mm longa, vix 1 mm lata, sicca arcte appressa,

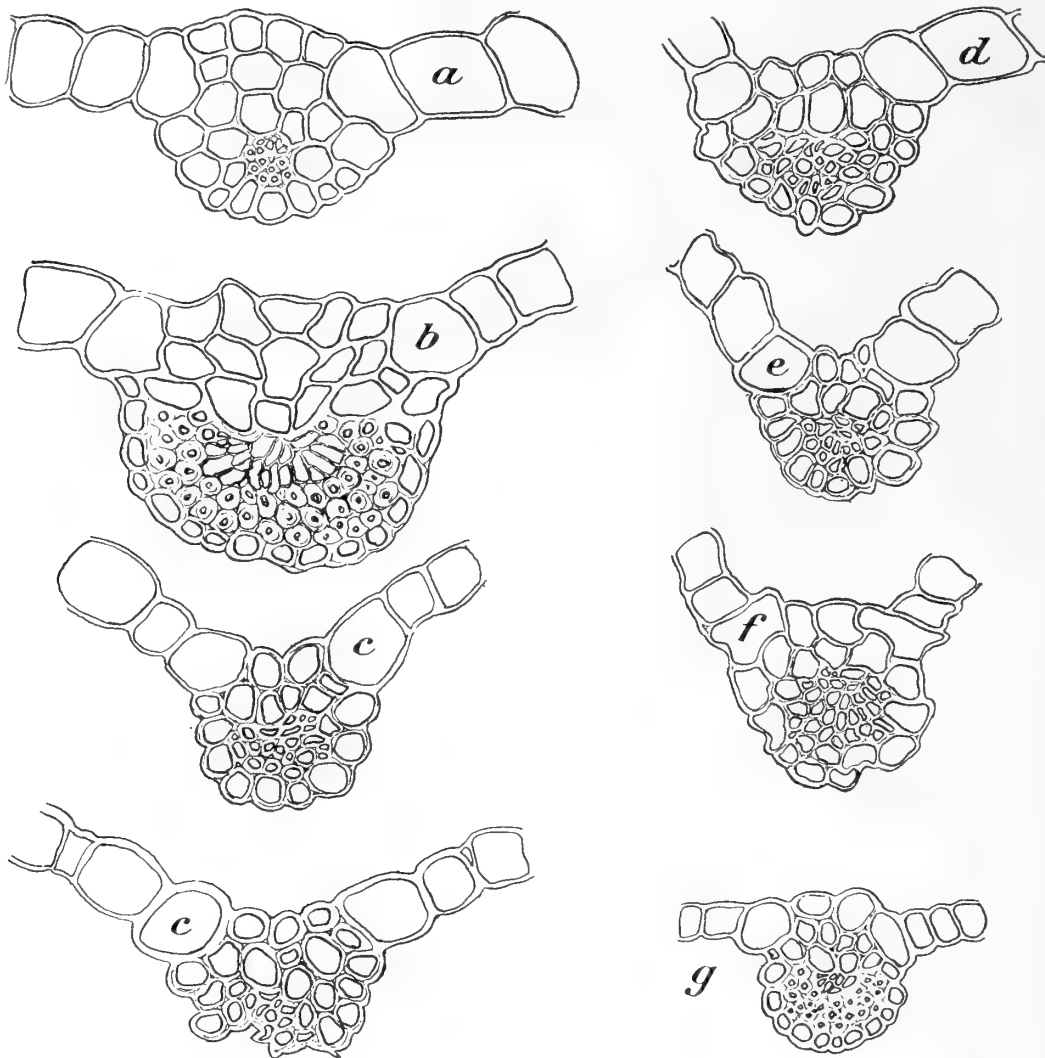


Fig. 7. Querschnitte durch die Blattrippe von a *Rhodobryum roseum*; b *Bryum Lindigii* (Original); c *Bryum caulifolium* (San Mateo); d dasselbe (Original); e dasselbe (leg. Rimbach, Ecuador); f *Bryum (linearifolium) Samaipata*; g dasselbe (No. 4713).

strictissima, humida erecta, apicibus fragillimis plerumque ruptis, e basi ovata anguste lanceolata cuspidata, integerrima, elimbata, margine ubique fere (cuspidate extremo excepto) stricte et latiuscule revoluta, nervo mediocri a basi sensim attenuato in cuspidate evanido, in foliis adultis amoene rubro, cellulis basalibus breviter rectangularibus, superioribus hexagonis tenuibus, omnibus chlorophyllis.

In Felslöchern um den Tunarisee, mit *Erythrophyloopsis boliviana* und *Williamsiella* ausgedehnte Rasen bildend, ca. 4400 m, völlig steril, No. 4769.

Durch die Blattform und die brüchigen Blattspitzen wie auch den Habitus ganz eigenartig. Ein näherer Anschluß ist infolge völliger Sterilität zur Zeit mit Sicherheit nicht zu geben.

Bryum linearifolium C. M. Fig. 7 u. 8. Die an No. 5007 und 4713 meiner Sammlung (l. c. S. 86) vorhandenen Sporogone sind meines Wissens die einzigen bisher bekannten. Eine Beschreibung derselben mag daher zur Ergänzung der C. Müller'schen Diagnose am Platze sein:

Seta 4,5 cm longa, crassiuscula, erecta, apice breviter hamata; theca inclinata vel nutans, subcernua, demum horizontalis, e collo brevi plicato oblongo-cylindrica, 5 mm longa, operculo conico mamillato, cinnamomea, fuscescens, deoperculata vetusta sub ore parum constricta.

Von *Br. densifolium* scheint *Br. linearifolium*, zu dem auch *Br. aequabile* C. M. gehören dürfte, doch gut verschieden zu sein. Während bei *B. linearifolium* die Blätter allseits flutterig abstehen, krümmen sich dieselben bei *Br. densifolium* schon an der Basis fast sparrig zurück, sind kleiner und

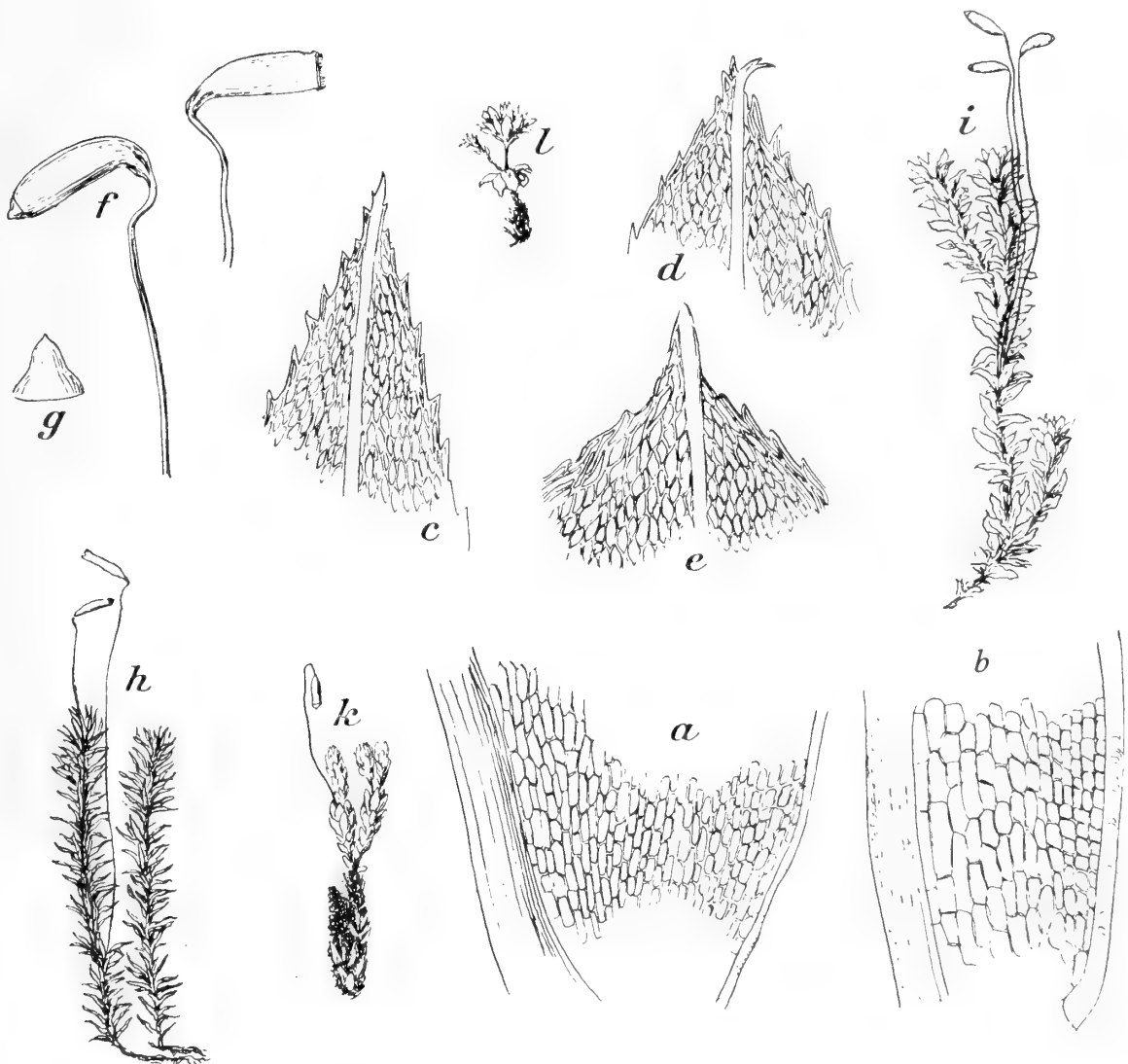


Fig. 8. a—e Blattzellnetze: a der Basis von *Bryum linearifolium* (No. 5007); b der Basis von *B. densifolium*; c der Blattspitze von *B. linearifolium* (No. 5007); d der Blattspitze von *B. densifolium*; e der Blattspitze von *B. Lindigii* (Original) 62 : 1; f Kapseln von *B. linearifolium* (No. 5007) 4 : 1; g Kapseldeckel, stärker vergrößert; h Habitusbild von *B. linearifolium* (No. 4713) 1 : 1; i desgleichen von *Br. caulifolium* (Original); k desgleichen von *Br. Goudotii* (Original); l desgleichen von *Br. Lindigii* (Original).

straffer und besitzen auch einen breiter zurückgerollten Blattrand und weitere Zellen an der Blattbasis. *B. aequabile* ist wohl nur die voll entwickelte Form von *Br. linearifolium*, während die Beschreibung des letzteren sich mehr auf die flatterigen Jugendformen und neuen schlaffen Jahrestriebe der gleichen Art beziehen dürfte. Allerdings scheint bei steril bleibenden Pflanzen die Jugendform gelegentlich zur Dauerform werden zu können. Trotz mancherlei Abweichungen kann ich mich aber doch nicht entschließen, *B. aequabile*, zu dem — nach der Beschreibung wenigstens — die fertilen Exemplare meiner Sammlung zu ziehen wären, als eigene Art zu betrachten.

Bryum caulifolium C. M. (Fig. 7 u. 8) muß wieder hergestellt werden. Der Unterbringung bei *Rhodobryum*, wo es von *Brotherus* eingereiht wurde, widersetzt sich der Bau der Blattrippe. Dieselbe schließt sich nämlich in ihrer Anatomie engstens an *B. procerum*, *densifolium*, *linearifolium* etc. an, neben denen also *B. caulifolium* seinen natürlichen Platz finden dürfte. Zu *B. caulifolium* gehören auch Exemplare, gesammelt von *Rimbach* in Ecuador, Ostabhang der Cordillera Occidental 1890, die *A. Gehreb* in seinem Herbar als „*B. Lindigianum* Hpe. (videtur!)“ bezeichnet hat. Sie stimmen mit dem bolivischen Original von *B. caulifolium* völlig überein, haben nur durch die scharfe Pressung der offenbar gänzlich feucht eingelegten Exemplare ein etwas abweichendes Aussehen erhalten.

Ferner muß ich nach der Anatomie der Blattrippe auch *B. Goudotii* und *B. Lindigii* zu der Gruppe der *Rosulata* (*Eubryum*) stellen, wo *B. Goudotii* neben *B. densifolium*, allerdings wohl unterschieden durch die kurz eiförmigen, breiten und hohlen Blätter, einzureihen wäre, während *B. Lindigianum* in den Verwandtschaftskreis der mit rosettenartigen Blattschöpfen versehenen Gruppe A nach der Einteilung von *Brotherus* in *Engler* und *Prantl's* Nat. Pfl.familien gehört.

Es scheint mir danach, als ob die *Rhodobrya* sich auf jene Formen beschränkten, bei denen eine flache, schirmförmige Blattrosette ausgebildet wird, wie sie unser *Rh. roseum* besitzt. Daß daneben allerdings auch sterile (selbst fruchtende) Sprosse mit entfernter und fast gleichmäßiger Beblätterung vorkommen, geht aus dem Verhalten von *Rh. Beyrichianum* hervor, das aber nach seiner Rippenstruktur ein unzweifelhaftes *Rhodobryum* ist. Jedenfalls läßt sich die Gattung *Rhodobryum*, wie auch *Fleischer* bemerkt, nur unter Berücksichtigung des Rippenbaues aufrecht erhalten. Daß aber diesem Merkmal systematischer Wert zuzuerkennen ist, scheint aus seiner regelmäßigen Kombination mit einer bestimmten Wuchsform hervorzugehen. Man kann nicht daran denken, den Bau der Rippe etwa als Folge des Wuchses, oder diesen als Folge der Rippenanatomie aufzufassen. Vielmehr scheinen diese beiden Merkmale in den Vererbungsträgern stets „gekoppelt“ zu sein.

Formen wie *B. caulifolium* und *B. Lindigii* dürften als Grenztypen zu betrachten sein, müssen jedoch bei dem derzeitigen Stand unserer Bryosystematik bei *Bryum* belassen werden.

Bryum microcomosum C. M. f. **propagulifera**. Bei dieser Form entsprossen dem Stengelfilz der Gipfelrosette dick stabförmige, mehrzellige, stumpfe Brutfäden, die dunkelbraun und dicht papillös sind. Bei Incaacorral, ca. 2200 m.

Rhodobryum (Schimp.) Hpe. in *Linnaea* XXXII.

744. **Rhodobryum grandifolium** (Tayl.)

Unteres Coranital, ca. 1800—2000 m, No. 4733, steril.

Bartramiaceae.

Bartramia Hedw. Descr. II.

Bartramia Brotheri H.

Auf Humuserde im obersten Llavetal, 4200 m.

Die vorliegenden Exemplare unterscheiden sich vom Original durch ein besser entwickeltes Exostom, mit langen, schmalen Zähnen, stimmen aber sonst gut mit ihm überein. Die Art gehört nach der Ausbildung der Perichaetialblätter in die Verwandtschaft von *B. Mathewsii* und *B. pruinata*.

745. **Bartramia micrangia** Herzog n. sp. (Vaginella).

Caespites laxiusculi, sordide viridi-fuscescentes. Caulis 2—3 cm longus, strictus, rigidulus, quam in *B. fragilifolia* affinibusque tenuior, cum foliis appressis 1—1,5 mm crassus. Folia sicca stricte appressa, 3—3,5 mm longa, e basi sursum dilatata albido-nitida in subulam aristiformem fragillimam quam in affinibus brevior denticulatam scabrido-papillosam contracta. Theca in seta brevi (2—3 mm longa) suberecta, parum inclinata, parva, 1—1,5 mm longa, elliptica, parum sulcata, microstoma. Peristomium (vetustum diffractum tantum oppetebat) duplex, quam in affinibus minus evolutum.

Stammt wohl aus dem obersten Llavetal am Fuß des Tunari, ca. 4200 m, sine No.

Sie gehört in die Verwandtschaft der *B. fragilifolia*, unterscheidet sich aber von allen Arten der Gruppe durch die sehr kleine Kapsel und die kürzeren Blätter sowie die zierliche Statur.

Bartramia ambigua Mont. var. **penicillatula** (C. M.).

Im oberen Chocayatal, ca. 4400 m, No. 3577.

Die C. Müllersche Art scheint mir von *B. ambigua* spezifisch nicht verschieden. Hierher gehört wohl auch No. 3295 meiner Sammlung.

Philonotis Brid. Bryol. univ. II.

746. **Philonotis boliviensis** Herzog n. sp. (Philonotula)
Fig. 9.

Dioica, caespitosa, caespitibus humilibus glaucoviridulis. Caulis vix 1 cm longus, inferne fuscotomentosus, sub flore ramis 3—5 verticillatis curvulis secundis. Folia secunda, ad 1 mm longa, anguste lanceolata, aristata, margine ubique anguste revoluta mamillato-serrulata, nervo viridi in aristam mediocrem excurrente, cellulis basalibus multis abbreviatis subquadratis, 0,014 mm longis et latis, humiliter mamillosis vel potius tumidulis, superioribus anguste rectangulis (0,022—0,025 mm × 0,005 mm), angulo superiore mamillosis, mamilla robusta, omnibus chlorophyllosis. Perigonia majuscula, ad 2 mm longa, e basi lata concava aurea lanceolata, acutissima, nervo tenuissimo in apice evanido. Seta rigidula, 15 mm longa. Theca inclinata vel horizontalis, e basi intrusa globosa breviter cylindrica, microstoma, sulcata, e luteo rufescens; peristomium duplex: exostomium rubro-fuscum, 0,4 mm longum, endostomium aureum, parum brevius.

An Erdhängen bei Incacorral, ca. 2200 m, No. 5102.

Durch das basale Blattzellnetz von allen mir bekannten Arten des Subg. *Philonotula* verschieden. Im Habitus der *Ph. Gardneri* nahestehend.

747. **Philonotis eurydictyon** Herzog n. sp. (Philonotula).

Sat dense caespitosa, tenella, mollis, sordide glaucovirens. Caulis ad 3 cm longus, flexuosus, interrupte breviter ramosus, ascendens, apice curvulus. Folia laxe disposita, curvatim accumbentia, sursum indistincte secunda, 1 mm longa, ovato lanceolata, latiuscule acuta, margine ubique fere angustissime revoluta, superne obtuse mamilloso-serrato, nervo basi sat crasso viridi, sub apice extremo

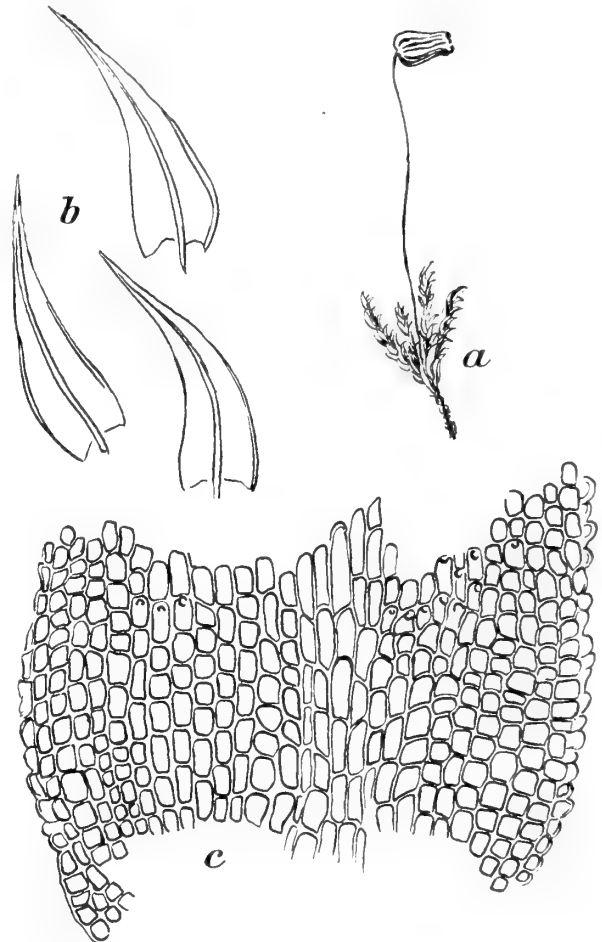


Fig. 9. *Philonotis boliviensis* H. n. sp. a Habitusbild 3 : 1; b Blätter 31 : 1; c Blattbasis 250 : 1.

evanido laxitexto subtus grosse verrucoso-mamilloso, cellulis omnibus laxissimis pellucidis carnosulis haud mamillosis chlorophyllosis, breviter rectangulis vel hexagonis, basalibus $0,020 \times 0,048$ mm, superioribus $0,018 \times 0,022$ mm, marginalibus obliquis minoribus. Cetera desunt.

An feuchten Felsen der Talschlucht von Tablas, ca. 1800 m, ohne No.

Diese ausgezeichnete, leider nur steril gefundene Art gehört nach ihrer Blattstruktur wohl in die Nähe von *Ph. mniobryoides* Broth. aus Kamerun oder der *Ph. ampliretis* Broth. aus Paraguay, von welcher letzterer sie sich jedoch durch die umgerollten Blattränder und die unvollständige Blattrippe unterscheidet.

748. **Philonotis clavicaulis** Herzog n. sp. (Eu-Philonotis).

Dioica, late caespitosa, e viridi-luteo sordide rufescens, fusco-tomentosa. Caulis subsimplex, ramulo brevissimo hic illic obvio, 4—5 cm altus, sub flore ♂ ramo unico innovans, foliis inferioribus nervo solo excepto marcescentibus, superioribus confertis dense imbricatis subclavatus, crassiuscule julaceus, ruber. Folia 1,5 mm longa, 0,7 mm lata, erecta vel interdum indistincte secunda, concava, utroque latere late plicata, ovato-lanceolata, breviter aristata, margine ubique anguste revoluta mamilloso-serrulata, nervo e basi crassissima rubra (0,13 mm lata) sensim attenuato excurrente, arista brevi saepius recurvula terminato, cellulis basalibus multis ampliatis ($0,04 \times 0,018$ mm) chlorophyllosis pellucidis tumidis late mamillato-protrusis, superne diminutis, summis anguste rectangulis ($0,028—0,036$ mm \times $0,004$ mm) incrassatis, angulo superiore mamillosis. Perigonialia supra florem crassum rubrum gemmaceum conniventia, usque ad medium aureo-brunnea pellucida, superne chlorophyllosa, acuta, nervo angusto bene limitato.

In kleinen Rinnsalen der Hochregion von Altamachi, ca. 4000 m, No. 3876.

Aus der Verwandtschaft der *Ph. pellucidiretis* und *Ph. fontanella*, aber von allen Arten dieser Gruppe durch das eigenartige Zellnetz unterschieden und auch schon auf den ersten Blick durch die dicklichen, drehrunden, fast keuligen Stengelenden ausgezeichnet.

Breutelia Schimp. Coroll.

749. **Breutelia harpophylla** Herzog n. sp. (Acoleos).

Laxe caespitosa, e pallide viridi nigricans, vix nitidula. Caulis ascendens, 2—3 cm altus, simplex, inferne tantum tomentosus, laxe hamato-foliatus. Folia vetusta nigricantia, insigniter secunda, falcata, sicca laxe crispula, ad 3 cm longa, e basi 0,8 mm lata ovata concava laxe accumbenti in acumen latiusculum carinatum contracta, leviter vel saepius indistincte plicata, subintegerrima, margine inferne late revoluta, nervo tenui breviter excurrente, cellulis omnibus angustis elongate rectangulis, dorso obtuse mamillosis chlorophyllosis, basalibus paucis in parte marginis revoluta ampliatis. Cetera nulla.

Zwischen Gras am Bachrand im obersten Llavetal, ca. 4200 m, sine No.

Aus der Verwandtschaft der *B. integrifolia*, von der sie sich aber neben dem abweichenden Habitus schon durch die überall deutlich mamillösen Blätter bestens unterscheidet.

Hedwigiaceae.

Braunia Bryol. eur.

Braunia cirrhifolia (Wils.). Diese in der Bergregion der Ostkordillere und des interandinischen Gebietes offenbar weit verbreitete Art kommt auch epiphytisch — auf Baumrinde — in den Randwäldern Nordargentinens auf den Hügelschwellen zwischen Aguaraí und Yacuiba bei ca. 500 m vor.

Fontinalaceae.

Fontinalis (Dill.) L. emend.

Fontinalis turfacea Herzog n. sp. ist in *Scorpidium turfaceum* abzuändern (siehe dieses!).

Cryphaeaceae.

Cryphaea Mohr in Web. Tab. synopt. muse.

Cryphaea patens Hornsch. var. **dilatata** Herzog n. var.

Unterscheidet sich vom Typus durch breiter zugespitzte und kleiner gesägte Blätter.

An Bäumen bei Yuto (N.-Argentinien), No. 3766; im Bergwald von Tres Cruces (Cord. von Sta. Cruz), ca. 1400 m, No. 3986.

Meteoriaceae.

Papillaria (C. M.) C. M. in Öfvers. K. Sv. Vet. Ak. Förh.

750. **Papillaria Brotheri** Herzog n. sp. (= *P. Herzogii* Broth. in sched.).

Longe pendula, gracilis, mollis. Caulis secundarius pendulus, flexuosus, 15 cm longus, nigricans, remote irregulariter pinnatus, pinnis 20—25 mm longis caudato-attenuatis. Caulis ramique foliis appressis teretes. Folia 1,5 mm—2 mm longa, e basi angustata parum decurrente auriculato-cordata, dein triangulari-lanceolata, in pilum longum hyalinum attenuata, ubique serrulata, pro genere parum plicata, nervo debili medio; ramalia conformia. Cetera desunt.

An Bäumen im Bergwald von Florida de San Mateo, ca. 1600 m, No. 3725.

Mit *P. Deppei* und *P. Hahnii* nächst verwandt, jedoch durch die langen, peitschenförmigen Äste verschieden.

751. **Papillaria imponderosa** Tayl. var. **foveolata** Herzog n. var.

Differt a typo foliis rameis minoribus profunde foveolato-triplicatis.

An Bäumen in der Talschlucht von Tablas, ca. 1800 m, No. 4561.

752. **Papillaria tenella** Herzog (= *P. diversifolia* H. n. sp. in sched.) Fig. 10.

An Baumästen im Nebelwald über Comarapa, ca. 2600 m, No. 4208/a; im Bergwald des Rio Tocarani, ca. 2200 m, No. 4070.

Neckeraceae.

Die Arten von **Porothamnium** und **Poro-trichodendrum** verlangen noch eine sorgfältige Durcharbeitung, die nur der Monograph der Gruppe leisten kann. Die bisherigen Bestimmungen sind daher nur als vorläufige zu betrachten und ich verzichte aus diesem Grund auf weitere Angaben, die nur das unsichere Material vermehren würden.

Entodontaceae.

Entodon C. M. in Bot. Ztg. 1844.

753. **Entodon polysetus** C. M.

An Bäumchen bei Tablas, ca. 1800 m, No. 4595; ebenso bei Incacorral, ca. 2200 m, No. 4976.

754. **Entodon lutescens** Hpe.

An Baumwurzeln und Steinen im unteren Coranital, ca. 1800 m, No. 4757.

755. **Entodon viridis** (Dub.).

An Baumwurzeln bei Tres Cruces, Cordillere von Santa Cruz, ca. 1400 m, No. 3881.

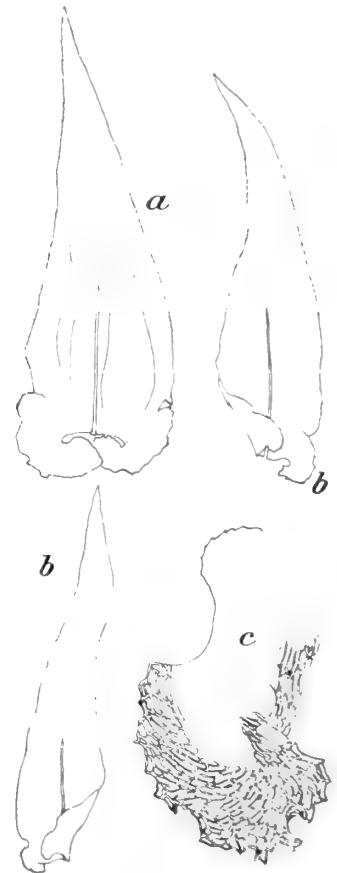


Fig. 10. *Papillaria tenella* H. a Stengelblatt 31 : 1; b Astblätter 31 : 1; c Blattöhre 125 : 1.

Stereophyllum Mitt. Musc. Ind. or.

756. **Stereophyllum aptychopsis** C. M.

An Bäumen im Wald bei Yacuiba, ca. 500 m, No. 2553.

Fabroniaceae.

Fabronia Radd. in Atti dell. Acad. de Sc. de Siena IX.

757. **Fabronia singulidens** C. M.

Leider befindet sich bei meinem spärlichen Material, das wohl aus der Quimzacruzkordillere stammt, keine Fundortsnotiz.

Hookeriaceae.

Cyclodictyon Mitt. in Journ. Linn. Soc. VII.

758. **Cyclodictyon pandurifolium** (Mitt.).

Im Nebelwald über Comarapa, ca. 2600 m, No. 4271, ster.

Die Originale waren mir nicht zugänglich. Jedenfalls gehören aber meine spärlichen Proben, die sich durch ihre dunkel blaugrüne Färbung auszeichnen, nach ihren geigenförmigen Blättern, deren allmählich pfriemenförmiger Zuspitzung und dem 2—3-zellreihigen, fast ganzrandigen Saum in die nächste Verwandtschaft der Art.

759. **Cyclodictyon ulophyllum** (Benth.). In der Talschlucht von Tablas, ca. 1800 m, No. 4546, steril.

Leskeaceae.

Thuidium Br. eur.

760. **Thuidium pauperum** (C. M.).

An Baumwurzeln im Bergwald von Florida de San Mateo, ca. 1800—2000 m, No. 3651 (früher l. c. Seite 143 als *Th. leptocladum* Tayl. angeführt).

Hierher muß auch wegen der stumpfen Astblätter und des dichteren Papillenbesatzes No. 3998, die l. c. S. 143 als *Th. minutulum* veröffentlicht wurde, gerechnet werden.

Th. minutulum ist demnach für die bolivianische Flora zu streichen.

Thuidium breviacuminatum H. In der Diagnose l. c. S. 168 ist als wichtiges Merkmal die Art des Papillenbesatzes nachzutragen. Während nämlich alle verwandten (oder ähnlichen) Arten auf den Zellen der Astblätter stets einzelne, hohe Papillen tragen, besitzt *Th. breviacuminatum* immer deren mehrere über dem Lumen. Durch diese Eigenschaft ist unsre Art, die äußerlich sehr stark an *Th. delicatulum* erinnert, sofort zu erkennen.

Es fanden sich unter meinem Restmaterial noch Exemplare aus dem Coranital.

Hypnaceae.

Scorpidium (Schimp.) Limpr.

Scorpidium turfaceum (H.) Fig. 11. Diese Art wurde früher l. c. S. 106 als *Fontinalis turfacea* n. sp. beschrieben. Auf meinen Irrtum machte mich zuerst Herr P. G. Roth aufmerksam; Herr Dr. H. Paul fand dann später die wahrscheinlichste Deutung dieser kritischen Pflanze. Da jedoch auch heute noch die Zugehörigkeit der Art zu der noch ungenügend durchgearbeiteten Gattung *Scorpidium* nicht völlig sichergestellt erscheint, halte ich es für wichtig, meiner l. c. gegebenen Diagnose noch einige beschreibende Einzelheiten hinzuzufügen und durch die beigegebenen Abbildungen zu belegen.

Der Stengel des in seinen oberen Teilen flutenden Moores ist über 30 cm lang, der ganzen Länge nach büschelig beästet und vielfach zerteilt, schlaff hin und her gebogen. Der runde, gegen die Spitze

stumpf dreieckige Querschnitt läßt keinen Zentralstrang erkennen. Das Markgewebe ist locker und wird von 3 Schichten stark verdickter englumiger Rindenzellen umgeben; Außenrinde ist nicht vorhanden. Die Äste, von denen die kürzeren 1 cm, die längeren bis 3 cm lang sind, sind dem Hauptstengel fast angedrückt. Die ganze Pflanze ist tief braun, gegen die Stengel- und Astspitzen zu etwas kupferig glänzend, an den äußersten Spitzen fast strohgelb. Die Blätter sind 2,5—3 mm lang, 1—1,2 mm breit, aufrecht anliegend, gegen die Spitzen zu öfters etwas spreizend, in den Stengel- und Astspitzen selbst in spitze, fast stechende Knospen zusammengewickelt, die älteren meist unregelmäßig zerschlitzt, an der ver-

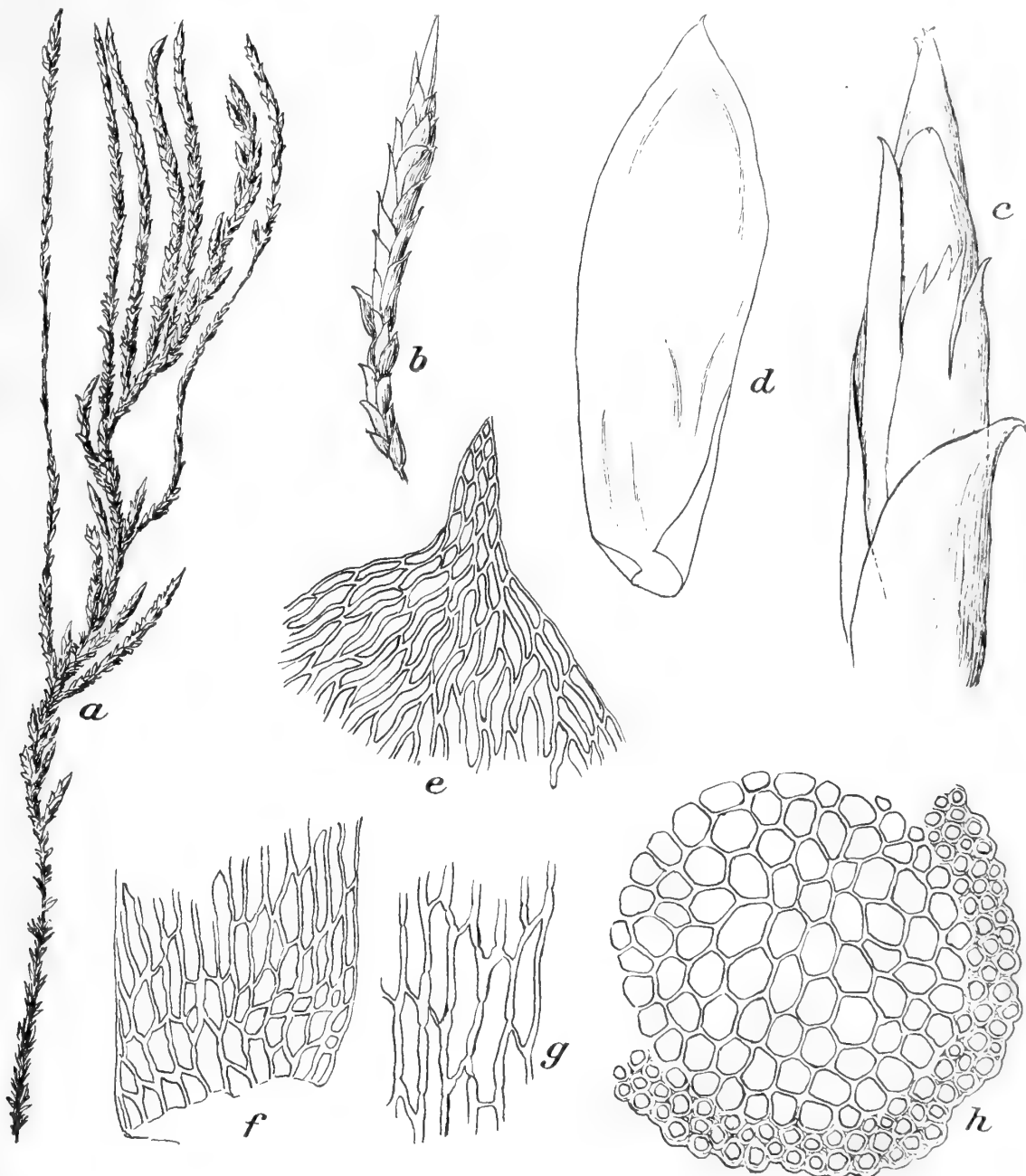


Fig. 11. *Scorpidium turfaceum* (H.). a Habitusbild 1 : 1; b Stengelspitze 8 : 1; c Stengelspitze 30 : 1; d Blatt 30 : 1; e Blattspitze 250 : 1; f Blattecke 250 : 1; g Mitte der Blattbasis 500 : 1; h Stengelquerschnitt 250 : 1.

schmäleren Basis bis $\frac{3}{4}$ Stengelumfassend, sehr hohl, oberwärts verbreitert oblong, stumpf zugespitzt, mit aufgesetztem, winzigem, etwas zurückgekrümmtem Spitzchen (kehrt bei allen Scorpidien wieder!), ganzrandig. Die Rippe fehlt oder ist ganz schwach durch 2 kaum bemerkbare gelbliche Streifen angedeutet. An den Blattflügeln befinden sich nur wenige, kaum differenzierte, etwas verkürzte Zellen, die zuweilen ein etwas ausgehöhltes Öhrchen bilden, die übrigen Blattzellen sind $80-90 \times 5-6 \mu$, eng prosenchymatisch mit etwas verdickten, getüpfelten Wänden, im aufgesetzten Spitzchen verkürzt, gegen die Ränder hin im Querschnitt dünner und häufig mit zerstörten Rückenwänden. Blüten wurden nicht beobachtet.

Rhizohypnum Hpe. Symbol.

(bearbeitet von M. Fleischer).

761. **Rhizohypnum pendulinum** Hpe.

Im Bergwald von Incacorral, ca. 2200 m, No. 5023 und 5096; im Bergwald von Florida de San Mateo, ca. 1800 m, No. 3644/a; hierher gehört auch No. 3517, welche a. a. O. als *Rh. viscidulum* Hpe. bezeichnet wurde.

Rhizohypnum robustiusculum Broth. = *Rh. eciliatum* H. in sched.

Diese Art scheint im Gebiet besonders häufig zu sein. Zu den a. a. O. mitgeteilten Fundorten kommt noch der so oft erwähnte überaus artenreiche Nebelwald über Comarapa, ca. 2600 m, No. 5153 u. 5307.

Rhizohypnum viridicaule (C. M.) ist zu streichen. „Nach dem Original ist *Stereohypnum viridicaule* C. M. mit *Rhizohypnum acrorrhizon* (Hornsch.) identisch und die var. *lutescens* gehört überhaupt nicht zur selben Art, sondern wahrscheinlich zu *Rh. volvatum*.“

Die beiden a. a. O. unter *Rh. viridicaule* veröffentlichten Nummern gehören zu *Rh. viscidulum* Hpe., wie auch No. 4350, das vom gleichen Fundort wie No. 3973 stammt.

Rhizohypnum reptans (Sw.).

Die häufigste Art im bolivischen Bergwald besitzt auch zugleich das weiteste Verbreitungsgebiet, das sich von den Antillen über das ganze tropische Südamerika erstreckt.

An weiteren Fundorten kommen hinzu: Bergwald des Sillar, ca. 1700 m, No. 2740 u. 2752/a (var. *squarrulosum*), Talschlucht von Tablas, ca. 1800 m, No. 4661 u. Bergwald von Incacorral, ca. 2200 m, No. 4977/a u. 4986.

Ectropothecium Mitt. in Journ. Linn. Soc.

762. **Ectropothecium effusum** Herzog n. sp.

Autoicum; caespites late effusi, amoene virides, nitidi. Caulis longe repens, substrato fasciculis rhizoidium affixus, regulariter pinnatus, pinnis 4—8 mm longis horizontaliter patentibus ut et caule valde complanatis pseudo-distichaceis plumulosis. Folia caulina et ramalia similia, 1 mm longa, e basi lata elliptico-lanceolata, acuminata, lateralibus apice falcata, toto ambitu argute serrata, dentibus suberecto-reflexis inde marginem angustissime recurvum sistentibus, enervia, cellulis omnibus chlorophyllosis, alaribus paucis laxioribus saepius cellula unica hyalina inflata decurrente auctis. Perichaetium squarrulosum; folia perichaetialia e basi lata in acumen longum piliforme argute serratum contracta, intima ad acuminis basin subtruncata et eroso-dentata. Seta 1,5—2 cm longa, purpurea, apice breviter hamata. Theca dependens, minuta, 0,8 mm longa, breviter campanulata, sub ore ampliato constricta, exothecio indistincte mamilloso; operculo longe oblique rostrato.

Über Laub und gefallenem Ästen im Bergwald des Sillar, ca. 1600 m, No. 2693.

Die Art unterscheidet sich von den meisten amerikanischen Vertretern der Gattung durch die sehr starke Verflachung von Stengel- und Fiederästen, wodurch ein ungewohnter, fast isopterygienartiger Habitus zustande kommt. Sie steht wohl *E. cupressoides* (C. M.) Mitt. am nächsten, welches sich jedoch durch flache Blattränder und kürzere Seta gut zu unterscheiden scheint. Die etwas höckerige Beschaffen-

heit der Kapsel wird von unregelmäßig vorgewölbten Zellen hervorgebracht; eigentliche Mamillen sind nicht vorhanden.

Isopterygium Mitt.

(bearbeitet von M. F l e i s c h e r).

763. **Isopterygium peruvianum** Broth.

An Baumrinde im Bergwald von Tres Cruces, Cord. von Sta. Cruz, ca. 1400 m, No. 3892/b.
Ein winziges Moos mit kaum 8 mm langer, haardünnere Seta und sehr kleiner Kapsel.

764. **Isopterygium stigmocarpum** (C. M.) Par.

Auf Steinen am Wegrand im Bergwald des Sillar, andern Moosen spärlich beigemischt,
ca. 1700 m, No. 2682/a.

Plagiothecium Br. eur.

765. **Plagiothecium submollicaulis** Broth. n. sp. in sched. steht *Pl. mollicaulis* R. S. W. nahe und ist vielleicht spezifisch nicht von ihm unterschieden. Charakteristisch erscheint der längs straff aber schmal umgerollte Rand der feinspitzigen, engzelligen Blätter. Beim Ablösen der an den Ecken herablaufenden Blätter gehen stets Teile der lockerzelligen Außenrinde des Stengels mit. Die Blattrippe ist gewöhnlich vorhanden, aber ungleichschenkelig. Die Art ist ungefähr von der Größe kleiner Formen von *P. denticulatum*.

Ich besitze das Moos vom Nebelwald über Comarapa, ca. 2600 m, No. 4326, und aus den Estradillas über Incacorral, No. 3327.

Vesicularia (C. M.), C. M. in Flora 1896.

766. **Vesicularia vesicularis** var. **Poepigiana** (Hpe.).

Beim Sillar über Laubstreu, ca. 1600 m, No. 2690/b.

Sematophyllaceae.

Rhaphidostegium (Br. eur.) De Not. Cronaca II.

Rhaphidostegium andinum (Mitt.) Jaeg.

An Baumwurzeln bei Tres Cruces, Cordillere von Sta. Cruz, ca. 1500 m, No. 3491/a.

767. **Rhaphidostegium Ruckeri** Herzog n. sp. (*Cupressinopsis*). Autoicum; dense caespitosum, pallide stramineum, nitidum. Caulis decumbens, sat regulariter pinnatus, ramis horizontalibus, vix 1 cm longis gracilibus. Folia falcato-secunda, quam maxime 1,5 mm longa, e basi concava oblonga, sensim longe acuminata, hamata, margine erecto vel hic illic anguste revoluta, apice remote serrulato, cellulis laevibus, alaribus 3 ut et intermediis aureis conspicuis. Seta ad 2 cm longa, purpurea, laevissima, apice breviter hamata; theca inaequalis horizontalis vel decurva, deoperculata 1,5 mm longa, parte superiore valde constricta; operculo pro genere robuste breviterque rostrato rubro.

Auf Baumstäben an der Waldgrenze über Tablas, ca. 3400 m, No. 2881/a.

In der Größe etwa *Rh. decumbens* entsprechend, jedoch durch die großen goldgelben Alarzellen unterschieden. In der Länge des Kapselstieles an *Rh. Lindigii* erinnernd. — Ich widme die neue Art meinem damaligen Reisebegleiter, Herrn H. R ü c k e r aus Cochabamba.

768. **Rhaphidostegium capillifolium** Herzog n. sp. (*Cupressinopsis*). Fig. 12. Autoicum, pallide luteovirens, nitidulum. Caulis repens, tenellus, 1—2 cm longus, regulariter pinnatus, pinnis 2—4 mm longis ut et caule apice falcato-caudatis. Folia angustissima, sublinearia, longissime capillaceo-acuminata, involuta, apice remote serrulata, enervia, pellucida, cellulis omnibus tenerrimis, alaribus paucis magnis

vesiculosus flavidis; perichaetia ovato-lanceolata, breviter acuminata, apice serrulata. Seta ad 14 mm longa, tenuissima, purpurea, laevissima, apice breviter hamata. Theca pendula, minuta, cylindrica, sub ore constricta, vix 1 mm longa; opereulo e basi late cupulata crocea longissime oblique rostrato, aciculo pallido.

Auf Baumrinde im feuchten Bergwald des Coranital, No. 3392.

Etwa von der Statur eines schwächtigen *Rh. decumbens*, aber durch die überaus schmalen, fast haarförmig zugespitzten Blätter und die sehr viel kleinere Kapsel von ihm unterschieden. Gehört wohl in die Verwandtschaft von *Rh. ancistrostegium* (Sull.).

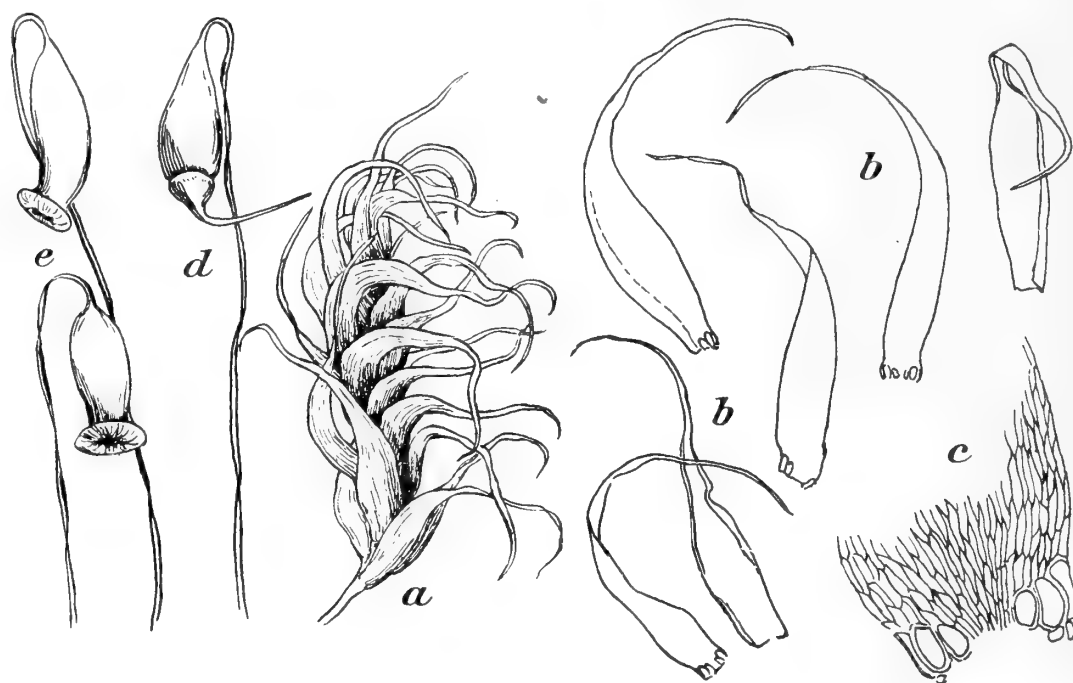


Fig. 12. *Rhaphidostegium capillifolium* H. n. sp. a Stengelspitze ca. 25 : 1; b Blätter 31 : 1; c Blattbasis 125 : 1; d bedeckelte Kapsel ca. 20 : 1; e entdeckelte Kapseln ca. 20 : 1.

***Rhaphidostegium Lindigii* (Hpe.) var. *propaguliferum* Herzog n. var.** Bei dieser bemerkenswerten Varietät werden an den Blattachsen zahlreiche, stäbchen-, spindel- bis keulenförmige Brutkörper hervorgebracht. Die Stäbchen sind über 0,5 mm lang und schon mit bloßem Auge als schwärzliches Pulver zu erkennen. Sie sind einzellreihig und besitzen die größte Breite (bis 40 μ) über der Mitte; selten findet man einmal eine der Zellen auch der Länge nach geteilt. Die Zellwände sind stark gebräunt und der Inhalt reich an Chlorophyll.

In oberen Coranital an Baumästen, ca. 2600 m, No. 3411 fertil.

769. ***Rhaphidostegium aureo-viride* (C. M.) Par.**

An Bäumen bei Tres Cruces, Cordillere von Sta. Cruz, ca. 1500 m, No. 3912/d.

Heterophylleae.

Aptychella (Broth.) Herzog.

770. ***Aptychella linearifolia* Herzog n. sp.** Caulis ad 4 cm longus, tenuissimus, flaccidus, e basi arcuata dependens, parce ramosus, ramis subparallelis. Folia sat laxe disposita, subrecto-patentia, pallide viridia nitidula, ad 2 mm longa, anguste linearilanceolata, tenuissime longeque acuminata,

in acumine indistincte remote serrulata, concavissima, marginibus supra basin constrictam angustissime reflexis, alis a dorso excavatis, nervis binis brevibus obsolete, cellulis anguste linearibus teneris, alaribus compluribus majusculis subquadratis, vetustis fuscatis.

An Baumrinde im Bergwald von Incacorral, ca. 2200 m, No. 5313; im Nebelwald über Comarapa, ca. 2600 m, No. 3944; hierher gehört auch No. 4349, die ich früher als Form zu *A. caudata* gestellt habe.

Aptychella prolifera (Dus.) var. **chlorophyllosa** Herzog n. var. Diese neue Varietät unterscheidet sich von dem bisher bekannten Typus durch eine viel größere Gruppe von Blattflügelzellen, die sehr chlorophyllreich sind und von der meist stark gebräunten Lamina scharf abstechen. Die Blätter der Astspitzen sind zusammengewickelt und bilden dadurch knospenförmige, fast stehende Astenden. Ich fand in dem vorliegenden Räschen auch ein ganz junges Sporogon (mit Haube bedeckte Seta), das die Eigentümlichkeit der Gattung gegenüber *Rhaphidostegium* noch weiter hervorhebt. Das Perichaetium besteht aus einer 3 mm langen, aus schmal zugespitzten Blättern eng zusammengewickelten Röhre, wie sie nirgends bei *Rhaphidostegium* zu beobachten ist.

Brutkörper waren an der Pflanze nicht entwickelt.

Im Coranital auf Baumästen, No. 3416.

Brachytheciaceae.

Brachythecium Br. eur.

771. *Brachythecium mollirameum* C. M. var. *delicatulum* Herzog n. var. Fig. 13.

Die neue Varietät unterscheidet sich vom Typus in bemerkenswerter Weise durch ihren viel zarteren Wuchs, ferner durch die unten nicht zurückgeschlagenen Blattränder. Obwohl C. Müller die Rasen ausdrücklich als „turgiduli“ bezeichnet und das Moos nach seinem ganzen Wuchs viel mehr zu dem verwandten *B. tenuiprostratum* stimmen würde, muß ich dennoch nach der Blattform, die durch



Fig. 13. *Brachythecium mollirameum* C. M. var. *delicatulum* H. n. var. a Habitusbild ca. 1,5 : 1; b Ästchen ca. 4 : 1; c Stengelblätter 62 : 1; d Astblätter 62 : 1.

starkes Herablaufen der Ecken charakterisiert ist, die Varietät zu *B. mollirameum* ziehen, das sich nach C. Müller gerade durch dieses Merkmal von *B. tenuiprostratum* und *B. filirameum* unterscheidet. Auf gefallenem Baumstämmen im Wald zwischen Aguairai und Yacuiba, ca. 400 m, No. 5154.

Rhynchostegium Br. eur.

772. **Rhynchostegium minutum** C. M.

Auf Baumwurzeln im Bergwald von Tres Cruces, Kordillere von Sta. Cruz, ca. 1400 m, No. 3912/b.

773. **Rhynchostegium brevirete** Broth. n. sp.

Autoicum; gracile, viride, nitidiusculum. Caulis elongatus, repens, per totam longitudinem fusco-radiculosus, dense et regulariter pinnatim ramosus, ramis patulis, vix ultra 7 mm longis, valde complanatis, cum foliis ca 2 mm latis, simplicibus, obtusis. Folia ramea patula, ovata vel elliptica, anguste acuminata, acumine plerumque semitorto, marginibus erectis, argute serratis; nervo tenui ultra medium folii evanido, cellulis anguste sed breviter linearibus, basilaribus infimis laxioribus, alaribus haud diversis. Bractee perichaetii internae e basi vaginante raptim in acumen elongatum subulatum, recurvulum, minute denticulatum attenuatae. Seta ca. 1 cm alta, tenuis, rubra. Theca subhorizontalis, oblongo-cylindrica, sicca deoperculata sub ore constricta, fusca. Caetera ignota.

Ohne nähere Fundortsnotiz, auf Baumästen.

Species cum **Rh. scarioso** (Tayl.) Jaeg. comparanda, sed caule dense et regulariter pinnato, ramis brevibus, valde complanatis nec non foliorum forma cellulisque brevioribus dignoscenda.

Hepaticae.

Marchantiaceae.

Sauteria (N. ab Es.) emend. S. O. Lindb. 1868.

475. **Sauteria Berteroana** Mont. Unter den Resten meiner in den Hochkordilleren gesammelten Bryophyten befindet sich auch eine *Sauteria*, die nach der Beschreibung in Stephani's „Species Hepaticarum“ zu obiger Art gehören dürfte. Bezeichnend dafür scheint mir das lineare, schmale Laub und die tiefroten Schuppen der Unterseite, ferner der scharf mehrkantige Rezeptakelstiel. Abweichend ist nur die Zahl der Köpfchenlappen, die bei meinen Exemplaren durchwegs 2 sind, während für *S. Berteroana* deren 4 angegeben werden. Doch sind ja bekanntermaßen diese Verhältnisse überall mehr oder weniger schwankend. Die alten Stiele fand ich an meinen Exemplaren unten stark gerötet und hart, oben dagegen zart und bleich. Leider lagen mir nur ganz alte und sehr junge Rezeptakel vor, so daß sich über die Eigenschaften der Kapsel und des Involucrums nichts mitteilen läßt.

Die Fundortsnotiz ist verloren gegangen.

Plagiochasma L. et L.

476. **Plagiochasma chlorocarpum** Mont.

An verwitterten Schieferfelsen in der Montehuaiko-Schlucht, ca. 3800 m. Auch an vielen anderen Orten erinnere ich mich dieses offenbar weitverbreitete Moos gesehen zu haben, doch liegen mir nur noch Exemplare von einem zweiten, nicht näher notierten Fundort vor.

Die beiden unterscheiden sich in ihrem Wuchs ziemlich stark voneinander, zeigen aber sonst nichts, was sie spezifisch trennen ließe. Es ist auch sehr wohl möglich, daß beide Formen aus dem Montehuaiko-Gebiet stammen.

Die eine — kleinere — Form zeichnet sich durch ihre matt hechtbläuliche, an *P. Aitonianum* erinnernde Färbung und einen höchstens 6 mm breiten Thallus aus. Sie ist ganz ohne Rezeptakel. Die andre — größere — ist in allen Teilen viel robuster und besitzt einen bis 10 mm breiten Thallus mit viel weniger ausgesprochener *Plagiochasma*-Färbung; erinnert darin vielmehr etwa an *Preissia*. Diese breitlappige Form trägt einige alte ♀ Rezeptakel, die sehr kurzgestielt sind und 3—5-lappige, in der Mitte stark vertiefte Köpfchen besitzen. Diese stimmen, soweit an dem alten Material zu erkennen, mit denjenigen von *P. chlorocarpum* überein. Man könnte nun daran denken, diese beiden Formen auf 2 nahe verwandte Arten zu verteilen, als welche *P. chlorocarpum* und *P. validum* Bisch. in Betracht kämen. Da aber, wie auch A. W. Evans in „Yale Peruvian Expedition of 1911, Hepaticae in Transact. Connect. Ac. of Arts and Sc. 1914“ betont, aus den beiden Diagnosen dieser Arten in Stephani's „Species Hepaticarum“ kein wesentlicher Unterschied herauszulesen ist, so würde die Entscheidung sehr zweifelhaft ausfallen müssen, umsomehr, als mir kein Material zur Vergleichung zur Verfügung steht. Jedenfalls bedarf diese Gruppe noch ausgedehnterer Studien, die aber nur auf Grund reichlichen Materials befriedigende Ergebnisse bringen können. Bevor diese Frage geklärt ist, ziehe ich vor, meine Exemplare zu der alten Montagne'schen Art zu rechnen; denn was und ob *P. validum* eine eigene Art darstellt, ist heute mit Sicherheit nicht zu entscheiden.

Preissia Corda.

Preissia barbata Herzog n. sp.

Dioica, habitu staturaque *P. commutatae* simillima. Thallus 3—4 cm longus, 6—7 mm latus, inferne atropurpureus, squamis biseriatis purpureis appendiculo ovato-lanceolato acuminato auctis, superficie stomatibus magnis prominentibus macroporis, annulo 3-seriali cellularum angustarum circumdatis, poro interno majuscule, cellulis 4—6 vesicoso-prominentibus cincto. Scapus receptaculi ♀ 2-canaliculatus, ubique squamoso-barbatus angulis 2 cavernosus; receptacula e basi longe squamoso-barbata, convexa, 6—7-lobata lobis semirotondis, stomatibus numerosis verrucosa.

Oberes Tocoranital, ca. 2800 m.

Der *P. commutata* sehr ähnlich, aber durch die lang gebärteten Rezeptakel und R.stiele, sowie durch die auffallend weitporigen Luftkammeröffnungen gut unterschieden.

Die Auffindung einer zweiten Art dieser bisher nur auf der nördl. Hemisphäre bekannten Gattung in den Anden von Südamerika ist von besonderem Interesse.

Die Angabe über *Preissia commutata* in „Die Bryophyten meiner 2. Reise durch Bolivia“ ist dementsprechend zu berichtigen.

Jungermanniaceae acrogynae.

Acolea Dum.

477. *Acolea andina* Herzog n. sp. Fig. 14. Densissime caespitosa, erecta, subsimplex, albicanti-caesia, inferne fuscescens, postice convexa, anticè anguste canaliculata, caule stricto subjulaceo fragili vix radiceleso, 1—1,5 cm longo, stolonibus microphyllinis. Folia densissime imbricata, concavissima, oblique inserta, late subcordata, juvenilia asymmetrica lobis inaequalibus, adulta $\frac{1}{3}$ biloba, sinu acuto, lobis late triangulis breviter cuspidatis, margine lobisque hyalino-scariosa, indistincte crenulato-suberosa, cellulis trigonis in parte mediana distinctis, basalibus ampliatis, apicalibus $12 \times 14 \mu$, medianis $18 \times 20 \mu$, basalibus $18 \times 26 \mu$, marginalibus inferis $10 \times 12 \mu$. Cetera desunt.

An Felsen im Piñasgebiet gegen Cerro Incahacca, ca. 4600 m.

Die neue Art gehört in die Verwandtschaft der *A. cuspidata* (Berggr.), von der sie sich aber durch die breit herzförmige Basis der Blätter gut unterscheidet.

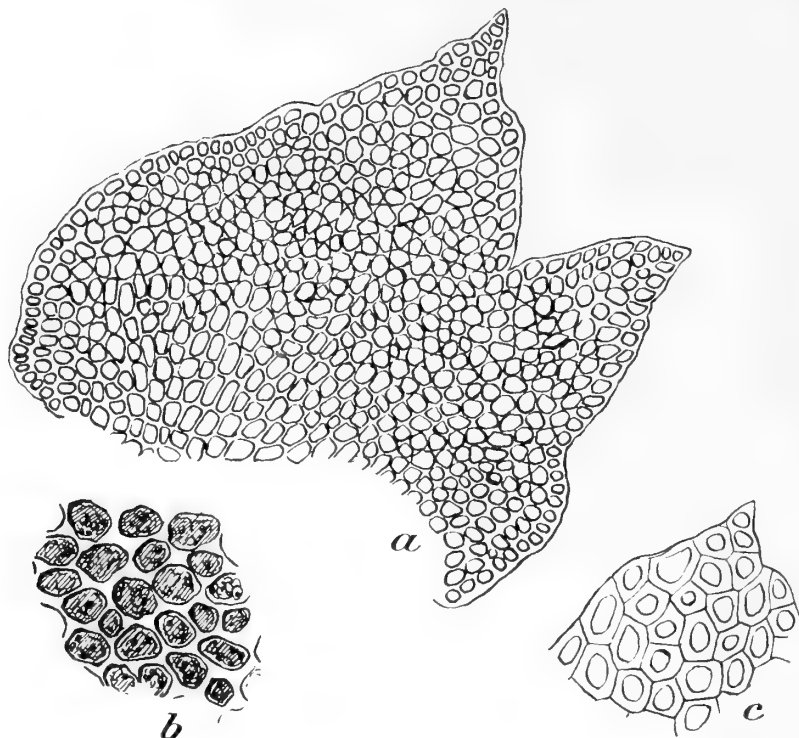


Fig. 14. *Acolea andina* H. n. sp. a Blatt 125 : 1; b Zellen der Blattmitte 250 : 1; c Zellen der Blattspitze 250 : 1.

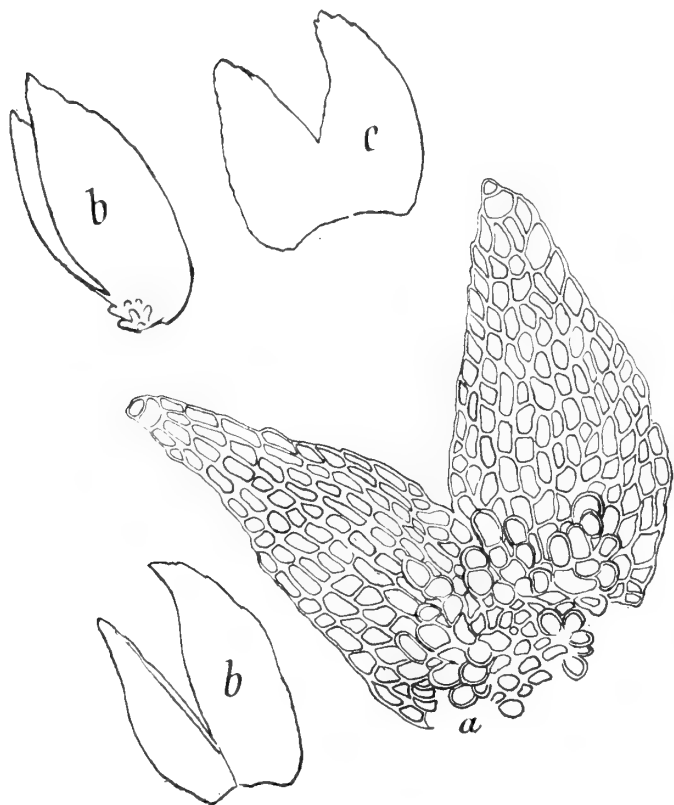


Fig. 15. *Anthelia andina* H. n. sp. a Blatt 125 : 1; b 2 Blätter 62 : 1; c Amphigastrium ausgebreitet 62 : 1.

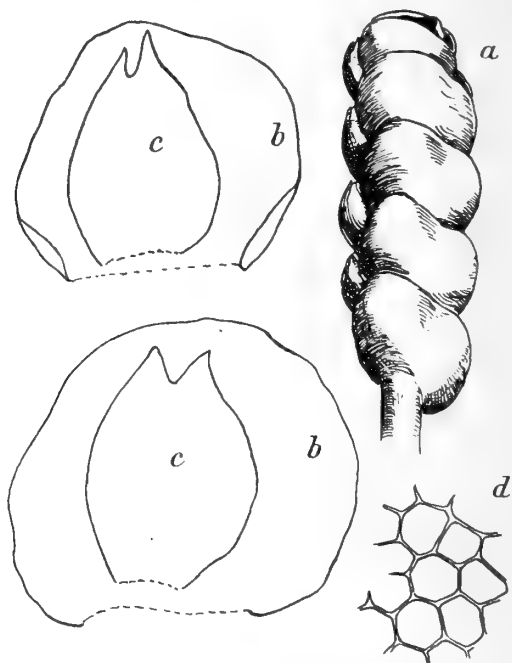


Fig. 16. *Alicularia grandistipula* H. n. sp. a Stämmchenspitze, Habitusbild ca. 6 : 1; b 2 Blätter 20 : 1; c 2 Amphigastrien 20 : 1; d Blattzellnetz 166 : 1.

Anthelia (S. O. Lindb. 1875).

478. **Anthelia andina** Herzog n. sp. Fig. 15. Dense caespitosa, suberecta, ramosa, ramis brevibus divergentibus vel suberectis, rigidula, fragilis, candida, caule vix 10 mm longo subtereti noduloso illecebrino. Folia caulina et amphigastria subsimillima, sat dense disposita, carinata, laxe imbricata, transverse

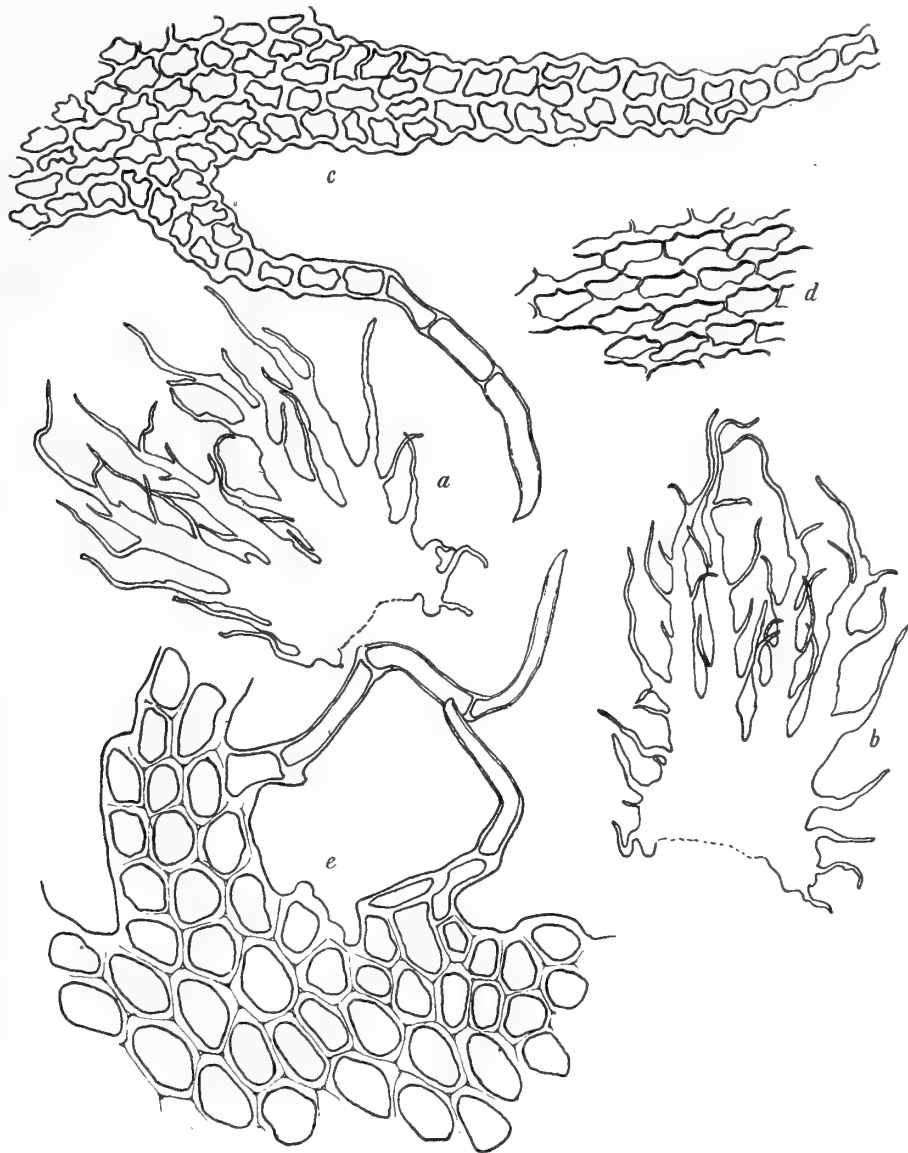


Fig. 17. *a—d. Lepicolea ramentifissa* H. n. sp. *a.* fol. caulinum 31 : 1; *b.* amphigastrium caulinum 31 : 1; *c.* Zellnetz vom Blattrand 250 : 1; *d.* Zellnetz von der Mitte der Blattbasis 250 : 1; *e.* *Lepicolea pruinosa* Tayl. Zellnetz vom Blattrand 250.

inserta, conduplicatim concava, ad $\frac{2}{3}$ inciso-biloba, lobis plerumque conniventi-subcurvatis, acutis vel subobtusis obtuse denticulatis, dorso basali dense papilligera, papillis ut videtur mucigeris; cellulae superae $14 \times 26 \mu$, mediae $20 \times 42 \mu$, basales $16 \times 36 \mu$, valde incrassatae, trigonis nullis. Cetera desunt.

Auf Humus im Nebental von Viloco gegen Mocoja (Quimzaerzkordillere), ca. 4600 m, No. 3107, gemischt mit *Cephalozia grandifolia* St. n. sp.

Die Art unterscheidet sich von *A. julacea* hauptsächlich durch die eingekrümmten Blattlappen. Die Schleimpapillen an der Basis des Blattrückens finden sich, wenn schon spärlicher, auch bei *A. julacea*, obwohl ich in den Beschreibungen hierüber nichts angegeben finde.

Stephaniella Jack.

479. **Stephaniella hamata** St.

In Felsspalten des Minentälchens von Viloco (Quimzacruzkordillere), ca. 4500—4600 m, No. 3166.

Alicularia Corda.

480. **Alicularia grandistipula** Herzog n. sp. Fig. 16.

Gigantea, submersa, dense caespitosa, nigricans. Caulis ad 7 cm longus, subsimplex, flexuosus, carnosulus, sat dense foliatus. Folia a latere compressa, cauli imbricato-incumbentia, parum asymmetrica, sursum erecta, ex insertione latissima obliqua optime rotunda vel parum oblata, saepius apice indistincte lateque emarginata, integerrima, 1,8—2 mm longa et lata, parum concava. Cellulae laxae, $0,036 \times 0,036$ mm, parietibus tenuibus, trigonis nullis. Amphigastria magna, 1,2—1,4 mm longa, concava, curvatim accumbentia, ovata, apice breviter biloba.

Auf Steinen in einem Bach bei Viloco (Quimzacruzkordillere), ca. 4400 m, No. 3183.

Habituell und in der Größe an *Alicularia compressa* erinnernd; durch die großen 2lappigen Amphigastrien sehr ausgezeichnet.

Lepicolea Dum.

481. **Lepicolea ramentifissa** Herzog n. sp. Fig. 17.

Sterilis magna, valida, e glaucoviridi rufescens, aliis muscis intermixta. Caulis ad 11 cm longus, dense pinnatus, ramis plerumque secundis sparsim ramosis, omnibus apice flagellatim attenuatis ad 2 cm longis. Folia caulina densa, vix decurva, in plano ultra 2 mm longa, 4-laciniata, disco sat humili utrinque longe lacinulato, laciniis primariis angustissimis setaceis flexuosis ramentis longis lateralibus auctis insuper parietibus nodoso-prominentibus crenulatis. Cellulae superae $0,024 \times 0,032$ mm, basales $0,024 \times 0,048$ mm, omnibus parietibus sinuato-nodosus. Amphigastria caulina simillima, subsymmetrica.

Im Nebelwald über Comarapa, ca. 2600 m, spärlich anderen Moosen beigemischt.

In Habitus und Statur *L. pruinosa* am nächsten stehend, aber von dieser wie von *L. Herzogiana* St. durch die kleineren, knotig verdickten Blattzellen gut verschieden; hierin

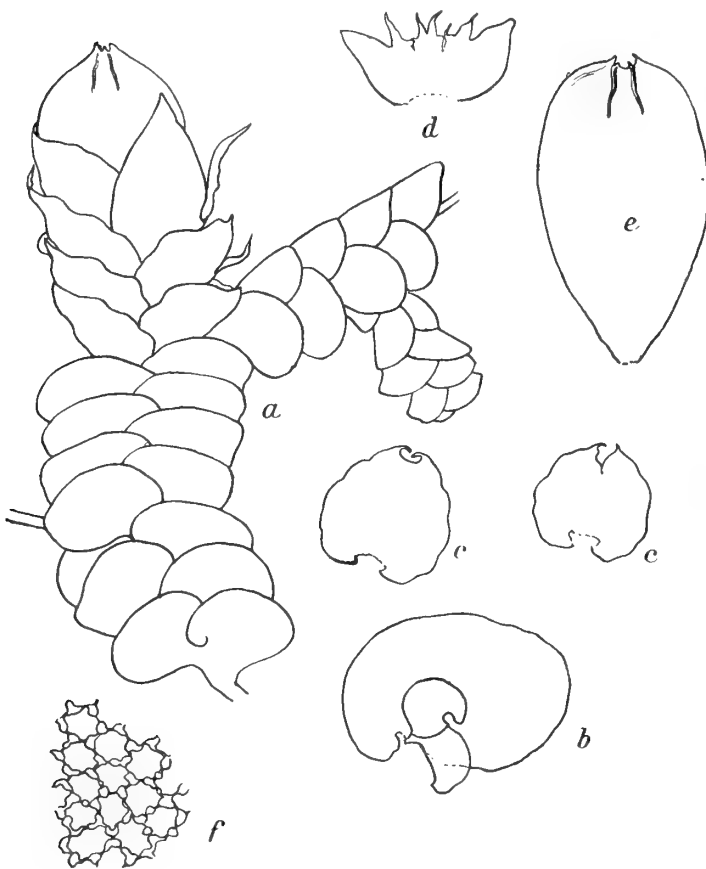


Fig. 18. *Frullania inflata* H. n. sp. a Habitusbild ca. 15 : 1; b Blatt des Hauptstengels 20 : 1; c 2 Amphigastrien des Hauptstengels 20 : 1; d Involucrum ca. 5 : 1; e Perianth ca. 20 : 1; f Blattzellen 166 : 1.

der *L. ochroleuca* näher kömmand, von allen aber durch die sehr langen Seitenäste der Blattlacinien abweichend. Eine gute Art!

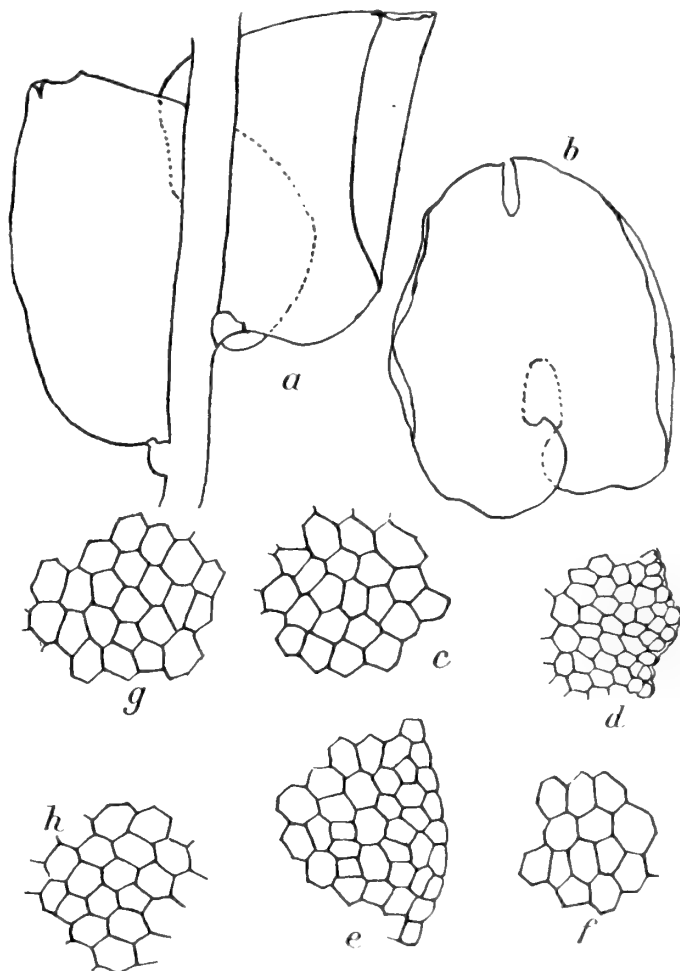
Frullania Raddi.

482. **Frullania inflata** Herzog n. sp. Fig. 18. Chonanthelia.

Major, robusta, flavo-rufescens. Caulis 5 cm longus, laxe bipinnatus, pinnis primariis quam maxime 1 cm longis, secundariis brevissimis valde complanatis. Folia sat contigua, 1,3 mm longa, concava, recte patula, ovato-rotundata, integerrima, basi antica rotundato-appendiculata, caulem superantia. Cellulae superae $0,018 \times 0,018$ mm, basales $0,018 \times 0,036$ mm, trigonis magnis nodulosis saepe confluentibus et intermediis auctis. Lobulus magnus alte cucullatus, rostro curvato-deflexo, appendiculo parum longiore subaequilato, carina stricta, margine libero valde arcuato. Amphigastria caulina vix 1 mm longa et lata e basi cordata rotundata, repanda, apice breviter bifida, lobis acuminatis cornuto-conniventibus. Folia et amphigastria floralia illis *F. Barbeyanae* simillima. Perianthium obovatum inflatum, 4 mm longum, plicis 4 brevissimis sub ore tantum perspicuis, ceterum laevissimum, rostro brevissimo.

An Bäumchen bei Inacorral, ca. 2200 m (ohne Nummer).

Unter den Chonanthelien durch das fast glatte, blasenartig aufgeschwollene Perianth sehr auffallend.



Taxilejeunea Spruce.

483. **Taxilejeunea convoluta** Herzog n. sp. Fig. 19.

Dioica, magna, flaccida, e pallide glaucoviridi flavescens, caule subsimplice vel parce brevissimeque ramuloso ad 7 cm longo. Folia caulina convoluta, 1,3 mm longa, subcordata, basi antica ampliata rotundata caulem superantia, apiculo minuto inflexo terminata, subintegerrima. Cellulae $0,028 \times 0,036$ mm, pellucidae, trigonis majusculis et nodulis intermediis. Lobulus minimus. Amphigastria maxima, valde concava marginibus caulem subamplectantia, foliis subaequilonga, e basi profunde excisa auriculata ovoidea, apice breviter bifida, rima angusta, cellulis auricularum a superioribus distincte minoribus.

In der Talschlucht bei Tablas auf Laubabfällen und Erde, ca. 1800 m, No. 4574.

Von den ähnlichen *T. Herzogiana* und *T. rufescens* hauptsächlich durch die verschiedene Zellgröße der Öhrchen der Unterblätter verschieden.

Fig. 19. *Taxilejeunea convoluta* H. n. sp. a Stengelstück 30 : 1; b Amphigastrium 30 : 1; c Zellnetz aus dem oberen Teil des Amphigastriums 250 : 1; d Zellnetz aus der auricula des Amphigastriums; e und f *Taxilejeunea Herzogiana* St., g und h *Taxilejeunea rufescens* St., jeweils c und d entsprechend.



Bibliotheca Botanica.

Verzeichnis der bisher erschienenen Hefte.

1. Schenck, Dr. H., Vergleichende Anatomie der submersen Gewächse. Mit 10 Tafeln.
2. Zopf, Dr. W., Botanische Untersuchungen über die Gerbstoff- und Anthocyan-Behälter der Fumariaceen. Mit 3 farbigen Doppeltafeln.
3. Schiffner, Dr. V., Über *Verbascum*-Hybriden und einige neue Bastarde des *Verbascum pyramidatum*. Mit 2 Tafeln.
4. Vöchting, Dr. H., Über die Bildung der Knollen. — Mit 5 Tafeln und 5 Figuren im Text.
5. Dietz, Dr. Sándor, Über die Entwicklung der Blüte und Frucht von *Sparganium Tourn.* und *Typha Tourn.* Mit 3 Tafeln.
6. Schenk, Prof. Dr., Fossile Pflanzen aus der Albourskette. Mit 9 Tafeln.
7. Rees, Dr. Max und Dr. C. Fisch, Untersuchungen über Bau und Lebensgeschichte der Hirschstrüffel, *Elaphomyces*. Mit 1 Tafel und 1 Holzschnitt.
8. Buchtien, Dr. O., Entwicklungsgeschichte des Prothallium von *Equisetum*. — Mit 6 Tafeln.
9. Huth, Dr. E., Die Klettpflanzen mit besonderer Berücksichtigung ihrer Verbreitung durch Tiere. — Mit 78 Holzschnitten.
10. Schulz, Aug., Beiträge zur Kenntnis der Bestäubungseinrichtungen und der Geschlechtsverteilung bei den Pflanzen. I. Teil. Mit 1 Tafel.
11. Wiegand, Dr. A., *Nelumbium speciosum*. — Nach des Verfassers Tode herausgegeben von Dr. E. Dennert. Mit 6 Tafeln.
12. Stenzel, Dr. G., Die Gattung *Tubicaulis* Cotta. Mit 7 Tafeln.
13. Geheeb, Adalbert, Neue Beiträge zur Moosflora von Neu-Guinea. Mit 8 Tafeln.
14. Oltmanns, Dr. Friedrich, Beiträge zur Kenntnis der Fucaceen. Mit 15 Tafeln.
15. Schumann, Dr. C. R. G., Anatomische Studien über die Knospenschuppen von Coniferen und dicotylen Holzgewächsen. Mit 5 Tafeln.
16. Bucherer, Dr. Emil, Beiträge zur Morphologie und Anatomie der Dioscoreaceen. Mit 5 Tafeln.
17. Schulz, August, Beiträge zur Kenntnis der Bestäubungseinrichtungen und Geschlechtsverteilung bei den Pflanzen. II. Teil.
18. Walter, Dr. Georg, Über die braunwandigen, sklerotischen Gewebeelemente der Farne, mit besonderer Berücksichtigung der sog. „Stützbündel“ Russow's. Mit 3 farbigen Tafeln.
19. Beck von Mannagetta, Dr. Günther Ritter, Monographie der Gattung *Orobanche*. Mit 4 farbigen Tafeln und 3 Karten.
20. Rostowzew, J., Die Entwicklung der Blüte und des Blütenstandes bei einigen Arten der Gruppe *Ambrosieae* und Stellung der letzteren im System. Mit 7 Tafeln.
21. Stenzel, Prof. Dr. G., Blütenbildungen beim Schneeglöckchen (*Galanthus nivalis*) und Samenformen bei der Eiche (*Quercus pedunculata*). Mit 6 Tafeln.
22. Karsten, G., Über die Mangrove-Vegetation im Malayischen Archipel. Mit 11 Tafeln.
23. Reinke, J., Beiträge zur vergleichenden Anatomie und Morphologie der Sphacelariaceen. Mit 13 Tafeln.
24. Berekholtz, W., Beiträge zur Kenntnis der Morphologie und Anatomie von *Gunnera manicata* Linden. Mit 9 Tafeln.
25. Krick, Fr., Über die Rindenknollen der Rotbuche. Mit 2 Tafeln.
26. Wettstein, Dr. R. von, Beitrag zur Flora Albanias. Mit 5 Tafeln.
27. Buchenau, Prof. Dr. Fr., Über den Aufbau des Palmiet-Schilfes aus dem Kaplande. (*Pronium serratum* Drège.) Mit 3 teilweise kolorierten Tafeln.
28. Luerssen, Prof. Dr. Chr., Beiträge zur Kenntnis der Flora West- und Ostpreußens. I.—III. Mit 23 Tafeln.
29. Pohl, Dr. Jul., Botanische Mitteilung über *Hydrastis canadensis*. Mit 4 Tafeln.
30. Elfert, Dr. Th., Über die Auflösungsweise der sekundären Zellmembranen der Samen bei ihrer Keimung. Mit 2 Tafeln.
31. Groppler, Dr. Rob., Vergleichende Anatomie des Holzes der Magnoliaceen. Mit 4 Tafeln.
32. Jungner, J. R., Wie wirkt träufelndes und fließendes Wasser auf die Gestaltung des Blattes? Einige biologische Experimente und Beobachtungen. Mit 3 Tafeln.
33. Mäule, C., Der Faserverlauf im Wundholz. Eine anatomische Untersuchung. Mit 2 Tafeln.
34. Jarius, M., Untersuchungen über *Ascochyta Pisi* bei parasitischer und saprophyter Ernährung. Mit 1 Tafel.
35. Schliekum, A., Morphologischer und anatomischer Vergleich der Kötyledonen und ersten Laubblätter der Keimpflanzen der Monokotylen. Mit 5 Tafeln.
36. Grob, A., Beiträge zur Anatomie der Epidermis der Gramineenblätter. Mit 10 Tafeln.
37. Zander, R., Die Milchsafthaare der Cichoriaceen. Mit 2 Tafeln.
38. Gruber, F., Über Aufbau und Entwicklung einiger Fucaceen. Mit 7 Tafeln.
39. Grüss, J., Über Lösung und Bildung der aus Hemicellulose bestehenden Zellwände und ihre Beziehung zur Gummosis. Mit 1 Tafel.
40. Wahl, Dr. C. von, Vergleichende Untersuchungen über den anatomischen Bau der geflügelten Früchte und Samen. Mit 5 Tafeln.
41. Heydrich, F., Neue Kalkalgen von Deutsch-Neu-Guinea (Kaiser-Wilhelms-Land). Mit 1 Tafel.
42. Vanhöffen, Dr. E., Botanische Ergebnisse der von der Gesellschaft für Erdkunde zu Berlin unter Leitung Dr. v. Drygalski's ausgesandten Grönlandexpedition nach Dr. Vanhöffens' Sammlungen bearbeitet. A.: Kryptogamen. Mit 1 Tafel.
42. — — B.: Phanerogamen aus dem Ulmanaks- und Ritenbenks-Distrikt. Bearbeitet von Dr. J. Abromeit, Königsberg. Mit 4 Tafeln und 1 Textfigur. 1899.
43. Richter, Dr. A., Über die Blattstruktur der Gattung *Cecropia*, insbesondere einiger bisher unbekannter *Imbauba*-Bäume des tropischen Amerika. Mit 5 Doppel- und 3 einfachen Tafeln.
44. Geheeb, A., Weitere Beiträge zur Moosflora von Neu-Guinea. Mit 21 Tafeln. 1898.
45. Darbishire, O. V., *Monographia Roccellarum*. Ein Beitrag zur Flechtensystematik. Mit 29 Figuren im Text und 30 Tafeln. 1898.
46. Minden, M. von, Beiträge zur anatomischen und physiologischen Kenntnis Wasser-secrenierender Organe. Mit 7 Tafeln. 1899.
47. Knoch, E., Untersuchungen über die Morphologie, Biologie und Physiologie der Blüte von *Victoria regia*. Mit 6 Tafeln. 1899.
48. Fisch, E., Beiträge zur Blütenbiologie. Mit 6 Tafeln. 1899.
49. Heydrich, F., Über die weiblichen Conceptakeln von *Sporolithon*. Mit 2 Tafeln. 1899.
50. Hämmerle, J., Zur Organisation von *Acer Pseudoplatanus*. Mit 1 Tafel. 1900.

Bibliotheca Botanica

Verzeichnis der bisher erschienenen Hefte (Fortsetzung).

51. **Slim-Jensen J.**, Beiträge zur botanischen und pharmacognostischen Kenntnis von *Hyoscyamus niger* L. Mit 6 Tafeln. 1901.
52. **Uexküll-Gyllenband, M. von**, Phylogenie der Blütenform und der Geschlechterverteilung bei den Compositen. Mit 2 Tafeln. 1901.
53. **Correns, C.**, Bastarde zwischen Maisrassen, mit besonderer Berücksichtigung der Xenien. Mit 2 farbigen Tafeln. 1901.
54. **Richter, Dr. A.**, Physiologisch-anatomische Untersuchungen über Luftwurzeln, mit besonderer Berücksichtigung der Wurzelhaube. Mit 12 Tafeln. 1901.
55. **Stenzel, Dr. K. G. W.**, Abweichende Blüten heimischer Orchideen mit einem Rückblick auf die der Abietinen. Mit 6 Tafeln. 1902.
56. **Areschoug, Prof. Dr. F. W. C.**, Untersuchungen über den Blattbau der Mangrove-Pflanzen. Mit 13 Tafeln. 1902.
57. **Heydrich, F.**, Das Tetrasporangium der Florideen, ein Vorläufer der sexuellen Fortpflanzung. Mit 1 Tafel. 1902.
58. **Günthart, Dr. A.**, Beitrag zur Blütenbiologie der Cruciferen, Crassulaceen und der Gattung *Saxifraga*. Mit 11 Tafeln. 1902.
59. **Kroemer, Dr. H.**, Hypodermis und Endodermis der Angiospermenwurzel. Mit 6 Tafeln. 1903.
60. **Ursprung, Dr. A.**, Die physikalischen Eigenschaften der Laubblätter. Gekrönte Preisschrift. Mit 27 Figuren im Texte und 9 Tafeln. 1903.
61. **Freidenfeld, T.**, Der anatomische Bau der Wurzel in seinem Zusammenhange mit dem Wassergehalt des Bodens. (Studien über die Wurzeln krautiger Pflanzen II.) Mit 5 Tafeln und 7 Textfiguren. 1904.
62. **Rumpf, Dr. G.**, Rhizodermis, Hypodermis und Endodermis der Farnwurzel. Mit 4 Tafeln. 1904.
63. **Lohaus, Dr. K.**, Der anatomische Bau der Laubblätter der Feslucaceen und dessen Bedeutung für die Systematik. Mit 16 Tafeln.
64. **Lang, W.**, Zur Blüten-Entwicklung der Labiaten, Verbenaceen und Plantaginaceen. Mit 5 Tafeln.
65. **Domin, K.**, Monographie der Gattung *Koeleria*. Mit 22 Tafeln und 3 Karten.
66. **Mager, H.**, Beiträge zur Anatomie der physiologischen Scheiden der Pteridophyten. Mit 4 Tafeln.
67. **Pascher, A.**, Studien über die Schwärmer einiger Süßwasseralgen. Mit 8 Tafeln.
68. **Matthiesen, Frz.**, Beiträge zur Kenntnis der Podostemaceen. Mit 9 Tafeln.
69. **Heinzerling, O.**, Der Bau der Diatomeenzelle mit besonderer Berücksichtigung der ergastischen Gebilde und der Beziehung des Baues zur Systematik. Mit 3 Tafeln.
70. **Kühns, R.**, Die Verdoppelung des Jahresringes durch künstliche Entlaubung. Mit 2 Tafeln.
71. **Wolf, Th.**, Monographie der Gattung *Potentilla*. Mit 2 Karten und 20 Tafeln.
72. **Focke, W. O.**, Species Ruborum. Monographiae generis Rubi Prodrömus. Pars I. Iconibus LIII illustrata. Pars II. Iconibus XXXIV illustrata.
73. **Geheeb, A. und Th. Herzog**, Bryologia atlantica. Die Laubmoose der atlantischen Inseln (mit Ausschluß der europäischen und arktischen Gebiete). Mit 20 farbigen lithogr. Tafeln.
74. **Bitter, Gg.**, Gattung *Acaena*. — Vorstudien zu einer Monographie. Mit 37 Tafeln und 98 Textillustrationen.
75. **Heydrich, F.**, *Lithophyllum incrustans* Phil. — Mit einem Nachtrag über *Paraspora fruticulosa* (Ktz.) Heydr. Mit 2 Tafeln.
76. **Fuchs, Josef**, Über die Beziehungen von Agaricineen und anderen humusbewohnenden Pilzen zur Mycorrhizenbildung der Waldbäume. Mit 4 Tafeln.
77. **Günthart, A.**, Beitrag zu einer blütenbiologischen Monographie der Gattung *Arabis*. Mit 2 Tafeln.
78. **Petrak, F.**, Der Formenkreis des *Cirsium eriophorum* (L.) Scop. in Europa. Mit 6 Tafeln und 1 Verbreitungskarte.
79. **Mylius, Georg**, Das Polyderm, eine vergleichende Untersuchung über die physiologischen Scheiden Polyderma, Periderm und Endodermis. Mit 4 Tafeln.
80. **Fleischer, Max**, Seltene sowie einige neue indische Archipelmoose nebst *Calymperopsis* gen. nov. Mit 7 Tafeln.
81. **Gerresheim, Eduard**, Über den anatomischen Bau und die damit zusammenhängende Wirkungsweise der Wasserbahnen in Fiederblättern der Dicotyledonen. Mit 7 Tafeln.
82. **Rippel, August**, Anatomische und physiologische Untersuchungen über die Wasserbahnen der Dicotylen-Laubblätter mit besonderer Berücksichtigung der handnervigen Blätter. Mit 4 Tafeln.
83. **Focke, W. O.**, Species Ruborum. Monographiae generis Rubi Prodrömus. Pars III. Iconibus LXVII illustrata.
84. **Klinken, Johannes**, Über das gleitende Wachstum der Initialen im Kambium der Koniferen und den Markstrahlverlauf in ihrer sekundären Rinde. Mit 2 Tafeln, 1 Doppeltafel und 21 Textabbildungen.
85. **Domin, K.**, Beiträge zur Flora und Pflanzengeographie Australiens. Lieferung 1, 2 mit 8 Tafeln und 57 Textabbildungen. Lieferung 3, 4 mit 10 Tafeln und 69 Textabbildungen.
86. **Frohmeyer, Max**, Die Entstehung und Ausbildung der Kieselzellen bei den Gramineen. Mit 2 Tafeln.
87. **Herzog, Theodor**, Die Bryophyten meiner zweiten Reise durch Bolivia. Mit 8 Tafeln.

Preisangaben stehen auf Anfrage zu Diensten.



